Министерство науки и высшего образования Российской Федерации

Федеральное государственное бюджетное образовательное учреждение
высшего образования «Уральский государственный горный университет»

УТВЕРЖДАЮ
Проректор по молодежной политике и
развитию образования
_____А. В. Легостев
«14» ноября 2024 г.

РАБОЧАЯ ПРОГРАММА ВОСПИТАНИЯ
ФГБОУ ВО «Уральский государственный горный университет»

для всех направлений подготовки и специальностей

СОГЛАСОВАНО
Председатель Объединенного совета
обучающихся ФГБОУ ВО «УГГУ»
(протокол № 25 от 15.11.2023)
_____ А. А. Кухарева

Председатель Первичной профсоюзной
организации ФГБОУ ВО «УГГУ»
(протокол № 5 от 24.10.2023)
_____ П. А.Коновалов

Председатель Совета родителей
ФГБОУ ВО «УГГУ»
(протокол № 3/1 от 04.10.2023
_____ В. А. Пивова

Составитель: начальник управления по внеучебной
и социальной работе Шехтман Д.А.

Екатеринбург

ПОЯСНИТЕЛЬНАЯ ЗАПИСКА

Наименование программы

Рабочая программа воспитания ФГБОУ ВО «Уральский государственный горный университет» (далее – УГГУ, университет).

Рабочая программа воспитания ФГБОУ ВО «Уральский государственный горный университет» представляет собой ценностно-нормативную, методологическую, методическую и технологическую основы организации воспитательной деятельности.

Рабочая программа воспитания (далее – Программа) ориентирована на организацию воспитательной деятельности субъектов образовательного и воспитательного процессов.

Воспитательная работа в университете направлена на создание благоприятных условий для личностного и профессионального развития студенческой молодёжи, формирование профессиональных и общекультурных/универсальных компетенций, таких как гражданственность, трудолюбие, ответственность, организованность, самостоятельность, инициативность, дисциплинированность.

Разработчик и координатор программы

Управление по внеучебной и социальной работе.

Нормативно-правовые основания программы

- Конституция Российской Федерации;
- Федеральный закон от 29.12.2012 №273-ФЗ «Об образовании в Российской Федерации»;
- Федеральный закон от 05.02.2018 № 15-ФЗ «О внесении изменений в отдельные законодательные акты Российской Федерации по вопросам добровольчества (волонтерства)»;
- Указ Президента Российской Федерации от 19.12. 2012 г. № 1666 «Стратегия государственной национальной политики Российской Федерации на период до 2025 года»;
- Указ Президента Российской Федерации от 24.12.2014 № 808 «Основы государственной культурной политики»;
- Указ Президента Российской Федерации от 09.05.2017 № 203 «Стратегия развития информационного общества в Российской Федерации на 2017-2030 годы»;
- Указ Президента Российской Федерации от 07.05.2018 № 204 «О национальных целях и стратегических задачах развития Российской Федерации на период до 2024 года»;
- Указ Президента Российской Федерации от 21.07.2020 № 474 «О национальных целях развития Российской Федерации на период до 2030 года»;
- Указ Президента Российской Федерации от 02.07.2021 № 400 «Стратегия национальной безопасности Российской Федерации»;
- Указ Президента Российской Федерации от 09.11.2022 № 809 «Об утверждении основ государственной политики по сохранению и укреплению традиционных российских духовно-нравственных ценностей;
- Постановление Правительства Российской Федерации от 26.12.2017 № 1642 «Об утверждении государственной программы Российской Федерации «Развитие образования»;
- Распоряжение Правительства Российской Федерации от 29.11.2014 № 2403-р «Основы государственной молодежной политики Российской Федерации на период до 2025 года»;
- Распоряжение Правительства Российской Федерации от 29.05.2015 № 996-р «Стратегия развития воспитания в Российской Федерации на период до 2025 года»;
- Распоряжение Правительства Российской Федерации от 27.12.2018 № 2950-р «Концепция развития добровольчества (волонтерства) в Российской Федерации до 2025 года»;
- Распоряжение Правительства Российской Федерации от 12.11.2020 № 2945-р «Об утверждении Плана мероприятий по реализации в 2021-2025 годах Стратегии развития воспитания в Российской Федерации на период до 2025 года»;
- Устав ФГБОУ ВО «Уральский государственный горный университет».

Сроки реализации программы - период реализации образовательной программы.

Ожидаемые результаты:

- исполнение положений Федерального закона «Об образовании в Российской Федерации» по вопросам воспитания обучающихся;
- реализация приоритетных направлений государственной молодежной политики по созданию условий для успешной социализации и эффективной самореализации обучающихся;
- привлечение к воспитательной работе в университете заинтересованных субъектов университетского сообщества;
- формирование у обучающихся духовных, социальных и профессиональных ценностей;
- обогащение личностного и социального опыта обучающихся;
- совершенствование форм и методов воспитательной работы;
- повышение степени вовлеченности обучающихся в организацию и проведение мероприятий воспитательного характера;
- совершенствование системы контроля и оценки воспитательной работы;
- расширение взаимодействия субъектов воспитательной работы с органами государственной власти и местного самоуправления, международными, всероссийскими, межрегиональными, региональными общественными объединениями, ключевыми стейкхолдерами;
- развитие традиций корпоративной культуры университета;
- повышение эффективности и качества реализуемых мероприятий;
- выпуск конкурентоспособных специалистов, обладающих высоким уровнем социально-личностных и профессиональных компетенций.

РАЗДЕЛ 1. ЦЕЛЕВОЙ

Воспитательная деятельность в университете, реализующем программы высшего и среднего профессионального образования, является одной из основных частей образовательного процесса, планируется и осуществляется в соответствии с приоритетами государственной политики в сфере воспитания.

Участниками образовательных отношений в части воспитания в университете являются:

- ректор;
- проректор по молодежной политике и развитию образования;
- начальник управления по внеучебной и социальной работе;
- заместители начальника управления по внеучебной и социальной работе;
- специалисты по социальной работе с молодежью;
- деканы факультетов;
- заведующие кафедрами;
- педагогические работники;
- академические кураторы;
- педагоги-психологи;
- члены Объединенного совета обучающихся;
- представители Совета родителей.

1.1 Цель и задачи воспитания обучающихся

Цель воспитания обучающихся ФГБОУ ВО «Уральский государственный горный университет» - развитие личности, создание условий для самоопределения и социализации на основе социокультурных, духовно-нравственных ценностей и принятых в российском обществе правил и норм поведения в интересах человека, семьи, общества и государства,

формирование у обучающихся чувства патриотизма, гражданственности, уважения к памяти защитников Отечества и подвигам Героев Отечества, закону и правопорядку, человеку труда и старшему поколению, взаимного уважения, бережного отношения к культурному наследию и традициям многонационального народа Российской Федерации, природе и окружающей среде.

Задачи воспитания:

– усвоение обучающимися знаний о нормах, духовно-нравственных ценностях, которые выработало российское общество (социально значимых знаний);

– формирование и развитие осознанного позитивного отношения к ценностям, нормам и правилам поведения, принятым в российском обществе (их освоение, принятие), современного научного мировоззрения, мотивации к труду, непрерывному личностному и профессиональному росту;

– приобретение социокультурного опыта поведения, общения, межличностных и социальных отношений, в том числе в профессионально ориентированной деятельности;

– подготовка к самостоятельной профессиональной деятельности с учетом получаемой квалификации (социально-значимый опыт) во благо своей семьи, народа, Родины и государства;

– подготовка к созданию семьи и рождению детей.

1.2 Направления воспитания

Рабочая программа воспитания УГГУ реализуется в единстве учебной и воспитательной деятельности с учётом направлений воспитания:

гражданское воспитание — формирование российской идентичности, чувства принадлежности к своей Родине, ее историческому и культурному наследию, многонациональному народу России, уважения к правам и свободам гражданина России; формирование активной гражданской позиции, правовых знаний и правовой культуры;

патриотическое воспитание — формирование чувства глубокой

привязанности к своей малой родине, родному краю, России, своему народу и многонациональному народу России, его традициям; чувства гордости за достижения России и ее культуру, желания защищать интересы своей Родины и своего народа;

духовно-нравственное воспитание — формирование устойчивых ценностно-смысловых установок, обучающихся по отношению к духовно-нравственным ценностям российского общества, к культуре народов России, готовности к сохранению, преумножению и трансляции культурных традиций и ценностей многонационального российского государства;

эстетическое воспитание — формирование эстетической культуры, эстетического отношения к миру, приобщение к лучшим образцам отечественного и мирового искусства;

физическое воспитание, формирование культуры здорового

образа жизни и эмоционального благополучия — формирование осознанного отношения к здоровому и безопасному образу жизни, потребности физического самосовершенствования, неприятия вредных привычек;

профессионально-трудовое воспитание — формирование позитивного и добросовестного отношения к труду, культуры труда и трудовых отношений, трудолюбия, профессионально значимых качеств личности, умений и навыков; мотивации к творчеству и инновационной деятельности; осознанного отношения к непрерывному образованию как условию успешной профессиональной деятельности, к профессиональной деятельности как средству реализации собственных жизненных планов;

экологическое воспитание — формирование потребности экологически целесообразного поведения в природе, понимания влияния социально-экономических процессов на состояние окружающей среды, важности рационального природопользования; приобретение опыта эколого-направленной деятельности;

ценности научного познания — воспитание стремления к познанию себя и других людей, природы и общества, к получению знаний, качественного образования с учётом личностных интересов

и общественных потребностей.

1.3 Целевые ориентиры воспитания

1.3.1 Инвариантные целевые ориентиры

Согласно «Основам государственной политики по сохранению и укреплению духовно-нравственных ценностей» (Указ Президента Российской Федерации от 09.11.2022 № 809) ключевым инструментом государственной политики в области образования, необходимым для формирования гармонично развитой личности, является воспитание в духе уважения к традиционным ценностям, таким как патриотизм, гражданственность, служение Отечеству и ответственность за его судьбу, высокие нравственные идеалы, крепкая семья, созидательный труд, приоритет духовного над материальным, гуманизм, милосердие, справедливость, коллективизм, взаимопомощь и взаимоуважение, историческая память и преемственность поколений, единство народов России.

В соответствии с Федеральным законом от 29.12.2012 № 273-ФЗ «Об образовании в Российской Федерации» воспитательная деятельность направлена на формирование у обучающихся чувства патриотизма, гражданственности, уважения к памяти защитников Отечества и подвигам Героев Отечества, закону и правопорядку, человеку труда и старшему поколению, взаимного уважения, бережного отношения к культурному наследию и традициям многонационального народа Российской Федерации, природе и окружающей среде».

Эти законодательно закрепленные требования в части формирования у обучающихся системы нравственных ценностей отражены в инвариантных целевых ориентирах воспитания выпускников университета и соотносятся с общими/универсальными компетенциями, формирование которых является результатом освоения образовательных программ в соответствии с требованиями федеральных государственных образовательных стандартов.

Инвариантные целевые ориентиры воспитания выпускников университета

Гражданское воспитание
– Осознанно выражающий свою российскую гражданскую принадлежность (идентичность) в поликультурном, многонациональном и многоконфессиональном российском обществе, в мировом сообществе. – Сознающий своё единство с народом России как источником власти и субъектом тысячелетней российской государственности, с российским государством, ответственность за его развитие в настоящем и будущем на основе исторического просвещения, российского национального исторического сознания. – Проявляющий гражданско-патриотическую позицию, готовность к защите Родины, способный аргументированно отстаивать суверенитет и достоинство народа России и российского государства, сохранять и защищать историческую правду. – Ориентированный на активное гражданское участие в социально-политических процессах на основе уважения закона и правопорядка, прав и свобод сограждан. – Осознанно и деятельно выражающий неприятие любой дискриминации по социальным, национальным, расовым, религиозным признакам, проявлений экстремизма, терроризма, коррупции, антигосударственной деятельности. – Обладающий опытом гражданской социально значимой деятельности (в студенческом самоуправлении, добровольческом движении, предпринимательской деятельности, экологических, военно-патриотических и др. объединениях, акциях, программах.
Патриотическое воспитание
– Осознающий свою национальную, этническую принадлежность, демонстрирующий приверженность к родной культуре, любовь к своему народу.

– Сознающий причастность к многонациональному народу Российской Федерации, Отечеству, общероссийскую идентичность. – Проявляющий деятельное ценностное отношение к историческому и культурному наследию своего и других народов России, их традициям, праздникам. – Проявляющий уважение к соотечественникам, проживающим за рубежом, поддерживающий их права, защиту их интересов в сохранении общероссийской идентичности.
Духовно-нравственное воспитание
– Проявляющий приверженность традиционным духовно-нравственным ценностям, культуре народов России с учётом мировоззренческого, национального, конфессионального самоопределения. – Проявляющий уважение к жизни и достоинству каждого человека, свободе мировоззренческого выбора и самоопределения, к представителям различных этнических групп, традиционных религий народов России, их национальному достоинству и религиозным чувствам с учётом соблюдения конституционных прав и свобод всех граждан. – Понимающий и деятельно выражающий понимание ценности межнационального, межрелигиозного согласия, способный вести диалог с людьми разных национальностей и вероисповеданий, находить общие цели и сотрудничать для их достижения. – Ориентированный на создание устойчивой семьи на основе российских традиционных семейных ценностей, рождение и воспитание детей и принятие родительской ответственности. – Обладающий сформированными представлениями о ценности и значении в отечественной и мировой культуре языков и литературы народов России.
Эстетическое воспитание
– Выражающий понимание ценности отечественного и мирового искусства, российского и мирового художественного наследия. – Проявляющий восприимчивость к разным видам искусства, понимание эмоционального воздействия искусства, его влияния на душевное состояние и поведение людей, умеющий критически оценивать это влияние. – Проявляющий понимание художественной культуры как средства коммуникации и самовыражения в современном обществе, значение нравственных норм, ценностей, традиций в искусстве. – Ориентированный на осознанное творческое самовыражение, реализацию творческих способностей, на эстетическое обустройство собственного быта, профессиональной среды.
Физическое воспитание, формирование культуры здоровья и эмоционального благополучия
– Понимающий и выражающий в практической деятельности понимание ценности жизни, здоровья и безопасности, значение личных усилий в сохранении и укреплении своего здоровья и здоровья других людей. – Соблюдающий правила личной и общественной безопасности, в том числе безопасного поведения в информационной среде. – Выражающий на практике установку на здоровый образ жизни (здоровое питание, соблюдение гигиены, режим занятий и отдыха, регулярную физическую активность), стремление к физическому совершенствованию. – Проявляющий сознательное и обоснованное неприятие вредных привычек (курения, употребления алкоголя, наркотиков, любых форм зависимостей), деструктивного поведения в обществе и цифровой среде, понимание их вреда для физического и психического здоровья. – Демонстрирующий навыки рефлексии своего состояния (физического, эмоционального, психологического), понимания состояния других людей. – Демонстрирующий и развивающий свою физическую подготовку, необходимую для избранной профессиональной деятельности, способности адаптироваться к стрессовым ситуациям в общении, в изменяющихся условиях (профессиональных, социальных, информационных, природных), эффективно действовать в чрезвычайных ситуациях. – Использующий средства физической культуры для сохранения и укрепления здоровья в процессе профессиональной деятельности и поддержания необходимого уровня физической подготовленности.
Профессионально-трудовое воспитание

– Понимающий профессиональные идеалы и ценности, уважающий труд, результаты труда, трудовые достижения российского народа, трудовые и профессиональные достижения своих земляков, их вклад в развитие своего поселения, края, страны. – Участвующий в социально значимой трудовой и профессиональной деятельности разного вида в семье, образовательной организации, на базе производственной практики, в своей местности. – Выражающий осознанную готовность к непрерывному образованию и самообразованию в выбранной сфере профессиональной деятельности. – Понимающий специфику профессионально-трудовой деятельности, регулирования трудовых отношений, готовый учиться и трудиться в современном высокотехнологичном мире на благо государства и общества. – Ориентированный на осознанное освоение выбранной сферы профессиональной деятельности с учётом личных жизненных планов, потребностей своей семьи, государства и общества. – Обладающий сформированными представлениями о значении и ценности выбранной профессии, проявляющий уважение к своей профессии и своему профессиональному сообществу, поддерживающий позитивный образ и престиж своей профессии в обществе.
Экологическое воспитание
– Демонстрирующий в поведении сформированность экологической культуры на основе понимания влияния социально-экономических процессов на природу, в том числе на глобальном уровне, ответственность за действия в природной среде. – Выражающий деятельное неприятие действий, приносящих вред природе, содействующий сохранению и защите окружающей среды. – Применяющий знания из общеобразовательных и профессиональных дисциплин для разумного, бережливого производства и природопользования, ресурсосбережения в быту, в профессиональной среде, общественном пространстве. – Имеющий и развивающий опыт экологически направленной, природоохранной, ресурсосберегающей деятельности, в том числе в рамках выбранной специальности, способствующий его приобретению другими людьми.
Ценности научного познания
– Деятельно выражающий познавательные интересы в разных предметных областях с учётом своих интересов, способностей, достижений, выбранного направления профессионального образования и подготовки. – Обладающий представлением о современной научной картине мира, достижениях науки и техники, аргументированно выражающий понимание значения науки и технологий для развития российского общества и обеспечения его безопасности. – Демонстрирующий навыки критического мышления, определения достоверности научной информации, в том числе в сфере профессиональной деятельности. – Умеющий выбирать способы решения задач профессиональной деятельности применительно к различным контекстам. – Использующий современные средства поиска, анализа и интерпретации информации, информационные технологии для выполнения задач профессиональной деятельности. – Развивающий и применяющий навыки наблюдения, накопления и систематизации фактов, осмысления опыта в естественнонаучной и гуманитарной областях познания, исследовательской и профессиональной деятельности.

1.3.2 Вариативные целевые ориентиры

Вариативные целевые ориентиры воспитания обучающихся университета сформулированы с учётом этнокультурных и региональных особенностей и не противоречат инвариантным целевым ориентирам.

Вариативные целевые ориентиры воспитания

Гражданское воспитание
– Осознающий себя членом общества на региональном и локальном уровнях, имеющим представление о родном крае как субъекте Российской Федерации.

– Демонстрирующий понимание значимости выбранной профессии для развития страны, проявляющий уважение к своей профессии и профессиональному сообществу. – Знающий и соблюдающий нормы профессиональной этики работника, поддерживающий благоприятный образ профессии в обществе. – Разделяющий традиционные российские ценности, проявляющий активную гражданскую позицию, готовый к защите Родины. – Знающий государственные устои и символику России, родного края, города, района и муниципальных образований. – Проявляющий нетерпимость к коррупционному поведению, умеющий принимать решения и нести за них ответственность. – Обладающий культурой межнационального общения в студенческой среде и обществе в целом. – Проявляющий уважительное отношение к национальному достоинству людей, их чувствам, религиозным убеждениям.
Патриотическое воспитание
– Понимающий свою сопричастность к прошлому, настоящему и будущему родного края, своей Родины — России, Российского государства. – Понимающий значение гражданских символов (государственная символика России, своего региона), праздников, мест почитания героев и защитников Отечества, проявляющий к ним уважение. – Изучающий и владеющий знаниями по истории родного края и своей малой родины.
Духовно-нравственное воспитание
– Уважающий духовно-нравственную культуру своей семьи, своего народа, семейные ценности с учётом национальной, религиозной принадлежности. – Сознающий ценность каждой человеческой жизни, признающий индивидуальность и достоинство каждого человека. – Умеющий оценивать поступки с позиции их соответствия нравственным нормам, осознающий ответственность за свои поступки.
Эстетическое воспитание
– Проявляющий ценностное отношение к культуре и искусству, к культуре речи и культуре поведения, к красоте и гармонии. – Обладающий знаниями о культурном наследии родного края. – Способный воспринимать и чувствовать прекрасное в быту, природе, искусстве, творчестве людей, профессиональном мастерстве. – Проявляющий стремление к самовыражению в разных видах художественной деятельности, искусстве, профессиональной деятельности.
Физическое воспитание, формирование культуры здоровья и эмоционального благополучия
– Владеющий знаниями о физической культуре и спорте, их истории, современном развитии в родном крае. – Ведущий и пропагандирующий здоровый образ жизни. – Проявляющий интерес к самообучению умениям и навыкам физкультурно-оздоровительной и спортивно-оздоровительной деятельности. – Бережно относящийся к физическому здоровью, соблюдающий основные правила здорового и безопасного для себя и других людей образа жизни, в том числе в информационной среде. – Владеющий основными навыками личной и общественной гигиены, безопасного поведения в быту, природе, обществе. – Ориентированный на физическое развитие с учётом возможностей здоровья, занятия физкультурой и спортом
Профессионально-трудовое воспитание
– Проявляющий уважение к труду, людям труда, бережное отношение к результатам труда, ответственное потребление. – Проявляющий интерес к разным профессиям. – Участвующий в различных видах трудовой деятельности.

– Владеющий комплексом знаний, умений и навыков, качеств личности, обеспечивающих возможность профессионального роста. – Обладающий основами экономической культуры и финансовой грамотности.
Экологическое воспитание
– Понимающий ценность природы, зависимость жизни людей от природы, влияние людей на природу, окружающую среду. – Выражающий готовность в своей профессиональной деятельности придерживаться экологических норм. – Содействующий сохранению окружающей среды, ресурсосбережению, эффективно действующий в чрезвычайных ситуациях. – Демонстрирующий экологическую культуру. – Проявляющий интерес к экологической обстановке в родном крае, вносящий свой вклад в ее улучшение.
Ценности научного познания
– Ориентированный на ценности непрерывного образования, в том числе и на самообразование. – Проявляющий интерес к участию в поисковой и исследовательской деятельности, техническому творчеству.

РАЗДЕЛ 2. СОДЕРЖАТЕЛЬНЫЙ

2.1 Уклад университета

Уральский государственный горный университет был учрежден 3 (16) июля 1914 года законом, утвержденным российским Императором Николаем II, как Екатеринбургский горный институт, который стал первым высшим учебным заведением на Урале.

Собранием Узаконений и Распоряжений Правительства, издаваемым при Правительствующем Сенате, от 27 января 1917 г. № 28 горный институт в городе Екатеринбурге был переименован в Уральский горный институт Императора Николая II, который приказом Главного управления учебными заведениями Народного Комиссариата тяжелой промышленности СССР от 18 декабря 1934 г. № 26/644 переименован в Свердловский горный институт, которому постановлением Совета Министров СССР от 13 января 1947 г, № 52 присвоено имя В.В. Вахрушева.

Указом Президиума Верховного Совета СССР от 12 мая 1969 года Свердловский горный институт им. В.В. Вахрушева был переименован в Свердловский ордена Трудового Красного Знамени горный институт им. В.В. Вахрушева, который распоряжением Совета Министров РСФСР от 10 июля 1991 г. № 736-р и приказом Государственного Комитета СССР по народному образованию от 22 июля 1991 г. № 346 был переименован в Уральский ордена Трудового Красного Знамени горный институт имени В.В. Вахрушева, переименованный приказом Государственного Комитета Российской Федерации по высшему образованию от 28 октября 1993 г. № 298 в Уральскую государственную горно-геологическую академию.

11 февраля 2003 года Уральская государственная горно-геологическая академия была внесена в Единый государственный реестр юридических лиц как государственное образовательное учреждение высшего профессионального образования Уральская государственная горно-геологическая академия, которое приказом Федерального агентства по образованию от 5 октября 2004 г. № 156 было переименовано в государственное образовательное учреждение высшего профессионального образования «Уральский государственный горный университет».

Приказом Министерства образования и науки Российской Федерации от 23 мая 2011 г. № 1724 государственное образовательное учреждение высшего профессионального образования «Уральский государственный горный университет» переименовано в федеральное государственное бюджетное образовательное учреждение высшего профессионального

образования «Уральский государственный горный университет», которое приказом Министерства образования и науки Российской Федерации от 29 октября 2015 г. №1261 переименовано в федеральное государственное бюджетное образовательное учреждение высшего образования «Уральский государственный горный университет».

За 106 лет своей деятельности вуз подготовил для работы на горнодобывающих и геологоразведочных предприятиях, в научно-исследовательских и проектно-конструкторских институтах отрасли более 110 000 горных инженеров, талантом и трудом которых создавался Уральский горнопромышленный комплекс.

В 2024 году УГГУ - первый вуз Урала празднует 110 лет со дня учреждения.

Университет реализует программы высшего, среднего профессионального, дополнительного и послевузовского профессионального образования в области геологии, геофизики, горного дела, экологии, экономики, информатики, автоматизации, горного машиностроения, художественного проектирования и обработки материалов.

В университете представлены все уровни высшего образования: бакалавриат, специалитет, магистратура и аспирантура.

В университете обучаются около 10 000 студентов.

Отличительной особенностью университета являются сильные связи с производством. Вуз сотрудничает более чем с 300 предприятиями – партнерами со всей России, в их числе — крупнейшие компании горнодобывающей отрасли. Подписаны договоры о совместной работе в рамках подготовки кадров с крупнейшими отраслевыми предприятиями страны и региона: Русской медной компанией, Уральской горно-металлургической компанией, Уралмашзаводом, ЕВРАЗ-холдингом и др. Ведется системная подготовка специалистов для предприятий зарубежных стран: Китая, Гвинеи, Македонии, Узбекистана, Таджикистана, Туркменистана, Монголии, Казахстана и др.

Университет славится своим сильным профессорско-преподавательским составом. На 38 кафедрах работают более 350 педагогических работников, из них более 250 кандидатов наук, порядка 60 докторов наук.

Вековая история позволила университету создать не только мощные образовательные традиции, но и научные школы. Их коллективы регулярно участвуют в масштабных государственных программах. С 1976 г. в диссертационных советах вуза защищено свыше 750 диссертаций.

В университете выпускается два журнала, внесенных Высшей аттестационной комиссией в Перечень научных журналов, публикация в которых является обязательной для защиты диссертаций.

Студенты вуза регулярно побеждают на Всероссийских олимпиадах и инженерных соревнованиях. Горняки трижды становились триумфаторами Международного чемпионата по решению инженерных кейсов «Case-In». Свыше сорока студентов УГГУ каждый год удостаиваются стипендий Президента РФ, Правительства РФ и Губернатора Свердловской области. Одним из знаковых научных мероприятий УГГУ является Уральская горнопромышленная декада. Сотни специалистов из России и зарубежных стран ежегодно приезжают в Горный университет, чтобы обсудить актуальные вопросы отрасли и найти партнеров для решения производственных задач.

В университете есть свои корпоративные знаки отличия – это герб, гимн, флаг и форменная одежда, которые используются при проведении мероприятий в масштабах университета, городского, регионального и всероссийского уровней с целью формирования корпоративного сознания у обучающихся.

Наиболее значимыми традиционными мероприятиями, событиями, составляющими основу воспитательной системы, являются День знаний, День солидарности в борьбе с терроризмом, День первокурсника, День Героев Отечества, День матери, День студента, День защитников Отечества, конкурс красоты «Мисс и Мистер Горный университет» и многие другие.

2.2 Воспитательные модули: виды, формы, содержание воспитательной деятельности

Модуль «Образовательная деятельность»

Реализация воспитательного потенциала образовательной деятельности предусматривает:

– использование воспитательных возможностей содержания учебных дисциплин и профессиональных модулей для формирования у обучающихся позитивного отношения к российским традиционным духовно-нравственным и социокультурным ценностям, подбор соответствующего тематического содержания, текстов для чтения, задач для решения, проблемных ситуаций для обсуждений и т. п., отвечающих содержанию и задачам воспитания;

– привлечение внимания обучающихся к ценностному аспекту изучаемых на аудиторных занятиях объектов, явлений, событий и т. д., инициирование обсуждений, высказываний обучающимися своего мнения, выработки личностного отношения к изучаемым событиям, явлениям;

– использование учебных материалов (образовательного контента, художественных фильмов, литературных произведений и проч.), способствующих повышению статуса и престижа рабочих профессий, прославляющих трудовые достижения, повествующих о семейных трудовых династиях;

– инициирование и поддержка исследовательской деятельности при изучении учебных дисциплин и профессиональных модулей в форме индивидуальных и групповых проектов, исследовательских работ воспитательной направленности;

– реализация курсов, дополнительных факультативных занятий исторического просвещения, патриотической, гражданской, экологической, научно-познавательной, краеведческой, историко-культурной, туристско-краеведческой, спортивно-оздоровительной, художественно-эстетической, духовно-нравственной направленности, а также курсов, направленных на формирование готовности обучающихся к вступлению в брак и осознанному родительству;

– организация и проведение экскурсий (в музеи, картинные галереи, технопарки, на предприятия и др.), экспедиций, походов.

Модуль «Кураторство»

Реализация воспитательного потенциала кураторства как особого вида педагогической деятельности, направленной в первую очередь на решение задач воспитания и социализации обучающихся, предусматривает:

– организацию социально-значимых совместных проектов, отвечающих потребностям обучающихся, дающих возможности для их самореализации, установления и укрепления доверительных отношений внутри учебной группы и между группой и куратором;

– сплочение коллектива группы через игры и тренинги на командообразование, походы, экскурсии, празднования дней рождения, тематические вечера и т. п.;

– организацию и проведение регулярных родительских собраний, информирование родителей об академических успехах и проблемах обучающихся, их положении в студенческой группе, о жизни группы в целом; помощь родителям и иным членам семьи во взаимодействии с педагогическим коллективом и администрацией;

– работа со студентами, вступившими в ранние семейные отношения, проведение консультаций по вопросам этики и психологии семейной жизни, семейного права;

– планирование, подготовку и проведение праздников, фестивалей, конкурсов, соревнований и т. д. с обучающимися.

Модуль «Наставничество»

Реализация воспитательного потенциала наставничества как универсальной технологии передачи опыта и знаний предусматривает:

– разработку программы наставничества;

– содействие осознанному выбору оптимальной образовательной траектории, в том числе для обучающихся с особыми потребностями (детей с инвалидностью и ограниченными возможностями здоровья, одаренных, обучающихся, находящихся в трудной жизненной ситуации);

– оказание психологической и профессиональной поддержки наставляемому в реализации им индивидуального маршрута и в жизненном самоопределении;

– определение инструментов оценки эффективности мероприятий по адаптации и стажировке наставляемого;

– привлечение к наставнической деятельности признанных авторитетных специалистов, имеющих большой профессиональный и жизненный опыт (работников предприятий и организаций-партнеров).

Модуль «Основные воспитательные мероприятия»

Реализация воспитательного потенциала основных воспитательных мероприятий предусматривает:

– проведение общих для всей образовательной организации праздников, ежегодных творческих (театрализованных, музыкальных, литературных и т. п.) мероприятий, связанных с общероссийскими, региональными, местными праздниками, памятными датами;

– проведение торжественных мероприятий, связанных с завершением образования, переходом на следующий курс, а также совместных мероприятий с организациями-партнерами, направленных на знакомство и приобщение к корпоративной культуре предприятия, организации;

– разработку и реализацию обучающимися социальных, социально-профессиональных проектов, в том числе с участием социальных партнёров университета;

– организацию тематических мероприятий, нацеленных на формирование уважительного отношения к противоположному полу, понимания любви как основы таких отношений и готовности к вступлению в брак (День матери, День семьи, любви и верности и т. д.);

Модуль «Организация предметно-пространственной среды»

Реализация воспитательного потенциала предметно-пространственной среды предусматривает совместную деятельность педагогов, обучающихся, других участников образовательных отношений по её созданию, поддержанию, использованию в воспитании:

– организация в доступных для обучающихся и посетителей местах музейно-выставочного пространства, содержащего экспозиции об истории и развитии университета с использованием исторических символов государства, региона, местности в разные периоды, о значимых исторических, культурных, природных, производственных объектах России, региона, местности;

– размещение карт России, регионов, муниципальных образований (современных и исторических, точных и стилизованных, географических, природных, культурологических, художественно оформленных, в том числе материалами, подготовленными обучающимися) с изображениями значимых культурных объектов своей местности, региона, России; портретов выдающихся государственных деятелей России, деятелей культуры, науки, производства, искусства, военных деятелей, героев и защитников Отечества;

– размещение, обновление художественных изображений (символических, живописных, фотографических, интерактивных) объектов природного и культурного наследия региона, местности, предметов традиционной культуры и быта;

– организацию и поддержание в университете звукового пространства позитивной духовно-нравственной, гражданско-патриотической воспитательной направленности (звонки-мелодии, музыка, информационные сообщения), исполнение гимна Российской Федерации (в начале учебной недели);

– оформление и обновление «мест новостей», стендов в помещениях общего пользования (холл первого этажа, рекреации и др.), содержащих в доступной, привлекательной форме новостную информацию позитивного профессионального, гражданско-патриотического, духовно-нравственного содержания;

– размещение материалов, отражающих ценность труда как важнейшей нравственной категории, представляющих трудовые достижения в профессиональной области, прославляющих героев и ветеранов труда, выдающихся деятелей производственной сферы, имеющей отношение к УГГУ, предметов-символов профессиональной сферы, размещение информационных справочных материалов о предприятиях профессиональной сферы, имеющих отношение к профилю университета;

– размещение, поддержание, обновление на территории университета выставочных объектов, ассоциирующихся с профессиональными направлениями обучения;

– создание и обновление книжных выставок профессиональной литературы, пространства свободного книгообмена;

– оборудование, оформление, поддержание и использование спортивных и игровых пространств, площадок, зон активного и спокойного отдыха;

– совместная с обучающимися популяризация символики УГГУ (флаг, гимн, эмблема, логотип и т. п.), используемой как повседневно, так и в торжественных ситуациях;

– разработка и обновление материалов (стендов, плакатов, инсталляций и др.), акцентирующих внимание обучающихся на важных для воспитания правилах, традициях, укладе образовательной организации, актуальных вопросах профилактики и безопасности.

Модуль «Взаимодействие с родителями (законными представителями)»

Реализация воспитательного потенциала взаимодействия с родителями (законными представителями) обучающихся предусматривает:

– организацию взаимодействия между родителями обучающихся и преподавателями, администрацией в области воспитания и профессиональной реализации студентов;

– проведение родительских собраний по вопросам воспитания, взаимоотношений обучающихся и педагогов, условий обучения и воспитания;

– привлечение родителей к подготовке и проведению мероприятий воспитательной направленности.

Модуль «Самоуправление»

Реализация воспитательного потенциала самоуправления обучающихся в университете, реализующем образовательные программы высшего и среднего профессионального образования, предусматривает:

– организацию и деятельность в университете органов самоуправления обучающихся (совет обучающихся и др.);

– представление органами самоуправления интересов обучающихся в процессе управления образовательной организацией, защита законных интересов, прав обучающихся;

– участие представителей органов самоуправления обучающихся в разработке, обсуждении и реализации рабочей программы воспитания, в анализе воспитательной деятельности;

– привлечение к деятельности студенческого самоуправления выпускников, работающих по специальности, добившихся успехов в профессиональной деятельности и личной жизни.

Модуль «Профилактика и безопасность»

Реализация воспитательного потенциала профилактической деятельности в целях формирования и поддержки безопасной и комфортной среды предусматривает:

– организацию деятельности педагогического коллектива по созданию в университете безопасной среды как условия успешной воспитательной деятельности;

– вовлечение обучающихся в проекты, программы профилактической направленности, реализуемые в УГГУ и в социокультурном окружении (антинаркотические, антиалкогольные, против курения, вовлечения в деструктивные детские и молодёжные объединения, культы, субкультуры, группы в социальных сетях; по безопасности в цифровой среде, на транспорте, на воде, безопасности дорожного движения, противопожарной безопасности, антитеррористической и антиэкстремистской безопасности, гражданской обороне и т. д.);

– сбор информации и регулярный мониторинг семей обучающихся, находящихся в сложной жизненной ситуации, профилактическая работа с неблагополучными семьями;

– организация психолого-педагогической поддержки обучающихся групп риска;

– организацию работы по развитию у обучающихся навыков саморефлексии, самоконтроля, устойчивости к негативному воздействию, групповому давлению;

– поддержку инициатив обучающихся, педагогов в сфере укрепления безопасности жизнедеятельности.

Модуль «Социальное партнёрство и участие работодателей»

Реализация воспитательного потенциала социального партнёрства университетом, реализующем образовательные программы высшего и среднего профессионального образования, в том числе во взаимодействии с предприятиями рынка труда, предусматривает:

– участие представителей организаций-партнёров, предприятий (организаций) и работодателей, в том числе в соответствии с договорами о сотрудничестве, в проведении отдельных производственных практик и мероприятий в рамках рабочей программы воспитания и календарного плана воспитательной работы (дни открытых дверей, ярмарки вакансий, государственные, региональные праздники, торжественные мероприятия и т. п.);

– участие представителей организаций-партнёров в проведении мастер-классов, аудиторных и внеаудиторных занятий, мероприятий профессиональной направленности;

– проведение на базе организаций-партнёров отдельных аудиторных и внеаудиторных занятий, презентаций, лекций, акций воспитательной направленности;

– проведение открытых дискуссионных площадок (студенческих, педагогических, родительских, совместных), куда приглашаются представители организаций-партнёров, на которых обсуждаются актуальные проблемы, касающиеся профессиональной сферы и рынка труда, жизни университета, муниципального образования, региона, страны;

– реализация социальных проектов, разрабатываемых и реализуемых обучающимися и педагогами совместно с организациями-партнёрами (профессионально-трудовой, благотворительной, экологической, патриотической, духовно-нравственной и т. д. направленности), ориентированных на воспитание обучающихся, преобразование окружающего социума, позитивное воздействие на социальное окружение.

Модуль «Профессиональное развитие, адаптация и трудоустройство»

Реализация воспитательного потенциала работы по профессиональному развитию, адаптации и трудоустройству в университете предусматривает:

– участие в конкурсах, фестивалях, олимпиадах профессионального мастерства (в т. ч. международных), работе над профессиональными проектами различного уровня (регионального, всероссийского, международного) и др.;

– циклы мероприятий, направленных на подготовку обучающихся к осознанному планированию своей карьеры, профессионального будущего (посещения центра содействия профессиональному трудоустройству выпускников, профессиональных выставок, ярмарок вакансий, дней открытых дверей на предприятиях и др.);

– экскурсии (на предприятия, в организации), дающие углублённые представления о выбранной специальности и условиях работы;

– организацию мероприятий, посвященных истории организаций/предприятий-партнёров; встреч с представителями коллективов, с работниками-стажистами, представителями трудовых династий, авторитетными специалистами, героями и ветеранами труда, представителями профессиональных династий;

– использование обучающимися интернет-ресурсов, способствующих более глубокому изучению отраслевых технологий, способов и приёмов профессиональной деятельности, профессионального инструментария, актуального состояния профессиональной области; онлайн курсов по интересующим темам и направлениям профессионального образования;

– консультирование обучающихся по вопросам построения ими профессиональной карьеры и планов на будущую жизнь с учётом индивидуальных особенностей, интересов, потребностей;

– проведение тренингов, нацеленных на формирование рефлексивной культуры, совершенствование умений в области анализа и оценки результатов деятельности.

Дополнительные модули

Модуль «Воспитание здорового образа жизни»

Реализация воспитательного потенциала работы по созданию условий для сохранения, укрепления и развития духовного, эмоционального, интеллектуального, личностного и физического здоровья обучающихся предусматривает:

– воспитание здоровой личности, формирование способности ставить цели и строить жизненные планы;

– формирование у обучающихся ответственного отношения к своему здоровью и потребности в здоровом образе жизни, физическом самосовершенствовании, занятиях спортивно-оздоровительной деятельностью, развитие культуры безопасной жизнедеятельности, профилактику наркотической и алкогольной зависимости, табакокурения и других вредных привычек;

– формирование бережного, ответственного и компетентного отношения к физическому и психологическому здоровью – как собственному, так и других людей, развитие культуры здорового питания.

Модуль «Художественно-эстетическое воспитание»

Реализация воспитательного потенциала работы по формированию культурно-эстетических взглядов, нравственных принципов обучающихся, повышению общего уровня культуры, формированию способности воспринимать и понимать произведения искусства во взаимосвязи с окружающим миром предусматривает:

– воспитание эстетического отношения к миру, включая эстетику быта, научного и технического творчества, спорта, общественных отношений;

– формирование способности к общему развитию, реализации творческого потенциала в учебной, профессиональной деятельности, самовоспитания и универсальной духовно-нравственной компетенции – «становиться лучше»;

– формирование чувства любви к Родине на основе изучения культурного наследия многонационального народа России;

– формирование художественно-эстетического мировоззрения, основанного на диалоге культур.

Модуль «Экологическое воспитание»

Реализация воспитательного потенциала работы по формированию экологической культуры, содействию сохранению окружающей среды, ресурсосбережению, воспитанию и развитию у обучающихся любви к окружающей природе предусматривает:

– развитие у обучающихся экологической культуры, бережного отношения к родной земле, природным богатствам России и мира, понимание влияния социально-экономических процессов на состояние природной и социальной среды;

– воспитание чувства ответственности за состояние природных ресурсов, формирование умений и навыков разумного природопользования, нетерпимого отношения к действиям, приносящим вред экологии; приобретение опыта эколого-направленной деятельности.

Модуль «Волонтерское движение»

Реализация воспитательного потенциала работы по формированию готовности к добровольчеству (волонтёрству) предусматривает:

– развитие навыков волонтерской деятельности через участие в подготовке и проведении социально-значимых мероприятий;

– развитие мотивации к активному и ответственному участию в общественной жизни страны, региона, университета, государственному управлению через организацию добровольческой деятельности;

– развитие способностей к сопереживанию и формированию позитивного отношения к людям, в том числе к лицам с инвалидностью и ограниченными возможностями здоровья;

– развитие компетенций сотрудничества со сверстниками, детьми младшего возраста, взрослыми в образовательной, общественно полезной, учебно-исследовательской, проектной и других видах деятельности.

РАЗДЕЛ 3. ОРГАНИЗАЦИОННЫЙ

3.1 Кадровое обеспечение

Реализация рабочей программы воспитания осуществляется квалифицированными специалистами университета, в частности Управления по внеучебной и социальной работе, которое несёт ответственность за организацию воспитательной работы в университете; Студенческого культурного центра, Студенческого спортивного клуба «Горная машина», Студенческого центра патриотического воспитания «Святогор», Волонтерского центра УГГУ, которые проводят с обучающимися мероприятия воспитательного характера; психолого-педагогической службы, кураторами, педагогом-психологом, преподавателями, функционал которых регламентируется требованиями профессиональных стандартов, должностными инструкциями и иными нормативными документами.

3.2 Нормативно-методическое обеспечение

Нормативно-методическое обеспечение воспитательной деятельности осуществляется следующим образом: воспитательная деятельность ведется в соответствии с нормативно-правовыми документами федеральных органов исполнительной власти в сфере образования, требованиями федеральных государственных образовательных стандартов, Уставом университета и локальными актами университета с учетом сложившегося опыта воспитательной деятельности, и имеющимися ресурсами в университете.

3.3 Требования к условиям работы с обучающимися с особыми образовательными потребностями

В воспитательной работе с категориями обучающихся, имеющих особые образовательные потребности: обучающиеся с инвалидностью, ограниченными возможностями здоровья, из социально уязвимых групп (воспитанники детских домов, обучающиеся из семей мигрантов, билингвы и др.), одарённые, с отклоняющимся поведением, создаются особые условия.

В системе организации воспитательной деятельности с категориями обучающихся, имеющих особые образовательные потребности, устанавливаются сотрудничество препо-

давателей, кураторов, педагогов-психологов, родителей (законных представителей) обучающихся с целью устранения нарушенных функций, развития функциональных систем обучающихся, коррекции поведения, формирования социально-значимых качеств.

При организации воспитательного пространства создаются благоприятные условия для развития социально значимых отношений обучающихся, и, прежде всего, ценностных отношений к семье, труду, своему отечеству, своей малой и большой Родине, природе, миру, знаниям, культуре, здоровью, окружающим людям, к самим.

Формирование доброжелательного отношения к обучающимся, имеющим особые образовательные потребности и их семьям со стороны всех участников образовательных отношений, а также индивидуальный подход позволяет получить им необходимые социальные навыки, знания и умения необходимые для дальнейшей профессиональной деятельности.

При организации воспитания обучающихся с особыми образовательными потребностями осуществляется ориентация на:

– налаживание эмоционально-положительного взаимодействия с окружающими для их успешной социальной адаптации и интеграции как в университете, так и в профессиональной деятельности;

– формирование доброжелательного отношения к обучающимся и их семьям со стороны всех участников образовательных отношений;

– построение воспитательной деятельности с учётом индивидуальных особенностей и возможностей каждого обучающегося;

– обеспечение психолого-педагогической поддержки семей обучающихся, содействие повышению уровня их педагогической, психологической, социальной компетентности;

– формирование личности обучающегося с особыми образовательными потребностями с использованием адекватных физическому и психическому состоянию методов воспитания;

– создание оптимальных условий совместного воспитания и обучения обучающихся с особыми образовательными потребностями и их сверстников, с использованием адекватных вспомогательных средств и педагогических приёмов, организацией совместных форм работы с педагогом-психологом и другими специалистами университета;

– личностно-ориентированный подход в организации всех видов деятельности обучающихся с особыми образовательными потребностями.

3.4 Система поощрения профессиональной успешности и проявлений активной жизненной позиции обучающихся

Поощрение профессиональной успешности и проявлений активной жизненной позиции обучающихся осуществляется следующим образом:

– выплачивается повышенная государственная академическая стипендия;

– предоставляются путевки на летний отдых и оздоровление;

– представляются кандидатуры обучающихся на стипендию Правительства Российской Федерации;

– представляются кандидатуры обучающихся на стипендию Губернатора Свердловской области;

– вручаются благодарственные письма, письма участников.

Основания для поощрения обучающихся:

– успехи в учебной деятельности;

– успехи научной деятельности;

– успехи в культурно-творческой деятельности;

– успехи в общественной деятельности;

– успехи в физкультурной деятельности;

– победы в конкурсах, олимпиадах, фестивалях, соревнованиях различного уровня;

– активное участие в культурно-массовых мероприятиях на уровне университета, округа, региона, Российской Федерации, на международном уровне;

– спортивные достижения на различных уровнях.

3.5 Анализ воспитательного процесса

Основные направления анализа воспитательного процесса:

3.5.1 Анализ условий воспитательной деятельности

Анализ воспитательной деятельности проводится по следующим позициям:

– кадровое обеспечение воспитательной деятельности (наличие специалистов, прохождение курсов повышения квалификации);

– наличие и количество студенческих объединений, клубов, предметных кружков, кружков технического творчества, спортивных секций и кружков;

– количество социальных партнеров, вовлечённых в воспитательную деятельность (предприятия, учреждения культуры, здравоохранения, правоохранительные органы, образовательные организации др.);

– участие педагогических работников университета в конкурсах, семинарах, конференциях, вебинарах по направлениям воспитательной деятельности;

– оформление предметно-пространственной среды университета.

3.5.2 Анализ состояния воспитательной деятельности

Анализ состояния воспитательной деятельности проводится по следующим позициям:

– проводимые в университете дела и реализованные проекты;

– уровень вовлеченности обучающихся в проекты и мероприятия на уровне университета, районном, городском, региональном и федеральном уровнях;

– включенность обучающихся и преподавателей в деятельность различных объединений;

– участие обучающихся в конкурсах различного уровня и направленности;

– профессионально-личностное развитие обучающихся (анализ портфолио);

– снижение негативных факторов (уменьшение числа обучающихся, состоящих на различных видах профилактического учета/контроля, снижение/отсутствие совершенных правонарушений и преступлений).

Основным способом получения информации являются: педагогическое наблюдение, анкетирование, тестирование, беседы с обучающимися и их родителями (законными представителями), педагогическими работниками, представителями студенческого совета.

Анализ проводится проректором по молодежной политике и развитию образования, начальником управления по внеучебной и социальной работе, педагогом-психологом, кураторами академических групп.

Итогом самоанализа является перечень выявленных проблем, над решением которых предстоит работать коллективу университета.

Приложение к рабочей программе воспитания

МИНОБРНАУКИ РОССИИ

ФГБОУ ВО «Уральский государственный горный университет»

УТВЕРЖДАЮ
Проректор по молодежной политике и развитию образования
_____А. В. Легостев

14.11.2024

КАЛЕНДАРНЫЙ ПЛАН ВОСПИТАТЕЛЬНОЙ РАБОТЫ
на 2024-2025 учебный год

В ходе планирования воспитательной деятельности университет учитывает воспитательный потенциал участия обучающихся в мероприятиях, проектах, конкурсах, акциях, проводимых на уровне:

Российской Федерации, в том числе:

«
Р «Большая перемена» https://bolshayaperemena.online/;
о «Лидеры России» https://лидерыроссии.рф/;
с «Мы Вместе» (волонтерство) https://onf.ru;
с отраслевые конкурсы профессионального мастерства;
и движения «Ворлдскиллс Россия»;
я движения «Абилимпикс»;

субъектов Российской Федерации, а также **отраслевые профессионально значимые события и праздники.**

№	Модуль	Курсы, группы	Сроки	Ответственные
	1. Образовательная деятельность			
1	Дисциплина «Основы российской государственности	I,II,III	01.09.2024-31.05.2025	Зубов В. В.
	2. Кураторство			
1	Воспитательное мероприятие «Час куратора»	I	01.09.2024-31.05.2025	Шехтман Д. А.
	3. Наставничество			
1	Подготовка и проведение адаптационного мероприятия «Неделя первокурсника 2024»	I	30.08.2024 - 04.09.2024	Шехтман Д. А.
	4. Основные воспитательные мероприятия			
1	Презентация студенческих общественных, спортивных, научных, творческих объединений	I	30.08.2024-04.09.2024	Шехтман Д. А.
2	Профориентационные мероприятия для студентов I курса	I	12.08.2024-17.08.2024	Коновалов П. А.
3	Спортивно-массовое мероприятие «Неделя футбола» и межнациональный футбольный турнир к Дню народного единства	I-V	01.11.2024-05.11.2024	Сухомлин С. Д.
4	Культурно-массовое мероприятие «Новогодний ректорский прием»	I-V	23.12.2024	Нижников Е. В.
5	Празднование дня Российского студенчества, Молебен святой мученице Татьяне	I-V	25.01.2025	Бачинин И. В.
6	Организация игры «Патриот»	I-V	19.02.2025-23.02.2025	Комаров А. А.
7	Праздничный концерт «День защитника отечества»	I-V	22.02.2025	Нижников Е. В.
8	Праздничный концерт «Международный женский день»	I-V	07.03.2025	Нижников Е. В.

9	Участие в первомайской демонстрации	I-V	01.05.2025	Коновалов П. А.
10	Патриотическая акция «Бессмертный полк Горного»	I-V	08.05.2025	Комаров А. А.
11	Праздничные мероприятия, посвященные 80 годовщине Победы в ВОВ	I-V	09.05.2025	Нижников Е. В.
12	Легкоатлетическая эстафета «Горняк»	I-V	17.05.2025	Сидоров С. Г.
	5. Организация предметно-пространственной среды			
13	Оформление и обновление новостных стендов	I-V	01.09.2024-30.05.2025	Пономарева Т. В.
14	Популяризация символики образовательной организации	I-V	01.09.2024-10.11.2024	Пономарева Т. В.
15	Подготовка и обновление тематических экспозиций в библиотеке университета	I-V	01.09.2024-30.05.2025	Справцева Е. А.
16	Разработка и реализация коворкинг зон для студентов	I-V	01.09.2024-30.05.2025	Коновалов П. А.
17	Оформление зданий университета, холлов, с использованием государственной символики России	I-V	10.09.2024	Комаров А. А.
	6. Взаимодействие с родителями (законными представителями)			
18	Деятельность Службы примирения университета и работа с конфликтными ситуациями	I-V	01.09.2024 – 30.05.2025	Первушина А. А.
	7. Самоуправление			
19	Обучающие мероприятия для студенческого актива УГГУ	I-V	01.09.2024-20.11.2024	Шехтман Д. А.
20	Обучающие мероприятия для активистов организационно-массовой комиссии ПСО УГГУ	I-V	14.09.2024-16.09.2024	Коновалов П. А.
21	Отчетно – выборные конференции профбюро факультетов	I-V	10.10.2024-25.10.2024	Коновалов П. А.
22	Проведение мероприятия среди студенческой молодёжи, направленного на повышение уровня медиа грамотности "Медиадиктант"	I-V	18.10.2024	Пономарева Т. В.
23	Обучающее мероприятие «ПРОФшкола Горно-механического факультета»	I-V	08.11.2024-12.11.2024	Коновалов П. А.
24	Обучающие мероприятия для активистов ФГХ	I-V	08.11.2024-12.11.2024	Коновалов П. А.
25	Интеллектуальная игра для обучающихся УГГУ «Интуиция»	I-V	10.11.2024	Коновалов П. А.

26	Интеллектуальная игра для обучающихся УГГУ «Квиз-турнир»	I-V	16.12.2024	Коновалов П. А.
27	Новогодняя студенческая елка «Елка желаний»	I-V	24.12.2024	Коновалов П. А.
28	Традиционная новогодняя лотерея среди членов профсоюза	I-V	25.12.2024	Коновалов П. А.
29	Культурно-массовое мероприятие для обучающихся УГГУ «Турнир по киберспорту»	I-V	25.12.2024	Коновалов П. А.
30	Образовательный проект «MediaLife»	I-V	10.01.2025–28.03.2025	Сухомлин С. Д.
31	Интеллектуальная онлайн игра «Что? Где? Когда?», посвященная Всероссийскому дню студента	I-V	25.01.2025	Коновалов П. А.
32	Встреча ректора университета со студенческим активом	I-V	25.01.2025	Шехтман Д. А.
33	Традиционное исполнение студенческих желаний ректором УГГУ А.В. Душиным	I-V	25.01.2025	Шехтман Д. А.
34	Образовательный проект АССК.про	I-V	15.02.2025-01.04.2025	Сухомлин С. Д.
35	Образовательный проект «GM School» для студентов и активистов УГГУ	I-V	04.04.2025-08.04.2025	Сухомлин С. Д.
36	Очный этап образовательного проекта АССК.про	I-V	01.05.2025-30.05.2025	Сухомлин С. Д.
	8. Профилактика и безопасность			
37	Подготовка к социально-психологическому тестированию (сбор сведений, проверка технических возможностей)	I-V	01.08.2024-31.08.2024	Первушина А. А.
38	Размещение информационных материалов по вопросам антитеррористической защищённости	I-V	01.09.2024-25.12.2024	Волков С. А., Пономарева Т. В.
39	Профилактика деструктивных явлений в студенческой среде (подготовка и размещение публикаций на сайте ФГХ, в сообществе «Педагог-психолог УГГУ» и подготовка информационных листов-вкладышей)	I-V	01.09.2024-25.12.2024	Первушина А.А.
40	Подготовка к социально-психологическому тестированию	I-V	01.09.2024-30.09.2024	Первушина А .А.

	(подготовка списков, генерация паролей, информационная кампания)			
41	Размещение информационных материалов об антикоррупционных мероприятиях и нормативной базе в сфере противодействия коррупции	I-V	01.09.2024-25.12.2024	Волков С. А., Пономарева Т. В.
42	Патриотическая акция, посвященная Дню солидарности в борьбе с терроризмом	I-V	03.09.2024	Старостин А. Н. Суслонов П. Е
43	Проведение социально-психологического тестирования	I-V	01.10.2024-30.10.2024	Первушина А. А.
44	Основы безопасного общения и способы защиты от негативного влияния со стороны лиц и групп деструктивной и экстремистской направленности (беседа-тренинг с обучающимися)	I-V	01.10.2024-30.10.2024	Старостин А. Н. Суслонов П. Е
45	Подготовка документации по итогам социально-психологического тестирования	I-V	01.11.2024-30.11.2024	Первушина А. А.
46	Разговор на равных (Тема: профилактика межнациональных и межконфессиональных конфликтов)	I-V	12.11.2024	Старостин А. Н.
47	Организация процедуры получения результатов социально-психологического тестирования и подготовка плана работы с лицами «группы риска»	I-V	01.12.2024-30.12.2024	Первушина А. А.
48	Профилактика деструктивных явлений в период сессии: публикация «От сессии до сессии… Продолжение»	I-V	10.01.2025	Первушина А. А.
49	Профилактика деструктивных явлений в студенческой среде: публикации информационно-просветительского, профилактического характера на психологическую тематику: «Моя свобода и/или свобода другого?» (профилактика буллинга/кибербуллинга)	I-V	01.03.2025-31.03.2025	Первушина А. А.

50	Профилактика деструктивных явлений в студенческой среде: публикации информационно-просветительского, профилактического характера на психологическую тематику: «Кому выгодно кормить наше ЭГО?» (профилактика правонарушений и экстремистских проявлений)	I-V	01.04.2025-30.04.2025	Первушина А. А.
	9. Социальное партнёрство и участие работодателей			
51	Уральский горнопромышленный форум	I-V	01.10.2024-31.10.2024	Костюк П. А.
52	Экскурсионные мероприятия (Альфа-банк)	I-V	04.12.2024	Коновалов П. А.
53	VIII Международный инженерный чемпионат Case-in	I-V	01.03.2025-31.03.2025	Костюк П. А.
54	Экскурсионные мероприятия (Екатеринбургский метрополитен)	I-V	29.03.2025	Коновалов П. А., Коренькова М. А.
55	Всероссийский фестиваль по робототехнике	I-V	01.04.2025-30.04.2025	Кухарева А. А.
56	Ярмарка студентов	I-V	20.04.2025	Коренькова М. А.
57	Уральская горнопромышленная декада	I-V	01.05.2025-30.05.2025	Валиев Н. Г. Лебзин М. С.
	10. Профессиональное развитие, адаптация и трудоустройство			
58	Профориентационные презентации для абитуриентов	I-V	01.09.2024-25.12.2024	Кухарева А. А.
59	Экскурсии по УГГУ для абитуриентов	I-V	01.09.2024-25.12.2024	Кухарева А. А.
60	Культурно-массовое мероприятие «Межвузовский Since-Slame»	I-V	02.11.2024-03.11.2024	Шехтман Д. А.
61	День памяти погибших при исполнении служебных обязанностей сотрудников органов внутренних дел	I-V	08.11.2024	Мальцев Н. В.
62	Культурно-массовое мероприятие «Экскурсия в Уральский геологический музей»	I-V	17.11.2024	Иванова Н. С.
63	Отборочный этап студенческих проектов «Проектный конвейер»	I-V	19.11.2024	Шехтман Д. А.
64	Лекция от приглашенного спикера для обучающихся о развитии личностных качеств	I-V	24.11.2024	Коновалов П. А.
65	День юриста	I-V	03.12.2024	Мальцев Н. В.

66	Тематическая выставка «Пожарное и спасательное дело в России»	I-V	09.01.2025-31.01.2025	Справцева Е. А.
67	Конкурс профессионального мастерства «Студенческий лидер УГГУ»	I-V	25.03.2025	Коновалов П. А.
68	День открытых дверей УГГУ	I-V	26.03.2025	Гензель О. В.
69	Организация и проведение мероприятия «Встреча выпускников всех поколений и День геолога»	I-V	01.04.2025-30.04.2025	Нижников Е. В.
70	Тематическая выставка «Нефтегазовая отрасль – поле для инноваций»	I-V	01.04.2025-15.04.2025	Справцева Е. А.
71	Поход студентов геологов «Тур де ФГиГ»	I-V	04.05.2025	Коновалов П. А.
72	Организация и проведение мероприятия «Торжественное вручение дипломов выпускникам УГГУ»	I-V	01.07.2025-10.07.2025	Нижников Е. В.
	11. Воспитание здорового образа жизни			
73	Проект «Уральская студенческая баскетбольная лига»	I-V	01.09.2024-25.12.2024	Сухомлин С. Д.
74	Психологическое консультирование	I-V	01.09.2024-25.06.2025	Первушина А. А.
75	Спортивно-массовое мероприятие «Турнир по Пейнтболу среди обучающихся УГГУ»	I-V	20.09.2024-24.09.2024	Сухомлин С. Д.
76	Осенний турслет	I-V	24.09.2024-26.09.2024	Комаров А. А.
77	Чемпионат УГГУ по стрельбе «Меткий стрелок»	I-V	25.10.2024-31.10.2024	Комаров А. А.
78	Спортивно-массовое мероприятие «День Рождение ССК УГГУ «Горная Машина»	I-V	07.11.2024	Сухомлин С. Д.
79	Профилактическое мероприятие «Экспресс-тестирование на ВИЧ»	I-V	18.11.2024-19.11.2024	Медянникова Н. Г.
80	Спортивно-массовое мероприятие для обучающихся УГГУ «Неделя баскетбола»	I-V	13.12.2024-20.12.2024	Сухомлин С. Д.
81	Студенческий спортивный баттл	I-V	17.12.2024	Сухомлин С. Д
82	Фестиваль зимних видов спорта, посвященный Всемирному дню снега	I-V	15.01.2025-16.01.2025	Сухомлин С. Д.
83	Внутривузовский отборочный этап чемпионата АССК России по 5-и видам спорта	I-V	15.02.2025–01.03.2025	Сухомлин С. Д.

84	Спортивно-массовое мероприятие Турнир по страйкболу среди факультетов УГГУ, посвященный 23 февраля	I-V	21.02.2025	Коновалов П. А.
85	Спортивный турнир среди женских команд факультетов УГГУ, посвященный «Международному женскому дню»	I-V	04.03.2025	Коновалов П. А.
86	Проект «От Студзачета к знаку отличия ГТО»	I-V	14.03.2025-21.03.2025	Сухомлин С. Д.
87	Ежегодная спартакиада общежитий УГГУ по баскетболу	I-V	15.03.2025	Коновалов П. А.
88	Профилактическое мероприятие для обучающихся УГГУ «Экспресс-тестирование на ВИЧ»	I-V	16.03.2025	Медянникова Н. Г.
89	Ежегодная спартакиада общежитий УГГУ по настольному теннису	I-V	16.03.2025	Коновалов П. А.
90	Ежегодная спартакиада общежитий УГГУ по стрельбе из пневматического ружья	I-V	17.03.2025	Коновалов П. А.
91	Спортивное мероприятие туристического клуба «Скалы Петра Гронского»	I-V	19.03.2025	Комаров А. А.
92	Ежегодная спартакиада общежитий УГГУ по минифутболу	I-V	22.03.2025	Коновалов П. А.
93	Ежегодная спартакиада общежитий УГГУ по волейболу	I-V	23.03.2025	Коновалов П. А.
94	Ежегодная спартакиада общежитий УГГУ по шахматам	I-V	24.03.2025	Коновалов П. А.
95	Оценка уровня информированности и отношение к проблеме эпидемии ВИЧ-инфекции среди студентов	I-V	01.04.2025-30.04.2025	Медянникова Н. Г.
96	Поход туристического клуба «Авантюрин» - «Покорение скал»	I-V	02.04.2025-03.04.2025	Комаров А. А.
97	Мероприятие, приуроченное к Всемирному дню здоровья	I-V	07.04.2025	Коновалов П. А.
98	Профилактическая акция для обучающихся УГГУ «Что выберешь ты?»	I-V	14.04.2025	Коновалов П. А.
99	Фестиваль летних уличных видов спорта «Горный X-games»	I-V	06.06.2025	Сухомлин С. Д.
	12. Художественно-эстетическое воспитание			

100	Культурно-массовое мероприятие «День знаний»	I-V	01.09.2024	Нижников Е. В
101	Участие университетской команды КВН в центральной/официальной лиге МС КВН (полуфинал)	I-V	01.09.2024 30.10.2024	Нижников Е. В
102	Участие коллектива УГГУ «ГрандMajor» в Международном фестивале по «Мажореткам»	I-V	01.10.2024-30.10.2024	Нижников Е. В.
103	Культурно-массовое мероприятие для обучающихся УГГУ «Литературный вечер»	I-V	07.10.2024	Коновалов П. А.
104	Культурно-массовое мероприятие «День культуры африканских стран»	I-V	12.10.2024	Иванова Н. С.
105	Культурно-массовое мероприятие для обучающихся УГГУ – Флешмоб, посвященный Дню первокурсника	I-V	14.10.2024-21.10.2024	Коновалов П. А.
106	Культурно-массовое мероприятие Смотр Художественной Самодеятельности для обучающихся первого курса	I-V	20.10.2024	Коновалов П. А.
107	Культурно-массовое мероприятие «День первокурсника»	I-V	21.10.2024	Нижников Е. В.
108	Международная просветительская акция «Большой этнографический диктант»	I-V	01.11.2024-30.11.2024	Старостин А. Н., Суслонов П. Е.
109	Участие университетской команды КВН в центральной/официальной лиге МС КВН (финал)	I-V	01.11.2024-30.11.2024	Нижников Е. В.
110	Фестиваль команд КВН «Уральские горы юмора»	I-V	25.11.2024	Нижников Е. В.
111	Культурно-массовое мероприятие для обучающихся УГГУ «Зимний бал 2024»	I-V	23.12.2024	Коновалов П. А.
112	Культурно-массовое мероприятие «Новый Год для детей работников УГГУ»	I-V	23.12.2024	Шехтман Д. А.
113	Культурно-массовое мероприятие «Новый год для иностранных студентов УГГУ». Конкурс рассказов о национальных новогодних традициях	I-V	24.12.2024	Иванова Н. С.
114	Конкурс красоты «Мисс и Мистер УГГУ-2025»	I-V	24.03.2025	Нижников Е. В.
115	Культурно-массовое мероприятие для обучающихся	I-V	21.04.2025	Коновалов П. А.

	УГГУ «Смотр художественной самодеятельности»			
116	Отчетный концерт студенческого культурного центра	I-V	26.05.2025	Нижников Е. В.
	13. Экологическое воспитание			
117	Экологическая акция по сбору отработанных батареек и пластиковых крышечек	I-V	01.09.2024-30.09.2024	Ершова А. А.
118	Реализация проекта «Экодворы» с Всероссийским экологическим движением «Делай!»	I-V	01.09.2024-30.12.2024	Ершова А. А.
119	Проведение субботников, совместно с Всероссийским экологическим движением «Делай!»	I-V	20.09.2024-20.10.2024	Ершова А. А.
120	Посадки саженцев деревьев с Всероссийским экологическим движением «Делай!»	I-V	20.09.2024-20.11.2024	Ершова А. А.
121	Экологические занятия в школах г. Екатеринбург	I-V	01.01.2025-30.04.2025	Ершова А. А.
122	Выезд эковолонтеров университета ИЭФ-TRIP “Источники”	I-V	17.02.2025	Коновалов П. А.
123	Проведение субботников, совместно с Всероссийским экологическим движением «Делай!»	I-V	01.04.2025-30.04.2025	Ершова А. А.
124	Выезд эковолонтеров университета ИЭФ-TRIP «Челябинская область»	I-V	11.05.2025	Коновалов П. А.
	14. Волонтерское движение			
125	Ежегодная благотворительная акция «Полезная макулатура»	I-V	01.11.2024-01.12.2024	Коновалов П. А., Ершова А. А.
126	День добровольца (волонтера) в России	I-V	05.12.2024	Ершова А. А.
127	Акция, приуроченная к национальному дню донора в России	I-V	26.04.2025	Коновалов П. А.
128	Посещение волонтерами ветеранов ВОВ и тружеников тыла, приуроченное ко «Дню Победы»	I-V	02.05.2025-11.05.2025	Ершова А. А.

МИНОБРНАУКИ РОССИИ

ФГБОУ ВО «Уральский государственный горный университет»

УТВЕРЖДАЮ
Проректор по учебно-методическому комплексу_____С.А.Упоров

ПРОГРАММА ГОСУДАРСТВЕННОЙ ИТОГОВОЙ АТТЕСТАЦИИ

Специальность
21.05.02 *Прикладная геология*

Специализация
Геологическая съемка, поиски и разведка месторождений твердых полезных ископаемых

год набора: 2024

Автор: Душин В.А., профессор, д.г.м.-н., Хасанова Г. Г., доцент, к.г.-м.н.

Одобрена на заседании кафедры	Рассмотрена методической комиссией факультета
Геологии, поисков и разведки МПИ	Геологии и геофизики
(название кафедры)	*(название факультета)*
Зав.кафедрой _____	Председатель _____
(подпись)	*(подпись)*
Душин В.А.	Вандышева К.В.
(Фамилия И.О.)	*(Фамилия И.О.)*
Протокол № 1 от 26.09.2023	Протокол № 2 от 13.10.2023
(Дата)	*(Дата)*

Екатеринбург

СОДЕРЖАНИЕ

ВВЕДЕНИЕ
1 МЕТОДИЧЕСКИЕ РЕКОМЕНДАЦИИ ПО ВЫПОЛНЕНИЮ ВЫПУСКНОЙ КВАЛИФИКАЦИОННОЙ РАБОТЫ 3
1.1 Требования к выпускной квалификационной работе
1.2 Порядок выполнения выпускной квалификационной работы

2 КРИТЕРИИ ОЦЕНКИ РЕЗУЛЬТАТОВ ВЫПОЛНЕНИЯ И ЗАЩИТЫ ВЫПУСКНОЙ КВАЛИФИКАЦИОННОЙ РАБОТЫ 16

3 ОЦЕНОЧНЫЕ МАТЕРИАЛЫ 18
3.1 Тематика выпускных квалификационных работ
3.2 Теоретические вопросы государственной итоговой аттестации, оценивающие сформированность общекультурных компетенций
3.3 Теоретические вопросы государственной итоговой аттестации, оценивающие сформированность общепрофессиональных компетенций

ПРИЛОЖЕНИЯ 20

ВВЕДЕНИЕ

Программа государственной итоговой аттестации по основной профессиональной образовательной программе по специальности 21.05.02 Прикладная геология, специализация «Геологическая съемка, поиски и разведка месторождений твердых полезных ископаемых» составлена в соответствии с требованиями:

- Порядка проведения государственной итоговой аттестации по образовательным программам высшего образования – программам бакалавриата, программам специалитета и программам магистратуры, утвержденного приказом Министерства образования и науки Российской Федерации от 29.06.2015 № 636;
- Федерального государственного образовательного стандарта - специалитет по специальности 21.05.02 Прикладная геология, утвержденного приказом Министерства науки и высшего образования РФ от 12.08.2020 № 953 - локальных нормативных актов университета, регламентирующих порядок проведения государственной итоговой аттестации;
- локальных нормативных актов университета, регламентирующих порядок проведения государственной итоговой аттестации.

Программа государственной итоговой аттестации включает:

I. Требования к выпускным квалификационным работам и порядку их выполнения (методические рекомендации по выполнению выпускных квалификационных работ);

II. Критерии оценки защиты выпускных квалификационных работ;

III. Оценочные материалы.

IV. Приложения

I МЕТОДИЧЕСКИЕ РЕКОМЕНДАЦИИ ПО ВЫПОЛНЕНИЮ ВЫПУСКНОЙ КВАЛИФИКАЦИОННОЙ РАБОТЫ

1.1 ТРЕБОВАНИЯ К ВЫПУСКНОЙ КВАЛИФИКАЦИОННОЙ РАБОТЕ

1.1.1 Общие положения

Государственная итоговая аттестация представляет собой процесс итоговой проверки и оценки компетенций выпускника, полученных в результате обучения. Государственная итоговая аттестация выпускника высшего учебного заведения является обязательной и осуществляется после освоения образовательной программы в полном объеме. Цель итоговой государственной аттестации выпускников – установление уровня готовности выпускника к выполнению профессиональных задач.

Государственная итоговая аттестации выпускников, завершивших освоение основной профессиональной образовательной программы по специальности 21.05.02 Прикладная геология, специализация «Геологическая съемка, поиски и разведка месторождений твердых полезных ископаемых» осуществляется в форме подготовки к процедуре защиты и защиты выпускной квалификационной работы.

Трудоемкость государственной итоговой аттестации – 15 з.е.:

- выполнение, подготовка к процедуре защиты выпускной квалификационной работы – 12 з.е.;
- защита выпускной квалификационной работы – 3 з.е.

Трудоемкость государственной итоговой аттестации				
кол-во з.е.	часы			
	общая	контактная работа	СР	
12	432	35	397	Выполнение, подготовка к процедуре защиты выпускной квалификационной работы

3	108		108	Защита выпускной квалификационной работы

1.1.2 Цели и задачи выпускной квалификационной работы

Цель выполнения выпускной квалификационной работы (далее – ВКР):

систематизация, закрепление и расширение теоретических и практических знаний по направлению специальности и применение этих знаний при решении конкретных профессиональных задач;

развитие навыков ведения самостоятельной работы и применения методик исследования и экспериментирования при решении разрабатываемых в выпускной квалификационной работе проблем и вопросов;

выяснение подготовленности обучающихся для самостоятельной работы по задачам профессиональной деятельности, определенных федеральным государственным образовательным стандартом (далее - ФГОС) специальности.

Выпускная квалификационная работа выполняется, как правило, на материалах организаций (баз практики) с учетом проблем, требующих решения в данной организации.

Основными задачами, которые должен решить обучающийся при выполнении выпускной квалификационной работы являются:

обоснование актуальности и значимости выбранной темы работы с точки зрения теории и практики управления деятельностью предприятия, составление программы исследования;

изучение теоретических положений по проблеме, составление литературного обзора по проблеме исследования;

обоснование необходимости и возможности применения определенных современных методик принятия управленческих решений по задачам, поставленным в работе;

сбор необходимой для проведения исследования информации с привлечением первичных и вторичных источников и использованием адекватных методов;

разработка практических рекомендаций и предложений, их экономическое и организационное обоснование, необходимое и достаточное для решаемой задачи;

обобщение результатов проведенных исследований, формулирование выводов о степени достижения целей, поставленных в работе, и возможности практического применения предложенных разработок;

оформление ВКР в соответствии с нормативными требованиями.

В ходе государственной итоговой аттестации проверяется сформированность следующих компетенций:

универсальных

Код и наименование компетенции	*Код и наименование индикатора достижения компетенции*
УК-1. Способен осуществлять критический анализ проблемных ситуаций на основе системного подхода, вырабатывать стратегию действий	УК-1.1 Выбирает информационные ресурсы для поиска информации в соответствии с поставленной задачей УК-1.2 Оценивает соответствие выбранного информационного ресурса критериям полноты и аутентичности УК-1.3 Систематизирует обнаруженную информацию, полученную из разных источников, в соответствии с требованиями и условиями задачи УК-1.4 Использует системный подход для решения поставленных задач.
УК-2. Способен управлять проектом на всех этапах его жизненного цикла	УК-2.1 Формулирует цели, задачи, обосновывает актуальность, значимость проекта при разработке его концепции в рамках выявленной проблемы; оценивает ожидаемые результаты и области их применения. УК-2.2 Предлагает процедуры и механизмы внедрения стандартов, исходя из действующих правовых норм, организации информационного обеспечения в сфере проектного управления для повышения эффективности его осуществления.
УК-3. Способен организовывать и руководить работой команды, вырабатывая командную стратегию для достижения	УК-3.1 Взаимодействует с другими членами команды для достижения поставленной задачи УК-3.2 Выбирает стратегии поведения в команде в зависимости от

поставленной цели	условий
УК-4. Способен применять современные коммуникативные технологии, в том числе на иностранном(ых) языке(ах), для академического и профессионального взаимодействия	УК-4.1 Ведет обмен деловой информацией в устной и письменной формах на государственном языке. УК-4.2 Ведет обмен деловой информацией в устной и письменной формах не менее чем на одном иностранном языке. УК-4.3 Использует современные информационно-коммуникативные средства для коммуникации.
УК-5. Способен анализировать и учитывать разнообразие культур в процессе межкультурного взаимодействия	УК-5.1 Толерантно воспринимает социальные, этнические, конфессиональные и культурные различия УК-5.2 Анализирует современное состояние общества на основе знания истории. УК-5.3 Интерпретирует проблемы современности с позиций этики и философских знаний.
УК-6. Способен определять и реализовывать приоритеты собственной деятельности и способы ее совершенствования на основе самооценки и образования в течение всей жизни	УК-6.1 Эффективно планирует собственное время. УК-6.2 Планирует траекторию своего профессионального развития и предпринимает шаги по ее реализации УК-6.3 Адекватно определяет свою самооценку, осуществляет самопрезентацию, составляет резюме
УК-7. Способен поддерживать должный уровень физической подготовленности для обеспечения полноценной социальной и профессиональной деятельности	УК-7.1 Использует основы физической культуры для осознанного выбора здоровьесберегающих технологий с учетом внутренних и внешних условий реализации конкретной профессиональной деятельности. УК-7.2 Выполняет индивидуально подобранные комплексы оздоровительной или адаптивной физической культуры. УК-7.3 Выбирает и применяет рациональные способы и приемы сохранения физического здоровья, профилактики заболеваний, психофизического и нервно-эмоционального утомления
УК-8. Способен создавать и поддерживать в повседневной жизни и в профессиональной деятельности безопасные условия жизнедеятельности для сохранения природной среды, обеспечения устойчивого развития общества, в том числе при угрозе и возникновении чрезвычайных ситуаций и военных конфликтов	УК-8.1 Выявляет возможные угрозы для жизни и здоровья в повседневной и профессиональной деятельности. УК-8.2 Понимает, как создавать и поддерживать безопасные условия жизнедеятельности, том числе при возникновении чрезвычайных ситуаций и военных конфликтов. УК-8.3 Демонстрирует приемы оказания первой помощи
УК-9. Способен использовать базовые дефектологические знания в социальной и профессиональной сферах	УК-9.1 Применяет базовые дефектологические знания в социальной и профессиональной сферах УК 9.2 Применяет навыки взаимодействия в социальной и профессиональной сферах с лицами из числа инвалидов и лицами с ограниченными возможностями здоровья
УК-10. Способен принимать обоснованные экономические решения в различных областях жизнедеятельности	УК-10.1 Понимает основные проблемы, базовые принципы и законы функционирования экономики, роль государства в экономическом развитии УК-10.2 Понимает поведение потребителей и производителей экономических благ, особенности рынков факторов производства УК-10.3 Понимает цели, виды и инструменты государственной экономической политики и их влияние на субъектов экономики УК-10.4 Применяет методы личного финансового планирования, использует финансовые инструменты для управления собственным бюджетом, контролирует личные финансовые риски
УК-11. Способен формировать нетерпимое отношение к проявлениям экстремизма, терроризма, коррупционному поведению и противодействовать им в профессиональной деятельности	УК-11.1 Знает законодательство, направленное на борьбу с экстремизмом, терроризмом, коррупцией УК-11.2 Понимает правовые нормы, обеспечивающие борьбу с экстремизмом, терроризмом, коррупцией в различных областях жизнедеятельности

общепрофессиональных

Код и наименование компетенции	*Код и наименование индикатора достижения компетенции*
ОПК-1. Способен применять правовые основы геологического изучения недр и недропользования, обеспечения экологической и промышленной безопасности и уметь их учитывать при поисках, раз-	ОПК-1.1 Понимает правовые основы недропользования, обеспечение экологической и промышленной безопасности ОПК -1.2 Применяет правовые основы геологического изучения недр и их использования для оценки экологической и

ведке и эксплуатации месторождений полезных ископаемых, а также строительстве	промышленной безопасности.
ОПК-2. Способен применять методы и способы геолого-экономической оценки минерально-сырьевой базы и месторождений полезных ископаемых	ОПК-2.1 Понимает методы и способы геолого-экономической оценки месторождений полезных ископаемых. ОПК-2.2 Применяет методику геолого-промышленной оценки месторождений полезных ископаемых. ОПК-2.3 Выбирает методы и способы геолого-экономической оценки минерально-сырьевой базы страны.
ОПК-3. Способен применять основные положения фундаментальных естественных наук и научных теорий при проведении научно-исследовательских работ по изучению и воспроизводству минерально-сырьевой базы	ОПК-3.1 Выбирает основные положения естественных наук научных теорий при проведении научно-исследовательских работ по изучению и освоению минерально-сырьевой базы. ОПК-3.2 Использует основные положения естественных наук при проведении научно-исследовательских работ по изучению и пополнению минерально- сырьевой базы.
ОПК-4. Способен применять методы обеспечения безопасности жизнедеятельности, в том числе в условиях чрезвычайных ситуаций, при производстве работ по геологическому изучению недр, поискам, разведке, добыче и переработке полезных ископаемых, промышленно-гражданскому строительству	ОПК-4.1 Определяет методы обеспечения безопасности жизнедеятельности, в том числе в условиях чрезвычайных ситуаций, при производстве работ по геологическому изучению недр, поискам, разведке, добыче и переработке полезных ископаемых. ОПК-4.2 Реализует методы обеспечения безопасности жизнедеятельности, в том числе в условиях чрезвычайных ситуаций, при производстве работ на всех стадиях по геологическому изучению недр и переработке полезных ископаемых.
ОПК-5. Способен применять навыки анализа горно-геологических условий при поисках, оценке, разведке и добыче полезных ископаемых, а также при гражданском строительстве	ОПК-5.1 Анализирует горно-геологические условия при поисках, оценке, разведке и добыче полезных ископаемых, а также при гражданском строительстве ОПК-5.2 Реализует на практике анализ горно-геологических условий при поисках, оценке, разведке и добыче полезных ископаемых, а также при гражданском строительстве
ОПК-6. Способен работать с программным обеспечением общего, специального назначения, в том числе моделировать горные и геологические объекты	ОПК-6.1 Имеет представления о программном обеспечении общего и специального назначения. ОПК-6.2. Выбирает и применяет программное обеспечение общего, специального назначения, и создавать модели горные и геологические объекты
ОПК-7. Способен осуществлять техническое руководство горными и взрывными работами при поисках, разведке и разработке месторождений полезных ископаемых, гражданском строительстве, в том числе в условиях чрезвычайных ситуаций	ОПК-7.1 Имеет представление о методике технического руководства горными и взрывными работами на всех стадиях геологических работ. ОПК-7.2 Осуществляет техническое руководство горными и взрывными работами при геологоразведочных работах, гражданском строительстве, в том числе в условиях чрезвычайных ситуаций
ОПК-8. Способен применять основные методы, способы и средства получения, хранения и обработки информации, используя навыки работы с компьютером как средством управления информацией	ОПК-8.1 Предлагает основные методы, способы и средства получения, хранения и обработки информации, используя навыки работы с компьютером как средством управления информацией ОПК-8.2 Выбирает и применяет основные методы, способы и средства получения, хранения и обработки информации, используя навыки работы с компьютером как средством управления информацией
ОПК-9. Способен ориентироваться на местности, определять пространственное положение объектов, осуществлять необходимые геодезические и маркшейдерские измерения, обрабатывать и интерпретировать их результаты	ОПК-9.1 Имеет представления об ориентировании на местности, определении пространственного положения объектов. ОПК-9.2 Свободно ориентируется на местности, определяет пространственное положение объектов, осуществляет необходимые геодезические и маркшейдерские измерения, обрабатывает и интерпретирует их результаты
ОПК-10. Способен планировать, проектировать,	ОПК-10.1 Планирует, проектирует организацию геолого-

организовывать геологоразведочные и горные работы, вести учет и контроль выполняемых работ, анализировать оперативные и текущие показатели производства, обосновывать предложения по совершенствованию организации производства, оперативно устранять нарушения производственных процессов	разведочных и горных работ, ведения учета и контроля выполняемых работ. ОПК-10.2. Анализирует оперативные и текущие показатели производства, обосновывает предложения по совершенствованию организации производства, оперативно устраняет нарушения производственных процессов.
ОПК-11. Способен в составе творческих коллективов и самостоятельно, контролировать соответствие проектов требованиям стандартов, техническим условиям и документам промышленной безопасности, разрабатывать, согласовывать и утверждать в установленном порядке технические и методические документы, регламентирующие порядок, качество и безопасность выполнения поисковых, геологоразведочных, горных и взрывных работ	ОПК-11.1 Контролирует соответствие проектов требованиям стандартов, техническим условиям и документам промышленной безопасности. ОПК-11.2 Разрабатывает, согласовывает и утверждает в установленном порядке технические и методические документы, регламентирующие порядок, качество и безопасность выполнения поисковых, геологоразведочных, горных и взрывных работ.
ОПК-12. Способен проводить самостоятельно или в составе группы научный поиск, реализуя специальные средства и методы получения нового знания, участвовать в научных исследованиях объектов профессиональной деятельности и их структурных элементов	ОПК-12.1 Применяет специальные средства и методы получения нового знания. ОПК-12.2 Самостоятельно или в составе группы участвует в научных исследованиях объектов профессиональной деятельности и их структурных элементов.
ОПК-13. Способен изучать и анализировать вещественный состав горных пород и руд и геолого-промышленные и генетические типы месторождений полезных ископаемых при решении задач по рациональному и комплексному освоению минерально-сырьевой базы	ОПК-13.1. Демонстрирует знания вещественного состава горных пород и руд и геолого-промышленных и генетических типов месторождений полезных ископаемых. ОПК-13.2 Анализирует вещественный состав горных пород и руд и геолого-промышленные и генетические типы месторождений полезных ископаемых при решении задач по рациональному и комплексному освоению минерально-сырьевой базы.
ОПК-14. Способен выполнять маркетинговые исследования, проводить экономический анализ затрат для реализации процессов геологоразведочного производства в целом	ОПК-14.1 Имеет представление о маркетинговых исследованиях, с проведением экономического анализа затрат на геологоразведочные работы ОПК-14.2 Осуществляет маркетинговые исследования, проводит экономический анализ затрат для реализации процессов геологоразведочного производства в целом.
ОПК-15. Способен участвовать в разработке и реализации образовательных программ в сфере своей профессиональной деятельности, используя профессиональные знания	ОПК-15.1 Разрабатывает и реализует образовательные программы в сфере своей профессиональной деятельности.
ОПК.16. Способен понимать принципы современных информационных технологий и использовать их для решения задач профессиональной деятельности	ОПК-16.1 Понимает принципы современных информационных технологий. ОПК-16.2 Использует современные информационные технологии для решения задач профессиональной деятельности

профессиональных

Код и наименование компетенции	*Код и наименование индикатора достижения компетенции*
ПК.1.1 Способен использовать теоретические знания при выполнении производственных, технологических и инженерных исследований в соответствии со специализацией	ПК.1.1.1 Применяет теоретические знания при выполнении производственных, технологических и инженерных исследований в соответствии со специализацией
ПК.1.2 Способен прогнозировать на основе анализа геологической ситуации вероятный промышленный тип полезного ископаемого, формулировать благоприятные критерии его нахождения и выделять перспективные площади для постановки дальнейших работ	ПК.1.2.1 Формулирует благоприятные критерии обнаружения вероятного промышленного типа полезного ископаемого ПК.1.2.2 Анализирует геологическую ситуацию и прогнозирует вероятный промышленный тип полезного ископаемого
ПК.1.3 Способен составлять самостоятельно и в составе коллектива проекты на геологоразведочные	ПК.1.3.1 Формулирует цели, задачи этапы и стадии геологоразведочных работ.

работы на разных стадиях изучения и на различных объектах	ПК.1.3.2 Владеет методикой определения видов и объемов геологоразведочных работ ПК.1.3.3 Составляет самостоятельно и в составе коллектива проекты на геологоразведочные работы на разных стадиях изучения и на различных объектах
ПК.1.4 Способен проводить геологическое картирование, поисковые, оценочные и разведочные работы в различных ландшафтно-географических условиях	ПК.1.4.1 Владеет методикой проведения геологических и поисковых маршрутов, проведения оценочных и разведочных геологических исследований ПК.1.4.2 Анализирует геологический материал по изучаемой площади (месторождению или его участку) и оценивает ее рудоносность, форму тел полезных ископаемых, расположение их в пространстве и размеры ПК.1.4.3 Проводит геологическое картирование, поисковые, оценочные и разведочные работы в различных ландшафтно-географических условиях
ПК.1.5 Способен проектировать места заложения горных выработок, скважин, осуществлять их документацию	ПК.1.5.1 Выбирает приемы и способы определения мест заложения горных выработок, скважин в зависимости от вида полезного ископаемого и геологической сложности месторождений. ПК.5.2 Проектирует места заложения горных выработок, скважин, осуществляет их документацию
ПК.1.6 Способен выбирать виды, способы опробования (рядового, геохимического, минералогического, технологического) и методы их анализа для изучения компонентов природной среды, включая горные породы и полезные ископаемые, при решении вопросов картирования, поисков, разведки, технологии разработки и переработки минерального сырья	ПК.1.6.1 Использует виды, способы, технические средства опробования горных пород и полезных ископаемых, методы их анализа для изучения компонентов природной среды ПК.1.6.2 Выбирает виды, способы опробования и методы их анализа для изучения компонентов природной среды, включая горные породы и полезные ископаемые, при решении вопросов картирования, поисков, разведки, технологии разработки и переработки минерального сырья
ПК.1.7 Способен проводить оценку прогнозных ресурсов и подсчет запасов месторождений твердых полезных ископаемых	ПК.1.7.1 Владеет методологией оконтуривания, блокировки и категоризации запасов полезных ископаемых; приемами определения параметров подсчета запасов ПК.1.7.2 Оконтуривает запасы разных категорий, выделив подсчетные блоки; ПК.1.7.3 Выполняет оценку прогнозных ресурсов и подсчет запасов месторождений твердых полезных ископаемых

При выполнении выпускной квалификационной работы обучающиеся должны *показать*, опираясь на полученные знания, умения и полученные навыки:

сформированные универсальные, общепрофессиональные и профессиональные компетенции;

способность самостоятельно решать на современном уровне задачи своей профессиональной деятельности;

навыки постановки исследовательской проблемы, ее самостоятельного обсуждения, анализа возможных вариантов ее решения;

способность грамотно излагать специальную информацию, аргументировать и защищать свою точку зрения;

умение самостоятельного квалифицированного библиографического поиска, изучения и анализа научной литературы по теме;

навыки использования методологических, историко-философских и конкретных знаний, полученных в процессе обучения, для решения поставленной в работе проблемы;

умение написания профессионально грамотного текста и оформления его в соответствии с требованиями, предъявляемыми к научным публикациям;

использование в работе современных технологий.

1.1.3 Общие требования к выпускной квалификационной работе

Выпускная квалификационная работа должна отвечать следующим требованиям:

- быть актуальной (иметь теоретическое обоснование актуальности изучаемой проблемы в современных условиях хозяйственной деятельности);
- носить научно-исследовательский характер;
- представлять самостоятельное исследование, демонстрирующее способность выпускника решать профессиональные проблемы, делать на основе анализа геологической литературы соответствующие выводы и вносить предложения;
- отражать добросовестность обучающегося в использовании опубликованных материалов других авторов.

Общие требования к выпускной квалификационной работе – целевая направленность; четкость построения; логическая последовательность изложения материала; глубина исследования и полнота освещения вопросов; убедительность аргументаций; доказательность выводов и обоснованность рекомендаций; грамотное оформление.

Текст выпускной квалификационной работы должен демонстрировать:

– знакомство автора с литературой вопроса;
– умение выделить проблему и определить методы ее решения;
– умение последовательно изложить существо рассматриваемых вопросов, грамотно цитировать ведущих исследователей, делать ссылки на использованные источники;
– умение собирать, обобщать, анализировать практические материалы, полученные в результате собственного исследования в организации практики;
– достоверность и конкретность изложения фактических и экспериментальных данных о работе организации;
– обоснование выводов и предложений по результатам исследования, их конкретный характер, практическую ценность для решения исследуемых проблем;
– владение соответствующим понятийным и терминологическим аппаратом;
– четкость и логичность изложения мыслей, доказательность целесообразности и эффективности предлагаемых решений;
– приемлемый уровень языковой грамотности, включая владение функциональным стилем научного изложения.

1.1.4 Выбор, согласование и утверждение темы выпускной квалификационной работы

Выбор темы выпускной квалификационной работы осуществляется обучающимся по согласованию с руководителем ВКР и специалистами организации-базы практики, где будет проходить преддипломная практика. При выборе темы ВКР необходимо исходить из:

актуальности проблемы и значимости ее для научной и практической деятельности;

потребностей развития и совершенствования деятельности конкретной организации;

интересов, склонностей в научно-исследовательской работе обучающегося, а также перспектив его будущей профессиональной деятельности;

возможности получения информации для проведения анализа и обоснования предлагаемых решений.

Примерный перечень тем выпускных квалификационных работ разрабатывается выпускающей кафедрой и доводится до сведения обучающихся. Обучающийся может предложить свою тему, обосновав целесообразность ее разработки. Тема выпускной квалификационной работы может являться продолжением тем, ранее представленных обучающимся в рамках курсовых работ (проектов).

Для успешного выполнения выпускной квалификационной работы необходимо уже на первом этапе (выбор темы) четко сформулировать цель работы (отражающуюся в ее названии) и задачи.

После выбора темы, согласования ее с руководителем ВКР, обучающийся подает заявление на имя заведующего кафедрой об утверждении темы выпускной квалификационной работы (приложение 1).

Закрепление тем выпускных квалификационных работ за обучающимися оформляется приказом по университету. Следует иметь в виду, что **тема, утвержденная приказом ректора университета, изменению не подлежит**. Исключение могут составить лишь случаи возникновения объективных непреодолимых препятствий к ее разработке. Изменение оформляется приказом по университету на основании письменного заявления обучающегося и представления заведующего кафедрой.

1.1.5 Структура и содержание выпускной квалификационной работы

Структурные элементы выпускной квалификационной работы **перечислены ниже в порядке их расположения и брошюровки.**

1. Титульный лист (приложение 2)
2. Сопроводительные документы к выпускной квалификационной работе:

2.1 Задание на выполнение выпускной квалификационной работы (приложение 3).

2.2 Отзыв руководителя ВКР (приложение 4).

2.3 Отзыв рецензента (приложение 5).

2.4 Если результаты исследования нашли практическое применение, то прилагается документ, подтверждающий внедрение результатов исследования в практическую деятельность (приложение 6)

2.5 Справка о проверке с системе «Антиплагиат. ВУЗ» (приложение 7).

3. Содержание (приложение 8).
4. Введение.
5. Основная часть работы.
6. Заключение.
7. Список использованных источников (приложение 9).
8. Приложения.

Титульный лист должен содержать все необходимые идентификационные признаки, в частности, название работы, указание автора работы, руководителя.

На титульном листе подписью руководителя, консультанта (при наличии) подтверждается допуск выпускной квалификационной работы к защите.

Титульный лист учитывается в общей нумерации страниц выпускной квалификационной работы, порядковый номер на титульном листе не ставится.

Сопроводительные документы подшиваются следом за титульным листом работы, но в общей нумерации страниц выпускной квалификационной работы они не учитываются и порядковые номера на них не ставятся.

Цель составления *задания на выполнение выпускной квалификационной работы* – уяснение замысла работы и поставленных в ней основных проблем. Оформление задания на работу предполагает составление под контролем руководителя ВКР плана будущей работы.

Наличие *содержания* (плана работы) позволяет уйти от освещения вопросов, не относящихся к теме работы, обеспечить четкость и последовательность изложения материала, избежать пробелов и повторений, рационально организовать самостоятельный труд, сэкономить время.

Содержание работы помещают после справки о внедрении (если она есть). Слово «СОДЕРЖАНИЕ» записывают в виде заголовка симметрично тексту прописными буквами. В содержании работы указывается перечень всех глав и параграфов выпускной квалификационной работы, а также номера страниц, с которых начинается каждый из них (точно по тексту). Главы

в выпускной квалификационной работе должны иметь в пределах всей работы порядковые номера, обозначенные арабскими цифрами. Параграфы каждой главы должны иметь нумерацию в пределах каждой главы. Номер параграфа состоит из номера главы и непосредственно номера параграфа в данной главе, отделенного от номера главы точкой. Заголовки содержания должны точно повторять заголовки в тексте. Сокращать или давать их в другой формулировке, последовательности и соподчиненности по сравнению с заголовками в тексте нельзя.

При этом надо иметь в виду, что названия глав и параграфов не должны дублировать друг друга, а также наименование темы работы. Каждая глава должна раскрывать часть темы, каждый параграф главы – часть содержания главы.

Введение, заключение, список использованных источников включают в содержание, но не нумеруют.

Пример оформления содержания выпускной квалификационной работы приведен в приложении 8.

Страницы содержания учитываются в общей нумерации страниц выпускной квалификационной работы, порядковый номер на странице не ставится.

Выполнение выпускной квалификационной работы рекомендуется начинать с написания «ВВЕДЕНИЯ». Естественно, в процессе исследования первичный текст введения будет меняться, иногда очень существенно. Но это не отрицает необходимости на начальном этапе поставить перед собой задачи исследования, отражаемые во введении.

«ВВЕДЕНИЕ» в общем случае имеет следующую структуру:

актуальность выбранной темы,

формулировка цели и определение конкретных задач исследования (они найдут отражение в содержании работы),

выбор объекта и предмета исследования,

информационная база исследования;

структура выпускной квалификационной работы.

Во введении следует коротко сформулировать актуальность темы исследования, т.е. причину возникновения проблемы и ее суть. Актуальность определяется как значимость, важность и приоритетность выбранной темы исследования среди других тем. Она должна подтверждаться положениями и доводами, свидетельствующими в пользу научной и практической значимости решения проблем и вопросов, исследуемых в работе. Необходимо объяснить, почему именно выбранная тема представляет интерес на современном этапе развития. Обоснование актуальности темы работы не должно быть многословным. Главное – показать, как автор оценивает своевременность и социальную значимость выбранной темы.

От доказательства актуальности следует перейти к формулировке цели исследования. Цель исследования – это образ желаемого результата, то, что намерен достичь автор работы.

Цель выпускной квалификационной работы должна соответствовать названию темы. Цель работы формулируется кратко и точно. Например, «Цель выпускной квалификационной работы – составление проекта на проведение эксплуатационной разведки в пределах северной части дайки Елизаветинская Березовского золоторудного месторождения». Конкретизация цели осуществляется в задачах исследования. «Исходя из поставленной цели, были поставлены следующие задачи выпускной квалификационной работы:

- обоснование методики эксплуатационной разведки;
- выбор технологии проходки горных выработок
- составление сметы на проведение проектируемых видов работ;
- расчет основных геолого-экономических показателей;
- оценка запасов по категории C_1».

Формулировки задач необходимо делать очень тщательно, так как описание их решения должно составить содержание последующих глав (параграфов) выпускной квалификационной работы.

Объект исследования – это процесс или явление, порождающее проблемную ситуацию и избранное для исследования. Выделение объекта происходит на основе анализа проблемы исследования.

Предмет исследования – это та часть объекта, которая и будет исследована. Предмет должен характеризовать тему выпускной квалификационной работы и включать в себя свойства и стороны объекта, которые следует рассмотреть в заявленной теме, установив пределы рассмотрения данного вопроса. Объект и предмет исследования соотносятся как общее и часть общего.

Объект и предмет исследования можно сформулировать так: «Объект исследования – Березовское золоторудное месторождение.

Предмет исследования – северная часть дайки Елизаветинская Березовского золоторудного месторождения».

Далее дается характеристика методов исследования. Методы исследования – основные приемы и способы, которые использовались при проведении исследования (диалектический метод, исторический метод, статистический и др.). В процессе обработки полученных данных практически всегда используются такие взаимосвязанные научные методы исследования, как анализ и синтез. Анализ – логический прием разделения целого на отдельные элементы и изучение каждого в отдельности и во взаимосвязи с целым. Синтез – объединение результатов для формирования (проектирования) целого.

После того, как сформулированы цель, задачи, объект и предмет, методы исследования, следует указать информационную базу и структуру ВКР:

«Информационная база выпускной квалификационной работы включает: труды ведущих отечественных и зарубежных авторов, посвященных проблемам ….., статьи, опубликованные в периодических изданиях, а также Интернет-ресурсы, …., статистические материалы.

Выпускная квалификационная работа состоит из введения, трех глав основного текста, заключения, списка использованных источников, приложений. Содержание работы изложено на 62 страницах машинописного текста и включает 2 таблицы. Библиографический список состоит из 35 источников».

Введение не должно превышать 2-3 страницы компьютерного набора.

Страницы введения учитываются в общей нумерации страниц работы, номер страницы проставляется.

Основная часть выпускной квалификационной работы

Основная часть работы состоит из разделов:

1 Геологический раздел

2 Методический раздел

3 Технический раздел

4 Экономический раздел

Текст работы излагается самостоятельно (не допускается дословное переписывание использованной литературы), последовательно, грамотно и аккуратно, при написании работы необходимо употреблять профессиональные термины, избегать сложных грамматических оборотов. Студент должен показать не только знание материала, но и умение разбираться в нем, творчески использовать основные положения источников. Материал, используемый из других источников, должен быть переработан, органически увязан с избранной студентом темой и изложен своими словами с приведением ссылок на источники информации.

Содержание выпускной квалификационной работы должно демонстрировать:

знакомство автора с учебной и научной литературой по теме выпускной квалификационной работы;

умение обобщать материал литературных источников, анализировать геологическую информацию, выявлять особенности геологических объектов, являющихся предметом исследования, выделить проблему и определить пути ее решения, последовательно изложить существо рассматриваемых вопросов, делать самостоятельные выводы;

владение понятийным и терминологическим аппаратом.

В тексте выпускной квалификационной работы следует избегать использования личных местоимений, заменяя их безличными формами (вместо «я считаю» - «автор считает», «мы полагаем»).

Рекомендуется использование вводных и соединительных слов – *таким образом, из этого следует, в связи и т.д*. – для подчеркивания причинно-следственных связей и выражения личного отношения к излагаемому материалу.

Все страницы основной части выпускной квалификационной работы участвуют в общей нумерации страниц, номера страниц проставляются.

«ЗАКЛЮЧЕНИЕ» выполняет роль концовки, обусловленной логикой проведенного исследования. Оно содержит изложение полученных итогов и их соотношение с общей целью и конкретными задачами, поставленными и сформулированными во введении. Именно здесь содержится «выводное» знание, полученное в результате исследования. В заключении указывается вытекающая из конечных результатов теоретическая и практическая ценность, значимость. Заключительная часть предполагает обобщенную итоговую оценку проделанной работы.

В «ЗАКЛЮЧЕНИИ» находят отражение основные положения и выводы, содержащиеся во всех главах работы. В нем отражаются степень решения поставленных задач, полученные результаты, указывается также где, и каким образом применение рекомендаций может принести практическую пользу в деятельности организации.

Объем заключения – 2-3 страницы.

Нумерация страниц, на которых приводится текст заключения, должна продолжать общую нумерацию страниц основного текста.

Список использованных источников является составной частью работы и отражает степень изученности рассматриваемой проблемы. При этом в список использованных источников включаются, как правило, те источники, на которые в работе имеются библиографические ссылки. Использованные источники должны содержать их полное описание по требованиям стандартов.

Порядок оформления списка использованных источников представлен в приложении 9.

Нумерация страниц, на которых приводится текст списка использованных источников, должна продолжать общую нумерацию страниц основного текста.

В *приложения* следует выносить вспомогательный материал, который при включении в основную часть работы загромождает текст.

К вспомогательному материалу относятся таблицы цифровых данных, инструкции, методики, иллюстрации вспомогательного характера, заполненные формы документов, выдержки из локальных нормативных актов и др.

Нумерация страниц, на которых даются приложения, должна продолжать общую нумерацию страниц основного текста.

Объем выпускной квалификационной работы должен составлять – 60 - 80 страниц компьютерного набора (без приложений).

При выполнении выпускной квалификационной работы обучающийся должен продемонстрировать навыки работы на персональном компьютере (например, статистическая обработка материалов, выполнение графических построений, проведения математических расчетов, использование программного обеспечения для решения конкретных задач, поставленных в работе).

1.1.6 Руководство выпускной квалификационной работой

Общее руководство и контроль за ходом выполнения ВКР осуществляет выпускающая кафедра в лице руководителя ВКР. Руководитель ВКР:

помогает обучающемуся с выбором темы и разработкой плана работы;

оформляет задание на выполнение выпускной квалификационной работы;

оказывает обучающемуся помощь в разработке календарного графика на весь период выполнения выпускной квалификационной работы;

рекомендует обучающемуся необходимую литературу;

систематически контролирует ход работы и информирует кафедру о состоянии дел;

дает подробный отзыв на законченную работу.

Проверяя работу, руководитель не должен превращаться в корректора или редактора, хотя замечания в этой части он тоже высказывает. Руководитель ВКР выявляет полноту, глубину и всесторонность рассмотрения поставленных в плане вопросов, последовательность изложения материала, достаточность использования литературы, аргументированность выводов, степень их обоснованности и самостоятельности. В случае обнаружения плагиата, ошибочных решений и научных положений по тем или иным вопросам, неполноты или поверхностности исследования, противоречивости, излишнего отклонения от темы и других недостатков руководитель предлагает выпускнику устранить их, рекомендует пути и сроки их устранения.

Руководитель ВКР помогает выпускнику на всех этапах его работы, но эта помощь не должна выливаться в соавторство. Отношения руководителя со обучающимся строятся на основе сотрудничества.

1.2 ПОРЯДОК ВЫПОЛНЕНИЯ ВЫПУСКНОЙ КВАЛИФИКАЦИОННОЙ РАБОТЫ

1.2.1 Основные этапы выполнения выпускной квалификационной работы

Соблюдение установленных сроков и последовательности выполнения выпускной квалификационной работы направлено на оптимизацию процесса достижения поставленных целей.

Рекомендуется следующая последовательность этапов выполнения выпускной квалификационной работы:

выбор темы работы, её утверждение;

подбор литературы, геологической документации и ознакомление с ними, составление литературного обзора по проблеме исследования;

сбор и обобщение аналитических материалов, анализ;

написание работы и представление её руководителю, доработка по замечаниям руководителя;

написание введения и заключения, подготовка списка использованных источников, приложений, представление работы руководителю ВКР;

прохождение нормоконтроля, исправление замечаний по оформлению работы;

проверка в системе «Антиплагиат. ВУЗ»;

размещение работы в портфолио;

подготовка к защите выпускной квалификационной работы: подготовка презентационных материалов, оформление документов на выпускную квалификационную работу.

1.2.2 Подготовка к защите выпускной квалификационной работы

Законченная ВКР, подписанная студентом, передается научному руководителю для проверки соответствия оформления работы предъявляемым требованиям и составления письменного отзыва руководителя. В отзыве руководителя указываются сведения об актуальности темы работы, достоинства и недостатки работы, практическая ценность работы, оценка подготовленности студента, инициативности и самостоятельности при решении задач выпускной квалификационной работы, умение студента работать с литературными источниками, и способность ясно и четко излагать материал, соблюдение правил и качества оформления работы. Особое внимание уделяется оценке выпускника по личностным характеристикам (ответственность, дисциплинированность, самостоятельность, активность, творчество, инициативность и т.д.), проявленным способностям к исследовательской деятельности, достигнутым результатам в формировании компетенций выпускника данной программы, мотивируется возможность или невоз-

можность представления выпускной квалификационной работы на защиту в государственной экзаменационной комиссии.

Решение научного руководителя является основанием для допуска кафедрой ВКР к защите. Допуск работы к защите производится заведующим выпускающей кафедры.

Текст ВКР должен быть проверен на объем заимствований в системе «Антиплагиат», отчет печатается. ВКР размещается в портфолио. Размещение ВКР – не позднее, чем за 3 дня до защиты.

Перед защитой студентом представляются в ГЭК следующие документы:

1) ВКР, подписанная на титульном листе выпускником, научным руководителем, консультантами (если есть) (Приложение А);

2) задание на выполнение работы с отметками сроков окончательной подготовки работы, подписанное научным руководителем и заключением кафедры о допуске к защите;

3) отзыв научного руководителя;

4) отзыв рецензента;

5) отчет о проверке в системе «Антиплагиат».

Готовясь к защите работы, студент составляет тезисы выступления, содержащего наиболее важные и интересные результаты исследования. При этом следует помнить о том, что выпускнику для доклада отводится ограниченное время;

оформляет наглядные пособия, раздаточный материал к докладу, продумывает ответы на замечания рецензента.

Работу над тезисами доклада следует начинать сразу же после представления работы на кафедру и продолжить после ознакомления с отзывом руководителя. На вопросы и замечания отзыва целесообразно подготовить письменные ответы.

Доклад на защите выпускной квалификационной работы, как правило, не должен превышать 7-10 мин. Следует помнить, что студент не просто излагает, а защищает положения своей работы.

1.2.3 Защита выпускной квалификационной работы

Защита выпускной квалификационной работы проводится на открытом заседании ГЭК.

Порядок защиты:

-председатель ГЭК объявляет фамилию, имя и отечество выпускника, название работы с указанием места ее выполнения;

-доклад продолжительностью, как правило, не более 7-10 минут, в течении которых он должен кратко сформулировать актуальность, цель и задачи работы, изложить основные результаты, выводы и рекомендации, конкретные предложения, обосновать возможность их реализации, эффективность. При этом необходимо уточнить личный вклад в разработку проблемы.

Студент может пользоваться заранее подготовленным тезисами доклада, но должен излагать основное содержание своей выпускной квалификационной работы свободно, не читая письменного текста. При чтении утрачивается эмоциональность изложения, монотонное чтение текста не привлекает внимания и утомляет слушателей. Свободный рассказ по теме свидетельствует об уровне подготовки и глубине специальных знаний по проблеме выпускной квалификационной работы. Все это существенно влияет на итоговую оценку работы.

Все принципиальные положения выпускной квалификационной работы для большей наглядности могут быть представлены на демонстрационном материале. К демонстрационным материалам относится информация из выпускной квалификационной работы (таблицы, диаграммы, схемы, иллюстрации и пр.), оформленная в виде презентаций или ксерокопий для каждого члена ГЭК. Во время доклада необходимо ссылаться на эти материалы;

-после окончания доклада члены ГЭК и присутствующие на защите предлагают выпускнику вопросы, касающиеся устного выступления, имеющие непосредственное отношение к теме работы, или же просто в связи с обсуждаемой проблемой;

- зачитывается внешняя рецензия на выпускную квалификационную работу;

-выступление руководителя выпускной квалификационной работы, а в случае его отсутствия секретарь ГЭК зачитывает отзыв руководителя;

- председатель ГЭК предоставляет желающим слово для выступления, затем выпускнику, которое предполагает ответы на замечания рецензента и всех, выступивших при обсуждении работы, после чего объявляет об окончании защиты.

После окончания открытой защиты проводится закрытое заседание ГЭК (возможно с участием руководителей), на котором определяются итоговые оценки по четырехбалльной системе («отлично», «хорошо», «удовлетворительно», «неудовлетворительно»). После закрытого обсуждения председатель объявляет решение ГЭК. Протокол заседания ГЭК ведется секретарем. В него вносятся все заданные вопросы, особые мнения, решение комиссии об оценке.

II КРИТЕРИИ ОЦЕНКИ РЕЗУЛЬТАТОВ ВЫПОЛНЕНИЯ И ЗАЩИТЫ ВЫПУСКНОЙ КВАЛИФИКАЦИОННОЙ РАБОТЫ

Оценка выпускной квалификационной работы производится по четырем группам критериев:

Система оценивания по оценочным средствам государственной итоговой аттестации

Оценочное средство	Максимальная стоимость в баллах	Критерии начисления баллов
Выпускная квалификационная работа	0-70 балл	Качество выполненной работы, ее научно-теоретический уровень, степень самостоятельности и логичность изложения материала, правильность оформления и результат ее защиты
Отзыв руководителя ВКР	0-10 баллов	Ответственность, дисциплинированность, стремление к достижению высоких результатов самостоятельность, добросовестность в выполнении ВКР, контактность….
Отзыв рецензента ВКР	0-10 баллов	Теоретическая значимость исследования; анализ представленных методик исследования; практическая значимость исследования; степень полноты обзора состояния проблемы и корректность постановки задачи; уровень и корректность использования в работе методов исследования
Ответы на вопросы (проверка компетенций)	0-10 баллов	Полнота и правильность ответа
Итого	100 баллов	

Оценка по итогам государственной итоговой аттестации определяется простым суммированием баллов:

Критерии оценки	*Количество баллов*
Критерии содержания ВКР	
обоснованность выбора и актуальность темы исследования	0-5
обоснование практической и теоретической значимости исследования	0-5
уровень теоретической проработки проблемы, осмысления теоретических вопросов и обобщения собранного материала	0-5
умение представить литературный обзор проблемы исследования; широта и	0-5

качество использованных источников	
объем и уровень анализа профессиональной, научной литературы, релевантность, полнота, корректность и содержание цитирования	0-5
наличие в ВКР результатов, которые в совокупности решают конкретную научную и (или) практическую задачу, или - результатов (теоретических и (или) экспериментальных), которые имеют существенное значение для развития конкретных направлений в определенной отрасли науки (деятельности), или – научно-обоснованных разработок, использование которых в полном объёме обеспечивает решение прикладных задач	0-5
умение логические верно, аргументированно и ясно излагать материалы исследования в ВКР: обоснованность и четкость сформулированных выводов	0-5
умение использовать компьютерные технологии в режиме пользователя для решения профессиональных задач	0-5
Критерии оформления ВКР	0-10
владение научным стилем изложения, орфографическая и пунктуационная грамотность	0-5
соответствие формы представления работы требованиям, предъявляемым к оформлению данных работ	0-5
Критерии процедуры защиты	0-15
качество устного доклада: соответствие доклада содержанию работы, логичность, точность формулировок, обоснованность выводов, культура речи; владение профессиональной терминологией и навыками профессиональной аргументации	0-5
презентационные навыки: структура и последовательность изложения материала, соблюдение временных требований, использование презентационного оборудования и/или раздаточного материала, грамотность оформления иллюстрационных материалов, выразительность использования, контакт с аудиторией	0-5
поведение при защите (коммуникационные характеристики (культура) докладчика (речь, манера говорить, отстаивать свою точку зрения, привлекать внимание к важным моментам в докладе или ответах на вопросы)	0-5
качество ответов на вопросы членов ГЭК: логичность, глубина, правильность и полнота ответов	0-5
Отзыв рецензента ВКР	0-10
теоретическая значимость исследования; анализ представленных методик исследования; практическая значимость исследования; степень полноты обзора состояния проблемы и корректность постановки задачи; уровень и корректность использования в работе методов исследования; степень комплексности работы, применение в ней знаний социально-гуманитарных дисциплин, естественно-математических, общепрофессиональных и специальных дисциплин; ясность, четкость, последовательность и обоснованность изложения.	0-10
Отзыв руководителя ВКР	0-10
ответственное отношение к работе, дисциплинированность, стремление к достижению высоких результатов, самостоятельность, добросовестность в выполнении работы, соблюдение сроков представления материалов, контактность	0-5
владеет навыками самостоятельного получения новых знаний, использования современных технологий	0-5
Теоретические вопросы	0-10

качество ответов на вопросы членов ГЭК: правильность и полнота ответов	0-10
Итого баллов	100

Правила оценивания результатов защиты ВКР

80-100 баллов (80-100%) **–** оценка **«отлично»;**
65-79 баллов (65-79 %) **–** оценка **«хорошо»;**
50-64 балла (50-64%) **–** оценка **«удовлетворительно;**
0-49 баллов (0-49%) **–** оценка **«неудовлетворительно».**

III ОЦЕНОЧНЫЕ МАТЕРИАЛЫ

Оценочными средствами результатов обучения на этапе государственной итоговой аттестации являются выпускная квалификационная работа (в которой выпускнику предлагается по поставленной научно-практической проблеме сформулировать самостоятельно гипотезы, цель, сделать разработку программы эмпирического исследования, собрать информацию, проанализировать ее, провести необходимые расчеты, построить модели, предложить варианты решения проблемы и обосновать показатели оценки результативности) и ее защита по установленной процедуре (доклад, презентация, ответы на вопросы государственной экзаменационной комиссии), позволяющей сделать вывод о сформированности компетенций, теоретические вопросы.

3.1 ПРИМЕРНАЯ ТЕМАТИКА ВЫПУСКНЫХ КВАЛИФИКАЦИОННЫХ РАБОТ

1. Поисковые работы на (указывается полезное ископаемое) в пределах конкретного участка, являющегося частью рудного района, рудного узла, рудного поля.
2. Оценочные работы в пределах выявленного проявления полезного ископаемого с оцененными прогнозными ресурсами категории P_1 и P_2.
3. Разведка (конкретного месторождения или части его).
4. Разведка (доразведка) месторождения в пределах горного отвода – флангов, глубоких горизонтов, отдельных изолированных тел для перевода запасов в более высокие категории.
5. Эксплуатационная разведка в пределах отдельных блоков, уступов, этажей конкретных месторождений.
6. Вещественный состав руд и околорудных метасоматитов.
7. Структурно-текстурные особенности руд как основа проектирования геолого-технологического картирования.
8. Закономерности формирования и распределения типов рудной минерализации в пределах месторождения, рудопроявления, рудного тела (с применением ГГИС Micromine).
9. Изучение пространственного распределения разведочных параметров в пределах рудоносных площадей, отдельных рудных тел (с применением ГГИС Micromine).
10. Геохимическая зональность конкретного месторождения или части его.
11. Метасоматиты, и метасоматическая зональность месторождения.

3.2 *Теоретические вопросы государственной итоговой аттестации, оценивающие сформированность универсальных компетенций:*

1. Каково значение коммуникативных навыков для успешной деятельности производственного коллектива?
2. В чем вы видите основные причины необходимости овладения навыками общения на иностранном языке для успешного решения профессиональных задач в современных условиях?
3. В чем проявляется толерантность в восприятии социальных, этнических, конфессиональных и культурных различий?

4. Чем обусловлена необходимость овладения правовой культурой для достижения высоких экономических результатов в современных условиях?

5. Какая формулировка образовательных потребностей специалиста в современных условиях является более актуальной: «образование для всей жизни» или «образование в течение всей жизни»?

6. Возможна ли успешная профессиональная самореализация работника без формирования потребности и способности к самоорганизации и самообразованию?

7. В чем вы видите значение здорового образа жизни, овладения методами и средствами физической культуры для обеспечения полноценной социальной и профессиональной деятельности?

8. Чем обусловлена в настоящее время необходимость овладения приемами первой помощи, методами защиты в условиях чрезвычайных ситуаций?

3.3 *Теоретические вопросы государственной итоговой аттестации, оценивающие сформированность общепрофессиональных компетенций:*

1 В чем Вы видите основные причины необходимости овладения навыками логически верно, аргументированно и ясно строить устную и письменную речь?

2 Зачем необходимо повышать уровень своей профессиональной компетентности?

3 В чем вы видите основные причины необходимости овладения навыками профессионального общения на иностранном языке?

4 Какие информационные технологии использовались при выполнении работы?

5 Какие профессиональные задачи были решены при выполнении работы?

6 Какие методы применялись при выполнении экономической оценки объекта?

7 Каково значение информации в развитии современного информационного общества?

8 Какие методы защиты производственного персонала и населения от возможных последствий аварий предусмотрены в проекте?

9 Аналитическая база, используемая при выполнении работы?

10 Как вы оцениваете свой вклад в представленную работу?

3.3 *Теоретические вопросы государственной итоговой аттестации, оценивающие сформированность профессиональных компетенций:*

1 Проанализировав геологическую ситуацию в пределах участка, сформулируйте необходимость постановки конкретной стадии геологоразведочных работ на объекте?

2 С учетом природных условий и особенностей вещественного состава прогнозируемого оруденения сформулируйте необходимый комплекс опробовательских работ?

3 Сформулируйте ведущие критерии прогнозирования при оценке территории на конкретный геолого-промышленный тип.

4 Какие компетенции являются ведущими при оценке конкретной перспективной площади?

5 Какие специализированные компьютерные программы использованы для обработки фактического материала?

6 Какие лабораторные методы анализа руд предусмотрены проектом?

7 Обоснуйте необходимость применения запроектированных геофизических методов?

8 Дайте понятие и классификацию основных средств.

9 Какова рентабельность проектируемых работ?

10 При составлении сметы на производство работ что подразумевается под статьей «отчисления на социальные нужды»?

ПРИЛОЖЕНИЕ 1

Форма заявления на утверждение темы выпускной квалификационной работы

Зав. кафедрой _____
_____
обучающегося группы _____
_____

Заявление
на утверждение темы выпускной квалификационной работы

Прошу утвердить тему выпускной квалификационной работы (из числа предложенных университетом):
_____
_____

Прошу утвердить самостоятельно определенную тему выпускной квалификационной работы
_____
_____

Место прохождения производственной (преддипломной) практики:
_____
_____

Руководитель ВКР_____
(Ф.И.О., ученая степень, ученое звание, должность)

Дата _____ Подпись обучающегося _____

Решение зав. кафедрой

«УТВЕРЖДАЮ»

_____

ПРИЛОЖЕНИЕ 2

Форма оформления титульного листа выпускной квалификационной работы

МИНИСТЕРСТВО НАУКИ И ВЫСШЕГО ОБРАЗОВАНИЯ РОССИЙСКОЙ ФЕДЕРАЦИИ

ФЕДЕРАЛЬНОЕ ГОСУДАРСТВЕННОЕ БЮДЖЕТНОЕ ОБРАЗОВАТЕЛЬНОЕ УЧРЕЖДЕНИЕ ВЫСШЕГО ОБРАЗОВАНИЯ
УРАЛЬСКИЙ ГОСУДАРСТВЕННЫЙ ГОРНЫЙ УНИВЕРСИТЕТ

ВЫПУСКНАЯ КВАЛИФИКАЦИОННАЯ РАБОТА
(БАКАЛАВРИАТ/СПЕЦИАЛИТЕТ /МАГИСТРАТУРА)

ТЕМА:_____
_____

Факультет:_____

Направление/Специальность:
_____

Профиль/специализация:
_____

Квалификация:
_____

Кафедра:_____

Обучающийся: _____(*подпись*)
Фамилия И.О.
Группа:

*Руководитель:*_____(*подпись*)
Фамилия И.О.

Консультант: _____(*подпись*)
Фамилия И.О.

_____
(подпись)
Допустить к защите:
Зав.кафедрой_____
(Фамилия И.О., ученая степень, ученое звание)

Екатеринбург
2021

ПРИЛОЖЕНИЕ 3

Пример оформления задания на выполнение выпускной квалификационной работы

МИНИСТЕРСТВО НАУКИ И ВЫСШЕГО ОБРАЗОВАНИЯ РОССИЙСКОЙ ФЕДЕРАЦИИ
ФЕДЕРАЛЬНОЕ ГОСУДАРСТВЕННОЕ БЮДЖЕТНОЕ ОБРАЗОВАТЕЛЬНОЕ УЧРЕЖДЕНИЕ
ВЫСШЕГО ОБРАЗОВАНИЯ
УРАЛЬСКИЙ ГОСУДАРСТВЕННЫЙ ГОРНЫЙ УНИВЕРСИТЕТ

Кафедра_____

УТВЕРЖДАЮ
Зав.кафедрой_____
_____
«___»_____20__ г.

ЗАДАНИЕ НА ВЫПОЛНЕНИЕ ВЫПУСКНОЙ КВАЛИФИКАЦИОННОЙ РАБОТЫ
для присвоения квалификации_____по направлению подготовки/
специальности_____направленности (профилю)
/специализации_____

Обучающемуся_____
(фамилия, имя, отчество полностью)

Тема выпускной квалификационной работы_____
_____
_____

Руководитель работы_____
(фамилия, имя, отчество, ученая степень, ученое звание)

Консультанты по разделам:

Фамилия И.О. консультанта	Должность, ученая степень, ученое звание	Разделы работы

Дата выдачи задания «___»_____20____г.

Срок сдачи обучающимся законченной выпускной квалификационной работы «___»_____20__г.

Исходные данные для выполнения выпускной квалификационной работы:

Особые условия разработки месторождения:

Содержание расчетно-пояснительной записки:

Демонстрационный материал:

Руководитель ВКР _____
(подпись)

Обучающийся _____
(подпись)

ПРИЛОЖЕНИЕ 4

Примерная форма отзыва руководителя выпускной квалификационной работы

ОТЗЫВ РУКОВОДИТЕЛЯ ВЫПУСКНОЙ КВАЛИФИКАЦИОННОЙ РАБОТЫ

Выпускная квалификационная работа выполнена
Обучающимся _____
Направление подготовки _____
/специальность _____
Кафедра _____
Группа _____
Руководитель ВКР _____

Общая характеристика работы студента в период выполнения ВКР: _____
_____
_____

Актуальность темы _____
_____

Степень достижения целей ВКР_____
_____

Общая характеристика теоретической части (глубина разработки проблемы, логика изложения и проч.)_____
_____

Общая характеристика практической части работы (наличие элементов практической новизны, наличие и значимость практических предложений и рекомендаций)_____
_____

Степень владения профессиональными знаниями, умениями и навыками_____
_____

Замечания к ВКР_____
_____

Заключение:_____

Руководитель: _____ «___» _____ 20____ г.
подпись

Обучающийся: _____ «___» _____ 20____ г.
подпись

ПРИЛОЖЕНИЕ 5

Примерная форма отзыва рецензента о выпускной квалификационной работе

ОТЗЫВ
РЕЦЕНЗЕНТА О ВЫПУСКНОЙ КВАЛИФИКАЦИОННОЙ РАБОТЕ

Фамилия И.О. выпускника _____
Специальность _____
Профиль/специализация _____
_____

Тема рецензируемой работы _____
Рецензент место работы, должность (при наличии) _____
_____

Заключение о степени соответствия выпускной квалификационной работы заданию_____

Оценка теоретической части ВКР (теоретическая значимость исследования, анализ использованных источников)_____
_____

Оценка аналитической части ВКР (анализ представленных методик исследования)_____
_____

Оценка проектной части ВКР (практическая значимость исследования)_____
_____

Логичность, четкость, грамотность изложения материала_____
_____

Оценка сформированности компетенций, предусмотренных федеральным государственным образовательным стандартом:

ВКР демонстрирует (высокий, средний, низкий) уровень сформированности универсальных компетенций и (высокий, средний, низкий) уровень сформированности общепрофессиональных и профессиональныхкомпетенций.

Замечания и рекомендации (к публикации, внедрению, представлению на конкурс) по ВКР_____
_____

Общая оценка ВКР_____

Рецензент: _____ Фамилия И.О. Обучающийся: _____ Фамилия И.О.
(подпись) (подпись)
«_____» _____ 20____г. «_____» _____ 20____г.

М.П

ПРИЛОЖЕНИЕ 6

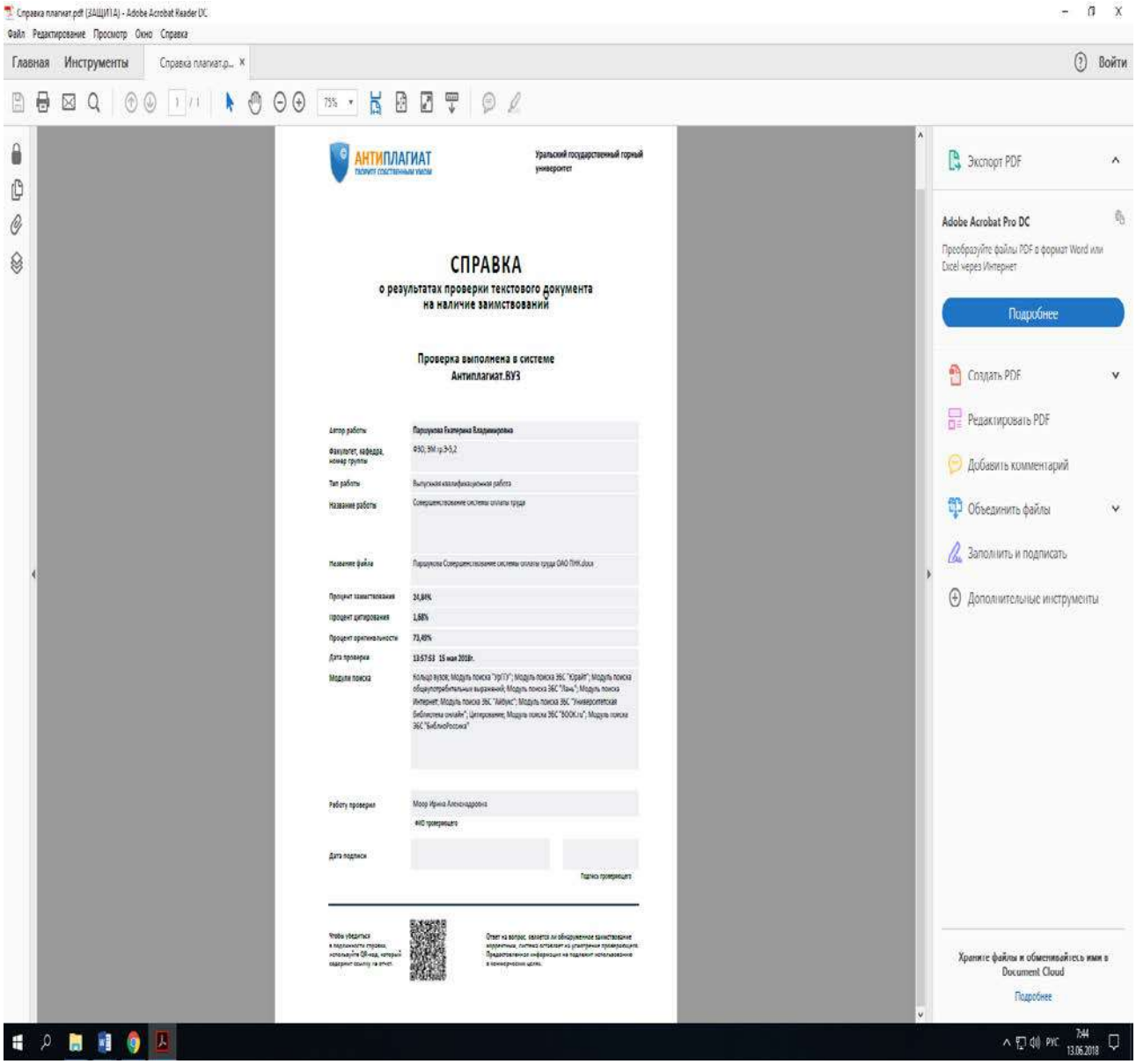
Пример оформления документа, подтверждающего использование результатов выпускной квалификационной работы

СПРАВКА
об использовании результатов выпускной квалификационной работы
на тему: «Магматизм и рудоносность Маньхамбовской шовной зоны»

Выводы и предложения, представленные в исследовании Жуклина Е.А., нашли применение в практической деятельности Северной научно-исследовательской геологической экспедиции, в частности, при анализе уран-ториевого оруденения Маньхамбовского массива.

Рекомендации автора по совершенствованию геолого-прогнозной деятельности организации взяты за основу при разработке перспективных направлений развития Северной научно-исследовательской геологической экспедиции

Директор СНИГЭ _____ Фамилия И.О.
(подпись)
М.П.



Справка плагиат.pdf (ЗАЩИТА) - Adobe Acrobat Reader DC

Файл Редактирование Просмотр Окно Справка

Главная Инструменты Справка плагиат.р... Войти

АНТИПЛАГИАТ

Уральский государственный горный университет

СПРАВКА

о результатах проверки текстового документа на наличие заимствований

Проверка выполнена в системе Антиплагиат.ВУЗ

Автор работы	Паршукова Екатерина Владимировна
Факультет, кафедра, номер группы	ФЭО, ЭМ гр.Э-5,2
Тип работы	Выпускная квалификационная работа
Название работы	Совершенствование системы оплаты труда
Название файла	Паршукова Совершенствование системы оплаты труда ОАО ТНК.docx
Процент заимствования	24,84%
процент цитирования	1,58%
Процент оригинальности	73,49%
Дата проверки	13:57:53 15 мая 2018г.
Модули поиска	Кольцо вузов; Модуль поиска "УрГГУ"; Модуль поиска ЭБС "Юрайт"; Модуль поиска общеупотребительных выражений; Модуль поиска ЭБС "Лань"; Модуль поиска Интернет; Модуль поиска ЭБС "Айбукс"; Модуль поиска ЭБС "Университетская Библиотека онлайн"; Цитирование; Модуль поиска ЭБС "BOOK.ru"; Модуль поиска ЭБС "ЮрайтРоссия"
Работу проверил	Мозер Ирина Александровна
ФИО проверяющего	
Дата подписи	
Подпись проверяющего	

Чтобы убедиться в подлинности справки, используйте QR-код, который содержит ссылку на отчет.

Ответ на вопрос, является ли обнаруженное заимствование корректным, система оставляет на усмотрение проверяющего. Предоставленная информация не подлежит использованию в коммерческих целях.

Экспорт PDF

Adobe Acrobat Pro DC

Преобразуйте файлы PDF в формат Word или Excel через Интернет

Подробнее

Создать PDF

Редактировать PDF

Добавить комментарий

Объединить файлы

Заполнить и подписать

Дополнительные инструменты

Храните файлы и обменивайтесь ими в Document Cloud

Подробнее

РУС 7:44 13.06.2018

ПРИЛОЖЕНИЕ 8

Пример структуры и оформления содержания выпускной квалификационной работы

СОДЕРЖАНИЕ

Введение	3
1 …….	6
1.1 ……	6
1.2 …….	..
1.3 ……	..
2 ……	
2.1 ……	
2.2 …..	
Заключение	
Список использованных источников	
Приложения	

ПРИЛОЖЕНИЕ 9

Примеры библиографических описаний, применяемых при оформлении списка использованных источников

1. Об основополагающих принципах и правах в сфере труда и механизм её реализации [Текст]: Декларация МОТ от 18.06.1998 // МБТ.1998.

2. Конституция Российской Федерации [Электронный ресурс]: Доступ из справочно-правовой системы «КонсультантПлюс». - Режим доступа: http://www.consultant.ru.

3. Трудовой кодекс Российской Федерации [Электронный ресурс]: Федеральный закон от 30.12.2001 г. № 197-ФЗ (в ред. от 05.10.2015) – Доступ из справочно-правовой системы «КонсультантПлюс». - Режим доступа: http://www.consultant.ru.

4. О безопасности [Электронный ресурс]: Федеральный закон от 28.12.2010 г. № 390-ФЗ – Доступ из справочно-правовой системы «КонсультантПлюс». - Режим доступа: http://www.consultant.ru.

5. Об общих принципах организации законодательных (представительных) и исполнительных органов власти субъектов Российской Федерации [Текст]: Федеральный закон от 06.10.1999 г. № 184-ФЗ // Собрание законодательства РФ. - 1999. - № 43.

6. О концепции национальной безопасности Российской Федерации [Текст]: Указ Президента Российской Федерации от 10 января 2000 г. № 24 // Собрание законодательства РФ. - 2000. - № 2.- Ст.170.

7. О порядке разработки и утверждения административных регламентов исполнения государственных функций (предоставления государственных услуг) [Электронный ресурс]: Постановление Правительства РФ от 11.11.2005 г. № 679. - Доступ из справочно-правовой системы «КонсультантПлюс». – Режим доступа: http://www.consultant.ru.

8. Булаевский, Б.А. Правовое положение несовершеннолетних по российскому гражданскому законодательству [Текст]: Автореф. дисс. … к.ю.н. М., 1998.

9. Гаврилов, Э. О наименовании юридического лица [Текст] / Э.О. Гаврилов // Хозяйство и право. - 2011. - № 12. - С. 3 – 11.

10. Мачульская, Е.Е. Право социального обеспечения [Текст]: учебник для бакалавров / Е.Е. Мачульская. – М.: Изд-во Юрайт, 2012. – 575 с.

11. Черткова, Е.Л. Утопия как способ постижения социальной действительности [Электронный ресурс] / Е.Л. Черткова // Социемы: журнал Уральского гос. ун-та. – 2002. - № 8. – Режим доступа: http://2www/usu.ru/philosoph/chertkova.

12. Цивилистические записки: [Текст]: Межвузовский сборник научных трудов. Выпуск 2. – М.: «Статут» - Екатеринбург: Институт частного права, 2002. – 511 с.

13. Юридический советник [Электронный ресурс]. – 1 электрон. опт. диск (CD-ROM): зв., цв.; 12 см. – Прил.: Справочник пользователя [Текст]/ сост. В.А. Быков. – 32 с.

14. Временные методические рекомендации по вопросам реструктуризации бюджетной сферы и повышения эффективности расходов региональных и местных бюджетов (Краткая концепция реструктуризации государственного и муниципального сектора и повышения эффективности бюджетных расходов на региональном и местном уровнях) [Текст]. - М.: ИЭПП, 2006. - 67 с.

15. Свердловская область в 1992-1996 годах [Текст]: Стат. сб./ Свердл. обл. комитет гос. статистики Госкомстата РФ. – Екатеринбург, 1997. – 115 с.

16. Социальное положение и уровень жизни населения России в 2010 г. [Текст]: Стат. сб. / Росстат. – М., 2011. – 320 с.

17. Социально-экономическое положение федеральных округов в 2010 г. [Электронный ресурс]. – Режим доступа http://www.gks. Ru.

18. An Interview with Douglass C. North [Text] // The Newsletter of The Cliometric Society. - 1993. - Vol. 8. - N 3. - P. 23–28.

19. Burkhead, J. The Budget and Democratic Government [Text] / Lyden F.J., Miller E.G. (Eds.) / Planning, Programming, Budgeting. Markham: Chicago, 1972. 218 p.

20. Miller, D. Strategy Making and Structure: Analysis and Implications for Performance [Text] // Academy of Management Journal. - 1987. - Vol. 30. - N 1. - P. 45–51.

21. Министерство финансов Российской Федерации: [Электронный ресурс]. – Режим доступа: http://www.minfin.ru.

22. Российская книжная палата: [Электронный ресурс]. - Режим доступа: http://www.bookchamber.ru.

23. Инструкция по делопроизводству в ООО «СК-групп» [Текст]. - Екатеринбург, 2012. – 26 с.

24. Бухгалтерский отчет ЗАО «ФНК» за 2012 год [Текст]. - Екатеринбург, 2013. – 14 с.

25. Правила внутреннего трудового распорядка АО «Маяк» [Текст]. - Екатеринбург, 2010. – 22 с.

МИНОБРНАУКИ РФ

ФГБОУ ВО «Уральский государственный горный университет»

УТВЕРЖДАЮ
Проректор по учебно-методическому
комплексу
_____ С. А. Упоров

О. А. Суставов

ПЕТРОГРАФИЯ МАГМАТИЧЕСКИХ И МЕТАМОРФИЧЕСКИХ ПОРОД, ПЕТРОЛОГИЯ

Учебно-методическое пособие
к лабораторным занятиям (часть 1)
для студентов специализации «Геологическая съемка, поиски и разведка месторождений полезных ископаемых» специальности 21.05.02 – «Прикладная геология»

Оглавление

1. МЕТОДИКА ИЗУЧЕНИЯ МИНЕРАЛОВ ПОД МИКРОСКОПОМ 3

1.1. Некоторые понятия кристаллооптики 3

1.2. Устройство и поверки микроскопа 6

1.3. Исследования при выключенном анализаторе 11

1.4. Исследования при включенном анализаторе в параллельном свете .. 16

1.5. Исследования при включенном анализаторе в сходящемся свете 26

1.6. План описания минерала под микроскопом 30

1.7. Примеры описания минералов в шлифе 31

1.8. Контрольные вопросы 33

2. ПОРОДООБРАЗУЮЩИЕ МИНЕРАЛЫ 34

2.1. Минералы магматических пород 34

2.2. Минералы метаморфических пород 52

2.3. Контрольные вопросы 60

БИБЛИОГРАФИЧЕСКИЙ СПИСОК 61

ПРЕДМЕТНЫЙ УКАЗАТЕЛЬ 61

1. МЕТОДИКА ИЗУЧЕНИЯ МИНЕРАЛОВ ПОД МИКРОСКОПОМ

1.1. Некоторые понятия кристаллооптики

Кристаллооптика – раздел физики, изучающий законы распространения света в кристаллах и возникающие при этом оптические эффекты.

В *естественном (неполяризованном)* свете векторы напряженности электрического поля ориентированы во всех направлениях, перпендикулярных световому лучу. В *плоскополяризованном* свете эти векторы расположены в одной плоскости, перпендикулярной направлению распространения светового луча; эта плоскость называется *плоскостью колебаний* света.

В *оптическикически изотропных* веществах свет распространяется во всех направлениях с равной скоростью. То есть показатель преломления *n* таких веществ во всех направлениях одинаков. Оптически изотропными являются жидкости, аморфные твердые тела (стекла, смолы) и кристаллы кубической сингонии.

Кристаллы остальных сингоний, кроме кубической, *оптически анизотропны.* Луч естественного света, попадая в оптически анизотропный кристалл, разделяется на два плоскополяризованных луча, имеющих неодинаковые скорости распространения и взаимно перпендикулярные плоскости колебаний. Скорость одного или обоих лучей зависит от направления их распространения в кристалле. Поэтому соответствующие этим лучам показатели преломления изменяются в зависимости от направления в кристалле. Разность наибольшего (n_g) и наименьшего (n_p) показателей преломления кристалла (n_g - n_p) называется его *двойным лучепреломлением (двупреломлением).*

В оптически анизотропных кристаллах имеются направления, по которым двойного лучепреломления не происходит (скорости распространения обоих лучей в этих направлениях одинаковы). Эти направления называются *оптическими осями*. Кристаллы средних сингоний: гексагональной, тетрагональной и тригональной, имеют одну оптическую ось (*оптически одноосные* кристаллы; оптическая ось в них совпадает с осью симметрии высшего порядка – L_6, L_4, L_3). Кристаллы низших сингоний: ромбической, моноклинной и триклинной, имеют две оптических оси (*оптически двуосные* кристаллы).

Поверхность, построенная на величинах показателей преломления, значения которых откладываются по направлению колебаний светового луча называется о*птической индикатрисой*.

В кристаллах кубической сингонии оптическая индикатриса имеет форму шара – показатели преломления имеют одинаковую величину во всех направлениях.

В одноосных кристаллах (гексагональная, тетрагональная и тригональная сингонии) индикатриса представляет собой эллипсоид вращения, ось вращения которого совпадает с оптической осью.

В двуосных кристаллах (ромбическая, моноклинная и триклинная сингонии) оптическая индикатриса имеет форму трехосного эллипсоида – с тремя взаимно перпендикулярными и неравными друг другу по величине осями N_g , N_m и N_p.

В кристаллах ромбической сингонии оси N_g , N_m и N_p совпадают с осями L_2 или нормалями к плоскостям симметрии.

В кристаллах моноклинной сингонии одна из осей индикатрисы совпадает с кристаллографической осью ***b***. Часто с осью ***b*** совпадает ось N_m, а плоскость N_g N_p совпадает с кристаллографической плоскостью (010). Оси N_g и N_p, лежащие в этой плоскости, образуют с кристаллографическими осями ***a*** и ***c*** некоторые углы, постоянные для каждого минерала.

В кристаллах триклинной сингонии оси индикатрисы N_g, N_m и N_p не совпадают с кристаллографическими осями.

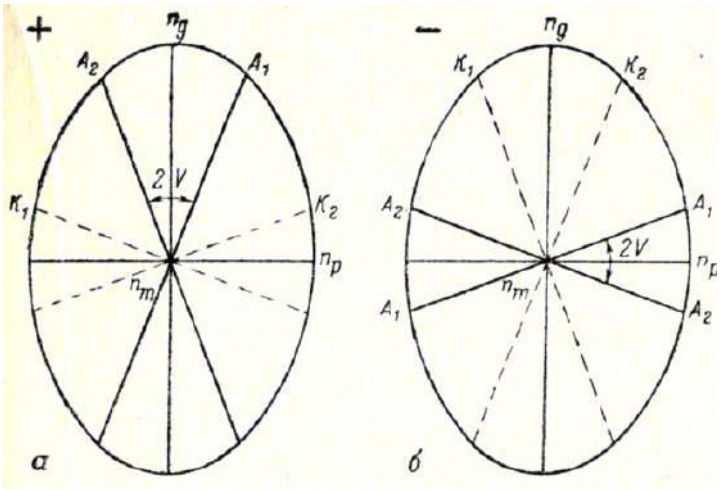


Рис. 1. Разрез индикатрисы оптически положительного (*а*) и оптически отрицательного (*б*) кристаллов; A_1 и A_2 – оптические оси, K_1 и K_2 – соответствующие им круговые сечения

В оптических индикатрисах двуосных кристаллов имеется два перпендикулярных оптическим осям *круговых сечения* с радиусом N_m (K_1 и K_2 на рис. 1). Сечение N_g N_p называется *плоскостью оптических осей* (в этом сечении располагаются оптические оси). Острый угол между оптическими осями называется *углом оптических осей* (*2V*). Оси индикатрисы N_g и N_p являются биссектрисами угла *2V* (рис. 1). Одна из них делит пополам острый угол между оптическими осями и поэтому называется *острой биссектрисой*, другая является биссектрисой тупого угла между оптическими осями и называется *тупой биссектрисой*.

Если острой биссектрисой является N_g, кристалл называется *оптически положительным* (+), если острой биссектрисой является N_p – *оптически отрицательным* (-).

Произвольное сечение индикатрисы двуосного кристалла представляет собой эллипс, большая полуось которого меньше N_g (обозначается N_g'), а малая полуось больше N_p (обозначается N_p').

1.2. Устройство и поверки микроскопа

Устройство микроскопа

Микроскопы серии **ПОЛАМ** (рис. 2) состоят из осветительной и наблюдательной систем.

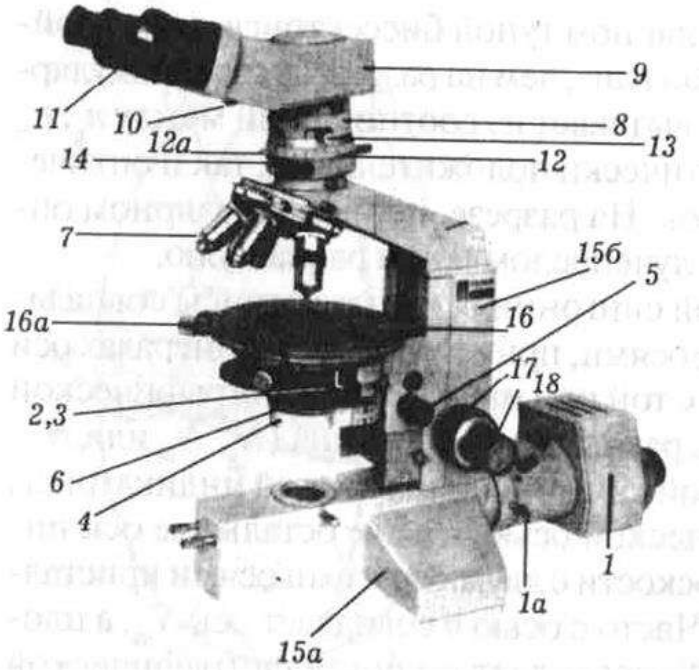


Рис. 2. Схема устройства поляризационного микроскопа серии Полам (объяснения в тексте)

Осветительная система включает в себя *осветитель 1*, закрепленный с помощью винта *1а*, и *конденсорное устройство 2*, состоящее из двух линз, верхняя из которых съемная. Выше конденсора помещена *диафрагма* с рукояткой *3*. *4* – откидная осветительная линза в оправе. Конденсорное устройство может перемещаться вверх и вниз вращением рукоятки *5*. В нижней части конденсорного устройства помещен *поляризатор* 6, закрепленный винтом. При ослаблении винта поляризатор можно вращать за кольцо оправы.

Наблюдательная система состоит из сменных объективов *7*, тубуса *8*, а также монокулярной насадки *9* с диафрагмой *10* и окуляром *11*. В некоторых микроскопах имеется бинокулярная насадка.

В тубусе размещены *анализатор* и *линза Бертрана*. Анализатор можно поворачивать с помощью кольца *12* и фиксировать винтом. Анализатор вводится и выводится рукояткой *12а*. Рукоятка *13* служит для включения и выключения линзы Бертрана. В нижней части тубуса имеется расположенный под углом 45 ° к плоскости симметрии микроскопа паз *14*, предназначенный для введения компенсаторов.

Все узлы микроскопа укреплены на *штативе* с основанием *15а* и тубусодержателем *15б*, в который смонтирован механизм фокусировки, перемещающий *предметный столик 16*. Грубое перемещение направляющей механизма фокусировки осуществляется рукоятками *17*, точное – рукоятками

18. Предметный столик представляет собой вращающийся диск, имеющий по окружности лимб с градусными делениями. Два нониуса *16а* дают возможность измерять углы поворота столика. Винты у нониусов обеспечивают фиксацию предметного столика.

Главными частями микроскопа **МП-6** (рис. 3) является штатив, тубус, предметный столик и осветительное устройство.

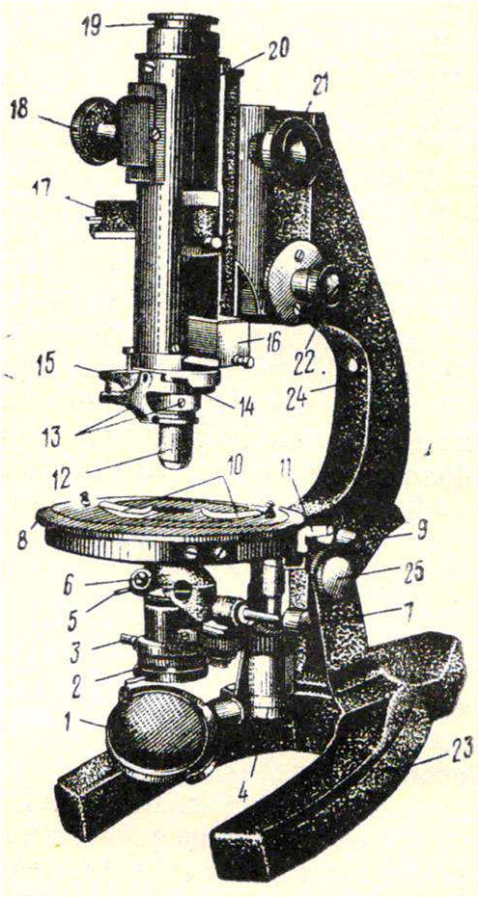


Рис. 3. Поляризационный микроскоп МП-6:
1 – осветительное зеркало; 2 – поляризатор; 3 – стопорный винт поляризатора; 4 – винт подъема поляризатора; 5 – рукоятка диафрагмы; 6 – линза Лазо; 7 – рукоятка линзы Лазо; 8 – предметный столик; 9 – стопорный винт столика; 10 – зажимы для крепления шлифа; 11 – нониус; 12 – объектив; 13 – центрировочные винты; 14 – прорезь для компенсатора; 15 – щипцы для крепления объектива; 16 – анализатор; 17 – линза Бертрана; 18 – винт линзы Бертрана; 19 – окуляр; 20 – тубус; 21 – винт грубой наводки; 22 – винт тонкой наводки; 23 – основание штатива; 24 – ручка тубусодержателя; 25 – стопорный винт штатива

Штатив состоит из массивной неподвижной нижней части *23* и верхней подвижной части *24*, на которой закреплены все другие устройства микроскопа. Обе части штатива соединены шарнирно, что позволяет наклонять верхнюю часть микроскопа на наблюдателя и закреплять ее с помощью стопорного винта в удобном для работы положении.

Тубус – цилиндр, который может перемещаться с помощью винта грубой наводки *21* и микрометренного винта *22*, позволяющих ставить объект на фокус. В нижней части тубуса имеются щипцы *15*, закрепляющие *объектив*. Выше располагается *анализатор*, который можно вводить и выводить из тубуса. Выше анализатора находится *линза Бертрана*, которую также можно вводить в тубус и выводить из него; эта линза используется при исследованиях в сходящемся свете, а при работе в параллельном свете выключается. В верхнее отверстие тубуса вставляется *окуляр 19*.

Предметный столик – массивный диск, вращающийся вокруг вертикальной оси. Внешний край столика градуирован, что позволяет с помощью ониусов *11* производить отсчеты углов поворота. Препарат закрепляется на столике с помощью пружинящих зажимов *10*.

Осветительное устройство располагается под предметным столиком. В его нижней части находится двустороннее осветительное *зеркало 1*. В большинстве случаев можно пользоваться его вогнутой стороной. Над зеркалом расположен *поляризатор 2*, выше которого находится *диафрагма*, регулирующая степень освещенности объекта и изолирующая боковые лучи. Над диафрагмой установлен *конденсор*, направляющий поток параллельных световых лучей на исследуемый объект. Выше располагается *линза Лазо 6*, которая используется для получения сходящегося светового пучка, необходимого при исследованиях коноскопическим методом. При изучении минералов в параллельном свете линза Лазо не используется и с помощью специального рычага *7* выводится из оптической системы микроскопа.

Осветительное устройство поднимается и опускается с помощью винта *4*, расположенного вертикально под столиком слева.

К каждому микроскопу приложен набор объективов с увеличениями 3^x, 8^x, 20^x, 40^x и 60^x.

Шлиф

Горные породы изучают под микроскопом в срезах толщиной около 0,03 мм, которые называются *шлифами*. Шлиф изготавливают следующим образом. С помощью алмазной пилы отпиливают небольшую пластинку горной породы, пришлифовывают ее с одной стороны на специальном станке, а затем приклеивают ровной стороной на *предметное* стекло. В качестве клея используют канадский бальзам – прозрачное смолоподобное вещество с показателем преломления около 1.537. Приклеенную к стеклу пластинку горной породы шлифуют с противоположной стороны до толщины около 0.03 мм, покрывают вторым слоем канадского бальзама и тонким *покровным стеклом.*

Подготовка микроскопа к работе

Для подготовки микроскопа к работе необходимо:

1. Установив микроскоп на рабочем месте, поворотом тубусодержателя придать тубусу удобный для работы наклон.

2. Поднять осветительное устройство винтом вверх до упора. Вывести из оптической системы микроскопа линзу Бертрана, анализатор, линзу Лазо, полностью открыть диафрагму.

3. Поставить объектив нужного увеличения (при рядовой работе обычно 8^x или 9^x). На оправе объектива имеется два стерженька для установки центрировочных винтов и наклонный фиксирующий штифт для закрепления объектива щипцами тубуса. Для установки объектива нужно сначала с помощью винта грубой наводки несколько приподнять тубус, а затем, сжав

пальцами левой руки щипцы, **правой** рукой надеть объектив на кольцеобразный выступ тубуса микроскопа. Затем нужно повернуть объектив против часовой стрелки так, чтобы фиксирующий штифт вошел в прорезь зажима, после чего отпустить щипцы.

4. Поворотами осветительного зеркала добиться наиболее яркой и равномерной освещенности поля зрения.

5. На предметный столик положить шлиф (покровным стеклом кверху) и с помощью зажима закрепить его.

6. Навести изображение шлифа на резкость при помощи винтов грубой и точной наводки (чтобы не повредить шлиф, лучше это делать, постепенно увеличивая расстояние между шлифом и объективом). Работая с объективами с увеличением 20^x, 40^x и 60^x, фокусные расстояния которых очень малы, наведение на резкость следует производить с особой осторожностью, чтобы не раздавить шлиф и не повредить линзы объективов. Для этого сначала нужно, глядя сбоку на конец объектива, осторожно с помощью винта грубой наводки подвести объектив близко к поверхности шлифа, а затем, смотря в окуляр, увеличивать фокусное расстояние до появления отчетливого изображения объекта.

7. Чтобы глаза не уставали, рекомендуется научиться, глядя одним глазом в окуляр микроскопа, оставлять другой глаз при работе открытым. Для этого вначале можно работать с надетым на тубус бумажным экраном.

Перед тем, как приступать к изучению шлифа, следует выполнить **поверки микроскопа.**

1. *Поверка скрещенности николей.*

Скрещенным называется такое положение поляризатора и анализатора, при котором плоскость колебаний света, пропускаемого анализатором, перпендикулярна плоскости колебаний света, пропускаемого поляризатором.

Поверка делается без шлифа. При выключенном анализаторе устанавливается освещенное поле зрения. Затем включается анализатор. Если николи скрещены, поле зрения при включенном анализаторе будет темным, почти черным. Если же при включенном анализаторе поле зрения просветлено, то николи не скрещены. В этом случае нужно открепить стопорный винт поляризатора, повернуть поляризатор за оправу на некоторый угол до полного угасания поля зрения и в этом положении закрепить винт.

Эту же поверку подобным образом можно делать и по участку канадского бальзама в шлифе.

2. *Поверка совпадения нитей окуляра с направлениями колебаний поляризатора и анализатора.*

Находим в шлифе зерно мусковита или биотита с хорошо различимыми трещинами спайности и устанавливаем это зерно при включенном анализаторе на угасание (делаем зерно максимально темным). Выключаем анализатор. Трещины спайности в зерне должны быть параллельны одной из нитей окуляра.

Если такой параллельности нет и в положении угасания трещины спайности ориентированы под некоторым (обычно небольшим) углом к нити окуляра, то следует несколько повернуть окуляр - до совпадения нити окуляра с направлением трещин спайности.

3. *Определение направления колебаний света в поляризаторе.*

Поверка производится при выключенном анализаторе с помощью зерна биотита с хорошо заметными трещинами спайности. Вращая столик микроскопа, наблюдаем, как при повороте столика биотит меняет окраску (плеохроирует). В тот момент, когда биотит приобретает самую густую окраску, трещины спайности ориентированы параллельно плоскости колебаний света в поляризаторе (совпадающей либо с вертикальной, либо с горизонтальной нитью окуляра). Следут записать, с какой именно нитью сопадает направление колебаний света в поляризаторе.

4. *Центрировка объектива.*

Центрировка объектива заключается в совмещении оптической оси объектива с осью микроскопа. При отцентрированном объективе зерно, поставленное на пересечение нитей окуляра, при вращении столика не смещается и все время остается на пересечении нитей окуляра. Если же объектив не отцентрирован, то при вращении столика зерно будет отклоняться от пересечения нитей окуляра.

Для этой поверки выбираем в шлифе какую-либо хорошо заметную точку и, передвигая шлиф на столике, ставим ее на перекрестие нитей окуляра (*1* на рис. 4), а затем вращаем столик микроскопа, следя за точкой. Если при вращении столика точка смещается относительно центра креста нитей, то объектив следует центрировать (обнаружив нарушение центрировки, следует сначала проверить, правильно ли вставлен объектив).

Для центрировки нужно повернуть столик микроскопа в положение, когда наблюдаемая точка максимально отклонилась от перекрестия нитей окуляра (*2* на рис. 4), надеть на специальные штифты на корпусе объектива

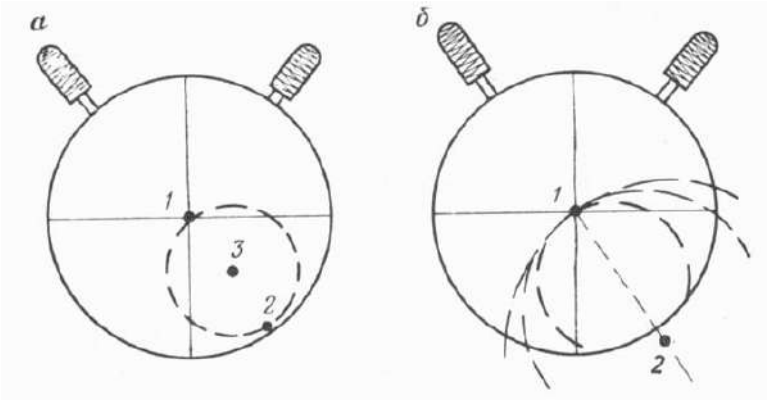


Рис. 4. Схема центрировки

центрировочные ключи и, вращая их, переместить точку в сторону перекрестия нитей на половину расстояния от точки до перекрестия нитей (в положение *3* на рис. 4, *а*). Затем передвинуть шлиф руками на столике так,

чтобы точка вновь попала в центр креста нитей. Повторять эти операции, пока точка при вращении столика не будет отклоняться от центра креста нитей.

Иногда, при сильной расцентрированности объектива, наблюдаемая точка при повороте столика микроскопа уходит за пределы поля зрения. В этом случае следует поворачивать предметный столик на некоторый угол то в одну, то в другую сторону, чтобы мысленно определить, где располагается центр окружности, которую описывает точка (направление *1 – 2* на рис. 4, *б*). Затем вращением центрировочных винтов перемещаем предполагаемый центр окружности, которую описывает точка, к перекрестию нитей окуляра. После этого, передвигая шлиф руками, снова ставим точку на центр поля зрения и повторяем описанные выше операции (иногда это приходится делать несколько раз) до достижения центрировки.

1.3. Исследования при выключенном анализаторе

Размер зерен. Приближенно размеры зерен в шлифах можно оценить, сравнивая зерна с диаметром поля зрения микроскопа. Величину диаметра поля зрения (с точностью до десятых долей миллиметра) можно определить, поставив на столик микроскопа вместо шлифа линейку с миллиметровыми делениями.

Для более точного измерения размеров зерен используется окуляр 6^x с микрометрической шкалой. Цена минимального деления этой шкалы при использовании объектива 8^x или 9^x - около 0.02 мм.

Для точного определения цены деления шкалы окуляра используется объект-микрометр, представляющий собой металлическую пластинку, в центре которой вставлено стекло с нанесенной линейной шкалой длиной 1 мм, разделенной на 100 делений. Объект-микрометр устанавливается на столике микроскопа как обычный шлиф. В тубус микроскопа вставляется окуляр со шкалой. Перемещая на столике объект-микрометр, совмещаем начало обеих шкал. Определяем, скольким делениям шкалы окуляра соответствует шкала объект-микрометра и вычисляем цену деления окуляра. Например: длина всей шкалы объект-микрометра (1 мм) соответствует 54 малым делениям шкалы окуляра. Отсюда 1 малое деление шкалы окуляра равно 1 мм : 54 = 0,0185 мм.

Форма зерен. Зерна минералов могут иметь призматическую, таблитчатую, пластинчатую, а также изометрическую и неправильную форму. При изучении шлифов объемная форма зерен минерала устанавливается на основе сопоставления между собой имеющихся в шлифе плоских разрезов минерала. На рис. 5 представлены продольные и поперечные разрезы кристаллов призматической, таблитчатой и пластинчатой формы.

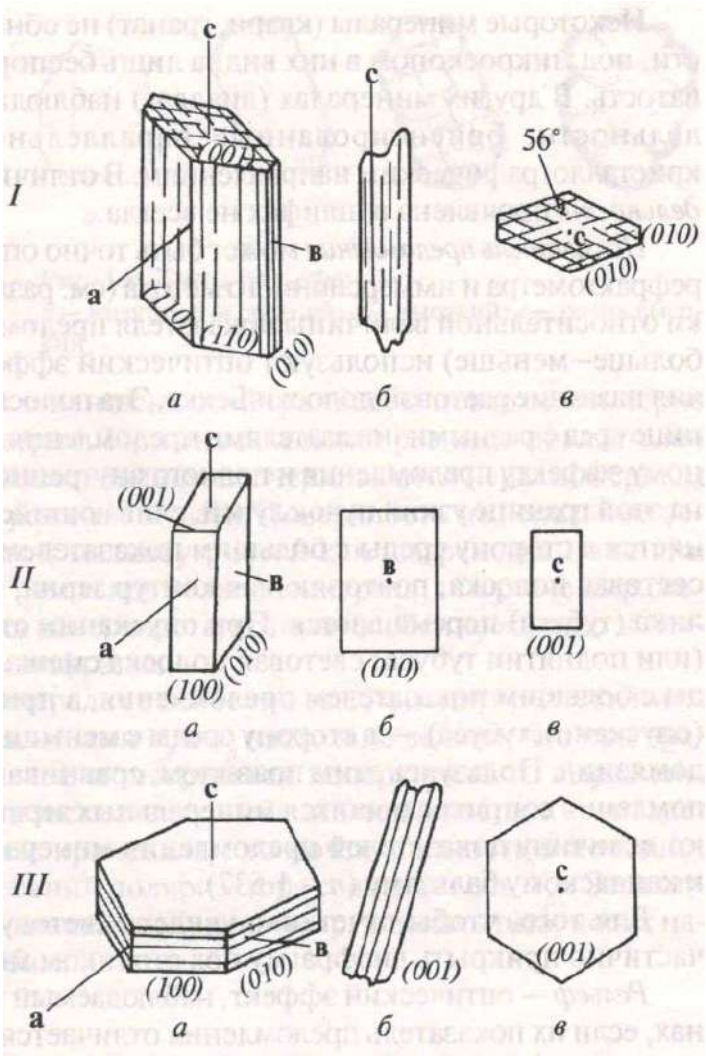


Рис. 5. Кристаллы призматической (*I*), таблитчатой (*II*) и пластинчатой (*III*) формы:
а – объемная форма кристаллов;
б, *в* – разрезы:
б – продольные,
в - поперечные

Спайность. Спайность наблюдается в шлифе в виде серии трещин, пересекающих минерал. Она видна не во всех сечениях кристаллов, а хорошо различается лишь там, где трещины спайности ориентированы по отношению к плоскости шлифа под углом, близким к 90 °. Так, у слюд в разрезах, перпендикулярных уплощенности кристаллов, видны четкие трещины спайности, а в разрезах, проходящих параллельно уплощенности кристаллов, трещин спайности не видно (см. рис. 5, *III*). У минералов, обладающих спайностью в двух направлениях, в шлифе чаще всего наблюдаются разрезы с трещинами спайности, проходящими лишь в одном направлении (см. рис. 5, *I, б*). Поэтому заключение о спайности минерала следует основывать на просмотре в шлифе всех зерен данного минерала.

У минералов с *весьма совершенной* спайностью (слюды) тонкие параллельные трещины спайности идут через весь кристалл (см. рис. 5, *III, б*). Минералы с *совершенной* спайностью (пироксены, амфиболы) характеризуются общим параллельным расположением трещин, но эти трещины прерывисты и не всегда строго параллельны друг другу (см. рис. 5, *I, б*). *Несовершенная* спайность (оливин) характеризуется отсутствием строгой параллельности, прерывистостью, иногда ветвлением и пересечением трещин, при наличии

общего направления в их расположении. Иногда несовершенная спайность проявлена в виде редких и коротких трещин (нефелин). Если минерал спайностью не обладает, то трещины отсутствуют или имеют неровную форму и ориентированы беспорядочно.

При наличии спайности по двум направлениям (см. рис. 5, *I*) измеряется угол между плоскостями спайности. Порядок работы при определении угла между плоскостями спайности следующий:

1) находим разрез, перпендикулярный трещинам спайности обоих направлений: трещины должны быть тонкими и не смещаться в сторону при подъеме и опускании тубуса микроскопа;

2) совмещаем трещины спайности одного направления с одной из нитей окуляра; берем отсчет по лимбу столика;

3) вращением столика совмещаем с той же нитью окуляра трещины спайности второго направления; снова берем отсчет. Разность отсчетов - угол между плоскостями спайности. Принято измерять острый угол между плоскостями спайности.

Цвет. При работе с выключенным анализатором различают зерна *непрозрачные*, которые выглядят совершенно черными (это главным образом рудные минералы, их определение проводится на специальных микроскопах в отраженном свете), и *прозрачные* – бесцветные и окрашенные.

Цвет минерала в шлифе отличается от цвета того же минерала в образце. Многие минералы, отчетливо окрашенные в образцах, под микроскопом оказываются бесцветными. Цвет минерала обычно характеризуется словом из двух частей: например, сине-зеленый, светло-коричневый. Некоторые минералы в анизотропных сечениях при вращении столика микроскопа изменяют интенсивность окраски, а иногда и цвет (*плеохроируют)*.

Показатель преломления. Показатель преломления минерала оценивается в шлифе путем его сравнения с показателем преломления канадского бальзама (1.537 ± 0.004) или с показателями преломления окружающих минералов. Эта оценка производится исходя из наблюдения у изучаемого минерала описываемых ниже рельефа, характера ограничений, шагреневой поверхности и полоски Бекке (лучше всего они видны при частично прикрытой диафрагме и опущенном осветительном устройстве).

Рельеф – оптический эффект, свойственный зернам минералов, показатели преломления которых отличаются от показателя преломления канадского бальзама. У минералов с показателями преломления, более высокими, чем у канадского бальзама, рельеф *положительный* – минерал кажется более толстым, чем другие минералы, как бы рельефно выступающим над общей поверхностью шлифа. У минералов с показателями преломления, более низкими, чем у канадского бальзама, рельеф *отрицательный* – кажется, что минерал образует впадину на поверхности шлифа.

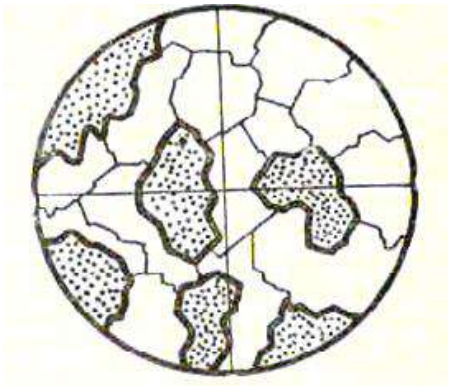


Рис. 6. Резкие ограничения и шагреневая поверхность у минералов с высоким показателем преломления

Чем больше отличается показатель преломления изучаемого зерна от канадского бальзама или соседних зерен, тем сильнее выражен рельеф данного зерна. При равенстве показателей преломления минерала и канадского бальзама рельеф у минерала отсутствует.

Ограничения. Граница между минералом и канадским бальзамом, или между двумя бесцветными минералами, находящимися в непосредственном контакте друг с другом, четко заметна в том случае, если их показатели преломления различны. Чем больше разница в показателях преломления соприкасающихся минералов, или минерала и канадского бальзама, тем ограничения становятся более резкими (рис. 6).

Шагреневая поверхность. При изготовлении шлифов на поверхностях срезов зерен образуются микроскопические неровности. У минералов с показателями преломления, близкими к канадскому бальзаму, эти неровности не заметны и поверхность зерен выглядит гладкой. Если же показатели преломления минерала значительно отличаются от канадского бальзама, то неровности на поверхности зерна становятся заметнее и поверхность зерна кажется шероховатой, мелкобугристой - как шагреневая кожа или кожура апельсина. Чем больше отличие показателей преломления зерна от показателя преломления канадского бальзама, тем резче выражена шагреневая поверхность этого зерна (см. рис. 6).

На границе двух соприкасающихся бесцветных минералов, обладающих близкими показателями преломления, при внимательном наблюдении заметно явление окрашивания минералов в зеленоватые и розоватые тона (*дисперсионный эффект*). Бесцветный минерал, имеющий более высокий показатель преломления, приобретает светло-зеленоватую окраску, а бесцветный минерал с более низким показателем преломления - розоватую окраску. Этот эффект становится более отчетливым при прикрытой диафрагме и некотором расфокусировании изображения.

Умение видеть дисперсионный эффект особенно важно при расмотрении мелких бесцветных включений одного минерала в другом, например, мелких вростков плагиоклаза в калиевом полевом шпате (пертиты) или, наоборот, калиевого полевого шпата в плагиоклазе (антипертиты). Отличить калиевый полевой шпат от кварца и плагиоклаза в мелкозернистых агрегатах иногда можно только по дисперсионному эффекту.

По характеру ограничений, рельефу и шагреневой поверхности В. Н. Лодочников подразделяет все бесцветные минералы на 7 групп (табл. 1).

Для более точного определения относительного показателя преломления используется так называемая световая *полоска Бекке*. Это возникающая при расфокусировании микроскопа узкая световая полоска, повторяющая контур зерна. Наиболее четко она видна при использовании объективов с увеличением

20^x и более. При увеличении расстояния между объективом и шлифом полоска Бекке перемещается в сторону вещества с *бóльшим* показателем преломления,

Таблица 1

Группы В. Н. Лодочникова

Группа	Показатель преломления	Ограничения, шагреневая поверхность	Рельеф	Примеры минералов
1	1.41 - 1.47	ясные	отрицательный	опал
2	1.47 - 1.53	слабые	«	калиевый полевой шпат
3	1.53 - 1.55	отсутствуют	нет	кварц, кислый плагиоклаз
4	1.55 - 1.60	слабые	положительный	мусковит, основной плагиоклаз
5	1.61 - 1.66	ясные	«	апатит
6	1.66 - 1.78	резкие	«	пироксен, оливин
7	более 1.78	очень резкие	«	титанит, циркон

а при уменьшении расстояния между объективом и шлифом – в сторону вещества с *меньшим* показателем преломления.

Порядок работы при определении показателя преломления минерала:

1) Находим зерно определяемого минерала на границе с канадским бальзамом (на краю шлифа или на границе с заполненной канадским бальзамом трещиной внутри шлифа). При включенном анализаторе зерно имеет некоторую интерференционную окраску, а канадский бальзам черный и остается черным при вращении столика микроскопа.

2) Выключаем анализатор, несколько опускаем осветительное устройство и частично прикрываем диафрагму.

3) Определяем рельеф, характер ограничений и шагреневой поверхности изучаемого зерна.

4) Находим границу между зерном и канадским бальзамом. При подъеме и опускании тубуса наблюдаем полоску Бекке и отмечаем направление ее перемещения.

5) По таблице 1 оцениваем величину показателя преломления минерала.

Для оценки показателя преломления по определенной оси индикатрисы (N_g, N_m, N_p) нужно совместить эту ось с направлением колебаний света в поляризаторе (как определять наименования осей индикатрисы – см. в разделе 1.3). Для этого зерно ставится на угасание при включенном анализаторе, а затем анализатор выключается и производится наблюдение. Видимые рельеф,

ограничения, шагреневая поверхность и поведение полоски Бекке определяются величиной показателя преломления по той оси индикатрисы, которая совмещена с направлением колебаний света в поляризаторе.

Псевдоабсорбция. Как отмечено выше, наблюдаемые под микроскопом рельеф и шагреневая поверхность минерала зависят от того, какой показатель преломления минерала совпадает с направлением колебаний света, пропускаемого поляризатором. У большинства минералов разница в величине показателей преломления по разным направлениям невелика. Поэтому при вращении минерала на столике микроскопа (то есть при совмещении различных направлений изучаемого минерала с плоскостью колебаний света в поляризаторе) заметных изменений рельефа и шагреневой поверхности минерала чаще всего не наблюдается.

Но у некоторых минералов с особенно высоким двупреломлением (например, у карбонатов) один показатель преломления много выше канадского бальзама, а другой близок или ниже канадского бальзама (например, у кальцита один показатель преломления равен 1.658, а другой - 1.486). В этом случае при вращении столика микроскопа рельеф и шагреневая поверхность зерна то выражены очень отчетливо – рис. 7, слева (когда с плоскостью колебаний света в поляризаторе совпадает наибольший показатель преломления), то почти полностью исчезают - рис. 7, справа (когда с плоскостью колебаний света в поляризаторе совпадает наименьший показатель преломления). Этот оптический эффект носит название псевдоабсорбции.

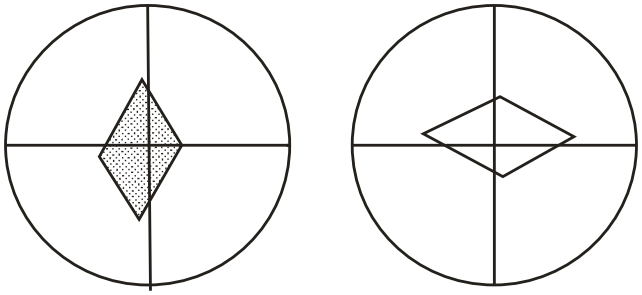


Рис. 7. Явление псевдоабсорбции

Степень проявления псевдоабсорбции у одного и того же минерала зависит от сечения минерала. В том разрезе минерала, где располагаются наибольший и наименьший показатели преломления, псевдоабсорбция выражена наиболее резко. В произвольном косом сечении псевдоабсорбция проявлена слабее. А в сечении, перпендикулярном оптической оси (в этом сечении показатель преломления одинаков во всех направлениях), псевдоабсорбция отсутствует.

Сильной псевдоабсорбцией обладают карбонаты, несколько слабее она проявлена у мусковита, а опытный глаз иногда улавливает псевдоабсорбцию даже у таких минералов, как кварц.

1.4. Исследования при включенном анализаторе в параллельном свете

Двупреломление минерала

В оптически анизотропных веществах луч света, входя в кристалл, раздваивается. Образовавшиеся два луча распространяются в кристалле с разными скоростями. В результате один луч обгоняет другой - между ними возникает разность хода R (обычно измеряется в нанометрах). Величина разности хода R пропорциональна толщине кристалла d (толщине шлифа) и величине $N_g' - N_p'$ в данном сечении кристалла:

$$R=d(N_g' - N_p')$$

При прохождении двух образовавшихся в кристалле световых лучей через анализатор происходит интерференция этих лучей (вследствие наличия между ними разности хода R). В результате кристалл приобретает при включенном анализаторе *интерференционную окраску*. Каждому значению разности хода R соответствует своя интерференционная окраска.

Интерференционная окраска возникает, если разность хода R не равна нулю. Если же разность хода R равна нулю (это имеет место при $N_g' - N_p' = 0$, то есть когда сечение индикатрисы в данном зерне имеет форму круга), то свет через кристалл не проходит и кристалл выглядит в скрещенных николях черным. Форму круга имеют сечения оптической индикатрисы аморфных веществ и кристаллов кубической сингонии (оптически изотропных веществ), а также перпендикулярные оптическим осям сечения индикатрисы кристаллов остальных сингоний (такие сечения называются оптически изотропными сечениями).

Таким образом, аморфные вещества (в том числе стекло и канадский бальзам), кристаллы кубической сингонии и перпендикулярные оптическим осям сечения одноосных и двуосных кристаллов в скрещенных николях выглядят темными (черными) и не просветляются при вращении столика микроскопа.

У некоторых аморфных веществ и кристаллов кубической сингонии иногда отмечается слабая аномальная анизотропия (вследствие внутренних напряжений и т. п.), проявляющаяся в скрещенных николях в слабой серой интерференционной окраске. Это свойственно, например, некоторым гранатам. Участки, обнаруживающие двупреломление, нередко располагаются в кристаллах граната зонально и секториально. Аномальная анизотропия в некоторых случаях проявляется и в таком аморфном веществе, как вулканическое стекло.

При повороте столика микроскопа на 360 ° анизотропное сечение минерала четыре раза гаснет (становится черным) и четыре раза просветляется, приобретая ту или иную интерференционную окраску (максимальная яркость

наступает при повороте столика на 45 ° от положения угасания). Угасание происходит в тот момент, когда оси индикатрисы совпадают с направлениями колебаний света в поляризаторе и анализаторе (рис. 8). В правильно настроенном микроскопе нити окуляра ориентированы параллельно этим направлениям, так что *в момент угасания нити окуляра указывают на положение осей индикатрисы* в данном разрезе минерала.

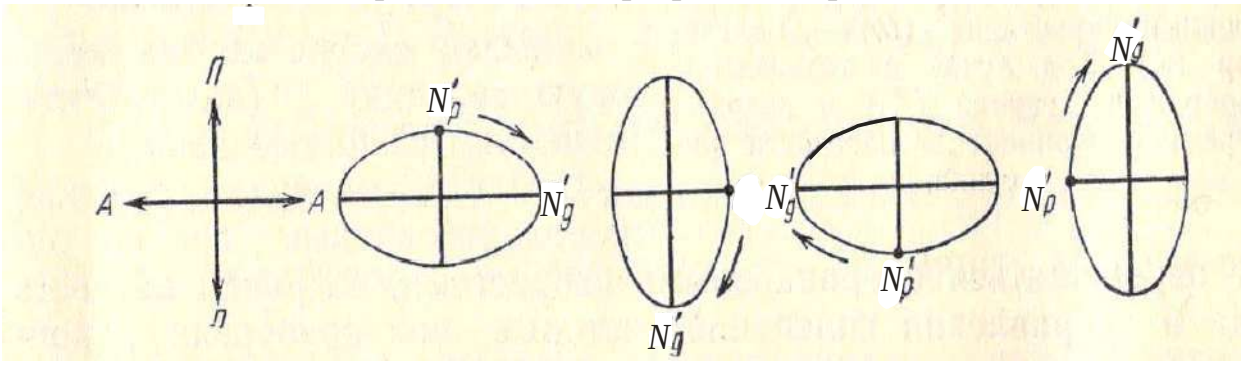


Рис. 8. Четырехкратное угасание минерала в анизотропном сечении при повороте столика микроскопа на 360 ° (*П, А* – плоскости колебаний света в поляризаторе и анализаторе)

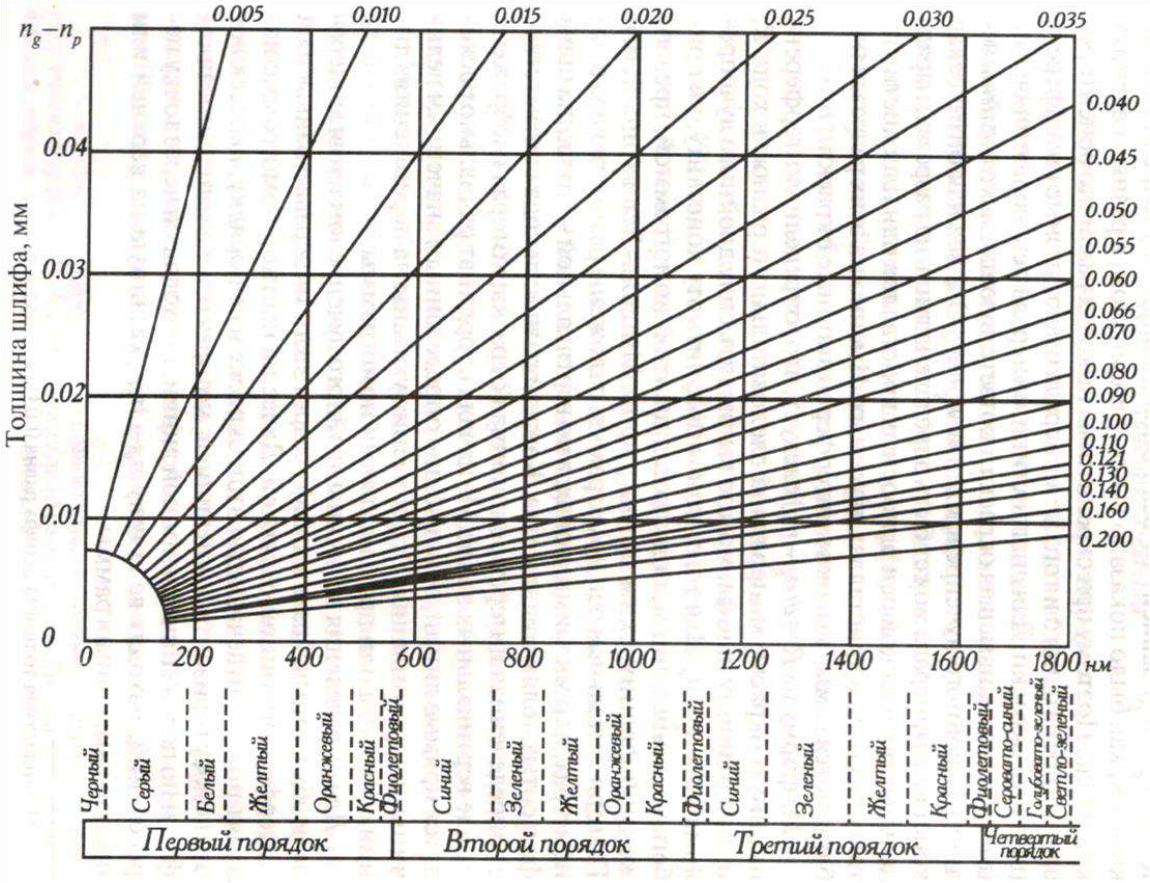


Рис. 9. Номограмма Мишель-Леви. Внизу – цвета интерференционной окраски и соответствующие им значения разности хода *R* (в нанометрах). Объяснения в тексте.

Наблюдаемые у кристаллов интерференционные окраски делятся на порядки (*I, II, III* и так далее), границы между которыми проводятся по фиолетовой окраске (рис. 9). Первый порядок начинается с низких цветов интерференции – темно-серого, серого, белого, далее желтого, и заканчивается красным, а затем фиолетовым цветом (последний соответствует разности хода около 550 нм).

Цвета интерференции *II* и *III* порядков повторяются в одинаковой последовательности: каждый порядок начинается с синего цвета, затем следуют зеленый, желтый, красный цвет. Фиолетовый цвет на границе *II* и *III* порядка отвечает разности хода 1100 нм, на границе *III* и *IV* порядков – 1650 нм (см. рис. 9). При больших разностях хода интерференционные окраски становятся все более бледными и выше *III* порядка трудно различимы.

У некоторых минералов величина двупреломления для световых лучей разного цвета несколько отличается по величине (дисперсия двупреломления). Это приводит к образованию *аномальных* (отличающихся от приводимых на рис. 9) интерференционных окрасок – ржаво-бурых, красно-фиолетовых, индигово-синих в *I* порядке и очень ярких и пестрых в более высоких порядках. Аномальные интерференционные окраски характерны для хлорита, эпидота и некоторых других минералов.

При наблюдении интерференционной краски минерала нужно уметь определять ее порядок. Это можно сделать, рассматривая края зерен минерала. Нужно найти в шлифе зерно минерала, край которого скошен на клин. В пределах клина толщина зерна постепенно увеличивается. Поэтому в соответствующей клину каемке на краю зерна наблюдается последовательный (как на номограмме Мишель-Леви) переход от низких цветов интерференционной окраски *I* порядка в самой тонкой части клина к все более высокой интерференционной окраске, соответствующей толщине основной части зерна.

Например, если зерно в своей основной части имеет желтую интерференционную окраску *II* порядка (рис. 10), то в периферической клиновидной части зерна будут последовательно наблюдаться серая, белая, желтая, красная окраска *I* порядка, затем синяя и зеленая окраска *II* порядка,

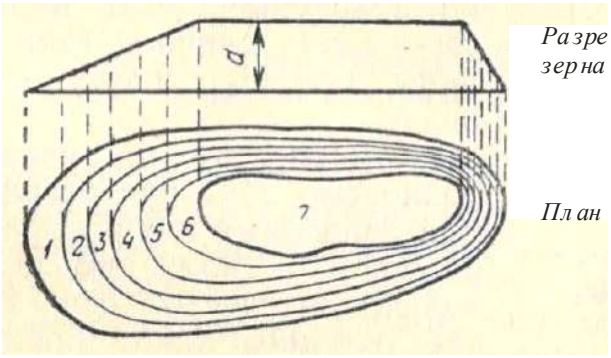


Рис. 10. Образование цветных каемок в краевых скошенных на клин частях зерна: 1 – серый *I*; 2 – белый *I*; 3 – желтый *I*; 4-красный *I*; 5-синий *II*; 6-зеленый *II*; 7 – желтый *II* (*I, II* – порядок интерференционной окраски)

после чего идет свойственная основной части зерна желтая интерференционная окраска *II* порядка (см. рис. 10). Прослеживая эти цветные каемки на краю

зерна (сравнивая последовательность цветов с номограммой Мишель-Леви), можно определить, какой порядок имеет интерференционная окраска, которую имеет основная часть изучаемого зерна.

Ширина цветных каемок на краях зерен зависит от угла наклона клина на краю зерна. Если при пологом клине можно наблюдать последовательную смену всех цветов интерференции (см. рис. 10, слева), то при крутом наклоне клина (см. рис. 10, справа) некоторые цвета выпадают, а другие (обычно синий и зеленый) сливаются в одну темную полоску. Для определения порядка окраски может быть использована и такая слившаяся сине-зеленая полоска: отсутствие этой полоски говорит о *I* порядке интерференционной краски минерала, одна полоска указывает на *II* порядок, а наличие вдоль края зерна двух таких полосок указывает на *III* порядок интерференционной окраски в основной части зерна.

Интерференционную окраску может несколько искажать собственная окраска минерала (наблюдаемая при выключенном анализаторе, например, у биотита или роговой обманки). Например, зерно роговой обманки (зеленое при выключенном анализаторе) с красной интерференционной окраской *I* порядка будет выглядеть при включенном анализаторе из-за зеленой собственной окраски не красным, а бурым. То есть при изучении минералов с интенсивной собственной окраской следует иметь ввиду, что для определния истинной интерференционной окраски следует «вычитать» из наблюдаемой интерференционной окраски собственную окраску минерала .

Из формулы $R=d(N_g' - N_p')$ следует, что в скрещенных николях различно ориентированные зерна (зерна с различными значениями $N_g' - N_p'$) одного и того же анизотропного минерала имеют разные значения R, то есть разную интерференционную окраску. Таким образом, один и тот же минерал в зависимости от сечения может иметь в шлифе различную интерференционную окраску. Эта окраска минимальная (черная) в разрезах, перпендикулярных оптической оси, наивысшая в разрезах, соответствующих $N_g - N_p$, и промежуточная в прочих разрезах.

В случае наивысшей интерференционной краски приведенная выше формула имеет вид $R=d(N_g - N_p)$. Используя эту формулу, можно определять толщину шлифа (d) и двупреломление минерала ($N_g - N_p$).

Определение толщины шлифа. Чаще всего производится по кварцу. Для этой цели находим в шлифе зерно кварца с наивысшей интерференционной окраской. По таблице Мишель-Леви определяем разность хода лучей R для этой окраски. Затем по формуле $d=R/(N_g - N_p) = R/0.009$ (0.009 – величина $N_g - N_p$ кварца) вычисляем толщину шлифа (R и d должны быть выражены в одинаковых единицах измерения – нанометрах или миллиметрах).

Определить толщину шлифа по кварцу с помощью номограммы Мишель-Леви можно и не прибегая к вычислениям. По горизонтальной оси номограммы (см. рис. 9) отложены разности хода в нанометрах (каждой разности хода соответствует определенная интерференционная окраска), а по

вертикальной оси – толщина шлифа в сотых долях миллиметра. Из начала координат радиально расходятся прямые линии, отвечающие определенным значениям величины двупреломления, указанным на пересечениях линий с верхним или правым краями номограммы.

Для определения толщины шлифа находим точку пересечения наклонной линии, соответствующей двупреломлению 0.009, и вертикальной линии, соответствующей значению разности хода R наблюдаемой в данном шлифе наивысшей интерференционной окраски кварца. После этого по оси ординат считываем соответствующее этой точке значение толщины шлифа.

В тех случаях, когда в породе нет кварца, для определения толщины шлифа можно использовать плагиоклаз, условно приняв его двупреломление равным 0,008 (такое двупреломление имеют встречающиеся в ряде бескварцевых магматических пород плагиоклазы состава андезин-лабрадор).

Определение двупреломления минерала. В шлифе находим зерно изучаемого минерала с наивысшей интерференционной окраской (для этого просматриваем все зерна данного минерала и оцениваем интерференционную окраску каждого зерна). По номограмме Мишель-Леви определяем разность хода R для найденной наивысшей интерференционной окраски. Зная толщину шлифа d, по формуле $N_g - N_p = R/d$ вычисляем величину двупреломления ($N_g - N_p$) минерала.

Графическое определение двупреломления $N_g - N_p$ по номограмме Мишель-Леви производится следующим образом. От взятого по оси ординат значения толщины данного шлифа перемещаемся слева направо до определенной нами наивысшей интерференционной окраски минерала. Из полученной точки по наклонной линии поднимаемся вверх направо и считываем на конце этой линии значение двупреломления минерала.

Таблица 2

Интерференционная окраска минералов в зависимости от двупреломления (по А. Н. Феногенову, с изменениями)

Двупреломление	Интерференционная окраска в шлифах стандартной толщины (0,03 мм)	Характерные минералы
Менее 0.005 (очень слабое)	Серая, светло-серая	Апатит, нефелин
0.005 – 0.010 (слабое)	Белая, светло-желтая	Кварц (0.009), полевые шпаты
0.011-0.030 (умеренное)	Желто-оранжевая, красная *I* порядка до желто-зеленой *II* порядка	Роговая обманка, авгит
0.31 – 0.100 (сильное)	Желтая *II* порядка до *V* порядка	Оливин, биотит, циркон
Более 0.100 (очень сильное)	Перламутровые, бело-розовые окраски высших порядков – *IV* порядок и выше	Карбонаты, титанит, рутил

Двупреломление минерала может быть: 1) очень слабым, 2) слабым, 3) умеренным, 4) сильным (табл. 2). Граница двупреломления 0.030 (между умеренным и сильным двупреломлением) соответствует появлению в скошенных на клин краях зерен повторяющихся цветных полосок, по которым можно определять порядок интерференционной окраски (см. выше). При очень сильном двупреломлении порядок интерференционной окраски установить практически невозможно.

Угол угасания

Угол угасания – это угол между одной из осей индикатрисы и какой-либо кристаллографической плоскостью (гранью кристалла, трещиной спайности, двойниковым швом). Если угол угасания равен нулю, угасание называется прямым, если не равен нулю – косым (рис. 11). В случае, если указанные выше кристаллографические плоскости в зерне не выражены (например, в зернах кварца неправильной формы), характер угасания минерала не определяется.

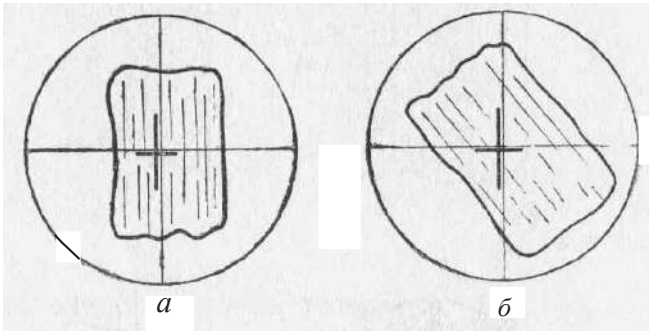


Рис. 11. Характер угасания минерала:
а – прямое, б – косое (минерал зарисован в положении угасания, черные линии в центре – оси оптической индикатрисы зерна)

Минералам гексагональной, тетрагональной, тригональной и ромбической сингоний в большинстве разрезов свойственно прямое угасание. Минералы моноклинной сингонии в разрезах, перпендикулярных (010), обладают прямым угасанием, а в разрезе, параллельном (010) (такой разрез характеризуется наивысшей интерференционной окраской), – косым. Минералы триклинной сингонии обладают во всех разрезах косым угасанием.

Для определения характера угасания какого-либо зерна нужно установить грань кристалла или трещины спайности параллельно вертикальной нити окулярного креста и, включив анализатор, посмотреть, будет зерно при скрещенных николях находиться в положении угасания или нет. Если минерал в этом положении гаснет, значит угасание прямое, а если минерал просветлен, то угасание косое.

Если угасание косое, то следует измерить угол угасания. Для этого нужно повернуть столик микроскопа из положения, когда грань кристалла или трещины спайности параллельны вертикальной нити, в положение угасания зерна. Угол поворота равен углу угасания. Достигать положения угасания можно, поворачивая столик как вправо, так и влево. При измерении угла

угасания столик вращают в сторону ближайшего угасания минерала, чтобы угол угасания был менее 45 °.

При определении угла угасания следует указывать, по отношению к какой оси оптической индикатрисы он измерен. В положении угасания оси оптической индикатрисы зерна располагаются параллельно нитям окуляра, но нужно определить наименования этих осей.

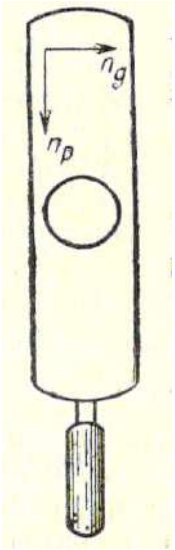


Рис. 12 . Компенсатор

Определение наименований осей индикатрисы производится с помощью *компенсаторов*, которые представляют собой кристаллические пластинки с известной разностью хода и фиксированным положением осей индикатрисы. Вдоль длинной стороны компенсаторов расположена ось N_p, а поперек длинной стороны - N_g (рис. 12).

Во многих случаях используется компенсатор с разностью хода 550-560 нм. Введенный в специальную прорезь тубуса микроскопа (см. рис. 1, 2), он дает красно-фиолетовую интерференционную окраску, поэтому его называют «красным».

Для определения наименования осей индикатрисы сначала ставим исследуемый минерал в положение угасания. В этом положении оси индикатрисы параллельны нитям окуляра (см. рис. 11). Затем поворачиваем столик микроскопа на 45 ° против часовой стрелки. Этим мы поворачиваем ось индикатрисы, которая совпадала с вертикальной нитью микроскопа, в положение, ориентированное параллельно прорези тубуса микроскопа, в которую вставляется компенсатор.

Вводим компенсатор и наблюдаем изменение интерференционной окраски минерала. Если оси индикатрисы минерала N_p и N_g *совпадают* по направлению с одноименными осями компенсатора (рис. 13), то происходит

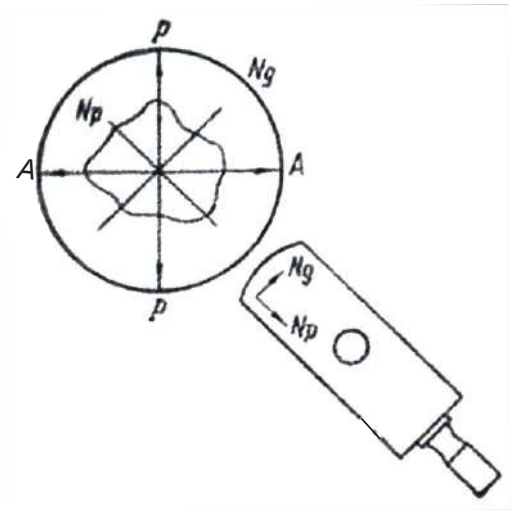


Рис. 13. Совпадение одноименных осей индикатрисы

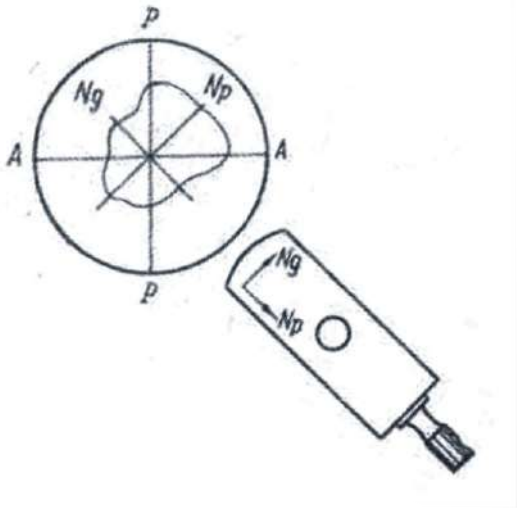


Рис. 14. Совпадение разноименных осей индикатрисы

сложение разностей хода минерала и компенсатора – интерференционная окраска *повышается*. Если оси индикатрисы минерала и компенсатора *не совпадают* по направлению (рис. 14), то общая разность хода уменьшается и интерференционная окраска *понижается*. Если компенсатором с разностью хода 550-560 нм устанавливают наименования осей индикатрисы зерна с интерференционной окраской **I порядка**, то повышение или понижение интерференционной окраски определяется по отношению к компенсатору.

Например, минерал обладает белой интерференционной окраской *I* порядка (*R* = 200 нм). При совпадении одноименных осей индикатрисы в минерале и в компенсаторе происходит сложение разностей хода (*R* = 200 + 560 = 760 нм) и интерференционная окраска повышается (относительно красной окраски компенсатора - 550-560 нм) до сине-зеленой *II* порядка (760 нм). При обратном расположении осей индикатрисы разность хода уменьшается (*R* = 560 - 200 = 360 нм) и интерференционная окраска понижается (относительно красной окраски компенсатора - 550-560 нм) до желтой *I* порядка (360 нм).

Компенсатор с разностью хода 550-560 нм может быть использован и при определении наименования осей индикатрисы минералов **с высокой интерференционной окраской.** Как отмечалось ранее, на скошенных краях зерен таких минералов могут наблюдаться участки (чаще всего в виде полосок по краям зерен) с низкой интерференционной окраской (серой, белой, желтой *I* порядка). По ним описанным выше способом можно определить наименование осей индикатрисы. В случае совпадения одноименных осей индикатрисы компенсатора и зерна серая окраска на скошенном крае зерна при введении компенсатора станет синей или зеленой и, наоборот, если у компенсатора и зерна совпадут разноименные оси, серая окраска на скошенном крае зерна станет желтой или оранжевой.

При работе с компенсатором рекомендуется контролировать правильность измерений, определяя у изучаемого зерна наименования обеих осей индикатрисы. Если в одном положении было, например, совпадение направления осей индикатрисы в зерне и в компенсаторе, то после поворота на 90 ° должен наблюдаться противоположный эффект.

Для определения наименования осей индикатрисы может быть использован также *кварцевый клин* – компенсатор, толщина которого увеличивается от одного его конца к другому. Направление тонкого конца обозначается на оправе острым углом треугольника (рис. 15). По мере введения кварцевого клина в прорезь тубуса микроскопа тонким концом вперед толщина

.

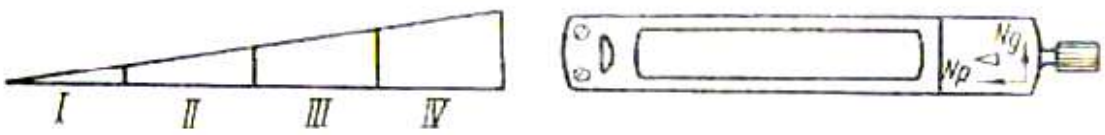


Рис. 15 . Кварцевый клин

наблюдаемой в поле зрения части компенсатора возрастает и видимая интерференционная окраска компенсатора последовательно повышается - от *I* до *III* и *IV* порядка (см. рис. 15), как на номограмме Мишель-Леви.

Кварцевый клин позволяет различать повышение или понижение интерференционной окраски по скошенным краям зерен высокодвупреломляющих минералов («метод бегущих полосок»).

Если при вдвигании кварцевого клина цветные полоски интерференционной окраски на скошенном крае зерна перемещаются *от центра* минерала к его краям, то оси эллипса в клине и в минерале *совпадают*. Если же цветные полоски при вдвигании клина перемещаются от краев зерна к центру, то оси эллипса в клине и в минерале не совпадают. Чтобы передвижение цветных полосок было заметно, следует вдвигать клин не слишком медленно. Следует иметь ввиду, что при несовпадении осей эллипса передвижение полосок обычно заметно лучше, чем при совпадении осей.

Порядок работы при определении угла угасания:

1) Находим зерно с наивысшей интерференционной окраской и системой четких параллельных трещин спайности; ставим зерно на центр нитей окуляра.

2) Поворотом столика микроскопа ставим трещины спайности параллельно вертикальной нити окуляра. Берем отсчет на лимбе столика микроскопа.

3) Поворачиваем столик микроскопа до ближайшего положения угасания минерала (то есть совмещаем одну из осей индикатрисы с вертикальной нитью окуляра). Снова берем отсчет на лимбе столика микроскопа. Разность первого и второго отсчетов - угол угасания.

4) В положении угасания зерно зарисовываем, отмечаем направления осей индикатрисы (параллельно нитям окуляра), трещин спайности и показываем измеренный угол угасания (чтобы лучше видеть спайность, зарисовку можно делать, выключив в положении угасания анализатор).

5) С помощью компенсатора определяем наименование оси индикатрисы, по отношению к которой измерен угол угасания. Подписываем наименования осей индикатрисы на зарисовке.

Записываем результаты измерения угла угасания: например, cN_g = 15 ° (угол между спайностью и N_g равен 15 °).

Знак удлинения

Знак удлинения характеризует ориентировку оптической индикатрисы относительно направления вытянутости кристаллов или относительно трещин спайности в вытянутых сечениях кристаллов.

Удлинение считается положительным, если ось индикатрисы N_g совпадает с длинной осью кристалла (трещинами спайности) или отклоняется от нее не более, чем на 30 ° ($cN_g \leq 30$ °). Если же такое положение занимает ось N_p ($cN_p \leq 30$ °), то удлинение считается отрицательным. При углах угасания, равных 30 - 45 °, знак удлинения не определяют.

Плеохроизм

Плеохроизм – способность минерала неодинаково поглощать свет разных частей спектра по различным направлениям. Плеохроизм проявляется в изменении собственной окраски минерала (наблюдается при выключенном анализаторе) при вращении столика микроскопа: поворачивая столик микроскопа, мы изменяем положение зерна относительно плоскости колебаний света, выходящего из поляризатора.

Различают три типа плеохроизма:

1) изменяется интенсивность окраски, а цвет сохраняется (например, у биотита, который может плеохроировать от светло- до темно-бурого цвета);

2) изменяется как интенсивность окраски, так и цвет минерала (например, у роговая обманки, которая может при вращении столика микроскопа менять окраску от светло-желтой до темно-зеленой);

3) изменение окраски не сопровождается изменением ее интенсивности (например, у гиперстена, который плеохроирует от бледно-розового до бледно-зеленого).

Для определения окраски по N_g и N_p используют зерно минерала с наивысшей интерференционной окраской. Сначала в зерне определяют положение и наименования осей индикатрисы. Затем устанавливают зерно в положение угасания. Выключают анализатор и наблюдают окраску по той оси индикатрисы, которая в данный момент совмещена с плоскостью колебаний поляризатора (например, N_g). Затем поворотом столика на 90 ° совмещают с направлением колебаний света в поляризаторе другую ось индикатрисы (например, N_p) и, выключив анализатор, наблюдают соответствующую ей окраску.

Для определения окраски по N_m (у двуосных минералов) используются разрезы с наинизшей интерференционной окраской. В скрещенных николях такие разрезы черные или темно-серые и остаются таковыми при вращении столика микроскопа. Разрез с наинизшей интерференционной окраской соответствует круговому сечению индикатрисы, радиусом которого является N_m, так что при любом повороте столика микроскопа собственная окраска минерала (наблюдаемая при выключенном анализаторе) в этом разрезе одинакова и характеризует N_m. Чаще всего окраска по N_m является промежуточной между окрасками по N_g и N_p.

Записав цвета по осям индикатрисы (запись ведется с указанием окраски и ее интенсивности, например: N_g – темно-зеленая, N_p – светлая зеленовато-желтая), составляем *схему абсорбции* (поглощения света).

Если окраска по N_g более темная, чем по N_m, а последняя более темная, чем по N_p, то схема абсорбции называется *прямой* (обозначается $N_g > N_m > N_p$). Такая схема абсорбции наблюдается, например, у биотита.

Если окраска по N_p более темная, чем N_m, а последняя более темная, чем по N_g, то схема абсорбции называется *обратной* (обозначается $N_g < N_m < N_p$), например, у эгирина.

В тех случаях, когда меняется только окраска, а густота окраски не меняется, исследование плеохроизма ограничивается записями окрасок по осям индикатрисы: например, у гиперстена: N_g – бледно-зеленая, N_p – бледно-розовая.

1.5. Исследования при включенном анализаторе в сходящемся свете

Метод исследования в сходящемся свете (коноскопический метод) основан на использовании прохождения через кристалл сходящегося (в виде конуса) пучка плоскополяризованных лучей, которые пересекаются в центре кристалла. При этом под микроскопом наблюдается не сам кристалл, а его интерференционная (коноскопическая) фигура.

Исследования в сходящемся свете позволяют определить осность минерала, его оптический знак и приближенно величину угла оптических осей ($2V$) двуосных минералов.

Методика работы

Изучение минералов коноскопическим методом проводится при включенном анализаторе с введенной в осветительную систему микроскопа линзой Лазо (см. рис. 2, 3), создающей сходящийся пучок лучей. Пройдя через кристалл, лучи становятся расходящимися. Чтобы затем собрать эти лучи, используют объектив с увеличением 40^x или 60^x. После прохождения собранных лучей через анализатор возникает оптический эффект, называемый интерференционной, или коноскопической, фигурой. Ее рассматривают при вынутом окуляре или через окуляр, но с линзой Бертрана.

Чаще всего в сходящемся свете изучают разрезы, перпендикулярные к оптической оси, или близкие к этому направлению.

Порядок работы:

1. В параллельном свете с объективом 8^x или 9^x находим разрез минерала с наиболее низкой интерференционной окраской – черной или темно-серой, не меняющейся или почти не меняющейся при вращении столика микроскопа (в случае минерала с высоким двупреломлением можно использовать и сечения с белой и желтоватой окраской *I* порядка). Если минерал окрашен, то без анализатора такое зерно не должно обнаруживать плеохроизма. Зерно должно быть достаточно крупным – при большом увеличении (60^x или 40^x) занимать не менее четверти поля зрения.

Помещаем это зерно в центр поля зрения. При выключенном анализаторе добиваемся наиболее яркого и равномерного освещения поля зрения; полностью открываем диафрагму, поднимаем осветительное устройство вверх до упора.

2) Меняем объектив 8^x или 9^x на объектив 60^x или 40^x (предварительно хорошо отцентрированный) и еще раз проверяем, что шлиф установлен

покровным стеклом вверх. Объектив с большим увеличением имеет короткое фокусное расстояние. Это расстояние меньше толщины предметного стекла и при попытке сфокусировать его на минерал в шлифе, положенном покровным стеклом вниз, шлиф может быть раздавлен и объектив испорчен.

Наводим на фокус. Чтобы не раздавить шлиф, сначала опускаем тубус винтом грубой наводки, смотря сбоку на объектив. Подводим объектив к шлифу так, чтобы между входной линзой объектива и поверхностью шлифа остался лишь незначительный просвет (меньше миллиметра). После этого, глядя в окуляр, начинаем поднимать тубус и наводим на резкость.

3) Включаем анализатор и линзу Лазо, а затем вводим линзу Бертрана или вынимаем окуляр. Наблюдаем коноскопическую фигуру (без окуляра она будет маленькой и четкой, а с окуляром и линзой Бертрана – менее четкой, но зато более крупной).

Разрез, перпендикулярный оптической оси одноосного кристалла

В данном разрезе коноскопическая фигура имеет вид темного креста, ветви (балки) которого ориентированы вдоль нитей окуляра и пересекаются в центре поля зрения (в точке выхода оптической оси). При вращении столика микроскопа крест не изменяет своего положения (рис. 16).

У минералов с низким двупреломлением (кварц, нефелин) контуры коноскопического креста расплывчатые, между балками креста - интерференционная окраска *I* порядка. У минералов с высоким двупреломлением балки креста более тонкие и четкие, между балками располагаются цветные кольца интерференционной окраски нескольких порядков.

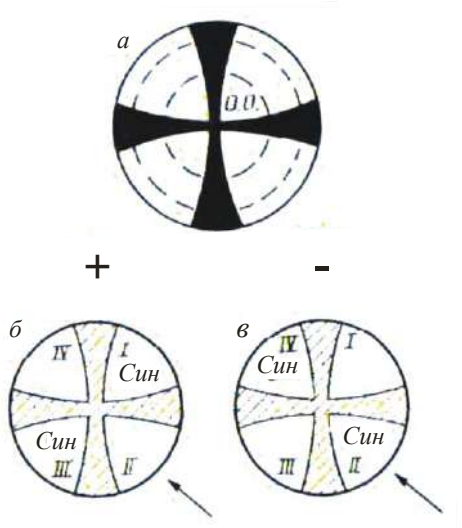


Рис. 16. Коноскопическая фигура одноосного кристалла в разрезе, перпендикулярном оптической оси (*а*), и определение оптического знака в этом разрезе с помощью компенсатора (*б, в*)

Для определения оптического знака кристалла можно использовать компенсатор с разностью хода 560-570 нм. Получив коноскопическую фигуру, вводим компенсатор в прорезь тубуса микроскопа и наблюдаем изменение интерференционной окраски у перекрестия балок креста. Если во *II* и *IV* квадрантах появляется желтая окраска первого порядка, а в *I* и *III* квадрантах– синяя окраска второго порядка, то кристалл оптически положителен (рис. 16, *б*). Если во *II* и *IV* квадрантах возникает синяя окраска второго порядка, а в *I* и *III* квадрантах – желтая окраска первого порядка, то кристалл оптически отрицателен (рис. 16, *в*). Сам крест приобретает при этом красную окраску, соответствующую разности хода компенсатора (R = 560-570 нм).

Если разрез не строго перпендикулярен оптической оси, то центр коноскопической фигуры (креста) будет смещен относительно перекрестия нитей окуляра. При вращении столика микроскопа центр креста будет описывать окружность вокруг центра поля зрения, а балки креста будут перемещаться параллельно нитям окуляра. Горизонтальная балка при этом перемещается снизу вверх или сверху вниз, а вертикальная – справа налево или слева направо (рис. 17).



Рис. 17. Коноскопическая фигура одноосного кристалла в косом разрезе (стрелками показано направление вращения столика)

При определении оптического знака в данном случае крест коноскопической фигуры следует перед введением компенсатора установить так, чтобы большая часть поля зрения была занята *II* или *IV* квадрантом (см. рис. 16), а далее вести определение, как описано выше.

Разрез, перпендикулярный оптической оси двуосного кристалла

Коноскопическая фигура имеет вид темной изогнутой полосы – *изогиры*, проходящей через центр поля зрения (выход оптической оси). При вращении столика микроскопа изогира поворачивается вокруг центра поля зрения, то выпрямляясь (при совпадении с одной из нитей окуляра), то изгибаясь (рис. 18).

Если разрез ориентирован строго перпендикулярно оптической оси, изогира при вращении столика микроскопа из поля зрения не выходит. Если же разрез ориентирован не совсем перпендикулярно оптической оси, то изогира

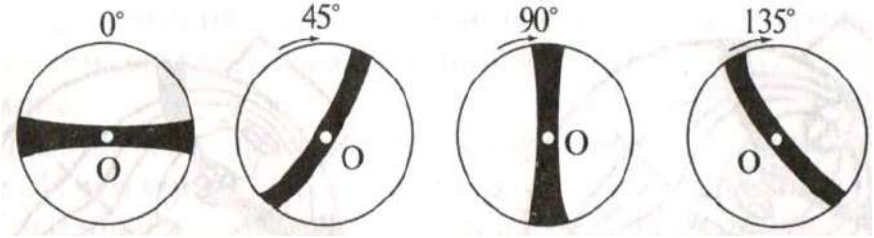


Рис.18. Коноскопическая фигура двуосного кристалла в разрезе, перпендикулярном оптической оси (О), и ее поведение при вращении столика микроскопа (показано стрелками)

при вращении столика может уходить за пределы поля зрения, перемещаясь *диагонально* по отношению к нитям окуляра (это отличает сечения двуосных кристаллов от косых разрезов одноосных кристаллов, когда балки креста перемещаются *параллельно* нитям окуляра).

По степени изогнутости изогиры приближенно можно оценить величину угла *2V*. Для этого изогиру нужно установить под углом 45 ° к нитям окуляра. Чем больше угол оптических осей, тем меньше изогнута изогира, а при угле *2V*, равном 90 °, она становится прямолинейной (рис. 19).

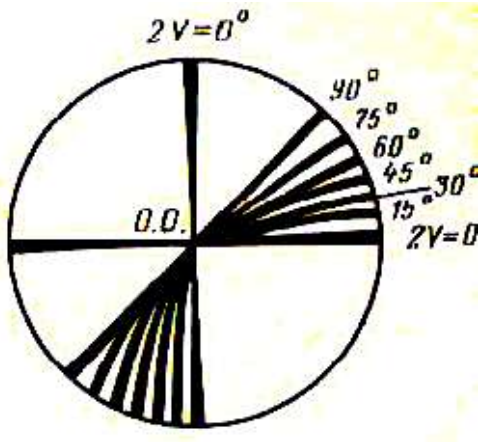


Рис.19 . Диаграмма для приближенной оценки величины угла *2V* в разрезе, перпендикулярном оптической оси

Для определения оптического знака двуосного минерала следует повернуть столик микроскопа так, чтобы изогира располагалась поперек направления введения компенсатора (рис. 20). Если при введенном компенсаторе на выпуклой стороне изогиры появится синий, а на вогнутой – желтый цвет, то минерал оптически положительный. Если распределение окрасок обратное, то минерал оптически отрицательный (см. рис. 20). Сама изогира в обоих случаях принимает красную окраску.

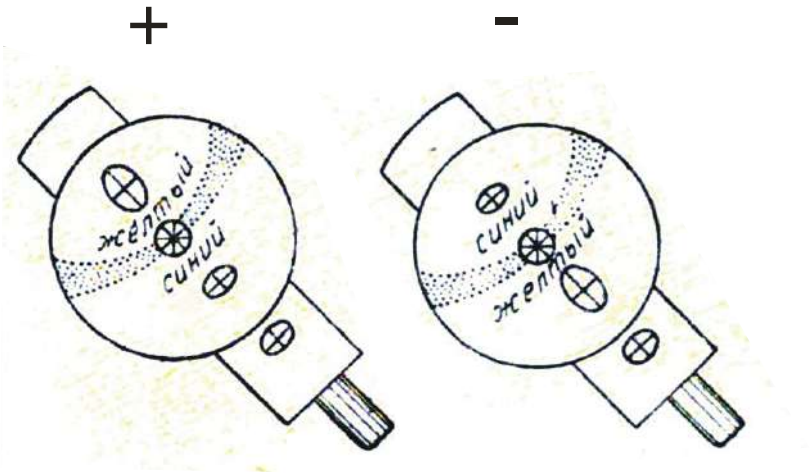


Рис. 20. Определение оптического знака двуосного кристалла в разрезе, перпендикулярном оптической оси (рисунок с введенным компенсатором)

1.6. План описания минерала под микроскопом

Приступая к описанию исследуемого минерала, нужно сначала внимательно просмотреть весь шлиф (при выключенном и при включенном анализаторе) и примерно оценить, сколько и какие минералы имеются в шлифе. После этого изучаемый минерал описывают в следующем порядке.

При выключенном анализаторе

1. Процентное содержание минерала в породе – путем сравнения площади, занимаемой минералом, с площадью поля зрения.

2. Размеры зерен минерала. Измеряют длину и ширину преобладающих по размеру зерен.

3. Форма зерен в различных разрезах и, как вывод, пространственная форма кристалла.

4. Спайность. Отмечают наличие или отсутствие спайности, степень ее совершенства, число направлений спайности, величину угла между плоскостями спайности.

5. Цвет и плеохроизм минерала.

6. Показатель преломления: направление перемещения полоски Бекке, характер ограничений, рельефа, шагреневой поверхности, группа по таблице Лодочникова. Псевдоабсорбция.

При включенном анализаторе

А. В параллельном свете

7. Толщина шлифа.

8. Двупреломление, с указанием наивысшей интерференционной окраски и метода определения.

9. Угасание и ориентировка осей индикатрисы с зарисовкой.

10. Характер удлинения.

11. Схема плеохроизма с указанием окраски по осям индикатрисы.

Б. В сходящемся свете

12. Осность.

13. Оптический знак.

14. *2V* (грубая оценка).

1.7. Примеры описания минералов в шлифе

(по Л. И. Кравцовой и М. Н. Чукашевой, с изменениями)

1. Зерна минерала в шлифе имеют преимущественно вытянутую форму с прямолинейными ограничениями параллельно спайности и неровными поперек спайности. Реже встречается неправильная, близкая к изометричной, форма зерен. В разрезах вытянутой формы наблюдается весьма совершенная спайность в виде тонких почти непрерывных линий вдоль удлинения. В зернах изометричной формы спайности не наблюдается. Судя по этим данным, минерал имеет пластинчатую форму.

Минерал в шлифе прозрачен, бесцветен. Показатель преломления выше, чем у канадского бальзама, так как полоска Бекке при поднятии тубуса микроскопа перемещается в сторону минерала. Ограничения и шагреневая поверхность относительно слабые. По этим признакам минерал относится к IV группе таблицы Лодочникова.

Минерал обладает псевдоабсорбцией: при совмещении спайности с вертикальной нитью окуляра ограничения и шагреневая поверхность более отчетливы, чем при совмещении спайности с горизонтальной нитью.

В скрещенных николях минерал имеет прямое угасание относительно спайности и положительное удлинение (cN_g = 0 °).

Толщина шлифа определена по кварцу. Наивысшая интерференционная окраска кварца желтовато-белая *I* порядка, что соответствует разности хода 300 нм. Зная, что у кварца $N_g - N_p$ = 0.009, по номограмме Мишель-Леви находим, что толщина шлифа равна 0.033 мм.

Наивысшая интерференционная окраска исследуемого минерала красная *II* порядка (разность хода 1050 нм), что соответствует, по номограмме Мишель-Леви, величине двупреломления $N_g - N_p$, равной 0.032.

Для определения осности минерала использовано зерно изометричной формы с белой интерференционной окраской *I* порядка. В сходящемся свете наблюдалась интерференционная фигура в виде изогиры, из чего можно сделать вывод, что минерал двуосен. По кривизне изогиры *2V* = 40 - 50 °. Оптический знак минерала отрицательный – на вогнутой стороне изогиры при введении компенсатора появляется синяя окраска.

Судя по приведенным данным, изученный минерал – мусковит.

2. Минерал образует сечения прямоугольной удлиненной формы, с отношением длины к ширине 4:1 (со спайностью вдоль удлинения), а также ромбовидной формы (со спайностью по двум направлениям под углом 124 °). Из этого можно сделать вывод, что кристаллы минерала имеют призматический облик.

Минерал прозрачный, окрашен в зеленый цвет и обнаруживает плеохроизм, проявляющийся в изменении цвета и интенсивности окраски. По показателю преломления минерал соответствует V группе таблицы Лодочникова: имеет ясные ограничения, ясную шагреневую поверхность и положительный рельеф.

В скрещенных николях в отдельных зернах (преимущественно в поперечных разрезах) наблюдаются простые двойники. Наивысшая интерференционная окраска синяя *II* порядка, разность хода 700 нм (определено по естественному клину на краю зерна). Толщина шлифа определена по плагиоклазу, двупреломление которого принято равным 0.008. Наивысшая интерференционная окраска плагиоклаза в шлифе белая *I* порядка, соответствующая разности хода 250 нм. По этим данным толщина шлифа, определенная по номограмме Мишель-Леви, равна 0.031 мм. Используя данное значение толщины шлифа, определяем по номограмме двупреломление изучаемого минерала: $N_g - N_p$ = 0.022.

Угасание относительно спайности в разрезе с наивысшей интерференционной окраской косое: cN_g = 18 °, удлинение положительное. Прямая схема абсорбции $N_g > N_m > N_p$: окраска по N_g – густая сине-зеленая, по N_m - буровато-зеленая, по N_p – светлая желто-зеленая.

Осность определялась в изотропном сечении. В сходящемся свете наблюдалась интерференционная фигура в виде слабо изогнутой изогиры - минерал двуосный, угол *2V* около 70 - 80 °. Оптический знак отрицательный –

при введенном компенсаторе на вогнутой стороне изогиры наблюдалась синяя окраска.

По полученным данным минерал диагностируется как амфибол (роговая обманка).

1.8. Контрольные вопросы

1. Дайте определение понятия «оптическая ось кристалла».
2. Что означает величина $2V$?
3. Каков оптический знак кристалла, если острой биссектрисой угла $2V$ является N_g?
4. Для чего в микроскопе предназначена диафрагма?
5. Существует ли связь между положением нитей в окуляре микроскопа и расположением плоскостей поляризации в поляризаторе и анализаторе?
6. Как ориентирована плоскость колебаний поляризатора в Вашем микроскопе?
7. Как производится центрировка микроскопа?
8. Чему равняется цена минимального деления шкалы окуляр-микрометра с объективом 8^x?
9. Какие оптические свойства минералов определяются при выключенном анализаторе?
10. При каком положении николей (поляризатора и анализатора) наблюдают плеохроизм?
11. Что является причиной псевдоабсорбции?
12. Каково положение осей индикатрисы в зерне минерала в момент его угасания?
13. Дайте определение понятия «сила двойного лучепреломления».
14. Перечислите цвета интерференции, относящиеся к I порядку.
15. В каких разрезах индикатрисы интерференционная окраска кристалла наивысшая, и в каких наинизшая?
16. Для определения каких констант используются разрезы с наивысшей интерференционной окраской?
17. Какова наивысшая интерференционная окраска у пироксена, если N_g = 1.654, N_p= 1.664, а толщина шлифа равна 0.03 мм?
18. Какова толщина шлифа, если плагиоклаз имеет наивысшую интерференционную окраску желтую I порядка (разность хода 400 нм) при N_g - N_p = 0.008 ?
19. Какое зерно минерала выбирается для определения угла угасания?
20. Какая ось индикатрисы совпадает с длинной стороной компенсатора?
21. В каких разрезах плеохроичных минералов можно наблюдать окраску по N_m?
22. По каким признакам выбирается в шлифе зерно минерала для определения осности и оптического знака?

23. Как в сходящемся свете отличить минерал тетрагональной сингонии от минерала ромбической сингонии?
24. Чем отличается коноскопическая фигура одноосного и двуосного кристаллов в разрезах, перпендикулярных оптической оси?
25. Чем отличается коноскопическая фигура в разрезе, перпендикулярном оптической оси, у двуосных минералов при угле *2V*, близком к 90 °, и при угле *2V*, близком к 0 °?

2. ПОРОДООБРАЗУЮЩИЕ МИНЕРАЛЫ

2.1. Минералы магматических пород

Кварц

SiO_2. Низкотемпературный кварц относится к тригональной сингонии, а высокотемпературный – к гексагональной.

В интрузивных породах форма зерен кварца чаще всего неправильная. В вулканических и жильных породах кварц образует вкрапленники в форме гексагональной дипирамиды (продольные сечения таких вкрапленников могут иметь квадратную форму) или в виде изометричных округлых выделений.

Без анализатора прозрачный, бесцветный, без спайности и вторичных изменений. Иногда наблюдается волнистое угасание.

Показатели преломления (наибольший - 1.553, наименьший - 1.544) больше показателя преломления канадского бальзама. Относится к *III* группе Лодочникова – шагреневая поверхность отсутствует, рельеф слабый положительный, ограничения заметны слабо.

Двупреломление 0.009. Интерференционная окраска серая, белая, в утолщенных шлифах – желтая *I* порядка. Одноосный, положительный.

Кварц может быть сходен в шлифах с несдвойникованным плагиоклазом. В этом случае его можно отличить от плагиоклаза по осности и отсутствию спайности. От калиевых полевых шпатов кварц отличается более высоким показателем преломления и осностью. Кварц можно спутать с нефелином, от которого он отличается оптическим знаком и отсутствием вторичных изменений. С кварцем в шлифах сходен также свежий кордиерит, но последний нередко имеет двойниковое строение и двуосен.

Нефелин $Na_3K(A1SiO_4)_4$

Гексагональная сингония. Идиоморфные зерна нефелина имеют форму гексагональных призм и дают срезы прямоугольной или правильной шестиугольной формы. Во многих случаях образует зерна неправильной формы.

Без анализатора прозрачный, бесцветный (измененный – сероватый, мутный). Спайность плохо выражена и может не наблюдаться.

Показатель преломления близок к показателю преломления канадского бальзама (n_o = 1.532 - 1.547, n_e = 1.529 - 1.542). Рельеф и шагреневая поверхность отсутствуют.

Двупреломление 0.003 – 0,005. Интерференционная окраска серая *I* порядка. Иногда почти изотропный.

Одноосный, отрицательный. Для определения осности нефелина следует выбирать совершенно изотропные сечения, так как вследствие низкого двупреломления он дает расплывчатую коноскопическую фигуру (это является одним из отличий нефелина от кварца, у которого даже в недостаточно изотропных сечениях получается отчетливая коноскопическая фигура).

Нефелин легче других минералов магматических пород подвергается вторичным изменениям – замещению канкринитом, цеолитами, серицитом (показатель преломления канкринита и цеолитов ниже, чем у канадского бальзама и у нефелина; канкринит в скрещенных николях по ярким цветам интерференции напоминает мусковит, от которого отличается низким показателем преломления, отрицательным знаком удлинения и одноосностью; цеолитам свойственно низкое двупреломление и розовый дисперсионный эффект).

Нефелин обладает сходством с кварцем и калиевым полевым шпатом. От кварца нефелин отличается меньшим двупреломлением, оптическим знаком, а также по присутствию продуктов изменения и иногда – слабо проявленной спайности. Показатель преломления нефелина не может служить достаточным критерием для отличия его от кварца, так как он изменчив и по величине иногда больше, чем у канадского бальзама. Совместно с кварцем нефелин не встречается. Калиевые полевые шпаты, в отличие от нефелина, имеют отчетливо отрицательный рельеф, совершенную спайность и оптически двуосны (кроме санидина).

Калиевые полевые шпаты

Калиевые полевые шпаты - санидин, ортоклаз, микроклин - имеют общий состав $K(AlSi_3O_8)$. Санидин и ортоклаз моноклинные, микроклин триклинный. Они являются тремя структурными разновидностями одного минерального вида «калиевый полевой шпат».

В шлифах эти минералы представлены идиоморфными таблитчатыми зернами (в эффузивных породах), либо зернами изометрической или неправильной формы (в ряде интрузивных и метаморфических пород).

Неизмененные калиевые полевые шпаты обычно бесцветны. Они обладают совершенной спайностью по двум направлениям - в моноклинных кристаллах угол между плоскостями спайности 90°, а в триклинных - незначительно отличается от 90°. В шлифах в зернах калиевого полевого шпата часто видно лишь одно направление спайности.

Характерны низкие показатели преломления - ниже, чем у канадского бальзама, и ниже, чем у любого плагиоклаза, в том числе альбита. Это важнейший диагностический признак калиевых полевых шпатов, отличающий

их от кварца и плагиоклазов. В связи с этим присутствие калиевого полевого шпата в шлифе можно устанавливать при выключенном анализаторе по дисперсионному эффекту (см. раздел 1.3). Особенно полезно использовать дисперсионный эффект, когда калиевый полевой шпат образует мелкие зерна, которые можно спутать с зернами несдвойникованного кислого плагиоклаза и кварца.

Интерференционная окраска калиевых полевых шпатов низкая (темно-серая, серая) – двупреломление редко превышает 0.007, а у санидина может иногда опускаться до 0.003.

Измененные (пелитизированные) калиевые полевые шпаты без анализатора выглядят буроватыми (в отличие от сероватых соссюритизированных плагиоклазов).

Санидин – наименее упорядоченная разновидность калиевых полевых шпатов. Кристаллизуется при температуре более 800 °С и сохраняется при условии быстрого охлаждения минерала (в эффузивных породах).

В шлифах санидин свежий, типичны водяно-прозрачные кристаллы с прямым угасанием относительно (010), простыми двойниками и очень малой, в отличие от остальных полевых шпатов, величиной угла *2V* (0 - 40 °), в силу чего в сходящемся свете санидин дает коноскопическую фигуру одноосного кристалла.

Ортоклаз – калиевый полевой шпат с промежуточной степенью упорядоченности между санидином и микроклином. В шлифах отличается от санидина большим углом *2V* (40 - 80 °) и нередкой пелитизацией.

Микроклин - наиболее упорядоченный калиевый полевой шпат. Образуется при температуре ниже 600 - 650 °С в условиях медленного охлаждения или является продуктом преобразования ортоклаза и санидина, возникших при более высокой температуре.

Микроклин узнается по максимальному углу *2V* (80 - 85 °), косому угасанию относительно (010) и частому присутствию характерных полисинтетических двойников решетчатого облика, в которых сочетаются альбитовый и периклиновый законы двойникования (микроклиновая решетка). Двойниковая решетка микроклина отличается от перекрещивающихся полисинтетических двойников плагиоклаза узловатым строением и нерезкими границами полосок. Решетчатые двойники видны в плоскости (100). В других разрезах наблюдаются полоски одного направления, которые отличаются от прямых и параллельных двойников плагиоклаза расплывчатыми контурами.

В некоторых случаях в отдельных участках зерен решетчатая структура микроклина может становиться все более тонкой, вплоть до ее полного видимого исчезновения; в таких участках микроклин под микроскопом неотличим от ортоклаза. Поэтому при микроскопической диагностике калиевых полевых шпатов следует выделять санидин (с малым углом *2V*), микроклин (с решетчатой структурой) и нерешетчатый калиевый полевой шпат, который может быть как ортоклазом, так и микроклином.

Для точной диагностики калиевых полевых шпатов используют столик Федорова и рентгеноструктурный анализ.

Из-за большой разницы в размерах ионов калия (1,33 Å) и натрия (0,98 Å) изоморфизм между ними в калиевых полевых шпатах осуществляется только при высоких температурах и при быстрой кристаллизации. При последующем медленном понижении температуры первоначально гомогенная кристаллическая фаза распадается на калиевую и натриевую: в калиевом полевом шпате образуются тонкие закономерно ориентированные вростки альбита - *пертиты*; вростки калиевого полевого шпата в плагиоклазе - *антипертиты*.

Наряду с пертитами, образующимися при распаде высокотемпературного твердого раствора калишпат - альбитового состава (пертиты распада) встречаются также пертиты замещения, которые образуются в результате замещения калиевого полевого шпата альбитом при постмагматической альбитизации.

Закономерные прорастания калиевого полевого шпата и кварца графической структуры называются *микропегматитовыми*.

По отношению к серицитизации калиевые полевые шпаты обычно более устойчивы, чем плагиоклазы. Поэтому в одной и той же породе серицитизированные плагиоклазы могут соседствовать с совершенно свежими несерицитизированными зернами калиевого полевого шпата.

Калиевый полевой шпат можно спутать в шлифах с кварцем, нефелином и плагиоклазом.

Кварц не имеет спайности и практически не замещается вторичными минералами, а потому не имеет мутноватого облика. В случае же водяно-прозрачных разностей калиевого полевого шпата (санидина и адуляра), главным отличием является показатель преломления, который у кварца во всех сечениях больше, а у калиевых полевых шпатов меньше, чем у канадского бальзама. Кварц одноосный и положительный, а из всех полевых шпатов одноосным может быть только санидин; при этом его оптический знак отрицательный. При одинаковой толщине шлифа интерференционная окраска кварца (светло-серая, белая) чаще всего выше, чем у калиевых полевых шпатов (серая).

Нефелин одноосен, чем сходен с санидином. Но показатель преломления нефелина в зависимости от сечения может быть то выше, то ниже, чем у канадского бальзама. Идиоморфные зерна нефелина часто дают сечения прямоугольной или квадратной формы с прямым угасанием, в то время как для калиевого полевого шпата характерно косое угасание.

Микроклин при наличии микроклиновой решетки может быть по ней отличим от других минералов, в том числе от плагиоклазов. У плагиоклазов границы двойников прямые, тогда как у микроклина двойники веретеновидные с расплывчатыми границами. Несдвойникованные плагиоклазы и калиевые

полевые шпаты между собой отличаются с трудом - по характеру вторичных изменений (пелитизация калиевых полевых шпатов и серицитизация, соссюритизация плагиоклазов) и по показателю преломления.

У плагиоклазов, более основных, чем олигоклаз, показатель преломления всегда выше канадского бальзама, и лишь у кислых плагиоклазов он может быть ниже канадского бальзама. У калиевых полевых шпатов показатель преломления еще ниже, чем у кислых плагиоклазов. В мелкозернистых агрегатах для отличия калиевого полевого шпата от плагиоклазов может быть использован упоминавшийся выше дисперсионный эффект.

Плагиоклазы

Плагиоклазы (триклинная сингония) представляют собой изоморфные смеси альбита $Na(AlSi_30_8)$ и анортита $Ca(A1_2Si_20_8)$; процентное содержание анортита в плагиоклазе называется номером плагиоклаза.

Номер плагиоклаза		
0 - 10	альбит	кислый плагиоклаз
10 - 30	олигоклаз	"
30 - 50	андезин	средний плагиоклаз
50 - 70	лабрадор	основной плагиоклаз
70 - 90	битовнит	"
90 - 100	анортит	"

Форма кристаллов плагиоклазов чаще всего таблитчатая. Как и калиевые полевые шпаты, плагиоклазы в шлифах бесцветны – водяно-прозрачны, или же содержат скопления мельчайших включений, придающие им мутноватый характер. Спайность по двум направлениям под углом около 87 °.

Показатели преломления плагиоклазов: n_g = 1.538 - 1.590, n_p = 1.527 - 1.572. Значения показателей преломления возрастают с увеличением номера плагиоклаза: у альбита показатель преломления несколько ниже, чем у канадского бальзама, у олигоклаза примерно равен, а у средних и тем более основных плагиоклазов он выше, чем у канадского бальзама (в связи с этим у основных плагиоклазов появляется шагреневая поверхность).

Двупреломление 0.007 - 0.013 (минимальное – у олигоклаза), так что при включенном анализаторе при нормальной толщине шлифа наблюдается интерференционная окраска, подобная интерференционной окраске кварца (серовато-белая, белая, реже желтоватая *I* порядка), и лишь у плагиоклазов, близких по составу к анортиту, она может быть желтой *I* порядка.

Оптически двуосные, с большим углом *2V* (± 70 - 90 °).

Очень характерно наличие полисинтетических двойников, особенно по альбитовому (имеют отрицательное удлинение) и периклиновому (имеют положительное удлинение) законам. У основных плагиоклазов обычны редкие широкие двойниковые полосы, у кислых – более многочисленные тонкие двойниковые полоски. Двойники, особенно по альбитовому закону, настолько

характерны для плагиоклазов, что позволяют отличать по ним плагиоклазы от других минералов.

Периклиновые и альбитовые двойники могут одновременно присутствовать в одном и том же зерне плагиоклаза. В этом случае наблюдается решетчатая структура, напоминающая такую же структуру микроклина, но отличающаяся тем, что двойниковые полоски всегда ограничены прямыми линиями, а не имеют веретеновидный облик с раздувами и пережимами, как у микроклина.

Зернам плагиоклазов свойственна зональность, наиболее хорошо развитая в вулканических породах, но практически всегда присутствующая и в плутонических породах. От центра к краям зерен плагиоклаза в большинстве случаев наблюдается повышение содержания альбитового компонента (прямая зональность). Реже встречается обратная зональность, характеризующаяся снижением содержания альбитового компонента к краям зерен. Иногда наблюдается ритмическая зональность с более сложным изменением состава от центра к краям зерен плагиоклаза.

Мирмекиты – червеобразные и каплевидные (в зависимости от разреза) вростки кварца в плагиоклазе на стыке его с калиевым полевым шпатом.

Вторичные изменения плагиоклазов: по кислым плагиоклазам развивается серицит, по основным – соссюрит (тонкозернистая смесь альбита, кальцита и минералов группы эпидота), пренит (сходен с серицитом, в отличие от которого имеет более высокий показатель преломления и отрицательное удлинение в разрезах со спайностью). Поэтому кислые и основные плагиоклазы можно в первом приближении различать по характеру вторичных изменений.

Серицитизированные плагиоклазы в шлифе при наблюдении без анализатора бесцветны, а соссюритизированные – из-за высокого рельефа минералов группы эпидота – серые, реже буроватые (при очень тонкозернистой соссюритизации). В скрещенных николях соссюрит имеет серую интерференционную окраску; высокие цвета интерференции имеют лишь отдельные достаточно крупные зерна эпидота.

Основные плагиоклазы легче подвергаются вторичным изменениям, чем кислые. Поэтому в зернах плагиоклаза, обладающих прямой зональностью, при почти полном разложении центральных частей зерен (имеющих более основной состав) наружные зоны роста (имеющие более кислый состав) могут быть чистыми, почти не затронутыми вторичными изменениями.

Плагиоклазы в шлифах можно спутать с калиевыми полевыми шпатами, кварцем, нефелином.

От калиевых полевых шпатов средние и основные плагиоклазы отличаются отчетливо положительным рельефом (калиевые полевые шпаты имеют отрицательный рельеф). Несдвойникованные кислые плагиоклазы отличаются от калиевых полевых шпатов вторичными изменениями: калиевые полевые шпаты подвергаются пелитизации, а плагиоклазы – серицитизации и

соссюритизации. Плагиоклаз с одновременно присутствующими альбитовыми и периклиновыми двойниками можно спутать с микроклином, имеющим микроклиновую решетку. Но двойники плагиоклазов имеют четкие и прямые границы, в то время как микроклиновая решетка имеет многочисленные раздувы и пережимы.

При отсутствии двойников плагиоклазы отличаются от кварца наличием спайности и вторичных изменений, а также тем, что кварц является одноосным положительным минералом, в то время как плагиоклазы двуосны.

От нефелина плагиоклазы отличаются частым присутствием двойников и более высоким двупреломлением; кроме того, нефелин, в отличие от плагиоклазов – одноосный отрицательный минерал.

Определение состава плагиоклаза

Полная и надежная диагностика плагиоклазов, включающая в себя определение их состава, степени упорядоченности и закона двойникования, под микроскопом может быть проведена с использованием специальных федоровского и иммерсионного методов. Более точное определение состава плагиоклазов (с учетом зональности кристаллов) производится с помощью электронного микрозонда. Однако достаточно надежные оценки состава плагиоклаза можно получить с помощью поляризационного микроскопа и без использования специальных методик. Рассмотрим один из методов определения состава плагиоклазов, основанный на данных по ориентировке оптической индикатрисы в кристаллах плагиоклаза разного состава.

Метод Мишель-Леви (метод максимального симметричного угасания)

Для определения номера плагиоклаза используются зерна с хорошо выраженными двойниками по альбитовому закону (эти двойники имеют отрицательное удлинение).

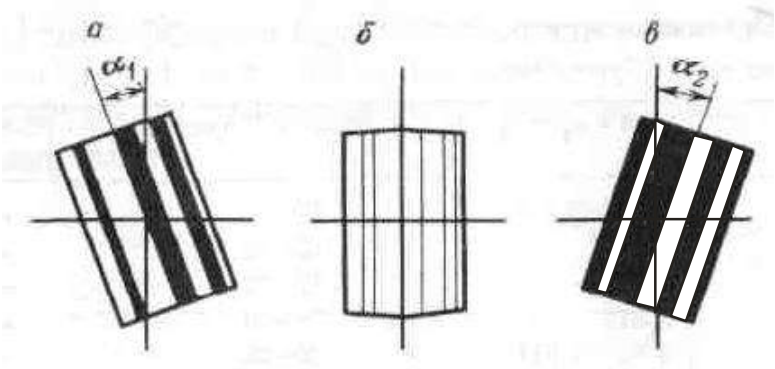


Рис. 21. Зерно плагиоклаза с симметричным угасанием альбитовых двойников:
а, в – моменты угасания первой (*а*) и второй (*в*) систем двойников;
б – при совпадении двойникового шва с вертикальной нитью окуляра
(двойниковые полоски имеют одинаковую интерференционную окраску)

При выборе зерен для замеров необходимо следовать следующим критериям:

1) граница между двойниковыми полосками должна быть четкая и резкая, при поднятии и опускании тубуса микроскопа она не должна смещаться в сторону;

2) в положении, когда двойниковый шов параллелен вертикальной нити окуляра, двойники по обе стороны от нее должны иметь одинаковую интерференционную окраску, то есть в этом положении двойниковое строение становится неразличимым (рис. 21, *б*)

Кроме того, следует стараться выбирать такие разрезы, которые при совмещении двойникового шва с вертикальной нитью окуляра являются более светлыми (углы угасания двойников в таких разрезах больше).

Найдя нужное зерно, измеряем угол угасания сначала для одной системы двойниковых полосок (поворотом столика в одну сторону – α_1 на рис. 21, *а*), а затем - для второй системы двойниковых полосок (поворотом столика в другую сторону– α_2 на рис. 21, *в*). Разница между углами угасания обеих систем двойников не должна превышать 3 - 4 ° («симметричное угасание»). Из двух полученных значений определяют средний угол симметричного угасания.

Измерение угла симметричного угасания производят у трех - пяти зерен и из полученных замеров берут максимальное значение, по которому определяют номер плагиоклаза, используя диаграмму, приведенную на рис. 22. На диаграмме по горизонтальной оси указаны номера плагиоклазов, а по вертикальной – углы угасания (если показатель преломления плагиоклаза выше, чем у канадского бальзама, угол угасания берется со знаком плюс, а если меньше или равен показателю преломления канадского бальзама – со знаком минус).

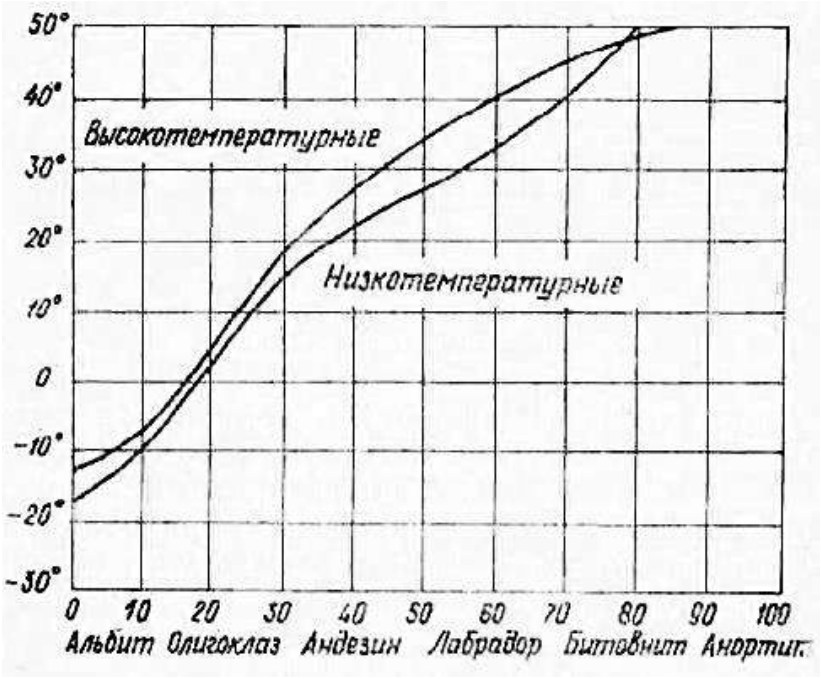


Рис. 22. Диаграмма для определения состава плагиоклазов методом Мишель-Леви (методом максимального симметричного угасания)

Нижняя кривая на диаграмме отображает изменение состава низкотемпературных плагиоклазов - по ней определяют плагиоклазы интрузивных и метаморфических пород. Верхняя кривая отображает состав высокотемпературных плагиоклазов – по ней определяют плагиоклазы кайнотипных эффузивных пород.

Биотит

$K(Mg,Fe)_3(AlSi_3O_{10})(OH)_2$. Моноклинная сингония. Относится к магнезиально - железистым триоктаэдрическим слюдам, образующим ряды флогопит – аннит и истонит – сидерофиллит. Межвидовым названием «биотит» обозначают изоморфные смеси упомянутых миналов.

В шлифах биотит бурый, зеленовато-бурый, красно-бурый (красно-бурый оттенок окраски вызывает повышенное содержание TiO_2, зеленый - высокое содержание окисного железа).

Образует чешуйки с весьма совершенной спайностью в одном направлении. Характерно полное отсутствие каких-либо пересекающих спайность поперечных трещин, как это обычно бывает у амфиболов и пироксенов.

В разрезах со спайностью наблюдается резкая шагреневая поверхность и относительно высокий рельеф (n_g = 1.610 – 1.697, n_p = 1.571 – 1.616). Показатели преломления и двупреломление биотита возрастают с увеличением содержания в нем железа. Характерен резкий плеохроизм с прямой схемой абсорбции ($N_g \approx N_m > N_p$), причем по N_g и N_m цвет густой бурый или зеленый, а по N_p цвет слабый, иногда почти бесцветный. В разрезах, параллельных спайности, шагреневая поверхность, рельеф и плеохроизм выражены слабее. Нередко в биотите встречаются включения циркона, монацита и других минералов, окруженные плеохроичными «двориками» с более густой, иногда почти черной, окраской.

Двупреломление 0.039 - 0.081. Интерференционная окраска биотита часто затушевывается густой собственной окраской, поэтому разрез с наивысшей интерференционной окраской, необходимый для определения двупреломления, часто отыскивается с трудом. Угасание относительно спайности прямое, удлинение положительное.

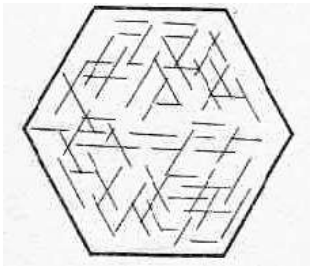


Рис. 23. Сагенит – тонкие иголки рутила, образующие сетку в хлорите, заместившем биотит

Двуосный, отрицательный. Угол *2V* часто приближается к 0 °, из-за чего коноскопическая фигура в сходящемся свете близка к кресту.

В эффузивных породах вкрапленники биотита нередко окружены непрозрачной опацитовой каймой, образующейся за счет превращения биотита в магнетит.

При вторичных изменениях биотит замещается хлоритом и мусковитом. Переход биотита в хлорит сопровождается осветлением биотита, появлением зеленой окраски и уменьшением двупреломления. Часто на месте биотита вместе с хлоритом

образуются линзовидные скопления эпидота и титанита по трещинам спайности, а также тонкие иголки рутила. Последние, пересекаясь под углом 60 °, иногда образуют в хлорите, замещающем биотит, сетку, называемую сагенитовой (рис. 23).

От хлорита биотит отличается резким плеохроизмом, более высоким двупреломлением и отсутствием аномальных цветов интерференции. От турмалина сходной окраски биотит отличается наличием спайности, двуосностью, положительным удлинением. От амфиболов биотит в разрезах со спайностью отличается прямым угасанием, резким плеохроизмом и более высоким двупреломлением. В разрезах, где спайность не видна, биотит отличается от амфиболов более низкими показателями преломления и небольшим углом *2V*.

Мусковит

$KAl_2(AlSi_3O_{10})(OH)_2$. Моноклинная сингония. Относится к диоктаэдрическим слюдам.

В шлифах бесцветный или слабо желтоватый, буроватый, зеленоватый. Образует чешуйки с весьма совершенной спайностью в одном направлении. В разрезах со спайностью наблюдается псевдоабсорбция (n_g = 1.588 – 1.624, n_p = 1.552 – 1.570).

Двупреломление 0.036 – 0.054. В разрезах со спайностью обладает чистыми и яркими цветами интерференции *II* и начала *III* порядков. В разрезах, параллельных спайности, мусковит имеет низкую интерференционную окраску – серовато-белую или желтоватую *I* порядка, как у кварца. От кварца в этих разрезах мусковит отличается более высоким показателем преломления и двуосной отрицательной коноскопической фигурой.

Мелкочешуйчатая разновидность мусковита (*серицит*) в случае, если чешуйки тоньше толщины шлифа, обладает более низкими цветами интерференции, чем мусковит.

Угасание относительно спайности прямое, удлинение положительное. Угол *2V* = 35 – 50 °.

Мусковит можно спутать с тальком, пренитом, канкринитом и другими бесцветными минералами, обладающими отчетливой спайностью и высокими цветами интерференции. От талька мусковит отличается по минеральным ассоциациям и углу *2V* (у талька *2V* не превышает 30 °). Канкринит имеет показатели преломления ниже канадского бальзама.

Мусковит встречается в гранитах, аплитах, пегматитах, а также во многих метаморфических породах. При высоких давлениях он может кристаллизоваться из гранитной магмы, но чаще образуется в результате метасоматического замещения биотита и полевых шпатов. Серицит - самый распространенный продукт постмагматического изменения плагиоклазов.

Амфиболы

Амфиболы – одна из наиболее распространенных групп минералов в земной коре. Они кристаллизуются в широком диапазоне температур и давлений, встречаются в магматических и метаморфических породах.

Моноклинные кальциевые амфиболы - тремолит $Ca_2Mg_5(Si_8O_{22})(OH)_2$ - ферроактинолит $Ca_2Fe_5(Si_8O_{22})(OH)_2$. Из их формул можно вывести формулы минералов, которые раньше обозначались как *роговые обманки* (в них кремний и другие катионы частично замещены алюминием с одновременным вхождением одновалентных и других катионов). Роговыми обманками объединенно называют амфиболы магматических пород до точного определения их состава. Встречающиеся в базальтах роговые обманки с высоким отношением Fe^{2+}/Fe^{3+} называют базальтическими роговыми обманками.

Кристаллам амфиболов свойственна вытянутая призматическая, до игольчатой, форма, отчетливый положительный рельеф и ясная шагреневая поверхность. Все наиболее распространенные амфиболы, кроме тремолита, который почти бесцветен, окрашены в зеленые, бурые, реже синие цвета и обладают плеохроизмом.

Самый надежный признак при микроскопической диагностике амфиболов - наличие спайности под углом 124 °, которая обнаруживается в поперечных разрезах. В продольных разрезах видна система параллельных трещин спайности и секущие их косые неправильные трещинки.

Во всех разрезах моноклинных амфиболов, кроме перпендикулярных (010), наблюдается косое угасание, причем углы угасания cN_g не превышают 30 °. Иногда встречаются простые и полисинтетические двойники по (100).

Двупреломление амфиболов колеблется в широких пределах. Наибольшего значения оно достигает у базальтической роговой обманки, минимального - у щелочных амфиболов.

Угол *2V* амфиболов большой и почти всегда отрицательный.

Обыкновенная роговая обманка. Окрашена в зеленые и бурые цвета, плеохроирует с изменением лишь густоты, но не оттенка окраски (в отличие от эгирина, обычно плеохроирующего от бурого до зеленого, а также от щелочных амфиболов). Следует помнить, что наиболее резко плеохроизм проявляется в разрезах с наивысшей интерференционной окраской, в которых располагаются оси N_g и N_p. Для определения окраски по N_m можно использовать изотропные сечения или разрезы со спайностью по двум направлениям, где ось N_m проходит вдоль длинной диагонали ромба, образуемого трещинами спайности.

Двупреломление 0.014 - 0.026. Углы угасания (cN_g) 14 - 25 °. Удлинение положительное.

Базальтическая роговая обманка. Образует порфировые вкрапленники в вулканических породах. Характерен резкий плеохроизм от соломенно-желтого до красно-бурого цвета, чем похожа на биотит. Базальтическая роговая обманка

сходна с биотитом также тем, что имеет углы угасания, близкие к прямому (0 - 15 °), и высокое двупреломление (цвета интерференции *III* порядка). Наилучшее отличие от биотита – наличие поперечных разрезов с призматической спайностью. В сходящемся свете базальтическая роговая обманка, в отличие от биотита, дает двуосную фигуру с большим углом *2V*.

Как и биотит, базальтическая роговая обманка может быть подвержена опацитизации, которая проявляется в ее замещении агрегатом мельчайших зерен черного железорудного минерала и пироксена. При частичной опацитизации черный минерал развивается в краевых частях кристаллов. Когда кристаллы опацитизированы целиком, о роговой обманке можно судить по характерной форме кристаллов, особенно по ромбовидным поперечным сечениям. Наличие опацитизированных амфиболов свойственно эффузивным и гипабиссальным магматическим породам.

Тремолит. Образует радиально-лучистые и волокнистые агрегаты сильно вытянутых кристаллов. Бесцветен, в сочетании с довольно высоким двупреломлением, косым угасанием и положительным удлинением. В магматических породах встречается как продукт изменения магнезиальных силикатов (оливина, пироксена).

Актинолит. Окрашен в светлые зеленоватые тона и обнаруживает слабый плеохроизм (от светло-синевато-зеленого или светло-зеленого по N_g до бледно-желтого или светло-желто-зеленого по N_p). Углы угасания (cN_g) 11 - 17 °. Двупреломление 0.020. В магматических породах встречается как вторичный минерал.

Щелочные амфиболы. Отличаются от остальных амфиболов специфическими сине-черными, фиолетовыми и сиреневыми цветами плеохроизма, обратной схемой абсорбции и отрицательным удлинением (кроме встречающегося в метаморфических породах глаукофана, имеющего положительное удлинение и прямую схему абсорбции). Углы угасания 2 - 20 °, двупреломление ниже 0.012 (интерференционная окраска обычно затемняется густой собственной окраской минерала).

Характерна дисперсия оптических осей, проявляющаяся в отсутствии полного угасания – вместо полного угасания получается тусклая синеватая окраска, сменяющаяся при вращении столика микроскопа на красноватую окраску.

Арфведсонит характеризуется резким плеохроизмом с голубовато-зеленой или сине-зеленой окраской по N_p (обратная схема абсорбции), низким двупреломлением и отрицательным удлинением.

Рибекит окрашен в более яркие тона. Плеохроизм очень резкий – от густо-синего, почти черного, по N_p, до светлого желтоватого по N_g (обратная схема абсорбции). Двупреломление очень низкое, угол угасания мал (1 - 8 °), удлинение отрицательное.

Пироксены

Пироксены – одни из наиболее распространенных мафических силикатов многих высокотемпературных пород магматического и метаморфического происхождения.

Магнезиально-железистые пироксены кристаллизуются в ромбической (энстатит $Mg_2(Si_2O_6)$ и ферросилит $Fe_2(Si_2O_6)$) и моноклинной (клиноэнстатит и клиноферросилит) сингониях. Раньше промежуточные составы ряда энстатит – ферросилит имели свои названия (бронзит, гиперстен, феррогиперстен), которые сейчас упразднены.

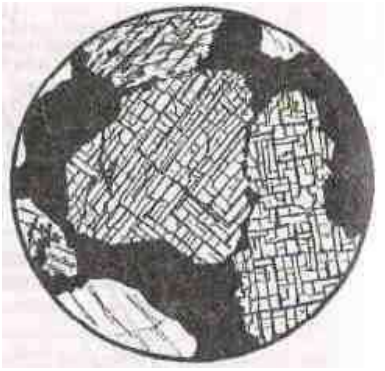


Рис. 24. Спайность диопсида в сечении, перпендикулярном оси *c*

Кальциевые пироксены. Диопсид $CaMg(Si_2O_6)$ – геденбергит $CaFe(Si_2O_6)$.

Натриевые пироксены. Эгирин $NaFe(Si_2O_6)$, жадеит $NaAl(Si_2O_6)$.

По преобладающим миналам пироксенам дают составные названия типа диопсид-геденбергит, геденбергит-эгирин и т. п.

Авгит – это диопсид, или диопсид-геденбергит, или диопсид-эгирин несколько усложненного состава, имеющий характерные аномальные цвета интерференции.

Омфацит – диопсид-геденбергит, обогащенный жадеитовым и эгириновым миналом. Типичен для эклогитов.

В ультраосновных и основных магматических породах пироксены представлены энстатитом (и его более железистыми разновидностями, называемыми ранее гиперстеном и бронзитом) и диопсид-геденбергитом (в нем всегда есть примесь натриевого и алюминиевого миналов).

В средних и кислых интрузивных породах встречается диопсид (с изоморфной примесью геденбергита и эгирина), в щелочных породах – эгирин-диопсид, диопсид-геденбергит-эгирин (его называют эгирин-авгитом), эгирин.

В горных породах типа диабазов или базальтов пироксены чаще всего представлены диопсид-геденбергитом, но всегда с примесью натрия, алюминия, титана.

Все пироксены имеют ряд общих признаков, позволяющих уверенно отличать их под микроскопом от других минералов. Это прежде всего два направления совершенной спайности, пересекающихся под углом 87 - 89 ° (рис. 24), и высокие (1.65 – 1.80) показатели преломления (определяют высокий рельеф и резкую шагреневую поверхность пироксенов).

Для кальциевых и магниевых пироксенов (диопсид, энстатит) характерны зернистые агрегаты короткопризматических кристаллов, железистые

пироксены (эгирин, геденбергит) образуют шестоватые и игольчатые кристаллы, радиально - лучистые агрегаты. В шлифах пироксены премущественно бесцветны или окрашены в слабые зеленоватые цвета и не плеохроируют (кроме гиперстена и эгирина).

При вторичных изменениях пироксены замещаются амфиболами, слюдами, хлоритом, иногда серпентином и тальком (особенно энстатит).

Ортопироксены

Отличаются от клинопироксенов прямым угасанием (в связи с этим название «ортопироксены») и более низким двупреломлением. Следует, однако, иметь ввиду, что в сечениях, ориентированных не перпендикулярно плоскостям спайности, или поперечных двум плоскостям спайности, угасание будет косым. Для определения угла угасания нужно использовать удлиненные сечения с наиболее четкими следами спайности. Иногда cN_g достигает 10 ° - из-за присутствия ориентированных вдоль плоскостей спайности субмикроскопических вростков клинопироксена (эти вростки иногда бывают и крупными, различимыми в скрещенных николях).

Энстатит бесцветен, cN_g = 0 °, двупреломление 0.009. Оптически положителен.

Гиперстен плеохроирует от бледно-розового до бледно-зеленого (очень слабо). Угол угасания cN_g 0 - 10 °, двупреломление до 0.013. Оптически отрицателен (как и бронзит). Смена оптического знака в ряду энстатит – ферросилит соответствует составу En_{88}.

В эффузивных породах вокруг вкрапленников ортопироксенов может быть опацитовая кайма.

При вторичных изменениях ортопироксены могут замещаться ромбическими амфиболами. В низкотемпературных условиях по ортопироксену образуются тонкозернистые псевдоморфозы ориентированного талька с магнетитом. Типично также замещение ортопироксенов, особенно энстатита, серпентином. В отличие от петельчатых псевдоморфоз серпентина по оливину, серпентин по ортопироксену ориентирован, образуя так называемый *бастит* – пластинчатые псевдоморфозы антигорита.

Клинопироксены

Отличаются от ортопироксенов косым угасанием (поэтому и называются «клинопироксены») и более высоким двупреломлением. Угол угасания определяется в разрезах с наивысшей интерференционной окраской.

Иногда встречается похожая на совершенную спайность «диаллаговая» отдельность. Угол между этой отдельностью и спайностью около 54 °, напоминая сечение амфиболов.

Клинопироксены могут содержать вростки ромбического пироксена; при вторичных изменениях замещаются уралитом (волокнистым зеленым амфиболом), хлоритом, эпидотом, карбонатами.

Диопсид - геденбергит – бесцветный или слабозеленоватый, без плеохроизма. cN_g = 38 - 48 °, двупреломление 0.030 - 0.018.

Авгит – слегка буроватый, иногда слабо плеохроирует (имеет розовато-буроватую окраску по N_g - в отличие от гиперстена, у которого такая окраска по N_p). Присутствие титана придает авгиту фиолетовый оттенок окраски. cN_g = 40 - 54 °, то есть при cN_g менее 48 ° авгит по углу угасания не отличается от пироксенов ряда диопсид-геденбергит.

Для авгита характерна дисперсия осей эллипсоида, проявляющаяся в неполном угасании (у пироксенов ряда диопсид-геденбергит дисперсия незначительна и они имеют четкое угасание).

В эффузивных породах вкрапленники авгита нередко имеют зональную окраску и обусловленное сильной дисперсией оптических осей зональное и секториальное угасание (фигура песочных часов). Двупреломление ниже 0.025.

Диопсид и авгит обладают близкими оптическими свойствами. Увеличение угла угасания в авгите, а также некоторая разница в двупреломлении (у диопсида оно несколько выше) далеко не всегда могут быть однозначно установлены из-за неточной ориентировки разрезов. Поэтому отличить авгит от диопсида под микроскопом удается далеко не всегда. Для точной диагностики пироксенов необходимо использовать микрозонд.

Эгирин-авгиту свойственен сильный плеохроизм, cN_g = 54 - 85 °; наблюдаются все переходы от эгирин-авгита к эгирину.

Эгирин – характерны длиннопризматический облик и густая окраска с обратной схемой абсорбции – зеленая по N_p и более светлая зеленовато-желтая по N_g. Отрицательное удлинение, cN_p до 8 °, двупреломление 0.037 - 0.059. При определении двупреломления следует иметь ввиду, что интерференционная окраска эгирина затушевывается его густой собственной окраской.

Таким образом, для эгирина в шлифах характерны интенсивная зеленая окраска, очень высокий рельеф и шагреневая поверхность, высокая интерференционная окраска *II* и *III* порядка, близкое к прямому угасание и отрицательное удлинение. От сходных по окраске амфиболов эгирин отличается обратной схемой абсорбции, малым углом угасания, отрицательным удлинением, высокой интерференционной окраской и углом между трещинами спайности.

Оливин

Оливин представляет собой непрерывный ряд изоморфных смесей от форстерита $Mg_2(SiO_4)$ до фаялита $Fe_2(SiO_4)$. Ромбическая сингония.

В шлифах бесцветный. В интрузивных породах форма зерен неправильная, изометричная. В эффузивных породах порфировые вкрапленники оливина могут иметь форму несколько вытянутых шестиугольников, иногда с отчетливой спайностью, в то время как в оливине из интрузивных пород спайность отсутствует или отмечается лишь в редких зернах.

Имеет самый высокий показатель преломления из всех мафических минералов (n_g = 1.669 – 1.975, n_p = 1.636 – 1.827), вследствие чего обладает резким положительным рельефом и четко выраженной шагреневой поверхностью.

Высокое двупреломление (форстерит 0.033, фаялит 0.052), вследствие чего имеет высокую интерференционную окраску. В зернах со спайностью угасание прямое.

Угол *2V* форстерита +85 °, фаялита -48 °. Смена оптического знака в ряду форстерит – фаялит соответствует Fo_{88}. У большинства природных оливинов магматических пород, которые содержат от 10 до 30 % $Fe_2(SiO_4)$, оптический знак нередко определить не удается: изогира коноскопической фигуры в разрезе, перпендикулярном оптической оси, обычно прямая, то есть не имеет различимой кривизны, необходимой для определения оптического знака.

Свежим оливин бывает редко, даже в кайнотипных эффузивных породах он по трещинам и по периферии зерен окрашен в бурый цвет гидроксидами железа. При вторичных изменениях наиболее характерными продуктами замещения оливина является серпентин и иддингсит (биотитоподобная смесь смектита, хлорита, серпентина и гетита). Серпентин развивается преимущественно по магнезиальному оливину, иддингсит – по железистому. Иногда отмечается замещение тальком, карбонатом, хлоритом. Вокруг зерен оливина могут наблюдаться реакционные оболочки, сложенные пироксеном и амфиболом.

Оливин в шлифах нередко имеет значительное сходство с минералами из группы пироксенов. Оливин отличается от пироксенов следущими особенностями.

1. При выключенном анализаторе оливин магматических пород всегда бесцветен, а пироксены нередко имеют буроватый или зеленоватый оттенок; этот оттенок слабый и может отсутствовать, но если он заметен, определяемый минерал не может быть оливином.

2. Пироксены обладают совершенной спайностью; оливин же имеет несовершенную спайность и во многих случаях она в шлифах не обнаруживается.

3. Коноскопическая фигура оливина в разрезах, перпендикулярных оптической оси, характеризуется тем, что изогира приближается к прямой, так как для большинства оливинов угол *2V* близок к 90 °. Моноклинные пироксены имеют угол *2V* около 60 ° и отчетливо изогнутую изогиру.

4. Наиболее обычные продукты изменения оливина – серпентин и иддингсит. Серпентин образуется и по ромбическим пироксенам, но в соответствии с формой первичных зерен псевдоморфозы серпентина по оливину имеют в шлифах изометричную форму, а по пироксену – прямоугольную. Вторичными минералами, замещающими моноклинные пироксены, являются актинолит и хлорит.

Акцессорные минералы

Нерудные акцессорные минералы в шлифах выделяются своей преимущественно правильной формой зерен и высоким рельефом. Они обычно устойчивы и не подвержены вторичным изменениям.

Anamum $Ca_5(PO_4)(F,Cl)$, гексагональная сингония. Образует столбчатые и таблитчатые кристаллы с прямоугольными и гексагональными сечениями. Бесцветный, без спайности, с высоким рельефом и ясной шагреневой поверхностью (n_o = 1.633 – 1.667, n_e = 1.630 – 1.664). Наличие тория и урана в апатите обусловливает появление плеохроичных двориков вокруг его кристаллов, включенных в биотит или амфибол.

Низкая серая интерференционная окраска (двупреломление 0.003). Угасание прямое, удлинение отрицательное. Одноосный, отрицательный.

В небольших количествах встречается во всех магматических породах. Максимальные содержания апатита характерны для щелочных пород, в которых он может переходить в разряд главных породообразующих минералов.

В шлифах апатит имеет сходство с андалузитом и силлиманитом. Но эти минералы оптически двуосны, обладают совершенной спайностью и их кристаллы в поперечных сечениях имеют форму ромба или прямоугольника. Двупреломление этих минералов более высокое, чем у апатита (интерференционная окраска последнего не поднимается выше серой окраски *I* порядка).

Циркон Zr(SiO4), тетрагональная сингония. Образует короткостолбчатые или призматические кристаллы с дипирамидальными окончаниями и округлые зерна. В поперечных сечениях дает четырех- и восьмиугольники.

Бесцветный, с очень резкими черными ограничениями из-за очень высокого показателя преломления (1.924 – 2.015); в скрещенных николях имеет высокую интерференционную окраску (двупреломление 0.044 – 0.055). Угасание прямое, удлинение положительное. Одноосный, положительный.

Часто образует включения в биотите, амфиболе и других минералах. Эти включения обычно окружены интенсивно окрашенными и резко плеохроирующими ореолами, образование которых связано с радиационным воздействием циркона.

В очень мелких зернах циркон в шлифах практически неотличим от монацита и ксенотима.

Циркон – один из наиболее распространенных акцессорных минералов, встречается практически во всех типах горных пород. Наиболее высокие содержания циркона – в щелочных породах.

Титанит $CaTi(SiO_4)$, моноклинная сингония. Характерна клиновидная форма кристаллов. Бесцветный, серый, часто буроватый. Очень резкие ограничения, очень высокий рельеф (n_o = 1.98 – 2.05, n_e = 1.89 – 1.91).

Цвета интерференции блеклые («перламутровые») высших порядков. Двупреломление титанита 0.09 – 0.14, что значительно выше, чем у циркона.

Поэтому, в отличие от циркона, окраска титанита при включенном анализаторе остается практически такой же (буроватой), как без анализатора. Нередко наблюдается неполное угасание, обусловленное сильной дисперсией. Иногда отмечаются простые или полисинтетические двойники.

Титанит встречается в широком диапазоне магматических пород и во многих метаморфических породах. В габброидах, долеритах, базальтах титанит нередко образует ксеноморфные оторочки вокруг зерен титаномагнетита и ильменита. В диоритах, сиенитах и гранитоидах он дает индивидуализированные кристаллы и ксеноморфные зерна, включенные в роговую обманку и биотит или располагающиеся между другими породообразующими минералами. В гранитоидах повышенной основности и в щелочных породах содержание титанита иногда превышает 1 – 2 %.

Шпинель $MgAlO_2$, кубическая сингония. Образует октаэдрические кристаллы, дающие в шлифах квадратные, четырехугольные и треугольные срезы. Встречается и неправильная форма зерен, нередки графические срастания с пироксеном. Спайность отсутствует, но весьма обычна отдельность.

Зеленая, бурая. Изотропна, с высоким рельефом и резкой шагреневой поверхностью (показатель преломления 1.763 - 2.05).

Бурую шпинель можно спутать с титанистым гранатом, но в отличие от него шпинели свойственна октаэдрическая форма кристаллов и характерная отдельность. Следует также иметь ввиду, что шпинель встречается в основных и ультраосновных породах. От хромита шпинель отличается меньшим показателем преломления.

Непрозрачные *рудные* минералы под микроскопом в проходящем свете выглядят черными; их точная диагностика производится в отраженном свете на специальном рудном микроскопе в полировках. В прозрачных петрографических шлифах окраска рудных минералов может быть определена, если направить свет не на зеркало микроскопа, а на поверхность шлифа сверху. В этом случае магнетит обнаруживает свойственную ему в отраженном свете стально-серую, пирит – желтую, хромит – буроватую окраску, и т. п.

Вулканическое стекло **–** не минерал, а аморфное вещество, представляющее собой застывший магматический расплав, не успевший раскристаллизоваться вследствие быстрого остывания. Обычно входит в состав основной массы эффузивных пород, а в ряде случаев слагает ее полностью.

В шлифе вулканическое стекло бесцветно или окрашено в желтые или бурые тона. Интенсивность окраски зависит от содержания и степени окисления железа. Показатель преломления изменяется от 1.492 (стекло риолитового состава) до 1.575 (стекло базальтового состава). Изотропно, хотя иногда обладает слабым двупреломлением вследствие внутренних напряжений.

При вторичных изменениях вулканическое стекло среднего и основного состава чаще всего замещается хлоритом, а кислое стекло подвергается раскристаллизации, превращаясь в смесь субмикроскопических зерен кварца и полевых шпатов.

2.2. Минералы метаморфических пород

Гранаты

Общая химическая формула гранатов $R^{2+}_3 R^{3+}_2(SiO_4)_3$:

(пиральспиты)		(уграндиты)	
пироп	$Mg_3 Al_2(SiO_4)_3$	уваровит	$Ca_3Cr_2(SiO_4)_3$
альмандин	$Fe_3 Al_2(SiO_4)_3$	гроссуляр	$Ca_3Al_2(SiO_4)_3$
спессартин	$Mn_3 Al_2(SiO_4)_3$	андрадит	$Ca_3Fe_2(SiO_4)_3$

Гранаты пироп-альмандинового ряда широко распространены в метаморфических породах. Доля пиропового компонента в гранатах увеличивается с ростом температуры и давления. В наиболее низкотемпературных условиях образуются гранаты, обогащенные спессартином. Пиральспиты с высокой долей альмандина и спессартина кристаллизуются также из кислых магматических расплавов, пересыщенных глиноземом, встречаются в гранитных пегматитах.

Смесимость между собой пиральспитов и уграндитов ограничена. В твердых растворах одного ряда может быть растворено не более 20 - 25 мольных процентов компонентов другого ряда. В высокобарных условиях растворимость гранатов этих двух рядов между собой становится более значительной.

Точное определение состава гранатов производится с помощью микрозонда. Под микроскопом в ряде случаев возможна, с привлечением особенностей парагенезисов, приближенная оценка состава гранатов.

Гранаты в шлифе образуют изометричные зерна - идиоморфные или неправильной формы, часто ситовидные, с многочисленными включениями других минералов. Бесцветны или слабо окрашены в желтоватый или розоватый цвет. Характерны высокие показатели преломления, которыми обусловлены резко выраженный рельеф и шагреневая поверхность.

Обычно изотропны, но спессартин и некоторые уграндиты обнаруживают слабое (до 0.003) аномальное двупреломление, особенно в толстых шлифах. Такое двупреломление (с появлением серых интерференционных окрасок) особенно характерно для гранатов из скарнов. В некоторых уграндитах наблюдается зональное угасание и секториальные двойники.

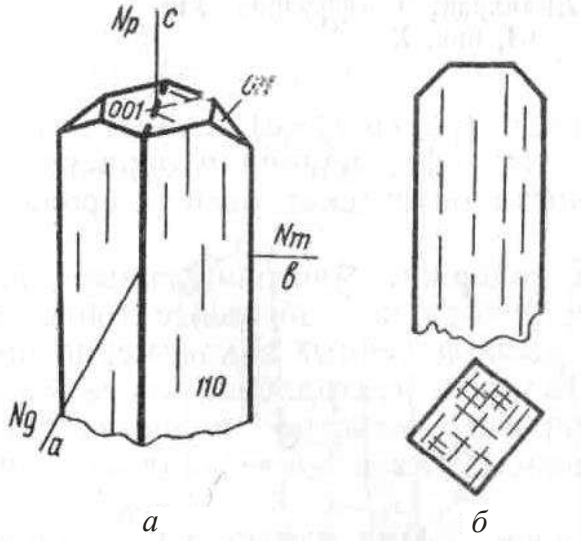
Пироп может замещаться хлоритом, альмандин – хлоритом и эпидотом. Уграндиты замещаются эпидотом, хлоритом, кальцитом, плагиоклазом.

Андалузит

$AlAl(SiO_4)O$, ромбическая сингония.

Андалузит, кианит и силлиманит – полиморфные модификации Al_2SiO_5, устойчивые при разных температурах и давлениях. Входят в состав метаморфических пород, богатых глиноземом; силлиманит и андалузит встречаются также в высокоглиноземистых кислых магматических породах. Андалузит устойчив при относительно низких давлениях – встречается в контактовых ореолах малоглубинных интрузивов и в продуктах регионального метаморфизма умеренного давления. Кианит образуется при высоком давлении, силлиманит – при высокой температуре.

Андалузит образует короткостолбчатые кристаллы с хорошо развитыми гранями ромбической призмы. В поперечном сечении – ромб, близкий к



а *б*

Рис. 25. Андалузит:
а – кристалл;
б – спайность
в продольном и
поперечном сечениях

квадрату, с трещинами спайности под углом 89 ° (рис. 25). Нередко встречается также в виде зерен неправильной формы с извилистыми границами.

Бесцветен или слабо и неравномерно окрашен в розоватый или зеленоватый цвет (плеохроирует от бледно-розового по N_p до бледно-зеленого или почти бесцветного по N_g). Обладает ясным рельефом и шагреневой поверхностью (n_g = 1.638 – 1.651, n_p = 1.629 – 1.640).

Двупреломление 0.009 - 0.011. В продольных разрезах имеет прямое угасание и отрицательное удлинение. Оптически отрицательный, угол *2V* около 85 °.

Отличается от похожих на него пироксенов и кианита более слабым рельефом, прямым угасанием и отрицательным удлинением, от силлиманита – низким двупреломлением и отрицательным удлинением. При вторичных изменениях замещается мусковитом.

Кианит

$Al_2(SiO_4)O$, триклинная сингония.

Бесцветный или слабо-голубоватый. Образует идиоморфные призматические или таблитчатые зерна. Часты простые и полисинтетические двойники. Спайность по двум направлениям под углом, близким к 90 °.

Очень высокий рельеф и резкая шагреневая поверхность (n_g = 1.728 – 1.729, n_p = 1.712 – 1.717).

Двупреломление 0.012 - 0.016. Характер угасания и знак удлинения в разных разрезах разный. В сечениях с более совершенной спайностью угасание почти прямое (0 - 3 °), а в сечениях, где спайность выражена хуже, угол угасания 27 - 32 °.

От андалузита отличается более высокими показателями преломления, положительным удлинением, наличием двойников, от силлиманита – меньшим двупреломлением, наличием двойников и двумя системами спайности.

По кианиту развиваются белые слюды, пирофиллит, каолинит. Вместе с кианитом встречаются гранат, ставролит, мусковит, биотит, кордиерит.

Силлиманит

$Al(AlSiO_5)$, ромбическая сингония.

Обычно встречается в виде удлиненных призм без концевых граней, дающих в поперечном сечении прямоугольники, почти квадраты и ромбы, а также в форме иголочек, палочек, лучистых и волокнистых агрегатов (фибролит), неправильных зерен (рис. 26).

Бесцветен. Фибролит вследствие дисперсии света кажется окрашенным в буроватый цвет. Совершенная спайность по одному направлению. Характерны высокие показатели преломления (n_g = 1.677 – 1.682, n_p = 1.657 – 1.660), в связи с чем обладает высоким рельефом и ясной шагреневой поверхностью.

Двупреломление 0.020 - 0.022. Прямое угасание, положительное удлинение. Малый угол *2V* (21 – 30 °).

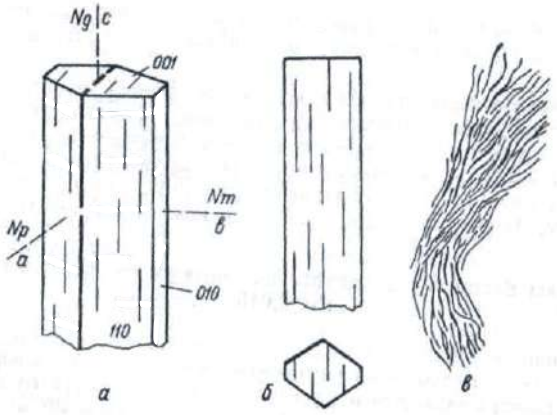


Рис. 26. Силлиманит:
а – форма кристаллов;
б – спайность в продольном и поперечном разрезах;
в – волокнистый силлиманит (фибролит)

Силлиманит может быть сходен в шлифах с андалузитом, кианитом, цоизитом, апатитом, ромбическим пироксеном.

Андалузит и апатит имеют отрицательное удлинение и отрицательный оптический знак. Кианит и цоизит обладают более высоким рельефом; кроме того, кианит дает сечения с косым угасанием, обладает большим углом *2V* и оптически отрицателен, а цоизит отличается характерными аномальными индигово-синими интерференционными окрасками и переменным знаком удлинения. Ромбические пироксены отличаются характером спайности (по двум направлениям под углом 87 °) и меньшим двупреломлением.

Силлиманит – высокотемпературный метаморфический минерал метапелитов. Он встречается вместе с биотитом, калиевым полевым шпатом, гранатом, кордиеритом, гиперстеном, шпинелью, корундом. При вторичных изменениях по силлиманиту развиваются белые слюды, пирофиллит, каолинит.

Ставролит

$(Fe,Mg,Zn)_2Al_9(Si,Al)_4O_{22}(OH)_2$. Ромбическая сингония.

Образует короткопризматические кристаллы или неправильные удлиненные порфиробласты ситовидного строения. Нередки крестообразные двойники со срастанием призматических индивидов почти под прямым углом или под углом 60 °.

Спайность несовершенная. Плеохроирует от оранжево- или золотисто-желтого по N_g до бледно-желтого, почти бесцветного, по N_p. Отчетливые рельеф и шагреневая поверхность (n_g = 1.746 – 1.762, n_p = 1.736 – 1.747).

Двупреломление 0.009 - 0.016. Прямое угасание, положительное удлинение.

Высокие показатели преломления и среднее двупреломление, характерная желтая окраска, плеохроизм и высокий положительный *2V* (82 – 90 °) позволяют в совокупности надежно определять ставролит в шлифах.

Ставролит – типичный минерал среднетемпературных фаций метапелитов, встречается с альмандином, мусковитом, биотитом и др. Может замещаться мусковитом, серицитом, хлоритом.

Кордиерит

$(Mg,Fe)_2Al_3(AlSi_5O_{18}) \cdot nH_2O$, ромбическая сингония.

Образует зерна неправильной формы, бесцветные или голубоватые, с низким положительным рельефом (n_g = 1.543 – 1.575, n_p = 1.534 – 1.558) и низким двупреломлением (0.009 – 0.017). Спайность несовершенная. Характерны двойники – полисинтетические или секториальные (тройники и шестерники).

В кордиеритах умеренной или высокой железистости вокруг включений циркона и других акцессорных минералов наблюдаются «плеохроичные дворики» - ореолы плеохроизма от бесцветного до ярко-желтого. В магнезиальных кордиеритах таких плеохроичных двориков не отмечается.

Кордиерит можно спутать с кварцем или плагиоклазом, имеющими близкий рельеф и двупреломление.

От кварца кордиерит отличается наличием двойников, плеохроичных ореолов, двуосностью. Кроме того, кварц часто имеет характерное волнистое угасание и чуть более высокое двупреломление. От плагиоклаза кордиерит отличается плеохроичными ореолами, менее совершенной спайностью, полисинтетические двойники в нем часто не доходят до краев зерен. От альбита, сходного с кордиеритом по показателю преломления и двупреломлению, последний отличается также отрицательным оптическим знаком.

Кордиерит может замещаться пинитом – бесцветной, зеленовато-голубоватой, желтой войлокообразной смесью мусковита, хлорита, серпентина и оксидов железа. Даже небольшие следы проявленной пинитизации могут быть использованы для отличия кордиерита от других минералов.

Встречается в метаморфических породах, богатых алюминием, и в высокоглиноземистых магматических породах кислого состава. Характерен для высоких ступеней регионального и контактового метаморфизма, нередко встречается вместе с гранатом, калиевым полевым шпатом, гиперстеном, силлиманитом.

Группа эпидота

Изоморфный ряд клиноцоизит $Ca_2Al_3(SiO_4)(SiO_2)O(OH)$ – эпидот $Ca_2(Al,Fe)_3(SiO_4)(Si_2O_7)O(OH)$, моноклинная сингония. Цоизит – ромбическая сингония.

Минералы группы эпидота образуют в шлифах удлиненные или неправильные зерна с высоким рельефом и шагреневой поверхностью. Эпидот в шлифе слабо окрашен в зеленовато-желтый цвет (со слабым плеохроизмом) или бесцветен, клиноцоизит и цоизит бесцветны.

Спайность по двум направлениям под углом 65 ° (в одном направлении совершенная, в другом – несовершенная, в виде коротких трещин). Угол угасания 0 – 30 ° (в зависимости от спайности, по отношению к которой измеряется угол угасания). По длине кристаллов клиноцоизита и эпидота располагается N_m, поэтому разрезы могут иметь как положительное, так и отрицательное удлинение.

Минералам группы эпидота свойственна аномальная интерференционная окраска – у цоизита тусклая серо-синяя, желтовато-бурая, у клиноцоизита – густые желтые и оранжево-желтые цвета, у эпидота – яркие красные, малиново-красные и зеленые цвета.

Клиноцоизит также отличается от цоизита косым угасанием в большей части разрезов и углом $2V$ (65 - 90 °). От эпидота цоизит и клиноцоизит отличаются меньшим двупреломлением (0.005 – 0.008). Клиноцоизит оптически положительный, эпидот – отрицательный.

От клинопироксена эпидот отличается малым углом угасания (в удлиненных разрезах угасание может быть прямым), хуже проявленной спайностью, плеохроизмом, цветами интерференции, отрицательным оптическим знаком.

Цоизит – типичный минерал прогрессивного и регрессивного метаморфизма фаций зеленых сланцев, глаукофановых сланцев и эпидот-амфиболитовой фации. Входит в состав соссюрита (агрегат серицита, цоизита и кварца), образующего псевдоморфозы по основным и средним плагиоклазам при изменении магматических пород.

Клиноцоизит и эпидот – типичные минералы метаморфических пород фаций зеленых сланцев, глаукофановых сланцев и эпидотовых амфиболитов, их парагенезисы почти не отличаются от парагенезисов цоизита.

Хлориты

Хлориты – большая и сложная по составу группа минералов, главными представителями которых являются клинохлор $Mg_5Al(AlSi_3O_{10})(OH)_8$ и шамозит $Fe_5Al(AlSi_3O_{10})(OH)_8$. Моноклинная сингония. Разнообразный изоморфизм приводит к изменчивости свойств хлоритов.

Характерными признаками хлоритов в шлифах является пластинчатая форма кристаллов, весьма совершенная спайность, зеленые отттенки окраски, слабый плеохроизм (от синевато-зеленого или бесцветного до желто-зеленого), низкое двупреломление, прямое угасание (иногда с отклонением в несколько градусов), нередко аномальная интерференционная окраска (грязная желто-зелено-серая, синяя, фиолетовая, реже бурая).

Могут иметь как положительное, так и отрицательное удлинение. В чешуйках хлорита могут наблюдаться плеохроичные дворики, сходные с двориками в биотите; в центре таких плеохроичных двориков часто находятся включения циркона.

От серпентина минералы группы хлорита можно отличить по часто наблюдаемому отчетливому плеохроизму, аномальным сиреневым и бурым цветам интерференции, а также по присутствию плеохроичных двориков, не характерных для серпентина. От похожего по окраске биотита хлорит в разрезах со спайностью отличается низкой интерференционной окраской и более слабым плеохроизмом.

Трудность для диагностики могут представлять бесцветные оптически изотропные или почти изотропные хлориты. Они отличаются от других изотропных минералов низким рельефом и слюдоподобной спайностью.

В магматических породах минералы группы хлорита являются вторичными. Они развиваются по главным породообразующим минералам (преимущественно мафическим). Часто хлорит замещает биотит, причем при этом в хлорите нередко образуются тончайшие иголки рутила, пересекающиеся под углом 60 ° и слагающие так называемую сагенитовую решетку (см. рис. 23). Хлоритом могут замещаться также пироксены, амфиболы, оливин, гранат, иногда полевые шпаты.

Серпентин

$Mg_3(Si_2O_5)(OH)_4$, моноклинная сингония.

Бесцветный или зеленоватый, буроватый, желтоватый. У окрашенных разностей плеохроизм от зеленовато-желтого по N_g до бесцветного по N_p. Спайность весьма совершенная по одному направлению. Показатели преломления близки к канадскому бальзаму, в связи с чем рельеф и шагреневая поверхность отсутствуют.

Серая, белая, иногда бледно - желтая интерференционная окраска *I* порядка (двупреломление 0.006 – 0.013). Угасание прямое, удлинение положительное.

От хлорита серпентин отличается по цвету и отсутствию аномальных интерференционных окрасок. Сходные с серпентином бесцветные или слабоокрашенные разности хлоритов лучше окристаллизованы, обладают слюдоподобной спайностью, менее смяты и имеют более высокий положительный рельеф.

Серпентин – типичный вторичный минерал, развивающийся в ультраосновных и основных породах по магнезиальному оливину, пироксенам, реже амфиболам.

Тальк

$Mg_3(Si_4O_{10})(OH)_2$, моноклинная сингония.

Образует чешуйчатые агрегаты. В шлифе бесцветный, буроватый и зеленовато-буроватый. Спайность весьма совершенная по одному направлению. N_g - N_p = 0.050 – 0.045. Угасание прямое, удлинение положительное. Оптически отрицательный, угол *2V* = 0 - 30 °.

Под микроскопом сходен с мусковитом. Отличается показателями преломления (n_g = 1.589 – 1.590, n_p = 1.539 – 1.545), углом *2V*, минеральными ассоциациями. Кроме того, тальк отличается от мусковита своей пластичностью, плавной изогнутостью чешуек, что у мусковита наблюдается редко.

В основных и ультраосновных магматических породах тальк развивается по магнезиальным минералам – оливину, ортопироксенам, серпентину и др. Характерны ориентированные псевдоморфозы талька по магнезиальным ортопироксенам.

Турмалин

$NaFe_3Al_6(Si_6O_{18})(BO_3)_3(OH)_4$. Тригональная сингония.

Призматический. Спайность отсутствует. Рельеф и шагреневая поверхность хорошо заметны (n_o = 1.639 – 1.692, n_e = 1.620 – 1.657). Двупреломление 0.017 - 0.030, обычно около 0.020.

В шлифе часто окрашен в бурый цвет, хотя может иметь и другую окраску. Плеохроизм резкий, с изменением интенсивности окраски. В отличие от биотита, турмалин принимает наиболее темную окраску, когда длинная сторона кристалла перпендикулярна к направлению колебаний света в поляризаторе (у биотита наиболее темная окраска - когда длинная сторона кристалла параллельна направлению колебаний света в поляризаторе).

Угасание прямое, удлинение отрицательное.

Рутил

TiO_2, тетрагональная сингония.

Обычно встречается в виде мелких зерен. Кристаллы рутила призматические, столбчатые, игольчатые, но в кристаллических сланцах нередко встречается и в виде изометричных зерен.

Густо окрашен в буро-красный или желто-бурый цвет, часто почти непрозрачен. Очень высокий рельеф (n_e = 2.895 – 2.903, n_o = 2.609 – 2.616). Очень высокое двупреломление (0.286 – 0.287), в силу чего интерференционную окраску определить невозможно. Яркие цвета интерференции видны даже в тончайших иголочках, что позволяет по этому свойству отличить рутил от других тонкоигольчатых минералов.

Прямое угасание. Из-за интенсивной собственной окраски рутил обычно одного и того же цвета как при включенном, так и при выключенном анализаторе.

Сагенитовая решетка - включения тонкоигольчатого рутила в хлорите или в слюдах, имеющие вид сетки с треугольными ячейками (см. рис. 23).

Титанит, в отличие от рутила, имеет меньшие показатели преломления и двупреломление, и двуосен. Циркон более светло окрашен и имеет более низкие показатели преломления и двупреломление.

Рутил – широко распространенный акцессорный минерал. Он встречается в различных магматических породах - от ультрамафитов до гранитов, в метаморфических породах разныхь фаций. Рутил иногда развивается по ильмениту, но и сам может замещаться ильменитом или титанитом.

Карбонаты

Кальцит $CaCO_3$, доломит $CaMg(CO_3)_2$, магнезит $MgCO_3$, сидерит $FeCO_3$. Тригональная сингония.

Карбонаты в шлифах преимущественно бесцветны. Спайность по трем направлениям под косым углом. В крупных зернах встречаются полисинтетические двойники. В сечениях, где четко видны два направления спайности, у кальцита двойниковые полоски располагаются ближе к длинной диагонали ромба спайности, а у доломита – ближе к короткой диагонали ромба спайности. Магнезит обычно не подвержен двойникованию.

Характерна четко выраженная псевдоабсорбция. У кальцита псевдоабсорбция проявляется более отчетливо, чем, например, у сидерита, так как у кальцита показатель преломления n_g выше, а n_p ниже, чем у канадского бальзама, а у сидерита оба показателя преломления выше, чем у канадского бальзама.

Очень высокое двупреломление (более 0.170), которому отвечает очень высокая пестро-белая («перламутровая») интерференционная окраска, по которой, вместе с псевдоабсорбцией, карбонаты могут быть отличимы от других породообразующих минералов.

Одноосные, отрицательные.

Флюорит

CaF_2, кубическая сингония. Встречается преимущественно в виде неправильных зерен, выполняющих промежутки между другими минералами, реже в виде идиоморфных кристаллов.

Бесцветный, со спайностью по октаэдру, в связи с чем в некоторых разрезах можно наблюдать две или три системы пересекающихся трещин спайности. Показатель преломления много ниже канадского бальзама (1.434), вследствие чего минерал имеет отрицательный рельеф и резкую шагреневую поверхность. Изотропный.

Флюорит может быть спутан в шлифах с другими изотропными минералами со средним рельефом и шагреневой поверхностью. На него похожа слабо окрашенная (бесцветная, зеленая или фиолетовая) шпинель, имеющая к тому же отдельность по октаэдру, сходную со спайностью флюорита. Но у шпинели положительный рельеф. Гранаты не имеют спайности и также имеют положительный рельеф.

Флюорит нередко встречается в нефелиновых сиенитах, гранитоидах, пегматитах, грейзенах.

2.3. Контрольные вопросы

1. Как отличить в шлифе кварц и нефелин, кварц и кордиерит?
2. Назовите разновидности калиевых полевых шпатов и охарактеризуйте их диагностические признаки в шлифах.
3. Как отличить между собой пертиты и антипертиты?
4. Что общего и каковы различия в оптических свойствах плагиоклазов и калиевых полевых шпатов?
5. Перечислите признаки, по которым в шлифах выбирают зерна плагиоклаза для определения их состава методом максимального симметричного угасания.
6. Чем замещаются кислые и основные плагиоклазы при вторичных изменениях?
7. Назовите признаки отличия в шлифе биотита от хлорита, турмалина, амфиболов.
8. Что такое опацитизация и у каких минералов она может быть проявлена?
9. Перечислите характерные признаки тремолита, актинолита, щелочных амфиболов.
10. Как отличить в шлифе пироксен от оливина?
11. Как в шлифе различаются ромбические и моноклинные пироксены?
12. Перечислите сходства и различия минералов из группы пироксенов и амфиболов.
13. Чем эгирин отличается в шлифе от амфиболов?
14. Назовите оптически изотропные минералы и их отличия между собой в шлифе.
15. Как отличить в шлифе титанит и рутил, титанит и циркон?

16. Назовите характерные диагностические признаки кианита, андалузита, силлиманита.
17. Как определить в шлифе ставролит и кордиерит?
18. Охарактеризуйте особенности диагностики в шлифе минералов группы эпидота.
19. Как хлорит отличается в шлифе от серпентина и талька?
20. Назовите оптические свойства, характерные для минералов группы карбонатов.

БИБЛИОГРАФИЧЕСКИЙ СПИСОК

Белоусова О. Н., Михина В. В. Общий курс петрографии. М., Недра, 1972. 344 с.

Кравцова Л. И., Чукашева М. Н. Кристаллооптика. Методическое пособие к лабораторным работам по курсу петрографии. Изд. СГИ, 1961. 58 с.

Маракушев А. А., Бобров А. В., Перцев Н. Н., Феногенов А. Н. Петрология. I. Основы кристаллооптики и породообразующие минералы. М.: Научный мир, 2000. 316 с.

Петрография и петрология магматических, метаморфических и метасоматических горных пород. М.: Логос, 2001. 768 с.

Сиротин К. М. Практическая петрография. Изд. Саратов. ун-та. 1988. 312 с.

ПРЕДМЕТНЫЙ УКАЗАТЕЛЬ

Авгит, 46, 48
Актинолит, 45
Альбит, 38
Амфиболы, 44
Андалузит, 53
Андезин, 38
Аномальная анизотропия, 17
Анортит, 38
Антигорит, 58
Антипертиты, 37
Апатит, 50
Арфведсонит, 45

Бастит, 47, 58
Биотит, 42
Битовнит, 38

Вулканическое стекло, 51

Гиперстен, 47
Глаукофан, 45
Гранаты, 52

Двупреломление, 17, 4, 21
Диопсид-геденбергит, 48
Дисперсионный эффект, 14
Дисперсия двупреломления, 19
Доломит, 60

Знак удлинения, 25

Интерференционная окраска, 17

Калиевые полевые шпаты, 35
Кальцит, 60
Канадский бальзам, 8
Канкринит, 35
Карбонаты, 59
Кварц, 34
Кварцевый клин, 24
Кианит, 53
Клинопироксены, 47
Клинохлор, 57
Клиноцоизит, 56
Компенсатор, 23
Кордиерит, 55
Круговое сечение, 5

Лабрадор, 38
Лизардит, 58

Магнезит, 60
Микроклин, 36
Микропегматит, 37
Мирмекит, 39
Мусковит, 43

Нефелин, 34

Объект-микрометр, 11
Ограничения, 14
Оливин, 48
Олигоклаз, 38
Омфацит, 46
Оптически двуосный, 4
Оптически одноосный, 4
Оптически отрицательный, 5
Оптически положительный, 5
Оптическая ось, 4
Ортоклаз, 36
Ортопироксены, 47
Острая биссектриса, 5

Пертиты, 37
Пироксены, 46
Плагиоклазы, 38
Плеохроизм, 26
Плоскость оптических осей, 5
Полоска Бекке, 14
Пренит, 39
Псевдоабсорбция, 16

Разность хода, 17
Рельеф, 13
Рибекит, 45
Роговая обманка, 44
Рутил, 59

Сагенит, 43, 59
Санидин, 36
Серицит, 39, 43
Серпентин, 58
Сидерит, 60
Силлиманит, 53
Симметричное угасание, 41

Скрещенность николей, 9
Соссюрит, 39
Ставролит, 55
Схема абсорбции, 26

Тальк, 58
Титанит, 50
Тремолит, 45
Тупая биссектриса, 5
Турмалин, 59

Угол оптических осей (2V), 5, 30
Угол угасания, 22

Фаялит, 48
Флюорит, 60
Форстерит, 48

Хлорит, 57
Хризотил, 58

Центрировка, 10
Цеолит, 35
Циркон, 50
Цоизит, 56

Шагреневая поверхность, 14
Шпинель, 51

Щелочные амфиболы, 45

Эгирин, 48
Эгирин-авгит, 48
Энстатит, 47

Эпидот, 56

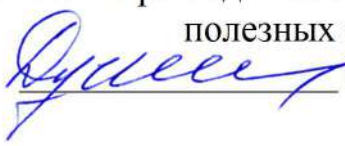
Учебное издание

Олег Анатольевич Суставов

ПЕТРОГРАФИЯ МАГМАТИЧЕСКИХ И МЕТАМОРФИЧЕСКИХ ПОРОД, ПЕТРОЛОГИЯ

МИНОБРНАУКИ РФ

ФГБОУ ВО «Уральский государственный горный университет»

УТВЕРЖДАЮ
Заведующий кафедрой геологии,
поисков и разведки месторождений
полезных ископаемых

В.А. Душин

МЕТОДИЧЕСКИЕ УКАЗАНИЯ ПО САМОСТОЯТЕЛЬНОЙ РАБОТЕ СТУДЕНТОВ ПО ДИСЦИПЛИНЕ

Б1.В.02 Основы учения о полезных ископаемых

Для обучающихся специальности
21.05.02 Прикладная геология

Специализация
Геологическая съемка, поиски и разведка месторождений твердых полезных ископаемых

форма обучения: очная, заочная

Авторы: Макаров А.Б., профессор, д.г.-м.н.,
Малюгин А.А., доцент, к.г.-м.н.

Одобрены на заседании кафедры
Геологии, поисков и разведки МПИ
наименование кафедры
Протокол № 1 от 26.09.2023 г
Дата

Екатеринбург

Самостоятельная работа студентов в рамках учебного процесса играет важную роль в изучении дисциплины «Основы учения о полезных ископаемых», поскольку основными объектами труда горных инженеров-геологов – поисков, разведки являются месторождения полезных ископаемых. Поэтому в процессе обучения у студентов формируются представления о месторождения полезных ископаемых как геологических объектах, возникающих в процессах формирования и развития земной коры. Главные задачи профессиональной деятельности – разработка научно обоснованных направлений поисковых работ и выбор рациональной методики разведки месторождений полезных ископаемых могут быть успешно решены при условии овладения студентом современных представлений о геологических и физико-химических условиях их формирования. В процессе самостоятельной работы студент получает представление об особенностях строения каждого типа месторождений как модели месторождений, с которым он будет сталкиваться в процессе своей будущей практической деятельности, и сравнивать с ними конкретные объекты. Для этого в рамках самостоятельной работы в первую очередь следует обратить внимание на изучение имеющегося на кафедре каменного материала, характеризующего большую часть типов промышленных месторождений.

Основное содержание дисциплины и объемы самостоятельной работы по разделам дисциплины приведены в таблице

№№ тем	Содержание	Часы по СРС
1	Форма и условия залегания рудных тел	10
2	Структуры и текстуры руд	10
3	Изучение генетических типов месторождений полезных ископаемых	33
4	Подготовка к экзамену	27

Методические указания по организации самостоятельного изучения дисциплины

1. Освоение лекционного курса

Лекции по дисциплине «Основы учения о полезных ископаемых» дают главный материал, как по теории, так и по практике исследований генезиса и геолого-промышленных типов месторождений полезных ископаемых. Современные проблемы, рассматриваемые в данной дисциплине, обусловлены как появлением новых теоретических представлений о геологии месторождений, так и их новых промышленных типов. Это требует после

прослушивания лекций обращаться к рекомендуемой литературе для более глубокой проработки соответствующей темы, детального рассмотрения основных терминов, проблемных вопросов и подходов к их решению, а также изучения дополнительного материала по теме для последующего выполнения лабораторных заданий.

После прослушивания лекции необходимо:

- внимательно просмотреть конспект лекции и (используя поля) сделать необходимые пояснения к сокращениям, аббревиатурам, терминам и т.п.;
- используя рекомендованную литературу уяснить проблемные вопросы и подходы к их решению;
- в письменном виде сформулировать вопросы, которые следует задать преподавателю для окончательного усвоения темы лекции;
- следует взять за правило – выполнять работу с конспектом лекций в тот же день, когда лекция прослушана и в памяти еще осталась часть ее содержания.

2. Подготовка, выполнение и оформление лабораторных занятий

Лабораторные занятия расширяют область знаний в изучаемой дисциплине и показывают применение теоретической части в практике исследований, позволяют самостоятельно оперировать знаниями в решении практических задач.

Наиболее важным в этом плане является изучение и закрепление знаний о вещественном составе минерального сырья по методическим указаниям, имеющимся на кафедре ГПР МПИ. Последующим этапом закрепления теоретического материала является изучение новых разрабатываемых месторождений в рамках существующих геолого-промышленных типов и генетической классификации МПИ.

Особое внимание при изучении генетических типов месторождений следует обратить на работу с научной литературой по данной проблематике.

Чтобы лабораторные занятия приносили максимальную пользу, необходимо помнить, что упражнения в решении практических задач, подготовка к занятиям проводятся по прочитанному на лекциях материалу и связаны, как правило, с детальным разбором отдельных разделов лекционного курса. Они вырабатывают навыки самостоятельной творческой работы, развивают мыслительные способности.

В рамках программы изучения дисциплины «Основы учения о полезных ископаемых» предусматривается следующая тематика лабораторных работ.

Тема 1. Форма и условия залегания рудных тел.

Цель лабораторных работ – ознакомиться с принципами определения формы рудных тел, изучить геологические разрезы, определить формы рудных тел на реальных геологических разрезах и найти их место в квалификационной таблице; по геологической обстановке на разрезе определить главные факторы, обусловившие форму и место локализации полезного ископаемого.

Места локализации рудных тел и, соответственно, их форма определяется рядом геологических факторов, в частности, условиям образования (эндогенными, экзогенными, или метаморфогенными). Как следствие, при изучении геологических разрезов месторождений, после определения формы рудного тела следует внимательно ознакомиться с геологической обстановкой и попытаться определить, какой из геологических факторов является определяющим: сингенетичность или эпигенетичность руд: отложения или замещения и др.

При выполнении работы следует иметь в виду, что форма природных геологических тел в большинстве случаев далека от идеальной, и при определении названия подбирается наиболее близкий эталон – идеальное геологическое тело.

Тема 2. Структуры и текстуры руд

Цель занятий – ознакомиться с основными структурами и текстурами руд, описать особенности минералогического состава и текстур руд различного генезиса. При изучении образцов необходимо, прежде всего, определить рудные минералы, текстуры, определить тип месторождения по типоморфным текстурам. Для этого используются таблицы «Типы текстур руд» по С.А. Вахромееву (1979).

Тема 3. Изучение генетических типов месторождений полезных ископаемых

Цель лабораторных работ – изучение теоретического и имеющегося в учебных коллекциях каменного материала, изучить парагенетические ассоциации минералов руд, описать имеющиеся в коллекциях образцы руд и определить их место согласно генетической классификации месторождений полезных ископаемых (по В.Ф. Рудницкому, «Основы учения о полезных ископаемых», стр. 46).

Последовательность изучения генетических типов МПИ рекомендуется следующим образом:

1). Повторение теоретического материала по лекции, учебным пособиям, консультации с преподавателем, просмотр дополнительной литературы из рекомендованного списка.

2). Самостоятельная работа по дополнительному изучению образцов руд из учебных коллекций кафедры.

3). Изучение примеров месторождений данного класса по литературным данным.

4). Проверка усвоения материала по «Вопросам и заданиям для самопроверки» (В.Ф. Рудницкий, «Основы учения о полезных ископаемых», стр. 233-245).

3. Рекомендации по работе с литературой

Изучение учебной и научной литературы является основным видом самостоятельной работы, которая сопровождает весь процесс изучения любой дисциплины. Организацию этой работы следует строить, используя следующие рекомендации:

1. Составить перечень книг, с которыми следует познакомиться , ориентируяясь на источники, содержащие необходимый материал.

2. Систематизировать перечень источников (для экзамена, для написания исследовательских работ.

3. Зафиксировать выходные данные по каждой книге.

4. Установить для себя, какие книги (или какие главы книги) следует прочитать более внимательно, а какие – просмотреть. При этом целесообразно проконсультироваться с преподавателем.

5. Все прочитанные книги, учебники и статьи рекомендуется конспектировать с указанием основных идей автора, наиболее ярких цитат (с указанием страниц источника).

6. На собственных книгах допускается делать на полях краткие пометки или же в конце книги, на пустых страницах просто сделать свой «предметный указатель», где отмечаются наиболее интересные для Вас мысли и обязательно указываются страницы в тексте – это позволяет экономить время и быстро находить «избранные» места в разных книгах.

7. Рекомендуется широко использовать интернет-источники и базы геологической литературы.

4. Подготовка к экзамену

На экзамене будут оценены полученные в процессе обучения знания (примерный перечень рассматриваемых на экзамене вопросов приведен ниже).

1). Понятие о полезных ископаемых и их месторождениях

2).Вещественный состав руд. Вредные и полезные компоненты. Комплексное использование руд.

3). Минеральный состав руд. Массивные и вкрапленные руды.

4). Рудоконтролирующие структуры.

5). Морфологическая классификация рудных тел. Формы рудных тел.

6). Понятия текстуры и структуры руд. Классификация текстур.

7). Гидротермально-метасоматические изменения вмещающих пород.

8). Источники рудного вещества эндогенных месторождений.

9). Источники рудного вещества экзогенных месторождений.

100. Причины и способы рудоотложения.

11). Раннемагматические месторождения- условия образования полезных ископаемых.

12). Позднемагматические месторождения- условия образования полезных ископаемых.

13. Ликвационные месторождения – условия образования и примеры месторождений.

14). Пегматиты: условия формирования месторождений, их типы и примеры.

15). Карбонатиты. Условия формирования, примеры месторождений.

16). Грейзены: факторы их образования, примеры месторождений.

17). Скарновые месторождения: условия формирования и примеры.

18). Порфировые месторождения: условия формирования и примеры.

19).Субвулканические (гидротермально-метасоматические) вулканогенные месторождения

20).Гидротермально-осадочные вулканогенные месторождения, условия их формирования и примеры.

21). Гидротермальные амагматогенные месторождения, условия формирования и примеры.

22). Месторождения выветривания и факторы их формирования.

23). Инфильтрационные месторождения.

24). Остаточные месторождения.

25). Механические месторождения полезных ископаемых и условия их формирования. Россыпные месторождения и их примеры.

26). Химические месторождения и условия их формирования.

27). Биохимические месторождения и условия их формирования.

28). Метаморфогенные месторождения.

Подготовка к экзамену способствует закреплению, углублению и обобщению знаний, получаемых в процессе обучения, а также применению их к решению практических задач. В процессе подготовки к экзамену имеющиеся пробелы в знаниях, углубляются, систематизируются и упорядочиваются знания. На экзамене демонстрируются знания и навыки, приобретенные в процессе обучения по данной дисциплине.

СПИСОК ЛИТЕРАТУРЫ, РЕКОМЕНДУЕМОЙ ДЛЯ ИЗУЧЕНИЯ

а) основная

Рудницкий В. Ф. Основы учения о полезных ископаемых. Учебное пособие.- 3-е издание, исправленное и дополненное - Екатеринбург: Изд-во УГГУ, 2015. -245 с.

б) дополнительная

Попова О.М. Полезные ископаемые: Лабораторный практикум с основами теории.-Екатеринбург: Изд-во УГГУ, 2007. – 97 с.

Рудные месторождения СССР В 3-х томах /под ред. Смирнова В.И., М.: Недра, 1978.

Смирнов В.И. Геология полезных ископаемых. М.: Недра, 1989

Рабочая программа дисциплины Б1.В.03-Основы учения о полезных ископаемых

Интернет ресурсы: Все о геологии http://www.geo.web.ru

МИНОБРНАУКИ РФ
ФГБОУ ВО «Уральский государственный горный университет»

УТВЕРЖДАЮ
Проректор по учебно-методическому комплексу _____ С.А. Тюрин

МЕТОДИЧЕСКИЕ УКАЗАНИЯ

ПО ОРГАНИЗАЦИИ ПРАКТИЧЕСКИХ ЗАНЯТИЙ, САМОСТОЯТЕЛЬНОЙ РАБОТЫ И КУРСОВОЙ РАБОТЫ ПО ДИСЦИПЛИНЕ «ГЕОЛОГИЧЕСКОЕ КАРТИРОВАНИЕ»

ДЛЯСТУДЕНТОВ СПЕЦИАЛЬНОСТИ

21.05.02 «ПРИКЛАДНАЯ ГЕОЛОГИЯ»

Специализация

Геологическая съемка, поиски и разведка месторождений твердых полезных ископаемых

Оглавление

		стр.
Предисловие		4
1. Общие сведения		5
2. Дешифровочные признаки		8
2.1.	Прямые дешифровочные признаки	8
2.2.	Косвенные дешифровочные признаки	10
2.3.	Основные формы рельефа	11
3. Дешифрирование геологических структур		12
4. Дешифрирование литологии		13
5. Методика выполнения лабораторной работы		15
5.1.	Определение взаимного расположения и ориентация аэрофотоснимков	16
5.2.	Определение границ участка	17
5.3.	Расчет масштаба аэрофотоснимков	19
5.4.	Определение центров аэрофотоснимков	19
5.5.	Построение линии главного направления	20
5.6.	Расчет базиса фотографирования	20
5.7.	Выделение и прослеживание литологических разновидностей пород	20
5.8.	Выделение разрывных нарушений	22
5.9.	Построение элементов залегания пород	22
5.10.	Определение относительных превышений элементов рельефа	24
5.11.	Построение элементов залегания	28
6. Составление геологической карты		32
7. Построение геологического разреза		33
7.1.	Построение рельефа по линии разреза	33
7.2.	Построение геологического разреза	36
8. Составление стратиграфической колонки.		37
9. Составление геологической карты		37
Рекомендуемая литература		39

Предисловие

В современных геологических исследованиях весьма широкое распространение получили методы дистанционного изучения земной поверхности и геологических комплексов на удалении (на дистанции) от их расположения. Сюда относятся методы исследования объектов с воздуха, выполняемые на разных высотах с помощью самолетов, космических кораблей, спутников. Высокий технический уровень современных исследований позволяет использовать широкий диапазон электромагнитных волн для дистанционного изучения площадей и проведения фотоэлектронных, телевизионных, радиолокационных, рентгеновских, инфракрасных, ультрафиолетовых и других видов съемок. Резко возрос и круг задач, решаемых дистанционными методами, результаты которых используются в геологии, сельском хозяйстве, мелиорации, строительстве и в других видах хозяйственной деятельности человека.

Особенно важна роль дистанционных методов, и прежде всего фотометодов, при геологосъемочных работах, инженерно-геологических исследованиях, при поисках полезных ископаемых. Для этих целей применяется набор высокоэффективных электронных приборов, позволяющих с большой точностью измерять параметры элементов рельефа, выполнять в автоматическом режиме качественный и количественный анализ форм рельефа, определять состав, условия залегания и площади распространения пород геологических комплексов, характер и интенсивность процессов их изменения, определять параметры и типы геологических структур.

Большим разнообразием отличаются и фотоматериалы, используемые при изготовлении аэрофотоснимков. В современных практических исследова-ниях применяются черно-белые, цветные и синтезированные космоснимки и аэрофотоснимки разного масштаба и составленные по ним фотосхемы, репродукции монтажа, фотопланы.

1. Общие сведения

Наибольшее применение в настоящее время при площадных геологоразведочных, геологосъемочных работах получили черно-белые аэрофотоснимки крупного масштаба - от 1:10000 до 1:70000. Выбор масштаба аэрофотоснимков, их информативность для конкретных территорий зависят от характера геологических задач, детальности геологических исследований, от степени дешифрируемости, от условий и параметров фотографирования.

При проведении специализированных аэрофотосъемочных работ фотосъемкой перекрывается вся площадь геологических исследований, фотографирование производится с самолета на различных высотах, при различных вариантах вертикального или наклонного положении оптической оси аэрофотокамеры.

При фотографировании площадей маршруты самолета располагаются параллельно друг другу и обычно ориентированы в широтном направлении (рис. 1).

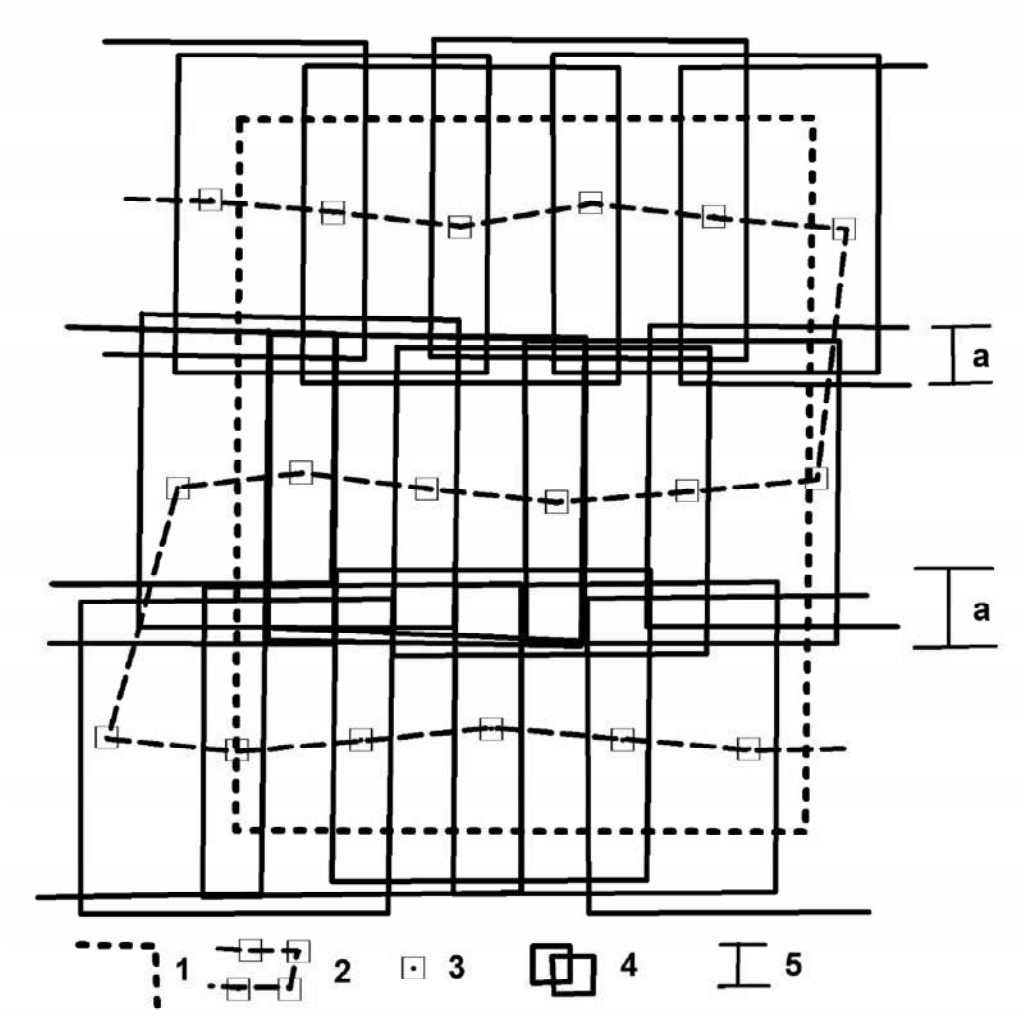


Рис.1. Взаимное расположение аэрофотоснимков и маршрут полета самолета при сплошном фотографировании площади.

1 – границы площади; 2 – маршрут самолета; 3 – центры фотографирования; 4 – границы одиночных снимков и их взаимное расположение; 5 – зоны поперечного наложения (а) снимков в соседних рядах (не менее 15%).

Обязательным условием аэрофотосъемки должно быть не менее, чем

60% перекрытие площадей двух соседних снимков вдоль маршрута самолета и 15% поперечное перекрытие площадей снимков в соседних параллельных маршрутах (рис. 2).

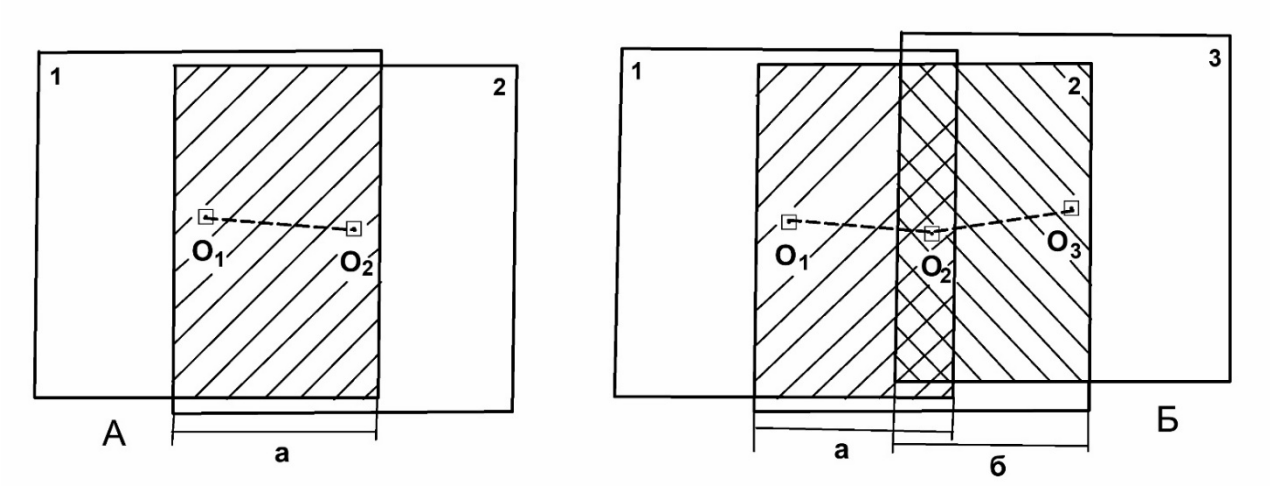


Рис. 2. Взаимное расположение соседних аэрофотоснимков в стереопаре (А) и стереотройке (Б). O_1, O_2, O_3 - центры аэрофотоснимков. Заштрихованы участки снимков 1 и 2 (а) и 2 – 3 (б) со стереоэффектом.

В настоящих Методических указаниях рассматриваются вопросы методики геологического дешифрирования аэрофотоснимков с помощью стереоскопов, определения структурных параметров геологических комплексов и составления геологической карты.

Для выполнения лабораторных работ по дешифрированию подготовлено 25 комплектов черно-белых аэрофотоснимков размером 18х18 см крупного масштаба. Комплекты аэрофотоснимков содержат два или три снимка, составляющих, соответственно, стереоскопические пары или стереоскопические тройки (рис. 1.2). В тексте геологических заданий к снимкам указываются основные черты тектонического строения площади, возраст и состав пород, характер рельефа. Приведены данные о параметрах фотографирования (высота фотографирования - Н, фокусное расстояние аэрофотокамеры – f_k). На снимках показаны центральные точки снимков, проекции центров соседних аэрофотоснимков и базис фотографирования.

По результатам изучения аэрофотоснимков необходимо выделить литологические разновидности пород, определить элементы залегания и возраст пород, построить геологический разрез, стратиграфическую колонку и геологическую карту.

2. Дешифровочные признаки.

Выделение геологических или геоморфологических объектов на аэрофотоснимках осуществляется на основе изучения дешифровочных признаков, которые помогают выделить и оконтурить геологические тела, определить их форму, размер, ориентировку, состав и границы слагающих их пород, выделить складчатые и разрывные структуры.

Дешифровочные признаки подразделяются на две группы - прямые и косвенные.

2.1. Прямые дешифровочные признаки

Прямые дешифровочные признаки непосредственно отображают свойства геологического объекта. К прямым признакам относятся геометрическая форма, размер, цвет, фототон объекта.

Геометрические формы геологических объектов весьма разнообразны и по своей конфигурации они могут быть объединены в три группы – линейные, округлые и неправильные.

В виде линейных геологических форм различной протяженности и ширины на аэрофотоснимках выделяются слои осадочных, вулканогенных и метаморфических пород, моноклинальные структуры, крылья складчатых структур, дайки и жилы магматических пород, разрывные нарушения.

Округлые геологические объекты изометричной или овальной формы на аэрофотоснимках имеют брахискладчатые антиклинальные и синклинальные структуры, штоки интрузивных тел, вулканические купола, тектонические блоки.

Неправильную форму на аэрофотоснимках обычно имеют горизонтальные или пологозалегающие геологические тела, занимающие вершины и водораздельные участки горного рельефа. Они могут быть представлены слоями осадочных отложений, в том числе и четвертичными образованиями, покровами и пластами вулканических пород, интрузивными силлами. Горизонтальные геологические тела отличаются извилистыми очертаниями, пятнистым распределением по площади. Конфигурация выходов горизонтальных толщ на поверхности зависит от интенсивности эрозионного расчленения рельефа.

Размеры геологических объектов колеблются в широких пределах и, в зависимости от масштаба аэрофотоснимков, они могут занимать различную площадь снимков. Визуальное дешифрирование позволяет различать объекты на снимках с точностью до 0,2 мм, однако, практически нецелесообразным

является выделение геологических объектов размером менее I мм. Исключение составляют мелкие магматические дайки и жилы, которые на картах показываются немасштабными условными обозначениями.

Фототон на черно-белых аэрофотоснимках зависит от цвета пород, характера их поверхности, степени и типа выветривания, влажности, степени освещенности объекта.

Цвет пород зависит от их химического состава, от минерального состава, структуры пород. Магматические породы основного и ультраосновного состава и развивающиеся по ним метаморфические сланцы характеризующиеся железо-магнезиальным валовым химическим и минеральным составом, имеют черный или темно-зеленый цвет и, соответственно, темный фототон на снимках. Граниты и их эффузивные аналоги отличаются белым или светлосерым фототоном. Карбонатные осадочные породы имеют белый фототон, алевролиты и песчаники (в зависимости от минерального состава) - белый или светлосерый фототон, глинистые и углистые сланцы, аргиллиты имеют серый или темносерый фототон.

Интенсивность и *тип выветривания* пород изменяют характер выхода коренных пород на поверхность и цвет пород. Физическое выветривание пород приводит к их разрушению, расчленению на обломки различных размеров и формы. Обломки с ровной поверхностью обладают хорошей отражательной способностью и характеризуются более светлым фототоном, по сравнению с породами, обломки которых имеют неровную поверхность. Химическое выветривание способствует преобразованию химического и минерального состава пород и изменению их цвета. На магматических породах основного и ультраосновного состава развиваются красные железистые лимониты, по базальтам развиваются латеритные коры выветривания с пестрым фототоном, преобразование гранитов нередко завершается формированием белых глинистых каолиновых кор выветривания.

Горные породы во влажном состоянии (коренные и рыхлые) на аэрофотоснимках имеют серый и темносерый фототон, в сухом состоянии фототон этих пород зависит от их цвета.

Характер освещенности земной поверхности при ее фотографировании играет значительную роль для контрастного горного и холмистого рельефа. Наиболее благоприятными для фотографирования являются условия отсутствия облачности и высокое положение солнца. При косом солнечном освещении поверхности расчлененного рельефа образуются теневые участки на горных склонах и бортах речных долин, что в определенной степени может затруднить визуальное геологическое дешифрирование.

2.2. Косвенные дешифровочные признаки

К косвенным дешифровочным признакам относятся элементы рельефа, ландшафта, непосредственно не отражающие деталей геологического строения площади, но с их помощью возможно получение геологической информации о составе пород или особенностях геологических структур. В качестве наиболее распространенных косвенных признаков можно выделить такие признаки как рисунок поверхности рельефа, тип и характер распределения растительности.

Рисунок поверхности рельефа геологических тел зависит от состава и степени выветривания пород, от тектонического строения площади, степени обнаженности структур. Массивные слабо выветрелые интрузивные породы характеризуются крупноблочным однородным рисунком поверхности, с развитием разреженной системы речных долин, ручьев по зонам трещиноватости, зонам разломов в интрузивных массивах. Интенсивно трещиноватые магматические породы и слабо устойчивые к выветриванию осадочные породы разрушаются более интенсивно, что приводит к образованию на их поверхности мелкосетчатого пестрого неоднородного рисунка, развитию многочисленных водных потоков по зонам локального выветривания.

Развитие растительности и характер ее распределения в различной степени может отражать особенности геологического строения площади. При сплошном однородном площадном распределении растительности элементы геологического строения на аэрофотоснимках выделяются слабо, поэтому расчленение пород по составу и дешифрирование геологических структур в этих условиях представляет значительные трудности.

При неравномерном или ограниченном избирательном развитии растительности часто наблюдается ее приуроченность к породам определенного состава. Интенсивное распространение растительности прежде всего приурочено к участкам развития водопроницаемых дробленых, пористых пород с повышенным содержанием воды. На аэрофотоснимках полосчатое линейное распределение растительности приурочено к выходам водосодержащих слоистых осадочных отложений, выделяющихся на снимках по темному фототону среди других осадочных отложений.

Кроме того, линейное расположение растительности также может быть приурочено к участкам разрывных нарушений, зон дробления, рассланцевания, характеризующихся повышенной водопроницаемостью. Иногда, на фоне сплошного распространения растительности встречаются закономерно распределенные участки с разреженным характером растительности, приуроченные к выходам на поверхность основных или ультраосновных пород,

медных, сурьмяных и других руд, химический состав которых неблагоприятен для развития растительности.

2.3. Основные формы рельефа.

Формы рельефа на аэрофотоснимках имеют различную степень связи с геологическим строением или составом пород площади. При решении геологических задач особенно важен учет особенностей рельефа для горизонтальных или слабонаклонных моноклинальных геологических структур.

При выполнении лабораторных работ по геологическому дешифрированию изучение рельефа проводится лишь в общих чертах, с определением основных характеристик наиболее крупных форм. На имеющихся учебных аэрофотоснимках наибольшее распространение получили горный, холмистый и равнинный типы рельефа.

Горный рельеф характеризуется преобладанием контрастных эндогенных или экзогенных форм, образовавшихся в результате интенсивного проявления тектонических, магматических или экзогенных эрозионных процессов. Положительные формы рельефа на снимках представлены различными по высоте одиночными горами или горными хребтами с четкими, острыми вершинами и крутыми склонами. Отрицательные формы горного рельефа образуют относительно прямолинейные врезанные долины рек, ручьев, логов с крутыми бортами. Обнаженность участков неравномерная, выходы коренных пород приурочены к эрозионным элементам рельефа - к вершинам хребтов, к эрозионным останцам на уплощенных вершинах, эрозионным склонам гор, к бортам речных долин, эрозионным речным террасам. Четвертичные аккумулятивные формы рельефа развиты в ограниченном объеме. Они занимают локальные участки и представлены, главным образом, элювием, делювием, коллювием и пролювием склоновых отложений. Характерной особенностью горного рельефа является значительное распространение на аэрофотоснимках теневых участков, на которых дешифрирование геологических границ возможно только под стереоскопом.

Холмистый рельеф характеризуется развитием одиночных холмов высотой до 200-300 метров среди относительно ровного окружающего пространства. Холмы представляют собой реликтовые денудационные участки горного рельефа с округлыми вершинами и крутыми склонами. Выходы коренных пород приурочены к склонам холмов, реже встречаются на их вершинах в виде эрозионных останцов или площадных денудационных участков. Рыхлые четвертичные аккумулятивные формы рельефа могут быть

сложены прибрежно-морскими обломочными отложениями или элювиальными и делювиальными отложениями на вершинах и склонах холмов. В долинах оврагов, ручьев, рек развиты пролювиальные или аллювиальные отложения.

Равнинный рельеф отличается слабой контрастностью форм рельефа. Наиболее распространенными являются аккумулятивные равнины, сформированные в результате накопления горизонтально залегающих осадочных толщ речного, озерно-болотного, ледникового, эолового или морского происхождения. Дочетвертичные породы обычно представлены осадочными горизонтальными толщами кайнозойского и мезозойского возраста.

3. Дешифрирование геологических структур

При изучении геологических структур на аэрофотоснимках по результатам дешифрирования могут выделяться горизонтальные, моноклинальные и складчатые структуры, сложенные осадочными, вулканогенными или метаморфическими комплексами. Геологические структуры осложнены разломами или интрузиями, которые также необходимо выделить на территории изученного участка.

Дешифрирование *горизонтально залегающих слоистых толщ* возможно только на участках расчлененного рельефа. Геологические границы слоев параллельны друг другу, имеют на снимках извилистый характер и полностью повторяют контуры элементов рельефа. Нижние стратиграфические горизонты горизонтальных комплексов, слагающих площадь, обнажаются в отрицательных формах рельефа - в днищах долин рек, в основаниях склонов гор, холмов. Верхние горизонты комплексов располагаются на вершинах и водоразделах положительных форм рельефа. Мощность пород, свит, комплексов можно определить по геологическому разрезу с детально отстроенным профилем рельефа или непосредственно на снимках по разнице высотных отметок верхних и нижних границ пород.

Наклонно залегающие слоистые толщи (моноклинали) образуют в условиях горного или холмистого рельефа асимметричные формы рельефа (куэсты) с пологими склонами по наклону слоев и крутыми склонами вкрест их напластования. Условия залегания пород, их возрастная последовательность, мощность слоев определяются на аэрофотоснимках геометрическим путем с помощью построения структурных элементов. Благоприятными для определения структурных элементов и для измерительного дешифрирования

являются участки выхода пород на склоны расчлененного эрозионного рельефа, для которого характерно изменение прямолинейности геологических границ слоев, выходящих на поверхность. Линии выходов слоев приобретают извилистый или ломаный характер и конфигурация геологических границ на снимках зависит от сочетания углов падения слоев и интенсивности эрозионного расчленения рельефа. При вертикальном падении слоев линии их выхода на поверхность полностью сохраняют прямолинейность, при крутых углах падения (70-80°) границы имеют незначительные искривления, а при пологих углах падения слоев их выходы на поверхность наиболее сильно зависят от характера рельефа и геологические границы приобретают сложный извилистый характер.

При дешифрировании *складчатых структур* с помощью структурных элементов определяются направления и углы наклона пород, выделяются антиклинальные и синклинальные складки. Построение структурных элементов выполняют геометрическим способом на крыльях складок по аналогии с методикой построения таких элементов в моноклинальных толщах. При условии согласного залегания пород между собой, в ядрах антиклинальных структур будут выходить наиболее древние отложения участка, в ядрах синклинальных складок на поверхности обнажаются наиболее молодые слои комплексов. Мощности слоев в складчатых структурах определяются по геологическому разрезу, построенному вкрест простирания пород и с учетом конфигурации элементов рельефа.

Разрывные нарушения отображаются на аэрофотоснимках в виде прямолинейных или коленообразных отрицательных элементов рельефа - узкие ровные долины рек, ручьев, логов, прямолинейные уступы по склонам высот и по бортам речных долин. Зоны разломов, проходящих через всю площадь, делят ее на отдельные блоки, которые могут иметь свои особенности геологического строения. Разломы пересекают линии выхода слоев, ограничивают их простирание в блоках, часто к зонам разломов приурочены магматические дайки, жилы.

4. **Дешифрирование литологии**

На аэрофотоснимках могут быть представлены осадочные, вулканические, метаморфические и интрузивные породы различного состава и возраста.

Осадочные породы составляют большую часть геологических образований аэрофотоснимков и среди них можно выделить две группы отложений - четвертичные и дочетвертичные.

Четвертичные осадочные отложения представлены рыхлыми породами элювиального, делювиального, пролювиального и аллювиального генетических типов.

Элювиальные породы образуются в результате физического или химического выветривания коренных пород и не испытавшие перемещения с места своего образования. Эти породы занимают изолированные участки по вершинам и водоразделам горного и холмистого рельефа.

Делювиальные продукты выветривания коренных пород залегают на склонах высот и перемещаются вниз по склону. Элювиальные и делювиальные отложения перекрывают коренные породы, имеют площадное развитие и на аэрофотоснимках они обычно выделяются светлым фототоном в виде локальных пятен по вершинам, площадным шлейфам верхних и средних частей склонов гор и холмов.

Пролювиальные отложения образуются в результате переноса продуктов выветривания временными потоками, они локализованы на склонах и у подножий склонов, в долинах ручьев, логов. На снимках эти отложения образуют линейные полосы по долинам ручьев и конуса выноса в их устьях. Чаще всего пролювиальные отложения имеют серый или темносерый фототон.

Аллювиальные отложения, представленные осадками русловой и пойменной фаций, приурочены к долинам рек. Отложения русловой фации, сложенные галечниками, песками, выделяются белым фототоном, пойменные фации занимают днища выровненных речных долин и имеют тёмный фототон в связи с широким развитием растительности. Более древние аллювиальные отложения (aQIII) на некоторых аэрофотоснимках слагают реликтовые аккумулятивные террасы, образующие уступы, ступени в бортах речных долин.

Дочетвертичные осадочные породы представлены неогеновыми, палеогеновыми, мезозойскими или палеозойскими толщами и свитами согласно залегающих пород различного генетического типа.

Конгломераты, *песчаники* обычно выделяются в виде слоев с выдержанными четкими границами, выдержанной мощностью и отличаются светлым фототоном, разреженным характером растительности, однородным фоторисунком поверхности.

Алевролиты образуют согласные с песчаниками прослои, на снимках имеют светлосерый фототон, иногда тонкослоистый рисунок поверхности.

Аргиллиты, глинистые и углистые сланцы интенсивно разрушаются с образованием отрицательных форм рельефа, имеют тонкополосчатый рисунок, темный фототон. Часто к этим породам приурочено более интенсивное развитие растительности.

Карбонатные породы (известняки, доломиты) на аэрофотоснимках выделяются белым фототоном, отсутствием растительности на поверхности, массивным однородным строением, грубым толстоплитчатым или трещиноватым рисунком поверхности.

Кварциты являются наиболее устойчивыми к выветриванию осадочными породами. В рельефе они образуют линейные эрозионные останцы, отпрепарированные пласты.

Вулканогенные породы имеют массивное однородное строение, образуют согласные пласты в вулканогенно-осадочных толщах, слагают вулканогенные купола, покровы, потоки. Породы основного состава имеют темносерый, черный цвет, вулканогенные породы кислого состава отличаются белым, светлосерым фототоном.

Метаморфические сланцы, кристаллические сланцы и гнейсы, образовавшиеся при региональном метаморфизме, образуют пласты разного состава, имеют относительно одинаковую степень выветривания к отличаются между собой только по фототону, отражающему особенности химического и минерального состава пород.

Интрузивные породы отличаются массивным строением, на аэрофотоснимках поверхность интрузий характеризуется разреженной растительностью, однородным фототоном, крупноблочным трещинным рисунком. Интрузии ультраосновного состава имеют темносерый, черный цвет, интрузии основного состава (габбро, диабазы) имеют темносерый и серый цвет, гранитные породы на снимках отличаются белым фототоном. Массивы интрузивных пород в рельефе образуют останцовые положительные формы различного размера и конфигурации.

5. Методика выполнения лабораторной работы

Выполнение учебной работы по геологическому дешифрированию с составлением геологической карты осуществляется каждым студентом самостоятельно по индивидуальному заданию по одному из комплектов аэрофотоснимков. В процессе работы проводится обработка геологической информации и результатов измерительного дешифрирования, на основе которых составляются геологическая карта, геологический разрез и стратиграфическая колонка.

Работа выполняется в следующей последовательности: определение взаимного расположения и ориентировка снимков, определение границ участка, расчет масштаба аэрофотоснимков, определение центров аэрофотоснимков,

определение положения линии главного направления фотографирования, расчет базиса фотографирования, выделение и прослеживание литологических разновидностей пород, выделение разрывных нарушений, построение элементов залегания пород, стратиграфическое расчленение пород, определение превышений элементов рельефа, построение геологического разреза, определение мощностей пород, составление стратиграфической колонки, оформление геологической карты.

5.1. Определение взаимного расположения и ориентировки аэрофотоснимков.

Комплекты аэрофотоснимков для лабораторных работ по геологическому дешифрированию включают по два или по три снимка. Необходимо определить их взаимное расположение, отражающее последовательность фотографированиплощади. Маршруты фотографирования обычно имеют широтную ориентировку (рис. 1). В северо-восточном углу каждого снимка помещается цифровой индекс с указанием серии и номера снимка и даты фотографирования (рис. 3).

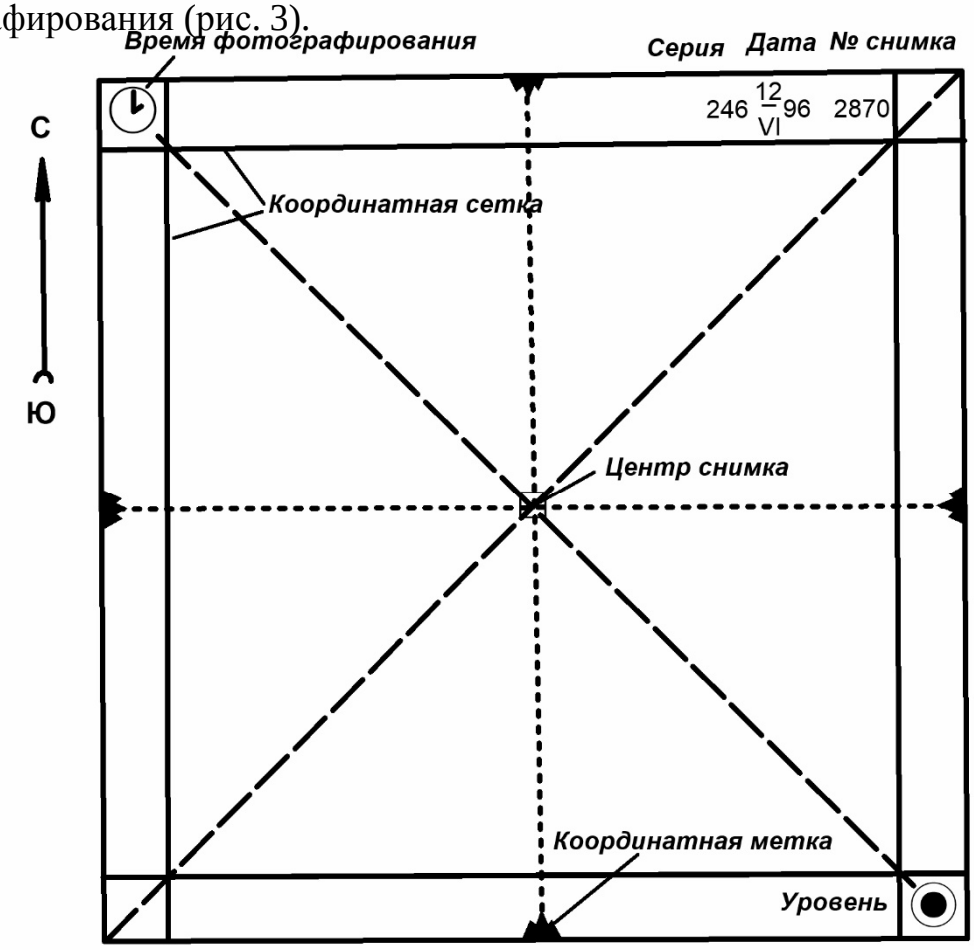


Рис. 3. Одиночный плановый аэрофотоснимок и его основные параметры.

В комплектах с двумя снимками (стереопара) необходимо определить левый и правый снимки, в комплектах с тремя снимками (стереотройка) определяют левый, центральный и правый снимки. Для этого поступают следующий образом. На аэрофотоснимках, составляющих стереопару, определяют участки рельефа, изображенные на обоих снимках. Наложив снимки друг на друга таким образом, чтобы одна и та же часть рельефа совпадала в основных своих формах, можно определить какой из этих двух снимков является левым, а какой снимок — правым (рис. 4).

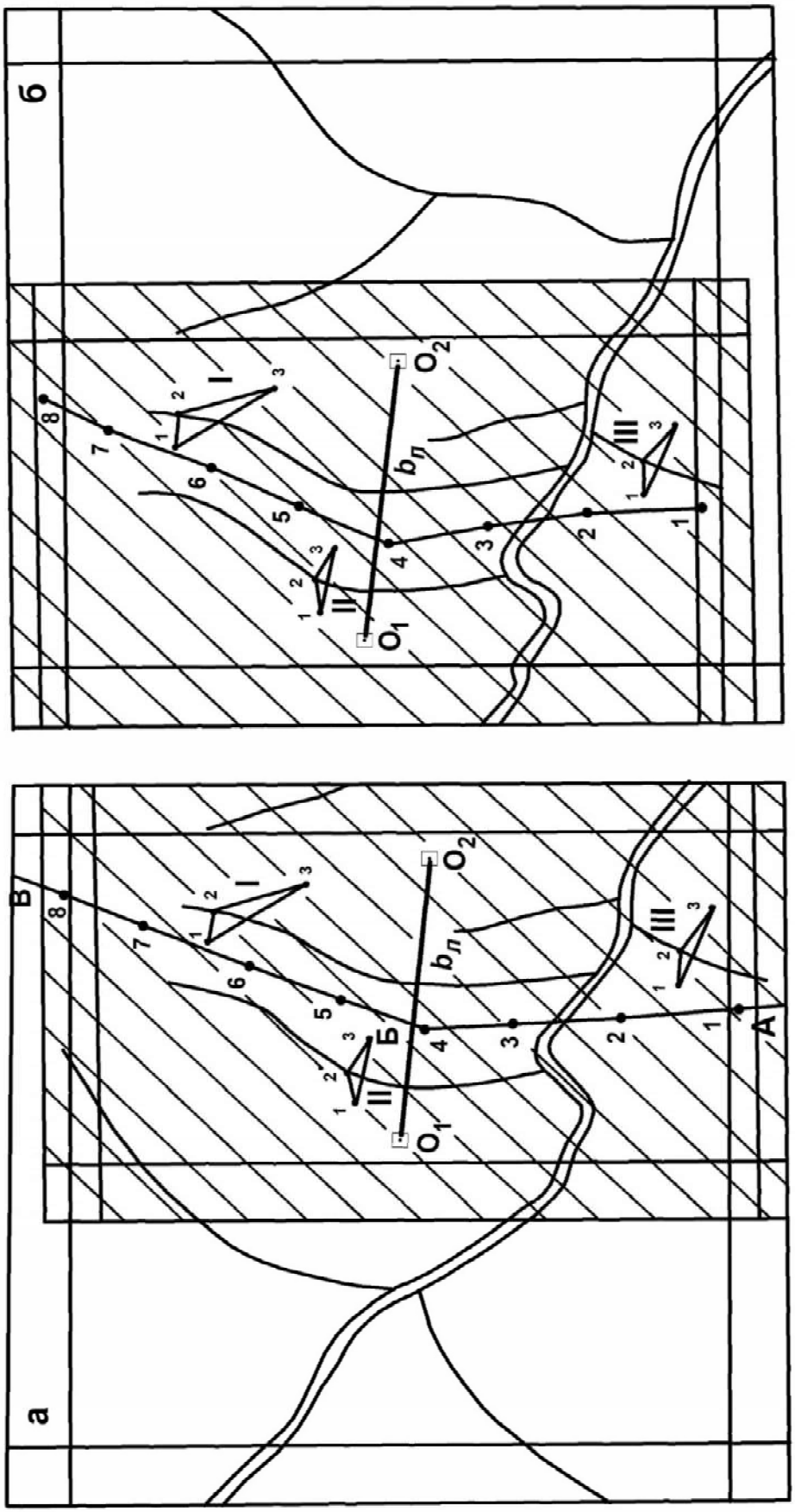
При наличии трех снимков, попарно сравнивая их между собой, таким же образом определяем стереоскопические пары первого и второго, второго и третьего снимков. Для дальнейшей работы из трех снимков выбираем те два соседних снимка, на которых получили наиболее четкое отображение геологические структуры. Использование третьего снимка дает возможность получения более полного стереоскопического обзора площади. В учебных комплектах из трех аэрофотоснимков для работы выбираются те два снимка, на которых нанесены пластовые треугольники и линии геологических разрезов.

5.2. Определение границ участка

Размер и контуры участка для составления геологической карты по аэрофотоснимкам определяются размерами площади их взаимного перекрытия, которая на имеющихся комплектах аэрофотоснимков составляет от 60 до 50% площади одного снимка. Из двух аэрофотоснимков стереопары выбирается снимок, имеющий более четкое, контрастное отображение рельефа, литологии, структурных элементов. На этом снимке оконтуривается та часть его площади, которая составляет общую стереоскопическую модель этого участка с соседним снимком. Уточнение положения границ участка проводится при наблюдении под стереоскопом. При работе со стереоскопом левый снимок стереопары помещается под левое зеркало стереоскопа, правый снимок - под правое зеркало. Перемещая снимки относительно друг друга, добиваются получения стереоскопической (объемной) модели рельефа. Наложив кальку на снимок, выбранный для составления геологической карты, оконтуривают на ней участок стереоскопической модели местности для данной стереопары (рис. 4).

Рис. 4. Левый (а) и правый (б) аэрофотоснимки с элементами гидросети.
O_1 и O_2 – центры левого и правого снимков, $b_л$ и $b_п$ - базисы фотографирования на левом и правом снимках, I, II, III – пластовые треугольники и номера точек треугольников, А – Б - В – линия геологического разреза с точками замера высоты рельефа. Заштрихована на снимках площадь,

составляющая стереоскопическую модель местности для данной пары аэрофотоснимков



5.3. Расчет масштаба аэрофотоснимков

Масштаб аэрофотоснимков определяется по соотношению фокусного расстояния аэрофотокамеры (f_k) и высоты фотографирования (H) по формуле $m=f_k/H$. Данные о фокусном расстоянии аэрофотокамеры и высоте фотографирования приведены в тексте задания к каждому комплекту аэрофотоснимков. При расчете масштаба снимков значения f_k и H переводятся в одни единицы (метры или миллиметры), а рассчитанный масштаб округляется до целых значений тысячи, например, 1:17000, 1:23000, 1:32000 и т. д.

5.4. Определение центров аэрофотоснимков

Аэрофотоснимки в учебных комплектах имеют квадратную форму различного размера. На снимках проведены координатные линии (рис. 3), параллельные сторонам снимков и ограничивающие центральные части снимков с минимальными оптическими искажениями рельефа. Периферические части снимков за пределами координатной сетки имеют существенные искажения форм рельефа, особенно значительные для горного типа рельефа.

Для каждого аэрофотоснимка необходимо определить центр снимка, фиксирующий положение точки фотографирования на снимке, куда была направлена оптическая ось фотоаппарата. Положение центральной точки на учебных аэрофотоснимках допускается определять несколькими геометрическими способами. Наиболее точно центр снимка определяется при использовании координатных меток, расположенных по краям снимков в их середине. В этом случае за центр снимка принимается точка пересечения линий, соединяющих координатные метки противоположных сторон снимков (рис. 3). При отсутствии на снимке координатных меток за центр снимка принимается точка пересечения линий, соединяющих противоположные углы координатной сетки. Менее точным является определение центра снимка как точки пересечения линий, соединяющих противоположные углы снимков.

5.5. Построение линии главного направления

.

После определения положения центральных точек, дополнительно на каждом аэрофотоснимке должно быть показано положение проекций центров соседних снимков. При наблюдении под стереоскопом на левом снимке отмечают положение центральной точки правого снимка (рис. 4 точка O_2), а на правом снимке определяется положение проекции центральной точки левого

снимка (рис. 4, точка O_1). Линия O_1 - O_2, соединяющая центры снимков с проекциями центров соседних снимков называется главным направлением фотографирования. Главное направление должно иметь широтную ориентировку и располагаться параллельно сторонам снимка. Частичная непараллельность линий O_1 - O_2 сторонам снимков в некоторых учебных комплектах существенно не сказывается на точности определений структурных параметров при выполнении учебных лабораторных работ.

5.6. Расчет базиса фотографирования

Базис фотографирования представляет собой расстояние между центрами фотографирования двух соседних аэрофотоснимков.

Для измерительного дешифрирования необходимо определить средний базис фотографирования, который рассчитывается как среднеарифметическая величина базисов левого ($b_л$) и правого ($b_п$) снимков (рис. 5). Для этого палеткой или линейкой измеряют базис фотографирования на каждом снимке и рассчитывают его среднюю величину ($b_{ср}$) по формуле: $b_{ср} = (b_л + b_л)/ 2$.

При работе с тремя стереоскопическими аэрофотоснимками необходимо определять отдельно средние базисы для каждой пары снимков (1–2, 2-3).

5.7. Выделение и прослеживание литологических разновидностей пород.

В соответствии с имеющейся к комплектам аэрофотоснимков информацией о геологическом строении площади, проводится расчленение породпо составу, возрасту. Выделение литологических разновидностей пород дочетвертичного возраста, прослеживание границ этих пород, оконтуривание участков распространения проводится под стереоскопом на основе изучения прямых и косвенных дешифровочных признаков, отражающих особенности литологического состава пород. На аэрофотоснимках определяются и уточняются границы литологических разновидностей осадочных, вулканических, метаморфических дочетвертичных пород, выполняется прослеживание границ и оконтуривание площадей их распространения.

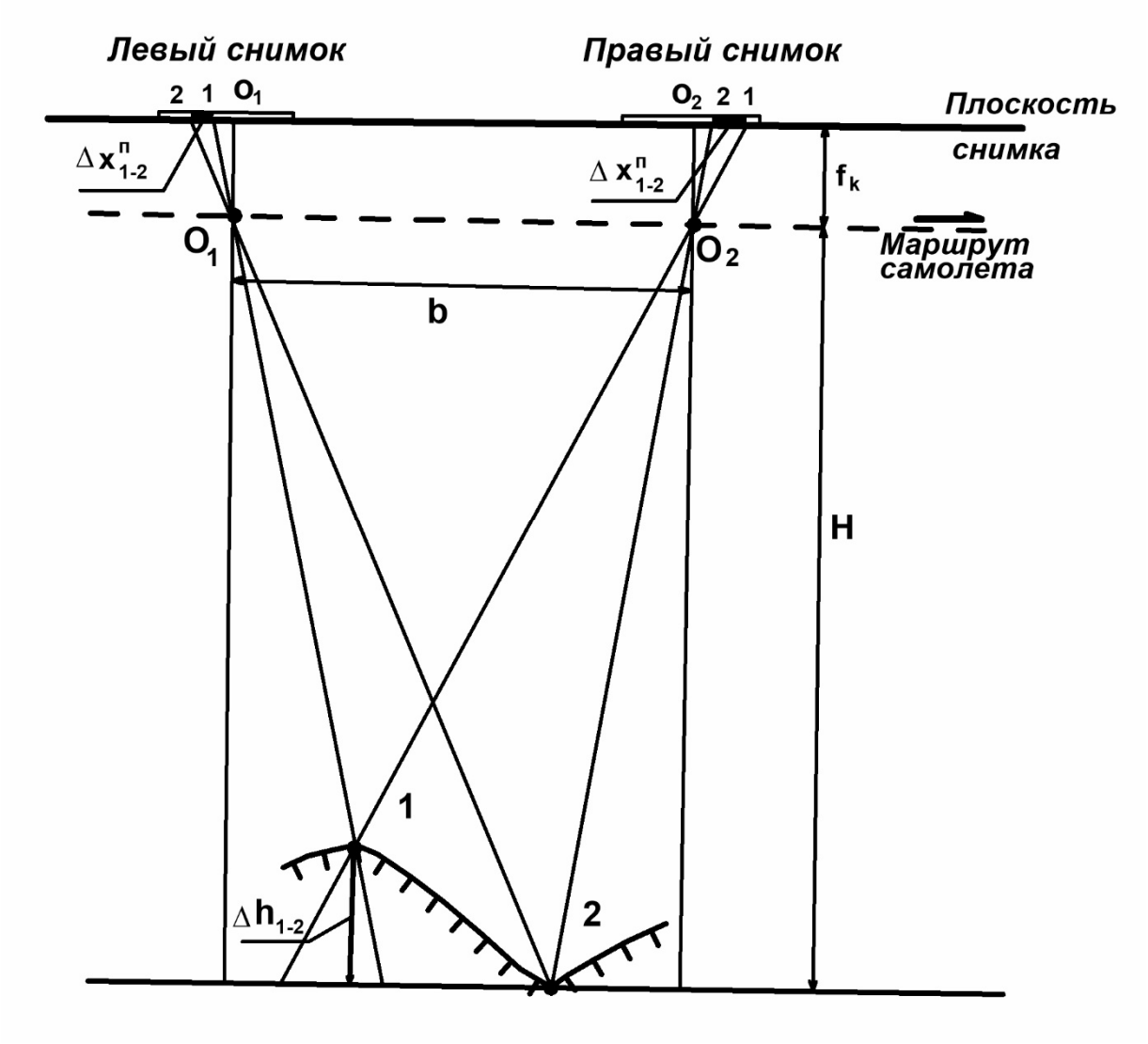


Рис. 5. Параметры фотографирования участка рельефа.

O_1, O_2 – центры фотографирования; o_1, o_2 – центры левого и правого снимков; H – высота фотографирования; f_k – фокусное расстояние аэрофотокамеры; b – базис фотографирования; Δh_{1-2} – относительное превышение в рельефе точек 1 и 2, $\Delta x^{л}_{1-2}$, $\Delta x^{п}_{1-2}$ – разность координат точек 1 и 2 на левом и правом снимках.

В случаях частого переслаивания пород друг с другом или при наличии маломощных согласных прослоев допускается объединение пород в более крупные литологические подразделения. Например, выделяются такие объединенные толщи как "юрская терригенная толща песчаников с прослоями алевролитов и аргиллитов", "пермская толща переслаивающихся песчаников, гравелитов и конгломератов", "глинисто-карбонатные отложения верхнедевонского возраста" и т.д.

Интрузивные массивы на аэрофотоснимках достаточно отчетливо выделяются по фототону, фоторисунку и характеру поверхности. Мелкие дайки диабазов, кварцевых порфиров, выраженные прямолинейными останцовыми формами рельефа, должны быть показаны на карте немасштабными линейными условными обозначениями.

Осадочные четвертичные отложения, перекрывающие более древние породы, на геологической карте необходимо выделять только на тех участках, где отсутствуют данные о геологической структуре, составе и условиях залегания более древних дочетвертичных пород. К таким участкам относятся долины крупных рек с нерасчлененными аллювиальными отложениями, пологие склоны гор с делювиальными или пролювиальными отложениями и элювиальные коры выветривания, располагающиеся на некоторых вершинах и водоразделах горного и холмистого рельефа.

5.8. Выделение разрывных нарушений

В пределах изучаемого участка необходимо проследить основные разрывные нарушения, выраженные на аэрофотоснимках косвенными геоморфологическими признаками, частично охарактеризованными в тексте геологического задания к комплектам снимков. Разрывные нарушения в рельефе проявляются в виде прямолинейных уступов, прямолинейных или коленообразных участков долин рек и ручьев, линейными полосами растительности, несогласными о простиранием пород. Данные об углах падения плоскостей разломов обычно отсутствуют и в этих случаях на геологических картах и разрезах падение таких зон разломов показывается вертикальное.

5.9. Построение элементов залегания пород.

Построение элементов залегания пород (линия простирания, линия падения, угол падения) на аэрофотоснимках производится геометрическим способом путем измерительного дешифрирования пластовых треугольников. Пластовый треугольник составляют три точки, принадлежащие слою (или его части) на линии выхода слоя на дневную поверхность. В случае маломощного слоя или мелкого масштаба аэрофотоснимков слои на снимке могут быть выражены в виде линий различной толщины, извилистость линий зависит от сочетания угла наклона слоя и степени расчлененности рельефа.

Для построения элементов залегания точки пластовых треугольников

должны быть обозначены непосредственно на линии выхода геологических границ на поверхность. Если слой достаточно мощный, то для выбора точек пластового треугольника можно использовать границу кровли слоя (верхний контакт слоя) или почвы (нижний контакт слоя, рис. 6).

Для большей представительности структурных данных определение элементов залегания пород на аэрофотоснимках проводится по трем пластовым треугольникам в различных частях слоистых толщ и расчет на их основе среднеарифметических значений углов падения.

Построение элементов залегания пород включает в себя два этапа - определение относительного высотного превышения точек пластового треугольника между собой и построение по полученным данным структурных элементов.

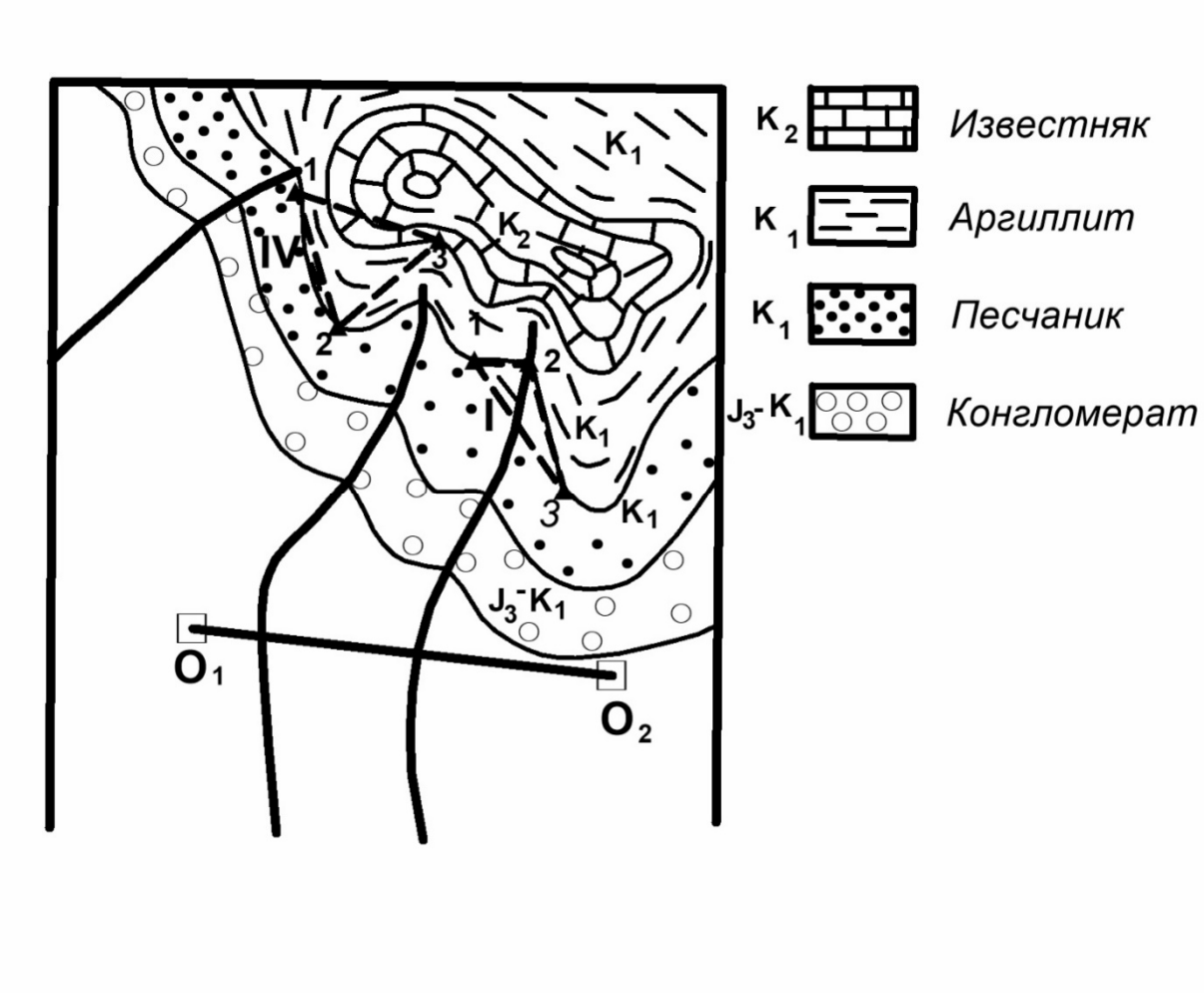


Рис. 6. Пластовые треугольники I и IV в слоистых осадочных отложениях. Пластовый треугольник IV выделен неправильно, т.к. в нем точки I, 2, 3 не располагаются в одной геологической плоскости. Точки пластового треугольника должны располагаться на одной геологической границе (на кровле или подошве пласта).

5.10. Определение относительных превышений элементов рельефа

Для определения относительных превышений точек рельефа (Δh) необходимо рассчитать разность высотных положений этих точек между собой. Расчет высотных превышений проводится последовательно в каждом треугольнике для каждой пары точек (Δh_{1-2}, Δh_{2-3}, Δh_{3-1}). На рис. 5 для точек 1 и 2 показано превышение точки I над точкой 2 (Δh_{1-2}) и отображение этой части рельефа на снимках – 1-2 на левом и правом снимках.

Основу метода измерительного дешифрирования для определения величины Δh составляет расчет количественной оценки разности линейных величин продольных параллаксов $\Delta p_{1-2} = (\Delta x^{л}_{1-2})–(\Delta x^{п}_{1-2})$. Линейные размеры 1-2 на левом и правом снимках зависят от параметров аэрофотоснимков (высота фотографирования H, базис фотографирования $b_{ср}$, фокусное расстояние аэрофотокамеры f_k) и от величины превышения точек между собой (Δh_{1-2}). Параметры H и f_k являются постоянными величинами для каждого комплекта аэрофотоснимков и их значения даны в тексте задания к снимкам. Базис фотографирования должен быть уже определен ($b_{ср}$) и также является величиной постоянной для каждого комплекта. Таким образом, работа сводится к измерению на обоих снимках для каждой пары точек рельефа значений $\Delta x^{л}_{1-2}$ и $\Delta x^{п}_{1-2}$, определения их разности Δp_{1-2} и расчета Δh_{1-2}.

Для этого на левом и правом снимках необходимо определить положение каждой точки и рассчитать разность координат точек в системе координат XY, лежащей в плоскости снимка. За ось X принимается главное направление $O_1 – O_2$, ось Y располагается перпендикулярно оси X и также проходит через центр снимка. Расчет превышений выполняем по упрощенной схеме без учета поправок на колебание высоты полета самолета, наклона снимков, изменения координат точек по оси Y и др. Изменение положения точек и определение разности их координат проводим только относительно оси X. Разность координат точек по оси X называется *продольным параллаксом* этой точки (продольным по отношению к маршруту самолета, параллельным главному направлению снимка). Определение продольных параллаксов точек рельефа на снимках может выполняться автоматически с помощью специальных фотограмметрических приборов или ручным способом. Ручным способом продольный параллакс определяется с помощью параллаксометров, параллактических линеек, палеток. Наиболее простым способом является определение параллаксов с помощью палетки.

Палетка геолога-дешифровщика позволяет измерять линейные величины с точностью до 0.1 мм и представляет собой стандартный

поперечный масштаб. Шкала палетки нанесена на прозрачную пленку, при работе ее непосредственно накладывают на снимок. Разность координат точек (Δx) с помощью палетки определяется на каждом снимке отдельно без стереоскопа и выполняется сначала на левом снимке, а затем на правом. Определяя разность координат двух точек (например, точек 2-3, рис. 7) палетку помещают ка снимок таким образом, чтобы левая точка в этой паре (точка 2) располагалась на левой рамке шкалы. Перемещая палетку по снимку, добиваются такого положения, чтобы вторая точка (точка 3) заняла определенное положение на одной из наклонных линий палетки. Обязательным условием должно быть ориентированное положение палетки, при котором линия O_1-O_2 всегда должна быть параллельна горизонтальной части шкалы палатки, параллельно горизонтальным штрихам палетки.

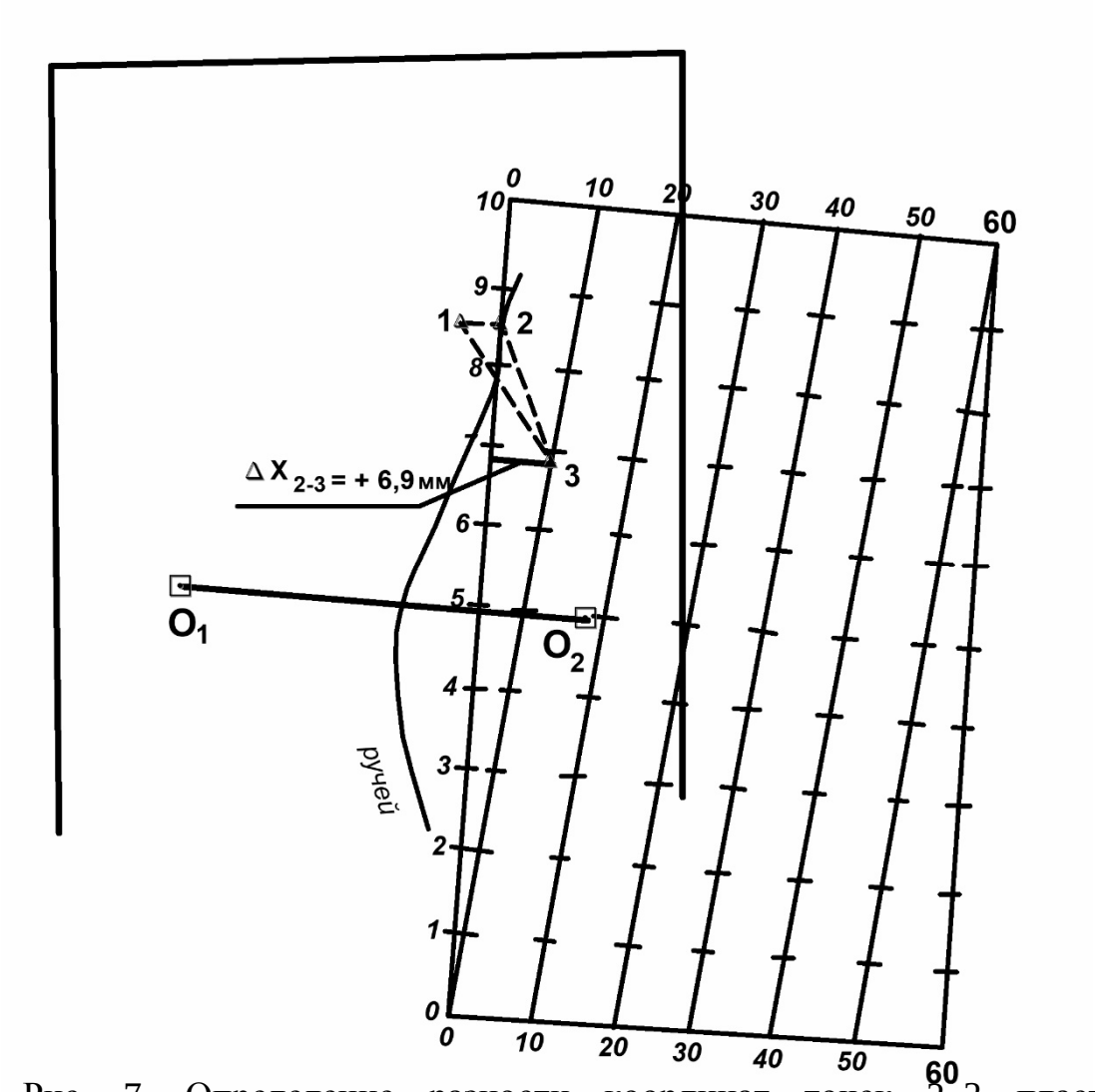


Рис. 7. Определение разности координат точек 2–3 пластового треугольника I (Δx_{2-3} = + 6,9 мм).

При определении Δx_{2-3} измеряется расстояние от правой точки (точка 3)

до левой части шкалы палетки, на которой располагается точка 2. В приведенном примере (рис. 7) отсчет $\Delta x_{2\text{-}3}$ определяется по расположению проекции точки 3, которая располагается на наклонной линии 0-10 в интервале между 6 и 7 мм. В этом случае принимаем отсчет, равный 6 мм. Десятые доли миллиметров рассчитываются путем интерполяции положения точки 3 между делениями 6 и 7 и эта величина составляет 0,9 мм. Полное значение отсчета составит: $\Delta x_{2\text{-}3}$ = 6 + 0,9 мм = 6,9 мм.

Аналогичным образом определяем разность координат между точками 1-2, 3 - I в этом пластовом треугольнике.

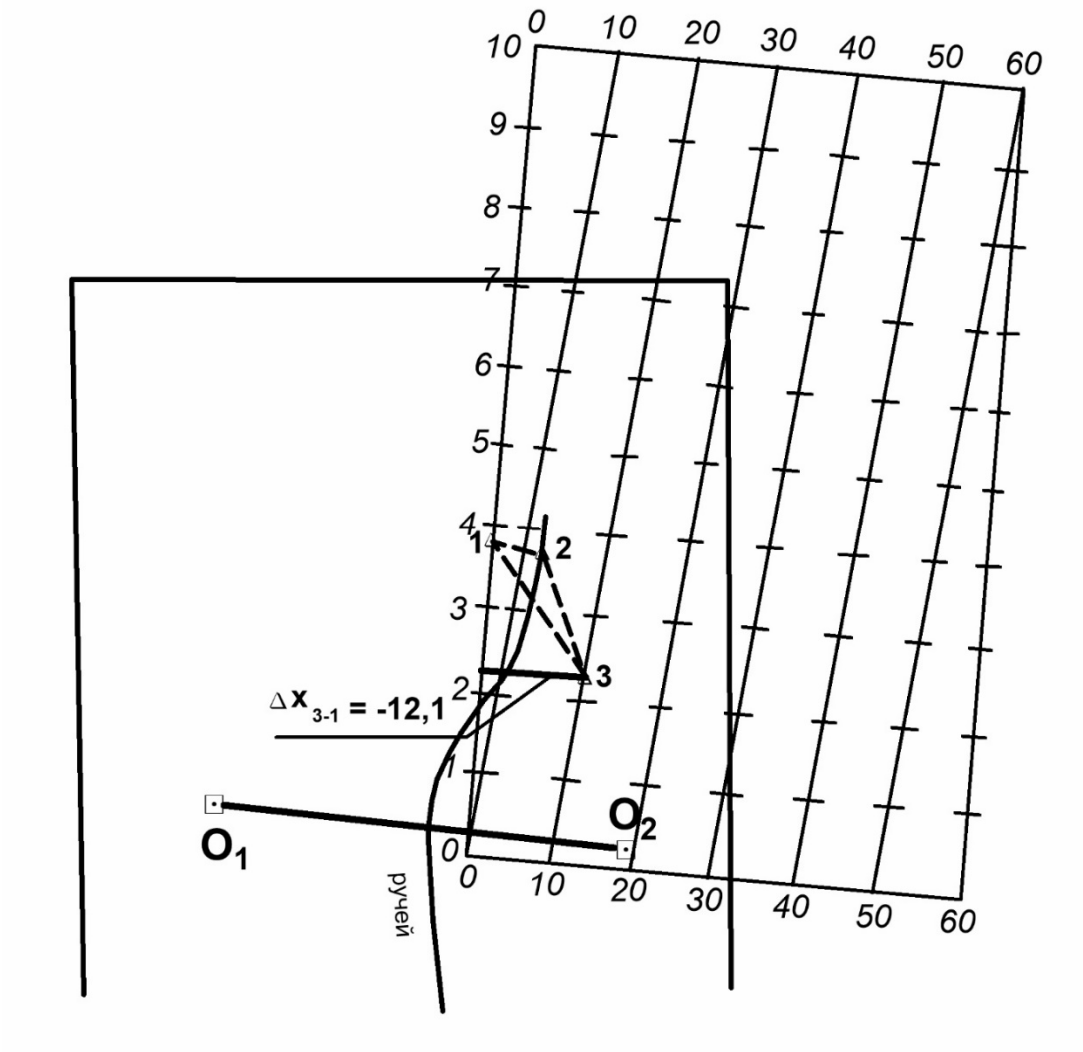


Рис. 8. Определение разности координат точек 3 и I пластового треугольника I ($\Delta x_{3\text{-}1}$ = - 12.1).

Если величина Δx превышает 10 мм и правая точка находится на других наклонных линиях, то при определении Δx необходимо дополнительно определить количество десятков миллиметров. Так, при определении $\Delta x_{3\text{-}1}$ (рис. 8) точка 3 располагается на наклонной линии 10-20 мм, т. е. Δx имеет величину больше 10 мм и меньше 20 мм. Поэтому полное значение $\Delta x_{3\text{-}1}$ = 10 + 2 + 0,1 = 12,1 мм. Полученные результаты замеров заносятся в таблицу (табл. 1).

При расчете относительных превышений точек рельефа необходимо учитывать их взаимное положение, т. е. какая из них располагается выше или ниже другой по рельефу.

С этой целью принимается определенный порядок отображения результатов измерений в таблице. Каждая пара точек заносится в таблицу (табл. 1) в определенной последовательности в порядке возрастания их номеров и возврата к начальной точке (1-2, 2-3, 3-1). Если в каждой паре точек первая из них на снимке располагается левее относительно другой точки, то значение Δx для этой пары принимается со знаком «+», например, $\Delta x_{1\text{-}2}$, $\Delta x_{2\text{-}3}$ (рис. 7). Для пары точек 3-1 (рис. 8) устанавливается, что точка 3 располагается правее точки 1, а точка 1 находится на левой части шкалы палетки. В этом случае величина $\Delta x_{3\text{-}1}$ принимается со знаком «-» ($\Delta x_{3\text{-}1}$ = - 12,1 мм).

Таким же образом определяются эти параметры на правом снимке. Проверкой правильности замеров служит результат алгебраической суммы величин Δx, который показывается в нижней части колонки таблицы и должен быть равен нулю. Допускается отклонение суммы на 10% от наибольших значений Δx для данного треугольника и снимка.

После определения значений Δx рассчитываются продольные параллаксы для каждой пары точек по формуле $\Delta p = \Delta x_л - \Delta x_п$, где $\Delta x_л$ и $\Delta x_п$ являются разностями координат двух точек на левом и правом снимках с учетом их знаков. Полученные значения Δp также имеют знаки "+" или "-" (табл. 1).

По рассчитанным значениям Δp определяются относительные превышения для каждой пары точек рельефа в пластовых треугольниках по упрощенной формуле: $\Delta h = H \times \Delta p / b_{ср}$, где Δh – относительные превышения двух точек (м), H - высота фотографирования (м), $b_{ср}$ - средний базис фотографирования (мм), Δp - разность продольных параллаксов (мм). Превышение точек (Δh) имеет тот же знак, что и Δp и показывает относительное положение в каждой паре точек **второй** точки по отношению к **первой** (табл. 1). Например, в пластовом треугольнике I точка 2 располагается ниже точки 1 на 20 м, точка 3 выше точки 2 на 5 м, точка 1 выше точки 3 на 15 м. В случае, если Δh окажется равной нулю (пластовый треугольник II, точки 3-1), то это означает, что данные

точки располагаются на одной высоте, не имеют между собой относительных превышений и через них проходит линия простирания.

Таблица 1

Параметры пластовых треугольников и элементов залегания пород.

Пласт. треугольн.	Точки треугольн.	Δx (мм)	Δx (мм)	Δp (мм)	Δh (м)	Элементы залегания
I	1-2	+4,9	5,3	-0,4	-20	АзПад31<10
	2-3	+6,9	+6,8	+0,1	+5	
	3-1	-11,8	-12,1	+0,3	+15	
	сумма	0	0	0	0	
II	1-2	+5,6	+6,1	-0,5	-26	АзПад10<24
	2-3	+6,5	+6,0	+0,5	+26	
	3-1	-12,1	-12,1	0	0	
	сумма	0	0	0	0	
III	1-2	+5,8	+6,4	-0,6	-31	АзПад20<40
	2-3	+8,1	+7,0	+1,1	+56	
	3-1	-13,9	-13,5	-0,4	-26	
	сумма	0	-0,1	-0,1	-1	

5.11. Построение элементов залегания

Для определения условий залегания пород необходимо в каждом пластовом треугольнике определить и построить элементы залегания - линию простирания, линию падения, угол и азимут падения слоя (пласта).

Линия простирания слоя - горизонтальная линия, лежащая в плоскости слоя или его части (кровля или почва слоя). *Линия падения* – линия перпендикулярная к простиранию, лежит в плоскости слоя и направлена по наклону слоя. *Угол падения слоя* - угол в вертикальной плоскости между линией падения слоя и горизонтальной плоскостью.

При построении структурных элементов сначала необходимо определить взаимное высотное положение точек в пластовом треугольнике. Так, в пластовом треугольнике I по результатам замеров (табл. 1). самой высокой точкой является точка I, самой низкой - точка 2, точка 3 располагается выше точки 2, но ниже точки 1.

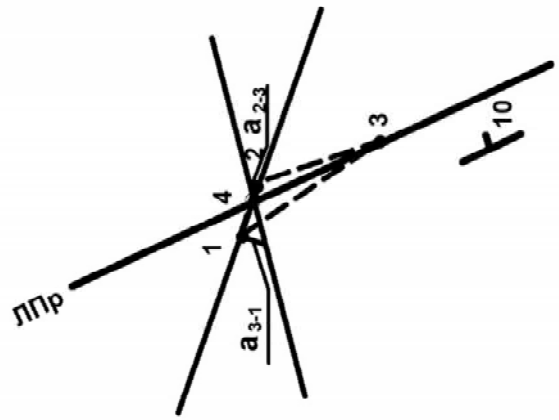
Для построения структурных элементов необходимо одну из точек треугольника выбрать в качестве базовой и при дальнейших геометрических построениях использовать превышения двух других точек по отношению к этой базовой точке. За базовую точку можно принимать любую точку треугольника - конечный результат построения структурных элементов будет одинаковый, хотя методика построения для разных базовых точек будет различной. Рассмотрим три возможных варианта построения структурных элементов в зависимости от различного положения базовой точки на примере пластового треугольника I (рис. 9).

Вариант I. Базовая точка располагается по высоте выше двух других точек треугольника (рис. 9.а). Такой точкой является точка I, которая располагается в рельефе выше т. 2 и 3 (1>3>2).

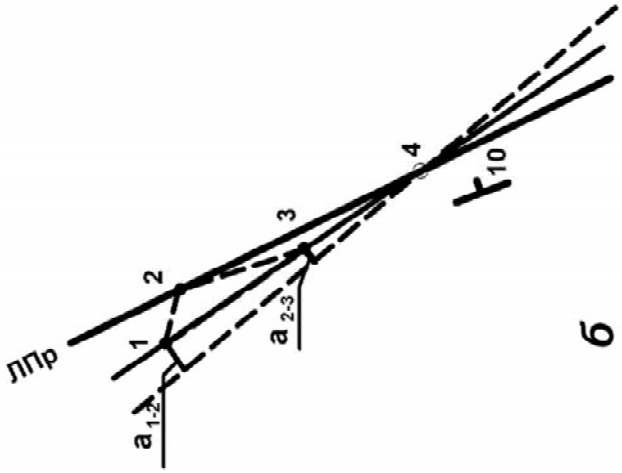
Точки 2 и 3 соединяем прямой линией и из этих точек проводим перпендикуляры, располагая **по одну сторону** (любую) **от этой линии**. Длины перпендикулярных отрезков должны быть пропорциональны превышениям точек 2 и 3 по отношению к базовой точке 1. От точки 2 откладывается перпендикуляр Δh_{1-2}, от точки 3 откладывается перпендикуляр Δh_{3-1} по данным табл. 1. Если длины перпендикуляров Δh в масштабе снимка будут иметь очень малые величины (менее I мм), то для удобства их построения отрезки перпендикуляров можно пропорционально увеличить в несколько раз. Например, при Δh_{1-2} = 20 м и Δh_{3-1} = 15 м эти величины в масштабе снимка (1:17000, Приложение I) составят 1,2 мм и 0.9 мм. Пропорционально увеличив их в несколько раз, примем Δh_{1-2} = 12 мм, Δh_{3-1} = 9мм. Соединив концы перпендикуляров и продолжив эту линию до пересечения с линией 2-3, получим на пересечении точку 4. Точка 4 по отношению к базовой точке I имеет Δh_{4-1} = 0, т. е. она располагается на одной высоте с точкой I.

Соединительная линия 1-4 является линией простирания слоя, проходящая через точку I. Падение слоя направлено от линии простирания к точкам 2 и 3, т. к. точка I в этом треугольнике имеет самую высокую отметку.

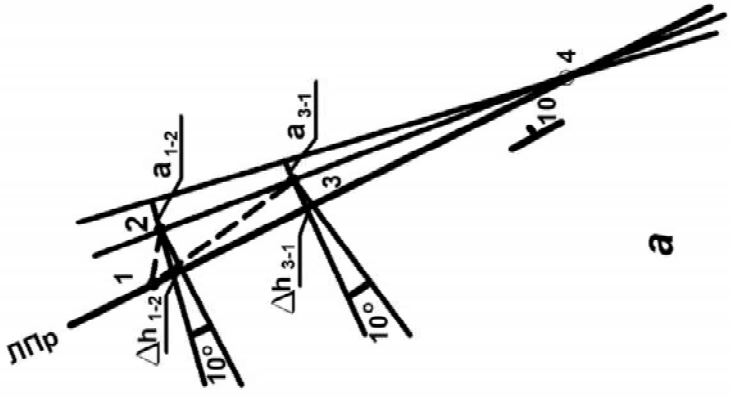
Определение угла падения слоя выполняем непосредственно на карте геометрическим способом в пределах пластового треугольника. От точки 2 на линию простирания откладываем перпендикуляр Δh_{1-2} = 20 м, длина которого в масштабе карты составит 1,2 мм. Угол при вершине треугольника в точке 2 является углом падения слоя, который в данном случае составляет 10°. Это же значение угла падения можем получить и при его определении в т. 3 (рис. 9.а), где на линии простирания откладываем Δh_{3-1} = 15 м (0,8 мм).


ЛПр
1
4
2
a_{2-3}
3
r_{10}
a_{3-1}

в


ЛПр
1
2
3
4
r_{10}
a_{2-3}
a_{1-2}

б


ЛПр
1
2
3
4
r_{10}
a_{1-2}
a_{3-1}
Δh_{1-2}
Δh_{3-1}
10°
10°

а

Рис. 9. Построение элементов залегания в пластовом треугольнике тремя вариантами: а - вариант I (базовая точка I), б -.вариант 2 (базовая точка 2). в - вариант 3 (базовая точка 3); ЛПр - линия простирания.

Построенный элемент залегания наносим на карту и определяем *азимут линии падения* слоя (азимут падения). Азимут падения слоя - угол в горизонтальной плоскости, отсчитываемый по часовой стрелке от направления на север до линии падения (рис. 10, Приложение I). За линию север - юг на снимках принимается направление боковых сторон снимка. Азимут падения слоя замеряется транспортиром и заносится в табл. 1.

Вариант 2. В этом же пластовом треугольнике принимаем в качестве базовой точку 2 (рис. 9.б), которая располагается по высоте ниже двух других точек (1>3>2). Построение элементов залегания производится аналогично варианту I. Соединяем точки I и 3 прямой линией и откладываем от этих точек перпендикуляры также **по одну сторону** (в любую сторону) **от этой линии**. Длины перпендикуляров пропорциональны разнице высот точек I и 3 к базовой точке 2 (Δh_{1-2} = 20 м, Δh_{2-3} = 5 м). В масштабе снимка (1:17000, Приложение I) это составит, соответственно 1,2 и 0,3 мм. Пропорционально увеличиваем эти значения и откладываем Δh_{1-2} = 12 мм, Δh_{2-3} = 3 мм. Проводим линию через концы перпендикуляров и на пересечении с линией 1-3 получим точку 4, которая находится на одной высоте с точкой 2 (Δh_{4-2} = 0 м). Линия 4-2 является линией простирания, проходящей через точку 2.

Для определения угла падения слоя проводим перпендикуляр из точки I (рис. 10) на линию простирания, проходящую через точку 2 и откладываем на ней отрезок в масштабе снимка, равный превышению Δh_{1-2}. Угол в точке 1 между этим перпендикуляром и отложенным отрезком является углом падения слоя на этом участке (угол падения равен 10°).

Вариант 3. Для этого же пластового треугольника в качестве базовой принимаем точку 3 (рис. 9.в), которая по высоте располагается ниже точки 1, но выше точки 2 (1>3>2). Точки 1 и 2 соединяем прямой линией и откладываем отрезки перпендикуляров Δh_{2-3}, Δh_{3-1}, направленные в **противоположные** от линии 1-2 **стороны**. Соединив концы этих отрезков, получим точку 4, которая располагается между точками 1 и 2. Точка 4 имеет одинаковую высоту с базовой точкой 3, т.е. Δh_{4-3} = 0 м. Линия 3 - 4 является линией простирания, проходящая через точку 3.

Для определения угла падения из точки I проводим перпендикуляр к линии 3-4 (рис. 10), который является линией падения слоя. Откладываем в масштабе карты отрезок Δh_{3-1} = 15 м (I мм). Угол падения в этом случае также равен 10°.

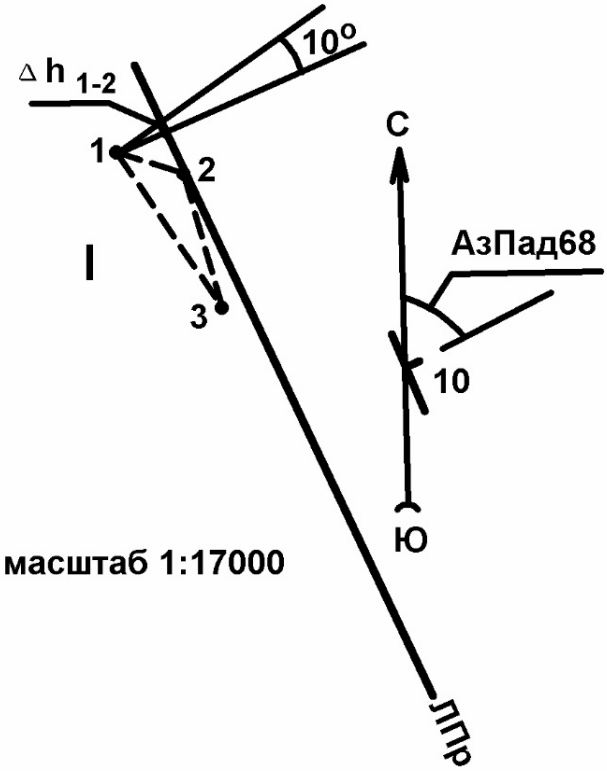


Рис. 10. Определение угла падения слоя (10^0) и азимута линии падения слоя в пластовом треугольнике I (АзПад68<10).

Таким образом, независимо от выбора базовых точек в пластовом треугольнике (варианты I, 2, 3), получаем идентичное положение элемента залегания слоя - азимут падения 68°, угол падения 10°. Стандартная запись этого элемента АзПад68<10.

6. Составление геологической карты

После построения элементов залегания определяем условия залегания и взаимоотношение пород по площади. Если все три треугольника характеризуют залегание отдельных согласных между собой моноклинальных слоев осадочных пород, то по полученным замерам определяем усредненные значения углов падения этой толщи в целом. В остальных случаях элементы

залегания могут показывать углы падения крыльев складчатых структур, падение пород в разных структурных этажах, залегание согласных силловых интрузий в осадочных толщах и другие структурные элементы.

По результатам установленных структурных взаимоотношений пород на основе имеющейся информации о возрасте и составе пород участка проводится полное стратиграфическое расчленение толщ с определением стратиграфического положения пород по их относительному положению в вертикальном разрезе, выполняется уточнение возраста пород, выделяются стратиграфические толщи, свиты, комплексы.

Под стереоскопом проводится прослеживание геологических границ в пределах всего участка, оконтуривание складчатых, разрывных, магматических геологических структур и составляется геологическая карта.

7. Построение геологического разреза.

На геологическом разрезе отображаются особенности геологического строения площади на глубине, морфология складчатых, разрывных, интрузивных и вулканических структур, показываются залегания и взаимоотношения пород. По геологическому разрезу определяется истинная мощность пород, толщ, свит. Для этого на аэрофотоснимках нанесены линии разрезов, ориентированные вкрест простирания геологических структур. Полное определение геологических параметров комплексов по разрезу возможно лишь при учете морфологических особенностей рельефа. Наиболее важным учет характера рельефа является при построении разрезов для горизонтальных или полого залегающих геологических комплексов.

Каждый разрез включает 7-15 точек, расположенных на характерных элементах рельефа - по вершинам гор, в долинах рек и логов, на резких перегибах рельефа, на уступах, террасах и пр.

7.1. Построение рельефа по линии разреза.

Для построения рельефа по линии разреза необходимо установить относительные превышения элементов рельефа (Δh), которые определяются с помощью палетки по методике, описанной для пластовых треугольников. Для каждой пары соседних точек профиля в порядке увеличения их номеров (рис. 11, точки I - 2, 2 - 3, ... 7 - 8, 8 - 1) определяется разность координат Δx сначала на левом снимке, а затем на правом снимке.

Разность $\Delta x_{8\text{-}1}$, с возвращением замеров от последней точки 8 профиля к

исходной точке 1, определяется для контроля выполненных измерений. Результаты замеров заносятся в таблицу (табл. 2) с учетом знаков "+" или "-".

Таблица 2

Определение относительных превышений элементов рельефа по линии разреза А-Б-В

Точки рельефа	$\Delta x_л$ (мм)	$\Delta x_п$ (мм)	Δp (мм)	Δh (м)
1-2	-4,1	-2,6	-1,5	-76
2-3	-3,8	-4,9	+1,1	+56
3-4	-4,1	-4,6	+0,5	+26
4-5	+4,9	+5,5	-0,6	-31
5-6	+5,8	+5,0	+0,8	+41
6-7	+5,4	+3,6	+1,8	+92
7-8	+3,5	+5,2	-1,7	-87
8-1	-7,8	-7,3	-0,5	-26
сумма	-0,2	-0,1	-0,1	-5

Значения Δx принимается со знаком «+» для тех пар точек, в которых первая точка располагается левее второй точки (4 - 5, 5 - 6, 6 - 7, 7 - 8). В других случаях, когда первая точка располагается правее второй точки, Δx принимается со знаком "-" (I - 2, 2- 3, 3 – 4, 8 - I). Контроль измерений производится определением величин сумм. $\Delta x_л$, $\Delta x_п$ с учетом их знаков (табл. 2), которые должны быть равны нулю. Допускается отклонение сумм. Δx до 10% от наибольшего значения Δx. По данным табл. 2 сумм. $\Delta x_л$ = -0,2 мм, сумм. $\Delta x_п$ = -0,1 мм, что соответствует выполнению требований к точности измерений Δx.

После определения Δx рассчитывается разность продольных параллаксов (Δp) и относительные превышения (Δh) для каждой пары точек по профилю. Разность продольных параллаксов рассчитывается по формуле $\Delta p = \Delta x_л – \Delta x_п$ с учетом алгебраических знаков Δx. Значения Δp также имеют знаки "+" или "-", например, (Приложение I): Δp_{3-4} = -4,1 – (-4,6) = + 0.5 мм.

Определение относительных превышений точек рельефа в каждой паре точек (Δh, м) проводится по формуле $\Delta h = (H \times \Delta p)/b_{ср}$, где H – высота фотографирования (м), Δp – разность продольных параллаксов (мм), $b_{ср}$ – среднеарифметическое значение базиса фотографирования (мм).

Например (Приложение 1): Δh_{1-2} = 2600x(-1,5)/51,5 = - 76 м.

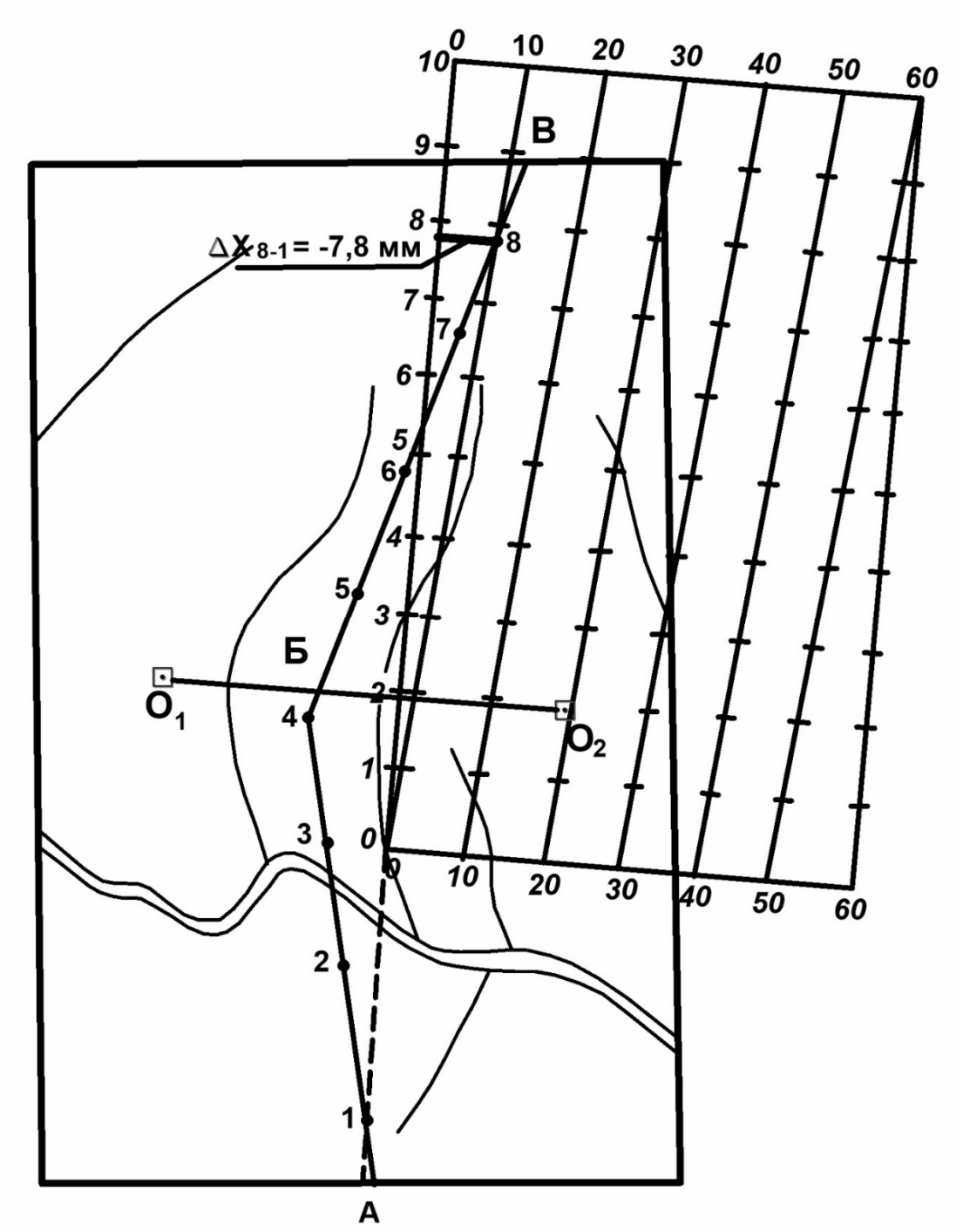


Рис. 11. Определение разности координат точек 8 и I по линии разреза А-Б-В (Δx_{8-1} = -7,8мм). Точка I находится за пределами палетки на продолжении ее левой рамки.

Знак Δh соответствует знаку Δр и показывает относительное положение в каждой паре **второй точки по отношение к первой**. Так, по профиле 1-8 (табл. 2) точка 2 располагается ниже точки I на 76 м, 3 - выше точки 2 на 56 м, 4 -

выше 3 на 26 м, 5 - ниже 4 на 31 м, 6 - выше 5 на 41 м, 7 - выше б на 92 м, 8 - ниже 7 на 87 м, точка I ниже точки 8 на 26 м.

По данным вычисленных превышений точек рельефа по линии разреза строится профиль рельефа. Вертикальный масштаб принимается равным горизонтальному масштабу и соответствует масштабу снимка. Для учебных комплектов аэрофотоснимков отсутствуют данные об абсолютных отметках рельефа, поэтому для разрезов принимается условная гипсометрическая шкала. Наиболее низкая точка рельефа по профилю (обычно - это участки речных долин, русла рек) условно принимается за базовую отметку + 200 м. Другие точки рельефа располагаются выше и имеют различные гипсометрические отметки в зависимости от относительных превышений их между собой и по отношению к базовой точке рельефа. Элементы и конфигурация форм рельефа уточняются под стереоскопом. Вершины гор, холмов могут быть острыми, округлыми или уплощенными. Склоны имеют различную крутизну и могут быть ровными, неравномерными, вогнутыми, выпуклыми. В долинах рек нередко выделяются эрозионные террасы, в бортах которых обнажаются коренные дочетвертичные породы.

7.2. Построение геологического разреза

На линию профиля с геологической карты выносятся границы пород, толщ, свит. По замеренным элементам залегания определяются направления и углы падения пород. При согласном залегании пород границы между ними на разрезе проводятся параллельно, под тем углом, который определен для этой толщи. Разрез строится на глубину 3-4 см, для снимков разного масштаба это составит различную глубину в метрах. Например, для аэрофотоснимков масштаба 1:10000 разрез отражает геологическое строение площади на глубину 300-400 метров.

При отсутствии данных о направлении и углах падения разломов, они на разрезах показываются вертикальными. Такие же вертикальные границы принимаются и для несогласных интрузий, когда неясен характер их залегания. Магматические силлы залегают согласно с вмещающими породами в виде линз, межпластовых интрузий и их границы на разрезе и карте параллельны слоистости вмещающих пород. Для четвертичных пород на разрезах принимается условная мощность, составляющая 2-3 мм на участках горного или холмистого рельефа и достигает 5-6 мм в пределах крупных речных долин (аллювий).

8.. Составление стратиграфической колонки

По линии геологического разреза, ориентированного вкрест простирания структур, определяется истинная мощность пород, толщ, свит. Полную мощность можно определить только для тех пород, у которых в разрезе выходят верхняя и нижняя границы. Истинная мощность таких пород определяется в масштабе разреза по линии, перпендикулярной границам пород. Для верхнего слоя разреза или структурного этажа отсутствует верхняя граница слоя, у самого нижнего слоя отсутствует нижняя граница. Для этих пород определяется неполная мощность и записывается **более …м**, например (Приложение I), так определяется мощность отложений K_2 (мощность более 40 м), D_3 (мощность более 200 м). Мощность четвертичных отложений также неполная, определяется условно по разрезу (Приложение 1).

После определения истинной мощности пород составляется стратиграфическая колонка для геологических комплексов в целом. В нее включаются все дочетвертичные толщи, свиты, распределенные по возрасту и с учетом их мощностей. Показываются литологические разновидности пород, характер их взаимоотношений. Согласные геологические границы показываются в колонке прямыми линиями, несогласные залегания - волнистой линией.

Масштаб стратиграфической колонки произвольный и выбирается с таким расчетом, чтобы можно было отобразить литологические разновидности маломощных пород и в то же время общие размеры колонки не превышали бы размеры геологической карты.

9. Оформление геологической карты.

Завершающим этапом работы по геологическому дешифрированию аэрофотоснимков является полное составление и оформление геологической карты (Приложение I, 2).

На геологической карте должны быть показаны;

- стратифицированные дочетвертичные и четвертичные геологические образования, расчлененные по возрасту и выделенные соответствующим цветом. Индексом показывается возраст пород, название свиты, например K_1o^2 - верхняя толща охотской свиты нижнего мела;

- интрузивные породы, разделенные по составу и возрасту с обозначением петрографическими и стратиграфическими индексами;

- разрывные нарушения;

- литологические разновидности пород;

- выносятся пластовые треугольники цветной тушью, подписываются номера треугольников и точек треугольников;

- построение элементов залегания в пластовых треугольниках показывается непосредственно на карте или за пределами карты;

- показываются элементы залегания пород.

Ниже геологической карты располагается геологический разрез. Горизонтальный и вертикальный масштабы геологического разреза одинаковые и соответствуют масштабу карты.

Справа от карты располагаются условные обозначения. Последовательность размещения условных обозначений сверху вниз:

- стратиграфические подразделения от четвертичных пород (в верхней части) вниз ко все более древним пародам;
- интрузивные породы от молодых к более древним;
- литологические разновидности пород;
- структурные элементы.

Слева от геологической карты помещается стратиграфическая колонка.

Кроме того, за пределами карты должны быть показаны таблицы с результатами дешифрирования пластовых треугольников и определения превышений точек рельефа по геологическому разрезу.

В правом верхнем углу указывается фамилия студента, учебная группа, номер и параметры аэрофотоснимков.

Полностью оформленная геологическая карта, выполненная тушью на кальке или белой бумаге, сдается преподавателю.

Рекомендуемая литература

1. Корсаков А. К. Структурная геология: учебник / М.: КДУ, 2009. 328с.
2. Михайлов А. Е. Структурная геология и геологическое картирование / М.: Недра, 1984. – 464 с.
3.Михайлов А.Е., Рамм Н.С. Аэрометоды при геологических исследованиях. М.; Недра, 1975. 230 с.
4. Методическое руководство по геологической съемке масштаба 1:50 000. Том 1,2. Коллектив авторов; под ред. А. С. Кумпана. Л.: Недра, 1978.

Дополнительная литература

1. Сократов Г.И. Структурная геология и геологическое картирование. М.: Недра, 1972, 280 с.
2. Петрусевич М.Н., Казик Л.И. Практическое руководство по аэрофотогеологии. М.; МГУ, 1977, 320 с.
3. Гудилин Н.П., Комаров И.С. Применение аэрометодов при инженерно-геологических и гидрогеологических исследованиях. М.: Недра, 1978.

МИНОБРНАУКИ РФ

ФГБОУ ВО «Уральский государственный горный университет»

УТВЕРЖДАЮ
Заведующий кафедрой геологии,
поисков и разведки месторождений
полезных ископаемых
_____В.А. Душин

МЕТОДИЧЕСКИЕ УКАЗАНИЯ ПО ОРГАНИЗАЦИИ ПРАКТИЧЕСКИХ ЗАНЯТИЙ И САМОСТОЯТЕЛЬНОЙ РАБОТЫ ПО ДИСЦИПЛИНЕ Б1.В.04 ФОРМАЦИОННЫЙ АНАЛИЗ

для обучающихся специальности:

21.05.02 Прикладная геология

Специализация
Геологическая съемка, поиски и разведка месторождений твердых полезных ископаемых

форма обучения: очная, заочная

Автор: Душин В.А., профессор, д.г.-м.н.

Одобрены на заседании кафедры
геологии, поисков и разведки
МПИ Протокол № 1 от 26.09.2023

Екатеринбург

Учение о геологических формациях возникло как прямое следствие геологической науки и в настоящее время представляет один из крупных и обобщающих его разделов.

В общем виде формационный анализ можно рассматривать как новое научное направление в геологии, целью которого является установление естественных ассоциаций горных пород и руд и характера их взаимосвязей в истории развития, как земной коры, так и отдельных её сегментов. В этой связи знакомство будущих геологов с данными проблемами является необходимым и обязательным условием подготовки грамотного специалиста.

В настоящее время, подавляющее большинство геологических исследований прикладного и фундаментального характера проводятся на базе формационного анализа. Мы придаем этому направлению исключительно большое значение, как той единственной верной основе, на которой должны базироваться любые, в том числе и прогнозно-металлогенические исследования.

Учение о геологических формациях возникло как прямое следствие развития геологической науки, исследующей общие и частные закономерности развития земной коры и слагающие ее естественных сообществ горных пород, руд, минералов и пр. Основы были заложены трудами Ю.Ю. Левинсон-Лессинга (1911, 1955), В.А. Обручева (1926), М.А. Усова (1931, 1960), Ю.А. Билибина (1947), Н.П. Хераскова (1948, 1967), С.С. Смирнова (1947), Н.Н. Страхова (1960), Н.С. Шатского (1965), В.И. Попова (1966), Ю.А. Кузнецова (1964), Д.С. Харкевича (1969), В.А. Кузнецова (1967), Е.К. Устиева (1963) и др. В последние годы теоретические основы формационного анализа разрабатываются Р.М. Константиновым (1973), А.Ф. Белоусовым (1976), В.М. Цейслером (1977), Д.В. Рундквистом (1984), Д.Н. Горжевским (1986), В.А. Коротеевым (1982, 1986), В.А. Голубовским (1986), А.Д. Щегловым (1976, 1987), А.И. Кривцовым (1989), и др.

Формационный анализ в самом общем виде рассматривается как выявление, картирование и всестороннее изучение геологических формаций. Однако, всеобъемлющего определения этого понятия пока нет. Существующие определения Н.С.Шатского (1965), Н.П. Хераского (1967), Ю.А. Кузнецова (1964), В.В. Белоусова (1976), Д.С. Харкевич (1969), В.И. Попова (1956) и др. отражают парагенетический, либо генетический принципы, широко используемые на практике.

Формационный анализ традиционно предполагает следующие аспекты исследований: изучение состава пород, руд, установление стратиграфической и фациальной смены отложений и слагаемых ими тел, оценку геолого-тектонического положения ассоциаций с отображением их генетических связей, металлогенических, петрогенетических, палеотектонических и прочих свойств.

Каждая выделенная формация является, как бы индикатором условий ее происхождения и напрямую связана с эндогенными геологическими режимами, вещественным выражением которых она и является. Существенное нарушение этих условий (эндогенного режима) ведет к появлению новой формации, т.е. к проявлению других вещественных комплексов, другой металлогении и, конечном итоге, другой прогнозной оценке территории.

В формационном анализе удобен и полезен термин «ассоциация», как термин свободного пользования, обозначающий любую природную совокупность горных пород безотносительно к её генезису и независимо от характера границ.

Объем и границы каждой формационной единицы (формация, комплекс, фация, парагенерация) определяются в результате геологических, минералогических, петрохимических, радиологических и петрологических исследований.

Исходя из приведенных выше понятий , можно назвать следующие объективно устанавливаемые признаки, лежащие в основе их выделения: петрографический, фациальный, геоструктурный и историко-геологический. Таким образом, при выделении формации (комплексов) мы руководствуемся двумя основными принципами – вещественным и историко-геологическим.

Металлогеническая направленность формационных исследований обусловила определенный подход к выделению рудной формации, сочетающей основные положения вещественного и историко-геологического принципов, в соответствии с этим мы разделяем определение рудной формации, данное А.Д.Щегловым, под которым им «понимается естественное сообщество рудных образований (месторождений), объединяемых между собой сходными парагенетическими пара ассоциациями главнейших рудных минералов и тектономагматическими условиями проявления, а также близкими особенностями развития рудного процесса». Очень важным положением в определении формации является вопрос о единстве тектономагматических условий их формирования. Это, с одной стороны, позволяет рассматривать магматические осадочные, метасоматические и рудные формации в диалектическом единстве с выделением, как предлагает В.А. Нарсеев и др. (1988) **рудогенерирующих, рудоносных, рудообразующих и рудовмещающих формаций**, а с другой – дает возможность разделить и охарактеризовать сопряженное во времени и в пространстве коровое и мантийное оруденение. Наличие последнего дало возможность А.Д.Щеглову создать концепцию нелинейной металлогении. Рудная формация , как отмечает А.Д.Щеглов, понятие весьма удачное, в котором в настоящее время объединяются представления об эндогенных режимах (тектономагматические условия) образования рудных концентраций, их минеральном составе, а также вкладывается информация о промышленной значимости месторождений, что имеет важное практическое значение.

Рудная формация, как рудоносное геологическое тело определенного иерархического уровня, описывается множеством признаков, из которых в качестве классификационных используются атрибутивные и факторные. Первые характеризуют внутренние свойства и качества формации, ее вещественно морфологические особенности (элементный и минеральный состав руд, минеральные ассоциации, структурные особенности, форма тел и их пространственные соотношения и т.п.). Вторые отражают форму, характер связи и соотношение оруденения с различными геологическими телами и явлениями, которые выступают в качестве причины и предпосылки формирования и размещения полезного ископаемого.

Содержание учебной дисциплины

Раздел 1. Введение. Состояние развития учения о геологических формациях

1.1. Учение о геологических формациях среди наук геологического цикла

1.2. исторические вехи в учении о геологических формациях

1.3. Современные научные направления при выделении геологических формаций

Раздел 2. Формационный анализ, его принципы, вещественный состав и строение формаций

2.1. Основные понятия и терминология, применяемые в учении о геологических формациях

2.2. Методы выделения и изучения геологических формаций

2.3. Вещественный состав и строение геологических формаций

Раздел 3. Систематика и характеристика формаций

3.1. Общие принципы и ведущие классификации формаций

3.2. Осадочные формации

3.3. Магматические формации

3.4. Метаморфические и метасоматические формации

3.5. Формации выветривания

3.6. Рудные формации, металлогеническая формация

Раздел 4. Геологические формации, тектоника и геодинамика

4.1. Осадочные формации современных геодинамических обстановок

4.2. Магматические формации современных геодинамических обстановок

4.3. Сравнительный анализ геологических формаций современных обстановок и их палеоаналогов

Раздел 5. Формация и оруденение

5.1. Рудоносность осадочных формаций

5.2. Рудоносность магматических формаций

5.3. Рудоносность метаморфических и метасоматических формаций

5.4. Рудоносность формаций коры выветривания

Раздел 6. Формационный анализ при геологическом картировании

6.1. Формационный анализ как способ получения геологической информации

6.2. Формационный анализ в стратиграфии, палеогеографии и тектонике

Практические занятия по дисциплине предполагают как выделение и изучение ведущих (петротипических) коллекций каменного материала кафедры, так и ознакомление студентов с формационными картами различных масштабов, схемами корреляции формаций, составлением легенд и макетов формационных карт по учебным планшетам, либо по графическим материалам, привезенным с практики.

Перечень практических занятий по курсу

1. Формациеобразующие горные породы (знакомство с коллекцией кафедры ГПР МПИ): (раздел 3 курса лекций)

1. Формациеобразующие осадочные порода
2. Формациеобразующие магматические породы
3. Формациеобразующие метаморфические породы
4. Породы формации коры выветривания
5. Формациеобразующие метасоматические породы и руды, сопряженные с ними

II. Геологические формации основных типов структурных элементов земной коры (раздел 4 курса лекций)

III. Геологические формации и оруденение (знакомство с коллекцией кафедры ГПР МПИ, раздел 5 курса лекций):

1. Рудоносные осадочные формации
2. Рудоносные магматические формации
3. Рудоносные метаморфические формации
4. Рудоносные метасоматические формации
5. рудоносность формации окры выветривания

IV. Методика составления формационных карт (раздел 2,4,6 курса лекций)

1. Знакомство с формационными картами
2. Составление макета формационной карты
3. Выделение осадочных и магматических формаций
4. Реконструкция геодинамических обстановок
5. Составление легенды к карте геологических формаций
6. Составление объяснительной записки к карте

При изучении дисциплины самостоятельно рекомендуется пользоваться широким перечнем литературных и методических источников, имеющихся в библиотеке университета и выставленных на сайтах. Перечень последних приведен ниже. Следует в ходе подготовки обратить внимание на примерный перечень докладов (рефератов), которые будут озвучиваться при опросе студентов по мере изучения дисциплины.

Примерная тематика докладов (рефератов)

1. Исторические вехи в учении о геологических формациях
2. Методы выделения и изучения геологических формаций
3. Ведущие осадочные формации и их характеристика
4. Основные магматические формации и их характеристика
5. Основные метаморфические формации и их характеристика
6. Основные метасоматические формации и их характеристика
7. Формации кор выветривания и их характеристика
8. Рудные и металлогенические формации
9. Магматические и осадочные формации внутри плитных обстановок
10. Магматические и осадочные формации коллизионных обстановок
11. Магматические и осадочные формации островодужных обстановок
12. Магматические и осадочные формации рифтовых обстановок

Примерная тематика расчетно-графических работ

1. Составление легенды к формационным картам отдельных регионов РФ
2. Составление карты геологических формаций отдельных регионов РФ.

Объяснительную записку (объем 5-10 стр.) к формационной карте следует составлять по следующей схеме:

Введение. Приводятся возможные сведения о районе (административное положение, рельеф, климат, география, степень обнаженности).

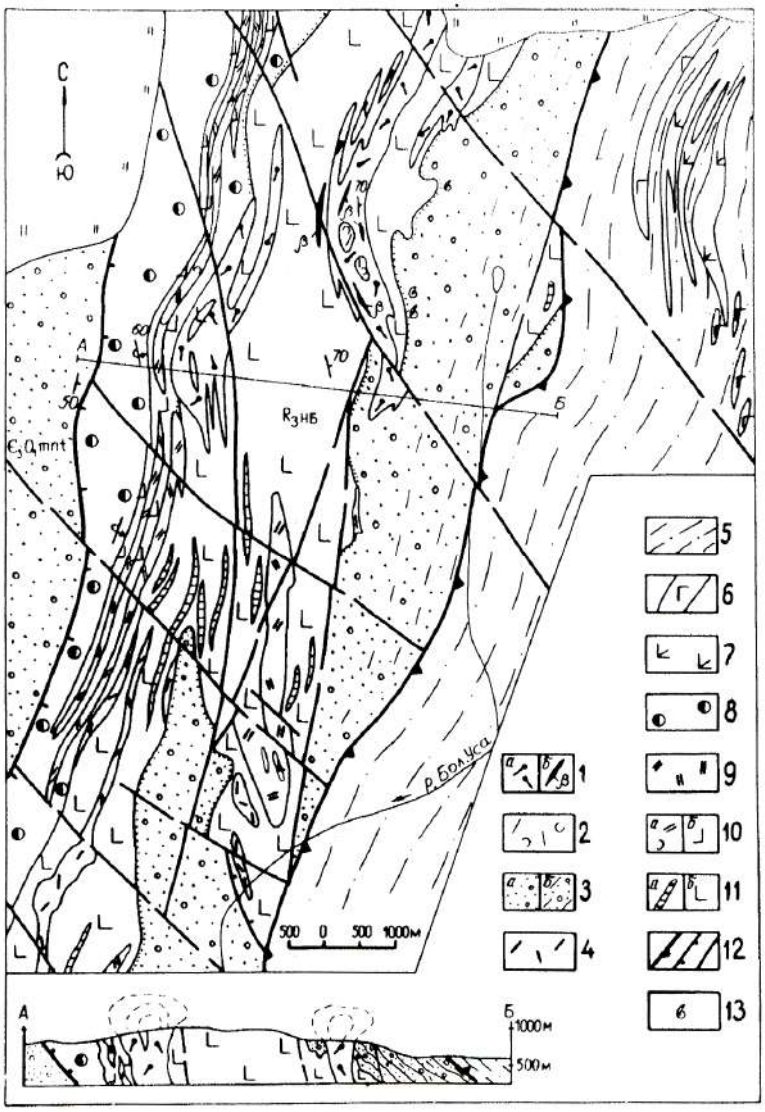
1. Принципы и методика составления карты. Тезисно по методическим указаниям с привлечением специальной литературы налагает методика работ.
2. Основные черты геологического строения района. В начале раздела кратко приводится перечень основных стратиграфических подразделений, начиная с наиболее древних толщ. Далее излагаются сведения о тектонике.
3. Характеристика выделенных геологических формаций. Описание приводится по этажам и ярусам.

Заключение. Кратко перечисляются важнейшие дискуссионные вопросы и предлагаются возможные пути их решения.

Список литературы. Приводится раздельно для изданных и фондовых материалов.

Контрольные вопросы по курсу «Формационный анализ» содержат два теоретических и одно практикоориентированное задание.

Макет формационной карты



Условные обозначения:

I - трахибазальт-трахириолитовая $Д_{1-3}$ формация: а) трахириолиты, б) диабазы; 2 - туфы риолитов; 3 - алеврито-песчаная формация, Манитанырдская $Є_3$-О серия: а) нижняя толща, б) верхняя толща; 4 - трахириолитовая $Є_3$-О формация (трахириолиты); 5 - песчано-глинисто-алевритовая формация, орангская $Є_3$-$О_2$ свита; 6 - габбро-диабазовая $Є_3$-О формация (диабазы); 7 - толеит-базальтовая формация (базальты); 8 - галечно-алеврито-песчаная формация, хойдышорская V-Є свита; 9-10 -базальт-риолитовая V-Є формация: 9 - субвулканическая фация, риолиты; 10 - эффузивно-пирокластическая фация: а) риодациты, риолиты; б) базальты; II - формации натриевых базальтов-риолитов: а) тела риолитов, б) базальты; 12 - тектонические нарушения: а) надвиг, граница лемвинских и елецких формаций, б) взбросо-надвиги, в) сбросы; 13 -ископаемая фауна ордовика.

Контрольные вопросы проверки знаний при подготовке к экзамену по курсу «Формационный анализ»

1. Цели и задачи формационных исследований.
2. Ведущие типы осадочных формаций.
3. Специфика магматизма, осадконакопления и метаморфизма древнейших структур Земли.
4. Основные направления в учении о геологических формациях.
5. Основные типы магматических формаций.
6. Геологические формации внутриплитных обстановок.
7. Место формационного анализа в науках о Земле.
8. Основные типы метаморфических формаций.
9. Геологические формации задуговых и преддуговых обстановок.
10. Основные принципы формационного анализа.
11. Геологические формации океанских рифтов.
12. Рудоносность ведущих групп и семейств осадочных формаций.
13. Критерии выделения метаморфических фаций.
14. Рудоносность вулканогенных формаций.
15. Магматические формации обстановок типа «горячих точек».
16. Определение границ и объемов геологических формаций.
17. Рудная формация (определение, примеры).
18. Магматическая формация островодужных (юных) обстановок.
19. Специфика выделения метаморфических формаций.
20. Рудоносность ведущих групп и семейств магматических формаций.
21. Геологические формации активных континентальных окраин.
22. Осадочная формация (определение, примеры).
23. Рудоносность метасоматических формаций.
24. Геологические формации пассивных континентальных окраин.
25. Вулканическая формация (определение, примеры).
26. Связь рудообразующих процессов и систем с геологическими формациями.
27. Геологические формации глубоководных желобов.
28. Интрузивная (плутоническая) формация (определение, примеры).
29. Прокомментируйте смысл сравнительного анализа геологических формаций современных обстановок и их палеоаналогов.

30. Критерии выделения фаций осадочных пород.
31. Геологические формации океанического ложа.
32. Критерии выделения магматических , в том числе вулканогенных фаций.
33. Рудоносность метаморфических формаций.
34. Геологические формации коллизионных обстановок.
35. Соотношение формаций , фаций, ассоциаций.
36. Осадочные и магматические формации континентальных рифтов.
37. Вулканогенная фация (определение, примеры).
38. Охарактеризуйте связь метасоматических формаций с различными геодинамическими обстановками.
39. Осадочная фация (определение, примеры) и её связь с формацией.
40. Рудоносность магматических формаций.
41. Связь геологических формаций с геодинамическими обстановками (на одном из примеров).
42. Охарактеризуйте основные этапы изучения геологических формаций.
43. Магматическая фация (принципы выделения, примеры).
44. Магматические формации энсиалических островных дуг.
45. Охарактеризуйте соотношения фаций, формаций, ассоциаций.
46. Осадочные, метаморфические и магматические формации коллизионных обстановок.
47. Перечислите и прокомментируйте основные задачи формационного анализа.
48. Перечислите основные особенности осадконакопления и магматизма внутриконтинентальных обстановок.
49. Магматические и осадочные формации преддуговых обстановок.
50. Основные подходы к выделению формаций.
51. Рудоносность ультрамафической и мафической групп магматических формаций.
52. Осадочные формации континентального склона и подножия.
53. Перечислите ведущих ученых, внесших заметный вклад в разработку формационного анализа.
54. Основные критерии выделения осадочных формаций.
55. Перечислите и охарактеризуйте основные особенности магматизма активных континентальных окраин андийского типа.
56. Перечислите и охарактеризуйте традиционные аспекты исследований геологических формаций.
57. Охарактеризуйте рифовую формацию.
58. Перечислите и охарактеризуйте основные особенности магматизма активных континентальных окраин азиатского типа.
59. Охарактеризуйте кремнисто-железистую формацию.
60. Какова специфика рудоносности магматических формаций (плутонических, вулканических).
61. История возникновения и развития термина «Формация».
62. Охарактеризуйте флишевую группу формаций.
63. Рудоносность ультраметаморфических формаций.
64. Охарактеризуйте молассовую группу формаций.
65. Офиолитовая ассоциация (содержание, геодинамическая обстановка, рудоносность).

66. Формация коры выветривания
67. Вещественный состав и строение геологических формаций
68. Метасоматическая формация (определение, примеры)
69. Охарактеризуйте метасоматические формации и их связь с оруденением.
70. Рудоносность формации коры выветривания
71. Основные методы изучения и выделения формаций
72. Металлогенические формации (определения, примеры)
73. Формационный анализ как способ получения геологической информации

Практикоориентированные задания

Раздел 1.

Покажите на карте центры развития формационных исследований в России

Раздел 2.

- Покажите на геологическом разрезе реализацию парагенетического подхода к выделению формаций;

- Покажите на геологическом разрезе реализацию генетического подхода к выделению формаций;

Раздел 3.

- Определите по образцу принадлежность породы к осадочной формации;

- Определите по образцу принадлежность породы к магматической формации;

- Определите по образцу принадлежность пород к метасоматической, метаморфической и формации коры выветривания

Раздел 4.

Покажите на карте районы развития геодинамических обстановок дивергентного и конвергентного типов

Раздел 5.

Определите по образцу принадлежность его к рудной формации

Раздел 6.

Определите на карте формационную принадлежность (дать название породных ассоциаций)

МЕТОДИЧЕСКИЕ МАТЕРИАЛЫ

а) основная литература:

1.Цейслер В.М. Основы учения о геологических формациях. Учебное пособие. М. Изд-во Геокарт ГЕОС 2012.

2. Душин В.А. Формационный анализ. Учебно-методическое пособие. Екатеринбург. Изд-во УГГУ. 2013 -116с.

б) дополнительная литература:

3. / Геодинамические реконструкции / И.И. Абрамович и др.-Л.: Недра, 1989.

Голубовский В.А. Формационный анализ сложных регионов. М.: Наука, 1983.

4. Душин В.А. Основы формационного анализа. Учебное пособие. Изд-во УГГУ. 1995.

5 Драгунов В.Н. Аннемер А.И. , Васильев В.И. Основы анализа осадочных формаций.-Л.: Недра, 1974.-160с.

6. Ефремова С.В., Стафеев К.Г. Петрографические методы исследования горных пород.-М.: Недра, 1985.

7. Камеральная обработка материалов геологосъемочных работ масштаба 1:200000.Методические рекомендации. Выпуск 2.С.Петербург.1999 – 384с.

8. Магматические горные породы.Т.6 – Наука, 1987.

9. Марин Ю.Б. Магматические формации и их рудоносность. Уч. пособие. Ленинград. горный ин-т. Л., 1989.

10. Попов В.Н. , Запрометов В.Ю. Генетическое учение о геологических формациях. М.: Недра, 1985.

11. Геологические формации. Терминологический справочник. Т. 1,2.М.: Недра, 1983

12. Принципы и методы оценки рудоносности геологических формаций. Т.Т. осадочные формации. Магматическаие формации. Метаморфические .Гл.ред. Д.В.Рундквист.Л.: Недра.1982-1986

13. Цейслер В.М. Формационный анализ .Учебник М.: Изд-во РУДИ, 2002.

в) программное обеспечение и Интернет-ресурсы:

14. Все о геологии geo. Web.ru

15. Информационная система «Единое окно доступа к образовательным ресурсам» window.edu.ru

16. Геоинформмарк geoinform.ru

17. Earth-Pages. earth-pages.com

Алгоритм работы студентов для качественного усвоения дисциплины включает в себя следующие действия:

1. Изучение рабочей программы дисциплины, что позволит правильно сориентироваться в системе требований, предъявляемых к студенту со стороны преподавателя.

2. Посещение и конспектирование лекций.

3. Обязательная подготовка к практическим занятиям.

4. Изучение основной и дополнительной литературы.

5. Выполнение всех видов самостоятельной работы, в первую очередь изучение коллекций каменного материала по месторождениям полезных ископаемых различных геолого-промышленных типов.

МИНИСТЕРСТВО ОБРАЗОВАНИЯ И НАУКИ РОССИЙСКОЙ ФЕДЕРАЦИИ

ФГБОУ ВО «Уральский государственный горный университет»

УТВЕРЖДАЮ
Проректор по учебно-методическому комплексу
_____ Е.А. Удоров

МЕТОДИЧЕСКИЕ МАТЕРИАЛЫ ПО ДИСЦИПЛИНЕ

ГЕОФИЗИЧЕСКИЕ МЕТОДЫ ПОИСКОВ И РАЗВЕДКИ МЕСТОРОЖДЕНИЙ ПОЛЕЗНЫХ ИСКОПАЕМЫХ

специальность

21.05.02 Прикладная геология

Специализация

Геологическая съемка, поиски и разведка месторождений твердых полезных ископаемых

форма обучения: очная, заочная

Автор: Кузин А. В., к.г.-м.н., доц.

Одобрена на заседании кафедры

Геофизики
(название кафедры)

Зав.кафедрой _____
(подпись)

Талалай А. Г.
(Фамилия И.О.)

Протокол № 2 от 29.09.2023 г.
(Дата)

Рассмотрена методической комиссией факультета

геологии и геофизики
(название факультета)

Председатель _____
(подпись)

Вандышева К. В.
(Фамилия И.О.)

Протокол № 2 ОТ 13.10.2023
(Дата)

Екатеринбург
2024

ВВЕДЕНИЕ

Электрохимическая коррозия металлических сооружений приводит их к разрушению. Способы и меры защиты сооружений от коррозии требуют капитальных затрат, организации специальных служб, что существенно удорожает строительство и эксплуатацию сооружений.

Среди методов исследований природных и техногенных факторов, определяющих интенсивность коррозионных процессов, электроразведочные методы являются одними из информативных, точных, недорогих. По нормативным документам [1] определение коррозионной активности грунтов электроразведкой в определенных условиях является достаточным основанием, чтобы не дублировать эту оценку лабораторными методами.

Электроразведочные методы, используя различные мобильные ориентированные установки, позволяют определить удельное электрическое сопротивление грунтов на различных глубинах, по различным направлениям, а также определить интенсивность и направление блуждающих токов. Эти сведения являются основополагающими при определении природы и источников токов, при проектировании расположения сооружений, при определении степени и средств их защиты от коррозии.

В учебном пособии приведен перечень задач, возникающих в связи с необходимостью оценки коррозионной активности грунтов и интенсивности блуждающих токов, применяемые для этого электроразведочные методы и способы, а также приёмы камеральной обработки результатов.

1. ЗАДАЧИ ИЗУЧЕНИЯ КОРРОЗИОННОЙ АКТИВНОСТИ ГРУНТОВ И БЛУЖДАЮЩИХ ТОКОВ

Коррозия металлов в почве (подземная коррозия) происходит по электрохимическому типу. Металл на контакте с внешней средой переходит в более выгодную энергетическую форму – в окисел – и становится положительным ионом – катионом (двигаются к отрицательному катоду), который может вступить в реакцию с химическими компонентами внешней среды, отделиться от кристаллической структуры. Это называют анодным растворением металла.

Освободившиеся при окислении металла электроны также могут выйти из металла, вступить в реакцию с молекулярным кислородом внешней среды и восстановить его до иона гидроокисла OH^- или вступить в реакцию с положительными ионами водорода и восстановить их до молекулярной формы.

В этих реакциях внешней средой является грунт – гетерогенная смесь сложных химических соединений, электролитов с растворенными в них анионами и катионами химических элементов и соединений.

Мерой насыщения грунтов активными химическими элементами, способными вступать в реакцию с корродируемым металлом, ***может служить такой физический параметр, как удельное электрическое сопротивление (УЭС) грунта.***

Чем ниже УЭС грунта, тем больше в нём растворов электролитов, содержащих химические компоненты, способные вступить с металлом в реакцию и ассимилировать электроны, освободившиеся при окислении металла. В основном именно эти процессы и определяют скорость коррозии. В этом заключается ***принцип оценки коррозионной активности грунтов по величине его УЭС.***

При переходе электронов с поверхности корродирующего металла во внешнюю среду на поверхности металла образуется двойной электрический слой и электродная разность потенциалов, т. е., металл приобретает электрическую поляризацию по отношению к внешней среде. Знак и интенсивность этой поляризации существенно влияют на скорость электрохимической коррозии. В частности, смещение потенциала металла сооружения в отрицательную (катодную) область относительно потенциала грунта снижает скорость его коррозии. В этом заключается суть ***катодной защиты*** сооружений, которая в данном пособии не рассматривается.

Смещение потенциала поляризации сооружения может быть вызвано натекающими на него токами любого естественного (фильтрационного, окислительно-восстановительного, диффузионно-адсорбционного, теллурического и др.) и искусственного (станции катодной защиты, утечки с электротехнических сооружений) происхождения, которые распространяются на большие расстояния по грунтам, искусственным металлическим сооружениям, кабелям и т. п. Их называют ***блуждающими токами.*** Для определения их наличия, интенсивности, природы проводят исследования специальными электроразведочными установками разностей потенциалов, обусловленных прохождением блуждающих токов через проводник (грунт) с определенным удельным электрическим сопротивлением. ***В этом заключается принцип исследования блуждающих токов электроразведкой.***

При проектировании и сооружении важных дорогостоящих подземных металлических сооружений (трубопроводов, линий связи, железных дорог и т.п.) исследование коррозионной активности грунтов и блуждающих токов является обязательным. Это предписывается специальными нормативным документами. Приведем их перечень и круг задач, регламентируемый ими.

В строительных нормах и правилах **«СП 11-105-97 «Инженерно-геологические изыскания для строительства. Часть I. Общие правила производства работ»** [2] в приложении Д приведены задачи основных и вспомогательных методов геофизических исследований при инженерно-геологических изысканиях, в частности, указана необходимость измерять коррозионную активность грунтов и блуждающие токи. Указаны рекомендуемые для этого методы: вертикальное электрическое зондирование (ВЭЗ), электропрофилирование (ЭП), метод естественного поля для регистрации блуждающих токов. В приложении Е указана детальность исследований (табл. 1.1).

В СП указано, что приложение Е рекомендуемое, то есть оно допускает отклонение объемов и детальности исследований от указанных в таблице, в зависимости от особенностей геоэлектрического строения территории, её изученности, размеров исследуемых площадок и т.п.

Таблица 1.1

Задачи, методы и объемы геофизических исследований
при инженерно-геологических изысканиях [2]

Задачи геофизических исследований	Электроразведка	
	расстояние между профилями, м	шаг по профилю, м
1	2	3
Определение коррозионной активности грунтов: на площадке	50-100	25-50
по трассам: внеплощадочные коммуникации магистральные трубопроводы		50-100 300-500
Определение интенсивности блуждающих токов: на площадке по трассам	100-200	50-100 100-500

В «СП 11-105-97 Часть IV. «Правила производства работ в районах распространения многолетнемерзлых грунтов» [3] в составе геофизических исследований предписано определение коррозионной активности грунтов и интенсивности блуждающих токов. Это обусловлено известным фактом распространения блуждающих токов через низкоомные участки таликов среди многолетнемёрзлых грунтов. Такие зоны должны быть обязательно выявлены на стадии изысканий.

Наконец, собственно методики определения коррозионной активности грунтов и наличия блуждающих токов электроразведочными методами приведены в приложениях к «**ГОСТ 9. 602-2016 «Единая система защиты от коррозии и старения. Подземные сооружения. Общие требования к защите от коррозии**» **[1].** Приложение А содержит краткое директивное описание методики определения кажущегося удельного электрического сопротивления (УЭС) в полевых условиях. Приложение Д – описание методики определения наличия блуждающих токов. В ГОСТе дана таблица определения коррозионной активности грунтов по их УЭС: более 50 Ом·м – низкая, 20-50 – средняя, менее 20 – высокая.

Описание этих методик, их анализ, особенности применения различных модификаций рассмотрим в следующем разделе. Ведь любой нормативный документ содержит лишь краткое предписание выполнения определенного вида работ, а отечественная школа инженерных геофизических изысканий имеет традицию обучения исследователей теоретическим основам физических явлений и методик их изучения, стремлению к их дальнейшему развитию и совершенствованию. Только такой творческий подход к поставленным задачам исследований обеспечит их успешное решение.

2. ЭЛЕКТРОРАЗВЕДОЧНЫЕ МЕТОДЫ ОПРЕДЕЛЕНИЯ КОРРОЗИОННОЙ АКТИВНОСТИ ГРУНТОВ

2.1. Методика работ

Методика предусматривает регламентацию применяемых установок, детальности, точности исследований, а также технических средств измерений. В этом разделе рассмотрим установки определения УЭС грунтов. Детальность исследований предписывается СП 11-105-97 и техническим конкретным заданием, средства измерения обсудим в других разделах главы.

Для определения УЭС грунтов применяют установки вертикального электрического зондирования (ВЭЗ) и электропрофилирования (ЭП).

Установки ВЭЗ исследуют УЭС грунтов на различной глубине под точкой исследований. Это даёт сведения о наличие в разрезе геоэлектрических слоёв с различными истинными, а не кажущимися, значениями УЭС, их мощности, глубине залегания. Сведения эти при проектировании антикоррозионной защиты подземных сооружений весьма ценны. Ведь ток в грунтах распространяется по слоям с наименьшим значением сопротивления.

Установки ВЭЗ могут быть четырехэлектродные симметричные, трех-, двухэлектродные, дипольные (рис. 2.1).

Глубинность исследований симметричной установкой ВЭЗ зависит от величины разноса питающих электродов *AB*. В случае, когда в разрезе есть верхние относительно электропроводные слои, ток распространяется по ним, малая его часть уходит в глубину, и тогда эффективная глубина исследования нижних геоэлектрических слоёв составляет 0,1 разноса *AB* [4]. В случае, когда УЭС полупространства под точкой зондирования одинаково, глубинность оценки УЭС может возрастать до 0,25 *AB*. Априорно при исследованиях коррозионной активности грунтов иногда предлагают размер установки питающих электродов выбирать в три раза большим, чем глубина погружения в грунт защищаемого от коррозии сооружения [5].

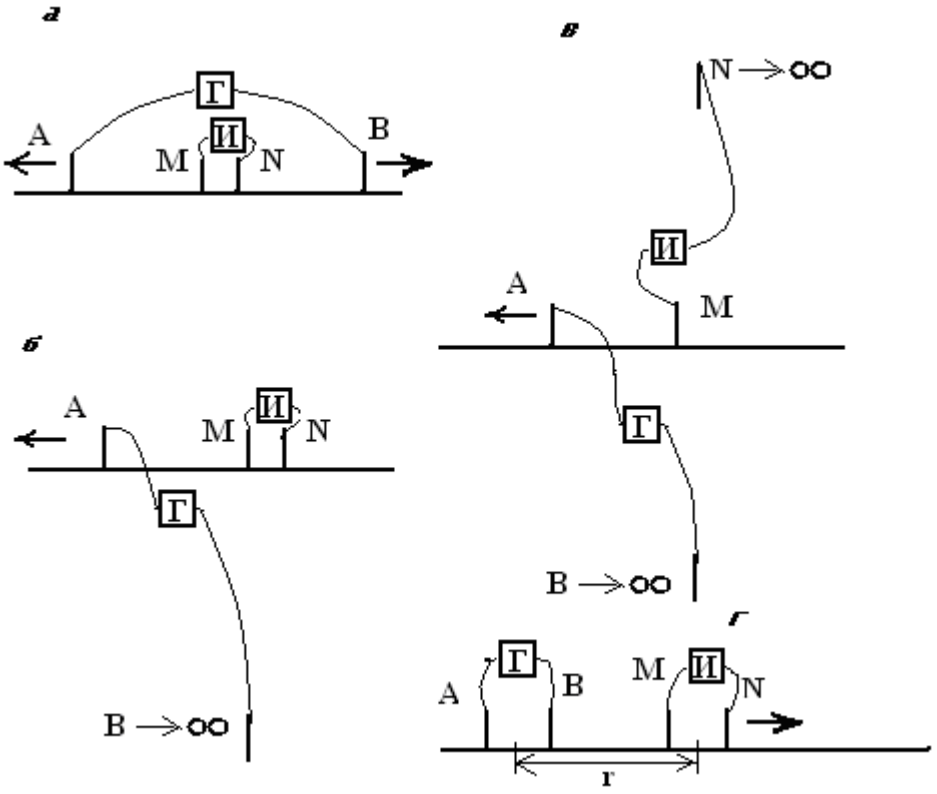


Рис. 2.1. Типы установок вертикального электрического зондирования:
а – симметричная четырёхэлектродная; *б* – трёхэлектродная с линией «бесконечность» для питающего электрода *B*; *в* – двухэлектродная *AM* с линиями «бескончность» для питающего электрода *B* и приёмного *N*; *г* – дипольная осевая. Г– генератор тока; И – измеритель напряжений

Применение трехэлектродных установок ВЭЗ при исследовании локальных площадок или объектов, где затруднительно разносить на местности оба питающих электрода, целесообразно и предпочтительно. К тому же, технологически при таком зондировании потребуется осуществлять последовательное заземление одного питающего электрода, а не двух. Это экономит силы и средства полевой бригады. При отнесении питающего электрода *B* («бесконечность») под прямым углом к простиранию установки *AMN* достаточно удалить его на расстояние в 5 раз большее, чем максимальный разнос питающего электрода *A*, и его влиянием на нормальное поле в пределах трехэлектродной установки можно пренебречь. Известна работа [5], показавшая увеличение эффективной глубины оценки УЭС разреза трехэлектродной установкой, в сравнении с симметричной, в 1,25 раза. Трехэлектродная установка зондирования позволяет оценивать УЭС разреза в непосредственной близости от линейного электропроводного объекта (металличе-

ская труба, кабель и т. п.) без существенного искажения последним кривой ВЭЗ [6].

Двухэлектродная установка зондирования *AM* предполагает удаление питающего электрода *B* и приемного *N* на «бесконечное» расстояние, в 10 раз превышающее максимальный разнос *AM*. Электроды «бесконечностей» должны разноситься в противоположные стороны, по крайней мере, не должны располагаться в одном квадранте. Глубина оценки УЭС разреза при зондировании двухэлектродной установкой больше в 1,4 раза, чем симметричной [7]. Двухэлектродная установка будет самой технологичной и информативной при проведении азимутальных исследований ВЭЗ с целью оценки электрической анизотропии разреза или выделения вблизи точки зондирования блоков грунтов с различными УЭС.

У дипольной осевой установки величина разноса ***r*** равна расстоянию между центрами питающего и приёмного диполей. Размер питающего и приёмного диполей должен быть менее 0,2*r*. Кривые ВЭЗ, полученные с дипольной осевой установкой, можно интерпретировать по палеткам и программам, рассчитанным для трёх- и четырёхэлектродных установок.

Величина кажущегося удельного электрического сопротивления $\rho_к$ рассчитывается по формуле:

$$\rho_ę = \frac{U}{I} \cdot K, \qquad (2.1)$$

где $\rho_к$ – кажущееся УЭС, Ом·м; *U* – измеренная в приемной линии *MN* разность потенциалов, мВ; *I* – ток в питающей линии, мА; *K* – коэффициент установки, м – рассчитывается по специальным формулам (2.2)-(2.6) [4].

Формула для расчета коэффициента симметричной установки *AMNB*:

$$K = \pi \frac{AM \cdot AN}{MN}; \qquad (2.2)$$

в методе ВЭЗ обычно в качестве меры величины установки используют полуразнос питающей линии *AB*/2, его записывают в полевой журнал, откладывают при построении кривой зондирования на специальном билогарифмическом бланке, потому для расчета коэффициента удобно использовать формулу

$$K = \pi \frac{(\acute{R}\hat{A}/2)^2 - (MN/2)^2}{MN}; \qquad 2.3)$$

трехэлектродной установки *AMN*, *B* в «бесконечности»

$$K = 2\pi \frac{AM \cdot AN}{MN}; \qquad (2.4)$$

двухэлектродной *AM*

$$K = 2\pi \cdot AM\ ; \qquad (2.5)$$

дипольной осевой *AB MN*

$$K = \frac{K_{BMN} \cdot K_{AMN}}{K_{BMN} - K_{AMN}}. \qquad (2.6)$$

Для оценки УЭС грунтов возможно применять также известные дифференциальные и многоэлектродные установки ВЭЗ.

Метод ВЭЗ при определении УЭС грунтов в сравнении с другими электроразведочными методами является самым информативным: он позволяет определить не только обобщённое кажущееся, но и близкое к истинному удельное электрическое сопротивление каждого из слоёв грунта. Главный его недостаток – длительное время исследования на одной точке. Оно при разносах питающей линии *AB* до 80-220 м составляет 10-15 минут. Оценка УЭС грунтов с установкой электропрофилирования требует затрат времени в 10 раз меньше.

Установки ЭП предполагают оценку УЭС грунта в точке на одном или двух разносах питающей линии. ГОСТ 9. 602-2005 рекомендует применение одной из таких установок, где расстояние между приемными и питающими электродами *AMNB* равны одному модулю ***a*** (рис. 2.2**)**. Это так называемая установка Веннера. Коэффициент установки *K* рассчитывается по формуле: $K=2\pi \cdot a$. Она исторически более распространена в зарубежном опыте исследований. В отечественной геофизике чаще применяется симметричная установка Шлюмберже. В ней расстояние между приемными электродами *MN* составляют от 1/20 до 1/4 величины *AB* [4]. При шаге исследований, соизмеримом с величиной разноса *MN*, она более чувствительна к выделению локальных неоднородностей в геоэлектрическом разрезе. Коэффициенты *K* различных установок электропрофилирования рассчитываются по тем же формулам, что в методе ВЭЗ.

Обычно установки ЭП применяют для оценки УЭС на небольшой глубине, равной погружению в грунт верхней и нижней частей проектного сооружения [8]. Расстояние между точками

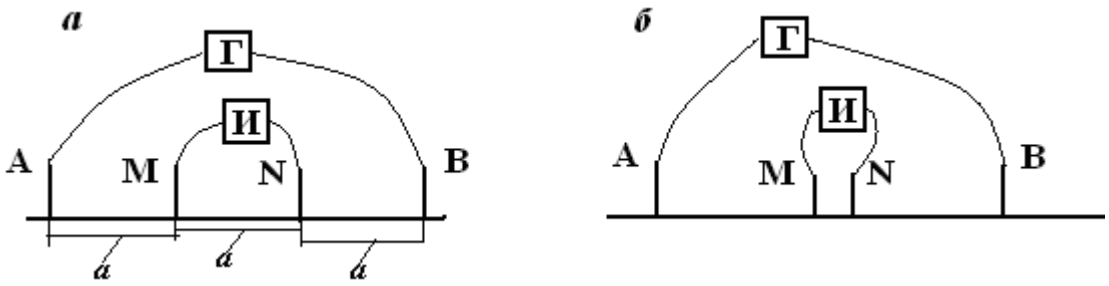


Рис. 2.2. Установки электропрофилирования:
а – Веннера, *б* - Шлюмберже

определения УЭС (10-100 м [8], 50-500 м [1]) может превышать многократно величину разносов установки. При таком виде исследований симметричные четырёхэлектродные установки Веннера и Шлюмберже наиболее технологичны.

При исследовании УЭС грунтов на локальных площадках возможно применять трех- и двухэлектродные установки электропрофилирования.

2.2. Аппаратура и оборудование для измерения УЭС грунтов

Нормативные документы не требуют директивно, но сложилась практика оценки УЭС грунтов на постоянном или низкочастотном (до 5-20 Гц) токе. В этом случае УЭС грунтов, особенно низкоомных, не будет при измерениях искажено индукционными эффектами, возникающими при похождении через грунт переменных токов.

Главное требование к измерительной электроразведочной аппаратуре – высокое (не менее 20 МОм) входное сопротивление милливольтметра в приемной линии. Ток должен проходить только через исследуемый грунт, входная линия приемных заземлений не должна шунтировать природный проводник тока. Потому для измерений входного напряжения линий *MN* электроразведочных установок метода сопротивлений могут быть применены любые милливольтметры с указанным высоким входным сопротивлением. Нет необходимости указывать здесь их типы, так как измерительная техника постоянно совершенствуется и обновляется, а применявшаяся ранее устаревает морально и физически.

Тракт питающей линии в аппаратуре для измерения УЭС грунтов должен содержать миллиамперметр класса не ниже 4-го,

т. е., собственная его погрешность не превышает 4 %. Это обеспечивается низким собственным сопротивлением амперметра, чтобы падение напряжения на нём было ничтожным в сравнении с таковым на электродах заземлений и в грунтах. Современные миллиамперметры имеют, как правило, класс точности 1 или 2.

Для исследования УЭС требуется пропустить через грунт постоянный или низкочастотный ток. Если в аппаратуре есть генератор тока, то для питания генератора применяют промышленные типы батарей или аккумуляторов. При работе на постоянном токе возможно для создания тока в питающей цепи электроразведочной установки использовать специализированные электроразведочные или типовые промышленные сухие батареи или аккумуляторы. Напряжение в батарее может быть порядка 10-100 В, токи – единицы-десятки мА.

Для монтирования цепей питающей и приемной линий установок ВЭЗ и ЭП применяют специализированные электроразведочные сталемедные провода в изоляционном полиэтиленовом покрытии: ГПСМПО, ГПСМП, имеющие сопротивление 10 и 40 Ом/км, или медные изолированные провода.

Для устройства питающих и приемных заземлений используют специальные электроразведочные штыревые электроды. Их изготавливают из стальных прутков диаметром 10-14 мм, они имеют деревянную или пластмассовую ручку, упоры для ноги для задавливания их в почву. При работе на сухих прочных или промерзших грунтах применяют стальные штыревые электроды, которые забивают в землю кувалдой, а извлекают с помощью специальных приваренных или накладных ручек.

Для приемных заземлений целесообразно использовать медные или латунные штыри, так как они имеют меньший потенциал собственной поляризации при контакте с грунтами, чем стальные. Наблюдаемую перед моментом пропускания тока от генератора разность электродных потенциалов в приемной линии *MN* компенсируют с помощью специальной батареи в аппаратуре (АЭ-72, ЭРА и т. п.) или записывают и учитывают при измерении напряжения пропускания тока.

Низкочастотная аппаратура (АНЧ-3, ЭРА-Знак, «Берёзка» и т. п.) автоматическим исключает из измерительного тракта электродную разность потенциалов поляризации.

3. ЭЛЕКТРОРАЗВЕДОЧНЫЕ МЕТОДЫ ОБНАРУЖЕНИЯ БЛУЖДАЮЩИХ ТОКОВ

3.1. Методика измерения разности потенциалов блуждающих токов

3.1.1. Измерительные установки, способы регистрации

Блуждающие токи в земле можно обнаружить, измеряя приёмными электродами, расположенными один от другого на определённом расстоянии, разность потенциалов, которая образуется в грунтах с конечным удельным электрическим сопротивлением при прохождении через них тока. В электроразведке [4, 9] такую методику применяют при работах по методу естественного поля (ЕП).

Для обнаружения блуждающих токов обычно применяют ортогональные крестовые или угловые линии с двумя парами приемных неполяризующихся электродов (рис. 3.1).

Размер разносов между парами приемных электродов предписывается различными инструкциями и нормативными документами в 100 или 50 м [9, 10]. Блуждающие токи в грунтах распространяются на расстояния, превышающие сотни и тысячи метров, измерить разность потенциалов, обусловленную этими токами, можно установкой любой величины. Размер измерительной установки в 50 и 100 м принят из соображений надежности измерения разности потенциалов, которая пропорциональна длине линии.

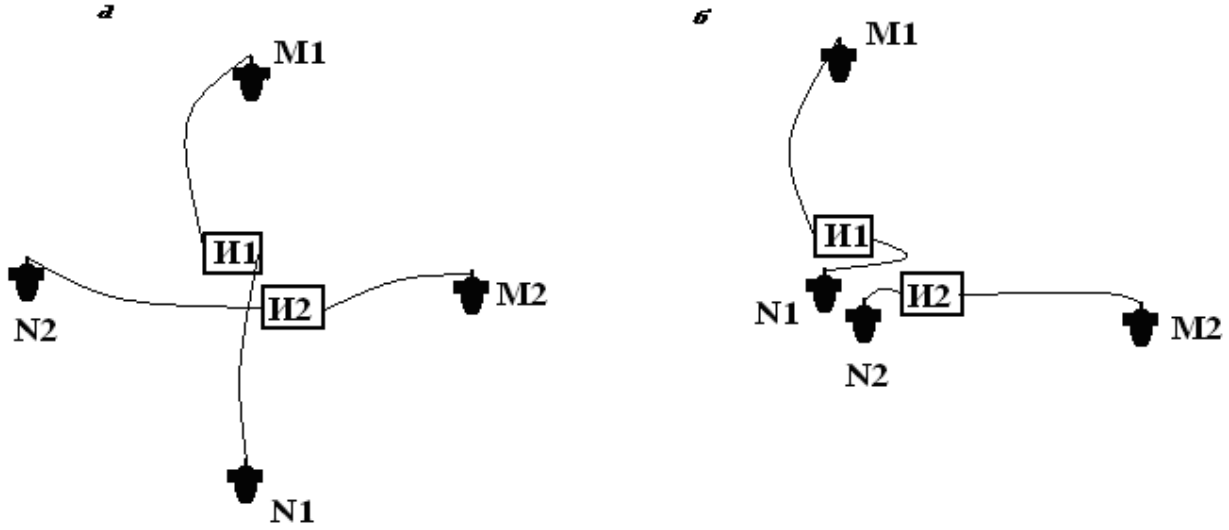


Рис. 3.1. Установки для измерения разности потенциалов блуждающих токов с неполяризующимися приемными электродами:
а – крестовая, *б* - угловая

Угловую установку из двух пар приемных электродов, разнесенных на 50 м, можно рассматривать как часть крестовой с разносами электродов 100 м. При однородном УЭС грунта в районе измерений, плоском фронте блуждающего тока обе установки должны определить ровно в два раза различающиеся значения разностей потенциалов в приемных линиях. Измерения с угловой 50-метровой установкой можно увеличить вдвое и привести их к условиям измерения с крестовой 100-метровой.

В условиях застроенности (непроходимости) территории не всегда возможно разнести приемные электроды на 100 м по ортогональным направлениям. В этих условиях угловая 50-метровая установка оказывается более мобильной. В зависимости от наличия препятствий и свободных для разноса электродов направлений точку измерений можно располагать в углу любого из квадрантов установки, лишь следует всегда оба электрода *N* располагать на западе и юге от электродов *M* (см. рис. 3.1).

Для регистрации разности потенциалов в двух парах приёмных линий ГОСТ 9. 602-2005 предписывает записывать отсчёты милливольтметра через 10 с в течение 10 минут. Причём, сначала в одной паре, затем – в другой (ГОСТ 9. 602-2005, прилож. Д, пункты Д1 и Д2). Это нерациональный приём. Во-первых, раздельная регистрация разностей потенциалов в двух линиях потребует затраты 20 минут рабочего времени на измерения. Во-вторых, при обработке материалов раздельной регистрации невозможно установить направление тока в любой из моментов времени 20-минутной регистрации. Ниже поясним это примерами в разд. 3.2.

Разность потенциалов в двух парах ортогонально расположенных измерительных линий следует регистрировать синхронно. Запись результатов измерений может быть выполнена в полевом журнале, а также на электронных носителях регистраторов. Некоторые из модификаций современных цифровых вольтметров позволяют это делать оперативно и надёжно.

3.1.2. Ориентировка измерительной установки

Ориентировку приемных электродов выбирают по странам света [9] или по простиранию проектируемого или существующего линейного сооружения [1]. В последнем случае это целесообразно

потому, что разность потенциалов на электродах, расположенных параллельно линейному электропроводному объекту, будет близка к нулю, а в линии, перпендикулярной к сооружению, максимальна и иметь знак плюс или минус – в зависимости от явления натекания или стекания тока с сооружения. Последнее и позволит выделить его анодные и катодные зоны.

Проиллюстрируем методику ориентировки электродов угловой установки вдоль электропроводного сооружения примером. Пусть в грунте на глубине 2 м залегает линейный электропроводный объект (рис. 3.2), например, металлическая труба. Нам в методическом плане интересен случай, когда это сооружение не имеет электроизоляции. В ином случае такой объект в электропроводном грунте представлял бы собой линейный изолятор небольшого сечения, который почти не искажает силовые линии тока в сплошной проводящей среде. Электропроводность трубы в десятки-сотни-тысячи раз превышает электропроводность грунта. Например, стальная труба диаметром 325 мм с толщиной стенок 10 мм имеет сечение проводника 0,01 м^2 – равное сечению квадратного бруска стали с гранью 10 см. При удельном электрическом сопротивлении стали ρ, равном $1{,}3 \cdot 10^{-7}$ Ом·м, сопротивление R одного метра трубы составит всего $1{,}3 \cdot 10^{-5}$ Ом, одного километра – 0,013 Ом.

Такой линейный проводник, во-первых, будет коллектором для любых блуждающих токов, тем или иным путём достигших его. Это может быть ток, стекающий с близкорасположенного анодного заземления станции катодной защиты, с электрифицированного железнодорожного полотна, пришедший по линейному электропроводному тектоническому нарушению, теллурический ток и т. п.

Во-вторых, ток по проводнику от точки ввода потечёт в обе стороны и станет стекать с него в грунт. На расстоянии в сотни метров это будет практически эквипотенциальный проводник. В однородной по электропроводности среде потенциал от линейного проводника в любой точке среды вне проводника определяется выражением [11]:

$$U = \frac{\rho I}{0.434 \cdot 2\pi b} \cdot \lg \frac{y + b_1 + (x^2 + (y + b_1)^2)^{0.5}}{y - b_2 + (x^2 + (y - b_2)^2)^{0.5}}; \qquad (3.1)$$

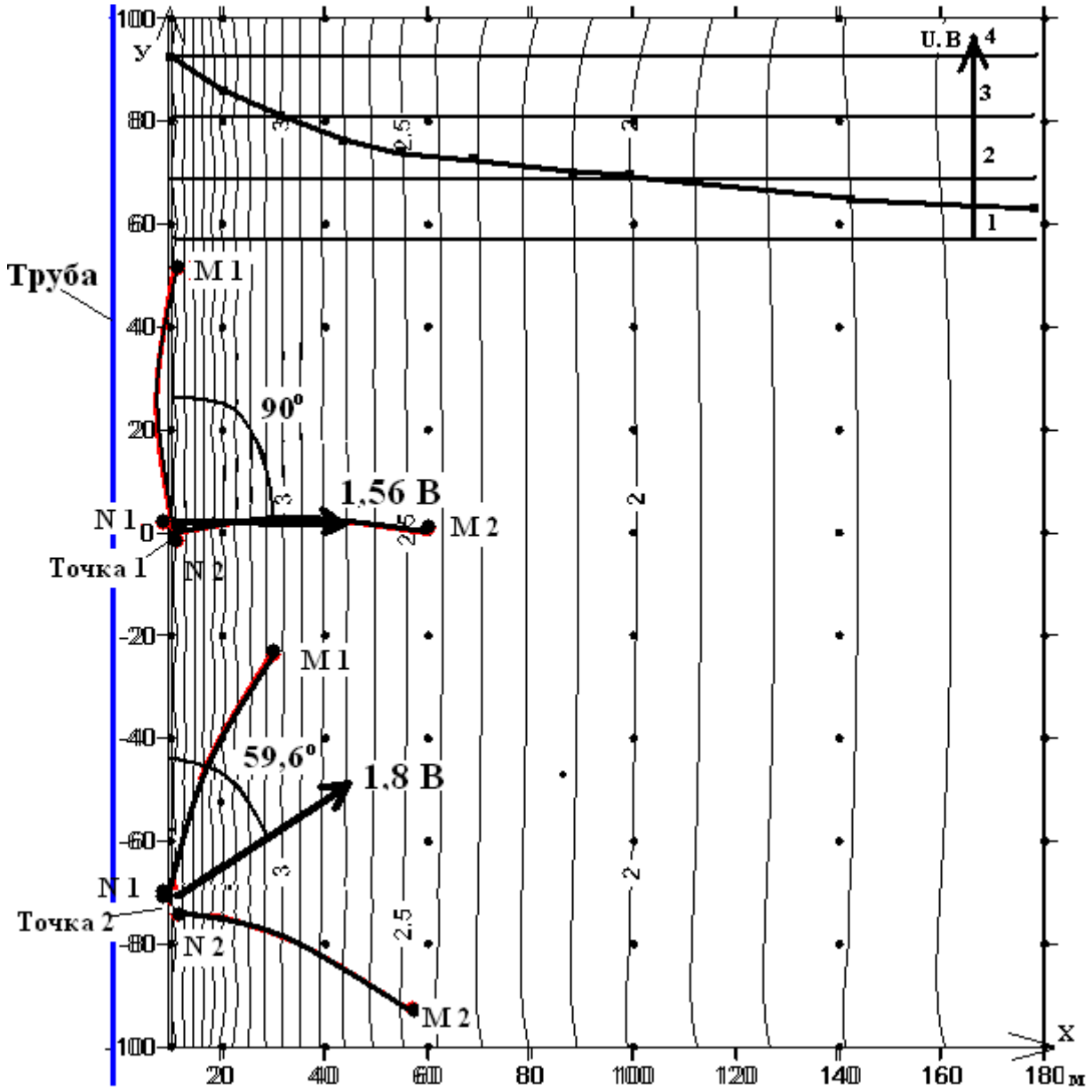


Рис. 3.2. Пример определения наличия блуждающих токов вблизи линейного электропроводного объекта:
точка 1 – параллельное расположение одной из линий *MN* объекту; точка 2 – поворот установки 22°. Стрелка указывает вычисленное направление тока (азимут в градусах) и разность потенциалов, измеренную угловой установкой с длиной приемных линий 50 м. УЭС среды 100 Ом·м. Ток, стекающий с трубы длиной 1000 м, равен 10 А. В верхней части рисунка показана кривая спада потенциала. Остальные пояснения – в тексте

где b – длина проводника, примем её 1000 м; b_1 и b_2 – половинки длины проводника от точки начала координат системы расчета поля; 0,434 – множитель, учитывающий в формуле переход от десятичных логарифмов к натуральным; x и y – координатные оси (см.

рис. 3.2). При расчёте поля ток I принят 10 А, удельное электрическое сопротивление среды ρ – 273 Ом·м, чтобы множитель перед логарифмом был равен 1.

Как видно на рис. 3.2, градиент потенциала вблизи линейного источника больше, чем на удалении от него. Установкой для измерения блуждающих токов в точке 1 будет зарегистрирована разность потенциалов минус 1,56 В в линии, ориентированной перпендикулярно к простиранию среды. Рассчитанный азимут течения тока (см. алгоритм расчета в разд. 3.2.2) составит 90°, как это и есть в модельном примере.

Установка, ориентированная не параллельно (повёрнута на 22° по часовой стрелке от азимута проложения трубы), покажет отрицательную разность потенциалов как в приемной линии $M1N1$(минус 0,94 В), так и $M2N2$ (минус 1,94 В). Суммарный вектор снижения потенциала от источника тока в среду при формальных методах расчёта указал бы направление тока по азимуту 59,6° и величину вектора 1,8 В, фактически завышенную на 15 % – за счет привлечения к расчётам составляющей напряжения в линии $M1N1$, расположенной в области высоких градиентов потенциала от линейного источника.

Отсюда следует вывод о важности строгого учёта расстояния приёмных электродов от исследуемого существующего электропроводного объекта в линии, располагающейся «параллельно» ему. В полевых условиях определить природу возможной разности потенциалов в этой линии возможно таким образом. Во-первых, если она обусловлена стеканием (натеканием) тока на объект, то в приемной линии, ориентированной перпендикулярно к линейному объекту, будет отмечаться разность потенциалов, превышающая таковую в параллельной линии. Во-вторых, перемещение приемного электрода M параллельной линии в точку заземления, располагающуюся несколько ближе или дальше от трубы, обнаружит существенное изменение разности потенциалов, если объект сам является источником или приёмником токов. Впрочем, такие приемы работы не предусмотрены стандартной, по ГОСТ 9.602-2005, методикой определения наличия блуждающих токов и должны регламентироваться по времени и стоимости как специальные исследовательские.

3.1.2. Влияние УЭС грунтов на разность потенциалов

Рассмотрим ещё один аспект определения наличия и направления блуждающих токов вблизи существующих линейных электропроводных объектов. Среда, в которой располагаются проводники, может быть неоднородной по величине УЭС. Потенциал от источника тока в среде прямо пропорционально зависит от величины УЭС. Теория электроразведки позволяет рассчитывать потенциал от точечных и линейных источников в среде, включающей контакты пород с различными УЭС, слои, пачки анизотропных по электропроводности пород, в среде с локальными электропроводными или высокомными объектами [4, 11]. Неоднородное геоэлектрическое строение среды в общем случае усложняет картину изменения потенциала в сравнении с таковой для однородной по электропроводности среде.

На одном простом примере покажем, что при определении наличия и направления блуждающих токов потенциальными установками метода естественного поля фактор влияния УЭС на потенциал от блуждающих токов следует принимать во внимание, по возможности учитывать, чтобы избежать существенных ошибок при решении конкретных исследовательских задач.

Особенно это важно при работах вблизи электропроводных объектов, выступающих источниками или приёмниками токов.

Пусть электропроводный объект (стальная труба) пересекает вертикальный контакт горных пород, УЭС которых различаются в два раза (рис. 3.3). Теорией и практикой электроразведки с линейными электродами установлено, что с эквипотенциального проводника в среду с чередованием пластов различного УЭС стекает одинаковый по интенсивности ток [12]. Одинаковая плотность стекающих токов с эквипотенциального проводника в среду с различными УЭС отдельных блоков обусловлена влиянием на плотность тока самого верхнего, вмещающего проводник, обычно относительно электропроводного (УЭС порядка 20-80 Ом·м), слоя рыхлых пород. Полевые работы по усовершенствованному методу изолиний включали установку дополнительных электродов в среде с низким УЭС, чтобы дополнительный ток вызвал возрастание в этой среде разности потенциалов вровень с таковой в слоях с высоким УЭС (это требовалось для получения прямолинейных изолиний на планшетах при поисках локальных рудных проводников) [13].

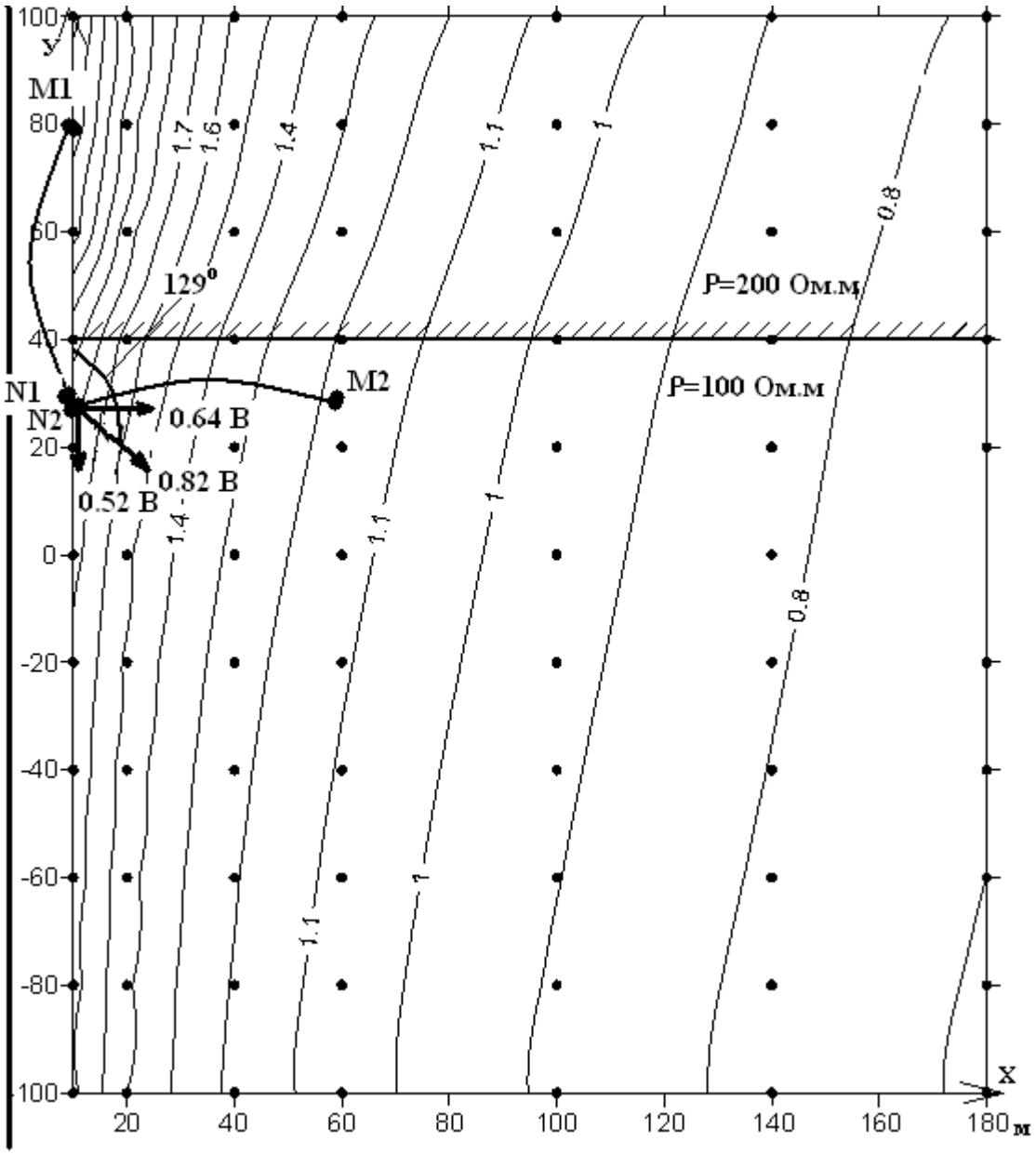


Рис. 3.3. Оценка разности потенциалов (в В) от линейного заряженного проводника в зоне контакта пород различного удельного электрического сопротивления. Длина проводника 1000 м, ток 10 А, угловая установка размером 50 м. Точками указаны места расчёта значений потенциала. Остальные пояснения – в тексте

Различие УЭС блоков вызовет приток электрического тока из среды с высоким УЭС в среду с низким. Это отразится на перекосе изолиний потенциала в районе контакта. (Расчёты потенциалов от линейного заряженного проводника выполнены по формулам, выведенным доцентом УГГУ В. А. Серковым). Угловая установка для определения интенсивности и направления тока, стекающего с проводника, расположенная одной из приемных линий параллельно

ему, зафиксирует разность потенциалов в каждой из измерительных линий. В практике изыскательских работ исследователь не наблюдает всю картину изолиний потенциала вблизи заряженного проводника. Формально по значениям измеренных разностей потенциалов в приведенном примере будет определено течение блуждающего тока в юго-восточном направлении, по азимуту 139^{o} (см. рис. 3.3). В действительности силовые линии тока ортогональны направлению изолиний потенциала – т. е., азимут течения тока в точке измерений около 100^{o}.

Наличие контактов горных пород с различным удельным электрическим сопротивлением приводит к искривлению изолиний потенциала, возникающего в горных породах при прохождении через них блуждающих токов.

На рис. 3.4 приведены значения разностей потенциалов, которые могли бы быть измеренными установками приёмных электродов вблизи заряженного проводника. Такие локальные приемные установки рекомендуются методическими инструкциями [8, 10] для определения наличия и направления электрических токов вдоль подземных сооружений, для определения мест стекания и натекания токов на проводник – анодных и катодных зон.

Если не принимать во внимание истинную причину повышения значений потенциала (повышенное вдвое УЭС грунтов) на отрезке профиля наблюдений в интервале 40-100 м, то по данным измерений с ортогональной проводнику установкой в этой части будет ошибочно выделена область интенсивного стекания тока с проводника – «анодная зона». Но известно, что в обсуждаемом нами примере ток со всего проводника стекает одинаковый, т.е., весь проводник в равной мере находится в анодной зоне.

Точно так же формальное истолкование результатов измерения градиента потенциала вдоль заряженного проводника, пересекающего контакт грунтов с различными УЭС, приведёт к ошибочному выделению в районе отметки 60 м точки (см. рис. 3.4), от которой ток растекается в обе стороны вдоль проводника, в основном, в сторону максимального снижения потенциала, в «южном» направлении. Между тем, неизолированный от контакта с внешней средой проводник является почти эквипотенциальной средой, ток течёт только по нему, стекает с него в среду, но не течёт через высокоомную среду вдоль этого проводника, в 10 м от него.

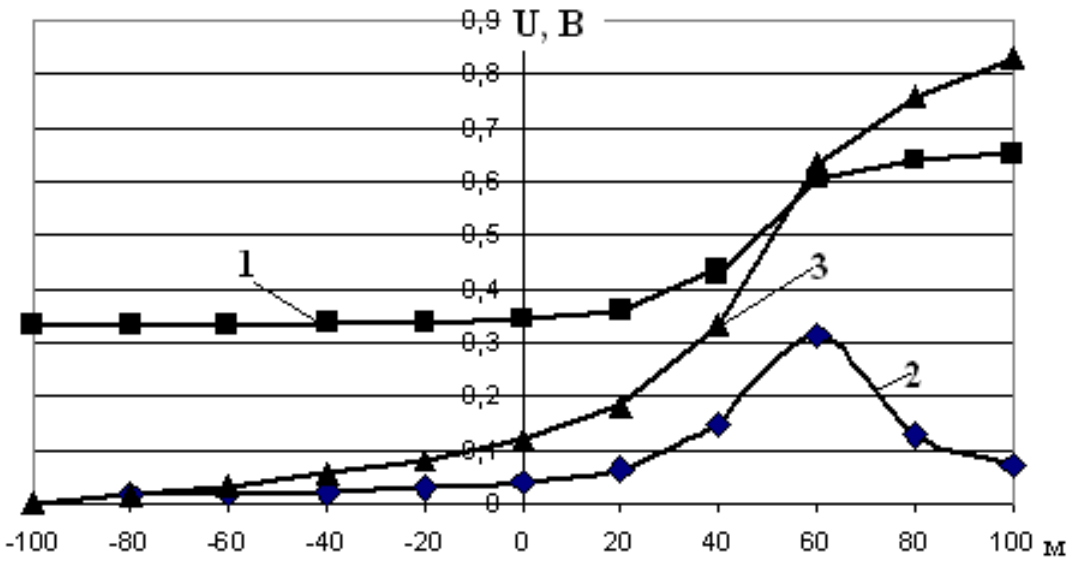


Рис. 3.4. Значения разностей потенциалов вблизи линейного заряженного проводника (см. рис. 3.3):
1 – разность потенциалов, измеренная перпендикулярной к проводнику установкой *MN*=20 м на удалении 10-30 м; 2 – градиент потенциала, измеренный параллельной установкой *MN*=20 м в 10 м от проводника; 3 – кривая суммы градиентов потенциала графика 2

Формальное истолкование особенности кривой потенциала вдоль проводника (см. рис. 3.4), на удалении 10 м от него, не учитывающее различие УЭС грунтов и вызванное этим увеличение потенциала в интервале 40-100 м, привело бы к выделению здесь «анодной» зоны.

Таким образом, наличие грунтов с различными УЭС определяет различие градиентов потенциала от блуждающих токов в них, особенно вблизи электропроводных объектов, которые сами могут являться проводниками, источниками, приемниками токов большой интенсивности. Потому при работах по определению наличия блуждающих токов на площадках и трассах знание УЭС грунтов необходимо для правильного истолкования измеренных значений разностей потенциалов.

В рассмотренном нами примере, иллюстрированном рис. 3.3 и 3.4, УЭС грунтов различаются в 2 раза. При проведении изыскательских работ в горно-складчатых областях соотношения УЭС различных блоков пород может достигать больших величин. Например, УЭС зоны тектонического разлома, заполненного в верхней части линейной глинистой корой выветривания, будет по-

рядка 20-80 Ом·м, УЭС коренных пород различного генезиса, вмещающих эту разломную зону, составит первые сотни-тысячи Ом·м [4]. То есть, градиенты потенциалов в блоках пород с различным электрическим сопротивлением могут отличаться существенно при прохождении через них токов одинаковой интенсивности, источниками которых являются близко расположенные от точек измерений линейные проводники.

В случаях измерения в неоднородной по УЭС среде блуждающих токов от источников любой формы и природы, удалённых от точек измерения, следует сознавать, что ток будет распространяться по путям наименьшего сопротивления, т. е., по зонам разломов, пластов, блоков пород с наименьшими значениями УЭС (в случае присутствия в природной среде неизолированных искусственных электропроводных линейных объектов блуждающие токи будут протекать по ним). Тогда повышенная плотность токов в блоках пород с пониженными УЭС обусловит относительное увеличение разности потенциалов, измеряемой на паре приемных электродов. Чтобы оценить плотность тока в районе точки измерений (а именно ток и определяет опасность и интенсивность электрохимической коррозии подземных сооружений), требуется знать удельное электрическое сопротивление грунтов. Методику расчётов плотности тока изложим в разделе 3.2 (пункт 3). Там же покажем необходимость учёта значений УЭС в точке измерений при вычислении плотности блуждающего тока.

3.2. Обработка результатов измерения разности потенциалов

ГОСТ 9.602-2005 в пункте Д3 рекомендуемого прилож. Д указывает, что если в процессе измерений в линии длиной 100 м зафиксирована разность потенциалов более 0,5 В, то в этой точке следует отметить наличие блуждающих токов. В протоколе измерений на точке отмечается этот факт – и предполагается, что при проектировании защиты сооружения от коррозии это будет учтено наряду с другими факторами (агрессивность вод, коррозионная активность грунтов и др.) для расчетов степени защиты.

Мы полагаем, что при различных видах исследовательских задач, наряду с установлением факта наличия блуждающих токов, важно знать их природу, характер поведения, направление, плотность. Все эти элементы могут быть выявлены при обработке ре-

зультатов наблюдений. Приведём алгоритм обработки результатов по пунктам для удобства восприятия и использования методики.

1. Для оценки интенсивности измеренных разностей потенциалов и характера их поведения за время регистрации следует построить графики разностей потенциалов, измеренных в ортогональных линиях наблюдений (рис. 3.5, 3.6). Анализируя значения разностей потенциалов, приведённые на рис. 3.5, можно сделать заключение об относительно устойчивом характере блуждающих токов в этой точке во время проведения измерений. Среднее значение разности потенциалов в линии «юг-север» составляет плюс 38 мВ/50 м, в линии «запад-восток» – минус 39 мВ/50 м. В линии «юг-север» отмечались кратковременные – на 10-30 с – отклонения разности потенциалов от среднего значения на ±5-12 мВ. В те же моменты времени в линии «запад-восток» разность потенциалов не изменялась. Это указывает на наличие искусственного источника блуждающих токов, расположенного к югу или северу от линий наблюдений.

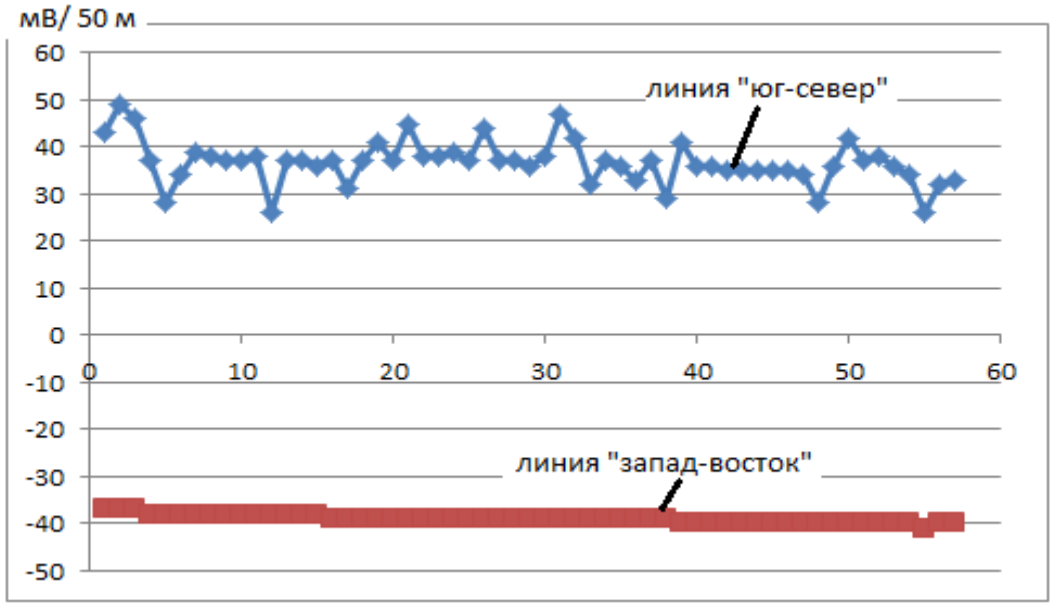


Рис. 3.5. Относительно устойчивые значения разности потенциалов блуждающих токов, измеренные угловой установкой приемных линий длиной 50 м через 10 с в г. Кировграде на перекрёстке ул. Ленина-Кировградская

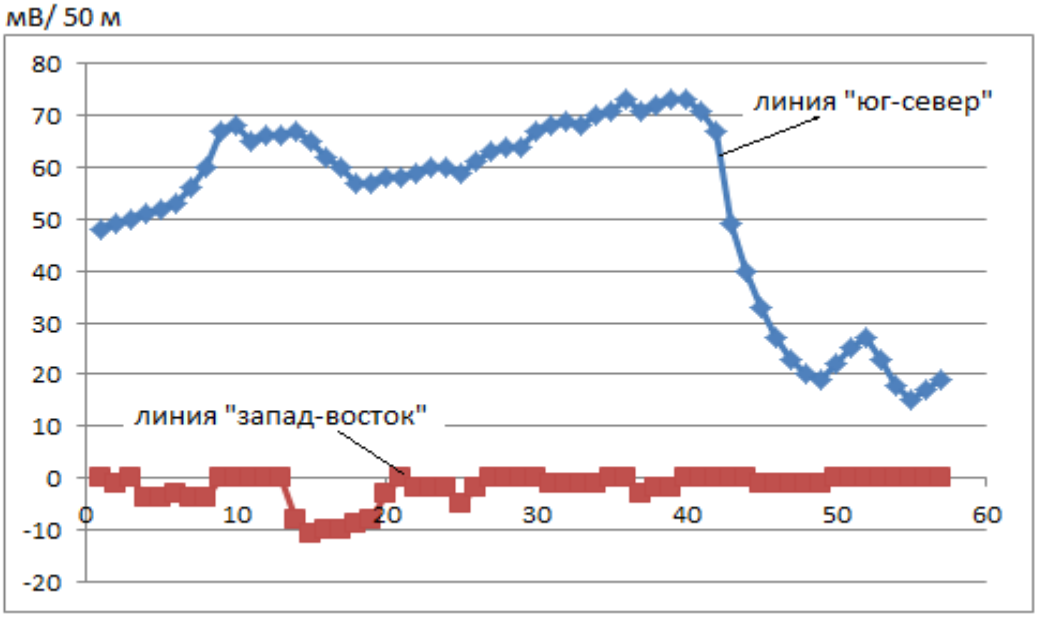


Рис. 3.6. Пример неустойчивых во времени значений разности потенциалов блуждающих токов в г. Кировграде на перекрёстке ул. Ленина-Кирова

Картина поведения измеренных разностей потенциалов, приведённая на рис. 3.6, показывает течение тока за время наблюдения в субмеридиональном направлении, с севера на юг, и изменение его интенсивности втрое в последней четверти интервала наблюдений. Здесь исследователю более интересно максимальное значение тока, характер его спада, новое установившееся значение поведение тока, чем характеристика его среднего значения за период наблюдений. Последнее значение может быть равным и нулю, если ток за время наблюдений сменил направление на противоположное. Такое наблюдается, например, вблизи железных дорог при остановке и отправлении электропоезда со станции: при остановке состав отдаёт ток своих динамомашин в контактную сеть, при наборе скорости – забирает ток.

Максимальное значение тока, его полярность при стекании или натекании на подземные металлические сооружения имеют важное значение при определении опасности коррозии – потому эти сведения и следует отразить в камеральных отчётных материалах по обработке материалов измерений разностей потенциалов.

2. Определение направления тока в районе точек наблюдений. Если за время измерений разности потенциалов в обеих ортогональных линиях были стабильными, то следует, что ток не изменял направления и интенсивности. Проиллюстрируем определение

направления тока графическими построениями векторов разностей потенциалов (рис. 3.7). Рассчитаем среднее значение разности потенциалов. В примере, изображенном на рис. 3.6, в линии «юг-север» она равна 38 мВ/50 м, в пересчёте на базу наблюдения 100 м среднее значение разности потенциалов *U* составит 76 мВ. При измерениях электрод *M* располагался к северу от точки измерений, он и показал повышенное (положительное) значение потенциала именно там. Следуя правилу изображения движения тока от области с повышенным (положительным) потенциалом к области с пониженным, отложим из точки измерений вектор потенциала в направлении с севера на юг.

Потенциал *U* в линии «запад-восток» при пересчёте на базу измерений 100 м составляет минус 78 мВ. Электрод *N* располагался на западе, *M* – на востоке. В зоне электрода *M* потенциал ниже, значит, вектор снижения потенциала направим из точки наблюдений на восток.

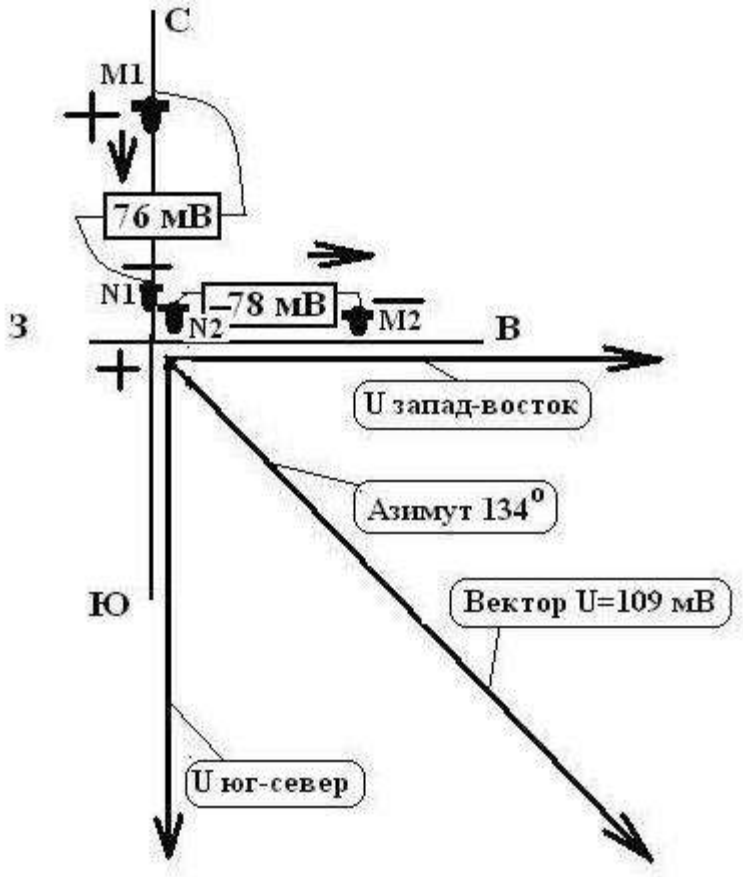


Рис. 3.7. Пример построения вектора разности потенциалов от блуждающего тока в грунте по измерениям с угловой установкой

Суммарный вектор разности потенциала можно построить графически, рассчитать по теореме Пифагора, он составит 109 мВ. Азимут его **А**, отсчитанный вправо от направления на север, можно рассчитать по формуле:

$$\acute{R} = \text{arctg}\frac{U\,\text{çŕď\v{r}ä} - \text{âîńńîę}}{U\,\text{ţă} - \acute{n}\acute{l}\hat{a}\acute{l}đ}. \qquad (3.2)$$

В этом примере он составит 134°. При использовании формулы (3.2) следует учитывать знаки разностей потенциалов, определяющие номер квадранта, в котором будет расположен суммарный вектор.

В случае, когда за период наблюдений разность потенциалов в каждой из ортогональных линий изменяет величину и даже знак, можно определить интенсивность и направление вектора суммарного потенциала в любой момент времени. Это и будет служить характеристикой поведения блуждающего тока в данной точке в данное время, по которым можно судить об источнике тока, его интенсивности, опасности для защищаемых от коррозии сооружений.

Если ориентировка измерительной установки была привязана к проложению трассы исследований, т. е., одна приемная линия была направлена параллельно трассе, а другая – вкрест, то азимут течения тока можно также привязать к простиранию трассы или привести к полярной географической системе, внеся поправку за ориентировку трассы в каждой точке измерений.

3. Определение плотности блуждающих токов j (в мА/м^2) можно сделать, зная измеренную разность потенциалов U (мВ) в приемной линии MN длиной L (м), удельное электрическое сопротивление ρ (Ом·м = мВ·м/мА) грунта, в котором распространяется ток, по формуле

$$j = \frac{U}{L \cdot \rho}. \qquad (3.3)$$

Удельное электрическое сопротивление грунта определяют электроразведочными методами (см. разд. 2), лабораторными [1], принимают типичные значения, определённые ранее для данного грунта в данном регионе.

Для примера, иллюстрированного рис. 3.5, параметры которого приведены в пункте 2 настоящего раздела, при условии, что УЭС грунта в точке измерений 70 Ом·м, плотность тока составляет 0,016 мА/м^2. Разность потенциалов при расчёте принята 109 мВ, т. е., её полный вектор. Размер установки L=100 м.

Важность учёта УЭС среды, в которой проводится измерение разности потенциалов блуждающих токов и расчёт плотности тока, покажем, используя значения разности потенциалов от тока, стекающего с линейного проводника в среду, включающую контакт грунтов с УЭС 100 и 200 Ом·м (см. рис. 3.3). Если при расчёте плотности тока по формуле (3.3) использовать некое усреднённое, неточное, перенесённое с других точек замеров значение УЭС в точку, где проведена регистрация разности потенциалов блуждающих токов, то это приведёт к ошибкам в определении интенсивности блуждающего тока. На рис. 3.8 показано, что в блоке более высокоомных грунтов плотность тока будет завышена, если в расчётной формуле использовать значения УЭС грунтов, измеренные в соседнем блоке.

Ещё можно отметить завышение значений плотности тока в точках, расположенных в низкоомной среде, но располагающихся вблизи контакта и на контакте с высокоомной средой – за счёт характерной особенности поля потенциала в блоково-неоднородной по электропроводности среде. Потому выбор точек измерения блуждающих токов целесообразно делать после проведения измерений УЭС грунтов, с учётом знания о наличии блоков различного сопротивления, в пределах блоков, не на их границах.

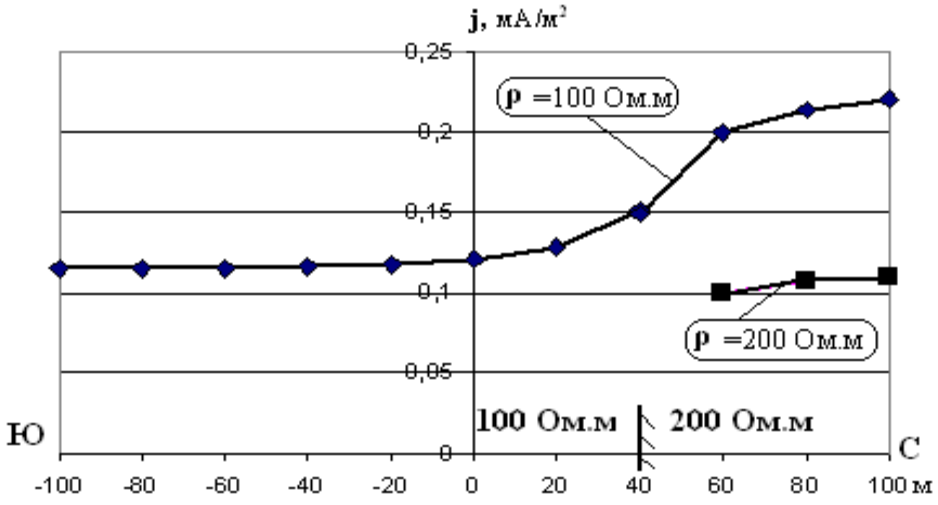


Рис. 3.8. Значения плотности тока *j*, рассчитанные по формуле (3.3), для условий примера стекания тока с линейного проводника в среде с блоками пород, УЭС которых 100 и 200 Ом·м (см. рис. 3.3), по «измерениям» разности потенциалов установкой приемных электродов разносом 50 м, расположенных перпендикулярно к проводнику

При расчёте плотности блуждающих токов в среде, имеющей горизонтально-слоистое строение, с различными УЭС слоёв, следует полагать, что ток наибольшей плотности течёт в слое с наименьшим УЭС. Теорией и практикой рудной электроразведки установлено [4, 11], что в многослойной среде линии потенциала от источника тока на границе слоёв с различными УЭС не испытывают разрыва, а напряжённость поля – испытывает, и плотность тока в этих слоях различная. При расчётах плотности токов в точках, где определяют потенциальную коррозионную активность грунтов, следует использовать УЭС самого низкоомного слоя. Возможно, подземное металлическое сооружение будет залегать не в самом этом слое, а в более высокоомном. Тем не менее, блуждающий ток, распространяющийся на огромной площади по электропроводному слою и преодолевающий природное сопротивление со стороны горной породы своему растеканию, в случае наличия неизолированного металлического проводника, располагающегося в соседнем слое, может преодолеть на небольшом расстоянии сопротивление более высокоомного слоя и перетечь в проводник. К тому же, если проводник протяжённый, потенциал его может существенно отличаться от потенциала среды в районе протекания блуждающего тока. Он может быть нулевым, иметь пониженный потенциал, как в той части пространства, куда течёт ток. В этом случае линейный проводник, имеющий электропроводность, во много раз превышающую электропроводность грунтов, шунтирует блуждающий ток, проведёт его через своё сечение. В любом случае, если потенциал проводника отличен от потенциала среды в данной точке, вблизи проводника создастся высокая напряжённость электрического поля, которая будет влиять на носителей электрического тока и «притягивать» их к проводнику.

Результаты обработки разностей потенциалов блуждающих токов ортогональной установкой можно представить в табличной форме, включающей следующие виды колонок:

Номер точки	Разность потенциалов в линии «юг-север», мВ/100 м	Разность потенциалов в линии «запад-восток», мВ/100 м	Вектор разности потенциалов, мВ/100 м	Азимут тока А, градусы	Плотность тока, мА/м^2	УЭС грунта, Ом·м
6	76	-78	109	134	0,015	70

4. ОПРЕДЕЛЕНИЕ АНОДНЫХ И КАТОДНЫХ ЗОН БЛУЖДАЮЩИХ ТОКОВ

Определение в грунтах и на сооружениях зон стекания тока (анодная) и натекания (катодная) требует знания о наличии, направлении токов, объектах, способных проводить ток. Поясним эту терминологию и ситуацию рисунком (рис. 4.1).

Станция катодной защиты подаёт отрицательное напряжение минус 0,8 В на металлический трубопровод с целью его защиты от коррозии. Пластина анодного заземления помещена в нескольких сотнях метров от трубы в тектоническую электропроводную зону. Ток с анода под действием разности потенциалов по грунту будет двигаться к катоду. Последний – заземление линейного типа, потому силовые линии тока будут направлены к нему широким фронтом, составляющим сотни метров. Но и анодное заземление, помещенное в зону с наименьшим электрическим сопротивлением, в данном случае в тектоническую зону, будет фактически не точечным, а, по виду растекания тока, –линейным. Еще более электропроводный стальной водовод, пересекающийся с тектоническим нарушением, примет на себя часть тока анодного заземления. В примере, приведённом на рис. 4.1, водовод располагается в противоположной от катодного заземления стороне, и основные линии напряженности поля дипольной установки располагаются между катодным и анодным заземлениями. Тем не менее, водовод будет заряжен от анодного заземления и сам станет частью анодного заземления, то есть, потенциал его удалённых от анодного заземления частей относительно грунта будет положительным и он будет подвержен опасности электрохимической коррозии.

Картина распределения тока в грунтах может быть установлена в результате системных наблюдений за разностями потенциалов при помощи измерительных установок. Так можно установить положение анодных и катодных зон подземных сооружений и предусмотреть меры защиты от коррозии.

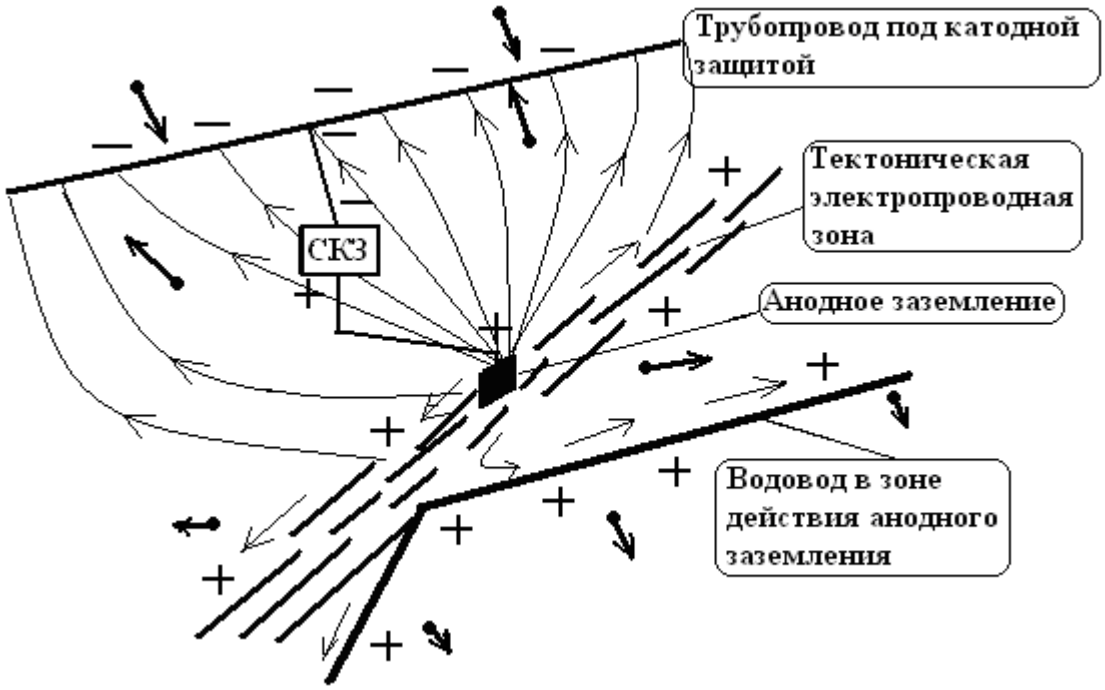


Рис. 4.1. Катодные и анодные зоны на искусственных металлических сооружениях вблизи станции катодной защиты (СКЗ). Тонкие стрелки показывают направление растекания тока от силовой установки СКЗ. В точках показано направление и интенсивность вектора разности потенциалов от токов в грунте

На рис. 4.2 приведён ещё один случай возникновения на линейном проводнике зон натекания и стекания тока, возникших в результате шунтирования этим проводником блуждающего тока, распространяющегося в грунте. Источником блуждающего тока в рассматриваемом примере могут быть токи теллурической природы, фильтрационной, искусственной (стекание с линейного проводника). При плотности 0,01 мА/м^2 ток создаст в грунте с УЭС 100 Ом·м градиент потенциала, линии которого могут быть установлены работами методом естественного поля [3, 9]. Линейный стальной неизолированный проводник (труба водовода от водозаборной скважины) в поле тока выступит эквипотенциальным проводником, около которого изолинии потенциала буду искривлены: в районе скважины пониженный потенциал протяженного проводника, дальний конец которого находится в области «отрицательного» поля, «оттолкнёт» положительные значения потенциала. Здесь потенциал проводника будет на 0,33 В ниже потенциала грунта. Значит, здесь на трубе создастся смещение потенциала в катодную зону, что замедлит скорость коррозии металла.

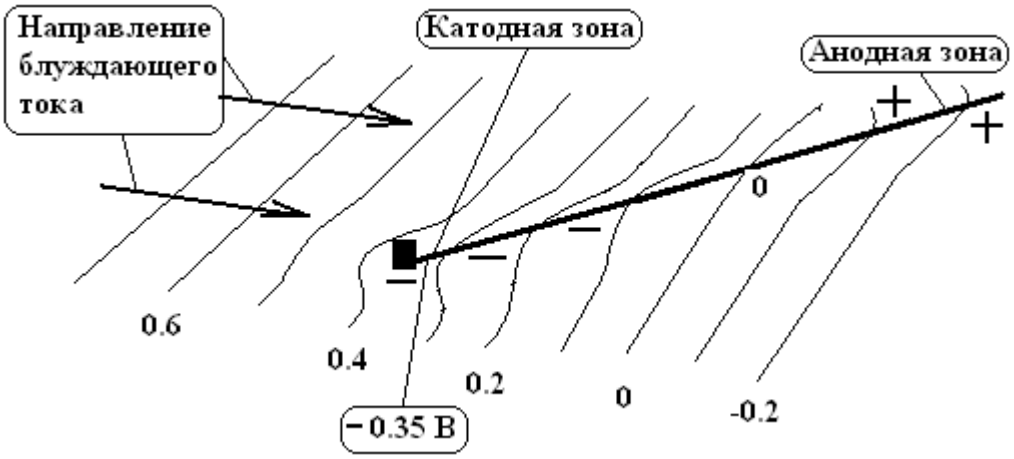


Рис. 4.2. Искажение стальным неизолированным водоводом изолиний потенциала (в В) в грунте с УЭС 100 Ом·м от блуждающего тока плотностью 0,01 мА/м^2

Наоборот, на отрезке трубы, удалённом от скважины, в результате стекания тока с металлического проводника создастся смещение потенциала в положительную сторону, это анодная зона, подверженная электрохимической коррозии. Будь такой проводник расположенным в зоне влияния, например, электрофицированной железной дороги, где токи утечек в момент прохождения составов могут составлять десятки ампер, отдельные его части будут подвергаться интенсивной электрохимической коррозии.

Проведение электроразведочных работ по определению наличия и интенсивности блуждающих токов на участках изысканий позволит установить их источники, характер, выработать меры защиты сооружений от коррозии.

ЗАКЛЮЧЕНИЕ

Защита подземных металлических сооружений от коррозии – важная технологическая и экономическая задача. В силу наличия многообразных процессов и факторов, влияющих на скорость коррозии, эта задача является и чрезвычайно сложной. Так же как невозможно отменить решение этой задачи, так же невозможно и упростить подход к её решению, особенно на стадии прогнозирования опасности и активности коррозионных процессов. Электроразведочные методы определения характера геоэлектрического разреза, коррозионной активности грунтов, наличия блуждающих токов, их источников, характера, направления, интенсивности должны выступать обязательным и основополагающим этапом исследования и решения задачи защиты сооружений от коррозии.

СПИСОК ЛИТЕРАТУРЫ

1. *ГОСТ 9. 602-2005*. Единая система защиты от коррозии и старения. Подземные сооружения. Общие требования к защите от коррозии
2. *СП 11-105-97. Инженерно-геологические изыскания для строительства*. Часть I. Общие правила производства работ
3. *СП 11-105-97. Правила производства работ в районах распространения многолетнемёрзлых грунтов.* Часть IV
4. *Якубовский Ю. В., Ренард И. В*. Электроразведка: учебн. для вузов. 3-е изд., перераб. и доп. М.: Недра, 1991. 359 с.
5. *Саковцев Г. П.* Сравнение чувствительности разных методов электропрофилирования к поверхностным и глубинным неоднородностям. // Вопросы разведочной геофизики. Вып. XXXIV. Госгеолтехихдат. М., 1959. с. 36-50.
6. *Кузин А. В.* Трёхэлектродные ВЭЗ вблизи электропроводной линейной помехи. // Известия УГГГА, вып. 18. Серия Геология и геофизика. Екатеринбург, 2003. С. 200-206.
7. *Сапожников В. М., Голиков Ю. В., Петряев В. Е.* О целесообразности вертикального электрического зондирования двухэлектродной установкой в рудных районах. // Геофизические методы поисков и разведки рудных и нерудных месторождений. Свердловск, 1980. С. 36-43.
8. *Руководство по эксплуатации систем противокоррозионной защиты трубопроводов.* М., ВНИИГАЗ, 2003. – 163 с.
9. *Инструкция по электроразведке*. Л., Недра, 1984. 352 с.
10. *Озёрская М. Л.* Исследование коррозии подземных металлических сооружений методами электроразведки. Гостоптехиздат. М., Л., 1950. 80 с.
11. *Редозубов А. А.* Электроразведка. Часть 1. Электроразведка постоянным током. Поляризационные методы электроразведки: учебное пособие. Екатеринбург: УГГГА, 2004. 327 с.
12. *Козырин А. К., Косых Е. С., Блинкова Н. В.* Поле линейного электрода в слоистых средах. – Методика поисков и разведки глубокозалегающих рудных месторождений. Труды Свердловского горного ин-та, вып. 128. Свердловск, Изд-во СГИ, 1975. С. 76-88.
13. *Серков В. А.* Выбор оптимальной установки в усовершенствованном методе изолиний. // Методика поисков и разведки глубокозалегающих рудных месторождений. Труды Свердл. горного ин-та, вып. 128. Свердловск, Изд-во СГИ, 1975. С. 27-35.

ОГЛАВЛЕНИЕ

ВВЕДЕНИЕ ……3
1. ЗАДАЧИ ИЗУЧЕНИЯ КОРРОЗИОННОЙ АКТИВНОСТИ ГРУНТОВ И БЛУЖДАЮЩИХ ТОКОВ ……4
2. ЭЛЕКТРОРАЗВЕДОЧНЫЕ МЕТОДЫ ОПРЕДЕЛЕНИЯ КОРРОЗИОННОЙ АКТИВНОСТИ ГРУНТОВ……..……8
2.1. Методика работ……8
2.2. Аппаратура и оборудование для измерения УЭС грунтов…….12
3. ЭЛЕКТРОРАЗВЕДОЧНЫЕ МЕТОДЫ ОБНАРУЖЕНИЯ БЛУЖДАЮЩИХ ТОКОВ…..……..14
3.1. Методика измерения разности потенциалов блуждающих токов…….14
3.1.1. Измерительные установки, способы регистрации……...14
3.1.2. Ориентировка измерительной установки……15
3.1.3. Влияние УЭС грунтов на разность потенциалов……19
3.2. Обработка результатов измерения разности потенциалов…….23
4. ОПРЕДЕЛЕНИЕ АНОДНЫХ И КАТОДНЫХ ЗОН БЛУЖДАЮЩИХ ТОКОВ……..……30
ЗАКЛЮЧЕНИЕ…….……....33
СПИСОК ЛИТЕРАТУРЫ……...…….34

МИНОБРНАУКИ РФ

ФГБОУ ВО «Уральский государственный горный университет»

УТВЕРЖДАЮ
Заведующий кафедрой геологии,
поисков и разведки месторождений
полезных ископаемых
_____В. А. Душин

МЕТОДИЧЕСКИЕ УКАЗАНИЯ
ПО ОРГАНИЗАЦИИ ПРАКТИЧЕСКИХ ЗАНЯТИЙ И
САМОСТОЯТЕЛЬНОЙ РАБОТЕ
ПО ДИСЦИПЛИНЕ

Б1.В.06 ПРОМЫШЛЕННЫЕ ТИПЫ МЕСТОРОЖДЕНИЙ ПОЛЕЗНЫХ ИСКОПАЕМЫХ

для обучающихся по специальности:

21.05.02 Прикладная геология

Специализация № 1

Геологическая съемка, поиски и разведка месторождений твердых полезных ископаемых

форма обучения: очная, заочная

Автор: Бурмако П.Л., доцент, к.г.-м.н.

Одобрена на заседании кафедры

Геологии, поисков и разведки МПИ
наименование кафедры

Протокол № 1от 26.09.2023
Дата

Екатеринбург

Под промышленными типами понимаются такие естественные геолого-минералогические типы месторождений, при эксплуатации которых в сумме во всем мире извлекается несколько процентов данного вида полезного ископаемого.

Кроме этого, промышленными называются месторождения с балансовыми запасами, которые экономически целесообразно разрабатывать при современном состоянии техники отработки и технологии переработки руд. Промышленный тип месторождения определяется прежде всего геологическими условиями залегания и морфологией рудных тел, минеральным и вещественным составом руд, от которых зависят методы отработки месторождения и технология получения металлов.

По своему содержанию дисциплина «Промышленные типы месторождений полезных ископаемых» – это ветвь науки о геологии месторождений, главной задачей которой является изучение определенных геолого-промышленных типов месторождений в земной коре. Познание закономерностей размещения месторождений, строения слагающих их рудных тел, изучение масштабов объектов, их характерных особенностей, все это необходимо для организации и проведении геологоразведочных работ различного назначения и в совокупности составляет основные цели изучения дисциплины «Промышленные типы месторождений полезных ископаемых».

Целью освоения учебной дисциплины «Промышленные типы месторождений полезных ископаемых» является ознакомление студентов с главными и второстепенными типами месторождений полезных ископаемых по каждому виду минерального сырья. Приобретение студентами навыков на основе описания месторождения, по геологической карте или разрезу, и по предоставленной коллекции образцов отнесение месторождения к определенному геолого-промышленному типу.

Для достижения указанной цели необходимо (задачи курса):

- приобретение студентами знаний по минеральным типам руд, их структурно-текстурным особенностям, требованиям промышленности к рудам различных промышленных типов месторождений, их качеству и величине запасов.

- получение представлений по комплексному использованию руд для разработки рациональной системы их обогащения.

Обоснование затрат времени на самостоятельную работу обучающихся

Суммарный объем часов на СРО *очной формы обучения* составляет 118 часов.

№ п/п	*Виды самостоятельной работы*	*Единица измерения*	*Норма времени, час*	*Расчетная трудоемкость СРО по нормам, час.*	*Принятая трудоемкость СРО, час.*
Самостоятельная работа, обеспечивающая подготовку к аудиторным занятиям					82
1	Повторение материала лекций	1 тема	0,1-4,0	2,0 х 13= 26	26
2	Самостоятельное изучение тем курса	1 тема	1,0-8,0	3,0 х 13 = 39	39
3	Ответы на вопросы для самопроверки (самоконтроля)	1 тема	0,3-0,5	0,4 х 13 = 4,2	4
4	Подготовка к практическим занятиям	1 занятие	0,3-2,0	0,35 х 37= 13	13
Другие виды самостоятельной работы					
5	Подготовка к экзамену	1 экзамен		27+9	27+9
	Итого:				118

Содержание учебной дисциплины

Раздел 1. Общие сведения о дисциплине промышленные типы месторождений полезных ископаемых

Основные понятия, задачи и содержание дисциплины. Группировка промышленных месторождений по запасам. Понятие качества руд. Требования

промышленности к качеству полезного ископаемого (кондиции). Разделение руд по качеству. Промышленная классификация.

Раздел 2. Промышленные типы месторождений черных металлов

Главные и второстепенные промышленные типы месторождений железа. Кондиции, предъявляемые промышленностью к различным типам руд. Главные промышленные минералы железных руд. Ценные и вредные примеси. Масштабы месторождений. Примеры месторождений главных и второстепенных промышленных типов.

Промышленные типы месторождений марганца. Области применения марганцевых руд. Кондиции, предъявляемые промышленностью к различным типам марганцевых руд. Главные промышленные минералы руд марганца. Ценные и вредные примеси. Масштабы месторождений. Примеры месторождений.

Промышленные типы месторождений хрома. Области применения хромитовых руд. Кондиции, предъявляемые промышленностью к различным типам хромитовых руд. Главные промышленные минералы руд хрома. Ценные и вредные примеси. Масштабы месторождений. Примеры месторождений для каждого из промышленных типов.

Раздел 3. Промышленные типы месторождений легирующих металлов

Промышленные типы месторождений титана и ванадия; области применения этих металлов. Кондиции, предъявляемые промышленностью к различным типам руд титана и ванадия. Главные промышленные минералы руд титана и ванадия. Ценные и вредные примеси. Масштабы месторождений. Примеры для каждого из промышленных типов.

Промышленные типы месторождений никеля. Области применения этого металла. Кондиции, предъявляемые промышленностью к различным типам руд никеля. Главные промышленные минералы руд никеля. Ценные и вредные примеси. Масштабы месторождений. Примеры для каждого из промышленных типов.

Промышленные типы месторождений кобальта. Области применения этого металла. Кондиции, предъявляемые промышленностью к различным типам руд кобальта. Главные промышленные минералы руд кобальта. Ценные и вредные примеси. Форма рудных тел. Масштабы месторождений. Примеры для каждого из промышленных типов.

Промышленные типы месторождений вольфрама. Области его использования. Кондиции, предъявляемые промышленностью к рудам вольфрама. Главные промышленные минералы руд. Форма рудных тел. Масштабы месторождений. Примеры месторождений для каждого из промышленных типов.

Промышленные типы месторождений молибдена. Области использования этого металла. Кондиции, предъявляемые промышленностью к рудам молибдена. Главные промышленные минералы руд. Форма рудных тел. Масштабы месторождений. Примеры месторождений для каждого из промышленных типов.

Раздел 4. Промышленные типы месторождений цветных металлов

Главные промышленные типы месторождений алюминия. Области применения этого металла. Кондиции, предъявляемые промышленностью к различным типам руд алюминия. Минералы, ценные примеси. Форма рудных тел. Масштабы месторождений. Примеры для каждого из промышленных типов. Второстепенные промышленные типы и потенциальные источники получения алюминия (не из бокситов).

Главные промышленные типы месторождений меди. Области применения этого металла. Кондиции, предъявляемые промышленностью к различным типам руд меди. Главные промышленные минералы руд меди. Ценные и вредные примеси. Форма рудных тел. Масштабы месторождений. Примеры месторождений для каждого из промышленных типов.

Главные промышленные типы месторождений свинца и цинка. Области применения этих металлов. Кондиции, предъявляемые промышленностью к различным типам руд свинца и цинка. Главные промышленные минералы руд свинца и цинка.

Ценные и вредные примеси. Форма рудных тел. Масштабы месторождений. Примеры месторождений для каждого из промышленных типов.

Главные промышленные типы месторождений сурьмы и ртути. Области применения этих металлов. Кондиции, предъявляемые промышленностью к различным типам руд сурьмы и ртути. Главные промышленные минералы руд сурьмы и ртути. Форма рудных тел. Масштабы месторождений. Примеры месторождений для каждого из промышленных типов.

Раздел 5. Промышленные типы месторождений благородных металлов

Главные промышленные типы месторождений золота. Области использования золота и изделий из него. Кондиции, предъявляемые промышленностью к золоторудным месторождениям. Главные промышленные минералы руд золота. Форма рудных тел. Масштабы месторождений. Примеры месторождений для каждого из промышленных типов.

Главные промышленные типы месторождений платины и платиноидов. Области ее использования. Кондиции, предъявляемые промышленностью к рудам. Главные промышленные минералы руд. Форма рудных тел. Масштабы месторождений. Примеры месторождений для каждого из выделяемых промышленных типов.

Раздел 6. Промышленные типы месторождений редких и радиоактивных металлов

Промышленные типы месторождений лития. Области использования лития и его соединений. Кондиции, предъявляемые промышленностью к рудам лития. Главные промышленные минералы руд лития. Форма рудных тел. Масштабы месторождений. Примеры месторождений для каждого из промышленных типов.

Промышленные типы месторождений бериллия. Области его использования. Кондиции, предъявляемые промышленностью к рудам бериллия.

Главные промышленные минералы руд бериллия. Форма рудных тел. Масштабы месторождений. Примеры месторождений для каждого из промышленных типов. Промышленные типы экзогенных и метаморфогенных месторождений урана. Минералы урановых руд в этих типах месторождений. Примеры месторождений. Коэффициент радиоактивного равновесия.

Промышленные типы гидротермальных месторождений урана. Перечислите их и дайте характеристику их промышленной ценности. Минералы урановых руд в этих типах месторождений. Примеры месторождений. Промышленные типы месторождений ниобия и тантала. Области использования этих металлов. Кондиции, предъявляемые промышленностью к рудам ниобия и тантала.

Главные промышленные минералы руд. Подразделение месторождений по содержанию главных полезных элементов. Связь месторождений тантала и ниобия с различными породными комплексами. Форма рудных тел. Масштабы месторождений. Примеры месторождений для каждого из промышленных типов.

Промышленные типы месторождений циркония. Области использования этого металла. Кондиции, предъявляемые промышленностью к рудам циркония. Главные промышленные минералы руд. Форма рудных тел. Масштабы месторождений. Примеры месторождений для каждого из промышленных типов.

Раздел 7. Промышленные типы месторождений химического и агрохимического сырья

Промышленные типы месторождений минеральных солей. Области применения солей и их соединений. Минеральный состав главных промышленных руд. Масштабы месторождений различных типов. Промышленные типы месторождений фосфатного сырья. Области использования апатитов и фосфоритов. Кондиции для месторождений апатитового и фосфоритового сырья. Главные минеральные разновидности руд фосфоритов и апатитов. Форма рудных тел. Примеры для каждого промышленного типа.

Промышленные типы месторождений серы. Области использования серы и ее соединений. Кондиции, предъявляемые промышленностью к серным рудам. Форма рудных тел месторождений различных генетических типов. Примеры месторождений для каждого из геолого-промышленных типов. Промышленные типы месторождений бора. Области использования руд бора. Кондиции, предъявляемые промышленностью к борным рудам. Форма рудных тел. Примеры месторождений для каждого из геолого-промышленных типов.

Раздел 8. Промышленные типы месторождений индустриального сырья

Промышленные типы месторождений слюд. Области использования слюды. Минеральный состав главных промышленных руд. Кондиции, предъявляемые промышленностью к слюдяным рудам. Масштабы месторождений слюд. Примеры месторождений для каждого из выделяемых промышленных типов. Промышленные типы месторождений талька и пирофиллита. Области их использования. Генетические типы месторождений. Формы и размеры промышленных тел в главных месторождениях. Примеры месторождений для каждого из выделяемых промышленных типов.

Промышленные типы месторождений графита. Области использования графита в промышленности. Кондиции, предъявляемые промышленностью к рудам графита. Форма рудных тел. Примеры месторождений для каждого из промышленных типов.

Промышленные типы месторождений магнезита и брусита. Области использования магнезита и брусита в промышленности. Кондиции, предъявляемые промышленностью к рудам магнезита и брусита. Примеры месторождений. Промышленные типы месторождений хризотил-асбеста. Области применения изделий из хризотил-асбеста. Основные типы руд и содержание в них асбестового волокна. Условия образования месторождений различных промышленных типов и их масштабы. Примеры месторождений ведущих геолого-промышленных типов.

Промышленные типы месторождений амфибол-асбеста. Области применения амфибол-асбеста. Основные минеральные разновидности руд. Условия образования месторождений различных промышленных типов и их масштабы. Примеры месторождений ведущих геолого-промышленных типов.

Промышленные типы месторождений цеолитов. Области использования цеолитового сырья. Условия образования и генетическая природа цеолитовых месторождений. Основные разновидности цеолитов. Промышленные типы месторождений барита и витерита. Области использования этих минералов и их руд. Кондиции, предъявляемые промышленностью к баритовым и витеритовым рудам. Форма рудных тел. Примеры месторождений для каждого из геолого-промышленных типов.

Раздел 9. Промышленные типы месторождений оптического сырья.

Основные промышленные типы месторождений кварца. Условия их образования и вмещающие породы главных промышленных типов месторождений. Примеры наиболее известных месторождений главных геолого-промышленных типов. Промышленные типы месторождений флюорита. Области использования флюоритового сырья. Кондиции, предъявляемые добывающей промышленностью к качеству флюоритовых руд. Форма рудных тел. Масштабы месторождений. Примеры месторождений для каждого из промышленных типов.

Раздел 10. Промышленные типы месторождений алмазов и камнесамоцветного сырья.

Промышленные типы месторождений алмазов с примерами для каждого из них. Области использования алмазов. Основные разновидности алмазов, в том числе по месту их использования. Кондиции для месторождений коренных руд и для россыпей. Разновидности месторождений ювелирных, ювелирно-поделочных и поделочных камней. Главные минералы, относящиеся к каждой из перечисленных групп. Месторождения, представленные ювелирными, ювелирно-поделочными и поделочными камнями. Условия

образования этих месторождений и вмещающих их пород. Примеры месторождений основных геолого-промышленных типов.

Раздел 11. Промышленные типы месторождений цементного сырья.

Промышленные типы месторождений строительных материалов. Применение. Деление на основные типы сырья по крупности материала и по использованию. Промышленные типы месторождений цементного сырья. Процесс производства портланд-цемента.

Раздел 12. Промышленные типы месторождений керамического сырья (каолина, глин, пегматитов, гранитов).

Промышленные типы месторождений керамического сырья. Области использования разнообразных керамических изделий. Кондиции, предъявляемые промышленностью к керамическому сырью. Форма рудных тел. Примеры месторождений для каждого из геолого-промышленных типов.

Раздел 13. Промышленные типы месторождений стекольного сырья

Промышленные типы месторождений стекольного сырья. Области использования стекла. Кондиции, предъявляемые промышленностью к стекольному сырью. Форма рудных тел. Примеры месторождений для каждого из геолого-промышленных типов.

План лабораторных занятий по дисциплине «Промышленные типы месторождений полезных ископаемых»

1. Знакомство с литературой по описанию конкретных месторождений полезных ископаемых;
2. Описание каждого месторождения в табличной форме;
3. Зарисовка плана или разреза месторождения;
4. Изучения коллекции образцов по каждому месторождению;
5. Коллоквиум по каменному материалу.

На лабораторные занятия преподавателем объявляется список месторождений подлежащих изучению студентами. Этот список, как правило, не превышает четырех-пяти объектов за занятие по одному или двум близким видам минерального сырья. Студентам дается время 40-50 минут от занятия, для изучения литературы и описания месторождений.

Описание месторождений производится в отдельной тетради, которая озаглавливается – «Каталог месторождений». На титульном листе каталога должна быть написана фамилия студента, группа, изучаемая дисциплина. Пример оформления титульного листа дается в приложении № 1.

Характеристика месторождения полезных ископаемых производится на развернутом листе тетради в табличной форме. На одном листе следует помещать не более двух месторождений. В таблице описания месторождений левый лист делится пополам и на правой его половине помещается разрез месторождения. Всего на странице помещаются следующие столбцы по порядку:

1. Номер по порядку;
2. Название месторождения;
3. Генетический класс месторождения;
4. Извлекаемые полезные ископаемые;
5. Масштаб месторождения;
6. Разрез месторождения с условными обозначениями.

Правый лист делится на три равных столбца:

1. Формы рудных тел;
2. Минеральный состав руд и вмещающие породы;
3. Структуры и текстуры руд.

Пример заполнения таблицы приводится на рисунке 1.

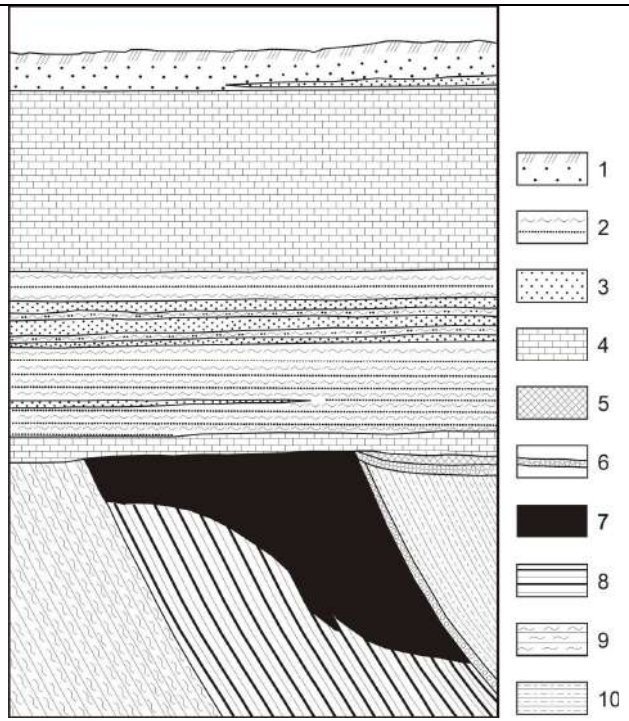
№пп	Название месторождения	Генетический класс	Извлекаемые ПИ	Масштаб месторождения	Разрез (план) месторождения	Форма рудных тел	Минеральный состав руд и вмещающих пород	Структуры и текстуры руд
1	КМА (Яковлевское)	Метаморфизованный	Fe	12 000 млн. т.	 1 – ПРС и суглинки; 2 – пески и глины; 3 – песчаники; 4 – мел, мергели, известняки; 5 – руда переотложенная; 6 – бокситы; 7 – богатая руда; 8 – железистые кварциты; 9 – кварц-слюдистые микросланцы; 10 – кварц-графит-биотитовые микросланцы.	Пластовая, смятая в складки, пластообразная, плащеобразная	Магнетит, гематит, мартит. Железистые кварциты	Структуры: Мелко- и скрытозернистые, Текстуры: массивные, полосчатые, плойчатые, слоистые.

Рис.1. Пример заполнения каталога месторождений

Зарисовка плана или разреза месторождения обязательно делается от руки, что позволяет, с одной стороны, научить студента делать геологические зарисовки с условными обозначениями и другими атрибутами геологической документации. С другой стороны рисунок от руки позволяет лучше запоминать особенности геологического строения каждого из месторождений, что понадобится студентам для правильного ответа на один из вопросов экзаменационного билета.

Вторая часть лабораторного занятия продолжительностью 40-50 минут отводится для изучения каменного материала по отдельным месторождениям полезных ископаемых. Каждая коллекция состоит из 15-20 образцов характеризующих минеральный состав основных полезных ископаемых месторождения, минералы-спутники полезного ископаемого, наиболее характерные их структуры и текстуры, а также вмещающие породы, содержащие полезные минералы.

Список месторождений необходимых для изучения на лабораторных занятиях по курсу «Промышленные типы месторождений полезных ископаемых»:

Железо

Яковлевское месторождение (КМА);
Керченская группа месторождений (Крым);
Соколовское месторождение (Южный Урал);
Качканарское месторождение (Средний Урал);
Кусинское месторождение (Средний Урал);
Западно-Каражальское (Казахстан);
Ковдорское месторождение (Кольский п-ов);

Марганец

Никопольское месторождение (Украина);

Хром

Кемпирсайская группа месторождений;
Центральное месторождение (Полярный Урал, массив Рай-Из);
Сарановское месторождение (Северный Урал);

Титан

Иршинская ильменитовая россыпь (Украина);

Никель

Талнахское месторождение (Сибирь);
Бурыктальское месторождение (Южный Урал);
Ховуаксинское месторождение (Тува);
Черемшанское месторождение (Средний Урал);

Молибден и вольфрам

Коунрадское месторождение (Казахстан);
Каджаранское месторождение (Армения);
Тырныаузское месторождение (Северный Кавказ);
Месторождение Восток-II (Дальний Восток);
Джидинское месторождение (Забайкалье);

Алюминий

Месторождение Красная шапочка СУБР (Северный Урал);
Тихвинское месторождение (Ленинградская обл.);

Медь

Гайское месторождение (Южный Урал);
Сафьяновское месторождение (Средний Урал);
Дегтярское месторождение (Средний Урал);
Джезказганское месторождение (Центральный Казахстан);
Удоканское месторождение (Забайкалье);

Свинец и цинк

Риддер-Сокольное месторождение (Рудный Алтай);
Садонское месторождение (Осетия);
Тетюхенское (Дальнегорское, Верхнее) месторождение (Дальний Восток);
Миргалимсайское месторождение (Южный Казахстан);

Олово

Депутатаское месторождение (Якутия);

Сурьма

Сарылахское месторождение (Якутия);
Кадамджайское месторождение (Рудный Алтай);

Ртуть

Хайдарканское месторождение (Киргизия);
Никитовское месторождение (Украина);

Золото

Месторождение Мурун-Тау (Узбекистан);
Кочкарское месторождение (Южный Урал, Челябинская обл.);
Березовское месторождение (Средний Урал);
Воронцовское месторождение (Средний Урал);
Балейское месторождение (Забайкалье);
Месторождение Сухой Лог (Иркутская область);

Уран

Далматовское месторождение (Курганская область)

Алмазы

Трубка «Мир»
Трубка «Аргайл»

Графит

Курейское (Ногинское)
Завальевское

Слюды

Мамско-Чуйская провинция
Слюдяногорское
Ковдорское

Асбест

Баженовское
Сысертское

Тальк
Шабровское
Киргитейское

Магнезит
Саткинское

Кварц
Кыштымское

Соли
Верхнекамское

Апатиты и фосфориты
Каратау
Егорьевское
Хибиногорское
Просяновское-глины
Дальнегорское-бор
Гаудакское-сера
Вознесенское-флюорит

На заключительном этапе обучения дисциплины «Промышленные типы месторождений полезных ископаемых» на последнем в семестре лабораторном занятии проводится коллоквиум по каменному материалу. Студенту выдается пять образцов разных полезных ископаемых, которые необходимо охарактеризовать по следующему плану:

1. Структура полезного ископаемого;
2. Текстура руды;
3. Минеральный состав руды;
4. Извлекаемое полезное ископаемое;
5. Возможный генетический класс месторождения;

Также по возможности необходимо по выданной преподавателем коллекции образцов полезных ископаемых определить возможный геолого-промышленный тип месторождения полезных ископаемых, возможные типы руд, их минеральный состав, назвать промышленные кондиции и возможные масштабы месторождений.

Критерии оценивания: правильное определение структуры руды – 1 балл, правильное определение текстуры руды – 1 балл, правильное и подробное определение минерального состава руды – 1 балл, выявление полезного ископаемого – 1 балл, геолого-промышленный тип МПИ – 1 балл.

Кроме этого на коллоквиуме студентам выдаются разрезы или планы неизвестных им месторождений и по строению геологического разреза месторождения рудных или нерудных полезных ископаемых необходимо провести обоснование возможного геолого-промышленного типа месторождения – 2 баллов, представление графического материала – 1 балл, выводы по первоочередным промышленным типам минерального сырья – 2 балла.

Критерии оценки:

оценка «отлично» выставляется обучающемуся, если работа соответствует всем критериям, выполнена самостоятельно и без существенных замечаний (9-10 баллов)

оценка «хорошо» выставляется обучающемуся, если работа соответствует всем критериям, выполнена практически самостоятельно, а имеющиеся ошибки и неточности были сразу исправлены после указания на них преподавателем (7-8 баллов)

оценка «удовлетворительно» выставляется обучающемуся, если работа не совсем соответствует критериям, выполнена с большими ошибками и неточностями, а при исправлении имеющихся ошибок и неточностей, указанных преподавателем возникли трудности (5-6 баллов)

оценка «неудовлетворительно» выставляется обучающемуся, если работа не соответствует критериям, выполнена с существенными ошибками и неточностями, а ошибки и неточности, указанные преподавателем не были исправлены (0-4 балла)

Для изучения дисциплины самостоятельно рекомендуется пользоваться широким перечнем литературных и методических источников, имеющихся в библиотеке университета и выставленных на сайтах. Перечень последних приведен ниже.

Ниже приводятся контрольные вопросы по курсу «Промышленные типы месторождений полезных ископаемых», в экзаменационном билете содержится один теоретический вопрос по металлическим полезным ископаемым и одно практико-ориентированное задание в одном семестре (Часть 1), во втором семестре теоретический вопрос и практико-ориентированное задание посвящено неметаллическим полезным ископаемым

КОНТРОЛЬНЫЕ ВОПРОСЫ ДЛЯ ПРОВЕРКИ ЗНАНИЙ ПРИ ПОДГОТОВКЕ К ЭКЗАМЕНУ ПО ДИСЦИПЛИНЕ «ПРОМЫШЛЕННЫЕ ТИПЫ МПИ» Часть 1

1. Главные и второстепенные промышленные типы месторождений железа. Кондиции, минералы, ценные и вредные примеси. Масштабы месторождений. Примеры.
2. Промышленные типы месторождений марганца. Области применения таких руд. Кондиции, минералы, ценные примеси. Масштабы месторождений. Примеры.
3. Промышленные типы месторождений хрома. Области применения таких руд. Кондиции, минералы, ценные примеси. Масштабы месторождений. Примеры для каждого из промышленных типов.
4. Промышленные типы месторождений титана и ванадия. Области применения этих металлов. Кондиции, минералы, ценные примеси. Масштабы месторождений. Примеры для каждого из промышленных типов.
5. Промышленные типы месторождений никеля. Области применения этого металла. Кондиции, минералы, ценные примеси. Масштабы месторождений. Примеры для каждого из промышленных типов.
6. Промышленные типы месторождений кобальта. Области применения этого металла. Кондиции, минералы, ценные примеси. Форма рудных тел. Масштабы месторождений. Примеры для каждого из промышленных типов.
7. Главные промышленные типы месторождений алюминия. Области применения этого металла. Кондиции, минералы, ценные примеси. Форма рудных тел. Масштабы месторождений. Примеры для каждого из промышленных типов. Второстепенные промышленные типы и потенциальные источники получения алюминия (не из бокситов).
8. Главные промышленные типы месторождений меди. Области применения этого металла. Кондиции, минералы, ценные примеси. Форма рудных тел. Масштабы месторождений. Примеры месторождений для каждого из промышленных типов.
9. Главные промышленные типы месторождений свинца и цинка. Области применения этих металлов. Кондиции, минералы, ценные примеси. Форма рудных тел. Масштабы месторождений. Примеры месторождений для каждого из промышленных типов.

10. Главные промышленные типы месторождений сурьмы и ртути. Области применения этих металлов. Кондиции, минералы. Форма рудных тел. Масштабы месторождений. Примеры месторождений для каждого из промышленных типов.
11. Главные промышленные типы месторождений золота. Области его использования Кондиции, минералы. Форма рудных тел. Масштабы месторождений. Примеры месторождений для каждого из промышленных типов.
12. Промышленные типы месторождений лития. Области его использования Кондиции, минералы. Форма рудных тел. Масштабы месторождений. Примеры месторождений для каждого из промышленных типов.
13. Промышленные типы месторождений бериллия. Области его использования. Кондиции, минералы. Форма рудных тел. Масштабы месторождений. Примеры месторождений для каждого из промышленных типов.
14. Промышленные типы экзогенных и метаморфогенных месторождений урана. Перечислите их и дайте характеристику их промышленной ценности. Минералы урановых руд в этих типах месторождений. Примеры. Что такое коэффициент радиоактивного равновесия?
15. Промышленные типы гидротермальных месторождений урана. Перечислите их и дайте характеристику их промышленной ценности. Минералы урановых руд в этих типах месторождений. Примеры.
16. Промышленные типы месторождений ниобия и тантала. Области их использования. Кондиции, минералы. Форма рудных тел. Масштабы месторождений. Примеры месторождений для каждого из промышленных типов.
17. Промышленные типы месторождений вольфрама. Области его использования. Кондиции, минералы. Форма рудных тел. Масштабы месторождений. Примеры месторождений для каждого из промышленных типов.
18. Промышленные типы месторождений молибдена. Области его использования. Кондиции, минералы. Форма рудных тел. Масштабы месторождений. Примеры месторождений для каждого из промышленных типов.
19. Промышленные типы месторождений циркония. Области его использования. Кондиции, минералы. Форма рудных тел. Масштабы месторождений. Примеры месторождений для каждого из промышленных типов.
20. Главные промышленные типы месторождений платины и платиноидов. Области ее использования Кондиции, минералы. Форма рудных тел. Масштабы месторождений. Примеры месторождений для каждого из выделяемых промышленных типов.

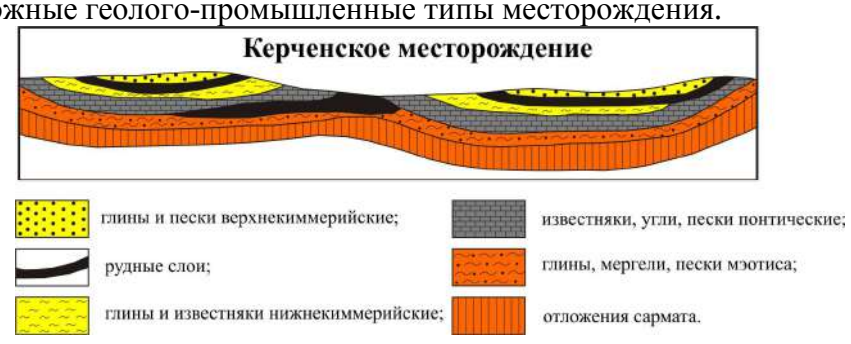
КОНТРОЛЬНЫЕ ВОПРОСЫ ДЛЯ ПРОВЕРКИ ЗНАНИЙ ПРИ ПОДГОТОВКЕ К ЭКЗАМЕНУ ПО ДИСЦИПЛИНЕ «ПРОМЫШЛЕННЫЕ ТИПЫ МПИ» Часть 2

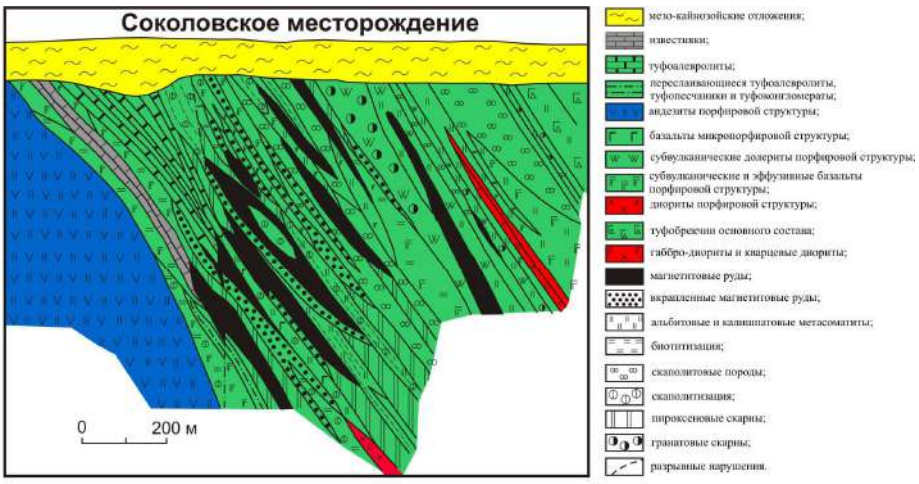
1. Промышленные типы месторождений строительных материалов. Применение. Деление на основные типы сырья по крупности материала и по использованию
2. Промышленные типы месторождений слюд. Области использования. Минеральный состав, кондиции, масштабы месторождений. Примеры.
3. Промышленные типы месторождений алмазов. Где они используются. Перечислите их разновидности. Кондиции для коренных руд и для россыпей. Назовите главные промышленные типы месторождений с примерами для каждого из них.
4. Промышленные типы месторождений талька и пирофиллита. Области их использования. Генетические типы. Форма и размеры промышленных тел. Примеры.
5. Промышленные типы месторождений графита. Области использования. Кондиции. Форма рудных тел. Примеры месторождений для каждого из промышленных типов.
6. Промышленные типы месторождений минеральных солей. Области применения. Минералы, масштабы месторождений различных типов.

7. Промышленные типы месторождений фосфатного сырья. Области использования. Кондиции, минералы. Форма рудных тел. Примеры для каждого промышленного типа.
8. Промышленные типы месторождений магнезита и брусита. Применение. Кондиции. Примеры.
9. Промышленные типы месторождений хризотил-асбеста. Применение. Основные типы руд и содержание в них асбестового волокна. Условия образования. Примеры.
10. Промышленные типы месторождений амфибол-асбеста. Области применения. Основные минеральные разновидности. Условия образования. Примеры.
11. Разновидности месторождений ювелирных, ювелирно-поделочных и поделочных камней. Какие из минералов относятся к каждой из перечисленных групп и какими месторождениями они представлены. Условия их образования и вмещающие породы. Примеры.
12. Основные промышленные типы месторождений кварца. Условия их образования и вмещающие породы. Примеры.
13. Промышленная классификация неметаллических полезных ископаемых. Деление различных видов сырья на основные группы по свойствам и главным направлениям применения в промышленности. Основные требования, предъявляемые к качеству неметаллического сырья.
14. Промышленные типы месторождений флюорита. Области его использования. Кондиции. Форма рудных тел. Масштабы месторождений. Примеры месторождений для каждого из промышленных типов.
15. Промышленные типы месторождений цеолитов. Области их использования, условия образования и генетическая природа. Охарактеризуйте основные их разновидности.
16. Промышленные типы месторождений цементного сырья. На базе каких пород производится цемент. Рассмотрите процесс производства портланд-цемента.
17. Промышленные типы месторождений серы. Области использования. Кондиции. Форма рудных тел. Примеры месторождений для каждого из промышленных типов.
18. Промышленные типы месторождений бора. Области использования. Кондиции. Форма рудных тел. Примеры месторождений для каждого из промышленных типов.
19. Промышленные типы месторождений барита и витерита. Области использования. Кондиции. Форма рудных тел. Примеры месторождений для каждого из промышленных типов.
20. Промышленные типы месторождений керамического сырья. Области использования. Кондиции. Форма рудных тел. Примеры месторождений для каждого из промышленных типов.
21. Промышленные типы месторождений стекольного сырья. Области использования. Кондиции. Форма рудных тел. Примеры месторождений для каждого из промышленных типов.

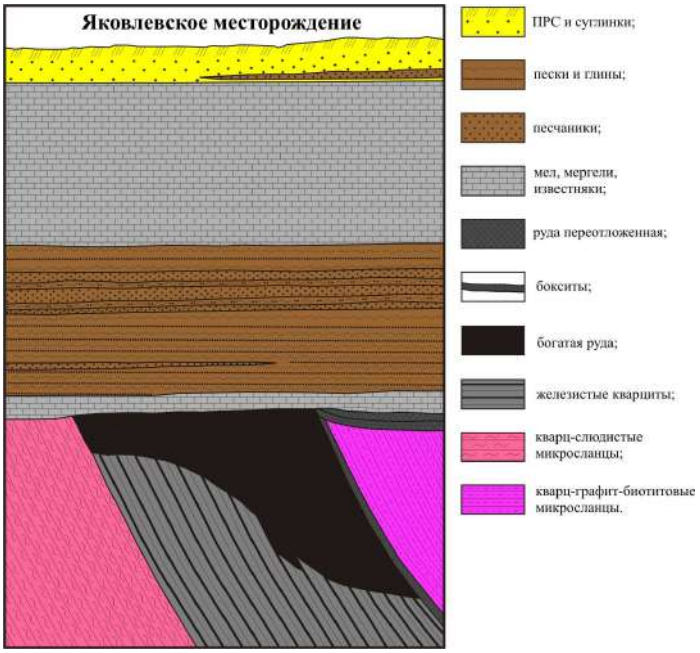
ПРАКТИКООРИЕНТИРОВАННЫЕ ЗАДАНИЯ

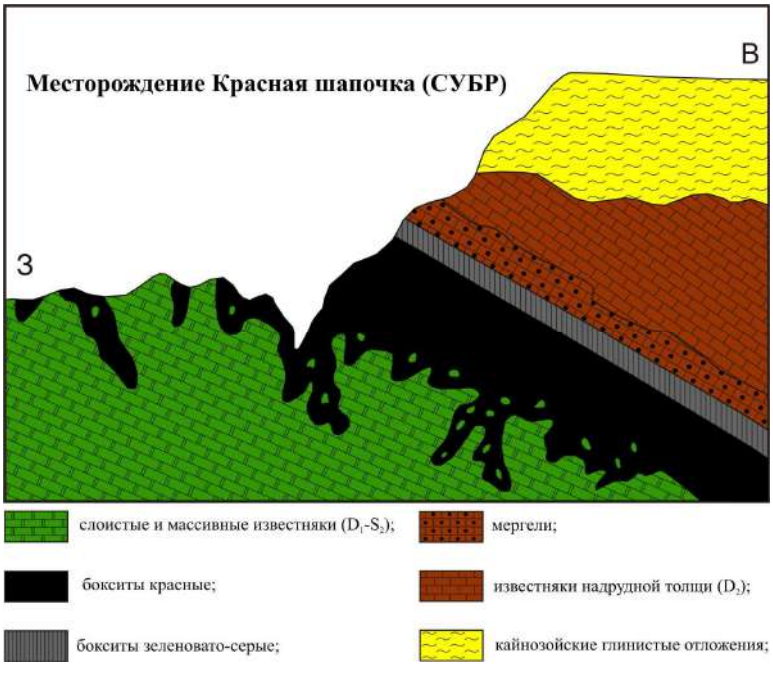
По строению геологического разреза месторождения полезных ископаемых определить возможные геолого-промышленные типы месторождения.

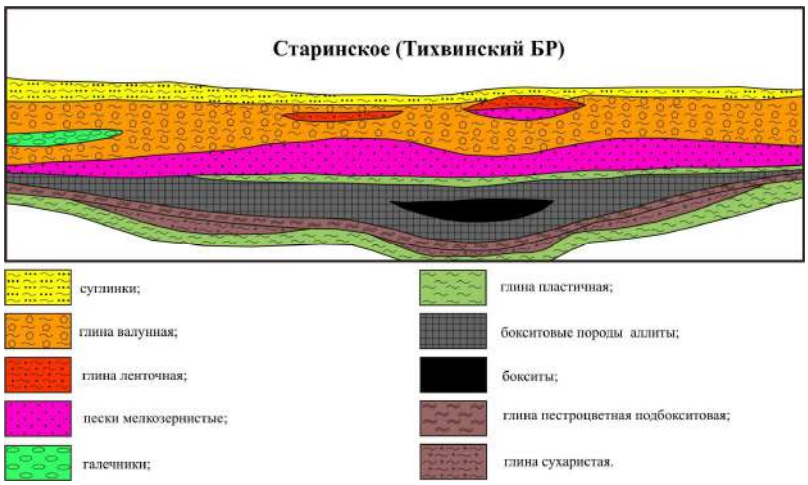



Соколовское месторождение
0
200 м
мело-кайнозойские отложения;
известняки;
туфоалевролиты;
переслаивающиеся туфоалевролиты, туфопесчаники и туфоконгломераты;
андезиты порфировой структуры;
базальты микропорфировой структуры;
субвулканические долериты порфировой структуры;
субвулканические и эффузивные базальты порфировой структуры;
диориты порфировой структуры;
туфобрекчии основного состава;
габбро-диориты и кварцевые диориты;
магнетитовые руды;
вкрапленные магнетитовые руды;
альбитовые и калишпатовые метасоматиты;
биотитизация;
скаполитовые породы;
скаполитизация;
пироксеновые скарны;
гранатовые скарны;
разрывные нарушения.

1 2 3 4 5 6


Яковлевское месторождение
ПРС и суглинки;
пески и глины;
песчаники;
мел, мергели, известняки;
руда переотложенная;
бокситы;
богатая руда;
железистые кварциты;
кварц-слюдистые микросланцы;
кварц-графит-биотитовые микросланцы.


Месторождение Красная шапочка (СУБР)
В
З
слоистые и массивные известняки (D_1-S_2);
мергели;
бокситы красные;
известняки надрудной толщи (D_2);
бокситы зеленовато-серые;
кайнозойские глинистые отложения;



МЕТОДИЧЕСКИЕ МАТЕРИАЛЫ

1. Основная литература

1. Месторождения металлических полезных ископаемых / В.В. Авдонин [и др.]. — Электрон. текстовые данные. — М. : Академический Проект, Трикса, 2016. — 719 c. — 978-5-8291-2504-2. — Режим доступа: http://www.iprbookshop.ru/60030.html

2. Еремин Н.И. Неметаллические полезные ископаемые. Учебное пособие. 2-е изд. М.: Изд-во МГУ; ИКЦ «Академкнига», 2007.-459 с.

3. Промышленные типы месторождений металлических полезных ископаемых. Учебное пособие / Малахов И.А., Бурмако П.Л., Алексеев А.В .- Екатеринбург, Изд.УГГГУ, 2007. 208 с

4. Промышленные типы месторождений неметаллических полезных ископаемых. Учебное пособие / Малахов И.А., Алексеев А.В., Бурмако П.Л. - Екатеринбург, Изд.УГГГУ, 2010. 208 с.

2 Дополнительная литература

1. Курс рудных месторождений: учебник для вузов / Смирнов В.И., Гинзбург А.И., Григорьев В.М., Яковлев Г.Ф. М.: Недра, 1986.-360 с.

2. Курс рудных месторождений: учебник / Смирнов В.И., Гинзбург А.И., Яковлев Г.Ф. М.: Недра, 1981.-348 с

3. Яковлев П.Д. Промышленные типы рудных месторождений. Учебное пособие для вузов –М.: Недра, 1986. –358с

4. Промышленные типы месторождений неметаллических полезных ископаемых: Учебник для вузов /Карякин А.Е., Строна П.А.,Шаронов Б.Н. и др. М.: Недра, 1985.- 286с.

5. Геолого-промышленные типы месторождений урана: Учебное пособие / В.Е. Бойцов, А.А. Верчеба, 2008. -310 с.

Алгоритм работы студентов для качественного усвоения дисциплины включает в себя следующие действия:

1. Изучение рабочей программы дисциплины, что позволит правильно сориентироваться в системе требований, предъявляемых к студенту со стороны преподавателя.
2. Посещение и конспектирование лекций.
3. Обязательная подготовка к лабораторным занятиям.
4. Изучение основной и дополнительной литературы.
5. Выполнение всех видов самостоятельной работы, в т. ч. изучение каменного материала по ведущим месторождениям.

Приложение № 1

ФГБОУ ВО «УРАЛЬСКИЙ ГОСУДАРСТВЕННЫЙ ГОРНЫЙ УНИВЕРСИТЕТ

ФАКУЛЬТЕТ ГЕОЛОГИИ И ГЕОФИЗИКИ

Кафедра геологии, поисков и разведки месторождений полезных ископаемых

КАТАЛОГ МЕСТОРОЖДЕНИЙ

по дисциплине **ПРОМЫШЛЕННЫЕ ТИПЫ МЕСТОРОЖДЕНИЙ ПОЛЕЗНЫХ ИСКОПАЕМЫХ**

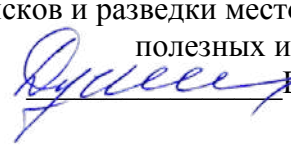
Студент: Иванов И.И.

Группа: РМ-18

Екатеринбург, 2019

МИНОБРНАУКИ РФ

ФГБОУ ВО «Уральский государственный горный университет»

УТВЕРЖДАЮ
Заведующий кафедрой геологии,
поисков и разведки месторождений
полезных ископаемых

В.А.Душин

МЕТОДИЧЕСКИЕ УКАЗАНИЯ К САМОСТОЯТЕЛЬНОЙ РАБОТЕ СТУДЕНТОВ ПО ДИСЦИПЛИНЕ

Б1.В.07 ПРОГНОЗИРОВАНИЕ И ПОИСКИ ПОЛЕЗНЫХ ИСКОПАЕМЫХ

Специальность:
21.05.02 Прикладная геология

Специализация
Геологическая съемка, поиски и разведка месторождений твердых полезных ископаемых

форма обучения: очная, заочная

Автор: Баранников А.Г., профессор, д.г.-м.н.

Екатеринбург

ОГЛАВЛЕНИЕ

ВВЕДЕНИЕ……4
1. ОКОНТУРИВАНИЕ ЗАЛЕЖЕЙ ПОЛЕЗНЫХ ИСКОПАЕМЫХ……7
1.1.Оконтуривание рудного тела в разрезе скважины и в поперечном сечении……7
1.2. Оконтуривание пластообразной рудной залежи на плане……12
2. ОБОСНОВАНИЕ СИСТЕМЫ РАЗМЕЩЕНИЯ РАЗВЕДОЧНЫХ ВЫРАБОТОК ПРИ ПРОЕКТИРОВАНИИ ОЦЕНОЧНЫХ РАБОТ……16

ВВЕДЕНИЕ

Оконтуривание месторождений полезных ископаемых – это определение на горизонтальной, вертикальной проекциях и разрезах границ контуров распространения залежей полезного ископаемого или его частей (отдельных тел, блоков, горизонтов). Оно производится по показателям кондиций: бортовому содержанию полезного компонента, минимальному промышленному содержанию, минимальной мощности тела полезного ископаемого или метропроценту и ряду других. Оконтуривание месторождений полезных ископаемых – этап, предшествующий подсчету запасов полезных ископаемых. Оконтуривание сводится к установлению опорных точек контура объекта по естественным обнажениям, горным выработкам, разведочным скважинам и построению по ним линии подсчетного контура залежи. Для подсчета запасов отстраивается промышленный контур, ограничивающий кондиционные участки тела полезного ископаемого. Он может быть внутренним и внешним. **Внутренний** контур отстраивается через крайние разведочные пересечения, встретившие полезное ископаемое; **внешний** – через точки предполагаемых естественных или условных (экстраполированных) границ распространения месторождения.

В пределах выработки опорные точки устанавливаются по данным замеров, непосредственных наблюдений и опробования. При четких геологических границах подсчетный контур совпадает с геологическим. При сложном распределении полезных компонентов оконтуривание производят по пробе с бортовым содержанием, по мощности или метропроценту (произведению величины мощности на содержание). При отстройке подсчетного контура установленные по отдельным выработкам опорные точки переносятся на планы, разрезы или проекции и соединяются прямыми или изогнутыми (согласно геологической структуре) линиями. Положение опорных точек между крайними пересечениями с кондиционными и некондиционными показателями находят способом интерполяции. За пределами выработок с кондиционными показателями при отсутствии оконтуривающих пересечений подсчетный контур определяют методом экстраполяции с использованием геолого-геофизических данных по месторождению.

Запасы, оконтуренные по достаточно густой сети разведочных пересечений, могут быть отнесены к категориям *A* и *B*, а на объектах сложного геологического строения – к категории C_1. Запасы, распо-

ложенные за пределами внутреннего контура, обычно относятся к категориям C_2 и реже – C_1.

Подсчетом запасов называется операция по определению количества промышленно пригодного минерального сырья в недрах. Разведанные и правильно учтенные запасы полезных ископаемых представляют надежную основу для экономики страны. Поэтому обоснованный подсчет запасов для разных видов минерального сырья имеет важное государственное значение. Хотя подсчет запасов является вычислительной операцией, в его основе лежит методически обоснованная разведка и всестороннее изучение геологического строения месторождения полезного ископаемого.

По Л. И. Четверикову (1984) понятие «**методика разведки**» является базовым понятием теории разведки. Оно включает в себя: а) комплекс локальных наблюдений и замеров разведочных параметров (метод разведки); б) способы осуществления этих наблюдений и замеров; в) методы обработки, анализа и оценки разведочной информации; г) интерпретацию данной информации и создание эмпирической модели разведуемых недр. Пункт «а» занимает особое положение. Он реализуется через разведочные системы. Вслед за А. Б. Кажданом [1, 2] под разведочной системой мы понимаем совокупность определенным образом расположенных разведочных пересечений. По пространственной ориентировке разрезов разведочные системы подразделяются на три класса: 1) вертикальных разрезов; 2) горизонтальных разрезов; 3) продольных разрезов. Выбор системы разведки зависит от ряда факторов: а) поставленных задач и выбранной методики разведки; б) горно-геологических особенностей разведки; в) имеющихся технических средств; г) географо-геоморфологических и экономических факторов. Оптимальной будет такая система разведки, которая позволит решить поставленные задачи и осуществить оценку недр с наименьшей затратой времени и материально-технических средств.

Подсчет запасов и сопутствующее ему изучение месторождений проводятся для: а) определения количества минерального сырья в недрах с выяснением распределения запасов по отдельным сортам и участкам месторождения; б) обоснования степени надежности цифр подсчета запасов и степени изученности месторождения; в) сбора необходимых данных для геолого-экономической оценки разведуемого месторождения, включающей обоснование способа вскрытия и отработки объекта, оценку технологических свойств и качеств минераль-

ного сырья, расчет экономической целесообразности промышленного освоения.

Запасы какого-либо компонента (например, металла) в недрах рудного месторождения рассчитываются по формуле

$$P = Q \cdot c,$$

где P – запасы компонента (например, металла); Q – запасы минерального сырья (например, руды); c – среднее содержание компонента в контуре подсчитываемых запасов (например, среднее содержание металла в руде).

Если «c» выражено в процентах, то $P = Q\dfrac{c}{100}$.

Запасы минерального сырья (Q) определяются по формуле

$$Q = V \cdot d\ ,$$

где V – объем тела полезного ископаемого, по которому производится подсчет запасов, м^3; d – объемная масса минерального сырья в недрах, т/м^3.

Объем тела полезного ископаемого (V) определяется по формуле

$$V = S \cdot m,$$

где S – площадь полезного ископаемого, м^2; m – средняя мощность тела полезного ископаемого в пределах контура подсчитываемых запасов, м.

В итоге формулу подсчета запасов можно выразить так: $P = S \cdot m \cdot d \cdot c$

$$\text{или}\quad P = \frac{S \cdot m \cdot d \cdot c}{100}.$$

Запасы минерального сырья в недрах (Q) устанавливаются в следующих единицах: 1) запасы руды коренных металлических месторождений твердых полезных ископаемых – в тыс. т; 2) запасы песков россыпных месторождений, пород для строительных целей и др. – в тыс. м^3 или млн м^3. Запасы компонентов учитываются в т или в тыс. т. При этом для железа, марганца, хрома, ванадия и алюминия определяются только запасы сырой руды (Q) и среднее содержание в ней металла (c), а запасы металлов (P) не вычисляются. Запасы благородных металлов (золота, платины, серебра) определяются в кг или т. При подсчете запасов алмазов содержание выражается в каратах (1 карат = 200 мг) или граммах.

Запасы подсчитываются по месторождениям (участкам) по результатам геологоразведочных и эксплуатационных работ, выполненных в процессе их изучения и промышленного освоения. Они оцениваются в недрах без введения поправок на потери и разубожи-

вания при добыче, обогащении и переработке концентратов. В комплексных месторождениях подлежат подсчету запасы основных и совместно залегающих с ними полезных ископаемых, а также содержащиеся в них основные и попутные полезные компоненты (металлы, минералы, химические элементы и их соединения), целесообразность промышленного использования которых определена кондициями на минеральное сырье.

1. ОКОНТУРИВАНИЕ ЗАЛЕЖЕЙ ПОЛЕЗНЫХ ИСКОПАЕМЫХ

Важнейшим элементом разведки месторождений полезных ископаемых является оконтуривание залежей, позволяющее определить их форму и внутреннее строение. Оконтуривание ведется по показателям кондиций, которые зависят от способа определения границ тела полезного ископаемого (визуальный или путем опробования), от характера распределения полезного компонента (равномерное, неравномерное) и от сложности внутреннего строения.

Первоначально выполняется оконтуривание тела по разведочной выработке, а затем оконтуривание в разведочном сечении и на плане. По данной теме предлагаются два задания, работа над которыми дает студенту представление об оконтуривании рудных залежей. В обоих заданиях контуры промышленного оруденения устанавливаются по данным опробования. Это позволяет при выполнении каждого задания убедиться в тесной связи количества балансовых запасов от качества полезного ископаемого. В каждом задании следует показать штриховкой распределение балансовых и забалансовых запасов.

1.1. Оконтуривание рудного тела в разрезе скважины и в поперечном разведочном сечении

Дано: поперечный геологический разрез пластообразной залежи гипергенных никелевых руд, полученный по данным эксплуатационной разведки (рис. П. 1 – П. 3). Разведочные скважины расположены друг от друга на расстоянии 10-15 м. Длина керновых проб 2 м. Содержание никеля вынесено рядом с соответствующими пробами. Фрагмент этого разреза приведен на рис. 1. Для реализации индиви-

дуальной самостоятельной работы каждого студента на группу выдается 3 разреза по 10 вариантов в каждом.

В процессе оконтуривания следует руководствоваться следующими кондициями:

1. Минимальная рабочая мощность – 2 м.

2. Максимальная мощность пустых пород и забалансированных руд, включаемых в промышленный контур рудного тела, – 2 м.

3. Бортовое содержание никеля повариантно (табл. 1).

Таблица 1

Кондиции для оконтуривания по конкретным вариантам задания

Варианты		Бортовое содержание никеля, % масс.	Минимальное промышленное содержание никеля по блоку, % масс.
нечетные скважины	четные скважины		
1, 11, 21	6, 16, 26	0,7	1,05
2, 12, 22	7,17,27	0,8	1,10
3, 13, 23	8, 18, 28	0,9	1,15
4, 14, 24	9,19,29	1,0	1,20
5, 15, 25	10, 20, 30	1,1	1.30

4. Минимальное содержание никеля, принятое за нижний предел для оконтуривания забалансовых руд, составляет 0,5 % масс.

Необходимо:

а) пользуясь кондициями, определить опорные точки для оконтуривания в пределах каждой выработки; отметки кровли и подошвы залежи соединить пунктирной линией;

б) вычислить и поставить над скважиной в виде дроби мощность рудной залежи (числитель) и среднее содержание никеля в процентах (знаменатель);

в) провести контуры забалансовых руд в разведочном сечении;

г) вычислить площадь балансовых руд в разрезе и линейный запас никеля, приняв значение объемной массы сухой руды, равной 1,15 т/м^3;

д) исследовать зависимость линейного запаса балансовых руд (количество) от уровня бортового содержания, принятого при оконтуривании.

Методические указания к выполнению работы.

Каждый студент получает разведочный профиль с исходными данными для оконтуривания в соответствии с вариантом задания (1-10, 11-20, 21-30), определяемым согласно порядковому номеру студента в групповом журнале. Каждый вариант предусматривает обработку данных по четным или нечетным скважинам, входящим в разведочный профиль.

Наметив по заданному бортовому содержанию верхнюю границу рудного тела по каждой скважине, следует соединить из жирной пунктирной линией, соответствующей положению в пространстве кровли рудного тела. Затем аналогичным образом необходимо провести пунктирную линию, соединяющую отметки подошвы рудного тела.

Далее необходимо выделить участки забалансовых руд, включаемых в контур рудного тела. Как правило, они соответствуют спаренному положению двух проб с некондиционным (ниже бортового) содержанием никеля.

Наметив внешние и внутренние границы забалансовых руд, нужно определить среднее содержание никеля по скважине и общую мощность рудного тела по скважине (среднеарифметическим способом). Оба параметра выносятся в виде дроби над скважиной.

На рис. 1 дан пример оконтуривания на одном из участков разреза. При бортовом содержании никеля 0,8 % по скважине № 1 мощность залежи составила 10 м, так как некондиционный интервал с содержанием 0,53 % не превышает 2 м. Среднее содержание никеля по пяти пробам составило 0,95 %.

Скважина 3 вскрыла внутри рудного тела интервал забалансовых руд мощностью 4 м (0,70 и 0,75 %). Поскольку согласно кондициям внутри рудного тела такие руды могут присутствовать лишь в виде прослоев не более 2 м, этот интервал исключается из контура балансовых руд. Однако, если такой участок окружен балансовыми рудами в соседних скважинах, он вычленяется на разрезе как «островок» забалансовых руд. Некондиционные интервалы мощностью 2 м, располагающиеся среди кондиционных, включаются в контур балан-

совых руд без каких-либо ограничений. Примером может служить интервал с содержанием 0,7 % никеля по скважине 5 (см. рис. 1). В случае более высоких требований кондиций к качеству руд ($C_{б.}$ = 0,9 % масс), этот интервал совместно с соседним (0,8 %) вычленяется из рудного контура как «окно» забалансовых руд.

После проведения контура балансовых руд следует проверить правильность оконтуривания. С этой целью необходимо вычислить среднее значение мощности рудного тела (среднеарифметическое) и среднее содержание никеля по разведочному сечению (средневзвешенное). При соблюдении неравенства $\overline{C} \geq C_{\text{мин. пр.}}$ можно считать оконтуривание завершенным. Если среднее содержание никеля меньше минимального промышленного, нужно исключить из расчета среднего значения скважины с наименьшим содержанием никеля (одну-две) и вновь проверить наличие приведенного выше неравенства.

Закончив оконтуривание балансовых руд, следует провести, по соответствующему показателю кондиций, контуры забалансовых руд (верхний и нижний) и показать распространение названных типов руд в разведочном сечении соответствующей штриховкой (см. рис. 1). Проведя оконтуривание балансовых руд по разрезу, нужно определить их площадь (S) в м^2, учитывая соотношение вертикального и горизонтального масштабов. Это можно сделать с помощью палетки или умножением длины залежи в разрезе на среднюю ее мощность, вычисленную ранее. В качестве палетки можно использовать кальку, на которой равномерно по квадратной сетке (1,0 х 1,0 см) нанесены яркие (жирные) точки, каждая из которых соответствует единичной площадке, определяемой произведением знаменателей горизонтального и вертикального масштабов. В нашем случае это 20 м^2 (1:1000 и 1:200). Если точки на палетке нанести через 0,5 см, то площадь зоны влияния каждой точки будет 5 м^2. Точки, попавшие на границу контура, соответствуют половине единичной площадки (10 или 2,5 м^2 соответственно). Для повышения точности вычисления площади определение площади по палетке следует выполнить дважды.

Затем необходимо определить линейный запас никеля ($P_{\text{Ni}i}$) в слое 1 м, пользуясь формулой

$$P_{\text{Ni}} = S \cdot 1 \cdot d \cdot \overline{C} \cdot 100^{-1},$$

где S - площадь балансовых руд, м^2; d - объемная масса сухой руды, т/м^3; $\overline{C}$ - среднее содержание никеля по разрезу, % масс.

Заключительная часть работы состоит из исследования связи количества руды (линейный запас) от его качества (среднее или бортовое содержание никеля). Для этого студенты, выполнявшие оконтуривание при различных вариантах бортового содержания, но при одинаковых исходных данных (варианты 1-5, 6-10, 11-15, 16-20, 21-25, 26-30), объединяются в группы по пять человек для обмена полученными результатами и их обсуждения. Обменявшись значениями вычисленных линейных запасов никеля в балансовых рудах, каждый студент строит график зависимости величины линейного запаса (ордината) от бортового содержания (абсцисса). В итоге он убеждается в конкретном проявлении зависимости подсчитанных запасов от принятых кондиций.

Итоги проделанной работы отображаются на правой стороне отчетного бланка, где последовательно (сверху вниз) приводятся следующие данные:

- промышленные кондиции, использованные при оконтуривании (бортовое и минимальное промышленное содержание никеля);
- среднее содержание никеля по разрезу в сопоставлении с минимальным промышленным, % масс;
- средняя мощность рудного тела, м;
- площадь балансовых руд в разведочном сечении, $м^2$;
- расчет линейного запаса никеля, т;
- график зависимости линейного запаса никеля от его бортового содержания.

Время выполнения работы в аудитории – 2 часа.

1.2. Оконтуривание пластообразной рудной залежи на плане

Оконтуривание залежи гипергенных никелевых руд реализуется в проекции на дневную поверхность после проведения оконтуривания в каждой скважине и разведочном пересечении.

Дано: Разведочный план небольшого месторождения гипергенных никелевых руд, разведанного по сети 50 х 50 м в стадию оценочных работ (номера скважин 1-86) и 25 х 25 м в стадию разведки (номера скважин 87 и более). Возле каждой скважины показаны мощность рудного тела и среднее содержание никеля по пересечениям с балансовыми рудами. По скважинам, не вскрывшим промышленного оруденения, выносятся содержания никеля по забалансовым рудам. Фрагмент этого плана приводится на рис. 2.

Основные показатели кондиций, определяющие условия оконтуривания, приведены в табл. 2. Всего предложено пять значений кондиционных показателей.

Таблица 2

Промышленные кондиции для оконтуривания залежей в плане

Варианты заданий				Бортовое содержание никеля, % масс.	Минимальное промышленное содержание никеля по залежи, % масс.
а	б	в	г		
1	6	11	16	0,7	1,05
2	7	12	17	0,8	1,10
3	8	13	18	0,9	1,15
4	9	14	19	1,0	1,20
5	10	15	20	1,1	1,30

Варианты с индексами «а» (1-5) и «в» (11-15) выполняются с использованием всех скважин, а с индексами «б» (6-10) и «г» (16-20) – по скважинам стадии оценочных работ (см. рис. 2).

При названных условиях одновременно реализуется 20 индивидуальных решений данного задания.

В качестве дополнительных кондиций заданы:

1. Минимальная рабочая мощность – 2 м;

2. Минимальное содержание никеля, дающее право относить руды к забалансовым – 0,5 % масс.

Необходимо: пользуясь заданными кондициями, провести оконтуривание балансовых и забалансовых руд, отобразив их штриховкой на бланке задания.

Методические указания к выполнению работы.

Каждому студенту выдается план расположения разведочных скважин со значениями мощностей рудных тел и средних содержаний никеля по разведочным пересечениям. В соответствии с порядковым номером студента в групповом журнале определяется вариант его индивидуального задания, включающий перечень разведочных скважин, участвующих в оконтуривании, и промышленные кондиции, при которых оно должно быть выполнено (см. табл. 2).

В контур балансовых руд включаются скважины с содержанием никеля выше бортового. Положение контура на плане определяется интерполяцией между скважинами с кондиционным и некондиционным содержанием и фиксируется жирной пунктирной линией. Аналогичным образом проводится внутриконтурная граница балансовых и забалансовых руд.

После проведения контура балансовых руд необходимо вычислить средневзвешенное содержание никеля по залежи (блоку) и среднюю мощность залежи. Оконтуривание можно считать выполненным правильно, если соблюдается неравенство: $\overline{C} \geq C_{\text{мин. пр.}}$ Если приведенное неравенство не соблюдается, то запасы руды оконтуренного блока или залежи относятся к забалансовым. Для того, чтобы перевести их в балансовые, нужно исключить из проведенного контура одну или несколько скважин с наименьшим содержанием никеля и вновь проверить приведенное выше неравенство. При его соответствии заданному условию оконтуривание балансовых руд можно считать завершенным.

Следующей операцией оконтуривания следует считать проведение контура забалансовых руд, включив в него скважины с содержанием никеля более 0,5 % масс.

Для вариантов оконтуривания с использованием всех скважин, нанесенных на разведочном плане (обозначены в табл. 2 символами «а» и «в»), необходимо провести дополнительный контур через крайние скважины с содержанием никеля выше бортового. Его следует провести жирной сплошной линией. Это будет контур, ограничивающий запасы категории В. При этом запасы балансовых руд между сплошной и пунктирной линиями будут отнесены к категории C_1 (см. рис. 2).

Положение контура балансовых руд проводится на середине расстояния между скважинами с параметрами, соответствующими кондициям и некондиционными.

После выполнения оконтуривания необходимо произвести подсчет запасов руды и металла в контурах балансовых запасов. Затем, объединившись в группы по пять человек с одинаковыми исходными данными (а – г, см. табл. 2), студенты обмениваются итогами расчетов запасов руды и металла и строят графики зависимости запасов никеля (ординаты) от бортового содержания (абсцисса).

Требования к оформлению результатов работы.

В итоге работы на разведочном плане с исходными данными каждый студент показывает штриховкой контуры развития балансовых и забалансовых руд (см. рис. 2). На поле справа указываются: кондиции, при которых производилось оконтуривание; средние содержания никеля и средние мощности руд по залежам (блокам); площади выделенных блоков и запасы руд и металла по каждому из них; график зависимости запасов никеля от бортового содержания, принятого при оконтуривании.

В вариантах с полным использованием разведочных данных (см. табл. 2) на плане выделяются площади блоков, соответствующих по разведанности категориям B и C_1.

Время выполнения работы – 2 часа.

2. ОБОСНОВАНИЕ СИСТЕМЫ РАЗМЕЩЕНИЯ РАЗВЕДОЧНЫХ ВЫРАБОТОК ПРИ ПРОЕКТИРОВАНИИ ОЦЕНОЧНЫХ РАБОТ

Целью предлагаемых к решению задач (задания 1-12, рисунки 3-14) является – приобретение студентами навыков проектирования оценочных работ в пределах рудоперспективных участков.

Порядок выполнения работы.

1) Ознакомившись с геологической ситуацией, отображенной на бланке задания, необходимо сделать заключение о возможном геолого-промышленном типе месторождения, руководствуясь литературными сведениями [3, 4, 5]. Для отнесения оцениваемого объекта к определенному промтипу следует учитывать: форму, размеры, условия залегания выходящих на поверхность залежей полезного ископаемого; состав, условия залегания рудовмещающих пород; уровень установленных при опробовании концентраций полезных компонентов.

2) Привести примеры месторождений-эталонов. Охарактеризовать возможный минеральный и химический состав полезного ископаемого (руководствуясь рекомендованными источниками).

3) Обосновать возможную группу прогнозируемого месторождения по сложности геологического строения для целей разведки, взяв рекомендации инструкции ГКЗ [6].

4) Сформулировать задачи, решаемые при проведении оценочных работ. Уточнить их применительно к конкретной геологической обстановке.

5) Обосновать систему разведочных работ (форму, плотность разведочной сети). Нанести проектные выработки на план и отстроенные проектные геологические разрезы – 1-2 шт. (размещенные в нижней части листа – на бланке задания).

6) Наметить виды и способы отбора проб применительно к конкретному типу полезного ископаемого. Для каждого вида опробования (химического, геохимического, минералогического, технологического, технического, геофизического) обосновать цель исследования, способы отбора проб, параметры проб (сечение, длину, массу пробы). Составить схему обработки проб. Все запланированные виды исследований отразить в табличной форме.

7) Подсчитать проектные запасы полезного ископаемого по категории C_1 (для отдельных блоков), C_2, а также прогнозные ресурсы по категории P_1. Ограничить проектные выработки глубиной до 100-150 м, в отдельных случаях – до 200 м (в зависимости от типа полезного ископаемого). По запроектированным выработкам предусмотреть возможные (вероятные) параметры (мощность залежи, содержание полезного компонента, объемная масса руды и т. д.). Обосновать метод подсчета запасов и выполнить его, отразив результаты в табличной форме.

Отчетными документами являются графический материал и пояснительная записка к нему. На приведенной на бланке задания схематической геологической карте следует нанести проектные разведочные выработки (горноразведочные, буровые скважины), отразив номерами последовательность их проходки. Проектные выработки должны быть также нанесены и на отстроенные геологические разрезы, а также при необходимости на продольную вертикальную проекцию. На графике отразить контуры блоков проектных запасов категории C_1, C_2 и прогнозных ресурсов категории P_1. В пояснительной записке обосновать методику оценочных работ, объем аналитических исследований. Геолого-промышленную значимость оцениваемого объекта сравнить с литературными сведениями [3, 4, 5, 7]. Время выполнения задания – 6-8 часов.

СПИСОК ЛИТЕРАТУРЫ

1. *Каждан, А. Б.* Разведка месторождений полезных ископаемых / А. Б. Каждан. – М.: Недра, 1977. – 327 с.

2. *Каждан, А. Б.* Поиски и разведка месторождений полезных ископаемых (Научные основы поисков и разведки) / А. Б. Каждан. – М.: Недра, 1984. – 285 с.

3. *Авдонин, В. В.* Месторождения металлических полезных ископаемых / В. В. Авдонин, В. Е. Бойцов, В. М. Григорьев [и др.]. – М.: Трикста, 2005. – 720 с.

4. *Малахов, И. А.* Промышленные типы металлических полезных ископаемых / И. А. Малахов, П. Л. Бурмако, А. П. Алексеев. - Екатеринбург: УГГУ, 2007. – 209 с.

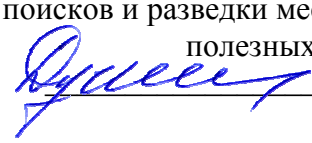
5. *Яковлев, П. Д.* Промышленные типы рудных месторождений / П. Д. Яковлев. – М.: Недра, 1986. – 358 с.

6. *Сборник нормативно-методических документов по геолого-экономической оценке месторождений полезных ископаемых.* – М.: ГКЗ, 1998. – 319 с.

7. *Баранников, А. Г.* Прогнозирование и поиски месторождений полезных ископаемых: лабораторный практикум с основами теории / А. Г. Баранников, А. Н. Угрюмов, Г. П. Дворник. – Екатеринбург: УГГУ, 2004. – 104 с.

МИНОБРНАУКИ РФ

ФГБОУ ВО »Уральский государственный горный университет»

УТВЕРЖДАЮ
Заведующий кафедрой геологии,
поисков и разведки месторождений
полезных ископаемых
 В.А. Душин

МЕТОДИЧЕСКИЕ УКАЗАНИЯ ПО ВЫПОЛНЕНИЮ КУРСОВОЙ РАБОТЫ ПО ДИСЦИПЛИНЕ

Б1.В.08 ЛАБОРАТОРНЫЕ МЕТОДЫ ИЗУЧЕНИЯ МИНЕРАЛЬНОГО СЫРЬЯ

Для обучающихся специальности
21.05.02 Прикладная геология

Специализация
Геологическая съемка, поиски и разведка месторождений твердых полезных ископаемых

форма обучения: очная, заочная

Автор: Малюгин А.А., доцент, к.г.-м.н.

Екатеринбург

Алгоритм работы студентов для качественного усвоения дисциплины включает в себя следующие действия:

1. Изучение рабочей программы дисциплины (модуля) Лабораторные методы изучения минерального сырья, что позволит правильно сориентироваться в системе требований, предъявляемых к студенту со стороны преподавателя.
2. Посещение и конспектирование лекций.
3. Обязательная подготовка к практическим занятиям.
4. Изучение основной и дополнительной литературы, интернет - источников.
5. Выполнение всех видов самостоятельной работы, включая курсовую работу.

I. КУРСОВАЯ РАБОТА

Целью курсовой работы является закрепление и развитие теоретических знаний студентов по дисциплинам «Кристаллография», «Кристаллохимия», «Минералогия», «Петрография», «Геохимия», «Лабораторные методы изучения минерального сырья».

Задачи курсовой работы заключаются в:

- приобретении практических навыков проведения лабораторных исследований вещественного состава и строения минеральных индивидов и агрегатов, горных пород, руд, технологических продуктов и иных природных и аналогичных им технических минеральных материалов;
- планировании и организации петрографических, минералогических и геохимических исследований.
- освоении методов обработки, интерпретации и представления результатов исследования.

Основные этапы выполнения курсовой работы:

1. Получение задания на курсовую работу .
2. Выбор направления исследований с учётом специфики имеющихся материалов и задач, полученных в рамках учебных, производственных практик или научно-исследовательских работ, в которых принимал участие студент. Определение цели исследования, выбор задач, решение которых предполагается посредством применения определённых лабораторных методов исследования. Планирование хода работ.
3. Отбор образцов для анализа и подготовка аналитических препаратов. Сбор необходимой графической и текстовой информации из фондовых и литературных источников.
4. Выбор метода или комплекса методов исследования.
5. Проведение исследований, обработка и интерпретация полученных результатов.
6. Подготовка к представлению материалов и защите.

Исходные данные для выполнения работы

Как правило, первичные материалы для курсовой работы формируются в процессе работ на производственной практике. Их состав определён соответствующими методическими указаниями [1].

Основой для исследований служат образцы и лабораторные пробы, которые представляют собой моно- или поликомпонентный плотный (штуфной, крупнокусковой), рыхлый, сыпучий природный или техногенный материал.

Образцы и пробы должны быть представительными, пронумерованными, иметь пространственную, а при необходимости и временнỳю, привязку. Сведения о пробах фиксируются в специальном списке (каталоге) и на схеме отбора проб (карте фактического материала). Крайне важно, чтобы первичные материалы были отобраны

таким образом, чтобы их вещественный состав и количество вещества позволяли решить поставленную исследовательскую задачу с помощью планируемых и имеющихся в наличии методов исследования.

Для успешного выполнения курсовой работы студент должен получить максимум информации из картографических, литературных и фондовых источников, результатов предыдущих исследований, использовать дополнительные материалы (образцы, шлифы и пр.). Оценка изученности и особенностей объекта невозможна без собранных заранее текстовых и графических материалов.

Текстовый материал включает личные наблюдения (полевой дневник, зарисовки и фотографии) и заимствованные данные. К графическим материалам относятся копии карт, разрезов, схем, диаграмм. Графика общего назначения показывает местоположение объекта, характеризует его геологическую позицию или технологию производства, либо состояние природной и техногенной сред.

Организация работы

Собранный студентом во время первой производственной практики геологический материал защищается перед комиссией по приёмке полевых материалов. Комиссия определяет направление исследований, которое может быть реализовано на базе имеющегося фактического материала.

Руководитель курсовой работы уточняет тему и формулирует задание курсовой работы, помогает составить программу работ, определить методы и объёмы необходимых и достаточных для решения поставленной задачи исследований, способы обработки и интерпретации получаемых аналитических данных, а также консультирует студента по ходу исследований и контролирует исполнение работы.

Законченную и оформленную курсовую работу студент передаёт руководителю работы для контроля не позднее, чем за две недели до окончания занятий в семестре. Основная часть текста работы должна базироваться на результатах применения студентом лабораторных методов исследования.

2. ТЕМАТИКА КУРСОВЫХ РАБОТ

Тема курсовой работы определяется типом объекта, его изученностью, а также актуальностью ожидаемых результатов исследования. Типы объектов курсовой работы могут быть объединены в три группы:

Геологическая группа объектов разного масштаба исследуется для решения научных и производственных геолого-минералогических задач на разных стадиях поисковых и геологоразведочных работ.

Технологическая и *техническая* группа объектов изучается для решения производственных, технологических, технических и экономических задач в периоды планирования и работы горных и горно-обогатительных предприятий, а также для оценки новых видов сырья и экспертизы проб специального назначения. Объектами являются подготовленные к отработке и отвальные горные массы, продукты рудоподготовки, обогащения, других видов технологического передела сырья и отходы.

Успешное выполнение курсовой работы зависит от правильного выбора методов лабораторного изучения вещества. В результате полученного в рамках курсовой работы опыта студент должен научиться выбирать комплекс методов, с помощью которых он может получить необходимые результаты быстро, самостоятельно и с минимальными экономическими затратами.

Название курсовой работы должно кратко и понятно отражать задачи проведённого исследования, непосредственно изучаемый вещественный объект (минеральный вид, горная порода и пр.) и целевой объект (конкретное геологическое тело, месторождение или территорию, природный или техногенный процесс и т.п.).

Примерный перечень возможных тем курсовых работ:

- Вещественный состав руд месторождения (проявления).

• Гранулометрический и морфометрический состав обломочных осадочных пород как индикатор условий осадконакопления.

• Петрографическая характеристика вмещающих пород месторождения

- Элементный состав минерала (породы) как генетический и поисковый индикатор.

• Текстурно-структурные особенности и минеральный состав руд месторождения (проявления).

• Структуры распада в рудном минерале из различных генетических и технологических типов руд.

• Околорудные метасоматиты …… месторождения.

• Геохимические ассоциации элементов как основа для минералого-петрологической классификации метаморфизованных пород рудного поля (по данным геолого-геохимического картирования масштаба 1:10 000).

• Минеральный и элементный состав руд и его влияние на показатели обогащения.

• Минералогический анализ технологических сортов бокситов методами рентгенографии, термографии и спектроскопии.

• Изучение соотношения Fe/Mg и Fe/Mn в сидеритовых рудах и продуктах ГОКа методом термического анализа.

• Характеристика вещественного состава глин, обработанных реактивами для повышения качества сырья.

• Изменчивость минерального состава донных отложений (по данным шлихо-геохимического картирования масштаба 1:10 000) и т.п.

СТРУКТУРА КУРСОВОЙ РАБОТЫ

Типовой состав пояснительной записки к курсовой работе:

♦ Титульный лист (подписывается студентом и научным руководителем).

♦ Аннотация и библиографические данные работы на русском и иностранном языке (английский, французский или немецкий).

♦ Задание на курсовую работу (подписывается научным руководителем).

♦ Оглавление.

♦ Перечень условных знаков и сокращений (приводятся лишь в случае их использования более трёх-пяти раз).

♦ Введение.

♦ Основная часть (разделы и подразделы текста с иллюстрациями и таблицами).

♦ Заключение.

♦ Библиографический указатель (см. приложение).

♦ Перечень внутритекстовых таблиц (если требуется).

♦ Приложения в виде таблиц (если имеются).

♦ Перечень графических приложений (если требуется).

♦ Графические приложения (если имеются).

В оглавлении перечисляются названия разделов и подразделов основной части с указанием номера начальной страницы.

Во введении сжато излагаются сведения о районе и объекте, происхождении изучаемых образцов (проб), формулируются актуальность, цель и задачи работы, новизна и прикладное значение авторских исследований.

Содержание основной части зависит от темы курсовой работы. Основные разделы приводятся в следующей последовательности.

1. *Общая характеристика изучаемого объекта* (или описание данной фундаментальной либо прикладной проблематики) и состояние исследований в виде реферативного анализа и обобщения работ предшественников и (если имеется) собственного задела. Обязательно тщательное цитирование и отсутствие пропусков в обзоре различных точек зрения, вкладов различных авторов и т.п. Объем раздела 3-5 стр.).

2. *Теоретические основы используемых подходов и методов*. В краткой форме излагаются аспекты, касающиеся решения конкретных задач, поставленных в рамках данной работы.

3. *Методика исследований.* Общую последовательность организации работ целесообразно представить в виде блок-схемы, на которой указывают состояние (класс крупности и т.п.) и масса пробы, характер анализируемого препарата, процедуры пробоподготовки, виды аналитических методов, контрольные измерения и т.п.

Методику изучения описывают для каждого метода анализа в отдельности. Указывают все процедуры подготовки аналитического препарата, приводят точные описания моделей приборов, режима работы и настроек аналитического оборудования таким образом, чтобы позволить независимому исследователю провести идентичную работу для проверки полученных результатов. При написании методического раздела студент должен получить исчерпывающую информацию от начальников аналитических лабораторий и операторов о характеристиках использованных в работе приборов и оборудования.

4. *Описание фактического материала* (образцов, проб), использующегося в работе. Приводят карту фактического материала, документацию места (при необходимости – времени) опробования.

5. *Результаты исследования* (отдельно для каждого метода исследования приводят результаты наблюдений, измерений и расчётов, приводят возможные варианты их интерпретации). Объем раздела 10-12 стр.).

6. *Интерпретация результатов работы* (5-10 стр.). Здесь обсуждают и сопоставляют данные, полученные всеми методами исследования, заключительные выводы приводят в кратких конкретных формулировках.

Разделы 5 и 6 являются ключевыми для оценки всей курсовой работы со стороны приёмной комиссии, поскольку содержат результаты персональной работы автора и представляют собой оригинальный авторский текст с минимумом цитирования. Студент демонстрирует в этих разделах уровень своей квалификации как специалиста, полученной в итоге всего предыдущего процесса обучения.

В *Заключении* (1-2 стр) должны быть кратко охарактеризованы авторские достижения, основные результаты работы и нерешённые проблемы. Отдельно можно привести благодарности частным лицам и организациям, способствовавшим осуществлению работы. Если работа автора финансировалась, обязательно приводят перечень источников поддержки.

ОФОРМЛЕНИЕ КУРСОВОЙ РАБОТЫ

Оформление курсовых работ регламентируется общегосударственными стандартами для отчётов о научно-исследовательской работе и стандартами организаций. Учёт требований стандартов обязателен. Курсовая работа состоит из пояснительной записки и графических приложений. Текстовой материал сброшюровывается. Объём пояснительной записки к курсовой работе, как правило, не должен превышать 25-30 страниц. Крупноформатные приложения (карты, плакаты и т.п.) представляют в рулоне

или вкладывают в папку. В этом случае брошюру и папку с графикой обозначают как первый и второй тома. Текстовой материал печатают на принтере на белой бумаге формата А4 (210 × 297 мм). Нумерация страниц – сквозная, **причем титульный лист и страница с аннотацией не нумеруются, но в количестве страниц учитываются**. Номер 3 присваивается странице с оглавлением. Номер страницы печатается в правом верхнем углу без точки. Текст пояснительной записки делят на разделы, которые имеют собственные заголовки и номера (1, 2 и т.д.). Внутри разделов можно выделять подразделы с самостоятельными заголовками и номерами (2.1., 2.2., 2.3. и т.д.). Более дробное членение текста не рекомендуется.

Обязательны ссылки на литературные и фондовые источники (см. приложение), иллюстрации, таблицы и графические приложения. Ссылки помещают в скобки с указанием соответствующего номера: [11], (рис. 3), (табл. 6), (прил. 2). Формулам присваивают порядковые номера, например, формула (4). Иллюстрации и внутритекстовые таблицы помещают на следующей после первого упоминания странице. Иллюстрации размещают (печатное исполнение, вклеивание) на одной стороне листа; для таблиц допускается двусторонняя печать. Рисунки и таблицы нумеруются. Формат иллюстративных материалов не может превышать 210 × 297 мм. Иллюстрациями являются схемы, зарисовки, чертежи или фотографии. Принимаются фотографии, ксерокопии и фотографические копии; допускается многоцветность оригинала, раскрашивание или нанесение ретуши и условных знаков. Под каждым рисунком помещают исчерпывающую подрисуночную надпись (номер, название, условные знаки и т.д.). Перед названием таблицы указывают её номер в правой надтабличной части листа (Таблица 1). Перенос таблицы на следующую страницу сопровождается надписью «Продолжение (окончание) табл. 1», головка («шапка») таблицы повторяется. Пояснительная записка подписывается автором и руководителем работы.

В приложения выносят аналитические и фактологические материалы информационно-поясняющего и дополняющего характера, которые не являются необходимой доказательной составляющей текста.

Приложения (рисунки или таблицы) нумеруют арабскими цифрами с добавлением перед номером приложения прописной буквы «П» (Рис. П.1, Табл. П.1. и т.д.). Каждую таблицу приложения размещают на отдельной странице, формат таблицы не должен превышать 297 × 420 мм. Графическое приложение – единый чертёж, фотография или композиция из нескольких предметов, выполненная на листе (чертёжная бумага, восковка) формата не менее 400 × 600 мм. Графические приложения объединяют картографические материалы, сводные таблицы, защищаемые генетические и другие схемы, важные иллюстративные крупноформатные материалы и т.д. Из требований по оформлению графических материалов важны следующие:

– необходимо рамочное оформление листов с внутрирамочным размещением материалов. Нумерацию листов выполняют надписью «Приложение 1», которую располагают в правой верхней части надрамочного пространства;

– во внутрирамочном пространстве обязательны к исполнению название (заголовок) материала, легенда (условные знаки и пояснения) и штамп формата 120 × 60 мм, который помещают в правой нижней части;

– безусловно, необходимо указание авторства, год авторского исполнения, а при необходимости – указание ориентировки и масштаба; – допустимо многоцветное тоновое или штриховое оформление;

– картографическая графика масштаба 1:25 000 и мельче обязательно выполняется в строгом соответствии с существующими инструкциями и требованиями.

Список использованной литературы составляется в алфавитном порядке по фамилии авторов или (для сборников и коллективных монографий) по названиям изданий. Первым приводится список опубликованной литературы (вначале русскоязычные, затем иностранные источники), включая учебники, учебные и методические пособия, затем – фондовых материалов.указывается

Для книг указывается: автор (фамилия, инициалы) – Точное и полное название.- Сведения о повторности издания.- Точное место издания (Москва – М, С.- Пб – Санкт-Петербург; остальные города – полностью).- Издательство, год издания. – Количество страниц (например, «180 с.»).

Если книга имеет не более 3 авторов, указываются все авторы или первый, после чего ставится «и др.». Если авторов более трех, то оформление литературного источника возможно двумя способами: или указанием первых трех авторов с добавлением «и др.», или вначале приводится название книги, после него через разделительную черту (/) – просто пишется «кол. авторов», далее – так же как описывается книга одного автора.

Для статьи из журнала указываются: Автор(ы) (фамилия, инициалы). Название статьи.- Название журнала (без кавычек), год, номер, страницы статьи (например, «с. 1-22»).

Для фондовой литературы (отчетов) указываются: Название отчета: Организация, представляющая отчет: Научный руководитель темы (инициалы, фамилия).- Шифр работы; Номер государственной регистрации; Инв. №… - Место написания, год.- Количество страниц.

Примером оформления списка литературы может служить список, приводимый в настоящей методической разработке.

Ссылки на использованные литературные источники в тексте курсовой работы могут быть сделаны двояко: либо указанием в круглых скобках фамилия автора (без инициалов) и года издания (например, «(Коржинский, 1972)»), либо указанием в квадратных скобках порядкового номера работы в приводимом списке литературы («[10]»).

РЕКОМЕНДАТЕЛЬНЫЙ БИБЛИОГРАФИЧЕСКИЙ СПИСОК

Основная литература:

Минералогические исследования в практике геологоразведочных работ /А. И. Гинзбург, В. И. Кузьмин, Г. А. Сидоренко. М.: Недра, 1981. 239 с.

Григорьев Д. П., Жабин А. Г. Онтогения минералов. Индивиды. М.: Наука, 1975. 339 с.

Изоитко В. М. Технологическая минералогия и оценка руд. СПб.: Наука, 1997. 582 с.

Методические основы исследования химического состава горных пород, руд и минералов / Под ред. Г. В. Остроумова. М.: Недра, 1979. 400 с.

Методы минералогических исследований: Справочник. / Под ред. А. И. Гинзбурга. М.: Недра, 1985. 480 с.

Павлова Л. А. и др. Рентгеноспектральный электронно-зондовый микроанализ природных объектов. Новосибирск: Наука, 2000. 224 с.

Методические рекомендации по геолого-геохимическому изучению гидротермально-метасоматических образований при ГСР-50 с общими поисками / Е. В. Плющев, В. В. Шатов, Г. М. Беляев. СПб.: Изд-во ВСЕГЕИ, 1992. 64 с.

Справочник по геохимическим поискам полезных ископаемых/ А. П. Соловов, А. Я. Архипов, В. А. Бугров и др. М.: Недра, 1990. 335 с.

Технологическая оценка минерального сырья. Методы исследований: Справочник / Под ред. П. Е. Остапенко. М.: Недра, 1990. 263 с.

Типоморфизм минералов: Справочник / Под ред. Л. В.Чернышевой. М.: Недра, 1989. 559 с.

Эшкин В.Ю. Поисковая минералогия и минералогическое картирование: Учеб. пособие / Ленинградский горный ин-т. Л.: 1989. 86 с

Дополнительная литература:

Бергер М. Г. Терригенная минералогия. М.: Недра, 1986. 227 с.

Миронов В.Л. Основы сканирующей зондовой микроскопии. М.: Техносфера, 2005. 144 с.

Оптимальный выбор методов изотопно-геохронологических и изотопно-геохимических исследований. СПб.: Изд-во ВСЕГЕИ, 2007. 48 с.

Сает Ю. Е., Онищенко Т. Л., Янин Е. П. Методические рекомендации по геохимическим исследованиям рудных месторождений при проведении геологоразведочных работ по оценке воздействия на окружающую среду горнодобывающих предприятий. М.: ИМГРЭ, 1986. 99 с.

ПЕРЕЧЕНЬ РЕСУРСОВ ИНФОРМАЦИОННО - ТЕЛЕКОММУНИКАЦИОННОЙ СЕТИ «ИНТЕРНЕТ», НЕОБХОДИМЫХ ДЛЯ ОСВОЕНИЯ ДИСЦИПЛИНЫ

- Единое окно доступа к образовательным ресурсам - Режим доступа: http://window.edu.ru
- Издательство «Юрайт» [Электронный ресурс] : электрон.-библиотечная система. – Электрон.дан. – М., 2013- . URL: *http://www.biblio-online.ru.*
- Официальный ресурс Институт геологии рудных месторождений, петрографии, минералогии и геохимии РАН (ИГЕМ РАН) [Электронный ресурс]. – Электрон.дан. – М., 2016

МИНОБРНАУКИ РФ

ФГБОУ ВО «Уральский государственный горный университет»

УТВЕРЖДАЮ
Проректор по учебно-методическому комплексу
_____ А. Зубаков

МЕТОДИЧЕСКИЕ РЕКОМЕНДАЦИИ ДЛЯ САМОСТОЯТЕЛЬНОЙ РАБОТЫ СТУДЕНТОВ ПО ДИСЦИПЛИНЕ ЛАБОРАТОРНЫЕ МЕТОДЫ ИЗУЧЕНИЯ МИНЕРАЛЬНОГО СЫРЬЯ

Специальность
21.05.02 Прикладная геология

Специализация № 1
Геологическая съемка, поиски и разведка месторождений твердых полезных ископаемых

Автор: Малюгин А. А., доцент, к.г.-м.н.

Одобрены на заседании кафедры

геологии поисков и разведки МПИ
(название кафедры)

Зав. кафедрой _____
(подпись)

Душин В. А.
(Фамилия И.О.)

Протокол № 1 от 23.09.2021
(Дата)

Рассмотрены методической комиссией факультета

геологии и геофизики
(название факультета)

Председатель _____
(подпись)

Бондарев В. И.
(Фамилия И.О.)

Протокол № 2 от 07.10.2021
(Дата)

Екатеринбург

1. Направления и тематика лабораторных занятий

В настоящее время, впрочем, как и раньше, перед обучающимися стоит задача освоения методик и приобретения навыков в изучении проб и образцов горных пород и руд, привозимых с производственных и учебных практик для выполнения ими курсовых и выпускных квалификационных работ. Основное внимание при этом концентрируется на выявлении особенностей минерального и химического (в том числе микрохимического) состава проб и образцов, их структурно-текстурных особенностей, выявление и определение характера вторичных (метаморфических, метасоматических и гипергенных) изменений, физико-механических и прочих свойств.

В рамках учебной программы по дисциплине «Лабораторные методы изучения минерального сырья» на практических занятиях, на которые выделяется сравнительно немного времени (60 часов) студент-геолог должен кроме навыков работы с веществом научиться правильной подготовке проб к аналитическим исследованиям, их проведению, систематизации и оформлению полученных им результатов, а также - последующей их интерпретации. Необходимо также уметь формулировать задачи исследований, обобщать полученные результаты и делать выводы.

Основными методами, позволяющими решать эти учебные задачи в рамках практических занятий являются: 1) минералогический анализ шлиховых проб (концентратов) и протолочек, 2) минераграфическое изучение руд в отраженном свете, 3) химический анализ пород и минералов. Кроме того на практических занятиях отводится время для работы с результатами спектрального и химического анализов.

2. Минералогический анализ шлихов и концентратов

Как и любой другой метод исследований минерального вещества минералогический (шлиховой) анализ осуществляется в три этапа: подготовка пробы

(проб) к анализу, собственно анализ проб и расчет минерального состава.

Подготовка пробы к анализу производится путем ее разделения на классы и фракции по размерности (гранулометрический состав) зерен минералов, слогающих шлих, их плотностным (легкая и тяжелые фракции) и магнитным (немагнитная, магнитная и 2-3 парамагнитные фракции) свойствам [33,34]. Такое фракционирование минералогической пробы по разным свойствам минералов, позволяет существенно ускорить выполнение задачи исследований и облегчить определение минералов, а также последующие расчеты содержаний ценных и попутных минеральных компонентов.

Порядок разделения пробы на указанные выше фракции обычно представляется следующим:

1 – взвешивание исходной пробы (шлиха);

2 –квартование («методом кольца и конуса») - разделение пробы на две части: лабораторную и дубликат;

2 – разделение пробы в тяжелой жидкости (бромоформ; ρ = 2,65-2,8 г/см^3) с выделением легкой (ρ < 2,8 г/см^3) и тяжелой (ρ > 2,88) фракций, и последующее взвешивание фракций);

3 – разделение тяжелой фракции по магнитным свойствам минералов: магнитная, 1-я и 2-я парамагнитные и тяжелая немагнитная. Взвешивание фракций.

Схема фракционирования шлиховых проб и концентратов представлена рис. 1.

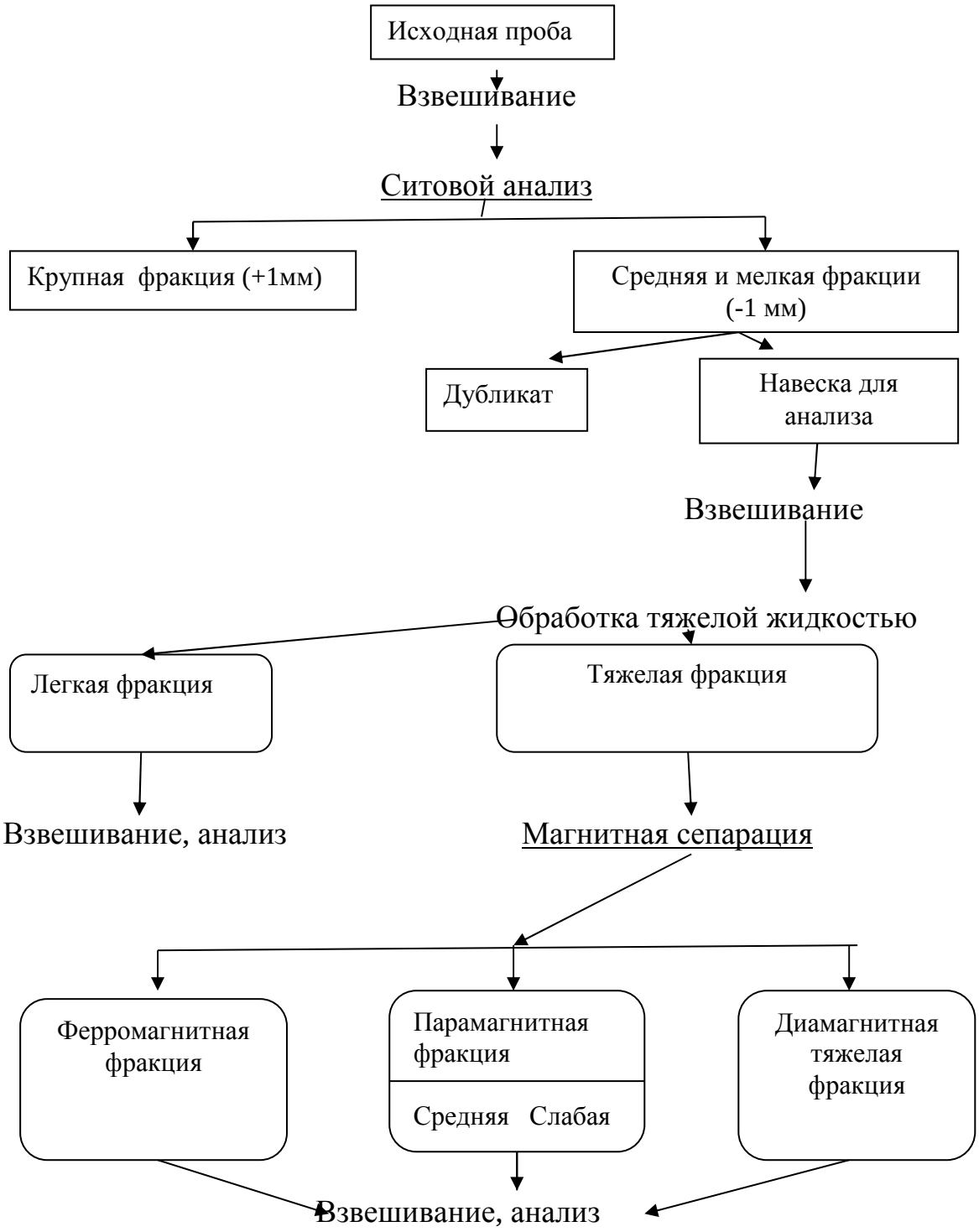


Рис. 1. Схема фракционирования шлиховых проб (по Е.М. Захаровой [10].

При фракционировании пробы по магнитным свойствам пользуются легкими малогабаритными лабораторными магнитами (рис. 2).



Рис. 2. Малогабаритные лабораторные магниты: постоянный магнит Сочнева (слева) для выделения минералов парамагнитных (электромагнитных) фракций, справа - обычный магнит – «стакан» для отделения ферромагнитных минералов.

В случае получения тяжелой немагнитной в большом объеме рекомендуется сократить ее, используя дополнительно тяжелые жидкости с большей плотностью – йодистый метилен (ρ = 3,3 г/см^3), или жидкость Клеричи (ρ = 4,3 г/см^3). Могут быть использованы и другие виды ТЖ – жидкость Туле (ρ = 3,19-3,20 г/см^3), жидкость Клейна (ρ = 3,6 г/см^3) или жидкость Клеричи (ρ=4,27-5,0 г/см^3). Кроме того, в арсенале минералогической лаборатории могут иметься и специальные тяжелые сплавы с плотностью более 4,0: азотнокислое серебро (ρ = 4,1 г/см^3, температура плавления +198^{o}C), азотнокислая закись ртути (ρ = 4,1 г/см^3, температура плавления +70^{o}C) или хлористый свинец (ρ = 5,0 г/см^3, температура плавления +490^{o}C).

Разделение тяжелой жидкостью можно производить несколькими способами: в фарфоровой чашечке, в делительных воронках или центрифугированием. После разделения в тяжелой жидкости легкая и тяжелая фракции промываются спиртом и просушиваются в сушильном шкафу (под вытяжкой).

По окончании фракционирования пробы (проб) приступают к определению минералов в каждой из выделенных фракций. Каждую фракцию отдельно просматривают под бинокуляром (рис. 3.3) и присутствующие во фракции минералы определяют по внешнему виду, плотности, оптическим и химическим свойствам. Большую помощь при диагностике минералов оказывает сравнение их с имеющейся в лаборатории кафедры ГПР МПИ эталонной коллекцией заведомо известных минералов шлихов (рис.3).

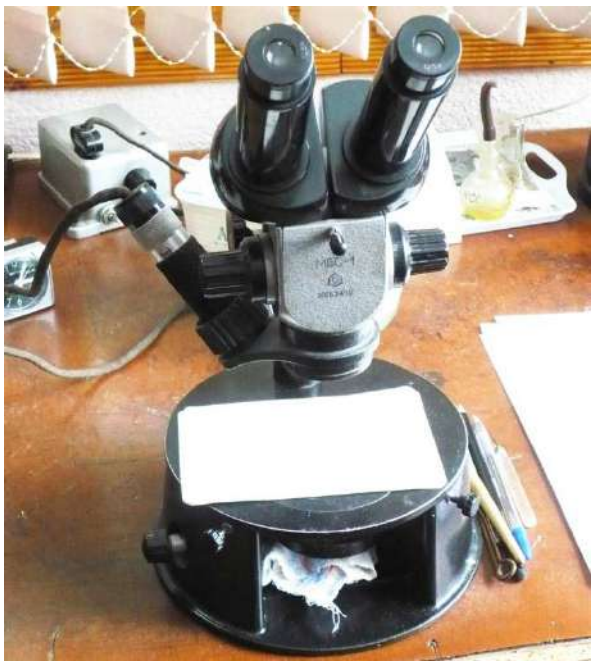


Рис. 3. 1.Бинокулярный микроскоп МБС – 1.



Рис. 3.2. Эталонная коллекция шлиховых минералов

Для определения минералов используются также методы люминесценции, спектрального, рентгенометрического, рентгено-структурного изучения и определения радиоактивности минералов, микрохимические реакции. Непрозрачные минералы иногда исследуют и в отраженном свете.

Визуальная диагностика минералов производится, в основном, по следующим главным их физическим свойствам: габитусу кристаллов, форме зерен и сростков, их прозрачности, окраске, цвету черты, блеску, твердости, наличию (отсутствию) спайности, штриховке, по продуктам вторичных изменений.

Кроме бинокулярного микроскопа (типы МБС-1, МБС-9, МБС-10) для определения минералов необходимы предметное стекло, иглы стальная и медная (для магнитных и мягких минералов), лезвие бритвы, кисточка мягкая, игла с плоским слегка загнутым наконечником («давилка»), паяльная трубка, спиртовка, набор иммерсионных жидкостей (для определения показателей преломления), набор кислот и реактивов (для микрохимической диагностики).

В таблице 3. 2 приводится перечень наиболее часто встречающихся в шлихах минералов и их распределение по фракциям.

Таблица 3.2

Распределение минералов по фракциям

Фракции шлиховых проб, протолочек и концентратов				
Легкая	Тяжелая			
	Ферромагнитная	1 парамаг- нитная	II пара-магнитная-	Тяжелая немагнитная
Кварц Полевые шпаты Мусковит Кальцит Берилл Каолинит Глауконит	Магнетит Титаномагнетит Железо самородное Пирротин Платина железистая	Ильменит Гематит Гетит Хромит Гранаты Амфиболы Пироксены Вольфрамит	Гроссуляр Тремолит Диопсид Эпидот Цоизит Ставролит Титанит Турмалин Монацит	Циркон Рутил Апатит Андалузит Кианит (дистен) Корунд Рубин Топаз Касситерит

			Ксенотим Пирохлор Оливин Хлориты Сфалерит Пирит Шпинель Ортит	Шеелит Барит Флюорит Киноварь Аурипигмент Пирит Галенит Халькопирит Арсенопирит Золото Платина Осмириды Алмаз

Кратко рассмотрим основные физические свойства минералов и некоторые простые приемы их выявления.

2.1. Визуальные методы диагностики минералов

Габитус кристаллов определяется преобладающим развитием тех или иных простых форм. В шлихах целые кристаллы встречаются относительно редко, но они, их обломки, слабо окатанные кристаллы являются важным диагностическим признаком минералов. По габитусу различают кристаллы *призматические* (кварц, турмалин, рутил и т.д.), *столбчатые* (турмалин, берилл и др.), *таблитчатые* (ильменит, гематит, титанит), *дощатые* (), *пластинчатые* (гематит, слюдистые минералы, осмириды), *изометричные* (группа граната, магнетит, шпинель, хромшпинелит, золото, платина). По характеру поверхности граней выделяют кристаллы *гладкие, ямчатые, ступенчатые, штрихованные* [12, 34].

Зерна и сростки минералов в шлихах различаются по форме, размером, степени сохранности и окатанности. Форма зерен зависит от спайности или характера излома. В протолочных пробах этот диагностический признак проявляется плохо и как руководящий при определении минералов «срабатывает» плохо. Об этом следует помнить и следует опираться на другие особенности минералов.

Прозрачность минерала под бинокуляром устанавливают в ненарушенных зернах по их просвечиванию или по характеру порошка – у прозрачных минералов порошок обычно белый или светлоокрашенный, у непрозрачных – темный, совершенно не просвечивающий.

Цвет (окраска) минералов определяется химическим составом минерала или присутствием элементов-примесей. Он бывает самым различным, пород даже у одного минерала (пример, гранаты, минералы группы кварца, самородное золото). Для некоторых минералов цвет является постоянным (устойчивым) признаком (пирит, халькопирит, киноварь и др.). при определении цвета минералов различают окраску, свойственную самому минералу, и окраску, связанную с загрязнением зерен – налеты, пленки гидроокислов Fe, Mn, вторичных минералов.

Блеск для мелких зерен, обычных в шлиховых пробах из токозернистых минеральных образований (пески, алевриты, глины) лучше наблюдать под бинокуляром. Различают минералы с *металлическим* (самородные металлы, окислы, сульфиды), *полуметаллическим* (или *металлоидным*), *алмазным* (алмаз, сфалерит), *жирным* (слюды), *смолянистым* (уранинит), *стеклянным* блеском (кварц, касситерит, шпинель).

Твердость определяют для минеральных зерен размером не менее 0, 5 мм, прочерчивая зернами по стеклянной пластике (предметному стеклу) или по пластинкам минералов набора по шкале Мооса. *Чем тверже минерал, тем тоньше и глубже получается черта*. Твердость определяют также, раздавливая минеральные зерна на

предметном стекле стеклянной палочкой или плоской частью пинцета по силе нажима, звуку растрескивания и характеру нарушения стекла. По этим признакам твердости минералы грубо разделяют на *мягкие*, *средние* и *твердые*. Первые рассыпаются беззвучно при легком нажиме и без следов нарушения на стекле (твердость меньше 3). Вторые раздавливаются с заметным усилием, с глухим звуком, но без следов нарушения стекла (твердость 3-5). Третьи раздавливаются при очень большом усилии, с резким звуком и оставляют на стекле следы разрушения – каверны, царапины, сколы (твердость 6 и больше).

Черта минералов определяется по цвету тонкого порошка, оставленного при раздавливании зерен на фарфоровом бисквите. Наблюдение проводится под бинокуляром, причем одновременно устанавливается характер распределения окраски в минеральных зернах и степень их прозрачности. Для проведения черты зерно минерала вдавливается в тупообразный конец спички, затем проводится черта на форфоровом бисквите.

Спайность, как известно из курса «Минералогия» - это свойство кристаллов раскалываться по плоскостям, параллельным действительным или возможным граням. В зависимости от резкости проявления этого свойства различают спайность *весьма совершенную*, *совершенную*, *среднюю*, *несовершенную* и *весьма несовершенную*. Спайность – важный диагностический признак многих минералов – слюд, амфиболов, пироксенов, карбонатов, полевых шпатов и других.

Излом – форма поверхности, образующаяся при раскалывании минералов, не обладающих спайностью. Излом обусловлен особенностями физических свойств минерального вещества и иногда является характерным диагностическим признаком. В минералах различают излом *раковистый*, *мелкораковистый*, *крючковатый*, *ровный*, *зернистый*, *шероховатый*, *неровный*, *ступенчатый*.

Продукты вторичного изменения затрудняют определение минералов шлиха. Однако о первичном составе пробы позволяют судить характерные формы полных псевдоморфоз вторичных минералов (псевдоморфозы оксидов железа по пириту, каолинита – по полевым шпатам, хлорита – по биотиту и др.), а также реликты исходного минерала в агрегате вторичных изменений (ильменит в лейкоксене, галенит в церрусите и т.п.). В приложении 1 приведены диагностические признаки наиболее частых минералов шлихов [34].

Люминесценция минералов – это способность и светиться под действием ультрафиолетовых, рентгеновских и катодных лучей. Свечение бывает различным по окраске и интенсивности. Оно зависит от характера примесей в минерале (их элементном составе и позиции в кристаллической решетке). К химическим элементам, вызывающим люминесценцию (свечение), относятся редкоземельные металлы, марганец, хром, уран и др. Люминесцентный анализ используется при диагностике алмаза, шеелита, циркона, флюорита, апатита и других минералов.

В качестве источника ультрафиолетовых лучей чаще всего используют осветитель ОИ-18 с фильтром УФС-3 (рис.3.5).



Рис. 3.5. Лабораторный люминоскоп

Применяется также люминесцентный стереоскопический микроскоп ЛЮСАМ-Р1, прибор «Шеелит - 2» и другие. Для катодного и рентгеновского люминесцентного анализов применяют катодные (УКЛ-1) и рентгеновские приборы различных конструкций.

2.2. Определение минералов по оптическим свойствам

Данный вид диагностики выполняется чаще всего с применением иммерсионного метода, позволяющего проводить определение оптических свойств минеральных зерен, помещаемых в оптически изотропную среду (каплю препарата) с определенным показателем преломления – метод также хорош известный в минералогии и петрографии.

Для приготовления иммерсионного препарата небольшое зерно минерала помещают на предметное стекло и, осторожно надавливая другим стеклом, дробят на мелкие кусочки. Затем под покровное стекло впускают каплю жидкости с определенным показателем преломления. Полученный иммерсионный препарат переносят на столик микроскопа и изучают оптические свойства минерала.

При определении показателей преломления пользуются набором иммерсионных жидкостей с определенными показателями преломления и с помощью эффекта Бекке подбирают жидкости с показателем n_1 и n_2 , близким к n изучаемого (определяемого) минерала. Обычно опытный минералог предварительно предполагает, с каким минералом (или группой минералов) он «имеет дело», и подбор иммерсионной жидкости не занимает много времени. Поэтому такая операция не занимает много времени, но в тех случаях, когда речь идет о редких и особенно ценных рудных минералах, приходится работать максимально аккуратно и точно.

Для удобства определения минералов шлихов по их оптическим свойствам составлены таблицы, в которых минералы расположены по величинам показателей преломления. Такие таблицы имеются во всех минералогических и технологических лабораториях предприятий геологического профиля.

2.3. Микрохимические реакции

В случае неоднозначности определения минералов на основании его физических свойств необходимо применять простейшие химические реакции, описание которых имеется в руководствах по шлиховому анализу (Копченова,1979; Кухаренко, 1967). В настоящем пособии мы ограничимся описанием некоторых, так называемых плёночных реакций:

1) Реакция на вольфрам (для шеелита). В фарфоровую чашку насыпается часть исследуемой фракции, заливается 1-1,5 $см^3$ концентрированной соляной кислоты (HCl) и нагревается до кипения над пламенем спиртовки в течение 3-5 минут. Затем кислота удаляется пипеткой и той же пипеткой для обесцвечивания раствора дважды производится промывка шлиха. После того, как промывная вода будет удалена пипеткой, шлих просматривается под бинокуляром. При наличии в нем зерен шеелита последний резко выделяется среди других минералов пробы своим серо-желтым налетом (пленкой) трехокиси вольфрама на поверхности зерен. Контрольная реакция производится путем прикосновения железной (оловянной или цинковой) иглой к зерну шеелита, причем серо-желтый налет в течение 1-2 секунд сменяется индигово-синим или иссиня-черным (образуется соединение W_2O_5). В результате реакции зерна шеелита настолько четко выделяются, что могут быть легко пересчитаны.

2). Реакция на получение «оловянного зеркала» - определение касситерита (SnO_2).

Шлих насыпается тонким (в одно зерно) слоем на цинковую пластику и заливается концентрированной соляной кислотой. По окончании вскипания, сопровождающегося шипением, шлих переносят в фарфоровую чашечку и подвергают его просмотру под бинокуляром. В случае присутствия зерен касситерита, последние покрываются сверху тонкой серой пленкой металлического олова (оловянное зеркало) и становятся ясно различимыми среди массы остальных зерен шлиха.

3). Определение некоторых свинцовых минералов из зоны окисления (церуссит, вульфенит, ванадинит, пироморфит) также производится на цинковой пластинке с соляной кислотой. На пластинку помещают испытуемое зерено и заливают каплей концентрированной HCl. На свинцовых минералах появляется пленка металлического свинца.

4). Свинцовые минералы также определяют путем погружения их в водный раствор иодистого калия (KJ) с получение в итоге окрашенных пленок. Следует иметь в виду, что реакция KJ с англезитом происходит на холоду (т.е. без нагревания) с образованием золотисто-желтой пленки двуиодистого свинца (PbJ_2). Такие минералы, как церусси, вульфенит, ванадинит, пироморфит подвергают предварительной обработке на холоду серной кислотой в соотношении 1:1, чтобы получить на них пленку сульфата свинца. Затем эта пленка в водном растворе иодистого калия образует золотисто-желтую пленку двуиодистого свинца.

5). Определение танталита, колумбита и ильменита производят следующими способами. Шлих, в котором предполагается наличие *тантало-ниобатов*, засыпают фарфоровый тигель, заливают крепкой (разбавленной) серной кислотой и кипятят до появления белых паров, при этом на поверхности зерен определяемых минералов появляется характерная сетчатая пленка белесого или грязновато серовато-)-белого цвета. (Образование сетчатой пленки происходит по двум системам трещин спайности, пересекающихся под прямым углом). *Ильменит* при таких же условиях приобретает тонко-шероховатую поверхность с равномерной серой окраской с характерным фиолетовым оттенком.

Все определенные минералы должны быть описаны, что желательно делать по единому плану. В описании указывается название минерала, размер зерен, форма зерен, твердость, блеск, цвет, прозрачность, черта, окатанность, наличие включений (и их состав), окатанность.

После проведения минералогического анализа необходимо произвести количественную оценку ценных минералов, т.е. определить их содержание в шлихе (протолочке). Это можно сделать для всех минералов, обнаруженных в пробе, или рассчитать содержания только для ценных минералов (например, золото, платина, касситерит, киноварь, циркон,

монацит, вольфрамит и т.п.). Результаты минералогического анализа (без описания характеристик минералов) заносятся в специальный формуляр (табл. 3.3), в котором также фиксируются: номер пробы, сведения о месте отбора пробы, вид анализа, начальный вес пробы, вес анализируемой навески и составляющих её фракций и другая информация.

Таблица 3.3

Формуляр для записи результатов минералогического анализа шлиховых и протолочных проб

Организация Заказчик *УГПП*		№ пробы *Ш-12*		Глубина (интервал) отбора пробы *1,5-1,75 м*			
Карта минералогического анализа							
Название породы *песок среднезернистый с гравием*				Вид анализа *полный полуколичественный*			
Вес пробы	Вес навески пробы	Объем промытой породы	Вес шлиха	Вес навески шлиха	Вес тяжелой фракции	Вес легкой фракции.	

Минералы	Фракции						Класс -0,05 мм	В % к шлиху	Выход минералов (г/м^3)
	Магнитная	I парамагн	II парамагн	немагнитная	+0,5 мм	легкая			
	Вес, г	Вес, г	Вес, г	Вес, г	Вес, г	Вес, г	Вес, г		
	10.59	*8,6*	*14,0*	*00,55*	*20,7*	*30,0*	*0,5*		
Магнетит	1100								39,8
хромит	езн								
Гранат	езн	40	1		8				75,9
Ильменит		23	еез		10				45,0
Хлорит		ез							
пирит			ерз	ез					
Золото				12 зн					После взвешивания 25 мг/м^3

2.4. Определение процентного содержания ценных минералов

Примерная количественная характеристика минералов шлиха определяется при его изучении под бинокуляром. Обычно для количественного определения минералов шлих разделяют на ситах. Из крупных фракций минерал отбирают под бинокуляром и взвешивают, а в мелких классах определяют его процентное содержание путем подсчета числа зерен минерала, встречающихся среди 800 – 1000 зерен фракции. Подробно эта методика описана в специальных руководствах [15, 18].

Для быстрого приближенного количественного определения минералов, особенно в полевых условиях, можно использовать объемно-весовой метод [12]. Из тяжелой (или электромагнитной) фракции выделят 4-5 тонких полосок шлиховых минералов длиной до 10 мм и шириной около 1 мм (в 1-2 зерна), замеряют длину этих полосок. Затеи из каждой полоски выделяют при помощи иглы зерна ценного минерала (например, золота, касситерита), располагают их в виде полоски той же ширины (т.е. около 1 мм) и замерят длину полоски. Отношение полоски ценного минерала к длине исходной полоски, умноженное на 100, дает объемный процент содержания минерала в данной фракции. Подобным же образом подсчитывают объемный процент в остальных 3-4 полосках и берет среднее арифметическое значение из 4-5 подсчетов.

Например, длина исходной полоски 10 мм, длина полоски ценного минерала (касситерита) – 3 мм; объемный процент (V_1) содержания касситерита в тяжелой фракции будет:

$$V_1 = 3/10 * 100 = 30\ \% \qquad (1)$$

Средний объемный процент содержания по нескольким таким полоскам легко рассчитать по формуле

$$Vcp = (V_1 + V_2 + V_3 \ldots + Vn) : N \qquad (2)$$

где V_1 ; V_2 ;V_3… Vn - объемное содержание минерала в полосках шлиха;

N – общее число полосок шлиха, использованных (просмотренных) в ходе анализа.

Для получения весового содержания минерала в пробе (г/м^3 или г/т) расчеты необходимо производить с учетом плотности каждого из минералов и удельного веса всей остальной массы минеральных зерен шлиха. Эти данные берутся из минералогических таблиц. В итоге весовое содержание минерала рассчитывают по следующей формуле:

$$X = \frac{У * d * 100}{У * (d - d_1) + 100 d_1} \qquad (3)$$

где X – весовой процент; У – объемный процент; d- плотность ценного минерала (берется из справочника); d_1 – удельный вес всей остальной массы минеральных зерен шлиха (грубо 4 г/см^3).

Полученные при расчетах значения весового или объемного содержания заносят в формуляр (табл.4).

Зная весовой процент ценного компонента, вес шлиха, вес навески шлиха, вес исследуемой фракции, объем промытой породы, можно подсчитать содержание ценного минерала в россыпи в г/м^3 или г/т по формулам:

-для первого случая (см. формулу 1)

$$\mathbf{C_1 = \frac{P * g * x}{V * P' * 100\ \%}} \qquad (4)$$

-для другого случая (формула 3)

$$\mathbf{\frac{P * g * x}{}}$$

$$C_3 = \frac{g \cdot x \cdot 100\ \%}{d \cdot V \cdot P' \cdot 100\ \%} \qquad (5)$$

где C_1 и C_3 – содержание проанализированного материала (соответственно в г/м^3 и г/т); P – масса шлиха (в граммах); g – масса исследуемой фракции (в граммах); P' – масса навески для анализа (в граммах); x- вычисленное при анализе содержание анализируемого минерала во фракции (вес. %); V – объем шлиховой пробы (м^3); d- объемная масса опробованных рыхлых отложений

Обычно такими расчетами минералогический анализ заканчивается и его результаты передаются заказчику, но минералогические исследования продолжаются более детальным изучением других особенностей ценных минералов, имеющего своей целью выявление у них типоморфных признаков, позволяющих решать вопросы генезиса объекта исследований и его промыщленных перспектив как самих россыпей, так и эндогенного оруденения, послужившего для них коренным источником ценных компонентов. Такие исследования занимают важное место в практике геологических работ, особенно на поисковой стадии.

Изучение типоморфизма минералов носит комплексный характер: кроме получения данных о гранулометрических и морфологических характеристиках зерен ценных компонентов, выявляемых уже при минералогическом анализе. Используются и другие аналитические методы – химические, спектральные, рентгеновские, рентгеноспектральные, электронно-микроскопические, В настоящем пособии остановимся только на внешних (физических) характеристиках минералов, наблюдаемых под бинокулярным микроскопом.

2.5. Изучение типоморфизма минералов при минералогическом анализе (на примере золота)

Самородное золото - минерал «пластичный» по отношению к факторам рудо- и россыпеобразования, и по этой причине более сильно изменчиво в плане морфологии, физико-механических свойств, макро- и микрохимического состава. Минералого-геохимические признаки самородного золота позволяют исследовать различные аспекты пространственно-генетической связи эндогенных и экзогенных месторождений и на этой основе:

- получать дополнительные сведения о типах золотого оруденения, возможных глубинах его формирования и стадийности рудного процесса;
- обосновывать формационную природу и тип оруденения; прогнозировать возможный масштаб коренного источника (по соотношению в россыпях и шлиховых ореолах золота разной пробы и морфологического состав);
- определять время поступления в россыпь и доказывать наличие древних россыпей и промежуточных коллекторов;
-обосновывать наличие золота в коренных источниках на уровне современного эрозионного среза и решать вопрос об их пространственной позиции [2].

Изучение типоморфизма выделений самородного золота предусматривает [19-23, 32] исследование морфологии золотин (морфологии кристаллов и кластогенных частиц, особенностей рельефа и микрорельефа поверхности), определение химического состава обособлений золота (пробность, макро- и микропримеси как индикаторов формационной природы и признаков геохимической специализации провинций, зональности месторождений), выявление структур и субстструктур золотин, являющихся индикаторам и условий рудообразования и, в равной степени – эпигенетических процессов [2].

Вопросы типоморфизма решаются путем скрупулезного сбора и анализа информации при изучении монофракций минералов и в условиях кратковременности курса перед обучающимися стоит задача приобрести навыки наблюдения и фиксации размеров и морфологических и других внешних особенностей изучаемых частиц. Алгоритм исследований кратко изложен А.Г. Баранниковым на примере самородного золота [2].

2.5.1. Изучение формы выделений самородного золота

Форма частицы (зерна) – одна из особенностей минерала, которая позволяет судить о среде и условиях его выделения. На важное значение изучения морфологии золотин указывает Н.В. Петровская [22], акцентируя внимание на некоторых морфологических особенностях самородного золота, имеющих типоморфное значение. В их числе:

- многообразие форм выделений;
- наибольшая частота встречаемости видимых обособлений свободного металла свойственна месторождениям золото-кварцевой формации;
- свободное золото состоит из сростков ксеноморфных и идиоморфных очертаний в зависимости от конфигурации пространства для роста золотин;
- в малосульфидных рудах больших глубин кристаллические индивиды: при переходе к малоглубиным месторождениям их роль уменьшается, но возрастает степень совершенства кристаллов;
- удлиненные и уплощенные кристаллы характерны для средне-малоглубинных объектов;
- комковидные разности преобладают там, где предшествовавшие рудоотложению тектонические подвижки привели к локальному растрес- киванию минеральных агрегатов без возникновения протяженных трещин;
- для участков интрарудного рассланцевания характерны трещинные выделения;
- интерстициальные обособления отвечают как комковидным, так и чешуйчатым разновидностям;
- широкое распространение имеют и гемидиоморфные (частично ограненные) золотины;
- проволоковидные, ветвящиеся, дендритовидные агрегаты обычно характерны для средне- и малоглубинных руд.

При работе с монофракциями исследования лучше производить на морфометрической основе, сопровождая первоначальную диагностику формы частиц замером их длины (A), ширины (B) и толщины (D). Для замеров используется объектив с масштабной линейкой. Размеры зерен определяют, руководствуясь таблицей 4.

Таблица 3.4

Шкала для определения размеров зерен
(микроскоп МБС-1,2,9, окуляр 8^x)

Увеличение на барабане	Малое деление (1мм)	Большое деление (1см)
	Истинное значение, мм	
0,6	0,17	1,7
1	0,10	1,0
2	0,05	0,5
4	0,025	0,25
7	0,017	0,17

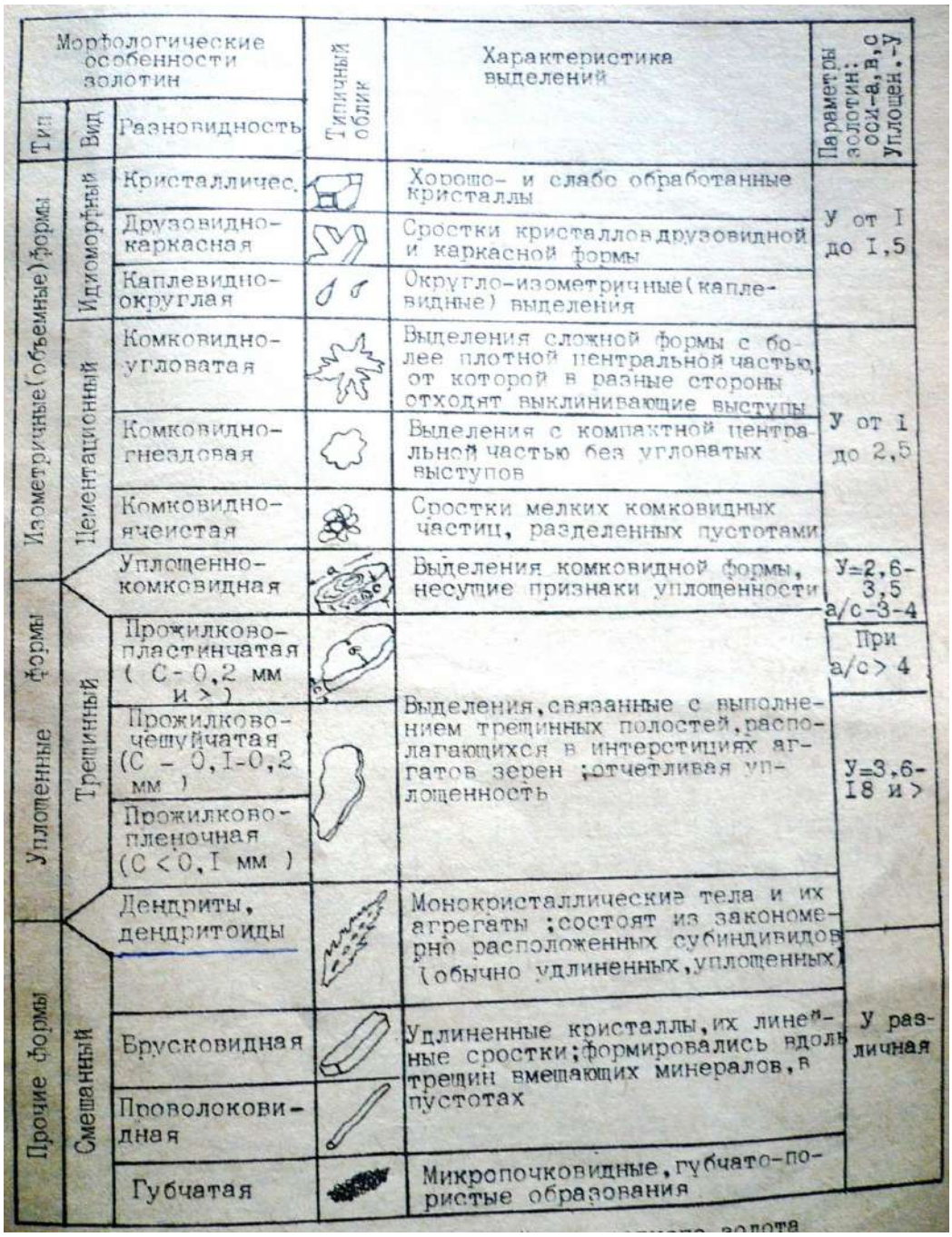
На основе выполненных морфометрических замеров рассчитывают «коэффициенты формы» для каждого зерна: коэффициент удлиненности (Куд = а/с или Куд = а/в) и коэффициент уплощенности (К упл = (а+в)/2с или

$$Купл = \frac{(а+в)}{2с} - 1$$ (по Вассоевич, 1967 [4]).

Такие расчеты коэффициентов формы позволяют однозначно отнести золотину к определенному типу, виду, разновидности, руководствуясь значениями «коэффициентов формы», в соответствии с рекомендуемыми для этого терминами, приведенными также в таблице 3.5.

Таблица 3.5

Систематика выделений самородного золота
(по Петровской, 1973 [18]; Баранникову,1994[2])



Морфологические особенности золотин: Тип	Вид	Разновидность	Типичный облик	Характеристика выделений	Параметры золотин: соотношение а, в, с; уплощенность - у
Изометричные (объемные) формы	Идиоморфный	Кристалличес.		Хорошо- и слабо обработанные кристаллы	у от 1 до 1,5
		Друзовидно-каркасная		Сростки кристаллов друзовидной и каркасной формы	
		Каплевидно-округлая		Округло-изометричные (каплевидные) выделения	
	Цементационный	Комковидно-угловатая		Выделения сложной формы с более плотной центральной частью, от которой в разные стороны отходят выклинивающие выступы	у от 1 до 2,5
		Комковидно-гнездовая		Выделения с компактной центральной частью без угловатых выступов	
		Комковидно-ячеистая		Сростки мелких комковидных частиц, разделенных пустотами	
Уплощенные формы		Уплощенно-комковидная		Выделения комковидной формы, несущие признаки уплощенности	у=2,6-3,5 а/с-3-4
	Трещинный	Прожилково-пластинчатая (С-0,2 мм и >)		Выделения, связанные с выполнением трещинных полостей, располагающихся в интерстициях агрегатов зерен; отчетливая уплощенность	При а/с > 4
		Прожилково-чешуйчатая (С - 0,1-0,2 мм)			у=3,6-18 и >
		Прожилково-пленочная (С < 0,1 мм)			
Прочие формы		Дендриты, дендритоиды		Монокристаллические тела и их агрегаты; состоят из закономерно расположенных субиндивидов (обычно удлиненных, уплощенных)	у различная
	Смешанный	Брусковидная		Удлиненные кристаллы, их линейные сростки; формировались вдоль трещин вмещающих минералов, в пустотах	
		Проволоковидная			
		Губчатая		Микропочковидные, губчато-пористые образования	

Результат морфологических исследований лучше представлять в виде таблицы, в которой одновременно фиксируются результаты замеров частиц минерала (табл. 3.6).

Таблица3. 6

Формуляр для заполнения данными морфометрического анализа монофракций минерала

№ зн	Размеры, мм			Морфологические типы						Коэффициенты формы		
	длина	**ширин**	**толщина**	**кристаллы**	**Комковидные**	**Пластинчатые**	**брусковидны**	**крючковаты**	**ГМ**	**Кудл**	**Купл**	**Ккр**
1												
2												
3												

При изучении и описании золота, платиноидов и других минералов россыпей кроме морфометрических показателей обязательно определение степени окатанности частиц, оцениваемой визуально по 6 - бальной шкале. При этом лучше пользоваться принятым в практике работ трафаретом, предложенным в 1953 году М.С. Пауэрсом, или традиционно руководствуясь следующими указаниями:

1 балл – золото неокатанное (рудного облика);
2 балла – почти неокатанное;
3 балла – слабо окатанное;
4 балла – среднеокатанное;
5 баллов – хорошо окатанное;
6 баллов – идеально (очень хорошо) окатанное.

Наличие в пробах неокатанного и слабокатанного золота обычно рассматривается как индикатор близкого расположения коренного источника (или малой удаленности россыпей от области питания). Чем выше окатанность частиц минерала, тем более длительную транспортировку, как считается, он (минерал) испытал. Обычно в так называемых россыпях «ближнего сноса» (до 1 км от области питания) существенно (до 80-100 %) преобладает «металл» слабой окатанности (до 3 баллов), в россыпях «умеренного сноса» (первые км) – среднеокатанный (3-4 балла), в россыпях «дальнего сноса» - превалируют хорошо окатанные (5-6 баллов) частицы. Но при этом следует иметь в виду, что подобная схема распределения является идеализированной и характеризует простую систему «коренной источник – россыпь» в виде единого линеамента, что в природе бывает достаточно редко.

При изучении морфологических особенностей всегда необходимо помнить о том, что процесс россыпеобразования является длительным, многостадийным и разнообразным по условиям формирования и преобразования продуктивных отложений. При этом каждый этап (стадия) россыпеобразования оставляет свой след в облике зерен россыпных минералов.

Также всегда следует учитывать, что в россыпеобразовании могут участвовать коренные источники различных генетических типов, в которых ценные минералы обладают не только разными мофологическими особенностями, но и различной размерностью частиц. В зависимости от характера и динамики транспортирующей среды (водный, воздушный потоки, твердый сток) частицы разного размера и формы по-разному реагируют и преобразуются в ходе транспортировки: сильнее всего эволюционируют

крупные объемные формы и, наоборот, слабее меняется облик уплощенных и мелких частиц.

Перейдем к другим характеристикам самородного золота, которые также можно наблюдать при минералогическом анализе и использовать в качестве типоморфных признаков его образования и преобразования. К таковым относятся механические деформации, вторичные (гипергенные) налеты и первичные минеральные включения.

Деформации (изгиб отростков, наклёп краёв, абразивная штриховка) возникают при транспортировке частиц (во взвешенном или влекомом состоянии) или их переотложении (в процессе размыва промежуточных коллекторов) в результате соударения с частицами или обломками более твердых пород и минералов. Деформации изгиба выражаются в виде загнутых внутрь (к центру частиц) утонченных плоских краев или тонких отростков иногда вплоть до смыкания с «ядром» частицы (рис.). Чаще всего этот вид деформации указывает и почти всегда трактуется как признак размыва более древних металлоносных осадков (россыпей), независимо от генезиса (пролювиального, аллювиального или морского), но преимущественно грубообломочных- гравийно-галечных, галечных или валунно-галечных.

Наклёп выражается в утолщении краев частиц также в результате соударений с твердыми обломками при транспортировке в виде «волочения по дну» или во взвешенном состоянии, по-видимому, преимущественно при начальном россыпеобразовании в паводковых условия [20-23]. Некоторые исследователи связывают возникновение этих деформаций с волноприбойными процессами в морских условиях, а также в результате эолового перевевания песков на суше. В результате наклепа образуются необычные, так называемые «тороидальные» частицы с характерными утолщениями краев («валиков») плоских золотин, а при интенсивном и длительном наклепе такие тороиды эволюционируют до полного смыкания, образуя шаровидные полые внутри зерна [21]. Генетическая интерпретация таких форм частиц неоднозначна, но механизм образования обоснован и подтвержден экспериментально (Филиппов, Филиппова, 1981).

Абразивная штриховка выражается в виде хорошо видных под бинокуляром одиночных, а чаще некоторого числа царапин на поверхности частиц россыпного золота и платины, которые возникают также при их соударении с твердыми зернами сопутствующих минералов как при транспортировке в водной или воздушной среде, так и при переотложении частиц из более древних осадочных пород.

Признаком переотложения россыпеобразующих минералов являются вторичные (гипергенные) налеты, покрывающие большей частью углубления на поверхности золотин (а также и других минералах россыпей или кор выветривания). Они образуют пленки или корочки окислов железа или марганца, осаждающиеся в результате восстановления из слабоминерализованных подземных вод, инфильтрующихся через продуктивные осадочные отложения или коры выветривания. Нередко аналогичные пленки образуются и в результате окисления сульфидов (пирит, халькопирит, пирротин и др.), окислов (магнетит, гематит, мартит) или карбонатов. При транспортировке или переотложении россыпеобразующих минералов, такие налеты и корки, как, правило, механически разрушаются и иногда полностью исчезают. Считается, что образование вторичных пленок и налетов происходит при длительной консервации минералов в россыпном теле, т.е. как бы «в состоянии покоя» россыпи, когда она не подвергалась водной боковой или глубинной эрозии. Из этих представлений и определяется типоморфное значение этого признака.

Минеральные включения – не простой диагностический признак, но часто один из важнейших при прогнозировании и поисках коренных источников россыпеобразующих минералов. Нередко их определение является прямым указанием на конкретный

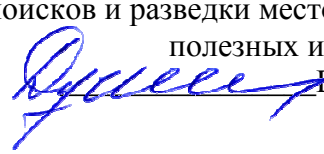
генетический (геолого-промышленный) тип оруденения (например, кварц, фуксит, киноварь, блеклые руды, хромит). Первые наблюдения производятся под бинокулярным микроскопом, используя при диагностике внешние характеристики минералов – морфология зерен, цвет, блеск, показатели преломления, спайность (или характер излома), размерность выделений. Для более точной диагностики рудных минералов следует использовать методы рудной микроскопии (см. главу 2), или электронной (растровой) микроскопии, позволяющей определять минералы включений по химическому составу, что особенно важно при их малой (менее 100 мкм) размерности.

Литература

1. Бадалов С.Т. Минералого-геохимические особенности золоторудных месторождений и рудопроявлений Алмалыка// Рудные формации и основные черты металлогении золота Узбекистана. Ташкент: ФАН, 1969. С. 127-134.
2. Баранников А.Г. Изучение самородного золота при проведении поисковых работ. Методические указания
3. Гинзбург А.И., Кузьмин В.И., Сидоренко Г.А. Минералогические исследования в практике геологоразведочных работ. М.: Недра, 1981. – 237 с.
4. Довжикова Е.Г. Петрохимические пересчеты. Метод CIPW. Методические указания к лабораторным работам. Ухта, УГТУ, 2013. - с.
5. Захарова Е.В. Минералогия россыпей. М.: Недра, 1994. – 271 с.
6. Копченова Е.В. минералогический анализ шлихов и рудных концентратов. М.: Недра, 1979. - 247 с.
7. Мурзин В.В., Малюгин А.А. Типоморфизм золота зоны гипергенезам(на примере Урала). Свердловск: УНЦ АН СССР, 1978. – 76 с.
8.
9. Николаева Л.А., Гаврилов С.Н. Методическое руководство по изучению самородного золота при ГРР. М., ЦНИГРИ, 1985. - 74 с.
10. Петровская Н.В. Самородное золото. М.: Наука, 1973. -345 с.
11. Угрюмов А.Н. Шлиховой метод поисков. Часть 2. Методика минералогического анализа шлихов (Методические указания к практическим занятиям по дисциплине «Прогнозирование и поиски МПИ»). Екатеринбург: Изд-во УГГГА, 1996. - 26 с.
12. Яблокова С.В. Определение относительного времени поступления золота в россыпи (на примере Яно-Колымского пояса и Чукотки) / Древние и погребенные россыпи СССР. Ч. 2. Киев: Наукова думка, 1977. С. 118-120.

МИНОБРНАУКИ РФ

ФГБОУ ВО «Уральский государственный горный университет»

УТВЕРЖДАЮ
Заведующий кафедрой геологии,
поисков и разведки месторождений
полезных ископаемых

В.А.Душин

МЕТОДИЧЕСКИЕ УКАЗАНИЯ К САМОСТОЯТЕЛЬНОЙ РАБОТЕ СТУДЕНТОВ ПО ДИСЦИПЛИНЕ

Б1.В.09 ГЕОХИМИЧЕСКИЕ МЕТОДЫ ПОИСКОВ

Специальность:

21.05.02 Прикладная геология

Специализация
Геологическая съемка, поиски и разведка месторождений твердых полезных ископаемых

форма обучения: очная, заочная

Автор: Малюгин А.А., к.г.-м.н., доцент

Одобрены на заседании кафедры
Геологии, поисков и разведки МПИ
(название кафедры)
Протокол № 1 от 26.09.2023
(Дата)

Екатеринбург

ОГЛАВЛЕНИЕ

ВВЕДЕНИЕ
Цели и задачи интерпретации, оценки и разбраковки геохимических аномалий
1. Законы распределения случайных величин, используемых в практике геохимических работ
1.1.Группирование исходных данных
1.2.Построение гистограмм и вариационных кривых
1.2.1 Типы кривых распределения, наиболее часто встречающиеся в практике геохимических работ
1.2.2. Нормальный закон распределения
1.2.3. Логнормальное (логарифмически-нормальное) распределение
2. Определение геохимического фона и аномальных содержаний
2.1. Определение геохимического фона и аномальных содержаний при нормальном распределении
2.2. Определение геохимического фона и аномальных содержаний при логнормальном Распределении
2.3. Использование интегральных графиков
2.4. Определение параметров логнормального распределения
3. Аналитические методы определения закона распределения
3.1. Определение законов распределения с помощью оценок асимметрии (А) и эксцесса (Е)
3.2. Проверка закона распределения с помощью критерия Пирсона
4. Определения корреляционной связи между содержаниями элементов
4.1. Вычисление выборочного коэффициента корреляции
4.2. Вычисление коэффициента ранговой корреляции Спирмена
4.3. Интерпретация значений коэффициента корреляции
4.4. Уравнение регрессии
5. Показатели, используемые при изучении геохимических аномалий
5.1. Кларк и коэффициент концентрации
5.1.1. Построение геохимических спектров и их интерпретация
5.2. Показатели количественной оценки геохимических ореолов
5.3. Показатели зональности ореолов и оценки глубины эрозионного среза геохимических ореолов, рудных тел и рудовмещающих структур
Список литературы
Задания для практических работ
Приложения

Введение

Геохимические методы поисков, основанные на закономерностях распределения химических элементов в различных геосферах Земли, прочно вошли в практику геологоразведочных работ и широко применяются во всем мире. Многолетний опыт выявления рудных месторождений по первичным и вторичным ореолам рассеяния доказал высокую эффективность применения (использования) поисковой геохимии, позволяющей при сравнительно небольших затратах, находить промышленно значимые, в том числе трудно открываемые и слабо проявленные на поверхности месторождения.

Предметом исследований поисковой геохимии выступает геохимическое поле и составляющее его локальные аномалии. Фактически, любое рудное месторождение сопровождается первичными и вторичными ореолами рассеяния основных и сопутствующих химических элементов, которые могут быть выявлены геохимическими методами. Обнаружение таких ореолов и потоков рассеяния, установление их природы (генезиса), промышленной значимости и прогнозная оценка геохимических аномалий во многом определяются профессионализмом геолога-геохимика не только в ходе полевых исследований, но в большей мере, при проведении количественной интерпретации геохимических данных.

В практике геохимических поисков важнейшее значение имеет математическая обработка получаемой информации – от изучения распределения химических элементов в природных средах (лито-, гидро, био- и атмосфере) до разбраковки и прогнозной оценки геохимических аномалий. Среди методов и приемов прогнозирования и оценки объектов по геохимическим ореолам наиболее известны и широко применяются геостатистические, использующие статистические соотношения между характеристиками рудных тел и связанных с ними геохимических ореолов.

Настоящее пособие направлено на знакомство студентов с основными принципами этих методов и включает в себя изложение способов количественной интерпретации и графического изображения результатов геохимических данных, а также примеры типовых задач с описанием их решения.

Несколько слов от составителя. *Поисковая геохимия – наука молодая (ведь ей нет еще и ста лет), кардинальных изменений ее теоретические основы не претерпели, а законы поведения химических элементов в различных геологических средах остались прежними, как и правила математической статистики, применяемые при обработке анализов и интерпретации результатов геохимических поисков. Излагаемый в пособии материал ранее публиковался в аналогичном пособии В.И.Чеснокова и О.Н.Грязнова (1982) и на нем «выросло» не одно поколение геологов-поисковиков (выпускников СГИ, УГИ, УГГГА, УГГУ), успешно применявших геохимические исследования в своей работе в разных регионах СССР, России и зарубежных стран. Поэтому, в знак большого уважения в предлагаемом учебном пособии разработки В.И. Чеснокова и О.Н. Грязнова представляются без изменений с пояснениями и добавлениями составителя, ведущего занятия по этой дисциплине в настоящее время.*

1. Цели и задачи интерпретации, оценки и разбраковки геохимических аномалий

Под *интерпретацией* геохимических аномалий понимается последовательность действий, возникающая вслед за их выявлением. Конечным результатом оценки геохимической аномалии продолжающаяся вплоть до принятия обоснованного решения о уровне перспективности объекта и целесообразности его дальнейшего изучения (Геохимический словарь…).

Оценка геохимической аномалии – качественная и количественная характеристика геохимических параметров аномалии, на основании которых определяется ее природа (рудная, безрудная, техногенная), продуктивность, тип прогнозируемого оруденения, уровень вскрытия аномалии (уровень эрозионного среза), промышленная значимость. Конечным результатом оценки геохимической аномалии является подсчет прогнозных ресурсов полезных ископаемых.

Разбраковка аномалий представляется как совокупность методических приемов, позволяющих получить ответы на два основных вопроса: 1) связана ли аномалия с рудным объектом и, если связана, то 2) каковы параметры изучаемого объекта.

В общем случае при интерпретации, оценке и разбраковке геохимической аномалии решаются следующие основные задачи:

- выделение и оконтуривание геохимической аномалии (аномалий);
- определение рудно-формационной природы (генезис) аномалии;
- выяснение особенностей внутреннего строения аномалии – зональность;
- оценка уровня эрозионного среза аномалии;
- разбраковка аномалии;
- определение условий залегания оруденения;
- оценка масштабности оруденения

Перечисленные задачи решаются в той или иной степени в зависимости от масштаба поисковых работ и иерархического ранга изучаемого рудного объекта (рудный район, рудный узел, рудное поле, месторождение).

Полный цикл обработки и интерпретации результатов геохимических поисков включает в себя, по крайней мере, пять самостоятельных этапов:

1. Оценка статистических параметров распределения элементов в геохимическом поле;
2. Выделение в геохимическом поле аномалий путем вычисления нижней аномальной границы;
3. Определение природы и параметров геохимической аномалии – размеров, элементного состава, средних содержаний химических элементов, корреляционных связей, зональности, продуктивности, формационной принадлежности;
4. Оценка прогнозных ресурсов по геохимическим данным;
5. Разбраковка аномалий по степени перспективности и очередности их дальнейшего изучения.

1.1. Законы распределения случайных величин, используемые в практике геохимических работ

Обобщение большого цифрового материала, получаемого в результате геохимических работ (сотни-тысячи проб и до десятков тысяч элементо-определений) невозможно без применения математической обработки. Для получения однозначных геохимических показателей, количественно характеризующих тот или иной природный геологический объект (неизмененные горные породы, околорудные метасоматиты, геохимические ореолы и аномалии, рудные тела и т.д.), а также для объективного сравнения этих показателей с целью использования их сходства или различий для поисков месторождений полезных ископаемых требуется применение единой методики обработки геохимической информации. Такой методикой математической обработки геохимических данных является применение теории вероятностей и математической статистики.

Распределение химических элементов в любых геологических образованиях определяется генезисом этих образований. При этом на распределение элементов оказывает влияние множество причин, учесть которые бывает достаточно трудно. Поэтому даже в однородных неизмененных горных породах, не говоря уже об эндогенных ореолах или рудных телах, наблюдаются колебания (иногда очень значительные) от какой-то средней величины, характеризующей истинное среднее содержание данного химического элемента в изучаемом объекте. Однако с помощью статистической обработки почти всегда можно выявить количественные закономерности в распределении химических элементов в однородных геологических образованиях определить конкретные геохимические величины, характеризующие изучаемый объект.

Совокупность значений содержаний химического элемента, отражающая статистические закономерности его распределения в конкретном природном образовании (минерал, порода, вода, газ, органическое вещество), может быть названа *геохимической совокупностью*, которую можно было бы получить по результатам анализа бесконечно большого количества проб с бесконечно малым шагом опробования, охватывающих полностью всё изучаемое геологическое тело.

При геохимических исследованиях мы всегда имеем дело с результатами анализов ограниченного числа проб по конкретному геологическому объекту. Совокупность результатов этих анализов называется ***геохимической выборкой***.

Очень важно, что геохимическая выборка была однородной, то есть состояла из результатов анализов проб, отобранных из однородного геологического образования. *Например, при определении геохимического фона какого-либо химического элемента в конкретной горной породе на изучаемой площади в выборку отбираются результаты анализов только тех проб, которые принадлежат к неизмененной горной породе конкретного петрографического состава и возраста, отобранных и проанализированных в одинаковых условиях.*

Статистическая обработка данных геохимического опробования возможна только в том случае, когда удовлетворяется следующее выражение*:*

$$0{,}5n_1 + \sum n_i \geq 50\% \qquad (1)$$

где n_1 – количество проб с минимальным содержанием, выраженным конкретным числом (цифрой);

$\sum n_i$ – количество проб с содержанием выше, чем минимальное значение.

Для выяснения характерных геохимических закономерностей в распределении химических элементов в горных породах или других объектах необходимо сгруппировать исходные данные относительно какого-то признака. В противном случае, а часто вообще невозможно, выявить какую-либо статистическую закономерность в распределении исследуемой величины. В качестве такого признака обычно принимаются величины содержаний элементов в определенной горной породе, рассматриваемы в данном случае как случайные величины.

1.2. Группирование исходных данных

Эта операция обычно проводится по интервалам. Величины интервалов вбираются по возможности равными, исходя из условий, что можно без большой ошибки приравнять все содержания, попадающие в определенный интервал, к середине этого интервала и что для удобства статистической обработки величина интервала должна быть возможно большей. Однако при этом приходится руководствоваться первым условием, чтобы не терялись особенности характера распределения.

Желательно по возможности разделить выборку на 10-20 интервалов с числом в интервале не менее 5 единиц.

Для выбора величины интервала группирования можно воспользоваться эмпирической формулой:

$$K = (X_{max} - X_{min})/ 1 - 3{,}2* \lg N \qquad (2)$$

где К – ширина интервала;

X_{max} и X_{min} – соответственно максимальное и минимальное содержание данного химического элемента в пробах изучаемой выборки;

N – количество проб в выборке.

Например, в выборке из 174 проб (таблица 1) максимальное содержание меди (X_{max}) – 0,020%, минимальное (X_{min}) – 0,001%. В этом случае по формуле (2) ширина интервала К = (0,020-0,001)/1+3,2 lg174 = 0,023%. Округляя можно принять ширину интервала равной 0,002 %.

Отсюда вся выборка может быть разбита на интервалы: 0,00-0,002 %; 0,002-0,004 %; 0,004-0,006%; 0,006-0,08 %; 0,008-0,010 %; 0,010-0,012 %; 0,012-0,014 %; 0,014-0,016 %; 0,016-0,018 %; 0,018-0,020 % (таблица 2). Для каждого из полученных интервалов таким образом устанавливаются нижняя и верхняя границы и затем рассчитывается среднее значение, называемое *серединой интервала*. Например, для интервала 0,018-0,020 % серединой интервала будет величина 0,019 %.

После установления границ, в каждый интервал включаются величины содержаний химического элемента большие нижней границы интервала и меньшие или равные верхней его границы. Для упрощения расчетов обычно результаты спектрального анализа переводят в целочисленные значения, кратные 10^{-2}%, 10^{-3} % или 10^{-4} % в зависимости от конкретных величин содержаний элемента. В этом случае приведенный в примере ряд содержаний будет выглядеть следующим образом: 1; 2; 3 … 20^{-3} %.

После разделения выборки на интервалы производится подсчет количества проб (n_i), попавших в тот или иной интервал и вычисление относительной частоты (встречаемости)

проб (Wi) в данном интервале. При подсчете количества проб, попавших в тот или иной интервал удобнее пользоваться так называемым методом «конверта» (десятичном ключе), что особенно важно при значительном объеме выборки.

Таблица 1

Результаты количественного спектрального анализа долерита одного из района на медь

№ пробы	Сод. n*10^{-3}%	№ пробы	Сод. n*10^{-3}%	№ пробы	Сод. n*10^{-3}%	№ пробы	Сод. n*10^{-3}%	№ пробы	Сод. n*10^{-3}%	№ пробы	Сод. n*10^{-3}%
1	**8**	*31*		1	**1**	1	**0**	21	**1**	51	
	1	*2*		2		2		22		52	**3**
	9	*3*		3	**5**	3		23		53	
	6	*4*	**1**	4		4	**1**	24	**4**	54	**2**
	13	*5*		5	**1**	5		25		55	
	5	*6*		6		6		26		56	
	8	*7*		7	**2**	6		27		57	**0**
	10	*8*		8		8	**0**	28	**0**	58	
	2	*9*		9	**3**	9		29		59	
0	**6**	*0*		0		00	**6**	30	**5**	60	**5**
1	**7**	*1*	**1**	1	**2**	01		31		61	
2	**17**	*2*		2		02		32		62	**0**
3	**5**	*3*	**2**	3	**1**	03		33		63	
4	**12**	*4*		4		04		34	**3**	64	**4**
5	**8**	*5*	**3**	5	**4**	05	**0**	35		65	
6	**9**	*6*		6		06		36	**0**	66	
7	**7**	*7*	**2**	7		07	**2**	37		67	
8	**10**	*8*		8		08		38		68	**2**
9	**15**	*9*		9	**7**	09	**2**	39	**3**	69	
0	**9**	*0*	**0**	0		10		40		70	**0**
1	**11**	*1*		1	**2**	11	**0**	41	**6**	71	
2	**8**	*2*	**6**	2		12		42		72	
3	**1**	*3*	**0**	3	**4**	13		43	**1**	73	
4	**7**	*4*		4		14		44		74	
5	**8**	*5*	**5**	5	**0**	15		45			
6	**7**	*6*		6		16		46	**0**		
7	**4**	*7*	**0**	7	**1**	17	**8**	47			
8	**6**	*8*		8		18		48	**7**		

9	**18**	*9*	**2**	9		19	**0**	49			
0	**7**	*0*		0		20		50	**1**		

Затем подсчитывается общее число проб, включенных в каждый интервал (n_i) и определяется относительная частота (W_i), соответствующая каждому интервалу по формуле:

$$W_i = (n_i / N) \times 100\ \% \qquad (3)$$

где W_i – относительная частота в % для i- интервала;

n_i – число проб в i-ом интервале;

N – общее число проб в выборке.

Сумма относительных частот всех интервалов должна быть равна 100 %.

В качестве примера (Табл. 2) можно привести группирование содержаний меди в долеритах из таблицы 1.

Таблица 2

Результаты группирования содержаний меди в долеритах

№№ пп.	Интервалы содержаний в $n*10^{-3}$%	Отметки	Кол-во проб с данным содержанием (n_i) в шт.	Относительная частота (W_i) для интервалов	Накопленные относительные частоты для интервалов, в %
1	0-2		6	3,44	3,44
2	2-4		13	7,50	10.94
3	4-6		25	14,36	25,30
4	6-8		48	27,58	52,86
5	8-10		36	20,70	73,58
6	10-12		22	12,62	86,20
7	12-14		10	5,76	91,96
8	14-16		8	4,60	95,56
9	16-18		5	2,87	99.43
10	18-20		1	0,57	100,00
			N= 174	$\sum$ = 100 %	

После группировки содержаний по интервалам для выяснения закономерностей распределения химических элементов строятся гистограммы или вариационные (дифференциальные) кривые.

1.3. Построение гистограмм и вариационных кривых

Гистограммы используются для представления изучаемой выборки в графическом виде. При их построении частоту каждого интервала делят на его длину и полученное число берут в качестве высоты прямоугольника, основание которого равно величине интервала. Часто за высоту прямоугольника берется количество проб в данном интервале или соответственные относительные частоты. Пример приведен на рис. 1.

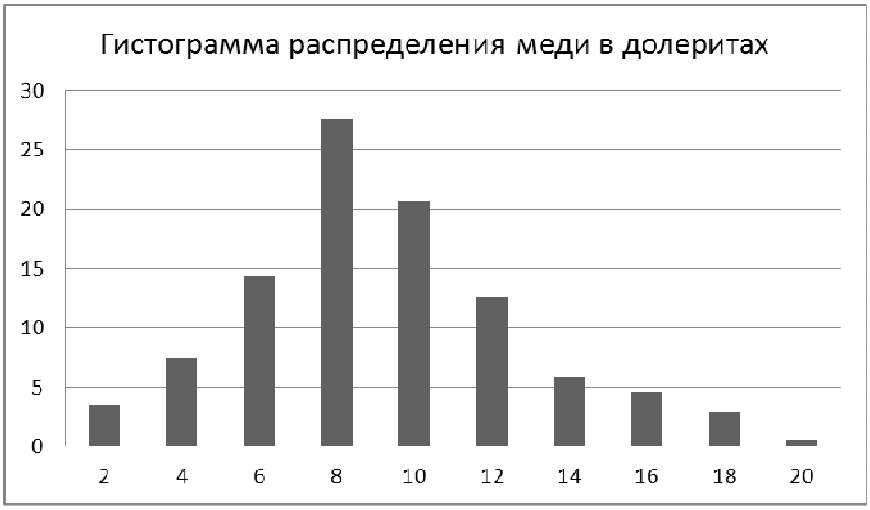


Рис. 1. Гистограмма распределения меди в долеритах. По оси абсцисс – интервалы содержаний меди в %, по оси ординат – относительные частости.

Если соединить серединки вершин каждого прямоугольника представленной гистограммы, то получится кривая линия, которая является функцией или законом распределения исследуемой величины «X» и называемая *вариационной кривой*.

Вариационные (дифференциальные) кривые распределения могут строиться и без составления гистограммы. Делается это аналогичным способом: по оси абсцисс откладываются интервалы содержаний в порядке из возрастания, по оси ординат – частости ($\mathbf{n_i}$) или чаще относительные частости ($\mathbf{W_i}$) в процентах в пропорциональном масштабе. Из середины каждого интервала к оси абсцисс мысленно восстанавливается перпендикуляр, равные по величине (высоте) относительной частости. Вершина перпендикуляра отмечается на графике точкой. Точки

1.3.1. Типы кривых распределения, наиболее часто встречающиеся в практике геохимических работ

Кривые распределения могут иметь бесконечное разнообразие форм, те не менее в практике геохимических поисков наиболее часто встречаются пять основных типов вариационных кривых распределения химических элементов (и минералов) в горных породах (рис. 2).

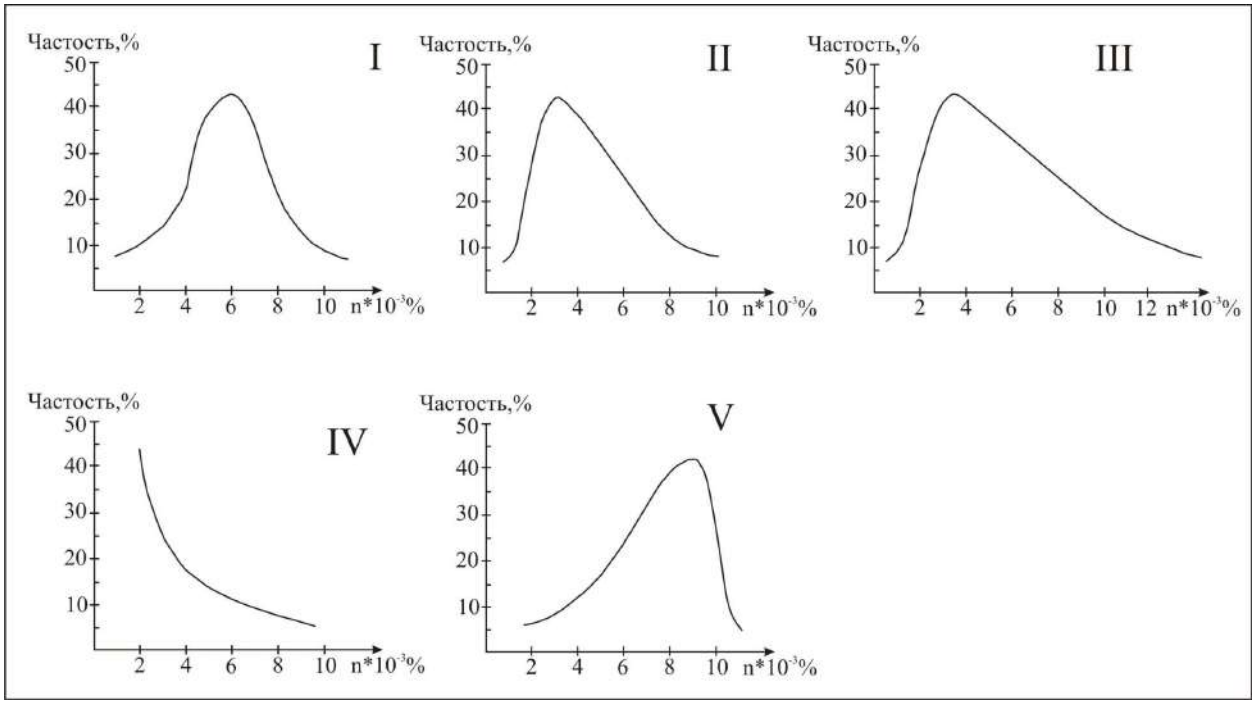


Рис. 2. Основные типы вариационных кривых, встречающихся в практике геохимических работ (по М.И. Толстому, 1964 [11]).

I тип кривых описывается нормальным законом распределения вероятностей и геохимически соответствует равномерному распределению элемента в минералах и горных породах.

Для кривых **II типа**, описываемых логнормальным законом распределения, характерно неравномерное распределение элемента в минералах, распределенных в породе равномерно, или наоборот неравномерное распределение минералов при равномерном распределении в них элемента.

Нормальный и логнормальный законы распределения элементов в минералах и горных породах встречаются наиболее часто и широко используются при статистических методах обработки данных опробования. Однако довольно часто эмпирические вариационные кривые или данные расчетов не укладываются в рамки нормального или логнормального распределения, имея положительную асимметрию, превышающую асимметрию логнормального распределения. В этом случае кривые приобретают вид типа III, чему нередко соответствует неравномерное распределение элементов в минералах, распределение которых также неравномерно, или же имеет место наложение на первичное распределение последующих процессов привноса или перераспределения этого элемента.

IV тип кривых появляется в том случае, когда аналитические возможности из-за низкой чувствительности не позволяют достоверно определять содержания элемента, находящегося в породе в кларковых или близких к ним количествах

Вариационные кривые с отрицательной симметрией (**V тип**) характерны для некоторых породообразующих (литофильных) элементов, а также для распределений элементов в породах, подвергшихся процессам выщелачивания.

Таким образом, породообразующие элементы в основном подчиняются нормальному закону распределения и характеризуются I типом вариационных кривых и редко V типом. Элементы рудные и рассеянные главным образом распределяются согласно логнормальному

закону (II тип вариационных кривых) и реже характеризуются III типом вариационных кривых.

Следует помнить, что возможности определения закона распределения химических элементов в породах путем статистической обработки результатов геохимического опробования или путем соответствующих графических построений в значительной степени зависят от полноты исходных данных, которая в свою очередь находится в прямой зависимости от чувствительности аналитического метода определения элемента в пробе.

Рассмотрим теперь основные особенности законов распределения элементов в породах и правила расчетов основных статистических параметров, используемых при интерпретации геохимических полей и аномалий.

1.3.2. Нормальный закон распределения

Во многих случаях эмпирические распределения, с которыми приходится иметь дело в практике геохимических исследований, выражается кривыми симметричной или слабо асимметричной формы, относящимся к типу так называемых *нормальных кривых*.

Нормальное распределение имеет место тогда, когда действует большое число независимых или слабо зависимых случайных причин, играющих роль при образовании конкретной случайной же величины (в частном случае – содержания химического элемента в определенной точке пространства, занимаемого исследуемым геологическим объектом). Если резко преобладает одна из случайных причин, то распределение обычно соответствует логнормальному (логарифмически-нормальному) или какому-либо другому распределению.

Функция распределения случайной величины, являющаяся аналитическим выражением, описывающим кривую распределения в выбранной системе координат, характеризует вероятность попадания определенной случайной величины (содержания химического элемента в пробе) в тот или иной интервал содержаний. Поэтому дифференциальные кривые могут быть названы *кривыми плотности вероятности.*

Нормальное распределение является непрерывным распределением с плотностью вероятности

$$J(x) = 1/\delta\sqrt{2\pi} * e^{-(x-\mu)^2/2\delta^2} \quad , (4)$$

где x- значение случайной величины;

μ – математическое ожидание случайной величины;

δ^2 – дисперсия случайной величины.

Математическим ожиданием случайной величины называется сумма произведений всех возможных значений случайной величин на вероятность появления этих значений или, другими словами, некоторое среднее, вокруг которого группируются все возможные значения случайной величины на числовой оси (см. Руководство по математическим пересчетам… 1965). Это истинное содержание элемента в исследуемой геохимической совокупности. Его точную величину в большинстве случаев установить невозможно и судить о ней приходится по приближенной характеристике, получаемой из геохимической выборки. Эта приближенная характеристика называется оценкой математического ожидания или ***выборочной средней***.

Выборочная средняя равна среднему арифметическому содержанию (x) и определяется по формуле:

$$X = 1/N * \sum x_i \quad (5)$$

где x_i – содержание элемента в отдельных пробах (середин интервалов содержаний в выборке);

N – общее количество проб в выборке.

В качестве меры вершинности эмпирических кривых распределения, отличающихся от теоретических нормальных кривых, обычно используется показатель, называющийся *эксцессом* (Е). Эксцесс определяется по формуле:

$$E = m_4/S^4 - 3 \quad , \quad (8)$$

где m_4 – выборочный момент четвертого порядка, вычисляемый по формуле:

$$m_4 = [\sum([x_i - x)^4] / N \quad (9)$$

При нормальном законе распределения эксцесс равен нулю, поскольку в этом случае, отношение $m_4/ S^4 = 3$.

Построение интегральных кривых

Графически нормальную функцию распределения случайной величины можео изобразить и в виде **интегральной кривой**, часто называемой *кривой накопления* или ***кумулятивной кривой.***

Построение кумулятивной кривой производится следующим образом. По оси абсцисс откладываются интервалы содержаний, на которые разделена выборка; по оси ординат – накопленные частоты (частности) для каждого интервала. Вычисление накопленных частот для каждого интервала производится суммированием частот предыдущих интервалов плюс частота данного интервала (см. табл. 2).

Исходной точкой интегральной кривой является 0, конечной 100 %. Середина кривой, соответствующая накопленной частоте в 50% называют медианой (Ме). Для теоретического нормального распределения мода (Мо) и медиана (Ме) равны.

Дисперсия является мерой рассеяния содержаний элемента вокруг математического ожидания. Приближенной оценкой истинной дисперсии (δ^2) является выборочная (эмпирическая) дисперсия S^2, которая вычисляется по формуле:

$$S^2 = \sum(x_i - x_{ср})^2/(N-1) \quad (6)$$

Мерой рассеяния содержаний элемента вокруг выборочной средней является также *среднее квадратичное отклонение* S, которое представляет собой корень квадратный из выборочной дисперсии S^2. Иногда среднее квадратичное отклонение называют *стандартным отклонением* или *стандартом*.

В качестве относительной характеристики величины рассеяния часто используют коэффициент вариации (V), определяемый по формуле:

$$V = S/x_{ср} * 100\ \% \quad (7)$$

При нормальном распределении кривая симметрична относительно *моды*, под которой понимается абсцисса максимума этой кривой. Мода показывает наиболее часто встречаемое содержание элемента в исследуемой выборке и ***для нормального закона распределения мода равна среднему содержанию элемента.***

Часто в практике работ бывает нужно сравнить однотипные по степени однородности математические выборки между собой по их внешнему виду (островершинные с крутопадающими крыльями, сглаженные с пологими крыльями и т.д.), в особенности при равных значениях моды (М). Следует помнить, что вид кривой и ее крутизна зависят от величины среднего квадратического отклонения (δ). Чем больше среднее квадратическое отклонение, тем положе кривая и наоборот (рис. 3).

1.2.3. Логнормальное (логарифмически-нормальное) распределение

Как отмечалось выше, в практике геохимических работ очень часто встречаются асимметричные кривые распределения. Если вершина кривой сдвинута влево (рис. 3, типы II и III), то асимметрия считается положительной (+А), если вправо (рис 3, тип V)-отрицательной (-А). Во многих случаях эмпирические кривые с положительной асимметрией хорошо согласуются с так называемым логарифмически нормальным законом распределением. Характерным свойством последнего является изменение формы асимметричной дифференциальной кривой, построенной по интервалам содержаний сгруппированной выборки, на симметричную форму, если в качестве случайной величины использовать не содержания химического элемента, а их логарифмы. Таким образом, *логнормальное распределение есть не что иное, как нормальное распределение логарифмов содержаний элементов.* Отсюда следует вывод, что логнормальное распределение обладает всеми свойствами распределения нормального.

Функция распределения плотности вероятности для логнормального закона распределения равна:

$$Y(y) = 1/(\sigma\sqrt{2\pi})* e \qquad (10)$$

где y- lgX, то есть y – значение логарифма случайной величины X;

μ- математическое ожидание случайной величины y ;

σ^2 – дисперсия случайной величины y.

Для логнормального распределения оценкой математического ожидания является среднее арифметическое логарифмов содержаний

$$lgX = 1/N * \sum lgX_i \qquad (11)$$

где lgX_i – частные значения логарифмов содержаний;

N – общее количество проб в выборке.

Приближенной оценкой дисперсии (σ^2) является выборочная дисперсия S^2_{lg}, определяемая по формуле:

$$S^2_{lg} = 1/(N-1)* \sum(lgX_i - lgXcp) \qquad (12)$$

Среднее квадратическое отклонение равно

$$S_{lg} = \sqrt{S^2_{lg}} \qquad (13)$$

Коэффициент вариации для догнормального распределения определяется выражением

$$V = \sqrt{10^{S2lg}} - 1 \qquad (14)$$

Величину интервала группирования при логнормальном распределении можно получить из выражения:

$$K = (\lg x_{max} - \lg x_{min}) / (1 + 3{,}2 \lg N) \qquad (15)$$

Построение вариационных кривых проводится так же, как и для нормального распределения, только по оси абсцисс откладываются равные интервалы в содержаниях, равным их логарифмам.

Теоретическая кривая логнормального распределения должна быть симметричной (т.е. ее асимметрия и эксцесс должны быть равны нулю.)

Интегральная (кумулятивная) кривая логнормального распределения определяется выражением:

$$\Phi_{(y)} = \qquad (16)$$

Построение ее аналогично нормальному закону, только используются относительные накопленные частости для равных интервалов логарифмов или неравных интервалов соответствующих им содержаний. Как и вариационную кривую, кумулятивную лучше отстраивать на специальной вероятностной бумаге.

2.ОПРЕДЕЛЕНИЕ ГЕОХИМИЧЕСКОГО ФОНА И АНОМАЛЬНЫХ СОДЕРЖАНИЙ

Перейдем к определению других статистических параметров геохимических полей и аномалий. Сделать это можно как графическим, так и расчетным методами, но в обоих случаях только после составления выборок и решения вопроса о законе распределения данных в объеме этих выборок. Менее затратным по времени обработки данных является графический метод, поэтому в практике геохимических работ определение геохимического фона и аномальных содержаний в большинстве случаев производится графическим способом.

2.1. Определение геохимического фона и аномальных содержаний при нормальном распределении

Одним из графических методов является построение вариационной кривой, с которой снимаются параметр распределения - мода (Mo) и стандартное отклонение (S). Методика построения описана в главе 1.

Если построенная вариационная кривая симметрична и имеет колоколообразную форму, то можно предположить, что она согласуется с нормальным законом распределения. В этом случае в качестве оценки «математического ожидания» или «выборочного среднего» (x) принимается модальное значения содержаний (Mo).

Среднее квадратическое (стандартное) отклонение (S) определяется следующим образом (рис. 4). Максимальная ордината кривой, соответствующая модальному значению содержаний, делится на 10 (десять) равных частей и через точку 0,6 максимальной ординаты (считая от оси абсцисс) проводится линия параллельная оси абсцисс, до пересечения с левой и правой частью графика вариационной кривой. Величина S равна разнице между абсциссой точки пересечения с правой ветвью кривой и модой или же разнице между модой и абсциссой точки пересечения с левой ветвью вариационной кривой. Таким образом, S равно половине ширины вариационной кривой на уровне 0,6 ее максимальной ординаты.

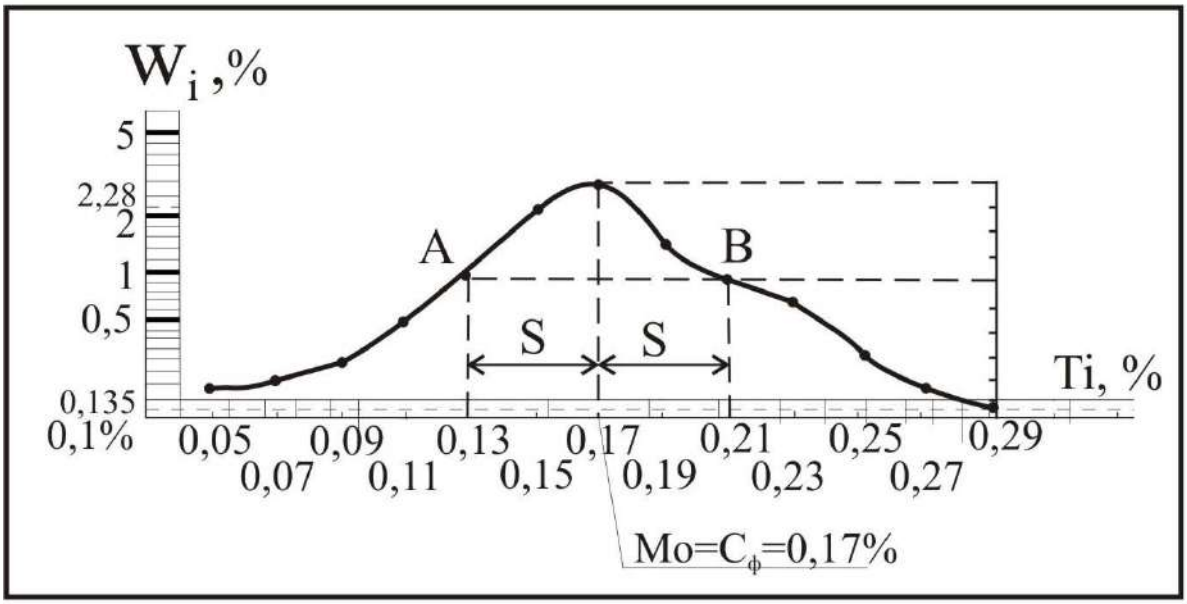


Рис. 3. Определение среднеквадратического отклонения по вариационной кривой распределения при нормальном законе распределения (задание №).

Погрешность определения выборочной средней (x) с вероятностью 0,95 (т.е. с 5%-ным уровнем значности – q) рассчитывается по формуле:

$$\pm\lambda_{5\%} = 1{,}96S/\sqrt{N} \qquad (17)$$

При нормальном законе распределения за значение геохимического фона (Сф) принимается среднее арифметическое (x) из содержаний элемента в данной выборке, определяемое модой по вариационной кривой.

При определении аномальных содержаний используется стандартное отклонение (S), снимаемое с той же с той же вариационной кривой. За нижнее значение аномального содержания для единичных проб принимается величина

$$Ca \geq Cф + 3S \qquad (18)$$

Для выделения слабых геохимических аномалий, которые часто являются проявлением геохимических ореолов скрытых или глубоко залегающих рудных тел, по нескольким коррелирующимся по пространственному положению или структурно-геологической позиции точкам с повышенными относительно геохимического фона содержаниями (но ниже Ca ≥ Сф + 3S) обычно используют более общую формулу минимального аномального содержания:

$$Ca = Cф + 3S/\sqrt{m} \qquad (19)$$

где m – число коррелирующихся точек с повышенным относительно фона содержанием изучаемого элемента, причем m ≤ 9.

При построении литогеохимических карт и геохимических разрезов обычно используются три величины аномальных содержаний, характеризующих различную степень вероятности выделения геохимических аномалий:

$Ca_1 = Cф + S$ (вероятность аномальности - 84,13%), (20)

$Ca_2 = Cф + 2S$ (вероятность – 97,72 %) (21)

$Ca_3 = Сф + 3S$ (вероятность – 99,86 %) (22)

В практике геохимических поисков иногда встречаются так называемые «отрицательные» аномалии, связанные с выносом некоторых химических элементов при гидротермально-метасоматических, сопровождающих оруденение. В ряде случаев эти отрицательные аномалии могут иметь важное поисковое значение. Выделение подобных аномалий проводится аналогично обычным (положительным) аномалиям, только со знаком «минус». Например, $Ca_1 = Сф - S$. Общая формула для выделения «отрицательных аномалий по нескольким пространственно коррелирующимся точкам имеет следующий вид:

$$Ca = Сф - 3S/\sqrt{m} \quad (23)$$

где m – число коррелирующихся точек с пониженным относительно фона содержаний изучаемого элемента, причем $m \leq 9$.

При $m > 9$ в формулах (19) и (23) m принимается равным 9, и тогда они приобретают вид:

$$Ca = Сф + 3S/\sqrt{9} = Сф + S \quad \text{или} \quad Ca = Сф - 3S/\sqrt{9} = Сф - S,$$

с вероятностью выделения аномалий 84,13 %.

Если же в формулы (19) и (23) подставить $m > 9$, то величина Ca, приближаясь к Сф, становится неопределенной, и выделяются аномалии с очень малой вероятностью. Это может привести к выделению и оконтуриванию огромного количества ложных аномалий, связанных с вариациями геохимического фона, на проверку (заверку) которых могут быть безрезультатно затрачены большие средства.

После определения геохимического фона и величин аномальных значений результаты анализа геохимических проб выносятся на карты фактического материала в масштабе съемки ил на геологические разрезы (поэлементно и путем интерполяции производится оконтуривание геохимических ореолов по величинам Ca_1, Ca_2, C_3 …C_n. Аналогично проводится оконтуривание «отрицательных» аномалий.

Следует иметь в виду, что нередки ситуации, когда имеются пробы или пространственно сближенные группы проб с содержанием выше фонового, но ниже аномального (на уровне Ca_3). Выделение всех таких аномалий может привести к большим непроизводительным затратам (каждая аномалия должна быть оценена посредством горных или буровых работ) и, наоборот, игнорирование таких проб может привести к пропуску рудных зон скрытого или погребенного типа с очень слабым по интенсивности и/или небольшими по размерам геохимическими ореолами на поверхности (на уровне «представительного горизонта»). В каждом конкретном случае отнесение таких проб к аномальным или фоновым следует производить по обобщенной формуле:

$$\mathbf{Ca = Сф \pm 3S/\sqrt{m}} \quad (24)$$

2.2. Определение геохимического фона и аномальных содержаний при логнормальном распределении

В случае, если эмпирическая вариационная кривая, построенная по равным интервалам содержаний, имеет положительную симметрию, то она может быть перестроена в логарифмическом масштабе. Покажем это на конкретном примере.

Например, имеем геохимическую выборку из 120 проб (табл. 3), характеризующую содержание кобальта в неизмененных андезитах одного из районов Урала по данным приближенно количественного спектрального анализа (Чесноков, Грязнов, 1982).

Таблица 3

Выборка содержаний кобальта в неизменных андезитах

№№ пп	Содержание Co в n*10^{-4}% (X_i)	Логарифмы содержаний (lgx_i)	Количество проб (n_i)	Относительные частоты (Wi)
1	1,5	0,176	2	1,67
2	2	0,301	3	2,50
3	3	0,477	4	3,33
4	4	0,602	5	4,16
5	5	0,699	8	6,66
6	6	0,776	11	9,20
7	8	0,903	15	12,50
8	10	1,00	24	20,00
9	15	1,176	23	19,15
10	20	1,301	14	11,67
11	30	1,477	5	4,16
12	40	1,602	3	2,50
13	50	1,699	2	1,67
14	60	1,778	1	0,83
			N = 120	∑ =!00%

Определим величину интервала группирования по формуле:

$K = (x_{max} - x_{min})/(1+3{,}2 \lg N) = (60-1{,}5) / 7{,}6 \approx 8*10^{-4}\%$ (25)

Пользуясь полученной величиной интервала, сгруппируем выборку (табл. 4).

Таблица 4

Сгруппированная выборка содержаний кобальта в неизменных андезитах

№№ пп	Интервалы группирования K_i (n*10^{-4}%)	Середины интервалов K_i	Количество проб N_i	Относительные частоты Wi (%)
1	0-8	4	48	40,02
2	8-16	12	47	39,15
3	16-24	20	14	11,67
4	24-32	28	5	4,16
5	32-40	36	3	2,50
6	40-48	44	0	0,00
7	48-56	52	2	1,67
8	56-64	60	1	0,83
			N= 12	∑ =!00%

По данным таблиц 3 и 4 построены вариационные кривые. В обоих случаях получились асимметричные вариограммы с положительной асимметрией, показывающие, что распределение кобальта в андезитах не согласуется с нормальным законом.

Чтобы проверить не согласуется ли это эмпирическое распределение элемента в андезитах с логнормальным законом распределения, построим вариационные кривые кобальта, заменив по оси абсцисс интервалы содержаний интервалами логарифмов. Затем определяем величину интервала группирования по формуле:

$K = (\lg x_{max} - \lg x_{min}) / (1+3{,}2 \lg N) = (1{,}778-0{,}176) / (1+3{,}2*\lg 120) = 0{,}21$ (26)

По аналогии с первым примером, по вычисленной величине *к* сгруппируем эту выборку (табл. 5)

Таблица 5

Сгруппированная выборка содержаний кобальта в андезитах для проверки логнормального закона

№№ пп	Интервалы группирования логарифмов (lgx_i)	Середины интервалов ($lg\ x_i$)	Соответствующие интервалы в содержаниях ($n*10^{-4}$ %)	Количество проб в интервале (n_i)	Относительные частоты (Wi) %
1	0,0-0,21	0,105	1,00-1,62	2	1,67
2	0,21-0,42	0,315	1,62-2,60	3	2,50
3	0,42-0,63	0,525	2,60-4,30	9	7,49
4	0,63-0,84	0,735	4,30-6,90	19	15,86
5	0,84-1,05	0,945	6,90-11,2	39	32,50
6	1,05-1,26	1,155	11,2-18,2	23	19,15
7	1,26-1,47	1,365	18,2-29,6	14	11,67
8	1,47-1,68	1,575	29,6-48,0	8	6,66
9	1,68-1,89	1,785	48,0-78,0	3	2,50
				N=120	∑ =!00%

По данным таблиц 5 и 3 построены вариационные кривые по внешнему виду которых (кривые симметричны и имеют колоколообразный вид) можно предположить, что распределение логарифмов содержаний элемента (Co) подчиняется нормальному закону, или, другими словами – содержание кобальта в андезитах согласуется с логнормальным законом.

Поскольку логнормальный закон есть не что иное, как нормальный закон распределения логарифмов содержаний, его параметры находятся (рассчитываются) аналогично параметрам нормального закона распределения (см. раздел 2.1). При этом фоновые и аномальные значения получают, пользуясь таблицей антилогарифмов или с помощью логарифмической линейки и формулам. Для положительных геохимических аномалий это будут:

$lgCa_1 = lgX + lgS$; $lgCa_2 = lgX + 2lgS$; $lgCa_3 = lgX + 3lgS$

а для аномалий отрицательных:

$lgCa_1 = lgX - lgS$; $lgCa_2 = lgX - 2lgS$; $lgCa_3 = lgX - 3lgS$.

Однако построение вариационных кривых логарифмов содержаний довольно громоздко и связано с вычислением логарифмов для каждого конкретного содержания, поэтому проще строить вариационные кривые пользуясь конкретными содержаниями, отложенными в логарифмическом масштабе при выбранной величине основания логарифма Удобно при этом пользоваться специальным бланком, где имеется и обычный масштаб для построения кривых нормального распределения и логарифмический масштаб .

Построение вариационных (дифференциальных) кривых распределения содержаний химических элементов и других величин нашло широкое применение в геологических, геохимических и геофизических исследованиях. Эти кривые позволяют выявлять особенности распределения изучаемых величин и в ряде случаев делать генетические выводы. Однако при этом часто допускается субъективный подход, кривые могут иметь сложный вид и не всегда поддаются однозначной интерпретации. Поэтому в практике геохимических поисковых работ для определения фоновых и аномальных содержание используется графический ***метод построения интегральных (кумулятивных) графиков***,

рекомендуемый «Инструкцией по геохимическим методам поисков рудных месторождений» (1965, 1989 и др. выпуски).

2.3. Использование интегральных графиков

Техника построения интегральных (кумулятивных) кривых (графиков) описана в главе 1. При использовании по оси ординат линейного масштаба интегральная кривая плавно возрастает от 0 до 100 % с перегибом в точке с ординатой 50 %. Абсцисса этой точки называется ***медианой*** (Me).

Если для построения графика интегральной функции распределения воспользоваться специальной вероятностной бумагой (*т.н. «трафарет Н.К. Разумовского»*), то график соответствующей теоретически нормальному распределению, выразится в виде прямой линии, то есть все точки, характеризующие накопленные частоты содержаний, должны лежать на одной линии. Это свойство интегральных графиков широко используется в практике геохимических поисковых работ для графического определения закона распределения и его параметров.

Если все точки графика лежат на одной линии, то можно сделать вывод о соответствии проверяемого эмпирического распределения с теоретическим (нормальным или логнормальным в зависимости от нулевой гипотезы) и по графику – определить параметры распределения.

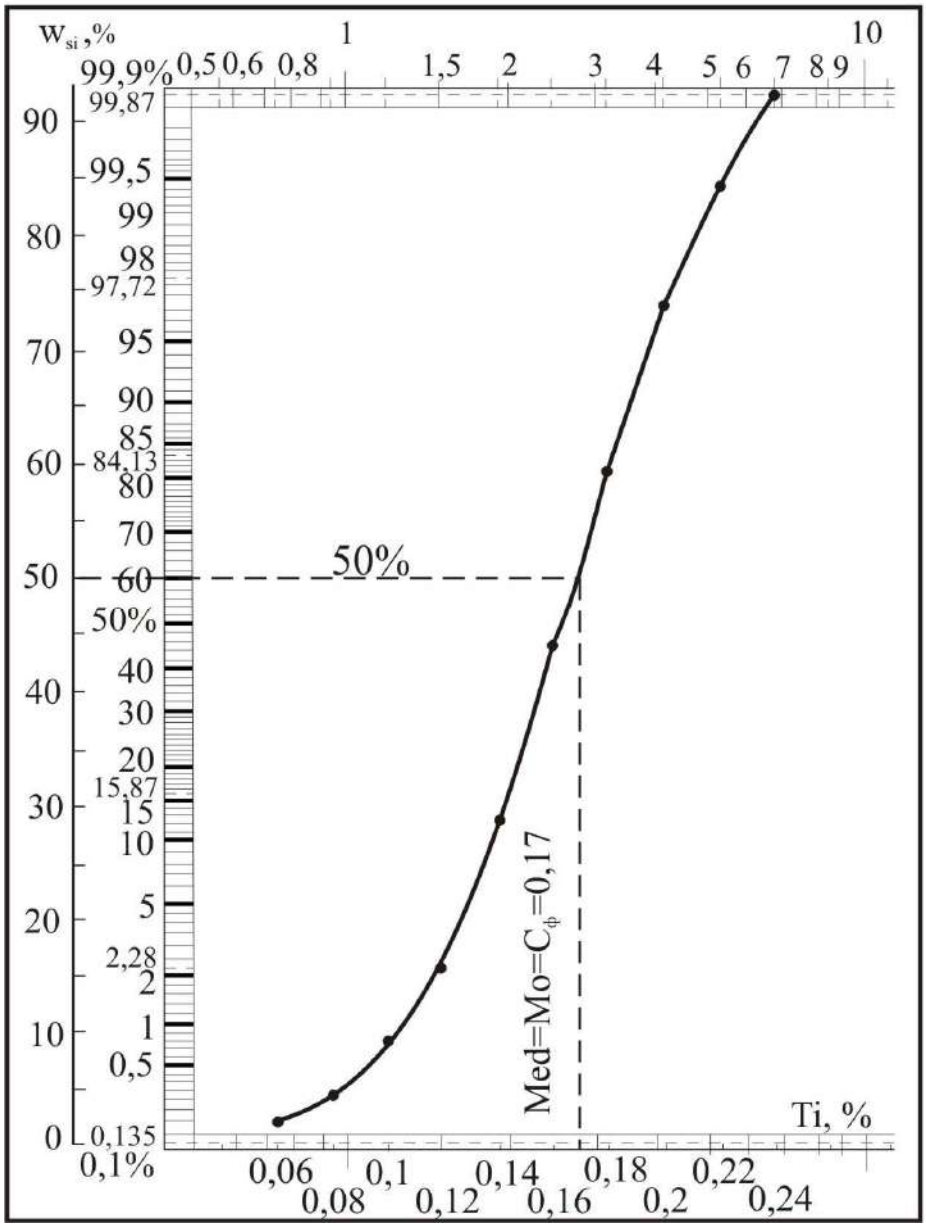


Рис. 7. Интегральный график распределения титана в горнблендитах.

В тех случаях, когда точки накопленных частот не лежат на одной линии, проводится осредняющая линия. *Проверка соответствия* эмпирического распределения предполагаемому теоретическому закону производится с помощью *критерия Колмогорова*

$$\lambda = \Delta Y_{max} * \sqrt{N} / 100 \quad , \qquad (27)$$

где λ – критерий Колмогорова;

ΔY_{max} –наибольшее отклонение (в %) эмпирических точек накопленных частот от осредняющей прямой или разность ординат наиболее отходящей эмпирической точки и соответствующей точки на осредняющей прямой;

N – количество проб в выборке.

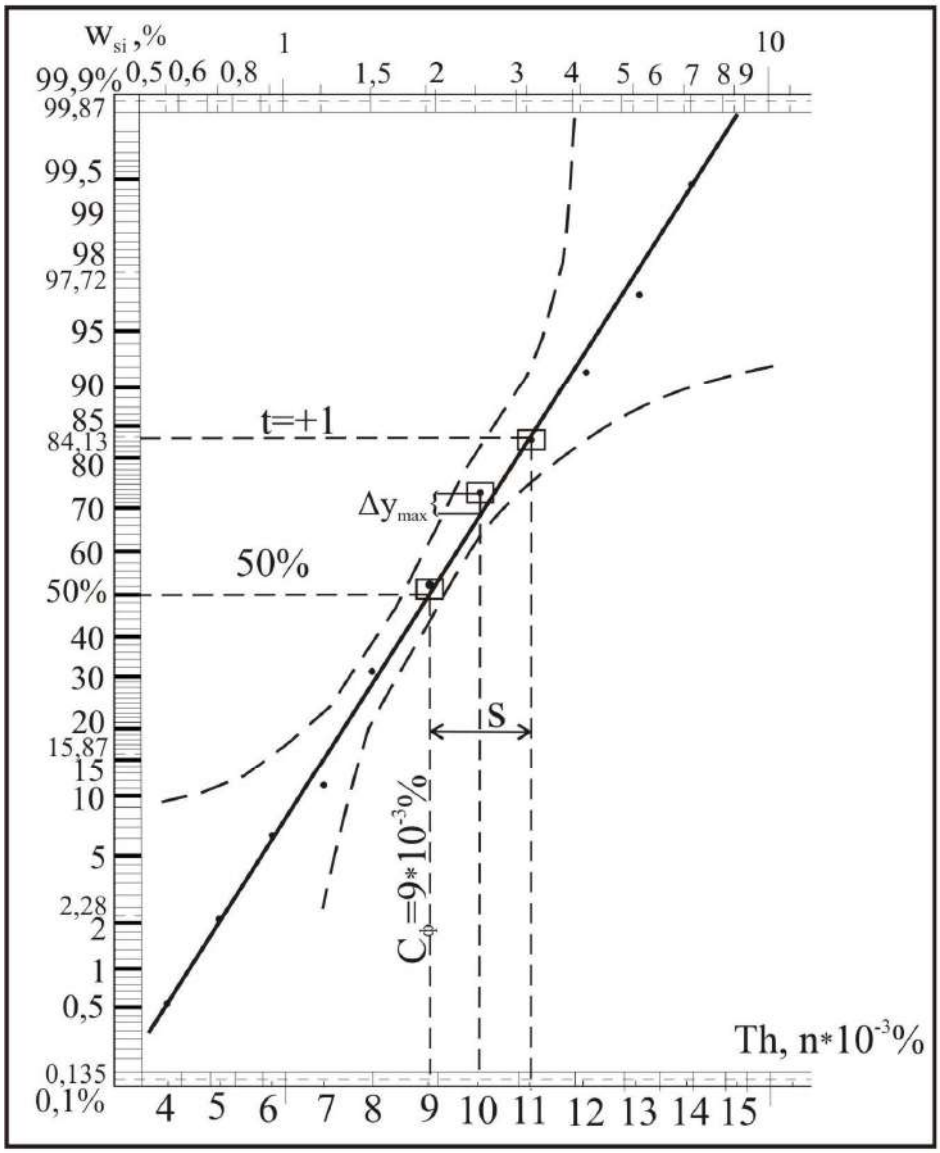


Рис.8. Интегральный график нормального распределения тория в гранитах

Если $\lambda \leq 1{,}35$, то критерий Колмогорова указывает, что отклонение эмпирических точек от осредняющей прямой случайно и рассматриваемая совокупность удовлетворительно описывается проверяемым теоретическим распределением (с вероятностью ≥ 95 %). В том случае, когда рассчитанная величина $\lambda > 1{,}35$, следует сделать вывод о несоответствии эмпирического распределения теоретическому.

После установления соответствия эмпирического распределения принятому теоретическому, определяются его параметры.

При нормальном распределении мода (Мо), медиана (Ме) и среднеарифметическое (Х) равны, поэтому определив медианное значение содержания химического элемента, получаем один из параметров распределения. Напомним, что медиана определяется абсциссой точки пересечения осредняющей прямой с линией 50 % по оси ординат. ***Эта же величина принимается за фоновое содержание (Сф)*** данного химического элемента в изучаемой породе.

Стандартное отклонение (S) также определяется графически по разнице абсцисс точек пересечения осредняющей прямой с линией 50% и линией 84,3 % .

Зная Сф и S и пользуясь ранее приведенными формулами (20, 21, 22, 23), можно рассчитать с различной вероятностью аномальные значения содержания для выделения как положительных, так и отрицательных аномалий.

В тех случаях, когда при построении интегральных графиков эмпирических распределений случается большой разброс точек, затрудняющий проведение осредняющей прямой, для этой цели можно также использовать критерий Колмогорова. Для этого по обе стороны от точек накопленных частостей эмпирического распределения откладывают вертикальные отрезки, вычисляемые по формуле:

$$\Delta y_{max} = 1{,}35/\sqrt{N} \bullet 100\ \%. \qquad (28)$$

Концы этих отрезков соединяют плавными кривыми, ограничивающими область, в середине которой проводится осредняющая прямая. Если такую прямую провести невозможно, то следует сделать вывод, что эмпирическое распределение не согласуется с предполагаемым теоретическим.

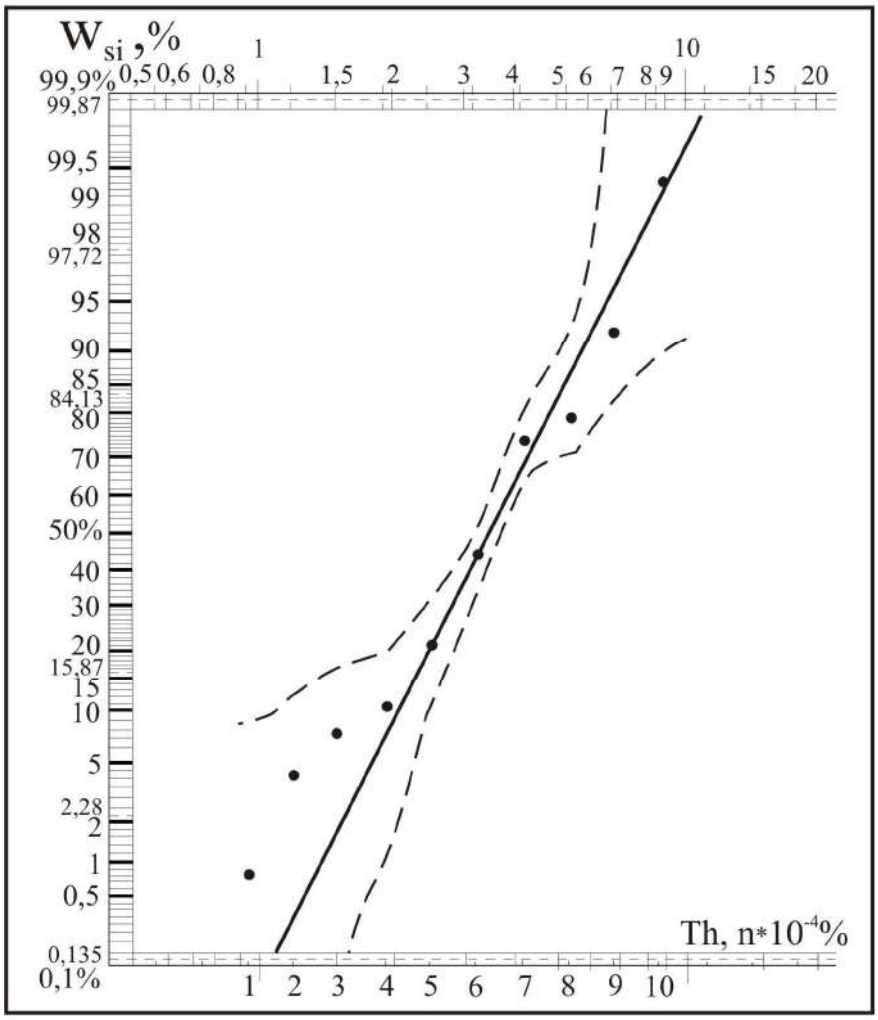


Рис. 9. Интегральный график нормального распределения тория в габбро

Предположим, что при проверке соответствия эмпирического распределения тория в габбро (выборка 225 проб) нормальному закону, разброс точек интегрального графика оказался очень большим (рис. 9). Вычислим величину Δy_{max} для выборки из 225 проб.

$$\Delta y_{max} = 1{,}35/\sqrt{225} \bullet 100\ \% = 9\ \%.$$

Отложив вертикальные отрезки величиной 9 % вверх и вниз от эмпирических точек и соединив их концы плавными линиями, получим поле, в котором удовлетворяется критерий Колмогорова. Примерно посредине этого поля проведем осредняющую прямую (рис. 9). Отклонения эмпирических точек от осредняющей линии находятся в допустимых пределах, поэтому можно сделать вывод, что распределение тория в габбро не противоречит нормальному закону распределения (Med= Сф= $6,2 \bullet 10^{-4}$ % Th, S= $1,8 \bullet 10^{-4}$ %).

1.4. ОПРЕДЕЛЕНИЕ ПАРАМЕТРОВ ЛОГНОРМАЛЬНОГО РАСПРЕДЕЛЕНИЯ

Построение интегральных графиков при проверке соответствия эмпирического распределения логнормальному закону производится аналогичным образом, только по оси абсцисс используется логарифмический масштаб (сплошные линии с вынесенными содержаниями в верхней части вероятностного трафарета).

В качестве примера приведем результаты группирования содержаний Cu в делювиальных отложениях метабазальтов, определенных спектральным приближенно-количественным анализом (табл. 11).

При использовании результатов приближенно-количественного спектрального анализа следует иметь в виду дискретность получаемых содержаний химических элементов, хотя в природе распределение содержаний химических элементов имеет непрерывный характер. К примеру, по данным спектрального анализа мы получаем содержания $1 \bullet 10^{-3}$ %; $2 \bullet 10^{-3}$ %, $3 \bullet 10^{-3}$ % и т.д., каждое из этих значений является центром интервалов, в который попадают с равной вероятностью ближайшие несколько большие или меньшие значения содержаний.

Например:

$1 \bullet 10^{-3}$ % 0,9; 1,0; 1,1; 1,2; 1,3; 1,4; 1,5;

$2 \bullet 10^{-3}$ %, 1,6, 1,7; 1,8; 1,9; 2,0; 2,1; 2,2; 2,3; 2,4; 2,5;

$3 \bullet 10^{-3}$ % 2,6; 2,7; 2,8; 2,9; 3,0; 3,1; 3,2; 3,2; 3,3; 3,4; 3,5 и т.д.

При построении интегральных графиков точки накопленных частостей мы определяем по конкретным данным результатов спектрального анализа, т.е. $1 \bullet 10^{-3}$ %; $2 \bullet 10^{-3}$ %, $3 \bullet 10^{-3}$ % и т.д. таким образом, искажается истинное природное распределение элемента. Так, например, в интервал накопленных частостей ≤ $2 \bullet 10^{-3}$ % попадают содержания > $2 \bullet 10^{-3}$ % (2,1; 2,2; 2,3; 2,4; 2,5). Чтобы избежать подобной ошибки вычисляется так называемая исправленная частость. Для этого полученная обычным способом частость (Wi) делится пополам, половина ее относится к данному содержанию, вторая половина относится к следующему по возрастанию.

Например, в таблице число проб содержанием Cu = $2 \bullet 10^{-3}$ % составляет 15 (относительная частота 4, 69 %), мы имеем право предположить, что половина из этих проб имеет истинное содержание ≤ $2 \bullet 10^{-3}$ %, вторая половина > $2 \bullet 10^{-3}$ %, но <$3 \bullet 10^{-3}$ %, поэтому относим 7 проб (2,34 %) к интервалу ≤ $2 \bullet 10^{-3}$ %, а 8 проб (2,35 %) к интервалу ≤ $3 \bullet 10^{-3}$ %. Таким образом, исправленная частость вычисляется для всех конкретных содержаний элемента, имеющихся в исследуемой выборке.

Второй причиной необходимости вычисления исправленных частостей является наличие «любимых» и «нелюбимых» цифр в результатах спектрального анализа, появление которых связано с системой эталонов в конкретной спектральной лаборатории.

Из таблицы 10 видно, что «нелюбимых» цифр в приведенном примере нет, но содержания 7 $\bullet 10^{-3}$ % и 9 $\bullet 10^{-3}$ % вообще не выделяются спектральной лабораторией. Отсюда следует, что содержания близкие к 7 $\bullet 10^{-3}$ % распределяются между значениями $6 \bullet 10^{-3}$ % и 8 $\bullet 10^{-3}$ % и т.д. в результате этого происходит искажение интегрального графика природного

распределения. Вычисление исправленных частостей позволяет в некоторой степени уменьшить это искажение и сгладить график эмпирического распределения.

После вычисления исправленных частостей по ним обычным способом определяются накопленные исправленные частости (табл. 11), по которым строится интегральный график логнормального распределения (рис. 10).

Таблица 11

Ряд распределения содержаний меди в делювиальных отложениях метабазальтов

п/п	Содержание меди в $n \bullet 10^{-3}$ %	Количество проб с данным содержанием (n_i)	Относительные частоты в % (частости)	Исправленные частости, в %		Накопленные исправленные частости (Wsi), в %
	2	3	4	5		6
	«следы»	2	0,62	0,31	0,31	0,31
				0,31	2,65	2,96
	2	15	4,69	2,34		
				2,35	9,69	12,65
	3	47	14,69	7,34		
				7,35	28,91	41,56
	4	138	43,12	21,56		
				21,56	32,65	74,21
	5	71	22,19	11,09		
				11,1	14,69	88,9
	6	23	7,19	3,59		
				3,6	5,94	94,84
	8	15	4,69	2,34		
				2,35	3,76	98,6
	10	9	2,81	1,41		
				1,40	1,40	100
		N= 320	Σ=100			

В использованном примере точки графика не лежат на одной линии, поэтому для вывода о соответствии распределения логнормальному закону мы используем критерий Колмогорова и рассчитав допустимую величину

Δy_{max} = 1,35/ √320 •100 % = 7,55 %, построим ограничивающую область и в ее середине проводим осредняющую прямую. Следовательно, распределение меди в делювиальных отложениях метабазальтов не противоречит логнормальному закону и можно установить

Для целей геохимических поисков важно знать две величины при логнормальном распределении элементов: фоновое содержание (Сф) и стандартный множитель (ε). Поскольку на вероятностном трафарете по оси абсцисс отложены не логарифмы, а содержания в логарифмическом масштабе, то абсцисса точки пересечения осредняющей прямой с линией соответствующей 50 % по оси ординат, дает нам среднее геометрическое значение содержания, которое принимается за геохимический фон.

В нашем примере Сф= $4 \bullet 10^{-3}$ %.

.

Для целей геохимических поисков важно знать две величины при логнормальном распределении элементов: фоновое содержание (Сф) и стандартный множитель (ε).

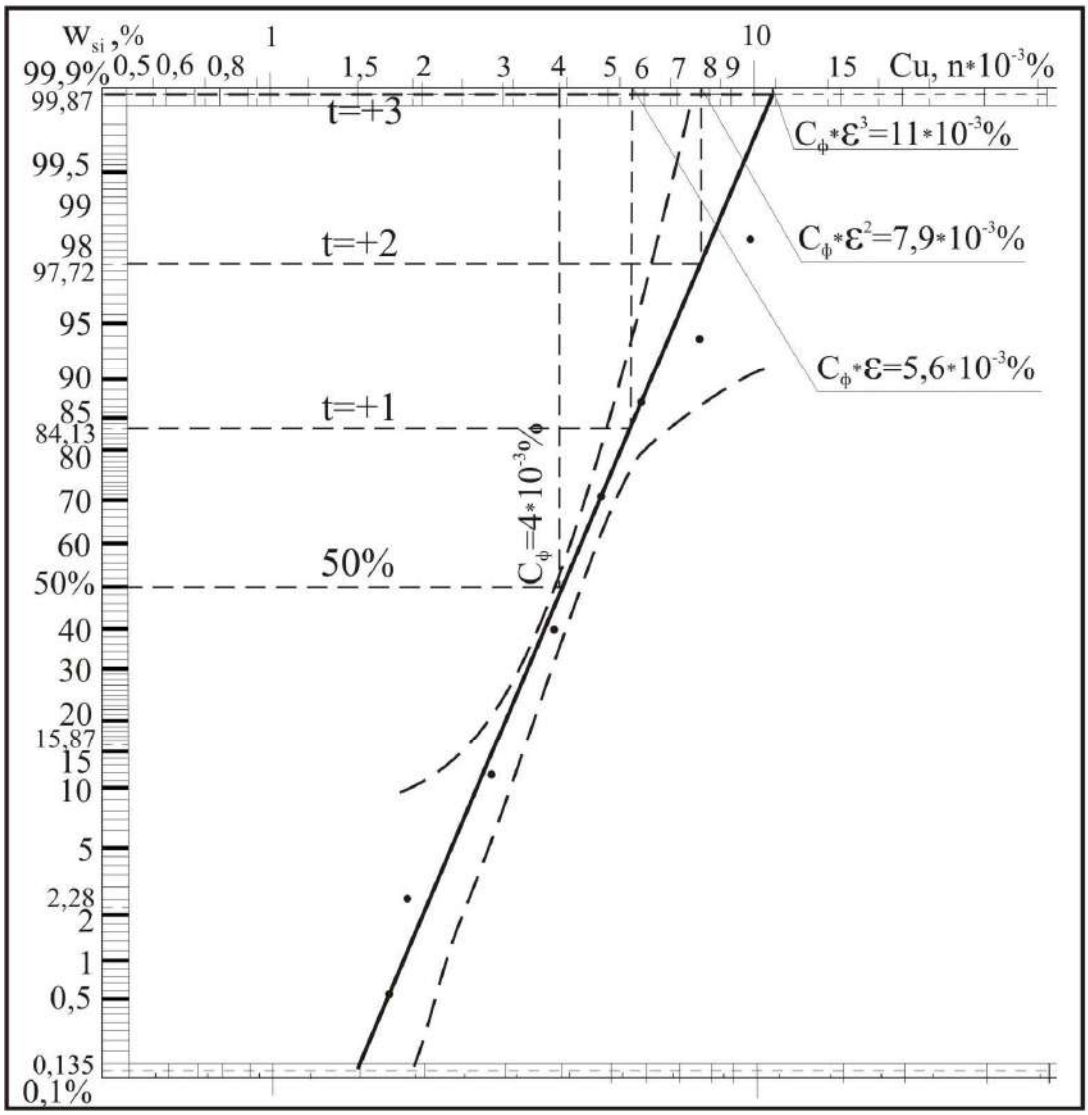


Рис. 10. Интегральный график логарифмически нормального распределения меди в делювии метабазальтов

Поскольку на вероятностном трафарете по оси абсцисс отложены не логарифмы, а содержания в логарифмическом масштабе, то абсцисса точки пересечения осредняющей прямой с линией соответствующей 50 % по оси ординат, дает нам среднее геометрическое значение содержания, которое принимается за геохимический фон.

В нашем примере Сф= 4 •10^{-3} %.

Абсцисса точки пересечения осредняющей прямой с линией ординаты t= +1 (84,13 %) соответствует значению Сф•ε, из которого мы можем определить ε.

В нашем примере абсцисса точки пересечения Сф•ε= 5,6•10^{-3} %, отсюда

ε_1= 5,6•10^{-3} % / 4•10^{-3} %= 1,40.

Абсцисса точки пересечения осредняющей прямой с линиями оси ординат t= +2 (97,72 %) и t= +3 (99,87 %) соответственно равны Сф•ε^2 и Сф•ε^3. Из этих величин мы также можем найти ε.

В рассмотренном примере Сф•ε^2 = 7,9•10^{-3} % и Сф•ε^3= 11•10^{-3} %, отсюда

ε_2= $\sqrt{7,9/4}$= 1,41; ε_3= $\sqrt[3]{11/4}$= 1,41.

В случае необходимости можно рассчитать среднюю величину ε по формуле:

$$\varepsilon = \sqrt[3]{\varepsilon_1 \bullet \varepsilon_2 \bullet \varepsilon_3} \qquad (29)$$

В нашем примере ε= $\sqrt[3]{1,40 \bullet 1,41 \bullet 1,41}$ = 1,41.

Зная величины Сф и ε и используя ранее приведенные формулы ( ) можно легко определить с заданной вероятностью величины аномальных содержаний для выделения положительных и «отрицательных» аномалий.

В нашем примере для положительных аномалий:

$Ca_1 = Сф \bullet \varepsilon = 4 \bullet 1{,}41 = 5{,}64 \bullet 10^{-3}$ %;

$Ca_2 = Сф \bullet \varepsilon^2 = 4 \bullet 1{,}41^2 = 7{,}95 \bullet 10^{-3}$ %;

$Ca_3 = Сф \bullet \varepsilon^3 = 4 \bullet 1{,}41^3 = 11{,}21 \bullet 10^{-3}$ %;

для «отрицательных» аномалий:

$Ca_1 = Сф \bullet \varepsilon^{-1} = 4 / 1{,}41 = 2{,}84 \bullet 10^{-3}$ %;

$Ca_2 = Сф \bullet \varepsilon^{-2} = 4 / 1{,}41^2 = 2{,}01 \bullet 10^{-3}$ %;

$Ca_3 = Сф \bullet \varepsilon^{-3} = 4 / 1{,}41^3 = 1{,}43 \bullet 10^{-3}$ %.

С помощью интегрального графика можно определить наиболее вероятное содержание, соответствующее градации «следы» по результатам спектрального анализа (табл. 11). Для этого осредняющая прямая продолжается в сторону малых значений накопленных частостей и абсцисса точки пересечения этой прямой с горизонтальной линией соответствующей накопленной частости «следы» даст нам содержание, значения меньше которого классифицируются как «следы».

В нашем примере (рис. 10) относительная частота, соответствующая градации «следы»$\leq 0{,}62 \approx 1{,}7 \bullet 10^{-3}$ %.

2. Аналитические методы определения закона распределения

Графические способы определения параметров распределения просты, наглядны, не требуют трудных вычислений и обладая точностью, достаточной при использовании результатов приближенно-количественных спектральных анализов нашли широкое применение в практике геохимических работ. Однако по существу это качественные способы, так как вопрос о сходстве эмперического и теоретического распределения решается субъективно, а это может привести к ошибкам, в особенности при небольшом объеме выборок. Поэтому при объеме выборки менее 50-60 значений этим способом пользоваться не рекомендуется (Каждан, 1990). При обработке результатов геохимических работ объемы выборок достаточно большие достигающие тысяч проб, поэтому графические методы и рекомендованы в «Инструкции…, 1983».

Для выборок меньшего объема или при использовании результатов точных анализов (химических, количественных спектральных, рентгеноспектральных и др.) целесообразнее применять более точные аналитические методы, в частности способ, основанный на расчете показателей асимметрии и эксцесса.

2.1. Определение законов распределения с помощью оценок асимметрии (А) и эксцесса (Е)

Этот способ основан на том, что показатели асимметрии (А) и эксцесса (Е) при нормальном законе распределения равны 0, а их оценки вычисляются по формулам:

$$A = \left(\sum_{i=1}^{N} (x_i - \bar{x})^3 \bullet n_i\right) / (N \bullet S^3) \qquad (29)$$

x_i- содержания элемента в отдельных пробах (для несгруппированных данных) или середина i –ого интервала (для сгруппированных данных);

$\bar{x}$ – среднее арифметическое содержание;
n_i – количество проб в данном интервале (частота);
N – общее количество проб в выборке;
S – стандартное отклонение.

$$\bar{x} = \sum_{i=1}^{N}(x_i \bullet n_i)/ N \quad (30)$$

$$S= \sqrt{S^2} \quad (31)$$

$$S^2 = \sum_{i=1}^{N}(x_i - \bar{x})^2 \bullet n_i)/ (N-1) \quad (32)$$

$$E= [\sum_{i=1}^{N}(x_i - \bar{x})^4 \bullet n_i)/ (N \bullet S^4)]- 3 \quad (33)$$

В качестве критерия соответствия эмпирических распределений нормальному используют отношения показателей асимметрии и эксцесса к их стандартным отклонениям:

$$\sigma_A= \sqrt{6/N} \quad (34)$$

$$\sigma_E= \sqrt{24/N} \quad (35),$$

где N - общее количество проб в выборке.

Для нормального распределения вероятность того, что значение этих отношений будет отличаться от математического ожидания (среднего значения) больше чем на 3 стандартных отклонения, очень мала (=0,001). Если эти отношения по абсолютной величине превышают 3, то гипотеза о нормальном распределении отвергается. Таким образом, эмпирическое распределение согласуется с нормальным законом, если соблюдаются неравенства:

$$|A/ \sigma_A| \leq 3 \quad (36)$$

$$|E/ \sigma_E| \leq 3 \quad (37)$$

Если хотя бы одно из этих неравенств не соблюдается, следует сделать вывод, что эмпирическое распределение не согласуется с нормальным законом.

В этом случае следует проверить гипотезу о логнормальном распределении. Проверка этой гипотезы производится путем вычисления оценок асимметрии и эксцесса кривой распределения логарифмов содержаний и определения их значимости по вышеописанной методике.

2.2. Проверка закона распределения с помощью критерия Пирсона

Другим расчетным методом определения закона распределения является использование X^2- критерия Пирсона. Сущность метода заключается в том, определяются параметры эмпирического распределения (x и S при проверке на нормальный закон и lgx и Slg – при проверке на логнормальный закон распределения), и, исходя из предполагаемой (нулевой) гипотезы, с помощью этих параметров путем нормирования и использования специальных таблиц (см. Приложение) рассчитывается теоретическое количество проб n^o_i в каждом интервале при данных параметрах распределения. Полученные значения n^o_i сравниваются поинтервально с количеством проб n_i эмпирической выборки. Если различия отсутствуют, то следует признать, что эмпирическая выборка согласуется с проверяемым законом распределения. Если же различия существуют, то вычисляется критерий Пирсона по формуле:

$$X^2 = \sum (n_i - n^o_i)^2 / n^o_i \qquad (38)$$

где i – номер интервала;

к – число интервалов, на которое разделена выборка;

n_i – число проб, попавших в i – вый интервал;

n^o_i – теоретическое число проб, которое должно быть в i-интервале при правильности нулевой гипотезы о соответствии проверяемому закону распределения.

Полученная величина X^2 сравнивается с табличными значениями $X^2_{табл}$ при заданном уровне значимости q (обычно q принимается равным 5 %) и данном числе степеней свободы f. Число степеней свободы в случае, если оценка параметров (среднее содержание и стандартное отклонение или их логарифмы, т.е. lgx и Slg) вычисляются по данным исследуемой выборки, определяется по формуле:

$$f = k - 3 \qquad (39)$$

где k – число интервалов, на которое разделена выборка.

Если вычисленное значение X^2 не превышает табличное значение $X^2_{q,f}$, то исследуемое распределение следует признать согласным с проверяемым законом распределения, и наоборот.

В случае отсутствия соответствующих таблиц, величину X^2 можно оценить по методу В.И. Романовского (1947), который предложил считать расхождение между теоретическим и фактическим (т.е. эмпирическим) распределением неслучайным (значимым) если

$$[X^2 - f]/ \sqrt{2f} \geq 3 \qquad (40)$$

где f – число степеней свободы.

Таким образом, если величина, рассчитанная по формуле Романовского < 3, то нулевая гипотеза о соответствии эмпирического распределения с проверяемым теоретическим подтверждается, если же эта величина ≥ 3, то следует противоположный вывод.

Более подробно с проверкой закона распределения с помощью критерия Пирсона рассматривалась в курсе «Математические методы моделирования в геологии».

4.Определение корреляционной связи между содержаниями элементов

4.1. Выборочный коэффициент вариации

При геологических исследованиях, в том числе в практике геохимических поисков, широко используется установление связи между содержаниями химических элементов в различных геологических телах – в почвах, растениях, крах выветривания, коренных породах, в подземных водах, первичных и вторичных ореолах, рудах. С помощью определения этой связи выделяются элементы-индикаторы для поисков различных видов полезных ископаемых, изучаются пути миграции элементов в различных природных средах, исследуется зональность в распределении элементов в пределах геохимических ореолов, определяется уровень эрозионного среза объектов поисков, выявляется стадийность рудообразованияя, решаются многие другие вопросы.

Мерой зависимости между случайными величинами x и y (в нашем случае содержаниями каких-либо химических элементов в одних и тех же пробах) является **коэффициент корреляции ρ**, который может колебаться от +1 до -1. В случае ρ = +1 имеется прямая положительная связь, т.е. с увеличением содержания одного элемента увеличивается содержание другого элемента. При ρ = -1 существует отрицательная связь, при которой с увеличением содержания одного элемента содержание другого непрерывно убывает. Если ρ = 0, связь между исследуемой парой элементов отсутствует.

Корреляция может быть прямолинейной, когда изменениям содержаний одного элемента соответствуют равные (пропорциональные) изменения содержаний другого элемента, и криволинейной, когда равным изменениям содержаний одного элемента могут соответствовать любые (равные и неравные, увеличивающиеся и уменьшающиеся) содержания другого элемента.

В связи с ограниченностью количества проб, имеющегося в нашем распоряжении, при вычислении коэффициента корреляции исследователь получает не истинную величину ρ, а его оценку r – так называемый *выборочный коэффициент* корреляции.у же закону распределения

При вычислении коэффициента корреляции между содержаниями двух элементов *необходимо, чтобы распределение этих содержаний соответствовало одному и тому же закону распределения* (нормальному или логнормальному). Коэффициент корреляции определяется только по взаимно связанным парам содержаний элементов, взятым из одних и тех же проб. Следует иметь в виду, что коэффициент корреляции определяет только величину связи между элементами, не объясняя причину этой связи, которую следует искать в геохимических свойствах исследуемых элементов и в особенностях конкретной геологической обстановки.

4.1. Вычисление выборочного коэффициента корреляции

При вычислении выборочного коэффициента корреляции r могут быть использованы следующие две формулы:

$$r = \sum (x_i - x)*(y_i - y)/ (N-1)*Sx *Sy , \qquad (41)$$

где x_i и y_i – эмпирические содержания первого и второго элементов в пробах;

x и y 0 средние арифметические значения содержания указанных элементов;

Sx и Sy – статистические оценки стандартных отклонений;

N – число проб в выборке.

Первая формула применяется для определения коэффицинта корреляции в том случае, когда предварительно определяется закон распределения обоих элементов, т.е. для каждой конкретной пары известны величины $x_i - x$ и $y_i - y$.

В качестве примера рассчитаем выборочный коэффициент корреляции между содержаниями молибдена и урана, полученных при опробовании эндогенного (первичного) ореола одного из месторождений (табл.12). Предварительно с помощью оценок асимметрии и эксцесса было установлено, что распределение этих элементов согласуется с нормальным законом распределения с параметрами: $x = 7{,}9*10^{-3}\%$ и $Sx=4{,}9*10^{-3}\%$ для молибдена и $y = 7{,}2*10^{-3}\%$ при $Sy = 3{,}24*10^{-3}\%$ для урана. При расчете величин $(x_i - x)$ и $(y_i - y)$ и их суммы обязательно должен быть учтен знак.

Таблица 12

Расчет выборочного коэффициента корреляции между молибденом и ураном ($n*10^{-3}$%) по формуле

№№ пп	Содержание молибдена	Содержание урана	x_i-x	y_i -y	(x_i-x)*(y_i -y)
1	10	8	+2,1	+0,8	+1,59
2	3	5	-4,9	-2,2	+10,80
3	15	6	+7,1	-1,2	-8,62
4	20	15	+12,1	+7,8	+94,70
5	8	10	_0,1	+2,8	+0,28
6	5	6	-2,9	-1,2	+3,48
7	2	3	-5,9	-4,2	+24,70
8	5	8	-2,9	+0,8	-2,32
9	7	10	-0,9	+2,8	-2,52
10	1	2	-6,9	-5,2	+35,80
11	10	6	+2,1	-1,2	-2,52
12	8	5	+0,1	-2,2	-0,22
13	6	6	-1,9	-1,2	+2,28
14	10	10	+2,1	+2,8	+5,88
15	8	8	+0,1	+0,8	+0,08
N=15					+163,39

Подставив в формулу ( ) все полученные значения получаем

$$R = 163,39 /(14*4,9*3,24) = +0,735$$

Вторая формула используется для расчета выборочного коэффициента корреляции в тех случаях, когда законы распределения величин x и y известны заранее или предполагаются. Формула имеет следующий вид:

$$r = (xy – x*y)/Sx*Sy \qquad (42)$$

где $xy = \sum(x*y)/N$; $x = \sum x_i / N$; $y = \sum y_i /N$; $Sx = \sqrt{x^2-(x)^2}$; $Sy = \sqrt{y^2-(y)^2}$;

$$x^2 = \sum x_i^2/N; \quad y^2 = \sum y_i^2 /N$$

Порядок вычислений r по формуле (42) приведен в таблице 13, где использованы вышеприведенные данные по содержаниям молибдена и урана.

Таблица 13

Расчет выборочного коэффициента корреляции между молибденом и ураном ($n*10^{-3}$%) по формуле

№№ пп	Содержание молибдена	Содержание урана	X_i^2	Y_i^2	$X_i*y_i^2$
1	10	8	100	64	80
2	3	5	9	25	15
3	15	6	225	36	90
4	20	15	400	225	300
5	8	10	64	100	80
6	5	6	25	36	30
7	2	3	4	9	6
8	5	8	25	64	40
9	7	10	49	100	70
10	1	2	1	4	2
11	10	6	100	36	60
12	8	5	64	25	40
13	6	6	36	36	36
14	10	10	100	100	100
15	8	8	64	64	64

N=15	∑= 118	∑= 108	∑= 1266	∑= 924	∑= 1013

x = 118:15=7,9; y= 108:15=7,2; x^2 = 1266:15 = 84,41; y^2= 924:15 = 61,66:

x*y = 1013:15 = 61,7

Sx=√(84,4-7,9^2) =√22 = 4,7; Sy = √(61,6-7,2^2) = √9,8 = 3,13

R = (67,7-7,9*7,2): (4,7*3,13) ≈ 0,735

При логнормальном распределении содержаний элементов для вычисления коэффициента корреляции используют те же формулы, только вместо величин x_i, y_i, x, y, Sx и Sy подставляют значения lgx_i, lgy_i, lgx, lgy, Sxlg, Slgy. Способ вычисленияостается прежним.

После вычисления выборочного коэффициента корреляции необходимо оценить его значимость, то есть решить вопрос о том, значимо ли его отличие от нуля. Если это отличие значимо, то связь между элементами считается установленной независимо от того, положительная она или отрицательная. Если же отличие от нуля не значимо, то делается вывод об отсутствии связи между элементами исследуемой пары.

Для определения значимости r можно воспользоваться специальными таблицами критических значений коэффициента корреляции

4.2. Частная корреляция

Выборочный коэффициент корреляции не всегда отражает истинную силу связи между двумя компонентами ((X и У). В отдельных случаях на его величину значительное влияние может оказать третий компонент (Z), тесно связанный с двумя исследуемыми в отдельности, в силу чего между ними появляется корреляционная связь.

Чтобы уточнить коэффициент корреляции между исследуемыми компонентами, необходимо исключить влияние третьего или других компонентов. Для этого может быть вычислен коэффициент частной корреляции по формуле:

$$R_{xy,z} = (R_{xy} - R_{xz}*R_{yz}): \sqrt{(1-R^2_{xz})*(1-R^2_{yz})}$$

Допустим, по пробам , приведенным в таблице (в разделе 4.1), кроме $t_{Mo,U}$=0,735 были рассчитаны коэффициенты корреляции $r_{Mo,Pb}$=0,530 и $r_{U,Pb}$=0,820. Определим коэффициент корреляции между молибденом т ураном за вычетом влияния свинца на эти элементы по вышеприведенной формуле:

$$R_{Mo,U;Pb} = (0,735 - 0,530*0,820): \sqrt{(1-0,530^2)*(1-0,820^2)} = 0,622$$

Как видим, величина коэффициента корреляции между Mo и U существенно изменилась за счет учета влияния на эти элемента свинца.

Определение значимости частных коэффициентов корреляции производится обычными методами. Особенность заключасется в том, что число степеней свободы вычисляется по формуле:

$$f = N-2-K \qquad (43)$$

где К – число исключенных факторов.

4.3. Вычисление коэффициента ранговой корреляции Спирмена

Описанный выше способ расчета парного линейного коэффициента корреляции применяется, когда в расчетах используются данные количественных анализов. В случае полуколичественных, а иногда и качественных анализов может быть рассчитан коэффициента ранговой корреляции или порядковый коэффициент корреляции (ρ).

Если не удается проверить гипотезу о соответствии эмпирического закона распределения определенному теоретическому закону из-за малого количества данных (или распределение существенно отличается от нормального закона и не поддается нормализации), то для проверки гипотезы о наличии корреляционной связи можно использовать коэффициент ранговой корреляции Спирмена.

Если пронумеровать объекты, упорядоченные по какому либо признаку, то такая совокупность называется ранжированной. Для этого содержаниям исследуемых компонентов присваивают предварительные порядковые номера от 1 до N по возрастанию содержаний. Затем пробам, имеющим одинаковые содержания, дается исправленный номер, равный среднему арифметическому из их предварительных номеров. Для проб, содержание в которых не повторяется, номер остается прежним. После присвоения исправленных номеров по каждой пробе вычисляется разность (Δ) между исправленными номерами обоих компонентов, которая затем возводится в квадрат (Δ^2). Сумма квадратов разностей исправленных номеров ($\Sigma\Delta^2$) используется для определения коэффициент ранговой корреляции (ρ) по формуле:

$$\rho = 1 - [6\bullet(\Sigma\Delta^2 + Tx + Ty) / N\bullet (N^2-1)] \qquad (44)$$

где Δ^2 – квадрат разности исправленных номеров;
N – количество проб в выборке;
Tx – поправка на повторяемость содержаний первого компонента;
Ty - поправка на повторяемость содержаний второго компонента.

Поправки для каждого элемента определяются по формуле:

$$T = \Sigma[(t_i^3 - t_i) / 12] \qquad (45)$$

где t_i – количество проб с тем или иным содержанием.

В тех случаях, когда содержания ни одного из компонентов не повторяются в выборке, поправки равны 0 и формула ( ) приобретает вид

$$\rho = 1 - [6\Sigma\Delta^2 / N\bullet (N^2-1)] \qquad (46)$$

В качестве примера приведем расчет коэффициента ранговой корреляции между содержаниями хрома и никеля в метаморфизованных базальтах Полярного Урала (табл. 14).

Таблица 14

Расчет коэффициента ранговой корреляции
между содержаниями хрома и никеля

№№ проб	Содержание хрома, в $n\bullet10^{-3}$ %	Порядковый номер		Содержание никеля, в $n\bullet10^{-3}$ %	Порядковый номер		Разность порядковых исправленных номеров (Δ)	Квадрат разности исправленных номеров (Δ^2)
		Предварительный	исправленный		предварительный	исправленный		
1	10	5	6,5	5	8	8,5	2	4
2	20	10	11,5	18	11	12	0,5	0,25
3	2	1	1	2	2	2	1	1
4	20	11	11,5	18	12	12	0,5	0,25
5	40	14	14	20	14	14	0	0
6	10	6	6,5	3	3	4,5	2	4
7	5	2	2	1	1	1	1	1
8	20	12	11,5	10	10	10	1,5	2,25
9	10	7	6,5	3	4	4,5	2	4
10	9	4	4	3	5	4,5	0,5	0,25
11	15	9	9	5	9	8,5	0,5	0,25
12	20	13	11,5	18	13	12	0,5	0,25

13	7	3	3	4	7	7	4	16
14	10	8	6,5	3	6	4,5	2	4

$\Sigma\Delta^2 = 37,5$

Для вычисления поправок на повторяемость содержаний составляются таблицы (2,3) на основании которых рассчитываются поправки T_{Cr} T_{Ni} по формуле ( )

Таблица 15

Определение поправок на повторяемость содержаний хрома

Номер по порядку (i)	1	2
Содержание хрома, в $n\bullet10^{-3}$ %	10	20
Количество проб с повторяющимся содержанием (t_i)	4	4

Таблица 16

Определение поправок на повторяемость содержаний цинка

Номер по порядку (i)	1	2	3
Содержание никеля, в $n\bullet10^{-3}$ %	3	5	18
Количество проб с повторяющимся содержанием (t_i)	4	2	3

$T_{Cr} = [(4^3-4)+(4^3-4)]/ 12 = (60+60)/ 12= 10$
$T_{Ni} = [(4^3-4)+ (2^3-2)+ (3^3-3)] /12= (60+6+24)/ 12= 7,5$

С учетом поправок определяем коэффициент ранговой корреляции по формуле
$\rho_{Cr- Ni} = 1- [6\bullet (37,5 + 10+ 7,5) / 14\bullet (14^2-1)] = 1-(6\bullet55/ 14\bullet195) = 0,88$

Величина ρ должна быть оценена с точки зрения ее значимости. Для этого воспользуемся формулой

$$|\rho| \geq 1,96/ \sqrt{N-1} \qquad (47)$$

Если ρ независимо от знака по абсолютной величине больше или равен $1,96/ \sqrt{N-1}$, то связь считается значимой, если меньше – корреляционная связь между исследуемыми компонентами отсутствует.

Для приведенного примера величина $1,96/ \sqrt{N-1}= 1,96/\sqrt{13} = 0,54$;
то есть $|\rho| = 0,88 > 0,54$ и можно сделать вывод, что коэффициент ранговой корреляции между хромом и никелем в метаморфизованных базальтах Полярного Урала значим.

4.4. Интерпретация значений коэффициента корреляции

По модулю r выделяют группы по силе связи:

$0 < |r| \leq 0,25$ отсутствие связи;
$0,25 < |r| \leq 0,5$ слабая связь;
$0,5 < |r| \leq 0,75$ средняя связь;
$0,75 < |r| \leq 0,9$ сильная связь;
$0,9 < |r| \leq 1,0$ очень сильная связь, близкая к функциональной.

Если два минерала-носителя двух коррелируемых компонентов образуются одновременно или сингенетичным путем эвтектики, то коэффициент корреляции компонентов всегда имеет положительный знак при сильной или очень сильной связи (генетическая связь).

Если два минерала носителя двух коррелируемых компонентов метасоматически замещают друг друга, то корреляция всегда отрицательная при сильной или очень сильной связи (генетическая связь).

Если корреляционная зависимость между элементами слабая или отсутствует, то связь между элементами, как и между их минералами-носителями парагенетическая.

Средняя по силе связь не имеет однозначной интерпретации.

Если установлена сильная положительная связь между геохимическими спектрами, то они принадлежат одному объекту или близким по генезису геологическим образованиям.

Если между геохимическими спектрами корреляционная зависимость слабая или отсутствует, то они принадлежат разным по генезису объектам.

Если связь между геохимическими спектрами средняя, то интерпретация неоднозначна, возможны разные варианты.

4.5. Уравнение регрессии

При тесной корреляционной связи между двумя компонентами, близкой к линейной, можно по содержанию одного компонента приближенное определять содержание другого. Для этого рассчитывается так называемое *уравнение регрессии*, которое в случае двух переменных (X и У) имеет форму $y = a + b * x$. Величины a и b можно получить по формулам (У. Крамбейн и др., 1973):

$$b = [N(\sum(x_i * y_i) - (\sum x_i) * (\sum y_i)] : [N(\sum x_i^2) - (\sum x_i)^2] \quad ; \qquad (47)$$

$$a = [(\sum y_i - b*((\sum x_i)] : N \qquad (48)$$

В качестве примера используем распределение молибдена и урана. Подставив соответствующие значения получаем:

$$b = [15* (1013) - (118*8)] : [15*(1266) - 118^2] = 0{,}485$$

и

$$a = (108 - 0{,}485*118) : 15 = 3{,}38$$

Уравнение регрессии в данном случае имеет вид: $y = 3{,}38 + 0{,}485x$, где y – содержание урана, x- содержание молибдена в одной и той же пробе. Таким образом, с помощью уравнения регрессии можно приближенно рассчитать возможное содержание урана, зная конкретное содержание молибдена. Однако при этом в реальности отклонения могут быть значительными, поскольку *уравнение регрессии отражает только тенденцию изменения изучаемых величин* и наиболее хорошие результаты получаются при величине коэффициента корреляции близкой к 1.

5. Показатели, используемые при изучении геохимических аномалий

Геохимические аномалии, выявляемые в процессе поисковых работ являются поисковыми признаками месторождений**.** Однако лишь часть аномалий принадлежит к разряду «рудных», непосредственно связанных с рудными объектами. Большее число выявленных аномалий, как правило, безрудные (так называемые «породные»), или возникшие на геохимических барьерах, либо техногенные. Многочисленны причины образования аномалий. Знание условий их формирования, а также приемов надежного их

выявления, разбраковки и последующей оценки позволяет наиболее объективно выполнить весьма ответственный завершающий этап геохимических поисков.

При выделении, изучении и оценке геохимических аномалий решающее значение имеет анализ геохимических данных. Вместе с тем эти исследования невозможны без математической обработки полученной информации. Такой подход позволяет применить к оценке геохимических аномалий (ореолов) ряд числовых характеристик (показателей). Среди них:

- нижнее аномальное значение (содержание);
- показатели относительной концентрации химических элементов;
- градиент концентрации;
- вариационный размах;
- коэффициент вариации;
- коэффициент корреляции;
- показатели количественной оценки ореолов (продуктивность, прогнозные ресурсы);
- показатели зональности и оценки глубины эрозионного среза ореолов, рудных тел:
- пространственные характеристики геохимических ореолов.

Рассмотрим некоторые из них, не рассмотренные ранее в разделах 1и 2 настоящего методического пособия.

Показатели относительной концентрации химических элементов включают *кларк концентрации, коэффициент концентрации, коэффициент аномальности, показатель концентрации, показатель контрастности.*

5.1. Кларк и коэффициент концентрации

Кларк концентрации (КК) введен В.И. Вернадским и выражается через отношение содержания химического элемента в природном объекте (Сэ, или Сi) к его кларковому содержанию (Ск или просто К), то есть

$$КК = Сэ/К \qquad (49)$$

В качестве кларков обычно используют таблицы средних содержаний (кларков) химических элементов в горных породах различного состава по А. П.Виноградову [ ], в последние десятилетия чаще используются кларки ИМГРЭ (прил.), или региональные (т.н. «местные») кларки (для Урала – это таблица кларков Г. А. Востроknутова. См. Прил).

Кларки концентрации позволяют определять геохимическую и металлогеническую специализацию пород, магматических комплексов, осадочных, магматических и метаморфических формаций; выявлять элементы-индикаторы оруденения, устанавливать геохимические спектры проявлений и месторождений. Знание кларков концентрации элементов помогает более эффективно решать геохимические проблемы миграции (рассеяния, концентрирования) элементов в почвах и породах различного состава; при выяснении роли геохимических барьеров в формировании месторождений полезных ископаемых.

Недостатком этого геохимического показателя является его независимость от провинциальных и региональных геохимических особенностей. Поэтому в практике геохимических работ целесообразнее использовать не кларковый, а фоновый уровень содержаний элементов, рассчитывая в этом случае коэффициент концентрации.

Коэффициент концентрации (Кк) отражает во сколько раз содержание химического элемента в объекте исследований больше или меньше фонового

Кк= Сi/ Сф.

Этот показатель учитывает региональное распределение элементов и ошибки аналитических определений. Коэффициент концентрации позволяет выявлять геохимические спектры рудных объектов (месторождений, рудопроявлений, пунктов минерализации) и геохимических аномалий, выделять элементы-индикаторы.

ПОСТРОЕНИЕ ГЕОХИМИЧЕСКИХ СПЕКТРОВ И ИХ КОРРЕЛЯЦИЯ

В большинстве случаев рудные месторождения имеют многоэлементный состав и должны оцениваться по комплексу элементов. Особенно важно изучение концентрированного состояния, отображаемого в геохимических спектрах месторождений полезных ископаемых.

Геохимический спектр объекта– «графическое изображение его химического состава, определенным образом упорядоченное и представленное в форме, удобной для сравнения с другими объектами». Такое упорядочение может быть представлено и табличной формой выражения ассоциаций химических элементов.

Геохимический спектр какого-либо геологического объекта представляют ассоциации типоморфных химических элементов. Для геохимических спектров горных пород такими являются ассоциации акцессорных элементов. Для рудных объектов и аномалий – ассоциации рудных и сопутствующих им элементов. К типоморфным относятся элементы, у которых КК (для горных пород) и Кк (для руд и аномалий) в «n» раз превышают 1. При количественной основе анализа n≥ 1,3-1,5; при приближенно-количественном - n≥ 3-5.

Наглядной формой выражения геохимического спектра является круговая диаграмма (рис.). Центр диаграммы соответствует 0, круг – 1. Отложение КК или Кк по лучу для каждого элемента осуществляется в логарифмическом масштабе (десятичных логарифмов). Для удобства визуального сопоставления диаграмм различных типов объектов расположение элементов на диаграммах одного типа (неизмененные горные породы, метаморфически преобразованные породы, рудные объекты и аномалии) следует осуществлять в одной последовательности. Размеры диаграмм зависят от выбранного модуля построения (отрезка изображения одного десятичного порядка) и величин КК или Кк.

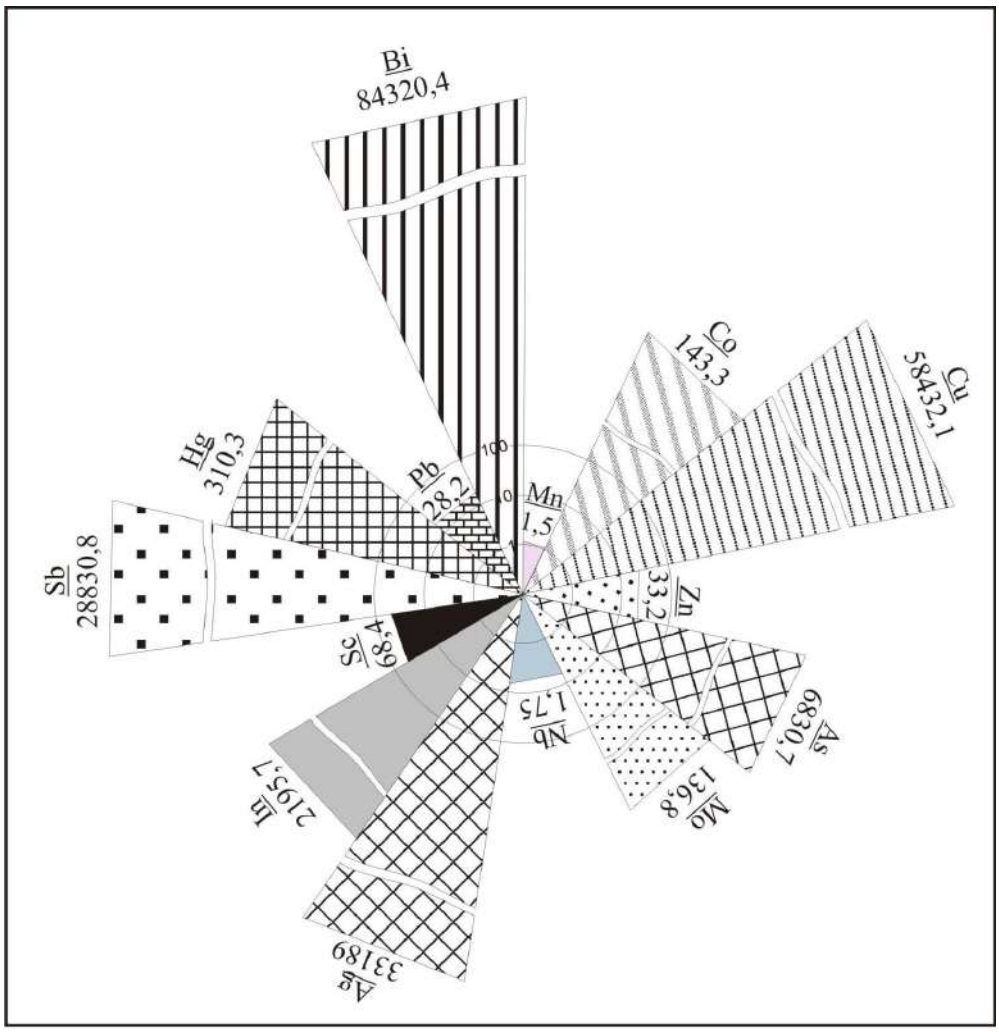


Рис.1. Геохимический спектр густовкрапленных сульфидных руд

Частным случаем коэффициента концентрации служит ***коэффициент аномальности*** ($К_А$) применительно к содержаниям химических элементов, он отражает степень концентрации химического элемента в аномалии (Са) по отношению с геохимическим фоном (Беус, Григорян, 1975):

$$К_А = Са / Сф \qquad (50)$$

Показатель концентрации (Пк) отражает отношение содержания элемента в породах или рудах (Сi), а также в аномалиях и ореолах к нижнему аномальному содержанию:

$$Пк = Сi / Са \qquad (51)$$

Пк фиксирует степень концентрации элементов в природных объектах при их сравнительном изучении.

Показатель контрастности ореола К предложен А. П. Солововым:

$$К = (Cmax – Сф): (Сф+3S)$$

где Сф+3S – нижнее аномальное содержание ($Са_1$)

Сф – медианное значение фона;

S – стандартное отклонение.

Показатель контрастности по зволяет выбирать наиболее контрастные (относительно более богатые) ореолы при их сравнительной оценке.

Градиент концентрации (Kr) характеризует изменение концентрации элемента (группы элементов) в определенном направлении, приходящееся на единицу длины. Максимальная величина градиента устанавливается вкрест изолиний, напрмер, изоконцентрат (в первом приближении перпендикулярно поверхности контакта рудного тела с вмещающими породами).

Падение концентраций в ореолах обычно идет по экспоненте, поэтому графики концентрации, построенные в полулогарифмической системе координат, имеют линейный вид. В зависимости от величины Kr эти графики образуют различные углы наклона (α). Численно градиент концентрации измеряется тангенсом острого угла α, образованного графиком распределения концентраций элементов в ореоле с осью абсцисс:

$$Kr = tg\ \alpha \qquad (52)$$

Градиент концентрации является функцией многих переменных, влияние которых практически невозможно учесть. В то же время сравнительное изучение градиентов концентрации различных элементов – индикаторов позволило в свое время С.В. Григоряну и Е.М. Янишевскому [4] выявить интересную закономерность: как бы ни менялись абсолютные величины градиентов, соотношение их остается более или менее постоянным. Величина относительного градиента концентрации количественно характеризует подвижность данного элемента при формировании эндогенного (первичного) ореола.

Градиент концентрации используется при изучении зональности ореолов и их размеров в горизонтальном сечении. Он может служить отражением контрастности ореолов, а в отдельных случаях является показателем близости скрытого оруденения.

5.2. Показатели количественной оценки геохимических ореолов

Имеют важнейшее значение на стадии оценочных работ при выборке наиболее представительных объектов для вскрытия, количественной характеристики ореолов, выявления и изучения их зональности, используются при подсчетах прогнозных ресурсов месторождений по геохимическим аномалиям. К их числу относятся: линейная продуктивность, площадная продуктивность ореолов; продуктивность потоков рассеяния, запасы металла в ореоле для слоя 1 м, прогнозные ресурсы металла в ореоле и эквивалентном рудном теле, местный коэффициент пропорциональности между количеством металла в остаточном ореоле рассеяния и рудном теле и ряд других.

Линейная продуктивность ореола отражает количество элемента-индикатора, приходящееся на линейную характеристику ореола (профиль, скважина). Этот показатель введен А.П. Солововым (1959 г.). Он дает ориентировочное представление о количестве ореолообразующего элемента, привнесенного в рудовмещающие породы при рудообразовании или оставшегося в коре выветривания, рыхлых отложениях и почвах при развитии остаточного вторичного ореола рассеяния по линии опробования. Он может быть полезен при оценке перспективности ореолов и для выяснения зональности их строения. Выражается в метропроцентах.

В зависимости от характера опробования (отбор проб по равномерной или неравномерной сети, сплошное опробование, метод пунктирной борозды) расчет линейной продуктивности осуществляется по следующим формулам:

1. ***Равномерная сеть точечного опробования***

$$M = \Delta x \left(\sum_{i=1}^{N} Ci - n \bullet Cф\right) \qquad (53)$$

где М –линейная продуктивность, т.е. привнесенное количество металла в данном пересечении, м %;

Δх – расстояние между точками отбора проб по линии (профилю, скважине), м;

$\sum_{i=1}^{N} Ci$ – арифметическая сумма всех содержаний металла в точках по профилю внутри ореола Са;

n – число точек (проб) внутри ореола Са;

Сф – фоновое содержание.

2). ***Неравномерная сеть точечного опробования***

$$M = \sum_{i=1}^{N} Ci \bullet li - a \bullet Cф \qquad (54)$$

где $\sum_{i=1}^{N} Ci \bullet li$ – арифметическая сумма произведений содержаний металла в точке опробования(%) на длину (интервал) влияния пробы (м), которая измеряется от середины до середины расстояний между соседними точками по профилю;

а – ширина ореола ($a = \sum_{i=1}^{N} li$), м.

3). ***Расчет линейной продуктивности по данным замеров радиоактивности при радиометрических поисках месторождений урана производится по формулам***:

А) для равномерной сети замеров радиоактивности по профилю:

$$M = (10^{-2}/K) \bullet \Delta x \left(\sum_{i=1}^{N} Ji - n \bullet Jф\right) \qquad (55)$$

Б) для неравномерной сети замеров радиоактивности по профилю:

$$M = (10^{-2}/K) \bullet \left(\sum_{i=1}^{N} Ji \bullet li - a \bullet Jф\right) \qquad (56)$$

где Ji- радиоактивность в точке замера внутри ореола Ja;

К – коэффициент пропорциональности между радиоактивностью (мкр/час) и содержанием урана (в %) при определенном коэффициенте радиоактивного равновесия (Крр).

К= 115 мкр/час на 0,01 % урана при Крр= 1.

К= 115 • Крр (подставляется в формулу).

4). ***Расчет линейной продуктивности при опробовании коренных горных пород в обнажениях, горных выработках и скважинах методом секционной (сплошной) пунктирной сколковой борозды:***

$$M = \sum_{i=1}^{n} m_i \bullet (Ci - Cф) \qquad (57)$$

где m_i – длина интервала опробования (пунктирной борозды-секции), м;

Ci- содержание элемента в пробе соответствующего интервала, %;

Сф – фоновое содержание элемента, %;
n – количество проб, вошедших в подсчет.

Линейная продуктивность используется для количественной оценки ореолов, выбора наиболее представительных аномалий для дальнейшего изучения, выявления и изучения зональности ореолов.

Площадная продуктивность ***отражает количество элемента-индикатора, приходящееся на всю площадь ореола. Она дает ориентировочное представление о количестве металла, привнесенного в ореол (или оставшегося в ореоле при разрушении рудного объекта) в плоскости опробования. Выражается в площадных метропроцентах (м²%). В зависимости от характера сети опробования подсчет площадной продуктивности вторичного ореола рассеяния ведется по формулам:***

1)***. Правильная сеть опробования***

$$P = \Delta l \bullet \Delta x \bullet \sum_{i=1}^{N} (Ci - n \bullet Сф) \qquad (58)$$

где Δl – расстояние между профилями, м.
Это выражение может быть трансформировано следующим образом:

$$P = \Delta l \bullet \sum_{i=1}^{N} Mi \qquad (59)$$

2). ***Неправильная сеть опробования***

$$P = \sum_{i=1}^{N} Mi \bullet li \qquad (60)$$

где $\sum_{i=1}^{N} Mi \bullet li$ – арифметическая сумма произведений линейных продуктивностей на ширину их влияния (измеряется от середины до середины расстояний между соседними профилями), м².

3). ***Площадная продуктивность первичного ореола по данным опробования скважин, поверхностных или подземных горных выработок методом пунктирной борозды***

$$P = \sum_{i=1}^{n} (li \bullet mi) \bullet (Ci - Сф) \qquad (61)$$

где li – ширина влияния профиля опробования – выработки (измеряется от середины до середины расстояний между соседними выработками).

Площадная продуктивность используется для количественной оценки ореолов, выбора наиболее представительного ореола для дальнейшего изучения, выявления и изучения зональности ореолов.

Запасы металла в ореоле для слоя мощностью 1 м

Рассчитываются по формуле:

$$q = P \bullet d \bullet 10^{-2} \qquad (62)$$

где q - запасы металла в ореоле для слоя мощностью 1 м, т;
P – площадная продуктивность ореола, м²%;
d – объемный вес горных пород, т/м³.

Ориентировочные запасы металла (прогнозные ресурсы) **в остаточном ореоле рассеяния** рассчитывают исходя из запасов металла в ореоле для слоя мощностью 1 м (q, т) и предполагаемой глубины развития (h, м) ореола в коре выветривания, элювиально-делювиальных отложениях и почвах:

$$Q_{op.} = q \bullet h, \text{ т/м} \qquad (63)$$

Ориентировочные запасы металла в эквивалентном рудном теле (прогнозные ресурсы месторождения)

Запасы металла в ореоле пропорциональны запасам металла эквивалентного рудного тела, за счет которого формируется ореол. При литогеохимических поисках объективную характеристику выхода месторождения дают продуктивность его вторичного ореола, выраженная в тоннах металла для слоя 1 м и коэффициент пропорциональности (К). Для рудных тел создающих подобный себе вторичный ореол рассеяния, подсчет ресурсов металла (в тоннах) можно произвести по формуле:

$$Q_н = K \bullet q \bullet H \qquad (64)$$

где Н – глубина прогнозирования, м.

Целесообразную глубину подсчета (Н) выбирают при этом в соответствии с конкретными геологическими условиями (глубина вероятного распространения руд, половина длины рудного тела, 100, 200 м), т.е. такую глубину подсчета, чтобы q было устойчиво на глубину. При относительно достоверных сведениях о величине коэффициента пропорциональности (К) результаты подсчета ресурсов следует округлять до первой значимой цифры. При недостаточно надежных данных указывают только порядок чисел.

Несмотря на приближенный характер этих подсчетов, рассчитанные прогнозные ресурсы металла по вновь найденным месторождениям имеют важное ориентирующее значение при выборе объектов для первоочередной оценки.

Местный коэффициент пропорциональности между количеством металла в остаточном ореоле рассеяния и рудном теле (ореольный коэффициент). Его следует определять путем подсчета линейных или площадных продуктивностей рудообразующих элементов в ореолах и рудных телах в одних и тех же плоскостях и профилях. Для расчета используют формулы:

$$K = M / M_{р.т.} \qquad (65)$$

где К – местный коэффициент пропорциональности;

М – линейная продуктивность, м%;

Мр.т. – количество металла в том же сечении рудного тела (линейная продуктивность рудного тела), м%.

$$M_{р.т.} = D \bullet Cp \qquad (66)$$

где D – видимая мощность рудного тела на уровне денудационной поверхности, м;

Ср – среднее содержание металла в рудной зоне по данным опробования, %.

По большому числу сечений рудных тел путем сопоставления показателей М и Мр.т. следует найти среднегеометрическое значение К и оценить пределы его колебаний.

Необходимо учитывать, что величина «М» соответствует не истинной, а видимой мощности рудного тела на поверхности коренных пород. Если профили литогеохимических поисков пересекают ореол не строго вкрест его простирания, образуя с ним некоторый угол $\omega < 90°$, найденные по графикам значения М следует исправить, умножив их на $\sin \omega$.

$$K = q / Q_{р.т.} \qquad (67)$$

где q - запасы металла, заключенные в метровом слое рудного тела на его эрозионном срезе, т;

$Q_{р.т.}$ – ориентировочные запасы металла в остаточном ореоле рассеяния, т.

5.3. Показатели зональности ореолов и оценки глубины эрозионного среза геохимических ореолов, рудных тел и рудовмещающих структур

Это большая и очень важная группа показателей, используемых на стадии оценочных работ, а также при выявлении и изучении эталонных месторождений

Зональность первичных ореолов – закономерное изменение состава и концентрации элементов-индикаторов по мере удаления от рудных тел и месторождений.

Выделяется горизонтальная и вертикальная зональность геохимических ореолов. *Горизонтальная зональность* наблюдается в горизонтальном сечении ореоловиЮ по существу, является следствием различной протяженности ореолов отдельных элементов-индикаторов. *Вертикальная зональность* обусловлена закономерным изменением по вертикали величин отдельных параметров ореолов, таких, как размеры, концентрация элементов в ореоле и др. наибольшее значение в практике поисковых работ имеет вертикальная зональность ореолов. В этой связи рассмотрим показатели, позволяющие выявить, изучить и использовать вертикальную зональность ореолов при оценке литохимических аномалий. К их числу принадлежат: средние содержания, продуктивности, индикаторные отношения, коэффициент зональности, показатель зональности.

Средние содержания, продуктивности элементов-индикаторов по разному ведут себя на различных уровнях вертикального сечения (разреза) ореолов. При четко выраженной зональности надрудные, околорудные и подрудные элементы-индикаторы характеризуются наибольшими значениями этих показателей на соответствующих уровнях ореолов. Однако, как показала практика геохимических работ, *большей индикационной способностью по части выражения вертикальной зональности обладают не сами содержания и продуктивности, а их отношение.*

Индикаторные отношения представляют достаточно широкую группу показателей вертикальной зональности. Они охватывают как отношения показателей пар элементов-индикаторов (парные отношения при изучении зональности по моноэлементным ореолам), *отношения сумм показателей* (для аддитивных ореолов), так и *отношения произведений показателей* (в случае мультипликативных ореолов).

В качестве показателей, в зависимости от количества имеющейся числовой информации (степени изученности объекта, аномалии), могут использоваться содержания в абсолютных значениях – Сэ или в фонах –КК, средние содержания, линейные или площадные продуктивности элементов-индикаторов. Наиболее часто применяются парные отношения: $\frac{Cx}{Cy}$ $\frac{KKx}{KKy}$ $\frac{Cx}{Cy}$ $\frac{Mx}{My}$; $\frac{Px}{Py}$

Рассмотренные числовые показатели (с, КК, С, М, Р) могут относиться к надрудным, рудным и подрудным элементам-индикаторам. Парные отношения этих категорий элементов отличаются по индикационной способности в отношении зональности. Используются такие категории отношений:

1) Показатели надрудных элементов ($C_н$, $КК_н$, $C_н$, $M_н$, $P_н$)
   Показатели рудных элементов ($C_р$, $КК_р$, $C_р$, $M_р$, $P_р$)

2) Показатели рудных элементов ($C_р$, $КК_р$, $C_р$, $M_р$, $P_р$)
   Показатели подрудных элементов ($C_п$, $КК_п$, $C_п$, $M_п$, $P_п$)

3) Показатели надрудных элементов ($C_н$, $КК_н$, $C_н$, $M_н$, $P_н$)
   Показатели подрудных элементов ($C_п$, $КК_п$, $C_п$, $M_п$, $P_п$)

Наибольшей контрастностью поведения по вертикали на различных уровнях ореолов отличается последнее отношение, которое получило название коэффициента

зональности ($К_з$). запишем его частную формулу на примере парного отношения линейных продуктивностей, как наиболее часто применяемого в поисковой геохимии показателя:

$$К_з = М_{надр.} / М_{подр.} \quad (68)$$

Коэффициент зональности аддитивных ореолов будет иметь вид:

$$К_з = \sum М_{надр.} / \sum М_{подр.} \quad (69)$$

Аналогично для мультипликативных ореолов этот же коэффициент следует рассчитывать по формуле

$$К_з = (М_{н\,1} * М_{н\,2} *\ldots М_{н}\,х) / (М_{п1} * М_{п\,2} *\ldots М_{п}у) \quad (70)$$

Первичные эндогенные ореолы и развивающиеся по ним вторичные остаточные ореолы рассеяния являются многокомпонентными, поэтому всегда возникает необходимость сравнительной оценки зональности ореолов различных элементов с целью выбора наиболее эффективных элементов-индикаторов зональности.

В подобных случаях можно пользоваться *методом составления рядов вертикальной зональности* с помощью ***коэффициента контрастности зональности***. Последний представляет собой отношение значения числового показателя элемента (например М- линейная продуктивность) на верхнем (надрудном – в числителе) к значению этого показателя того же элемента на нижнем (подрудном – в знаменателе) сечении исследуемого геохимического разреза. В качестве примера предложим таблицу 17, приведенную в работе А.А. Беуса и С.В. Григоряна [2]. В ней приведены величины линейной продуктивности ореолов и коэффициенты контрастности зональности, раасчитанные по одному из разрезов уранового месторождения в гранитах.

Таблица 17

Величины линейной продуктивности (М,%) и коэффициента контрастности зональности ореолов

Показатель	U	Cu	Zn	Pb
Линейная продуктивность:				
Поверхность (надрудный)	0,3	1,2	3,0	12,0
IV горизонт (рудный)	0,45	1,3	1,6	5,0
VII горизонт (подрудный)	0,5	0,7	0,2	0,26
Коэффициент контрастности - зональности	0,6	1,7	15,0	46,0

Если элементы расположить по порядку убывания величины коэффициента контрастности, получим ряд элементов-индикаторов зональности, где слева направо происходит смена элементов в соответствии с зональностью их ореолов. Для рассматриваемого примера будем иметь:

свинец (46,0) – цинк (15,0) – медь (1,7) –уран (0,6).

Практическое значение подобных рядов заключается в том, что с их помощью удается определить наиболее контрастные, а, следовательно, наиболее надежные для оценки уровня эрозионного среза индикаторные отношения, какими будут пары элементов, максимально удаленных в рядах зональности. В приведенном примере такой является пара свинец-уран.

Использование коэффициента контрастности зональности дает однозначные результаты только при условии монотонного характера изменения по вертикали продуктивностей ореолов. Однако, это условие часто нарушается, в связи с чем более надежно использовать *показатель зональности элемента-индикатора.* Он представляет собой отношение продуктивности ореола данного элемента к сумме продуктивностей ореолов всех элементов-индикаторов исследуемого типа оруденения, то есть:

$$П_з = Mx/ \sum M_i \qquad (71)$$

При таких подсчетах следует нормировать продуктивности ореолов. Эта операция и выявление ряда вертикальной зональности элементов-индикаторов на конкретных примерах подробно рассмотрены в монографии А.А. Беуса и С.В. Григоряна (1975, стр. 95-97 [2]).

Показатель зональности количественно отражает относительное накопление элемента на каждом из исследованных горизонтов и может служить индикатором вертикальной зональности ореолов. В таблице 18 отражены величины показателя зональности, рассчитанные по нормированным значениям линейных продуктивностей ореолов в одном из разрезов скарново-полиметаллического месторождения Акташ в Таджикистане [2].

Таблица 18

Величины показателя зональности элементов

Элемент	Поверхность	Скв. 407	скв. 410	скв. 411
Pb	0,13	0,746*	0,171	0,03
As	0,148	0,0056	0,036	0,04
Sb	0,574	0,056	0,184	0,139
Cu	0,084	0,071	0,158	0,156
Bi	0,061	0,028	0,211	0,177
Mo	0,0061	0,7	0,237	0,465

- подчеркнуты максимальные для каждого элемента значения $П_з$

Из таблицы следует, сто максимальное относительное накопление мышьяка и сурьмы наблюдается на верхнем уровне ореолов, синца – на втором, меди и висмута – на третьем, а молибдена – на самом нижнем уровне. Таким образом, по результатам расчета $П_З$ можно составить следующий ряд элементов (сверху вниз):

(As, Sb) – Pb – (Cu, Bi) - Mo .

В скобки заключены элементы, взаимоотношения между которыми не ясны. Порядок значений $П_З$ при достаточной статистике на эталонных месторождениях может, очевидно, служить индикатором соответствующего сечения ореола. И это может быть использовано при оценке аномалий.

Пространственные характеристики ореолов

К ним относятся такие показатели, которые характеризуют пространственное положение геохимических ореолов:

- длина ореола (А) – размер ореолов по простиранию;
  ($А^1$) – протяженность по падению;
- ширина ореолов (В) – размер ореолов вкрест простирания;
- коэффициент сжатия ореолов (в) –отношение ширины ореола к его длине;
- азимут простирания ореола (Аз пр.);
- угол падения ореола (< пад.);
- коэффициент сплошности ореола (Кс), представляющий отношение аномальных площадей, заключенных в контуре ореола к общей площади ореола.

С м е щ е н и е э п и ц е н т р а о р е о л а н а с к л о н е.

Эпицентр вторичного ореола рассеяния в рыхлых отложениях совпадает в плане с выходом рудного тела на поверхность коренных пород только в случае горизонтальной дневной поверхности и вертикального падения рудного тела. Во всех остальных случаях центральная точка ореола смещена в сторону понижения рельефа и восстания рудного тела.

Очень ответственной операцией, завершающей оценку аномалий (ореолов), является вскрытие коренного оруденения канавой, шурфом или скважиной. При

заложении выработки необходимо учитывать смещение эпицентра ореола на склоне. это смещение пропорционально квадрату мощности рыхлых отложений и синусу угла наклона местности и рассчитывается по формуле:

$$\Delta S = A*h^2*\sin\alpha \qquad (72)$$

где ΔS – смещение эпицентра ореола на склоне по отношению выхода рудного тела на поверхность коренных пород;

A – местный коэффициент, зависящий от ландшафтно-геохимических условий миграции элемента;

h – мощность рыхлых отложений на склоне, в которых развит вторичный ореол рассеяния;

α – угол склона.

Подводя итоги рассмотрения вопросов качественной и количественной оценки геохимических полей, составляющих их аномалий и ореолов, вслед за А.П. Солововым напомним, что рассмотренные ореольные показатели имеют различное значение и целевое назначение и в этом плане в методической и учебной литературе подразделены на две группы показателей – параметрические и непараметрические.

Параметрические показатели уточняются по мере увеличения детальности и точности поисковых геохимических исследований. Они имеют важное значение для обоснования методики геохимических поисков и научных выводов. К ним относятся:

- среднее арифметическое (c) или геометрическое (c) содержание химических элементов в однородном геологическом объекте, в удалении от аномалии;
- природное стандартное отклонение (S), дисперсия (S^2), или стандартный множитель (δ) при данном весе пробы;
- максимальное содержание металла (элемента в аномалии (C_{max}) при данном способе опробования;
- количество металлов в аномалии (M в м%, P в м^2%, q в тоннах или кг);
- подвижность химических элементов в ореолах ($1/\lambda$ и σ);
- отношение между количеством металла во вторичном ореоле (M, P, q) и в коренном оруденении – «местный коэффициент пропорциональности (*K*);
- отношение между содержаниями (лучше количествами) пар или групп химических элементов в аномалии;
- коэффициенты корреляции между содержаниями химических элементов в аномалиях и т.д.

Непараметрические показатели с увеличением точности исследований произвольно изменяются или заранее известны. Некоторые имеют важное техническое значение. К этой группе относятся:

- «встречаемость» химических элементов в аномалии (в %);
- средние содержания химических элементов в аномалии и в рудах (в %);
- выявленные (эффективные) размеры аномалии (ширина, протяженность, площадь);
- ряды подвижности химических элементов в зависимости от размеров ореолов;
- отношения между содержаниями (Cx) металлов во вторичном ореоле и в коренном оруденении.

Л И Т Е Р А Т У Р А

1. Алексеенко В.А. Геохимические методы поисков месторождений полезных ископаемых. М.: «Высшая школа», 1989. -304 с.
2. Беус А.А., Григорян С.В. Геохимические методы поисков и разведки месторождений твердых полезных ископаемых. М.; Недра, 1975. С.
3. Вершинин А.С., Грязнов О.Н., Чесноков В.И. Теоретические основы геохимических методов поисков месторождений полезных ископаемых. Учебное пособие.- Екатеринбург: Изд-во УГГГА 2000.-201 с.
4. Григорян С.В., Янишевский Е.М. Экзогенные геохимические ореолы рудных месторождений и их использование при поисках скрытого оруденения. М.: Недра, 1968.
5. Инструкция по геохимическим методам поисков рудных месторождений. М.: Недра, 1965.
6. Инструкция по геохимическим методам поисков рудных месторождений. М.: Недра, 19 .
7. Крамбейн У., Кауфман М., Мак-Кеммон Р. Модели геологических процессов. М.: «Мир», 1973.
8. Левинсон А. Введение в поисковую геохимию. Москва: Изд-во «Мир», 1976. – 499 с.
9. Питулько В.М., Крицук И.Н. Основы интерпретации данных поисковой геохимии. Л.: Недра, 1990. -336 с.
10. Соловов А.П. Основы теории и практики металлометрической съемки. Алма-Ата: Изд-во АН КазССР, 1959.
11. Справочник по геохимическим поискам полезных ископаемых. М.: Недра, 1990.
12. Толстой М.И. некоторые вопросы методики оценки металлоносности геологических образований и обнаружения эндогенных геохимических ореолов. Киев. Изд-во Киевского ун-та, 1964.
13. Требования к производству и результатам многоцелевого геохимического картирования масштаба 1:1000000. М.: ИМГРЭ, 1999
14. Чесноков В.И., Грязнов О.Н. «Основы математической обработки геохимической информации» в 3-х частях. *Методические разработки к практическим занятиям* по курсу «Геохимические методы поисков рудных месторождений». Свердловск: Изд-во СГИ. 1982. 125 с.
15. Шарапов И.П. Применение математической статистики в геологии. М.: Недра, 1971.

Практические задания по дисциплине

Лабораторная работа № 1
Построение геохимических спектров и их корреляция (4 часа)

1. Выдается задание на построение геохимических спектров (прил.), каждому по 2 варианта.

2. Рассчитываются кларки концентрации (КК) для всех элементов заданных в вариантах по формуле КК= Сэ/К. в качестве Кларков используются средние содержания химических элементов в горных породах соответствующего состава (прил….).

3. По результатам расчетов заполняются 1-3 и 6 столбцы таблицы 4.

Таблица 4

Расчет кларков концентрации и их коэффициента ранговой корреляции

Элемент	Кларк	$КК_1$	Порядковый номер		$КК_2$	Порядковый номер		Разность порядковых исправленных номеров (Δ)	Квадрат разности исправленных номеров (Δ^2)
			предварительный	Исправленный		предварительный	Исправленный		
1	2	3	4	5	6	7	8	9	10

4. Составляется геохимический спектр объекта (две круговые диаграммы).

Составляется два геохимических спектра (по двум пробам). Отложение КК по лучу для каждого элемента осуществляется в логарифмическом масштабе (рис. 1).

5. Сопоставить визуально эти два геохимических спектра:

а) похожи они или нет по повышенным КК;

б) качественно оценить эти спектры (геохимический спектр какого геологического объекта представляют ассоциации данных элементов; его металлогеническая специализация).

К типоморфным элементам будем относить элементы с КК≥ 2.

в) Определение геохимических типов ассоциаций химических элементов по рис. 2.

Вывод: к какому генетическому типу может принадлежать изучаемый рудный объект (прил.).

6. Вычислить коэффициент ранговой корреляции между геохимическими спектрами (формулы), внести данные в таблицу 4, составляя все необходимые дополнительные таблицы (табл. 2,3).

7. Проверить значимость коэффициента ранговой корреляции и интерпретировать его значение.

8. Сделать вывод о генетическом классе геологического объекта с данными геохимическими спектрами и вывод по рассчитанному коэффициенту ранговой корреляции.

Лабораторная работа № 2
Определение геохимического фона и аномальных значений по данным литохимического опробования (4 часа)

Дана карта с данными литохимического опробования на участке рудопроявления меди «Д».

I. ОПРЕДЕЛЕНИЕ ГЕОХИМИЧЕСКОГО ФОНА И АНОМАЛЬНЫХ СОДЕРЖАНИЙ ПО ВАРИАЦИОННЫМ КРИВЫМ И ИНТЕГРАЛЬНЫМ ПРЯМЫМ

1. Производится группировка величин содержаний химических элементов по содержаниям (отдельно для гранитов и эффузивно-осадочных пород).

Составляем две таблицы «Результаты группирования содержаний меди» –1-по гранитам; 2- по эффузивно-осадочным породам (табл. 12).

Вместо интервалов возьмем конкретные встречающиеся данные содержаний меди (по гранитам и по эффузивам) в неизмененных породах (т.е. исключая зоны рассланцевания и рыхлые четвертичные отложения). Для гранитов характерны содержания - 1, 2, 3, 4, 5, 6; для эффузивно-осадочных пород – 2, 3, 4, 5, 6, 7, 8, 9.

Произведем подсчет общего количества проб, входящих в каждый интервал (n_i) и рассчитаем *относительную частоту*, соответствующую данному интервалу, по формуле ( ).

Таблица 12

Результаты группирования содержаний меди

п/п	Содержания меди, $n \bullet 10^{-3}$ %	Отметки	Частоты (n_i)	Частости (Wi)	Исправленные частости		Накопленные исправленные частости (Wsi)

При использовании результатов приближенно-количественного спектрального анализа следует иметь в виду дискретность получаемых содержаний химических элементов, хотя в природе распределение содержаний имеет непрерывный характер

Поэтому вычисляется так называемая исправленная относительная частота, при этом вычисленная частость (Wi) делится пополам, половина ее относится к данному содержанию, вторая половина относится к следующему по возрастанию (см. табл. 11).

Второй причиной необходимости вычисления исправленных частот является наличие «любимых» и «нелюбимых» цифр в результатах спектрального анализа.

Подсчитать накопленные исправленные частости, по которым строится интегральный график логнормального распределения.

2. Построение вариационных (дифференциальных) кривых для выявления закономерностей распределения химических элементов

Для каждого типа пород строится две вариационных кривых (см. рис. 3, 5):

а) Для нормального закона распределения - по оси абсцисс откладываем содержания меди в пропорциональном масштабе (нижняя шкала вероятностного трафарета), а по оси ординат - относительные частоты (частости) также в пропорциональном масштабе (левая шкала);

б) ***Для логнормального закона*** распределения – содержания откладываем по верхней шкале в логарифмическом масштабе, по оси ординат – частости, также по левой шкале.

По полученным дифференциальным кривым определяем, какой закон наиболее приемлем для данной выборки (более симметричная кривая). Из двух построенных вариационных кривых выбираем наиболее симметричную и делаем вывод о модели распределения меди в гранитах и в эффузивно-осадочных породах.

Определения необходимых параметров выполняем по выбранной вариационной кривой распределения.

3. Определение геохимического фона и аномальных значений, используя вариационные кривые

а) Для логнормального распределения

Пользуясь логарифмическим масштабом можно сразу определить фоновое содержание (см. рис. 6). Для определения аномальных содержаний в этом случае используется стандартный множитель ε. Для определения графическим способом абцисса правой ветви кривой в точке ее пересечения с линией, проведенной параллельно оси абсцисс на уровне 0,6 максимальной ординаты вариационной кривой, делится на Сф (см. рис. 6).

ε = абсц. В/ Сф (снято со шкалы)

Вычисляем только положительные аномалии, связанные с оруденением. Формулы для определения аномальных содержаний с помощью ε имеют следующий вид:

$Ca_1 = Сф \bullet \varepsilon$ (вероятность аномальности - 84,13%);

$Ca_2 = Сф \bullet \varepsilon^2$ (вероятность аномальности - 97,72%);

$Ca_3 = Сф \bullet \varepsilon^3$ (вероятность аномальности - 99,86%).

б) Для нормального закона распределения:

Значение фонового содержания соответствует модальному значению содержаний (см. рис. 3). Среднее квадратическое отклонение (S) также определяется графически и равно половине ширины вариационной кривой на уровне 0,6 ее максимальной ординаты (см. рис. 3).

Положительные аномальные содержания вычисляют по следующим формулам:

$Ca_1 = Сф + S$

$Ca_2 = Сф + 2S$;

$Ca_3 = Сф + 3S$.

4. Использование интегральных графиков для определения фоновых и аномальных содержаний:

Интегральные прямые распределения меди в гранитах и эффузивно-осадочных породах строятся только для тех законов, с которыми согласовано эмпирическое распределение (определили по вариационным кривым).

При построении интегральных графиков по оси ординат (правый вертикальный масштаб от 0,1 % до 99,9 %) откладываются накопленные исправленные частости (Wsi), а по оси абсцисс, в зависимости от предполагаемого закона распределения, используется либо линейный, либо логарифмический масштаб.

Обычно, точки накопленных частот не лежат на одной линии, поэтому проводится осредняющая прямая линия (см. рис. 8, 9).

Производится проверка соответствия эмпирического распределения предполагаемому теоретическому закону с помощью критерия Колмогорова:

$\lambda = (\Delta y_{max} \cdot \sqrt{N})/ 100$, где

Δy_{max} – наибольшее отклонение (в %) эмпирических точек накопленных частот от осредняющей прямой или разность ординат наиболее отходящей эмпирической точки и соответствующей точки на осредняющей прямой;

N – количество проб в выборке.

Если $\lambda \leq 1{,}35$, то критерий Колмогорова указывает, что рассматриваемая совокупность удовлетворительно описывается проверяемым теоретическим распределением (т.е. данный закон распределения принимается).

Если $\lambda > 1{,}35$, то – налицо несоответствие эмпирического распределения теоретическому (т.е. данный закон не принимается) – распределение не подчиняется нормальному закону.

После установления закона распределения, определяются его параметры

Определение параметров логнормального распределения

Построение интегральных графиков при проверке соответствия эмпирического распределения логнормальному закону проводится аналогичным образом, только по оси абсцисс используется логарифмический масштаб (сплошные линии с вынесенными содержаниями в верхней части вероятностного трафарета).

Для целей геохимических поисков важно знать две величины при логнормальном распределении элементов (см. рис. 10):

- фоновое содержание (Сф),
- стандартный множитель (ε).

Поскольку на вероятностном трафарете по оси абсцисс отложены не логарифмы, а содержания в логарифмическом масштабе, то абсцисса точки пересечения осредняющей прямой с линией, соответствующей 50% по оси ординат, дает нам среднее геометрическое значения содержания, которое принимается за геохимический фон (Сф).

Абсцисса точки пересечения осредняющей прямой с линией ординаты t= +1 (84,13 %) соответствует значению Сф • ε (абсц. А), из которого мы можем определить ε,

отсюда: ε_1= абсц. А/ Сф

Абсциссы точек пересечения осредняющей прямой с линиями оси ординат: t= +2 (97,72 %) и t= +3 (99,87 %) соответственно равны Сф• ε^2 (Абс. В) и Сф • ε^3 (Абс. С).

Из этих величин мы также можем найти ε_2, ε_3:

$\varepsilon_2 = \sqrt{}$Абс. В/ Сф; $\varepsilon_3 = \sqrt[3]{}$Абс. С)/ Сф

Далее, рассчитывается средняя величина ε:

$\varepsilon = \sqrt[3]{\varepsilon_1 \bullet \varepsilon_2 \bullet \varepsilon_3}$

Зная величины Сф и ε, легко определить величины аномальных содержаний:

Ca_1 = Сф • ε;

Ca_2 = Сф • ε^2;

Ca_3 = Сф • ε^3.

Определение параметров нормального распределения

При нормальном распределении мода, медиана и среднеарифметическое равны, т.е. M_0 = Me = $\bar{x}$, поэтому, определив медианное значение (Me) – получаем один из параметров распределения (медиана определяется абсциссой точки пересечения осредняющей прямой с линией 50 % по оси ординат –«жирная» линия). Эта же величина принимается за фоновое значение: Me = Сф (см. рис. 8).

Стандартное отклонение (S) также определяется графически (см. рис. 8) по разнице абсцисс точек пересечения осредняющей прямой с линией 50 % и линией 84,13% (пунктирная линия t= +1 на вероятностном трафарете).

Зная Сф и S рассчитывают аномальные содержания:

$Ca_1 = Cф \pm S$

$Ca_2 = Cф \pm 2S$

$Ca_3 = Cф \pm 3S$

Величины аномальных содержаний Ca_1, Ca_2, Ca_3 можно снимать непосредственно с интегральных графиков (при пересечении с t = ±1, t = ±2, t = ±3).

II. ВЫДЕЛЕНИЕ АНОМАЛИЙ НА КАРТЕ

По рассчитанным аномальным значениям Ca_1, Ca_2, Ca_3 производится выделение геохимических аномалий на карте отдельно по гранитам и по эффузивно-осадочным породам (см. рис. 11).

При выделении и оконтуривании геохимических аномалий нередко встречаются пробы или пространственно сближенные группы проб с содержаниями выше фоновых, но ниже аномальных (на уровне Ca_3). В каждом конкретном случае отнесение этих проб к аномальным или фоновым, при нормальном распределении, производится по формуле:

$Ca = Cф + (3S/\sqrt{m})$, при $m \leq 9$ (см. раздел 2, «*Проверка аномалий с определенным (малым) количеством точек*)

m –количество точек в аномалии.

Для логарифмического закона $Ca \geq Cф \cdot \varepsilon^{\pm 3/\sqrt{m}}$.

III. КОЛИЧЕСТВЕННАЯ ОЦЕНКА ГЕОХИМИЧЕСКИХ АНОМАЛИЙ

1. Расчет площадной продуктивности ореола:

По оконтуренным геохимическим аномалиям (в контуре Ca_1) производится расчет площадной продуктивности по формуле ( ).

$$P_{Cu} = \Delta x \cdot l \cdot (\sum_{1}^{N} Ci - N \cdot Cф) \cdot 10^{-3}, \text{ м}^2 \cdot \%$$

Δx – расстояние между точками опробования, в м;

l – расстояние между профилями, в м;

Ci – значения проб, попадающих в контур аномалии Ca_1;

Cф – фоновое значение.

2. Расчет ориентировочных запасов меди до глубины 100 м (прогнозные ресурсы)

Q_{Cu} (P_1) = 1/K • 1/40 • P_{Cu} • H

K – коэффициент пропорциональности (K_{Cu}=0,3);

H – глубина (100 м).

Дать заключение о масштабах изучаемого объекта по рассчитанным прогнозным ресурсам.

Масштабы месторождений меди:

запасы <10000 т – рудопроявление,

10000-100 000 т – мелкое месторождение,

100 тыс. т.-1 млн. т. – среднее месторождение,

1-5 млн. т. – крупное месторождение,

> 5 млн. т. уникальное месторождение.

IV. ОПРЕДЕЛЕНИЕ МЕСТ ЗАЛОЖЕНИЯ ГОРНЫХ ВЫРАБОТОК ДЛЯ ВСКРЫТИЯ АНОМАЛИИ

По выделенным геохимическим аномалиям запроектировать места заложения горных выработок для вскрытия аномалии и предполагаемого рудного тела с учетом масштаба работ; вынести их на карту.

Лабораторная работа № 3
Выявление вертикальной геохимической зональности эндогенных ореолов месторождения уран-молибденовой формации (6 часов)

1. Группирование содержаний химических элементов, определение закона распределения для каждого элемента, расчет фоновых и аномальных содержаний;

2. Расчет линейных продуктивностей и показателей зональности в пределах построенных в разрезе аномалий;

3. Расчет ранговых коэффициентов корреляции, построение графиков изменения всех рассчитанных показателей вертикальной зональности, определение количественных отличий надрудного и подрудного уровней геохимических ореолов.

Лабораторная работа № 4
Определение геохимического фона, аномальных значений и расчет прогнозных ресурсов в коре выветривания по данным глубинного литохимического опробования (4 часа)

Глубинные литогеохимические поиски *месторождений представляют собой проведение исследований на некоторой глубине от поверхности с помощью технических средств. Объектами глубинных поисков являются погребенные и скрыто-погребенные месторождения. Первые наиболее доступны для обнаружения, их рудные тела прежде выходили на поверхность денудации, а затем были перекрыты более молодыми отложениями. Последние – это месторождения, не выходившие на дневную поверхность и перекрытые более молодыми рыхлыми образованиями. Они представляют несравненно большие трудности для обнаружения и потому могут считаться резервом для поисков второй очереди. Поиски погребенного оруденения проводятся на закрытых площадях в определившихся рудных районах и направлены в первую очередь на выявление аналогов известных промышленных месторождений.*

В практику глубинных поисков А.Н. Еремеевым (1963) введено понятие «представительного горизонта поисков», под которым понимается наиболее приближенный к дневной поверхности горизонт максимального площадного и достаточно надежного развития вторичных ореолов рассеяния. Главным фактором, определяющим методику работ, выбор технических средств и экономическую целесообразность проведения глубинных поисков, является мощность и состав рыхлых отложений, перекрывающих представительный горизонт.

Даны результаты глубинного литохимического опробования по скважинам, пробуренным на нескольких профилях, как по равномерной, так и неравномерной сети, геологическая карта и разрез по буровому профилю Х.

1. Определить геохимический фон Cu или Zn в коре выветривания.

Использовать для группирования содержания по профилю 10 (см. лаб. раб. № 2).
Проверку закона распределения произвести по критерию Колмогорова.

$\lambda = (\Delta y_{max} \bullet \sqrt{N})/100 \qquad \lambda \leq 1{,}35$

При $\lambda_1 > \lambda_2$, выбираем закон распределения соответствующий прямой с λ_2.

2. Рассчитать аномальные содержания Ca_1, Ca_2, Ca_3 (см. лаб. раб. № 2).

3. Построить металлометрическую карту для заданного уровня среза по Cu или Zn.

4. Рассчитать линейную продуктивность (М) по профилям.

Линейная продуктивность при *равномерной сети* опробования:

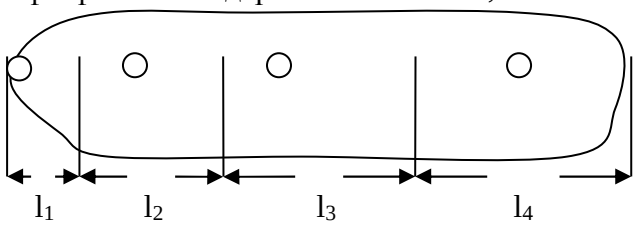
$$M = \Delta x \bullet \left(\sum_{1}^{N} Cx - N \bullet Cф\right) \bullet 10^{-3} \text{ м}\bullet\%$$

Δx – расстояние между точками опробования, м;
Cx – содержание элемента в пробе, в $n \bullet 10^{-3}$ %;
N – количество проб на профиле, попадающих в ореол Ca_1;
Cф – фоновое содержание элемента, в $n \bullet 10^{-3}$ %.

При *неравномерной сети* опробования линейная продуктивность рассчитывается по следующей формуле:

$$M = \left(\sum_{1}^{N} Ci \bullet li - a \bullet Cф\right) \bullet 10^{-3} \text{ м}\bullet\%$$

Ci- содержание элемента в пробе, в $n \bullet 10^{-3}$ %;
li – интервал влияния пробы, м;
a – сумма интервалов влияния проб, м;
Cф - фоновое содержание элемента, в $n \bullet 10^{-3}$ %.



$$\sum_{1}^{N} Ci \bullet li = C_1 \bullet l_1 + C_2 \bullet l_2 + C_3 \bullet l_3 + \ldots + C_n \bullet l_n$$

$$a = \sum li = l_1 + l_2 + l_3 + \ldots + ln$$

5. Вычислить площадную продуктивность ореола (Р).

$$P = L \bullet \sum_{1}^{N} Mi \ \text{м}^2 \bullet \%$$

$$\sum_{1}^{N} Mi = M_1 + M_2 + M_3 + \ldots + Mn$$

L – расстояние между профилями, м.

6. Определить количество металла в ореоле на глубину 1 м (q).

$q= 1м\bullet d\bullet P\bullet 10^{-2}$ (т/м^3)
d – объемная масса руды, для колчеданных руд 2,5 т/м^3;

6. Определить прогнозные ресурсы металла в коре выветривания коренных пород (Qк.в.).

Кора выветривания прослеживается до глубины 30-40 м.

$Qк.в.= q\bullet h_{к.в.}$ (т)
$h_{к.в.}$ – мощность коры выветривания, взять среднее значение.

8. Рассчитать прогнозные ресурсы металла в коренном оруденении (Qр.т.).

$Qр.т.= 1/K \bullet q\bullet H$ (т)
K_{Cu} =0,5; K_{Zn}= 0,3;
H – глубина прогнозирования, H = 200 м.

9. Построить геохимический ореол в разрезе по линии X.

10. Рассчитать линейную продуктивность ореола по скв. 115.

11. По результатам работы дать краткие выводы в виде отчетной геологической записки: вывод о масштабах оруденения и уровне представительного горизонта.

Представительный горизонт – горизонт, на уровне которого ореолы обладают достаточной (максимальной) интенсивностью для их выявления.

Масштабы оруденения по запасам металла для меди и цинка:
запасы <10000 т – рудопроявление,
10000-100 000 т – мелкое месторождение,
100 тыс. т.-1 млн. т. – среднее месторождение,
1-5 млн. т. – крупное месторождение,
> 5 млн. т. уникальное месторождение.

ПРИЛОЖЕНИЯ

Приложение 1

Критические значения распределения X^2

f	q								
	95,0	**90,0**	**10,0**	**5,0**	**2,5**	**1,0**	**0,5**	**0,1**	**0,05**
1	0,00	0,02	2,71	3,84	5,02	6,63	7,88	10,8	12,1
2	0,10	0,21	4,61	5,99	7,38	9,21	10,6	13,8	15,2
3	0,35	0,58	6,25	7,81	9,35	11,3	12,8	16,3	17,7
4	0,71	1,06	7,78	9,49	11,1	13,3	14,9	18,5	20,0
5	1,15	1,61	9,24	11,1	12,8	15,1	16,7	20,5	22,1
6	1,64	2,20	10,6	12,6	14,4	16,8	18,5	22,5	24,1
7	2,17	2,83	12,0	14,1	16,0	18,5	20,3	24,3	26,0
8	2,73	3,49	13,4	15,5	17,5	20,1	22,0	26,1	27,9
9	3,33	4,17	14,7	16,9	19,0	21,7	23,6	27,9	29,7
10	3.94	4,87	16,0	18,3	20,5	23,2	25,2	29,6	31,4
11	4,57	5,58	17,3	19,7	21,9	24,7	26,8	31,3	33,1
12	5,23	6,30	13,5	21,0	23,3	26,2	28,3	32,9	34,8
13	5,89	7,04	19,8	22,4	24,7	27,7	29,8	34,5	36,5
14	6,57	7,79	21,1	23,7	26,1	29,1	31,3	36,1	38,1
15	7,26	8,55	22,3	25,0	27,5	30,6	32,8	37,7	39,7
16	7,96	9,31	23,5	26,3	28,8	32,0	34,3	39,3	41,3
17	8,67	10,1	24,8	27,6	30,2	33,4	35,7	40,8	42,9
18	9,39	10.9	26,0	28,9	31,5	34,8	37,2	42,3	44,4
19	10,1	11,7	27,2	30,1	32,9	36,2	38,6	43,8	46,0
20	10,9	12,4	28,4	31,4	34,2	37,6	40,0	45,0	47,5
21	11,6	13,2	29,6	32,7	35,5	38,9	41,4	46,8	49,0
22	12,3	14,0	30,8	33,9	35,8	40,3	42,8	48,0	50,5
23	13,1	14.8	32,0	35,2	38,1	41.6	44,2	49,7	52,0
24	13,8	15,7	33,2	36,4	39,4	43,0	45,6	51,2	53,5
25	14,6	16,5	34,4	37,7	40,6	44,2	46,9	52,6	54,9
26	15,4	17,3	35,6	38,9	41,9	45,6	48,3	54,1	56,4
27	16,2	18,1	36,7	40,1	43,2	47,0	49,6	55,5	57,9
28	16,9	18,9	37,9	41,3	44,5	48,3	51,0	56,9	59,3
29	17,7	19,8	39,1	42,6	45,7	49,6	52,3	58,3	60,7
30	18,5	20,6	40,3	43,8	47,0	50,0	53,7	59,7	62,2
31	19,3	21,4	41,4	45,0	48,2	52,2	55,0	61,1	63,6
32	20,1	22,3	42,6	46,2	49,5	53,5	56,3	62,5	65,0
33	20,9	23,1	43,7	47,4	50,7	54,8	57,6	63,9	66,4
34	21,7	24,0	44,9	48,6	52,0	56,1	59,0	65,2	67,8
35	22,5	24,8	46,1	49,8	53,2	57,3	60,3	66,6	69,2
36	23,3	25,6	47,2	51,0	54,4	58,6	61,6	68,0	70,6
37	24,1	26,5	48,4	52,2	55,7	59,9	62,9	69,3	72,0
38	24,9	27,3	49,5	53,4	56,9	61,2	64,2	70,7	73,4
39	25,7	28,2	50,7	54,6	58,1	62,4	65,5	72,1	74,7
40	26,5	29,1	51,8	55,8	59,3	63,7	66,8	73,4	76,1
41	27,3	29,9	52,9	56,9	60,5	65,0	68,1	74,7	77,5
42	28,1	30,8	54,1	58,1	61,8	66,2	69,3	76,1	78,8
43	29,0	31,6	55,3	59,3	63,0	67,5	70,6	77,4	80,2
44	29,8	32,5	56,4	60,5	64,2	68,7	71,9	78,7	81,5
45	30,6	33,4	57,5	61,7	65,4	70,0	73,2	80,1	82,9
46	31,4	34,2	58,6	62,8	66,6	71,2	74,4	81,4	84,8
47	32,3	35,1	59,8	64,0	67,8	72,4	75,7	82,7	85,6
48	33,1	35,9	60,9	65,2	69,0	73,7	77,0	84,0	86,9
49	33,9	36,8	62,0	66,2	70,2	74,9	78,2	85,4	88,2
50	34,8	37,7	63,2	67,5	71,4	76,2	79,5	86,7	89,6

Приложение 2

Значения q% пределов для t-распределения Стьюдента в зависимости от числа f степеней свободы

q / f	10,0	5,0	1,0	0,5	0,1
1	6,314	12,706	63,657	127,30	636,6
2	2,920	4,303	9,925	14,089	31,600
3	2,353	3,182	5,841	7,453	12,922
4	2,132	2,776	4,604	5,597	6,610
5	2,013	2,571	4,032	4,773	6,869
6	1,943	2,447	3,707	4,317	5,959
7	1,895	2,365	3,499	4,029	5,408
8	1,860	2,306	3,355	3,833	5,041
9	1,833	2,262	3,250	3,690	4,781
10	1,812	2,228	3,169	3,581	4,578
12	1,782	2,179	3,055	3,425	4,318
14	1,761	2,145	2,977	3,326	4,140
16	1,746	2,120	2,921	3,252	4,015
18	1,734	2,101	2,878	3,193	3,922
20	1,725	2,086	2,845	3,153	3,849
22	1,717	2,074	2,819	3,119	3,792
24	1,711	2,064	2,797	3,092	3,745
26	1,706	2,056	2,779	3,067	3,704
28	1,701	2,048	2,763	3,047	3,674
30	1,697	2,042	2,750	3,030	3,646
	1,645	1,960	2,576	2,807	3,291

Приложение 3

Критические значения распределения F q=0,05

f_2	f_1						
	1	2	3	4	5	6	7
1	161,45	199,50	215,71	224,58	230,16	233,99	236,77
2	18,513	19,000	19,164	19,247	19,296	19,330	19,353
3	10,128	9,552	9,277	9,117	9,014	8,941	8,887
4	7,709	6,944	6,591	6,988	6,256	6,169	6,094
5	6,606	5,786	5,410	5,192	5,050	4,950	4,876
6	5,987	5,143	4,757	4,534	4,387	4,284	4,207
7	5,591	4,737	4,347	4,125	3,972	3,866	3,787
8	5,318	4,459	4,066	3,830	3,688	3,581	3,501
9	5,117	4,257	3,863	3,633	3,482	3,374	3,293
10	4,965	4,103	3,708	3,478	3,326	3,217	3,136
11	4,844	3,982	3,587	3,357	3,204	3,095	3,012
12	4,747	3,885	3,490	3,259	3,106	2,996	2,913
13	4,667	3,806	3,411	3,179	3,025	2,915	2,832
14	4,600	3,739	3,344	3,112	2,958	2,848	2,764
15	4,543	3,682	3,287	3,056	2,901	2,791	2,707
16	4,494	3,634	3,239	3,007	2,852	2,741	2,657
17	4,451	3,592	3,197	2,965	2,810	2,699	2,614
18	4,414	3,555	3,160	2,928	2,773	2,661	2,577
`19	4,381	3,522	3,127	2,895	2,740	2,628	2,544
20	4,351	3,493	3,098	2,866	2,711	2,599	2,514
21	4,325	3,467	3,073	2,840	2,685	2,573	2,488
22	4,301	3,443	3,049	2,817	2,661	2,549	2,464
23	4,279	3,422	3,028	2,796	2,640	2,528	2,442
24	4,260	3,403	3,009	2,776	2,621	2,508	2,423
25	4,242	3,385	2,991	2,759	2,603	2,490	2,405
26	4,225	3,369	2,975	2,743	2,587	2,474	2,388
27	4,210	3,354	2,960	2,728	2.572	2,459	2,373
28	4,196	3,340	2,947	2,714	2,558	2,445	2,359
29	4,183	3,328	2,934	2,701	2,545	2,432	2,346
30	4,171	3,316	2,922	2,690	2,534	2,421	2,334
40	4,085	3,232	2,839	2,606	2,450	2,336	2,249
60	4,001	3,150	2,758	2,525	2,368	2,254	2,167
120	3,920	3,072	2,680	2,447	2,290	2.175	2,087
∞	3,042	2,996	2,605	2,372	2.214	2,099	2,010

Продолжение приложения 3

f_2	f_1					
	8	9	10	12	15	20
1	238,88	240,54	241,88	243,91	245,95	248,01
2	19,371	19,385	19,396	19,413	19,429	19,446
3	8,845	8,812	8,786	8,745	8,703	8,660
4	6,041	5,999	5,964	5,912	5,858	5,803
5	4,818	4,773	4,735	4,678	4,619	4,558
6	4,147	4,099	4,060	4,000	3,938	3,874
7	3,726	3,677	3,637	3,575	3,511	3,445
8	3,438	3,388	3,347	3,284	3,218	3,150
9	3,230	3,179	3,137	3,073	3,006	2,937
10	3,072	3,020	2,976	2,913	2,845	2,774
11	2,948	2,896	2,854	2,788	2,719	2,646
12	2,849	2,796	2,753	2,687	2,617	2,544
13	2,767	2,714	2,671	2,604	2,533	2,459
14	2,699	2,646	2,602	2,534	2,463	2,388
15	2,641	2,588	2,544	2,475	2,404	2,328
16	2,591	2,538	2,494	2,425	2,352	2,276
17	2,548	2,494	2,450	2,381	2,308	2,230
18	2.510	2,456	2,412	2,342	2,269	2,191
`19	2,477	2,423	2,378	2,308	2,234	2,156
20	2,447	2,393	2,348	2,278	2,203	2,124
21	2,421	2,366	2,321	2,250	2,176	2,096
22	2,397	2,342	2,297	2,226	2,151	2,071
23	2,375	2,420	2,275	2,204	2,128	2,048
24	2,355	2,300	2,255	2,183	2,108	2,027
25	2,337	2,282	2,237	2,165	2,089	2,008
26	2,321	2,266	2,220	2,148	2,072	1,990
27	2,305	2,250	2,204	2,132	2,056	1,974
28	2,291	2,236	2,190	2,118	2,041	1,959
29	2,278	2,221	2,177	2,105	2,028	1,945
30	2,266	2,211	2,165	2,092	2,015	1,932
40	2,180	2,124	2,077	2,004	1,925	1,839
60	2,097	2,040	1,993	1,917	1,836	1,748
120	2,016	1,959	1,911	1,834	1,751	1,659
∞	1,938	1,880	1,831	1,752	1,666	1,571

Продолжение приложения3

f_2	f_1					
	24	30	40	60	120	∞
1	249,05	250,09	251,14	252,20	253,25	254,32
2	19,454	19,462	19,471	19,479	19,487	19,496
3	8,639	8,617	8,594	8,572	8,549	8,527
4	5,774	5,746	5,717	5,688	5,658	5,628
5	4,527	4,496	4,464	4,431	4,398	4,365
6	3,842	3,808	3,774	3,740	3,705	3,669
7	3,411	3,376	3,340	3,304	3,267	3,230
8	3,115	3,079	3,043	3,005	2,967	2,928
9	2,901	2,864	2,826	2,787	2,748	2,707
10	2,737	2,700	2,661	2,621	2,580	2,538
11	2,609	2,571	2,531	2,490	2,448	2,405
12	2,506	2,466	2,426	2,384	2,341	2,296
13	2,420	2,380	2,339	2,297	2,252	2,206
14	2,349	2,308	2,266	2,223	2,178	2,131
15	2,288	2,247	2,204	2,160	2,114	2,066
16	2,235	2,194	2,151	2,106	2,059	2,010
17	2,190	2,146	2,104	2,058	2,011	1,960
18	2,150	2,107	2,063	2,017	1,968	1,917
`19	2,114	2,071	2,026	1,980	1,930	1,878
20	2,083	2,039	1,994	1,946	1,896	1,843
21	2,054	2,010	1,965	1,917	1,866	1,812
22	2,028	1,984	1,936	1,890	1,838	1,783
23	2,005	1,961	1,914	1,865	1,813	1,775
24	1,984	1,939	1,892	1,842	1,790	1,733
25	1,964	1,919	1,872	1,822	1,768	1,711
26	1,946	1,901	1,853	1,803	1,749	1,621
27	1,930	1,824	1,836	1,785	1,731	1,672
28	1,913	1,869	1,820	1,769	1,714	1,654
29	1,901	1,854	1,806	1,754	1,698	1,638
30	1,887	1,841	1,792	1,740	1,684	1,622
40	1,793	1,744	1,693	1,637	1,577	1,509
60	1,700	1,649	1,594	1,534	1,467	1,382
120	1,686	1,554	1,495	1,429	1,352	1,254
∞	1,517	1,459	1,394	1,318	1,221	1,00

Приложение 4

Критические значения коэффициента корреляции

f	q				
	0,10	**0,05**	**0,02**	**0,01**	**0,001**
1	0,98769	0,99692	0,999507	0,999877	0,999988
2	0,90000	0,95000	0,98000	0,99000	0,99900
3	0,8054	0,8783	0,93433	0,95873	0,99116
4	0,7293	0,8114	0,8822	0,91720	097406
5	0,6694	0,7545	0,8329	0,8745	0,95074
6	0,6215	0,7067	0,7887	0,8343	0,92493
7	0,5822	0,6664	0,7498	0,7977	0,8982
8	0,5494	0,6319	0,7155	0,7646	0,8721
9	0,5214	0,6021	0,6851	0,7348	0,8471
10	0,4973	0,5760	0,6581	0,7079	0,8233
11	0,4762	0,5529	0,6339	0,6835	0,8010
12	0,4575	0,5324	0,6120	0,6614	0,7800
13	0,4409	0,5139	0,5923	0,6411	0,7603
14	0,4259	0,4973	0,5742	0,6226	0,7420
15	0,4124	0,4821	0,5577	0,6055	0,7246
16	0,4000	0,4683	0,5425	0,5897	0,7084
17	0,3887	0,4555	0,5285	0,5751	0,6932
18	0,3783	0,4438	0,5155	0,5614	0,6787
19	0,3687	0,4329	0,5034	0,5487	0,6652
20	0,3598	0,4227	0,4921	0,5368	0,6524
25	0,3223	0,3809	0,4451	0,4869	0,5974
30	0,2960	0,3494	0,4093	0,4487	0,5541
35	0,2746	0,3246	0,38,10	0,4182	0.5189
40	0,2573	0,3044	0,3578	0,3932	0,4896
45	0,2428	0,2875	0,3384	0,3721	0,4648
50	0,2306	0,2732	0,3218	0,3541	0,4423
60	0,2108	0,2500	0,2948	0,3248	0,4078
70	0,1954	0,2319	0,2737	0,3017	0,3799
80	0,1829	0,2172	0,2565	0,2830	0,3568
90	0,1726	0,2050	0,2422	0,2673	0,3375
100	0,1638	0,1946	0,2301	0,2540	0,3211

Приложение 5

Критические значения Δ^2 в зависимости от числа проб N

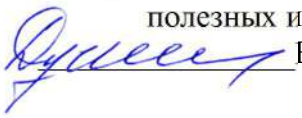
N	q = 0,05	q = 0,01	N	q = 0,05	q = 0,01
			21	873-2207	595-2387
			22	1022-2520	820-2722
			23	1187-2861	960-3068
			24	1370-3230	1115-3485
5	0-40		25	1570-3630	1267-3913
6	4-66	0-70	26	1789-4061	1475-4375
7	12-100	4-106	27	2028-4524	1681-4871
8	22-146	10-158	28	2287-5021	1906-5402
9	40-200	24-216	29	2569-5551	2140-5971
10	61-269	39-291	30	2873-6117	2414-6576
11	88-352	58-382	31	3199-6721	2700-7220
12	121-451	84-488	32	3550-7362	3008-7904
13	163-565	115-613	33	3926-8042	3338-8630
14	213-697	154-756	34	4328-8762	3693-9397
15	272-848	201-919	35	4757-9523	4073-10207
16	342-1018	257-1103	36	5213-10327	4476-11064
17	423-1209	322-1310	37	5698-11174	4908-11964
18	515-1423	398-1540	38	6213-12065	5366-12912
19	621-1659	484-1796	39	6758-13002	5853-13907
20	740-1920	583-2077	40	7334-13986	6367-14953

Приложение 6

Средние содержания элементов в главных типах горных пород, почвах и земной коре (г/т или n*10^{-4}%) [по]

Атомный номер	Элемент	ультраосновные	основные	средние	кислые	Глины и глинистые сланцы	Кристаллические сланцы и	песчаники	Карбонатные породы	Почвы	Кларк земной коры
1	2	3	4	5	6	7	8	9	10	11	12
1	H	-	-	-	-	5080	2450	-	-	-	1100
2	He	-	-	-	-	-	-	-	-	-	0,6
3	Li	4,3	20	20	80	55	-	30	17	25	25
4	Be	0,2	0,4	1,8	3,5	3	-	2	0,6	0,3	2
5	B	5	5	15	15	50	-	35	20	20	12
6	C	100	200	300	300	19000	2360	13000	110000	20000	200
7	N	10	20	20	20	600	-	135	7	1000	20
8	O	439000	440000	462000	480000	491000	480000	510000	492000	490000	465000
9	F	100	400	500	800	600	700	300	300	200	640
11	Na	2200	19800	26800	27500	7860	15100	9200	2500	5000	23800
12	Mg	273000	40800	19600	6630	15400	19600	7300	46000	500	22600
13	Al	5000	81200	91200	78100	86600	90100	2900	9600	71000	80700
14	Si	205000	237000	280000	328000	261000	286000	347000	24000	330000	279900
15	P	100	1270	1050	870	610	790	400	500	800	1000
16	S	200	250	200	300	4200	1020	200	1200	700	330
17	Cl	100	60	100	200	800	200	11	150	100	180
18	Ar	-	-	-	-	-	-	-	-	-	0,22
19	K	300	7730	15200	32300	25100	22800	13200	2800	1400	21300
20	Ca	56900	71000	46900	16400	29400	21200	26700	325000	15000	38100
21	Sc	30	30	15	7	12	18	7	1	7	17
22	Ti	1600	10900	5500	2000	1000	3600	5000	600	5000	4900
23	V	87	300	150	70	150	150	30	19	90	190
24	Cr	2500	230	100	14	90	162	35	11	70	93
25	Mn	1000	1440	1160	540	700	930	400	400	1000	900
26	Fe	65600	87700	50400	26100	46600	51900	50000	8600	40000	53300
27	Co	80	30	20	10	19	24	9	1	8	23
28	Ni	1230	80	61	8	70	70	35	20	50	56
29	Cu	80	90	60	25	55	43	25	7	30	53
30	Zn	50	84	73	58	95	136	40	20	90	68
31	Ga	2,5	18	18	19	80	-	10	3,6	20	18
32	Ge	1,3	1,5	1,5	1,5	2,2	-	1,4	0?2	1,0	1,8
33	As	2	2	1,9	1,6	5	-	1,2	2	6	1,8
34	Se	0,1	0,13	0,07	0,04	1,0	-	1,0	0,08	0,4	0,073
35	Br	0,35	0,7	1,4	1,1	14	-	5,9	10	10	2,4
36	Kr	-	-	-	-	-	-	-	-	-	0,00004
37	Rb	2	50	95	210	130	130	68	24	35	110
38	Sr	17	460	440	270	260	285	250	370	250	370
39	Y	3,8	27	28	40	26	31	18	7,9	30	32
40	Zr	25	150	117	200	200	210	200	20	400	160
41	Nb	0,4	7	9	20	13,6	36	18	0,6	10	16
42	Mo	0,8	1,3	1	1,5	1,5	1	1,3	0,4	1,2	1,2
44	Ru	0,006	-	-	-	-	-	-	-	-	0,004
45	Rh	0,01	-	-	-	-	-	-	-	-	0,005
46	Pd	0,02	0,02	0.006	0,003	0.0005	-	0,0005	0,0005		0,009

47	Ag	0,06	0,1	0,017	0,04	0.-7	-	0,1	0,01	0,05	0,073
48	Cd	0,06	0,18	0,13	0,17	0,3	-	0,1	0,03	0,35	0,16
49	In	0,02	0,062	0,092	0,05	0,065	-	0,01	0,05	1	0.07
50	Sn	0,3	2	2,5	5	6	-	2,3	0,5		2,3
Атомный номер	Элемент	ультраосновные	основные	средние	кислые	Глины и глинистые сланцы	Кристаллические сланцы и парагнейсы	песчаники	Карбонатные породы	Почвы	Кларк земной коры
1	2	3	4	5	6	7	8	9	10	11	12
51	Sb	0,1	0,35	0,2	0,3	1,35	-	0,2	0.15	1	0,3
52	Te	0,01	0,007	0,002	0,001	0,01	-	0,001	-	-	0,001
53	J	0,1	0,5	0,3	0,5	1	-	1	1,2	5	0,5
54	Xe	-	_	-	-	-	-	-	-	-	
55	Cs	0,1	1	1,4	5	14	3	9	0,2	4	4
56	Ba	45	290	400	700	550	670	300	50	500	470
57	La	0,92	17	25	35	35	30	15	8	40	30
58	Ce	1,5	31	40	72	73	81	35	12,5	50	70
59	Pr	0,3	3,7	3,2	9	8,6	10,6	4,7	2	7	7
60	Nd	1	16	23	31	30	42	18	7	35	30
62	Sm	0,3	4	4,2	9	7,3	6,5	4,2	1,7	4,5	7
63	Eu	0,3	1,5	1,2	1,3	1,3	1,7	0,8	0,5	1	1,2
64	Gd	0,45	4,7	5,6	7,5	6,2	8	3,4	1,9	4	7
65	Tb	0,1	0,71	0,8	1,1	0,7	0,8	1,3	1,3	0,7	1
66	Dy	0,53	5	3,5	4,1	4,4	4,5	3,2	3,2	5	4,6
67	Ho	0,15	1,2	1	1,4	1,1	1	1,2	0,17	0,6	1,3
68	Er	0,3	3	2,1	3,4	2,4	2,7	2,9	0,7	2	3,1
69	Tm	0,03	0,25	0,4	0,7	0,4	0,4	1,7	0,1	0,6	0,48
70	Yb	0,33	2	2,4	4	2,5	2,3	3,1	0,6	3	3
71	Lu	0,13	0,5	0,8	1,1	0,65	0,39	2	0,1	0,4	0,8
72	Hf	0,55	2,5	3	7	5,9	4,2	5,6	0,8	6	4
73	Ta	0,2	1	1	2,5	2	8	2	0,16	2	2,2
74	W	0,3	1	1,2	2	3,5	-	2,5	0,6	1,5	1,4
75	Re	0,0004	0,001	0,0002	-	0,0025	0,0025	0,0025	0,0025	-	0,0006
76	Os	0,006	0,0002	-	0,00007	0,0002	0,0002	0,0002	0,0002	-	0,0002
77	Ir	0,002	0,00008	-	0,00006	0,0003	0,0003	0,0003	0,0003	-	0,00065
78	Pt	0,08	0,02	0,008	0,003	9,03	0,03	0,03	0,03	-	0,005
79	Au	0,005	0,004	0,005	0,002	0,001	-	0,003	0,001	0,001	0,003
80	Hg	0,02	0,03	-	0,07	0,03	-	0.030	0,050	0,060	0,040
81	Tl	0,18	0,25	0,5	1,9	1,3	1	1,5	0,1	0,2	0,9
82	Pb	O,4	6	16	20	15	-	13	9	12	12
83	Bi	0,014	0,05	0,18	0,66	0,36	0,1	0,17	0,05	0,2	0,2
91	Th	0,08	1,8	8	21	11,5	12,5	10,4	2,3	9	12
92	U	0,025	0,6	2	4,5	4	2,5	2,9	2,5	2	3

УТВЕРЖДАЮ
Заведующий кафедрой геологии,
поисков и разведки месторождений
полезных ископаемых

В.А.Душин

МЕТОДИЧЕСКИЕ УКАЗАНИЯ К КУРСОВОМУ ПРОЕКТИРОВАНИЮ СТУДЕНТОВ ПО ДИСЦИПЛИНЕ

Б1.В.10 РАЗВЕДКА И ГЕОЛОГО-ЭКОНОМИЧЕСКАЯ ОЦЕНКА МЕСТОРОЖДЕНИЙ ПОЛЕЗНЫХ ИСКОПАЕМЫХ

Специальность:
21.05.02 Прикладная геология

Специализация
Геологическая съемка, поиски и разведка месторождений твердых полезных ископаемых

форма обучения: очная, заочная

Автор: Никулина И. А., доцент, к.г.-м.н.

Одобрены на заседании кафедры
Геологии, поисков и разведки МПИ
(название кафедры)
Протокол № 1 от 26.09.2023
(Дата)

Екатеринбург

СОДЕРЖАНИЕ

		Стр.
1.	ЦЕЛИ И ЗАДАЧИ КУРСОВОГО ПРОЕКТА	3
2.	СТРУКТУРА КУРСОВОГО ПРОЕКТА, ТРЕБОВАНИЯ К ЕГО ОФОРМЛЕНИЮ	6
3.	СОДЕРЖАНИЕ КУРСОВОГО ПРОЕКТА	7
	3.1. Введение	7
	3.2. Общие сведения о районе работ	8
	3.2.1. Географо-экономическая характеристика	8
	3.2.2. Анализ результатов ранее выполненных работ	8
	3.3. Геологическое строение района	9
	3.4. Геологическая характеристика объекта проектируемых работ (перспективного участка, месторождения)	9
	3.5. Методика и объемы проектируемых работ	10
	3.5.1. Целевое геологическое задание	10
	3.5.2. Методы и объемы проектируемых работ	11
	3.5.3. Прочие виды работ	12
	3.5.4. Опробование и аналитические работы	12
	3.5.5. Подсчет прогнозных ресурсов и запасов и их геолого-экономическая оценка	13
	3.6. Заключение	15
	СПИСОК РЕКОМЕНДУЕМОЙ ЛИТЕРАТУРЫ	16
	ПРИЛОЖЕНИЕ 1. Пример оформления титульного листа	18
	ПРИЛОЖЕНИЕ 2. Образец оформления штампа на листах графики	19

1. ЦЕЛИ И ЗАДАЧИ КУРСОВОГО ПРОЕКТА

Целью курсового проекта по дисциплине «Разведка и геолого-экономическая оценка месторождений полезных ископаемых» является формирование у будущих специалистов системы знаний, раскрывающих методологию решения геологоразведочных задач и принципы геолого-экономической оценки месторождений.

Проектирование является сложным и ответственным видом работ. От качества проекта на производство геологоразведочных работ во многом зависит их конечный результат. Во время обучения в вузе основное внимание уделяется ознакомлению с новой информацией, большей частью теоретического характера. Молодой специалист, оказавшись на производстве, остро ощущает недостаток практического опыта. В первую очередь это касается необходимости принимать самостоятельные инженерные решения, направленные на выполнение геологического (технического) задания. Составляя курсовую работу, студенты приобретают определенные навыки в проектировании геологоразведочных работ, необходимые в дальнейшем для разработки выпускной квалификационной работы (дипломного проекта) и будущей профессиональной деятельности.

Курсовая работа выполняется студентами 5-го курса на базе материалов, собранных при прохождении преддипломной производственной практики. При отсутствии необходимых данных, требуемых для составления работы, сведения предоставляет кафедра. В том случае, если студент располагает достаточно представительным материалом, позволяющим произвести его углубленную обработку с использованием современных компьютерных технологий и на этой основе рассмотреть те или иные вопросы, составление проекта может быть заменено решением той или иной методической задачи геологоразведочной направленности.

Для подготовки курсовой работы студенты во время прохождения производственной практики должны собрать необходимые графические и текстовые материалы. Графические материалы включают: 1) геологическую

карту района работ в масштабе 1:50 000, 1:100 000 или 1:200 000 с разрезами, стратиграфической колонкой и условными обозначениями (легендой); 2) геологическую карту (план) месторождения (рудного поля) масштаба 1:25 000, 1:10 000 или крупнее; 3) геологические разрезы по месторождению или его части; 4) план подсчета запасов (продольная проекция). Графика сопровождается описанием геологии района и месторождения (участка), методики геологоразведочных работ, данными по подсчету запасов с результатами геолого-экономической оценки.

Для курсового проекта допускается отсутствие геологической карты района, однако для дипломного проекта она необходима. Исключение составляют проекты по нефтяным и газовым объектам, для которых вместо геологической карты района представляется, как правило, мелко-среднемасштабная тектоническая схема с указанием важнейших нефте-газоносных структур.

Главной задачей курсового проекта является обоснование методики геологоразведочных работ, отвечающих определенной стадии. В соответствии с Положением о порядке проведения геологоразведочных работ по этапам и стадиям (1999) темой курсового проекта оценочные работы, разведка, или эксплуатационная разведка, например:

- оценочные работы на проявлении Ныpдвоменшорское на медноколчеданное оруденение (Полярный Урал);

- разведка Главной рудной зоны Сусанского месторождения золота (Свердловская область);

- разведка глубоких горизонтов Астафьевского месторождения бокситов (Южный Урал);

- разведка северного фланга Мансуровского месторождения гранитов (Южный Урал);

- эксплуатационная разведка южной части нижнего рудного уровня Узельгинского месторождения (Челябинская область).

Независимо от выбранной стадии при выполнении курсового проекта студент должен решить следующие инженерные задачи:

- осветить степень геологической изученности рассматриваемой площади;

- определить главные задачи проектируемых работ;

- сформулировать целевое геологическое задание;

- выбрать и обосновать комплекс методов для выполнения целевого задания, определить виды и объемы запроектированных работ;

- произвести проектный подсчет запасов по объекту изучения с их геолого-экономической оценкой.

Задание на составление курсового проекта оформляется на специальном бланке, которое выдается преподавателем. На бланке указывается тема (название) проекта и сроки его выполнения. Преподаватель помогает студенту составить план проекта, рекомендует необходимую литературу, оказывает индивидуальные консультации.

На выполненный проект преподавателем пишется рецензия. Окончательная оценка выставляется после публичной защиты.

При подготовке методических рекомендаций использованы учебно-методические разработки кафедры ГПР МПИ к составлению курсовых проектов по дисциплинам «Прогнозирование и поиски месторождений полезных ископаемых» (А. Г. Баранников, 2013) и «Разведка и геолого-экономическая оценка МПИ» (Балахонов В. С., 2005), с которыми студенты могут подробнее ознакомиться на кафедре.

2. СТРУКТУРА КУРСОВОГО ПРОЕКТА, ТРЕБОВАНИЯ К ЕГО ОФОРМЛЕНИЮ

Курсовой проект состоит из текстовой части и графических приложений. Текст работы не должен превышать по объему 25-35 страниц машинописного текста и включает следующие разделы (в скобках указан ориентировочный объем):

- титульный лист;

- оглавление;

- введение (1 стр.);
- общие сведения о районе работ (1-2 стр.);
- геологическое строение района (2-5 стр.);
- геологическая характеристика объекта (4-6 стр.);
- методика и объемы проектируемых работ (12-14 стр.);
- подсчет запасов, их геолого-экономическая оценка (2-3 стр.);
- заключение (1 стр.);
- список использованной литературы.

Текст работы представляется в распечатанном виде. Допускается также рукописный вариант. Страницы текста должны соответствовать формату А4 (297х210 мм). Поля по всему периметру – 20 мм. Перед текстовой частью помещается титульный лист (приложение 1), индивидуальное задание и оглавление.

Текст иллюстрируется схемами, фотографиями, зарисовками. Они должны иметь наименования, условные обозначения, масштаб и обозначаются как рисунок под соответствующим номером.

Графические приложения представляются на двух или трех листах. В правом нижнем углу помещается штамп установленного образца (приложение 2). Первым листом является геологическая карта района со стратиграфической колонкой, легендой, разрезом. Как отмечалось выше, в курсовой проект карта района может не включаться, но для дипломного проекта она необходима. На втором листе помещается геологическая карта месторождения или участка работ. Этот лист является основным и имеет методическое значение. На него наносятся известные месторождения, проявления и пункты минерализации, геохимические и геофизические аномалии, шлиховые ореолы. Здесь же указываются направления геологических маршрутов, проектные геофизические и геохимические профиля, пройденные и проектные геологоразведочные выработки. Второй лист может представлять собой план подсчета запасов по месторождению, участку месторождения, эксплуатируемому этажу или уступу. Карта участка (месторождения) сопровождается одним или двумя типичными

разрезами, в том числе проектным, которые могут быть помещены на отдельном листе. При необходимости в графические приложения включается вертикальная продольная проекция рудного тела с блокировкой запасов и указанием пройденных и проектных выработок.

3. СОДЕРЖАНИЕ КУРСОВОГО ПРОЕКТА

3.1. Введение

Во введении обосновывается актуальность проекта и характеризуются исходные материалы, положенные в его основу. Оценивается потребность промышленности в данном виде минерального сырья, его конъюнктура на мировом и российском рынках. Рассматривается необходимость развития минерально-сырьевой базы региона в целом и данного вида полезных ископаемых в частности.

Указывается место и сроки прохождения производственной практики, организация, должность, выполнявшиеся работы. Приводятся основные фондовые и литературные источники, использованные при написании работы.

3.2. Общие сведения о районе работ

3.2.1. Географо-экономическая характеристика района

Указывается административное положение района работ, ближайшие населенные пункты, пути сообщения, возможности использования разных видов транспорта, ведущие промышленные объекты, источники энергообеспечения, наличие стройматериалов, возможности найма рабочих на месте. Описывается орогидрография: характер рельефа, абсолютные и относительные превышения, климат, гидрографическая сеть, режимы рек, источники питьевого и технического водоснабжения, наличие карстовых явлений, многолетней мерзлоты. Характеризуется растительный и животный мир, распространение покровных образований, кор выветривания, их мощности. Особо отмечается обнаженность пород, дешифрируемость аэро-космоснимков.

Перечисленные данные позволяют произвести анализ природных условий ведения геологоразведочных работ, учитываются при геолого-экономической оценке рудных объектов.

Для иллюстрации раздела приводится мелкомасштабная обзорная карта (схема) района с указанием местоположения участка работ.

3.2.2. Анализ результатов ранее выполненных работ

Кратко освещаются основные результаты ранее выполненных на площади геологических, геофизических, геохимических и других видов работ. Обзор проводится в хронологическом порядке. Текст может сопровождаться схемами изученности.

Оценивается достоверность ранее выполненных исследований и обосновывается выбор участка проектируемых работ, обсуждается степень его разведанности, изученность вещественного состава с точки зрения комплексного использования полезных ископаемых, а также возможные перспективы продолжения оруденения на глубину или фланги месторождения, обнаружения слепых рудных тел.

3.3. Геологическое строение района

Приводятся данные о геолого-структурной позиции участка работ. Последовательно излагаются сведения по стратиграфии и литологии, магматизму, тектонике, гидрогеологии и полезным ископаемым. Для районов, перспективных на россыпное оруденение, дается геоморфологическая характеристика.

При описании полезных ископаемых кратко описываются все известные месторождения и рудопроявления, включая сведения о размерах залежей, их форме, минеральном составе, принадлежности к определенному рудно-формационному промышленному типу.

В дипломном проекте текст сопровождается геологической картой района со стратиграфической колонкой, условными обозначениями (легендой) и

разрезами. При подготовке раздела следует обратить внимание на совпадение текстовых и графических материалов. В тексте должны быть охарактеризованы свиты и комплексы, представленные на графике. Соответственно, геологическая карта, колонка, легенда и разрезы должны содержать одни и те же стратиграфические и интрузивные образования.

3.4. Геологическая характеристика объекта проектируемых работ (перспективного участка, месторождения)

В зависимости от проектируемой стадии ГРР объектом работ является перспективный район, участок, рудопроявление или месторождение.

В данной главе уточняются и детализируются сведения, представленные в предшествующем разделе. Рассматриваются структурно-вещественные комплексы, образующие геолого-структурную позицию участка или месторождения. К ним относятся вмещающие горные породы, магматические тела, разломы, складки, вулканические структуры, геологические контакты.

В целом, описание участка или месторождения обычно включает следующие позиции:

- горные породы, участвующие в его строении;

- структурный контроль в размещении оруденения или структура рудного поля;

- характеристика выявленной минерализации. Для поздних стадий ГРР обязательно описывается форма, размеры, условия залегания рудных тел, вещественный состав руд, их текстурно-структурные особенности, первичная и вторичная зональность, генезис месторождения, а также характеризуются горно-геологические, инженерно-геологические и гидрогеологические условия месторождения.

Раздел иллюстрируется крупномасштабной геологической картой месторождения, детальными геологическими разрезами, в том числе обязательно проектным. При необходимости представляется продольная проекция, построенная в плоскости падения, или вертикальная, на которой показано размещение запасов разных категорий.

3.5. Методика и объемы проектируемых работ

3.5.1. Целевое геологическое задание

С учетом представленного выше обоснования формулируется геологическое задание, которое должно отвечать определенной стадии геологоразведочного процесса:

- оценочные работы;
- разведка участка месторождения, флангов, глубоких горизонтов;
- эксплуатационная разведка.

При формулировке задания важно отметить, какой промышленный тип оруденения ожидается, оговорить границы участка проектируемых работ и их масштаб.

3.5.2. Методы и объемы проектируемых работ

При проектировании оценочных и разведочных работ методические вопросы решаются на основе анализа особенностей структуры участка, формы, размеров и условий залегания тел полезных ископаемых, изменчивости выявленных параметров оруденения (мощности, содержания полезных компонентов).

В соответствии с инструктивными материалами ГКЗ МПР РФ, определяется группа сложности месторождения, перечень основных видов работ, необходимых для решения задач данной стадии, плотность сети наблюдения для разных категорий запасов. Обосновывается система разведки и технические средства, расположение и порядок проходки технических средств.

Описание каждого вида работ завершается расчетом проектных объемов.

3.5.3. Прочие виды работ

Обязательным элементом геологоразведочных работ являются топо-геодезические или маркшейдерские исследования. Рассмотрение этого вопроса начинается с анализа имеющейся топоосновы. Предусматривается инструментальная привязка опорной сети геофизических наблюдений, буровых скважин и горных выработок, базисных линий на участках детализационных работ.

На стадии разведки обязательно должна быть описана методика гидрогеологических и инженерно-геологических наблюдений с определением объемов этих работ.

Обязательным элементом разрабатываемого проекта является рассмотрение экологических вопросов. Необходима оценка влияния геологоразведочных работ на окружающую среду. Это влияние может выражаться в нарушении природного ландшафта территории, изменении режима поверхностных и подземных вод, загрязнении воздушного и водного бассейнов, исключении из хозяйственного оборота плодородных земель и т.д. В проекте должны быть предусмотрены мероприятия, предотвращающие или уменьшающие вредное воздействие ГРР на экологию.

3.5.4. Опробование и аналитические работы

С учетом типа оруденения, особенностей вещественного состава, формы, предполагаемой мощности рудных залежей, а также планируемых объемов горноразведочных и буровых работ, предусматриваются необходимые виды опробования – химическое, минералогическое, техническое, технологическое. Обосновываются способы отбора проб, необходимые для решения поставленных задач (штуфное, бороздовое, точечное, керновое и т.д.). Обсуждаются возможности использования геофизических методов опробования. Дается схема обработки проб на отдельно вычерченном листе в текстовой части проекта.

Перечисляются планируемые виды лабораторных работ, определяются их объемы с учетом внутреннего и внешнего контроля (3-5% от общего объема проб). Аналитические исследования в зависимости от типа полезного ископаемого и целевого назначения проекта могут включать следующие виды испытаний проб: химический, минералогический, спектральный, пробирный, атомно-абсорбционный, рентгено-спектральный, рентгено-структурный и др. Для каждого вида аналитических исследований определяются цели и решаемые задачи.

3.5.5. Подсчет проектных запасов и их геолого-экономическая оценка

На стадиях оценочных и разведочных работ одним из завершающих этапов проектирования является оконтуривание тел полезных ископаемых на месторождении, его флангах, глубоких горизонтах с переводом прогнозных ресурсов и запасов в более высокие категории. Для этого необходимо дать характеристику как уже оцененных, так и ожидаемых ресурсов и запасов.

Указываются кондиции, принятые для оконтуривания залежей и выделения подсчетных блоков. Излагается методика подсчета запасов по результатам проектируемых работ. Выбирается и обосновывается способ подсчета запасов в зависимости от особенностей геологического строения месторождения (формы, состава, условий залегания). Излагаются принципы выделения категорий запасов по степени разведанности (плотности разведочной сети) и изученности (выхода керна, вещественного состава руд, технологических, горнотехнических и гидрогеологических условий) для месторождений разных групп по сложности геологического строения. Раскрываются принципы выделения подсчетных блоков и проведение их границ на выходах, флангах и по падению. Характеризуются параметры подсчета запасов, методика их обоснования (площади подсчетных блоков, мощности, среднее содержание, объемная масса). Приводится сводный формуляр подсчета общих ожидаемых запасов по категориям. Контуры категорий запасов, выделенных на основании проектируемых работ, рекомендуется закрасить следующими цветами: категория А – розовый, В – зеленый, C_1 – голубой, C_2 – желтый.

Методика геолого-экономической оценки на разных стадиях геологоразведочного процесса не одинакова.

Основной инструмент геолого-экономической оценки – обоснование кондиций. По материалам завершенных геологоразведочных работ (разведка, доразведка) для определения целесообразности и экономической эффективности освоения месторождения составляют постоянные кондиции.

ГЭО осуществляется поэтапно. На стадии оценочных работ – по укрупненным показателям, без учета налогов, отчислений и платежей, а позднее по результатам разведки – с их учетом.

В условиях рыночных отношений оценку эффективности освоения месторождений, а также сравнение различных инвестиционных проектов и выбор лучшего из них, производят с использованием следующих показателей.

1. Чистый дисконтированный доход, или чистая дисконтированная стоимость, интегральный стоимостной эффект (ЧДД) – это превышение интегральных денежных результатов над соответствующими интегральными затратами или сумму всех доходов от эксплуатации месторождения за весь расчетный период. Освоение месторождения считается эффективным при положительном значении величины чистого дисконтированного дохода. При отрицательном значении ЧДД рассматриваемый вариант инвестиционного проекта должен быть признан убыточным.

2. Индекс доходности (ИД) представляет собой отношение суммы приведенных доходов к величине приведенных инвестиций. В экономически эффективных проектах величина индекса доходности должна быть больше единицы.

3. Внутренняя норма доходности (ВНД), или внутренняя норма прибыли, рентабельность возврата инвестиций. ВНД означает норму дисконта, при которой величина приведенных доходов равна приведенным инвестициям, а чистый дисконтированный доход становится равным нулю. Освоение месторождения считается эффективным и приемлемым, если ВНД>Е, где Е – принятая в расчете норма дисконтирования прибыли.

4. Срок окупаемости капитальных вложений ($T_о$) с учетом дисконтирования стоимостных показателей определяет временной интервал с момента начала разработки месторождения, за который приведенные доходы равны приведенным инвестициям. Приемлемым считается срок окупаемости инвестиций, равный 5-7 годам. Предельное значение $T_о$ составляет 10 лет.

Процесс геолого-экономической оценки месторождения завершают выбором оптимального варианта освоения объекта, для которого определены кондиции и показатели экономической эффективности его освоения.

При геолого-экономических расчетах необходимо использовать рекомендуемые учебные пособия кафедры.

3.6. Заключение

В заключение работы приводятся краткие выводы по каждой главе и проекту в целом.

СПИСОК РЕКОМЕНДУЕМОЙ ЛИТЕРАТУРЫ

Баранников А. Г., Никулина И. А., Хасанова Г. Г. Разведка и геолого-экономическая оценка месторождений полезных ископаемых: учебное пособие / А. Г. Баранников, И. А. Никулина, Г. Г. Хасанова; Урал. Гос. горный ун-т. – Екатеринбург: Тзд-во УГГУ, 2018ю – 184 с.

Баранников А. Г., Макарова С. В. Геолого-экономическая оценка месторождений полезных ископаемых: Учебное пособие. – Екатеринбург: Изд-во УГГГА, 2002. – 95 с.

Дворник Г. П., Угрюмов А. Н. Геолого-экономическая оценка месторождений полезных ископаемых и техногенного сырья: Учебное пособие. Екатеринбург: Изд-во УГГГА, 2004. – 220 с.

Каждан А. Б. Поиски и разведка месторождений полезных ископаемых (Научные основы поисков и разведки). М.: Недра, 1984. – 285 с.

Каждан А. Б. Поиски и разведка месторождений полезных ископаемых (Производство геологоразведочных работ). М.: Недра, 1985. – 288 с.

Классификация запасов месторождений и прогнозных ресурсов твердых полезных ископаемых. Утверждена приказом МПР РФ от 07.03.1997. – 9 с.

Петруха Л. М. Разведка месторождений полезных ископаемых: Учебное пособие. Екатеринбург: Изд-во УГГГА, 2003. – 247 с.

Положение о порядке проведения геологоразведочных работ по этапам и стадиям (твердые полезные ископаемые). М.: ВИЭМС, 1999. – 28 с.

Рудничная геология / В. Ф. Мягков, А. М. Быбочкин, И. И. Бугаев и др. М.: Недра, 1986. – 199 с.

ПРИЛОЖЕНИЕ 1

Образец выполнения титульного листа

Министерство образования и науки РФ
ФГБОУ ВО
Уральский государственный горный университет
Факультет геологии и геофизики

КУРСОВОЙ ПРОЕКТ

на тему:

РАЗВЕДКА ГЛУБОКИХ ГОРИЗОНТОВ ОГАНЧИНСКОГО МЕСТОРОЖДЕНИЯ ЗОЛОТА (КАМЧАТКА)

Руководитель
доц. Никулина И. А.

Студент
Попов С. М.

Группа
РМ-15

Екатеринбург – 2018

ПРИЛОЖЕНИЕ 2

Образец заполнения штампа к чертежам

<table>
<tr><td></td><td colspan="3">Министерство образования и науки РФ
Уральский государственный
горный университет</td><td>20</td></tr>
<tr><td>30</td><td>Исполнитель:
студент
гр. РМ-15
С. М. Попов</td><td colspan="2">Геологический план
Оганчинского месторождения</td><td>20</td></tr>
<tr><td rowspan="2">30</td><td rowspan="2">Руководитель:
доцент
И. А. Никулина</td><td colspan="2">К курсовому проекту на тему:
«Разведка глубоких горизонтов
Оганчинского месторождения золота
(Камчатка)»</td><td>20</td></tr>
<tr><td>Масштаб
1:1000</td><td>Дата</td><td>Приложение
№ 2</td><td>20</td></tr>
<tr><td></td><td>50</td><td>30</td><td>35</td><td>35</td><td></td></tr>
<tr><td></td><td colspan="4">150</td><td></td></tr>
</table>

УТВЕРЖДАЮ
Заведующий кафедрой геологии,
поисков и разведки месторождений
полезных ископаемых

В.А.Душин

МЕТОДИЧЕСКИЕ УКАЗАНИЯ К САМОСТОЯТЕЛЬНОЙ РАБОТЕ СТУДЕНТОВ ПО ДИСЦИПЛИНЕ

Б1.В.10 РАЗВЕДКА И ГЕОЛОГО-ЭКОНОМИЧЕСКАЯ ОЦЕНКА МЕСТОРОЖДЕНИЙ ПОЛЕЗНЫХ ИСКОПАЕМЫХ

Специальность:
21.05.02 Прикладная геология

Специализация
Геологическая съемка, поиски и разведка месторождений твердых полезных ископаемых

форма обучения: очная, заочная

Автор: Никулина И. А., доцент, к.г.-м.н.

Одобрены на заседании кафедры
Геологии, поисков и разведки МПИ
(название кафедры)
Протокол № 1 от 26.09.2023
(Дата)

Екатеринбург

СОДЕРЖАНИЕ

Тема	Название	Стр.
	Введение	3
1	Общие вопросы дисциплины. Основные понятия и определения	5
2	Геологические основы разведки	15
3	Методические основы разведки	40
4	Подсчет запасов полезных ископаемых	69
5	Геолого-экономическая оценка месторождений	88
	Заключение	104

Введение

Геологоразведочные работы являются важнейшим фактором устойчивого развития экономики страны. Сырьевую базу в настоящее время составляют *более ста видов твердых полезных ископаемых*. Усилиями многих поколений российских геологов найдены и введены в промышленное освоение тысячи месторождений полезных ископаемых. На этой основе создана уникальная минерально-сырьевая база страны.

Россия занимает места в *первой пятерке стран мира* по запасам и добыче железных и медных руд, золота, серебра, платиноидов, вольфрама, молибдена, кобальта, никеля. За счет этих руд государство обеспечивает внутренний рынок, эксплуатирует значительные объемы сырья и продукции его переработки. Бюджет государства во многом формируется за счет освоения минерально-сырьевых ресурсов. Экспорт продукции (по данным Федерального агентства по недропользованию РФ) составляет 50-70 % от объема добычи (по вольфраму, кобальту, никелю, меди, золоту, платиноидам. Существенна роль России как мирового производителя и экспортера алмазов, апатита, калийных солей, хризотил-асбеста, бора.

В то же время далеко не благополучным является состояние минерально-сырьевой базы по таким полезным ископаемым, как цинк, свинец, олово, сурьма, барий, графит и др. Внутреннее потребление этих видов сырья определяет необходимость их ввоза из-за рубежа. Многие районы с горнопромышленной направленностью испытывают в настоящее время острый недостаток в добываемом сырье (по железу, меди, свинцу, цинку, золоту). К остродефицитным полезным ископаемым также относятся бокситы, титан, цирконий, бентониты, каолины и др.

Итак, минерально-сырьевой комплекс был и остается *гарантом дальнейшего развития страны* на длительную перспективу, источником получения средств на реконструкцию и техническое перевооружение промышленности. Поэтому подготовка высококвалифицированных кадров в области «разведочного дела» в рамках специализации «Геологическая съемка, поиски и разведка твердых полезных ископаемых» (направления 25.05.02 «Прикладная геология») остается актуальной и востребованной задачей.

Содержание Учебного пособия во многом базируется на обобщении научного и учебно-методического материала, содержащего в учебниках, учебных пособиях, методических рекомендациях, подготовленных в разные годы. В первую очередь, необходимо упомянуть работу В. М. Крейтера (1940) по поискам и разведке месторождений полезных ископаемых, а также труды тех, кто продолжал развивать и углублять сформулированные В. М. Крейтером научные проблемы и направления (работы А. Б. Каждана, Е. О. Погребицкого, В. И. Тернового, Г. С. Поротова, Л. И. Четверикова, П. П. Ясковского, В. В. Шелелева, в том числе сотрудников кафедры поисков и разведки МПИ – В. Ф. Мягкова, А. С. Вершинина, И. И. Бугаева, Л. М. Петрухи, Ю. К. Панова и др.). Из публикаций этих авторов в Учебном пособии заимствована большая часть приведенных в пособии таблиц и иллюстраций.

Современная геологическая наука не может ограничиваться изучением лишь качественных сторон явлений и процессов. Она «должна выявлять их количественные

характеристики, обеспечив тем самым более высокий научный уровень исследования земных недр» (Каждан, Гуськов, 1990). Необходимость внедрения математических методов при решении геологоразведочных задач признается в настоящее время всеми геологами. Их применение обеспечивает возможность перехода от словесных, часто субъективных определений изучаемых объектов, к их более объективным количественным оценкам. Накопленный на кафедре опыт математической обработки собранной геологической информации отражен в 11, 13 и 15 главах пособия. Более подробно вопросы количественной обработки накопленной геологической информации рассматриваются в специальных дисциплинах: «Математические методы моделирования в геологии», «Основы компьютерных технологий решения геологических задач».

В результате изучения дисциплины «Разведка и ГЭО месторождений полезных ископаемых» студент приобретаем ряд компетенций, знаний и умений (Рабочая программа Б1.В.ОД.5).

Студент должен:

А. знать:

- задачи, принципы, технические средства и системы разведки; классификацию запасов полезных ископаемых; требования промышленности к качеству минерального сырья на стадии разведки;
- методики комплексной оценки минерального сырья;
- подходы к сбору и обработке количественной геологической информации с использованием компьютерных технологий.

Б. уметь:

- составлять проекты на геологоразведочные работы, обосновывать рациональную разведочную сеть;
- оконтуривать запасы разных категорий, выполнять подсчет запасов разными методами;
- выполнять оценку географо-экономических, горнотехнических условий освоения месторождений, технологических свойств минерального сырья.

В. владеть:

- методикой обоснования видов и объемов проектируемых работ;
- приемами определения параметров при подсчете запасов полезных ископаемых;
- методикой определения величины инвестиций, показателей эффективности освоения месторождения в базовом и коммерческом вариантах.

Тема 1
Общие вопросы дисциплины. Основные понятия и определения

РАЗВЕДКА МЕСТОРОЖДЕНИЙ ПОЛЕЗНЫХ ИСКОПАЕМЫХ, ЕЕ ЦЕЛИ И ЗАДАЧИ

Разведка месторождений – это комплекс работ и связанных с ними исследований, направленных на выявление, оконтуривание и геолого-экономическую оценку запасов минерального сырья в недрах. Разведочные работы вносят определяющий вклад в геологическое изучение минерализованных участков недр на предпроектной стадии промышленного освоения объекта. По завершению разведки и получению положительных результатов геолого-экономической оценки изучаемое проявление полезного ископаемого приобретает *статус месторождения.*

Разведка начинается с момента составления проекта на производство геологоразведочных работ. Обычно эти работы включают: геологическое картирование площади рудного поля и месторождения; выявление и оценку выходов рудных тел; проходку горных выработок и скважин, их документацию и опробование; проведение комплекса геофизических, геохимических, гидрогеологических, инженерно-геологических исследований; геодезическую съёмку. По результатам геологоразведочных работ составляют геологические разрезы, планы, проекции. Они отражают размеры, условия залегания и строение тел полезных ископаемых. Дается характеристика полезного ископаемого, подсчитываются его запасы. На основе полученных данных проводится геолого-экономическая оценка (ГЭО) месторождения, обосновываются выводы о его промышленном значении. Все сказанное позволяет отметить, что разведка как прикладная геологическая наука находится на стыке областей знаний, включающих: накопленные сведения о геологическом строении месторождения, его сопоставление с определенным геолого-промышленным типом; вопросы горного дела (в связи с обоснованием способа разработки месторождения); определение потенциальной ценности объекта, рентабельности его разработки; обоснованность задействованных технических средств разведки, влияющих на надежность получаемых результатов; обработку полученных результатов с использованных современных компьютерных технологий (рис. 1).

Основной *целью* выполняемых геологоразведочных работ является *получение информации*, необходимой и достаточной для: проектирования предприятия по добыче полезного ископаемого и переработке минерального сырья, реконструкции действующего рудника, определения путей его дальнейшего развития, оценки перспектив выявления новых тел полезных ископаемых на площади рудного поля. Собранная и качественно обработанная информация должна обеспечить *решение основной задачи* разведочных работ – подготовку месторождения к промышленному освоению.

Успешному решению сформированных задач должно способствовать: построение цифровых моделей месторождений с использований IT технологий; реализация разведочных систем, соответствующих природным особенностям объекта и обеспечивающим надежное локальное прогнозирование геолого-промышленных параметров.

Сущность разведки сводится к оконтуриванию, прослеживанию промышленно ценных участков природных скоплений полезного ископаемого путем выборочного пересечения минерализованного объема недр разведочными выработками (скважинами, горными выработками) с последующим геологическим и геофизическим их изучением (документацией) и опробованием. Таким образом, информацию, необходимую для принятия проектных решений по разработке и переработке добываемого минерального сырья, получают на весьма скудном материале. Разведка обычно не позволяет раскрыть все детали строения минерализованных пород. Отчасти эти задачи решаются при использовании геофизических методов (в том числе, зондирования межскважинного пространства), а также на стадии эксплуатационной разведки. Материалы разведки позволяют сконструировать *модель месторождения*, которая по своим параметрам должна быть максимально приближена к истинному объекту (рис. 2). Возможность разработки технических проектов на основе обобщения ограниченной разведочной информации подтверждена практикой разведки и освоения месторождений. Здесь работает известный в математической статистике выборочный метод исследования оцениваемых свойств (в разведке – геолого-промышленных параметров) на основе обобщения данных лишь части свойств, вошедших в изучаемую выборку (Петруха, 2003). На каждой последующей стадии геологоразведочных работ формируемая выборка свойств становится более представительной. На современном этапе изучения недр все недропользователи обязаны выполнить необходимые расчеты по геолого-экономической оценке (ГЭО) обосновываемых запасов и прогнозных ресурсов. Оценка является исследовательским процессом, связанным с выявлением возможных конкурентоспособных вариантов оконтуривания и промышленного освоения запасов месторождения и выбором среди них рационального с позиций максимальной доходности предприятия. Наиболее полная ГЭО осуществляется по результатам разведки месторождения. Оценка по результатам поисков базируется на тех же единых методологических принципах, но из-за ограниченности имеющихся материалов является малодостоверной (Шевелев, 2004).

При проведения ГЭО учитываются следующие положения:

1. Обоснование рационального и комплексного использования недр, включающее основные и попутные компоненты, отходы добычи и переработки сырья.
2. Определение показателей эффективности освоения месторождения (ЧДД – чистый дисконтированный доход, ИД – индекс доходности, ВНД – внутренняя норма доходности, Р – рентабельность разработки, Т – срок окупаемости капвложений).
3. Учет обязательных платежей и налогов, плата за кредит (необходимый для организации работ по разработке месторождения).
4. Учет фактора времени и риска при оценке месторождения.
5. Оценка экологических и социальных последствий разработки месторождения.
6. Выбор оптимального варианта освоения месторождения.
7. Обоснование кондиций на минеральное сырье.

Важнейшие результирующие показатели ГЭО, установленные параметры кондиций, подсчитанные с их использованием балансовые и забалансовые запасы вносятся в Государственный кадастр месторождений полезных ископаемых. При этом

необходимо отражать в кадастре два подхода к оценке объекта – базовый и коммерческий, чтобы при необходимости оперативно осуществлять переоценку месторождения.

КРАТКИЕ СВЕДЕНИЯ ОБ ИСТОРИИ СТАНОВЛЕНИЯ УЧЕНИЯ О РАЗВЕДКЕ НЕДР

Учение о поисках и разведке месторождений полезных ископаемых пришло из потребностей горного дела. Долгие годы работы по поиску и добыче руд велись на основе опыта многих поколений рудознатцев. Разработки в этой области знаний методического и организационного характера появились значительно позже. Первые труды принадлежат Г. Агриколе (1530), И. А. Шлаттеру (1760), М. В. Ломоносову (1763). Целая эпоха в развитии горного промысла и геологии связана с именем Петра I. Им был организован «Приказ рудокопных дел», реорганизованный в 1719 г. в Берг-коллегию. Коллегия взяла на себя руководство горнозаводской промышленностью Российской империи.

В XIX веке разведка месторождений не проводилась. Открытые месторождения сразу же вовлекались в разработку. Разведочные методы начинают развиваться и совершенствоваться в конце XIX века и позднее. Первыми в этом направлении были работы проф. Войслова (1899), проф. Корзухина (1908), В. С. Реутовского, Б. И. Бокия (1914).

Методологические основы разведки складывались и совершенствовались по мере расширения сырьевой базы страны, развития горнорудной промышленности. Однако в начале XX века разведочное дело ещё не имело самостоятельного развития и рассматривалось как один из разделов учения о полезных ископаемых. Первая работа по экспертизе и оценке рудных месторождений была опубликована Н. И. Трушковым в 1922 г. В 1924 г. в Петроградском горном институте К. П. Марковым прочитан курс разведочного дела. Начиная с 1927 г. этот курс читал И. С. Васильев, впервые изложивший важнейшие методические положения разведки.

Основоположником учения о поисках и разведке полезных ископаемых по праву считается В. М. Крейтер. Им были организованы кафедры поисков и разведки МПИ в Московском геологоразведочном институте и Институте цветных металлов и золота. Его фундаментальный труд «Поиски и разведка полезных ископаемых», изданный в 1940 г., несколько раз переиздавался и стал настольной книгой геологов-разведчиков нескольких поколений.

В 1922 г. кафедра поисков и разведки МПИ была организована в Уральском (Свердловском) горном институте. Её первым заведующим был назначен руководитель геологической службы Урала Б. В. Дидковский. В последующие годы кафедру возглавляли А. П. Смолин, В. П. Любимов, П. И. Кутюхин, М. Н. Альбов, И. И. Бугаев, В. Ф. Мягков, А. Г. Баранников. В 1999 г. произошло объединение ряда кафедр геологического факультета. Объединенную кафедру геологии, поисков и разведки МПИ возглавил проф. В. А. Душин.

Большой вклад в развитие теории и практики разведочного дела, опробования и подсчета запасов полезных ископаемых внесли исследования М. Н. Альбова, Н. В. Барышева, И. Д. Когана, А. П. Прокофьева, В. И. Смирнова, Е. О. Погребицкого, Г. С. Поротова и др. Научные основы геометризации недр заложены исследованиями П. К. Соболевского (1926-1932). Он рассматривал тела полезных ископаемых как совокупность

взаимно связанных геохимических полей и на этой основе сформулировал принципы геометрического моделирования.

В середине XX века во все отрасли геологии, включая вопросы оценки месторождений, проникли математические методы обработки информации. Этому способствовало появление и развитие электронно-вычислительной техники, а позднее – IT технологий. Кроме теории вероятности и математической статистики случайных величин, в теорию и практику исследований стали проникать методы многомерного статистического анализа, теории случайных функций и гармонического анализа, теории множеств, линейной алгебры, распознавания образов и других разделов математики.

При рассмотрении теоретических вопросов методики разведки месторождений и опробования акцент был сделан на изучении изменчивости свойств полезных ископаемых. А. С. Власов, Д. А. Казаковский и др. исследователи предложили использовать первые и вторые последовательные разности значений исследуемых показателей изменчивости по смежным точкам. При обобщении результатов статистической обработки данных П. Л. Каллистов (1956) обратил внимание на то, что любой статистический показатель отражает лишь средний уровень изменчивости изучаемого свойства и не учитывает влияния пространственного расположения точек наблюдений. Им было предложено учитывать случайные и закономерные изменения наблюдаемых признаков. При этом дисперсию случайных отклонений следовало определять не от генеральной средней, а с учетом рассчитанной кривой регрессии, отстраиваемой с использованием процедуры сглаживания совокупности прилегающих к конкретной точке проб. Дальнейшее развитие этот подход при изучении изменчивости свойств залежей получил в работах В. Ф. Мягкова (1984). Он предложил исследовать закономерности распределения компонентов в рудных полях с использованием *геометро-статистической модели*. При отстройке одномерных графиков изменчивости геологических параметров по разным направлениям рудных залежей с использованием интерполяционного полинома удается выявлять уровненное строение геологических полей и на этой основе решать целый ряд практических вопросов разведки: оптимальный шаг опробования; зональность строения залежей, их анизотропию и др.

Начиная с шестидесятых годов XX века, появилось много публикаций по исследованию изменчивости оруденения с использованием *методов теории случайных функций* и *гармонического анализа* (работы А. Б. Каждана, З. Д. Низгурецкого, А. М. Марголина и др.). Изменчивость изучаемых признаков рассматривается как функция расстояния между смежными пунктами наблюдений. При этом необходим учет влияния формы и размера проб, отражающих неоднородность строения недр. В это же время при изучении изменчивости и оценке запасов руд зарубежными геологами (Ж. Матерон, М. Давид, Э. Карлье, Д. Криге и др.) было предложено задействовать *геостатистические модели.* В основе данной модели лежит предположение, что получаемые результаты зависят от расположения пунктов наблюдений. При смещении начального пункта наблюдения результаты измерений меняются, и поэтому их следует рассматривать как случайные величины. Рассчитанный средний квадрат разности измеренных значений при этом зависит от расстояния между пунктами. Важной характеристикой геостатистических моделей служит вариограмма, отражающая функцию среднего квадрата разности от

расстояния между пунктами наблюдений. Для отдельных объектов установлено присутствие нескольких типов вариограмм: с регулярной пространственной переменной, с эффектом самородков, сферической и др. На отстроенных вариограммах возможно определение порогового значения, отражающего зону влияния между соседними пробами.

На современном этапе при обобщении результатов геологоразведочных работ все чаще задействуют геостатистические методы с использованием IT технологий (программы “Micromine”, “Datamine”, “Surpac” и др.).

ОСНОВЫ ЗАКОНОДАТЕЛЬСТВА РОССИЙСКОЙ ФЕДЕРАЦИИ О НЕДРАХ

Основным законом, регламентирующим недропользование в РФ, является Федеральный закон «О недрах», принятый в 1992 г. Закон неоднократно дополнялся и редактировался, его последняя редакция принята в 2015 г. (Закон РФ «О недрах»).

Согласно тексту закона недра являются частью земной коры, расположенной ниже почвенного слоя, а при его отсутствии – ниже поверхности Земли и дна водоемов и водотоков, простирающейся до глубины, доступной для геологического изучения и освоения.

Основные положения горного права

К основным положениям Горного права относятся:

- право собственности на недра как один из элементов природной среды;
- право собственности на извлеченные из недр полезные ископаемые и используемые полезные свойства недр;
- право собственности на имущество и геологическую информацию, создаваемые в процессе пользования недрами.

Право собственности на недра в России действующими правовыми актами определяется следующим образом:

- недра находятся в государственной собственности;
- владение, пользование и распоряжение недрами в пределах государственной границы находится в совместном ведении Российской Федерации и ее субъектов (так называемое «правило двух ключей»), а за пределами границы (в морской экономической зоне и на континентальном шельфе) – в исключительном ведении Российской Федерации;
- владение, пользование и распоряжение недрами осуществляется в интересах всех народов, проживающих на соответствующей территории, и всех народов Российской Федерации.

Недра предоставляются в пользование субъектам предпринимательской деятельности для изучения, добычи полезных ископаемых, строительства подземных сооружений, организации особо охраняемых геологических объектов или сбора минералогических коллекций на определенный срок или без ограничения срока.

Участки недр с находящимися в них минеральными ресурсами не могут быть предметом купли-продажи, дарения, наследования, вклада, залога или отчуждения в иной форме. Права пользования недрами могут отчуждаться или переходить от одного лица к другому в той мере, в какой их оборот допускается федеральными законами.

Право собственности на минеральное сырье, добытое из недр, появляется в процессе добычи полезных ископаемых. Добытые из недр полезные ископаемые могут

находиться в федеральной собственности, собственности субъектов Федерации, муниципальной, частной и иных формах собственности. Вопрос о форме собственности на добытое полезное ископаемое определяется условиями лицензионного соглашения.

Право собственности на горное имущество и геологическую информацию определяется принципом: объект является собственностью того, кто оплатил его создание или приобретение. Однако, геологическая информация, являющаяся собственностью пользователя, должна представляться им по установленной форме в федеральный и территориальный фонды геологической информации (ВГФ, ТГФ). Собственник может лишь оговорить условия конфиденциальности пользования этой информацией в фондах, с учетом собственных интересов.

Система пользования недрами

Недра Российской Федерации могут быть использованы недропользователями для следующих целей.

1. Регионального геологического изучения и иных общих геологических работ без нарушения целостности недр.

2. Геологического изучения, включая поиски и оценку месторождений полезных ископаемых, а также оценки пригодности недр для строительства подземных сооружений.

3. Разведки и добычи полезных ископаемых, в том числе отходов горных предприятий.

4. Строительства и эксплуатации подземных сооружений, не связанных с добычей полезных ископаемых.

5. Образования особо охраняемых геологических объектов.

6. Сбора минералогических, палеонтологических и других геологических коллекций. Недра могут предоставляться в пользование одновременно для геологического изучения (поиски, разведка) и добычи полезных ископаемых. В этом случае добыча может производиться как в процессе изучения, так и после его завершения.

Пользование недрами в Российской Федерации, за исключением работ по региональному геологическому изучению и созданию особо охраняемых объектов, является платным.

Недра предоставляются в пользование на определенный срок или без ограничения срока.

Порядок пользования недрами включает три самостоятельных подсистемы:

- предоставление участков недр в пользование;
- пользование недрами в соответствии с установленным видом пользования;
- контроль и надзор за соблюдением установленных требований и ограничений при пользовании недрами.

Предоставление недр в пользование осуществляется на основе лицензирования. Государство, осуществляющее суверенное право на недра, определяет программу освоения недр, участки недр, которые предполагаются предоставить в пользование, и выбор конкретного недропользователя.

Государство определяет условия, на которых предполагается передача недр в пользование. Недропользователь может вести переговоры об изменении этих условий. При достижении согласования, недропользователю оформляется лицензия на право

пользования недрами. Лицензия предоставляется совместно органом исполнительной власти субъекта Российской Федерации и Федеральным органом управления фондом недр.

Работы по *региональному геологическому изучению недр*, выполняемые за счет средств госбюджета, осуществляются без оформления лицензий, но с обязательной регистрацией в территориальных геологических организациях Министерства природных ресурсов. Лицензия на *поиски и оценку* месторождений полезных ископаемых удостоверяет право проведения таких работ только на вид сырья, указанный в лицензии. Лицензия на *добычу* полезного ископаемого может выдаваться на всё месторождение или его часть. Допускается также одновременное предоставление одному пользователю нескольких лицензий на право добычи по группе близко расположенных месторождений, если экономически рентабельной является только совместная их разработка. Лицензия на *разведку* месторождения отдельно не предоставляется и право разведки предусматривается в лицензии на добычу.

Законодательством устанавливается два статуса участков недр, на которые выдается лицензия: геологический отвод и горный отвод. Статус *геологического отвода* предоставляется участкам, предоставляемым для геологического изучения недр без существенного нарушения их целостности. В пределах одного геологического отвода могут быть выданы несколько лицензий на разные виды деятельности, включая, например, поиски и оценку разных полезных ископаемых. В границах геологического отвода могут одновременно проводить работы несколько пользователей недр.

В пределах одного *горного отвода* может быть выдана только одна лицензия одному пользователю, получающему по ней исключительное право деятельности в этих пределах в соответствии с лицензией.

Предоставление недр в пользование осуществляется по результатам конкурсов или аукционов, либо в специальных случаях на основе согласованных решений федеральных органов государственной власти и органов государственной власти субъектов Федерации на бесконкурсной основе. Определение порядка проведения и условий конкурсов и аукционов по каждому объекту или группе объектов осуществляется органами, предоставляющими лицензии. Наименования объектов, выставляемых на конкурсы или аукционы, и их условия публикуются в печати.

Предприниматель, желающий принять участие в конкурсе, подает по установленной форме соответствующую заявку. После официального принятия заявки и уплаты соответствующих взносов заявитель может получить пакет геологической и технико-экономической информации по интересующему его участку недр. Проанализировав эту информацию, заявитель прежде всего решает для себя вопрос о продолжении участия в конкурсе (аукционе) и, при положительном решении, представляет приемлемый для него вариант технико-экономических показателей (ТЭП) ведения работ по намечаемому виду пользования недрами. Указанные ТЭП представляют собой комплекс материалов, обосновывающих принципиальные решения и ожидаемые технико-экономические показатели по всем вопросам. После приобретения лицензии ее владелец имеет право получения в фондах полного объема геологической информации по

предоставленному ему согласно лицензии участку недр (геологическому или горному отводу).

Условия ***пользования недрами*** определяются соглашением собственника недр (государства) в лице его уполномоченных органов и недропользователя. В практике недропользования известны три типа договорных отношений:

- недропользователь вносит плану за пользование недрами и уплачивает другие установленные налоги, но полностью распоряжается всей произведенной продукцией;
- недропользователь и собственник недр заключают соглашение о разделе производимой продукции;
- недропользователь заключает с собственником контракт на предоставление определенных услуг (субподрядные работы).

В первом случае недропользователь осуществляет все работы по реализации предоставленных лицензией прав за счет собственных средств, принимая на себя все риски. Добытая продукция полностью принадлежит ему, хотя условиями договора может определяться реализация части продукции на внутреннем рынке. Недропользователь вносит все установленные платежи, налоги, связанные с его деятельностью. Все сооружения и оборудование, используемые при работах, являются его собственностью.

Во втором случае недропользователь также несет все расходы и принимает на себя риски, связанные с ведением работ, а произведенная продукция делится между ним и собственником (государством) в виде трех частей: компенсационной продукции, предназначенной для возмещения затрат недропользователю, и двух долей прибыльной продукции, разделенных между государством и недропользователем в установленном соотношении. Реализация своих долей продукции осуществляется недропользователем и собственником самостоятельно. Сооружения и оборудование, связанные с недропользованием, переходят в собственность государства либо с момента их создания или приобретения, либо по мере амортизации. Привлекательной стороной соглашения о разделе продукции является иммунитет от новых изменений налогового законодательства, которые не должны ухудшать экономическое положение инвестора, имевшееся на момент составления соглашения.

В третьем случае, недропользователь, также неся все затраты, связанные с проведением работ, либо получает возможность их возмещения при коммерческом результате (например, открытии месторождения при поисках), либо получает заранее оговоренное вознаграждение (оплату) за произведенные работы, но не приобретает никаких прав на добытую продукцию, если таковая будет получена в течение срока действия лицензии или после его истечения.

Контроль и надзор за пользованием недрами осуществляют органы государственного геологического контроля и Федерального горного и промышленного надзора России, а также другие контрольные органы, в соответствии с компетенцией (природоохранные органы, налоговая инспекция, таможенная служба и т. д.) и органы государственной власти.

Государственный геологический контроль включает контроль за геологическим изучением недр и их рациональным использованием и охраной. Органы госконтроля

входят в структуру Министерства природных ресурсов и его территориальных подразделений.

Федеральный горный и промышленный надзор России (Госгортехнадзор) выполняет в качестве основной контрольной функции надзор за безопасным ведением работ, включая вопросы проектирования, строительства, эксплуатации и ликвидации горных предприятий.

Государственная экспертиза запасов полезных ископаемых производится для создания условий комплексного использования недр, определения платы за использование недр и уточнения границ горного отвода. Государственная экспертиза может проводиться на любой стадии геологического изучения недр, но предоставление участков недр для целей добычи разрешается только после их госэкспертизы.

Система платежей при пользовании недрами

Плата за пользование недрами включает разовые и регулярные платежи.

Минимальные (стартовые) разовые платежи за пользование недрами устанавливаются в размере не менее 10 % от величины суммы налога на добычу полезных ископаемых в расчете на среднегодовую проектную мощность добывающей организации. Размеры регулярных платежей определяются в зависимости от экономико-географических условий, размера участка недр, вида полезного ископаемого, продолжительности работ, степени геологической изученности и степени риска. Регулярный платеж взимается за площадь лицензионного участка, предоставленного недропользователю. Ставка регулярного платежа за 1 кв. км участка недр при поисковых и оценочных работах составляет от 27-90 рублей для неметаллических полезных ископаемых до 120-360 рублей для углеводородного сырья; при разведочных работах ставка меняется от 800-1650 рублей для подземных вод до 5000-20000 рублей для углеводородного сырья.

Регулярные платежи не взимаются с недропользователей, осуществляющих:

- пользование недрами для регионального геологического изучения;
- пользование недрами для образования особо охраняемых геологических объектов, имеющих научное, культурное, эстетическое, санитарно-оздоровительное и иное значение;
- пользование недрами для сбора минералогических, палеонтологических и других геологических коллекционных материалов;
- разведку полезных ископаемых на месторождениях, введенных в промышленную эксплуатацию, в границах горного отвода, предоставленного пользователю недр для добычи этих полезных ископаемых.

Кроме разовых и регулярных платежей, законодательством предусмотрены две группы налогов и отчислений. Первая группа учитывается в себестоимости товарной продукции, вторая относится на финансовый результат.

В себестоимость включается налог на добычу полезных ископаемых, дорожный налог, плата за воду, землю, загрязнение окружающей среды и др. Налог на добычу составляет основную часть налоговой суммы первой группы. Ставка налога меняется от 3,8 % для калийных солей до 16,5 % для углеводородного сырья. Налогоплательщики, осуществившие за счет собственных средств поиски и разведку разрабатываемых месторождений или полностью возместившие все расходы на поиски и разведку,

уплачивают налог на добычу с коэффициентом 0,7. При выполнении соглашений о разделе продукции налоговые ставки на добычу применяются с коэффициентом 0,5. Не облагаются налогом полезные ископаемые, остающиеся во вскрышных, вмещающих (разубоживающих) породах, в отвалах или отходах перерабатывающих производств. Дорожный налог взимается в размере 2,5 % от годовой стоимости товарной продукции.

На финансовый результат горного предприятия относят налог на прибыль, налог на имущество, целевые сборы на содержание милиции и благоустройство территории. Налог на прибыль составляет 24 % от годовой прибыли предприятия, налог на имущество – 2 % от его среднегодовой стоимости. Остальные платежи определяются прямыми расчетами.

Горные предприятия также облагаются косвенными налогами, вычисляемыми сверх цены предприятия – налогом на добавленную стоимость (НДС), создаваемую в процессе производства товарной продукции, и таможенными пошлинами, взимаемыми с товарной продукции, вывозимой за пределы Российской Федерации.

Контрольные вопросы к теме 1

1. Что является целью разведки? Какие задачи решает разведка?
2. С какими областями знаний и смежных дисциплин разведка связана?
3. С какими именами известных и выдающихся российских ученых следует связывать становление учения о разведке месторождений?
4. Кто из российских и зарубежных ученых внес значимый вклад в разработку проблем количественной обработки геологической информации (геолого-математического моделирования)?
5. В чем заключаются основные положения законодатедьства РФ о недрах?
6. В каких целях могут быть использованы недра в РФ?
7. Как осуществляется предоставление недр в пользование?
8. Что такое горный и геологический отводы? Чем они различаются?
9. Какие типы договорных отношений установлены между государством и недропользователем?
10. Как осуществляется контроль за пользованием недрами?
11. Какая система платежей установлена за недропользование?

Тема 2
Геологические основы разведки

ФАКТОРЫ, ОПРЕДЕЛЯЮЩИЕ ПРОМЫШЛЕННУЮ ЗНАЧИМОСТЬ МЕСТОРОЖДЕНИЙ

Минеральные скопления в земной коре приобретают статус месторождения по результатам их разведки и при условии обоснования экономической целесообразности промышленного освоения. Основным критерием для промышленного освоения месторождения является размер прибыли, которую предприниматель собирается получить за весь период его эксплуатации.

На экономику промышленного освоения месторождения оказывает влияние совокупность факторов: количество запасов в месторождении (их масштаб), качество минерального сырья, технологические свойства, горно-геологические условия эксплуатации, географо-экономические условия района нахождения месторождения, экологические условия эксплуатации и др. (Каждан, 1977, 1984; Ясковский, 2001, 2010; Шевелев, 2004; Поротов,2004).

Количество запасов в месторождении определяется величиной запасов, оцененных по результатам геологоразведочных работ. Достоверность подсчитанных запасов зависит от степени их изученности (разведанности).

Запасы твердых полезных ископаемых подсчитываются в единицах массы (тонн); сыпучих полезных ископаемых (песков, гравия), строительного и облицовочного камня – в единицах объема (кубические метры). Запасы золота измеряются в килограммах, тоннах, а в некоторых зарубежных странах используют тройную унцию (31,103 грамма). Запасы алмазов и драгоценных камней измеряют в каратах (0,200 грамма).

Запасы полезного ископаемого, ценность которого определяется содержанием химического элемента (оксида) или минерала (алмаз, слюда, асбест и др.), оцениваются с определением количества руды и количества металла (минерала). В России запасы твердых полезных ископаемых подсчитываются в недрах, а запасы нефти и газа оцениваются как извлекаемые, так и в недрах.

По величине запасов различают месторождения *уникальные* (их в мире единицы), *крупные* (их десятки), *средние* (их сотни) и *мелкие* (их тысячи). На базе уникальных месторождений создаются ведущие горнодобывающие предприятия. Они во многом определяют состояние минерально-сырьевой базы и сырьевого рынка страны, мира. Крупные месторождения определяют экономику отрасли или крупного региона страны. Средние месторождения имеют значение в пределах отдельных экономических районов, а мелкие – в отдельных случаях. Для каждого вида полезного ископаемого наблюдаются значительные (в десятки раз) изменения запасов при переходе от мелких месторождений к крупным и очень крупным, что обусловлено разнообразием геологических условий образования руд (табл….).

Следует отметить, что отраженные в таблице размеры запасов не являются общепризнанными. В литературных источниках приведены и другие цифры градации запасов, определяющие масштаб оцениваемых объектов. В. И. Краснико (1965) подметил закономерность, получившую в литературе название «декадной». В 7 % месторождений

сосредоточено ~ 65 % запасов, а запасы мелких, средних, крупных и уникальных месторождений отличаются друг от друга примерно на порядок. Мелкие месторождения встречаются часто, а очень крупные редко. Основные запасы сосредоточены в крупных и очень крупных месторождениях. Обобщение данных по России за 1994-1997 гг. свидетельствует, что среди девятнадцати видов полезных ископаемых общее количество мелких объектов составило 723, средних – 184, крупных – 107, очень крупных – 30 (Ясковский, 2001). Распределение суммарных запасов для коренных месторождений страны: на долю мелких объектов приходится 14 %, средних – 30 % и крупных 56 %.

От масштаба месторождений зависят ожидаемые показатели экономической эффективности вовлекаемых в эксплуатацию объектов. С учетом величины запасов можно определить ценность месторождения (потенциальную в недрах или товарную на сырьевом рынке). Полученные значения следует учитывать при определении инвестиционной привлекательности объектов. Другой расчетный экономический показатель – необходимый объем капитальных вложений. Чем больше запасы, тем больше затраты на строительство горнодобывающего предприятия. При этом появляется возможность определить производительность будущего рудника, срок его существования и ориентировочно подсчитать приведенные затраты на освоение месторождения.

Качество минерального сырья – это совокупность природных свойств, определяемых минеральным и химическим составом, структурными и текстурными особенностями сырья, технологическими и физическими свойствами. Высокое качество полезного ископаемого влияет на эффективность переработки руд, способствует улучшению готовой продукции. В геологоразведке и горной промышленности давно используются понятия – «богатые», «бедные», и «убогие» руды. С позиций оценки качества все твердые полезные ископаемые могут быть разделены на *три группы*. Ценность в них может представлять: химический элемент (или химическое соединение, чаще оксид); минерал, обладающий особыми свойствами; вся добываемая горная масса (Шевелев, 2004).

К *первой группе* относятся все руды металлов и горно-химическое сырье (фосфориты, бор, сера). Основным показателем качества сырья является содержание ценного компонента. Содержание оценивается в массовых процентах элемента (Fe, Mn, Pb, Zn, Cu, Ni, Co, S, V, As) или оксидов (Cr_2O_3, TiO_2, WO_3, Nb_2O_3, BeO, Be_2O_3, P_2O_5).

В месторождениях комплексных руд (свинцово-цинковых, медно-молибденовых, медно-никелевых и др.) качество определяется с помощью условного содержания главного компонента. В расчетных формулах учитывается: содержание главного компонента, формирующего основную ценность руд; содержание второстепенных компонентов; переводные коэффициенты для перерасчета содержаний второстепенных компонентов в главный компонент.

Содержание в рудах благородных металлов (золота, серебра, платиноидов) из-за низких их концентраций выражается в граммах на тонну руды; в россыпных месторождениях – в г (мг) /$м^3$. Чем большее значение элемента в рудах, тем выше качество полезного ископаемого.

В зависимости от содержания основного ценного компонента руды подразделяются на богатые, рядовые и бедные. Для разных полезных ископаемых конкретные сорта руд отличаются друг от друга (табл.).

При исследовании уровня концентраций полезных компонентов в объеме рудных тел может быть задействован *коэффициент богатства* – отношение среднего содержания к минимально промышленному (Бирюков, Денисов, 1978). Богатыми считаются руды, в которых содержание полезного компонента в 1,5-3,5 раза выше, чем минимальное промышленное; к бедным – менее 1,1-1,2. Какое значение при разведке имеет оконтуривание богатых руд? Во-первых, богатые и очень богатые руды используются при получении концентратов или в металлургии без предварительного обогащения. Во-вторых, высокое качество руд нередко отмечается в локальных участках месторождения. Эти участки называют рудными столбами, кустами, гнездами, карманами, бонанцами (для месторождений золота и серебра). На стадии разведки локальные участки должны быть оконтурены, а подсчет запасов выполнен без ограничения выявленных «ураганных проб».

Ко *второй группе* относятся алмазы, пьезооптическое сырье, слюда, тальк, асбест и др. Качество сырья регламентируется уровнем содержания ценного минерала, размерностью и особенностями кристаллосырья: для асбеста – прочность, гибкость, длина волокна, кислоторастворимость; для слюд – размер пластинок, их ровность, термостойкость; для пьезооптического сырья – масса кристалла, размер бездефектной области моноблока, выход моноблока, степень проявленности дефектов (газово-жидкие включения, трещины, двойники и др.); для алмаза – масса, форма, характер поверхности, цвет, дефектность, наличие сростков (Ясковский, 2001).

К *третьей группе* относятся стройматериалы, твердое топливо, керамическое сырье, огнеупоры, тальк, пирофиллит, минеральные пигменты, цеолиты, бокситы и хромиты. Качество сырья оценивается соответствием его определенных свойств требованиям технических условий (ТУ), отраслевых стандартов (ОСТ), государственных стандартов (ГОСТ) и соглашений с потребителями (Шевелев, 2004). Иногда требуется подразделение сырья на ряд сортов и марок. С учетом целевого использования оцениваемое полезное ископаемое должно удовлетворять конкретным сортовым требованиям.

Итак, количество и качество минерального сырья являются важнейшими факторами оценки разведуемых объектов. Они являются определяющими показателями при геолого-экономической оценке месторождений.

Технологические свойства сырья определяют возможность и экономическую целесообразность переработки минерального сырья с целью получения товарного продукта. Основными показателями, определяющими технологические свойства руд, являются: величина извлечения полезного компонента, содержание полезного компонента в концентрате, выход концентрата.

Технологические свойства минерального сырья зависят от совокупности качественных показателей, из которых кроме содержания полезных ископаемых и вредных примесей первостепенное значение имеют (Каждан, 1977; Шевелев, 2004):

- минеральный состав полезного ископаемого и разубоживающей руды горной массы; распределение полезных компонентов и вредных примесей по отдельным минералам;

- форма и размеры полезных минералов, характер их срастаний, текстуры и структуры минеральных агрегатов;
- физические свойства минерального сырья и слагающих его полезных минералов, их твердость, хрупкость, удельная плотность;
- химический и минеральный состав вмещающих пород и жильной массы.

Технологические исследования, проводимые в процессе разведки, должны установить возможность извлечения ценных компонентов из руд и обеспечить выбор схемы передела руд, которая может быть использована в промышленных условиях с приемлемыми технико-экономическими показателями. Наличие в сырье попутных компонентов повышает экономическую значимость сырья. Однако ценность попутного компонента всегда следует соотносить с дополнительными расходами на его выделение и учитывать возможность реализации дополнительной продукции.

Рассмотрим примеры, раскрывающие технологические свойства руд и их влияние на переработку минерального сырья (Ясковский, 2001).

Минеральный состав руд определяется присутствием полезных и породообразующих минералов, их количественными соотношениями, формами нахождения, характером парагенетических ассоциаций. Проблемы возникают, когда для выделения основных минералов приходится использовать разные обогатительные процессы. Например: для руд олова основными минералами являются касситерит, станнин, варламовит, гидростаннаты. Эффективно по гравитационной схеме обогащаются касситеритовые руды (плотность 7,0 г/см^3). Другие типы руд с минералами олова (плотность 3,8-4,7 г/см^3) относятся к группе труднообогатимых. Они требуют кроме гравитационного обогащения и других методов: флотации, магнитного и электрического обогащения, пирометаллургии.

Минеральный состав оказывает большое влияние на эффективность флотационного процесса. Хорошо обогащаются сульфиды Pb, Zn, Cu, Mo и плохо – их окисленные формы. Для молибденовых руд основным гипогенным минералом является молибденит – MoS_2, обладающий природными гидрофобными свойствами; но окисленные руды, представленные повеллитом – $CaMoO_4$, ферримолибдитом – $Fe_2O_3 \cdot 3MoO_3 \cdot 8H_2O$ и др., обогащаются с трудом. При этом получаются концентраты невысокого качества из-за легкой шламуемости гипергенных молибденовых минералов в процессе измельчения руды, близости флотационных свойств молибденовых и породообразующих минералов.

Химический состав руд определяется наличием полезных, вредных, петрогенных элементов (оксидов), их содержанием и соотношением, присутствием особенно химически активных форм. Для ряда месторождений схемы и показатели обогащения определяются содержанием элементов и их соотношением. Например, при переработке бокситовых руд для получения глинозема важнейшим является гидрохимический метод Байера. Его использование эффективно для высококачественных руд с кремниевым модулем $M_{si} = Al_2O_3 / SiO_2$ более 5-7. При низком значении M_{si} (высоком содержании SiO_2) руды перерабатываются по более дорогостоящей технологии методом спекания.

При добыче урана методом подземного выщелачивания используют в качестве растворителя кислоты (H_2SO_4). Чем больше карбонатность среды, тем значительней расход кислоты, сильнее проявляется явление кальматации, тем меньше извлечение урана

в продуктивные растворы. Поэтому при существенной карбонатности пород (более 2,0-2,5 % CO_2) извлечение урана с помощью кислоты неэффективно. Нужно переходить на другие схемы.

При характеристике технологических свойств минерального сырья необходим учет *текстурных особенностей руд*. Эти особенности обусловлены размером, формой и характером срастаний минеральных агрегатов. По признаку влияния текстур на процессы переработки минерального сырья их можно подразделить на благоприятные и неблагоприятные. *Благоприятные текстуры* характеризуются крупными размерами скоплений, однородным строением, простыми границами между агрегатами. Для таких руд наиболее эффективны процессы рудоподготовки. Обогащение не вызывает больших затруднений и позволяет получать высококачественные концентраты. *Неблагоприятные для обогащения текстуры* имеют небольшие размеры минеральных скоплений, неоднородное строение агрегатов, сложные и постепенно изменяющиеся границы между ними. Подобные руды требуют сложных, многостадийных процессов рудоподготовки и обогащения.

При изучении технологических свойств полезного ископаемого возможно выделение природных и технологических типов руд. В результате специальных исследований анализируется пространственное распределение этих типов, их геометризация в рамках *геолого-технологического картирования.*

Горно-геологические условия эксплуатации определяют возможность и экономическую целесообразность отработки месторождения с учетом современного состояния горной техники. Каждый выбранный способ разработки месторождения предъявляет свои требования к условиям залегания полезного ископаемого, крепости и устойчивости пород и руд, гидрогеологическим и инженерно-геологическим условиям месторождения.

Среди *способов разработки* месторождений выделяют геотехнологии (Ясковский, 2001): физико-техническая открытая, физико-техническая подземная, физико-химическая скважинная, комбинированная. В процессе эксплуатационных работ из-за неоднородности горно-геологической среды (извилистость границ рудного поля, прерывистости внутреннего строения, изменчивости свойств вмещающих пород) возникают эффекты разубоживания и потерь.

Разубоживание связано с примешиванием пустых пород к извлекаемой рудной массе. В результате засорения среднее содержание в добываемой рудной массе становится ниже, чем содержание в балансовых запасах. Отмеченный процесс характеризуется коэффициентом разубоживания: $Р = (С_н-С_д) / С_н \cdot 100$ %, где $С_н$ – содержание полезного компонента в балансовых рудах, $С_д$ – содержание в добытой рудной массе.

Потери возникают в процессе разработки месторождения потому, что извлечь полезное ископаемое удается не полностью. Часть запасов остается за контуром отработки. Величина потерь оценивается коэффициентом разубоживания: $П = (З_т-З_д) / 100$ %, где $З_т$ – запасы теряемые, $З_д$ – запасы добытые.

Каждый способ разработки имеет достоинства и недостатки. По данным П. П. Ясковского к ним относятся:

- открытая геотехнология – высокая производительность, но небольшие глубины отработки и существенный экономический ущерб;
- подземная геотехнология – отработка на больших глубинах, но значительные потери полезного ископаемого в недрах и тяжелые условия труда;
- скважинная геотехнология – возможность извлечения полезных компонентов в сложных горно-геологических условиях, но необходимы особые предпосылки для создания подвижных флюидов.

Достоинства и недостатки разных способов разработки тесно связаны с определенными горнотехническими условиями. К ним относятся:

а) *Глубина залегания* – один из важнейших горнотехнических показателей, определяющих способ добычи.

При малой глубине залегания применяется открытый способ добычи. Он позволяет развить большую производительность, обеспечить высокую эффективность, низкую себестоимость и более безопасные условия ведения горных работ. Экономическая эффективность добычи определяется коэффициентом вскрыши – отношением объемов (или масс) вскрыши и полезного ископаемого. Предельный коэффициент вскрыши и, соответственно, предельная глубина открытой разработки находится технико-экономическими расчетами. Максимально допустимый коэффициент вскрыши зависит от ценности полезного ископаемого и ориентировочно составляет: для строительных материалов 3 $м^3/м^3$, для углей 6 $м^3/м^3$, для черных металлов 10 $м^3/м^3$, для цветных металлов до 40 $м^3/м^3$. Глубина карьеров открытой добычи не превышает 500 м, но есть проекты глубиной до 700-800 м.

При глубоком залегании полезного ископаемого применяется подземный (шахтный) способ добычи. Он менее производительный и более дорогой по сравнению с открытым способом. Глубина работ колеблется от десятков метров до первых километров. К глубоким относятся шахты, отрабатывающие рудные тела на отметках от 600 (700) до 1000 (1200) м, к весьма глубоким – с глубиной от 1000 (1200) до 2500 м. С глубины 2500 м начинаются сверхглубокие шахты. Они достигнуты при эксплуатации золоторудных месторождений: Морроу-Велью (Бразилия, более 2500 м), Колар (Индия, более 3300 м), Витватерсранд (ЮАР, около 4000 м).

При проходке подземных горных выработок с глубиной увеличивается горное давление (в среднем 2,5 МПа на 100 м) и температура (в среднем 3 ^{0}С на 100 м). При подземной геотехнологии горное давление может проявляться в виде сдвижения, пучения. стреляния пород вплоть до горных ударов. С целью предотвращения горных ударов применяются специальные технологии выемки массива горных пород.

Условия залегания во многом определяют систему разработки месторождений (в первую очередь, подземной). По значению угла падения различают залегания горизонтальные и весьма пологие (0-5^0), пологие (5-25^0), наклонные (25-45^0), весьма крутые (60-90^0). Имеет значение и выдержанность угла падения в пределах блоков добычи руды. Если угол падения устойчивый, то независимо от его значения (0-90^0) залежь считается выдержанной.

Высокая степень тектонической нарушенности усложняет ведение горных работ. Наибольшие неприятности доставляют малоамплитудные разрывные нарушения, которые

не удается надежно выявлять в процессе разведки. Они приводят к повышению потерь и разубоживания руды при добыче, служат причиной неустойчивости и обрушения кровли, прорывов воды и т. д.

Более надежно при разведке выявляются крупные разрывные нарушения с амплитудой в десятки-сотни метров. Они служат естественными границами шахтных полей, участков, блоков добычи.

Мощность залежей является параметром, определяющим технологию добычи. В горном деле выделяются пять классов залежей: 1) тонкие 1,0-1,5 м; 2) средние от 1,0-1,5 до 3-4 м; 3) мощные от 3-4 до 8-10 м; 4) весьма мощные 10-50 м; 5) сверхмощные более 50 м. При изменении класса мощности возможно изменение системы разработки. Поэтому при разведке необходимо выделение геологически однородных блоков (ГОБов), которые заслуживают применения единой технологии добычи. ГОБы при этом приобретают статус технологически однородных блоков (ТОБов).

Кондиционным требованием, предъявляемым к залежам полезных ископаемых, является минимальная промышленная мощность. Она представляет собой минимальную мощность тела полезного ископаемого, при которой его разработка экономически выгодна. Выше этого значения мощность считается рабочей (или кондиционной), ниже – нерабочей (некондиционной). Так как мощность залежей меняется в пространстве, то внутри них могут появляться некондиционные участки или блоки, создавая прерывистость оруденения.

Инженерно-геологические и гидрогеологические условия играют существенную роль при проектировании и ведении горных работ (Поротов, 2004).

Физические свойства (скальные или слабосвязанные грунты), трещиноватость, расслоенность, наличие зон дробления, проявленная анизотропия свойств определяют устойчивость горных пород и руд при добыче сырья, а также размеры эксплуатационных блоков, значение углов откоса бортов карьера и т. д.

Обводненность месторождения определяется насыщенностью горных пород и руд подземными водами и зависит от совокупности факторов. К гидрогеологическим факторам относятся: количество водоносных горизонтов, условия их питания, фильтрационные свойства пород, оценка возможного водопритока в эксплуатационные выработки, состав и агрессивность подземных вод.

Инженерно-геологические факторы включают: проницаемость, набухаемость, размокаемость, коэффициент размягчения и др.

На месторождениях, где развиты карстовые процессы, существенную роль играют глубина и интенсивность развития карста. Выявляются зоны обводнения и поглощения воды, рассматривается возможность обрушения горных пород в зоны карста.

По результатам выполненных исследований должен быть сделан прогноз *экологических последствий* ведения горных работ, решен вопрос о необходимости и объеме природоохранных мероприятий.

Необходимо учитывать, что при ведении горных работ значительную площадь занимают отвалы или отходы горного предприятия. При необходимости следует предусматривать комплекс работ по укреплению отвалов, их рекультивации, очистке рудничных вод от вредных примесей и создании водохранилищ для их накопления.

Должны быть оценены последствия осушения окружающей территории вследствие понижения уровня подземных вод.

ФОРМЫ РУДНЫХ ТЕЛ

Форма рудных тел является одним из ведущих факторов, определяющих методику проектируемых разведочных работ.

По своей сути, форма рудных тел определяется соотношением трех параметров: длины по простиранию, длины по падению и мощности.

Обозначим длину по простиранию Дпр, длину по падению Дпад, мощность М. Тогда формы рудных тел при всем своем многообразии могут быть сведены к трем основным группам (рис. 6).

1. *Изометричные*, Дпр ≈ Дпад ≈ М. В эту группу относятся штоки и гнезда.

Штоки – рудные тела средних и мелких размеров, по форме близкие к цилиндру: изометричные или эллипсовидные в плане и столбообразные в разрезе.

Гнезда – небольшие изометричные тела, характерные для камнесамоцветного сырья, редких и благородных металлов.

2. *Плоские*, Дпр ≈ Дпад >> М. К плоским, или плитообразным телам относятся, в первую очередь, пласты и жилы.

Пласты – это согласные плитообразные тела. Залегают согласно, то есть параллельно вмещающим породам. Пласт соответствует осадочному слою. Выделяются также *пластообразные залежи,* которые отличаются от пластов меньшими размерами, а также меньшей выдержанностью.

Жилы – секущие плитообразные тела. Их границы пересекают контакты вмещающих пород. Жилы, как и магматические дайки, –тела выполнения трещин. Жилы могут быть простыми, а также сложными, ветвящимися и т. п.

3. *Линейные*, Дпр >> Дпад ≈ М или Дпад >> Дпр ≈ М. Эта группа объединяет рудные тела, вытянутые в одном направлении. Если преобладающим размером является длина по простиранию, образуются *рудные ленты*, типичные для речных (аллювиальных) россыпей. Если наибольший размер отвечает длине по падению, то рудные тела имеют столбообразную или трубообразную форму. *Рудные столбы и трубы* приурочены обычно к пересечениям разломов или к вулканическим жерлам.

Широким распространением для обозначения формы рудных тел пользуются в геологии термины «штокверк» и «линза».

Штокверк представляет собой минерализованный объем горных пород. Обычно это массивы магматических пород или их части, насыщенные многочисленными разноориентированными прожилками и вкрапленностью рудных минералов. Такие рудные тела не имеют естественных природных границ и оконтуриваются по данным опробования. Обычно штокверки имеют форму, близкую к изометричной. Однако нередко минерализованные зоны штокверкового типа, приуроченные к разрывным нарушениям (*линейный штокверк*; тогда их форма будет плоской или линейной.

Термин «*линза*» также не имеет однозначного морфологического содержания. Короткую и толстую линзу можно отождествить с гнездом. Плоские линзы соответствуют плоским рудным телам: согласным, если линза расположена параллельно контактам

вмещающих пород, и секущим, если линза залегает косо. Наконец, линзы могут вытягиваться в одном направлении, образуя линейные рудные тела.

Кроме того, нередко встречаются рудные тела сложной, или комбинированной формы. Обычно они представляют собой сочетания или комбинации тел, принадлежащих к разным группам. Наиболее распространены крестообразные, грибообразные, седловидные и пр.

ГРУППИРОВКА МЕСТОРОЖДЕНИЙ ПО СЛОЖНОСТИ ГЕОЛОГИЧЕСКОГО СТРОЕНИЯ ДЛЯ ЦЕЛЕЙ РАЗВЕДКИ

Установление принадлежности изучаемого месторождения к конкретному промышленному типу способствует выбору системы его разведки. Уже на стадии оценочных работ эта задача должна решаться. В то же время месторождения одного и того же промышленного типа нередко характеризуются разными размерами, формой рудных тел, разной сложностью внутреннего строения (минеральным составом, текстурно-структурными особенностями, типами и сортами руд, содержанием полезных и вредных компонентов). Для обоснования системы разведки, технических средств и методических приемов большое значение приобретает *группировка месторождений* по сложности геологического строения для целей разведки, учитывающая накопленный опыт их разведки и разработки (Комплексная …, 1990).

Впервые на необходимость группировки месторождений полезных ископаемых по сложности строения в зависимости от вычисленных значений коэффициентов вариации мощности и содержания полезных компонентов указано в работах В. М. Крейтера, Д. А. Зенкова, Н. В. Барышева, В. И. Красникова и др. В обобщенном виде группировка была предложена В. М. Крейтером в 1940 г. Все месторождения, исходя из учета формы и размеров рудных тел, разделены на пять групп (Крейтер, 1961): 1) пластовые и пластообразные тела, занимающие стратиграфический горизонт (или к нему приуроченные), и россыпи; 2) очень крупные залежи, неправильные тела и минерализованные массивы штокверкового и гнездового распределения, залегающие в разных крепких породах; 3) жило- и линзообразные тела в разных породах; 4) трубчатые и ветвящиеся залежи небольшого масштаба; 5) мелкие гнезда, штокверки, линзы, карманы и трубки в разных породах.

Разработанные В. М. Крейтером принципы группировки месторождений по факторам, определяющим методику их разведки, были положены в основу большинства последующих группировок и учитывались во всех поколениях инструкций ГКЗ СССР по применению классификации запасов. Они нашли отражение и в последнем опубликованном варианте группировок месторождений различных полезных ископаемых для целей разведки (Методические рекомендации…, 2007).

Многими авторами отмечалось, что принятые группировки базируются на качественных признаках, исходя из опыта разведки и разработки объектов. Например, геологическое строение простое, сложное, очень сложное; распределение полезных компонентов равномерное, неравномерное, крайне неравномерное. Поэтому установление группы сложности месторождения, основанное только на качественных критериях, во многих случаях оказывается спорным.

Группировку месторождений (или отдельных тел) полезных ископаемых по сложности геологического строения, основывающуюся на исследовании изменчивости их основных свойств, предложили В. И. Бирюков и М. Н. Денисов (1985). При этом рекомендуется использовать количественные показатели (табл.). Подобный подход отражен в последних вариантах группировки месторождений, предлагаемых ГКЗ в подготовленных Методических рекомендациях (2007). Так, при группировке месторождений железных руд рекомендуется использовать количественные характеристики основных свойств оруденения (табл.). Однако следует отметить, что значения таблиц характеризуют наибольшую степень разведанности месторождения или их частей перед началом эксплуатации. С уменьшением детальности изучения числовые значения признаков могут изменяться: q уменьшается с уменьшением числа наблюдений на прерывистых объектах; K_ρ и V меняются непредсказуемо: то в сторону увеличения, то в сторону уменьшения. В этом проявляется слабость классификационных числовых признаков. Совершенствование подобных группировок должно основываться на учете особенностей отдельных видов минерального сырья; внедрении геофизических методов исследований, учитывающих контрастность физических свойств рудных тел и вмещающих пород (Шевелев, 2004). Помимо этого, разрабатываемые группировки месторождений должны способствовать рациональному проведению всего геологоразведочного процесса – от проектирования работ до их завершения. Первый тип группировок – морфологический, его следует использовать при проектировании и производстве ранних стадий разведочного процесса. Второй тип, содержащийся в Методических рекомендациях ГКЗ, позволяет относить объект к определенной группе и определять необходимое соотношение разных категорий подсчитываемых запасов с учетом критерия предпринимательского риска.

На практике используется группировка месторождений по сложности геологического строения, предусмотренная Классификацией запасов…(2007). Согласно этому документу необходимая и достаточная степень разведанности запасов твердых полезных ископаемых определяется в зависимости от сложности геологического строения месторождений. По данному признаку месторождения подразделяются на следующие группы.

1-я группа. Месторождения (участки недр) простого геологического строения с крупными и весьма крупными, реже средними по размерам телами полезных ископаемых с ненарушенным или слабо нарушенным залеганием. Характеризуются устойчивой мощностью и внутренним строением, выдержанным качеством полезного ископаемого, равномерным распределением основных ценных компонентов. В процессе разведки возможно выделение запасов категорий A, B, C_1 и C_2. Примеры месторождений: Джезказганское и Коунрадское меднорудные; Талнахское медно-никелевое; Никопольское и Чиатурское марганцевых руд; Лисаковское и Аятское железорудные и др.

2-я группа. Месторождения (участки недр) сложного геологического строения с крупными и средними по размерам телами с нарушенным залеганием, неустойчивыми мощностью и внутренним строением, либо невыдержанным качеством полезного ископаемого и неравномерным распределением основных ценных компонентов. Ко 2-ой группе также относятся месторождения углей, ископаемых солей и других полезных

ископаемых простого геологического строения, но со сложными горно-геологическими условиями разработки. В процессе разведки возможно выделение запасов категорий *B*, C_1 и C_2. Примеры месторождений: Гайское, Сибайское, Учалинское меднорудные; Кальинское и Черемуховское бокситов; Гусевогорское и Качканарское титано-магнетитовых руд и др.

3-я группа. Месторождения (участки недр) очень сложного строения со средними и мелкими по размерам телами полезного ископаемого с интенсивно нарушенным залеганием, изменчивыми мощностью и внутренним строением, невыдержанным качеством и неравномерным распределением основных ценных компонентов. Запасы разведуются по категориям C_1 и C_2. Примеры месторождений: Красногвардейское, Октябрьское, Тарньерское медных руд; Мугайское, Аятское бокситов; Садовское, Рубцовское свинцово-цинковых руд; Удерейское сурьмяное; большинство золоторудных месторождений.

4-я группа. Месторождения (участки недр) с мелкими, средними по размерам телами с чрезвычайно нарушенным залеганием и резкой изменчивостью мощности и внутреннего строения, крайне неравномерным качеством полезного ископаемого, прерывистым гнездовым распределением основных ценных компонентов. Запасы разведуются преимущественно по категории C_2. Примеры: месторождения пьезооптического кварца, оптического кальцита; камнесамоцветного сырья; Ховуаксинское кобальтовое; Актайское ртутное; Шахтаминское молибденовых руд, Чорух-Дайронское вольфрамовых руд и др.

Согласно утвержденной Классификации (2007) регламентированное соотношение запасов разных категорий на разведанных месторождениях полезных ископаемых в настоящее время не требуется: это соотношение определяет владелец лицензий самостоятельно с учетом планируемого предпринимательского риска.

По степени изученности месторождения подразделяются на разведанные и оцененные.

К разведанным относятся месторождения (участки недр), запасы которых, качество, технологические свойства, гидрогеологические и горнотехнические условия разработки изучены по скважинам и горным выработкам с полнотой, достаточной для технико-экономического обоснования их вовлечения в промышленное освоение в установленном порядке. Разведанные месторождения по степени изученности должны удовлетворять следующим требованиям:

- обеспечивается возможность квалификации запасов по категориям, соответствующим группе сложности геологического строения месторождения;
- вещественный состав и технологические свойства промышленных типов и сортов полезного ископаемого изучены с детальностью, достаточной для проектирования рациональной технологии их переработки с комплексным извлечением полезных компонентов (имеющих промышленное значение) и определения направления использования отходов производства или оптимального варианта их складирования или захоронения;
- запасы других совместно залегающих полезных ископаемых (породы вскрыши, подземные воды, отнесенные на основании кондиций к балансовым), изучены и оценены в

степени, достаточной для определения их количества и возможных направлений использования;
- гидрогеологические и инженерно-геологические, горно-геологические и другие природные условия изучены с детальностью, обеспечивающей получение исходных данных, необходимых для составления проекта разработки месторождения с учетом требований природоохранного законодательства и безопасности горных работ;
- достоверность данных о геологическом строении, условиях залегания и морфологии тел полезного ископаемого, качестве и количестве запасов подтверждены на представительных для месторождения участках детализации;
- подсчетные параметры кондиций установлены на основании ТЭР, позволяющих определить масштаб и промышленную значимость месторождения с необходимой степенью достоверности;
- рассмотрено возможное влияние разработки месторождения на окружающую среду; даны рекомендации по снижению прогнозируемого уровня отрицательных экологических последствий.

К оцененным относятся месторождения, запасы которых, их качество, технологические свойства, гидрогеологические и горнотехнические условия разработки изучены в степени, позволяющей обосновать целесообразность дальнейшей разведки и разработки. По степени изученности они должны удовлетворять следующим требованиям:
- обеспечивается возможность квалификации всех или большей части запасов по категории C_2;
- вещественный состав и технологические свойства полезного ископаемого оценены с полнотой, необходимой для выбора принципиальной технологической схемы переработки, обеспечивающей рациональное и комплексное использование полезного ископаемого;
- гидрогеологические, инженерно-геологические и другие природные условия изучены с полнотой, позволяющей предварительно охарактеризовать их основные показатели;
- достоверность данных о геологическом строении, условиях залегания и морфологии тел полезного ископаемого подтверждена на участках детализации; подсчетные параметры кондиций установлены на основании укрупненных ТЭР или приняты по аналогии с месторождениями, находящимися в сходных горно-геологических условиях;
- оценено возможное влияние отработки месторождения на окружающую среду.

НЕОДНОРОДНОСТЬ МИНЕРАЛИЗОВАННЫХ НЕДР, ИЗМЕНЧИВОСТЬ СВОЙСТВ ПОЛЕЗНЫХ ИСКОПАЕМЫХ И СПОСОБЫ ЕЁ ИЗУЧЕНИЯ

Исследование неоднородности скоплений полезных ископаемых

При изучении минерализованных участков недр как объектов разведки используется *концепция относительной элементарности.* В соответствие с этой концепцией объект исследования рассматривается в качестве сложной системы, состоящей из множества условно неделимых элементов и объединенных между собой совокупностью условно неделимых связей (Каждан, 1979). Выяснение взаимосвязи и

пространственных взаимоотношений элементов неоднородности системы обеспечивает понимание ее структуры.

В изучаемой системе каждый элемент представляет условно неделимую структурную единицу. Однако абсолютно неделимых структурных элементов в действительности нет. Концепция относительной элементарности приводит к представлению о строении материального мира, в том числе, геологических объектов, как об иерархии структурных уровней материи с наличием множества дискретных, условно неделимых структурных единиц в пределах каждого из них.

При детализации наблюдений выявляется неоднородность ранее выделенных условно неделимых структурных элементов и появляется возможность расчленения их на более мелкие единицы. Они характеризуют неоднородность изучаемого объекта уже на более детальном структурном уровне.

При решении геологоразведочных проблем задача сводится к изучению неоднородности природных скоплений полезных ископаемых, их структуры и анизотропии строения как основы для выяснения *изменчивости важнейших свойств полезного ископаемого в недрах*. Познание изменчивости геологических, технологических и горнотехнических свойств определяет обоснование методики разведочных работ, влияет на их последовательность, геолого-экономическую оценку месторождений, эффективность технологии разработки и переработки минерального сырья.

А. Б. Каждан (1974) предлагает при изучении рудоносных территорий выделять шесть последовательных структурных уровней строения минерализованных недр:
- минерализованной зоны (толщи);
- тела полезного ископаемого;
- морфологически обособленного участка тела полезного ископаемого;
- локального обособления участка тела полезного ископаемого (рудного гнезда);
- минерального агрегата;
- минерального зерна или кристалла полезного минерала.

На рис. 7 показана модель одного из флюоритовых месторождений, где отражены разные природно-структурные уровни проявленной минерализации (Каждан, 1977).

Позднее при рассмотрении вопроса о *системном подходе к изучению недр* А. Б. Каждан (1984) предложил задействовать в практике прогнозно-металлогенических исследований развернутую иерархию структурных уровней минерализованных участков недр, включающую большее количество структурно-однородных единиц (от региональных к локальным). Эта систематика призвана обеспечить возможность создания геологических моделей развития рудообразующих процессов при любых масштабах исследования территорий. Выделены следующие уровни строения:
- металлогеническая провинция;
- металлогеническая область;
- рудный район;
- рудный узел;
- рудное поле;
- месторождение полезного ископаемого;
- продуктивная (минерализованная) зона (толща) полезного ископаемого;

- продуктивная залежь (тело) полезного ископаемого;
- морфологически обособленный участок (блок) залежи полезного ископаемого;
- локальное скопление полезного ископаемого (объем селекции или добычи);
- минеральный агрегат, состоящий из зерен полезного минерала;
- зерно, кристалл или обломок полезного минерала.

Отмечено, что количество выделяемых в процессе разведки последовательных уровней может быть изменено в зависимости от целей и задач исследований и от совокупности изучаемых свойств полезного ископаемого.

При обосновании шага опробования, размеров отбираемых проб и расстояний между пунктами наблюдений определяющее значение приобретает исследование соотношений линейных элементов неоднородности (Каждан, 1977; Четвериков, 1984; Шевелев, 2004). Смысл этого утверждения заключается в том, что строение одного и того же природного скопления полезного ископаемого может быть оценено как *однородное* при достаточно больших размерах проб и как *неоднородное* при размерах проб, уменьшенных до определенного предела (рис. 8). При изучении штокверка «длинными» пробами строение штокверка представляется как однородное. Если же уменьшить длину пробы, то строение штокверка следует признать неоднородным.

Учитывая соотношение размеров элементов неоднородности и линейных размеров проб предлагается выделять *три типа неоднородности:*
- неоднородность высшего порядка – линейные размеры элементов неоднородности во много раз меньше линейных размеров проб, а общее их число в каждой пробе очень велико;
- эффективную неоднородность – линейные размеры элементов неоднородности примерно на порядок меньше линейных размеров проб, а их число в объеме пробы сравнительно невелико (последние десятки – первые сотни);
- неоднородность низкого порядка – линейные размеры элементов неоднородности превосходят размеры проб.

Изменчивость свойств полезных ископаемых

Неоднородность природных скоплений полезных ископаемых проявляется в *изменчивости их свойств.* Под изменчивостью понимается непостоянство значений признаков в разных точках пространства. На основе количественных характеристик изменчивости свойств полезных ископаемых решаются основные методические вопросы поисков, разведки, опробования и геолого-экономической оценки месторождений полезных ископаемых (Каждан, 1977, 1984). Если бы изменчивость себя не проявляла, то одно единственное наблюдение в любой точке (например, разведочное пересечение) давало бы полное и точное представление обо всем изученном объекте.

При дискретной сети наблюдений геологическая неоднородность низшего порядка проявляется как случайная, так и как неслучайная пространственная изменчивость изучаемого свойства, но чаще всего – как сумма обеих составляющих изменчивости.

Для *случайной изменчивости* характерна независимость друг от друга значений признака, наблюдаемого в разных точках залежи (в том числе и смежных). Они не зависят от расстояния между пунктами наблюдений и имеют по всем направлениям характер

случайных беспорядочных колебаний (рис. 9 б). Случайная изменчивость может быть количественно охарактеризована методами вариационной статистики случайных величин.

Под неслучайной изменчивостью (закономерной) понимают характеристику закономерностей пространственного размещения изучаемого свойства в некотором объеме недр. Определяющим свойством неслучайной изменчивости является наличие плавных колебаний значений признаки и постоянство знака приращения на протяжении изучаемого отрезка недр. Поскольку закономерная изменчивость связана с пространственным положением пунктов наблюдения, то её называют *координированной* (рис. 9а).

В реальных условиях всегда наблюдается сочетание случайной и закономерной изменчивости в разных пропорциях. В зависимости от их сочетаний предложено выделять три градации изменчивости (Поротов, 2004): простая – преобладает закономерная изменчивость на фоне случайных колебаний; сложная – закономерная и случайная изменчивость присутствуют приблизительно в равных отношениях; весьма сложная – преобладает случайная изменчивость, а закономерная составляющая проявлена лишь в виде тенденции. Составляющая случайной изменчивости оказывает непосредственное влияние на статистическую оценку средних характеристик изучаемого свойства, определяя число наблюдений, необходимое для достижения желаемой достоверности средних оценок. Однако в практике разведки в первую очередь геологов интересует пространственная изменчивость важнейших свойств, которая может быть выражена только ее неслучайной составляющей. Неслучайная изменчивость позволяет оценить характер *анизотропии свойств* полезного ископаемого и выдержанность его строения по разным направлениям в пространстве. Направление, по которому устанавливается максимальная или минимальная скорость изменения изучаемых свойств, носит название *оси анизотропии.*

Анизотропия проявляется в результате упорядоченности пространственного размещения геолого-структурных элементов – зерен, минералов, минеральных агрегатов, располагающихся по слоистости, сланцеватости, зон трещиноватости и т. д. Характеристика анизотропии служит основой для ориентировки сети наблюдений и выбора расстояний между смежными точками по каждому из наблюдаемых направлений.

Мерой анизотропии I служит отношение среднего числа n элементов неоднородности, пересекаемых линиями, проведенными в заданном направлении, к длинам этих линий l в пределах изучаемого объема полезного ископаемого: $I = n / l$ (Каждан, 1984). Наиболее широко распространены скопления полезных ископаемых, имеющих три взаимно ортогональных направления анизотропии: жилы, россыпи, многие пластовые и пластообразные тела и залежи. В них направление максимальной изменчивости свойств совпадает с направлением мощности, а направление минимальной изменчивости – с их вытянутостью. Промежуточное по значению направление изменчивости совпадает с шириной залежей.

Реже встречаются трубообразные и изометричные линзообразные скопления полезных ископаемых, имеющих два направления анизотропии. В них выделяется круговое сечение, перпендикулярное к длинной или к короткой оси. В плоскости

кругового сечения изучаемые свойства близки к изотропным. Второе направление анизотропии совпадает с направлением оси.

Примерами изотропных скоплений полезных ископаемых являются изометрические штокверки цветных и редких металлов.

Таким образом, анизотропия и неоднородность строения природных объектов тесно взаимосвязаны и представляют собой разные формы проявления структуры изучаемых геологических образований. В то же время анизотропия любого порядка может быть выявлена в том случае, если совокупность элементов, создающих анизотропию, укладывается в размеры пробы. Большое значение имеет также учет пространственного расположения пунктов наблюдений. Чем выше природная неоднородность строения и изменчивость полезных ископаемых, тем более локальной должна быть система наблюдений при их разведке и более значительными размеры или объем отбираемых проб.

Природная изменчивость свойств полезных ископаемых представляет явление сложного и многопланового характера. Задача полного количественного описания ее практически не выполнима. Поэтому следует отличать понятие *природной изменчивости* свойств полезных ископаемых от понятия их *наблюдаемой изменчивости* по результатам геологоразведочных работ (Каждан, 1984).

Завершая обзор подходов к изучению изменчивости, приведем высказывание (Шевелев, 2004): «Как бы детально и технически качественно не производилась разведка, создаваемая на ее основе эмпирическая модель разведуемых объектов недр, является приближенным отражением действительности. Если методика разведки выбрана несоответствующей особенностям разведуемого объекта, то никакими формальными приемами и способами последующего анализа и обработки (включая применение математики и ЭВМ) нельзя исправить или уменьшить возникающие ошибки».

Способы изучения изменчивости

Способы анализа выявленной изменчивости разнообразны. Их условно можно объединить в две группы – геологические и математические. В основе каждой группы лежит выбранный тип моделей, используемых для отображения изменчивости параметров объекта.

Геологические способы.

Для отражения геологических представлений изучаемых объектов и наблюдаемых признаков используют разные виды графических (геометрических) моделей (Каждан, 1974, 1984; Поротов, 2004). Эти модели являются плоскостными графическими материалами или объемно-макетными (скульптурного, рельефного, скелетного и др. типов). Примерами плоскостных моделей являются планы в изолиниях (мощности, содержаний, метропроцентов и др.), гипсометрические и погоризонтальные планы, разного вида графики по направлениям, проекции рудных скоплений на вертикальные или горизонтальные плоскости и т. д. На графических материалах отображаются степень, характер и структура изменчивости параметров месторождения или их совокупность по определенным сочетаниям, площадям. Надежная геологическая обоснованность и наглядность моделей делают их незаменимыми при изучении и прогнозировании изменчивости геологических объектов. Они остаются ведущим способом обоснования

системы разведки месторождений. Одной из разновидностей графических моделей являются блок-диаграммы, обеспечивающие наглядное пространственное представление о геологическом строении рудных полей, месторождений, участков (рис. 10).

Геологическое моделирование представляет сложную творческую задачу, допускающую порой несколько разных решений (Поротов, 2004). Причины этого – сложность геологических процессов, которые чаще всего остаются не познанными; дискретность сети наблюдений. Изученные объемы руд и горных пород малы по сравнению с объектами, на которые распространяются результаты наблюдений. Поэтому неизбежно возникают проблемы разработки более достоверных геологических моделей.

Графические модели обеспечивают лишь качественную оценку условий залегания, формы, строения природных скоплений полезных ископаемых и отражают упрощенное представление о характере и пространственной изменчивости свойств. Поэтому математическое обоснование геологических моделей, математический анализ изменчивости геолого-промышленных параметров выбранной модели становится необходимым. Приступить к математическому моделированию можно только создав удовлетворительную геологическую модель объекта. Геологическая модель должна отражать разделение объекта на блоки с разными типами изменчивости, тектонические смещения рудных тел, первичную и вторичную зональность и иные особенности. Игнорирование этих признаков объекта делает последующую математическую оценку изменчивости не корректной.

Математические способы

Математические методы, применяемые для изучения и прогноза изменчивости параметров геологических объектов, многочисленны и разнообразны. Задачей настоящего обзора является: дать общее представление об основных направлениях математического моделирования в рамках рассматриваемой проблемы; кратко охарактеризовать наиболее распространенные математические способы изучения изменчивости; указать области их применения и практическую значимость получаемых результатов (Поротов, 2004).

Вопросы математического моделирования широко освещены в многочисленных научных публикациях и учебной литературе. Эта информация отражена в учебниках и учебных пособиях (Каждан, 1974, 1984, 1990; Погребицкий и др., 1977; Поротов, 2004; Волков, 2006 др.). Более подробно проблемы изучения изменчивости параметров месторождений рассматриваются в специальных дисциплинах: «Математические методы моделирования в геологии», «Геометризация и анализ геологических полей», «Основы компьютерных технологий решения геологических задач».

Считается, что геологические объекты относятся к «плохо организованным природным системам». Они не поддаются точному количественному описанию и, как правило, взаимосвязь между их параметрами не может быть выражена строгими законами. Приходится создавать модель, дающую лишь приближенное представление о строении объекта и протекавших в объеме залежей рудообразующих процессах. Чем более точные представления будут получены исследователями об изучаемом объекте, тем объективнее будет подобрана соответствующая его особенностям цифровая модель, более надежные и представительные результаты получены при анализе материалов.

На базе геологических моделей созданы разные математические модели. Кратко охарактеризуем лишь некоторых из них:

- статистическая модель;
- геостатистическая модель;
- модели на основе случайной функции;
- разностные модели;
- геометро-статистическая модель.

Статистические модели. Их использование целесообразно, если в наблюдаемой изменчивости признака практически отсутствует закономерная составляющая и, следовательно, геометризация признака в изучаемом объеме недр практически невозможна.

Применение одномерной статистической модели основано на предположении о независимости значений изучаемого признака. В общем случае можно лишь считать, что чем выше степень изменчивости признака, тем полученные результаты ближе к статистической совокупности. Опыт показывает, что формулы математической статистики дают достаточно достоверные результаты при изучении изменчивости месторождений золота, платины, алмазов, редких и отчасти цветных металлов, мусковита и др., но оказываются ненадежными при оценке изменчивости залежей многих осадочных полезных ископаемых.

В практике разведочных работ одномерные статистические модели используются, главным образом, для численной оценки степени изменчивости геолого-промышленных параметров тел полезных ископаемых и месторождений, а также оценки точности полученных результатов. Важнейшими характеристиками таких моделей являются среднее значение изучаемого параметра $x_{ср}$, дисперсия s^2, среднеквадратичное отклонение s и коэффициент вариации V.

Поскольку у реальных геологических объектов обычно проявлено сочетание случайной и закономерной составляющих изменчивости, статистические модели, считающие все изменения случайными, показывают завышенную оценку. Во избежание этого необходимо выделять и исключать закономерную составляющую и рассчитывать коэффициент вариации только по данным выделенной случайной составляющей изменчивости.

При разведке месторождений выборки чаще всего характеризуются небольшими объемами. Поэтому оценку среднего значения оцениваемого параметра можно рассматривать как случайную величину, не соответствующую математическому ожиданию. Последнее и представляет собой истинное среднее значение этого параметра для генеральной совокупности – геологического объекта в целом. Поэтому одной из решаемых задач является выбор лучшего способа вычисления этой оценки и определение степени ее точности.

Статистические оценки могут быть точечными (выражены определенным числом) и интервальными (указывается интервал значений, в пределах которого находится истинное значение величины при заданной вероятности этого события) (Каждан, 1984).

При сравнении изменчивости параметров разной размерности наряду с абсолютной используют относительную величину (коэффициент вариации), обычно выражаемую в процентах:

$$V = (\frac{\sigma}{x_{\text{ср}}}) \cdot 100$$

Использование коэффициента вариации при оценке изменчивости имеет смысл в тех случаях, когда необходимо рассчитать средние значения геолого-промышленных параметров и погрешности их определения. Поэтому статистическая модель обычно применяется для изучения изменчивости содержания компонентов в рудах и мощностей тел полезных ископаемых, но она не эффективна при анализе условий залегания этих тел, их внутреннего строения и изменчивости качества нерудных полезных ископаемых (известняк, доломит, гипс и др.).

Геостатистическая модель. Предложена Ж. Матероном (Матерон, 1968) в шестидесятых годах прошлого столетия. Основана на предположении, что результаты наблюдений зависят от расположения пунктов наблюдений. При смещении начального пункта наблюдений результаты измерений меняются. По этой причине их рассматривают как случайные величины. При этом средний квадрат разности измеренных значений зависит только от расстояния между пунктами наблюдений.

Основной инструмент геостатистики – вариограмма – используется для анализа и описания пространственной корреляционной структуры между произвольно размещенными реальными данными наблюдений. Вариограмма измеряет степень корреляционной связи между пробами в пространстве. Она обычно характеризуется 3-мя главными параметрами (рис. 11).

- *Эффект самородка* – это случайная составляющая дисперсии проб, которая показывает насколько велико различие содержаний в очень близко расположенных образцах. Величина эффекта самородка зависит от сети опробования месторождения и степени ее изменчивости. Название этого параметра введено при оценке месторождений золота, где часто встречаются непредсказуемые «ураганные» содержания металла.
- *Порог вариограммы* – это величина дисперсии проб. Когда вариограмма достигает порога, она часто выполаживается и больше не растет.
- *Зона влияния* – это максимальное расстояние, на котором между пробами еще существует корреляция. На меньших расстояниях (с определенной долей вероятности) можно предсказать содержание в точке массива по данным опробования, а на больших дистанциях – не имеем права. Вариограмма достигает порога на расстоянии, равном зоне влияния. На графике – это расстояние по оси абсцисс от начала координат до точки пересечения теоретической вариограммы с линий порога.

Вариограмма рассчитывается как сумма квадратов разности содержаний между пробами, отстоящими друг от друга на расстоянии h, отнесенная к удвоенному числу пар проб. Функция экспериментальной вариограммы имеет следующий вид:

$$\gamma(h) = \frac{\sum\left(C_i - C_{(i+h)}\right)^2}{2N},$$

где C_i – содержание элемента в точке i,

$C_{(i+h)}$ – содержание элемента в точке, отстоящей на расстояние h от «i» пробы.

Анализ вариограмм необходим для изучения пространственной неоднородности минерализации и расчета исходных параметров для оценки содержаний с помощью кригинга. Выполнение подобных исследований оправдано в тех случаях, когда предполагается наличие на месторождении жильных тел или рудных зон, прослеженных на значительные расстояния, а также если месторождение характеризуется рассеянной минерализацией с неопределенным типом анизотропии. В прикладном плане знание параметров пространственной изменчивости рудной минерализации дает возможность существенно сэкономить средства на разведочные работы, так как наличие вариограмм позволяет уверенно рассчитывать уровень содержаний между буровыми скважинами без дополнительного сгущения буровой сети, а также обосновывать оптимальную густоту разведочной сети. Выявленные закономерности распределения полезных компонентов в пространстве позволяют более надежно интерполировать значения содержаний, оценивать достоверность запасов.

Расстояние, на котором достигается порог (зона влияния), может меняться в зависимости от направления, вдоль которого оценивалась вариограмма. Например, в случае пластовой залежи изменчивость содержаний по простиранию пласта будет меньше, нежели вкрест простирания. Этот феномен называется геометрической (или дирекционной) анизотропией минерализации (Поротов, 2004). В случае если в разных направлениях вариограммы имеют разный порог, анизотропия называется зональной.

При моделировании вариограммы необходимо выбрать соответствующий тип модели. Существуют следующие основные типы вариограммы: линейная, общая линейная (линейные графики), сферическая, экспоненциальная, гауссова, с дырочным эффектом (криволинейные графики). Чаще всего используют сферическую или экспоненциальную модели (рис. 12).

Исследование пространственной изменчивости содержаний полезного компонента с помощью геостатистической модели проведено на одном из золоторудных месторождений Казахстана. Работа выполнена студентом-дипломником М. А. Дресвянниковым (2017). При обобщении материала за основу взята концепция, что традиционными рудоконтролирующими для золотого оруденения считаются структуры северо-восточного направления. Поэтому все первичные геохимические ореолы привязывались к ним, в том числе и ореолы золота.

Для анализа пространственного распределения золота с помощью программы LeapFrogGeo построены 3D модели, отражающие пространственное распределение содержаний золота. В результате на месторождении выделено 6 зон по преобладающему направлению простирания минерализованных зон (рис. 13).

По каждой выделенной зоне рассчитывались экспериментальные вариограммы. Для более наглядного представления построены поверхности вариограмм, представляющие собой розы-диаграммы, на которых в зависимости от направления и расстояния вынесены значения функции вариограммы (γ). На рис.14-16 интенсивность закраски отражает изменение значений дисперсии, приведенные к шкале; стрелками показаны направления минимальной изменчивости золота. В первой зоне (рис. 13) северо-восточное направление минимальной изменчивости соответствует вытянутости рудоносной зоны. Зона 2, находящаяся в центральной части месторождения, уже имеет

изотропное строение (рис. 15), которое может быть объяснено пересечением двух преобладающих на месторождении направлений распространения золоторудной минерализации (северо-западного и северо-восточного). В третьей зоне (рис. 16) направление изменчивости изменяется на противоположное, характерное для дисперсии первого участка. В целом, горизонтальные вариограммы подтверждают данные, полученные при моделировании рудной зоны. Зоны 1, 4 и 5 имеют минимальные значения дисперсии в северо-восточном направлении, зоны 3 и 6 – северо-западное, 2-ая зона – изотропна по значениям изменчивости.

Выявление в результате геостатистического моделирования «нового» структурного направления (северо-западного) (рис. 16) позволило запроектировать золотодобывающей компании в этой зоне продолжение геологоразведочных работ (в рамках доразведки северо-западного фланга месторождения).

Модели на основе случайных функций могут быть использованы для количественного описания изменчивости признака (пространственной переменной) в зависимости от местоположения пунктов наблюдений. В основе модели лежит гипотеза, что значение признака является случайной функцией координат.

$$\varphi(x) = m(x) + \delta(x).$$

Случайная функция состоит из двух частей: закономерной $m(x)$ и случайной $\delta(x)$ составляющих (рис. 17).

Закономерную часть называют математическим ожиданием случайной функции. Значения случайной функции, получаемые в результате эксперимента и заранее неизвестные, называются ее реализацией. Основными характеристиками случайной функции $j(x)$ являются ее математическое ожидание, дисперсия случайной составляющей, автоковариационная и автокорреляционная функции.

Математическое ожидание $m(x)$ представляет собой наиболее вероятное значение случайной функции в точках x. Дисперсия случайной составляющей D выражается формулой:

$$D = \frac{1}{n}\sum_{i=1}^{n}\delta(x_i)$$

Автоковариационная функция $K(h)$ представляет собой среднее произведение соседних отклонений на расстоянии h:

$$K(h) = \frac{1}{m}\sum_{i=1}^{m}[\delta(x_i + h)\delta(x_i)]^2 ,$$

где n – количество наблюдений; m – количество пар соседних отклонений.

Автокорреляционная функция $r(h)$ представляет собой отношение автоковариационной функции к дисперсии:

$$r(h) = K(h)/D.$$

Сложность применения случайных функций состоит в том, что результаты геологических наблюдений представляют собой, как правило, лишь одну ее реализацию. Характеристики случайной функции можно найти либо тогда, когда она является стационарной и эргодичной, либо при введении дополнительных гипотез.

Стационарной называют случайную функцию, у которой характеристики не меняются при сдвиге сети наблюдений. Она имеет постоянные математическое ожидание и дисперсию, а корреляционная функция ее зависит лишь от расстояния h между соседними пунктами наблюдения, т. е. по существу является функцией одного аргумента. *Эргодичной* именуют стационарную случайную функцию, одна реализация которой на большом интервале эквивалентна большому числу реализаций на малом интервале.

Модель на основе стационарной случайной функции предполагает, что математическое ожидание – величина постоянная, т. е. закономерные изменения признака в пространстве отсутствуют. Тогда математическое ожидание (оценка математического ожидания) равно среднему значению признака: $m(x) = j_{ср}$, а случайные отклонения находят по формуле $d(x) = j(x) - j_{ср}$. Дисперсия, автоковариационная и автокорреляционная функции вычисляются по формулам, приведенным выше.

Из перечисленных характеристик наибольший интерес представляет *автокорреляционная функция* $r(h)$, которая показывает степень связи соседних значений признака в зависимости от шага наблюдений h. При $h = 0$ корреляционная функция $r = 1$; с увеличением шага наблюдений значение r убывает и стремится к нулю. Предельный шаг наблюдений, при котором коэффициент автокорреляции становится неотличимым от нуля, называется радиусом автокорреляции R. Он соответствует максимальному расстоянию, на котором еще обнаруживается взаимосвязь соседних наблюдений (рис. 18).

На практике автокорреляционная функция вычисляется по дискретным данным и изображается ломаной линией. За радиус автокорреляции обычно принимают тот шаг, при котором линия автокорреляции первый раз пересекает линию абсцисс.

Автокорреляционная функция зависит от направлений изучения изменчивости параметров и поэтому дает представление об анизотропии залежей. Чем больше радиус автокорреляции в заданном направлении, тем медленнее меняется значение параметра и меньше его изменчивость. Если значение радиуса автокорреляции одинаково по всем направлениям, то геологический объект является изотропным.

Радиус автокорреляции характеризует средний размер области влияния одного наблюдения, что используется при обосновании плотности разведочной сети. Для надежного установления поведения параметра между пунктами наблюдений необходимо, чтобы расстояние между ними не превышало двух радиусов, т. е. области влияния соседних наблюдений перекрывались.

Отметим, что характеристики стационарной случайной функции отражают достоверную картину лишь при отсутствии периодичности в изменении признаков. Они должны быть согласованы с периодами, сопоставимыми с размерами изучаемого объекта. В противном случае (ритмичность разреза, периодичность появления рудных столбов или разрывных нарушений и т. д.) требуется выявление периодов и амплитуд периодической изменчивости и вычитание ее из реализации случайной функции, чтобы значения параметра привести к стационарному виду.

Различия между геостатистической моделью и моделями типа случайных функций заключается в том, что предметом изучения геостатистики служит исследование расхождений между оцениваемой величиной Q и ее оценкой q. Сама пространственная

переменная рассматривается как детерминированная функция, а вероятностный подход проявляется только при оценке расхождения ε=*Q* - *q*.

При использовании моделей типа случайных функций предметом исследования являются природные скопления полезных ископаемых и их свойства в недрах, а в качестве случайных величин рассматриваются не дисперсии оценок, а значения всех наблюдаемых свойств. В строении полезных ископаемых выявляются элементы их неоднородности, а характеристики изменчивости изучаемых свойств оцениваются не в заведомо заданных объемах недр, а на том структурном уровне, который выявляется принятой сетью наблюдений.

Разностные модели изменчивости основаны на изучении приращений значений признака между соседними точками наблюдения и имеют целью исключение влияния закономерной составляющей изменчивости для более правильной характеристики случайной изменчивости.

Модель со вторыми разностями впервые предложена Д. А. Казаковским (Казаковский, 1948) и нашла широкое практическое применение. Метод Д. А. Казаковского разработан для правильных квадратных сетей и позволяет оценивать изменчивость геолого-промышленных параметров, которые могут быть изображены в виде топографических поверхностей, главным образом для изучения изменчивости мощности тел полезных ископаемых. Сначала вычисляют первые разности значений признака по соседним точкам:

$$\Delta'_t = \varphi_{i+1} - \varphi_i$$

а затем находят вторые разности как приращения соседних первых разностей:

$$\Delta'_t = \Delta'_{i+1} - \Delta' = \varphi_{i+1} + \varphi_{i+2} \ .$$

Абсолютной мерой изменчивости является показатель сложности топографической поверхности μ_a, который представляет собой среднее значение абсолютной величины вторых разностей:

$$\mu_a = \frac{1}{k}\sum_{i=1}^{k} |\Delta_t^m| \ ,$$

где *k* – количество вторых разностей.

Относительная изменчивость признака оценивается с помощью показателя изменчивости *m*, который представляет собой выраженное в долях единицы отношение показателя сложности поверхности *m* к среднему значению изучаемого параметра $j_{ср}$.

Геометро-статистическая модель. Основоположником горно-геометрического моделирования является П. К. Соболевский. В основе созданной им модели лежит представление о функциональных связях наблюдаемых свойств с пространственными координатами. Позже его идеи нашли отражение в геометро-статистической модели, разработанной В. Ф. Мягковым (Мягков и др., 1986).

Частные значения характеристик реального поля в точках пространства неоднородны по своему составу. Они представляют собой алгебраическую сумму двух величин, называемых регулярной и случайной составляющими (компонентами) поля $U_i = f(x_i) + \delta_i$ (одномерный вариант), где *Ui* – значение переменной в *i*-той точке пространства

с координатами x_i; $f(x_i)$ – значение регулярной (или закономерной) составляющей; δ_i – значение случайной составляющей (рис. 19).

Регулярной (или закономерной) составляющей поля называется детерминированная компонента, фиксирующая направленность изменения изучаемого свойства в пространстве геологического объекта. Например, закономерность выклинивания линзообразного рудного тела от центра к периферии залежи.

Случайной компонентной поля называется составляющая, обусловливающая флуктуацию ее значений относительно детерминированной переменной. Ее наличие определяется влиянием как геологических, так и технологических факторов. Например, флуктуация мощности относительно генеральной тенденции к выклиниванию линзовидного тела от центра к периферии в случае экзогенного месторождения обусловлена не только неровностями дна бассейна седиментации, но и погрешностями принятого способа измерений.

Количественное описание наблюдаемой изменчивости поля заключается в разделении ее на две составляющие, определении амплитуды каждой из них и уровней изменчивости. Закономерная изменчивость определяется построением аппроксимирующей функции, получаемой аппроксимацией исходных значений параметра, а случайная изменчивость оценивается среднеквадратичным отклонением исходных наблюдений от графика аппроксимирующей функции.

Построение начальной аппроксимирующей поле функции на каждом одномерном сечении осуществляется по данным регуляризации измерений в соответствии с формулой, выведенной при условии четырехкратного последовательного сглаживания по двум точкам (Мягков, 1984):

$$U_j = 0{,}0625\,(U_i + 4U_{i+1} + 6U_{i+2} + 4\,U_{i+3} + U_{i+4}),$$

где U_j – значение регулярной составляющей поля, U_i – частные значения, полученные в результате измерений или опробования по совокупности пространственно сближенных точек. При этом координаты x_j определяются либо по аналогичной приведенной зависимости (вместо U_i в формулу подставляются значения x_i), либо по упрощенной формуле:

$x_j = x_i + (j + 1) + \Delta x$, если шаг наблюдений принят в качестве постоянной величины ($j = i+2...$).

С помощью геометро-статистической модели можно выразить основные особенности пространственной изменчивости свойств геологических объектов, установить примерные числовые значения изучаемого свойства в любой точке исследуемого объекта, получить представление о его морфологии и внутреннем строении. В то же время геометро-статистические модели не обеспечивают объективную количественную оценку изменчивости изучаемых свойств. Если статистические методы не учитывают влияния плавных, закономерных изменений, то методы геометризации игнорируют влияние многочисленных случайных отклонений по отдельным пунктам наблюдений.

Контрольные вопросы к теме 2

1. Перечислите и кратко охарактеризуйте факторы, определяющие промышленную значимость месторождений.

2. Как делятся месторождения по масштабу, качеству полезных ископаемых?
3. На что влияют глубина и условия залегания тел полезных ископаемых?
4. Зачем необходимо изучать инженерно-геологические и гидрогеологические условия месторождений?
5. Как можно подразделить месторождения по форме залежей? Как влияет форма рудных тел на разведку и разработку месторождений?
6. Какие факторы положены в основу группировки месторождений для целей разведки?
7. Какие группы месторождений фигурируют в Методических указаниях ГКЗ? Как их учитывают при разведке?
8. Неоднородность строения минерализованных недр. Как она учитывается при разведке?
9. Изменчивость свойств полезных ископаемых, виды ее проявления.
10. Какие геологические способы изучения изменчивости известны?
11. Какие математические способы исследования изменчивости используют в последнее время при разведке месторождений?
12. Какие основные характеристики фигурируют при использовании геостатистической модели изменчивости?

Тема 3
Методологические основы разведки недр

ПРИНЦИПЫ РАЗВЕДКИ НЕДР

Земные недра обычно недоступны для непосредственных наблюдений. Они познаются преимущественно выборочным методом по сети пространственно разобщенных искусственных или естественных обнажений (Каждан, 1984). При этом полнота и достоверность полученных представлений о строении и составе недр зависит от густоты сети наблюдений, характера и степени неоднородности изучаемых объектов, прерывистости изучаемых свойств. Это побудило исследователей (Крейтер В. М., Каждан А. Б., Четвериков Л. И. и др.) сформулировать принципы, определяющие методологические подходы к изучению и оценке недр.

Принцип последовательных приближений предусматривает необходимость соблюдения правила: «от общего к частному». Геологические исследования начинаются с выявления крупных потенциально рудоносных площадей и отбраковки заведомо неперспективных территорий. После этого целесообразно перейти к более детальному изучению потенциально рудоносных площадей с последовательной ее разбраковкой на перспективные и неперспективные участки. В рамках реализации принципа весь геологоразведочный процесс подразделяется на три этапа и пять стадий (см. главу 5). Предложенная стадийность отражает рациональную последовательность проведения геологоразведочных работ, когда изучение недр проводится с возрастающей детальностью. Сначала выделяются общие геологические закономерности, а затем исследуются детали строения. По мере накопления разведочных данных возрастает полнота и надежность оценки объекта. Появляется возможность пространственного обособления внутри ранее выделенных условно однородных элементов геологического строения ещё более мелких структурных элементов. Вследствие ограниченности выборочных данных для суждения о свойствах и степени изученности объекта необходимо привлечение дополнительной информации, которую можно получить по принципу аналогии.

Принцип аналогии основан на положении о том, что геологические структуры и заключенные в них полезные ископаемые формировались в близких условиях. Они обладают чертами сходства условий залегания, строения и состава. Именно это обстоятельство обеспечивает подобие свойств объекта-эталона и изучаемого объекта. Степень подобия минерализованных участков недр зависит от пространственной близости и масштабов сравниваемых объектов: чем меньше их размеры и меньше расстояния между ними, тем больше проявляется сходство.

На стадии разведки можно выделить два подхода при принятии решений по аналогии: а) внутриобъектная; б) межобъектная. *Первый подход* – параметры разведочной сети принимаются близкими к изученным (и даже уже освоенным) участкам недр. Подобный подход возможен при разведке (доразведке) глубоких горизонтов месторождения, его флангов. *Второй подход* – использование данных по другим детально изученным объектам, используется при обосновании параметров разведочной сети на вновь вовлекаемых в разведку месторождениях. Этот принцип, основанный на типизации

месторождений, изложен в «Методических указаниях…», подготовленных ГКЗ при МПР РФ для отдельных типов полезных ископаемых.

Принцип максимальной эффективности является объединяющим ранее сформулированные В. М. Крейтером принципы наименьших трудовых и материальных затрат и полноты исследования (Петруха, 2003). Сущность принципа заключается в том, что в каждый момент выполнения геологоразведочных работ затраты на получение дополнительной информации не должны превышать экономических потерь, вызванных возможными просчетами в работе будущего предприятия. Полнота информации, необходимой и достаточной для строительства горнодобывающего предприятия, определяет подготовленность месторождения для промышленного освоения. Эта информация должна обеспечить достоверную характеристику разведуемого месторождения.

Достижение полноты необходимой информации осложнено крайне ограниченным объемом получаемых геологоразведочных данных по сети редких разведочных пересечений. В то же время собранная информация должна быть достаточной для принятия проектных решений по разработке месторождения и переработке добываемого минерального сырья. Здесь работает известный в математической статистике метод изучения свойств объектов на основе ограниченной по объему выборки. На каждой последовательно сменяющейся стадии изучения объекта выборка становится более представительной. В то же время из-за ограниченности геологических наблюдений, их неполноты любое проектное решение по освоению месторождения сопровождается риском, обусловленным возможными просчетами из-за неполноты собранных данных. Задача разведки – минимизировать эти риски до экономически рациональных размеров. Это возможно за счет выборочной детализации сети наблюдений на отдельных локальных участках.

Принцип выборочной детализации заключается в том, что проведение геологоразведочных работ в пределах всего объекта изучения должно сочетаться с более детальными работами на отдельных его участках (Каждан, 1984). При этом необходимо определиться с позицией эталонного участка, определить оптимальную детальность наблюдений в его пределах. Эталоны-аналоги детализационных работ должны быть представительными по отношению ко всему изучаемому объему недр. Чем типичнее окажутся эти участки, тем полнее будут критерии подобия и меньше погрешности распространения эталонных данных на весь оцениваемый объем. Рассмотрим примеры.

Согласно «Методическим рекомендациям по применению классификации запасов… (2007)» детализационные работы на стадии оценочных работ должны предусматривать обоснование в пределах локальных участков запасов категории C_1. С учетом полученных данных на этих участках следует предусмотреть опытно-промышленную разработку (ОПР) минерального сырья. В условиях действующих горных предприятий в качестве эталонов-аналогов следует использовать уже отработанные участки месторождения.

СТАДИЙНОСТЬ ГЕОЛОГОРАЗВЕДОЧНЫХ РАБОТ

Изучение недр с целью выявления и промышленной оценки месторождений полезных ископаемых осуществляется последовательно по стадиям, по мере отбраковки неперспективных площадей и более детальном исследовании заслуживающих внимания объектов. Стадийность охватывает все виды геологоразведочных работ и отражает рациональный порядок последовательности их проведения (Положение…, 1999). Выделяется три этапа и пять стадий геологоразведочных работ (табл. 1). Составители «Положения…» отмечают, что границы между стадиями условны и определяются масштабами ведущихся работ. Информация, получаемая на каждой стадии, по полноте и достоверности должна быть достаточной для геологического и технико-экономического обоснования геологоразведочных работ последующей стадии, либо освоения и проектирования разработки месторождения. «Положение…» носит рекомендательный характер и устанавливает общие для всех видов полезных ископаемых требования к содержанию и результатам геологоразведочных работ для отдельных стадий.

Этап I. Работы общегеологического и минерагенического назначения

Стадия 1. Региональное геологическое изучение недр и прогнозирование полезных ископаемых

Производится с целью получения комплексной геологической информации, составляющей основу геологического изучения территории и оценки ее минерагенического потенциала. Призвано обеспечить выявление закономерностей формирования и размещения полезных ископаемых. Основным результатом регионального геологического изучения недр является моделирование и ранжирование по экономической значимости структурно-вещественных и минерагенических комплексов, локальный прогноз и начальная геолого-экономическая оценка потенциальных объектов минерального сырья. Основными видами работ являются площадные геологические, гидрогеологические, инженерно-геологические съемки, наземные и аэрогеофизические работы, широкий комплекс специализированных исследований: космоструктурные, геолого-минерагенические, геохимическое картирование и другие виды изучения недр. Площадные картографические работы проводятся в масштабах: 1:15000000 и мельче – сводное и обзорное; 1:1000000 (1:500000) – мелкомасштабное; 1:200000 (1:100000) – среднемасштабное; 1:50000 (1:25000) – крупномасштабное. Для развития минерально-сырьевой базы главное значение имеют средне-крупномасштабные виды картографирования. По результатам выполненных работ выявляются и оконтуриваются прогнозные площади (минерагенические зоны, рудные районы, узлы и поля) с оценкой прогнозных ресурсов по категориям P_3, P_2, (P_1).

Этап II. Поиски и оценка месторождений

Стадия 2. Поисковые работы

Объектами исследований являются рудные районы, узлы и поля или их части, выявленные в процессе предшествующей стадии регионального геологического изучения недр, по которым имеются оцененные прогнозные ресурсы категорий P_2 и P_3. Работы могут производиться и на ранее опоискованных площадях, если это обусловлено изменением представлений о геологическом строении перспективных площадей, изменением конъюнктуры минерального сырья, увеличением глубинности исследования

недр. Поиски могут проводиться в разных масштабах (обычно в пределах 1:50000-1:10000). Включают комплекс геолого-минерагенических, геофизических, геохимических и других видов и методов исследований с проходкой поисковых скважин и поверхностных горных выработок. Для поисков скрытых и погребенных объектов используется глубокое бурение в сочетании со скважинными геофизическими исследованиями. Рациональный комплекс методов формируется на основе особенностей геологического строения объекта, ландшафтно-геохимических условий проведения работ, накопленного в отрасли опыта. По совокупности полученной информации, ее комплексной интерпретации выделяются перспективные аномалии, участки. Проверка природы аномалий, вскрытие, опробование и изучение проявлений полезных ископаемых осуществляется поверхностными горными выработками и поисковыми скважинами. В отобранных пробах определяются основные и попутные компоненты, а в необходимых случаях – технологические свойства руд. На выявленных проявлениях полезных ископаемых оцениваются прогнозные ресурсы категорий P_2 и P_1. На основе полученных данных выполняется геолого-экономическая оценка выявленных объектов по укрупненным показателям. Положительно оцененные проявления включаются в фонд объектов, рекомендуемых к постановке оценочных работ с выдачей соответствующих лицензий.

Стадия 3. Оценочные работы

Оценочные работы проводятся на выявленных и положительно оцененных проявлениях полезных ископаемых. Для оконтуривания площади, изучения геолого-структурных условий локализации оруденения проводится геологическая съемка в масштабе 1:25000-1:10000 и крупнее (для сложных и небольших объектов). Геологическая съемка сопровождается детальными минералого-петрографическими, геофизическими и геохимическими исследованиями, вскрытием и прослеживанием тел полезных ископаемых поверхностными горными выработками (канавы, шурфы, картировочные скважины). Все вскрытые выходы полезной минерализации подвергаются опробованию и анализу на основные и попутные компоненты.

Технологические свойства полезного ископаемого определяются по лабораторным пробам, а в необходимых случаях – по малым и большим технологическим пробам. По этим результатам намечается принципиальная схема переработки руд, обеспечивающая комплексное использование полезного ископаемого.

Во всех разведочных выработках осуществляется комплекс гидрогеологических, инженерно-геологических исследований, достаточных для обоснования вскрытия и разработки месторождения. Дается характеристика экологических условий производства добычных работ и оценка их влияния на природную среду.

Материалы, полученные при производстве оценочных работ, должны обеспечить оценку промышленного значения месторождения с подсчетом большей части запасов по категории C_2. По менее детально изученной части месторождения количественно оцениваются прогнозные ресурсы категории P_1. Достоверность данных о геологическом строении, условиям залегания и морфологии тел полезных ископаемых подтверждается на участках детализации с подсчетом разведанных запасов категории C_1.

В соответствии с рекомендациями, содержащимися в Методических рекомендациях по применению классификации запасов… (2007), на завершающем этапе оценки целесообразно выполнение на участках детализации отдельных месторождений специализированных работ – «Опытно промышленной разработки» (ОПР) в пределах локального объема минерализованных недр.

Геолого-экономическая оценка объектов осуществляется в процессе проведения работ и по их завершению. В начальный период оценочных работ проводится *оперативная геолого-экономическая оценка* прямым расчетом по укрупненным показателям. По результатам ее принимаются решения о целесообразности продолжения работ или их прекращении. После завершения стадии «Оценочные работы» разрабатываются *временные кондиции* и составляется технико-экономический доклад (ТЭД), в котором дается экономически обоснованная предварительная оценка промышленной ценности месторождения, определяющая целесообразность передачи объекта в разведку с последующим его освоением. *Месторождения*, получившие положительную экономическую оценку на оценочной стадии, *называются оцененными*.

Отчет с результатами подсчета запасов, включая обоснование «временных» кондиций и ТЭД, представляются на государственную геологическую, экономическую и экологическую экспертизу. Заключение экспертизы является основанием для постановки запасов на государственный учет.

Этап III. Разведка и освоение месторождения

Стадия 4. Разведка месторождений

Объектом разведки является закрепленная лицензией в виде горного отвода часть недр, включающая полностью или частично месторождение полезного ископаемого. Разведочные работы осуществляются с целью получения информации для проектирования строительства горнодобывающего предприятия. В «Положении…(1999)» отмечается, что в *процессе освоения месторождения* с целью расширения и укрепления минерально-сырьевой базы действующего или реконструированного горного предприятия возможно проведение *доразведки месторождения.* Эти работы предусматривают в каждом отдельном случае решение конкретных геологических задач. Например, дополнительное изучение флангов или глубоких горизонтов месторождения, уточнение технологических свойств полезного ископаемого и т. д.

При разведке завершается изучение строения месторождения с поверхности с составлением геологической карты на инструментальной основе. В зависимости от размеров, сложности геологического строения, изменчивости тел полезных ископаемых съемка проводится в масштабе 1:10000-1:1000 с применением геохимических, геофизических методов, проходкой горных выработок (канавы, шурфы, траншеи), мелких скважин. Все выходы полезных ископаемых прослеживаются, опробуются с детальностью, позволяющей выявить форму, строение, условия залегания, интенсивность и глубину проявления зоны окисления.

Разведка на глубину проводится скважинами до горизонтов, разработка которых экономически целесообразна. Месторождения сложного строения разведываются скважинами в сочетании с подземными горными выработками. Расположение горных

выработок (в случае отработки объекта подземным способом) должно обеспечить максимально возможное их дальнейшее использование при эксплуатации.

Последовательность и объемы разведочных работ, соотношение горных и буровых выработок, форма и плотность разведочной сети, методы и способы отбора проб (рядовых, групповых, технологических) определяются, исходя из геологических особенностей разведуемого месторождения. Вещественный состав и технологические свойства промышленных типов и сортов полезного ископаемого изучаются с детальностью, достаточной для проектирования рациональной технологии их переработки.

Гидрогеологические, инженерно-геологические, горно-геологические условия изучаются с детальностью, обеспечивающей получение исходных данных для составления проекта разработки месторождения. В процессе разведки дается оценка возможных источников питьевого и технического водоснабжения, проводятся работы по выявлению местных строительных материалов, разрабатываются схемы размещения объектов промышленного и гражданского назначения, обеспечиваются природоохранные мероприятия.

Разведка завершается разработкой технико-экономического обоснования (ТЭО) *постоянных разведочных кондиций*. Производится подсчет запасов основных и попутных компонентов по категориям в соответствии с группой месторождений по сложности строения, дается детальная экономическая оценка промышленной ценности месторождения. Пространственное размещение запасов, их соотношение по категориям устанавливается недропользователем. По завершению работ *месторождение называется разведанным.*

Материалы подсчета запасов, результаты ТЭО и обоснование постоянных разведочных кондиций подлежат государственной экспертизе (геологической, экономической, экологической).

Стадия 5. Эксплуатационная разведка

Эксплуатационная разведка проводится регулярно на эксплуатируемых месторождениях с целью получения достоверных данных для безопасного ведения работ, оперативного планирования добычи, обеспечения наиболее полного извлечения из недр полезных ископаемых. Объектами изучения и оценки являются эксплуатационные этажи, блоки, уступы. Основными задачами при этом являются: уточнение контуров, вещественного состава, внутреннего строения тел полезного ископаемого, количества запасов по технологическим типам и сорта руд (с их геометризацией), уточнение гидрогеологических, горнотехнических и инженерно-геологических условий отработки по отдельным горизонтам, блокам и т. д. Подсчитываются запасы подготовленных к отработке блоков, запасы готовые к выемке.

Для обеспечения рационального использования недр ведется учет потерь и разубоживания полезного ископаемого. Определяются показатели извлечения количества полезного ископаемого и изменения его качества.

В процессе разработки месторождения при резком отклонении в отдельных его частях геологических, горнотехнических и иных условий разработки, а также при изменении экологической конъюнктуры, недропользователь имеет право разработать ТЭО

эксплуатационных кондиций. Они разрабатываются на ограниченный временной период и должны быть привязаны к конкретным участкам эксплуатации.

На протяжении разведки и эксплуатации месторождения ведется учет движения запасов в результате их прироста, добычи, переработки или списания с баланса горнодобывающего предприятия. Информация по движению запасов, добыче, потерях и обеспеченности предприятия разведанными запасами передается в федеральные и территориальные фонды геологической информации.

ПРИНЦИПЫ КЛАССИФИКАЦИИ ЗАПАСОВ ТВЕРДЫХ ПОЛЕЗНЫХ ИСКОПАЕМЫХ

Для сравнения запасов месторождений одного и того же ископаемого, учета минеральных ресурсов разной изученности в пределах страны и регионов необходимо располагать стандартизующей системой. Такой системой является *классификация запасов.*

В нашей стране классификация месторождений полезных ископаемых утверждалась многократно (1933, 1941, 1953, 1984, 1997, 2007 гг.). Последняя классификация запасов месторождений и прогнозных ресурсов твердых полезных ископаемых устанавливает единые для Российской Федерации принципы их обоснования (Классификация…, 2007). Запасы полезных ископаемых подсчитываются по результатам геологоразведочных и эксплуатационных работ, выполненных в процессе из изучения и промышленного освоения. Качество полезных ископаемых изучается с учетом необходимости их комплексного использования, технологии переработки на основе определенных требований к качеству полезных ископаемых и технических условий. При этом определяются содержания основных и попутных ценных, токсичных и вредных компонентов, формы их нахождения и особенности распределения в продуктах обогащения и переработки. Объектом подсчета запасов полезных ископаемых является месторождение (или часть месторождения) твердых полезных ископаемых.

Подсчет и учет запасов по месторождению производится в единицах массы или объема в соответствии с экономически обоснованными параметрами кондиций без учета потерь и разубоживания при добыче и переработке полезных ископаемых.

По экономическому значению запасы твердых полезных ископаемых и содержащихся в них попутных компонентов подразделяются на две группы: балансовые (экономические) и забалансовые (потенциально экономические); они подлежат раздельному подсчету и учету.

К *балансовым* относятся запасы, разработка которых на момент оценки согласно технико-экономическим расчетам (ТЭР) экономически эффективна в условиях конкурентного рынка при использовании техники, технологии добычи и переработки минерального сырья, обеспечивающих соблюдение требований по рациональному использованию недр и охране окружающей среды.

К *забаланцевым* относятся запасы, разработка которых на момент оценки согласно ТЭР экономически не эффективна (убыточна) из-за низких технико-экономических показаний, но освоение которых становится экономически возможным при изменении цен на полезные ископаемые, появлении оптимальных рынков сбыта или новых технологий. Забалансовые запасы подсчитываются и учитываются в случае, если ТЭР установлена

возможность их последующего извлечения или складирования для использования в будущем.

Оценка балансовой принадлежности запасов полезных ископаемых производится на основании технико-экономического обоснования (ТЭО), подтвержденного государственной экспертизой. В рамках этой оценки должны быть предусмотрены наиболее эффективные способы разработки месторождений, предложены параметры кондиций, обеспечивающие максимально полное и комплексное использование запасов с учетом требований законодательства РФ.

Запасы полезных ископаемых по *степени геологической изученности* подразделяются на категории *A, B,* C_1 и C_2. Прогнозные ресурсы твердых полезных ископаемых категорий P_1, P_2 и P_3 в настоящем учебном пособии не рассматриваются. Критерии их выделения в пределах минерализованных участков недр разобраны в учебных пособиях (Баранников, 2011, 2013; Коробейников, 2009; Поротов, 2012 и др.).

Запасы категории A выделяются на участках детализации разведываемых и разрабатываемых месторождений 1-й группы сложности геологического и должны удовлетворять требованиям: установлены размеры, форма и условия залегания тел полезных ископаемых; изучен характер и закономерности изменчивости их морфологии и внутреннего строения; выделены и оконтурены безрудные и некондиционные участки; установлено наличие разрывных нарушений; выделены и оконтурены промышленные (технологические) типы и сорта полезного ископаемого, установлен их состав, свойства, охарактеризовано качество сортов; изучены распределение и формы нахождения ценных и вредных компонентов в минералах и продуктах переработки; контур запасов определен в соответствии с требованиями кондиций по горным выработкам и скважинам на основе результатов их детального опробования.

Запасы категории B выделяются на участках детализации разведываемых и разрабатываемых месторождений 1-й и 2-й групп сложности строения и должны удовлетворять следующим требованиям: установлены размеры, основные особенности и изменчивость внутреннего строения, условия залегания тел полезного ископаемого, пространственное размещение безрудных и некондиционных участков; при наличии крупных разрывных нарушений установлено их положение и амплитуды смещения; определены природные разновидности, выделены и при возможности оконтурены промышленные (технологические) типы полезного ископаемого; при невозможности оконтуривания установлены закономерности пространственного распределения и количественное соотношение промышленных типов и сортов полезного ископаемого; определены минеральные формы нахождения полезных и вредных компонентов; контур запасов определен в соответствии с требованиями кондиций по результатам опробования скважин и горных выработок.

Запасы категории C_1 составляют основную часть запасов разведываемых и разрабатываемых месторождений 1-й, 2-й и 3-й групп сложности геологического строения. Также эти запасы могут выделяться на участках детализации месторождений 4-й группы. Они должны удовлетворять следующим требованиям: выяснены размеры и характерные формы тел полезного ископаемого, основные особенности условий их залегания и внутреннего строения; оценены изменчивость и возможная прерывистость тел

полезного ископаемого, наличие площадей развития мелко амплитудных нарушений; определены природные разновидности и промышленные (технологические) типы полезного ископаемого; установлены общие закономерности их пространственного распространения и количественные соотношения промышленных типов и сортов, минеральные формы нахождения полезных и вредных компонентов; контур запасов полезного ископаемого определен в соответствии с требованиями кондиций по результатам опробования скважин и горных выработок с учетом данных геофизических и геохимических исследований.

Запасы категории C_2 выделяются при разведке месторождений всех групп сложности, а на месторождениях 4-й группы сложности геологического строения составляют основную часть запасов, вовлекаемых в разработку. Они должны удовлетворять следующим требованиям: размеры, форма, внутреннее строение тел полезного ископаемого и условия их залегания оценены по геологическим, геофизическим и геохимическим данным и подтверждены вскрытием полезного ископаемого ограниченным количеством скважин и горных выработок; контур запасов определен в соответствии с требованиями кондиций на основании опробования ограниченного количества скважин, горных выработок, естественных обнажений с учетом данных геофизических и геохимических исследований, геологических построений.

Учитывая определенную «монотонность» в изложении вопроса категоризации запасов и, в известной степени, повторяемость предъявляемых требований к обоснованию отдельных категорий запасов, отразим этот материал в таблице 2, приведенной в учебном пособии (Шевелев, 2004). В ней наглядно *отражены особенности* требований к запасам разных категорий.

На разрабатываемых месторождениях *вскрытые, подготовленные и готовые к выемке запасы* полезных ископаемых, а также находящиеся в охранных целиках горно-капитальных и горно-подготовительных выработок, *подсчитываются отдельно* по категориям в соответствии со степенью их геологической изученностью.

При квалификации запасов полезных ископаемых по категориям в качестве дополнительного классифицированного показателя должны (или могут) использоваться количественные и вероятностные оценки *точности и достоверности* определения основных параметров. Однако конкретных количественных показателей для отдельных категорий запасов до сих пор не разработано. Свой подход в решении этого непростого вопроса рассмотрен А. Б. Кажданом (Каждан, 1977, 1984).

Нет сомнения в том (отмечает этот автор), что категория запасов определяется *густотой сети наблюдений.* В то же время *точность подсчета запасов зависит, прежде всего, от количества наблюдений в пределах разведанного участка* и в меньшей степени – от густоты сети наблюдений. При разной густоте сети, но при сопоставимом числе наблюдений в блоках различных размеров, *погрешности вычисления* среднеблочных оценок могут быть *примерно одинаковыми*, в то время как разведанность блоков будет резко различаться.

Понятия разведанность и точность подсчета запасов могли бы рассматриваться как взаимозависимые только при условии последовательной детализации разведочных данных в блоке установленного размера, когда с уменьшением расстояний между смежными

точками наблюдений их количество в блоке закономерно возрастает. В практике разведки это условие обычно не выполняется. При детализации разведочных данных подсчетные блоки категории C_1 разделяются на более мелкие блоки категории B, а те в свою очередь на еще более мелкие блоки категории A. Поэтому связи между числом наблюдений и густотой разведочной сети не возникает.

Таким образом, при *оценке достоверности* результатов геологоразведочных работ необходимо различать степень разведанности запасов и точность их подсчета в заданных объемах недр (Каждан, 1977).

Степень разведанности запасов характеризуется детальностью выявления условий залегания, форм и строения полезного ископаемого, условий пространственного размещения в недрах. Количественно она может быть оценена *погрешностями геометризации* разведанных скоплений полезного ископаемого в недрах для заданной сети наблюдений.

Точность подсчета запасов может быть охарактеризована *погрешностями оценок их качества и количества* в оконтуренных объемах недр.

Из определения сформулированных понятий вытекает вывод, что при переводе запасов из более низких категорий в более высокие повышается не столько точность ранее подсчитанных запасов, сколько выявляются детали их пространственного размещения в пределах более мелких участков и блоков месторождения. Таким образом, точность подсчета запасов оценивается для категорий A, B и C_1 примерно одной и той же погрешностью. Но в зависимости от степени детальности наблюдений эта погрешность относится к разным по величине объемам недр.

На невозможность оценки степени изученности в виде цифровых показателей обращает внимание И. Д. Коган (Коган, 1974). Сказанное он мотивирует тем, что при подсчете запасов невозможно обеспечить заранее заданную величину погрешности для отдельных категорий, так как достоверность всех исходных данных остается практически неименной для разных категорий запасов. Категория запасов может быть понижена в силу иных причин. Например, при низком выходе керна, незавершенности технологических исследований, при ошибках геологической интерпретации.

Специального рассмотрения заслуживают классификации запасов твердых полезных ископаемых, применяемые в основных горнодобывающих странах (Австралии, США, Великобритании, Канаде и др.). Сопоставление отечественной квалификации с зарубежными, описание признаков их сходства и различия необходимо при обосновании инвестиционной привлекательности выставляемых на конкурс отечественных месторождений, а также решения ряда иных вопросов.

Обычно в зарубежных классификациях используются не более трех категорий ресурсов (resourses): измеренные (measured), исчисленные (indicated) и предполагаемые (inferred), а для оценки изученности запасов – даже двух: доказанные (proved) и вероятные (probable).

Несколько иной является классификация МАГАТЭ, используемая для отражения сырьевой обеспеченности атомной отрасли. Все учитываемые количества сырья квалифицируются как ресурсы (recourses). Для характеристики их изученности (достоверности) используются две категории: достоверно установленные (Reasonably

Assured Resources – RAR) и дополнительные (Inferred Resources). Сумма оценок по этим категориям рассматривается как установленные ресурсы (Identified). Для оценок ресурсов, связанных с ещё не открытыми месторождениями (Indiscovered), используются категории прогнозные (Prognosticated) и умозрительные, рискованные (Speculative).

Разное целевое назначение российских и зарубежных классификаций затрудняет их однозначное сопоставление. Точного сопоставления между отдельными категориями не может быть в принципе. В то же время при задействовании классификации МАГАТЭ условно можно считать, что категория RAR примерно соответствует категории C_1, Inferred – C_2, Prognosticated – P_1, а Speculative – P_2+P_3.

В 90-х годах ООН был разработан специальный документ, получивший название «рамочный» (frame word) классификатор ООН. Подготовленная основа классификации представляет универсальную трехмерную матрицу, являющуюся ключом-дешифратором. Она позволяет осуществлять переход от одной классификационной системы к другой (рис. 3). В представленной классификации запасы и ресурсы оцениваются с трех позиций:

- геологическая изученность, определяемая стадией выполнения работ – детальная разведка (разведка), предварительная разведка (оценка), поиски, рекогносцировочные геологические наблюдения;
- экономико-технологическая изученность, определяемая стадией технико-экономической оценки (ТЭО постоянных и временных кондиций, оценка по аналогии и т. д.).
- экономичность освоения запасов, определяемая как достаточная или низкая рентабельность.

Каждая из ячеек матрицы имеет цифровую кодировку. В системе этих координат запасы, отвечающие той или иной степени изученности, выделяются как трехмерные тела. Например, запасы, выявленные на стадии разведки (A+B+C_1 по отечественной классификации) и имеющие положительную экономическую оценку на уровне ТЭО постоянных кондиций, получают кодировку 1.1.1.

С 90-х годов XX века в промышленных странах разработан еще один путь согласованного подхода к оценке запасов, определяемый сводами правил («кодексами отчетности»). Одним из таких кодексов, принятых в 2006 г, в ЮАР, Канаде и США, является CRIRSCO (Committee for Mineral Reserves International Reporting Standards). Согласно стандарту CRIRSCO эксперты в заключениях должны руководствоваться определенной схемой классификации ресурсов (рис. 4). Стрелками на схеме показаны возможные переходы ресурсов в запасы при осуществлении экономической оценки объекта и обратно (например, при снижении цен), а также вероятные (probable) через измеренные, подсчитанные (measured) в доказанных (proven) при доразведке. Ресурсы предполагаемые (inferred) экономического значения не имеют.

Системы стандартов (CRIRSCO, YORK и др.) успешно задействованы за рубежом. Однако при попытках трансформировать оценки ресурсов в таксоны отечественной классификации следует иметь в виду, что строго формальные соотношения здесь невозможны.

ТЕХНИЧЕСКИЕ СРЕДСТВА РАЗВЕДКИ

Обоснование оптимального комплекса технических средств – кардинальный вопрос разведки месторождений. На выбор технических средств разведки оказывают

влияние геологические, горнотехнические и географо-экономические факторы. Их совокупным влиянием определяется пространственная ориентировка разведочных разрезов, расположение разведочных пересечений, техника проходки разведочных выработок (Каждан, 1977, 1985).

Геологические факторы отражают условия формирования, состав и строение полезных ископаемых, закономерности их локализации в геологических структурах, уровень эрозионного среза месторождений. Определяющее значение при этом имеют: характер связи полезных ископаемых с элементами геологического строения; условия залегания и морфология скоплений полезных ископаемых, их размеры; строение и состав залежей полезных ископаемых.

При анализе влияния *горнотехнических факторов* на выбор технических средств разведки должны быть учтены: предполагаемые способы вскрытия и разработки месторождения; гидрогеологические условия, горнотехнические свойства полезного ископаемого и вмещающих пород.

Геолого-экономические факторы также могут оказывать влияние. В зависимости от уровня экономической освоенности, климата, ландшафтных особенностей рельефа, энергообеспеченности территории, наличия трудовых ресурсов, дорог и т. д. приходится решать вопросы рационального соотношения горноразведочных, буровых работ и геофизических исследований.

Технические средства геологоразведочных работ различаются по своим возможностям, информативности, стоимости (Шевелев, 2004, Петруха, 2003). Они включают: горные разведочные выработки, буровые скважины, геофизические исследования.

А. *Горные выработки* подразделяются на поверхностные и подземные. К поверхностным относятся канавы и траншеи (магистральные и прослеживающие), мелкие шурфы и дудки, расчистки; к подземным – глубокие шурфы, штольни и шахты с комплексом развиваемых из них горизонтальных выработок (квершлаги, штреки, орты, рассечки), а также наклонных и вертикальных (восстающие, гезенки).

Поверхностные горные выработки используются для вскрытия полезного ископаемого и вмещающих пород в коренном залегании, изучения зоны окисления рудных тел. Проведение этих выработок не требует больших затрат и поэтому широко используется на ранних стадиях изучения месторождений. Ведущее значение имеет проходка *канав.* Обычно их проходят на глубину 2-3 м, реже до 6 м уступами с высотой не более 2 м. При малом объеме работ и их рассредоточенности проходка канав осуществляется вручную. В стадию разведки канавы проходят с применением буровзрывных работ (рыхление, на выброс) и экскаваторами, бульдозерами, канавокопателями, скреперными установками. Те же геологические задачи (вскрытие рудных тел, их документация, опробование) решает проходка *траншей.* От канав они отличаются большим поперечным сечением и глубиной проходки (до 5 м). Используются современные технические средства – бульдозеры, скреперы, роторные установки. При изучении месторождений, представленных жильными зонами (в том числе, камнесамоцветного сырья) и для отбора технологических проб, возможна проходка *разведочных карьеров* (Петруха, 2003). Форма карьеров в плане, их размеры и глубина

определяются целевым заданием. Используются карьеры для разведки полезных ископаемых, выходящих на дневную поверхность или находящихся на небольшой глубине. Глубина карьеров может достигать 50 м, а объем – десятков кубических метров. При проходке применяют разные технические средства.

Для прослеживания и оконтуривания залежей по простиранию при мощности рыхлых отложений более 5 м, а также вскрытия предполагаемых под наносами новых тел полезных ископаемых, предусматривается проходка разведочных *шурфов*. Они подразделяются на мелкие (до 10 м) и глубокие (до 40 м). Площадь сечения шурфов 1,25; 1,5; 2,0; 4,0 м^2. Глубокие шурфы проходят для изучения условий залегания рудных тел, отбора проб монолитов. При необходимости из шурфов проходят рассечки сечением 1,8, 2,7 или 3,6 м^2. Многие годы шурфы служили основным техническим средством при разведке россыпей и других приповерхностных месторождений. Неглубокие шурфы круглого сечения называются *дудками*. Шурфы, проходимые в неустойчивых и рыхлых породах, крепят, а глубиной более 10 м вентилируют.

Механизированная проходка шурфов осуществляется с использованием специализированных технических средств, предназначенных только для бурения (КШК-30А, УБСР-25), или комбинированных, используемых для проходки шурфов и скважин (ЛБУ-50, КБУ-15, УКС-22М).

Подземные горные выработки по целевому назначению подразделяются на подходные (вскрывающие) и собственно разведочные (Шевелев, 2004). К подходным относятся шахты, подходные штольни и квершлаги; к основным – штреки, орты, рассечки и восстающие.

Стволы *разведочных шахт* используются как вскрывающие выработки при разведке месторождений. Сечение разведочных стволов колеблется от 6 до 12 м^2, а глубина – до нескольких сотен метров. *Разведочные штольни* служат горизонтальными вскрывающими выработками при разведке месторождений, залегающих в условиях пересеченного рельефа. Поперечное сечение штолен колеблется в пределах от 6 до 9 м^2. *Квершлаг* также является горизонтальной вскрывающей подземной выработкой и проходится из ствола шахты. Разведочным квершлаг является только в той части, где выработка пересекает залежь полезного ископаемого. *Разведочные штреки* представляют горизонтальные горные выработки, пройденные по простиранию залежей. Их целью является прослеживание по простиранию строения рудных тел, сплошности оруденения. Штрек может быть пройден по полезному ископаемому (*рудный штрек*) или по вмещающим породам (*полевой штрек*). Если тела полезных ископаемых обладают значительной мощностью, то от полевого или рудного штрека через определенные интервалы проходят *орты* (рассечки) или *скважины* с выходом во вмещающие породы для вскрытия продуктивных зон на полную мощность. Эти выработки выполняют роль разведочных пересечений. *Разведочные гезенки* проходят из квершлагов вверх или вниз, пересекая пологопадающие тела полезного ископаемого по их мощности. *Разведочные восстающие* проходят из штреков по восстанию залежей полезного ископаемого. Проходят восстающие с целью прослеживания залежей полезного ископаемого между основными горизонтами горных работ. При этом появляется возможность изучения

сплошности оруденения по восстанию, изменчивости мощности и качества минерального сырья по вертикали.

Площади поперечного сечения в проходке квершлагов и штреков колеблется в пределах 3,6-5,8 м^2, ортов – 2,7-3,6 м^2, восстающих и гезенков – до 4 м^2.

При проходке разведочных выработок используются разнообразные технические средства, осуществляющие буровзрывные, погрузочные, откаточные, подъемные и иные виды работ.

Применение горных работ в качестве технического средства рекомендуется осуществлять с учетом следующих требований (Петруха, 2003):

- при заложении дорогостоящих горных выработок необходимо учитывать геологические особенности объекта (условия залегания, размеры, форма залежей), полученные во многих случаях путем разведочного бурения;
- преобладающая часть горных выработок должна приходиться на вскрытое полезное ископаемое с целью его изучения и опробования;
- горные выработки следует проходить с учетом их дальнейшего использования при эксплуатации месторождения; например: использования разведочных шахт в ранге вентиляционных.

Горные выработки позволяют детально изучить изменчивость параметров оцениваемых объектов (по форме, качеству сырья, сплошности оруденения и т. д.), учет которых крайне необходим при разведке месторождений 3-й и 4-й групп по сложности геологического строения. Примеры размещения горных выработок при вскрытии и разведке тел полезных ископаемых отражены на рисунках, приведенных в учебных пособиях (Петруха, 2003; Шевелев, 2004).

Б. *Буровые разведочные скважины* – наиболее широко применяемые технические средства разведки. Для большинства полезных ископаемых они являются главным и даже единственным техническим средством. Следует учитывать, что скважины дают менее полные сведения об оцениваемом полезном ископаемом, но буровые работы нашли широкое применение благодаря мобильности, скорости проходки скважин, относительной легкости оборудования, меньшим расходом средств на метр проходки (Шевелев, 2004). При всех очевидных преимуществах буровые скважины имеют и недостатки: они вскрывают небольшие участки недр; дают менее точные сведения о составе и строении полезного ископаемого по сравнению с горными выработками; повторное контрольное опробование и отбор проб разного назначения ограничен из-за малого количества получаемого каменного материала; при бурении скважин наблюдается их искривление, что усложняет геометризацию разведанных объемов недр; при бурении по рудоносным интервалам возникают осложнения и отмечается недостаточный выход каменного материала с ненарушенной структурой. Но буровые скважины незаменимы при разведке глубоко залегающих месторождений. Месторождения 1-ой и 2-ой групп по сложности геологического строения в основном разведуются только бурением.

При разведке месторождений твердых полезных ископаемых скважины бурятся с поверхности и из подземных горных выработок. Для поверхностного бурения используются неглубокие ударно-вращательные, вибрационные скважины и более глубокие ударно-канатные, пневмоударные и гидроударные. При оценке глубоких

горизонтов задействуют бурение колонковых скважин и бескерновых скважин вращательного бурения. Из подземных горных выработок бурятся колонковые, шарошечные и перфораторные скважины.

Приповерхностные скважины глубиной до нескольких десятков метров используются для геологического изучения рудовмещающих структур, прослеживания, опробования и оконтуривания приповерхностных участков месторождений (Шевелев, 2004). Возможно использование разного типа буровых установок: УПБ-25 и УБР-2, БУУ-2, УКБ 12/25, БУ-20-2УШ и др.

Колонковое бурение глубиной от десятков метров до 150-200 м осуществляется агрегатами, смонтированными на автомашинах (УКБ-2, БСК, КГК-100 и др.). Более глубокие скважины бурятся агрегатами УКБ-3, УКБ-4, УКБ-5 и станками ЗИФ-650, СБА-500, СБА-800, ЗИФ-1200 и др. В последнее время в практике геологоразведочных работ нашли применение станки, разработанные зарубежными фирмами. Наиболее широко применяются буровые установки компаний Boart Longyear, Atlas Copco, Sandvik, SCHRAMM и их аналогов, произведенных, как правило, в КНР. Известные в нашей стране установки алмазного бурения серии Boart Longyear включают станки LM30, LM45, LM55, LM75. Размещенные на них манипуляторы позволяют ориентировать направление бурения скважины в любую заданную сторону.

Создание новой техники направленного бурения позволило проводить разведку по более рациональным схемам при проходке многоствольных скважин и за счет этого – многократного увеличения массы опробуемого рудного материала (без бурения дополнительных скважин). При этом дополнительные стволы могут располагаться как в одной вертикальной плоскости, искривления в одну сторону, так и задаваться в разных азимутальных направлениях (рис. 5).

Скважины подземного бурения могут являться частью разведочной системы или решать частные задачи, возникающие при геологическом изучении месторождения (прослеживание локальных рудоконтролирующих структур, апофиз, поисков смещенных частей рудных тел и т. д.). Бурение колонковых горизонтальных, наклонных и вертикальный скважин до 100 м осуществляется станками БСК-2М-100, а бескерновое – станками НКР-100. Неглубокие подземные скважины могут буриться с помощью колонковых или телескопных перфораторов без отбора керна глубиной 15-20 м.

В. ***Геофизические исследования*** **играют большую роль в изучении** земных недр, в том числе, на стадии разведки месторождений. Несмотря на то, что непосредственной геологической информации эти исследования не дают, геофизика как метод во многих случаях позволяет сократить количество необходимых разведочных пересечений, получить дополнительную ценную информацию. При обосновании и своевременном проведении комплекса геофизических исследований появляется возможность пересмотра рекомендуемых методик и технических средств разведки. Последние могут меняться в зависимости от конкретной геологической обстановки и разрешающей способности геофизических средств разведки (Шевелев, 2003).

Как основные технические средства, геофизические методы могут применяться для исследования недр в промежутке между разведочными сечениями и при задействовании операций геофизического опробования.

Комплекс геофизических методов для решения основных задач разведки выбирается на основе учета совокупности факторов, определяющих возможную эффективность раздельного и совместного их применения. К таким факторам относятся (Комплексная …, 1990):

- степень дифференциации пород и руд по физическим свойствам, определяющая возможность использования данных каротажа для петрографической характеристики объектов;
- размеры, форма, элементы залегания, число рудных тел, текстурно-структурные особенности руд и их вещественный состав;
- присутствие в разрезе пород, близких по физическим свойствам к рудным образованиям;
- методика ведения горных и буровых работ, техническое состояние скважин.

При обосновании методики разведочных работ в рациональный комплекс необходимо включать минимальное и достаточное число геофизических методов, обеспечивающих получение достоверной информации с наименьшими затратами труда и времени. При задействовании нескольких методов следует предусмотреть последовательную их реализацию, скорректированную в зависимости от результатов каждого предыдущего метода.

Представления о возможностях геофизических методах формируются на основе *физико-геологической модели* (ФГМ) *объекта*. ФГМ включает геологическую модель, сведения о физических свойствах структурных элементов геологической модели, ожидаемые геофизические поля и аномалии на площади или по отдельным профилям (Сапожников, 2012).

В комплекс *наземных геофизических работ* при разведке месторождений входит широкий перечень методов: электроразведки, магниторазведки, радиометрии и др. Геофизические съемки в масштабе 1:2000-1:1000 позволяют более надежно оконтурить площади развития рудной минерализации, поля измененных околорудных пород, проследить выходы рудных тел, установить элементы их залегания, определить мощность рыхлых отложений и границу коры выветривания. Рассмотрим лишь ведущие из перечисленных методов.

Электроразведка включает группу методов, основанных на изучении естественных или искусственно возбужденных в земной коре электромагнитных полей. Электромагнитное поле зависит от свойств горных пород (удельного электрического сопротивления, диэлектрической проницаемости, поляризуемости, электрохимической активности). Это позволяет по изменению параметров поля изучать геологическое строение площади и выявлять залежи полезных ископаемых. Используются следующие основные группы методов.

Электропрофилирование (ЭП) является одним из самых распространенных методов электроразведки и применяется для изучения крутопадающих слоистых толщ при некоторой постоянной глубинности изучения разреза по профилю (Сапожников, 2012). Геологическими предпосылками для применения метода является присутствие в рудах сульфидов, минералов железа и других, обусловливающих их низкое электросопротивление по сравнению с вмещающими породами. Распространенным является вариант ЭП, получивший название срединный градиент (СГ). В этом варианте

токовые электроды разносятся на большое расстояние (1-3 км) и остаются неподвижными в процессе измерения удельного электрического сопротивления ρ_k при перемещении приемной установки *MH* постоянного тока и постоянного размера между электродами *AB*. В горизонтальной однородной среде градиент электрического поля ($\Delta U/MN$) практически постоянен и на его фоне заметны проявления неоднородности разреза в виде локальных тел, крутопадающих пластов с аномальными электрическими свойствами (например, зон окварцевания).

Вертикальное электрическое зондирование (ВЭЗ) – метод электроразведки, применяемый для изучения изменения удельного сопротивления по глубине для некоторой вертикальной трассы. Основан метод на постепенном увеличении размеров установки *AB* с общей центральной точкой (точкой зондирования), при котором увеличивается глубина проникновения тока и, соответственно, глубинность исследований. Метод ВЭЗ используется для изучения пространственного положения, морфологии и элементов залегания рудных тел в вертикальном разрезе. Широко задействуют его при геоморфологических исследованиях, для определения позиции и состава кор выветривания, мощности и строения рыхлого покрова, при гидрогеологических и инженерно-геологических изысканиях.

Метод вызванной поляризации (ВП) основан на изучении электрохимических процессов, возникающих на границе пород с ионной проводимостью (электронных проводников) и окружающей их жидкостью (электролитом) под воздействием пропускаемого тока. После выключения тока некоторое время в цепи возникает вторичная ЭДС – гальванический источник тока, создающий нестандартное поле вторичной поляризуемости. Метод ВП широко используется при разведке месторождений сульфидных, магнетитовых, редкометалльных и иных руд, при оценке ореолов с рассеянной рудной минерализацией.

Метод естественного поля (ЕП) основан на изучении естественных электрических полей, обусловленных разными электрохимическими процессами, самопроизвольно протекающими в земной коре. Метод эффективен при разведке рудных тел близповерхностного залегания, являющихся электронными проводниками. Используется при разведке сульфидных, магнетитовых, марганцевых и графитовых месторождений.

Метод переходных процессов (МПП) основан на изучении низкочастотного электромагнитного поля. В МПП изучается неустановившееся поле вихревых токов, возникающих в породах и рудах при ступенеобразном изменении тока в контуре, который может быть расположен как на наземной поверхности, так и в воздухе (Горбунова, 1982).

Магниторазведка основана на изучении пространственных изменений геомагнитного поля, возникающих вследствие неодинаковой намагниченности горных пород и руд. Магнитное поле измеряют с помощью магнитометров, предназначенных для измерения полного вектора напряженности T и его вертикальной составляющей. Обычно выполняют относительные измерения, находя приращения значений поля между двумя пунктами наблюдений. Интерпретация магнитных аномалий начинается с анализа карт изолиний магнитного поля, по которым судят о морфологии, размерах и природе возмущающих объектов (Сапожников, 2012). Количественную интерпретацию аномалий осуществляют, используя графики по профилям, проходящим крест простирания

геологических объектов. Магнитные съемки с высокой детальностью и точностью 1-2 нТл включаются в разведочный комплекс для решения широкого круга вопросов. В том числе: расчленения пород по литологическому составу; выявления локальных структурных элементов (даек, жил, жерловых построек и т. д.); обоснования зональности размещения разных типов метасоматических пород; выявления магнитных руд черных металлов и слабомагнитных – цветных, благородных, редкометалльных; изучения рудных тел в морфоструктурах месторождения; изучения инженерно-геологических условий и т. д.

Гравитационная разведка основана на изучении пространственного распределения плотности в земной коре с помощью измерения силы тяжести σ (в г/см^3). При интерпретации полей силы тяжести используется характеристика избыточной плотности $\Delta\sigma$, представляющая разность плотностей отдельного геологического тела $\sigma_т$ и вмещающих пород $\sigma_{вм}$. Она может быть положительной или отрицательной. Единицей измерения силы тяжести является Галл (см/с^2). Но обычно пользуются более мелкой единицей – миллигалом (1 мГал =10^{-3} Гала). В разведочной геофизике относительные измерения гравитационного поля g выполняются с помощью гравиметров. Прибор позволяет измерять приращение g от точки к точке, т. е. Δg. На этой основе вычисляются аномальные поля Δg, по которым судят о неоднородностях по плотности в земной коре.

Гравиразведка применяется при структурно-геологическом изучении земной коры, разведке разных полезных ископаемых. Наиболее эффективно гравиметровой съемкой выявляются залежи железорудных и хромитовых месторождений, интенсивность аномалий силы тяжести над которыми может достигать 0,4-0,5 мГал. При увеличении детальности съемки возможно обнаружение рудных тел сульфидных месторождений размером 0,1-0,2 км^2, с интенсивностью аномалий 0,2-0,5 мГал (Шевелев, 2004).

Радиометрические методы основаны на изучении радиоактивности руд и горных пород с целью решения поисково-картировочных и разведочных задач, опробования. Наибольшее применение получила *гамма-съемка*, дающая положительные результаты для обнаружения радиоактивных руд и расчленения горных пород. Съемка проводится в аэро-, пешеходном, автомобильном вариантах. Радиоактивность выражается через мощность дозы излучения за единицу времени в А/кг (в системе СИ) или в микрорентгенах в час (1 мкР/час=10^{-12} А/кг). Изменения выполняют с использованием спектрометрической аппаратуры, позволяющей выделять урановую и калиевую составляющую радиоактивного поля.

Повышенной радиоактивностью обладают породы, в которых в рассеянном состоянии находятся элементы урана, тория. Также повышенная радиоактивность свойственна породам, содержащим изотоп Калий-40. Он присутствует в кварц-серицитовых сланцах, нередко несущих золоторудную минерализацию, полевошпатовых породах, калийных солях.

Геофизические исследования скважин (ГИС) – это отрасль разведочной геофизики, отличающаяся от других методов только по методике исследований. Основные положения теории физических полей, измеряемых в скважинах, остаются теми же, что и в полевой геофизике (Сковородников, 2009, 2016). Роль и значение ГИС постоянно возрастает. В перспективе ГИС открывает путь к бескерновому изучению скважин. В настоящее время в

скважинах регистрируется большое количество разных параметров (около 40). При этом стоимость ГИС составляет незначительную часть от общей стоимости сооружения и оборудования скважины.

В ГИС выделяют три больших раздела: каротаж, операции в скважинах и скважинную геофизику.

Каротаж – это геофизические методы изучения геологического строения разрезов скважин. В каротаже исследуются очень небольшие объемы горных пород, прилегающие к стенкам скважины. Отличительная особенность каротажа – высокая детальность и точность исследований. Результаты фиксируются в виде непрерывных диаграмм по стволу скважины или в виде числовых значений с шагом порядка 10-20 см. Каротаж позволяет выполнять литологическое расчленение разрезов скважин, выделять в них интервалы полезного ископаемого, определять физические свойства горных пород и полезных ископаемых in situ. Именно на основании данных каротажа производится интерпретация полевых геофизических методов: электроразведки – по данным об удельном электрическом сопротивлении (УЭС) пород; магниторазведки – по значениям магнитной восприимчивости пород: гравиразведки – по их плотности. Каротаж дает сведения, необходимые для подсчета запасов месторождения – данные о мощности залежей, содержанию полезного компонента и т. д. Изучение скважин подразделяется по природе изучаемых полей на методы электрического, радиоактивного каротажа и прочие методы (Сковородников, 2009, 2016).

Методы электрического каротажа включают:

а) Группу методов кажущегося сопротивления (КС). В эту группу входят: метод КС – наиболее распространенный; резистометрия – метод определения удельного сопротивления жидкости; метод БКЗ (боковых каротажных зондирований) – скважинный аналог метода ВЭЗ; БК – боковой каротаж и др.

б) Методы токового каротажа: метод скользящих контактов (МСК) – при исследовании рудных скважин; метод бокового токового каротажа (БТК) – для исследования углеразведочных скважин.

в) Группа электромагнитных методов: ИК – индукционный каротаж, использующий поля низких частот; ВМП – высокочастотный волновой метод проводимости и др.

г) Группа методов электрохимической активности: ПС – метод потенциалов самопроизвольной поляризации (аналог метода естественного поля); метод электродных потенциалов (МЭП). Методы ПС и ПК стали применяться совместно, получив название стандартного электрического каротажа.

Методы радиоактивного каротажа (РК) включают: ГК – гамма каротаж – регистрация естественного гамма-излучения горных пород; ГГК – гамма-гамма каротаж, имеющий две разновидности – плотностной (ПГГК) и селективный (СГГК); РРК – рентгенорадиометрический каротаж; НГК – нейтронный гамма-каротаж и другие методы.

Скважинная геофизика – это геофизические методы изучения геологического строения межскважинного, околоскважинного и призабойного пространства. В отличие от каротажа, скважинная геофизика отличается большими объемами исследуемых горных пород. Это позволяет увеличить действующую зону влияния скважин, пройденных по

разряженной сети, обеспечить получение дополнительной геологической информации о межскважинном пространстве.

Методы скважинной и полевой геофизики подразделяются по природе исследуемых физических полей. Широкое использование в практике разведочных работ получили методы скважинной разведки. Выделены методы, основанные на использовании тока разной природы.

На постоянном токе: метод ЕП-С (естественного поля, скважинный вариант), МЗТ – метод заряженного тела, МЭК – метод электрической корреляции разрезов, ЧИМ – метод частичного извлечения металла.

На переменном токе: метод радиоволнового просвечивания, ДЭМПС – дипольного электромагнитного профилирования скважин, ННП-С – наземной незаземленной петли, скважинный вариант.

На импульсном токе: СП-С – метод вызванной поляризации, скважинный вариант; МПП-С – метод переходных процессов, скважинный вариант.

Задачи геофизических исследований в *горных выработках* во многом близки к тем, что уже были сформулированы выше. В том числе: корреляция рудных подсечений; оконтуривание и оценка размеров рудных тел; поиски пропущенных при разведке рудных тел в межвыработанном, межскважинном и околоскважинном пространстве; оценка положения выработок относительно рудных тел; внедрение в практику геофизического опробования.

Геофизическое опробование дополняет геологическое и во многих случаях его заменяет. Оно осуществляется в скважинах и шурфах, на стенках горных выработок. Также опробуется отбитая рудная масса в вагонетках и на транспортерах. Особенности геометрии среды измерений и условий их проведения отражаются в специфичности аппаратуры, в конструкции датчиков.

При измерении в горных выработках основными методами электроразведки являются (Рудничная…, 1986): метод ПС, электропрофилирование, метод электрической корреляции (МЭК), методы грави- и магниторазведки. С их помощью решаются горнотехнические задачи: определяется плотность горных пород и руд, выявляются подземные полости и зоны обрушения, форма карстовых полостей, коэффициенты фильтрации подземных вод и другие вопросы геологического обеспечения добычных работ.

СИСТЕМЫ РАЗВЕДОЧНЫХ РАБОТ

Метод локальных геологических наблюдений реализуется в разведке посредством *разведочной сети* (РС). Разведочная сеть – это методическое обоснование разведки месторождений полезных ископаемых. Она непосредственно влияет на получаемую разведочную информацию об оцениваемом объекте. От влияния собранной при разведке информации позднее невозможно избавиться никакой последующей обработкой данных (включая математическое и иное моделирование). Обоснование рациональной РС, отвечающей геологическим особенностям оцениваемого объекта, является кардинальным вопросом разведки месторождений.

Обоснование РС опирается на ряд понятий.

Любая разведочная выработка, пересекающая природное скопление полезного ископаемого, представляет искусственное обнажение и в случае выполнения определенных условий может рассматриваться как *единичное разведочное пересечение.* Совокупность разведочных пересечений, расположенных в одной плоскости, образует *разведочное сечение*, а совокупность разведочных сечений в пространстве – *разведочную систему*. Таким образом, *под разведочной системой понимается совокупность разведочных сечений (разрезов), определенным образом ориентированных в пространстве по отношению к рудному телу, позволяющих решать стоящие перед разведкой задачи* (Каждан, 1977; Рудничная…, 1986; Шевелев, 2004). Прослеживание объектов разведки в заданном направлении осуществляется с помощью разведочных пересечений, в заданной плоскости – с помощью разведочных сечений (разрезов), в заданном объеме – с помощью разведочных систем.

Разведочное пересечение должно удовлетворять ряду требований. Главные из них (Шевелев, 2004):

а) должно быть ориентировано в направлении близком к направлению максимальной изменчивости важнейших свойств полезных ископаемых в недрах (чаще – по линии мощности);

б) вскрывать залежи полезных ископаемых на полную мощность с выходом во вмещающие породы.

Разведочное пересечение может быть выполнено с применением разных технических средств: скважин, шурфов, подземных горных выработок и др. Их выбор зависит от задач разведки, природных особенностей объекта, технико-экономических соображений. Чем сложнее строение полезного ископаемого, тем в большей степени должно быть вскрыто тело оцениваемой залежи. Оптимальным при этом является использование разведочных горных выработок.

Разведочное пересечение должно быть сплошным, что обеспечивает полную информацию по изучаемому направлению. Вычисленные по нему средние значения свойств наиболее близки к действительным. Они расходятся только на величину технических погрешностей экспериментальных наблюдений.

Разведочные сечения (разрезы) могут быть поперечными, продольными или косыми по отношению к телам полезных ископаемых, а также горизонтальными или вертикальными. Разведочные пересечения в пределах разрезов могут располагаться параллельно под разными углами или пересекая друг друга. Если сведения о строении и свойствах полезного ископаемого накапливаются по линиям на основе данных разведочных пересечений, то площади (объемы) между смежными разведочными разрезами остаются неосвещенными. Чтобы иметь сведения о свойствах полезного ископаемого в пределах этих площадей, необходимо располагать характеристикой изменчивости залежи и геологической информацией, которая может быть получена только по принципу аналогии.

Несколько иной смысл вкладывал в понятие разведочной системы основоположник учения о поисках и разведке МПИ В. М. Крейтер (1961). В основе предложенной им систематики предлагалось брать необходимый комплекс технических средств разведки. Под системой разведки он понимал «такое пространственное размещение разведочных

средств, которое дает возможность построить намеченные разрезы и произвести необходимое опробование для подсчета промышленных запасов полезного ископаемого». Все разведочные системы В. М. Крейтер объединил в три группы, взяв за основу технические средства разведки: группы буровых, горных и горно-буровых систем. Позднее в развитие представлений о разведочных системах уже иными авторами были положены такие базовые понятия как характер изменчивости свойств полезных ископаемых, особенность анизотропии в строении залежей, возможности их изучения на основе комплекса технических средств. Так, А. Б. Каждан (1984) предложил классификацию разведочных систем, разделив их на три класса: системы вертикальных, горизонтальных и продольных разрезов, а также входящих в них ряда групп и видов (табл.).

РАЗВЕДОЧНАЯ СЕТЬ, ЕЁ ТИПЫ, ОБОСНОВАНИЕ ПАРАМЕТРОВ СЕТИ

Типы разведочных сетей

Обоснованность запланированной в проекте разведочной системы раскрывает выбранная разведочная сеть. Под *разведочной сетью* (РЗС) следует понимать взаиморасположение в объекте разведки локальных наблюдений и измерений разведочных параметров (Шевелев, 2004). Практика показала, что при одной и той же разведочной системе могут быть реализованы разные РЗС и, наоборот, разными разведочными системами могут быть созданы одинаковые разведочные сети.

Разведочную сеть характеризуют ряд показателей.

Анизотропия РЗС – это различие в размещении наблюдений и замеров по разным направлениям пространства. Анизотропия проявляется в форме и ориентировке ее ячеек. Если форма ячеек изометричная (квадратная, треугольная), то сеть изотропна. Если ячейка сети обладает удлиненной формой (прямоугольной, ромбической) с одинаковой ориентировкой, то сеть анизотропна.

Геометрия сети может быть разной. Выделяют правильные, неправильные и линейные сети.

Правильные сети – расположение разведочных пересечений подчиняется строгому геометрическому порядку (квадратная, прямоугольная, ромбическая).

Неправильные сети – отсутствует общая геометрическая упорядоченность в расположении разведочных пересечений.

В *линейных сетях* – разведочные пересечения располагаются в плоскости разведочных сечений и образуют отдельные линии на плоскости проекции; они могут быть параллельными или пересекающимися.

РЗС формирует представление об объекте разведки, соответствие которого в действительности можно проверить только в процессе отработки месторождения. Поэтому следует стремиться к обоснованию и реализации на практике «оптимальной» разведочной сети. По мнению В. В. Шевелева (2004) для этого необходимо выполнение ряда условий.

Первое: при ограниченных ассигнованиях на разведку оптимальная РЗС должна быть обеспечена лимитированным количеством разведочных пересечений, позволяющим выполнить разведку с наибольшей точностью и детальностью.

Второе (дополняющее первое): требования по точности и детальности разведки (категоризации запасов) следует реализовать наименьшим количеством разведочных пересечений.

Третье: у разведочной сети должна быть «оптимальная геометрия», отвечающая структурно-морфологическим особенностям объекта.

На примере четырех ведущих морфологических типов полезных ископаемых ниже рассмотрены условия выбора разведочных сетей (Волков, 2006).

1. Горизонтальные пластовые, пластообразные и линзообразные залежи, имеющие в плане изометричную или близкую к ней форму. Элементы анизотропии свойств не выражены. К этой группе следует отнести месторождения осадочного генезиса и кор выветривания: часть месторождений железных руд, марганца, никеля, бокситов, углей, фосфоритов. Если залежь должна быть изучена с одинаковой точностью по всей площади, то для достижения этой цели наиболее эффективна *квадратная сеть* разведочных пересечений (рис. 20). Она дает возможность получить серии взаимно пересекающихся разрезов. Подобная сеть позволяет на отдельных участках более сложного строения дальнейшее развитие РЗС путем проходки детализационных профилей (рис. 21).

При разведке рассматриваемого типа залежей возможны и другие варианты сетей, отвечающих тем же условиям равномерности расположения точек наблюдений. К ним можно отнести *треугольную сеть*, позволяющую построить равноточные разрезы по трем направлениям. При одинаковом расстоянии между точками пересечения у треугольной сети есть преимущество – расстояние до центра ячейки оказывается меньшим (рис. 22). Но треугольная сеть в практике разведок почти не используется (возможности ее дальнейшего развития отсутствуют).

2. Горизонтальные пластовые и пластообразные залежи, обладающие заметно выраженной в плане протяженностью в одном направлении – более распространенный в природе класс залежей по сравнению с предыдущим, шире охватывающий те же типы осадочных и экзогенных месторождений. Наличие у тел длины и ширины определяет анизотропию их строения. Поперек вытянутости залежей изменчивость выше, вдоль тел – меньше. Условию получения равномерной изученности залежей в данном случае наиболее соответствует *прямоугольная сеть*, стороны которой ориентированы по направлению длины и ширины тела. Короткая сторона ячейки располагается по ширине, а длинная – вдоль вытянутости объекта (рис. 23). Прямоугольная сеть обладает возможностями ее развития – сгущение на отдельных участках, проходка детализационных профилей.

Примером рассматриваемой группы залежей служат сильно вытянутые извилистые в плане тела лентообразной формы с резко выраженной анизотропией свойств (рис. 24). Геометрически правильная прямоугольная сеть при этом нарушается, и она становится близкой к сети следующего типа.

3. Наклонные залежи с отчетливо выраженными элементами залегания являются наиболее распространенным типом объектов разведки. Их морфология соответствует пластам, пластообразным залежам. Залежи такого типа обладают анизотропией морфологии, условий залегания и внутреннего строения. Разведочная сеть подчинена этим признакам. Применяется система параллельных вертикальных сечений (при

выдержанном простирании) или непараллельных (при изменчивом простирании), располагающихся на одинаковом расстоянии друг от друга (рис. 25). Способы развития сети точек наблюдений близки к описанным выше. Например, детализация имеющихся профилей, проходка промежуточных линий и выработок.

4. Для крутопадающих залежей, имеющих облик штоков, характерны сложные виды анизотропии (состава, свойств). В этом случае используется комбинированный способ разведки с применением горных выработок и буровых скважин. В одном из вариантов разведки крутопадающее рудное тело рассекается горными выработками по нескольким горизонтальным сечениям. В каждом сечении проходятся поперечные горные выработки и горизонтальные скважины с целью оконтуривания и изучения залежи (рис. 26).

В учебном пособии (Рудничная…, 1986) приведена более лаконичная систематика разведочных сетей. Выделены две системы разведки – по сетке и параллельным сечениям.

В системе разведки по сетке задействованы правильные разведочные сети – квадратная, прямоугольная, ромбическая. Эти РС применяются для крупных по размерам, простых по морфологии и внутреннему строению рудных тел, залегающих горизонтально или слабо наклонно – пластов, пластообразных тел, штокверков, плащеобразных залежей (рис. 27).

В системе разведки по параллельным сечениям следует выделять: а) горизонтальные сечения для крутопадающих тел сложной формы и строения (трубообразных, линейных оруденелых зон); б) вертикальные сечения для любых по форме тел с переменными углами падения, сложным внутренним строением и глубокозалегающим. Иногда системы горизонтальных и вертикальных сечений могут применяться на одной и той же залежи. Здесь верхняя часть разведуется горизонтальными сечениями (горными выработками в комбинации с подземными скважинами), а глубокие горизонты – скважинами с поверхности и подземным бурением, создающими вертикальные сечения.

Принципиальная схема разведки рудных тел линзообразной формы с использованием горноразведочных работ и буровых скважин отражена на рисунке 28.

Плотность разведочной сети, её обоснование

Обсуждение вопроса о плотности разведочной сети имеет высокую актуальность. С одной стороны, этот вопрос касается детальности изучения объекта, а с другой – связан с затратами средств и времени. Выбор плотности сети ориентируется на изучение *наиболее изменчивых параметров залежей*. В одних случаях для надежной оценки объема и условий залегания полезных ископаемых используются характеристики изменчивости формы залежей; в других – для оценки качества минерального сырья результаты исследования изменчивости линейных запасов или содержаний.

Разведочная сеть создается в плоскости залежей. Плотность (густота) разведочной сети определяется площадью, приходящей на одно разведочное пересечение. Плотность разведочной сети (R) есть безразмерный показатель – отношение объёма залежи (Q) к объему разведочной ячейки (q), т. е. $R=Q/q$. Однако в практике разведки практически всегда используют параметры, характеризующие расстояние между разведочными пересечениями, как в плоскости разведочных сечений, так и между ними.

Плотность разведочной сети зависит от размеров скоплений полезных ископаемых, сложности их геологического строения, целей разведочных работ, размеров оцениваемых (подсчетных) блоков. Чем гуще РЗС, чем меньше размер ее ячейки, тем большей разрешающей способностью она обладает и тем более глубокий уровень в строении оцениваемых объектов она вскрывает. По мере сгущения РЗС у наблюдаемой изменчивости разведочных параметров меняется соотношение между ее случайной и закономерной составляющими в сторону увеличения последней. Суммарная изменчивость остается постоянной, что выражается в постоянстве величины ее дисперсии при разной густоте РЗС (Шевелев, 2004).

Мерой, определяющей степень сгущения разведочной сети, служит выявляемая доля координированной изменчивости свойств залежей полезных ископаемых. Только при ее наличии правомерна геометризация параметров залежей. Составляющая неслучайной (координированной) изменчивости может быть выявлена и оценена горно-геометрическими и математическими методами.

В практике геологоразведочных работ при оптимизации РЗС задействуют следующие методы (способы):

- аналогии;
- разрежения (сгущения) разведочной сети;
- сравнения данных разведки с данными эксплуатации;
- геометро-статистический;
- совокупность математических методов

и ряд других способов.

Способ аналогии применяется в соответствии с принципом аналогии. Первоначально разведочная сеть принимается по аналогии с другими близкими по геологическому строению объектами. Месторождения должны относиться к одному геолого-промышленному типу. В данном случае задействуется *межобъектная аналогия.* Наибольшее значение способ приобретает на стадии оценочных работ в связи с недостатком сведений о геологическом строении оцениваемого объекта.

Способ базируется на отнесении разведуемого объекта к определенной группе сложности строения и выборе плотности РЗС на основе обобщения данных разведки многочисленных месторождений, приведенных в «Методических указаниях по применению классификации запасов…», МПР РФ, 2007. Накопленный опыт указывает на определенную условность отнесения объектов к той или иной группе. Индивидуальность объектов является основной причиной ошибок при использовании метода. Чем необычней по строению, составу оцениваемые недра, тем ниже оказывается возможность использования способа аналогии.

В пределах месторождения возможно применение *внутриобъектной аналогии* – использование апробированных разведочных сетей на участках выборочной детализации или в пределах отработанных частей залежей. Способ аналогии является наиболее используемым. Однако в рекомендациях ГКЗ подчеркивается, что он является приближенным и обязательно требует заверки соответствующими экспериментами и расчетами.

Способ разрежения относится к категории экспериментальных. Основан на предположении, что достигнутая на объекте густота сети наблюдений заведомо обеспечивает требуемую точность результатов, что чаще не является бесспорным. Способ сводится к последовательному разрежению исходной разведочной сети в 2, 3, 4 и т. д. раз. По разреженной РС определяются средние параметры разведочного участка, сосредоточенные в них запасы, строятся геологические разрезы. Затем производится их сравнение с «истинными» характеристиками, полученными на основе всех разведочных данных по исходной сети. Обнаруживающиеся различия рассматриваются как погрешности, к которым приводит конкретное разрежение сети. Задавая допустимый уровень погрешности, можно установить минимальную густоту сети, при которой во всех вариантах пространственного расположения точек наблюдений погрешности оценки параметра не превысят допустимого значения. Изменение наблюдаемого облика залежи полезного ископаемого при последовательном разрежении сети точек наблюдений отражено на рисунке 29. В тоже время следует отметить, что способ разрежения, как метод сравнения, следует применять в качестве общетеоретического исследования, а не оперативного средства для оценки сети разведуемого объекта (Шевелев, 2004).

Способ сгущения разведочной сети – экспериментальный способ, имеющий конкретную прикладную направленность. Он применяется в тех случаях, когда имеющаяся сеть точек наблюдений признана недостаточно густой или необходим контроль правильности представлений о геологической модели объекта. При последовательном сгущении сети следует постоянно анализировать изменение представлений о морфологии рудных тел, условиях их залегания и иных геологоразведочных параметров. Одним из показателей достаточности РЗС является однозначная увязка геологических элементов и рудных тел на планах и разрезах.

Следует учитывать, что при каждом сгущении сети имеется только один вариант пространственного положения начального пункта сети. Для этого варианта определяется среднее значение исследуемого параметра и вероятная погрешность его оценки. Достаточной признается такая густота сети, которая обеспечивает погрешности ниже допустимой, а увязка данных по соседним разведочным выработкам становится однозначной.

Способ сравнения данных разведки с данными эксплуатации заключается в сравнении разведочной модели недр с наиболее достоверной, основанной на наиболее детальном изучении недр в процессе эксплуатационных работ. Различие, которое при этом фиксируется, рассматривается как показатель, оценивающий правильность и точность разведки (Комплексная ГЭО…, 1990; Сборник нормативно-методических документов…, 1998, Шевелев, 2004). Данные разведки и отработки сопоставляются в контурах запасов, ранее прошедших экспертизу в ГКЗ РФ, с учетом отработки запасов за пределами этих контуров

Сравнению подлежат запасы полезного ископаемого и их компонентов, все подсчетные параметры (мощность тел полезных ископаемых, содержание полезных и вредных компонентов, объемная масса, площадь тела полезного ископаемого, коэффициент рудоносности и т. д.).

При сопоставлении должны анализироваться не только параметры и общие цифры запасов, но и выявленные изменения в представлениях об особенностях геологического строения месторождения; анализируется их влияние на количество и качество запасов полезного ископаемого. Должны вскрываться причины расхождений сопоставляемых данных разведки и отработки. Должна быть доказана достоверность данных эксплуатационной разведки, эксплуатационного опробования очистных выработок, геолого-маркшейдерского и фабричного учета, достоверность учета потерь и разубоживания (рис. 2, 30, 31).

Необходимо отметить, что результаты эксплуатации месторождения нельзя рассматривать как безошибочные. При разработке месторождения не всегда полностью учитываются потери и разубоживание минерального сырья, а это искажает представление о морфологии и качестве тел полезных ископаемых. Подготовительные и очистные работы часто не проводятся в тектонически сложных зонах, на участках размыва залежей, их расщепления или выклинивания, что снижает достоверность собранных сведений. Поэтому на практике применение способа чаще ведется путем сравнения не с данными добычи, а с результатами эксплуатационного опробования.

В результате сопоставления данных разведки и разработки даются рекомендации, направленные на повышение достоверности исходных разведочных данных, методики разведки, оконтуривания и подсчета запасов.

Геометро-статистический способ имеет достаточно надежный и относительно простой математический аппарат, широкий диапазон применения. Возможности использования метода для решения комплекса горно-геологических задач рассмотрены ранее (см. раздел 11.3). Здесь приведена методика решения лишь одной задачи – определения рациональной плотности разведочной сети.

Для решения прикладных геологоразведочных задач обычно используют данные эксплуатационной разведки. Подбор данных проводится на профилях, ориентированных по простиранию и падению рудных тел. Размеры между точками наблюдений соответствуют расстояниям между точками отбора проб в горных выработках или скважинах. Длина профилей соответствует параметрам рудных тел по исследуемым направлениям. Обработка материалов заключается в построении одномерных графиков изменчивости геологических параметров в системе координат: содержание полезного компонента (мощность залежи) – расстояние. Затем проводится выравнивание (сглаживание) исходных данных, оценка уровненного строения, частотных и амплитудных характеристик изучаемых полей (геохимических, морфометрических).

Для обоснования плотности и геометрии разведочной сети применяется *способ геометрической автокорреляции*, соответствующий геометро-статистической модели (Рудничная…, 1986; Петруха, 2003). Способ позволяет вычислять значение радиуса геометрической автокорреляции (R_q, м) после выравнивания исходных данных по формуле: $R_q=L(1+2K_q)^{-1}$, *где* L – длина участка аппроксимации (исследуемого профиля), м; K_q – количество экстремальных значений аппроксимирующей поле функции на профиле; q – структурный уровень. Оптимальный шаг разведки принимается равным среднему значению радиуса геометрической автокорреляции, вычисленному по сечениям рудного тела (по простиранию и падению).

Геометро-статистическая модель используется для установления связи между уровнями частотной изменчивости параметра (R_q) и категориями разведанных запасов. Применение модели оправдано при преобладании закономерной составляющей изменчивости признака над случайной составляющей или при их равных соотношениях.

Обоснование оптимальной плотности разведочной сети для медноколчеданных месторождений Урала, выполненное Л. М. Петрухой (1991), позволило установить, что распределение меди, цинка, серы в рудных телах месторождений в основном изометричное. Оценка анизотропии (A) изменчивости геологоразведочных параметров, определенной как соотношение значений (R_q) по простиранию и падению рудных тел ($A=R_{q1} / R_{q2}$), показала, что среднее значение A=1,1, т. е. близко к единице. В связи с этим разведочная сеть на медноколчеданных месторождениях должна быть квадратной, а не прямоугольной (как это отражено в Методических рекомендациях ГКЗ).

Обоснование плотности разведочной сети с использованием аппарата стационарной случайной функции и геостатистической модели рассмотрены ранее (см. раздел 11.3).

Контрольные вопросы к теме 3

1. Принципы разведки. Для чего они разработаны?
2. В чем заключается принцип последовательных приближений?
3. Как реализуется принцип аналогии?
4. В чем заключается принцип максимальной эффективности?
5. На какие этапы и стадии подразделяется процесс геологического изучения недр?
6. На какой стадии геологоразведочных работ рудопроявление переходит в разряд месторождений?
7. Что такое – месторождение оценённое, месторождение разведанное?
8. Какой документ подготавливается по результатам разведки месторождения? Каково его содержание?
9. Какие виды горных выработок применяются при разведке? Охарактеризуйте условия их применения.
10. Перечислите преимущества и недостатки применения при разведке буровых скважин.
11. Какие геофизические методы применяются при изучении поверхности месторождений?
12. Какие задачи при разведке позволяет решать каротаж скважин?
13. Какие данные позволяют получить применение геофизических методов при изучении межскважинного пространства?
14. Что такое система разведки?
15. Типы разведочных сетей.
16. Плотность разведочной сети; какие факторы определяют ее обоснование?
17. В чем сущность способов аналогии и разрежения при обосновании плотности разведочной сети?
18. Как осуществляется сопоставление данных разведки и эксплуатации при обосновании плотности сети наблюдений?

19. Что лежит в основе математических методов обоснования плотности разведочной сети (статистического, геометро-статистического, геостатистического и др.)?

Тема 4
Подсчет запасов полезных ископаемых

КОНДИЦИИ ДЛЯ ПОДСЧЕТА ЗАПАСОВ ПОЛЕЗНЫХ ИСКОПАЕМЫХ

Кондиции на минеральное сырье представляют собой совокупность требований к качеству и количеству полезных ископаемых, горно-геологическим и иным условиям их разработки, обеспечивающим наиболее полное комплексное и безопасное использование недр на рациональной экономической основе с учетом экологических последствий эксплуатации месторождения (Методические рекомендации…, 2007; Временное руководство…, 1997). Кондиции – это основной инструмент геолого-экономической оценки месторождений. Они разрабатываются и уточняются в процессе геолого-экономической оценки месторождений по материалам их разведки и эксплуатации на основе специального технико-экономического обоснования (ТЭО).

Для подсчета запасов рудных месторождений, а также отдельных видов нерудного сырья (горно-химического, плавикового шпата, барита, графита, талька, асбеста, слюды), кондиции могут включать следующие параметры:

- бортовое содержание компонента в пробе или условия оконтуривания рудных тел в геологических границах;
- минимальное содержание компонента в краевой выработке;
- минимальное промышленное содержание компонента в подсчетном блоке, запасы которого относятся к балансовым;
- коэффициенты приведения содержания попутных компонентов к основному в комплексных рудах и минимальное их содержание, учитываемое при приведении;
- максимально допустимое содержание вредных примесей в краевой пробе, оконтуривающей выработке и по месторождению;
- минимальная мощность тел полезного ископаемого или минимальный метропроцент (метрограмм);
- максимально допустимая мощность прослоев пустых пород и некондиционных руд, включаемых в подсчетный контур полезного ископаемого;
- минимальный коэффициент рудоносности для месторождений с прерывистым и гнездовым распределением полезных компонентов;
- минимальные запасы изолированных тел полезных ископаемых, при которых они относятся к балансовым.

По остальным типам месторождений полезных ископаемых (карбонатные породы, магнезиты, дуниты, цементное сырье и другие) кондиции для подсчета запасов включают:

- требования к качеству полезного ископаемого (или получаемой из него продукции) в соответствии с действующими стандартами и техническими условиями или обусловленными результатами технологических испытаний;
- условия подсчета запасов по сортам (классам, маркам) конечной продукции;
- минимальную мощность тела полезного ископаемого;
- максимально допустимую мощность прослоев пустых пород и некондиционных руд, включаемых в подсчетный контур полезного ископаемого;
- минимальный выход конечной продукции.

Для каждого месторождения, в зависимости от геологического строения, горно-технических условий разработки и требований промышленности к качеству минерального сырья, учитывают только те их перечисленных параметров, которые необходимы для геолого-экономической оценки его промышленного назначения.

Рассмотрим важнейшие кондиционные показатели.

Бортовое содержание – это наименьшее содержание полезных компонентов в пробах, включенных в подсчет запасов, при оконтуривании по мощности тела полезного ископаемого в случае отсутствия четких геологических границ. Оно должно отвечать наибольшему экономическому эффекту разработки месторождения. В комплексных месторождениях бортовое содержание выражается суммой содержаний полезных компонентов, имеющих промышленное значение. Эта сумма должна быть приведена к содержанию условного основного компонента, имеющего максимальную извлекаемую стоимость. Примеры оконтуривания месторождений при различных вариантах бортового содержания приведены на рисунках (рис. 32, 33).

Бортовое содержание определяется на основе повариантных подсчетов запасов. В качестве исходного варианта целесообразно применять бортовое содержание месторождения, аналогичного оцениваемому (по типу оруденения, размерам, морфологии рудных тел, вещественному составу руд, условиям разработки). Варианты с более высокими или низкими бортовыми содержаниями следует подбирать таким образом, чтобы разница в запасах руды, подсчитываемых при снижении (повышении) бортовых содержаний, составляла, как правило, не менее 10 % от общих запасов ближайшего варианта. Количество вариантов обычно не превышает 5 и чаще всего ограничивается значением 3. В случаях, когда сведения о бортовом содержании на аналогичном месторождении отсутствуют, первоначальную ориентировочную величину этого параметра в качестве исходного варианта определяют аналитическим путем, исходя из цены полезного компонента, коэффициента сквозного извлечения, разубоживания при добыче, удельных затрат на добычу и переработку. Последние определяются, исходя из укрупненных показателей намеченных систем добычи и переработки полезных ископаемых и предполагаемого масштаба месторождения. Для аналитического выражения бортового содержания применяются следующие формулы:

а) при ценах на содержащийся в концентрате полезный компонент:

$$С_{борт} = [(З_д + З_о) / (Ц_к \cdot И_о \cdot (1\text{-}р))] \cdot 100\ \%,$$

где $З_д$ и $З_о$ – эксплуатационные затраты на добычу и обогащение 1 т руды, руб.; $Ц_к$ – цена 1 т полезного компонента в концентрате без налога на добавленную стоимость (НДС), руб.; $И_о$ – коэффициент извлечения при обогащении, доли ед.; р – разубоживание при добыче, доли ед.;

б) при ценах на товарные концентраты ($Ц_к$) с установленным в них содержанием ($С_к$) полезного компонента:

$$С_{борт} = [((З_д + З_о) \cdot С_к) / (Ц_к \cdot И_о \text{ х } (1\text{-}р))] \cdot 100\ \%.$$

Оконтуривание рудных тел в соответствии с вычисленной величиной бортового содержания и подсчет запасов позволяют установить, какова будет экономическая эффективность разработки месторождения, а также наметить величину прочих вариантов бортового содержания. При этом верхний предел бортового содержания не должен быть

выше минимального промышленного содержания, подсчитанного с учетом налогов, платежей и отчислений; нижний предел бортового содержания не должен быть ниже уровня содержаний, при которых полезный компонент не извлекается в товарную продукцию.

Минимальное содержание компонента в краевой выработке устанавливается в тех случаях, когда выявлено закономерное снижение содержаний полезных компонентов в краевых частях рудного тела. Оконтуривание рудных тел в соответствии с минимальным содержанием в краевых выработках должно соответствовать наибольшему экономическому эффекту разработки месторождения. Это минимальное содержание определяется вариантным способом.

Минимальное промышленное содержание полезного компонента в подсчетном блоке – это содержание, при котором извлекаемая ценность минерального сырья обеспечивает возмещение всех затрат и получение минимальной установленной прибыли.

Минимальное промышленное содержание без учета налогов, платежей и отчислений определяется по формулам:

а) при ценах на содержащийся в концентрате полезный компонент:

$$С_{мин} = [(З_у + К_у \cdot Е) / (Ц_к \cdot И_о \cdot (1\text{-}р))] \cdot 100\ \%,$$

где $З_у$ – эксплуатационные затраты на добычу и обогащение 1 т руды, руб.; $К_у$ – удельные капитальные вложения в строительство горнопромышленного предприятия, руб.; Е – учетная ставка банка, доли ед.; при отсутствии инфляции принимается 5-6 %;

б) при ценах на товарные концентраты:

$$С_{мин} = [(З_у + К_у \cdot Е) \cdot С_к] / [(Ц_к \cdot И_о \cdot (1\text{-}р))] \cdot 100\ \%.$$

Минимальное промышленное содержание с учетом налогов, платежей и отчислений определяется по формулам:

а) при ценах на содержащийся в концентрате полезный компонент

$$С_{мин.\ н} = [(З_{ун} + К_у \cdot Е + Н_у) / (Ц_к \cdot И_о \times (1\text{-}р))] \cdot 100\ \%\ ,$$

где $З_{ун}$ – эксплуатационные затраты на добычу и обогащение 1 т руды с учетом налогов, которые входят в структуру эксплуатационных затрат; $Н_у$ – налоги, платежи, отчисления на прибыль в расчете на 1 т годовой добычи руды;

б) при ценах на товарные концентраты

$$С_{мин.\ н} = [(З_{ун} + К_у \cdot Е + Н_у) \cdot С_к / (Ц_к \cdot И_о \cdot (1\text{-}р))] \cdot 100\ \%.$$

Приведенное содержание полезных компонентов комплексных руд к содержанию условного компонента осуществляется с использованием переводных коэффициентов. Эти коэффициенты определяются исходя из соотношения цен полезных компонентов и коэффициентов извлечения при обогащении руд. Минимальное содержание, учитываемое при приведении к содержанию условного компонента, принимается равным содержанию, при котором минеральное образование не извлекается при принятой технологии обогащения:

$$К_{пр} = (Ц_п \cdot И_п) / (Ц_о \cdot И_о),$$

где $Ц_о$ и $Ц_п$ – цена 1 т основного и попутного компонента в концентрате, руб.; $И_о$ и $И_п$ – соответственно их коэффициенты извлечения, доли ед.

Максимальные допустимые содержания вредных примесей у полезных ископаемых, используемых без обогащения, устанавливаются в пробе или в интервале

разведочной выработки в соответствии с требованиями промышленности. Если при отработке месторождения предусматривается усреднение добытого минерального сырья, максимально допустимое содержание вредных примесей может быть установлено для подсчетного блока. При обогащении полезного ископаемого, когда вредные примеси полностью или частично переходят в концентрат и не извлекаются из него в дальнейшем, соответствующие ограничения вводятся для подсчетного блока. В случае, когда для удаления вредных примесей из концентрата требуется дополнительная переработка, их содержание в подсчетном блоке учитывается через величину минимального промышленного содержания полезного компонента.

Минимальная мощность полезного ископаемого и *максимально допустимая мощность прослоев пустых пород и некондиционных полезных ископаемых* устанавливается исходя из принятого способа и системы разработки месторождения. Целесообразность отработки рудных тел меньшей мощности, но с повышенным содержанием полезных компонентов, определяется по *метропроценту* (*метрограмму*) исходя из установленной минимальной мощности тела полезного ископаемого и бортового содержания.

В случае сложного строения рудных тел, когда рудные интервалы чередуются с безрудными, для уточнения величины максимально допустимой мощности прослоев пустых пород и некондиционных руд проводится подсчет запасов при разной мощности этих слоев по каждому из оцениваемых вариантов бортового содержания. Оценка влияния прослоев на размеры и форму рудных тел и последующую эффективность добычи и переработки полезного ископаемого позволяет установить оптимальную величину этого параметра кондиций.

Коэффициент рудоносности применяется в случае невозможности выделить и оконтурить в процессе геологоразведочных работ отдельные рудные тела. Минимальная величина коэффициента рудоносности устанавливается для подсчетного блока, исходя из минимально приемлемой рентабельности разработки месторождения, при определении которой наряду с общепринятыми затратами учитываются дополнительные, связанные с доразведкой и оконтуриванием рудных тел и их селективной выемкой.

Минимальные запасы изолированных тел полезных ископаемых, при которых они относятся к балансовым ($Q_{мин}$), устанавливаются исходя из дополнительных расходов, связанных с их вскрытием и отработкой, по формуле:

$$Q_{мин} = [К_д \cdot (1\text{-}р)] / [(Ц_{из} – З_{ун} – Н_у – К_д \cdot Е) \cdot (1\text{-}п)],$$

где $К_д$ – капитальные вложения, необходимые на проходку дополнительных вскрышных выработок, руб.; $Ц_{из}$ – извлекаемая в концентрат ценность полезных компонентов из 1 т руды, руб.; п – потери при добыче, доли ед.

ОКОНТУРИВАНИЕ ЗАПАСОВ

Оконтуривание является одной из самых ответственных операций при подсчете запасов. Оно заключается в ограничении рудных тел или их разведанных участков на площади и в разрезе.

Оконтуривание запасов ведется по промышленным кондициям. Запасы оконтуриваются по трем направлениям: *мощности, простиранию и падению* рудной

залежи. Исходными материалами для оконтуривания служат данные геологической документации и результаты опробования.

Контур может представлять собой: 1) естественные границы рудных тел; 2) линию с бортовым содержанием; 3) линию с нулевым содержанием полезного компонента; 4) линию с минимальной промышленной мощностью рудного тела; 5) линии разных типов и сортов руд; 6) линии, разграничивающие запасы разных категорий; 7) линии участков с разными условиями вскрытия и разработки; 8) линии предельного содержания вредных примесей. Некоторые типы контуров приведены на рисунках 34, 35.

Если тело не имеет естественных природных границ, его оконтуривают чаще всего по бортовому содержанию или по минимальной промышленной мощности.

При оконтуривании запасов различают внутренний и внешний контуры. *Внутренний контур* – линия, соединяющая крайние точки с кондиционными содержанием и мощностью; *внешний контур* – линия, проведенная за пределами этих точек по более низким (некондиционным) показателям. Площадь между внутренним и внешним контурами принято называть *межконтурной полосой* (рис. 36).

Оконтуривание начинается с определения *опорных точек*, через которые затем проводится линия контура. Положение опорных точек устанавливают методами интерполяции и экстраполяции. *Метод интерполяции* заключается в определении мощности или содержания между смежными выработками. *Метод экстраполяции* состоит в определении мощности или содержания за пределами выработок. Различают *ограниченную экстраполяцию*, когда внешняя контурная линия проводится между рудной и безрудной точками, и *неограниченную экстраполяцию*, когда эта линия проводится за пределами контура выработок, где данные о параметрах рудного тела отсутствуют.

Положение опорной точки между двумя пробами определяется с помощью интерполяции, если содержание полезного компонента изменяется закономерно, то есть переход между рудой и вмещающими породами постепенный. При незакономерном изменении содержания промышленный контур проводят обычно через середину расстояния между пробами с кондиционным и некондиционным содержанием или даже через крайнюю кондиционную пробу. Положение опорной точки при экстраполяции принимается на половине, трети или четверти расстояния между выработками или определяется по естественным формам выклинивания рудных тел.

Для полого залегающих плоских изометричных тел площадь оконтуривается в плане, для крутопадающих плоских тел – на продольных разрезах и вертикальных проекциях. Для крутопадающих тел с выдержанными углами падения оконтуривание площади иногда проводят на проекции, параллельной плоскости падения.

Как во внутренних, так и во внешних контурах, производится блокировка запасов по категориям, типам и сортам руд, условиям залегания, вскрытия, разработки и т. д.

Вначале оконтуривание выполняется по отдельным выработкам, затем по отдельным разведочным сечениям (вертикальным или горизонтальным) и только потом в целом по рудному телу.

*Оконтуривание рудных тел в пределах отдельных разведочных выработок з*ависит от их ориентировки относительно рудного тела. В *секущих* выработках при наличии четких геологических контактов с вмещающими породами границы тела определяются по

данным непосредственных наблюдений в забое горных выработок или по керну буровых скважин. При отсутствии четких геологических контактов границы тела полезного ископаемого определяются по результатам опробования и проводятся между породами, показавшими кондиционное и некондиционное содержание полезного компонента. При этом возможны 2 случая: а) если опробование выполнено сплошной бороздой, контур тела проводится по границе последней пробы, показавшей кондиционное содержание; б) если опробование проводится с интервалом между пробами, то границы промышленной части тела проводят между пробами способом интерполяции.

При незакономерном изменении содержания полезного компонента промышленный контур проводят обычно через середину расстояния между пробами, показавшими кондиционное и некондиционное содержание полезного компонента (рис. 37).

В *прослеживающих* выработках кроме распределения полезного компонента необходимо учитывать и характер выклинивания рудного тела. При резком выклинивании контур проводится по данным непосредственных наблюдений. При постепенном выклинивании учитывается характер изменения содержания и мощности.

Если содержание полезного компонента снижается постепенно, а мощность остается постоянной, то оконтуривание производится по содержанию. Здесь существуют те же два варианта, что и для секущих выработок: при опробовании сплошной бороздой контур проводят через границу последней кондиционной пробы, а при поинтервальном опробовании – методом интерполяции по приведенной выше формуле.

Если наблюдается постепенное уменьшение мощности тела, а содержание остается постоянным, то контур проводится либо по мощности, либо по метропроценту (метрограмму). Граница промышленной части тела определяется по следующим формулам:

$$X=L(M_{мин}-M_B)/(M_A-M_B),$$

где X – расстояние от точки B с некондиционной пробой пробы до контура тела; L – расстояние между кондиционной (A) и некондиционной (B) пробами; M_A и M_B –мощности тела соответственно в точках A и B; $M_{мин}$ – минимальная мощность, установленная кондициями;

$$X=L(M\%_{мин} - M\%_B)/(M\%_A - M\%_B),$$

где $M\%_{мин}$ – минимальный метропроцент, установленный кондициями; $M\%_A$ и $M\%_B$ – значение метропроцента соответственно в точках A и B.

Положение контура тела может быть намечено также по данным непосредственных замеров мощности в выработках.

Наконец, при одновременном уменьшении мощности тела и содержания полезного компонента оконтуривание производится по минимальному метропроценту (метрограмму).

Положение контура тела между двумя точками можно определять также графическим способом или специальной палеткой (транспарантом).

Учитывая, что расстояния между пробами обычно небольшие, особенно для руд цветных, редких металлов и золота, нередко поступают проще: проводят контур посередине между кондиционной и некондиционной пробами.

Оконтуривание тел полезных ископаемых по совокупности разведочных выработок производится на планах, разрезах или проекциях. При этом различают 3 случая проведения контура: 1) по опорным точкам, установленным непосредственно в выработках; 2) между двумя крайними выработками, одна из которых характеризуется кондиционными показателями, другая – некондиционными; 3) между двумя крайними выработками, одна из которых характеризуется кондиционными показателями, другая – отсутствием полезного ископаемого.

Проведение контура по опорным точкам, установленным непосредственно в выработках, выполняется двумя путями. При наличии четких геологических границ рудных тел опорные точки наносятся на планы, разрезы или проекции по данным непосредственных замеров в выработках (рис. 38). При отсутствии четких границ опорные точки определяются в пределах каждой выработки по данным химических анализов описанными выше способами. Оконтуривание состоит в соединении опорных точек.

Проведение контура тела полезного ископаемого между двумя крайними выработками, одна из которых характеризуется кондиционными показателями, другая – некондиционными, производится в зависимости от характера распределения полезного компонента. При равномерном распределении и постепенном изменении содержания полезного компонента опорные точки определяются рассмотренным выше способом интерполяции с использованием приведенных формул, графически или с помощью палетки. При неравномерном распределении полезного компонента или неравномерном изменении мощности контур обычно проводят через середину расстояния между выработкой с кондиционными и выработкой с некондиционными показателями. На месторождениях с крайне неравномерным распределением полезного компонента контур рудного тела часто проводят через крайние кондиционные выработки.

Проведение контура тела полезного ископаемого между двумя крайними выработками, одна из которых характеризуется кондиционными показателями, а другая фиксирует полное отсутствие тела полезного ископаемого, осуществляется в зависимости от характера выклинивания тела. При резком выклинивании промышленный контур проводят через середину расстояния между выработками, то есть способом ограниченной экстраполяции. Кондиционная мощность тела, вскрытая выработкой, распространяется до середины расстояния между выработками. При закономерном, постепенном выклинивании рудного тела нулевой контур также проводят через середину расстояния между выработками, а положение подсчетного контура определяется способом интерполяции между выработкой с промышленной концентрацией полезного ископаемого и принятым нулевым контуром (рис. 39).

Описанные приемы оконтуривания тел обычно применяются для определения положения контура не только между разведочными выработками (рис. 40), но и между разведочными разрезами (линиями).

Определение контуров тел полезных ископаемых за пределами разведочных выработок, или неограниченная экстраполяция, практикуется для запасов низких категорий C_1 и C_2, подлежащих дальнейшей разведке. При оконтуривании используются разнообразные геологические, морфологические, геофизические, статистические и геометрические приемы.

ПАРАМЕТРЫ ПОДСЧЕТА ЗАПАСОВ

Подсчет запасов полезных ископаемых в общем случае осуществляется по следующей схеме:

1) определяется объем залежи V как произведение площади S на среднюю мощность M: $V = S \cdot M$;

2) определяется запас руды Q как произведение объема V на объемную массу D: $Q = V \cdot D$, при этом обязательно учитывается естественная влажность руд;

3) определяется запас металла P как произведение запаса руды Q на среднее содержание металла C: $P = Q \cdot C \cdot 10^{-2}$, если содержание выражено в %, или $P = Q \cdot C \cdot 10^{-6}$, если в г/т.

Для одних полезных ископаемых (многие виды строительных материалов, природный газ, а в западных странах и нефть) подсчет запасов останавливается на вычислении объема. Количество некоторых иных видов сырья (железные руды, хромиты и др.) подсчитываются в виде запасов руды. Для большинства рудных элементов требуется расчет запасов металла.

Из приведенной схемы видно, что основными параметрами, необходимыми для подсчета запасов, являются площадь, средняя мощность, объемная масса руды и среднее содержание в ней полезных компонентов. Кроме того, могут использоваться разные поправочные коэффициенты.

Площадь устанавливается в результате оконтуривания рудных тел на планах и проекциях. Простые по конфигурации площади измеряются как геометрические фигуры, сложные – с помощью палетки, планиметра или курвиметра. В современных условиях площадь определяется с помощью компьютерных программ.

При наклонном залегании тела полезного ископаемого необходимо привести полученный замер площади к истинному значению, для чего вводят поправку на угол падения залежи β для замеров на плане по формуле:

$$S_{ист.} = S_{изм.} / \cos\beta,$$

для замеров на вертикальной проекции по формуле:

$$S_{ист.} = S_{изм.} / \sin\beta.$$

Мощность тела полезного ископаемого в пределах контура подсчета запасов определяется по данным горных и буровых работ, а также каротажа скважин. Если рудные тела имеют четкие геологические границы с вмещающими породами, их мощность устанавливается непосредственно с помощью замеров. Если четких геологических контуров нет, мощность рассчитывают по результатам секционного опробования по бортовому или минимальному промышленному содержанию полезного компонента.

В горных выработках мощность определяют замером расстояния от кровли до подошвы залежи при их документации и опробовании. Мощность рудных тел по данным бурения устанавливают прямыми или косвенными способами. Прямой способ – это расчет мощности по керну при колонковом бурении и по данным опробования шлама при ударном бурении, косвенные – по данным каротажа скважин или по наблюдениям в процессе бурения за изменением скорости углубки скважин, за цветом или составом шлама.

Разведочные выработки часто пересекают тело полезного ископаемого не по истинной мощности, а под некоторым углом. При пологом залегании замеряется вертикальная мощность $M_в$, при крутом падении – горизонтальная $M_г$. По керну или геофизическим данным мощность определяется длиной рудного интервала $M_{скв}$. Эти так называемые наблюдаемые мощности отличаются от истинной мощности $M_{ист}$ и приводятся к ней по геометрическим формулам (рис. 41):

$$M_{ист.} = M_г \cdot \mathrm{Sin}\alpha,$$

$$M_{ист.} = M_в \cdot \mathrm{Cos}\alpha;$$

$$M_{ист.} = M_{скв.} \cdot \mathrm{Cos}(\alpha\text{-}\beta) \cdot \mathrm{Cos}\gamma,$$

где α – угол падения залежи, β – зенитный угол наклона скважины в месте пересечения залежи; γ – угол между азимутальным направлением скважины и азимутом падения залежи.

Среднее значение мощности определяется среднеарифметическим или средневзвешенным способом. Метод среднего арифметического применяют при более или менее равномерном распределении пунктов замера мощностей. В этом случае средняя мощность M определяется по формуле:

$$M = \sum m / n,$$

где n – количество замеров мощности.

Способ средневзвешенного применяется при резко неравномерном распределении точек замера и установленном направлении закономерностей изменчивости мощности. Средневзвешенная мощность рассчитывается по формуле:

$$M=\sum m \cdot l / \Sigma l,$$

где l – расстояние, на которое распространяется влияние значения данного замера мощности.

Объемная масса руды должна быть установлена с учетом естественной пористости, трещиноватости и кавернозности полезного ископаемого. Она определяется лабораторным или полевым способами. При применении лабораторного способа объемная масса определяется путем взвешивания образцов, покрытых пленкой парафина, в воздухе и в воде или взвешиванием и определением их объема в мерном сосуде. При полевом способе проходится горная выработка и вся добытая горная масса взвешивается, а пройденное пространство замеряется. Соотношение массы полезного ископаемого и объема даст объемную массу. Считается, что для определения объемной массы этим способом достаточно 10 м^3 полезного ископаемого. Этот способ более точный.

Объемная масса должна определяться для каждого сорта и типа полезного ископаемого, запасы которых учитываются самостоятельно. Количество определений объемной массы должно быть достаточным для надежного обоснования средних величин. Считается, что для однообразных по сложению полезных ископаемых достаточно 10-20, а для более сложных 20-30 определений объемной массы типичного материала для каждого сорта полезного ископаемого.

При этом обязательно учитывается *естественная влажность руды*, которая может достигать у отдельных полезных ископаемых 30-40 % и более. Учет естественной влажности необходим в связи с тем, что анализы проводятся с сухими навесками после просушивания проб при 105-110 ºС, а содержание полезных компонентов определяется

для воздушно-сухой массы. Поэтому необходима поправка в содержание на влажность руды по формуле:

$$С_{вл.} = С_{сух.} \cdot (100 - В) / 100,$$

где $С_{вл.}$ – содержание полезного компонента по влажной руды, % или г/т; $С_{сух.}$ – то же в сухой руде; В – влажность, при которой определена объемная масса, %.

Чаще пересчитывают не содержание на сырую руду, а объемную массу сырой руды $D_{вл.}$ на сухую $D_{сух.}$ по формуле:

$$D_{сух.} = D_{вл.} \cdot (100 - В) / 100.$$

Естественная влажность определяется как отношение потери массы штуфа в результате высушивания к массе влажного образца и вычисляется путем сравнения массы проб влажного минерального сырья $Q_{вл.}$ с массой тех же проб, просушенных до постоянной массы при 105-110 ^{o}С, $Q_{сух.}$, по формуле:

$$В = 100 \cdot (1 - Q_{сух.} / Q_{вл.}).$$

Необходимо учитывать, что влажность не является величиной постоянной и изменяется в зависимости от глубины залегания полезного ископаемого, времени года, уровня грунтовых вод и др.

Среднее содержание определяется как среднеарифметическое или средневзвешенное по скважине, выработке, горизонту, блоку, участку и месторождению в целом. Чаще всего применяют среднее содержание, взвешенное на длину проб, то есть на их мощность.

Поправочные коэффициенты вводятся для *уменьшения запасов* при прерывистом (дискретном) оруденении, разобщенности рудных тел, наличии безрудных даек, участков пустых пород, валунов и т. п. Коэффициенты для *увеличения запасов* применяются при избирательном выкрашивании рудных компонентов из керна, при намыве ценных компонентов при разработке россыпей. Могут вводиться поправочные коэффициенты на систематические погрешности химанализов, замеров мощностей в скважинах и др.

МЕТОДЫ ПОДСЧЕТА ЗАПАСОВ

Существует довольно много разных методов подсчета запасов. Все они основаны на определении объема подсчетных контуров, которые сравниваются с равновеликими геометрическими фигурами. Запасы подсчитываются по простейшим формулам:

$$V = S \cdot m,\ Q = V \cdot d,\ P = Q \cdot C / 100,$$

где V – объем тела полезных ископаемых, S – площадь тела на проекции, m – средняя мощность, Q – запасы руды, d – объемная масса руды, C – среднее содержание полезного компонента в %.

Наибольшим распространением пользуются методы геологических и эксплуатационных блоков, разрезов и статистический.

Метод геологических блоков является универсальным для подсчета запасов плоских тел. При этом методе выделяют блоки разной величины, отличающиеся по степени разведанности, мощности, содержанию полезных компонентов, типам и сортам руд, технологическим свойствам, гидрогеологическим и горнотехническим условиям (рис. 42).

Частным случаем этого метода является *метод среднего арифметического*, когда все тело рассматривается как один подсчетный блок.

Метод эксплуатационных блоков применяется также для подсчета запасов плоских тел, разделенных горными выработками и буровыми скважинами на эксплуатационные блоки. Оконтуривание и подсчет запасов по каждому блоку аналогично методу геологических блоков (рис. 43).

Метод разрезов применяют для подсчета запасов изометричных, трудообразных и сложных по форме тел (рис. 44, 45). Разрезы могут быть *вертикальными* или *горизонтальными*. Заключенная между смежными разрезами часть рудного тела рассматривается как призма, если площади смежных сечений близки, или как пирамида, если эти сечения существенно различаются по площади. Объем части рудного тела между двумя разрезами определяется соответственно по формуле для призмы или пирамиды. Объем крайних блоков, каждый из которых опирается на один разрез, определяется по формуле клина. При непараллельных разрезах вносятся соответствующие поправки к подсчету объемов. Среднее содержание определяют вначале для каждого разреза. В блоке, ограниченном двумя разрезами, оно вычисляется как среднеарифметическое или средневзвешенное на площадь сечения.

При крайне дискретном оруденении подсчет запасов проводят *статистическими методами*. Это относится в основном к месторождениям IV группы, когда совмещаются разведка и эксплуатация. По результатам этих работ оценивается средняя продуктивность исследуемого участка и распространяется на менее изученную потенциально рудоносную часть месторождения.

ПОДСЧЕТ ЗАПАСОВ СОПУТСТВУЮЩИХ ПОЛЕЗНЫХ ИСКОПАЕМЫХ

К попутным полезным ископаемым относятся минеральные комплексы (горные породы, руды, подземные воды, рассолы), добыча которых при разработке основного полезного ископаемого экономически целесообразна. К *попутным компонентам* относятся заключенные в полезных ископаемых минералы, металлы и другие химические элементы в их соединениях, которые не имеют определяющего значения для промышленной оценки месторождения, но при переработке полезных ископаемых могут быть рентабельно извлечены и реализованы на внутреннем или международном рынке.

Попутные полезные ископаемые и компоненты в зависимости от форм нахождения, связи с основными для данного месторождения полезными ископаемыми и компонентами и с учетом требований, предъявляемых промышленностью к условиям их разработки (извлечения), разделяются на три группы (Шевелев, 2004). *К первой группе* относятся попутные полезные ископаемые, образующие самостоятельные пласты, залежи или рудные тела в породах, вмещающих основные рудные тела:

- железные руды на марганцевых месторождениях;
- серный колчедан, барит-полиметаллические руды, золотосодержащие кварциты на медноколчеданных месторождениях;
- свинцовые и медно-свинцовые руды на месторождениях медистых песчаников;
- огнеупорные глины, каолины на месторождениях бокситов и угля и др.

К этой же группе относятся вскрышные породы, по составу и свойствам пригодные для производства строительных материалов или для других целей, а также торф и в некоторых случаях почвенно-растительный слой и породы, пригодные для использования в сельском хозяйстве.

К жидким попутным полезным ископаемым относятся подземные воды, участвующие в обводнении подземных горных выработок, если они пригодны для водоснабжения, извлечения из них ценных компонентов или бальнеологических целей.

Ко второй группе относятся попутные компоненты, образующие собственные минералы, которые при обогащении могут быть выделены в самостоятельные концентраты или промпродукты, а в отдельных случаях накапливающиеся в продуктах обогащения основных компонентов в количестве, допускающем их последующее извлечение на экономически рациональной основе.

В эту группу могут быть объединены:

- титановые, медные и ванадийсодержащие минералы, золото- и кобальтсодержащий пирит, иногда апатит, гатчеттолит, бадделеит в железных рудах;
- сера (пирит и другие сульфиды), минералы свинца, цинка, серебра, самородное золото, кобальтсодержащий пирит в медноколчеданных рудах;
- молибденит в меднопорфировых месторождениях в гранитоидах, ванадийсодержащие минералы, апатит, титаномагнетит – в габброидах;
- минералы кобальта и серебра в медно-никелевых месторождениях;
- минералы меди, висмута, серебра, барит, флюорит в полиметаллических рудах и др.

К третьей группе относятся разного рода примеси в минералах основных и попутных компонентов (изоморфные, механические, микровключения собственных минералов и др.), а также органические, металлические или металлоорганические соединения в углях и углистых породах. Преобладающую часть попутных компонентов третьей группы составляют рассеянные элементы, широко распространенных в разных твердых полезных ископаемых при весьма низком содержании. К этой же группе относятся примеси в рудных минералах золота, серебра, платиноидов, тантала, молибдена и др.

При обогащении полезных ископаемых эти компоненты накапливаются в концентратах основных компонентов, а при переработке концентратов или непосредственном использовании полезных ископаемых в металлургическом, химическом, энергетическом и других производствах концентрируются в товарных продуктах или отходах.

К этой же группе относятся попутные компоненты, присутствующие в нефти и газе и выделяемые лишь при их переработке, а также заключенные в подземных минерализованных водах или рассолах. Состав попутных компонентов третьей группы зависит от вида полезного ископаемого и типа руд.

В полиметаллических рудах присутствует сурьма, кадмий, теллур, таллий, галлий, иногда германий.

Медноколчеданные руды обычно содержат селен, кадмий, теллур, реже таллий, индий, иногда кобальт, висмут, галлий и германий. В медистых песчаниках присутствует рений, реже германий, селен и таллий. В медно-никелевых рудах содержатся платиноиды, кобальт, сера, селен, теллур, таллий, галлий, германий.

Для медно-молибденовых руд характерно присутствие рения, селена, теллура, в меньшей степени индия, германия и галлия. Высокими концентрациями рения и низкими селена, теллура, германия и галлия характеризуются молибденовые руды.

Сульфидно-касситеритовым рудам обычно свойственны повышенные концентрации индия, кварц-касситеритовым и вольфрамитовым – скандия, иногда тантала. В кварц-золоторудных месторождениях нередко присутствует теллур, а в золотосульфидных – индий, кадмий, селен, теллур и платина.

Бокситы содержат галлий, ванадий, скандий, алуниты и нефелины – галлий и ванадий. Иногда в алюминиевом сырье в небольшом количестве содержится германий. В месторождениях калийных солей присутствует бром и рубидий, иногда цезий, в некоторых месторождениях каменной соли – литий.

В апатит-нефелиновых рудах содержится титан, галлий, стронций, редкие земли.

Угли и углистые породы могут содержать повышенное содержание германия, урана, галлия, реже – ванадия и рения. В подземных водах наряду с йодом и бромом присутствуют соединения магния, калия, бора, иногда лития, рубидия, цезия, стронция, германия и другие компоненты.

Изучение и геолого-экономическая оценка попутных полезных ископаемых и компонентов производится на всех стадиях геологоразведочных работ и в процессе освоения месторождения.

Запасы попутных полезных ископаемых (компонентов руд) должны подсчитываться способом, отвечающим характеру их залегания в месторождении или распределения в рудах, также учитывающим особенности промышленного использования запасов, которые определяют уровень и показатели их оценки.

При подсчете запасов попутных полезных ископаемых первой группы, образующих самостоятельные рудные и нерудные залежи во вскрыше месторождений, используются способы, применяемые при подсчете запасов аналогичных видов сырья в самостоятельных месторождениях.

Подсчет запасов попутных компонентов второй группы осуществляется в контурах запасов основного полезного ископаемого в соответствии с существующими для них требованиями. Для их изучения и оценки проводятся специальные минералого-геохимические исследования руд и отбираются групповые пробы.

Запасы попутных компонентов третьей группы подсчитываются и учитываются в месторождениях, целесообразность промышленного освоения которых обеспечивается экономикой извлечения основного компонента. При этом подсчет запасов попутных компонентов данной группы выполняется исключительно в пределах контура подсчета балансовых и забалансовых запасов основного компонента.

Комплексное изучение полезных ископаемых должно сопровождаться статистической обработкой результатов опробования на основные и попутные компоненты для обоснования возможности подсчета попутных компонентов корреляционно-регрессионным способом. Статистической обработке должно предшествовать выявление по данным минералогических исследований геохимической связи между отдельными попутными и основными компонентами, выражающейся в

преобладании приуроченности того или иного попутного компонента к минералам одного из основных компонентов.

Параметры кондиций для подсчета запасов должны содержать:

- для каждого технологического типа полезного ископаемого – перечень попутных компонентов, запасы которых подлежат подсчету как балансовые;
- минимальное содержание попутных компонентов, учитываемые при приведении к условному содержанию основного компонента; переводные коэффициенты;
- минимальные содержания попутных компонентов в подсчетных блоках и отдельных рудных телах (залежах, пластах), если раздельная выемка и переработка полезных ископаемых с целью извлечения этих компонентов технически возможна и экономически целесообразна;
- дополнительные условия подсчета валовых и извлекаемых запасов попутных компонентов: по содержанию в рядовых или групповых пробах, по содержанию в минералах или концентратах, в целом по месторождению, по отдельным рудным телам или в подсчетных блоках.

ПОГРЕШНОСТИ ПРИ ПОДСЧЕТЕ ЗАПАСОВ

Сопоставление данных разведки и эксплуатации показывает, что расхождения в определении контуров рудных тел, подсчетных параметров, количественных и качественных показателей неизбежны. Причины этого в том, что разведка осуществляется по прерывистой сети наблюдений, а за пределами разведочных выработок параметры оруденения определяются путем интерполяции и экстраполяции. С другой стороны, при эксплуатации имеют место потери и разубоживание руд, которые при проектировании эксплуатации учитываются приближенно, что тоже вносит свой вклад в расхождение данных разведки и эксплуатации.

Небольшие отклонения рассматриваются как погрешности подсчета запасов. Если ошибки значительны, то говорят о неподтверждении запасов или качества минерального сырья.

Погрешности, возникающие при подсчете, подразделяются на три основные группы: геологические, технические и методические.

Геологические погрешности, или ошибки аналогии, возникают в результате распространения фактических данных, полученных при разведке по отдельным выработкам и скважинам, на соседние участки. Эти погрешности подвержены резким колебаниям, величина их зависит от степени изменчивости параметров оруденения, а также от плотности и равномерности разведочной сети. Геологические погрешности приводят к наиболее крупным ошибкам подсчета запасов, достигающим для категорий А и В до 10-15 %, а в отдельных случаях и выше.

Наиболее типичными геологическими ошибками являются объединение разрозненных мелких рудных тел в крупные, включение в один блок разных по качеству, технологии переработки или условиям залегания руд.

Технические погрешности связаны с техникой замеров и определения исходных параметров для подсчета запасов. Эта группа включает точность замеров мощности, химических анализов, определения объемной массы, естественной влажности и т. д.

Технические ошибки могут быть случайными и систематическими. Неизбежные случайные погрешности обычно не оказывают существенного влияния на точность определения запасов, поскольку, обладая переменным знаком, они взаимно компенсируются.

Систематические погрешности значительно более опасны, так как искажают результаты подсчета запасов, регулярно завышая или занижая их. Если имеются данные о систематических погрешностях, то категории запасов должны быть снижены. Систематические погрешности и их величина устанавливаются специальными контрольными методами, которые позволяют определить соответствующие поправочные коэффициенты и откорректировать результаты подсчета. К ним относятся коэффициент рудоносности, поправочный коэффициент к результатам химических анализов, к объемной массе и др. Систематические погрешности считаются недопустимыми и требуют устранения, хотя это не всегда удается.

Методические погрешности связаны с применением разных методов подсчета запасов. В целом, применение того или иного метода не оказывает существенного влияния на результаты подсчета. Различия обычно составляют 1-5 %, что находится в пределах точности технических операций подсчета. Снизить методические погрешности до минимума позволяет выбор метода подсчета запасов, который наиболее полно соответствует методике разведки и особенностям геологического строения месторождения, дает возможность учитывать распределение качественных показателей (типов и сортов руд) и в то же время сократить затраты времени и средств на разведку.

Оценка погрешностей подсчета запасов в процессе разведки является довольно сложной операцией. В действующих нормативных документах рекомендуется осуществлять подсчет запасов несколькими методами (Шевелев, 2004; Авдонин 2007).

ИСПОЛЬЗОВАНИЕ КОМПЬЮТЕРНЫХ ТЕХНОЛОГИИ ПРИ ПОДСЧЕТЕ ЗАПАСОВ

В последнее время при подсчете запасов все в большей степени используют компьютерные технологии. В том числе, применяют приемы блочного моделирования, реализуемые на основе геоинформационных систем (Micromine, Surpak, Datamine и др.).

При обосновании методики моделирования необходимо учитывать особенности геологического строения месторождения, степень его изученности и последовательность проведения разведочных работ. Общая схема компьютерного моделирования и подсчета запасов включает:

- импорт базы геологоразведочных данных;
- проверку базы данных, ввод дополнительной информации;
- статистический анализ данных опробования и определение природных (естественных) бортовых содержаний компонентов;
- оконтуривание рудных тел с использованием кондиций и естественного бортового содержания;
- геометризацию месторождения – каркасное моделирование рудных тел, тектонических нарушений и т. д. (рис. 46);
- геостатистический анализ исследуемых компонентов;
- определение параметров интерполяции;

- блочное моделирование (рис.47);
- интерполяцию содержаний в блочную модель, используя альтернативные методы (обычный кригинг, индикаторный кригинг, метод обратных расстояний и др.);
- оценку запасов и их сравнение с более ранними оценками;
- классификацию запасов/ресурсов.

Схема построения блочной модели (БМ) показана на рисунке 48 (Рекомендации…, 2014).

Блочное моделирование основывается на разделении пространства месторождения на элементарные блоки (ячейки), в которых значения свойств объекта (в частности содержания полезного компонента) интерполируются из исходных данных опробования с учетом рассчитанных весовых коэффициентов. Для этого используются разные методы интерполяции, среди которых чаще применяются метод обратных расстояний (детерминистический способ) и кригинг (геостатистический метод).

Наиболее перспективным является *кригинг*, в основе которого лежат геостатистические исследования данных опробования. Геостатистика на сегодня является наиболее мощным инструментом для получения достоверной информации о запасах полезных ископаемых в недрах, оптимального планирования их отработки и проведения геологоразведочных работ. Геостатистический метод решает *две основные задачи*: нахождение наиболее вероятной оценки запасов руды и определение точности этой оценки.

Предварительной стадией геостатистического исследования является статистический анализ: расчет гистограммы распределений значений содержаний компонентов полезных ископаемых по классам, построение графика накопленных частот, подбор законов распределения данных и определение основных статистических параметров. Вид гистограммы позволяет фиксировать явные погрешности в исходных данных геологического опробования. Следующий этап – вариограммный анализ (вариография). Используется экспериментальная вариограмма, которая строится по результатам опробования (выборочным данным) и учитывает все пары проб, удаленных на некоторое расстояние. Вариограммный анализ начинается без учета направления вектора расстояния. Полученная функция отражает такие свойства случайной величины как: стационарность, наличие эффекта самородков, значение порога и зону влияния. Эти характеристики подбираются в интерактивном режиме с помощью моделирования теоретической функцией, аппроксимирующей дискретную экспериментальную вариограмму. Для дальнейшего исследования необходимо изучить характер корреляционных связей между пробами в различных направлениях, для чего следует построить вариограммы по направлениям. Для каждого направления определяется зона влияния (см. раздел «11.3. Математические способы…). Это необходимый шаг для выявления анизотропии залежи и взаимного влияния значений случайных величин.

Следующей стадией после вариограммного анализа залежи является ее моделирование и оценка запасов. Размеры блоков блочной модели выбираются с таким расчетом, чтобы получить наиболее детальную оценку запасов по всему объему месторождения. Заключительный этап анализа – кригинг (геостатистическая оценка содержаний полезных ископаемых).

Кригинг. Предпосылкой развития геостатистических методов послужило расхождение между содержаниями многих металлов в разведочных пробах и в реально извлекаемых объемах руд. Точность оценки зависит от ряда факторов: количества проб и их значений, расположения проб (здесь важна равномерность их размещения), расстояния между пробами и точкой в середине оцениваемого блока, наличие пространственной непрерывности рассматриваемой переменной. Кригинг – метод интерполяции, который учитывает все эти факторы, был придуман южноафриканским горным инженером Д. Криге и потом усовершенствован Ж. Матероном.

В большинстве методов интерполяции сначала задается диаметр поискового круга (или эллипса). Все точки, попавшие в поисковый круг, используются для расчета взвешенного среднего, которое будет приписано середине элементарного блока. Веса, с которыми будут учитываться исходные точки, зависят (в той или иной мере) от расстояния от узла до этой точки. Разные методы интерполяции – это разные способы взвешивания исходных данных в зависимости от расстояния. В кригинге, как методе интерполяции, взвешивание производится сложнее, чем в других методах. Допустим, что в поисковый круг попали несколько проб. Расстояния между пробами и расстояния между серединой оцениваемого блока или его границами используется для снятия вариограмных значений с модельной вариограммы. Затем вариограмные значения заносятся в матрицы системы линейных уравнений; рассчитываются коэффициенты уравнений, которые и являются весами значений компонента в пробах. После рассчитывается оценка элементарного блока модели рудной залежи.

При решении способом, выбранным Ж. Матероном, появляется небольшое по величине число μ – множитель Лагранжа. Чем множитель меньше, тем более надежно решена система линейных уравнений.

Кригинговая оценка рассчитывается по формуле:

$$Z_k = \sum_{i=1}^{n} a_i Z_i,$$

где Z_k – кригинговая интерполяционная оценка изучаемой переменной; Z_i – значения переменной в n точках, попавших в круг поиска; a_i – веса. Обычно на практике в поисковый круг попадает несколько десятков или также сотен окружающих проб. Соответственно и матричное уравнение расширяется до сотен строк и столбцов. Считается, что кригинг – это интерполяционная процедура, дающая оценки с наименьшей дисперсией.

Другие методы интерполяции основаны на наличии заданной аналитической зависимости между значениями в пространстве, выраженной формулой. Наиболее часто используются линейные интерполяторы. К ним относится *метод обратных расстояний (IDW)*.При его использовании учитываются расстояния ячейки от близлежащих разведочных выработок. Чем дальше находится разведочная выработка от ячейки, тем слабее ее влияние. Значение параметра z в ячейке находят по формуле средневзвешенного:

$$z = \sum_{i=1}^{n} (z_i p_i / \sum p_i),$$

где z_i – значения параметра в разведочных выработках; p_i – весовые коэффициенты, зависящие от расстояния r ячейки от разведочных выработок; n – количество

близлежащих разведочных выработок. Весовые коэффициенты определяют по формуле $p_i = 1/r_i^2$. В расчет параметра *z* включают разведочные выработки, расположенные не далее некоторого заранее заданного расстояния от ячейки. Если центр ячейки совпадает с какой-либо разведочной выработкой, значение *z* принимается таким же, как в разведочной выработке (Поротов, 2004).

В ГКЗ за последние два десятилетия накоплен достаточно большой опыт применения блочного моделирования при подготовке ТЭО и подсчете запасов. Примерами объектов, где блочное моделирование использовалось для решения сформулированных задач, являются золоторудные месторождения (Наталкинское, Тасеевское, Куранах, Дегдекан, Чертово Корыто, Верненское, участок Перевальный, Попутненское, Штурмовское и др.), урановорудные (Орловское, Березовское, Горное), медно-порфировые (Михеевское, Песчанка, Молмыж, Томинское и др.), редкометалльные (Зашихинское), а также ряд других. Запасы золоторудного месторождения Кючус утверждены ГКЗ по данным блочного моделирования (Рекомендации…, 2014).

Удовлетворительная сопоставимость результатов подсчета запасовдля разных вариантов кондиций отмечается для месторождений с зональным типом пространственного размещения оруденения, например, на медно-порфировых объектах (Песчанка, Томинское, Михеевское, Молмыж). Для корректной геометризации запасов в них может быть применена методика локального анизотропного кригинга (ЛАК). Она позволяет определить ориентировку осей анизотропии в локальных участках объекта на основе минимизации дисперсии по пробам, попадающим в границы эллипсоида при разных вариантах его положения. Эта процедура наиболее эффективна при достаточно плотной сети наблюдений.

На месторождениях сложного строения с высокой изменчивостью геологоразведочных параметров расхождения в оценке запасов отмечаются наиболее часто. Дополнительными факторами, осложняющими применение блочного моделирования, являются недостаточная плотность сети по отдельным участкам месторождения и высокие значения эффекта самородков. К объектам этого типа можно отнести жильные зоны, штокверки и штокверкоподобные золоторудные месторождения.

Основным приемом, позволяющим добиться удовлетворительной сопоставимости результатов для разных способов подсчета запасов, является построение каркасов, опирающихся на рудные интервалы, выделенных по соответствующим кондиционным показателям. Этот прием требует построения отдельных «жестких» каркасов для каждого варианта бортового содержания, но считается достаточно трудоемким.

Таким образом, информационные технологии являются т*ехническим*, а геостатистическое и блочное моделирование месторождений твердых полезных ископаемых – *методическим средством* подсчета запасов и технико-экономического обоснования кондиций, удовлетворяющим требованиям международного аудита. Учет их необходим для рационального недропользования в Российской Федерации, а также привлечения иностранных инвестиций.

Контрольные вопросы по теме 4

1. Содержание и назначение промышленных кондиций

2. Основные кондиционные показатели
3. Применение и определение бортового содержания
4. Применение и определение минимального промышленного содержания
5. Виды контуров запасов полезных ископаемых
6. Последовательность оконтуривания запасов
7. Методические приемы оконтуривания запасов
8. Определение параметров подсчета запасов
9. Характеристика ведущих методов подсчета запасов
10. Особенности подсчета запасов попутных полезных ископаемых

Тема 5
Геолого-экономическая оценка месторождений

ОБЩИЕ ПОЛОЖЕНИЯ ГЭО

Геолого-экономическая оценка (ГЭО) месторождений заключается в определении количества и качества запасов полезного ископаемого в недрах, выявлении условий залегания и добычи, обосновании технико-экономических показателей разработки. ГЭО – важнейшая составная часть геологоразведочного процесса. Она призвана определить промышленную значимость объекта в наиболее эффективном варианте его возможного промышленного освоения.

Основными задачами ГЭО являются (Временное…, 1998):

- определение количества и качества балансовых и забалансовых запасов, а также обоснование кондиций для их подсчета;
- расчет технико-экономических показателей промышленной ценности месторождения;
- обоснование оптимального варианта освоения месторождения;
- расчет размера регулярных платежей за право пользования недрами и др.

ГЭО промышленного значения месторождений производится на всех без исключения стадиях геологоразведочных работ и разработки (см. раздел 5 «Стадийность ГРР»). Однако содержание этого вида исследования во многом зависит от фактического материала, позволяющего дать объективную оценку качества и количества выявленных запасов или прогнозных ресурсов. Только на стадии разведки, в меньшей степени на стадии оценочных работ, могут быть получены достаточно полные сведения о геологическом строении объекта, позволяющие объективно охарактеризовать качество и количество запасов полезного ископаемого, технологические свойства минерального сырья, горнотехнические, гидрогеологические, экологические условия отработки. На стадиях регионального геологического изучения недр и поисковых работ оцениваются лишь прогнозные ресурсы. Практическая значимость прогнозных ресурсов определяется по результатам их ГЭО, когда устанавливается вероятное промышленное значение прогнозируемых месторождений.

Геологическое обоснование прогнозных ресурсов осуществляется в соответствии с Методическим руководством (Методическое руководство по оценке…, Богданов и др., 1986) и с учетом современных представлений по геолого-промышленных типам месторождений (на основе принципиальных геолого-генетических моделей процессов рудообразования).

ГЕОЛОГИЧЕСКИЕ ПОКАЗАТЕЛИ ГЭО

Географо-экономическая характеристика района

Приводится географическое и административное положение месторождения, его удаленность от ближайшей железнодорожной станции, автомобильных дорог, населенных пунктов и возможного потребителя сырья; природно-климатические условия; освоенность района, население, его занятость, возможные источники энергоснабжения, обеспеченность стройматериалами.

Геологическое строение района

Приводятся краткие сведения об изученности и геологическом строении района, о закономерностях размещения месторождений всех видов минерального сырья.

Геологическое строение месторождения

Особенности геологического строения; структурные, литологические и иные факторы, определяющие условия залегания, морфологию рудных тел, вещественный состав руд, распределение основных и попутных компонентов, а также вредных примесей; наличие обогащенных участков и закономерности их размещения; сведения об изменчивости основных параметров рудных тел по простиранию и падению. Наличие промышленных (технологических) типов и сортов полезного ископаемого, подлежащих раздельной добыче и переработке; характеристика их качества. Наличие и закономерности распределения безрудных прослоев, характеристика слагающих их пород.

Для россыпных месторождений – характеристика особенностей формы, размеров и состава продуктивного «пласта», состава и мощности «торфов», строение плотика; содержание ценных компонентов; размер, форма и прочие особенности зерен полезных минералов, пробность золота.

Группа сложности месторождения в соответствии с классификацией запасов и прогнозных ресурсов.

Методика геологоразведочных работ

Сведения о проведенной топографической съемке, системе координат и привязке разведочных выработок.

Изученность поверхности месторождения – геологическая съемка, геохимические и геофизические исследования, проходка шурфов и канав.

Изученность глубоких горизонтов месторождения – система разведки; плотность разведочной сети; обоснование участка, разведанного по более высокой категории; сводная таблица видов и объемов геологоразведочных работ; объем выработок, участвующих в подсчете запасов.

Глубина, диаметры и конструкция разведочных скважин, способ и технология бурения, результаты замеров зенитных и азимутальных искривлений скважин. Выход керна линейный, по массе или объемный; интервалы с низким выходом керна, избирательное истирание керна, поправочные коэффициенты, выход шлама по массе или объемный при шарошечном или ударном бурении.

Методика и техника геофизических работ – основные результаты, случайные и систематические погрешности геофизических измерений.

Методика опробования буровых скважин и горных выработок, качество опробования, оценка достоверности результатов, наличие систематических погрешностей, поправочные коэффициенты, схема обработки проб. Групповые пробы, методика их составления.

Аналитические работы: объемы, методы проведения основных, контрольных и арбитражных анализов, соответствие их действующим стандартам или другим нормативным документам. Результаты обработки данных контроля, качество анализов, оценка влияния низкого качества анализов на результаты подсчета запасов (определение

мощности, площади рудных тел, содержания и т. п.). Обоснованность предполагаемых поправочных коэффициентов.

Методы и число определений объемной массы для разных типов и сортов полезных ископаемых. Обоснование значений объемной массы, принятых для подсчета запасов.

Гидрогеологические и инженерно-геологические условия. Основные водоносные горизонты, наиболее обводненные участки и зоны, их взаимосвязь с поверхностными водотоками, химический состав и бактериологическое состояние поверхностных и подземных вод; величина ожидаемых, а также максимально возможных водопритоков в горные выработки. Для россыпных месторождений, предназначенных для дражной отработки – возможность устройства плотин с целью подъема воды.

Источники питьевого и технического водоснабжения горного предприятия, оценка дальнейшего использования подземных вод месторождения для целей водоснабжения или извлечения ценных компонентов, а также их очистки при сбросе в поверхностные водотоки.

Инженерно-геологические особенности пород месторождения – состав, трещиноватость, тектоническая нарушенность, способность полезных ископаемых к самовозгоранию, радиационная характеристика полезного ископаемого и вмещающих горных пород, возможность возникновения оползней, селевых потоков и т. д. При наличии многолетней мерзлоты необходимо выявить глубины распространения и температурный режим.

ГОРНОТЕХНИЧЕСКИЕ ПОКАЗАТЕЛИ ОЦЕНКИ

Способ разработки месторождения

Выбор способа разработки месторождения зависит от глубины и условий залегания тел полезных ископаемых и производится с учетом экономико-географических и горно-технологических факторов. Оценке подлежат следующие варианты освоения месторождения:

- открытый способ,
- подземный,
- открытый и подземный (комбинированный),
- геотехнологический.

Применение открытого способа разработки устанавливается с помощью предельного коэффициента вскрыши ($К_в^п$), вычисляемого по формуле:

$$К_в^п = (С_п – С_о) / С_в,$$

где $С_п$ – себестоимость добычи 1 т руды при подземном способе разработки, руб.; $С_о$ – то же при открытых работах без учета затрат на выемку пустых пород; $С_в$ – себестоимость 1 т вскрыши, руб.

При комбинированном способе границу освоения месторождения открытым способом устанавливают исходя из равенства себестоимости добычи полезного ископаемого открытым и подземным способами.

Система разработки

Выбор системы разработки и ее основных элементов производится исходя из анализа геологических и горнотехнических условий месторождения.

Потери и разубоживание

Их величину следует устанавливают в значениях, характерных для принятой системы разработки с учетом горно-геологических условий месторождения.

Величина потерь обычно составляет:

- 3-7 % при системах отработки с креплением и закладкой очистного пространства;
- 8-20 % с открытым выработанным пространством и магазинированием руды;
- 15-20 % с массовым обрушением;
- 4-6 % при открытом способе разработки.

Величины разубоживания:

- 5-10 % при системах с магазинированием, креплением и закладкой выработанного пространства;
- 15-20 % при системах с массовым обрушением;
- 5-10 % при открытом способе разработки.

Производительность предприятия и продолжительность периода разработки являются важнейшими оценочными показателями, определяющими себестоимость добычи, капитальные вложения в промышленное строительство и сроки строительства предприятия. Устанавливаются в зависимости от запасов месторождения, особенностей геологического строения, горно-технических условий эксплуатации. Если существуют ограничения потребности в данном сырье, особые природоохранные и другие факторы, регламентирующие добычу, то ограничивается и производительность предприятия.

В зависимости от величины эксплуатационных запасов, горно-геологических особенностей месторождения и способа отработки, годовую производительность можно определить, руководствуясь горно-техническими условиями. Порядок ее расчета установлен в нормах технологического проектирования и осуществляется при оценке объекта по результатам разведки в базовых вариантах оконтуривания.

Для расчета годовой производительности по добыче руды при оценке по результатам поисковых и оценочных работ можно использовать метод аналогии или рекомендовать упрощенные методы, отражающие статистическую зависимость между величиной эксплуатационных запасов и средней продолжительностью работы рудника. В этих целях используются табличные материалы, подготовленные ВИЭМС и представленные в методических разработках для практических занятий.

Для расчета эксплуатационных запасов руд ($З_э$) используется следующая формула:

$$З_э = З \cdot (1 - п) / (1 - р),$$

где З – запасы полезного ископаемого в недрах, тыс. т; п – потери при добыче, доли ед., р – разубоживание при добыче, доли ед.

Коэффициент изменения качества руды при добыче (Р) можно рассчитать, допуская отсутствие полезного компонента в засоряющих породах, по формуле:

$$Р = 1 – р.$$

Этот упрощенный метод, предложенный Тэйлором (Хилл, 1999), позволяет рассчитывать годовую производительность как частное от деления эксплуатационных запасов на срок эксплуатации.

Следует подчеркнуть, что рассчитанная тем или иным способом годовая производительность предприятия является проектной и ее достижение требует

определенного срока. Применительно к оценочным расчетам в условиях рыночных отношений неучет фактора времени достижения проектной производительности приводит к существенному искажению результатов экономической эффективности освоения месторождения независимо от того, проводится ли оценка по результатам поисковых, оценочных или разведочных работ.

Нужно учитывать также опыт рационального обеспечения запасами горнорудных предприятий:

- на 20-25 лет обычно обеспечиваются запасами рудники и карьеры черной металлургии, а крупные горнодобывающие комбинаты – не менее чем на 40 лет;
- на 30-40 лет – крупные горнорудные предприятия алюминиевой, медной, свинцово-цинковой и никелевой промышленности;
- на 20-30 лет – крупные предприятия по добыче вольфрама, молибдена, олова и др.;
- на 15-20 лет – золоторудные предприятия;
- на 5-10 лет – небольшие предприятия, эксплуатирующие богатые месторождения цветных металлов, золота и ценных видов неметаллического сырья, а также россыпные месторождения благородных и редких металлов, горнодобывающие предприятия химической промышленности и промышленности строительных материалов.

При определении фактического коэффициента вскрыши отстраивают схему освоения месторождения открытым способом. Верхний контур карьера откладывают соответственно результирующему углу наклона бортов карьера. Эти углы зависят от крепости пород (по М. М. Протодьяконову) и глубины карьера. Рекомендуемые значения также приводятся в специальных таблицах, представленных в методических разработках для практических занятий.

Для выполнения расчетов следует:

- вынести на план контуры верхнего и нижнего оснований карьера, а при необходимости и промежуточного контура (на уровне рыхлых отложений);
- определить объем карьера ($V_к$) по формулам:

$$V_к = [(S_в + S_н) / 2] \cdot H \text{ или } V_к = [(S_в + S_н + \sqrt{S_B \cdot S_H}) / 3] \cdot H,$$

где $S_в$ и $S_н$ – площади верхнего и нижнего оснований карьера, м^2; H – глубина карьера, м. Вторая формула применяется, если $S_в > S_н$ на 40 %;

- вычислить объемный коэффициент вскрыши ($K_в$):

$$K_в = (V_к - V_р) / V_р,$$

где $V_к$ – объем карьера, м^3; $V_р$ – объем руды, м^3;

- рассчитать (при необходимости) предельный коэффициент вскрыши ($K_в^п$):

$$K_в^п = (З_п - З_о) / З_в,$$

где $З_п$ – затраты (себестоимость) на добычу 1 т руды при подземном способе разработки, руб.; $З_о$ – то же при открытых работах; $З_в$ – затраты на выемку 1 т вскрышных пород при открытом способе, руб.

Если фактически коэффициент вскрыши меньше предельного ($K_в < K_в^п$), то целесообразен открытый способ разработки месторождения; если отмечена обратная зависимость ($K_в > K_в^п$), то подземный.

Расчет годовой производительности горнодобывающего предприятия во многом определяется горнотехническими условиями отработки и зависит, в первую очередь, от

величины эксплуатационных запасов. Таблицы для упрощенного определения годовой производительности также приводятся в методических разработках для лабораторных занятий (Угрюмов, Дворник, 2004; Баранников, Макарова, 2002).

Годовая производительность по руде ($A_р$) может быть также определена по формуле:

$$A_р = З / T,$$

где T – срок существования рудника, лет.

Производительность горнодобывающего предприятия по горной массе ($A_{гм}$) определяется по формуле:

$$A_{гм} = A_р \cdot (1+K_в).$$

Для расчета производительности по горной массе также можно воспользоваться эмпирической зависимостью:

$$A_{гм} = 42S – 10^5 \cdot S^2,$$

где S – средняя по глубине горизонтальная площадь проектного карьера.

Расчет годовой производительности по нормам технологического проектирования осуществляется, как правило, в базовых вариантах оконтуривания. В промежуточных вариантах годовую производительность по руде ($A_р$) рассчитывают по формуле:

$$A_р = \sqrt[a+b]{З_э},$$

где $З_э$ – эксплуатационные запасы руды, тыс. т; a, b – числовые коэффициенты, определяемые путем решения системы уравнений:

$$\begin{cases} A_{p1} = \sqrt[a+b]{З_{э2}} \\ A_{p2} = \sqrt[a+b]{З_{э1}} \end{cases}$$

В соответствии с принятой системой разработки и выбранной производительностью в горнотехнической части также рассматриваются: условия воздухо- и водоснабжения, вентиляции, откатки и подъема полезного ископаемого при подземной разработке, транспортировки вскрыши в отвал, а полезного ископаемого на фабрику. С учетом этого выбирается основное оборудование, режим работы предприятия, определяются укрупнено объемы работ по электро-, тепло- и водоснабжению.

ТЕХНОЛОГИЧЕСКИЕ ПОКАЗАТЕЛИ ОЦЕНКИ

Обоснование технологии переработки минерального сырья. Базируется на данных изучения его вещественного состава, структурно-текстурных особенностей, физико-механических и других свойств, на результатах технологических испытаний, а также передового опыта переработки (обогащения) аналогичных видов минерального сырья. При наличии на месторождении нескольких технологических типов руд, подлежащих раздельной переработке, технология переработки обосновывается для каждого из них.

Объемы и виды технологических исследований. Должны быть достаточны для выбора технологической схемы переработки минерального сырья и обоснования ее основных показателей. К ним относятся качество получаемой товарной продукции, ее выход от исходного минерального сырья, а для рудных месторождений – извлечение основных и попутных компонентов в товарную продукцию в процентах.

В соответствии с выбранной схемой обогащения составляется материальный баланс, согласно которому количество металла, поступившего на обогащение, равно количеству металла, просуммированного по продуктам обогащения. Связь основных показателей обогащения выражается в виде следующей формулы:

$$И_{об} = (В_к \cdot М_к) / М_р,$$

где $И_{об}$ – извлечение при обогащении, %; $В_к$ – выход концентрата, %; $М_к$ и $М_р$ – содержание металла в концентрате и добытой руде, соответственно, %.

При упрощенных расчетах, когда широко используются технико-экономические показатели предприятий-аналогов, коэффициент извлечения металла в концентрат иногда принимают по аналогии. В этом случае может оказаться необходимым обосновать уже другой показатель – выход концентрата (Вк) в тоннах по формуле:

$$В_к = [И_{об} \cdot М_р \cdot (1 - р)] / М_к,$$

где р – показатель разубоживания, доли ед.

При этом расход руды на получение 1 т концентрата (q):

$$q = 1 / В_к.$$

Добытое полезное ископаемое может перерабатываться на вновь построенной на месторождении обогатительной фабрике или на действующих в регионе предприятиях, имеющих свободные мощности или требующих увеличения мощностей по переработке сырья. Выбор местонахождения обогатительной фабрики обосновывается экономическими расчетами.

Производительность обогатительной фабрики по руде в конкретных условиях зависит от масштаба производства снабжающих ее рудников. Как правило, при оценке месторождений она принимается равной годовой производительности предприятия по добыче руды.

При оценке рудных месторождений конечной товарной продукцией обычно является сам металл. Поэтому процесс переработки минерального сырья следует оценивать, включая металлургический передел. Для этого необходимы сведения о технологической схеме переработки концентратов, извлечении полезных компонентов в конечную товарную продукцию, а также перечень выпускаемой конечной товарной продукции по маркам. Эти показатели принимаются по фактическим данным металлургических предприятий, на которых предусматривается переработка концентратов и промпродуктов из руд оцениваемого месторождения.

Сквозное извлечение металла в конечный товарный продукт (И) с учетом металлургического передела:

$$И = И_{об} \cdot И_м,$$

где $И_м$ – извлечение при металлургическом переделе, доли ед.

Изучение поведения попутных компонентов в процессе переработки. Изучается содержание попутных компонентов в продуктах обогащения, баланс распределения каждого попутного компонента по минералам и продуктам.

Определение состава и свойств отходов. Исследуется состав и свойства отходов, возможность их промышленного использования, целесообразность учета количества отдельных видов отходов или утверждение их запасов.

ВОПРОСЫ ОХРАНЫ ОКРУЖАЮЩЕЙ СРЕДЫ

Изучение и прогнозирование воздействия результатов геологоразведочных работ, а также разработки месторождений полезных ископаемых на окружающую среду, является обязательной составной частью ГЭО (Временное…, 1998). Полученные при этом данные должны способствовать ликвидации их негативных последствий, получению исходных данных, необходимых для комплексного промышленного освоения, а также разработке рационального комплекса природоохранных мероприятий, определению их стоимости на разных стадиях изучения и геолого-экономической оценке месторождений. Результаты отмеченных исследований проходят экологическую экспертизу.

Влияние геологоразведочных работ и промышленного освоения месторождений на окружающую среду многоаспектно. Оно может выражаться в нарушении природного ландшафта территории, изменении режима поверхностных и подземных вод, загрязнении воздушного и водного бассейнов, выводе из хозяйственного оборота или снижении продуктивности плодородных земель и других негативных воздействиях. Характер и степень этого влияния в значительной мере обусловлены способом ведения геологоразведочных работ и отработки месторождения, а также составом добываемых и перерабатываемых полезных ископаемых, технологией их обогащения, металлургического и химического передела, степенью очистки отходящих газов и сточных вод.

Предотвращение или нейтрализация отрицательного воздействия освоения месторождения на природную среду возможны только при наличии максимально полной информации о характере объекта и условиях его эксплуатации. Она должна быть получена в процессе разведочных работ и использована для выработки соответствующих проектных решений и природоохранных мероприятий.

Все эти вопросы, разобранные с той или иной степенью достоверности (в зависимости от собранного материала), находят отражение в разрабатываемых ТЭД и ТЭО.

ЭКОНОМИЧЕСКИЕ ПОКАЗАТЕЛИ ОЦЕНКИ

В данном разделе приводится обоснование величины инвестиций (капитальных вложений и оборотных средств) в освоение месторождения, а также эксплуатационных затрат, связанных с добычей и обогащением полезного ископаемого. Рассчитываются показатели эффективности освоения месторождений, выбирается оптимальный вариант их освоения.

В практике оценки месторождений полезных ископаемых существует два основных метода определения капитальных затрат и производственных (эксплуатационных) расходов: 1 – прямой расчет и 2 – метод аналогии. *Прямые расчеты* более точны и надежны. Они позволяют учесть все специфические особенности проекта. Однако на ранних стадиях изучения объекта данных для прямого расчета недостаточно, и тогда для предварительной оценки необходимых вложений используется *метод аналогии*, который может применяться в двух модификациях. В первом случае выбирается непосредственный объект-аналог – месторождение того же геолого-промышленного типа, расположенное в том же регионе, близкое по геологическим, горнотехническим и горно-технологическим условиям. Технико-экономические показатели объекта-аналога

принимаются за основу для проведения расчетов. Вторая модификация предусматривает оценку необходимых затрат с помощью укрупненных показателей – удельных капиталовложений на разные виды работ. Удельные капвложения – это затраты, отнесенные на единицу объема работ – на 1 т руды, на 1 км строительства дороги, на 1 км проведения ЛЭП и т. д. Удельные показатели определяются отраслевыми институтами – ВИЭМС в Москве, ИГД в Екатеринбурге и др. на основе анализа деятельности профильных предприятий, и позиционируются как соответствующие нормативы.

Обоснование инвестиций в освоение месторождений

Инвестиции включают в себя капитальные вложения на фонды промышленного и непромышленного назначения, а также инвестиции в оборотный капитал.

К *фондам промышленного назначения* относятся рудник с комплексом горно-капитальных выработок, зданий, сооружений и оборудования; обогатительная фабрика с объектами хвостового хозяйства и оборотного водоснабжения; участок автомобильных дорог и железнодорожных путей от месторождения до существующих путей сообщения; службы энерго-, водо- и теплоснабжения, канализации и т. д. *Непромышленные фонды* – это объекты социального, жилищного и бытового назначения.

1. Капитальные вложения в строительство рудника.

Определяются в соответствии с намеченным способом разработки, исходя из годовой производительности и капитальных удельных вложений на горно-капитальные работы, оборудование, здания и сооружения в соответствии с глубиной разработки и с учетом территориального поправочного коэффициента. Учитываются также затраты на получение лицензий: права на пользование землей и недрами, на определенные виды деятельности; организационные расходы, включая регистрацию предприятия; затраты по компенсации потерь от изъятия земель и другие расходы, связанные со строительством объектов.

Капитальные вложения в строительство карьера, рудника могут быть определены по формуле:

$$K_{\text{р}} = K_{\text{ур}} \cdot A_{\text{р}},$$

где $K_{\text{ур}}$ – удельные капитальные затраты на 1 т годовой производительности по руде или горной массе, руб.; $A_{\text{р}}$ – производительность рудника по руде или горной массе, т/год. Удельные показатели принимаются в соответствии с действующими нормативами, приведенными в методических разработках к лабораторным занятиям.

2. Капитальные вложения в строительство обогатительной фабрики.

Определяются с учетом ее производительности и удельных затрат на 1 т производственных мощностей по переработке минерального сырья, а также территориального поправочного коэффициента.

Для определения капитальных вложений в строительство обогатительной фабрики на основе удельных показателей используется формула:

$$K_{\text{ф}} = K_{\text{уд}} \cdot A_{\text{ф}},$$

где $K_{\text{уд}}$ – удельные капвложения на 1 т годовой производительности, руб.; $A_{\text{ф}}$ – годовая производительность фабрики.

3. Капитальные вложения в строительство автомобильных и железных дорог, линий электропередач, водоснабжение и прочее также определяются в соответствии с нормативами удельных капитальных вложений на 1 км сооружений, их протяженностью и поправочными коэффициентами, учитывающими район строительства и рельеф местности.

4. Капитальные вложения на предстоящие геологоразведочные работы учитываются, исходя из запасов месторождения, а также из удельных затрат на разведку 1 т руды запасов категорий $A+B+C_1$, и относятся к первому году строительства горнорудного предприятия. Они определяются по данным объектов-аналогов или методом прямого расчета путем составления сметы на проведение геологоразведочных работ.

5. Прочие капитальные вложения в строительство объектов жилищного, коммунального и культурно-бытового назначения определяются исходя из числа трудящихся на горном предприятии и удельных затрат на одного человека при строительстве этих объектов.

6. Общие капитальные затраты ($K_{общ}$) определяются как сумма затрат на строительство рудника (карьера), обогатительной фабрики, затрат на транспорт, строительство линий электропередач, затрат на геологоразведочные работы и прочих.

Прочие капитальные вложения ориентировочно можно принять в размере 10-15 % для малых и средних объектов и 20-25 % для крупных от суммы капитальных затрат на строительство рудника (карьера) и обогатительной фабрики.

Эксплуатационные затраты

Эксплуатационные затраты, связанные с добычей и обогащением полезного ископаемого, состоят из цеховых, общекомбинатских и внепроизводственных расходов. Они определяют себестоимость продукции горно-обогатительного предприятия. Эксплуатационные затраты также устанавливаются прямым расчетом или с использованием показателей существующих предприятий, разрабатывающих аналогичные месторождения в сходных географо-экономических условиях.

1. Цеховые эксплуатационные затраты

При подземной добыче полезного ископаемого цеховые эксплуатационные затраты определяются с помощью укрупненных нормативных показателей себестоимости добычи руды в зависимости от годовой производительности рудника, глубины разработки, варианта вскрытия и системы добычи.

При открытой добыче цеховые затраты рассчитываются с помощью укрупненных нормативов в зависимости от годовой производительности, типов и размеров основного оборудования, транспортных средств, глубины карьера и коэффициента вскрыши.

Затраты на рекультивацию нарушенных земель, которые входят в цеховые эксплуатационные затраты, определяются исходя из площади нарушенных земель и удельных затрат на рекультивацию 1 га.

Затраты по обогащению полезного ископаемого определяются с помощью укрупненных нормативных показателей цеховой себестоимости в соответствии с намеченной производительностью фабрики, способом обогащения и составом руд.

2. *Общекомбинатские расходы* зависят от цеховой себестоимости добычи, обогащения и составляют обычно 8-10 % от цеховых расходов.

3. *Внепроизводственные расходы* складываются из цеховых погрузочно-разгрузочных работ и транспортировки концентрата до линии железной дороги общего пользования. Укрупненно они могут быть приняты в размере 3-5 % от цеховой себестоимости.

Затраты по охране окружающей среды зависят от характера производственной деятельности и местных условий, рассчитываются отдельно и включаются в эксплуатационные затраты.

Общая величина эксплуатационных затрат определяется как сумма цеховых, общекомбинатских и внепроизводственных расходов, а также затрат по охране среды.

Показатели эффективности освоения месторождения

При оценке эффективности освоения месторождения соизмерение разновременных затрат и показателей осуществляется путем приведения (дисконтирования) их к базисному моменту времени – началу строительства горнодобывающего предприятия. Это реализуется их умножением на коэффициент дисконтирования:

$$K_{\text{д}} = \frac{1}{(1+\text{E})^{t}},$$

где t – номер расчетного года, начиная от начала строительства горнодобывающего предприятия; Е – норма дисконтирования, которая принимается равной приемлемой для инвестора норме дохода или прибыли на капитал (процентная ставка). Эта норма устанавливается на таком уровне, который позволил бы инвестору не только компенсировать риск, но и получить требуемую прибыль. Обычно эта норма при постоянных ценах в горной промышленности колеблется в следующих пределах:

- от 10-12 % при разработке месторождений строительных материалов;
- 15-18 % при разработке месторождений черных и цветных металлов;
- до 20-25 % при разработке месторождений золота.

Кроме того, для учета фактора времени в экономических расчетах применяется коэффициент ежегодной ренты (аннуитета), который определяется по следующей формуле:

$$K_{\text{а}} = \frac{(1+\text{E})^{\text{Тэ}} - 1}{(1+\text{E})^{\text{Тэ}} \text{ x E}}$$

Коэффициенты дисконтирования и аннуитета, рассчитанные для разных значений Е и t, приводятся в виде справочных таблиц в методических разработках по практике ГЭО.

Основными показателями экономической эффективности освоения месторождения являются:

- чистый дисконтированный доход (ЧДД);
- индекс доходности (ИД);
- срок окупаемости капитальных вложений (То);
- внутренняя норма доходности (ВНД);
- рентабельность предприятия по отношению к производственным фондам (Рф);

- рентабельность предприятия по отношению к эксплуатационным затратам (Рэ).

Чистый дисконтированный доход определяется как сумма чистых доходов за весь расчетный период:

$$\text{ЧДД} = \sum_{t=1}^{T}\left[(\text{Ц}_t - \text{З}_t)\cdot \frac{1}{(1+\text{E})^t}\right] - \sum_{t=1}^{T}\left(K_t \cdot \frac{1}{(1+\text{E})^t}\right),$$

где t = 1, 2, 3…T – количество лет от начала строительства до ликвидации предприятия; Ц_t – стоимость продукции (выручка) в t-м году, руб.; З_t – эксплуатационные затраты, произведенные в том же году без учета амортизационных отчислений, руб.; K_t – капитальные вложения (инвестиции) в t-м году, руб.; E – норма дисконтирования.

С использованием соответствующего коэффициента дисконтирования формула несколько упрощается:

$$\text{ЧДД} = \sum_{t=1}^{T}\left[(\text{Ц}_t - \text{З}_t)\cdot K_{\text{д}}\right] - \sum_{t=1}^{T}\left(K_t \cdot K_{\text{д}}\right).$$

Если ЧДД положителен, освоение месторождения эффективно; при отрицательном ЧДД освоение окажется неэффективным как не отвечающее установленной норме дохода.

На начальных стадиях изучения месторождения не представляется возможным определить величину выручки, эксплуатационных затрат и капитальных вложений по отдельным годам. Поэтому величины выручки и затрат принимаются постоянными за все время разработки, а величину капитальных вложений – постоянной за все время строительства. Средняя величина дохода определяется по формуле:

$$\text{Д}_\text{г} = \text{Ц}_\text{г} - \text{З}_\text{г},$$

где $\text{Д}_\text{г}$ – среднегодовой доход; $\text{Ц}_\text{г}$ – среднегодовая стоимость продукции (выручка) за год; $\text{З}_\text{г}$ – среднегодовые эксплуатационные затраты, включая амортизационные отчисления.

Среднегодовой доход с амортизационными отчислениями ($\text{Д}^1_\text{г}$) будет:

$$\text{Д}^1_\text{г} = \text{Д}_\text{г} + \text{А}_\text{о},$$

где $\text{А}_\text{о}$ – амортизационные отчисления.

В этом случае ЧДД определяется по формуле:

$$\text{ЧДД} = \text{Д}^1_\text{г}\cdot\frac{(1+\text{E})^{T_\text{э}}-1}{(1+\text{E})^{T_\text{э}}\text{ x E}} - K_\text{г}\cdot\frac{(1+\text{E})^{T_\text{с}}-1}{(1+\text{E})^{T_\text{с}}\text{ x E}},$$

где $K_\text{г}$ – среднегодовая величина капитальных вложений; $T_\text{э}$ – срок эксплуатации месторождения; $T_\text{с}$ – срок строительства предприятия.

Подставляя коэффициенты дисконтирования и аннуитета, формулу можно значительно упростить:

$$\text{ЧДД} = \text{Д}^1_\text{г}\cdot K_{\text{аэ}}\cdot K_{\text{дс}} - K_\text{г}\cdot K_{\text{ас}},$$

где $K_{\text{аэ}}$ – коэффициент аннуитета на срок эксплуатации, $K_{\text{дс}}$ – коэффициент дисконтирования на срок строительства, $K_{\text{ас}}$ – коэффициент аннуитета на срок строительства.

Индекс доходности (ИД) показывает, во сколько раз приведенные доходы превышают приведенные капитальные вложения:

$$\text{ИД} = \frac{\sum_{t=1}^{T}\left[(\text{Ц}_t-\text{З}_t)\cdot\frac{1}{(1+\text{E})^t}\right]}{\sum_{t=1}^{T}\left(K_t\cdot\frac{1}{(1+\text{E})^t}\right)}$$

Или на начальных этапах изучения месторождения:

$$\text{ИД} = \frac{Д^1_г \cdot \frac{(1+\text{Е})^{T_э}-1}{(1+\text{Е})^{T_э}\cdot \text{Е}} \cdot \frac{1}{(1+\text{Е})^{T_с}}}{\text{Кг} \cdot \frac{(1+\text{Е})^{T_с}-1}{(1+\text{Е})^{T_с}\ \text{x Е}}}.$$

Или с использованием коэффициентов:

$$\text{ИД} = (Д^1_г \cdot К_{аэ} \cdot К_{дс}) / (К_г \cdot К_{ас}).$$

Разработка месторождения эффективна, если индекс доходности больше 1.

Срок окупаемости капитальных вложений ($T_о$) – временной интервал с момента начала разработки месторождения, за который приведенные доходы уравнивают приведенные капитальные вложения. Срок окупаемости определяется из условия:

$$\sum_{t=1}^{To}\left[(Ц_t - З_е)\ \cdot \frac{1}{(1+\text{Е})^t}\right] = \sum_{t=1}^{To}\left(K_t\ \cdot \frac{1}{(1+\text{Е})^t}\right)$$

или на начальных стадиях изучения месторождений

$$T_о = -\frac{\log\left\{1-\frac{K_г}{Д^1_г}[(1+\text{Е})^{tc}-1]\right\}}{\log(1+E)}.$$

Логарифмирование производится по любому основанию, так что можно применять как натуральные логарифмы, так и десятичные.

Возможно определение $T_о$ и графическим способом (рис. 49).

Внутренняя норма доходности (ВНД) представляет собой ту норму дисконта, при которой величина приведенных доходов уравнивает приведенные капитальные вложения. ВНД определяется из условия (в неявной форме):

$$\sum_{t=1}^{T}\left[(Ц_t - З_е)\ \cdot \frac{1}{(1+\text{ВНД})^t}\right] = \sum_{t=1}^{T}\left(K_t\ \cdot \frac{1}{(1+\text{ВНД})^t}\right)$$

На начальных стадиях изучения месторождения ВНД определяется из условия:

$$Д^1_г\ \cdot \frac{(1+\text{ВНД})^{T_э}-1}{(1+\text{ВНД})^{T_э}\cdot \text{ВНД}} = К_г\ \cdot \frac{(1+\text{ВНД})^{T_с}-1}{(1+\text{ВНД})^{T_с}\cdot \text{ВНД}}$$

Ориентировочная величина ВНД определяется соотношением: ВНД = 75 / $T_о$, %.

На практике часто применяется простой графический способ определения ВНД. Для этого рассчитывается 3 значения ЧДД при разной величине Е и строится график, на котором в выбранном масштабе по вертикальной оси откладываются ЧДД, а по горизонтальной – Е. По трем точкам проводится прямая, которая пересечет горизонтальную ось в точке, соответствующей значению ВНД (рис. 50).

Рентабельность разработки месторождения по отношению к основным производственным фондам ($Р_ф$) вычисляется по формуле:

$$Р_ф = П_ч / Ф\ \cdot 100\ \%, \text{ или } Р_ф = Д_г / К\ \cdot 100\ \%,$$

где $П_ч$ – среднегодовая прибыль после уплаты налогов; Ф – стоимость производственных фондов предприятия (основных и оборотных средств); $Д_г$ – среднегодовой доход; $К$ – капитальные вложения в освоение месторождения.

Рентабельность предприятия по отношению к годовым эксплуатационным затратам ($Р_з$) может быть определена по формулам:

$$Р_з = П_ч / З_г\ \cdot 100\ \% \text{ или } Р_з = Д_г / З_г \cdot 100\ \%,$$

где $З_г$ – годовые затраты, руб.

С учетом, платежей, налогов и отчислений расчет показателей ГЭО осуществляется в следующем порядке.

Величина годовой прибыли ($П_г$) определяется по формуле:

$$П_г = Ц_г – (З_г + Н_э),$$

где $Ц_г$ – среднегодовая стоимость продукции без налога на добавленную стоимость (выручка); $З_г$ – среднегодовые эксплуатационные затраты с учетом амортизационных отчислений; $Н_э$ – величина налогов, платежей, отчислений, учитываемая в структуре эксплуатационных затрат. К ним относятся, в первую очередь, налог на добычу и дорожный налог.

Величина чистой годовой прибыли ($П_ч$) определяется по формуле:

$$П_ч = П_г – Н_п,$$

где $Н_п$ – величина налогов, платежей, отчислений, изымаемая из прибыли. Основную их часть составляют налоги на прибыль и на имущество.

Величина чистой годовой прибыли с амортизационными отчислениями ($П^1_ч$) определяется по формуле:

$$П^1_ч = П_ч + А_о,$$

где $А_о$ – амортизационные отчисления, определяемые в соответствии с действующими нормами амортизации.

При расчетах показателей эффективности используется чистая годовая прибыль с амортизационными отчислениями ($П^1_ч$) за исключением расчета рентабельности ($Р_ф$, $Р_з$), где используется чистая годовая прибыль $П_ч$.

Вычисление показателей экономической эффективности освоения месторождения с учетом существующих налогов, платежей и отчислений осуществляется по формулам:

$$ЧДП = \sum_{t=1}^{T}\left[П_t^1 \cdot \frac{1}{(1+Е)^t}\right] - \sum_{t=1}^{T}\left(K_t \cdot \frac{1}{(1+Е)^t}\right),$$

$$ИП = \frac{\sum_{t=1}^{T}\left[П_t^1 \cdot \frac{1}{(1+Е)^t}\right]}{\sum_{t=1}^{T}\left(K_t \cdot \frac{1}{(1+Е)^t}\right)}$$

$T_о$ определяется из условия:

$$\sum_{t=1}^{To}\left[П_t^1 \cdot \frac{1}{(1+Е)^t}\right] = \sum_{t=1}^{To}\left(K_t \cdot \frac{1}{(1+Е)^t}\right)$$

ВНП определяется из условия:

$$\sum_{t=1}^{T}\left[П_t^1 \cdot \frac{1}{(1+ВНД)^t}\right] = \sum_{t=1}^{T}\left(K_t \cdot \frac{1}{(1+ВНД)^t}\right)$$

На начальных стадиях изучения используются соответственно следующие формулы:

$$ЧДП = П_ч \cdot \frac{(1+Е)^{T_э}-1}{(1+Е)^{T_э} \cdot Е} - K_г \cdot \frac{(1+Е)^{T_с}-1}{(1+Е)^{T_с} \cdot Е} \text{ или}$$

$$ЧДД = П_ч \cdot К_{аэ} – K_г \cdot K_{ас},$$

$$ИП = \frac{П_ч^1 \cdot \frac{(1+Е)^{T_э}-1}{(1+Е)^{T_э} \cdot Е} \cdot \frac{1}{(1+Е)^{T_с}}}{Кг \cdot \frac{(1+Е)^{T_с}-1}{(1+Е)^{T_с} \cdot Е}}, \text{ или } ИП = П_ч \cdot K_{аэ} / K_г \cdot K_{ас},$$

$$T_о = - \frac{\log\left\{1 - \frac{K_г}{П_ч^1}\left[(1+Е)^{T_с}-1\right]\right\}}{\log(1+E)},$$

ВНП определяется из условия:

$$П^1_ч \cdot \frac{(1+ВНД)^{T_э}-1}{(1+ВНД)^{T_э} \cdot ВНД} = K_г \cdot \frac{(1+ВНД)^{T_с}-1}{(1+ВНД)^{T_с} \cdot ВНД},$$

$$Р_ф = П_ц / Ф \cdot 100\ \%,$$
$$Р_з = П_ц / З_г \cdot 100\ \%.$$

Денежный поток при разработке месторождения является дополнительным показателем эффективности освоения. Его составляющими являются приток и отток средств по годам с начала деятельности горного предприятия. Источниками притока средств являются выручка от реализации производственной продукции и реализации остаточных производственных фондов при ликвидации предприятия, сокращение величины оборотных средств. Основными составляющими оттока средств являются эксплуатационные расходы, налоговые выплаты, платежи и отчисления, которые не входят в структуру эксплуатационных затрат, увеличение оборотных средств, отчисления в развитие геологоразведочных работ и т. д. Суммарная разность между притоком и оттоком средств за весь период существования предприятия называется *чистым денежным потоком*. Если величины этого потока приводят к началу разработки месторождения, то суммарная величина этих значения является дисконтированным чистым денежным потоком. При определении денежного потока при разработке месторождения конкретным частным предприятием при оттоке средств, кроме того, учитывается погашение взятого кредита банка на строительство горного предприятия и выплата процентов по этому кредиту.

ОБОСНОВАНИЕ ОПТИМАЛЬНОГО ВАРИАНТА ОСВОЕНИЯ МЕСТОРОЖДЕНИЯ

Обоснование оптимального варианта освоения месторождения осуществляется на основе сопоставления его технико-экономических показателей при разных значениях бортового содержания, а именно: величины запасов полезных компонентов, размера капитальных вложений, эксплуатационных затрат, чистого дисконтированного дохода и т. д. Полный перечень этих показателей, а также пример повариантных технико-экономических расчетов для полиметаллического месторождения приводится в методических разработках для лабораторных занятий по дисциплине «Разведка и ГЭО МПИ».

Ни один из показателей не является достаточным для окончательного вывода о предпочтении того или иного варианта оконтуривания или подсчета запасов. Однако каждый из них должен отвечать заранее обусловленным требованиям инвестора: чистый дисконтированный доход и внутренняя норма доходности должны быть не меньше заранее установленной величины; срок окупаемости капитальных вложений – не более намеченного времени и т. п.

В целом, промышленное значение месторождения определяется экономической эффективностью его разработки. Наряду с этим необходимо учитывать потребность промышленности в данном виде минерального сырья, наличие трудовых ресурсов, а также социальное положение населения в районе расположения объекта, экологическую ситуацию и т. п. Неполное удовлетворение потребности конкретного района в минеральном сырье может служить основанием для предложения о снижении налогов и предоставлении льгот при разработке месторождения.

Контрольные вопросы к теме 5

1. Цели и задачи ГЭО МПИ
2. Геологические показатели ГЭО
3. Горнотехнические показатели ГЭО
4. Технологические показатели ГЭО
5. Обоснование инвестиций в освоение месторождения
6. Определение эксплуатационных затрат при разработке
7. Назначение и применение коэффициента дисконтирования, ставки дисконта, коэффициента аннуитета
8. Основные показатели эффективности освоения месторождения
9. Определение чистого дисконтированного дохода
10. Определение индекса доходности
11. Определение срока окупаемости инвестиций
12. Определение внутренней нормы доходности

ЗАКЛЮЧЕНИЕ

Становление учения о разведке недр прошло длинный исторический путь, постепенно накапливая опыт и знания при изучении и оценке различных типов месторождений полезных ископаемых. К настоящему времени *разведка* представляет *самостоятельную научную дисциплину*, имеющую объекты изучения, методологические подходы, геолого-экономическую основу оценки полученных результатов.

Накопленный опыт разведки и геолого-экономической оценки месторождений получил отражение в многочисленных литературных источниках: монографиях, учебниках и учебных пособиях, научных статьях, методических разработках и рекомендациях. Направления совершенствования геологоразведочных работ, обоснованные еще в 80-90-е годы XX столетия, во-многом актуальными и в настоящее время. К числу сформулированных при этом задач следует отнести (Комплексная…, 1990):

- повышение достоверности утверждаемых по результатам разведки запасов;
- обоснование комплексного использования минерального сырья на основе совершенствования рациональной технологии переработки полезных ископаемых;
- совершенствование методов опробования и способов обработки проб;
- повышение уровня изученности вещественного состава и технологических свойств полезного ископаемого;
- повышение роли геофизических и геохимических исследований при оконтуривании залежей полезных ископаемых, изучении их внутреннего строения;
- совершенствование методики разведки и геолого-экономической оценки месторождений на основе обобщения передового отечественного и зарубежного опыта.

В то же время нельзя оперировать только накопленным опытом. С течением времени меняются экономические условия хозяйствования, совершенствуются подходы к оценке промышленной значимости месторождений. В современных условиях необходимо внедрение в геологоразведочный процесс геоинформационных технологий. При этом возможны следующие направления сбора информации и её обобщения:

- перевод накапливаемой геологической информации по месторождениям с бумажных носителей на цифровые;
- создание банка цифровых данных по всем разведанным пересечениям, включающим результаты опробования, аналитических, инженерно-геологических и иных исследований;
- разработка цифровых моделей месторождений, позволяющих на базе 3D моделирования анализировать форму и условия залегания тел полезных ископаемых, пространственное распределение качественных показателей в объеме рудных тел, оценивать роль и значение рудоконтролирующих факторов на прилегающих к месторождению территориях (в пределах рудных районов и узлов);
- производить подсчет запасов и ГЭО, обосновывать кондиции на минеральное сырье, укреплять и стабилизировать добычу минерального сырья требуемого качества на горнорудных предприятиях и т. д.

Все изложенное определяет высокую актуальность подготовки квалифицированных кадров в рамках высшей школы, владеющих не только глубокими

геологическими знаниями, но и современными приемами сбора и обработки накопленной информации с использованием IT-технологий.

МИНОБРНАУКИ РФ

ФГБОУ ВО «Уральский государственный горный университет»

УТВЕРЖДАЮ
Заведующий кафедрой геологии,
поисков и разведки месторождений
полезных ископаемых
_____ В. А. Душин

МЕТОДИЧЕСКИЕ УКАЗАНИЯ ПО ОРГАНИЗАЦИИ ПРАКТИЧЕСКИХ ЗАНЯТИЙ, САМОСТОЯТЕЛЬНОЙ РАБОТЕ И КУРСОВОМУ ПРОЕКТИРОВАНИЮ ПО ДИСЦИПЛИНЕ Б1.В.11 МЕТАЛЛОГЕНИЯ

для обучающихся специальности:
21.05.02 Прикладная геология

Специализация
Геологическая съемка, поиски и разведка месторождений твердых полезных ископаемых

форма обучения: очная, заочная

Автор: Душин В.А., профессор, д.г.-м.н.

Одобрены на заседании кафедры
геологии, поисков и разведки
МПИ Протокол № 1 от 26.09.2023

Екатеринбург

По своему содержанию металлогения – ветвь науки о геологии месторождений полезных ископаемых, главной задачей которой является установление закономерностей размещения месторождений в земной коре. Познание этих закономерностей и использование их при организации и проведении геологических работ составляют основные цели данного направления. Металлогенические исследования являются заключительным этапом всех геологических изысканий, направленных, в конечном итоге, на выявление месторождений полезных ископаемых. В этой связи особенностью курса «Металлогения» является обилие фактического материала по разнообразным дисциплинам геологического профиля от геотектоники и региональной петрографии до курса промышленных типов месторождений полезных ископаемых, что, естественно, накладывает свой отпечаток на подготовку и проведение практических и лабораторных занятий.

Концентрированным выражением установленных закономерностей размещения полезных ископаемых в конкретном районе исследований является металлогеническая карта или при крупномасштабных работах карта закономерностей размещения полезных ископаемых. Поэтому умение составлять подобные карты являются необходимым элементом подготовки грамотного инженера-геолога в современных условиях.

Содержание учебной дисциплины

Раздел 1. Общие вопросы металлогенического анализа. Введение. История развития металлогении, основные металлогенические концепции. Основные виды современной металлогении. Связь геологических и рудных формаций: металлогенические формации. Металлогеническое районирование (металлогенические пояса, зоны, узлы).

Раздел 2. Металлогения главных типов структур земной коры и ведущих геодинамических обстановок. Металлогения покровно-складчатых поясов. Металлогения платформ. Металлогения областей тектоно-магматической активизации, срединных массивов и импактных структур. Металлогения океанов.

Раздел 3. Специальная металлогения. Металлогения черных металлов. Металлогения цветных и благородных металлов. Металлогения редких и радиоактивных металлов.

Раздел 4. Региональная металлогения. Основные металлогенические провинции России. Металлогения подвижных поясов. Металлогенические провинции древних и молодых платформ.

Раздел 5. Методы и этапы металлогенических исследований. Геологические, аэрокосмогеологические, геофизические, геохимические методы исследований. Этапы металлогенических исследований. Принципы и методика составления металлогенических карт. Компьютерное сопровождение металлогенических исследований. Виды и формы отчетных материалов.

В настоящее время действующим учебным планом по курсу «Металлогения» на лабораторные занятия отводится 20 и 6 часов для студентов очного и заочного факультетов.

План лабораторных занятий по дисциплине «Металлогения»

1. Знакомство с металлогеническими картами
2. Прогнозно-металлогенический анализ территории на основе геологической арты
3. Составление металлогенограммы и фрагмента металлогенической карты (рудный узел)
4. Локализация перспективной площади на основе выявления рудоконтролирующих факторов
5. Моделирование структурно-геологической позиции потенциально рудоносной площади (с использованием принципа аналогии)
6. Составление паспорта перспективного объекта

Металлогенические карты классифицируются по назначению, масштабам и видам полезных ископаемых. По назначению различают металлогенические, прогнозные и прогнозно-металлогенические карты.

На металлогенических картах отражаются связи месторождения с геологической обстановкой. Рельефно показываются пространственные, а иногда и генетические связи месторождений с геологическими формациями, структурами, фациями метаморфизма и другими рудоконтролирующими факторами.

На прогнозных картах показываются поисковые признаки и оконтуриваются площади, перспективные на выявление новых месторождений и залежей полезных ископаемых. На прогнозных картах отражаются также все рекомендации по дальнейшему изучению территории, направлениям геологосъёмочных, поисковых, разведочных работ, геохимических и геофизических исследований. В случае относительно простой геологической обстановки удается на одной карте совместить отражение связей месторождений с геологической обстановкой, поисковых признаков и рекомендаций по дальнейшим направлениям исследований. Такие карты называются прогнозно-металлогеническими.

По масштабам различают мелко, средне и крупномасштабные металлогенические и прогнозные карты. К мелкомасштабным относят карты масштаба 1: 1000 000 и мельче, составляемые для глобальных структур. Среднемасштабные карты включают от 1: 500 000 до 1: 100 000, что соответствует металлогеническим провинциям, структурно-металлогеническим зонам. Крупномасштабными считаются карты масштаба 1: 50 000, 1: 10 000 и крупнее. Это карты закономерностей размещения полезных ископаемых, составляемые для рудных районов, рудных полей, рудных узлов.

По видам полезных ископаемых металлогенические и прогнозные карты могут быть мономинеральными, либо биминеральными или полиминеральными. Для металлогенических провинций или структурно-металлогенических зон часто составляются комплексные металлогенические карты – на все виды полезных ископаемых, известных и прогнозируемых на данной площади. Комплексные карты могут составляться отдельно на эндогенные и отдельно на экзогенные месторождения. Для платформ нередко составляются отдельно металлогенические карты фундамента и отдельно чехла.

Принципы и методика составления карт. Принципы составления металлогенических карт определяются металлогенической концепцией, принятой авторами. В России в качестве основной принимается геолого-историческая концепция, согласно которой набор полезных ископаемых того или иного региона определяется типом геотектонического развития его на отдельных этапах. Для каждого этапа и стадии развития характерны определенные геологические формации, а с последними связаны соответствующие рудные формации. В зависимости от особенностей геологического строения и развития района, теоретических представлений авторов, в той или иной мере, используются другие металлогенические концепции: тектоническая, метаморфическая, новой глобальной тектоники и пр.

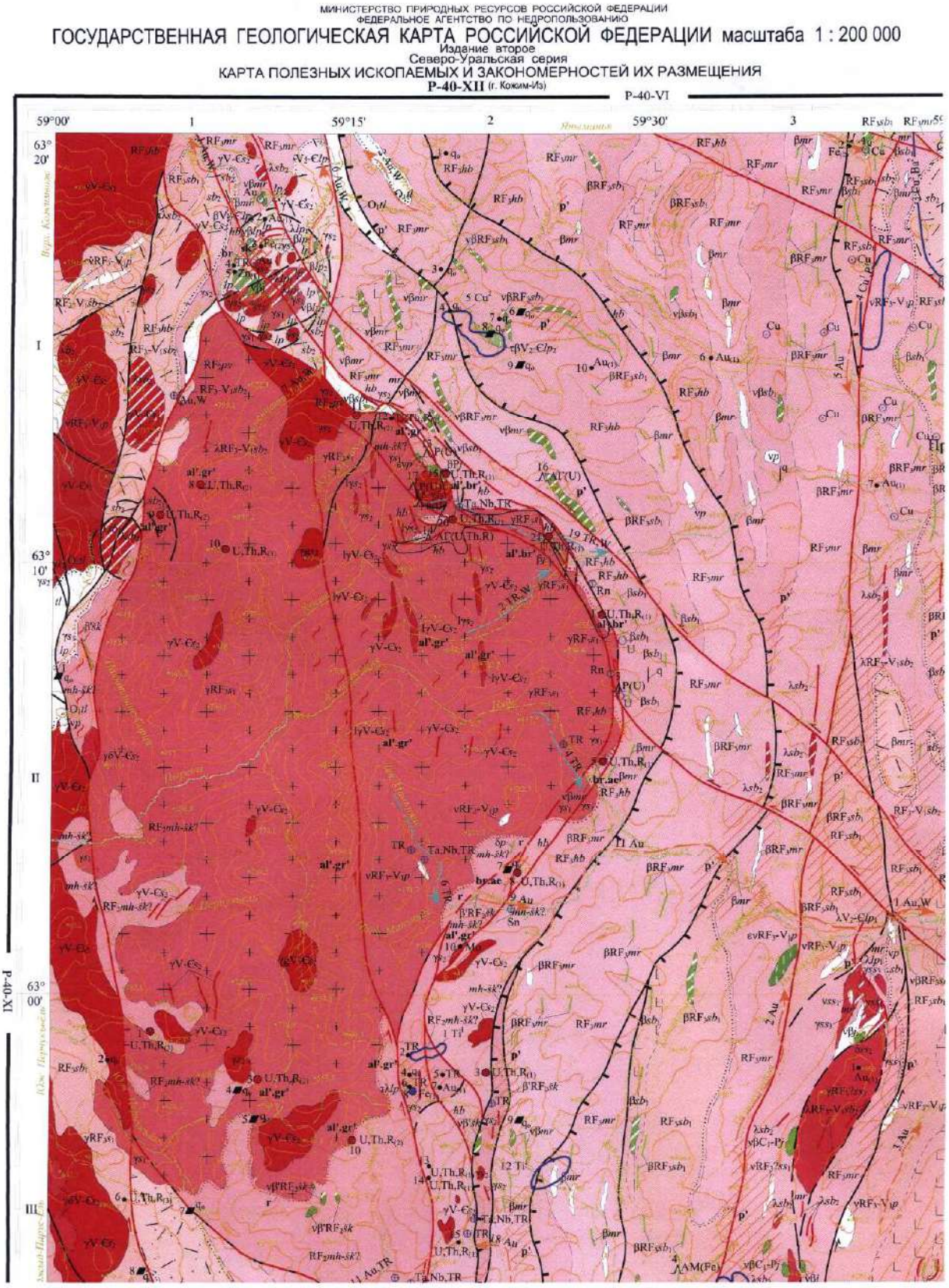
Каждая металлогеническая карта обычно сопровождается комплектом вспомогательных карт. В первую очередь в этот комплект могут входить карты, предусмотренные инструкцией о геологической съемке: геологическая, месторождений полезных ископаемых, геоморфологическая, шлиховая и др. Если же металлогеническая карта составляется в процессе геолого-съемочных работ, то этот комплект является обязательным.

Для металлогенических карт эндогенных месторождений могут составляться специальные карты: магматизма, палеовулканизма, метаморфизма. В качестве специальных для металлогенических карт экзогенных месторождений могут быть палеогеографическая, литолого-фациальная, кор выветривания и др. Важное значение, для оценки перспектив на многие полезные ископаемые, имеют геохимические, геофизические и аэрофотогеологические карты. В каждом отдельном случае комплект карт определяется геологическим заданием.

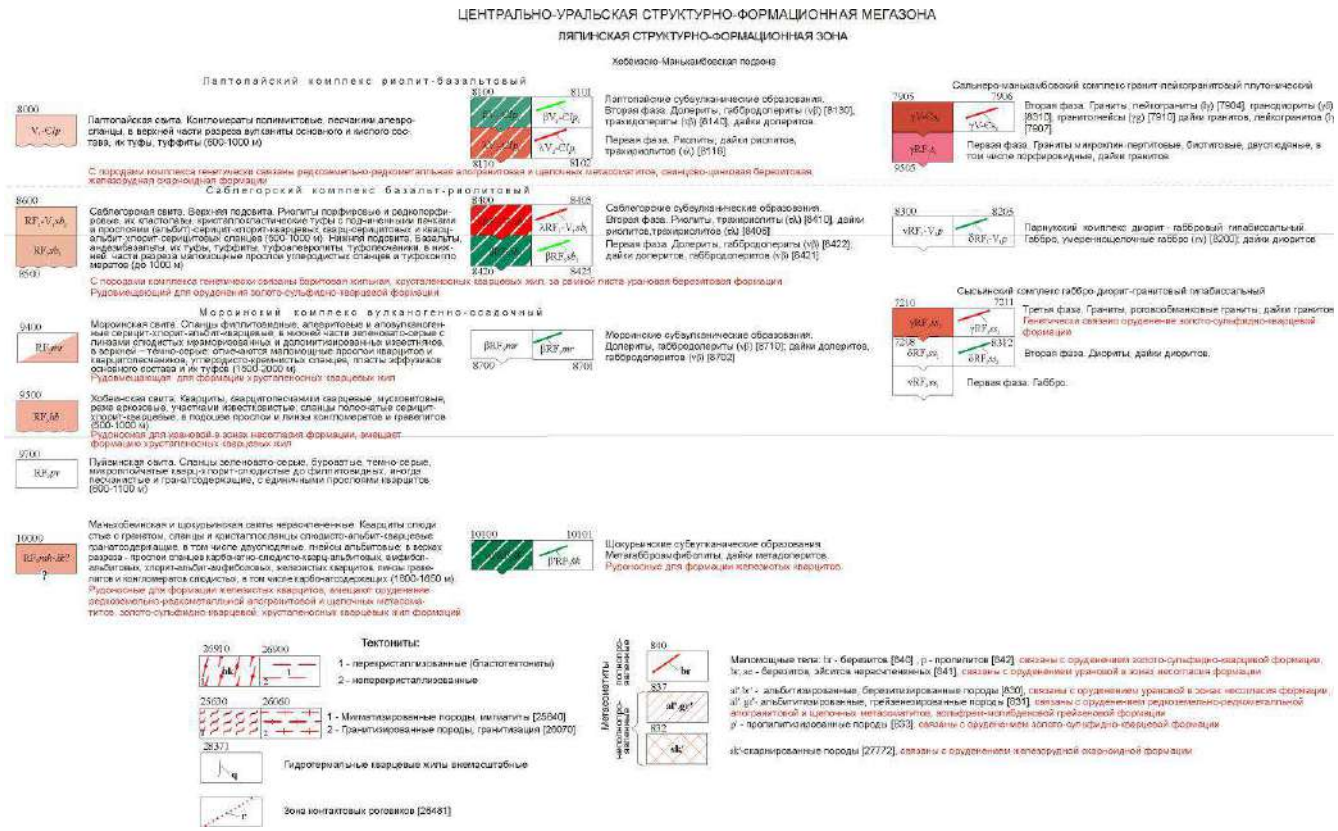
Составление металлогенических карт сопровождается разработкой легенды, включающей условные обозначения и металлогенограмму, и тестовой объяснительной записки, облегчающей чтение карты. Составление легенды металлогенической карты являются ответственной работой, требующей большого напряжения мысли. Условные обозначения может оставить наиболее квалифицированный из авторов, владеющий всей суммой фактических материалов и предвидящий конечные результаты составления металлогенической карты. Обычно легенда является плодом коллективного труда и подлежит широкому обсуждению.

Легенда к карте состоит из 2-х частей: а) геологические объекты, определяющие размещение полезных ископаемых (металлогенические факторы), б) полезные ископаемые.

Первая часть легенды строится по тому же принципу, что и легенда к геологической карте. В тексте легенды дается характеристика формации (комплекса). Приводится краткая петрографическая характеристика. Для подразделений, играющих роль металлогенического фактора излагаются сведения о генетических или парагенетических связях с ними полезных ископаемых, метасоматитов их рудоконтролирующей и рудолокализующей роли. Условные знаки подразделений (металлогенических факторов) закрашиваются также как в легенде к геологической карте, остальные нет. Кроме геологических условных обозначений сюда включают все прочие знаки, которые вынесены на карту полезных ископаемых, а также факторы второго рода. В условные знаки геологических границ вводят обозначения, которые могут отсутствовать в легенде к геологической карте.



Карта полезных ископаемых и закономерностей их размещения
(фрагмент листа P-40-XII, г. Кожим-Из)



Первая часть легенды к карте полезных ископаемых и закономерностей их размещения (лист P-40-XII, г. Кожим-Из)

Вторая часть легенды «Полезные ископаемые» представляет собой таблицу, в которой приведены условные обозначения всех разновидностей полезных ископаемых по их виду, рудным формациям, генетическим типам, возрасту и размерам. Под основной таблицей помещают сведения о дополнительных характеристиках месторождений и о поисковых признаках на полезные ископаемые.

Металлогенограмма представляет собой наглядное изображение генетических и парагенетических связей полезных ископаемых с геологическими формациями и с этапами геологического развития территории. В левой части перечисляются тектоно-магматические циклы, этапы, геологические и рудные формации. В правой – в той же последовательности – геологические подразделения и полезные ископаемые с ними связанные.

Зоны рудной минерализации показываются на карте обычно цветными точками, а гидротермально-метасоматические изменения пород – яркими цветами. Структурно-тектонические элементы, включающие контуры геологических структур различного порядка, разрывные нарушения, зоны рассланцевания, показываются линиями различной жирности, нередко с зубцами определенной формы.

Металлогеническое районирование лучше показывать цветными линиями, соответствующими возрасту минерализации. Около линий можно показывать химические индексы состава минерализации.

ПОЛЕЗНЫЕ ИСКОПАЕМЫЕ

Группа	Подгруппа, вид	Проявления	Пункты минерализации	Генетические типы	Рудные формации
МЕТАЛЛИЧЕСКИЕ	Черные металлы Железо	51330 $Fe_{(1)}$		Метаморфизованный	Железистых кварцитов (1)
			51382 $Fe_{(2)}$	Гидротермальный плутоногенный	Железорудная скарноидная (2)
	Железо, медь		51383 $Fe_{(1)}$	Магматический	Не определена
	Цветные металлы Медь	52890 $Cu_{(1)}$	53031 $Cu_{(1)}$	Гидротермальный вулканогенный	Медно-цинково-колчеданная (1)
			53032 $Cu_{(2)}$	Гидротермальный плутоногенный	Золото-сульфидно-кварцевая (2)
	Цинк		53050 Zn	Гидротермальный плутоногенный	Свинцово-цинковая березитовая
	Молибден		53080 Mo	Гидротермальный плутоногенный	Вольфрам-молибденовая грейзеновая
	Редкие металлы, редкоземельные элементы Редкие земли		55330 TR	Гидротермальный плутоногенный	Редкоземельно-редкометалльная апогранитовая и щелочных метасоматитов
	Благородные металлы Золото	56740 $Au_{(1)}$	56771 $Au_{(1)}$	Гидротермальный плутоногенный	Золото-сульфидно-кварцевая
			56772 $Au_{(2)}$	Гидротермальный вулканогенный	Медно-цинково-колчеданная
		Au 82811		Осадочный механический	Золотоносных россыпей
	Серебро		56780 Ag	Гидротермальный плутоногенный	Золото-сульфидно-кварцевая
	Радиоактивные элементы Уран, торий, редкие металлы	57801 $U,Th,R_{(1)}$	57821 $U,Th,R_{(1)}$	Полигенный	Урановая в зонах несогласия (1)
		57802 $U,Th,R_{(2)}$	57822 $U,Th,R_{(2)}$	Гидротермальный плутоногенный	Редкоземельно-редкометалльная апогранитовая и щелочных метасоматитов (2)
		57803 $U,Th,R_{(3)}$	57823 $U,Th,R_{(3)}$	Инфильтрационный	Ураноносных торфяников (3)
НЕМЕТАЛЛИЧЕСКИЕ	Оптические материалы Кварц оптический	59920 q_o	59950 q_o	Гидротермальный плутоногенный	Хрусталеносных кварцевых жил
	Химическое сырье Барит	60660 ba	60750 ba	Гидротермальный плутоногенный	Баритовая жильная
	Абразивные материалы Гранат		65550 gr	Гидротермальный плутоногенный	Не определена
	Горнотехническое сырьё Асбест амфиболовый		66700 asb_a	Метаморфический	Амфибол-асбестовая апогипербазитовая
	Тальк		66740 t	Метаморфический	Тальковая апогипербазитовая
	Драгоценные и поделочные камни Яшма		66770 Js_{rn}	Метаморфический	Камнесамоцветная метаморфическая

ЛИТОХИМИЧЕСКИЕ АНОМАЛИИ

Cu^1,Ba^1 Литохимические ореолы в рыхлых отложениях [85009]
Концентрация элементов:
Cu^1,Ba^1 - от 2 до 4 фонов;
Cu^2- от 5 до 10 фонов

Точечные и невыражающиеся в масштабе карты комплексные и монолитохимические аномалии:

Cu Литохимическая (единичная) проба в коренных породах [85060]
Ni Литохимическая (единичная) проба в рыхлых отложениях [85070]
U Гидрохимическая (единичная) проба [85080]
Rn Атмохимическая (единичная) проба [85100]

ГЕОФИЗИЧЕСКИЕ АНОМАЛИИ

AM(Fe) Линейно-вытянутые, не выражающиеся в масштабе карты [85131]
АГ(U) Изометрические, не выражающиеся в масштабе карты [85130]

Буквенный символ справа - геофизический метод:
АМ - аэромагнитометрия
АГ - аэрогаммаспектрометрия
Р - радиометрия
После символа метода в скобках символ полезного ископаемого

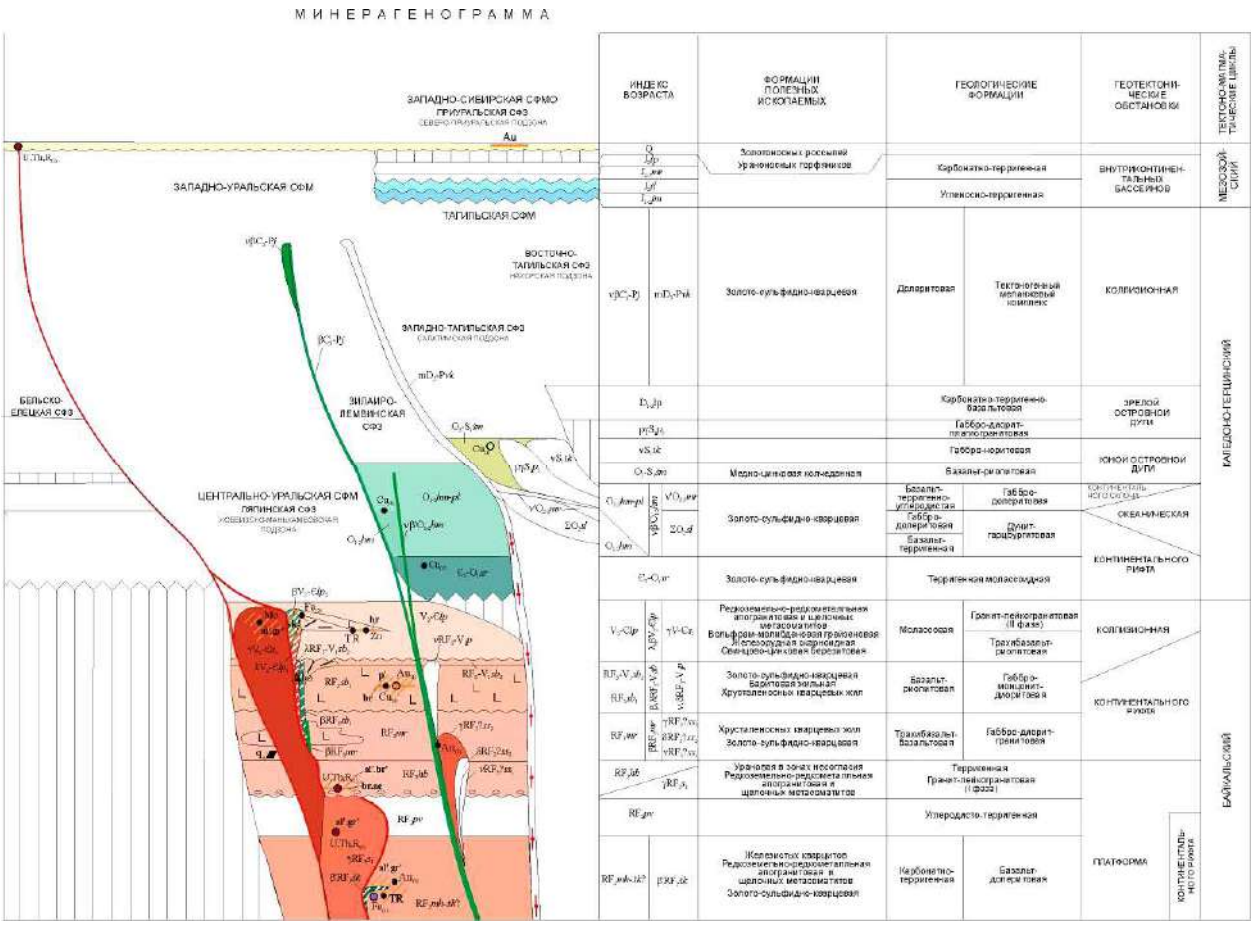
ШЛИХОВЫЕ ПОТОКИ

150 Au Линейный поток золота
151 Au,TR Линейный поток золота, монацита, ортита
152 Au,W Линейный поток золота, шеелита
153 TR,W Линейный поток ортита, шеелита
154 TR Линейный поток ортита, монацита

ШЛИХОВЫЕ ПРОБЫ

Au Точечная шлиховая проба (Au,W - золото, шеелит [20200]; Sn - касситерит [20201]; TR - ортит, монацит, ксенотим [20202]; Ta,Nb,TR - танталониобаты, монацит, ксенотим, ортит [20203])

Вторая часть легенды к карте полезных ископаемых и закономерностей их размещения (лист P-40-XII, г. Кожим-Из)



Минерагенограмма (лист P-40-XII, г. Кожим-Из)

Для изучения дисциплины самостоятельно рекомендуется пользоваться широким перечнем литературных и методических источников, имеющихся в библиотеке университета и выставленных на сайтах. Перечень последних приведен ниже. Следует в ходе подготовки обратить внимание на примерный перечень докладов (рефератов), которые будут озвучиваться при опросе студентов по мере изучения дисциплины.

Примерная тематика докладов (рефератов), используемых при опросе

1. Исторические вехи в учении о металлогении
2. Методы выделения и изучения металлогенических формаций
3. Основные задачи металлогении
4. Металлогения различных геодинамических обстановок
5. Металлогеническое развитие с позиций мобилизма
6. Металлогенические эпохи
7. Перечислить основные металлогенические концепции
8. Цели и задачи металлогенического районирования
9. Металлогения черных, цветных, благородных и редких металлов
10. Основные этапы металлогенических исследований

Ниже приводятся контрольные вопросы по курсу «Металлогения» , в экзаменационных билетах содержатся два теоретических и одно практик ориентированное задание

КОНТРОЛЬНЫЕ ВОПРОСЫ ДЛЯ ПРОВЕРКИ ЗНАНИЙ ПРИ ПОДГОТОВКЕ К ЭКЗАМЕНУ ПО ДИСЦИПЛИНЕ «МЕТАЛЛОГЕНИЯ»

1. Цели и задачи современной металлогении
2. Понятия «металлогения», «минерагения»
3. Эвгеосинклинали и особенности их металлогении
4. Рудные формации и их связь с метасоматическими формациями
5. Формации и металлогения океанической стадии
6. Металлогеническое районирование: цели, задачи, примеры
7. Металлогения рифтовых зон
8. Миогеосинклинали и особенности их металлогении
9. Рудные формации и их связь с осадочными формациям
10. Рудные формации и их связь с магматическими формациями
11. Рудные формации и их связь с метаморфическими формациями
12. Металлогения срединных массивов
13. История развития металлогении
14. Металлогения чехла платформ
15. Металлогения щитов
16. Металлогения областей автономной тектономагматической активизации
17. Металлогения областей отраженной тектономагматической активизации
18. Металлогения срединных массивов
19. Металлогения рифтовых зон
20. Металлогеническое развитие складчатых поясов с позиций новой глобальной тектоники
21. Миогеосинклинали и особенности их металлогении
22. Металлогения пассивных континентальных окраин
23. Металлогения чехла платформ
24. Металлогения щитов
25. Металлогения активных континентальных окраин андийского типа
26. Металлогения окраинных морей
27. Металлогения геосинклинально-складчатых областей
28. Металлогения срединно-океанических хребтов
29. Металлогения островных дуг
30. Металлогения океанического ложа
31. Формация и металлогения орогенных стадий развития
32. Типы платформ и особенности их металлогении
33. Особенности металлогении вулканических поясов
34. Составление и перспективы освоения дна морей и океанов
35. Этапы металлогенических исследований
36. Применение геохимических и геофизических методов в металлогенических исследованиях
37. Легенды металлогенической карты (принципы, методика составления)
38. Построение легенды прогнозной карты
39. Классификация металлогенических карт
40. Региональная металлогеническая зональность

41. Что понимается под терминами «Специальная металлогения», «Рудная и металлогеническая формация», «Геолого-промышленный тип»?
42. Перечислите генетические типы месторождений полезных ископаемых
43. Каковы основные металлогенические эпохи формирования руд черных металлов?
44. Металлогенограмма (назначение, содержание)
45. Методика и техника составления металлогенических карт
46. Металлогеническое районирование: цели, задачи, примеры
47. Назначение и содержание металлогенических и прогнозных карт
48. Задачи и методы металлогенических исследований
49. Каковы основные металлогенические эпохи формирования руд черных металлов
50. Назовите ведущие провинции руд черных металлов
51. Назовите основные металлогенические эпохи и провинции руд цветных и благородных металлов
52. Перечислите важнейшие рубежи проявлений алмазоносных кимберлитов и лампроитов в России и мире
53. Назовите основные алмазоносные провинции в России и мире
54. С какими эпохами проявлено редкометалльное оруденение в России?
55. Где сосредоточена основная сырьевая база руд редких металлов в России?
56. Перечислите и охарактеризуйте основные ураноносные эпохи и провинции в пределах территории России
57. Что понимается под термином «металлогеническая провинция»?
58. Перечислите основные металлогенические провинции России
59. Дайте краткую характеристику Средиземноморского металлогенического пояса
60. Кратко охарактеризуйте металлогению Тихоокеанского пояса
61. Кратко поясните металлогению Урало-Монгольского пояса
62. Прокомментируйте специфику Восточно-Европейской мегапровинции
63. Дайте краткую характеристику Восточно-Европейской провинции
64. Охарактеризуйте Западно-Сибирскую мегапровинцию
65. Металлогения Уральской провинции (районирование и эпохи)
66. Охарактеризуйте металлогению Алтае-Саянской провинции
67. Дайте краткий обзор плитной металлогении
68. Охарактеризуйте металлогению фундамента платформ: Карело-Кольской, Воронежской, Анобарской
69. Охарактеризуйте металлогению Байкало-Витимской, Охотской, Охотско-Чукотской, Верхояно-Колымской, Калымо-Омолонской провинций
70. Поясните металлогению Сихоте-Алинской, Карякско-Камчатской и Курильской провинций
71. Какова металлогения Пайхой-Новоземельской, Таймыро-Северо-Земельской и Новосибирско-Чукотской провинций?

ПРАКТИКООРИЕНТИРОВАННЫЕ ЗАДАНИЯ

Раздел 1

Покажите на карте металлогенические таксоны различных рангов (пояс-зона)

Раздел 2

Покажите на карте металлогенические провинции и зоны, относимых к различным типам геодинамических обстановок (внутриплитные, островодужные, рифтовые, горячих точек и др.)

Раздел 3

По образцам из коллекции кафедры определите геолого-промышленный тип оруденения и ведущие закономерности его размещения (руды черных, цветных, благородных металлов и др.)

Раздел 4

Покажите на карте основные металлогенические провинции и мегапровинции России (Русская, Кавказская, Уральская, Западно-Сибирская, Алтае-Саянская и др.)

Раздел 5

По образцу из коллекции кафедры диагностируйте его геолого-промышленный тип и определите, какие металлогенические факторы 1 рода (металлотекты) его определяют

МЕТОДИЧЕСКИЕ ВОПРОСЫ К КУРСОВОМУ ПРОЕКТИРОВАНИЮ

Курсовая работа выполняется в 9 семестре для очного обучения и в 10 для заочного.

Целевое назначение - углубление полученных теоретических знаний в целом по курсу и особенно по разделу «Региональная металлогения». Тему курсовой работы рекомендуется выбирать как будущую основу для написания спецглавы в дипломном проекте.

Она выполняется на основе материалов, собранных на производственной (преддипломной) практике, либо с использованием информации ВСЕГЕИ по Госгеолкарте-200 (1000/3) номенклатурных листов, соответствующих району работ. https://vsegei.ru/ru/info/catalog_ggk/ *Цифровые каталоги ГГК:*

Цифровой каталог Государственных геологических карт РФ м-ба 1:1 000 000 (третье поколение), изданных КФ ВСЕГЕИ

Цифровой каталог Государственных геологических карт РФ м-ба 1:200 000 (второе поколение), изданных КФ ВСЕГЕИ

Цифровой каталог Государственных геологических карт РФ м-ба 1:200 000 (второе поколение), изданных МФ ВСЕГЕИ

Цифровой каталог Государственных геологических карт РФ м-ба 1:200 000 (второе поколение). Авторские комплекты, апробированные НРС Роснедра

В работе обязательно должны быть использованы результаты собственных наблюдений или исследований.

Для выполнения курсовой работы рекомендуются следующий примерный перечень тем:

1. Металлогения золота (Fe, Mn, Ca) Тагило-Магнитогорской металлогенической зоны
2. Металлогения Предуральского прогиба
3. Металлогения Западно-Сибирской мегапровинции
4. Минерагения импактных структур
5. Закономерности размещения Cu-порфирового оруденения в Уральской провинции

6. Закономерности размещения уранового оруденения в чехле Западно-Сибирской провинции

Курсовая работа включает два главных компонента: металлогеническую карту (карту закономерностей….) с условными обозначениями, металлогенограмму и объяснительную записку, объемом 10-20 страниц машинописного текста и содержать следующие разделы:

1. Введение. Приводятся сведения о районе: административное положение, рельеф, климат, география, степень обнаженности, экономическая особенность.
2. История металлогенических исследований. Дается краткий по годам обзор важнейших исследований минеральных ресурсов региона.
3. Принципы и методика составления карты. Тезисно, по методическим указаниям с привлечением специальной литературы излагается методика работ.
4. Основные черты геологического строения территории. В начале раздела дается перечень ведущих стратиграфических подразделений, начиная с наиболее древних толщ. Далее в той же последовательности дается характеристика выделенных осадочных и магматических формаций. При этом их описание (названия и краткая характеристика) приводятся по структурным этажам и ярусам.
5. Ведущие рудные формации. В начале раздела приводятся общие сведения о наличии полезных ископаемых в регионе. Затем дается перечень и краткое описание (название формации, основные рудные объекты, кратко геологическое строение объекта, морфология, размеры и внутреннее строение рудных тел, вещественный (минеральный, химический) состав руд, сопутствующие компоненты, структуры и текстуры руд, наличие и строение зоны окисления, запасы, геолого-промышленный тип месторождения) ведущих рудных формаций. В конце перечень металлогенических эпох.
6. Закономерности размещения полезных ископаемых и оценка перспектив района. В начале раздела приводится описание различных генетических обстановок и соответствующих каждой обстановке металлогенических факторов первого и второго рода с указанием роли каждого фактора в локализации определенных (одного по выбору) видов полезных ископаемых. Характеризуются стратиграфический, литологический, фациальный, петрографический, магматический, метаморфический, структурный, геоморфологический, палеогеографический, палеотектонический и др. факторы (в зависимости от конкретной рудной формации), рассматривается связь между геологическими и рудными формациями, приводится описание метасоматических изменений, зональности и размещения полезных ископаемых.

Далее (если есть материалы) приводятся сведения о прогнозируемых месторождениях (либо перспективных участках) по видам сырья: номер по карте, название, оценка прогнозных ресурсов по категориям, общие ресурсы, рекомендуемые виды, объемы и методы геологоразведочных работ, их очередность.

Заключение. Кратко перечисляются важнейшие дискуссионные или не решенные вопросы и предлагаются возможные пути их решения.

Список литературы. Проводится раздельно для изданных и фондовых материалов.

Курсовая работа рецензируется преподавателем кафедры. При необходимости проводится защита работы.

МЕТОДИЧЕСКИЕ МАТЕРИАЛЫ

1. Основная литература

1. Душин В. А. Металлогения. Учебное пособие. Изд. УГГУ. Екатеринбург, 2017. - 308с.
2. Старостин В. И. Металлогения. Учебник 2-е изд. МГУ, 2012. - 560с.

2. Дополнительная литература

3. Щеглов А.Д. Основы металлогенического анализа. М: Недра, 1978
4. Минерагения осадочных бассейнов континентов палеоконтинентальных областей. Ред. Межеловский Н. В. М., 1978. WWWgeokniga.org
5. Основы металлогенического анализа при геологическом картировании. Ред. Межеловский Н. В. М., 1985. - 468с.WWWgeokniga.org
6. Радкевич Е.А. Региональная металлогения. М.: Недра, 1987.
7. Методологические основы составления прогнозно-металлогенических карт масштаба 1: 200 000 рудных и потенциально рудных районов. СПб. ВСЕГЕИ.1999, 86с.

Алгоритм работы студентов для качественного усвоения дисциплины включает в себя следующие действия:

1. Изучение рабочей программы дисциплины, что позволит правильно сориентироваться в системе требований, предъявляемых к студенту со стороны преподавателя.
2. Посещение и конспектирование лекций.
3. Обязательная подготовка к лабораторным занятиям.
4. Изучение основной и дополнительной литературы.
5. Выполнение всех видов самостоятельной работы, в т. ч. изучение каменного материала по ведущим месторождениям.

МИНОБРНАУКИ РФ

ФГБОУ ВО «Уральский государственный горный университет»

УТВЕРЖДАЮ
Заведующий кафедрой геологии,
поисков и разведки месторождений
полезных ископаемых
_____В.А.Душин

МЕТОДИЧЕСКИЕ УКАЗАНИЯ К КОНТРОЛЬНОЙ РАБОТЕ ПО ДИСЦИПЛИНЕ

Б1.В.12 ПОИСКИ И РАЗВЕДКА ПРОМЫШЛЕННЫХ ТИПОВ МЕСТОРОЖДЕНИЙ ПОЛЕЗНЫХ ИСКОПАЕМЫХ

Специальность:
21.05.02 Прикладная геология

Специализация
Геологическая съемка, поиски и разведка месторождений твердых полезных ископаемых

форма обучения: очная, заочная

Автор: Баранников А. Г., профессор, доктор геол.-минер. наук

Одобрены на заседании кафедры
Геологии, поисков и разведки МПИ
(название кафедры)
Протокол № 1 от 26.09.2023
(Дата)

Екатеринбург

ОБОСНОВАНИЕ СИСТЕМЫ РАЗМЕЩЕНИЯ РАЗВЕДОЧНЫХ ВЫРАБОТОК ПРИ ПРОЕКТИРОВАНИИ ОЦЕНОЧНЫХ РАБОТ

Целью предлагаемых к решению работы (задания 1-12, рисунки 1-12) является – приобретение студентами навыков проектирования оценочных работ в пределах рудоперспективных участков.

Порядок выполнения работы.

1) Ознакомившись с геологической ситуацией, отображенной на бланке задания, необходимо сделать заключение о возможном геолого-промышленном типе месторождения, руководствуясь литературными сведениями [3, 4, 5]. Для отнесения оцениваемого объекта к определенному промтипу следует учитывать: форму, размеры, условия залегания выходящих на поверхность залежей полезного ископаемого; состав, условия залегания рудовмещающих пород; уровень установленных при опробовании концентраций полезных компонентов.

2) Привести примеры месторождений-эталонов. Охарактеризовать возможный минеральный и химический состав полезного ископаемого (руководствуясь рекомендованными источниками).

3) Обосновать возможную группу прогнозируемого месторождения по сложности геологического строения для целей разведки, взяв рекомендации инструкции ГКЗ [6].

4) Сформулировать задачи, решаемые при проведении оценочных работ. Уточнить их применительно к конкретной геологической обстановке.

5) Обосновать систему разведочных работ (форму, плотность разведочной сети). Нанести проектные выработки на план и отстроенные проектные геологические разрезы – 1-2 шт. (размещенные в нижней части листа – на бланке задания).

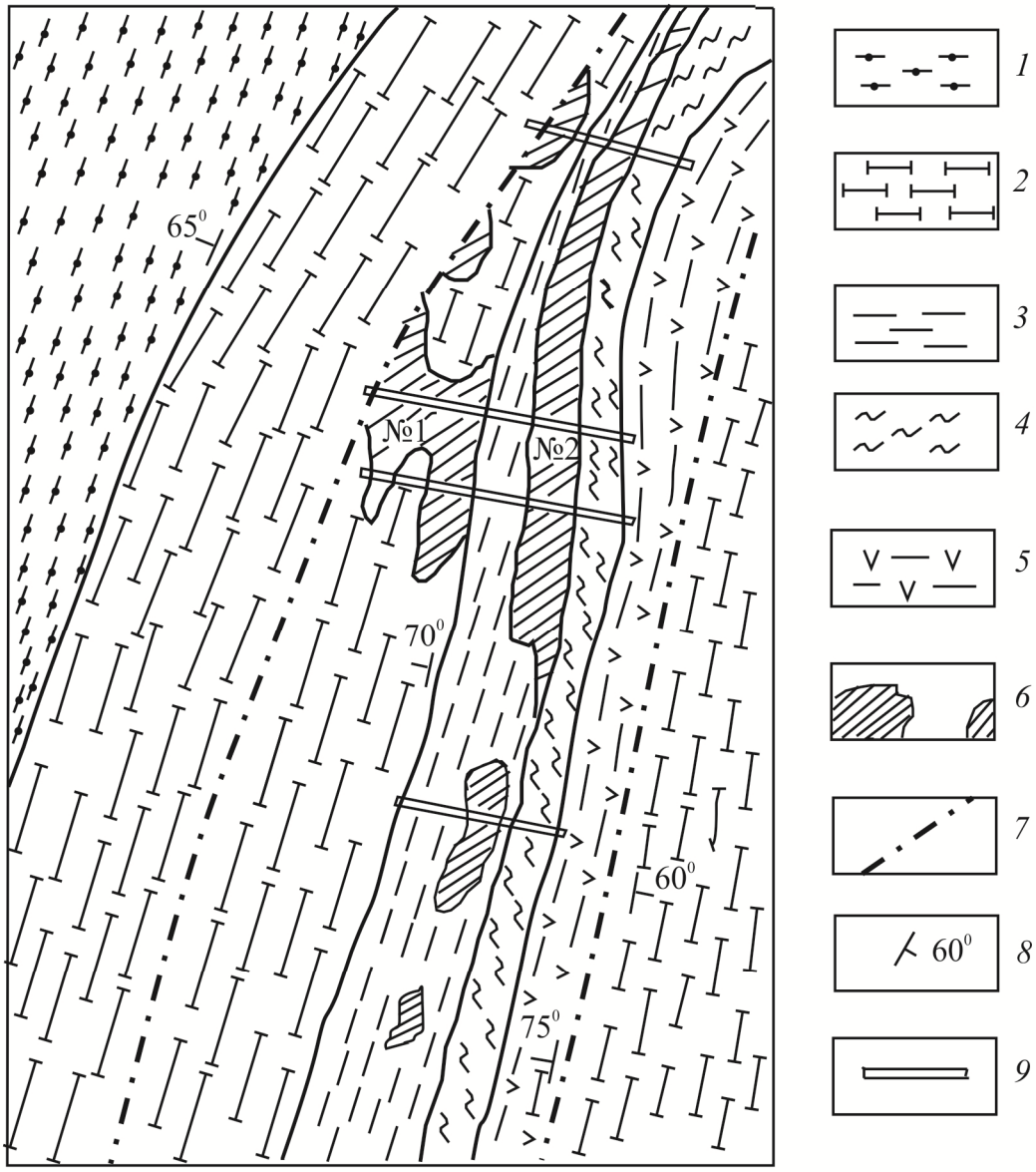
6) Наметить виды и способы отбора проб применительно к конкретному типу полезного ископаемого. Для каждого вида опробования (химического, геохимического, минералогического, технологического, технического, геофизического) обосновать цель исследования, способы отбора проб, параметры проб (сечение, длину, массу пробы).

Составить схему обработки проб. Все запланированные виды исследований отразить в табличной форме.

7) Подсчитать проектные запасы полезного ископаемого по категории C_1 (для отдельных блоков), C_2, а также прогнозные ресурсы по категории P_1. Ограничить проектные выработки глубиной до 100-150 м, в отдельных случаях – до 200 м (в зависимости от типа полезного ископаемого). По запроектированным выработкам предусмотреть возможные (вероятные) параметры (мощность залежи, содержание полезного компонента, объемная масса руды и т. д.). Обосновать метод подсчета запасов и выполнить его, отразив результаты в табличной форме.

Отчетными документами являются графический материал и пояснительная записка к нему. На приведенной на бланке задания схематической геологической карте следует нанести проектные разведочные выработки (горноразведочные, буровые скважины), отразив номерами последовательность их проходки. Проектные выработки должны быть также нанесены и на отстроенные геологические разрезы, а также при необходимости на продольную вертикальную проекцию. На графике отразить контуры блоков проектных запасов категории C_1, C_2 и прогнозных ресурсов категории P_1. В пояснительной записке обосновать методику оценочных работ, объем аналитических исследований. Геолого-промышленную значимость оцениваемого объекта сравнить с литературными сведениями [3, 4, 5, 7]. Время выполнения задания – 6-8 часов.

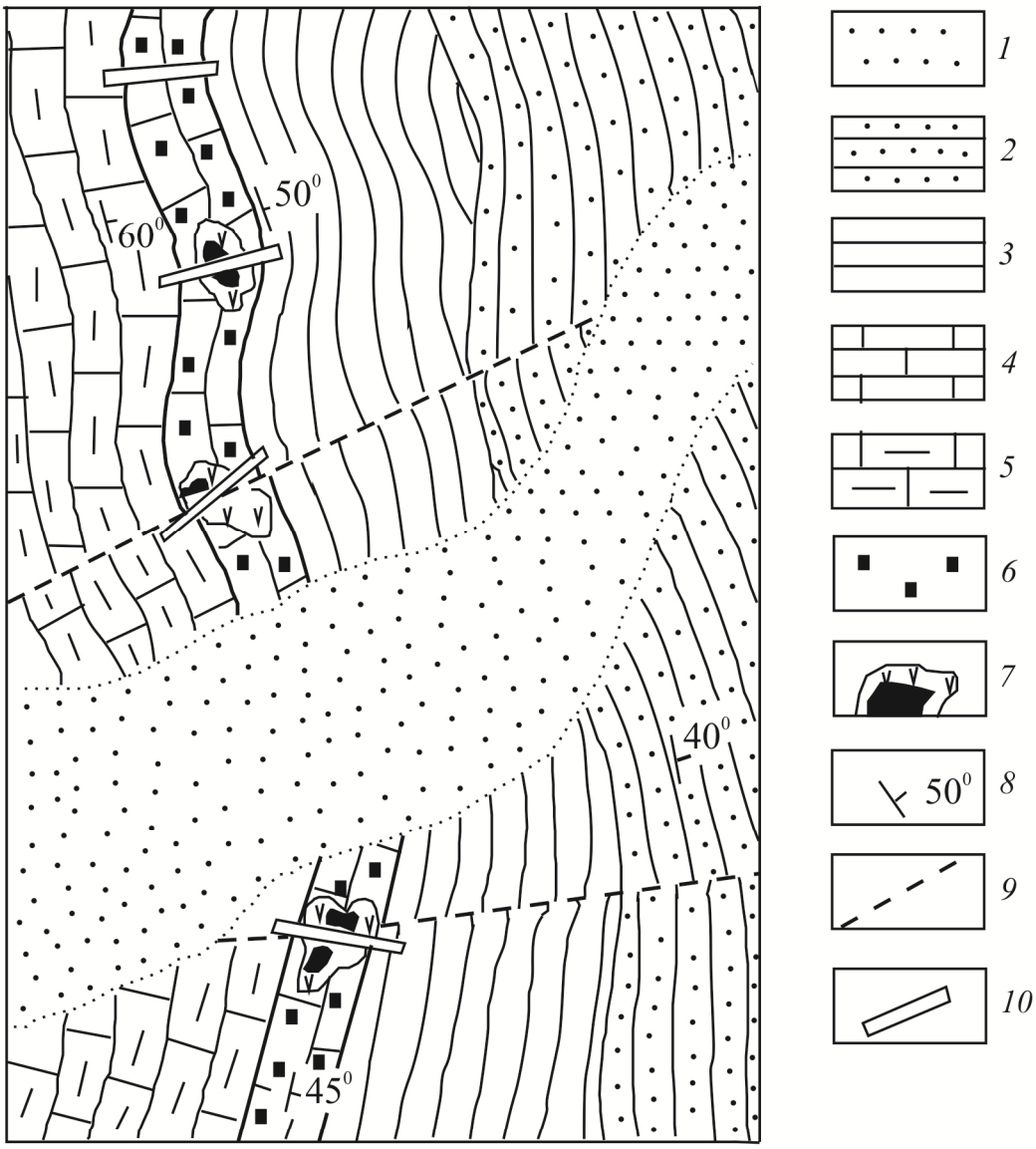
Задание 1



М 1:5000

Рис. 1. Геологический план участка работ:
1 - роговики (гидрогематит-мартитовые) (PR_2); *2* - роговики (мартитовые) (PR_2); *3* - джеспилиты (мартитовые) (PR_2); *4* - хлоритовые сланцы с прослоями роговиков (PR_2); *5* - углисто-кварцево-хлоритовые сланцы (PR_2); *6* - выходы богатых гематит-мартитовых руд (Fe = 40-58 %), номера рудных тел; *7* - тектонические нарушения; *8* - элементы залегания пород; *9* - пройденные канавы

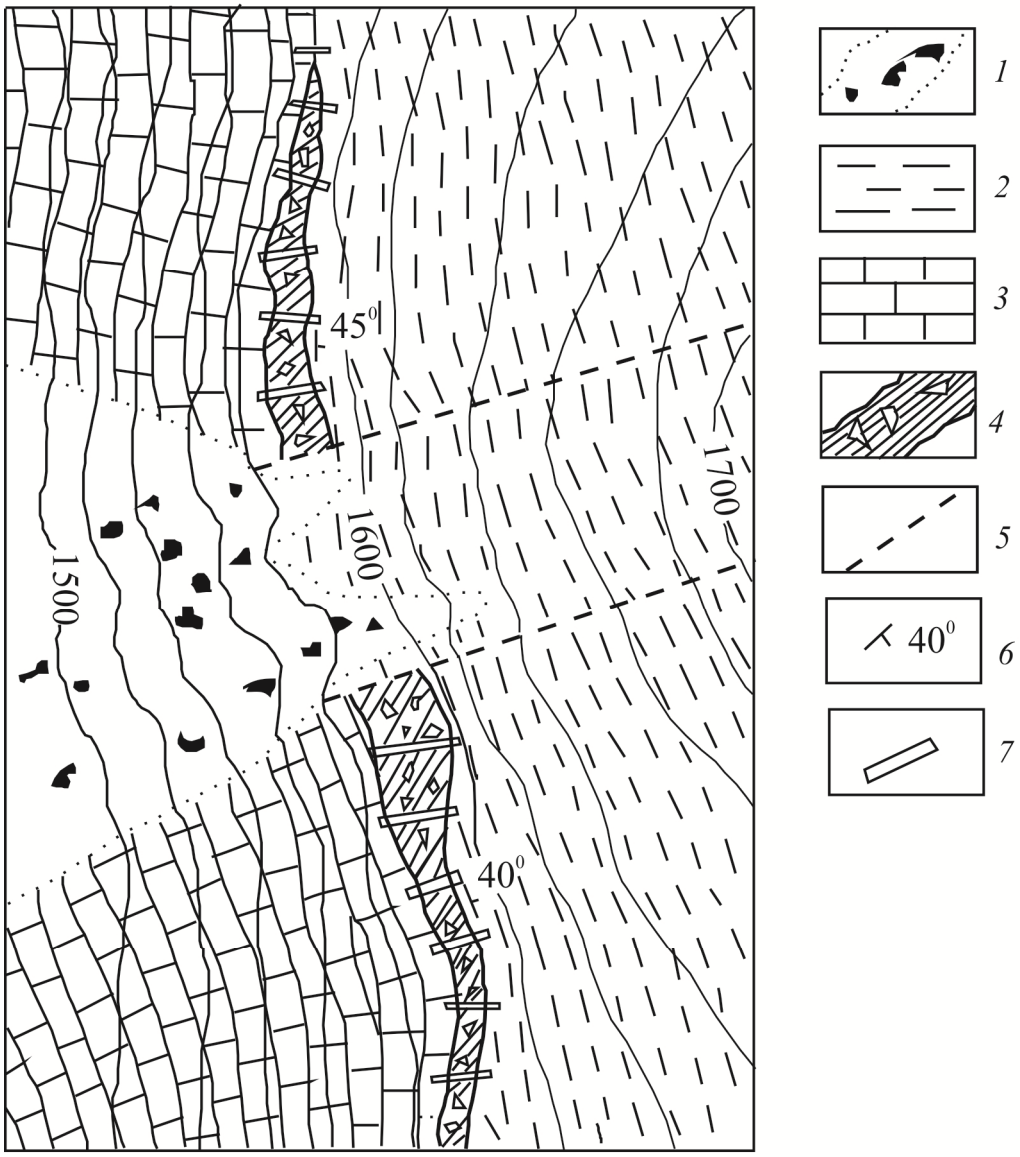
Задание 2



М 1:10000

Рис. 2. Геологический план участка работ:
1 - аллювиальные отложения мощностью до 10 м (*Q*); *2* - песчаники, алевролиты (C_2);
3 - сланцы углисто-глинистые (C_2); *4* - известняки доломитизированные (C_1);
5 - известняки с углистым веществом (C_1); *6* - вкрапленность сульфидов (галенита, сфалерита), содержание в породе Pb - 1,2-2,0 %; *7* - участки развития доломита с гнездами массивных полиметаллических руд, содержание Pb - 5,0-6,5 %;
8 - элементы залегания пород; *9* - разрывные нарушения;
10 - пройденные канавы

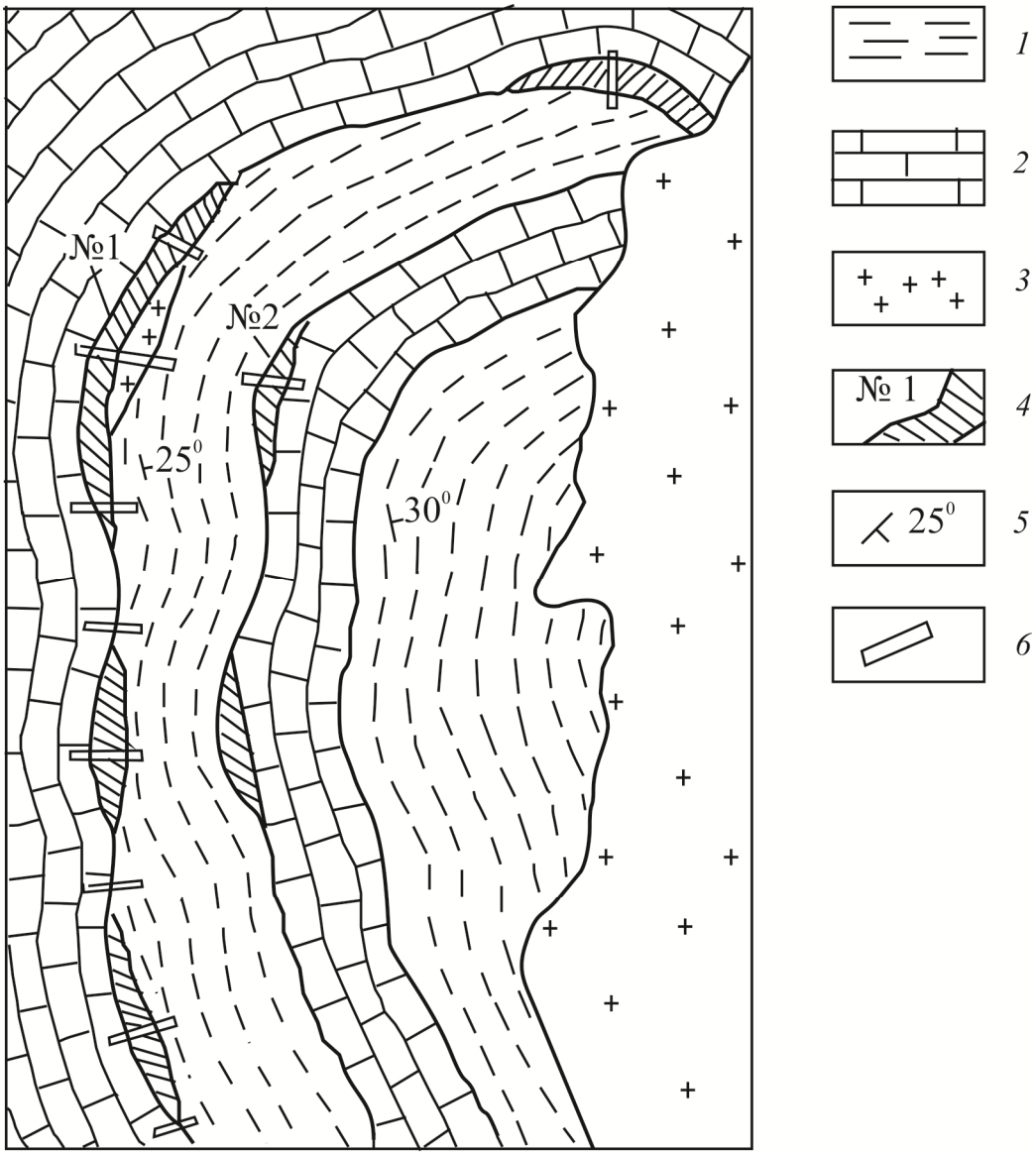
Задание 3



М 1:10000

Рис. 3. Геологический план участка работ:
1 - делювий с рудными обломками (Q_{3-4}); *2* - сланцы глинистые (C_1);
3 - известняки (D_3); *4* - субсогласная залежь джаспероидных брекчий с антимонитом (Sb - в среднем 2,2 %, коэффициент рудоносности 0,42);
5 - разрывные нарушения; *6* - элементы залегания пород;
7 - пройденные канавы

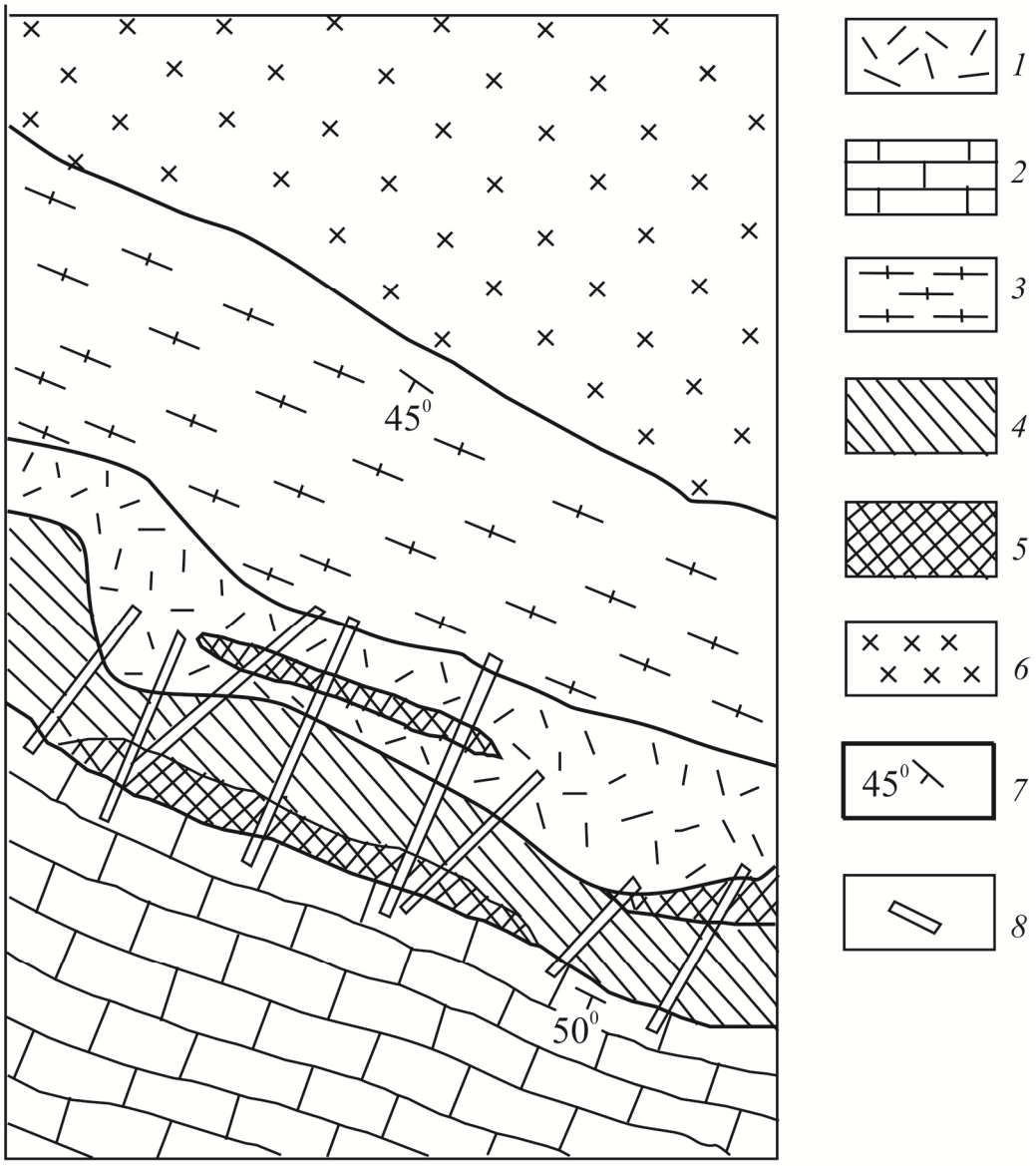
Задание 4



М 1:5000

Рис. 4. Геологический план участка работ:
1 - сланцы, алевролиты, песчаники (P_2); *2* - известняки мергелистые (P_2);
3 - граниты; *4* - зоны шеелитоносных скарнов (№ 1 - содержание WO_3 - 0,71 %,
коэффициент рудоносности - 0,65; № 2 - содержание WO_3 - 0,33 %,
коэффициент рудоносности - 0,33); *5* - элементы залегания пород;
6 - пройденные канавы

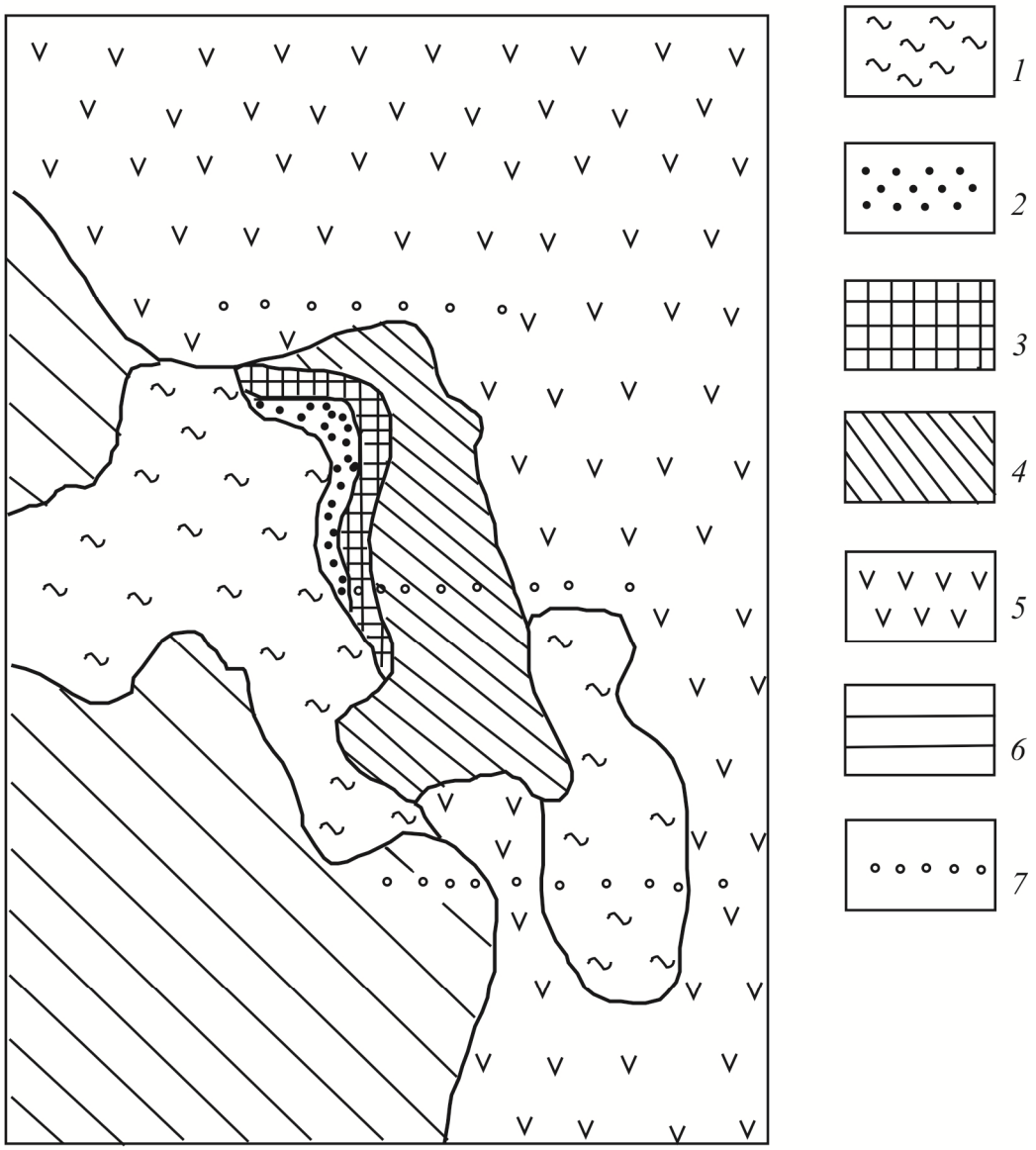
Задание 5



М 1:5000

Рис. 5. Геологический план участка работ:
1 - вулканогенные породы (трахиты с порфировой структурой) (D_3);
2 - известняки (D_3); *3* - роговики; *4* - скарны (содержание Fe - 25-35 %);
5 - магнетитовые массивные руды (содержание Fe - 40-55 %); *6* - сиениты;
7 - элементы залегания пород; *8* - пройденные канавы

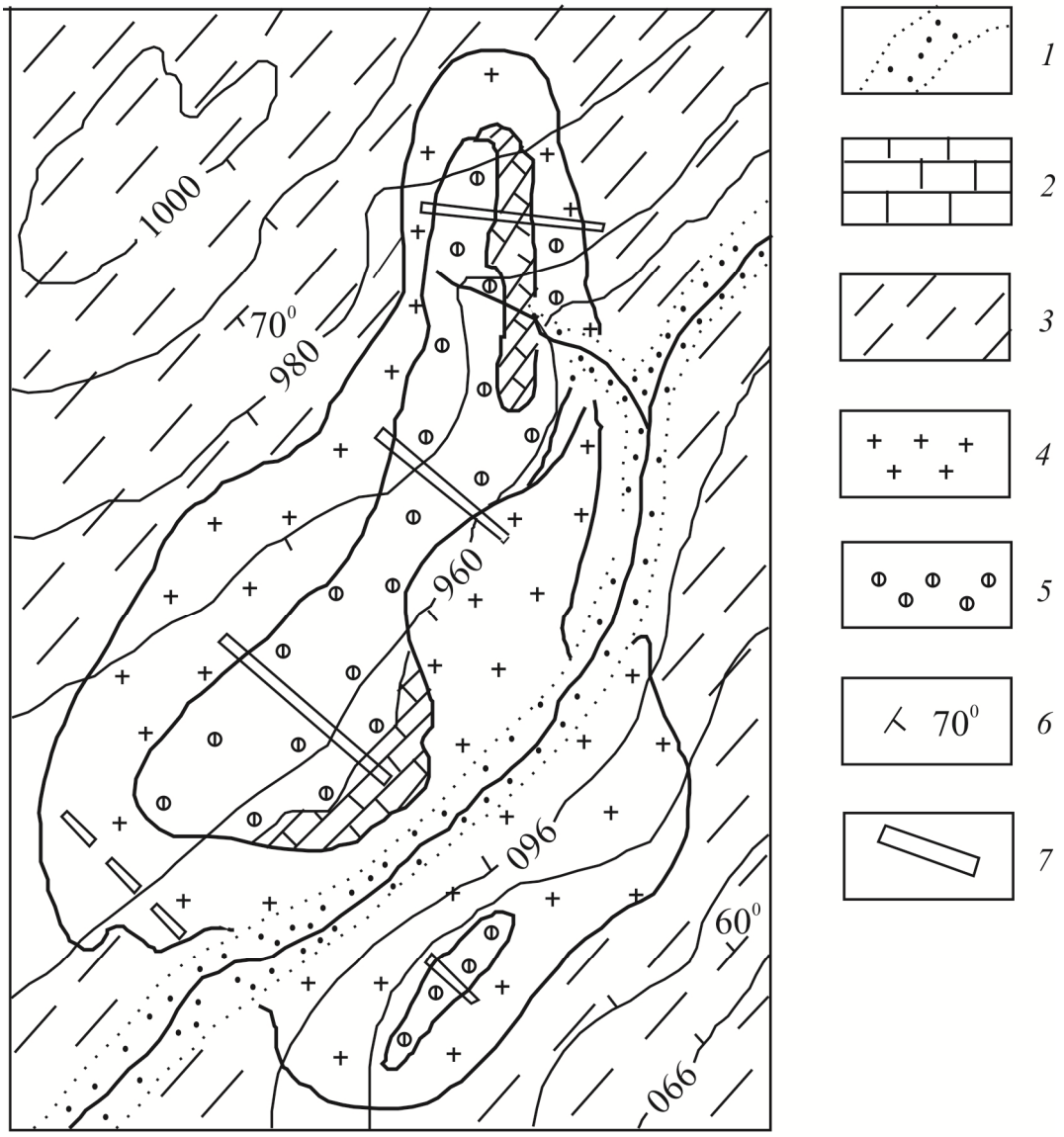
Задание 6



М 1:10000

Рис. 6. Геологический план участка работ:
1 - покровные отложения (N_2 - Q); *2* - охристо-кремнистые породы (гидрогетит, галлуазит, гарниерит, асболан; содержание Ni = 0,92-1,05 %); *3* - серпентинит выветрелый (нонтронит, гарниерит, керолит, гидрогетит; содержание Ni = 1,1-1,3 %); *4* - серпентинит выщелоченный (серпентин, гарниерит, керолит, гидрогетит; содержание Ni = 0,08 %); *5* - серпентинит апоперидотитовый слабо измененный; *6* - сланцы кристаллические (PZ_1); *7* - скважины поисково-картировочные

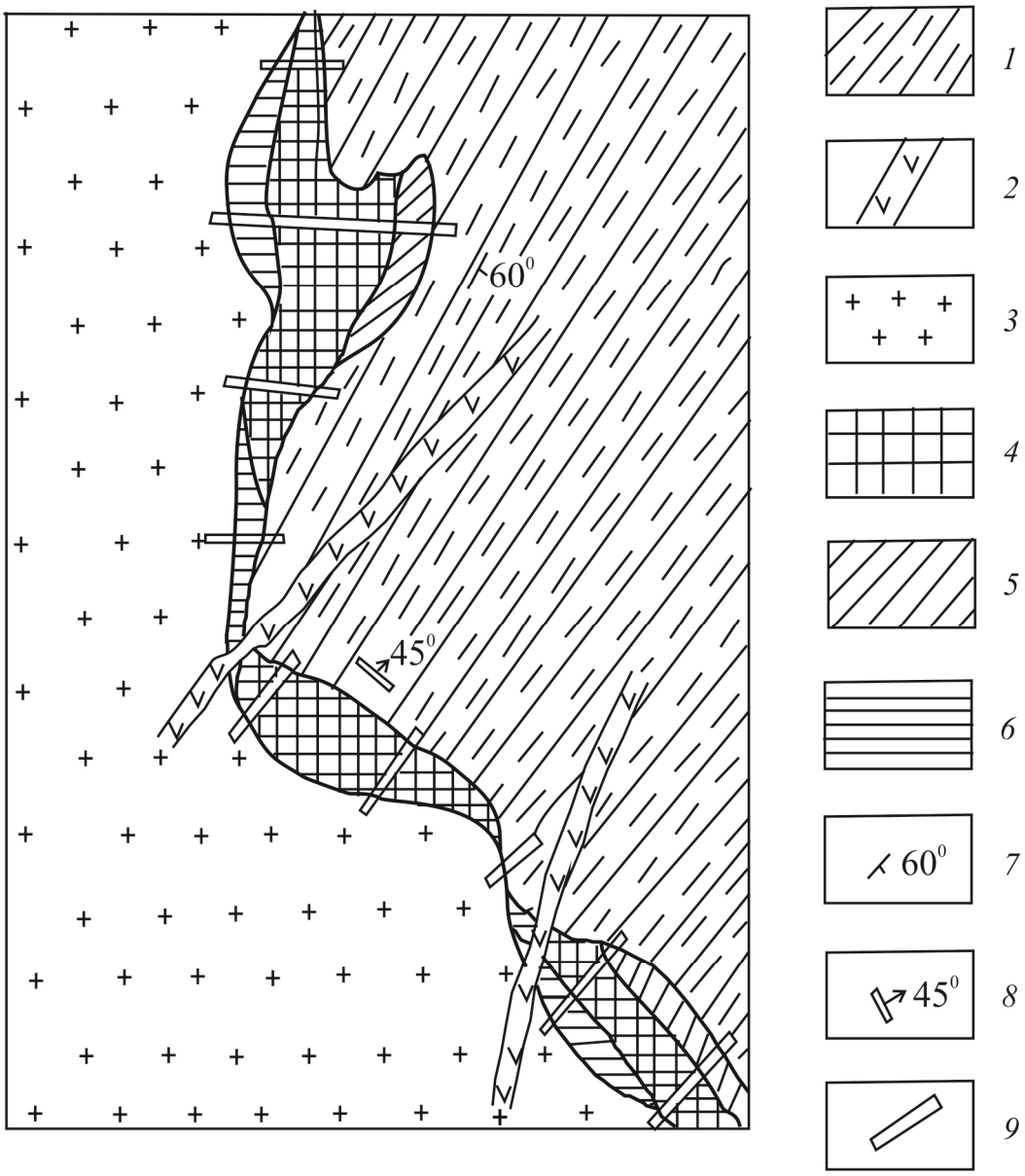
Задание 7



М 1:5000

Рис. 7. Геологический план участка работ:
1 - аллювиальные отложения (Q_4); *2* - мраморизованные известняки (C_1); *3* - кварц-биотитовые сланцы (D_{2-3}); *4* - гранодиориты; *5* - скарны (ориентировочная мощность - 60 м, содержание WO_3 - 1,35 %, коэффициент рудоносности - 0,10); *6* - элементы залегания пород; 7 - пройденные канавы

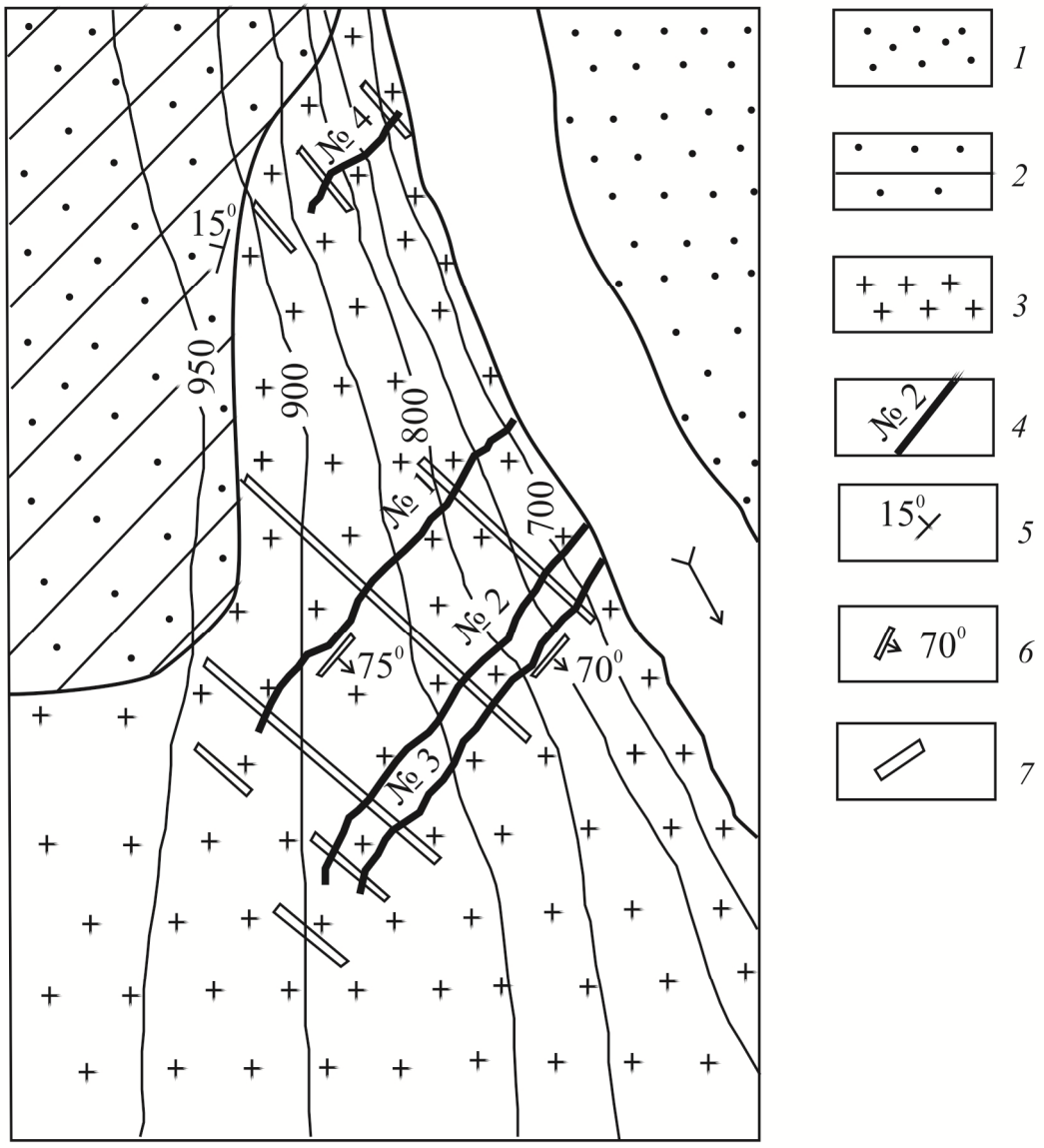
Задание 8



М 1:10000

Рис. 8. Геологический план участка работ:
1 - вулканогенно-осадочные породы (D_2); *2* - дайки пород основного состава; *3* - гранодиориты; *4* - гранатовый скарн с вкрапленностью магнетита (содержание Fe 32-46 %); *5* - то же (содержание Fe 18-31 %); *6* - то же (содержание Fe менее 18 %); *7* - элементы залегания пород; *8* - элементы залегания рудоносной залежи; *9* - пройденные канавы

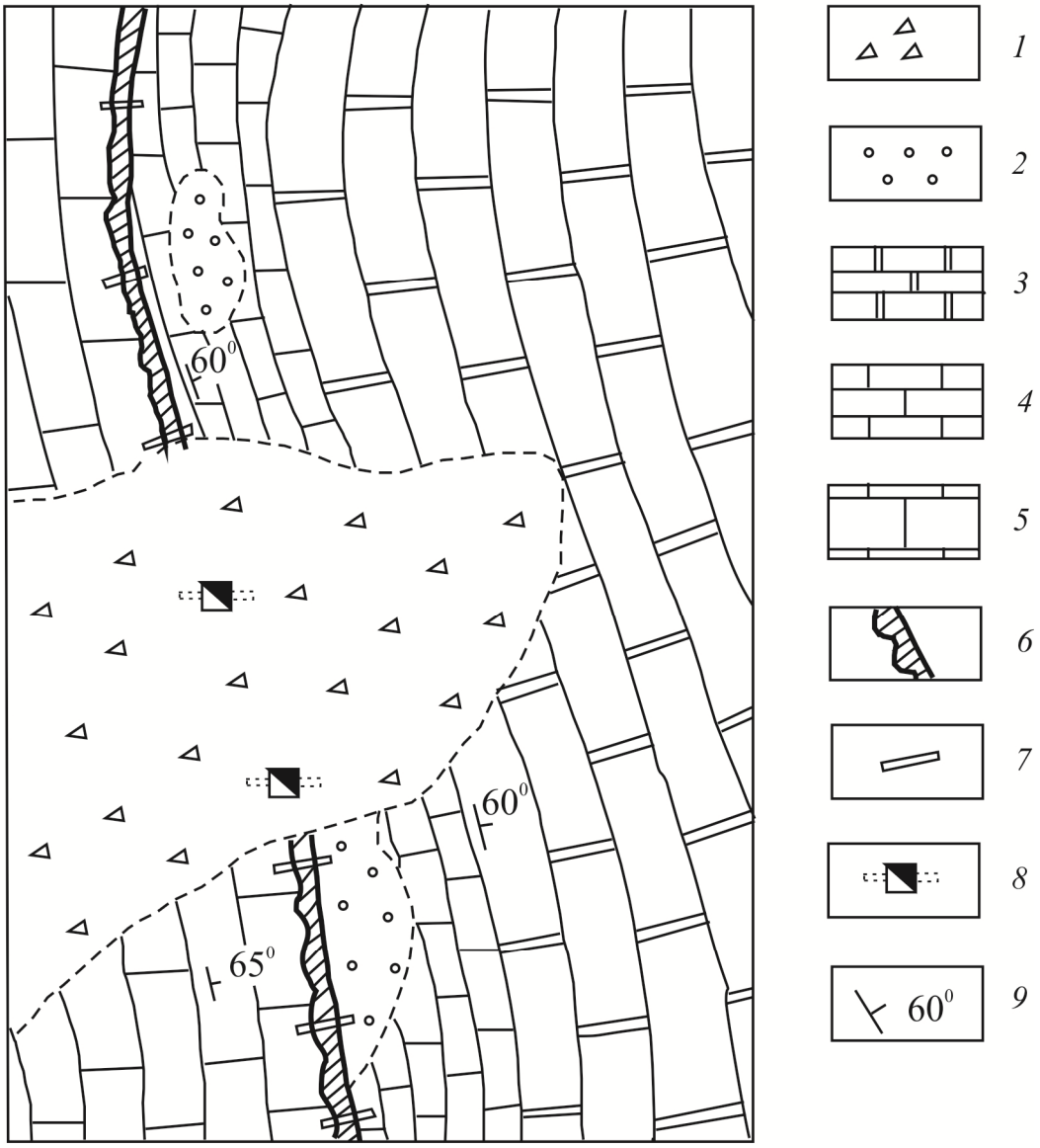
Задание 9



М 1:10000

Рис. 9. Геологический план участка работ:
1 - аллювиальные отложения (мощность 18 м) (*Q*); *2* - песчаники полимиктовые (I_1); *3* - гранитоиды (I_3); *4* - кварцевые жилы с молибденитом, их номера (мощность жил 1,5-2 м, содержание Mo 0,60-0,85 %, коэффициент рудоносности 0,1); *5* - элементы залегания пород; *6* - элементы залегания рудоносных жил; *7* - пройденные канавы

Задание 10



М 1:10000

Рис. 10. Геологический план участка работ:
1 - делювиальные отложения (мощность до 8 м) (Q_{3-4}); *2* - ледниковые отложения (Q_2); *3* - известняки темно-серые массивные (D_2); *4* - известняки черные тонкослоистые (D_2); *5* - известняки розовых тонов массивные (D_2); *6* - боксит пестроцветный (средняя мощность пласта 10 м); *7* - пройденные канавы; *8* - пройденные шурфы с рассечками; *9* - элементы залегания

СПИСОК РЕКОМЕНДУЕМОЙ ЛИТЕРАТУРЫ

1. *Каждан, А. Б.* Разведка месторождений полезных ископаемых / А. Б. Каждан. – М.: Недра, 1977. – 327 с.

2. *Каждан, А. Б.* Поиски и разведка месторождений полезных ископаемых (Научные основы поисков и разведки) / А. Б. Каждан. – М.: Недра, 1984. – 285 с.

3. *Авдонин, В. В.* Месторождения металлических полезных ископаемых / В. В. Авдонин, В. Е. Бойцов, В. М. Григорьев [и др.]. – М.: Трикста, 2005. – 720 с.

4. *Малахов, И. А.* Промышленные типы металлических полезных ископаемых / И. А. Малахов, П. Л. Бурмако, А. П. Алексеев. - Екатеринбург: УГГУ, 2007. – 209 с.

5. *Яковлев, П. Д.* Промышленные типы рудных месторождений / П. Д. Яковлев. – М.: Недра, 1986. – 358 с.

6. *Сборник нормативно-методических документов по геолого-экономической оценке месторождений полезных ископаемых.* – М.: ГКЗ, 1998. – 319 с.

7. *Баранников, А. Г.* Прогнозирование и поиски месторождений полезных ископаемых: лабораторный практикум с основами теории / А. Г. Баранников, А. Н. Угрюмов, Г. П. Дворник. – Екатеринбург: УГГУ, 2004. – 104 с.

МИНОБРНАУКИ РФ

ФГБОУ ВО «Уральский государственный университет»

УТВЕРЖДАЮ
Заведующий кафедрой геологии
поисков и разведки месторождений
полезных ископаемых


_____В.А. Душин

МЕТОДИЧЕСКИЕ УКАЗАНИЯ ПО ОРГАНИЗАЦИИ ПРАКТИЧЕСКИХ ЗАНЯТИЙ И САМОСТОЯТЕЛЬНОЙ РАБОТЫ ПО ДИСЦИПЛИНЕ

НЕТРАДИЦИОННЫЕ ТИПЫ МЕСТОРОЖДЕНИЙ ПОЛЕЗНЫХ ИСКОПАЕМЫХ

Для обучающихся специальности:

21.05.02 Прикладная геология

Специализация
Геологическая съемка, поиски и разведка месторождений твердых полезных ископаемых

Форма обучения: очная, заочная

Автор: Душин В.А., зав.каф.ГПР МПИ

Профессор

Одобрены на заседании кафедры
Геология, поиски и разведка
МПИ Протокол № 1 от 26.09.2023

Екатеринбург

В настоящее время все отчетливее просматриваются признаки надвигающегося дефицита минерального сырья на фоне общего возрастания стоимости одних компонентов и падения других. Все острее ощущается необеспеченность сырьем как ведущих экономик мира, так и развивающихся стран.

Несмотря на приоритет известных геолого-промышленных типов месторождений полезных ископаемых в удовлетворении потребности различных отраслей промышленности необходимо выявление перспективных новых, нетрадиционных минерально-сырьевых ресурсов, в том числе и техногенного происхождения. Это обусловлено тем, что качество добываемых руд, постепенно снижаясь, имеет тенденцию сближения с качеством техногенного сырья, что и определяет техногенно-минеральные ресурсы как перспективные источники разнообразных металлов и нерудного сырья. Проблема становится еще более актуальной в связи с сокращением инвестиций в строительство горнодобывающих предприятий, ухудшением экологической ситуации, сокращением запасов высококачественных руд и ухудшением горно-геологических условий отработки месторождений (глубина, обводненность и т.п.).

Как хорошо известно, добыча полезных ископаемых развивается значительными темпами, что вызвало истощение целого ряда месторождений, расположенных в освоенных районах и залегающих в благоприятных горно-геологических условиях. По мере углубления знаний о геологическом строении Земли и под воздействием достижений научно-технического прогресса постоянно увеличивается не только абсолютное число вовлеченных в производство полезных ископаемых, но и их ассортимент.

В первую очередь это касается энергетического сырья, а также: элементов определяющих научно-технический прогресс – редких и легирующих металлов, радиоактивных и рассеянных элементов.

Наиболее эффективным в существующей современной экономической ситуации является вовлечение в переработку ранее складированных отходов с высоким содержанием полезных компонентов, что позволит при меньших капитальных вложениях достичь существенного повышения эффективности производства.

Понимая необходимость ознакомления студентов с вышеназванными проблемами на кафедре геологии, поисков и разведки МПИ данный курс читается будущим геологам на протяжении последних 15 лет.

Основными целями курса является вооружение обучаемых теоретическими знаниями и практическими навыками, необходимыми для современного изучения месторождений нетрадиционных типов, которые в силу специфических особенностей состава руд, морфологии залежей и геологических условий строения и формирования пока не перешли в разряд ведущих геолого-промышленных типов.

Содержание учебной дисциплины

Раздел 1. Роль минерально-сырьевых ресурсов в экономике России и Мира

1.1. Место России в минерально-сырьевом комплексе Мира

1.2. О сырьевой безопасности России в XXI веке

Раздел 2. Основные виды нетрадиционных (новых) типов ресурсов минерального сырья

2.1. Систематика нетрадиционных видов минерального сырья

2.2. Топливно-энергетическое сырье

2.3. Черные металлы

2.4. Цветные металлы

2.5. Редкие металлы

2.6.Благородные металлы и алмазы

2.7. Полезные ископаемые океанов

2.8. Неметаллические полезные ископаемые

Раздел 3. Научные и технологические проблемы освоения нетрадиционных типов МПИ

3.1. Развитие теоретических подходов к выявлению новых и нетрадиционных типов МПИ

3.2. Современные геотехнологии эффективного освоения рудных месторождений

Практические занятия по дисциплине «Нетрадиционные типы месторождений полезных ископаемых» предполагают ознакомление студентов с ведущими нетрадиционными и новыми типами месторождений полезных ископаемых по основным видам минерального сырья, а также приобретение студентами навыков на основе примера описания рудного объекта по нетрадиционному геолого-формационному типу.

План практических занятий по дисциплине «Нетрадиционные типы МПИ»

Знакомство с коллекциями образцов кафедры, планами и разрезами эталонных объектов, их геолого-геофизическими моделями в том числе:

1. Топливно-энергетическое сырье. Уран (только графика)
2. Нетрадиционные и новые типы месторождений черных металлов (железо, марганец, хром, титан, ванадий)
3. Нетрадиционные и новые типы месторождений цветных металлов (медь, свинец-цинк, алюминий, никель, кобальт)
4. Нетрадиционные и новые типы месторождений редких металлов (вольфрам, молибден, бериллий, тантал, ниобий, иттрий и лантаноиды
5. Нетрадиционные и новые типы месторождений благородных металлов и алмазов

   (золото, серебро, платиноиды, алмазы)

При изучении дисциплины самостоятельно рекомендуется пользоваться широким перечнем литературных и методических источников, имеющихся в библиотеке университета и выставленных на сайтах. Перечень

последних приведен ниже. Следует в ходе подготовки обратить внимание на регулярный опрос студентов по мере изучения дисциплины в рамках заявленных в программе тем:

1. Место России в минерально-сырьевом комплексе Мира
2. Основные виды новых и нетрадиционных типов ресурсов минерального сырья (по металлам)
3. Полезные ископаемые океанов

Контрольные вопросы по дисциплине содержат как теоретические, так и так и практикоориентированные задания

Контрольные вопросы (проверка знаний при подготовке к экзамену по дисциплине «Нетрадиционные типы МПИ»)

1. Каковы цели и задачи дисциплины «Нетрадиционные типы МПИ»?
2. Что понимается под термином нетрадиционные (и новые) типы МПИ?
3. Какова краткая история развития данного направления в науках о Земле?
4. Поясните схему формирования нетрадиционных и новых типов МПИ?
5. Что понимается под минерально-сырьевыми ресурсами?
6. В чем отличие запасов от ресурсов?
7. Какова роль минерально-сырьевых ресурсов в экономике России?
8. Какова роль минерально-сырьевых ресурсов в экономике Мира?
9. Перечислите основные современные проблемы минерально-сырьевого комплекса России?
10. В чем пагубность «Сырьевой иглы» для экономики страны?
11. Каковы основные проблемы национальной безопасности России в минерально-сырьевом секторе?
12. Перечислите «Нетрадиционные типы МПИ» в нефтегазовом секторе?
13. Каковы нетрадиционные и новые типы урановых объектов?
14. Каковы нетрадиционные и новые типы ториевых объектов?
15. Охарактеризуйте нетрадиционные и новые типы урановых и торий-урановых объектов.
16. Перечислите нетрадиционные и новые типы редкометалльных объектов.

17. Охарактеризуйте нетрадиционные и новые типы редкометалльных объектов.

18. Перечислите новые и нетрадиционные типы минерального сырья агропромышленного комплекса.

19. Охарактеризуйте новые и нетрадиционные типы минерального сырья агропромышленного комплекса.

20. Поясните на примере теоретические и практические подходы к освоению новых и нетрадиционных типов МПИ.

21. Расшифруйте понятие техногенный минеральный объект (месторождение)

22. Перечислите основные виды техногенных минеральных объектов

23. Поясните историю использования вторичных техногенных минеральных ресурсов.

Практикоориентированные задания для студентов по дисциплине «Нетрадиционные типы месторождений полезных ископаемых»

Раздел 1.

Покажите на карте основные районы развития минерально-сырьевого комплекса России

Раздел 2.

Определите по образцам из коллекции кафедры принадлежность руд к новым, либо нетрадиционным объектам сырья (руды черных, цветных, благородных, редких металлов)

Раздел 3.

Покажите на карте регионы с широким внедрением в освоении нетрадиционных и новых типов рудных объектов

В процессе освоения дисциплины на практических занятиях каждому студенту выдается по пять образцов из контрольной коллекции, представляющей как существующие промышленные типы месторождений, так и нетрадиционные типы источников минерального сырья. После визуального изучения образцов студент должен:

1. Охарактеризовать структурно-текстурные особенности, представленных пород и состав полезной минерализации
2. Определить генетическую принадлежность оруденения, представленного в каждом из изучаемых образцов
3. Разделить предлагаемые образцы на две группы, первая из которых представляет месторождения существующих геолого-промышленных типов, вторая - нетрадиционные типы источников минерального сырья
4. Для образцов первой группы установить геолого-промышленный тип месторождений полезного ископаемого и назвать примеры таких месторождений
5. Для образцов второй группы высказать суждение об их возможностей принадлежности к нетрадиционным (или новым) источникам какого-либо минерального сырья

МЕТОДИЧЕСКИЕ МАТЕРИАЛЫ

1. Душин В.А., Макаров А.Б. Нетрадиционные типы месторождений полезных ископаемых. Учебное пособие. Екатеринбург УГГУ, 2015. 224с.

2. Техногенное минеральное сырье Урала / Перепелицын В.А., Рытвин В.М., Коротеев В.А., Макаров А.Б. и др. - Екатеринбург: РИО УРО РАН, 2013 – 332с.

3. Бойцов В.Е., Пилипенко Г.Н., Солодов Н.А. Месторождения благородных, радиоактивных и редких металлов – М.: НИА – ПРИРОДА – 1999

4. Ваганов В.И. Алмазные месторождения России и Мира – М.: ЗАО «Геоинформмарк», 2000

5. Воробьев А.Е., Гладуш А.Д. Геохимия золота. Ресурсы и технологии России. Справочное издание. – М.: Изд. РУДН, 2000

6. Додин Д.А., Золоев К.К., Воронов В.А., Чернышов Н.Н. Углеродсодержащие формации – новый крупный источник платиновых металлов XXI века. – М.: «Геоинформмарк», 2007

7. Додин Д.А., Чернышов Н.К. Платинометальные месторождения Мира. – М.: РБИ, 1999

8. Козловский Е.А. Минерально-сырьевые проблемы России накануне XXI – М.: РБИ, 1999

9. Коробейников А.Ф. Комплексные месторождения благородных и редких металлов – Томск: Изд-во ТПУ, 2006

10. Лушанов А.В., Быховский Л.З., Титунов Л.П. нетрадиционные источники попутного получения золота: проблемы и пути решения. – М.: 2003

11. Нетрадиционные ресурсы минерального сырья. Арбатов А.А., Астахов А.С., Лаверов Н.П. и др. – М.: Недра, 1988

12. Остроумов В.Р., Морозов А.Ф., Магалеев Б.Д. Открытия коренных источников Уральских алмазов/ ВСБ Геологическое изучение и использование недр. – М: 1996 – Вып.6

Все о геологии http://www.*geo.web/ru*

Единое окно доступа к образовательным ресурсам – Режим доступа: http://window.edu.ru

Президент Российской федерации – http://www.president.kremlin.ru

Правительство Российской федерации – http://www.goverment.gov.ru

Российский правовой портал – http://www.rpp.ru

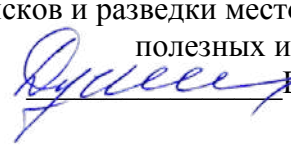
Геоинформмарк– http://www. *geoinform.ru*

Алгоритм работы студентов для качественного усвоения дисциплины включает в себя следующие действия:

1. Изучения рабочей программы дисциплины, что позволит правильно сориентироваться в системе требований, предъявляемых к студенту со стороны преподавателя.
2. Посещение и конспектирование лекций.
3. Обязательная подготовка к практическим занятиям.
4. Изучение основной и дополнительной литературы.
5. Выполнение всех видов самостоятельной работы, в первую очередь изучение коллекций каменного материала по месторождениям полезных ископаемых различных геолого-промышленных типов.

МИНОБРНАУКИ РФ

ФГБОУ ВО «Уральский государственный горный университет»

УТВЕРЖДАЮ
Заведующий кафедрой геологии,
поисков и разведки месторождений
полезных ископаемых

В.А.Душин

МЕТОДИЧЕСКИЕ УКАЗАНИЯ К САМОСТОЯТЕЛЬНОЙ РАБОТЕ СТУДЕНТОВ ПО ДИСЦИПЛИНЕ

Б1.В.15 ОПРОБОВАНИЕ ТВЕРДЫХ ПОЛЕЗНЫХ ИСКОПАМЕЫХ

Специальность:
21.05.02 Прикладная геология

Специализация
Геологическая съемка, поиски и разведка месторождений твердых полезных ископаемых

форма обучения: очная, заочная

Автор: Баранников А.Г., профессор, д.г.-м.н.

Одобрены на заседании кафедры
Геологии, поисков и разведки МПИ
(название кафедры)
Протокол № 1 от 26.09.2023
(Дата)

Екатеринбург

ОПРОБОВАНИЕ МЕСТОРОЖДЕНИЙ ПОЛЕЗНЫХ ИСКОПАЕМЫХ

Основные понятия, виды опробования, способы отбора проб, системы опробования месторождений

Опробование – это комплекс работ для получения количественной информации о качестве исследуемых объектов.

Качество полезного ископаемого – это совокупность функциональных и технологических свойств, обусловливающих пригодность и экономическую целесообразность его промышленного использования.

Проба – это часть (порция) опробуемого материала, отнесенная к определенному объему рудного тела или отбитой руды (вмещающих пород) и характеризующая с заданной точностью исследуемое свойство полезного ископаемого. Проба с современных позиций рассматривается как геоизмерение, а опробование как геоизмерительный процесс. Как геоизмерение, проба характеризуется двойственной природой: она соединяет в себе свойства и характеристики обычного классического метрологического измерения и в то же время содержит специфические метрологические характеристики, обусловленные особенностями внутреннего строения геологических объектов.

Пробе (как замеру) присущи такие метрологические характеристики как точность и правильность (верность).

Точность пробы – это интегральная случайная техническая погрешность, возникающая в процессе ее отбора, подготовки и исследования. **Правильность пробы** определяется величиной интегральной систематической погрешности. Проба верная, или правильная, если у нее практически отсутствует систематическая погрешность. Таким образом, точность и правильность пробы обусловливается техническими погрешностями при ее отборе, подготовке и испытаниях. Практически достоверная – это такая проба, у которой отсутствует систематическая погрешность, а случайная техническая погрешность находится в допустимых для практических целей пределах.

Как геоизмерение, проба имеет геометрическую базу и сферу влияния. Именно они предопределяют появление у пробы специфи-

ческих метрологических характеристик – надежности и представительности.

Геометрическая база пробы – это участок руды (вмещающей породы), в пределах которого непосредственно производится измерение (определение) изучаемого свойства. Геометрическую базу пробы характеризуют следующие элементы: размеры или объем пробы; форма и ориентировка пробы относительно текстурно-структурных элементов опробуемой породы.

Область или сфера влияния пробы – это объем руды (вмещающей породы), на который распространяется значение определяемого свойства.

Надежной – называется практически достоверная проба, которая при заданной геометрической базе гарантирует присутствие в ней исследуемого свойства и уверенную экстраполяцию результатов на непосредственно прилегающий к пробе приповерхностный слой руды или породы. Практически достоверная проба считается представительной, если она позволяет оценить с необходимой надежностью изучаемое свойство в сфере ее влияния.

Опробование как геоизмерительный процесс представляет множество (совокупность) проб, отобранных по определенной системе. **Система опробования** – это пространственное расположение проб на профиле, площади или в объеме рудного тела (вмещающих пород). Система включает регулярную сеть опробования и длину секций опробования, расстояние между пробами по простиранию и падению залежи, длину пробы по линиям мощности.

Как совокупность (множество) проб, система опробования характеризуется своей воспроизводимостью (точностью) и правильностью. Они имеют тот же смысл, что и при рассмотрении понятия проба. Как множество регулярно расположенных в пространстве замеров, система опробования оценивается достоверностью.

Достоверность системы опробования характеризует качество глубины познания внутреннего строения объекта. Система опробования считается достоверной, если она обеспечивает выявление и представительное изучение заданного геолого-структурного или геолого-промышленного уровня организации вещества. Оценка достоверности системы опробования производится на основе геолого-математического моделирования внутреннего строения изучаемых объектов.

По целевому назначению различают следующие виды опробования: 1) химическое; 2) минералогическое; 3) техническое; 4) технологическое; 5) товарное [1].

Химическое опробование предназначено для определения содержаний основных и попутных полезных компонентов, вредных примесей в рудах по всем разведочным пересечениям тел полезных ископаемых. Содержания элементов устанавливаются химическим анализом, а благородных металлов – пробирным анализом. Применяется также геохимическое опробование руд и вмещающих пород. Содержания элементов в геохимических пробах определяются при помощи приближенно-количественного и количественного спектральных анализов.

Минералогическое опробование применяется для изучения минерального состава пород и руд, их текстурно-структурных особенностей. По этим данным проводится прогнозная оценка технологических свойств полезного ископаемого, обосновывается возможность комплексного использования минерального сырья. В качестве минералогических проб используют полированные штуфы, шлифы, аншлифы, протолочки, шлихи. Минералогическое опробование является основным видом оценки качества полезного ископаемого при разведке и эксплуатации россыпных месторождений.

Техническое опробование используется для определения физико-механических показателей, необходимых при подсчете запасов: объемной массы, влажности, пористости, гранулометрического состава, коэффициентов разрыхления. При оценке качества стройматериалов, слюд, асбеста, оптического сырья устанавливают прочностные свойства, прозрачность, бездефектность кристаллов, потери при прокаливании, длину волокна и др. Для этих видов минерального сырья техническое опробование является основным.

Технологическое опробование предназначено для разработки рациональных схем обогащения минерального сырья. При исследовании технологических проб выявляются показатели обогатимости руд: выход концентрата и хвостов обогащения, извлечение металла в концентрат и хвосты обогащения, содержание металла в руде, концентрате и хвостах обогащения. На месторождениях нерудных полезных ископаемых (камнесамоцветного сырья, декоративно-облицовочного камня) важным технологическим показателем является процентный выход камня-сырца, кристаллосырья, кондиционных блоков, полированной плитки, декоративного щебня. По данным изу-

чения технологических проб, отобранных по определенной системе наблюдений, на месторождениях проводится геолого-технологическое картирование залежей полезных ископаемых.

Товарное опробование проводится для получения метрологически обеспеченной информации о качестве поступающей на переработку или временно складируемой товарной руды с целью производства взаимовыгодных коммерческих расчетов между поставщиком и потребителем товарной продукции горнодобывающего предприятия. Товарные пробы должны быть подготовлены к анализам таким образом, чтобы обеспечить метрологическую воспроизводимость методов их исследования в соответствии с действующими стандартами.

Выделяются три последовательные операции опробования: отбор (взятие) проб, обработка (подготовка) проб и их испытания (анализ). **Отбор проб** должен обеспечивать их представительность, т. е. соответствие качества проб качеству той руды, из которой они отобраны. **Обработка проб** предназначена для подготовки материала проб к исследованию. Она включает операции дробления, просеивания, перемешивания и сокращения материала проб. **Анализ проб** проводят с помощью различных методов – химического, спектрального, минералогического анализов, петрографических, технологических исследований и т. д. В результате получают сведения о качестве полезного ископаемого в данной пробе.

Рассмотрим способы отбора проб, применяемые при опробовании месторождений полезных ископаемых.

Способы отбора проб в обнажениях и горных выработках зависят от текстурно-структурных особенностей полезных ископаемых, мощности рудных тел, физико-механических свойств руд. По своей геометрии (форме и пространственной ориентировке) пробы разделяются на три группы: линейные, объемные и точечные [2].

Линейные пробы отбираются бороздовым и шпуровым способами. **Бороздовой способ** является наиболее распространенным при разведке месторождений. Особенно эффективно он используется при опробовании полосчатых и слоистых руд. Бороздовая проба имеет форму призмы и характеризуется шириной, высотой и длиной интервала. Ширина бороздовых проб изменяется от 2 до 20 см, высота от 2 до 10 см, длина от 0,5 до 10 м. Масса бороздовых проб варьирует от 0,5 до 50 кг с 1 метра борозды. Борозда может быть сплошной или прерывистой (пунктирной). Бороздовые пробы отбирают вручную

или с использованием пробоотборников. **Шпуровой способ** применяется на стадии эксплуатационной разведки при химическом опробовании руды в целике впереди забоя. Он заключается в сборе шлама в процессе бурения шпуров обычными или колонковыми перфораторами. Для улавливания материала проб применяются патрубки и пылеулавливатели. Масса шпуровых проб составляет 1-2 кг.

Объемные пробы берутся валовым и задирковым способами. **Валовый способ** выражается в отборе пробы определенной длины по всему сечению разведочной горной выработки (шурфу, штреку, рассечке). Масса валовых проб изменяется от сотен кг до десятков тонн. Валовое опробование предназначено для отбора технологических проб, контрольного опробования, рядового опробования месторождений с крайне неравномерным распределением полезных компонентов (ртути, редких металлов, драгоценных камней). **Задирковый способ** используется для опробования жильных месторождений редких и благородных металлов малой мощности. При этом способе производится отбор слоя руды на глубину 5-10 см со всей площади забоя. Масса задирковых проб составляет 30-250 кг с 1 $м^2$ забоя.

Точечные пробы отбираются штуфным, точечным и горстьевым способами. **Штуфной способ** применяется для ориентировочной характеристики качества полезных ископаемых (их вещественного состава, текстуры и структуры, физических свойств). Он состоит в отборе монолитных кусков (штуфов) руды или вмещающих пород массой 0,5-2 кг. **Точечный способ** служит для опробования мощных жил, залежей, штокверков. Пробы отбираются путем равномерного взятия 10-50 кусочков руды размером 2-5 см в поперечнике, расположенных по правильной сетке (квадратной или прямоугольной). **Горстьевой способ** аналогичен точечному, предназначен для опробования отбитой массы руды в забое. Масса точечной и горстьевой проб составляет 0,5-5 кг.

Опробование скважин осуществляется способом, близким к линейному. При колонковом бурении опробуется керн скважин. В пробу идет половина керна, расколотая на керноколе или распиленная по длинной оси; другая половина оставляется в качестве дубликата. Длина керновых проб составляет от 0,5 до 5 м. При бескерновом (ударно-канатном, шарошечном, роторном) бурении пробой служит шлам, поднимаемый из скважин с пробуренного интервала. В зависимости от диаметра скважин масса проб с одного метра бурения может изменяться от десятков до сотен кг. Буровой шлам отбирается

из скважин с помощью желонок, буровых ложек, змеевиков, стаканов-грунтоносов.

Геофизические способы (магнитные, электрические, плотностные, радиоактивные, ядерно-физические) применяются при опробовании скважин, горных выработок, отбитых руд при разведке некоторых видов полезных ископаемых (железо, олово, сурьма, вольфрам и др.). При геофизических исследованиях применяются каротаж скважин или промеры стенок горных выработок и отвалов руд без отбора проб.

Во всех случаях выбранный способ опробования должен обеспечить соответствие содержаний компонентов в пробах их содержаниям в тех объемах, из которых они отобраны с допустимой погрешностью отбора проб. Взятые пробы подвергаются обработке для подготовки их к анализам.

Составление схемы обработки проб

Обработка проб производится для того, чтобы измельчить и сократить их до массы и крупности, требуемых для химического, спектрального, минералогического анализов, или для других испытаний. Для химического анализа конечная масса пробы обычно составляет от 50 до 200 г, пробирного - 0,5-1,0 кг, спектрального – 5-20 г. Конечная крупность материала должна быть 0,074-0,1 мм.

Обработка проб состоит в чередовании операций измельчения, грохочения (просеивания), перемешивания и сокращения. Они выполняются так, чтобы в конечном материале, представляемом в лабораторию, была сохранена представительность пробы. Другими словами, содержание компонентов в конечном материале должно соответствовать содержанию в отобранной пробе с допустимой погрешностью обработки пробы. Это достигается применением при обработке проб формулы Ричардса-Чечотта

$$Q = кД^2, \qquad (1.1)$$

где Q – надежная масса сокращенной пробы, кг; Д – диаметр максимальных частиц, мм; к – коэффициент, зависящий от изменчивости содержаний полезных компонентов, крупности ценных минералов и физико-механических свойств полезного ископаемого.

Чем ниже содержания компонентов и выше их изменчивость, тем больше значение «к». Величина «к» обоснована экспериментально практически для всех промышленных типов месторождений. При равномерном характере распределения полезных компонентов (ПК) в рудных телах к = 0,02-0,1, при неравномерном распределении ПК к = 0,1-0,2, при весьма неравномерном распределении ПК к = 0,2-0,5 и при крайне неравномерном распределении ПК к = 0,5-1,0 [1]. Считается, что представительность пробы сохраняется, если ее масса изменяется пропорционально квадрату максимальных частиц. При практическом использовании формулы (1.1) в ее правую часть подставляют значение к, размер частиц пробы и получают Q – массу, меньше которой пробу сокращать нельзя.

Измельчение проб выполняется механическим способом с помощью дробилок. Крупное и среднее измельчение производится на щековых дробилках. В них загружают материал размером 30-60 мм, а получают размер частиц 3-10 мм (степень дробления 3-20). Мелкое измельчение производится на валковых дробилках. Загружается материал размером не более 10 мм, получают частицы размером 1-2 мм (степень измельчения 3-10). Тонкое измельчение производят на дисковых истирателях, виброистирателях, в шаровых и стержневых мельницах. На них получают окончательный материал проб требуемой фракции.

Просеивание проводится в основном для контроля максимального размера частиц проб после дробления на ситах со стандартными отверстиями (в мм): 50; 25; 12; 6; 3; 2,5; 2,0; 1,6; 1,25; 1,00; 0,80; 0,63; 0,50; 0,40; 0,315; 0,250; 0,200; 0,160; 0,125; 0,100. Крупная фракция, не прошедшая через сито, снова направляется в дробилку.

Перемешивание материала пробы производится после дробления (если намечается сокращение пробы) для получения однородного материала пробы способами перелопачивания, кольца и конуса и др.

Сокращение проб выполняется для уменьшения массы измельченных проб в пределах, допускаемых формулой Ричардса-Чечотта. Один прием сокращения позволяет уменьшить массу пробы в два раза. Для этого применяются способы кратной отборки, вычерпывания, квартования, а также желобковые делители и механические сократители.

Разработаны и в ряде случаев используются на производстве установки для механизации обработки проб без стадийного сокращения.

На каждом предприятии, где ведется подготовка проб к испытаниям, имеется схема их обработки, составленная ведущим геологом с учетом особенностей руд, задач исследования, вида и массы проб. Важно не только, чтобы схема пробоподготовки была правильно составлена, но и чтобы она неукоснительно соблюдалась при обработке проб. Для этого необходимо всем геологам уметь составлять схемы обработки проб, проверять правильность имеющихся схем, обучать обслуживающий персонал правильному применению разработанной последовательности обработки проб.

Начальная масса пробы ($Q_н$) зависит от способа отбора, геометрической базы пробы и рассчитывается по следующим формулам:

- для бороздовых проб $Q_н = h \cdot m \cdot l \cdot d$; (1.2)
- задирковых проб $Q_н = h \cdot S_р \cdot d$; (1.3)
- валовых проб $Q_н = S_В \cdot H \cdot d$; (1.4)
- точечных проб $Q_н = n \cdot g$; (1.5)
- керновых и шпуровых проб $Q_н = k_п \cdot l \cdot d \cdot \pi Д^2/4$. (1.6)

где h – глубина (высота) бороздовой или задирковой пробы, м;
m – ширина бороздовой пробы, м;
l – длина бороздовой (или керновой) пробы, м;
d – объемная масса руды, т/м^3;
$S_р$ – площадь руды, обнажающейся в забое, м^2;
$S_В$ – площадь сечения разведочной выработки, м^2;
H – уходка выработки, м;
q – масса отдельной порции, кг;
Д – диаметр керна или шпура (28, 37, 48, 63, 79, 98, 117, 136 мм);
$k_п$ – коэффициент представительности материала в керновой пробе. Обычно $k_п$ принимают равным 0,5.

Для практического усвоения изложенного материала студентам предлагается составить схему обработки бороздовых проб.

Дано:

1) характеристика опробуемого материала (полезное ископаемое, минеральный состав, характер распределения полезного ископаемого, объемная масса руды), параметры бороздовой пробы (табл. 1);

2) стандартный набор дробильных механизмов и сит (см. выше).

Необходимо:

1) определить начальную массу бороздовой пробы ($Q_н$);

2) выполнить расчеты для обоснования рациональной схемы пробоподготовки;

3) составить схему обработки проб (аналогично рис. 1).

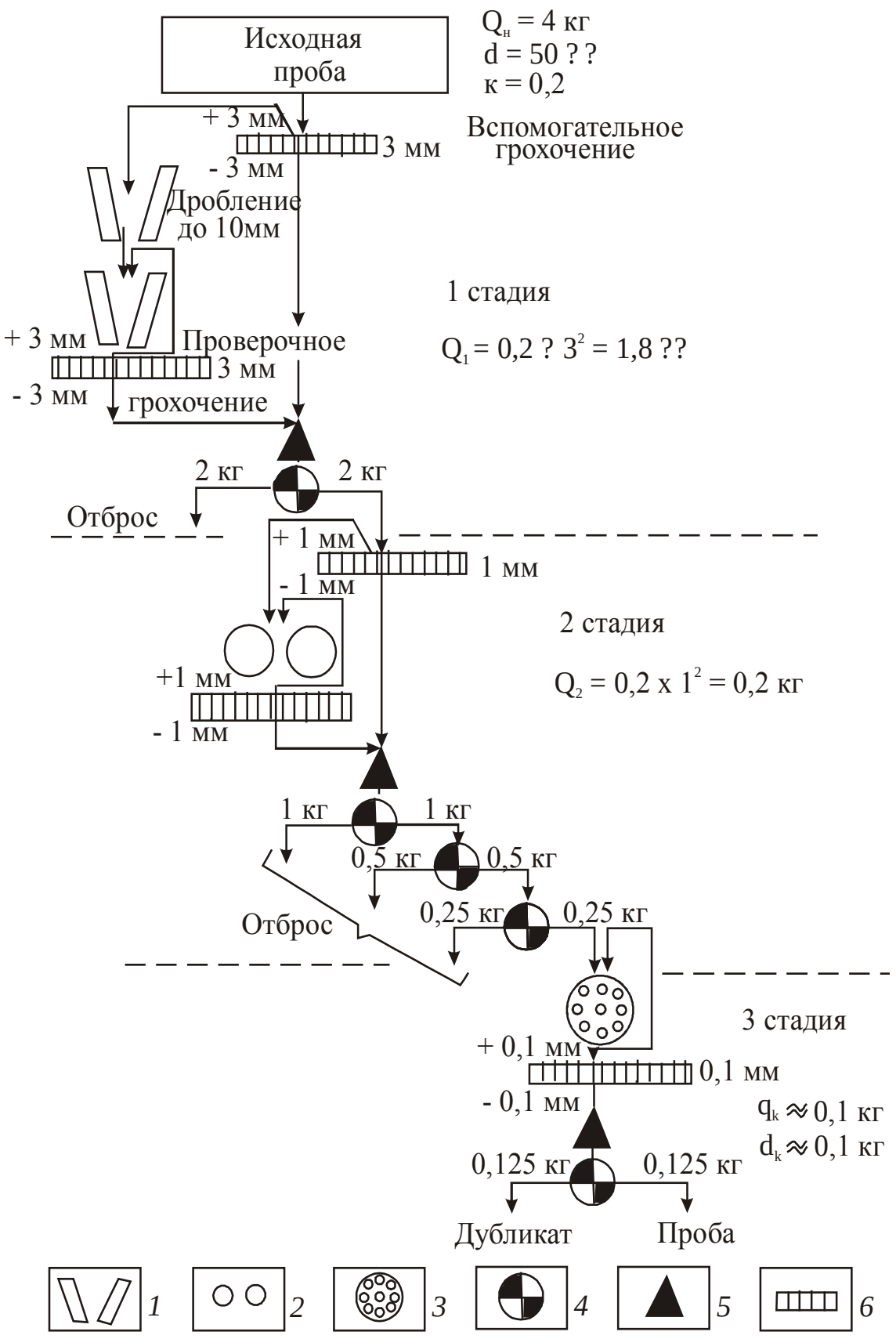


Рис. 1. Типовая схема обработки проб:
Агрегаты и операции: *1* - дробилка; *2* - валки; *3* - стержневая мельница; *4* - сокращение; *5* - перемешивание; *6* - грохочение

Таблица 1

Данные для составления схемы обработки проб

Варианты	Типы опробуемых руд	Текстура руды и характер распределения полезного ископаемого	Коэффициент, к	Параметры бороздовой пробы		Объемная масса, d, г/см^3	Требования лаборатории	
				сечение ($m \cdot h$), см×см	длина, l, см		конечная масса, $q_к$, кг	конечный диаметр, $d_к$, мм
1	Молибденитовая руда	Прожилковая, неравномерный	0,2	10×3	100	2,7	0,1	0,07
2	Шеелит–молибденитовая руда	Вкрапленная, равномерный	0,1	5×3	100	2,9	0,1	0,07
3	Молибденитовая руда	Вкрапленная, весьма неравномерный	0,3	10×5	100	2,7	0,1	0,07
4	Золото-пирит-кварцевая руда	Вкрапленная, крайне неравномерный	0,8	20×5	100	2,7	0,25	0,07
5	Золото-пирит-халькопирит кварцевая руда	Вкрапленная, крайне неравномерный	0,6	10×5	100	2,7	0,25	0,07
6	Золотоносная кремнистая порода	Вкрапленная, весьма неравномерный	0,3	5×3	100	2,8	0,25	0,07
7	Золотоносная кремнистая брекчия	Прожилковая, весьма неравномерный	0,5	10×3	100	2,7	0,25	0,07
8	Магнетитовая руда	Массивная, равномерный	0,1	10×5	100	4,0	0,1	0,07
9	Сидеритовая руда	Слоистая, равномерный	0,1	20×5	100	3,4	0,1	0,07
10	Мартитовая руда	Пористая, равномерный	0,1	20×5	200	3,7	0,1	0,07

Окончание табл. 1

Варианты	Типы опробуемых руд	Текстура руды и характер распределения полезного ископаемого	Коэффициент, к	Параметры бороздовой пробы		Объемная масса, d, г/см^3	Требования лаборатории	
				сечение ($m \cdot h$), см×см	длина, l, см		конечная масса, $q_к$, кг	конечный диаметр, $d_к$, мм
11	Медистый колчедан	Массивная, весьма неравномерный	0,3	5×3	100	3,8	0,1	0,07
12	Медно-цинковая вкрапленная руда	Вкрапленная, относительно равномерный	0,2	10×5	50	3,2	0,1	0,07
13	Медистые сланцы	Слоистая, равномерный	0,1	10×3	100	3,1	0,1	0,07
14	Флюорит-карбонатная руда	Слоистая, весьма неравномерный	0,3	10×5	100	3,1	0,1	0,07
15	Фосфорит желваковый	Обломочная, весьма неравномерный	0,3	20×10	200	2,0	0,1	0,10
16	Кремнистая брекчия с антимонитом	Вкрапленная, весьма неравномерный	0,3	10×5	100	3,6	0,1	0,07
17	Вкрапленная хромовая руда	Нодулярная, неравномерный	0,2	10×5	100	3,2	0,1	0,10
18	Массивная свинцово-цинковая руда	Массивная, равномерный	0,1	10×3	100	3,6	0,1	0,07
19	Охры никеленосные	Пористая, равномерный	0,1	10×5	100	1,6	0,1	0,07
20	Пентландит-халькопиритовая руда	Массивная, весьма неравномерный	0,3	10×5	100	3,5	0,1	0,07

Методические указания по выполнению работы.

Каждый студент получает вариант задания с исходными данными (табл. 1).

Вычисляется начальная масса ($Q_н$) бороздовой пробы (г) по формуле (1.2)

$$Q_н = h \cdot m \cdot l \cdot d,$$

где h, m , l – соответственно ширина, высота и длина бороздовой пробы, см; d – объемная масса руд, г/см^3.

Максимальный размер частиц исходной пробы (Д) принимается равным 50 мм.

Необходимо составить схему обработки бороздовой пробы, чтобы получить в итоге конечную пробу, соответствующую по массе и размеру частиц требованиям лаборатории (табл. 1).

Рассмотрим пример составления схемы обработки пробы хромовых руд. Для исследования предлагается вкрапленная в серпентинизированных дунитах хромовая руда нодулярной текстуры с неравномерным распределением Cr_2O_3. Содержание Cr_2O_3 высокое. Значение «к» принято равным 0,2. Исходная масса пробы $Q_н$ = 4 кг, максимальный размер частиц пробы Д = 50 мм. В лабораторию для выполнения химических анализов руды необходимо представить материал пробы массой (q) не менее $q_к$ = 0,1 кг с максимальным размером частиц в конечной пробе (d) не более $d_к$=0,1 мм. При составлении схемы используем формулу Ричардса-Чечотта Q = кД^2 с учетом технических возможностей дробильного оборудования.

Работа выполняется в следующей последовательности:

1. В формулу Ричардса-Чечотта подставляются числовые значения всех трех величин. Если левая часть уравнения (Q) вдвое или в большее число раз превышает правую (кД^2), то пробу можно сократить без дробления, обязательно перемешав перед этим. Если левая часть уравнения больше правой менее, чем в 2 раза, то пробу без предварительного измельчения сокращать нельзя.

2. При проведении на первой стадии дробления материала исходной бороздовой пробы массой 4 кг на щековой дробилке ставится условие сокращения пробы хотя бы в два раза при измельчении ее до диаметра частиц Д$_1$. Это условие математически записывается в виде

$$Q_н = 2к \cdot Д_1^{\,2}. \qquad (1.7)$$

Решая это равенство относительно $Д_1$, определяем диаметр дробления пробы на первой стадии:

$$Д_1 = \sqrt{\frac{Q_н}{2к}} = \sqrt{\frac{4}{2 \cdot 0{,}2}} = 3{,}2 \text{ мм.}$$

Учитывая имеющиеся размеры сит, принимаем диаметр дробления материала бороздовой пробы на щековой дробилке равным 3 мм.

Исходя из этого, по формуле Ричардса-Чечотта, определяем надежную массу пробы после первой стадии обработки

$$Q_1 = 0{,}2 \cdot 3^2 = 1{,}8 \text{ кг.}$$

Далее вычисляем степень сокращения материала пробы (S_C) после первой стадии дробления по формуле

$$S_C = \frac{Q_н}{Q_1} = \frac{4}{1{,}8} = 2{,}2.$$

Следовательно, после проведения крупного дробления материала пробы его можно сократить вдвое, осуществив одну операцию сокращения (см. рис. 1).

Перед измельчением пробы до 3 мм при значительных массах первоначальных проб ($Q_н$>10 кг) можно предусмотреть вспомогательное (предварительное) грохочение на сите с диаметром отверстий 3 мм. Этим самым исключается из дробления часть пробы с диаметром частиц меньше 3 мм (класс – $Д_1$). Материал класса + $Д_1$, оставшийся на сите, направляется в дробление. После чего ставится проверочное грохочение на сите с диаметром отверстий 3 мм. Случайно проскочившие через дробилку куски руды с диаметром, большим 3 мм, снова возвращаются в дробление. После предварительного и проверочного грохочения объединяются классы – 3 мм. После перемешивания материала проба сокращается пополам до массы $Q \geq Q_1$.

3. На второй стадии обработки выбирают диаметр дробления проб на валках, исходя из размера разгрузочной щели (обычно $Д_2$ = 1-2 мм).

Определяют степень сокращения массы пробы (S_C) и число приемов сокращения массы пробы (m) по формулам:

$$S_C = Q_1/(к \cdot Д_2^2) \quad (1.8)$$

$$m = 3{,}32 \cdot \lg S_C \quad (1.9)$$

Полученную расчетом величину «m» округляют до целого числа. В нашем случае $S_C = 2/(0{,}2 \cdot 1{,}0^2) = 10$ раз, $m = 3$. Однако на практике

удобнее число сокращений материала пробы установить методом итерации – путем последовательного уменьшения начальной массы пробы вдвое до массы лабораторной пробы ($q_к$): $Q_н \rightarrow Q_{н/2} \rightarrow Q_{н/4} \rightarrow Q_{н/8} \rightarrow Q_н / S_C \geq q_к$.

4. На третьей стадии дробления оставшуюся после сокращения пробу массой Q_2 = 0,25 кг измельчают до 0,1 мм в шаровой или стержневой мельнице и после проверочного грохочения и перемешивания делят тонкоизмельченный материал пополам – на лабораторную пробу и дубликат.

При соблюдении данной схемы обработки конечная проба будет представительной, т. е. в ней содержание Cr_2O_3 будет соответствовать содержанию в исходной пробе с учетом допустимой погрешности. Проба направляется в химическую лабораторию, а дубликат используется для повторных исследований, проведения внутреннего и внешнего контроля работы химической лаборатории, составления групповых проб и т. д. Схему необходимо изобразить графически (см. рис.1) и показать на ней всю последовательность операций по обработке проб.

Отчетные материалы:

1. Вычерченная схема обработки проб (по образцу рис. 1).
2. Расчеты, обосновывающие схему.

Перед составлением схемы обработки проб студенты знакомятся в лаборатории опробования со стандартным оборудованием (дробилками, набором сит, способами перемешивания и сокращения проб).

Время выполнения работы:

- ознакомление с лабораторией пробоподготовки– 2 часа;
- составление схемы обработки проб – 2 часа.

1. 3. Оценка погрешностей сопряженных измерений

Сопряженными называются измерения какого–либо свойства объекта исследования, полученные одинаковыми или разными способами и характеризующие одни и те же точки, интервалы, площади или объемы недр. Например, сопряженными являются: определения содержаний компонентов в пробах, проанализированных в основной и арбитражной лабораториях; оценки мощности рудных тел, установленные при документации керна и каротажных

исследованиях скважин; данные разведки и отработки блоков рудных тел; содержания компонентов, оцененных традиционным химическим методом опробования и каким-либо геофизическим способом в пределах одного и того же интервала скважины и т. п.

Сопряженные измерения на объектах исследования в отличие от рядовых выполняются всегда выборочно. Они планируются с целью обоснования внедрения более экономичных, оперативных, производительных, технологичных, безопасных и экологически чистых методов и средств изучения тех или иных свойств, либо создания надлежащего метрологического обеспечения применяемых на производстве традиционных средств и методик на всех стадиях геологоразведочного процесса. При планировании такого рода экспериментов и обобщении их результатов необходимо учитывать специфику геологических объектов и, прежде всего, представлений о литолого-структурных и геолого-промышленных уровнях пространственной организации рудной минерализации, которая реализуется в рудном теле в виде естественных природных и промышленных типов и сортов руд и их текстурно-структурных разновидностей.

В метрологическом аспекте среди сопряженных измерений выделяются неравноточные и равноточные, требующие различных методов математической обработки и интерпретации полученных результатов. В случае неравноточных измерений наиболее точное из них принимается в качестве контрольного (U_i), а другое, менее точное, – контролируемого (V_i). Сопряженные измерения позволяют: оценить величины случайных и систематических погрешностей рядовых (контролируемых) измерений, внести соответствующие коррективы в последние или даже забраковать их; оценить предлагаемый к внедрению новый метод опробования по главным метрологическим характеристикам – точности (воспроизводимости) и правильности (верности). Так, рекомендуемый метод может быть: 1) правильным, но не точным; 2) неправильным, но точным; 3) неправильным и не точным; 4) правильным и точным. Способ считается достоверным, если он одновременно является и правильным, и точным. Способ подлежит внедрению только в том случае, если он достоверный.

В предлагаемой студентам лабораторной работе по оценке погрешностей сопряженных измерений отражены результаты научных исследований кафедры, проведенных на месторождениях хромитов, никеля и меди. Работа содержит 20 вариантов заданий (табл. 2-5). В табл. 2 приведены содержания триоксида хрома в товарных рудах

Таблица 2

Сопоставление содержаний Cr_2O_3 в рудах, определенных химическим (ХА) и рентген–радиометрическим (РРА) анализами

Номера анализов	Варианты									
	1		2		3		4		5	
	содержание триоксида хрома, %									
	ХА	РРА	ХА	РРА	ХА	РРА	ХА	РРА	ХА	РРА
1	51,2	51,4	51,9	51,8	51,1	51,0	51,9	52,6	51,6	51,2
2	51,2	50,9	52,4	52,2	51,0	50,8	50,6	51,7	51,4	52,6
3	52,5	52,1	52,0	52,4	51,1	51,5	51,4	52,3	52,2	52,9
4	51,4	50,9	51,8	52,3	51,2	50,5	50,6	51,5	53,2	52,7
5	51,6	51,4	50,7	51,4	51,9	51,7	52,3	53,0	49,9	50,1
6	51,7	51,9	53,0	52,4	51,8	51,5	51,8	52,1	50,5	50,9
7	50,7	51,4	52,0	52,1	51,4	51,7	52,4	52,9	52,0	52,5
8	50,7	51,5	51,6	51,7	51,5	50,0	51,0	51,8	52,2	51,4
9	51,9	51,1	53,2	52,4	52,1	51,9	53,5	52,7	52,5	52,9
10	51,2	51,4	51,2	50,8	51,6	51,5	51,5	52,4	51,3	51,0
11	51,1	51,6	52,1	51,4	50,6	51,3	53,3	52,7	52,1	52,9
12	51,2	51,4	52,0	51,6	52,5	52,7	51,6	51,0	51,3	51,8
13	51,5	52,1	52,8	50,9	52,8	52,2	52,4	52,8	52,3	52,5
14	51,6	52,3	51,7	51,1	52,1	52,6	52,3	51,2	53,1	52,3
15	52,9	52,2	52,3	52,3	51,9	51,7	52,4	52,9	52,5	52,2
16	52,5	52,7	52,1	51,8	52,5	52,5	52,0	52,8	52,1	52,7
17	51,9	52,6	52,4	52,8	53,4	52,8	52,7	52,9	52,3	51,7
18	52,2	52,7	52,1	52,3	52,5	52,3	52,6	52,0	52,1	52,4
19	52,1	51,4	53,3	52,6	51,1	52,0	51,8	52,2	51,7	51,0
20	52,4	52,0	52,5	52,2	52,6	52,1	51,4	52,3	52,9	50,8

Окончание табл. 2

Номера анализов	Варианты									
	1		2		3		4		5	
	содержание триоксида хрома, %									
	ХА	РРА	ХА	РРА	ХА	РРА	ХА	РРА	ХА	РРА
21	51,5	51,1	51,2	51,4	52,4	52,3	51,5	51,4	52,3	51,5
22	53,1	52,8	52,2	52,7	53,0	52,6	51,0	51,5	52,0	51,6
23	51,8	52,2	51,1	51,1	51,5	52,3	51,3	51,6	51,5	50,7
24	53,1	52,4	52,5	52,8	52,6	53,1	53,0	52,0	53,4	52,6
25	51,1	51,7	52,1	51,6	51,5	51,8	50,5	51,6	51,3	51,9
26	52,2	52,7	52,3	52,3	52,4	52,0	50,7	51,5	52,2	52,1
27	51,6	51,9	50,2	50,8	51,7	52,1	51,8	51,8	53,3	52,3
28	52,0	52,7	49,6	50,0	51,5	52,1	51,5	51,7	50,5	51,4
29	50,7	51,4	53,0	52,8	52,5	51,8	51,7	50,8	51,8	52,5
30	51,6	52,1	52,5	52,7	52,0	52,7	52,6	52,0	52,2	52,8
31	50,8	51,6	51,7	52,5	52,2	52,0	51,4	50,7	52,1	52,5
32	51,7	52,4	51,4	51,4	52,4	52,5	51,6	51,1	51,5	51,2

Таблица 3

Сравнение содержаний никеля в керновых (КП) и шламовых пробах (ШП) скважин колонкового и ударно-канатного бурения

Номера проб	Варианты									
	6		7		8		9		10	
	содержание никеля, %									
	КП	ШП	КП	ШП	КП	ШП	КП	ШП	КП	ШП
1	0,50	0,84	1,05	0,94	1,36	1,51	1,25	1,40	0,79	0,83
2	0,91	0,91	0,86	1,13	0,95	0,79	1,29	1,16	1,34	1,18

Продолжение табл. 3

Номера проб	Варианты									
	6		7		8		9		10	
	содержание никеля, %									
	КП	ШП	КП	ШП	КП	ШП	КП	ШП	КП	ШП
3	1,23	0,89	0,71	1,69	0,86	0,84	0,97	0,99	1,05	1,31
4	0,74	1,03	0,89	0,65	1,29	0,87	0,92	0,81	1,02	1,37
5	0,73	1,35	0,57	0,65	1,04	1,31	0,85	0,85	1,69	1,86
6	0,71	0,74	0,67	0,64	3,64	3,67	0,76	0,84	1,21	1,19
7	1,06	0,97	1,13	0,73	3,80	3,49	0,79	0,78	0,75	0,64
8	1,76	1,10	0,86	0,71	1,41	1,04	0,75	0,77	0,72	0,62
9	1,10	0,99	0,93	1,90	1,57	1,29	0,67	0,83	0,63	0,66
10	0,93	1,10	0,83	0,85	1,05	1,90	0,74	0,55	0,75	0,73
11	0,75	0,72	1,08	1,17	0,85	1,17	1,01	0,92	0,77	0,68
12	0,74	1,44	0,89	0,85	1,83	1,81	0,67	0,54	0,99	0,95
13	1,03	1,38	0,82	0,79	1,27	1,17	1,25	1,38	0,81	0,83
14	0,82	0,78	0,71	0,70	1,78	1,94	0,83	0,86	1,26	1,02
15	0,83	0,87	1,31	1,29	1,23	0,91	0,62	0,89	1,38	1,24
16	0,71	0,78	1,43	1,25	2,09	1,39	0,77	0,66	0,73	0,71
17	0,75	0,62	1,33	1,42	1,46	1,36	0,74	0,79	0,88	0,77
18	0,66	0,86	0,78	0,84	1,30	1,10	0,86	0,84	0,85	0,83
19	0,88	0,81	1,28	1,09	1,62	2,39	0,89	0,77	1,01	1,19
20	1,20	1,35	0,84	0,80	1,64	1,55	1,08	1,32	0,82	0,84
21	0,63	0,51	0,92	0,97	1,60	1,53	0,79	1,41	0,99	1,95
22	1,06	0,90	0,74	0,69	0,72	0,69	0,77	0,73	0,81	0,78
23	0,71	0,50	0,71	0,74	1,29	1,16	0,96	1,07	1,17	0,73
24	0,69	0,86	0,68	0,62	1,19	1,34	1,16	0,95	0,62	0,65

Окончание табл. 3

Номера проб	Варианты									
	6		7		8		9		10	
	содержание никеля, %									
	КП	ШП	КП	ШП	КП	ШП	КП	ШП	КП	ШП
25	0,76	0,75	0,75	0,68	1,29	1,41	1,71	1,14	0,59	0,63
26	0,74	0,77	0,70	0,67	0,94	0,83	1,03	0,91	0,84	0,67
27	0,79	0,82	1,26	1,11	1,21	1,23	0,78	0,72	0,78	1,62
28	0,80	0,81	1,62	1,80	1,16	1,30	0,74	1,33	0,81	1,19
29	0,96	0,86	1,05	1,33	2,01	2,24	0,78	1,06	1,01	0,91
30	0,95	0,95	1,08	1,30	2,29	2,07	1,29	0,82	0,77	0,89
31	1,26	1,14	1,30	1,13	1,52	1,98	0,95	0,98	1,36	1,45
32	1,23	1,38	0,76	0,80	1,33	1,45	0,59	0,86	1,49	1,22

Таблица 4

Сравнение содержаний меди в сплошных (С/БП) и линейно-точечных бороздовых пробах (ЛТ/БП)

Номера проб	Варианты									
	11		12		13		14		15	
	содержание меди, %									
	С/БП	ЛТ/БП	С/БП	ЛТ/БП	С/БП	ЛТ/БП	С/БП	ЛТ/БП	С/БП	ЛТ/БП
1	1,86	1,54	1,72	1,46	1,90	1,62	0,72	0,94	0,46	0,65
2	0,55	0,78	0,73	0,99	0,65	0,57	0,83	0,71	0,77	0,92
3	0,34	0,28	0,25	0,23	0,43	0,34	0,57	0,36	0,84	0,73
4	2,17	3,46	2,84	3,64	2,34	3,28	0,38	0,55	1,52	1,24
5	1,56	1,59	1,53	1,50	1,61	1,68	1,44	1,32	1,13	1,95
6	0,71	1,18	0,96	0,72	0,97	1,63	2,26	2,38	2,96	1,07

Продолжение табл. 4

Номера проб	Варианты									
	11		12		13		14		15	
	содержание меди, %									
	С/БП	ЛТ/БП	С/БП	ЛТ/БП	С/БП	ЛТ/БП	С/БП	ЛТ/БП	С/БП	ЛТ/БП
7	1,60	1,76	1,04	1,27	1,65	2,24	2,49	2,21	2,51	2,68
8	2,54	2,56	2,71	2,96	2,34	2,15	2,26	1,17	1,64	1,23
9	0,70	1,44	0,98	1,71	1,38	1,16	1,38	1,19	1,35	1,17
10	0,80	1,05	1,02	0,88	1,46	1,22	0,89	0,57	0,53	0,48
11	1,01	0,38	0,75	0,31	0,75	0,45	0,95	0,63	0,67	0,94
12	0,92	0,93	0,90	0,92	0,89	0,93	1,41	1,09	1,74	1,35
13	1,48	1,87	1,24	1,58	1,77	2,16	0,54	0,39	0,49	0,91
14	1,57	1,41	1,12	0,98	1,36	1,75	1,68	0,97	0,38	0,54
15	2,23	2,42	2,55	2,92	2,38	2,03	2,17	2,51	2,73	2,49
16	2,51	2,95	2,17	2,64	2,86	3,34	2,36	2,21	2,46	2,27
17	1,06	0,69	0,93	0,66	0,84	0,72	1,72	1,19	1,25	0,88
18	0,65	0,91	0,84	0,69	0,77	1,13	1,85	1,70	1,43	1,82
19	1,44	1,40	1,37	1,43	1,39	1,37	0,47	0,34	0,94	0,96
20	0,79	0,75	0,72	0,69	0,80	0,81	1,13	0,82	0,59	0,41
21	0,80	0,84	0,75	0,74	0,72	0,82	0,96	1,54	1,27	0,97
22	1,33	1,41	1,23	1,31	1,46	1,52	0,82	1,48	0,84	1,19
23	2,02	1,91	1,96	1,82	1,95	2,01	2,41	2,65	2,18	2,61
24	2,44	2,32	2,65	2,56	2,19	2,08	1,09	1,62	1,42	1,70
25	2,42	2,93	2,19	1,20	3,47	4,65	1,17	1,84	0,67	0,54
26	1,24	1,03	1,11	0,90	0,95	1,16	1,63	1,95	1,38	1,09
27	0,93	0,97	1,05	1,10	1,02	0,85	2,73	3,61	2,45	3,41
28	0,65	0,80	0,78	0,67	0,73	0,94	0,49	0,84	0,54	0,39
29	0,58	0,57	0,51	0,49	0,64	0,67	0,58	0,89	0,38	0,51

Окончание табл. 4

Номера проб	Варианты									
	11		12		13		14		15	
	содержание меди, %									
	С/БП	ЛТ/БП	С/БП	ЛТ/БП	С/БП	ЛТ/БП	С/БП	ЛТ/БП	С/БП	ЛТ/БП
30	0,77	0,69	0,62	0,60	0,61	0,78	1,62	1,46	1,26	1,60

Таблица 5

Сопоставление содержаний серы в сплошных (С/БП) и линейно-точечных бороздовых пробах (ЛТ/БП)

Номера анализов	Варианты									
	16		17		18		19		20	
	содержание серы, %									
	С/БП	ЛТ/БП	С/БП	ЛТ/БП	С/БП	ЛТ/БП	С/БП	ЛТ/БП	С/БП	ЛТ/БП
1	9,53	9,09	9,37	9,80	8,94	8,38	16,51	15,64	11,52	12,86
2	3,43	3,98	3,54	3,96	3,47	4,00	12,22	10,85	9,47	11,19
3	2,56	2,13	2,01	1,64	2,83	2,62	9,37	10,26	11,65	11,44
4	6,45	5,69	6,20	6,34	5,18	5,58	9,04	9,07	9,13	9,70
5	6,49	6,03	6,35	6,84	6,45	6,14	19,95	16,48	17,94	19,32
6	3,35	2,90	3,04	2,87	2,41	2,66	12,63	12,21	13,81	13,35
7	7,99	7,49	7,66	8,34	7,29	6,64	7,28	10,09	10,19	12,06
8	11,21	10,36	11,38	12,22	9,85	8,50	7,41	6,25	6,33	7,62
9	24,52	15,09	15,96	10,40	16,36	19,78	5,17	5,19	5,74	5,48
10	13,91	15,37	14,47	16,06	16,11	14,67	13,34	13,06	12,97	12,41
11	5,86	9,47	6,35	8,30	7,49	10,64	12,72	13,41	11,65	11,18
12	4,75	4,19	4,39	4,78	3,93	3,46	12,93	12,80	11,52	11,29

Окончание табл. 5

Номера анализов	Варианты									
	16		17		18		19		20	
	содержание серы, %									
	С/БП	ЛТ/БП	С/БП	ЛТ/БП	С/БП	ЛТ/БП	С/БП	ЛТ/БП	С/БП	ЛТ/БП
13	6,47	4,72	5,74	4,09	6,17	5,35	9,45	9,07	7,24	7,85
14	6,35	6,40	5,43	4,65	6,72	6,87	16,98	18,01	19,37	20,86
15	13,00	11,56	11,97	12,52	12,19	10,79	12,06	10,03	13,45	11,68
16	12,88	10,70	13,04	11,26	12,19	10,00	13,08	11,62	11,71	12,24
17	16,59	18,70	19,13	21,00	18,23	16,40	6,59	6,03	5,32	4,57
18	9,64	9,40	7,52	7,38	11,45	11,22	6,74	4,26	5,48	4,93
19	12,19	12,78	11,15	11,62	13,64	13,92	4,51	4,92	4,95	4,86
20	12,07	13,54	11,86	11,51	17,01	15,56	5,65	9,11	6,59	8,04
21	13,83	13,40	12,19	12,94	13,57	13,87	13,12	15,78	14,73	15,65
22	5,51	5,81	5,47	5,94	5,39	5,68	14,26	15,95	15,68	12,04
23	7,04	6,62	6,83	7,16	6,51	6,08	11,13	10,67	11,85	12,37
24	7,32	10,60	9,31	12,40	11,32	8,80	7,71	7,92	7,78	8,45
25	12,16	12,02	13,08	13,93	10,56	10,12	3,54	3,06	3,41	2,73
26	19,59	16,64	17,19	19,43	15,13	13,86	6,95	6,33	6,54	6,49
27	9,80	9,90	9,81	9,87	9,92	9,92	6,59	5,98	6,07	6,41
28	9,83	10,11	11,46	11,94	8,39	8,28	2,64	2,35	2,10	1,49
29	12,62	10,18	9,14	11,33	10,04	9,02	3,31	3,79	3,42	3,61
30	16,35	15,86	11,45	12,08	18,93	19,64	9,36	9,92	9,75	9,09

позднемагматического месторождения хромитов, определенные химическим (ХА) и рентген–радиометрическим (РРА) способами.

Таблица 3 содержит данные по концентрациям никеля в пробах, отобранных в сопряженных скважинах механического колонкового и ударно-канатного бурения на гипергенном месторождении никеля. В табл. 4, 5 показаны содержания меди и серы в сопряженных сплошных и линейно-точечных бороздовых пробах, полученные при изучении медных руд гидротермального апоскарнового месторождения.

В лабораторной работе необходимо метрологически обоснованное заключение о возможности замены химического анализа более дешевым и оперативным рентген–радиометрическим, скважин механического колонкового бурения скважинами ударно-канатного или шарошечного бурения, сплошных бороздовых проб – линейно-точечными.

Методические указания по выполнению работы.

Результаты определения свойств по сопряженным пробам обрабатываются методом корреляционного анализа с последующей графической интерпретацией в виде корреляционных диаграмм (полей) и метрологических карт.

Прежде всего рассчитываются статистические характеристики: $\overline{V}, \overline{U}$ - средние значения; S_v и S_u – средние квадратические отклонения; r_{vu} – коэффициент корреляции; уравнение регрессии – $U_i=a+bV_i$. Затем рассчитываются фактические значения $t_н$ – критерия Стьюдента и $F_н$ – критерия Фишера. При расчетах используются следующие формулы:

$$\overline{V} = \frac{\sum_{i=1}^{n} V_i}{n}, \qquad (1.10) \qquad \overline{U} = \frac{\sum_{i=1}^{n} U_i}{n}, \qquad (1.11)$$

$$S_v = \sqrt{\frac{\sum_{i=1}^{n} (V_1 - \overline{V})^2}{n}}, \qquad (1.12) \qquad S_U = \sqrt{\frac{\sum_{i=1}^{n} (U_1 - \overline{U})^2}{n}}, \qquad (1.13)$$

$$r = \frac{\sum_{i=1}^{n} (V_i - \overline{V})(U_i - \overline{U})}{n \cdot S_v \cdot S_u}, \qquad (1.14) \qquad b = r\frac{S_u}{S_v}, \qquad (1.15)$$

$$a = \overline{V} - b\overline{U}\,, \qquad (1.16)$$

$$F_{\text{н}} = \frac{S_v^2}{S_u^2}, \qquad (1.17)$$

$$t_{\text{н}} = \frac{|\bar{V} - \bar{U}|}{\sqrt{\frac{S_v^2 + S_u^2 - 2 \cdot r \cdot S_v \cdot S_u}{n}}}.$$

Найденные значения $t_{\text{н}}$ и $F_{\text{н}}$ сравниваются с табличными [3] при 5 % уровне значимости. По критерию F делается вывод по равноточности U_i и V_i, а по критерию t – о наличии или отсутствии классической систематической погрешности в рядовых пробах по сравнению с контрольными.

Метрологические характеристики рассчитываются по формулам

$$S_{\text{а}} = \sqrt{\frac{\sum_{i=1}^{n}(V_i - U_i)}{2n}}, \qquad \delta_{\text{о}} = \frac{2S_{\text{а}}}{\bar{V} + \bar{U}} \cdot 100,$$

$$\acute{S}_{\text{а}} = \sqrt{\frac{\sum_{i=1}^{n}(V_i - U_i)}{n}}, \qquad \acute{\delta}_{\text{о}} = \frac{2\acute{S}_{\text{а}}}{\bar{V} - \bar{U}} \cdot 100\,,$$

$$\Delta_{\text{С}} = \bar{d} = \frac{\sum_{i=1}^{n} d_i}{n} = \frac{\sum_{i=1}^{n}(V_i - U_i)}{n} = \bar{V} - \bar{U}\,,$$

где $S_{\text{а}}$, $\acute{S}_{\text{а}}$ – абсолютные средние случайные погрешности сопряженных измерений, характеризующие воспроизводимость или точность измерений; $\delta_{\text{о}}, \acute{\delta}_{\text{о}}$ – относительные средние случайные погрешности сопряженных измерений; $\Delta_{\text{С}}$ или $\bar{d}$ – абсолютная систематическая погрешность. При этом формулы (1.19), (1.20) применяются для равноточных, а формулы (1.21), (1.22) – для неравноточных измерений.

Категорию точности можно определить по показателю точности (ПТ), аналогичному категории точности аналитических определений [3] по формулам:

$$ПТ = \delta_o / \delta_{a/x}, \quad (1.24)$$

$$ПТ = \delta'_o / \delta_{a/x}, \quad (1.25)$$

где $\delta_{a/x}$ – допустимая относительная средняя случайная погрешность химического анализа на определение компонентов [4]. Выделяется 4 категории точности: 1) высокая точность ($0 < ПТ \leq 2$); 2) средняя точность ($2 < ПТ \leq 4$); 3) удовлетворительная точность ($4 < ПТ \leq 6$); 4) неудовлетворительная точность ($ПТ > 6$).

Предъявляемые инструкциями ГКЗ требования к точности определения содержаний компонентов с учетом классов содержаний представлены в табл. 6.

Таблица 6

Предельные значения относительных погрешностей химических анализов

Компоненты	Классы содержаний (массовая доля), %	Относительная погрешность $\delta_{a/x}$, %
Триоксид хрома	40-60	1,2
Никель	0,2-0,5	10,0
	0,5-1,0	7,0
	1,0-2,0	5,0
Медь	0,5-1,0	8,5
	1,0-3,0	5,5
	3,0-5,0	4,5
Сера	1-2	9,0
	2-10	6,0
	10-20	2,0

Графически отображение расчетов сопряженных измерений и их интерпретация производится наиболее наглядно с помощью метрологических карт обработки сопряженных измерений [2]. **Метрологическая карта** – это поле корреляции с нанесенными на него метрологическими элементами: линией равенства ($U_i = V_i$), линией регрессии ($U_i = a + bV_i$), контуром эллипса рассеяния и линией допустимых погрешностей. При построении области допустимых погрешностей используются в нашем случае абсолютные средние случайные по-

грешности S_a и S'_a, значения которых откладываются по вертикали вверх и вниз от точек линии равенства. Анализ метрологической карты позволяет: 1) выявить и оценить промахи, постоянную и знакопеременную систематическую погрешность, правильность (верность) контролируемого (вновь предлагаемого) метода по отношению к контрольному; 2) провести аудиторскую проверку точности и правильности расчета статистических характеристик корреляционного анализа. Главное предназначение метрологической карты – оценка значимости знакопеременной систематической погрешности, которая не может быть выявлена и оценена классическим корреляционным анализом. Решения о наличии знакопеременной систематической погрешности принимаются по соотношению линии регрессии и области допустимых значений, ограниченной линией допусков. Знакопеременная систематическая погрешность считается установленной, если линия регрессии $U = a+bV$ выходит за пределы допустимой области в диапазоне исследуемых значений свойства.

В настоящей лабораторной работе все статистические и метрологические характеристики, а также метрологическая карта, рассчитываются с использованием специальной компьютерной программы «Сопряженные измерения». При ее реализации на дисплей выводится: 1) таблица статистических характеристик; 2) таблица метрологических характеристик; 3) корни уравнения эллипса; 4) метрологическая карта сопряженных измерений. В качестве примера в табл. 7 – 9 приведены результаты математической обработки содержаний цинка в 20 сопряженных эталонных (сплошных бороздовых) и линейно-точечных (из 10 точек) пробах, отобранных из руд на медноцинковом колчеданном месторождении, а на рис. 2 – метрологическая карта.

Анализ таблиц 7 – 9 и метрологической карты позволяет сделать следующие выводы: поскольку фактически значение критерия $t_н$ – меньше табличного t, то классическая систематическая погрешность статистически незначимая; знакопеременная систематическая погрешность отсутствует, так как линия регрессии не выходит за пределы доверительной области на рис. 2. Следовательно, линейно-точечные пробы верно (правильно) отражают содержания относительно эталонных сплошных бороздовых проб. По показателю точности (ПТ) линейно-точечные пробы относятся к средней категории.

Таблица 7

Статистические характеристики в сопряженных бороздовых пробах

Виды проб	Статистические характеристики				Критерии различия			
	число проб, n	средние значения, $\overline{U}, \overline{V}$	средние квадратические отклонения, S_u, S_v	коэфф. корреляции, r_{uv}	стьюдента, $t_н$	$t_{табл}$, α=0,05	Фишера, $F_н$	$F_{табл}$, α =0,05
Сплошные бороздовые (U_i)	20	5,51	3,12	0,96	0,19	2,03	1,02	2,22
Линейно-точечные из 10 точек (V_i)	20	5,47	3,15					
Уравнение регрессии U_i=0,33+0,95V_i								

Таблица 8

Метрологические характеристики сопряженных проб

Виды проб	Средняя квадратич. случайная относительная погрешность разностей содержаний, $S_а$, %	Средняя квадратич. случайная относительная погрешность разностей содержаний, $\delta_о$, %	Допустимая средняя квадратич. случайная относительная погрешность хим. анализа, $\delta_{а/х}$, %	Показатель точности, ПТ	Классическая систестематическая абсолютная погрешность, $\overline{d}$	Заключение о систематической погрешности метода	
						классическая (по критерию $t_н$)	знакопеременная (по метрологической карте)
Сплошные и линейно-точечные (из 10 точек)	0,66	12,01	3,5	3,43	-0,42	Незначимая	Отсутствует

Таблица 9

Корни уравнений эллипса

Значения содержаний цинка (%) в линейно-точечных пробах, V_i	0,26	1,55	2,83	4,12	5,41	6,70	7,89	9,27	10,56	11,84
Значения нижних корней, E_1	-0,19	-0,14	0,90	2,02	3,20	4,45	5,76	7,15	8,63	10,26
Значения верхних корней, E_2	2,25	3,74	5,13	6,45	7,70	8,89	10,02	11,07	12,02	12,82

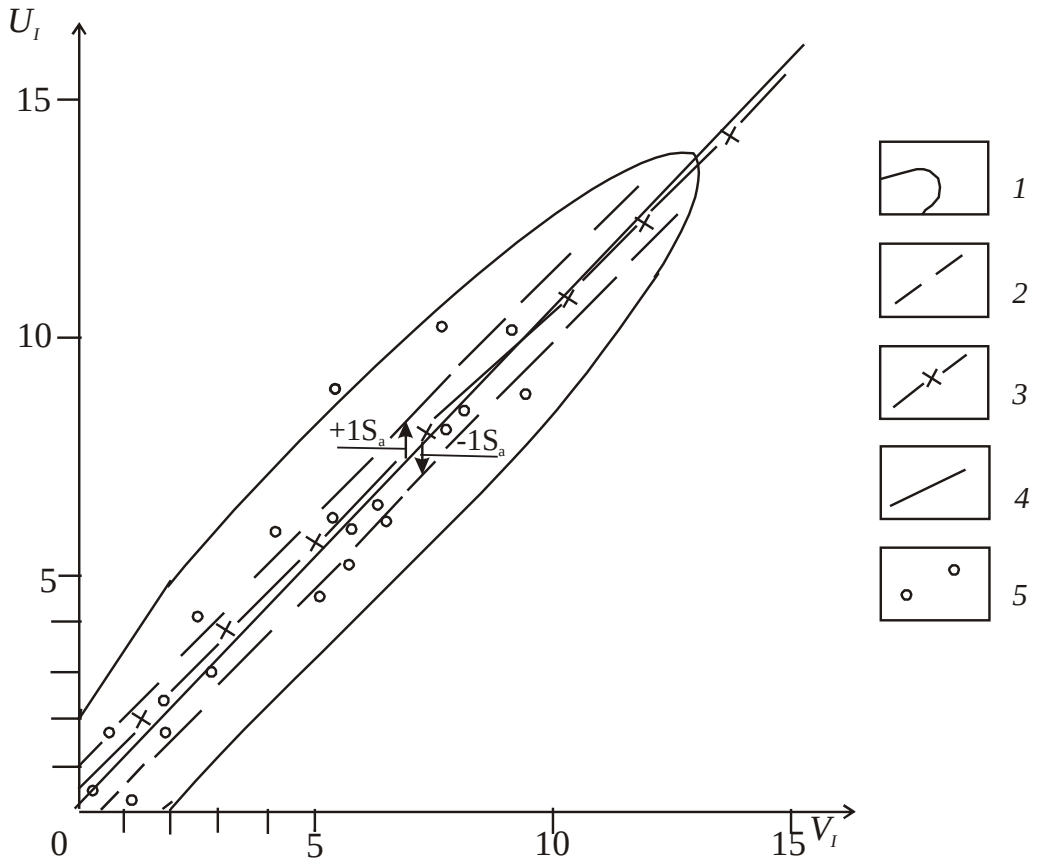


Рис. 2. Метрологическая карта сопряженных измерений содержаний цинка (%) в сплошных (U_I) и линейно-точечных (V_I) бороздовых пробах:
1 - контур эллипса; *2* - линии допуска; *3* - линия регрессии;
4 - линия равенства;*5* - точки сопряженных измерений (проб)

Таким образом, линейно-точечные бороздовые пробы являются метрологически достоверными и могут вполне заменять более трудоемкие по отбору сплошные бороздовые пробы.

Ход выполняемой работы: каждый студент получает конкретный вариант задания из табл. 2-5, после чего вводит данные в персональный компьютер и получает результаты расчетов. При составлении отчета по работе результаты компьютерных расчетов обобщаются в виде таблиц 7 – 9 и рис. 2.

Время выполнения лабораторной работы – 2 часа.

Список литературы:

1. *Каждан, А. Б.* Разведка месторождений полезных ископаемых / А. Б. Каждан. – М.: Недра, 1977. – 327 с.

2. *Панов, Ю. К.* Опробование твердых полезных ископаемых: учеб. пособие / Ю. К. Панов. – Екатеринбург: УГГГА, 1998. – 102 с.

3. *Поротов, Г. С.* Математические методы моделирования в геологии: учебник / Г. С. Поротов. – СПб.: 2006. – 223 с.

4. *Волков, В. Н.* Геологическая документация и опробование поисково-разведочных выработок: уч. пособие / В. Н. Волков. – СПб.; 2007. – 120 с.

5. *Сборник нормативно-методических документов по геолого-экономической оценке месторождений полезных ископаемых*. – М.: ГКЗ, 1998. – 319 с.

6. *Сидорков, Е. А.* Поиски и разведка драгоценных и поделочных камней: уч. пособие / Е. А. Сидорков, П. И. Кушнарев. – М.: МГРИ, 1987. – 89 с.

МИНОБРНАУКИ РФ

ФГБОУ ВО «Уральский государственный горный университет»

УТВЕРЖДАЮ
Заведующий кафедрой геологии,
поисков и разведки месторождений
полезных ископаемых
 В.А. Душин

МЕТОДИЧЕСКИЕ УКАЗАНИЯ ПО САМОСТОЯТЕЛЬНОЙ РАБОТЕ СТУДЕНТОВ ПО ДИСЦИПЛИНЕ

Б1.В.16 ТЕХНОГЕННЫЕ МЕСТОРОЖДЕНИЯ ПОЛЕЗНЫХ ИСКОПАЕМЫХ

Для обучающихся специальности
21.05.02 Прикладная геология

Специализация
Геологическая съемка, поиски и разведка месторождений твердых полезных ископаемых

форма обучения: очная, заочная

Автор: Макаров А.Б., профессор, д.г.-м.н.

Одобрены на заседании кафедры
геологии, поисков и разведки МПИ
наименование кафедры
Протокол № 1 от 26.09.2023 г
дата

Екатеринбург

СТРУКТУРА ДИСЦИПЛИНЫ

№ раздела	Основное содержание
1	***Условия формирования и размещения техногенных ресурсов и месторождений*** Состояние проблемы. История исследования техногенных месторождений. Термины и понятия. Техногенез и литотехногенез. Техногенные процессы и формирование техногенных месторождений. Условия формирования и положение техногенных месторождений в геологических структурах
2	***Классификация техногенных месторождений и их главные типы*** Существующие классификации, их недостатки и достоинства. Генетическая классификация техногенных месторождений. Главные типы техногенных месторождений: черной металлургии, цветной металлургии, топливно-энергетической отрасли, химического производства, прочие техногенные месторождения.
3	***Особенности состава техногенного сырья и направления использования*** Особенности минерального и химического состава техногенного минерального сырья.
4	***Техногенные месторождения, сформированные предприятиями черной и цветной металлургии*** Рассматриваются техногенные месторождения чёрной металлургии (железорудной промышленности и ферросплавного производства), цветной металлургии (медной, алюминиевой и никелевой), а также месторождения благородных и редких металлов по генетическим группам и классам (отвалы, хвостохранилища) и примеры техногенных месторождений.
5	***Техногенные месторождения топливно-энергетической отрасли и предприятий химического производства*** Рассматриваются техногенные месторождения топливно-энергетической отрасли и предприятий химического производства по генетическим группам и классам. Приводятся примеры наиболее характерных месторождений.
6	***Особенности геологических исследований техногенных месторождений***. Особенности исследований минерального сырья и химического состава техногенного и минерального сырья. Стадии геологического изучения техногенных месторождений: ревизионно0оценочные и разведочные работы и их содержание.

МЕТОДИЧЕСКИЕ РЕКОМЕНДАЦИИ ПО САМОСТОЯТЕЛЬНОМУ ИЗУЧЕНИЮ ДИСЦИПЛИНЫ

1. Освоение лекционного курса

2.

Лекции по дисциплине "Техногенные месторождения полезных ископаемых" дают главный материал как по теории, так и практике исследований данных объектов. Изучение данной дисциплины обусловлено целым рядом причин: с одной стороны, истощение минерально-сырьевых ресурсов требует нахождения новых источников минерального сырья, с

другой стороны - накоплены большие объемы не используемых отходов различных отраслей промышленности. Как следствие, в настоящее время появляется множество данных по дисциплине, включая и зарубежные источники. Это требует после прослушивания лекции обращаться к соответствующей рекомендуемой литературе для более глубокой проработки соответствующей темы, детального рассмотрения основных терминов, проблемных вопросов и подходов к их решению, а также изучение дополнительного материала по теме для последующего выполнения практических занятий.

После прослушивания лекции необходимо:

- внимательно просмотреть конспект лекции и (используя поля) сделать необходимые пояснения к сокращениям, аббревиатурам, терминам и т.п.;
- используя рекомендованную литературу уяснить проблемные вопросы и подходы к их решению;
- в письменном виде сформулировать вопросы, которые следует задать преподавателю для окончательного усвоения темы лекции;
- следует взять за правило – выполнять работу с конспектом лекций в тот же день, когда лекция прослушана и в памяти еще осталась часть ее содержания.

2. Подготовка, выполнение и оформление практических занятий

Практические занятия расширяют область знаний в изучаемой дисциплине и показывают применение теоретической части в практике исследований, позволяют самостоятельно оперировать знаниями в решении практических задач.

Наиболее важным в этом плане является изучение и закрепление знаний о вещественном составе техногенного сырья по методическим указаниям, имеющемся на кафедре ГПР МПИ. Последующим этапом закрепления теоретического материала является изучение конкретных техногенных месторождений в рамках существующих геолого-промышленных типов и генетической классификации техногенных месторождений.

Методические аспекты изучения техногенных месторождений закрепляются в рамках практических занятий с учетом существующих для техногенных месторождений нормативных документов. Особое внимание следует обратить на оценку состояния природной окружающей среды и расчет коэффициента суммарного химического загрязнения.

Чтобы исследовательские практические занятия приносили максимальную пользу, необходимо помнить, что упражнение в решении

практических задач, подготовка к занятиям проводятся по прочитанному на лекциях материалу и связаны, как правило, с детальным разбором отдельных вопросов лекционного курса. Они вырабатывают навыки самостоятельной творческой работы, развивают мыслительные способности.

3. Рекомендации по работе с литературой

Изучение литературы является основным видом самостоятельной работы, которая сопровождает весь процесс изучения любой дисциплины. Организацию этой работы следует строить используя следующие рекомендации.

1. Составить перечень книг, с которыми следует познакомиться, ориентируясь на источники, содержащие необходимый материал.
2. Систематизировать перечень источников (для экзаменов, для написания научных работ).
3. Зафиксировать все выходные данные по каждой книге.
4. Установить для себя, какие книги (или какие главы книг) следует прочитать более внимательно, а какие – просмотреть. Целесообразно проконсультироваться с преподавателем или иным специалистом.
5. Все прочитанные книги, учебники и статьи рекомендуется конспектировать с указанием основных идей автора, наиболее ярких цитат (с указанием страниц источника).
6. На собственных книгах допускается делать на полях краткие пометки или же в конце книги, на пустых страницах просто сделать свой «предметный указатель», где отмечаются наиболее интересные для Вас мысли и обязательно указываются страницы в тексте - это позволяет экономить время и быстро находить «избранные» места в разных книгах.

4. Подготовка к экзамену

На экзамене будут оценены полученные процессе обучения знания. Примерный перечень рассматриваемых на экзамене вопросов приведен ниже.

1. Анализ существующих классификаций техногенных месторождений
2. Техногенез, литотехногенез и условия формирования техногенно-минерального сырья.
3. Вторичная зональность техногенных месторождений
4. Типы техногенного минерального сырья.
5. Области использования минерального сырья.
6. Характеристика техногенных месторождений железорудной промышленности.
7. Характеристика техногенных месторождений производства ферросплавов.
8. Характеристика техногенных месторождений медной подотрасли цветной металлургии.

9. Характеристика техногенных месторождений алюминиевой подотрасли цветной металлургии.
10. Характеристика техногенных месторождений никелевой подотрасли цветной металлургии.
11. Характеристика техногенных месторождений благородных металлов.
12. Характеристика техногенных месторождений топливно-энергетической отрасли
13. Характеристика техногенных месторождений химического производства
14. Экологические проблемы техногенных месторождений.
15. Стадийность исследования техногенных месторождений.

Подготовка к экзамену способствует закреплению, углублению и обобщению знаний, получаемых в процессе обучения, а также применению их к решению практических задач. В процессе подготовки к экзамену ликвидируются имеющиеся пробелы в знаниях, углубляются, систематизируются и упорядочиваются знания. На экзамене демонстрируются знания и навыки, приобретенные в процессе обучения по дисциплине «Техногенные месторождения полезных ископаемых».

СПИСОК ЛИТЕРАТУРЫ, РЕКОМЕНДУЕМОЙ ДЛЯ ИЗУЧЕНИЯ

а) Основная литература

Душин В.А., Макаров А.Б. Нетрадиционные типы месторождений полезных ископаемых.-Екатеринбург: Изд-во УГГУ, 2015. - 224 с.

Макаров А.Б. Главные типы техногенно-минеральных месторождений Урала. Научное издание.-Екатеринбург: УГГУ, 2006.-206 с.

Макаров А.Б. и др. Техногенно-минеральные месторождения Урала (особенности состава и методология исследований)/М., 1999, 41 с.

Методические указания к лабораторным работам по дисциплине «Геология». Часть 5 – Техногенные образования/ А.Б.Макаров, В.В.Григорьев. Екатеринбург: УГГГА, 1997, 27 с.

Методическое руководство по изучению и эколого-экономической оценке техногенных месторождений /ГКЗ Министерства охраны окружающей среды и природных ресурсов РФ. М., 1999, 51 с.

б) Дополнительная литература

Ермолов В.А., Мосейкин В.В. Научно-методические аспекты оценки и моделирования техногенных месторождений//Известия вузов. Геология и разведка, 1997. №1 С.94-100

Макаров А.Б. Техногенные месторождения минерального сырья//Соросовский образовательный журнал, 2000. №8. С.94-100.

Макаров А.Б. Особенности генетической классификации техногенно-минеральных месторождений//Новые идеи в научной классификации: Коллективная монография. Вып.5. Екатеринбург:

УрО РАН, 2010. С.305-313.

Макаров В.А. Геолого-технологические основы ревизии техногенного минерального сырья на золото. Красноярск, 2001. 132 с.

Мормиль С.И., Сальников В.Л., Амосов А.А. и др. Техногенные месторождения Среднего Урала и оценка их воздействия на окружающую среду. Екатеринбург, 2002. 206 с.

Семячков А.И., Балашенко В.В., Косолапов О.В. Эколого-экономическая оценка техногенно-минеральных образований/ Под ред. академика РАН А.И.Татаркина. – Екатеринбург: Институт экономики УрО РАН, 2009. 196 с.

Техногенные ресурсы минерального строительного сырья/ Е.С.Туманова, А.Н.Цибизов, Н.Т.Блоха и др. М.: Недра, 1991, 208 с.

Трубецкой К.Н., Уманец В.Н., Никитин М.Б. Классификация техногенных месторождений: основные категории и понятия//Горный журнал, 1989. № 12, с. 6-9.

Туманова Е.С., Туманов Р.Р. Минеральное сырья. Сырье техногенное//Справочник. М: ЗАО «Геоинформмарк», 1998, 44с.

Министерство образования и науки РФ

Федеральное государственное бюджетное образовательное учреждение
высшего образования
«Уральский государственный горный университет»



В. В. Сынбулатов, Д. В. Прищепа

БУРОВЗРЫВНЫЕ РАБОТЫ

Учебно-методическое пособие к самостоятельной работе и выполнению практических работ по дисциплине «Буровзрывные работы» для студентов специальности 21.05.02 «Прикладная геология»

Екатеринбург

Министерство образования и науки РФ

Федеральное государственное бюджетное образовательное учреждение
высшего образования
«Уральский государственный горный университет»

ОДОБРЕНО

Методической комиссией горно-технологического факультета

«_____» _____ 2019 г.

Председатель комиссии

_____ст.преп. Н. В. Колчина

В. В. Сынбулатов, Д. В. Прищепа

БУРОВЗРЫВНЫЕ РАБОТЫ

Учебно-методическое пособие к самостоятельной работе и выполнению практических работ по дисциплине «Буровзрывные работы» для студентов специальности 21.05.02 «Прикладная геология»

Издание УГГУ Екатеринбург, 2019

Рецензенты: Лель Ю. И., зав. кафедрой РМОС УГГУ, профессор,
д-р техн. наук.

Печатается по решению Редакционно-издательского совета
Уральского государственного горного университета

Учебно-методическое пособие к самостоятельной работе, выполнению контрольных и практических работ по дисциплине «Буровзрывные работы» для студентов специальности 21.05.02 «Прикладная геология» / В. В. Сынбулатов, Д. В. Прищепа; Урал. гос. горный ун-т. – Екатеринбург: Изд-во УГГУ, 2019. – 65 с.

Материал пособия охватывает все раздела дисциплины.

Пособие предназначено для организации самостоятельной работы студентов, выполнению контрольных и практических заданий всех специализаций специальности 21.05.02 «Прикладная геология» по курсу «Буровзрывные работы».

© Уральский государственный
горный университет, 2019
©Сынбулатов В.В., Прищепа Д. В.

Оглавление

ВВЕДЕНИЕ 5
1. МЕТОДИЧЕСКИЕ УКАЗАНИЯ К ОРГАНИЗАЦИИ САМОСТОЯТЕЛЬНОЙ РАБОТЫ СТУДЕНТА 6
2. СОДЕРЖАНИЕ КУРСА, КОНТРОЛЬНЫЕ ВОПРОСЫ 7
3. ПРАКТИКО-ОРИЕНТИРОВАННЫЕ ЗАДАНИЯ 19
Практико-ориентированное задание №1 19
Практико-ориентированное задание №2 23
Практико-ориентированное задание №3 26
Практико-ориентированное задание №4 30
Практико-ориентированное задание №5 32

ВВЕДЕНИЕ

Самостоятельная работа студента является важнейшей составной частью образовательной программы подготовки дипломированного специалиста. В соответствии с Государственным образовательным стандартом высшего профессионального образования объем учебной нагрузки студента составляет 144 часов или 4 зачетных единиц.

По курсу «Буровзрывные работы» обязательная самостоятельная работа студента осуществляется в следующих направлениях – *освоение материалов по отдельным темам, входящим в Рабочую учебную программу дисциплины; подготовка, оформление, защита практико-ориентированных заданий; подготовка и защита контрольной работы*. Дополнительная самостоятельная работа связана с углубленным изучением отдельных разделов курса на основе научно-исследовательской работы студента (НИРС).

Данное учебно-методическое пособие предназначено для организации самостоятельной работы студентов – освоения отдельных тем дисциплины.

1. МЕТОДИЧЕСКИЕ УКАЗАНИЯ К ОРГАНИЗАЦИИ САМОСТОЯТЕЛЬНОЙ РАБОТЫ СТУДЕНТА

В следующем разделе пособия приведена развернутая программа дисциплины «Технология и безопасность взрывных работ». Она содержит названия 30 основных тем с указанием основных вопросов и разделов каждой темы. Каждая тема является основой вопросов в экзаменационном билете. При чтении лекций по курсу преподаватель указывает те темы дисциплины, которые выносятся на самостоятельную проработку студентами. Причем в экзаменационный билет может включаться один из вопросов по такой теме. Основной объем информации по каждой теме содержится в учебнике по курсу [1].

При освоении указанных ниже тем *рекомендуется следующий порядок самостоятельной работы студента:*

1. Ознакомьтесь со структурой темы.

2. По учебнику [1] освойте каждый структурный элемент темы. Во всех темах указаны разделы и страницы учебника, содержащие данный материал.

3. При необходимости используйте указанную дополнительную литературу. Консультацию по использованию дополнительной литературы Вы можете получить у преподавателя.

4. Ответьте на контрольные вопросы. При затруднениях в ответах на вопросы вернитесь к изучению рекомендованной литературы.

5. Законспектируйте материал. При этом конспект может быть написан в виде ответов на контрольные вопросы.

При самостоятельной работе над указанными темами рекомендуется вести записи в конспектах, формируемых на лекционных занятиях по курсу, и в том порядке, в котором данные темы следуют по учебной программе.

2. СОДЕРЖАНИЕ КУРСА, КОНТРОЛЬНЫЕ ВОПРОСЫ

Тема 1. Краткая история развития взрывных работ.

Значение взрывных работ в горнодобывающей промышленности и в строительстве. История развития взрывных работ.

Литература: [1]

Контрольные вопросы:

1. Охарактеризуйте основные вехи развития взрывных работ.
2. Опишите первую технологию ведения взрывных работ в горном деле.
3. Назовите первое нитроглицериновое взрывчатое вещество.
4. Опишите историю развития средств инициирования.

Тема 2. Современные виды взрывных работ.

Современные виды взрывных работ в промышленности. Основные виды взрывных работ. Специальные виды взрывных работ.

Литература: [1]

Контрольные вопросы:

1. Назовите современные виды взрывных работ.
2. Назовите современные виды специальных взрывных работ.

Тема 2. Способы бурения шпуров и скважин.

Классификация способов бурения шпуров и скважин. Механическое бурение и его виды. Термическое бурение и его виды. Специальные виды бурения шпуров и скважин.

Литература: [1, 5]

Контрольные вопросы:

1. Приведите классификацию способов бурения шпуров и скважин.
2. Опишите суть механических видов бурения шпуров и скважин.
3. Опишите суть термических видов бурения шпуров и скважин.
4. Опишите суть специальных видов бурения шпуров и скважин.
5. Укажите рациональные области применения механических, термических и специальных видов бурения шпуров и скважин.

Тема 3. Ударно-поворотный способ бурения.

Механизм разрушения горных пород при ударно-поворотном бурении. Механизмы скола и выкола. Зависимость скорости ударно-поворотного бурения от осевого усилия, частоты вращения. Оборудование.

Литература: [1, 5]

Контрольные вопросы:

1. Укажите рациональную область применения ударно-поворотного бурения.

2. Охарактеризуйте механизмы скола и выкола.
3. Опишите механизм разрушения горных пород при ударном внедрении инструмента.
4. Укажите бурильные машины ударно-поворотного бурения.
5. Отметьте факторы, которые повышают энергоемкость ударного бурения по сравнению с другими способами.
6. Укажите последовательность процессов, происходящих при разрушении породы при ударном бурении.

Тема 4. Вращательный способ бурения.

Технические средства вращательного бурения. Работа ядра уплотнения при резании пород. Зависимость объема разрушения от толщины стружки. Режимы самозаточки и затупления режущей грани сверла. Оборудование.

Литература: [1, 5]

Контрольные вопросы:

1. Назовите преимущества вращательного бурения.
2. Укажите бурильные машины вращательного бурения.
3. Охарактеризуйте основные механизмы износа и затупления бурового инструмента при вращательном бурении.
4. Опишите механизм разрушения горных пород при вращательном бурении.

Тема 5. Ударно-вращательный и вращательно-ударный способ бурения.

Технические средства бурения. Совместное действие механизмов удара и резания. Зависимость энергоемкости бурения от усилий полдачи на инструмент.

Литература: [1, 5]

Контрольные вопросы:

1. Укажите область применения вращательно-ударного бурения.
2. Укажите область применения ударно-вращательного бурения.
3. Назовите преимущества вращательно-ударного бурения.
4. Охарактеризуйте зависимость энергоемкости бурения от усилия подачи.
5. Назовите машины и механизмы, реализующие ударно-вращательный способ бурения.
6. Назовите машины и механизмы, реализующие вращательно-ударный способ бурения.

Тема 6. Шарошечное бурение.

Технические средства бурения. Механизм шарошечного бурения. Режимы бурения в зависимости от осевого усилия. Контактная прочность пород как критерий буримости.

Литература: [1, 5]

Контрольные вопросы:

1. Назовите особенности шарошечного бурения.
2. Опишите зависимость скорости бурения от величины осевого усилия.
3. Назовите машины и механизмы, реализующие шарошечное бурение.
4. Укажите область применения шарошечного бурения.

Тема 7. Основы теории взрыва и взрывчатых веществ.

Виды взрыва: механический, тепловой, электрический, ядерный, химический. Необходимые условия химического взрыва. Взрывчатое вещество. Классификация взрывчатых систем по физическому состоянию.

Литература: [1, 3]

Контрольные вопросы:

1. Дайте определение понятию взрыв.
2. Приведите пример механического взрыва.
3. Приведите пример Теплового взрыва.
4. Приведите примеры тепловых взрывов.
5. Охарактеризуйте химический взрыв.
6. Назовите необходимые условия химического взрыва.

Тема 8. Свойства взрывчатых веществ.

Классификация свойств взрывчатых веществ. Технологические свойства взрывчатых веществ. Специальные свойства взрывчатых веществ.

Литература: [1, 2]

Контрольные вопросы:

1. Приведите классификацию свойств взрывчатых веществ.
2. Назовите основные технологические свойства взрывчатых веществ.
3. Что такое кислородный баланс.
4. Назовите виды кислородного баланса.
5. Какие газы выделяются при положительном кислородном балансе.
6. При каком кислородном балансе образуется окись углерода (CO)?

Тема 9. Начальный импульс и чувствительность взрывчатых веществ.

Начальный импульс. Виды начального импульса. Инициирование. Чувствительность взрывчатых веществ. Способы изменения чувствительности.

Литература: [1]

Контрольные вопросы:

1. Дайте определение понятию «Начальный импульс».
2. Охарактеризуйте тепловой начальный импульс.
3. Какой вид начального импульса является основным для горного дела?
4. Перечислите пробы на чувствительность.
5. Что такое сенсибилизатор?
6. Приведите пример веществ вводимых в состав взрывчатых веществ для флегматизации.

Тема 10. Формы химического превращения взрывчатых веществ.

Основные формы химического превращения взрывчатых веществ. Режимы химического превращения: термический распад, горение, конвективное горение, детонация

Литература: [1, 2, 3]

Контрольные вопросы:

1. Перечислите основные формы химического превращения.
2. Дайте характеристику горению как форме химического превращения.
3. Дайте характеристику детонации как форме химического превращения.

Тема 11. Основные положения теории детонации.

Механизм детонации. Графическая интерпретация процесса детонации – адиабата Гюгонио. Количественная оценка характеристик процесса детонации.

Литература: [1, 3]

Контрольные вопросы:

1. Перечислите особенности детонационной волны.
2. Дайте определение понятию «Детонация».
3. Приведите основные детонационные характеристики взрывчатых веществ.

Тема 12. Экспериментальные методы определения скорости детонации.

Классификация методов определения скорости детонации взрывчатых веществ. Метод Дотриша. Осциллографический метод. Метод скоростной фотосъемки. Реостатный метод.

Литература: [1, 3]

Контрольные вопросы:

1. Охарактеризуйте метод Дотриша, для определения скорости детонации взрывчатых веществ.
2. Назовите отличительные особенности осциллографического метода для определения скорости детонации взрывчатых веществ.

3. Опишите процедуру измерения скорости детонации используя реостатный метод.

Тема 13. Факторы, влияющие на скорость и устойчивость детонации.

Группы факторов влияющие на скорость и устойчивости детонации. Влияние внутреннего состава и строения на скорость и устойчивость детонации. Влияние условий взрывания на скорость детонации.

Литература: [1, 3]

Контрольные вопросы:

1. Как влияет дисперсность взрывчатого вещества на скорость и устойчивость детонации?
2. Как влияет плотность взрывчатого веществ на скорость детонации?
3. Дайте определение понятию «критический диаметр детонации».
4. Как влияет на скорость и устойчивость детонации наличие плотной оболочки на заряде взрывчатого вещества.
5. Влияние величины начального импульса на устойчивость детонации.

Тема 14. Работа взрыва.

Работа взрыва: баланс энергии при взрыве. Потери при переходе потенциальной энергии взрывчатого вещества в механическую работу взрыва. Полезная работа взрыва. Бризантность и фугасность. Пробы на бризантность и фугасность.

Литература: [1, 3]

Контрольные вопросы:

1. Опишите переход потенциальной энергии взрывчатого вещества в механическую работу взрыва.
2. Чем обусловлены химические потери при взрыве?
3. Чем обусловлены тепловые потери при взрыве?
4. Охарактеризуйте бесполезные формы работы взрыва.
5. Что такое бризантность взрывчатых веществ.
6. Назовите формы проявления фугасной работы взрыва.

Тема 15. Основные положения теории предохранительных взрывчатых веществ.

Необходимость применения предохранительных взрывчатых веществ. Теории предохранительных взрывчатых веществ. Методы испытаний предохранительных взрывчатых веществ.

Литература: [1, 2]

Контрольные вопросы:

1. Дайте определение понятию пламегаситель.
2. Дайте определение понятию ингибитор.
3. Перечислите основные гипотезы воспламенения горючих шахтных сред.
4. Перечислите возможные пути предотвращения воспламенения горючих шахтных сред.
5. Охарактеризуйте методы испытаний предохранительных взрывчатых веществ.

Тема 16. Заряд взрывчатого вещества.

Заряды взрывчатых веществ. Классификация. Воронка взрыва и ее элементы. Показатель действия взрыва.

Литература: [1, 3]

Контрольные вопросы:

1. По каким признакам классифицируются заряды взрывчатых веществ.
2. Перечислите элементы воронки взрыва.
3. Что такое показатель действия взрыва.
4. Как классифицируются заряды взрывчатых веществ по показателю действия взрыва.

Тема 17. Действие взрыва.

Действие сосредоточенного заряда в твердой однородной безграничной среде и при наличии обнаженной поверхности. Стадии разрушения: образование газовой полости, зоны дробления, зона радиальных и кольцевых трещин, откольные явления. Соотношение бризантного и фугасного действия взрыва в зависимости от акустической жесткости разрушаемых пород.

Литература: [1, 3]

Контрольные вопросы:

1. Отразите последовательность развития взрыва в горных породах.
2. Отметьте области действия взрыва, образующие зону регулируемого дробления.
3. Какие трещины образуются в горной породе при падении давления и обратной деформации пород в сторону зарядной полости?
4. Какие трещины образуются при отражении волны сжатия от свободной поверхности горной породы?

Тема 18. Классификации промышленных взрывчатых веществ.

Классификация ВВ: по характеру воздействия на окружающую среду, по чувствительности к простым формам начального импульса, физическому состоянию. Классификация по химическому составу – индивидуальные ВВ и взрывчатые смеси. Классы ВВ по условиям применения.

Литература: [1, 2, 4, 6]

Контрольные вопросы:

1. К какой группе относятся взрывчатые вещества, имеющие скорость детонации 4000 м/с?
2. Какие классы промышленных ВВ выделяют по химическому составу?
3. К какому классу промышленных ВВ по химическому составу относится тротил, детонит?
4. Какие ВВ можно использовать только при взрывных работах на поверхности, в шахтах опасных по газу и пыли? Укажите номер класса и цвет оболочки.
5. Какой цвет имеют патроны предохранительных ВВ?
6. По какому характерному признаку выделяют первичные и вторичные ВВ?

Тема 19. Непредохранительные взрывчатые вещества I класса по условиям применения.

Предъявляемые требования. Нитросоединения: свойства, ассортимент, область применения. Аммиачно-селитренные взрывчатые вещества: свойства, ассортимент, область применения. Эмульсионные взрывчатые вещества: свойства, ассортимент, область применения.

Литература: [1, 2, 7]

Контрольные вопросы:

1. Назовите основные свойства гранулотола.
2. Особенности аммиачно-селитренных взрывчатых веществ.
3. Бестротиловые взрывчатые вещества: особенности, свойства.
4. Назовите отличительные особенности эмульсионных взрывчатых веществ.

Тема 20. Непредохранительные взрывчатые вещества II класса по условиям применения.

Предъявляемые требования. Аммиачно-селитренные взрывчатые вещества: свойства, ассортимент, область применения. Эмульсионные взрывчатые вещества: свойства, ассортимент, область применения. Порошкообразные ВВ – аммониты и аммоналы. Свойства и область применения.

Литература: [1, 2, 7]

Контрольные вопросы:

1. Назовите основные свойства граммонита 79/21.
2. Особенности аммиачно-селитренных взрывчатых веществ, применяемых в подземных условиях.
3. Назовите отличительные особенности патронированных аммонитов.
4. Назовите отличительные особенности эмульсионных взрывчатых веществ, применяемых в подземных условиях.

Тема 21. Предохранительные взрывчатые вещества III – VII классов по условиям применения.

Требования к энергетическим и детонационным характеристикам предохранительных ВВ. Требования к кислородному балансу. Требования к составу и строению зарядов.

Литература: [1, 2, 7]

Контрольные вопросы:

1. Перечислите названию взрывчатых веществ III класса по условиям применения.
2. Какие добавки вводят в состав предохранительных взрывчатых веществ?
3. Укажите требования, предъявляемые к предохранительным ВВ.

Тема 22. Методы производства взрывных работ.

Классификация методов производства взрывных работ. Метод шпуровых зарядов. Метод скважинных зарядов. Метод камерных зарядов. Метод наружных зарядов. Область применения, достоинства и недостатки методов.

Литература: [1, 3]

Контрольные вопросы:

1. Укажите области применения метода шпуровых зарядов в подземных условиях.
2. Укажите область применения метода шпуровых зарядов при открытой разработке месторождений.
3. Укажите область применения метода скважинных зарядов.
4. Укажите область применения метода наружных зарядов.

Тема 23. Метод шпуровых зарядов при проведении подземных горных выработок.

Состав проходческого цикла. Коэффициент использования шпуров (КИШ). Коэффициент излишка сечения (КИС). Врубовые, отбойные и оконтуривающие шпуры. Очередность взрывания. Конструкции шпуровых зарядов. Размер и качество забойки. Прямое и обратное инициирование зарядов.

Назначение и типы врубов. Конструкции наклонных врубов; их достоинства и недостатки. Конструкции прямых врубов; их достоинства и недостатки. Комбинированные врубы. Принципы расчета параметров буровзрывных работ.

Литература: [1, 3]

Контрольные вопросы:

1. Укажите типы шпуров при проходке выработки.
2. Укажите очередность взрывания шпуров в типовой технологии проходки выработок.
3. Укажите условия, соответствующие обратному инициированию заряда.
4. Отметьте достоинства прямого инициирования заряда ВВ по сравнению с обратным.
5. Отметьте достоинства обратного инициирования заряда ВВ по сравнению с прямым.

Тема 24. Метод шпуровых зарядов при подземной разработке месторождений полезных ископаемых.

Технология шпуровой отбойки при разработке рудных месторождений. Расчет параметров БВР. Технология шпуровой отбойки угля. Правила безопасности при использовании метода шпуровой отбойки.

Литература: [1, 3]

Контрольные вопросы:

1. Опишите существо метода шпуровых зарядов при добыче полезных ископаемых подземным спопобом.
2. Укажите классы ВВ допущенные к применению при шпуровой отбойке по углю.
3. Какой способ взрывания допущен к применению при шпуровой отбойке угля?
4. Какова допустимая величина уходки (м) при добыче угля методом шпуровых зарядов?
5. Какова величина предельного содержание метана в забое (в %), при котором разрешена отбойка угля методом шпуровых зарядов?

Тема 25. Метод скважинных зарядов при подземной разработке месторождений полезных ископаемых.

Отбойка вертикальными и горизонтальными слоями. Параллельное и веерное расположение скважин – преимущества и недостатки. Схемы отбойки руды в блоке. Расчет параметров скважинной отбойки. Бурение, заряжание и взрывание скважин. Правила безопасности при скважинной отбойке.

Литература: [1, 3]

Контрольные вопросы:

1. Укажите преимущества параллельного расположения скважин при подземной отбойке руды (по сравнению с веерным расположением скважин).
2. Укажите преимущества веерного расположения скважин при подземной отбойке руды (по сравнению с параллельным расположением скважин).
3. Укажите способы бурения скважин при отбойке руды в подземных условиях.
4. Какой тип ВВ обычно применяют при механизированном заряжании скважин?
5. Укажите показатели, входящие в формулу определения удельного расхода ВВ при скважинной отбойке руды в подземных условиях.

Тема 26. Метод скважинных зарядов при открытой разработке месторождений полезных ископаемых.

Расположение скважин на уступе и их бурение. Принципы расчета параметров буровзрывных работ. Схемы взрывания скважинных зарядов при однорядном и многорядном взрывании скважин.

Литература: [1, 3]

Контрольные вопросы:

1. Укажите рациональные способы бурения скважин при открытой разработке месторождений.
2. Удельный расход ВВ на карьерах определяется по эталонному $q_э$ с учетом поправочных коэффициентов. Укажите факторы, определяющие величину данных коэффициентов.
3. Укажите основные способы взрывании зарядов взрывчатых веществ, используемых на земной поверхности.
4. Перечислите основные взрывчатые вещества, используемые при ведении взрывных работ на земной поверхности.

Тема 27. Метод камерных зарядов.

Расположение выработок при использовании камерных зарядов. Камерные заряды рыхления и их расчет. Камерные заряды выброса и их расчет. Камерные заряды на сброс и их расчет.

Литература: [1, 3]

Контрольные вопросы:

1. В каких случаях целесообразно использовать метод камерных зарядов при открытой разработке месторождений?
2. Назовите достоинства и недостатки метода камерных зарядов.

Тема 28. Взрывное разрушение негабарита.

Характеристики, область применения, достоинства и недостатки различных способов разделки негабарита: наружными, шпуровыми, кумулятивными зарядами, гидровзрывание.

Литература: [1, 3]

Контрольные вопросы:

1. Укажите достоинства и недостатки способа разделки негабарита накладными зарядами.
2. Укажите достоинства и недостатки способа разделки негабарита шпуровыми зарядами.
3. Укажите способы взрывного дробления негабарита при открытой разработке месторождений.

Тема 29. Техническая документация для производства взрывных работ.

Необходимая техническая документация для производства взрывных работ: типовой проект взрывных работ, проект массового взрыва, паспорт буровзрывных работ, схема взрывных работ.

Литература: [1, 4, 6, 8]

Контрольные вопросы:

1. Что входит в состав типового проекта взрывных работ?
2. Опишите процедуру составления и утверждения паспорта буровзрывных работ.
3. Для каких работ составляется схема взрывных работ.
4. В каких случаях составляется проект массового взрыва?

Тема 30. Персонал для взрывных работ.

Требования к лицам, допущенным к ведению взрывных работ: руководитель взрывных работ, мастер-взрывник, заведующий складом ВМ, раздатчики ВМ и лаборанты складов ВМ.

Литература: [1, 4, 6, 8]

Контрольные вопросы:

1. Какие требования предъявляются к руководителям взрывных работ?
2. Какие требования предъявляются к взрывникам?

3. В течение какого периода времени проходит стажировка взрывника?
4. Требования в заведующему склада взрывчатых материалов.

3. ПРАКТИКО-ОРИЕНТИРОВАННЫЕ ЗАДАНИЯ

Практико-ориентированное задание №1

Расчет кислородного баланса и составление рецептур промышленных взрывчатых веществ.

Цель: овладение методикой расчета кислородного баланса взрывчатых веществ и принципами составления рецептур промышленных взрывчатых веществ.

Краткая теория

Определение кислородного баланса

Кислородным балансом называется отношение избытка или недостатка кислорода во взрывчатом веществе (ВВ) для полного окисления горючих элементов (водорода, углерода, металлов и т. п.), выраженное в грамм-атомах, к грамм-молекулярной массе ВВ. Кислородный баланс выражается в долях или процентах.

Под полным окислением понимается окисление водорода в воду, а углерода в углекислый газ. При этом выделяется также молекулярный азот и кислород. Если в составе ВВ находится металл, то образуется его высший окисел.

Реакции полного окисления:

$$C + O_2 \rightarrow CO_2 + 396 \text{ кДж/моль};$$

$$H_2 + \frac{1}{2}O \rightarrow H_2O + 283 \text{ кДж/моль при воде жидкой};$$

$$H_2 + \frac{1}{2}O_2 \rightarrow H_2O + 241 \text{ кДж/моль при воде парообразной};$$

$$2Al + 1.5O_2 \rightarrow Al_2O_3 + 1671 \text{ кДж/моль}.$$

Следовательно, если ВВ имеет состав в виде $C_aH_bN_cO_d$, то кислородный баланс (%)

$$K_б = \frac{\left[d - \left(2a + \frac{b}{2}\right)\right] \cdot 16}{M_{BB}} 100\%, \quad (1.1)$$

где 16 – относительный атомная масса кислорода; M_{BB} – молекулярная масса ВВ.

При

$$d > 2a + \frac{b}{2} \quad (1.2)$$

имеет положительный кислородный баланс;

при

$$d = 2a + \frac{b}{2} \quad (1.3)$$

нулевой кислородный баланс;

при

$$d < 2a + \frac{b}{2} \quad (1.4)$$

отрицательный кислородный баланс.

Взрывчатые вещества с нулевым кислородным балансом выделяют максимальное количество энергии и минимальное количество ядовитых газов.

При взрыве ВВ с отрицательным кислородным балансом в зависимости от относительного количества кислорода образуются либо ядовитая окись углерода (угарный газ) с меньшим выделением тепла, чем при образовании углекислоты, т. е.

$$C + 0{,}5O_2 \rightarrow CO + 109 \text{ кДж/моль;}$$

либо чистый углерод в виде сажи, резко снижающий образование газов.

При положительном кислородном балансе уменьшается выделение энергии, так как образуется ядовитая окись азота с поглощением тепла по реакции

$$0{,}5N_2 + 0{,}5O_2 \rightarrow NO - 90{,}5 \text{ кДж/моль.}$$

Пример 1. Определить кислородный баланс тротила $C_7H_5(NO_2)_3$, относительная молекулярная масса которого 227.

Для полного окисления необходимо $2a + b/2$ или $2 \cdot 7 + 5/2 = 16{,}5$ атомов кислорода.

В наличии имеется 6 атомов кислорода.

Следовательно,

$$K_6 = \frac{\left[6 - \left(2 \cdot 7 + \frac{5}{2}\right)\right] \cdot 16}{227} 100\% = -74\%.$$

Пример 2. Определить кислородный баланс граммонита 30/70. Граммонит 30/70 состоит из 30% аммиачной селитры NH_4NO_3 и 70% тротила.

Кислородный баланс аммиачной селитры АС, определенный вышеуказанным способом, равен +20%.

Кислородный баланс граммонита 30/70:

$$0{,}3 \cdot 20 + 0{,}7 \cdot -74 = -45{,}5\%.$$

Составление рецептуры промышленных ВВ

При изготовлении промышленных ВВ обычно состав подбирается таким, чтобы был нулевой кислородный баланс. Для изготовления патронированных ВВ принимается небольшой положительный кислородный баланс для окисления материала оболочки патронов. Для подземных работ при взрыве 1 кг ВВ должно выделятся не более 40 л ядовитых газов в пересчете на условную окись углерода. Если образуются окислы азота и сернистый газ, то для перевода их к условной окиси углерода принимается поправочный коэффициент соответственно 6,5 и 2,5.

Для открытых горных работ, особенно для ВВ, применяемых в обводненных условиях, требования к кислородному балансу ВВ не такие жесткие.

Пример 1. Составить рецептуру игданита с нулевым кислородным балансом па основе аммиачной селитры и дизельного топлива (ДТ) с кислородным балансом – 320%.

Количество весовых частей аммиачной селитры для окисления одной части дизельного топлива равно

$$n = \frac{[\text{КБ}_{DT}]}{[\text{КБ}_{\text{АС}}]},$$

где КБ_{DT} – кислородный баланс дизельного топлива;

$\text{КБ}_{\text{АС}}$ – кислородный баланс аммиачной селитры.

$$n = \frac{320}{20} = 16.$$

Содержание дизельного топлива во взрывчатом веществе:

$$x = \frac{100}{1+n},$$

$$x = \frac{100}{1+16} = 5{,}9\ \%.$$

Соответственно содержание аммиачной селитры

$$100 - x = 100 - 5{,}9 = 94{,}1\%.$$

Следовательно, формула игданита:

$$94{,}1\%\ \text{аммиачной селитры};\ 5{,}9\%\ \text{дизельного топлива}.$$

Пример 2. Определить рецептуру ВВ с пулевым кислородным балансом на основе аммиачной селитры (NH_4NO_3) и тротила ($C_7H_5(NO_2)_3$).

Кислородный баланс тротила –74%, относительная молекулярная масса 227. Кислородный баланс аммиачной селитры +20%, относительная молекулярная масса 80.

Состав смеси должен отвечать условию:

$$x\ (-74\%) + (100 - x)\ 20\% = 0,$$

где x – содержание в смеси тротила, %.

Решение данного уравнения показывает, что $x \approx 21\%$ и $(100 - x) = 79\%$. Такому составу смеси отвечают граммонит 79/21 и аммонит 6ЖВ.

Обозначим число молей аммиачной селитры через y, число молей тротила через z. Тогда из соотношения

$$\frac{y \cdot 80}{x \cdot 227} = \frac{79}{21},$$

получим

$$y = \frac{79 \cdot z \cdot 227}{21 \cdot 80} = 10{,}7z.$$

Приняв z = 1, получим y = 10,7.

Следовательно, молекулярное уравнение граммонита имеет вид

$$z + 10{,}7y = C_7H_5(NO_2)_3 + 10{,}7NH_4NO_3.$$

Пример 3. Определить молекулярную формулу гранулита АС-8, имеющего следующий состав: 89% аммиачной селитры NH_4NO_3; 3% солярового масла $C_{16}H_{34}$ (относительная молекулярная масса 226); 8% алюминиевой пудры А1 (относительная молекулярная масса — 27).

Обозначив число молей солярового масла x, аммиачной селитры y, алюминиевой пудры z, можно написать химическую формулу в виде

$$yNH_4NO_3 + x\ C_{16}H_{34} + z\ Al.$$

В соответствии с весовым составом можно записать следующие соотношения

$$\frac{y \cdot 80}{x \cdot 226} = \frac{89}{3};\quad \frac{z \cdot 27}{x \cdot 226} = \frac{8}{3},$$

Отсюда y = 83,9x; z = 22,4x.

Примем x = 1, тогда молекулярное уравнение гранулита АС-8 имеет вид

$$83{,}9\ NH_4NO_3 + C_{16}H_{34} + 22{,}4\ Al.$$

Практико-ориентированное задание №2

Определение работоспособности взрывчатых веществ и работы взрыва.

Цель: овладение методикой определения работоспособности взрывчатых веществ и работы взрыва.

Краткая теория

Расчет идеальной работоспособности ВВ

Из первого закона термодинамики следует, что изменение внутренней энергии газов равно количеству тепла, сообщенного окружающей среде и произведенной работе:

$$-dE = dQ + pdV. \quad (2.1)$$

Если техническим назначением взрыва ВВ является производство механической работы, то затраты на теплообмен продуктов взрыва (ПВ) с окружающей средой являются энергетическими потерями (dQ). Эти потери называются термодинамическими.

Идеальным с точки зрения отсутствия термодинамических потерь является адиабатический процесс расширения ПВ, т.е. $dQ = 0$. В этом случае изменение внутренней энергии ПВ равно количеству работы, совершаемой газами, т.е.

$$-dE = pdV = dA. \quad (2.2)$$

В реальных условиях взрывания наиболее близким к адиабатическому процессу является взрыв ПВ в воздушной среде, а, например, в горных породах термодинамические потери возрастают. Они существенно выше в пористых, хрупких, легко дробимых породах и минимальны в пластичных средах типа глин.

Мерой идеальной работоспособности ВВ может служить максимальная работа, которую совершают ПВ при своем адиабатическом расширении до давления окружающей среды (воздушной, водной, горной), т.е. когда остаточное давление ПВ уравновешивается противодавлением среды атмосферным, гидростатическим или горным давлением.

Идеальная работоспособность ВВ является одной из важнейших энергетических характеристик ВВ. Она дополняет теплоту взрыва, показывая теоретическую возможность реализации энергетического потенциала ВВ в механическую работу.

Идеальную работоспособность (полную идеальную работу взрыва) можно определить, как разность между значениями внутренней энергии ПВ в момент их образования и к концу расширения:

$$\text{А}_\text{и} = \int dE = \int_{T_1}^{T_2} \overline{C_V} dT = \overline{C_V} * (T_1 - T_2) = \overline{C_V} T_1 \left(1 - \frac{T_2}{T_1}\right) = Q_{\text{взр}} \left(1 - \frac{T_2}{T_1}\right) \quad (2.3)$$

где $\overline{C_V}$ - средняя теплоемкость продуктов взрыва в интервалах изменения температуры взрыва от T_1 до T_2;

T_1 - начальная температура взрыва;

T_2 - конечная температура ПВ.

Для газовых взрываемых систем, расширение ПВ которых происходит вдоль изоэнтропы вида pV' = const, пользуясь уравнением Клайперона $(PV'=RT)$, получаем

$$\frac{T_2}{T_1} = \left(\frac{V_1}{V_2}\right)^{y-1} = \left(\frac{P_2}{P_1}\right)^{\frac{y-1}{y}} \quad (2.4)$$

Окончательно получаем

$$A_u = Q_{\text{взр}} \left(1 - \frac{T_2}{T_1}\right); \quad (2.5)$$

$$A_u = Q_{\text{взр}} \left(1 - \left(\frac{V_1}{V_2}\right)^{y-1}\right); \quad (2.6)$$

$$A_u = Q_{\text{взр}} \left(1 - \left(\frac{P_2}{P_1}\right)^{\frac{y-1}{y}}\right); \quad (2.7)$$

где $Q_{\text{взр}}$- потенциальная энергия ВВ (полная тепловая энергия), кДж/кг;

V_1 и V_2 - начальный и конечный удельные объемы ПВ, м^3/кг;

P_1 и P_2 - начальное и конечное давление ПВ, Па;

$y = Cp/Cv$ – показатель адиабаты.

Эти же формулы могут быть использованы для расчета A_u конденсированных ВВ.

При взрыве в воздухе (P_2 = 1,01·10^{5}Па) полная идеальная работа взрыва определяется

$$A_u = Q_{\text{взр}} \left(1 - \left(\frac{1{,}01 * 10^5}{P_{\text{пв}}}\right)^{\frac{y-1}{y}}\right), \text{ кДж/кг.} \quad (2.8)$$

Расчет полного термодинамического КПД взрыва

Вышеприведенную формулу (2.8) можно представить в виде

$$A_u = Q_{\text{взр}} - q_T \quad (2.9)$$

Здесь величина $q_T = Q_{\text{взр}} - A_u = C_{v2} * T_2$ - термодинамические потери энергии ВВ в продуктах взрыва по достижении ими атмосферного давления. Это остаточное тепло идет на свечение ПВ после их расширения.

Отношение идеальной работоспособности к выделившейся тепловой энергии взрыва называется идеальным термодинамическим КПД взрыва

$$\eta = \frac{A_u}{Q_{\text{взр}}}, \tag{2.10}$$

или с учетом формулы (2.7)

$$\eta = 1 - \left(\frac{P_2}{P_1}\right)^{\frac{y-1}{y}}, \tag{2.11}$$

Идеальный термодинамический КПД взрыва определяет часть тепловой энергии, которая может быть использована для совершения механической работы взрыва.

Величины идеальной работоспособности (A_u) и полного термодинамического КПД (П) существенно зависят от свойств продуктов взрыва, влияющих на показатель адиабаты, $y = Cp/Cv$. Если в ПВ содержится 2/3 молекул двухатомных газов и 1/3 — одноатомных (гексоген), то y = 1,25. Если в ПВ содержится 2/3 трехатомных газов и 1/3 двухатомных (нитроглицерин), то y = 1,2. Величина y снижается (соответственно снижается A_u и η), если в ПВ содержатся четырех и пятиатомные газы, а также твердые продукты (NaCl, $A1_2O_3$ и др.). В этих случаях y = 1,15, и 1,05.

Пример 1. Определить полную идеальную работоспособность и термодинамический КПД аммонита 6ЖВ при плотности заряжания 900 кг/м^3 и следующих параметрах взрывного превращения:

$V_{пв}$= 0,86 м^3/кг,

$Q_{взр}$ = 4300кДж/кг;

$T_{взр}$=2600^o К.

Для расчета показатель адиабаты принимается y=1,25. Определение давления ПВ при взрыве аммонита 6ЖВ:

$$P = \frac{1{,}01*10^5*0{,}86*2600*900}{273*(1-0{,}001*0{,}86*900)} = 3{,}3 * 10^9,$$

Откуда полная идеальная работоспособность

$$A_u = Q_{\text{взр}}\left(1 - \left(\frac{1{,}01 * 10^5}{P_{\text{пв}}}\right)^{\frac{y-1}{y}}\right) = 4300 * \left(1 - \left(\frac{1{,}01 * 10^5}{3{,}3 * 10^9}\right)^{\frac{1{,}25-1}{1{,}25}}\right) = 3762{,}2\,\frac{\text{кДж}}{\text{кг}}.$$

Полный термодинамический КПД взрыва

$$\eta = \frac{A_u}{Q_{\text{взр}}} = \frac{3762{,}2}{4300} = 0{,}875$$

или $\eta = 87{,}5\%$

Практико-ориентированное задание №3

Расчет скважинного заряда при уступной отбойке на карьере

Цель работы – овладение методикой расчета параметров буровзрывных работ при использовании скважинной отбойки при открытой разработке месторождений полезных ископаемых.

Краткая теория

При разработке месторождений открытым способом (на карьерах и разрезах) используют в основном метод скважинных зарядов. В слабых породах используют вращательное (шнековое) бурение. В более прочных породах преобладает шарошечное бурение. В крепчайших породах с коэффициентом крепости f > 14-16 наиболее эффективно термическое бурение скважин. Скважины на уступе карьера располагают в один или несколько рядов по различным схемам в зависимости от свойств разрушаемых пород и требуемой конфигурации забоя. Расположение скважин на уступе характеризуют следующими показателями (рис. 1):

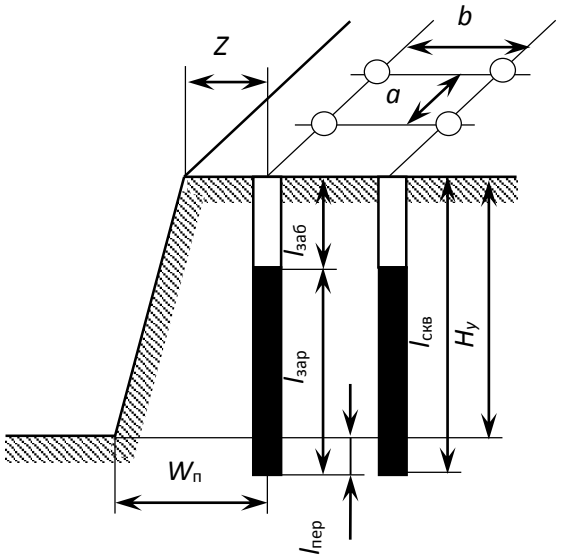


Рис. 3.1. Схема расположения скважин на уступе

$H_у$ – высота уступа, м;
$W_п$ – линия сопротивления по подошве (ЛСПП);
a – расстояние между скважинами, м;
b – расстояние между рядами скважин, м;
Z – безопасное расстояние от оси скважины до верхней бровки уступа, м;
$l_{зар}$ – длина заряда, м;
$l_{пер}$ – длина перебура, м;
$l_{заб}$ – длина забойки, м;
$l_{скв}$ – длина (глубина) скважины, м;
α - угол откоса уступа.

Характеристики и расположение скважин в первую очередь зависят от удельного расхода ВВ. Оптимальная величина удельного расхода ВВ определяется множеством факторов. При этом определяющую роль играют свойства разрушаемого массива, размеры его блоков (расстояние между трещинами), степень и качество заполнения трещин, их расположение относительно вектора смещения породы и т. п. Учесть все эти факторы в единой теоретической модели не представляется возможным. Поэтому во многом оптимальные параметры процесса определяются путем опытного взрывания и интерпретации его результатов на основе общефизических представлений.

Удельный расход «эталонного» ВВ ($q_э$) может быть определен по данным таблицы 1.

Таблица 3.1

Эталонный удельный расход ВВ, кг/м^3

Категория пород по степени трещиноватости	Коэффициент крепости горных пород f по шкале проф. М. М. Протодьяконова			
	2 - 6	6 - 10	10 – 14	более 14
I	0,2	0,25	0,3	0,35
II	0,3	0,35	0,4	0,45
III	0,45	0,5	0,6	0,67
IV	0,67	0,75	0,8	0,9
V	0,9	1,0	1,1	1,2

Реальный удельный расход ВВ рекомендуется определять путем введения серии поправочных коэффициентов, учитывающих тип ВВ, конструкцию заряда, наличие свободных поверхностей, заданную степень дробления и др:

$$q_р = q_э \cdot e \cdot k_d \cdot \frac{\rho_{гп}}{2{,}6}, \qquad (3.1)$$

где $q_э$ – эталонный расход Граммонита 79/21, кг/м^3;

e – коэффициент относительной работоспособности ВВ, определяемый по формуле

$$e = A_{эт} / A_{ВВ}, \qquad (3.2)$$

$A_{эт}$ = 3560 кДж/кг - идеальная работа взрыва эталонного ВВ (Граммонит 79/21);

$A_{ВВ}$ – идеальная работа взрыва принятого ВВ, кДж/кг;

k_d - поправочный коэффициент на кондиционный размер куска;

$\rho_{гп}$ – плотность горных пород, т/м^3.

Таблица 3.2

Значения поправочного коэффициента на кондиционный размер куска k_d

Допустимый размер крупных кусков, мм	250	500	750	1000	1250	1500
k_d	1,3	1,0	0,85	0,75	0,7	0,65

Диаметр заряда определяется диаметром рабочего органа буровой машины (долота, коронки или резца) $d_{скв}$ с учетом характеристик разрабатываемых пород:

$$d_{зар} = k_р d_{скв}, \quad (3.3)$$

где $k_р$ = 1,06 – (f – 2) 0,003 – коэффициент расширения скважин.

Удельная вместимость 1 м скважины:

$$P = 0{,}785 \cdot d_{зар}^2 \cdot \Delta, \quad (3.4)$$

где Δ, кг/м^3 - плотность заряда в скважине.

Линия сопротивления по подошве (ЛСПП) для одиночной скважины:

$$W_п = 0{,}9 \cdot \sqrt{\frac{P}{q_р}}, \quad (3.5)$$

В соответствии с правилами безопасности при бурении первого ряда скважин станок располагается перпендикулярно верхней бровке уступа, за призмой обрушения, но не ближе 2 м от верхней бровки уступа, поэтому минимально допустимая по условиям безопасного расположения бурового станка линия сопротивления по подошве (W_{min}) для вертикальных скважин рассчитывается из соотношения

$$W_{min} = H_у \operatorname{ctg}\alpha + Z, \quad (3.6)$$

где α – угол откоса рабочего уступа, град;

Z – ширина призмы обрушения, $Z \geq 2$ м.

Величина принимаемой при расчетах линии сопротивления по подошве ($W_п$) должна удовлетворять соотношению:

$$W_{min} < W_п. \quad (3.7)$$

Если значения $W_{min} > W_п$, это означает, что принятые параметры скважин и характеристики ВВ не обеспечивают проработку подошвы уступа. В этом случае следует изменить диаметр скважины, тип применяемого ВВ или перейти к наклонным скважинам.

Глубина перебура:

$$l_{пер} = (10 \div 15) \cdot d_{скв} \quad (3.8)$$

Глубина забойки:

$$l_{\text{заб}} = (20 \div 35) \cdot d_{\text{скв}} \quad (3.9)$$

Глубина скважины:

$$l_{\text{скв}} = H_{\text{у}} + l_{\text{пер}} \quad (3.10)$$

Расстояние между скважинами в ряду:

$$a = mW_{\text{п}}, \quad (3.11)$$

где m = 0,8 – 1,4 - коэффициент сближения скважин; меньшее значение m принимается для крепких пород.

Расстояние между рядами скважин:

$$b = (0{,}9\text{-}1{,}0)W_{\text{п}}. \quad (3.12)$$

Масса заряда в скважине:

$$Q = q_{\text{р}} \cdot a \cdot W_{\text{п}} \cdot H_{\text{у}} \quad (3.13)$$

Длина заряда:

$$l_{\text{зар}} = \frac{Q}{P}. \quad (3.14)$$

Задание: рассчитать параметры буровзрывных работ при скважинной отбойке в условиях открытой разработки месторождений полезных ископаемых.

Практико-ориентированное задание №4

Расчёт безопасных расстояний по разлету кусков породы при взрывании скважинных зарядов

Цель работы – овладение методикой расчета безопасных расстояний по разлету кусков породы при взрывании скважинных зарядов.

При определении зон, опасных по разлету отдельных кусков породы при взрывании скважинных зарядов на земной поверхности, следует выделять и отдельно рассчитывать безопасные расстояния для людей зданий и сооружений, машин и механизмов.

При взрывании скважинных зарядов рыхления (дробления) расстояние опасное для людей, рассчитывается по формуле:

$$r_{разл} = 1250 \cdot h_з \cdot \sqrt{\frac{f}{1 + h_{заб}} \cdot \frac{d}{a}} \qquad (4.1)$$

где $h_з$ – коэффициент заполнения скважины взрывчатым веществом, определяемый по формуле

$$h_з = \frac{l_{зар}}{l_c}, \qquad (4.2)$$

$l_{зар}$ – длина заряда ВВ, м;

$l_{зар}$ – глубина скважины, м;

f – коэффициент крепости горных пород;

$h_з$ – коэффициент заполнения скважины забойкой:

$$h_з = \frac{l_{заб}}{l_н}, \qquad (4.3)$$

$l_{зар}$ – длина забойки, м;

$l_н$ – длина свободной от заряда верхней части скважины, м;

d – диаметр взрываемой скважины, м;

a – расстояние между скважинами в ряду или между рядами, м.

Расчётные значения радиусов разлета осколков округляются в большую сторону до значения, кратного 50 м. Окончательно принимаемое безопасное расстояние не должно быть меньше указанных в табл. 4.1.

Таблица 4.1

Минимально допустимые безопасные расстояния для людей при взрывных работах

№ п/п	Методы взрывных работ	Минимально допустимые радиусы опасных зон, м
1.	Наружных зарядов, в том числе кумулятивных	300 (по проекту)
2.	Шпуровых зарядов	200
3.	Котловых шпуров	200
4.	Малокамерных зарядов (рукавов)	200*
5.	Скважинных зарядов	Не менее 200**
6.	Котловых скважин	Не менее 300
7.	Камерных зарядов	Не менее 300

* - при взрывании на косогорах в направлении вниз по склону величина радиуса опасной зоны должна приниматься не менее 300 м.

** - радиус опасной зоны указан для взрывания зарядов с забойкой.

Практико-ориентированное задание №5

Составление паспорта буровзрывных работ на проведение горизонтальной горной выработки.

Цель работы – овладение методикой расчета параметров буровзрывных работ (БВР) при проведении подземных горных выработок и составления паспорта БВР.

Краткая теория

Проведение горных выработок буровзрывным способом осуществляется по паспортам буровзрывных работ (БВР). Паспорта утверждаются руководителем того предприятия, которое ведёт взрывные работы. С паспортом БВР ознакомляется весь персонал, осуществляющий буровзрывные работы в данной выработке.

Паспорт составляется для каждого забоя выработки на основании расчетов и утверждается с учётом результатов не менее трёх опытных взрываний. По разрешению руководителя предприятия (шахты, рудника) допускается вместо опытных взрываний использовать результаты взрывов, проведённых в аналогичных условиях.

Расчёт, необходимый для составления паспорта, сводится к выбору и определению основных параметров буровзрывных работ для проведения выработки. К основным параметрам относятся: тип взрывчатого вещества (ВВ) и средства инициирования (СИ), диаметр и глубина шпуров, тип вруба, удельный заряд ВВ, количество шпуров и конструкции зарядов, расход взрывчатых материалов.

5.1. Общие положения

Буровзрывной комплекс работ занимает от 30 до 60 % общего времени проходческого цикла в зависимости от горнотехнических условий.

При проведении горных выработок буровзрывные работы должны обеспечить заданные размеры и форму поперечного сечения выработки, точное оконтуривание её профиля, качественное дробление породы и сосредоточенное размещение её в забое, нормативную величину коэффициента излишка сечения (КИС), высокий коэффициент использования шпуров (КИШ).

Эти требования соблюдаются при условии правильного выбора параметров буровзрывных работ: типа ВВ, типа и параметров вруба, величины и конструкции заряда в шпуре, диаметра и глубины шпуров, числа и расположения

их в забое, способа и очередности взрывания зарядов, типа бурового оборудования, качества буровых работ, организации проходческих работ и т. д.

5.2. Определение параметров буровзрывных работ

5.2.1. Выбор взрывчатых материалов

При выборе взрывчатых материалов (ВМ) руководствуются требованиями безопасного производства взрывных работ, регламентированных «Правилами безопасности при взрывных работах» [6] с учетом физико-механических свойств горных пород и горнотехнических условий.

Рекомендуемые взрывчатые вещества (ВВ) [7] в зависимости от условий работ, обводнённости и крепости пород, способа заряжания представлены в табл. 5.1.

В шахтах, не опасных по газу или пыли, при проведении горизонтальных выработок допускается применение электрического взрывания и систем неэлектрического взрывания с низкоэнергетическими волноводами.

Таблица 5.1

Рекомендуемые ВВ

Условия взрывных работ	Условия размещения зарядов	Коэффициент крепости пород *f*	Тип ВВ	Способ заряжания
Выработки, не опасные по взрыву газа или пыли	Сухие шпуры	до 12	Гранулит М Граммонит 79/21 Гранулит АС-4В Гранулит-игданит	Механизированный
			Аммонит № 6ЖВ	Ручной
		более 12	Гранулит АС-8В	Механизированный
			Аммонал М-10 Детонит М Аммонал скальный № 1	Ручной
	Обводнённые шпуры	до 12	Аммонит № 6ЖВ	Ручной
		более 12	Аммонал М-10 Детонит М Аммонал скальный № 1	
Выработки, опасные по взрыву газа и пыли	Сухие и обводнённые шпуры	Для взрывания по породе	Аммонит АП–5ЖВ	Ручной
		Для взрывания по углю с учетом степени опасности	IV кл. Аммонит Т-19 Аммонит ПЖВ-20 V кл. Угленит Э-6 VI кл. Угленит 12ЦБ	
	Для водораспыления	Открытый заряд	Ионит	

На угольных шахтах, опасных по газу или пыли, разрешается только взрывание с применением электродетонаторов. При полном отсутствии в забоях проходимых выработок метана или угольной пыли, допускается применение непредохранительных ВВ II класса и электродетонаторов мгновенного, короткозамедленного и замедленного действия со временем замедления до 2 с без ограничения количества приёмов и пропускаемых серий замедлений.

Основные характеристики ВВ, применяемых при проходке подземных горных выработок, приведены в табл. 5.2.

Таблица 5.2

Характеристики ВВ

Наименование ВВ	Идеальная работа взрыва, кДж/кг	Плотность в патронах или насыпная, кг/м³	Удельная объемная энергия взрыва при средней плотности, кДж/кг	Коэффициент взрывной эффективности при плотности ВВ 1000 кг/м³	Расстояние передачи детонации между патронами, см		Диаметр патронов, мм	Масса патрона, кг	Длина патрона, мм
					Сухие	После выдержки в воде			
Аммонит № 6ЖВ	3561	1000-1100	3917	1,0	5-9	3-6	32 36	0,2 0,25	250 250
Аммонал М-10	4410	950-1100	4520	1,15	4	3	32	0,2	250
Детонит М	4316	1000-1200	4963	1,27	8-18	5-15	32 36	0,2 0,25	250 250
Аммонал скальный № 1	4420	1000-1100	4641	1,18	8-14	5-10	32 36	0,2 0,25	250 250
Аммонит АП-5ЖВ	2991	1000-1150	3215	0,82	5-10	2-7	36	0,3	250
Аммонит Т-19	2564	1000-1200	2820	0,72	7-12	4-8	36	0,3	240
Угленит Э-6	1946	1100-1250	2289	0,58	5-12	3-10	36	0,3	240
Угленит 12 ЦБ	1770	1200-1350	2256	0,58	4	2	36	0,3	240
Ионит	1482	1000-1200	1704	0,44	–	–	36	0,3	240
Гранулит М	3163	780-820 (1000-1150)*	3384	0,86					
Гранулит АС-4В	3645	800-850 (1100-1200)*	4192	1,07					
Гранулит АС-8В	3997	800-850 (1100-1200)*	4597	1,17					
Гранулит-игданит	3150	800-850 (1100-1200)*	3760	0,85					

* Плотность при механизированном заряжании

Технические характеристики электродетонаторов, применяемых при проведении горных выработок, приведены в табл. 5.3. Все электродетонаторы являются водоустойчивыми.

Таблица 5.3

Электродетонаторы для шахт и рудников

Тип электродетонаторов	Кол-во серий	Интервалы замедления, мс (с)	Безопасный ток, А	Гарантийный ток, А	Сопротивление, Ом	Примечание
ЭД-8Ж(Э)	1	0	0,2	1,0	1,8-3,6	Электродетонаторы непредохранительные нормальной чувствительности
ЭД-3-Н	36	20, 40, 60, 80, 100, 125, 150, 175, 200, 250, 300, 350, 400, 450, 500, 600, 700, 800, 900, 1000, 1250, 1500, 1750, 2000, 2500, 3000, 3500, 4000, 4500 мс 5,6,7,8,9,10 с				
ЭД-1-8-Т	1	0	1,0	5,0	0,5-0,75	Электродетонаторы непредохранительные пониженной чувствительности к блуждающим токам
ЭД-3-Т	36	20, 40, 60, 80, 100, 125, 150, 175, 200, 250, 300, 350, 400, 450, 500, 600, 700, 800, 900, 1000, 1250, 1500, 1750, 2000, 2500, 3000, 3500, 4000, 4500 мс 5,6,7,8,9,10 с				
ЭДКЗ-ОП	1	0	0,2	1,0	1,8-3,6	Электродетонаторы предохранительные нормальной чувствительности
ЭДКЗ-П	5	25, 50, 75, 100, 125 мс	0,2	1,0	1,8-3,6	
ЭДКЗ-ПМ	7	15, 30, 45, 60, 80, 100, 120 мс	0,2	1,0	1,8-3,6	
ЭД-КЗ-ПКМ	9	4, 20, 60, 80, 100, 125, 150, 175, 200 мс	0,2	1,0	1,8-3,6	

Детонирующие шнуры ДША, ДШВ и ДШЭ-12 и др. применяют при необходимости одновременного взрывания врубовых, нижних подошвенных шпуров, а также в рассредоточенных зарядах с целью передачи детонации всем частям шпурового заряда.

В последние годы на подземных взрывных работах получил широкое распространение новый способ инициирования зарядов ВВ – система неэлектрического взрывания различных модификаций: Нонель (Швеция), СИНВ, Эдилин (Россия) и др.

В табл. 3.4 представлены характеристики систем СИНВ и ДБИ для взрывных работ в рудниках и угольных шахтах, где допущено применение непредохранительных взрывчатых веществ II класса.

Устройства СИНВ-Ш и ДБИ3 служат для трансляции инициирующего сигнала и инициирования боевиков шпуровых зарядов с заданной временной задержкой. В боевике каждого шпурового заряда размещается КД устройства СИНВ-Ш или ДБИ3 заданного интервала замедления.

Таблица 5.4

Характеристики систем неэлектрического инициирования

Устройство	Интервал замедления, мс	Назначение
СИНВ-Ш	0, 25, 42, 55, 67, 109, 125, 150, 176, 200, 250, 300, 350, 400, 450, 500, 600, 700, 800, 900, 1000, 2000, 3000, 4000, 5000, 6000, 7000, 8000, 9000, 10000	Изготовление патронов-боевиков
ДБИ3	0, 17, 25, 42, 55, 67, 109, 125, 150, 176, 200, 250, 300, 350, 400, 450, 500, 600, 700, 800, 900, 1000, 2000, 3000, 4000, 5000, 6000, 7000, 8000, 9000, 10000	

Примечание. Интервалы замедлений приведены при длине ударно-волновой трубки (УВТ) 1 м. Добавление каждого метра длины УВТ увеличивает время замедления на 0,5 мс.

УВТ, выходящие из шпуров, инициируются одновременно от устройств СИНВ-П мгновенного действия (СИНВ-П-0), смонтированных в единую сеть. Длина УВТ стартового устройства (магистральной части сети) выбирается из условия безопасного подрыва и может составлять несколько сот метров.

При проходке подземных выработок обычно применяется следующая схема: УВТ, выходящие из шпуров, собираются в связки (пучки), которые соединяются в единую сеть детонирующим шнуром. Детонирующий шнур обвязывается вокруг связки двойной петлёй. Количество УВТ в одной связке не должно превышать 15 шт. Инициирование сети из детонирующего шнура производится электродетонатором или электрозажигательной трубкой.

5.2.2. Выбор типа вруба и глубины шпуров

Расположение шпуров в забое, величина заходки и показатели взрыва во многом определяются типом вруба. Врубы по характеру действия делятся на две группы:

– врубы с наклонными к оси выработки шпурами – наклонные врубы;

– врубы с параллельными к оси выработки шпурами – прямые врубы.

Тип вруба и глубину шпуров с учетом горнотехнических условий следует принимать по данным табл. 5.5.

Таблица 5.5

Тип вруба и глубина шпуров

Тип буровой техники	Сечение выработки, м^2	
	менее 6	более 6
Переносные перфораторы, ручные электросвёрла и пневмосвёрла	Прямые врубы при глубине шпуров более 1,5 м	Наклонные врубы при глубине шпуров не более (0,35–0,5) ширины выработки; прямые врубы при глубине шпуров до 2–2,5 м
Установки механизированного бурения	–	Прямые врубы с максимально возможной глубиной по технической характеристике машины

Из наклонных врубов наибольшее распространение имеет вертикальный клиновой вруб. Другие врубы с наклонными шпурами (пирамидальный, горизонтальный клиновой и его разновидности, веерный и т. д.) не получили достаточно широкого распространения из-за сложности обуривания и узкой рекомендуемой области применения (забои, проводимые по пласту угля при малой его мощности, при наличии слабых прослоек пород по забою, при ярко выраженном контакте слабых пород с более крепкими вмещающими породами и т. д.).

Высокая эффективность врубов с наклонными шпурами и преимущества их по сравнению с прямыми врубами достигаются только при ограниченной глубине шпуров и определенном сечении выработки. При проходке выработок в крепких породах ($f > 12$) с применением вертикального клинового вруба длина заходки не превышает обычно 0,35 ширины выработки (B) из-за технической невозможности бурения врубовых шпуров под углом наклона, обеспечивающим эффективную работу вруба. При глубине шпуров более 0,5 B, применении буровых кареток, а также в выработках малого сечения (менее 6 м^2) наиболее эффективны прямые врубы, глубина которых ограничивается точностью бурения в зависимости от типа буровой техники.

При глубине шпуров, принятой по рекомендациям табл. 5.5, проектную величину КИШ следует принимать равной 0,85-0,95 с учётом крепости горных пород.

5.2.3. Выбор конструкции и параметров врубов

5.2.3.1. Вертикальный клиновой вруб

При ограниченной глубине шпуров (1,2–2,0 м) наибольшее распространение имеет вертикальный клиновой вруб. Параметры вертикального клинового вруба в зависимости от крепости пород применительно к аммониту № 6ЖВ в патронах диаметром 32 мм в шпурах диаметром 42 мм ориентировочно по данным практики можно принять по данным табл. 5.6.

Таблица 5.6

Параметры вертикального клинового вруба

Группа крепости пород по СНиП	Коэффициент крепости пород *f*	Расстояние по вертикали между парами шпуров, мм	Количество шпуров во врубе при сечении выработки ($м^2$)		Угол наклона шпуров к плоскости забоя α, град.
			до 12	более 12	
IV-V	1-6	500	4	4-6	75-70
VI	6-8	450	4-6	6-8	68
VII	8-10	400	6-8	8-10	65
VIII	10-13	350	8-10	10-12	63
IX	13-16	300	10-12	12-14	60
X	16-18	300	10-12	12-14	58
XI	20	250	10-12	12-14	55

При применении другого типа ВВ и изменении диаметра шпуров расстояние между парами врубовых шпуров определяется с учётом поправочного коэффициента по формуле:

$$k = 1{,}25\sqrt{e}\cdot d_з/d, \qquad (5.1)$$

где e – коэффициент взрывной эффективности (см. табл. 5.2),

$d_з$ – диаметр заряда,

d – диаметр заряжаемой полости (шпура или скважины).

С увеличением коэффициента крепости пород (см. табл. 5.6) угол наклона врубовых шпуров к плоскости забоя уменьшается. Поэтому предельную глубину вертикального клинового вруба (рис. 5.1) при бурении шпуров ручными перфораторами в зависимости от коэффициента крепости пород и ширины выработки рекомендуется принимать по табл. 5.7 или по формуле:

$$h_{вр} = 0{,}25B\,\mathrm{tg}\frac{\alpha}{2} - 0{,}3, \qquad (5.2)$$

где B – ширина выработки, м

α – угол наклона шпуров к плоскости забоя, град. (см. рис. 3.1).

Таблица 5.7

Предельная глубина вертикального клинового вруба $h_{вр}$, м

Ширина выработки, м	Коэффициент крепости пород f						
	2-5	6-7	8-9	10-12	13-15	16-17	18-20
2,0	1,3	1,2	1,1	1,0	0,9	0,8	0,7
2,5	1,7	1,6	1,4	1,3	1,2	1,1	1,0
3,0	2,1	1,9	1,7	1,6	1,4	1,3	1,2
3,5	2,4	2,2	1,9	1,7	1,6	1,5	1,4
4,0	2,8	2,6	2,2	2,1	1,9	1,8	1,7
4,5	3,2	2,9	2,5	2,4	2,3	2,0	1,9
5,0	3,5	3,1	2,9	2,7	2,4	2,2	2,1

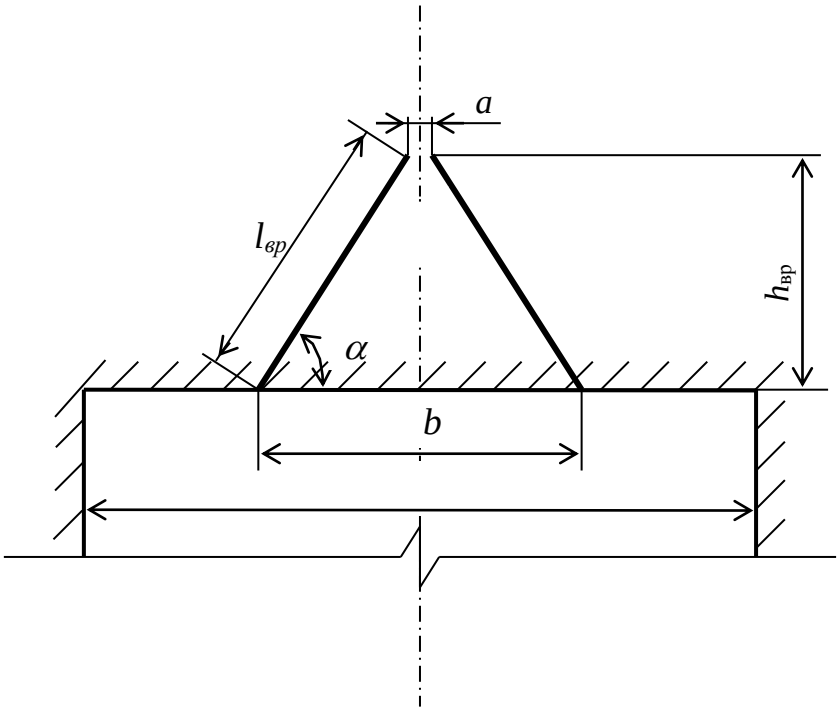


Рис. 5.1. Схема вертикального клинового вруба

Глубину врубовых шпуров следует принимать на 0,1-0,2 м больше длины вспомогательных и оконтуривающих шпуров:

$$h_{вр} = h_{шп} + (0,1 \div 0,2), \quad (5.3)$$

где $h_{шп}$ – глубина (длина) вспомогательных и оконтуривающих шпуров, м.

Длину шпуров клинового вруба определяют с учетом угла их наклона:

$$l_{вр} = h_{вр} / \sin \alpha, \quad (5.4)$$

где α – угол наклона шпуров к плоскости забоя, град.

Расстояние между устьями в паре шпуров клинового вруба определяют по зависимости:

$$b = 2\, h_{вр} / \mathrm{tg}\, \alpha + a, \quad (5.5)$$

где *а* – расстояние между забоями пары сходящихся шпуров клинового вруба, м (в зависимости от коэффициента крепости пород *а* = 0,15-0,2 м).

После расчета основных параметров вруба следует проверить графическим способом техническую возможность обуривания вертикального клинового вруба с учетом принятого бурового оборудования. С этой целью в масштабе 1:20 – 1:50 вычерчивается план забоя (вид сверху) с наложением пары врубовых шпуров и обязательного соблюдения принятого угла наклона шпуров α.

Если ширина выработки не позволяет с учётом габаритов бурильной машины (см. рис. 3.1) обурить рассчитанный вруб, то следует уменьшить глубину врубовых шпуров или принять другой тип вруба. При применении бурильных установок стрела автоподатчика должна свободно размещаться при заданном угле наклона врубовых шпуров между точкой забуривания врубового шпура и стенкой выработки. При бурении переносными перфораторами или ручными электросвёрлами врубовые шпуры могут буриться в 2-3 приёма комплектом штанг различной длины (например: 0,5 м; 1,2 м; 2,0 м).

5.2.3.2. Прямые врубы

Из прямых врубов (рис. 5.2) наиболее широкое распространение получили следующие конструкции: призматический симметричный *а*; щелевой *б*; спиральный *в* и двойной спиральный *г*.

Прямые врубы представляют собой комбинацию параллельных заряженных шпуров, взрыв которых работает на компенсационную полость, создаваемую холостым шпуром (системой холостых шпуров) или скважиной. Взрыв последующих шпуров расширяет врубовую полость до размеров, достаточных для последующей отбойки вспомогательными (отбойными) шпурами с постоянной, предельной для конкретных горнотехнических условий линией сопротивления.

Параметры прямых врубов принимаются в зависимости от конструкции вруба, крепости пород, диаметра компенсационной полости (шпура или скважины, их количества). Наиболее ответственными являются первый шпур или серия шпуров, взрываемых на компенсационную полость. Поэтому для повышения эффективности взрыва целесообразно в качестве компенсационной полости использовать шпур увеличенного диаметра, систему холостых шпуров или скважину.

Расстояние между компенсационной полостью и первым взрываемым шпуром или серией шпуров (пробивное расстояние W_1) рекомендуется принимать для шпуров диаметром 42 мм при использовании аммонита № 6 ЖВ в патронах диаметром 32 мм по табл. 5.8.

При применении другого типа ВВ или другой конструкции заряда пробивное расстояние W_1, определенное по табл. 1.7, умножается на поправочный коэффициент, рассчитанный по формуле (5.1).

Пробивные расстояния W_1 учитывают возможное отклонение шпуров от заданного направления. С увеличением глубины шпуров растет их отклонение, поэтому при глубине шпуров до 2,5 м достаточно принимать диаметр первона-

чальной компенсационной полости не более 50-60 мм; при шпурах глубиной до 3 м – 70-105 мм и при шпурах до 4 м – 105-125 мм, что позволит сохранить КИШ в пределах 0,85-0,9.

Пробивные расстояния для шпуров, взрываемых вторыми и последующими во врубе (W_1, W_2, W_3 и т. д.), принимаются равными 0,8 от ширины (наибольшего размера) ранее образованной врубовой полости.

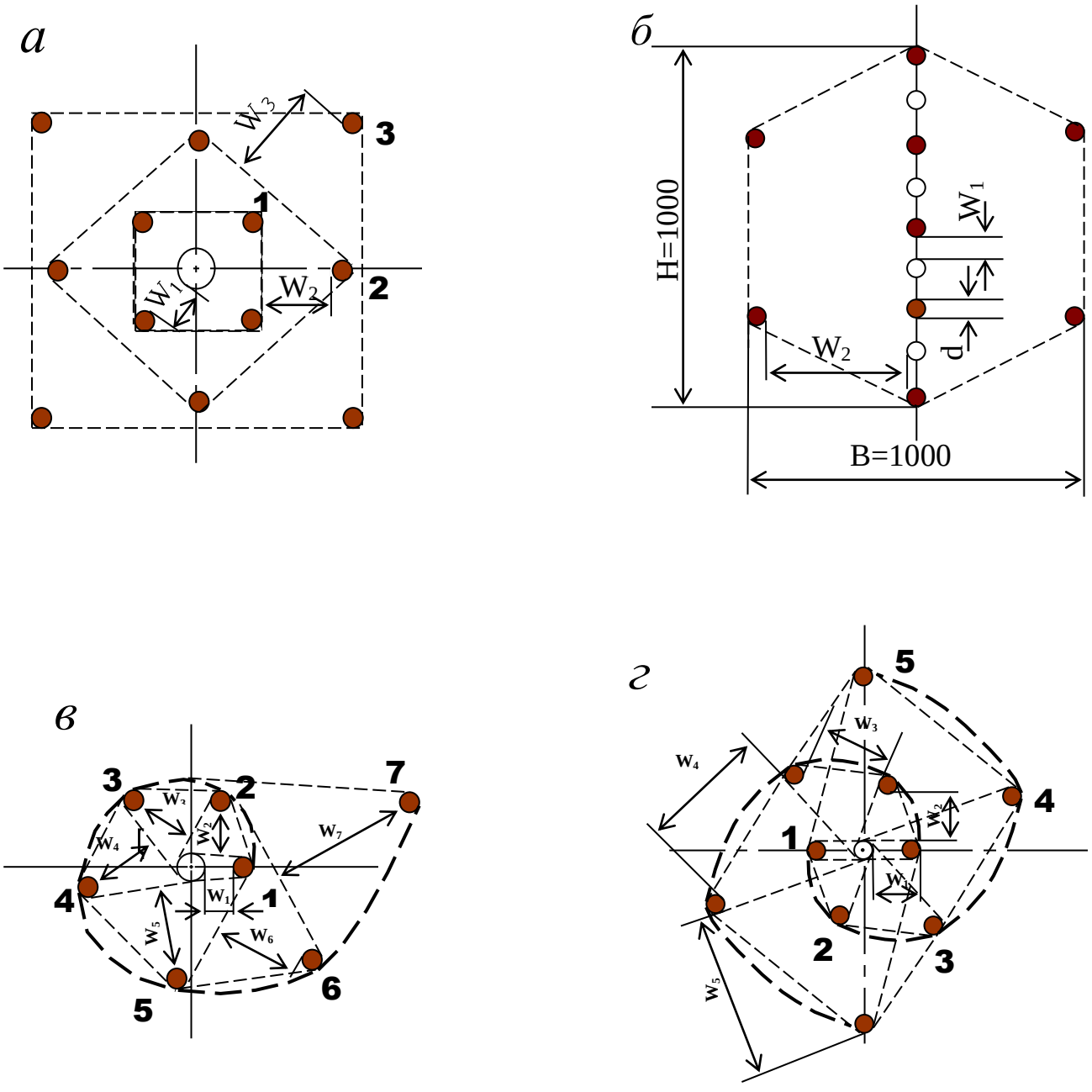


Рис. 5.2. Конструкции прямых врубов:
а – призматический симметричный; *б* – щелевой; *в* – спиральный;
г – двойной спиральный

Таблица 5.8

Пробивные расстояния W_1, мм

Диаметр холостого шпура или скважины D_x, мм	Коэффициент крепости пород f						
	2-5	6-7	8-9	10-12	13-15	16-17	18-20
42	115	100	90	80	60	60	55
51	125	110	100	90	80	70	65
56	150	130	110	95	90	85	75
75	170	150	130	105	100	95	85
105	190	170	150	120	110	105	95
125	230	200	170	140	120	110	100

Например, пробивное расстояние для шпуров спирального вруба, взрываемых вторыми, т. е. на обнаженную поверхность, образованную взрывом первого шпура, определяют по данным табл. 3.9 или по зависимости, мм:

$$W_2 = 0{,}8 \cdot (W_1 + D_x + d), \qquad (5.6)$$

где W_1 – пробивное расстояние для первого шпура (см. табл. 5.7);

D_x – диаметр компенсационной полости (холостого шпура или скважины);

d – диаметр заряженных шпуров.

Пробивные расстояния (W_2, W_3 и т. д.) для любого типа вруба могут быть определены графически путем последовательного построения расширяющейся врубовой полости (см. рис. 5.2) в масштабе 1:5.

Таблица 5.9

Пробивные расстояния W_2, мм

Диаметр холостого шпура или скважины D_x, мм	Коэффициент крепости пород f						
	2-5	6-7	8-9	10-12	13-15	16-17	18-20
42	170	150	140	130	120	115	110
51	180	160	150	140	130	120	115
56	210	180	170	160	150	140	130
75	260	210	200	185	170	150	140
105	300	260	240	215	200	185	175
125	340	300	270	250	230	220	215

Расчёты и построения выполняются до тех пор, пока не образуется врубовая полость размером в пределах от 0,9×0,9 до 1,2×1,2 м. Такой размер врубовой полости является достаточным и позволяет в дальнейшем производить отбойку породы вспомогательными и оконтуривающими шпурами уже с постоянной линией наименьшего сопротивления, которая соответствует предельному пробивному расстоянию шпурового заряда при взрывании его на неограниченную свободную поверхность.

Предельные пробивные расстояния для вспомогательных и оконтуривающих шпуров при их диаметре 42 мм, заряженных аммонитом № 6ЖВ в патронах диаметром 32 мм, приведены в табл. 5.10.

Таблица 5.10

Предельные пробивные расстояния для вспомогательных и оконтуривающих шпуров, мм

Диаметр шпуров, мм	Коэффициент крепости пород *f*						
	2-5	6-7	8-9	10-12	13-15	16-17	18-20
42	1000-900	800	700	650	600	550	500

Опыт работы и расчёты показывают, что для образования врубовой полости сечением 0,8-1,4 м^2 необходимо принять 8-12 шпуров в зависимости от диаметра компенсационной полости и коэффициента крепости пород.

При применении щелевого вруба пробивное расстояние между заряжаемыми и холостыми шпурами принимается по данным табл. 5.8. Количество заряжаемых $N_з$ и холостых $N_х$ шпуров в щелевом врубе при их одинаковом диаметре определяют по формулам:

$$N_з = \frac{H}{2(W_1 + d)} + 1, \tag{5.7}$$

$$N_x = \frac{H}{2(W_1 + d)}, \tag{5.8}$$

где H – высота вруба, мм;

W_1 – пробивное расстояние, мм;

d – диаметр шпуров, мм.

Щелевой вруб (рис. 5.2, *б*) высотой 1000 мм с последующим расширением полости четырьмя шпурами дает высокие показатели в породах любой крепости и в выработках любого сечения. Пробивное расстояние W_2 для шпуров, взрываемых во вторую очередь, принимается равным 500 мм, а расстояние между шпурами по вертикали 700–800 мм в породах любой крепости.

Могут быть приняты другие конструкции прямых врубов, но принцип расчета их параметров будет аналогичен.

После расчета параметров принятого прямого вруба (пробивных расстояний и числа шпуров во врубе) определяется площадь вруба по забою выработки, что необходимо для определения количества остальных шпуров.

Глубина (длина) холостых и заряжаемых шпуров прямого вруба должна приниматься больше на 10 % по сравнению с глубиной вспомогательных и оконтуривающих шпуров.

При ведении взрывных работ на угольных шахтах, опасных по газу или пыли, при определении расстояний между смежными шпурами следует придерживаться дополнительных требований ЕПБ.

Расстояние от заряда ВВ до ближайшей поверхности должно быть не менее 0,5 м по углю и не менее 0,3 м по породе, в том числе и при взрывании зарядов в породном негабарите. В случае применения ВВ VI класса при взрывании по углю это расстояние допускается уменьшать до 0,3 м.

Минимально допустимые расстояния между смежными (взрываемыми последовательно) шпуровыми зарядами должны соответствовать данным табл. 5.11.

В породах с f >10 расстояние между смежными шпуровыми зарядами должно определяться нормативами, разработанными по согласованию с организацией-экспертом по безопасности работ.

Поскольку при применении прямых врубов с незаряжаемыми шпурами (см. рис. 3.2) данные требования, как правило, невыполнимы, то в угольных шахтах, опасных по газу или пыли, применяются прямые врубы, работающие по принципу воронкообразования.

Таблица 5.11

Минимально допустимые расстояния между смежными шпуровыми зарядами

Условия взрывания	Класса ВВ			
	II	III-IV	V	VI
По углю	0,6	0,6	0,5	0,4
По породе:				
при f <7	0,5	0,45	0,3	0,25
при f >10	0,4	0,3	–	–

В породах с коэффициентом крепости f < 6 обычно применяется прямой призматический вруб из 4–6 шпуров, которые располагаются по контуру окружности или периметру прямоугольника и взрываются одновременно в один приём. Расстояние между врубовыми шпурами следует принимать в соответствии с рекомендациями табл. 5.11. При проведении выработок в более крепких породах целесообразно использовать двойной призматический вруб из 6–8 шпуров с соблюдением тех же требований, которые взрываются короткозамедленно и последовательно в два приёма.

5.2.4. Определение удельного заряда ВВ

Величина удельного заряда ВВ, т. е. количество ВВ, необходимое для заряжания в шпуры единицы объёма обуренного массива (с учетом эффективного разрушения), зависит от крепости пород, сечения выработки, типа ВВ и условий взрывания (наличия обнажённой поверхности, структуры породы, плотности ВВ при заряжании, типа вруба).

Удельный заряд **при врубах с наклонными шпурами** рекомендуется определять по видоизменённой формуле Н. М. Покровского:

$$q = 0{,}1 \cdot f \cdot f_1 \cdot v / e, \qquad (5.9)$$

где q – удельный заряд ВВ, кг/м^3;

f – коэффициент крепости по М. М. Протодьяконову. В породах с $f > 16$ в формуле (5.9) принимать 0,08 вместо 0,1;

f_1 – коэффициент структуры породы;

v – коэффициент зажима породы, зависящий от площади поперечного сечения выработки и количества обнажённых поверхностей;

e – коэффициент взрывной эффективности заряда ВВ.

Коэффициент относительной эффективности заряда ВВ определяется из выражения

$$e = \frac{Q_{\text{ид}} \cdot \rho}{Q_{\text{ид.э}} \cdot \rho_{\text{э}}}, \qquad (5.10)$$

где $Q_{\text{ид}}$, $Q_{\text{ид.э}}$ – идеальная работа взрыва принятого и эталонного ВВ, кДж/кг;

ρ, $\rho_{\text{э}}$ – плотность заряда принятого и эталонного ВВ, кг/м^3.

Необходимые данные для расчета величины e принимают из табл. 5.2. При средней плотности заряда ВВ значение коэффициента взрывной эффективности можно принять из этой же таблицы. В качестве эталонного ВВ в формуле (5.10) и в табл. 5.2 принят аммонит № 6ЖВ.

Значение коэффициента структуры породы f_1 принимается из табл. 5.12.

Таблица 5.12

Коэффициент структуры породы f_1

Характеристика пород	Категория пород	Коэффициент структуры породы f_1
Монолитные, крепкие, вязкие, упругие	I	1,6
Трещиноватые, крепкие	II	1,2-1,4
Массивно-хрупкие	III	1,1
Сильнотрещиноватые, мелкослоистые, большинство пород угольных бассейнов	IV	0,8-0,9

Коэффициент зажима породы при одной обнаженной поверхности в забоях горизонтальных и наклонных выработок определяется из выражения

$$v = \frac{6{,}5}{\sqrt{S_{\text{вч}}}}, \qquad (5.11)$$

где $S_{\text{вч}}$ – площадь поперечного сечения вчерне, м^2.

При двух обнаженных поверхностях коэффициент зажима принимается в пределах v = 1,1–1,4 (меньшие значения – для больших сечений выработок).

При щелевом врубе на полную высоту выработки для определения удельного заряда для шпуров по забою, кроме врубовых, в формуле (5.9) следует принимать коэффициент зажима породы v = 1,4.

Прямые (дробящие) врубы требуют повышенного удельного заряда ВВ. По формуле (5.9) при применении прямых врубов определяют удельный заряд только для вспомогательных и оконтуривающих шпуров с коэффициентом зажима породы v = 1,1–1,4.

5.2.5. Выбор диаметра шпура

Диаметр шпуров выбирается в зависимости от стандартного диаметра патрона принятого типа ВВ. В табл. 5.2 указаны стандартные диаметры патронов промышленных ВВ. При выпуске ВВ в патронах различных диаметров следует принимать диаметр патрона с учётом сечения выработки и типа буровой техники. При использовании мощных бурильных машин и при больших сечениях выработки принимают патроны с большим диаметром или механизированное заряжание гранулированными ВВ.

При применении метода контурного взрывания в оконтуривающих шпурах следует уменьшить линейную плотность заряжания. С этой целью рекомендуется применять, например, специальные патроны типа ЗКВК из аммонита № 6ЖВ диаметром 26 мм длиной 360 мм в полиэтиленовых оболочках. Эти патроны имеют соединительные муфты с лепестками, позволяющими стыковать их и центрировать по оси шпура с созданием воздушного промежутка между патронами и стенками шпура.

Диаметр шпуров при использовании патронированных ВВ принимается не менее чем на 5 мм больше диаметра патрона. При применении машин ударного-поворотного и вращательного-ударного бурения и патронированных ВВ диаметр шпуров обычно составляет 38–42 мм. При механизированном заряжании шпуров гранулированными ВВ в горнорудной промышленности диаметр шпуров принимается в пределах от 38 до 52 мм в зависимости от сечения выработки, детонационной способности ВВ и взрываемости пород.

При бурении по углю и породам угольной формации используются шпуры диаметром 37–46 мм.

5.2.6. Определение количества шпуров

Количество шпуров в забое зависит от физико-механических свойств пород, поперечного сечения выработки, параметров зарядов и типа принятого вруба.

Количество шпуров на забой **при врубах с наклонными шпурами** определяют по формуле проф. Н. М. Покровского

$$N = q \cdot S_{вч} / \gamma, \qquad (5.12)$$

где q – удельный заряд ВВ, определяемый по формуле (1.9), кг/м^3;

$S_{вч}$ – площадь сечения выработки вчерне, м^2;

γ – весовое количество ВВ (вместимость), приходящееся на 1 м шпура, кг/м.

$$\gamma = 3{,}14\, d^{\,2} \rho \alpha / 4, \qquad (5.13)$$

где d – диаметр заряда (патрона ВВ или шпура), м;

ρ – плотность ВВ в заряде, кг/м^3;

α – коэффициент заполнения шпуров.

При ручном заряжании без уплотнения ВВ в шпуре используется параметр «диаметр патрона», а параметр «диаметр шпура» – при уплотнении патронов вручную с разрезанием оболочки или при механизированном заряжании.

При разрезании оболочки патронов плотность ВВ в шпуре принимается равной 0,9 от плотности ВВ в патроне (см. табл. 5.2). При механизированном заряжании шпуров гранулированными ВВ плотность ВВ в шпуре составляет 1150–1200 кг/м^3.

Коэффициент заполнения шпуров в выработках шахт, не опасных по взрыву газа или пыли, проходимых в крепких породах, принимается максимальным (0,7-0,9).

В выработках шахт, опасных по газу или пыли и в породах с f = 2-8 – коэффициент заполнения принимается 0,35-0,55; в более крепких породах – 0,5-0,6. При этом при ведении взрывных работ на угольных шахтах, опасных по взрыву газа или пыли, величина забойки должна быть не менее 0,5 м.

Во всех случаях с увеличением длины шпуров коэффициент заполнения шпуров увеличивается.

Полученное по формуле (5.12) количество шпуров является ориентировочным (см. табл. 5.13) и может быть изменено при необходимости на 10–15 %. Окончательно число шпуров принимается после вычерчивания схемы расположения шпуров в сечении выработки (рекомендуемый масштаб – 1:50-1:20), и только затем возобновляется расчёт.

Таблица 5.13

Ориентировочное количество шпуров на забой в зависимости от коэффициента крепости пород и сечения выработок

Коэффициент крепости пород f	Сечение выработки вчерне, м^2						
	4	6	8	10	12	14	16
2-4	8-11	12-16	17-21	22-27	28-33	34-38	35-42
5-7	12-16	17-21	22-27	28-33	34-38	39-42	43-46
8-10	16-20	21-26	27-32	33-37	38-42	42-46	47-50
12-14	20-24	26-30	32-36	37-42	42-46	46-50	50-54
более 14	26-28	32-36	36-40	44-48	48-52	52-54	56-60

При вычерчивании схемы расположения шпуров при любом типе вруба среднее расстояние между рядами вспомогательных шпуров, между вспомогательными и оконтуривающими и между шпурами в рядах должно быть примерно одинаковым и приниматься в соответствии с рекомендациями табл. 1.10 или определяться из выражения

$$a = \sqrt{\frac{S_{вч} - S_{вр}}{N - N_{вр}}}, \qquad (5.14)$$

где $S_{вч}$ – площадь сечения выработки вчерне, м^2;

$S_{вр}$ – площадь сечения врубовой полости (для вертикального клинового вруба принимается равной половине площади прямоугольника, образованного устьями врубовых шпуров на плоскости забоя), м^2;

N, $N_{вр}$ – общее число на забой и число врубовых шпуров.

Оконтуривающие шпуры располагают с наклоном 85–87^o к плоскости забоя с таким расчетом, чтобы их концы вышли за проектный контур сечения выработки вчерне только за линией уходки. Забуриваются оконтуривающие шпуры на минимальном расстоянии (150–200 мм) от проектного контура выработки с учётом принятой буровой техники.

При применении прямых врубов количество шпуров определяется по формуле

$$N = N_{вр} + q\cdot(S_{вч}–S_{вр})/\gamma, \qquad (5.15)$$

где $N_{вр}$ – количество врубовых шпуров (см. раздел 1.2.3.2);

$S_{вр}$ – площадь поперечного сечения прямого вруба, м^2.

При контурном взрывании число оконтуривающих шпуров необходимо увеличивать. При этом параметры зарядов в оконтуривающих шпурах (удельный заряд, расстояние между шпурами и др.) рассчитываются по специальным методикам ([3] и др.).

3.2.7. Определение расхода взрывчатых материалов

Количество ВВ (кг) на цикл при **врубах с наклонными шпурами**

$$Q = q \cdot S_{вч} \cdot l_{шп}, \qquad (5.16)$$

где $l_{шп}$ – глубина заходки, равная глубине вспомогательных и оконтуривающих шпуров, м.

Средняя величина заряда (кг) на один шпур

$$q'_{ср} = Q / N. \qquad (3.17)$$

Количество ВВ (кг) на цикл **при врубах с прямыми шпурами** (кг)

$$Q = Q_{вр} + q \cdot (S_{вч} – S_{вр}) \cdot l_{шп}, \qquad (5.18)$$

где $Q_{вр}$ – количество ВВ во врубовых шпурах, принимается как сумма зарядов врубовых шпуров. Величина заряда (кг) во врубовый шпур принимается

$$q'_{вр} = 0{,}785 \cdot d^2 \cdot \rho \cdot \alpha \cdot l_{вр}, \qquad (5.19)$$

где d – диаметр патрона ВВ или шпура, в зависимости от способа заряжания, м;

ρ – плотность ВВ в заряде, кг/м^3;

α – коэффициент заполнения врубового шпура, 0,7-0,95 (в зависимости от длины шпуров и крепости пород);

$l_{вр}$ – длина врубовых шпуров, м (принимается на 10 % больше длины вспомогательных и оконтуривающих шпуров).

Средняя величина заряда (кг) на один вспомогательный и оконтуривающий шпур **при прямых врубах**

$$q''_{ср} = \frac{q \cdot (S_{вч} - S_{вр}) \cdot l_{шп}}{N - N_{вр}} . \quad (5.20)$$

При распределении ВВ по шпурам величину заряда во врубовые шпуры **при наклонных врубах** следует принимать на 10-20 % больше средней величины $q'_{ср}$ (кг)

$$q^*_{вр} = (1{,}1 \div 1{,}2)\, q'_{ср}. \quad (5.21)$$

В оконтуривающих шпурах, кроме почвенных, при любых типах врубов величину заряда следует уменьшать на 10-20 % по сравнению со средней величиной $q'_{ср}$ (кг)

$$q^*_{ок} = (0{,}9 \div 0{,}8)\, q'_{ср}. \quad (5.22)$$

Обычно в практике взрывных работ величина заряда во вспомогательных шпурах принимается равной средней величине заряда в шпурах $q'_{ср}$:

$$q^*_{всп} = q'_{ср}. \quad (5.23)$$

Полученные величины зарядов во врубовых, вспомогательных и оконтуривающих шпурах при ручном заряжании патронированными ВВ принимают **кратными массе патронов ВВ.**

При механизированном заряжании заряд ВВ в шпуре состоит из патрона-боевика (0,2 или 0,25 кг) и собственно заряда гранулированного ВВ, масса которого принимается кратной 0,1 кг.

После определения величин зарядов ВВ в шпурах каждой группы следует проверить возможность размещения их в шпурах, учитывая длину и массу патронов, а также линейную плотность заряжания при применении гранулированных ВВ.

Фактический расход ВВ (кг) на цикл

$$Q_ф = \sum q^*_{вр} + \sum q^*_{всп} + \sum q^*_{ок}. \quad (5.24)$$

Расход ВВ (кг) на погонный метр выработки

$$Q_м = Q_ф / (l_{шп}\, \eta)\ , \quad (5.25)$$

где η – КИШ (принимается равным 0,85-0,95 в зависимости от крепости пород).

Объём горной массы за взрыв

$$Q_{гм} = S_{пр}\, l_{шп}\, \eta, \quad (5.26)$$

где $S_{пр} = S_{вч} \cdot КИС$ – сечение выработки в проходке, м^2, которое следует определять в соответствии с рекомендациями таблицы 5.14.

Удельный расход ВВ (кг) на 1 м^3 взорванной породы

$$q_р = Q_ф / Q_{гм}. \quad (5.27)$$

Таблица 5.14

Допустимое нормативное увеличение (в %) поперечного сечения горизонтальных горных выработок при проходке буровзрывным способом

Поперечное сечение горных выработок вчерне (по проекту), м^2	Коэффициент крепости пород f		
	1–2	2–9	10–20
до 8	5*	10	12
от 8 до 15	4	8	10
более 15	3	5	7

*Коэффициент излишка сечения: КИС = 1 + Δ = 1 + 5/100 = 1,05.

Расход ЭД, КД (систем неэлектрического взрывания) определяется по числу взрываемых зарядов.

Расход ЭД, КД на 1 метр выработки:

$$N_м = N_{кд} /(l_{шп}\, \eta). \quad (5.28)$$

Удельный расход ЭД, КД на 1 м^3 взорванной породы:

$$N_р = N_{кд} /(S_{пр}\, l_{шп}\, \eta). \quad (5.29)$$

Заводы-изготовители производят неэлектрические системы инициирования с длинами волноводов, определяемыми заказами потребителей.

Длина УВТ ориентировочно определяется по формуле:

$$L_{увт} = l_{шт} + B / 4 + 0{,}5, \quad (5.30)$$

где B – ширина выработки, м;

0,5 –длина УВТ для сборки пучков, м.

5.3 РАСЧЕТ ЭЛЕКТРОВЗРЫВНОЙ СЕТИ

При расчете электровзрывной сети определяют её сопротивление и сопротивление её отдельных ветвей. Для проверки обеспечения безотказности взрывания всех электродетонаторов, включённых в сеть, при известном напряжении (принятом источнике тока) выполняется проверочный расчет, при котором определяют общую величину тока в сети и величину тока, поступающего в каждый электродетонатор.

Если необходимо выбрать источник тока, определяют общее сопротивление сети и минимальную силу тока в цепи, обеспечивающую безотказное взры-

вание всех электродетонаторов, после чего находят необходимое напряжение и подбирают источник тока (табл. 5.15).

Сопротивление магистральных и соединительных проводов, а также участковых, если они имеются при конкретной схеме взрывания, принимается по табличным данным или вычисляется по формуле

$$R = \rho\,(l/S), \qquad (5.31)$$

где R – сопротивление проводов, Ом;

ρ – удельное сопротивление материала проводов, которое принимается для медных проводов $0{,}0172 \cdot 10^{-6}$, для алюминиевых $0{,}0286 \cdot 10^{-6}$ и для стальных $0{,}12 \cdot 10^{-6}$ Ом·м;

l – длина проводов, м. Длину проводов принимают на 10 % больше расчётной, учитывая изгибы и сростки;

S – сечение проводов, м^2.

Сопротивление электродетонаторов при расчёте сети принимается по табличным данным с учётом длины выводных проводов (см. табл. 5.3). Сопротивление электродетонаторов нормальной чувствительности в зависимости от длины выводных медных проводов с диаметром жилы 0,5 мм составляет от 1,8 до 3,6 Ом. При расчёте величину сопротивления электродетонаторов нормальной чувствительности обычно принимают равной 3 Ом.

Таблица 5.15

Взрывные приборы и машинки

Наименование прибора (исполнение)	Напряжение, В	Масса, кг	Максимальное сопротивление электровзрывной сети, Ом	Назначение и область применения
Конденсаторный взрывной прибор КВП-1/100М (РВ) КВП-2/200М (РН)	 600 1700	 2 2,5	 320 1700	Взрывание ЭД нормальной чувствительности на поверхности и в шахтах, опасных и не опасных по взрыву газа или пыли
Конденсаторный взрывной прибор ПИВ-100М (РВ)	610	2,7	320	
Конденсаторная взрывная машинка КПМ-3 (РН)	1600	3,0	200	Взрывание ЭД нормальной чувствительности на поверхности и в шахтах, не опасных по взрыву газа или пыли

При электрическом способе взрывания в каждый электродетонатор нормальной чувствительности должен поступать постоянный гарантийный ток силой не менее $I_{гар}$ = 1 А при числе ЭД до 100 штук и не менее $I_{гар}$ = 1,3 А при числе ЭД более 100 штук, или переменный ток силой не менее $I_{гар}$ = 2,5 А.

Для электродетонаторов пониженной чувствительности к блуждающим токам (ЭД-1-8-Т, ЭД-1-3-Т) гарантийный ток следует принимать не менее 5 А.

Проверочный расчёт электровзрывной сети производится по следующим формулам в зависимости от схемы соединения:

а) при последовательном соединении

$$I = \frac{E}{R + rn}, \quad i = I \geq I_{\text{гар}}, \tag{5.32}$$

б) при параллельном соединении

$$I = \frac{E}{R + r/n}, \quad i = I/n \geq I_{\text{гар}}, \tag{5.33}$$

в) при смешанном последовательно-параллельном соединении

$$I = \frac{E}{R + rn/m}, \quad i = I/m \geq I_{\text{гар}}, \tag{5.34}$$

г) при смешанном параллельно-последовательном соединении

$$I = \frac{E}{R + rm/n}, \quad i = I/m \geq I_{\text{гар}}, \tag{5.35}$$

где I – сила тока в электровзрывной сети, А;

E – электродвижущая сила источника тока или напряжение на клеммах, В;

R – сопротивление всех проводов (магистральных, соединительных, участковых) и внутреннее сопротивление источника, Ом;

n – число последовательно соединённых электродетонаторов в сети или группе;

m – число параллельно включённых групп электродетонаторов при смешанном соединении;

i – сила тока, поступающего в каждый электродетонатор, А;

$I_{\text{гар}}$ – гарантийная сила тока, необходимая для безотказного взрывания электродетонаторов, А;

r – сопротивление электродетонатора, Ом.

При проведении горизонтальных выработок обычно применяется последовательная схема соединения электродетонаторов во взрывной сети. В этом случае общее сопротивление взрывной сети можно определить по формуле:

$$R_{\text{общ}} = r_{\text{п}} + r_{\text{с}}L_{\text{с}} + r_{\text{м}}L_{\text{м}}, \tag{5.36}$$

где $r_{\text{с}}$, $r_{\text{м}}$ – сопротивление соответственно 1 м соединительных и магистральных проводов, Ом (принимается по данным табл. 3.16 или рассчитывается по формуле (5.31));

$L_{\text{с}}$, $L_{\text{м}}$ – длина соответственно соединительных и магистральных проводов, м.

Таблица 5.16

Характеристики проводов для электровзрывания

Обозначение	Назначение	Диаметр жилы, мм	Площадь сечения, мм^2	Сопротивление 1 м провода, Ом/м
ВП-05	соединительные	0,5	0,196	0,090
ВП-08	магистральные	0,8	0,502	0,034
ВП-07х2	магистральные	0,7х2	0,769	0,024

Магистральные провода (постоянная взрывная магистраль) подключаются обычно на расстоянии не ближе 30 м от забоя и могут отставать от места взрыва не более чем на 100 м. Место укрытия взрывника при проходке горизонтальных выработок должно находиться не ближе 150 м от забоя. Электровзрывная сеть должна быть двухпроводной.

В шахтах (рудниках), опасных по газу или пыли, должны применяться электродетонаторы только с медными проводами. Это требование также распространяется на соединительные и магистральные провода (кабели) электровзрывной сети.

Если проверочный расчет показывает неприменимость последовательной схемы соединения электродетонаторов (ввиду того, что $i < I_{\text{гар}}$), следует принимать последовательно-параллельную схему соединения. Тогда число последовательно включённых электродетонаторов в сети или группе и число групп, включённых параллельно, определяют по формулам

$$n = \frac{E}{2I_{\text{гар}} + R}, \tag{5.37}$$

$$m = \frac{E}{2I_{\text{гар}} + r}. \tag{5.38}$$

Если общее число электродетонаторов, подлежащих взрыванию, равно $M = n \cdot m$, то, определив один из множителей, вычисляют другой.

5.4 ВЫБОР БУРОВОГО ОБОРУДОВАНИЯ

Тип бурильной машины выбирается в зависимости от коэффициента крепости горных пород, глубины шпуров и необходимой производительности машины при выполняемом объёме буровых работ.

Бурение шпуров производится ручными, колонковыми электро- и пневмосвёрлами, переносными перфораторами и бурильными установками.

Выбор типа бурильной машины и установочного приспособления в зависимости от крепости пород ориентировочно можно производить по табл. 3.1.

Ручные электросвёрла ЭР14Д-2М, ЭР18Д-2М, СЭР-19М применяются для бурения шпуров диаметром 36-44 мм и глубиной до 3 м по углю и породам с коэффициентом крепости до 4.

При бурении по крепким углям и породам средней крепости применяются электросвёрла ЭРП18Д-2М и СРП-1 с принудительной подачей.

Ручные пневматические свёрла СР-3, СР-3М, СПР-8 применяются на шахтах, опасных по газу или пыли, для бурения шпуров диаметром 36 мм и глубиной до 3 м при проведении выработок по углю и породам с коэффициентом крепости до 4. Сверло СГ-3Б с применением пневмоподдержки применяются для бурения шпуров в породах с коэффициентом крепости до 6.

При проведении горизонтальных и наклонных выработок при бурении шпуров диаметром 40-46 мм и глубиной до 5 м в крепких и средней крепости с коэффициентом более 5 применяют переносные перфораторы ПП36В, ПП54В, ПП54ВБ, ПП63В, ПП63ВБ, ПП63П, ПП63С, ПП63СВП массой 24-33 кг с энергией удара от 36 до 63 Дж. Обычно глубина шпуров при бурении переносными перфораторами составляет 1,5-2,5 м.

Таблица 5.17

Область применения бурильных машин и установочных приспособлений

Коэффициент крепости пород	Тип бурильных машин и установочных приспособлений
1,5–3	Ручные электросвёрла и пневмосвёрла, лёгкие перфораторы на пневмоподдержках
4–6	Бурильные установки вращательного действия, перфораторы лёгкого и среднего веса на пневмоподдержках, колонковые или длинноходовые электросвёрла на манипуляторах
7–9	Бурильные установки вращательно-ударного действия, перфораторы среднего веса и тяжёлые на пневмоподдержках, колонковые или длинноходовые электросвёрла на манипуляторах
10–20	Бурильные установки вращательно-ударного действия, тяжёлые перфораторы на пневмоподдержках, колонковые перфораторы на распорных колонках или манипуляторах

Телескопные перфораторы ПТ-29М, ПТ36М, ПТ38, ПТ48 применяются при проведении восстающих выработок и для бурения шпуров в крепких породах под анкерную (штанговую) крепь.

Для облегчения труда бурильщиков и повышения скорости бурения применяются колонковые электросвёрла, электросвёрла на манипуляторах и колонковые перфораторы.

Колонковые электросвёрла применяются при бурении шпуров диаметром 36-50 мм в породах с коэффициентом крепости 5-10. Промышленностью выпускаются колонковые электросвёрла ЭБГП-1, ЭБГП-2У5, которые устанавливаются на распорных колонках или на манипуляторах бурильных установок.

Съёмные бурильные машины типа БУЭ вращательного действия применяют на бурильных установках при бурении шпуров диаметром 42 мм, длиной до 3 м в породах с f <8.

Колонковые перфораторы, более мощные чем ручные, применяются для бурения шпуров с колонок, манипуляторов и буровых кареток при проведении выработок в крепких и очень крепких породах.

В горнодобывающей промышленности применяют колонковые перфораторы ПК-50, ПК-65, ПК-75, ПК-120, ПК-150. Применение колонковых перфораторов и электросвёрл на распорных колонках при проходке выработок ограничено из-за значительных затрат времени на монтаж, демонтаж и переустановку колонок. Поэтому чистое время бурения составляет 20-35 % от общих затрат времени на бурения шпуров.

Механизированное бурение шпуров производят бурильными установками (каретками) и навесным оборудованием, смонтированным на погрузочных машинах.

Отечественной промышленностью выпускаются бурильные установки (каретки) вращательного бурения с колонковыми электросверлами БУЭ-1м, БУЭ-2, вращательно-ударного и ударно-поворотного бурения БУ-1, БУР-2, СБУ-2м, СБУ-2К, УБШ.

В угольной промышленности наибольшее распространение получили установки БУ-1, БУР-2, БУЭ-1 и БУЭ-2. С использованием этих установок проводят около 50 % выработок.

Установки вращательного бурения применяют при проведении выработок в породах с f < 8; ударно вращательного действия с машинами БГА-1 в породах с f = 6-10, с машинами БГА-1М, БГА-2М в породах с f = 10-14; ударно-поворотного действия в породах с f = 10-20.

Технические характеристики бурильных установок приведены в табл. 5.2 – 5.3.

При определении бурильного оборудования следует принимать один перфоратор (сверло) не менее чем на 2 м^2 площади забоя горизонтальной или наклонной выработки; на каждые три рабочие машины одну резервную.

Одну бурильную установку принимают не менее чем на 9 м^2 площади забоя горизонтальной выработки. На каждую работающую в забое установку – рабочий и резервный комплекты инструмента.

Таблица 5.18

Характеристики отечественных бурильных установок для бурения шпуров при проходке горизонтальных выработок

Характеристики	Тип бурильной установки					
	УБШ-204 (БУЭ-1М)	УБШ-214А	УБШ-308У (1СБУ-2)	УБШ-303 (1БУР-2)	УБШ-254	УБШ-332Д
Коэффициент крепости пород f	4-8	4-16	8-14	4-16	8-14	8-14
Диаметр шпуров, мм	42	42-52	42-52	42-52	42-52	42-52
Длина шпуров, м	2,75	2,75	2,8	2,8	2,4	3,0

Зона бурения, м^2		6-12	4,2-12	до 20	до 20	до 12	8-22
Бурильная машина	тип	БУЭ	М2 (БГА-2М)	М2 (БГА-2М)	М2 (БГА-2М)	«Норит-1» (гидравл.)	М2 (БГА-2М)
	кол-во	1	1	2	2	1	2
Тип платформы		рельс.	рельс.	гусен.	рельс.	гусен.	пневм.
Размеры (м) в транспортном положении: длина		8,2	6,0	7,8	7,1	7,2	11,0
ширина		1,3	1,0	1,6	1,15	1,4	1,75
высота		0,9	1,5	1,7	1,65	1,8	2,3
Масса, т		5,4	4	8,6	5	7,2	12

Таблица 5.19

Характеристики зарубежных бурильных установок для бурения шпуров при проходке горизонтальных выработок

Характеристики		Тип бурильной установки				
		Minimatic 205-40	Mini 206-60	Paramatic 305-60	Rocket Bomer 104S	Rocket Bomer 282S
Коэффициент крепости пород *f*		8-20	8-20	8-20	8-20	8-20
Диаметр шпуров, мм		32-50	32-50	32-50	32-50	32-50
Длина шпуров, м		3,4	3,4	3,4	4,0	4,0
Высота обуривания, м		6,0	6,4	7,1	4,7	6,3
Ширина обуривания, м		8,8	9,8	10,4	4,7	8,7
Зона бурения, м^2		8-49	8-60	12-68	до 20	до 45
Бурильная машина	тип	HL 510S-45 гидравл.	HL 510S-45 гидравл.	HL 510S-45 гидравл.	COP 1838 ME пневмат.	COP 1838 ME пневмат.
	кол-во	2	2	3	1	2
Тип платформы		пневм.	пневм.	пневм.	пневм.	пневм.
Размеры (м) в транспортном положении: длина		12,3	12,7	5,3	9,8	12,1
ширина		1,98	2,24	2,5	2,0	2,0
высота		2,35	2,35	2,8	2,6	3,1
Масса, т		19	20	36	14	18

При применении бурильных установок глубина шпуров изменяется от 2 до 3,75 м. В этом случае необходимо использование прямых врубов, так как обуривание вертикального клинового вруба в большинстве случаев технически неосуществимо из-за невозможности соблюдения требуемого угла наклона врубовых шпуров.

При ручном бурении шпуров площадь забоя, приходящаяся на одну бурильную машину, изменяется в широких пределах – от 2 до 5 м^2.

5.5. СОСТАВЛЕНИЕ ПАСПОРТА БУРОВЗРЫВНЫХ РАБОТ

На основании выполненных расчетов составляется паспорт буровзрывных работ, который включает в себя: характеристику выработки; характеристику пород; схему расположения шпуров в трёх проекциях; наименования ВМ; способ взрывания; данные о способе заряжания, числе шпуров, их глубине и диаметре, массе и конструкции зарядов, последовательности и количестве приёмов взрывания зарядов, материале забойке и её длине, длинах ударно-волновых трубок систем неэлектрического взрывания; схему монтажа взрывной (электровзрывной) сети с указанием длины (сопротивления), замедлений, схемы и времени проветривания забоя.

Дополнительно указывается величина радиуса опасной зоны, места укрытий взрывника и рабочих, установки постов охраны и предупредительных знаков.

В шахтах, опасных по взрыву газа или пыли, в паспорте должны быть указаны количество и схема расположения специальных средств по предотвращению взрывов газа (пыли), а также режим взрывных работ.

Пример оформления графической части:

Паспорт
буровзрывных работ на проведение

_____

(*наименование выработки*)

1. Характеристика выработки

1.1. Форма сечения выработки _____

1.2. Площадь поперечного сечения выработки вчерне, м^2 _____

1.3. Размеры сечения выработки - высота, м _____

- ширина, м _____

1.4. Категория шахты по газу или пыли _____

2. Характеристика пород

2.1. Наименование пород _____

2.2. Коэффициент крепости пород по шкале М. М. Протодьяконова _____

2.3. Трещиноватость пород _____

2.4. Обводнённость пород _____

3. Исходные данные

3.1. Наименование ВВ и средств инициирования _____

3.2. Способ взрывания _____

3.3. Диаметры - шпуров, мм _____

- патронов, мм _____

3.4. Тип вруба _____

3.5. Материал забойки _____

3.6. Схема соединения электродетонаторов _____

3.7. Источник электрического тока _____

4. Расчётные данные по шпурам

№№ шпуров	Наименование шпуров по назначению	Глубина шпуров, м	Угол наклона шпуров, град.	Расстояние между шпурами, м	Величина заряда в шпуре, кг	Длина заряда, м	Длина забойки в шпуре, м	Очередность взрывания, интервал замедления, мс	Примечания
1	2	3	4	5	6	7	8	9	10

5. Схема расположения шпуров

Схема расположения вычерчивается в масштабе 1:50 или 1:20 в трёх проекциях (см. Приложение 3). При применении прямых врубов дополнительно в масштабе 1:20 или 1:10 приводится схема вруба.

6. Конструкции зарядов

В схемах конструкций врубовых, вспомогательных (отбойных) и оконтуривающих зарядов указывается место установки патронов-боевиков, количество патронов, длина заряда и забойки.

7. Основные показатели буровзрывных работ

№ п/п	Показатели	Единица измерения	Количество
1	Коэффициент использования шпуров	-	
2	Подвигание забоя за взрыв	-	
3	Объём горной массы за взрыв	$м^3$	
4	Количество шпуров на цикл	шт.	
5	Количество шпурометров на цикл	м	
6	Количество шпурометров на 1 погонный метр выработки	м шп./м	
7	Количество шпурометров на 1 $м^3$ взорванной породы	м шп./$м^3$	
8	Расход ВВ на цикл	кг	
9	Расход ВВ на 1 метр выработки	кг/м	
10	Расход ВВ на 1 $м^3$ взорванной породы	кг/$м^3$	
11	Расход средств инициирования на цикл: ЭД КД (СИНВ-Ш) детонирующего шнура	 шт. шт. м	
12	Расход средств инициирования на 1 метр выработки: ЭД КД (СИНВ-Ш) детонирующего шнура	 шт. шт. м	

8. Меры безопасности

8.1. Место укрытия взрывника и рабочих на момент взрыва_____

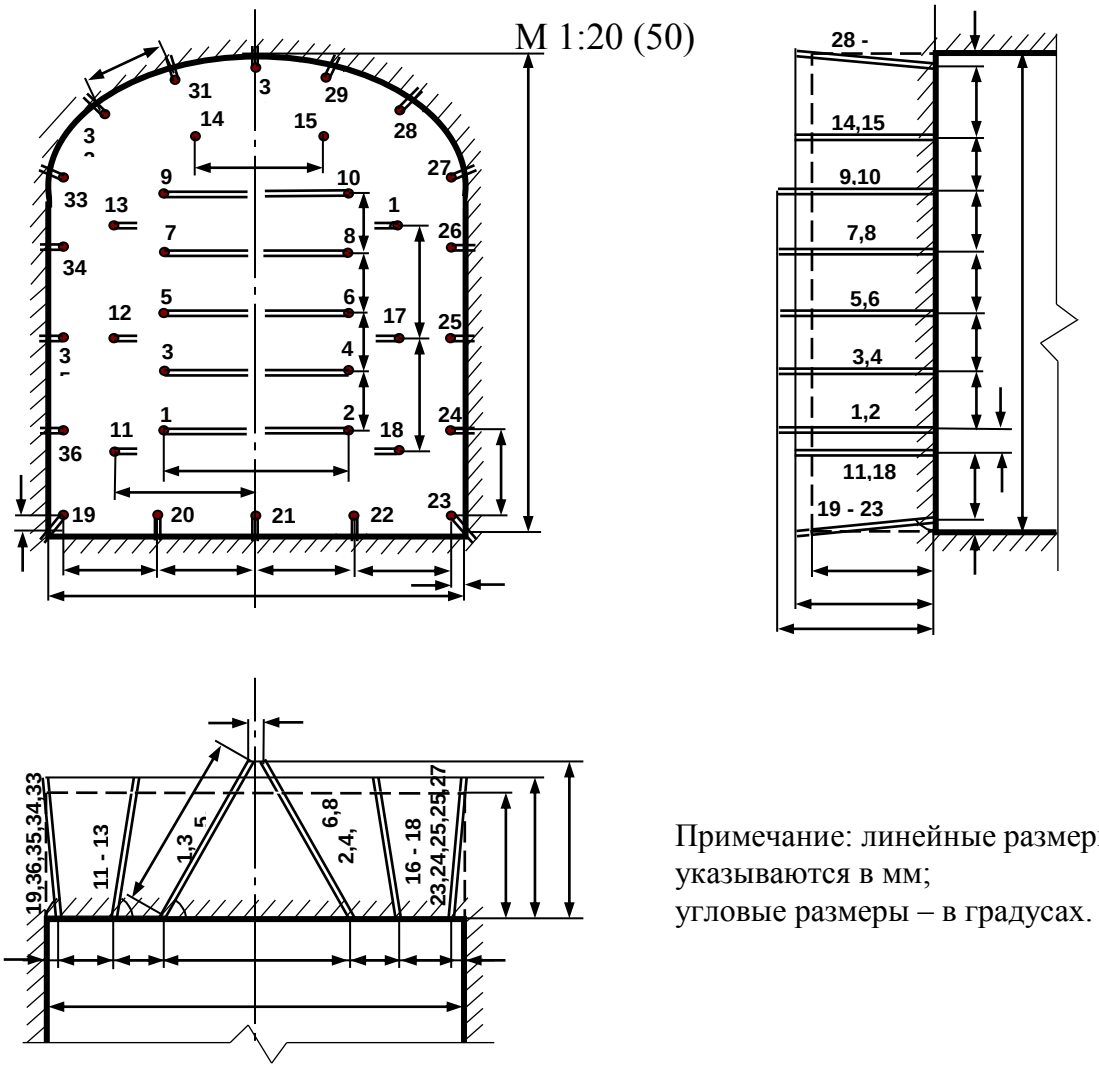
8.2. Место выставления постов_____

8.3. Время проветривания после взрыва_____

8.4. Мероприятия по подавлению пыли_____

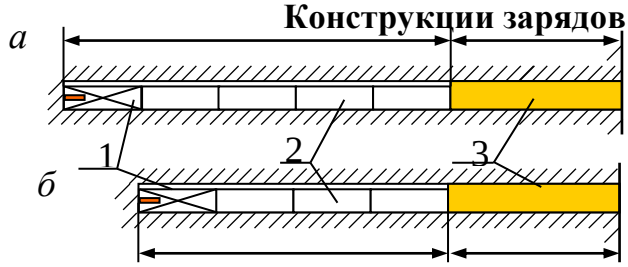
8.5. Другие дополнительные меры безопасности_____

Схема расположения шпуров



Примечание: линейные размеры указываются в мм;
угловые размеры – в градусах.

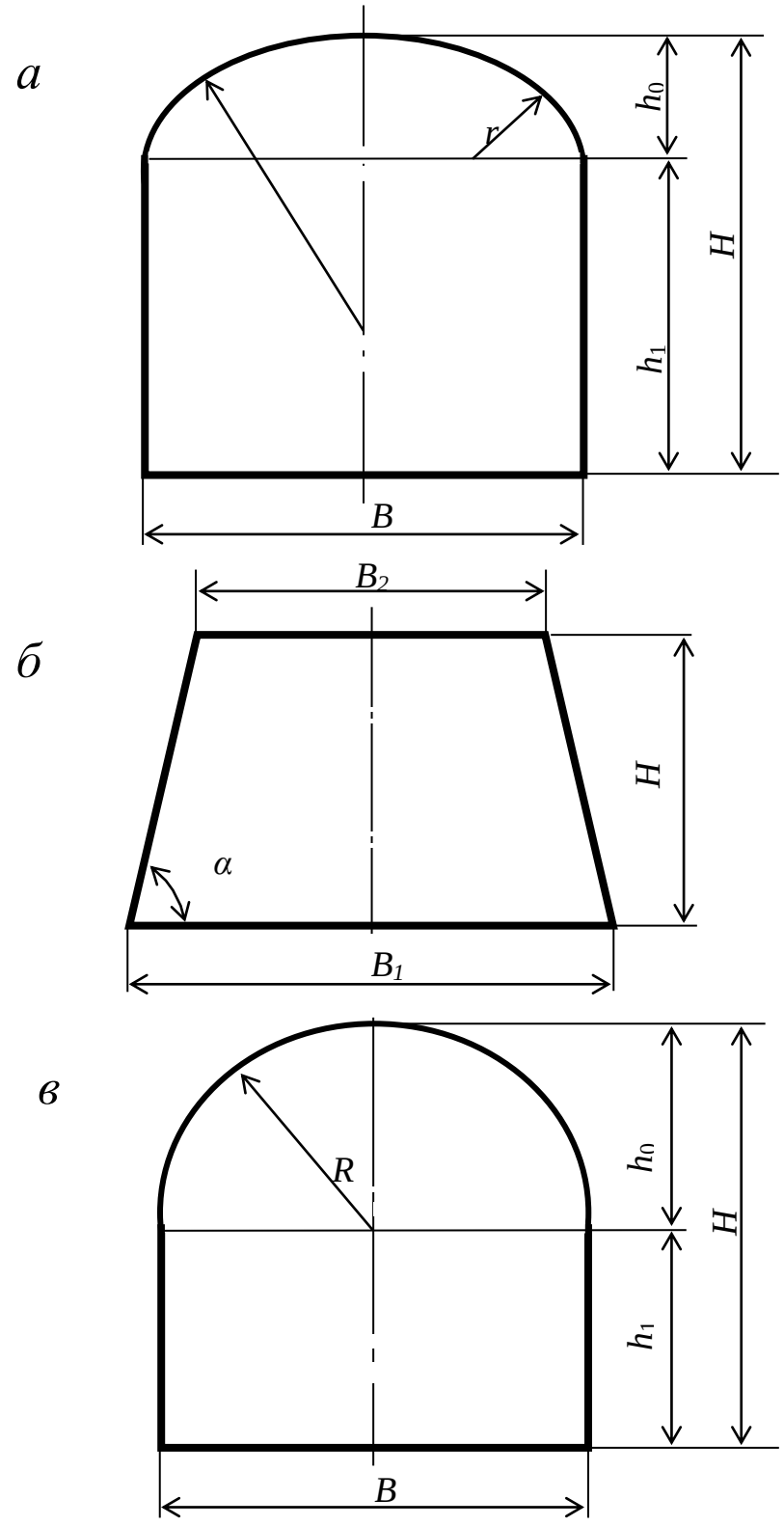
Конструкции зарядов



а – врубовые шпуры;
б – вспомогательные (отбойные) и оконтуривающие шпуры;
1 – патрон-боевик (аммонит № 6ЖВ);
2 – патроны ВВ (аммонит № 6ЖВ);
3 – забойка (песчано-глиняная, водяная)

Примечание. В шахтах, не опасных по взрыву газа или пыли, допускается взрывание зарядов без забойки (устанавливается руководителем предприятия и указывается в паспорте БВР).

Формы поперечного сечения горизонтальных выработок



$h_0 = B / 3$;
$h_1 = B - h_0$;
$R = 0{,}694\ B$;
$R = 0{,}262\ B$.

$$\alpha = \operatorname{arctg}\frac{2H}{B_1 - B_2}$$

Рис. П4.1. Формы поперечного сечения горизонтальных выработок:
а – сводчатая с трёхциркульным (коробовым) сводом;
б – трапецевидная;
в – арочная с полуциркульным сводом

Формулы для вычисления площади поперечного сечения и периметра выработок:

Форма поперечного сечения выработки	Площадь поперечного сечения	Периметр
Сводчатая с коробовым сводом	$B \cdot (h_1 + 0{,}26 \cdot B)$	$2 \cdot h_1 + 2{,}33 \cdot B$
Трапециевидная	$\frac{B_1 + B_2}{2} \cdot H$	$B_1 + B_2 + \frac{2H}{\cos \alpha}$
Арочная с полуциркульным сводом	$B \cdot (h_1 + 0{,}39 \cdot B)$	$2 \cdot h_1 + 2{,}57 \cdot B$

Рекомендуемая литература

1. Корнилков М.В. Разрушение горных пород взрывом: конспект лекций. - Урал. гос. горный ун-т. - Екатеринбург: Изд-во УГГУ, 2008. - 202 с.

2. Латышев О.Г., Петрушин А.Г., Азанов М.А. Промышленные взрывчатые материалы: учебное пособие. - Урал. гос. горный ун-т. - Екатеринбург: Изд-во УГГУ, 2009. - 221 с.

3. Кутузов Б.Н. Методы ведения взрывных работ. Часть 1. Разрушение горных пород взрывом: Учебник. – М.: Изд. МГГУ, 2007. – 345 с.

4. Кутузов Б.Н. Безопасность взрывных работ в горном деле и промышленности. – М.: Горная книга, 2009. – 670 с.

5. Латышев О.Г. Физика разрушения горных пород при бурении и взрывании: Учебное пособие. Екатеринбург: Изд. УГГУ, 2004. – 201 с.

6. Правила безопасности при взрывных работах (утверждены приказом Ростехнадзора от 16.12.2013 г. № 605; в редакции приказа Ростехнадзора от 30.11.2017 г. № 518). – М., 2018.

7. Взрывчатые вещества и средства инициирования. Каталог. М.: ГосНИП «РАСЧЕТ», 2003. 269 с.

8. Справочник взрывника / Под общей редакцией Б. Н. Кутузова. М.: Недра, 1988. 511 с.

Учебное издание

Сынбулатов Владимир Владимирович
Прищепа Дмитрий Вячеславович

БУРОВЗРЫВНЫЕ РАБОТЫ

Учебно-методическое пособие к самостоятельной работе, выполнению контрольных и практических работ по дисциплине «Буровзрывные работы» для студентов специальности 21.05.02 «Прикладная геология»

Редактор *Д. В. Прищепа*

Подписано в печать «__»_____2019 г. Бумага писчая. Формат 60 × 84 1/16.
Гарнитура Times New Roman. Печать на ризографе.
Печ. л. 3,68. Уч.-изд. л. 5,4. Тираж 100. Заказ №

Издательство УГГУ
620144, Екатеринбург, ул. Куйбышева, 30
Уральский государственный горный университет
Отпечатано с оригинал-макета
в лаборатории множительной техники УГГУ

Министерство образования и науки
Российской Федерации
ФГБОУ ВПО
Уральский государственный горный университет

Факультет геологии и геофизики

Кафедра геологии, поисков и разведки месторождений
полезных ископаемых

Г.П.Дворник

ГОРНОПРОМЫШЛЕННАЯ ГЕЛОГИЯ

Конспект лекций для студентов очного и заочного обучения (РМ)

Екатеринбург

ОГЛАВЛЕНИЕ

1. Задачи и объекты горнопромышленной геологии. Геометрические элементы тел полезных ископаемых 3
2. Элементы залегания тел полезных ископаемых. Классификация форм залежей 8
3. Уровни строения тел полезных ископаемых. Классификация залежей по условиям залегания для целей эксплуатации 12
4. Анизотропия свойств тел полезных ископаемых. Симметрия форм залежей 17
5. Геолого-промышленные уровни строения залежей. Изменчивость свойств тел полезных ископаемых 21
6. Геологоразведочные работы на горных предприятиях. Доразведка месторождений полезных ископаемых 26
7. Опережающая эксплуатационная разведка месторождений 31
8. Сопровождающая эксплуатационная разведка месторождений 36
9. Геологическая документация на горных предприятиях 40
10. Геолого-технологическое картирование руд при разработке месторождений 45
11. Опробование на горных предприятиях 50
12. Эксплуатационные кондиции на минеральное сырье……55
13. Подсчет запасов полезных икопаемых при эксплуатации меторождений. Современные методы подсчета запасов полезных ископаемых с спользованием компьютерных технологий 60
14. Показатели экономической эффективности разработки эксплуатируемых месторождений 65
15. Геолого-экономическая оценка техногенных месторождений 69
16. Сопоставление данных разведки и разработки месторождений твердых поленых ископаемых..... 74
17. Геофизические исследования на горных предприятиях……. ……..79
18. Гидрогеологические и инженерно-геологические исследования при эксплуатации месторождений..... 83
19. Промышленная классификация запасов полезных ископаемых, учет их потерь и разубоживания 88
20. Планирование добычных работ на горных предприятиях. Управление качеством руд. Усреднение руд при добыче 92
21. Мониторинг месторождений твердых полезных ископаемых 97

Рекомендуемая литература……... 102

ЛЕКЦИЯ 1

ЗАДАЧИ ГОРНОПРОМЫШЛЕННОЙ ГЕОЛОГИИ. СВЯЗЬ ЕЕ С ДРУГИМИ ДИСЦИПЛИНАМИ

Горнопромышленная (или рудничная) геология изучает методы, организацию и технологию геологического обеспечения горного производства при эксплуатации МПИ.

Основными задачами горнопромышленной геологии являются:

1) контроль за состоянием минерально-сырьевой базы и обеспеченностью горного предприятия разведанными запасами полезных ископаемых;

2) доразведка и эксплуатационная разведка месторождений полезных ископаемых с целью уточнения количества и качества запасов основных и попутных полезных ископаемых и полезных компонентов;

3) оперативный пересчет запасов полезных ископаемых в процессе эксплуатации месторождения;

4) учет движения запасов при разработке месторождения;

5) контроль качества полезных ископаемых и усреднение руд;

6) учет потерь и разубоживания полезных ископаемых при эксплуатации месторождения;

7) изучение гидрогеологических, инженерно-геологических и горно-технических условий эксплуатации месторождения.

Горнопромышленная геология сформировалась на стыке геологических и горных наук. По образному выражению академика А.П. Карпинского «Геология пришла к нам через горное дело». Зарождение и развитие горнопромышленной геологии неразрывно связано с горным промыслом. Первыми полезными ископаемыми, целенаправленно добываемыми человечеством, начиная с VI-V веков до н. э., были золото, медь, олово, драгоценные камни. Первые работы, освещающие отдельные вопросы горнопромышленной геологии, принадлежат Георгу Бауэру (Агриколле), изучавшему в XVI веке геологию месторождений

Рудных гор. В России рудничная геология начала развиваться с 1584 г., когда был учрежден Государев приказ каменных дел. В XVIII веке горнопромышленная геология получила развитие благодаря трудам В.Н. Генина (Описание уральских и сибирских заводов, 1735 г.), В.Н. Татищева (Горный устав), М.В. Ломоносова (О слоях земных), Ивана Шлаттера. В XIX веке аналогичные обобщения по рудничной геологии были сделаны И.С. Гавеловским (О разведках гор, 1825 г.), В.Ю. Саймоновым (Инструкция горным партиям, 1829 г.), И.А. Корзухиным (Горноразведочное дело, 1898 г.).

ВИДЫ ОБЪЕКТОВ ГОРНОПРОМЫШЛЕННОЙ ГЕОЛОГИИ

Основными объектами горнопромышленной геологии являются месторождения полезных ископаемых, а также тела (или залежи) полезных ископаемых в пределах горного отвода. Горнопромышленный объект представляет собой геотехническую систему, включающую совокупность природных и искусственных объектов. Горнопромышленные объекты подразделяются на административно-производственные, горнотехнические и горногеологические. В иерархии горнопромышленных объектов В.В.Ершов выделяет 6 уровней (табл. 1).

Таблица 1

Классификация горнопромышленных объектов

Уровни	Объекты		
	Административно-производственные	Горнотехнические	Горно-геологические
I	Горнометаллургический комбинат	Горный отвод	Месторождения полезных ископаемых
II	Рудник, шахта, карьер	Рудничное, карьерное, шахтное поле	Тело (залежь) полезных ископаемых
III	Производственный участок	Выемочный участок	Часть тела полезного ископаемого, типы и сорта полезных ископаемых
IV	Производственный участок	Горная выработка, забой	Локальное обособление полезных ископаемых
V	Система транспортировки и складирования	Транспортирующие и аккумулирующие емкости	Порция полезных ископаемых и отвальной породы, товарная продукция
VI	Система обогащения	Дробильное и обогатительное оборудование	Порция концентрата, хвостов обогащения

Горным отводом называется часть недр, предоставляемая горному предприятию для разработки месторождений полезных ископаемых. Он включает *рудничные*, *шахтные* или *карьерные* поля. Они состоят из *выемочных участков* – относительно самостоятельных частей, на которые эксплуатируемое месторождение разделяется по площади или в разрезе по различным признакам. К ним относятся: 1) условия вскрытия; 2) условия проветривания; 3) системы разработки; 4) средства отбойки, выемки, транспортирования. Выемочные участки включают *выемочные единицы (эксплуатационные блоки)*. Последние состоят из *конструктивных элементов систем разработки*. Они представлены подготовительными, нарезными и очистными горными выработками. **Забой** – это поверхность массива полезных ископаемых или горных пород, которая перемещается в процессе горных работ по выемке. Выделяют забои подготовительных и очистных горных выработок. Забои различают по форме (прямолинейные, уступные), по расположению в пространстве (по простиранию, вкрест простирания тела полезного ископаемого, по падению, восстанию), по характеру и режиму функционирования (действующие, запасные, резервные).

По структуре забои всех типов могут быть простыми (с одним типом или сортом руды) и сложными (с разными типами и сортами полезных ископаемых). На IV уровне в забое полезное ископаемое из статического состояния в массиве переходит в динамическое состояние – в отвал руды. Динамическими объектами являются также порции полезных ископаемых и горных пород, поступающие в систему транспортирования и складирования горного предприятия и на обогатительную фабрику, с выделением концентратов полезных ископаемых и хвостов обогащения.

ГЕОМЕТРИЧЕСКИЕ ЭЛЕМЕНТЫ ТЕЛ ПОЛЕЗНЫХ ИСКОПАЕМЫХ

Залежь полезных ископаемых представляет собой природное геологическое тело, которое имеет внешнюю форму и внутреннее строение и занимает определенное положение в пространстве. Геометрические элементы геологиче-

ских тел изучает *геокинематика*, основы которой изложены в работах Л.И. Четверикова.

Основными геометрическими элементами залежи полезных ископаемых являются: поверхность, линия выклинивания, мощность, длина, ширина, срединная поверхность, ось и центр тела.

1. Под *поверхностью залежи* понимается фактически существующая или условная поверхность, отделяющая тело полезных ископаемых от вмещающих его пород.

2. *Выклинивание залежи* – это взаимное пересечение двух противоположных ее поверхностей, а замкнутая линия их пересечения называется *линией выклин*ивания.

3. *Мощность тел полезных ископаемых* (М) – это расстояние по прямой между двумя противолежащими поверхностями залежи. Тогда *линия мощности* – это отрезок прямой, отсекаемый данными поверхностями. В зависимости от способов замеров мощности выделяют *наклонную, вертикальную, горизонтальную, нормальную или истинную мощность* тела. Нормальная (или истинная) мощность является кратчайшим расстоянием между поверхностями тел в месте замера. Мощность называется нормальной потому, что при этом линии мощности представляют собой нормали к срединной поверхности залежи или оси тела.

4. *Срединная поверхность* представляет собой условную поверхность, проходящую внутри тела через середины линий мощности. В практике геологоразведочных работ часто делают разрезы по срединной поверхности при подсчете запасов полезных ископаемых, называя их разрезами в плоскости тела полезного ископаемого, или по его простиранию. У плоских пластовых тел полезных ископаемых срединная поверхность представляет собой плоскость. У залежей полезных ископаемых изогнутой формы (седловидных, чашеобразных) срединная поверхность является кривой изогнутой поверхностью.

5. Под *осью тела* полезных ископамых понимается условная линия, проходящая вдоль тела по его середине, от одного его конца до другого. Ось тела лежит на срединной поверхности и пересекает контур тела в двух его крайних точках. Она может быть как прямой, так и кривой линией.

6. *Длина тела полезных ископаемых* (*L*) представляет собой расстояние между его крайними точками, замеренное по оси залежи.

7. Под *шириной* вытянутого пластообразного тела (*H*) понимается длина линий пересечения срединной поверхности плоскостью сечения, нормальной к оси залежи. А ширина невытянутого плоской формы тела – это длина линий пересечения срединной поверхности нормальной к ней плоскостью, секущей тело через его центр.

8. *Центр залежи* выделяется для тел изометричной или близкой к ней формы. Под ним понимается центр тяжести геометрической формы залежи.

Ширина (*H*) тел полезных ископаемых, как и их мощность (*M*), не является постоянной величиной. В этой связи определяют среднее значение ширины вытянутого тела:

$$1)\ \overline{H} = \frac{S}{L},$$

где: *S* – площадь срединной поверхности, м^2; *L* – длина тела, м.

Для тел полезных ископаемых вытянутой формы важной характеристикой является *показатель вытянутости формы (B*). В случае тел сплюснуто-вытянутой формы:

$$2)\ B = \frac{L}{\overline{H}} = \frac{L^2}{S}$$

Для тел трубообразной формы:

3) $B = \frac{L}{\overline{M}}$, где *L* – длина тела, м; $\overline{M}$ – средняя мощность тела, м.

ЛЕКЦИЯ 2

ЭЛЕМЕНТЫ ЗАЛЕГАНИЯ ТЕЛ ПОЛЕЗНЫХ ИСКОПАЕМЫХ

Элементы залегания залежи включают ее простирание, падение и склонение.

1. *Простирание залежи* – это направление, в котором вытянуто ее горизонтальное сечение.

2. *Линией простирания* тела полезных ископаемых является линия пересечения срединной поверхности залежи горизонтальной плоскостью.

3. *Азимут простирания залежи (α)* – это горизонтальный угол между северным направлением меридиана и прямой, касательной к линии простирания. На практике нередко определяют средний азимут простирания залежи ($\overline{\propto}$) по формуле:

$$1)\ \overline{\propto} = \sum \propto_i \times \frac{l_i}{L}$$

где: $\propto_i$ – азимут простирания *i*-того прямолинейного отрезка,

l_i– длина *i*-того прямолинейного отрезка, м;

L – длина линии простирания, м.

4. *Падение* является геолого-геометрическим элементом, характеризующим поведение тела полезных ископамых по вертикали.

5. *Линия падения залежи* – это линия пересечения срединной поверхности тела вертикальной плоскостью, перпендикулярной к линии простирания.

6. *Угол падения* (*φ*) – это вертикальный угол, образуемый линией падения и горизонтальной плоскостью. Угол падения характеризует наклон срединной поверхности относительно горизонтальной плоскости.

7. *Азимутом падения* (*β)* залежи является горизонтальный угол между северным направлением меридиана и проекцией линии падения на горизонтальную плоскость. Для залежей полезных ископаемых часто определяют средние значения угла падения и азимута падения. Они характеризуют линию общего падения залежи полезных ископаемых.

8. При сложном наклонном залегании вытянутого тела полезного ископаемого важной характеристикой его положения в пространстве является *склонение залежи*. Под склонением понимается направление оси залежи в пространстве. Склонение отсутствует, когда ось залежи совпадает с линией падения или линией простирания. Его нет также у залежей, для которых нельзя выделить ось.

9. *Угол склонения* залежи – это вертикальный угол между осью залежи и проекцией ее на горизонтальную плоскость.

10. *Азимутом склонения* залежи называется горизонтальный угол между северным направлением меридиана и проекцией оси залежи на горизонтальную плоскость.

11. *Общее склонение* залежи характеризуют средние значения угла склонения и азимута склонения.

Залежи полезных ископаемых по своей вытянутости, определяемой значением показателя вытянутости *(B)*, делятся на 4 группы: 1) невытянутые (B<2), 2) слабо вытянутые (B=2-5), 3) вытянутые (B=5-10), 4) сильно вытянутые (B>10).

Залегание залежей полезных ископаемых может быть выдержанное и невыдержанное. *Выдержанное залегание* тел полезных ископаемых характеризуется постоянством их простирания, падения и склонения. В этом случае срединная поверхность залежи представляет собой плоскость, а ось залежи – прямую линию.

При невыдержанном залегании тела полезного ископаемого срединная поверхность залежи криволинейная, а ось тела представляет кривую линию. При невыдержанном залегании залежи ее общее залегание выражается средними значениями азимута падения и угла падения, а при наличии только оси залежи характеризуется средними значениями азимута склонения и угла склонения.

КЛАССИФИКАЦИЯ ОСНОВНЫХ ФОРМ ТЕЛ ПОЛЕЗНЫХ ИСКОПАЕМЫХ

Классификация форм тел полезных ископаемых основана на использовании геометрических показателей формы залежей: 1) мощности (*M*), 2) ширины (*H*), 3) длины (*L*), 4) показателя вытянутости (*B*), 5) показателя сплюснутости (*C*), 6) срединной поверхности и 7) оси залежи.

Показатель сплюснутости (C) залежи представляет отношение средней ширины ($\overline{H}$) к средней мощности ($\overline{M}$). К сплюснутым относятся залежи, у которых $C \geq 2$.

По этим геометрическим показателям тела полезных ископаемых классифицируются на 4 типа (табл. 2).

Таблица 2

Классификация основных форм тел полезных ископаемых

Тип	Геометрическое определение формы	Простое залегание	Сложное залегание	Характеристика формы
I	Присутствуют срединная поверхность, ось тела M<H<L B≥2, C≥2	Срединная поверхность – плоскость, линии мощности параллельны	Срединная поверхность кривая, линии мощности не параллельны	Залежи вытянутой, сплюснутой формы (пласты, жилы, лентовидные залежи)
II	Присутствует срединная поверхность M<H C≥2, B<2	Срединная поверхность – плоскость, линии мощности параллельны	Срединная поверхность кривая, линии мощности не параллельны	Изометрические в плане тела плитообразной сплюснутой формы (линзы, дисковидные залежи)
III	Присутствует ось тела M<L, B≥2, C<2	Ось тела - прямая линия	Ось тела – кривая линия	Вытянутые тела трубообразной формы (трубки, столбы)
IV	Присутствует мощность (M). Линии мощности располагаются радиально, проходя через центр тела (B<2, C<2)	Форма близка к шару или овалоиду. Значения мощности меняются незначительно	Поверхность тела сильно изменчива, значения мощности меняются значительно	Тела изометрической, шаровидной формы (штоки, штокверки, гнезда)

Количественным показателем сложности формы залежи полезных ископаемых является *контурный модуль*. Он рассчитывается в проекциях тела полезного ископаемого на горизонтальную, вертикальную или наклонную плоскости. Согласно одним авторам (Л.И. Четвериков), контурный модуль можно опреде-

лить, зная площадь разведанного контура залежи (S_p), его длину (l_p) и периметр (P_p) по формуле:

$$3)\ M = \frac{P_p}{\left[2\times\left(l_p+\frac{S_p}{l_p}\right)\right]} + 0{,}121$$

По величине этого модуля тела полезных ископаемых по сложности их контура классифицируются на 5 групп: 1) весьма простые (M=1,0-1,2), 2) простые (M=1,2-1,4), 3) средние (M=1,4-1,6), 4) сложные (M=1,6-1,8), 5) весьма сложные (M>1,8).

По другим авторам (Ясковский П.П.), контурный модуль можно рассчитать как отношение фактического периметра разведанного контура залежи (P_p) к теоретическому периметру (P_m) равновеликой простой фигуры (круга, эллипса, прямоугольника) по формуле:

$$4)\ M_k = \frac{P_p}{P_m}$$

При этом для определения теоретического периметра круга, эллипса и прямоугольника применяются следующие формулы:

$$5)\ P_m = 2\sqrt{\pi S}\ \text{ - для круга,}$$

$$6)\ P_m = 1{,}5\cdot\sqrt{\frac{\pi S}{a}}\cdot(a+1)\ \text{ - для эллипса,}$$

$$7)\ P_m = 2\cdot\sqrt{\frac{S}{b}}\cdot(b+1)\text{- для прямоугольника,}$$

где: S – площадь тела полезного ископаемого, м^2;

a – отношение большей и меньшей полуосей эллипса;

b - отношение длинной и короткой сторон прямоугольника.

По значению контурного модуля выделяют по форме четыре группы тел: 1) простые ($Mк$=1,0-1,2), 2) относительно простые ($Mк$=1,2-1,5), 3) сложные ($Mк$=1,5-2,0), 4) весьма сложные ($Mк$>2,0).

Форма тел полезных ископаемых является основным фактором, определяющим выбор способа вскрытия, системы разработки, уровень потерь и разубоживания полезных ископаемых при эксплуатации месторождений.

Форма и размеры залежей полезных ископаемых (в плане и разрезах) определяют общие размеры горного отвода, карьерных, рудничных и шахтных полей, способы и схемы вскрытия месторождения, некоторые параметры системы разработки, развитие транспортной сети, схему вентиляции.

При открытой разработке тел полезных ископаемых компактной изометричной формы применяются сплошные системы разработки карьером с внешним отвалообразованием и перевозкой пород вскрыши автотранспортом. При разработке месторождений вытянутой формы (пластов, жил) перевозка вскрыши осуществляется железнодорожным транспортом.

При подземной разработке изометричных залежей с небольшой горизонтальной площадью усложняется техника и организация ведения горных работ вследствие вскрытия и подготовки запасов руды к очистной выемке сразу на нескольких горизонтах и создания сложных схем проветривания горных выработок.

ЛЕКЦИЯ 3

УРОВНИ СТРОЕНИЯ ТЕЛ ПОЛЕЗНЫХ ИСКОПАЕМЫХ

Залежь полезного ископаемого является сложным геологическим объектом. Внутреннее строение залежи можно рассматривать как систему природных (геологических, минералогических и геохимических) уровней. В строении типовой теоретической структурно-иерархической модели залежи (ТТСИМЗ) выделяется 6 природных уровней (табл. 3).

Таблица 3

Иерархия уровней строения тел полезных ископаемых

Уровень строения	Геологический элемент неоднородности (ГЭН)	Размер ГЭН, м
1. Месторождение полезных ископаемых	Тело полезного ископаемого	$nx(10^2\text{-}10^4)$
2. Тело полезного ископаемого	Морфологически обособленный участок залежи полезного ископаемого	$nx(10^0\text{-}10^2)$
3. Участок тела полезного ископаемого (технологический тип, промышленный сорт полезного ископаемого)	Однородная по качеству часть тела полезного ископаемого (природный тип полезного ископаемого)	$nx(10^{-1}–10^1)$

4. Однородная часть тела полезного ископаемого (природный тип полезного ископаемого)	Минеральный агрегат	$nx(10^{-3}\text{-}10^{-1})$
5. Минеральный агрегат	Минеральный индивид	$nx(10^{-4}\text{-}10^{-2})$
6. Минеральный индивид	Молекулярный или химический состав	$nx10^{-5}$

На первом структурном уровне геологическим элементом неоднородности (ГЭН) являются залежи полезных ископаемых, входящие в состав месторождения. К ГЭН 2 уровня относятся морфологически обособленные участки тел полезных ископаемых. Например, пласты, пропластки в пластовых залежах сложного строения. ГЭН 3 уровня являются качественно однородные части залежей. Например, природные типы руд (серноколчеданные, медноколчеданные, колчеданно-полиметаллические). На 4 уровне к ГЭН относятся локальные обособления полезных ископаемых, различающиеся по текстуре минеральных агрегатов (массивные, вкрапленные, прожилковые руды). ГЭН 5 уровня являются минеральные индивиды (зерна) полезных ископаемых, слагающие минеральные агрегаты различной структуры (мелко-, средне-, крупнозернистые и т.д.).

К ГЭН на наиболее высокочастотном 6 уровне относятся молекулы или атомы, характеризующие химический состав полезных ископаемых (например, содержание Al_2O_3 и SiO_2 в бокситах, Cu – в колчеданных рудах).

Уровенные строение залежей полезных ископаемых на конкретных месторождениях определяется степенью сложности их геологического строения. Приведем характерные примеры. В строении месторождения каменной соли 2-й группы сложности выделяют 4 структурных уровня. ГЭН на этих уровнях являются: 1) отдельная пачка слоев в соляной толще, 2) отдельный слой в пачке, 3) отдельный прослой в слое, 4) отдельные зерна соли в прослое. В качестве другого примера рассмотрим иерархическую модель аллювиальной россыпи алмазов. В строении алмазоносных россыпей, относящихся к 4 группе сложности, В.И. Набиуллин выделяет 7 структурных уровней и соответствующих им ГЭН: 1) геоморфологически обособленный отрезок россыпи (4600-9300 м), 2) морфологически обособленный участок россыпи (1500-3400 м), 3) струеобразное скопление алмазов (400-890 м), 4) линзообразное скопление (90-160 м), 5)

гнездообразное скопление (25-40 м), 6) карманообразное скопление (10-12 м), 7) локальное скопление отдельных кристаллов алмазов ($n \times 10^{-1}$м).

КЛАССИФИКАЦИЯ ЗАЛЕЖЕЙ ПОЛЕЗНЫХ ИСКОПАЕМЫХ ПО УСЛОВИЯМ ЗАЛЕГАНИЯ ДЛЯ ЦЕЛЕЙ ЭКСПЛУАТАЦИИ

На стадии эксплуатации месторождений к условиям залегания тел полезных ископаемых (углу их падения, мощности, глубине залегания) горной промышленностью предъявляются определенные требования.

Залежи полезных ископаемых *по углу падения* делятся на следующие группы: 1) горизонтальные и весьма пологие (0-10^o); 2) пологие (10-30^o); 3) наклонные (30-45^o); 4) крутопадающие (45-90^o).

Единой классификации тел полезных ископаемых *по мощности* не существует. Их разделяют на классы, неодинаковые для разных способов разработки и вида полезных ископаемых (рудные, нерудные).

При открытой разработки месторождений полезных ископаемых рудные тела делятся на: 1) весьма маломощные (до 2 м), 2) малой мощности (2-10 м), 3) средней мощности (10-20 м), 4) мощные (20-50 м), 5) весьма мощные (более 50 м).

Рудные тела, предназначенные для подземной разработки, подразделяются на следующие классы: 1) тонкие (до 0,8 м), 2) маломощные (0,8-3 м), 3) средней мощности (3-8 м), 4) мощные (8-30 м), 5) весьма мощные (более 30 м).

Угольные пласты при подземной разработке делятся на: 1) весьма тонкие (до 0,7 м), 2) тонкие (0,7-1,2 м), 3) средней мощности (1,2-3,5 м), 4) мощные (более 3,5 м).

По *выдержанности залежей по мощ*ности они делятся на 4 типа:

1) выдержанные – имеющие рабочую мощность в пределах шахтного поля, месторождения, района или даже бассейна;

2) относительно выдержанные – в пределах которых блоки с нерабочей мощностью составляют не более 25% площади залежи;

3) невыдержанные (прерывистые) – внутри которых блоки с нерабочей мощностью занимают 25-50% площади залежи;

4) крайне невыдержанные – в пределах которых блоки с нерабочей мощностью составляют более 50% площади залежи.

По *глубине залегания* залежей полезных ископаемых, определяющей способ их разработки (открытый, подземный или комбинированный) они подразделяются на: 1) неглубоко залегающие (до 100 м), 2) средней глубины залегания (100-200 м), 3) глубоко залегающие (200-300 м), 4) весьма глубоко залегающие (300-500 м), 5) исключительно глубоко залегающие (более 500 м).

Глубина подземной разработки месторождений обычно не превышает 1000 м, за исключением ЮАР (золото-урановые месторождения района Витватерсранд, около 5 км), Индии (провинция Колар, золото, 3,5 км), Канады и США (2-2,5 км).

Классификация типов и сортов руд в залежах полезных ископаемых разработана для целей добычи и обогащения полезных ископаемых. В классификации руд выделяются 4 уровня, образующих иерархическую систему в порядке от крупных подразделений к мелким: 1) технологический тип, 2) промышленный сорт, 3) технологический сорт, 4) природный тип руд.

Технологические типы руд различаются способом переработки. Например, на железорудных месторождениях выделяются руды для плавки (мартеновские и доменные), для агломерации (богатые), для обогащения (рядовые и бедные). Эти типы руд выделяются по содержанию в них железа и вредных примесей (серы и фосфора). На многих рудных месторождениях к различным технологическим типам относятся первичные и окисленные руды, так как они требуют разных схем переработки. Каждый технологический тип руды должен быть оконтурен, раздельно добыт и переработан.

Промышленные сорта руд отличаются по области применения или кондициям – экономически обоснованным показателям качества. Например, на рудных месторождениях выделяют богатые, рядовые и бедные руды. По количе-

ству ценных компонентов руды делятся на комплексные и некомплексные. Комплексные руды подразделяют по соотношению компонентов, например, руды медные и цинковые на колчеданных месторождениях. Часто внутри технологического типа выделяется несколько промышленных сортов руд. Каждый промышленный сорт должен быть оконтурен и запасы его подсчитаны отдельно.

Технологические сорта руд различаются показателями обогащения, что обусловлено их текстурно-структурными и минералогическими особенностями. Например, выделяются руды хорошо-, средне- и труднообогатимые. В пределах одного промышленного сорта различные по текстуре и структуре технологические сорта руд могут резко отличаться по количеству и качеству продуктов обогащения. Например, на месторождениях железа прожилково-брекчиевые руды являются легкообогатимыми, а вкрапленные руды - труднообогатимыми.

Природные типы руд выделяются по минеральному составу, текстуре и структуре, физическим свойствам. Например, на колчеданных месторождениях по минеральному составу руды могут быть халькопирит-пиритовые, сфалерит-пиритовые, галенит-пиритовые и т.д. По текстуре выделяются руды массивные, вкрапленные, пятнистые, брекчиевидные, прожилковые; по структуре – крупно-, средне-, мелко- и тонкозернистые. В составе одного технологического сорта может присутствовать несколько природных типов руд.

Изучение типов и сортов руд ведется от частного к общему. Вначале в процессе геологической документации выделяются природные типы руд. Из них отбирают рядовые или секционные пробы. Химический или технический анализ этих проб позволяет разделить руды на промышленные сорта, а по технологическим испытаниям проб – определяют наличие и количество технологических сортов руд. При необходимости применения различных схем переработки руд выделяются технологические типы руд.

ЛЕКЦИЯ 4

АНИЗОТРОПИЯ СВОЙСТВ ТЕЛ ПОЛЕЗНЫХ ИСКОПАЕМЫХ

Анизотропия свойств тел полезных ископаемых проявляется в неоднородном внутреннем строении залежей и разной изменчивости содержаний полезных компонентов по простиранию, падению и мощности рудных тел.

Количественной характеристикой анизотропии является показатель изменчивости (*I*) строения залежи в конкретном направлении. Он представляет собой среднюю скорость смены элементов строения тела в данном направлении. Показатель изменчивости определяется по формулам:

$$1)\ I = \frac{\sum i}{m},$$

$$2)\ i = \frac{n}{l_i},$$

где: i – показатель изменчивости по конкретной линии, проведенной в данном направлении внутри залежи;

n – количество элементов, пересекаемых этой линией;

l_i – длина линии, м;

m – количество линий, проведенных в одном направлении.

Теоретической моделью анизотропии строения тел полезных ископаемых выступает индикатриса анизотропии. Это воображаемая эллипсовидная поверхность, величина радиуса вектора которой соответствует показателю изменчивости (*I*) в разных направлениях. Оси индикатрисы соответствуют по величине и ориентировке осям анизотропии по мощности (I_m), ширине (I_h) и длине (I_L) залежи.

Важной характеристикой анизотропности геометрического строения тел является показатель степени анизотропности (*A*), определяемый по формуле:

3) $A = \frac{I_{\max}}{I_{\min}}$ где I_{max}, I_{min} – максимальное и минимальное значения показателя изменчивости строения тел.

При А >1 залежь полезного ископаемого является анизотропной, при А≈1 тело полезного ископаемого имеет изотропное строение.

Каждый из 4 ранее выделенных по форме типов тел полезных ископаемых характеризуется своей анизотропией строения (табл. 4).

Таблица 4

Соотношение между формой и анизотропией строения тел полезных ископаемых

Тип залежи по форме	Геометрические элементы (L, $\bar{H}$, $\bar{M}$) формы	Анизотропия строения (I_M, I_H, I_L)
I (пласты, жилы, ленты)	$L>H>\bar{M}$ $B=\frac{L^2}{S}$	$I_M> I_H> I_L$ $A=\frac{I_M}{I_L}$
II (линзы, дисковидные залежи)	$H>\bar{M}$ $B=\frac{\bar{H}}{\bar{M}}$	$I_M> I_H$ $A=\frac{I_M}{I_H}$
III (трубки, столбы)	$L>\bar{M}$ $B=\frac{L}{\bar{M}}$	$I_M> I_L$ $A=\frac{I_M}{I_L}$
IV (штоки, штокверки, гнезда)	$\bar{M}$	I_M

Между формой тел полезных ископаемых и анизотропией их внутреннего строения существует тесная связь. Эта зависимость выражается формулой:

4) $A=KB$, где A – показатель анизотропии, K – коэффициент пропорциональности, B – показатель вытянутости формы залежи.

I тип залежей (пласты, жилы) характеризуется трехосной анизотропией ($I_M>I_H>I_L$) и индикатрисой анизотропии в форме трехосного эллипсоида или овалоида.

II тип залежей (линзы, дисковидные залежи) представляет двухосная анизотропия ($I_M>I_H$), имеющая индикатрису в форме вытянутого эллипсоида или овалоида.

III тип тел полезных ископаемых (трубки, столбы) также имеет две оси анизотропии ($I_M>I_L$) и индикатрису анизотропии в виде сплюснутого эллипсоида или овалоида вращения.

Для IV типа залежей (штоки, штокверки, гнезда) характерна одноосная анизотропия (I_M) и индикатриса шаровидной, сфероидной формы.

СИММЕТРИЯ ФОРМ ТЕЛ ПОЛЕЗНЫХ ИСКОПАЕМЫХ

Тела полезных ископаемых, как и кристаллы, обладают определенной симметрией, за исключением залежей сложной формы, для которых элементы симметрии отсутствуют.

Симметрию основных форм тел полезных ископаемых представим в виде таблицы 5.

Таблица 5

Симметрия основных форм тел полезных ископаемых

Тип залежи по форме	Варианты симметрии формы				
	1	2	3	4	5
I Пласты, жилы, ленты	$3L_2 \cdot 3P$	$L_2 \cdot 2P$	P	-	Элементы симметрии залежи отсутствуют
II Линзы, дисковидные залежи	$L\infty \times \infty L_2 \times \infty P$	$L\infty \times \infty P$	$Ln \cdot nP$	Ln	
III Трубы, столбы	$L\infty \times \infty L_2 \times \infty P$	$L\infty \times \infty P$	$Ln \cdot nP$	Ln	
IV Штоки, штокверки, гнезда	$\infty L_\infty \times \infty P$	$\infty L\infty$	$nL \cdot n$	-	

Первый тип представлен залежами сплюснуто-вытянутой формы. Для правильной формы тела в виде вытянутого сплюснутого эллипсоида характерна симметрия «кирпичика», по терминологии И.И. Шафрановского, включающая три оси 2 порядка и три плоскости симметрии ($3L_2 \cdot 3P$).

Когда одна поверхность тела более сплюснута, чем другая, наблюдается уменьшение симметрии, и она соответствует симметрии «крыши», состоящей из $L_2 \cdot 2P$. Когда срединная поверхность тела сложно изогнутая, а ось тела – кривая линия, имеет место минимальная симметрия, состоящая из одной плоскости симметрии (P). Сложные тела лентовидной формы характеризуются отсутствием элементов симметрии.

Второй тип залежей имеет невытянутую линзовидную, дисковидную форму. К третьему типу тел принадлежат залежи трубообразной формы. Тела 2 и 3 типа характеризуются одинаковыми элементами симметрии. Если они обладают идеальной дисковидной или трубообразной формой, то для них характерны ось бесконечного порядка и бесконечное количество осей 2 порядка и плоско-

стей симметрии $L\infty \times \infty L_2 \times \infty$P. Если залежь имеет в плане форму круга, она имеет симметрию «цилиндра» ($L\infty \times \infty P$). Если тело в плане имеет форму «каравая», отличную от круга, для него характерна симметрия «конуса» *Ln·nP*, где *Ln* – ось 2 порядка и выше. Когда тело имеет форму «рога», и ось тела криволинейная, сильно изогнутая, имеет место криволинейная ось симметрии *Ln*. Для залежей 2 и 3 типов сложной формы элементы симметрии отсутствуют.

Четвертый тип включает залежи, имеющие изометричную форму. Тела идеальной формы имеют симметрию «шара», характеризующуюся наличием бесконечного количества осей бесконечного порядка и бесконечного количества плоскостей симметрии. Для тел, отличных от идеальной формы характерны $\infty L\infty$ и nL·n (где n≥ 2), а также отсутствием элементов симметрии для наиболее сложных форм.

Тела полезных ископаемых также характеризуются определенной симметрией анизотропии их строения в зависимости от комбинации осей анизотропии (табл. 6).

Таблица 6

Симметрия анизотропии строения тел полезных ископаемых

Тип залежи по форме	Анизотропия строения (I_M, I_H, I_L)	Симметрия		
		Варианты	Максимальная	Минимальная
I Пласты, жилы, линзы	$I_M > I_H > I_L$ $A=I_M/I_H$	1	$3L_2 3P$	3P
		2	$L_2 2P$	2P
		3	P	нет
		4	нет	нет
II Линзы, дисковидные залежи	$I_M > I_H$ $A=I_M/I_H$	5	$L\infty \times \infty L_2 \times \infty$P	Ln
III Трубы, столбы	$I_M > I_L$ $A=I_M/I_L$	6	$L\infty \times \infty P$	$L\infty$ (криволинейная)
IV Штоки, штокверки, гнезда	I_M	7	$L\infty \times \infty P$	$\infty L\infty$

ЛЕКЦИЯ 5

ГЕОЛОГО-ПРОМЫШЛЕННЫЕ УРОВНИ СТРОЕНИЯ ЗАЛЕЖЕЙ

При проведении разведки и эксплуатации месторождений природные структурные уровни строения залежей полезных ископаемых трансформируются в геолого-промышленные уровни. К ним относятся: 1) тело полезного ископаемого, 2) подсчетный блок, 3) эксплуатационный блок (уступ), 4) объем селекции.

1. *Тело полезного ископаемого* как геолого-промышленное понятие представляет собой скопление полезных ископаемых в пределах естественного контура, проведенного по геологическим границам или искусственного контура, проведенного в соответствии с кондициями, удовлетворяющими требованиям промышленности.

2. *Подсчетный геологический блок* соответствует структурному уровню морфологически обособленного участка тел полезных ископаемых. Подсчетный блок должен быть геологически и технологически однородным, находиться в одинаковых горнотехнических условиях и не превышать по размерам полугодовой - годовой объем добычи полезных ископаемых горным предприятием. Среднее содержание полезного компонента в подсчетном блоке должно быть больше минимального промышленного содержания ($C_{мп}$) для отнесения запасов к балансовым.

3. *Эксплуатационный блок или уступ* соответствует структурному уровню локально обособленного участка тела полезного ископаемого. Контуры эксплуатационных блоков зависят от горнотехнических условий эксплуатации. Среднее содержание полезных компонентов в эксплуатационном блоке может быть как больше, так и меньше минимального промышленного содержания ($C_{мп}$), но больше бортового содержания полезных компонентов ($C_{б}$).

4. *Объем селекции* отвечает структурному уровню минерального агрегата полезных ископаемых. Этот уровень выявляется только на стадии сопровождающей эксплуатационной разведки. В процессе очистных работ выделение объ-

ема селекции целесообразно при раздельной отбойке и выдаче полезных ископаемых и вмещающих пород. Рассмотренные геолого-промышленные уровни строения залежей полезных ископаемых выявляются на разных стадиях геолого-разведочных работ, начиная с разведки месторождения и заканчивая сопровождающей эксплуатационной разведкой.

ИЗМЕНЧИВОСТЬ СВОЙСТВ ТЕЛ ПОЛЕЗНЫХ ИСКОПАЕМЫХ

Способность измеряемых параметров (мощности тел, содержания полезных компонентов) менять свое количественное значение в разных точках пространства называется **изменчивостью**. При этом различают *случайную* и *координированную*, или *закономерную* изменчивость свойств залежей. Изменчивость свойств тел полезных ископаемых изучается с помощью различных геолого-математических моделей. Среди них наиболее распространенными являются вероятностно-статистическая, геометро-статистическая и геостатистическая модели.

1. Основными характеристиками ***вероятностно-статистической*** модели являются: 1) среднее значение оценочного параметра ($\overline{U}$), 2) среднеквадратическое отклонение ($\overline{S}$) и коэффициент вариации (V). Они определяются по формулам:

$$1)\ \overline{U} = \frac{\sum_{i=1}^{n} U_i}{n},$$

$$2)\ \overline{S} = \sqrt{\sum_{i=1}^{n} \frac{\left(U_i - \overline{U}\right)^2}{(n-1)}},$$

$$3)\ V = \frac{\overline{S}}{\overline{U}} \cdot 100\%$$

где: *Ui* – измеренное значение параметра в *i*-той точке;

$\overline{U}$ – среднее значение параметра,

n – количество определений содержаний полезного компонента или замеров мощности тел полезных ископаемых.

Коэффициент вариации является мерой общей амплитудной изменчивости исследуемого параметра, включающей как случайную, так и закономерную составляющую.

По значению коэффициента вариации залежи полезных ископаемых делятся на 5 групп:

I - Весьма равномерная изменчивость (V<20%) – пласты углей, фосфоритов, минеральных солей.

II - Равномерная изменчивость (V=20-40%) – пластообразные залежи железных, марганцевых руд.

III - Неравномерная изменчивость (V=40-100%) – медноколчеданные линзы, штокверки медных, молибденовых руд.

IV – Весьма неравномерная изменчивость (V=100-150%) – жильные месторождения молибдена, золота, барита, флюорита.

V – Крайне неравномерная изменчивость (V>150%) – гнезда редких металлов, драгоценных камней.

2. ***Геометро-статистическая модель*** для описания изменчивости свойств залежей использует *амплитудные* и *частотные* характеристики. Для оценки закономерной составляющей изменчивости строится график *сглаженной аппроксимирующей функции* с помощью интерполяционного полинома по 5 точкам по формуле:

$$4)\ U_j = \frac{1}{16}(U_{i-2} + 4U_{i-1} + 6U_i + 4U_{i+1} + U_{i+2}),$$

где U_j – значение аппроксимирующей функции исследуемого параметра в заданной точке профиля;

U_i – измеренное значение параметра в той же точке i;

U_{i-2}, $4U_{i-1}$, $6U_i$, $4U_{i+1}$, U_{i+2} – значения параметра в соседних точках профиля.

Амплитудными характеристиками геологического поля являются: 1) $\overline{U}$ – среднее значение параметра, 2) среднеквадратичная амплитуда закономерных отклонений параметра (S_1), 3) среднеквадратичная амплитуда случайных от-

клонений параметра (S_2), 4) погрешность построения аппроксимирующей функции ($\Delta\alpha$), 5) погрешность определения среднего (ΔU). Расчет координированной (S_1^2) и случайной (S_2^2) дисперсий амплитудной изменчивости производится по формулам:

5) $S_1^2 = \frac{\sum_{i=1}^{n}[fg(x_i) - \overline{U}]^2}{n-1}$ - координированная дисперсия амплитудной изменчивости,

6) $S_2^2 = \frac{\sum_{i=1}^{n}[U_i - fg(x_i)]^2}{n-1}$ – случайная дисперсия амплитудной изменчивости,

где: Ui, $\overline{U}$ – единичное наблюдение и среднее значение параметра,

$fg(x_i)$ – значение аппроксимирующей функции в конкретном пункте (x_i).

Далее определяем доли закономерной и случайной составляющей изменчивости по формулам:

7) $\frac{S_1^2}{S^2}$ – доля закономерной составляющей изменчивости,

8) $\frac{S_2^2}{S^2}$ – доля случайной составляющей изменчивости, где

где: S^2 – дисперсия общей амплитудной изменчивости параметра.

Погрешность построения аппроксимирующей функции оценивается формулой:

$$9)\ \Delta\alpha = \frac{\pm 2S_2}{\sqrt{m}} \approx 0{,}89S_2,$$

где: m=5 (количество членов интерполяционного полинома).

Погрешность определения среднего рассчитывается по формуле:

$$10)\ \Delta U = \frac{\pm 2S_2}{\sqrt{n}},$$

где: n – число наблюдений на разведочном профиле.

Радиус геометрической автокорреляции (r_q) характеризующей частотную изменчивость параметра, определяется по формуле:

$$11)\ r_q = \frac{L}{1+2Kq},$$

где: L – длина разведочного профиля, м;

K_q – количество экстремумов (максимумов и минимумов) аппроксимирующей функции (точек, где $\frac{du}{dx}$=0).

Геометро-статистическая модель используется для определения частотной изменчивости параметра при преобладании доли закономерной составляющей изменчивости над долей случайной составляющей или их равных соотношениях.

3. ***Геостатистическая модель*** применяется для исследования частотной изменчивости при преобладании доли случайной составляющей изменчивости в распределении значений параметра. Основными характеристиками геостатистической модели являются: 1) дисперсия случайной составляющей изменчивости (*D*), 2) автоковариационная функция *[K(h)*], 3) автокорреляционная функция *[r(h)]*, 4) вариограмма *[j(h)]*, 5) радиус автокорреляции (*Ra*). Эти величины рассчитываются по приведенным ниже формулам.

12) $D=\frac{1}{n}\sum_{i=1}^{n}[\delta(x_i)]^2$ - дисперсия случайной составляющей изменчивости;

13) $K(h)=\frac{1}{m}\sum_{i=1}^{n}[\delta(x_i+h)\cdot\delta(x_i)]$ - автоковариационная функция;

14) r(h)=K(h)/D – автокорреляционная функция (коэффициент автокорреляции),

15) $j(h)=\frac{1}{2n}\sum_{i=1}^{n}[\varphi(x_i+h)-\varphi(x_i)]^2$ - вариограмма;

16) D=j(h)+K(h) – дисперсия случайной составляющей изменчивости;

17) $\delta(x_i)=\varphi(x_i)-\bar{\varphi}$,

где: $\delta(x_i)$ - случайное отклонение значений признака от среднего значения в *i*-той точке;

$\bar{\varphi}$ - среднее значение признака;

n – количество наблюдений;

h – шаг наблюдений, м;

m – количество соседних отклонений значений признака.

Частотная изменчивость признака (мощности, содержаний полезного компонента) в геостатистической модели определяется величиной радиуса авто-

корреляции, за который принимают шаг наблюдений, при котором линия автокорреляции первый раз пересекает линию абсцисс.

Исследование изменчивости свойств тел полезных ископаемых при помощи геометро-статистической или геостатической моделей проводится для выявления анизотропии строения залежей. Она определяется по средним значениям показателей частотной изменчивости – радиусов геометрической автокорреляции (R_q) и автокорреляции (R_a). Они рассчитываются по разведочным профилям, ориентированным по мощности (М), ширине (Н) или длине (L) тел полезных ископаемых. В этом случае коэффициент анизотропии (k_a) определяется по формулам:

18) $k_a = \frac{R_L}{R_M}$ - для залежей I и III типа (пласты, жилы, трубки);

19) $k_a = \frac{R_h}{R_M}$ - для залежей II типа линзовидной, дискообразной формы.

Коэффициент анизотропии (k_a) также применяется для оценки степени анизотропии разведочной сети. По его значению выделяют 5 классов разведочной сети:

1) изотропная (k_a<1,5);

2) слабоанизотропная (k_a=1,5-3);

3) среднеанизотропная (k_a=3-5);

4) сильноанизотропная (k_a=5-10);

5) крайне анизотропная (k_a>10).

В первом классе горные выработки и буровые скважины располагаются по квадратной сети, в остальных классах – по прямоугольной сети.

ЛЕКЦИЯ 6

ГЕОЛОГОРАЗВЕДОЧНЫЕ РАБОТЫ НА ГОРНЫХ ПРЕДПРИЯТИЯХ

Геологоразведочные работы на горных предприятиях выполняются для решения следующих задач:

1) выявление и оценка новых запасов полезных ископаемых в районе горного отвода для расширения минерально-сырьевой базы горного предприятия и продления срока его существования - задачи доразведки месторождения;

2) уточнение данных о разведанных запасах полезных ископаемых по мере их вскрытия, подготовки и отработки, повышение степени разведанности запасов – задачи эксплуатационной разведки.

3) контроль за качеством и полнотой отработки запасов полезных ископаемых, величиной потерь и разубоживания полезных ископаемых – текущие задачи геологической службы.

Геологоразведочные работы, направленные на выполнение этих задач проводятся обычно одновременно на различных участках месторождения. Они тесно взаимосвязаны между собой и составляют основу геологического обеспечения рациональной эксплуатации месторождений полезных ископаемых.

ДОРАЗВЕДКА МЕСТОРОЖДЕНИЙ ПОЛЕЗНЫХ ИСКОПАЕМЫХ

Доразведка месторождений в действующем Положении о стадийности геологоразведочных работ не рассматривается как отдельная стадия. Необходимость проведения доразведки месторождения определяется недропользователем.

Доразведка месторождения, не освоенного промышленностью, хотя и детально разведанного проводится для получения дополнительной геологической информации. Она необходима в связи с пересмотром проектной производственной мощности горного предприятия, технологии добычи и переработки минерального сырья. Доразведка месторождений полезных ископаемых также осуществляется при несоответствии имеющейся геологической информации действующей классификации запасов полезных ископаемых.

Доразведка разрабатываемого месторождения проводится на менее изученных его участках: флангах, глубоких горизонтах, обособленных залежах. Она предусматривает детальное изучение этих участков для восполнения отрабо-

танных запасов месторождения разведанными запасами промышленных категорий (А, В, $С_1$).

Основными задачами доразведки месторождения являются:

1) изучение изменчивости формы тел полезных ископаемых;

2) выявление закономерностей распространения полезных компонентов в залежах полезного ископаемого;

3) выявление природных разновидностей, промышленных типов и сортов полезных ископаемых;

4) комплексное изучение основных и попутных полезных компонентов, их фазового состояния;

5) уточнение гидрогеологических, инженерно-геологических, горнотехнических условий месторождения;

6) оконтуривание безрудных участков внутри тел полезных ископаемых, а также участков развития тектонических нарушений;

7) увеличение количества запасов месторождения за счет изменения контуров известных залежей на флангах и глубине, а также оконтуривания вновь выявленных тел полезных ископаемых;

8) изучение технологических свойств полезных ископаемых, их влияние на геолого-экономическую оценку месторождения.

Доразведка разрабатываемого месторождения по детальности проведения геологоразведочных работ может соответствовать стадиям оценочных и разведочных работ. На менее изученных участках месторождения (флангах, глубоких горизонтах) доразведка проводится с целью получения запасов полезного ископаемого категорий $С_2$ и $С_1$, их постепенного перевода в категории В и А с последующей подготовкой этих участков к отработке.

Доразведка эксплуатируемого месторождения отличается от разведки нового месторождения следующими особенностями: 1) использование при проектировании разведочных работ уже известных на детально разведанных участках факторов локализации полезных ископаемых; 2) возможность совмещения во

времени и пространстве отдельных стадий геолого-разведочных работ (оценки, разведки, эксплуатационной разведки); 3) максимальное использование для разведочных целей подготовительных и нарезных горных выработок и наоборот, разведочных горных выработок – для вскрытия, подготовки и нарезки тел полезных ископаемых; 4) возможность отработки новых разведанных тел полезных ископаемых сразу же после оперативного подсчета их запасов; 5) геолого-экономическая оценка разведанных запасов проводится на основе реальных технико-экономических показателей работы горного предприятия.

Выбор систем и технических средств доразведки месторождений полезных ископаемых определяется в зависимости от сложности геологического строения месторождения, в соответствии с параметрами сети, использованной при разведке месторождения, а также способами и системами его разработки. С учетом этих факторов на стадии доразведки применяются следующие системы разведки: 1) по сети (квадратной, прямоугольной, ромбической); 2) параллельных сечений (разрезов) – горизонтальных и вертикальных.

Разведка по сети используется для крупных по размерам, простых по морфологии и внутреннему строению тел полезных ископаемых, залегающих горизонтально или полого I и II групп сложности – пластов, штокверков, пластообразных залежей.

Разведка горизонтальными сечениями осуществляется для крутопадающих тел сложных формы и строения – трубообразных, жильных. Вертикальные сечения применяются при разведке любых по форме тел, характеризующихся переменными углами падения, со сложным внутренним строением.

Частным случаем системы вертикальных сечений является разведка аллювиальных россыпей, когда расстояние между разведочными линиями в десятки раз может превышать расстояние между разведочными выработками в линиях.

На стадии доразведки месторождений в зависимости от сложности их строения применяются буровые, комбинированные (горно-буровые) или горные разведочные системы.

Доразведка месторождений полезных ископаемых, разрабатываемых открытым способом, обычно имеет меньшие масштабы, чем на горных предприятиях, ведущих подземную разработку месторождений. Доразведка на таких месторождениях проводится с целью более детального изучения флангов и периферийных частей тел полезных ископаемых для обоснованного определения контура карьера и размещения производственных коммуникаций и объектов. Доразведка залежей полезных ископаемых проводится сочетанием скважин колонкового и бескернового бурения.

При подземной разработке доразведка осуществляется на всех месторождениях, независимо от группы сложности по геологическому строению. На пластовых месторождениях I группы сложности применяются буровые системы. В случае глубокого залегания тел полезных ископаемых используются горно-буровые системы с проходкой коротких восстающих и рассечек из штреков и квершлагов и бурением скважин.

Такая комбинированная система применялась, в частности, на Миргалимсайском полиметаллическом месторождении для создания разведочной сети 50х50 м и отнесении запасов к категории В.

Доразведка пластообразных и линзовидных тел на месторождениях II группы сложности осуществляется путем проходки разведочных горных выработок и бурением подземных скважин при преобладающей роли последних, доразведка таких тел реализуется по двум принципиальным схемам – штрековой и ортовой. При штрековой схеме производится веерное бурение скважин в вертикальной плоскости из полевых горно-подготовительных штреков. При ортовой схеме доразведки проходят орты из штреков, а затем из тех и других бурят наклонные и горизонтальные скважины вкрест простирания тела полезного ископаемого.

Для доразведки жильных и штокверковых месторождений III группы сложности также применяются комбинированные системы, при повышенной роли горных выработок по сравнению с буровыми скважинами.

Доразведка жилообразных и гнездовидных залежей на месторождениях IV группы сложности проводится горными системами. Например, на месторождениях изумруда до глубины 30-40 метров проходят шурфы с рассечками вкрест простирания жильных зон, а доразведка глубоких горизонтов проводится комплексом подземных горных выработок (шахт, квершлагов, штреков и ортов).

В целом доразведка флангов и глубоких горизонтов месторождений характеризуется большей плотностью разведочной сети, чем их разведка.

ЛЕКЦИЯ 7

ЭКСПЛУАТАЦИОННАЯ РАЗВЕДКА МЕСТОРОЖДЕНИЙ

Эксплуатационная разведка – это стадия геологоразведочных работ, проводимых в процессе разработки месторождения. Цель эксплуатационной разведки состоит в уточнении полученных при разведке данных о количестве, качестве запасов, условиях залегания тел полезных ископаемых. Она предназначена для текущего и оперативного планирования добычи полезных ископаемых, обеспечения проведения горно-капитальных, горно-подготовительных, нарезных и очистных работ, контроля за полнотой и качеством отработки запасов.

Основными задачами эксплуатационной разведки являются:

1) Уточнение условий залегания, размеров и формы тел полезных ископаемых, их внутреннего строения в пределах рабочего или подготавливаемого к отработке этажа, горизонта, блока или уступа.

2) Оконтуривание безрудных прослоев и участков некондиционных руд внутри рудных тел.

3) Детальное изучение качества полезных ископаемых, распределения полезных и вредных компонентов, пространственного размещения типов и сортов полезного ископаемого.

4) Учет потерь и разубоживания полезных ископаемых при добыче.

5) Определение гидрогеологических, инженерно-геологических, горнотехнических условий эксплуатации месторождения.

Эксплуатационная разведка, в отличие от стадии разведки месторождений, имеет следующие особенности: 1) она проводится не на всем месторождении, а по мере развития добычных работ, опережая их не более чем на один - два года; 2) система эксплуатационной разведки и плотность разведочной сети зависят не только от природных геологических факторов, но также и от применяемых систем разработки месторождения и технологии обогащения и переработки полезных ископаемых; 3) разведочные горные выработки и буровые скважины проходят из подготовительных, нарезных и очистных выработок и они часто не пересекают тело полезного ископаемого на всю мощность; 4) методики эксплуатационной разведки при открытом и подземном способах разработки существенно различаются; 5) опробование при эксплуатации месторождений приобретает массовых характер.

Методику проведения эксплуатационной разведки определяют следующие факторы:

1) сложность контура залежей полезного ископаемого и их внутреннего строения;

2) применяемые системы открытой, подземной или комбинированной разработки месторождения и способы переработки полезного ископаемого;

3) ценность минерального сырья и себестоимость его добычи;

4) расположение и плотность разведочной сети на стадии разведки месторождения.

Эксплуатационная разведка, несмотря на ее специфические особенности, в значительной мере наследует систему разведки месторождения или приспосабливается к ней. Часто разведочная сеть в процессе эксплуатации месторождения только сгущается вдвое или четверо.

Вместе с тем, формируемая система эксплуатационной разведки тесно связана с системой подготовки и нарезки эксплуатационных этажей (горизонтов). Особенно это имеет значение при подземной разработке месторождений полезных ископаемых.

Эксплуатационная разведка проводится за счет основных производственных фондов горного предприятия, затраты на ее проведение относятся на себестоимость добываемого полезного ископаемого.

Эксплуатационная разведка делится на две подстадии (опережающую и сопровождающую). Эти подстадии отчетливо различаются по целевому назначению, методике работ и применяемым техническим средствам разведки.

Опережающая эксплуатационная разведка проводится в пределах эксплуатационного этажа или группы блоков, подготавливаемых к очистным работам при подземном способе разработки месторождения или в пределах уступа карьера при открытом способе разработки. Она ведется одновременно с горно-капитальными, горно-подготовительными и нарезными работами. Целью этой подстадии является уточнение контуров тел полезных ископаемых, определение запасов и качества полезных ископаемых, условий их пространственного размещения в пределах эксплуатационного участка. Детальное изучение этих вопросов необходимо для составления локальных проектов разработки месторождения и текущего (годового) планирования работы горного предприятия. Опережающая эксплуатационная разведка проводится на 1-2 года раньше добычных работ. Задачами ее при открытой разработке месторождений являются: 1) уточнение контуров залежи полезных ископаемых на 1-2 горизонтах, расположенных ниже горизонта текущих очистных работ; 2) прослеживание и оконтуривание блоков пустых пород и некондиционных руд внутри тел полезных ископаемых, участков, сложенных различными технологическими типами с сортами полезного ископаемого. Количество оцененных на этой подстадии запасов должно быть не менее годовой производительности предприятия по руде, а для маневрирования горными работами должно превышать годовой объем добычи руды в 2-3 раза.

Система опережающей эксплуатационной разведки, как правило, наследует систему проведенных разведочных работ. Она включает, в зависимости от сложности геологического строения месторождения, проходку буровых сква-

жин целевого назначения и горных выработок. Например, при разработке пластообразных залежей железистых кварцитов Криворожского бассейна проходились вертикальные и наклонные колонковые скважины, а также скважины шарошечного бурения на высоту двух уступов карьера. При этом плотность сети (50х50 м) в 2 раза превышала плотность разведочной сети для оценки запасов категории В. Разведочная сеть сгущается дифференцированно в зависимости от сложности строения залежи полезного ископаемого. В первую очередь бурятся скважины для детализации приконтурной зоны. Промежуточные профили скважин проходят в тех случаях, когда данных по основным разведочным профилям недостаточно для характеристики внутреннего строения тел полезных ископаемых. Эти промежуточные профили могут быть короткими, охватывающими приконтурную полосу или участки развития пустых пород внутри тел.

На штокверковых месторождениях руд цветных металлов II и III групп сложности опережающая эксплуатационная разведка осуществляется бурением колонковых или бескерновых скважин (ударно-канатных, шарошечных) с обязательной проходкой контрольных шурфов. Это объясняется наличием расхождений между данными разведки и эксплуатации в связи с избирательным истиранием в керне хрупких минералов (молибденита).

Проведение опережающей эксплуатационной разведки при подземной разработке месторождений полезных ископаемых характеризуется большей сложностью. Это вызвано как многообразием морфологических типов тел полезных ископаемых, так и множеством применяемых систем разработки.

Разрабатываемые подземным способом месторождения по условиям проведения опережающей эксплуатационной разведки делятся на две группы:

I группа включает системы отработки с открытым очистным пространством (камерно-столбовые, этажно-камерные), системы этажного и подэтажного обрушения. В этих системах подготовка к очистной выемке заключается в проходке большого количества горных выработок для выпуска руды и ее транспортировки. Нарезка блоков при разработке месторождений выполняется на

достоверной геологической основе, так как перестройка горных работ в процессе очистной выемки затруднительна.

Во II группу входят системы разработки с магазинированием руды, с закладкой и креплением очистного пространства. Такие системы позволяют изменять конструкцию очистных блоков при получении дополнительной геологической информации.

Опережающая эксплуатационная разведка для систем обеих групп заключается в бурении целевых разведочных скважин и проходке горных выработок. При этом соблюдается определенная очередность ведения работ. Сначала с горизонта эксплуатации на нижележащий горизонт бурят наклонные скважины, расположенные по 2-4 в разрезе и через определенный интервал по простиранию тел. Эти скважины приурочиваются по возможности к разведочным линиям или границам эксплуатационных блоков (камер). При необходимости бурятся также горизонтальные или восстающие скважины. Затем проходят основные подготовительные выработки (откаточные штреки, орты, восстающие), которые одновременно являются и разведочными.

При выборе плотности разведочной сети за основу принимается тот фактор, который оказывает решающее влияние на ход подготовительных и очистных работ (сложность формы тел полезных ископаемых, их внутреннего строения, размер тектонически однородных блоков). Например, плотность разведочной сети буровых скважин на Высокогорском скарново-магнетитовом месторождении железа, рудные тела которого разделены пострудной тектоникой на отдельные блоки, определялась длиной этих блоков, составившей в среднем 25 метров.

Сопровождающая эксплуатационная разведка жилообразных и гнездообразных тел на месторождениях IV группы сложности (редких, благородных металлов, драгоценных камней) проводится штреками, ортами, рассечками. Они проходятся таким образом, чтобы их можно было использовать в качестве заездов при выпуске руды из блока. Для разведки применяются также вентиляци-

онные или перепускные восстающие, отстоящие друг от друга по простиранию тел полезных ископаемых на 20 метров. Из них проходят рассечки с расстоянием 10-20 метров по падению рудного тела.

ЛЕКЦИЯ 8

СОПРОВОЖДАЮЩАЯ ЭКСПЛУАТАЦИОННАЯ РАЗВЕДКА МЕСТОРОЖДЕНИЙ

Сопровождающая эксплуатационная разведка месторождений проводится в пределах отрабатываемых блоков одновременно с очистными работами. Она заключается в опробовании нарезных и очистных выработок, технологических скважин и шпуров, их геологической документации. Задачами этой подстадии работ являются: уточнение контуров тел полезных ископаемых, безрудных и некондиционных участков внутри них, запасов полезных ископаемых, распределения различных по качеству руд, размещения технологических типов и сортов полезных ископаемых.

Полученные данные используются для оперативного планирования (квартального, месячного, суточного) добычи полезных ископаемых, управления процессом разработки, усреднения руд, определения размеров фактической добычи, потерь и разубоживания полезных ископаемых, систематического контроля за полнотой и качеством отработки запасов.

Сопровождающая эксплуатационная разведка при открытой разработке месторождений проводится в пределах уступа карьера, находящегося в отработке. Ее целью является уточнение внутреннего строения рудного тела, количества и качества руды. Она заключается в документации и опробовании шлама буровзрывных скважин, нарезных траншей, бортов уступов, забоев карьера.

Взрывные скважины бурятся на высоту одного уступа с небольшим перебуром по густой сети. Так, на уральских медноколчеданных месторождениях эти скважины проходились по сети 5х5 м, на месторождениях железных руд Кривбасса по сети 6х6 м, 8х8 м.

Опробование проводится во всех скважинах или по разряженной сети. В этом случае достоверность опробования должна быть научно обоснована. Качество руд определяется по рядовым пробам. Для определения качества руд нередко применяется геофизическое опробование (магнитный каротаж на железорудных месторождениях, экспрессные рентген-радиометрические анализы для определения содержания цветных металлов). На некоторых месторождениях опробуются перебуры скважин для прогнозирования качества руды на нижележащий уступ. Обогатимость руд изучается с помощью забойного опробования. Пробы, отбираемые в процессе сопровождающей эксплуатационной разведки анализируются экспрессно, с получением результатов анализов через сутки, а иногда и через несколько часов после взятия проб. Результаты анализов проб наносятся на планы погоризонтного опробования. Они являются основными документами для оперативного планирования и управления процессами добычи и усреднения руд. Это способствует повседневному контролю за полнотой и качеством отработки запасов полезных ископаемых.

Сопровождающая эксплуатационная разведка при подземной разработке месторождений совмещается с проходкой нарезных выработок и скважин для отбойки руды. В результате ее проведения обеспечиваются оперативное планирование добычи полезных ископаемых, контроль за качеством и полнотой выемки запасов с минимальными потерями и разубоживанием полезных ископаемых. Эта подстадия работ включает документацию и опробование нарезных и очистных выработок, отбор шламовых проб из шпуров и буровзрывных скважин, применение геофизических методов опробования.

На месторождениях, разработка которых осуществляется системами I группы (камерно-столбовые, с обрушением руды) доступ в очистное пространство невозможен. Это исключает проведение прямых геологических наблюдений. Для получения необходимой дополнительной геологической информации проводится опробование и каротаж буровзрывных скважин, документация нарез-

ных выработок (заходок, подэтажных штреков, буровых камер) и отбор проб из них.

На месторождениях, отрабатываемых системами II группы (магазинирование, слоевая выемка, с распорной крепью), имеется доступ к очистному забою.

Для таких месторождений характерны рудные тела небольшой мощности. Сопровождающая эксплуатационная разведка на них проводится путем систематического опробования и документации очистного забоя и периодического вскрытия контактов тел полезных ископаемых короткими шпурами или рассечками. В зависимости от сложности строения рудного тела и характера распределения в нем полезных компонентов расстояние между опробуемыми слоями (лентами) составляет от 2 до 8м, между бороздами в слое от 2 до 5 м. При обосновании плотности сети сопровождающей эксплуатационной разведки главными критериями являются получение минимальных потерь и разубоживания полезных ископаемых при добыче и поставка на обогатительную фабрику или металлургическое предприятие руды требуемого качества.

В практике проведения эксплуатационной разведки наибольшее распространение получили следующие методы обоснования плотности разведочной сети: 1) основанные на допустимых ошибках геометризации положения залежи в пространстве; 2) экономического анализа; 3) сравнения данных разведки и эксплуатации.

Кроме аналитических методов при обосновании системы эксплуатационной разведки и плотности разведочной сети также применяется метод внутриобъектной аналогии. Его сущность состоит в том, что для участков тел полезных ископаемых одинаковой сложности геологического строения и технологических особенностей разработки применяются одни и те же соотношения объемов горных и буровых работ, одна и та же плотность и форма разведочной сети. Аналогия проводится по различным частным показателям сложности строения залежей полезных ископаемых: 1) сложности контура участка или рудного те-

ла; 2) длине граничных линий контуров технологических типов и сортов руд; 3) интенсивности тектонических нарушений.

В качестве обобщающего количественного показателя Ю.К. Пановым был предложен стереологический показатель сложности (ПС) тел полезных ископаемых на стадии эксплуатационной разведки. Он вычисляется по формулам:

$$1)\ ПС = \frac{L}{S}\ ,$$

$$2)\ L = l_k + l_c + l_n,$$

где: L – суммарная длина граничных линий, м;

S – площадь участка рудного тела, м^2;

l_k - длина контура участка, м;

l_c - суммарная длина контактных линий технологических типов или сортов руд, м;

l_n - суммарная длина линий дизъюнктивных нарушений, м.

Отношения $\frac{l_k}{S}, \frac{l_c}{S}, \frac{l_n}{S}$ определяют соответственно долю сложности строения залежи на основе учета конфигурации площадей, распространения сортов и типов руды, интенсивности тектонических нарушений. Сопоставление этих отношений позволяет выявить главные факторы, определяющие сложность строения тел полезных ископаемых.

Результаты исследований, проведенных на различных по сложности геологического строения месторождениях, показали, что величина показателя сложности колеблется от 0,02 до 5,0.

Наименьшие значения показателя сложности характерны для осадочных морских пластовых месторождений Fe и Mn I группы сложности (ПС=0,02-0,1), для медноколчеданных месторождений Урала II группа сложности ПС=0,1-0,5. Для жильных золоторудных месторождений третьей группы сложности, ПС=0,5-2. Наибольшее значение показателя сложности установлено для редкометальных пегматитовых месторождений IV группы сложности (Ta, Nb) с дискретным распределением рудной минерализации (ПС=2-5).

Стереологический показатель сложности (ПС) строения залежей рекомендуется для оптимизации сети эксплуатационной разведки при разработке месторождений открытым способом – карьерами.

За критерий оптимизации принимается минимум затрат на разведку и ущерба от недоизученности сложности строения залежи. Оптимизация разведочной сети проводится в определенной последовательности.

Сначала по ранее разведанным участкам и 2х – метровым перебурам технологических скважин вычисляются показатели сложности отработанного участка и проектируемого к разработке участка. В отработанных залежах выделяются эталонные участки, контрастно отличающиеся по сложности строения и величине показателя сложности. На эталонном участке проводится не менее 3-х вариантов разрежения сети технологических скважин. Затем по каждому варианту разрежения сети рассчитываются потери и разубоживание полезных ископаемых, затраты и ущерб на 1 тонну балансовых запасов руды. Разведочная сеть с минимумом затрат и ущерба принимается за оптимальную. В дальнейшем рассчитанные параметры сети эксплуатационной разведки применяют на участках, проектируемых к разработке, с показателями сложности строения, близкими к эталонным.

ЛЕКЦИЯ 9

ГЕОЛОГИЧЕСКАЯ ДОКУМЕНТАЦИЯ НА ГОРНЫХ ПРЕДПРИЯТИЯХ

Геологическая документация на горных предприятиях является основной информационной базой геологического обеспечения их производственной деятельности.

Основными задачами геологической документации на действующих предприятиях (рудниках, шахтах, карьерах) являются:

1) установление истинных границ тел полезных ископаемых;

2) выявление внутреннего строения залежей полезных ископаемых;

3) определение пространственного размещения типов и сортов полезных ископаемых для рационального планирования подготовительных, нарезных и очистных работ, предотвращения сверхнормативных потерь и разубоживания полезных ископаемых при добыче.

Объектами геологической документации на горных предприятиях служат открытые горные выработки (нарезные траншеи, борта уступов, забои карьеров), подземные горные выработки (квершлаги, штреки, орты, штольни, восстающие, гезенки, уклоны), а также разведочные и технологические буровые скважины.

Выделяют 4 формы геологической документации: 1) первичная; 2) окончательная; 3) техническая; 4) сводная.

Первичная (полевая) геологическая документация включает сбор и запись информации при проведении разведочных и эксплуатационных работ на месторождениях.

При открытой разработке месторождений к первичной геологической документации относятся: 1) журналы массовых зарисовок и фотографий уступов и забоев карьеров; 2) журналы детальных и тематических зарисовок; 3) журналы документации и опробования забоев и уступов карьера, скважин (буровзрывных и эксплуатационной разведки); 4) рабочие фрагменты геологических планов уступов карьеров для отдельных участков и блоков; 5) журналы замеров водопритоков, определения физико-механических свойств горных пород и полезных ископаемых (объемной массы, пористости, влажности).

Первичная геологическая документация при подземной разработке месторождений включает: 1) массовые зарисовки и фотографии разведочных, капитальных, подготовительных, нарезных и очистных горных выработок; 2) журналы документации и геологические колонки скважин эксплуатационной разведки и буровзрывных скважин; 3) журналы опробования буровых скважин и горных выработок, определения физических свойств горных пород и полезных

ископаемых; 4) журналы гидрогеологических наблюдений и определения водопритоков; 5) журналы документации признаков проявления горного давления.

Окончательная (чистовая) геологическая документация выполняется на основе полевых зарисовок, но с обязательной корректировкой данных по итогам опробования, минералого-петрографического изучения каменного материала. Материалы окончательной геологической документации включают альбомы чистовых зарисовок горных выработок, очистных забоев, геологических колонок буровых скважин, журналы опробования, определения качества руды во взрывных блоках, эталонные коллекции руд и пород.

Техническая геологическая документация включает составление различных актов, журналов, реестров при ведении горных и буровых работ в процессе эксплуатации месторождений.

При проходке горных выработок и буровых скважин составляются акты о их заложении или закрытии. Все отобранные образцы регистрируются в журнале образцов, в котором указываются их привязка, полевое определение.

Взятые пробы также регистрируются в журнале отбора лабораторных проб. В нем указываются номер пробы, дата взятия, место отбора, материал пробы, вид лабораторных исследований (химический, минералогический, спектральный анализы). Обработка проб также документируется в специальных журналах. Пробы, отбираемые для внутреннего и внешнего контроля анализов, регистрируются в журнале контрольных анализов. Технологические пробы, направляемые для исследований, сопровождаются актом отбора и паспортом пробы. Пройденные разведочные выработки заносятся в реестры горных выработок и буровых скважин, в которых фиксируются их номер, привязка, целевое назначение.

Сводная геологическая документация на горных предприятиях включает: 1) погоризонтные геолого-маркшейдерские планы; 2) поперечные и продольные разрезы по профилям доразведки и эксплуатационной разведки месторождений; 3) погоризонтные качественные сортовые или геолого-технологические

планы; 4) сводные геологические планы карьера, эксплуатационных подземных горизонтов рудника (шахты); 5) планы и разрезы с изолиниями структурно-морфологичеких и качественных показателей месторождения, отметок кровли, подошвы залежи, содержаний полезных компонентов, мощности тел полезных ископаемых; 6) блок-диаграммы месторождений, тел полезных ископаемых; 7) гидрогеологические и инженерно-геологические планы для месторождений со сложными условиями.

Целью сводной геологической документации является обобщение и увязка между собой материалов первичной и окончательной геологической документации горных выработок и буровых скважин и составление планов, разрезов, проекций, блок-диаграмм, отражающих строение месторождения, качество полезного ископаемого, гидрогеологические и инженерно-геологические условия его отработки. Совокупность сводной геологической документации представляет графическую модель месторождения. Она служит основой для подсчета запасов полезных ископаемых, проектирования вскрытия и разработки месторождения, планирования добычи полезных ископаемых, прогноза их распространения на глубину и фланги месторождения.

Содержание геологической документации при разработке месторождений включает: 1) изучение элементов залегания тел полезных ископаемых (простирания, падения, склонения); 2) описание природных типов и сортов полезных ископаемых; 3) характеристика околорудных метасоматических пород; 4) определение минерального состава, текстуры и структуры руд и вмещающих пород; 5) выявление складчатых и разрывных нарушений (дорудных, внутрирудных и пострудных); 6) исследование гипергенных изменений пород и руд; 7) фиксация признаков проявления горного давления (стреляния, пучения, отслоения, вывалов, заколообразования горных пород).

При открытой разработке месторождений карьерами документация откосов уступов и забоев производится методами зарисовки или фотографирования в

масштабе 1:200, а наиболее интересных в геологическом отношении участков (контактов, тектонических нарушений и т.д.) – в масштабе 1:50.

Откосы рудных уступов документируются по мере продвижения фронта работ не реже, чем через 20 м. Движущиеся забои зарисовываются ежемесячно для пополнения геологическими данными маркшейдерских планов карьера.

При подземной разработке месторождений стенки и кровля горных выработок, пройденных по простиранию тел полезных ископаемых (штреков, штолен), документируются непрерывно. Забои в полевых штреках обычно документируются через 20-25 м, а в рудных штреках не реже, чем через 5-10 м. Горные выработки, пересекающие тела полезных ископаемых по мощности (орты, рассечки) подвергаются сплошной документации. В зависимости от сложности геологического строения тел в выработке зарисовываются либо одна стенка, либо стенка и кровля, либо обе стенки и кровля. Пробы отбираются обычно по одной из стенок, реже двум стенкам выработки. При документации наклонных и крутопадающих выработок (гезенков, восстающих, уклонов) пробы отбираются эпизодически только в доступных местах.

Документация буровзрывных скважин технологического назначения предназначена для изучения качества рудной массы, подготавливаемой к добыче. Главным объектом документации и опробования буровзрывных скважин является шлам, отбираемый с каждого интервала длиной 1-2 м желонкой. При вращательном шарошечном бурении шлам выдувается воздушной струей. На рудниках проводится регулярное описание проб шлама, его цвета, состава, в соответствии с составленной эталонной коллекцией. Результаты лабораторных исследований шламовых проб служат основой для уточнения границ руд различных сортов на подготавливаемом к взрыву участке.

Скважины колонкового бурения документируются в соответствии с Инструкцией по отбору, документации керна скважин, в процессе их бурения. Документация включает буровой журнал, акты о заложении и закрытии скважин, акты замеров искривления скважин, акты контрольных замеров их глубины, ак-

ты на перебурку рудного тела, ликвидационного тампонажа. Первичная документация ведется по рейсовым уходкам в буровом журнале. При описании керна определяют минеральный состав пород и руд, их текстуру и структуру, характер наблюдаемых контактов, трещиноватость.

ЛЕКЦИЯ 10

ГЕОЛОГО-ТЕХНОЛОГИЧЕСКОЕ КАРТИРОВАНИЕ (ГТК) РУД ПРИ ЭКСПЛУАТАЦИИ МЕСТОРОЖДЕНИЙ

ГКТ представляет собой комплекс работ, позволяющий выявить и отобразить в пространстве технологически неоднородности месторождения, оценить технологические свойства руд, обосновать оптимальную систему разработки руд в режиме усреднения. Предметом ГТК являются технологически однорудные блоки (ТОБ). Это геологически однородные блоки, в пределах которых руды обладают относительно однородными технологическими свойствами.

Специальными методами ГТК являются:

1) Выявление технологических параметров, увязывающих особенности вещественного состава руд с требованиями технологических процессов;
2) Отображение технологических параметров в пространстве путем составления геолого-технологических планов и разрезов.

Цель ГТК заключается в технологической оценке разведанных запасов и геологическом обосновании формирования однородного по качеству потока руды в течении различных по времени периодов работы рудника (завода).

Задачами ГТК являются:

1) Составление частной геолого-технологической классификации руд, увязывающей свойства руд с технологическими требованиями завода;
2) Выявление технологических неоднородностей в контуре балансовых руд и их графическое отображение в пространстве;
3) Оценка технологических свойств руд;
4) Составление эффективной системы технологического опробования руд;

5) Разработка оптимального варианта технологических испытаний руд и способа металлургического передела;
6) Обоснование оптимальной системы разработки руд в режиме усреднения.

ГТК включает следующие операции:

1) Отбор минералого-технологических проб по опорной сети разведочных выработок;
2) Детальное изучение вещественного состава и структурных параметров минералого-технологических проб;
3) Исследование обогатимости минералого-технологических проб;
4) Составление минералого-технологических карт рудных тел.

На этапе изучения вещественного состава проб полезного ископаемого решают следующие задачи:

1) Выделение перечня полезных компонентов на данном месторождении, их количество, минеральные формы;
2) Выявление основных и попутных компонентов;
3) Составление баланса распределения полезного компонента по минералам-концентраторам и собственным минералам;
4) Определение парагенетических ассоциаций, в которые входит основной полезный минерал, количества его генераций;
5) Выяснение пространственного распределения продуктивных минеральных парагенезисов на каждой стадии процесса рудоотложения;
6) Установление на месторождении вертикальной (или горизонтальной) зональности оруденения;
7) Определение присутствия и содержания в полезном ископаемом вредных компонентов;
8) Оценка масштабов развития на месторождении процессов гипергенеза (зоны окисления).

При изучении минералого-технологических проб определяются признаки обогатимости руд. Они подразделяются на три группы:

1 группа включает признаки, необходимые для выделения и оконтуривания технологических типов руд. К этой группе относятся валовые содержания основных и попутных полезных компонентов, текстурно-структурные особенности, кусковатость и глинистость руд.

2 группа содержит признаки, используемые для выделения и оконтуривания технологических сортов и разновидностей руд. К ним относятся содержание вредных примесей, размеры рудных выделений, характер срастания минералов.

3 группа включает признаки для более детальной характеристики выделенных сортов и разновидностей руд. К этой группе относятся степень раскрытия зерен рудных минералов при измельчении руд, полный химический и минералогический состав руд, их объемная масса, пористость, влажность, абразивность, крепость.

По степени обогатимости руды делятся на легко-, средне- и труднообогатимые. На обогативность руд влияют их минеральный состав, текстурно-структурные особенности, характер зернистости, механические свойства (руда монолитная, выветрелая, рыхлая, глинистая), степень проявления вторичных процессов (окварцованность, лимонитизация и др.). Например, на Джезказганском месторождении медистых песчаников вкрапленные сульфидные медные руды являются хорошо обогатимыми, а окисленные руды – труднообогатимыми.

Выделение технологических типов и сортов руд является основой для характеристики технологической неоднородности рудных тел в пределах разрабатываемого месторождения. Технологическая типизация руд проводится по следующим данным:

1) Содержание основного металла в руде (α);
2) Выход концентрата (γ);
3) Извлечение металла в концентрат (ε);
4) Содержание металла в концентрате (β);

5) Размеры рудной вкрапленности.

Далее проводится оконтуривание природных и технологических типов и сортов руд на картах, планах, разрезах и проекциях с использованием приемов интерполяции и экстраполяции.

Все виды геолого-технологических карт делятся на три группы:

1) Карты свойств минералов, их конкретных признаков, пространственных закономерностей формирования и распределения, имеющих значение для обогащения руд. Примером могут служить карты размеров рудной вкрапленности, габитуса кристаллов полезных минералов, карты распространенности генерации полезного минерала;
2) Минералого-технологические карты. К ним относятся карты природных типов и сортов руд, карты текстур, структур руд;
3) Карты промышленных типов и сортов руд, выделенных по данным малообъемного технологического картирования.

В качестве примера рассмотрим технологическую типизацию руд на Риддер-Сокольном полиметаллическом месторождении на Рудном Алтае. На этом месторождении в зависимости от интенсивности проявления процессов гипергенеза выделены следующие природные типы руд: сульфидные свинцово-цинковые, медно-свинцово-цинковые, медные, цинково-медные, окисленные и смешанные. Несколько меньше на месторождении определено технологических типов руд: полиметаллический, медный, цинково-медный, окисленные свинцово-цинковый и полиметаллический, смешанный. При этом в каждом технологическом типе выделяются от одного до трех технологических сортов руд по извлечению в концентрат (ε) основных металлов – меди, свинца и цинка.

При проведении геолого-технологического картирования на месторождениях бокситов осадочного и латеритного типов основными технологическими параметрами являются кремниевый модуль ($M_{Si}=Al_2O_3/SiO_2$), приведенный глинозем ($A_{пр}=Al_2O_3-2SiO_2$), содержание вредных примесей (S, CO_2) в рудах.

При разработке месторождений гипергенных никелевых руд основными технологическими параметрами служат:

1) Минералогический параметр (T_o), определяемый по формуле

$$1)\ T_o = \frac{P_c}{P_o},$$

где: P_c, P_o - площадные продуктивности руд никеля силикатного и окисного типов (т/м^2) в пределах технологически однородного блока (ТОБ). Площадь ТОБ определяется исходя из расстояния между скважинами эксплуатационной разведки, пройденными на месторождении.

Площадные продуктивности силикатных и окисных руд (P_c и P_o) устанавливаются по формулам:

$$2)\ P_c = m_c \times C_c \times d_c \times 10^{-2} (т/м^2),$$
$$3)\ P_o = m_o \times C_o \times d_o \times 10^{-2} (т/м^2),$$

где: m_c, m_o - мощность силикатных и окисных руд по разведочной скважине, м;

C_c, C_o - средние содержания никеля в силикатных и окисных рудах, %;

d_c, d_o - объемная масса силикатных и окисных никелевых руд (т/м^3).

2) Геохимический параметр (Кз), устанавливаемый как отношение произведения содержаний основных компонентов руд в коре выветривания, испытавших концентрацию (Fe_2O_3, Al_2O_3), к произведению содержаний компонентов в рудах, подвергшихся рассеянию (MgO, SiO_2):

$$4) Кз = \frac{Fe_2O_3 \times Al_2O_3}{MgO \times SiO_2}$$

Расчет этих технологических параметров (То; Кз) позволяет определить технологические сорта руд, выполнить их геолого-технологическое картирование в пределах залежи никелевых руд и определить очередность отработки отдельных технологически однородных блоков (ТОБ) руд в режиме усреднения. Сначала отрабатываются блоки соответствующие техническим условиям технологического процесса. Во вторую очередь подлежат отработке в режиме усреднения блоки с приблизительно равными отклонениями от технических

условий. Руды в блоках с максимальными отклонениями от технических условий не включаются в отработку (резервируются).

ЛЕКЦИЯ 11

ОПРОБОВАНИЕ НА ГОРНЫХ ПРЕДПРИЯТИЯХ

Отбор проб на горных предприятиях проводится с целью получения количественной информации о качестве полезного ископаемого в пределах залежей. Основными задачами опробования при эксплуатации месторождений являются:

1) установление контуров тел полезных ископаемых, не имеющих видимых геологических границ;

2) определение средних содержаний полезных компонентов, мощности тел полезного ископаемого, необходимых для подсчета запасов минерального сырья;

3) выявление закономерностей пространственного размещения природных типов и промышленных сортов полезных ископаемых;

4) установление зависимостей между содержанием основных и попутных компонентов для подсчета запасов последних;

5) определение физико-механических свойств полезных ископаемых и вмещающих пород;

6) оценка потерь и разубоживания полезных ископаемых при эксплуатации месторождения;

7) управление качеством добытых руд в режиме усреднения.

При разработке месторождений применяется 5 основных видов опробования: 1) химическое; 2) минералогическое; 3) техническое; 4) технологическое; 5) товарное.

Химическое опробование проводится для определения содержания основных и попутных полезных компонентов и вредных примесей в эксплуатационных выработках. Вредными примесями считаются такие компоненты, которые ухудшают потребительские свойства полученного из минерального сырья про-

дукта или усложняют технологию переработки полезных ископаемых. Например, сера в скарново-магнетитовых рудах является вредной примесью для производства стали. Для удаления серы применяют мокрую магнитную сепарацию медно-магнетитовых руд с последующей их флотацией. В результате этих процессов сера переходит в сульфидные продукты обогащения и в металлургический передел для получения чугуна и стали не попадает.

Минералогическое опробование предназначено для изучения минерального состава, текстуры и структуры полезных ископаемых и вмещающих пород, установления возможности комплексного использования минерального сырья. На стадии разработки месторождений минералогическое опробование широко применяется для оперативного контроля технологического процесса. Этот вид опробования является определяющим при эксплуатации россыпных месторождений. Минералогический анализ проб подразделяется на качественный и количественный. Качественные минералогические анализы отражают вещественный состав полезных ископаемых и их текстурно-структурные особенности. Количественные минералогические анализы используются при исследовании приполированных штуфов, аншлифов, шлифов, шлихов, протолочек, контроле конечных и промежуточных продуктов обогащения и исходного сырья.

Техническое опробование применяется для определения физико-механических показателей, необходимых при подсчете запасов полезных ископаемых (объемной массы, пористости, влажности, гранулометрического состава). Для оценки качества строительных материалов, слюд, асбеста, оптического сырья устанавливают прочностные свойства, прозрачность, бездефектность кристаллов, длину волокна. Для обоснования применения геофизических методов оценки качества руд определяют их магнитную восприимчивость, плотность, удельное электрическое сопротивление, естественную и наведенную радиоактивность.

Технологическое опробование предназначено для разработки рациональных схем обогащения и переработки минерального сырья. При исследовании

технологических проб определяют показателями обогатимости руд: выход концентрата, извлечение металла в концентрат, содержание металла в руде, концентрате и хвостах обогащения. По данным изучения технологических проб, отобранных по определенной системе наблюдений, на стадии эксплуатации месторождений проводится геолого-технологическое картирование залежей полезных ископаемых, составление карт распространенности технологических типов и сортов полезных ископаемых, карт изменения показателей обогатимости руд.

Товарное опробование проводится для определения качества поступающей на переработку или временно складируемой товарной руды. К товарным пробам со стороны потребителей минерального сырья предъявляются высокие требования. Например, операции подготовки товарной пробы к химическому анализу (дробление, грохочение, перемешивание и сокращение) должны быть проведены с погрешностью, не превышающей допустимые нормативы.

Объектами опробования на горных предприятиях являются:

1) полезные ископаемые в забое уступов карьера и подземных горных выработках;

2) отбитая горная масса в карьерах, очистных блоках подземной разработки;

3) сырье и концентраты на обогатительной фабрике;

4) керн скважин колонкового бурения;

5) шлам буровзрывных скважин;

6) товарная продукция на складах и в транспортных сосудах после загрузки.

Способы отбора проб полезных ископаемых и горных пород в коренном залегании (забоях, горных выработках, буровых скважинах), отбитых масс руды и породы, рудных потоков существенно различаются.

Опробование забоев горных выработок проводится бороздовым, шпуровым, штуфным, точечным, горстьевым, задирковым и валовым способами:

Бороздовый способ применяется для опробования забоя, стенок, реже кровли горных выработок для получения представительных проб для химического анализа с оконтуриванием отдельных промышленных сортов и типов полезных ископаемых. Шпуровой способ заключается в отборе бурового шлама при проходке шпуров обычными или колонковыми перфораторами для химического опробования руды в целике впереди забоя. Точечный способ опробования забоя применяется для получения представительной по содержанию и технологическим свойствам пробы без оконтуривания отдельных сортов полезных ископаемых. Этот способ используется для опробования мощных залежей, жил, штокверков. Горстьевой способ служит для опробования отбитых масс руды в забое. Штуфный способ заключается в отборе характерных кусков (штуфов) руды из забоя или отвала для ориентировочной характеристики качества полезных ископаемых. Задирковый способ применяется для опробования жильных месторождений редких и благородных металлов малой мощности (до 0,25 м). Валовый способ используется при отборе проб для технологических испытаний, контроля других способов отбора проб, опробования месторождений с крайне неравномерным распределением полезных компонентов (ртути, алмазов, изумрудов).

При опробовании скважин колонкового бурения в пробу идет либо весь керн при диаметре его менее 60 мм, или половина керна – при большем его диаметре. Для оценки качества полезных ископаемых на стадии эксплуатационной разведки широко применяются шламовые пробы. Они отбираются из бескерновых скважин, проходимых станками шарошечного или пневмоударного бурения.

Для отбора проб из добытых или перерабатываемых неподвижных масс полезных ископаемых, применяются следующие способы:

1) способ вычерпывания предназначен для опробования полезных ископаемых, находящихся в штабелях, отвалах, емкостях, заключается в отборе разовых проб со стенок лунок глубиной 0,2 – 0,4 м;

2) при опробовании отвалов сырья высотой более 1 м пробы отбираются из шурфов на всю высоту отвала;

3) опробование отвалов небольшой высоты (до 1 м) проводится отбором проб из канав, траншей, глубиной до 1 м;

4) для опробования мелкозернистых руд, концентратов, хвостов обогащения с крупностью частиц не более 3 мм на обогатительных фабриках разовые пробы отбираются щупом посредством его вдавливания;

5) при опробовании масс полезных ископаемых при перегрузке их циклично действующими механизмами (экскаваторы, грейферные краны, скипы, вагонетки) применяется фракционный или выборочный способ. Он заключается в отборе каждой пятой, десятой лопаты или ковша, скипа, вагонетки в пробу;

6) опробование жидких и весьма сыпучих твердых материалов проводится желонением. Открытие желонки производится на заданной для отбора пробы глубине.

Опробование потоков рудных масс и концентратов, находящихся в движении на обогатительных фабриках, осуществляется механическими пробоотборниками.

Равномерные потоки руды с малой степенью изменчивости опробуются способом продольных сечений секторным пробоотборником. Масса проб составляет от 1/8 до 1/2 массы опробуемого потока.

При возможности полного пересечения опробуемого рудного потока используется способ поперечных сечений при помощи ковшевого, ножевого или скреперного пробоотборников. Масса проб составляет от 0,001% до 5% от массы опробуемого потока. Также для опробования рудных потоков могут применяться комбинированные продольно-поперечный и поперечно-продольный способы отбора проб.

Пробоотборники устанавливаются на перепадах рудного потока с одного транспортного устройства на другое, либо с транспортного устройства в вагон, бункер, штабель.

Лекция 12

ЭКСПЛУАТАЦИОННЫЕ КОНДИЦИИ НА МИНЕРАЛЬНОЕ СЫРЬЕ

Эксплуатационные кондиции используются для обеспечения стабильной безубыточной работы горного предприятия и более полного рационального использования недр. Технико-экономическое обоснование (ТЭО) эксплуатационных кондиций разрабатывается недропользователем на ограниченный срок, соответствующий периоду отработки части рудного тела и выемочных единиц (горизонта, блока, камеры, уступа).ТЭО эксплуатационных кондиций опирается на материалы, характеризующие конкретные особенности геологических, горнотехнических, технологических и экологических условий разработки месторождения. Параметры эксплуатационных кондиций могут быть дифференцированы по сравнению с разведочными кондициями с учетом уточненных в процессе доразведки и разработки месторождения данных о характере и условиях залегания полезного ископаемого. Они включают морфологию залежей, их выемочную мощность, углы падения рудных тел, крепость и устойчивость руд и пород, технологические свойства руд, гидрогеологические условия. Значения параметров эксплуатационных кондиций (бортового содержания, минимального промышленного содержания полезных компонентов) могут быть больше величины, установленной разведочными кондициями, при неблагоприятной конъюнктуре рынка или меньше при росте цен на минеральное сырье.

Основными параметрами эксплуатационных кондиций являются:

1) Предельно допустимое качество запасов на контуре выемочного участка;
2) Предельно допустимое качество запасов в целом по эксплуатационному блоку или его части;
3) Минимальная выемочная мощность тела полезного ископаемого;
4) Максимальная длина безрудного участка залежи, включаемая в выемочный контур;
5) Минимальные запасы изолированных тел полезных ископаемых;
6) Предельный коэффициент вскрыши;

7) Максимальная глубина подсчета запасов;

8) Максимально допустимые водопритоки в подземные горные выработки;

9) Углы падения пласта (залежи)

Предельно допустимое качество запасов на контуре выемочного участка является аналогом бортового содержания. Расчет бортового содержании полезного компонента (Сб), если конечной продукцией служит товарный концентрат, выполняется по формуле:

$$1)\ Сб=\frac{(Зд+Зо)\times Ск}{Цк\times Ио\times(1-Р)}\times 100\%,$$

где: Зд и Зо – эксплуатационные затраты на добычу и обогащение 1т руды, руб.;

Ск – содержание полезного компонента в концентрате, %;

Цк – цена 1т товарного концентрата, руб.;

Ио – извлечение полезного компонента в концентрат при обогащении, доли единиц;

Р – разубоживание при добыче, доли единиц.

При этом в эксплуатационных затратах не учитываются погашение горно-капитальных работ, условно-постоянные затраты (зарплата управленческого персонала и постоянного штата рабочих), затраты на амортизацию и ремонт основных фондов.

При наличии на месторождении участков с прерывистым оруденением и тесной перемежаемости прослоев руд и пустых и слабооруденелых пород допускается применение бортового содержания полезного компонента не к отдельной пробе, а к интервалу эксплуатационной выработки, соответствующему высоте эксплуатационного уступа (подуступа). Применение такого бортового содержания целесообразно, в частности, для месторождений меди, молибдена штокверкового типа с относительно невысокими содержаниями полезных компонентов при небольших коэффициентах их вариации.

Предельно допустимое качество запасов в целом по эксплуатационному блоку или его части, которая может быть раздельно добыта, является аналогом

минимального промышленного содержания в блоке, рассчитываемого по предстоящим затратам. Оно соответствует «цеховому» содержанию полезного компонента, при котором извлекаемая ценность минерального сырья обеспечивает возмещение предстоящих эксплуатационных затрат и получение минимально необходимой прибыли горным предприятием.

По отрабатываемым открытым способом неглубокозалегающим месторождениям руд или россыпям, минимальное промышленное содержание полезного компонента (Смп) по оцениваемому блоку определяется с учетом коэффициента вскрыши по формуле:

$$2)\ Смп=\frac{(Знв+Кв\times Зв)\times 100}{Ц\times И\times(1-Р)},$$

где: Знв – затраты на добычу и переработку 1т руды или 1м^3 при нулевой вскрыше, руб.;

Кв – коэффициент вскрыши по оцениваемому блоку, т/т,м^3/м^3, м^3/т;

Зв – затраты на выемку 1т или 1м^3 вскрышных пород, руб.;

Ц – оптовая цена товарной продукции, получаемой при переработке руд или песков, руб.;

Р – разубоживание при добыче, доли единицы;

И – сквозное извлечение полезного компонента из минерального сырья в товарную продукцию, доли единицы.

Расчет минимального промышленного содержания полезного компонента ($С_{МП}$) в руде в коммерческом варианте (с учетом налогов) оценки месторождений осуществляется по формуле:

$$3)\ Смп=\frac{Сд+Со+Н}{Цк\times E_0\times(1-Р)}\times 100\%,$$

где: Сд – себестоимость добычи 1 т руды с учетом налогов, входящих в структуру эксплуатационных затрат, руб.;

Со – себестоимость обогащения 1т руды, включая общекомбинатские и коммерческие расходы, руб.;

Н – налоги на прибыль, имущество на одну тонну добытой руды, руб.;

Цк – цена 1 тонны металла в концентрате, руб.;

E_0 – извлечение металла в концентрат при обогащении, доли ед.;

Р – разубоживание руды при добыче, доли ед.

Минимальные запасы изолированных тел (участков) полезных ископаемых определяются на месторождениях, подлежащих подземной разработке, если они находятся на значительном расстоянии от основных рудных тел и требуют проходки дополнительных вскрывающих выработок. При определении целесообразности промышленного освоения (безубыточной добычи) изолированных рудных тел применяется формула:

$$4)\ Q_{min} = \frac{\text{Здоп}\times(1-\text{р})}{(\text{Ци}-\text{Зп})\times(1-\text{n})},$$

где: Q_{min} - минимальные геологические запасы рудного тела при заданных расстояниях от основных рудных тел и содержаниях полезных компонентов в рудах, т;

Здоп – дополнительные затраты, связанные с вскрытием и отработкой рудного тела, руб.;

Ци – извлекаемая ценность всех полезных компонентов в расчете на 1т руды оцениваемого изолированного рудного тела без учета Здоп, руб.;

n и р – эксплуатационные потери и разубоживание руды, доли ед.

Варианты расстояний от изолированных рудных тел до основных вскрывающих выработок определяются с учетом фактических содержаний полезных компонентов в залежи.

Коэффициент вскрыши является главным критерием применимости открытого способа добычи минерального сырья. Он характеризует долю горной массы, приходящейся на единицу полезного ископаемого. Предельный коэффициент вскрыши ($K_в^n$) как кондиционный показатель рассчитывается исходя из того, что себестоимость добычи 1т сырья открытым способом не должна быть выше таковой при подземной разработке месторождения. Для месторождений широко распространенных полезных ископаемых (железа, мрамора) значения коэффициента вскрыши устанавливаются обычно не выше 2, для менее

распространенных видов сырья (золота, алмазов) его значение может возрастать до 10 и более. Для определения способа разработки месторождения рассчитываются фактический ($K_в^ф$) и предельный ($K_в^п$) коэффициенты вскрыши по формулам:

$$5)\ K_в^ф = \frac{V_к - V_р}{V_р} = \frac{V_в}{V_р};$$

$$6)\ K_в^п = \frac{C_п - C_о}{C_в};$$

где: $V_к$ – объем карьера, м^3;

$V_р$ – объем руды, м^3;

$V_в$ – объем вскрышных пород, м^3;

$C_п$, $C_о$ – себестоимость добычи 1т руды при подземном и открытом способах разработки, руб.;

$C_в$ – себестоимость выемки 1т вскрышных пород, руб.

При $K_в^ф < K_в^п$ месторождение отрабатывается открытым способом (карьером), при $K_в^ф > K_в^п$ - подземным способом, при $K_в^ф = K_в^п$ - комбинированным способом.

Максимальная глубина подсчета запасов для условий подземной разработки месторождения определяется на основе прямых технико-экономических расчетов с учетом стоимости полезного ископаемого и издержек производства при условиях безубыточной добычи запасов минерального сырья, приращиваемых на глубоких горизонтах.

Максимально допустимые водопритоки в подземные горные выработки, ограничивающие возможность отнесения запасов полезных ископаемых в группу балансовых, устанавливаются для месторождений со сложными гидрогеологическими условиями (минеральных солей, бокситов, медно-никелевых руд).

В условиях разработки месторождений предлагается применение динамических (дифференциальных) эксплуатационных кондиций в связи с нестабильностью цен на товарную продукцию и себестоимости добычи и переработки

руд. Расчет динамических кондиций на стадии эксплуатации месторождений предусматривает их определение с учетом степени подготовленности запасов: вскрытие, подготовленные, готовые к выемке. Динамические эксплуатационные кондиции целесообразно использовать при разработке месторождений с постепенным переходом от рудных залежей к вмещающим породам (штокверки, минерализованные зоны, месторождения коры выветривания). Последовательное определение динамических кондиций на разных стадиях освоения месторождения предполагает исключение из расчета уже произведенных затрат и вовлечение в отработку все более бедных руд, обеспечивающее более полное использование запасов месторождения.

Лекция 13

ПОДСЧЕТ ЗАПАСОВ ПОЛЕЗНЫХ ИКОПАЕМЫХ ПРИ РАЗРАБОТКЕ МЕСТОРОЖДЕНИЙ

При открытой разработке месторождений карьерами основными элементами отработки являются горизонт, уступ, блок, заходка. Подсчет запасов полезных компонентов по уступу карьера проводится способом горизонтальных сечений в объеме, заключенном между верхним и нижним горизонтами на высоту счистного пространства. Подсчет запасов руды и металла по уступу карьера, подготовленному к очистной выемке, выполняется в определенной последовательности:

1) На планах горизонтов проводится выделение и оконтуривание промышленных типов и сортов руд в соответствии с параметрами кондиций (бортовым содержанием, минимальным промышленным содержанием полезного компонента);
2) Определяются величины рудных площадей на верхних и нижних горизонтах уступа с учетом типов и сортов руд;
3) Вычисляются средние содержания полезного компонента по разведочным скважинам и подсчетному блоку в пределах уступа карьера;
4) Рассчитывается объем блока (V) по формулам призмы:

$$1)\ V = \frac{S_1+S_2}{2} \times h \ \text{ при } S_1 - S_2 \leq 40\%$$

или усеченной пирамиды:

$$2)\ V = \frac{S_1+S_2+\sqrt{S_1 \times S_2}}{3} \times h \ \text{ при } S_1 - S_2 > 40\%$$

где: S_1 *и* S_2 - площадь верхних и нижних горизонтов, м^2;

h - высота уступа, м.

5) В пределах горизонтов уступа выделяются участки некондиционных руд, предусмотренные к отдельной выемке;

6) Определяют запасы руды (Q) и металла (P) в подсчетном блоке в пределах уступа карьера по формулам:

$$3)\ Q = V \times d,$$

$$4)\ P = \frac{Q \times \bar{C}}{100},$$

где: V – объем блока, м^3;

d – объемная масса руды, т/м^3;

$\bar{C}$ - среднее содержание полезного компонента в блоке, %.

Уступ карьера отрабатывается последовательно с разделением его на очистные блоки. Оценка средних значений мощности и содержаний полезных компонентов при пересчете запасов сырья в очистных блоках проводится с учетом данных опробования всех дополнительных разведочных выработок – скважин эксплуатационной разведки и буровзрывных скважин.

При подземной разработке месторождений подсчет запасов полезных ископаемых выполняется способами эксплуатационных блоков, вертикальных или горизонтальных параллельных сечений.

Способ эксплуатационных блоков применяется для подсчета запасов маломощных жильных или пластовых месторождений. Блоками являются части рудного тела, оконтуренные и опробованные с четырех сторон: сверху и снизу штреками или штольнями, а по бокам-восстающими. Рудные тела вскрываются горными выработками на всю мощность по простиранию и восстанию. Последовательность подсчета запасов в эксплуатационном блоке следующая: 1) расчет средних значений мощности и содержания полезного компонента по каждой выработке; 2) определение средней мощности и среднего содержания по-

лезного компонента по блоку; 3) измерение или расчет площади блока на вертикальной или горизонтальной проекциях с поправкой на угол падения рудного тела, или определение истинной площади в плоскости падения рудного тела; 4) расчет объема блока, определение запасов руды и металла в блоке. Способ эксплуатационных блоков позволяет оперативно пересчитывать запасы по элементам блока. Например, данные по горизонтам распространяются на высоту потолочин, а по восстающим – на межкамерные целики. По мере развития горноподготовительных работ запасы по элементам эксплуатационного блока регулярно пересчитываются.

ПОДСЧЕТ ЗАПАСОВ МИНЕРАЛЬНОГО СЫРЬЯ С ИСПОЛЬЗОВАНИЕМ КОМПЬЮТЕРНЫХ ТЕХНОЛОГИЙ

Для подсчета запасов полезных компонентов при проведении разведки и разработки месторождений с использованием персональных компьютеров создаются банки геологоразведочных данных. Среди них различают банки первичных, промежуточных и итоговых данных.

К банкам первичных данных относятся результаты анализа рядовых, групповых, минералогических проб, испытаний технических и технологических проб, координаты местоположения разведочных выработок, данные искривления скважин, маркшейдерских измерений.

Банки промежуточных данных включают интервалы рудных пересечений, выделенные согласно кондициям, состав руды в них, координаты начала и конца каждого интервала, результаты промежуточных вычислений площади и объемов блоков.

Банки итоговых данных содержат сведения о запасах и качестве руды в подсчетных блоках, а также по участкам, рудным телам и по месторождению в целом с разделением по категориям запасов и сортам полезного ископаемого.

В настоящий период компьютерные технологии используются при подсчете запасов как традиционными методами (геологических и эксплуатационных блоков, параллельных сечений), так и геостатистическими методами. Подсчет запасов полезных компонентов традиционными методами выполняется при

полной или частичной автоматизации вычислительных работ. Полная автоматизация включает выделение рудных пересечений согласно кондициям, оконтуривания рудных тел и подсчетных блоков, а также подсчет запасов руд и полезных компонентов.

При частичной автоматизации оконтуривание рудных тел и подсчетных блоков проводят вручную, а ввод координат точек контура или площади блоков для подсчета запасов руды и полезных компонентов выполняется на ПЭВМ.

Геостатистические методы подсчета запасов минерального сырья заключается в разделении рудного тела на множество ячеек (кластеров, блоков). При построении блочной геостатистической модели месторождения максимально возможный размер элементарного подсчетного блока выбирается исходя из планируемой технологии добычи. Минимальный размер элементарного подсчетного блока должен быть не менее ¼ средней плотности разведочной сети. Считается, что геостатистический способ подсчета запасов позволяет снизить ошибки оконтуривания рудных тел со сложной морфологией и внутренним строением и более точно определить среднее содержание полезного компонента в блоках и залежах на месторождениях 3 и 4 групп сложности.

Для создания моделей месторождений и подсчета запасов минерального сырья имеется ряд компьютерных систем и программ, в которых ГКЗ РФ рекомендует обрабатывать геологоразведочные данные для подготовки проектов горных предприятий, представляемых на экспертизу. К ним относятся компьютерные программы «Datamine» (Великобритания), «Micromine» и «Vulcan» (Австралия), «Techbase» (США), «Итегра» (Россия). Среди них наиболее часто используемым является пакет Micromine. Основными методами подсчета запасов минерального сырья в компьютерной системе «Micromine» являются следующие:

1) Полигональный метод;
2) Метод обратных расстояний (JDW);
3) Обычный (ординарный) кригинг (О.К);

4) Многоиндикаторный кригинг (MIK);

5) Условная симуляция.

Полигональный метод может применяться как при регулярной, так и нерегулярной сети опробования. В этом методе содержание полезного компонента в точке, где опробование не проводилось, принимается равным значению содержания в ближайшей пробе. Коэффициент взвешивания для этой пробы равен 1, для других проб – 0. Полигональный метод хорошо подходит для оценки маломощных жильных рудных тел. Их оценка сводится к простой процедуре взвешивания содержания полезного компонента на мощность рудного тела.

Метод интерполяции обратно пропорционально степени расстояния показывает очень хорошие результаты при равномерной разведочной сети. В этом методе учитываются расстояния ячейки от близлежащих разведочных выработок. Чем дальше находится разведочная выработка от ячейки, тем слабее ее влияние. Метод обратных расстояний учитывает анизотропию распределения интерполируемого компонента. Он наиболее подходит для месторождений, где наблюдается четкий структурный контроль оруденения.

Обычный кригинг обеспечивает минимальную дисперсию отклонений прогнозных значений параметров от фактических. В этом методе значения параметра в ячейке зависят от значений его в ближайших разведочных выработках и от их взаимного расположения. Обычный кригинг применяется для подсчета запасов на месторождениях, где наблюдается четкая закономерность в распределении содержаний ПК в трехмерном пространстве (вариография) (месторождения вкрапленных руд, кор выветривания, меднопорфировых руд).

Многоиндикаторный кридинг включает расчет и моделирование вариограмм при серии бортовых содержаний ПК. Он применяется на метасоматических месторождениях в пределах которых контуры рудных тел устанавливаются по данным опробования.

Условная симуляция является специфическим методом, в котором определяется вероятностное значение содержания ПК в каждой отдельно взятой

точке путем комбинации симулированных моделей. Эти модели имитируют реальные закономерности распределения содержаний ПК в рудном теле.

ЛЕКЦИЯ 14

ПОКАЗАТЕЛИ ЭКОНОМИЧЕСКОЙ ЭФФЕКТИВНОСТИ РАЗРАБОТКИ ЭКСПЛУАТИРУЕМЫХ МЕСТОРОЖДЕНИЙ

Показатели экономической эффективности освоения эксплуатируемых месторождений при укрупненных расчетах определяются по формулам:

1) Чистая дисконтированная прибыль (ЧДП)

$$ЧДП = \frac{(П'_ч - K_г)\cdot\left[(1+E)^{Tэ} - 1\right]}{(1+E)^{Tэ}\cdot E} - K_ф,$$

где: $П'_ч$ - чистая годовая прибыль с амортизационными отчислениями; $K_г$ - среднегодовые капитальные вложения в эксплуатацию месторождения, руб; $T_э$ - срок эксплуатации месторождения, лет; E – норма дисконтирования прибыли; $K_ф$ - стоимость основных фондов предприятия на момент оценки месторождения,

2) $K_ф = K_o - K_п + ОБ$,

где K_o - общие капиталовложения в освоение месторождения, руб; $K_п$ - предстоящие инвестиции, необходимые для полной отработки промышленных запасов месторождения, руб; *ОБ* – оборотные средства, руб.

3) Индекс прибыльности (ИП)

$$ИП = \frac{\left(П'_ч \cdot \frac{(1+E)^{Tэ} - 1}{(1+E)^{Tэ}\cdot E}\right)}{\left(K_ф + K_г \cdot \frac{(1+E)^{Tэ} - 1}{(1+E)^{Tэ}\cdot E}\right)}$$

4) Срок окупаемости капитальных вложений

$$T_o = \frac{\log\cdot\left(\frac{П'_ч - K_г}{П'_ч - K_г - E\cdot K_ф}\right)}{\log(1+E)}$$

Внутренняя норма прибыли (*ВНП=$E_{ВН}$)* устанавливается по графику изменения величины *ЧДП* для нескольких значений ставки дисконтирования *(E)*.

Экономическая эффективность освоения эксплуатируемых месторождений оценивается на основе рассмотренных показателей с учетом социальных и экологических факторов. Освоение месторождения будет эффективным, если *ЧДП>0*, *ИП>1*, T_o*<10* лет, *ВНП>Е*.

Приведенные показатели экономической эффективности освоения месторождений рассчитывались в условиях стандартного налогообложения. Альтернативным вариантом является оценка эффективности освоения месторождений на основе соглашения о разделе продукции (СРП) между инвестором и государством. Закон о СРП представляет субъекту предпринимательской деятельности на возмездной основе и на определенный срок исключительные права на поиски, разведку, добычу минерального сырья на участке недр, указанном в соглашении.

Соглашение о разделе продукции устанавливает систему платежей, включающую несколько составляющих: 1) доля в прибыльной продукции; 2) роялти, 3) бонусы, 4) рентальс. В соглашении определяются пропорции, по которым прибыль от разработки месторождения делится между государством и инвестором. Роялти представляют собой регулярные платежи за добычу полезных ископаемых. Бонусы включают разовые платежи, уплачиваемые при заключении соглашения о разделе продукции. Рентальс взимаются в форме ежегодных платежей за проведение поисковых и разведочных работ. В течении всего срока действия соглашения о разделе продукции инвестор осуществляет выплату следующих налогов: 1) налог на добычу полезных ископаемых (с коэффициентом 0,5); 2) налог на прибыль; 3) платежи по социальному и медицинскому страхованию своих работников; 4) платежи в государственный фонд занятости населения Российской Федерации; 5) платежи в пенсионный фонд Российской Федерации. Снижение налогового бремени при реализации горных проектов на основе соглашения о разделе продукции позволяет инвесторам уменьшить сроки окупаемости капиталовложений (T_o) и получения чистой прибыли. Это приводит к улучшению экономических условий разработки месторождений.

Инвестиционные проекты, составленные на условиях соглашения о разделе продукции по месторождениям углеводородов: Сахалин-1, Сахалин-2, Харьягинское, Самотлорское. По рудным месторождениям в перечень для разработки на условиях соглашения о разделе продукции включены Яковлевское месторождение железа в Белгородской области, Куранахская группа месторождений Au в республике Саха (Якутия), Тасеевское месторождение золота в Читинской области.

Важными показателями при проведении оценочных расчетов является критический объем производства товарной продукции ($Q_{кт}$) или добычи минерального сырья ($Q_{кс}$), обеспечивающие безубыточною деятельность предприятия. Критический объем (точка безубыточности) означает объем реализации товарной продукции, при котором выручка от ее реализации покрывается расходами на создание продукции без получения прибыли. Он определяется по формуле:

$$5)\ Q_{км} = \frac{З_с}{Ц - З_v}$$

где: $Q_{кт}$ - критический объем реализации товарной продукции, т/год; $З_с$ - постоянные затраты на весь объем, р; $З_v$ - переменные затраты на единицу реализации продукции, р/т; $Ц$ - цена единицы товарной продукции, р/т.

Критический объем добычи минерального сырья ($Q_{кс}$) при выпуске одного вида товарной продукции определяется из выражения:

$$6)\ Q_{кс} = \frac{Q_{км}}{j}$$

где: j - выход товарной продукции с 1 т сырья, доли ед.

Уменьшение постоянных (или переменных) расходов ведет к снижению точки безубыточности и улучшению финансового состояния горного предприятия, где большое влияние на изменение критического объема добычи сырья ($\Delta Q_{кс}$) оказывает цена товарного продукта:

$$7)\ \Delta Q_{кс} = \frac{З_с \times (Ц_{сф} - Ц_{сп})}{(Ц_{сф} - З_v) \times (Ц_{сп} - З_v)},$$

где: $Ц_{сп}, Ц_{сф}$ - соответственно прогнозная и фактическая цены товарного продукта, р/т.

Экономическая оценка месторождений предполагает наряду с расчетом основных показателей эффективности и определением точки безубыточности установление степени риска (устойчивости) инвестиционных горных проектов.

Риск инвестиций означает вероятность невозвращения инвестиционных средств при осуществлении проекта. Альтернативной вероятностью того, что данный проект обеспечит возврат сделанных инвестиций, является устойчивость проекта. Факторы риска делятся на внутренние, в определенной степени поддающиеся контролю, и внешние, на которые инвестор не может повлиять. К внутренним факторам риска в горной промышленности, относятся: 1) точность и достоверность оценок запасов и средних содержаний полезных компонентов в недрах и добытом сырье; 2) правильность оценок условий добычи и переработки минерального сырья; 3) достоверность определения расчетных экономических показателей.

Внешние факторы риска включают:

1) политические (внутриполитическая и внешнеполитическая напряженность);

2) финансово-экономические (экономический спад, высокий уровень инфляции, рост цен на энергетические ресурсы, увеличение транспортных тарифов);

3) законодательные (ужесточение налогового законодательства, повышение таможенных сборов);

4) чрезвычайные ситуации (стихийные бедствия и т.п.), неблагоприятные для реализации инвестиционных проектов.

Критериями риска проекта являются оценки вероятности событий:

$$ЧДП>0, ИП>1, ВНП>Е.$$

По уровню риска инвестиций в добычу полезных ископаемых выделяют четыре области риска:

1) минимального риска (уровень риска 10-25%);

2) среднего риска (уровень риска 25-50%);

3) повышенного риска (уровень риска 50-60%);

4) особого риска (уровень риска 60-75%).

Дифференциация предприятий – недропользователей по областям риска проводится по следующим критериям: 1) морфология тел полезных ископаемых; 2) виды полезных ископаемых, определяющие их ценность; 3) способ добычи (открытый, подземный, скважинный); 4) географо-экономические условия разработки.

На основе экспертных оценок горных предприятий России по двум критериям (вид полезного ископаемого и способ добычи) в область минимального риска отнесены нефтегазодобывающие компании, в область среднего риска – предприятия, осуществляющие добычу сырья открытым способом (кроме угольных) и предприятия по добыче благородных, цветных металлов и драгоценных камней подземным способом, в область повышенного риска - угледобывающие разрезы, в область особого риска – угольные шахты.

ЛЕКЦИЯ 15

ГЕОЛОГО-ЭКОНОМИЧЕСКАЯ ОЦЕНКА ТЕХНОГЕННЫХ МЕСТОРОЖДЕНИЙ

Техногенные месторождения – это скопление минеральных веществ, образовавшихся в результате складирования отходов добычи полезных ископаемых, обогатительного, металлургического и других производств, качество и количество которых позволяет осуществлять их добычу и переработку на рациональной экономической основе.

Состав и строение техногенных месторождений зависит от геолого-промышленного типа исходного природного месторождения, способа добычи и технологической схемы переработки минерального сырья, условий складирования и сроков хранения отходов.

В соответствии с этим они подразделяются на:

1) сырье, образовавшиеся в результате разработки полезных ископаемых (отвалы забалансовых руд, вскрышных и вмещающих пород);
2) отходы, сформировавшиеся в процессе переработки минерального сырья (шламо- и хвостохранилища, отходы металлургического, химического и других производств).

Изучение техногенных месторождений на стадиях разведочных работ, эксплуатационной разведки сопровождается их комплексной геолого-экономической оценкой. Она включает оценку геологических и горнотехнических условий освоения месторождений, технологических свойств техногенного сырья, расчет технико-экономических показателей оценки месторождений с учетом социальных и экологических последствий их разработки.

Техногенные месторождения для целей разведки делятся на две группы, различающиеся по морфологии, внутреннему строению и гранулометрическому составу.

В первую группу входят отвалы, сложенные отходами добычи полезных ископаемых, энергетического (золоотвалы) и металлургического (шлаки, кеки) переделов. По форме они представлены плоскими, пластообразными и террасированными, коническими и гребневидными образованиями, сложенными разнозернистым материалом с размером кусков от мм до десятков сантиметров.

Ко второй группе относятся шламохранилища и хвостохранилища, имеющие плоскую поверхность, с нижней границей, определяемой рельефом местности, в которой они размещаются. Материал хвостохранилищ мелкозернистый или тонкодисперсный.

Запасы техногенного сырья делятся на предварительно оцененные и разведанные в зависимости от степени изученности качественных свойств, определяющих внутреннее строение месторождений. Для определения качества вторичного сырья последуют его минеральный и химический состав, содержание полезных компонентов и вредных примесей и характер их пространственного распределения в пределах техногенных залежей. При опробовании шлакоотва-

лов изучают текстурные особенности шлаков, которые по физическому состоянию делятся на гранулированные и литые.

Гранулированные шлаки представляют собой мелкозернистый (2-5мм) сыпучий материал. В литых шлаках устанавливают размеры и характер строения зерен и агрегатов соединений, содержащих полезные компоненты, а также их физико-механические свойства (плотность, истираемость, кислотостойкость, водопоглащаемость, вязкость). Для изучения качества техногенного сырья, предназначенного для использования в стройиндустрии, проводят техническое опробование для определения насыпной и минералогической плотности, гранулярного состава, влажности, прочности, упругости.

По инженерно-гидрогеологичеким условиям техногенные месторождения делятся на сухие (маловлажные), влажные и обводненные. К маловлажным относятся отвалы вскрышных и вмещающих пород, специальные отвалы некондиционных руд, осушенные шламо, шлако- и хвостохранилища. Влажные и обводненные техногенные месторождения включают частично осушенные действующие хвостохранилища, а также законсервированные хвостохранилища, на 40% и более покрытые водой. В процессе инженерно-гидрогеологических исследований техногенных образований, отрабатываемых открытым способом (карьером) изучается степень обводненности месторождения поверхностными и подземными водами, устанавливается положение уровня грунтовых вод, рассчитываются возможные водопритоки в эксплуатационные выработки, определяются физико-механические свойства мерзлых и талых пород, оценивается возможность возникновения оползней.

Если техногенная залежь отрабатывается с применением геотехнологических методов (кучного химического и бактериального выщелачивания), изучаются основные физико-химические параметры сырья (пористость, коэффициент фильтрации, водоотдача), определяющие условия эксплуатации.

Оценка технологических свойств техногенных образований в связи с более низким содержанием в них полезных компонентов в сравнении с природными

месторождениями является главной задачей их изучения. Из техногенного сырья сначала отбираются минералого-технологические пробы, в которых определяют содержание ценных компонентов и вредных примесей, гранулометрический состав, физико-механические свойства. Затем производится отбор малообъемных технологических проб массой от нескольких кг до 50кг, характеризующих отдельные типы и сорта техногенного сырья по разведочным пересечениям. По выделенным технологическим типам и сортам в процессе разведки отбираются лабораторные и укрупнено-лабораторные пробы массой от 0,1 до первых тонн для выбора рациональной схемы переработки сырья, изучения распределения основных и попутных компонентов по продуктам обогащения. Завершается оценка технологических свойств сырья отбором полупромышленных проб массой от нескольких тонн до нескольких сотен тонн для уточнения схем и показателей переработки отвалов.

При проведении технологических испытаний также оценивается возможность предварительного обогащения техногенного сырья (радиометрического, в тяжелых суспензиях, отсадкой). Масса технологических проб, отбираемых для испытаний обогатимости радиометрическими методами, должна быть не менее 2-3 тонн.

Переработка техногенного сырья обычно проводится на действующих горных предприятиях. Важным горно-технологическим показателем оценки техногенного месторождения является годовая производственная мощность рудника по переработке отходов (Аг), определяемых по формуле:

$$1)\, Aг = {Q_T}/{j_T},$$

где: Q_T - свободная мощность на обогатительной фабрике (металлургическом заводе) по товарной продукции, т/год;

j_T - выход товарной продукции, получаемой из 1т добытого сырья, доли ед.

Он устанавливается по формуле:

$$2)\, j_T = \frac{C_c \times K_и}{C_T},$$

где: C_c, C_T - содержание полезного компонента в добытом сырье и товарной продукции, %;

$K_и$ – коэффициент извлечения полезного компонента в товарную продукцию, доли ед.

Если при освоении техногенного месторождения попутно используются нерудные составляющие для производства стройматериалов, выход строительной продукции определяется отношением ее объема к величине объема переработанных отходов.

Экономическая оценка эффективности освоения техногенных месторождений , как и при оценке первичных природных месторождений, включает определение следующих показателей:

1) Общая величина инвестиций;
2) Эксплуатационные затраты;
3) Годовая прибыль от реализации товарной продукции;
4) Чистая дисконтированная прибыль;
5) Индекс прибыльности;
6) Срок окупаемости инвестиций;
7) Внутренняя норма прибыли.

Народнохозяйственный эффект (Энх) от освоения техногенного месторождения рассчитывается по формуле:

3) $Э_{нх}=Э_{ком}+Э_{эк}+Э_{с}+Э_{соп}$

где: $Э_{ком}$ – коммерческий эффект, равный чистой дисконтированной прибыли (ЧДП) за весь срок разработки месторождения;

$Э_{эк}$, $Э_{с}$ – экономический и социальный эффекты;

$Э_{соп}$ – сопряженный эффект от эксплуатации техногенного месторождения, возникающий в геологоразведочной отрасли ($Э_{гр}$) и строительстве ($Э_{ст}$).

Экологический эффект от разработки техногенного месторождения возникает вследствие уменьшения вредного воздействия на окружающую среду. При

освоении техногенного месторождения образуется также социальный эффект вследствие увеличения занятости населения, создания новых рабочих мест.

Эффект в геологоразведке возникает вследствие экономии затрат, которые пришлось бы осуществлять на поиски и разведку запасов полезных ископаемых взамен отрабатываемых техногенных ресурсов.

Эффект в строительстве образуется вследствие экономии инвестиций, обусловленной размещением техногенного сырья на поверхности и резким сокращением объемов строительных (горно-капитальных) работ.

ЛЕКЦИЯ 16

СОПОСТАВЛЕНИЕ ДАННЫХ РАЗВЕДКИ И РАЗРАБОТКИ МЕСТОРОЖДЕНИЙ ТВЕРДЫХ ПОЛЕЗНЫХ ИСКОПАЕМЫХ

Основным **критерием** достоверности разведанных запасов ПИ является степень их подтверждения в процессе эксплуатации месторождения. Сопоставление данных разведки и разработки и анализ причин их расхождения производятся совместно организациями, разведывавшей и разрабатывающей месторождение. При этом горное предприятие, разрабатывающее месторождение обязано подготовить все необходимые материалы геолого-маркшейдерского обслуживания, полученные в процессе эксплуатации и проанализировать их совместно с геологоразведочной организацией. Сопоставление данных разведки и эксплуатации должно осуществляться по всем участкам с погашенными, подготовленными и готовыми к отработке запасами, а также по площадям, где проведено или намечается списание запасов в связи с их неподтверждением или по технико-экономическим причинам.

Сопоставление данных разведки и разработки производится:

1) по телам полезного ископаемого в контурах запасов подсчетных блоков, ранее утвержденных ГКЗ (ТКЗ);
2) по этим же телам, но с учетом запасов, дополнительно выявленных при эксплуатационной разведке и разработке месторождения за контурами

подсчетных блоков ранее утвержденных запасов, на сопряженных площадях;

3) с учетом новых тел полезного ископаемого, выявленных при разработке или доразведке месторождения в пределах ранее известных рудовмещающих зон.

Сопоставление данных разведки и эксплуатации проводится раздельно по подсчетным блокам и телам полезного ископаемого, разрабатываемых различными способами (открытым, подземным, комбинированным), а также раздельно по участкам, разведанным с помощью различных технических средств (буровыми скважинами, горными выработками, сочетанием скважин и горных выработок, геофизическими методами).

При этом проводится сравнение:

1) представлений об особенностях геологического строения месторождения, полученных на стадиях его разведки и эксплуатационной разведки;
2) подсчетных параметров (мощности, площади тел, содержания полезных компонентов, объемной массы руды), установленных по данным разведки и разработки;
3) запасов руды и металлов, разведанных и выявленных при эксплуатации месторождения;
4) природных разновидностей, технологических типов и сортов руд;
5) гидрогеологических и горнотехнических условий разработки месторождения.

Данные разведки и разработки (геологические и гидрогеологические особенности месторождения, мощности, площади и запасы рудных тел, средние содержания полезных компонентов, объемная масса руд) сравниваются в одних и тех же границах сопоставления.

При характеристике особенностей геологического строения месторождения, положенных в основу подсчета запасов и полученных при эксплуатационной разведке, сопоставляются условия залегания и характер выклинивания

рудных тел, их морфологические типы, размеры рудных залежей по простиранию, падению и мощности, степень сложности формы залежей по величине контурного модуля, изменчивость параметров рудных тел (мощности, содержания полезного компонента). По данным разведки и разработки месторождения определяются степень пространственного совпадения рудных тел и ошибки геометризации. Сравнение представлений об особенностях геологического строения месторождения проводится с использованием специальных графических материалов. К ним относятся планы основных горизонтов или уступов; планы подэтажей в контурах участка сопоставления; разрезы, отстраиваемые в опорных маркшейдерских осях, совпадающих с подсчетными разрезами по данным разведки месторождения.

Для надежной статистической обработки информации в пределах подсчетных блоков выделяются элементарные блоки сопоставления. Под элементарным блоком понимается часть подсчетного блока , установленного разведкой в границах эксплуатационного этажа или уступа, однородного по геологическому строению и имеющего соответствующую категоризацию запасов.

Площади блоков определяют путем непосредственных замеров на вертикальных проекциях или параллельных разрезах в зависимости от способа подсчета запасов. В контуре каждого элементарного блока определяются средние значения мощности рудных тел и запасы руды. Среднее содержание металла в элементарном блоке определяется как средневзвешенное на мощность единичных разведочных пересечений.

Подсчет запасов руды по данным разработки проводится по элементарным или эксплуатационным блокам, а также по сумме данных эксплуатационной разведки, опробования горноподготовительных, нарезных и очистных выработок в границах участка сопоставления.

При сравнении за 100% принимаются разведочные данные утвержденного ГКЗ (ТКЗ) подсчета запасов. Величина расхождения (Р) между запасами, под-

считанными по данным разведки ($Q_р$) и установленными по данным разработки месторождения ($Q_э$) определяется по формуле:

$$1)\ \text{Р} = \frac{Q_э - Q_р}{Q_р} \times 100\%$$

Аналогично определяются расхождения в значениях других подсчетных параметров: мощности (М), площади (S), среднего содержания ($\bar{С}$), коэффициента рудоносности (Кр), объемной массы (d), выхода товарной продукции (общего и по сортам).

В результате сравнения значений подсчетных параметров и запасов рудных залежей устанавливаются итоговые расхождения по отдельным блокам, рудным телам и участку сопоставления. Выявленные расхождения в подсчетных параметрах и запасах руды и металла должны быть тщательно проанализированы, определены величины случайных и систематических погрешностей определения запасов, подсчетных параметров и качества руд.

Средняя случайная (среднеквадратическая) погрешность вычисляется по формуле:

$$2)\ \sigma = \sqrt{\frac{\sum_{i=1}^{n}(di\text{-}\bar{d})^2}{n}},$$

где: di - расхождение в запасах (подсчетных параметрах, качестве руд) в блоке по данным разведки и разработки;

$\bar{d}$ - средняя абсолютная систематическая погрешность определения запасов, подсчетных параметров и качестве руд. Она определяется по формуле:

$$3)\ \bar{d} = \sqrt{\frac{\sum_{i=1}^{n} di}{n}},$$

где: n - число определений параметра.

Средняя относительная систематическая погрешность рассчитывается по формуле:

$$4)\ \bar{d}_r = \frac{\bar{d} \times 100}{\bar{C}_0},$$

где: $\bar{C}_0$ - средняя по выработке величина запасов (параметра рудной залежи, качества руд), оцененная по данным разведочных работ.

Значимость систематической погрешности оценивается по критерию Стьюдента. При выявлении значимых систематических расхождений между данными разведки и разработки месторождения, выясняются причины этих расхождений. Возможными причинами расхождений в запасах, подсчетных параметрах и качестве руд могут быть как погрешности разведки, так и разработки месторождений.

К основным недостаткам разведки месторождений, обусловившим значительные расхождения, относятся:

1) Неправильное понимание геологических особенностей месторождения;
2) Недостаточная плотность разведочной сети;
3) Отсутствие или малый объем подземных горных выработок (штреков, восстающих);
4) Низкая достоверность данных бурения;
5) Наличие избирательного выкрашивания или истирания полезных минералов (молибденит, графит) при опробовании рудных тел.

Причинами возникновения погрешностей определения запасов, подсчетных параметров и качества руд по данным разработки являются:

1) Недостаточная плотность сети эксплуатационной разведки;
2) Выборочная отработка богатых руд;
3) Неполное пересечение рудных тел разведочными и нарезными выработками;
4) Необоснованный перевод отдельных участков балансовых руд в забалансовые;
5) Невысокое качество опробования в процессе эксплуатационной разведки;
6) Разведка и отработка рудных тел при разных параметрах кондиций.

Для оценки подтверждаемости представлений о технологических свойствах полезного ископаемого сравниваются технологические показатели, принятые при утверждении запасов, с установленными при разработке месторож-

дения. К ним относятся промышленные типы и сорта руд, их пространственное распределение, показатели, определяющие технологические свойства руд (минеральный состав рудных включений, содержание полезных компонентов и вредных примесей), показатели обогащения и переработки минерального сырья, качество получаемой продукции.

При сопоставлении гидрогеологических и горнотехнических условий месторождения при его разведке и разработке сравниваются данные о водопритоках в горные выработки, составе и свойствах шахтных и карьерных вод, физико-механических свойствах полезных ископаемых и вмещающих пород, степени их трещиноватости, о развитии разрывных нарушений, закарстованности, участков многолетнемерзлых пород, о природной газоносности отложений.

Лекция 17

ГЕОФИЗИЧЕСКИЕ ИССЛЕДОВАНИЯ НА ГОРНЫХ ПРЕДПРИЯТИЯХ

Основными задачами геофизических исследований при эксплуатации месторождений являются:

1) Выявление благоприятный для размещения полезных ископаемых геологических структур;
2) Обнаружение тел полезных ископаемых на флангах и глубоких горизонтах месторождений в пространстве между выработками;
3) Определение мощности и контуров тел полезных ископаемых, условий их залегания;
4) Оценка качества полезных ископаемых;
5) Уточнение гидрогеологических условий месторождений;
6) Оценка состояния массивов горных пород и прогнозирование геодинамических процессов.

Геофизические исследования в зависимости от целей, решаемых задач и условий проведения работ выполняются в наземном, скважинном и подземном вариантах. Все геофизические методы в зависимости от природы физических

полей подразделяются на гравиметрические, магнитные, электромагнитные, радиоволновые, сейсмические, радиометрические и термические.

Особенность применения методов наземной геофизики на действующих горных предприятиях выражается в их детальности, крупномасштабности, сложности учета геометрии выработок, наличии техногенных полей.

Гравиметрические методы, базирующиеся на оценке гравитационных аномалий, позволяют определить глубину залегания, форму и размеры тел полезных ископаемых, выявить блоки плотных и закарстованных пород, зоны трещиноватых и брекчированных пород. По положительным гравитационным аномалиям изучают рудные месторождения хромита, барита, по отрицательным аномалиям – месторождения каменной соли, ископаемых углей.

Магнитные методы основаны на изучении магнитных аномалий, вызванных различной магнитной восприимчивостью горных пород и полезных ископаемых. Они применяются для оценки магнетитовых руд, алмазоносных кимберлитовых трубок, бокситовых руд, золотоносных россыпей.

Электромагнитные методы исследования массивов горных пород предназначены для выявления и изучения аномалий в электромагнитных полях. Среди них наиболее распространенными являются методы естественного поля, заряженного тела, вызванной поляризации, кажущегося сопротивления, пьезоэлектрический, магнито-теллурический. С их помощью изучают сульфидные и угольные месторождения, оконтуривают рудные тела, пласты антрацита и графита, выявляют дайки, разрывные нарушения.

Высокочастотные **радиоволновые методы** (индуктивные, радиоволнового просвечивания, интерференционные) применяются для определения местоположения и размеров рудных тел, залежей угля, графита, обнаружения тектонических нарушений и обводненных зон.

Сейсмические методы (отраженных волн, корреляционный преломленных волн) характеризуют строение и состояние массивов горных пород. Их используют при разведке и инженерно-геологических изысканиях: изучении зон

трещиноватости, разломов, карстовых полостей, выветрелых горных пород, а также при оценке параметров упругости и прочности горных пород.

Радиометрические методы, фиксирующие естественные радиоактивные поля, применяются при изучении месторождений урановых руд, при выявлении разломов, зон трещиноватости.

Геофизические методы исследования скважин (каротаж) основаны на изучении в них различных полей. По данным каротажа строят геологические разрезы, оценивают структуру месторождений, расчленяют толщи по литологическим признакам, выявляют полезные ископаемые, определяют физические свойства горных пород. Наиболее распространенными являются следующие виды каротажа скважин: электрический, магнитный, акустический, термический, радиоактивный, фотометрический, газовый. Для рудных месторождений наибольшее значение имеют электрический, радиоактивный и магнитный каротаж. С помощью электрического каротажа осуществляется расчленение разрезов скважин на медноколчеданных месторождениях по удельному сопротивлению или проводимости. При радиоактивном каротаже на урановых месторождениях наиболее часто применяют методы ГК, НГК, ГГК-С. Магнитный каротаж на месторождениях железных руд проводится методом КМВ с использованием скважинных каппометров. Используется также комплексная аппаратура электромагнитного каротажа для измерения электропроводности и магнитной восприимчивости пород и руд.

Для контроля за техническим состоянием рудных скважин применяются специальные геофизические методы. К ним относятся инклинометрия, предназначенная для измерения углов отклонения оси скважины от вертикали (зенитное искривление) и от плоскости разведочного разреза (азимутальное искривление), и кавернометрия, с помощью которой определяют фактический диаметр скважины.

При проведении гидрогеологических исследований на разрабатываемых месторождениях для выделения фильтрующих горизонтов, выявления и изуче-

ния водопритоков, оценки дебитов и минерализации подземных вод, определения значений коэффициентов фильтрации используются такие геофизические методы как термометрия, резистивиметрия, расходометрия, барометрия. Термометры сопротивлений применяют для непрерывного или поточечного измерения температур в скважинах. Резистивиметрия служит для измерения удельного электрического сопротивления промывочной жидкости. Расходометрия предназначена для определения скорости перемещения жидкости по скважине. Барометрия используется для установления давления по стволу скважины.

Методы подземной (шахтной) геофизики применяют для изучения подземного пространства с помощью источника и приемника поля, помещенных в горных выработках и скважинах подземного бурения. Основное назначение этих методов заключается в оперативном обеспечении геолого-геофизическими результатами процесса разведочных работ и подготовки эксплуатационных блоков, изучения гидро- и инженерно-геологических условий освоения месторождений, прогозирования геодинамических процессов. В подземной геофизике получили распространение различные варианты методов электро-, грави-, термо-, магнито- и сейсморазведки, геоакустики и др. Электропрофилирование применяется для оконтуривания рудных тел с низким удельным сопротивлением, метод заряда - для установления сплошности рудных залежей, метод вызванной поляризации – для выделения участков наиболее обогащенных руд, фиксации вкрапленных руд.

С помощью подземной гравиразведки решаются следующие задачи:

1) Ведение поисков в межвыработочном пространстве рудных залежей, не выявленных при разведке;
2) Выяснение условий залегания, формы и размеров рудных залежей;
3) Определение литологических и тектонических контактов пород с разной плотностью;
4) Обнаружение проявлений глубинного карста, пустот в продуктивных толщах, зон обрушения;

5) Установление плотностных характеристик толщ горных пород между горизонтами.

Методы подземной магниторазведки позволяют выяснить природу магнитных аномалий, вести поиск намагничесннх тел в окрестностях выработок и забойном пространстве, выявить их пространственное положение, формы, размеры, элементы залегания.

Радиоволновые методы в шахтно-рудничном варианте используются для решения следующих вопросов:

1) Оценка рудоносности блоков пород между выработками для целенаправленного ведения горно-буровых работ;
2) Выяснение особенностей морфологии, размеров, условий залегания тел полезных ископаемых – уточнение контуров, выделение мест разрыва сплошности, апофиз и пережимов;
3) Контроль за отработкой эксплуатационных блоков с целью предотвращения потерь и разубоживания полезного ископаемого.

Применение подземных радиоволновых методов дало положительные результаты на медно-никелевых, медноколчеданных, полиметаллических, железорудных месторождениях.

Сейсмические и геоакустические методы подземной геофизики позволяют определить упругие свойства горных пород, изучать степень их трещиноватости, исследовать напряженное состояние массива, выявлять подземные полости и зоны разломов, оконтуривать рудные залежи, угольные и соляные пласты.

ЛЕКЦИЯ 18

ГИДРОГЕОЛОГИЧЕСКИЕ И ИНЖЕНЕРНО-ГЕОЛОГИЧЕСКИЕ ИССЛЕДОВАНИЯ ПРИ ЭКСПЛУАТАЦИИ МЕСТОРОЖДЕНИЙ

Основными задачами гидрогеологических исследований на стадии разработки месторождений являются:

1) определение характера взаимосвязи подземных и поверхностных вод;
2) изучение водообильности и водопроницаемости пород;

3) установление возможных водопритоков в горных выработках;

4) исследование агрессивности подземных вод и возможности их использования для бытового и промышленного водоснабжения.

Гидрогеологические исследования при открытой разработке месторождений карьерами включают: 1) наблюдение за режимом водопритока и уровнем подземных вод; 2) проведение откачек и нагнетаний вод; 3) изучение состава и свойств воды; 4) гидрогеологическая съемка.

Наблюдение за режимом притоков подземных и поверхностных вод в карьер осуществляется по системе ориентировочных точек. По мере развития карьера их количество пополняется и изменяется. Для установления режима водопритоков проводятся следующие наблюдения:

1) определение дебита наиболее крупных концентрированных выходов воды в откосах уступов и на дне карьера;

2) оценка единичных расходов потоков воды, просачивающихся на откос уступа (траншеи) карьера на характерных участках, а также расхода воды, поступающей в водосборники;

3) исследование поглощения атмосферных, поверхностных и технических вод;

4) изучение и прогнозирование динамики изменения депрессионной воронки во времени и пространстве по мере развития фронта горных работ.

Частота режимных наблюдений за водопритоками в карьерах должна быть не менее 2-3 раз в месяц, а в периоды весеннего снеготаяния и ливневых дождей – 1 раз в три дня или ежедневно.

На месторождениях с простыми гидрогеологическими условиями режимные наблюдения за водопритоками проводят по центральному водоотливу, на обводненных карьерных полях – по пунктам, расположенным по всему контуру горных работ. Для уточнения водопроницаемости горизонтов в карьерах выполняются кратковременные пробные или опытные откачки вод. Линии сква-

жин или шурфов ориентируют по направлению потока подземных вод и перпендикулярно к нему.

Наливы в скважины и шурфы проводятся для приближенного определения проницаемости и поглощения воды в горизонтах водоносных пород. Для изучения фильтрационных характеристик, трещиноватости пород по величине удельного водопоглощения осуществляются опытные нагнетания вод в выработки.

Состав, температура и другие характеристики вод определяются по сети наблюдательных пунктов в карьерах. Агрессивность подземных вод к металлам и бетону устанавливается по величине pH, содержанию в них свободных кислорода, угольной (H_2CO_3) и серной (H_2SO_4) кислот. Качество подземных вод и возможность их использования для питья, в технических целях или сельском хозяйстве оцениваются в соответствии с нормами и стандартами.

Гидрогеологическая съемка должна охватывать все карьерное поле и примыкающую к нему площадь на расстоянии не менее 1 километра. Съемка проводится в период сезонных изменений режима поверхностных водотоков, а при строительстве карьера – каждый месяц. Она выполняется на основе геологического плана карьера масштаба 1:10 000. Он включает контуры горных работ, некоторые нарушения, трещинные зоны, водоносные горизонты и водоупоры, участки деформаций уступов. Результаты гидрогеологической съемки отображают на геолого-маркшейдерских планах, планах гидроизогипс и гидроизопьез (одинаковых уровней напора подземных вод). На основании полученных при гидрогеологических исследованиях в карьерах данных рассчитывается водоотлив.

Гидрогеологические наблюдения при подземной разработке месторождений на рудниках и шахтах предназначены для установления режима подземных вод, условий формирования водопритока, его зависимости от развития очистных работ на горизонте и подготовительных работ на глубину. Для исследования связи поверхностных и подземных вод, ее влияние на водопритоки изуча-

ется поверхность шахтного поля. На ней выделяются участки повышенной фильтрации атмосферных осадков и поверхностных вод, поглощения сбрасываемых шахтных вод. В подземных горных выработках, опережающих, дренажных и гидрогеологических скважинах выполняются наблюдения за режимом подземных вод. Они позволяют установить суммарные и погоризонтные поступления воды в шахту, динамику изменения депрессионной воронки во времени и пространстве, определить роль тектонических нарушений в обводнении месторождения, выявить гидрогеологические параметры водоносных горизонтов и комплексов, химический состав и свойства подземных вод. Для прогнозирования величины водопритоков в шахту определяют удельные водопритоки на 1 м понижения в центре депрессионной воронки, на 1 м глубины отработки месторождений, на единицу длины горной выработки, на 1 тонну добытого полезного ископаемого.

Инженерно-геологические исследования при эксплуатации месторождений выполняются для:

1) определения физико-механических свойств вмещающих пород и полезных ископаемых в массиве и отбитой горной массы;

2) уточнения структуры разрабатываемых и отвальных массивов;

3) оценки устойчивости и деформаций стенок горных выработок, бортов карьеров и отвалов;

4) установления проявлений горных ударов, внезапных выбросов пород и газа;

5) разработки мероприятий по предотвращению оползней, провалов, обрушений.

На месторождениях со сложными инженерно-геологическими условиями, разрабатываемых открытым способом – карьерами уточняют физико-механические свойства горных пород и полезных ископаемых.

При лабораторных испытаниях образцов определяют следующие характеристики:

1) для твердых и полутвердых пород – влажность, плотность и объемную массу, хрупкость, морозостойкость, сопротивление сжатию.

2) для глинистых пород – плотность и объемную массу, пористость, влажность, водопроницаемость, просадочность, набухаемость, зерновой состав;

3) для песчаных пород – зерновой состав, влажность, плотность и объемную массу, влагоемкость, водоотдачу, угол естественного откоса.

Полный комплекс физико-химических испытаний проводится по контрольным пробам.

Для остальных проб устанавливают только расчетные параметры (объемную массу, влажность, пористость, угол внутреннего трения, сцепление). На карьерах из каждой разновидности пород отбирают по 2-3 контрольные пробы на каждые 50-75 метров продвижения фронта горных работ и на 10-20 метров углубки карьера.

Изучение деформаций пород в карьере и устойчивости отвалов включает:

1) описание признаков деформации откосов и дна карьера (трещины, оползни, обвалы, провалы);

2) выявление связи деформаций пород с механическими нарушениями и интенсивностью выветривания пород в откосах;

3) исследование влияния обводненности пород на развитие деформации откосов уступов;

4) определение воздействия взрывных работ на развитие деформации откосов.

Сопротивление сдвигу горных пород определяется срезом больших призм, монолитов, целиков породы в шурфах.

Инженерно-геологические исследования при подземной разработке месторождений проводятся для решения следующих задач: 1) уточнение физико-механических свойств горных пород и полезных ископаемых; 2) изучение трещиноватости и тектонической нарушенности пород; 3) установление характера и интенсивности развития инженерно-геологических явлений (вывалов, об-

рушений, проседания пород); 4) оценки проявления горного давления в подземных выработках и деформаций поверхности, связанных с ведением добычных работ.

Наиболее детально на рудниках изучают физико-механические свойства пород в зонах повышенной трещиноватости, брекчирования, тектонической нарушенности, выветривания.

Результаты инженерно-геологических исследований при открытой и подземной разработке месторождений используются для следующих целей:

1) районирования карьерных (шахтных) полей и отвальных территорий;

2) разработки мероприятий по управлению состоянием массива пород для обеспечения безопасного ведения горных работ;

3) охраны недр и земельных ресурсов;

4) восстановления нарушенных территорий.

ЛЕКЦИЯ 19

ПРОМЫШЛЕННАЯ КЛАССИФИКАЦИЯ ЗАПАСОВ

Текущие задачи геологической службы на горнодобывающем предприятии, включают:

1) учет потерь и разубоживания полезных ископаемых;

2) учет движения запасов;

3) планирование добычи полезных ископаемых;

4) прогнозирование количества и качества минерального сырья;

5) управление качеством руд.

Промышленные запасы – это часть балансовых запасов, подлежащая извлечению из недр. Балансовые запасы состоят из промышленных запасов, проектных потерь и запасов, нецелесообразных для отработки по технико-экономическим причинам.

Промышленные запасы делятся на вскрытые, подготовленные и готовые к выемке. К вскрытым относятся запасы, подсеченные капитальными горными

выработками, к подготовленным – запасы, оконтуренные подготовительными выработками. Готовыми к выемке считаются запасы, подсеченные нарезными горными выработками. Подготовленные запасы включают активные запасы, предназначенные для выемки и неактивные запасы, находящиеся во временных целиках, пожароопасных участках, временно заваленные или затопленные.

Проектные потери состоят из общешахтных потерь в целиках под охранными объектами, барьерных целиках, целиках для охраны капитальных горных выработок и эксплуатационных потерь в целиках, обусловленных принятой на месторождении системой разработки. К запасам, нецелесообразным для отработки по технико-экономическим причинам относятся запасы мелких изолированных тел полезных ископаемых, запасы участков с интенсивной тектонической нарушенностью и обводненных участков.

Обеспеченность горного предприятия подготовленными запасами – важнейшее условие его эффективной деятельности. На каждом предприятии устанавливаются нормативы на количество подготовленных и готовых к выемке запасов. Сущность нормативов состоит в восполнении каждого отработанного блока равноценным блоком, готовым к выемке, а каждого блока, готового к выемке – подготовленным блоком.

ПОТЕРИ И РАЗУБОЖИВАНИЕ

Разведанные запасы полезных ископаемых при разработке месторождения не могут быть полностью извлечены из недр по многим причинам. Часть добытой рудной массы попадает в отвалы пустых пород, теряется при транспортировке и складировании. Разница между подсчитанными и извлеченными балансовыми запасами образует потери.

Отношение потерянных балансовых запасов к погашенным называется коэффициентом потерь, он оценивается по формуле:

$$1)\ \eta = \frac{Q_м - Q_д}{Q_м} \times 100\%$$

где: $Q_м$ - запасы руды в массиве, т; $Q_д$ - запасы добытой руды, т.

Разубоживание (потери качества) – это происходящее в процессе разработки снижение содержания полезного компонента в добытой рудной массе по сравнению с содержимым его в массиве.

Причинами разубоживания руд является:

1) примешивание пустых пород или некондиционных руд;

2) потери части полезного компонента в виде обогащенной мелочи;

3) выщелачивание полезных компонентов и т.д.

Количественно потери качества выражаются коэффициентом разубоживания, который определяется как отношение разницы между содержанием полезного компонента в массиве ($C_м$) и добытой руде ($C_р$) к содержанию его в массиве:

$$2)\ r = \frac{C_м - C_р}{C_м} \times 100\%,$$

При разработке месторождений подземным способом уровень фактических потерь составляет на железорудных месторождениях 20-30%, на месторождениях цветных металлов 15-35%, минеральных солей – до 45-60%.

Разубоживание на рудниках достигает 18-30%. В целом, чем сложнее горно-геологические условия разработки, тем выше потери и разубоживание.

При открытом способе разработки потери составляют – 4-6%, разубоживание – 5-10%.

УЧЕТ ПОТЕРЬ И РАЗУБОЖИВАНИЯ ПОЛЕЗНЫХ ИСКОПАЕМЫХ

Потери количества и качества полезных ископаемых устанавливаются: прямыми, косвенными и комбинированными методами.

При прямом методе потери руды определяются по замерам в натуре или на геолого-маркшейдерской графике. При определении разубоживания прямым методом замеряется количество разубоживающих пород. Применение прямых методов возможно при четких контактах рудных тел с вмещающими породами. Если контакты нечеткие применяют косвенные методы. Они основаны на сопоставлении количества добытой руды с количеством погашенных балансовых

запасов – при определении потерь, и на сопоставлении содержаний полезных компонентов в них – при определении разубоживания.

Комбинированные методы состоят в сочетании прямых и косвенных приемов определения потерь и разубоживания полезных ископаемых. Где это возможно применяют прямые методы, где нет – косвенные. Окончательные величины потерь и разубоживания можно определить только после полной отработки эксплуатационного блока. Дифференцированный учет потерь и разубоживания руд при разработке месторождений проводится на основании выделения приконтурных и внутриконтурных выемочных единиц рудника (эксплуатационных блоков, камер). Это связано с тем, что 85-90% всех фактических потерь и разубоживания руд приходится на приконтактовые части залежей (кровлю, подошву, фланги тел) и лишь 10-15% потерь и разубоживания руд – на внутренние части залежей.

На величины потерь и разубоживания также существуют нормативы. За нормативные принимают такие величины потерь и разубоживания, которые оправданы технически и допустимы экономически. Нормативы устанавливаются проектом горного предприятия.

ДВИЖЕНИЕ ЗАПАСОВ

Запасы полезных ископаемых являются динамической системой, они постоянно находятся в движении. Движением запасов называется изменение их количества в процессе разведки, добычи, переоценки и других причин. По мере выемки балансовые запасы переходят в погашенные. Среди них различают запасы добытые и потерянные.

В процессе добычи запасы превращаются в рудную массу, которая содержит извлеченные запасы балансовой руды и разубоживающую массу.

В процессе эксплуатации происходят следующие виды изменения запасов:

1) погашение;

2) приращение;

3) перевод в более высокую категорию;

4) перевод из забалансовых в балансовые запасы и наоборот;

5) списание запасов;

6) снятие с баланса;

7) постановка на баланс.

Соответственно называют запасы: погашенные, приращенные, переведенные в другую категорию, списанные и др.

Причинами изменения запасов могут быть: 1) разведка; 2) переоценка; 3) неподтверждение; 4) изменение технических границ месторождения; 5) подготовка к добыче; 6) добыча; 7) потери.

Учет состояния и движения запасов является важной задачей геологической службы горных предприятий. Основная цель учета движения запасов – получение полных данных о состоянии минерально-сырьевой базы предприятия, обеспеченности разведанными запасами. Учет запасов начинается с момента передачи месторождения в эксплуатацию и проводится ежегодно на 1 января каждого года. Контроль за учетом запасов осуществляет Госгортехнадзор Российской Федерации.

ЛЕКЦИЯ 20

ПЛАНИРОВАНИЕ ДОБЫЧНЫХ РАБОТ НА ГОРНЫХ ПРЕДПРИЯТИЯХ

Деятельность горных предприятий осуществляется по заранее составленным планам.

План представляет собой перечень объемов работ, составленный по видам работ, объектам и календарным периодам. Основными показателями планирования являются:

1) при планировании добычи – а) количество руды в целом и по сортам, б) процентное содержание полезных компонентов;

2) при планировании проходки – длина и объем горных выработок;

3) при планировании бурения – длина скважин;

4) при планировании закладки – объем закладываемых пустот.

Различают перспективное, текущее и оперативное планирование.

Перспективное планирование проводится на 6-8 лет. Это обосновывается тем, что при перспективном планировании решается вопрос о сроках введения в эксплуатацию новых горизонтов. Цикл их подготовки занимает 5-7 лет. Текущим является годовое планирование. Оно осуществляется в форме техпромфинплана. Оперативное планирование – это составление квартальных, месячных, недельных и суточных планов.

Планирование горных работ выполняется на основе прогноза количественных и качественных показателей полезных ископаемых. Прогнозируются следующие показатели: 1) количество горной массы; 2) количество руды; 3) качество руды в целом и по типам и сортам.

Для прогноза количества и качества полезных ископаемых в недрах на графические геологические материалы (планы, разрезы, проекции) наносят плановый контур добычи полезных ископаемых. Внутри него по бортовым содержаниям оконтуривают полезные ископаемые и выделяют участки разных сортов, согласно техническим условиям. Для каждого участка подсчитываются запасы и определяются качественные показатели. Затем подсчитывают суммарные запасы в целом и по сортам в плановом контуре добычи полезных ископаемых.

УПРАВЛЕНИЕ КАЧЕСТВОМ РУД

Ценность товарной руды, поступающей на обогатительную фабрику и металлургический передел, определяется не столько величиной качественных показателей, сколько их стабильностью. Это обусловлено тем, что режим переработки руд (обогащения, плавки и т.д.) настраивается на определенный качественный состав поступающего сырья. Всякое изменение качества руд вызывает необходимость изменения параметров технологического процесса и увеличения расхода руды, потерь металла, затрат реагентов и энергии.

В связи с этим перед горным производством ставится задача обеспечения постоянства качественных показателей в технологическом потоке. Отсюда вытекает необходимость управления качеством руд.

Управление качеством руд – это совокупность операций, направленных на достижение в массе добытой руды заданных показателей качества. Информационной основой для управления качеством руд является опробование. При этом опробование должно быть оперативным. Наиболее оперативны геофизические методы опробования.

Основным качественным показателем, к которому применяются управляющие воздействия, является содержание в руде ведущего полезного компонента. При этом используют два статистических показателя: 1) среднее содержание полезного компонента в руде или концентрате; 2) его изменчивость, выраженную среднеквадратичным отклонением.

Учет и измерение этих величин – основной прием управления качеством руд. Контролем должны быть охвачены все основные звенья технологической цепочки. Каждая операция управления качеством руд состоит из 2-х основных стадий:

1) определение содержания полезного компонента в руде и концентрате;

2) применение к нему управляющего воздействия.

Управляющие воздействия могут быть двух видов: 1) разделение объемов руды; 2) объединение (смешивание) порций руды.

Задачи управления качеством руд:

1) изучение закономерностей размещения качественных показателей в недрах;

2) выбор оптимального направления отработки рудных тел, обеспечивающего минимальную изменчивость качественных показателей в добытой рудной массе;

3) планирование участков отработки, совокупное качество которых соответствуют плановому уровню;

4) управление объемами и корректировка границ добычи для обеспечения среднего уровня показателей качества;

5) смешивание руд в специальных складах, штабелях, бункерах, с целью усреднения их качества.

Операциями управления качеством руд являются:

1) выделение объемов руды с разными показателями качества в недрах или потоке;

2) оперативное получение информации о качестве руд в данных объемах;

3) управление последовательностью добычи руд и подачи их на переработку.

Способы управления качеством руд включают:

1) разделение участка массива на части с разным качеством руд и селективная их отработка;

2) разделение очистного блока на части с разным качеством и выдача руды в определенной последовательности;

3) разделение потока горной массы на части по качеству и группировка их в промышленные сорта;

4) перераспределение порядка следования порций горной массы внутри рудопотока, в соответствии с качеством руды в порциях.

В настоящее время на крупных горно-обогатительных комбинатах имеются автоматизированные системы управления качеством продукции – АСУКП. Они действуют на базе ядерно-геофизических методов опробования.

УСРЕДНЕНИЕ РУД ПРИ ДОБЫЧЕ

Стабильность качественных показателей достигается в процессе управления качеством руд путем их усреднения. Под усреднением понимается комплекс мероприятий по поддержанию постоянных качеств руды, отправляемой потребителю. Параметр, подлежащий усреднению, выбирается по его значимости для производства.

Степень стабилизации качественных показателей оценивается коэффициентом усреднения:

$$1)\ \kappa_{ус} = \frac{\delta_1}{\delta_2} (> 1),$$

где: δ_1 - среднеквадратичное отклонение показателя до усреднения, а δ_2 - после усреднения.

Наиболее полно качество усреднения отражает формула:

$$2)\ \kappa'_{ус} = 1 - \frac{\delta_2}{\delta_1} (< 1),$$

Значения этого коэффициента изменяются от 0 до 1. В случае полного отсутствия эффекта усреднения он равен 0, в идеально усредненной руде – 1.

Усреднение – процесс многоступенчатый. Он начинается в забоях рудника, продолжается на складах карьеров и шахт, на складах и бункерах дробильно-сортировочных, обогатительных и конгломерационных фабрик.

Выделяют четыре ступени или стадии усреднения руд: 1) при планировании горных работ; 2) путем управления добычными забоями и транспортом; 3) посредством создания усреднительных складов; 4) с помощью специального усреднительного оборудования и механизмов.

Первой стадией процесса усреднения является планирование такого порядка горных работ, который обеспечил бы сглаживание качественных характеристик в пределах длительных календарных сроков – не менее года или квартала. На этой стадии можно достичь коэффициента усреднения от 1,5 до 2,5.

Вторая стадия усреднения состоит в организации гибкого управления добычными забоями и транспортом в течении суток или смены. Высокая эффективность усреднения достигается за счет следующих мероприятий:

1) селективной выемки качественно разнородных участков забоев;

2) поддержания резервных забоев с разными качественными характеристиками руды;

3) применения подшихтовочных складов.

Коэффициент усреднения на второй стадии составляет 2,5-3.

На третьей стадии применяются прикарьерные и околоствольные усреднительные склады, на которых стабилизация качества осуществляется за счет определенной последовательности укладки руды в штабеля. Штабеля рудной массы отсыпаются по мере ее поступления тонкими слоями. В каждом слое ру-

да имеет определенное качество. Отгрузка рудной массы производится вкрест слоев, в результате чего при направленном перемешивании материала разных слоев происходит усреднение руд.

В четвертую стадию достигается самый высокий эффект усреднения на складах обогатительных фабрик и рудных дворах металлургических заводов посредством применения специальных усреднительных механизмов и оборудования. На этой стадии усреднение достигается путем механического перемешивания рудной массы в специальных емкостях, как правило, в автоматическом режиме.

ЛЕКЦИЯ 21

МОНИТОРИНГ МЕТОРОЖДЕНИЙ ТВЕРДЫХ ПОЛЕЗНЫХ ИСКОПАЕМЫХ (ММТПИ)

ММТПИ является подсистемой мониторинга состояния недр (геологической среды). Он представляет собой объектный уровень мониторинга. ММТПИ – это система регулярных наблюдений, сбора, накопления, обработки и анализа информации, оценки состояния недр и связанных с ними других компонентов окружающей природной среды в границах техногенного воздействия в процессе геологического изучения и разработки месторождения, а также ликвидации и консервации горнодобывающих предприятий.

К компонентам окружающей природной среды относятся недра, почвы, растительный и животный мир, поверхностные и подземные воды, воздух.

Целью ведения ММТПИ является информационное обеспечение органов управления государственным фондом недр и недропользователей при геологическом изучении и разработке месторождений полезных ископаемых. Для реализации этой цели в системе ММТПИ осуществляется решение следующих задач:

1) Оценка текущего состояния геологической среды на месторождении, включая зону существенного влияния его эксплуатации;

2) Составление текущих, оперативных и долгосрочных прогнозов изменения геологической среды на месторождении и в зоне существенного влияния его отработки;
3) Проведение экономической оценки ущерба с определением затрат на осуществление природоохранных мероприятий и компенсационных выплат;
4) Разработка мероприятий по рационализации способов добычи полезного ископаемого, предотвращению аварийных ситуаций и ослаблению негативных последствий ведения эксплуатационных работ;
5) Контроль и оценка эффективности мероприятий по рациональному способу добычи полезного ископаемого.

К источникам антропогенного воздействия, связанными с добычей полезного ископаемого относятся:

1) Открытые и подземные горные выработки, технологические скважины подземного выщелачивания;
2) Сооружения шахтного или карьерного водоотлива (системы водопонизительных и дренажных скважин, подземных горных выработок);
3) Системы захоронения шахтных вод;
4) Фильтрационные завесы, связанные с закачкой в недра специальных растворов;
5) Газо-аэрозольные и пылевые выбросы;
6) Сооружения по инженерной защите горных выработок от негативного воздействия опасных геологических процессов;
7) Автономные водозаборы подземных вод.

Источниками антропогенного воздействия на окружающую среду, не связанными непосредственно с процессом добычи полезных ископаемых являются:

1) Отвалы горных пород, склады полезных ископаемых, шламо- и хвостохранилища, пруды-отстойники, накопители сточных вод;

2) Каналы и трубопроводы отвода рек и ручьев, технических вод и стоков;
3) Сбросы дренажных и сточных вод в поверхностные водотоки и водоемы;
4) Технологические и бытовые коммуникации;
5) Участки рекультивации земель;
6) Опасные инженерно-геологические процессы;

Мониторинг месторождений твердых полезных ископаемых включают:

1) Регулярные наблюдения за элементами геологической среды, горными выработками и другими сооружениями, регистрация наблюдаемых показателей и обработка полученной информации;
2) Создание и ведение информационных фактографических и картографических баз данных, включающих ретроспективную и текущую геологическую и технологическую информацию;
3) Оценка пространственно-временных изменений состояния геологической среды;
4) Учет движения запасов полезных ископаемых при их добыче и переработке;
5) Учет извлеченных (перемещенных) горных пород;
6) Прогнозирование изменения состояния объектов горных работ под влиянием добычи полезного ископаемого, дренажных мероприятий;
7) Предупреждения о вероятных негативных изменениях геологической среды и необходимой корректировке технологии добычи полезных ископаемых;
8) Разработка рекомендаций по ликвидации последствий аварийных ситуаций, связанных с изменениями состояния геологической среды.

На площади проведения ММТПИ выделяются 3 зоны:

1) Зона непосредственного ведения горных работ и размещения других технологических объектов, влияющих на изменение состояния недр в пределах границ горного отвода;

2) Зона существенного влияния разработки месторождения на различные компоненты геологической среды;
3) Периферийная зона, примыкающая к зоне существенного влияния разработки месторождения (зона фонового мониторинга).

Границы площади ведения горных работ (зоны горного отвода) определяются природными геологическими и технико-экономическими факторами. Верхней границей месторождения принимается поверхность земли, а нижней – подошва балансовых запасов полезного ископаемого.

Размеры зоны существенного влияния разработки месторождения твердых полезных ископаемых устанавливаются по распространению участков активизации опасных геологических процессов под влиянием добычи полезного ископаемого и существенного нарушения гидродинамического режима и структуры потоков подземных вод в пределах депрессионной воронки. Радиусы зон существенного влияния разработки месторождения обычно не превышают 10-20км в напорных пластах и первых километров – в безнапорных пластах.

Площадь периферийной зоны охватывает участки с геолого-гидрогеологическими условиями и ландшафтами, развитыми в зоне существенного влияния.

Все проводимые в системе мониторинга месторождений твердых полезных ископаемых наблюдения за состоянием окружающей природной среды делятся на две группы:

1) Стандартные (обязательные), осуществляемые на всех или большинстве месторождений;
2) Специальные (дополнительные), проводимые на отдельных месторождениях.

Стандартными наблюдаемыми показателями являются:

1) Данные по приросту запасов полезных ископаемых;
2) Количество и качество извлекаемых из недр полезных ископаемых;
3) Объем извлекаемых из недр горных пород;
4) Ход развития горных работ и состояние горных выработок;

5) Величина отбора шахтных и дренажных вод из внешних и внутренних водоприемных систем;
6) Величина сброса откачиваемых и сточных вод в различные элементы системы водоотведения;
7) Утечки из прудов-отстойников, накопителей сточных вод;
8) Уровни подземных вод всех водоносных горизонтов, участвующих в обводнении горных выработок;
9) Физические свойства, химический состав и температура подземных, шахтных и сточных вод.

К наблюдаемым специальным показателям относятся:

1) Расходы родников;
2) Уровни подземных вод в горизонтах, смежных с участвующими в обводнении горных выработок;
3) Расходы и уровни поверхностных вод; пересыхание и перемерзание, наледный сток;
4) Состояние горных выработок и их крепление;
5) Состояние устьев, фильтров и обсадных труб, насосного оборудования водозаборных и наблюдательных скважин;
6) Физико-механические свойства и трещиноватость пород;
7) Количество и величина карстовых воронок, изменение их размеров;
8) Планово-вертикальные деформации дневной поверхности для оценки оседания подрабатываемых территорий;
9) Данные геодезических и маркшейдерских наблюдений за деформациями склонов и бортов карьеров для оценки развития оползне-обвальных процессов;
10) Изменение состояния болот, видового состава и габитуса растительности;
11) Загрязнение атмосферного воздуха;
12) Техногенные землетрясения и горные удары;

13) Температура, физико-механические и теплофизические свойства многолетнемерзных пород.

РЕКОМЕНДУЕМАЯ ЛИТЕРАТУРА

1. Бугаев И.И., Панов Ю.К. Основы рудничной геологии. Учебное пособие. Свердловск, 1984. 72 с.

2. Дворник Г.П., Угрюмов А.Н. Геолого-экономическая оценка месторождений полезных ископаемых и техногенного сырья. Учебное пособие. Екатеринбург, 2004 – 220 с.

3. Ершов В.В. Основы горнопромышленной геологии: Учебник для вузов. – М.: Недра, 1988. 328 с.

4. Петруха Л.М. Разведка месторождений полезных ископаемых. Учебное пособие. Екатеринбург, 2003. 247 с.

5. Рудничная геология: Учебное пособие для вузов / В.Ф. Мягков, А.М. Быбочкин, И.И.Бугаев и др. – М.: Недра, 1986. 199 с.

6. Свирский М.А., Чумаченко Н.М., Афонин Б.А. Рудничная геология. – М.: Недра, 1987. 237 с.

7. Тимкин Т.В. Основы горнопромышленной геологии /Т.В. Тимкин; ТПУ. – Томск: Изд-во ТПУ, 2011. – 81с.

МИНОБРНАУКИ РОССИЙСКОЙ ФЕДЕРАЦИИ

ФГБОУ ВО «Уральский государственный горный университет»

УТВЕРЖДАЮ
Проректор УГГУ
по учебно-методическому комплексу

_____С. А. Упоров

МЕТОДИЧЕСКИЕ УКАЗАНИЯ ПО ОРГАНИЗАЦИИ САМОСТОЯТЕЛЬНОЙ РАБОТЫ СТУДЕНТОВ

Б1.В.19 ОСНОВЫ ТЕХНОЛОГИИ ПЕРЕРАБОТКИ РУД

Специальность
21.05.02 Прикладная геология

Специализация
Геологическая съемка, поиски и разведка месторождений твердых полезных ископаемых

форма обучения: очная, заочная

Автор: Водовозов К. А., ст. преподаватель

Одобрена на заседании кафедры
Обогащения полезных ископаемых
(название кафедры)
Зав. кафедрой _____
(подпись)
Козин В. З.
(Фамилия И.О.)
Протокол № 1 от 01.09.2021
(Дата)

Рассмотрена методической комиссией факультета
горно-механического
(название факультета)
Председатель _____
(подпись
Осипов П.А.
(Фамилия И.О.)
Протокол № 2 от 12.10.2021
(Дата)

Екатеринбург
2021

СОДЕРЖАНИЕ

ВВЕДЕНИЕ 3
ВИДЫ САМОСТОЯТЕЛЬНОЙ РАБОТЫ СТУДЕНТА 4
МЕТОДИЧЕСКИЕ РЕКОМЕНДАЦИИ ПО ПОДГОТОВКЕ КО ВСЕМ ВИДАМ ТЕКУЩЕГО КОНТРОЛЯ 4
Повторение материала лекций и самостоятельное изучение курса 4
Подготовка к практическим занятиям и лабораторным работам 5
Подготовка и написание контрольной работы 6
Подготовка к выполнению и написанию курсовой работы (проекта) 7
МЕТОДИЧЕСКИЕ РЕКОМЕНДАЦИИ ПО ПОДГОТОВКЕ К ПРОМЕЖУТОЧНОЙ АТТЕСТАЦИИ 8
Подготовка к зачёту 8
Подготовка к экзамену 8

ВВЕДЕНИЕ

Самостоятельная работа студентов – это разнообразные виды деятельности студентов, осуществляемые под руководством, но без непосредственного участия преподавателя в аудиторное и/или внеаудиторное время.

Это особая форма обучения по заданиям преподавателя, выполнение которых требует активной мыслительной, поисково-исследовательской и аналитической деятельности.

Методологическую основу самостоятельной работы студентов составляет деятельностный подход, когда цели обучения ориентированы на формирование умений решать типовые и нетиповые задачи, то есть на реальные ситуации, где студентам надо проявить знание конкретной дисциплины, использовать внутрипредметные и межпредметные связи.

Цель самостоятельной работы – закрепление знаний, полученных на аудиторных занятиях, формирование способности принимать на себя ответственность, решать проблему, находить конструктивные выходы из сложных ситуаций, развивать творческие способности, приобретение навыка организовывать своё время

Кроме того самостоятельная работа направлена на обучение студента осмысленно и самостоятельно работать сначала с учебным материалом, затем с научной информацией, заложить основы самоорганизации и самовоспитания с тем, чтобы привить умение в дальнейшем непрерывно повышать свой профессиональный уровень.

Самостоятельная работа реализует следующие задачи:

- систематизация и закрепление полученных теоретических знаний и практических умений студентов;
- углубление и расширение теоретических знаний;
- формирование умений использовать нормативную, правовую, справочную документацию и специальную литературу;
- развитие познавательных способностей и активности студентов: творческой инициативы, самостоятельности, ответственности и организованности;
- формирование самостоятельности мышления, способностей к саморазвитию, самосовершенствованию и самореализации;
- формирование практических (общеучебных и профессиональных) умений и навыков;
- развитие исследовательских умений;
- получение навыков эффективной самостоятельной профессиональной (практической и научно-теоретической) деятельности.

В учебном процессе выделяют два вида самостоятельной работы:

- аудиторная;
- внеаудиторная.

Аудиторная самостоятельная работа по дисциплине выполняется на учебных занятиях под непосредственным руководством преподавателя и по его заданию.

Внеаудиторная самостоятельная работа – планируемая учебная, учебно-исследовательская, научно-исследовательская работа студентов, выполняемая во внеаудиторное время по заданию и при методическом руководстве преподавателя, но без его непосредственного участия.

Самостоятельная работа, не предусмотренная образовательной программой, учебным планом и учебно-методическими материалами, раскрывающими и конкретизирующими их содержание, осуществляется студентами инициативно, с целью реализации собственных учебных и научных интересов.

Для более эффективного выполнения самостоятельной работы по дисциплине преподаватель рекомендует студентам источники и учебно-методические пособия для работы, характеризует наиболее рациональную методику самостоятельной работы, демонстрирует ранее выполненные студентами работы и т. п.

ВИДЫ САМОСТОЯТЕЛЬНОЙ РАБОТЫ СТУДЕНТА

Основные формы организации самостоятельной работы студентов определяются следующими параметрами:

- содержание учебной дисциплины;
- уровень образования и степень подготовленности студентов;
- необходимость упорядочения нагрузки студентов при самостоятельной работе.

В соответствии с реализацией рабочей программы дисциплины в рамках самостоятельной работы студенту необходимо выполнить следующие виды работ:

для подготовки ко всем видам текущего контроля:

- повторение материала лекций;
- самостоятельное изучение курса;
- подготовка к практическим занятиям и лабораторным работам;
- подготовка к контрольной работе, написание контрольной работы;
- выполнение и написание курсовой работы (проекта);

для подготовки ко всем видам промежуточной аттестации:

- подготовка к зачёту;
- подготовка к экзамену.

Особенностью организации самостоятельной работы студентов является необходимость не только подготовиться к сдаче зачета /экзамена, но и собрать, обобщить, систематизировать, проанализировать информацию по темам дисциплины.

Технология организации самостоятельной работы студентов включает использование информационных и материально-технических ресурсов образовательного учреждения.

Самостоятельная работа может осуществляться индивидуально или группами студентов как online, так и на занятиях в зависимости от цели, объема, конкретной тематики самостоятельной работы, уровня сложности, уровня умений студентов.

В качестве форм и методов контроля внеаудиторной самостоятельной работы студентов могут быть использованы обмен информационными файлами, семинарские занятия, тестирование, опрос, доклад, реферат, самоотчеты, контрольные работы, защита контрольных и курсовых работ (проектов), защита зачётных работ в виде доклада с презентацией и др.

Текущий контроль результатов внеаудиторной самостоятельной работы студентов осуществляется в пределах времени, отведенного на обязательные учебные занятия по дисциплине.

Промежуточный контроль результатов внеаудиторной самостоятельной работы студентов осуществляется в пределах времени, отведенного для сдачи экзамена / зачёта.

В методических указаниях по каждому виду контроля представлены материалы для самостоятельной работы и рекомендации по организации отдельных её видов.

МЕТОДИЧЕСКИЕ РЕКОМЕНДАЦИИ ПО ПОДГОТОВКЕ КО ВСЕМ ВИДАМ ТЕКУЩЕГО КОНТРОЛЯ

Повторение материала лекций и самостоятельное изучение курса

Лекционный материал по дисциплине излагается в виде устных лекций преподавателя во время аудиторных занятий. Самостоятельная работа студента во время лекционных аудиторных занятий заключается в ведении записей (конспекта лекций).

Конспект лекций, выполняемый во время аудиторных занятий, дополняется студентом при самостоятельном внеаудиторном изучении некоторых тем курса. Самостоятельное изучение тем курса осуществляется на основе списка основной и дополнительной литературы к дисциплине.

Перечень основной и дополнительной учебной литературы, необходимой для освоения дисциплины приведён в рабочей программе дисциплины.

Рекомендуемые задания для самостоятельной внеаудиторной работы студента, направленные на повторение материала лекций и самостоятельное изучение тем курса:

для овладения знаниями:

- конспектирование текста;
- чтение основной и дополнительной литературы;
- составление плана текста;
- работа со словарями, справочниками и нормативными документами;
- просмотр обучающих видеозаписей.

для закрепления и систематизации знаний:

- работа с конспектом лекций;
- повторная работа над учебным материалом;
- составление таблиц для систематизации учебного материала;
- изучение нормативных материалов;
- составление плана и тезисов ответа на вопросы для самопроверки;
- ответы на вопросы для самопроверки;
- составление библиографических списков по изучаемым темам.

для формирования навыков и умений:

- выполнение рисунков, схем, эскизов оборудования;
- рефлексивный анализ профессиональных умений.

Тематический план изучения дисциплины и содержание учебной дисциплины приведены в рабочей программе дисциплины.

Вопросы для самопроверки приведены учебной литературе по дисциплине или могут быть предложены преподавателем на лекционных аудиторных занятиях после изучения каждой темы.

Подготовка к практическим занятиям и лабораторным работам

Практические занятия по дисциплине выступают средством формирования у студентов системы интегрированных умений и навыков, необходимых для освоения профессиональных компетенций, а также умений определять, разрабатывать и применять оптимальные методы решения профессиональных задач.

На практических занятиях происходит закрепление теоретических знаний, полученных в ходе лекций, осваиваются методики и алгоритмы решения типовых задач по образцу и вариантных задач, разбираются примеры применения теоретических знаний для практического использования, выполняются доклады с презентацией по определенным учебно-практическим, учебно-исследовательским или научным темам с последующим их обсуждением.

Рекомендуемые задания для самостоятельной внеаудиторной работы студента, направленные на подготовку к практическим занятиям:

для овладения знаниями:

- чтение основной и дополнительной литературы;
- работа со словарями, справочниками и нормативными документами;
- просмотр обучающих видеозаписей.

для закрепления и систематизации знаний:

- работа с конспектом лекций;
- ответы на вопросы для самопроверки;
- подготовка публичных выступлений;
- составление библиографических списков по изучаемым темам.

для формирования навыков и умений:

- решение задач по образцу и вариативных задач;
- выполнение рисунков, схем, эскизов оборудования;

– рефлексивный анализ профессиональных умений.

Тематический план изучения дисциплины и содержание учебной дисциплины приведены в рабочей программе дисциплины.

Лабораторные занятия по дисциплине выступают средством формирования у студентов навыков работы с использованием лабораторного оборудования, планирования и выполнения экспериментов, оформления отчётной документации по выполнению лабораторных работ.

Рекомендуемые задания для самостоятельной внеаудиторной работы студента, направленные на подготовку к лабораторным занятиям:

для овладения знаниями:

– изучение методик работы с использованием различных видов и типов лабораторного оборудования;
– изучение правил безопасной эксплуатации лабораторного оборудования;
– работа со словарями, справочниками и нормативными документами.

для закрепления и систематизации знаний:

– составление плана проведения эксперимента;
– составление отчётной документации по результатам экспериментирования;
– аналитическая обработка результатов экспериментов.

для формирования навыков и умений:

– выполнение рисунков, схем, эскизов оборудования;
– оформление отчётной документации по выполнению лабораторных работ.

Подготовка и написание контрольной работы

Контрольная работа – индивидуальная деятельность обучающегося по концентрированному выражению накопленного знания, обеспечивает возможность одновременной работы всем обучающимся за фиксированное время по однотипным заданиям, что позволяет преподавателю оценить всех обучающихся. Контрольная работа является средством проверки умений применять полученные знания для решения задач определенного типа по теме или разделу.

Рекомендуемые задания для самостоятельной внеаудиторной работы студента, направленные на подготовку к контрольной работе:

для овладения знаниями:

– чтение основной и дополнительной литературы;
– работа со словарями, справочниками и нормативными документами.

для закрепления и систематизации знаний:

– работа с конспектом лекций;
– ответы на вопросы для самопроверки.

для формирования навыков и умений:

– решение задач по образцу и вариативных задач;
– выполнение рисунков, схем, эскизов оборудования;
– оформление отчётной документации по выполнению контрольной работы.

Контрольная работа может быть выполнена в виде доклада с презентацией.

Доклад с презентацией – это публичное выступление по представлению полученных результатов знаний по определенной учебно-практической, учебно-исследовательской или научной теме.

При подготовке доклада с презентацией обучающийся должен продемонстрировать умение самостоятельного изучения отдельных вопросов, структурирования основных положений рассматриваемых проблем, публичного выступления, позиционирования себя перед коллективом, навыки работы с библиографическими источниками и оформления научных текстов.

В ходе подготовки к докладу с презентацией обучающемуся необходимо:

- выбрать тему и определить цель выступления;
- осуществить сбор материала к выступлению;
- организовать работу с источниками;
- -во время изучения источников следует записывать вопросы, возникающие по мере ознакомления, ключевые слова, мысли, суждения; представлять наглядные примеры из практики;
- сформулировать возможные вопросы по теме доклада, подготовить тезисы ответов на них;
- обработать материал и представить его в виде законченного доклада и презентации.

При выполнении контрольной работы в виде доклада с презентацией самостоятельная работа студента включает в себя:

для овладения знаниями:

- чтение основное и дополнительной литературы по заданной теме доклада;
- составление плана доклада;
- работа со словарями, справочниками и нормативными документами;
- просмотр обучающих видеозаписей по теме доклада

для закрепления и систематизации знаний:

- составление плана и тезисов презентации по теме доклада;
- составление презентации;
- составление библиографического списка по теме доклада;
- подготовка к публичному выступлению;
- составление возможных вопросов по теме доклада и ответов на них.

для формирования навыков и умений:

- публичное выступление;
- выполнение рисунков, схем, эскизов оборудования;
- рефлексивный анализ профессиональных умений.

Варианты контрольных работ и темы докладов приведены в комплекте оценочных средств дисциплины.

Подготовка к выполнению и написанию курсовой работы (проекта)

Курсовая работа (проект) – форма контроля для демонстрации обучающимся умений работать с объектами изучения, критическими источниками, справочной и энциклопедической литературой, логично и грамотно излагать собственные умозаключения и выводы, обосновывать и строить априорную модель изучаемого объекта или процесса, создавать содержательную презентацию выполненной работы.

При выполнении и защите курсовой работы (проекта) оценивается умение самостоятельной работы с объектами изучения, справочной литературой, логично и грамотно излагать собственные умозаключения и выводы, обосновывать выбранную технологическую схему и принятый тип и количество оборудования, создавать содержательную презентацию выполненной работы (пояснительную записку и графический материал).

Рекомендуемые задания для самостоятельной внеаудиторной работы студента, направленные на подготовку к курсовой работе (проекту):

для овладения знаниями:

- чтение основной и дополнительной литературы;
- работа со словарями, справочниками и нормативными документами;
- составление плана выполнения курсовой работы (проекта);
- составление списка использованных источников.

для закрепления и систематизации знаний:

- работа учебно-методическими материалами по выполнению курсовой работы (проекта);
- изучение основных методик расчёта технологических схем, выбора и расчёта оборудования;
- подготовка тезисов ответов на вопросы по тематике курсовой работы (проекта).

для формирования навыков и умений:

- решение задач по образцу и вариативных задач;
- выполнение рисунков, схем, компоновочных чертежей;
- оформление текстовой и графической документации.

Тематика курсовых работ (проектов) приведены в комплекте оценочных средств дисциплины.

МЕТОДИЧЕСКИЕ РЕКОМЕНДАЦИИ ПО ПОДГОТОВКЕ К ПРОМЕЖУТОЧНОЙ АТТЕСТАЦИИ

Подготовка к зачёту

Зачёт по дисциплине может быть проведён в виде теста или включать в себя защиту контрольной работы (доклад с презентацией).

Тест – это система стандартизированных заданий, позволяющая автоматизировать процедуру измерения уровня знаний и умений обучающегося.

При самостоятельной подготовке к зачёту, проводимому в виде теста, студенту необходимо:

- проработать информационный материал (конспект лекций, учебное пособие, учебник) по дисциплине; проконсультироваться с преподавателем по вопросу выбора дополнительной учебной литературы;
- выяснить условия проведения теста: количество вопросов в тесте, продолжительность выполнения теста, систему оценки результатов и т. д.;
- приступая к работе с тестом, нужно внимательно и до конца прочитать вопрос и предлагаемые варианты ответов, выбрать правильные (их может быть несколько), на отдельном листке ответов вписать цифру вопроса и буквы, соответствующие правильным ответам.

В процессе выполнения теста рекомендуется применять несколько подходов в решении заданий. Такая стратегия позволяет максимально гибко оперировать методами решения, находя каждый раз оптимальный вариант. Не нужно тратить слишком много времени на трудный вопрос, а сразу переходить к другим тестовым заданиям, к трудному вопросу можно обратиться в конце. Необходимо оставить время для проверки ответов, чтобы избежать механических ошибок.

Зачёт также может проходить в виде защиты контрольной работы (доклад с презентацией). Методические рекомендации по подготовке и выполнению доклада с презентацией приведены в п. «Подготовка и написание контрольной работы».

Подготовка к экзамену

Промежуточная аттестация по итогам освоения дисциплины проводится в форме экзамена.

Билет на экзамен включает в себя теоретические вопросы и практико-ориентированные задания.

Теоретический вопрос – индивидуальная деятельность обучающегося по концентрированному выражению накопленного знания, обеспечивает возможность

одновременной работы всем обучающимся за фиксированное время по однотипным заданиям, что позволяет преподавателю оценить всех обучающихся.

Практико-ориентированное задание – средство проверки умений применять полученные знания для решения задач определенного типа по определенной теме.

При самостоятельной подготовке к экзамену студенту необходимо:

- получить перечень теоретических вопросов к экзамену;
- проработать пройденный материал (конспект лекций, учебное пособие, учебник) по дисциплине, при необходимости изучить дополнительные источники;
- составить планы и тезисы ответов на вопросы;
- проработать все типы практико-ориентированных заданий;
- составить алгоритм решения основных типов задач;
- выяснить условия проведения экзамена: количество теоретических вопросов и практико-ориентированных заданий в экзаменационном билете, продолжительность и форму проведения экзамена (устный или письменный), систему оценки результатов и т. д.;
- приступая к работе с экзаменационным билетом, нужно внимательно прочитать теоретические вопросы и условия практико-ориентированного задания;
- при условии проведения устного экзамена составить план и тезисы ответов на теоретические вопросы, кратко изложить ход решения практико-ориентированного задания;
- при условии проведения письменного экзамена дать полные письменные ответы на теоретические вопросы; изложить ход решения практико-ориентированного задания с численным расчётом искомых величин.

МИНОБРНАУКИ РОССИИ

ФГБОУ ВО «Уральский государственный горный университет»

МЕТОДИЧЕСКИЕ УКАЗАНИЯ ПО ОРГАНИЗАЦИИ САМОСТОЯТЕЛЬНОЙ РАБОТЫ И ЗАДАНИЯ ДЛЯ ОБУЧАЮЩИХСЯ

УПРАВЛЕНИЕ КАЧЕСТВОМ РУД ПРИ ДОБЫЧЕ

Специальность
21.05.02 Прикладная геология

Специализация
Геологическая съемка, поиски и разведка месторождений твердых полезных ископаемых

Автор: Гусманов Ф.Ф., доцент, к.т.н.

Екатеринбург

ВВЕДЕНИЕ

Самостоятельная работа в высшем учебном заведении - это часть учебного процесса, метод обучения, прием учебно-познавательной деятельности, комплексная целевая стандартизованная учебная деятельность с запланированными видом, типом, формами контроля.

Самостоятельная работа представляет собой плановую деятельность обучающихся по поручению и под методическим руководством преподавателя.

Целью самостоятельной работы студентов является закрепление тех знаний, которые они получили на аудиторных занятиях, а также способствование развитию у студентов творческих навыков, инициативы, умению организовать свое время.

Самостоятельная работа реализует следующие задачи:

- предполагает освоение курса дисциплины;
- помогает освоению навыков учебной и научной работы;
- способствует осознанию ответственности процесса познания;
- способствует углублению и пополнению знаний студентов, освоению ими навыков и умений;
- формирует интерес к познавательным действиям, освоению методов и приемов познавательного процесса,
- создает условия для творческой и научной деятельности обучающихся;
- способствует развитию у студентов таких личных качеств, как целеустремленность, заинтересованность, исследование нового.

Самостоятельная работа обучающегося выполняет следующие функции:

- развивающую (повышение культуры умственного труда, приобщение к творческим видам деятельности, обогащение интеллектуальных способностей студентов);
- информационно-обучающую (учебная деятельность студентов на аудиторных занятиях, неподкрепленная самостоятельной работой, становится мало результативной);
- ориентирующую и стимулирующую (процессу обучения придается ускорение и мотивация);
- воспитательную (формируются и развиваются профессиональные качества бакалавра и гражданина);
- исследовательскую (новый уровень профессионально-творческого мышления).

Организация самостоятельной работы студентов должна опираться на определенные требования, а, именно:

- сложность осваиваемых знаний должна соответствовать уровню развития студентов;
- стандартизация заданий в соответствии с логической системой курса дисциплины;
- объем задания должен соответствовать уровню студента;
- задания должны быть адаптированными к уровню студентов.

Содержание самостоятельной работы студентов представляет собой, с одной стороны, совокупность теоретических и практических учебных заданий, которые должен выполнить студент в процессе обучения, объект его деятельности; с другой стороны – это способ деятельности студента по выполнению соответствующего теоретического или практического учебного задания.

Свое внешнее выражение содержание самостоятельной работы студентов находит во всех организационных формах аудиторной и внеаудиторной деятельности, в ходе самостоятельного выполнения различных заданий.

Функциональное предназначение самостоятельной работы студентов в процессе лекций, практических занятий по овладению специальными знаниями заключается в самостоятельном прочтении, просмотре, прослушивании, наблюдении, конспектировании, осмыслении, запоминании и воспроизведении определенной информации. Цель и планирование самостоятельной работы студента определяет преподаватель. Вся информация осуществляется на основе ее воспроизведения.

Так как самостоятельная работа тесно связана с учебным процессом, ее необходимо рассматривать в двух аспектах:

1. аудиторная самостоятельная работа – лекционные, практические занятия;

2. внеаудиторная самостоятельная работа – дополнение лекционных материалов, подготовка к практическим занятиям, подготовка к участию в деловых играх и дискуссиях, выполнение письменных домашних заданий, контрольных и курсовых работ (проектов), докладов и др.

Основные формы организации самостоятельной работы студентов определяются следующими параметрами:

- содержание учебной дисциплины;
- уровень образования и степень подготовленности студентов;
- необходимость упорядочения нагрузки студентов при самостоятельной работе.

Таким образом, самостоятельная работа студентов является важнейшей составной частью процесса обучения.

Методические указания по организации самостоятельной работы и задания для обучающихся по дисциплине «*Управление качеством руд при добыче*» обращают внимание студента на главное, существенное в изучаемой дисциплине, помогают выработать умение анализировать напряженно-деформированное состояние, связывать теоретические положения с практикой, а также облегчают подготовку к сдаче *экзамена (зачета)*.

Настоящие методические указания позволят студентам самостоятельно овладеть фундаментальными знаниями, профессиональными умениями и навыками деятельности по профилю подготовки, опытом творческой и исследовательской деятельности, и направлены на формирование компетенций, предусмотренных учебным планом поданному профилю.

Видами самостоятельной работы обучающихся по дисциплине «*Управление качеством руд при добыче*» являются:

- повторение материала лекций;

- самостоятельное изучение тем курса (в т. ч. рассмотрение основных категорий дисциплины, работа с литературой);

- ответы на вопросы для самопроверки (самоконтроля);

- подготовка к практическим (семинарским) занятиям (в т. ч. подготовка доклада с презентацией, подготовка к дискуссии, подготовка к выполнению практико-ориентированного задания, подготовка к деловой игре);

- подготовка контрольной работы;

- подготовка к экзамену (к зачету).

В методических указаниях представлены материалы для самостоятельной работы и рекомендации по организации отдельных её видов.

ВОПРОСЫ ДЛЯ САМОПРОВЕРКИ

1.Понятие о сырой и товарной руде
2.Принципы управления качеством руды
3.Методы управления качеством руды
4.Влияние качества руды на обогащение
5. Влияние качества руды на металлургический передел
6. Характеристика руды, регламентируемая потребителем
7. Что такое качество?
8.Влияние полезных компонентов на качество руды
9. Влияние вредных компонентов на качество руды
10. Влияние физико-механических свойств на качество руды
11.Влияние гранулометрического состава на качество руды
12.Влияние качества руды на экономические показатели ГОКа
13. Влияние сложности горно-геологических условий на качество
14. Влияние неравномерности распределения полезных компонентов на качество
15. Влияние наличия полезных компонентов во вмещающих породах на качества
16. Влияние включений пустых пород на качество
17. Влияние порядка отработки горизонта на качество
18. Влияние размеров (запасов) эксплуатационных блоков на качество
19. Влияние системы разработки на качество
20. Влияние способа отбойки на качество
21. Влияние гранулометрического состава потока на качество
22. Влияние порядка выпуска и доставки на качество
23. Влияние способа управления горным давлением на качество
24. Влияние концентрации горных работ на качество
25. Влияние деконцентрации горных работ на качество
26. Влияние производительности блока забоя панели на качество
27. Кондиции на отгружаемую руду
28. Методы и средства опробования
29. Технические средства и сооружения для управления качеством
30. Управление подземным транспортом
31. Влияние экономических факторов на качество
32. Влияние инвестиций на экономические показатели
33. Влияние издержек производства на экономические показатели
34. Влияние затрат на обогащение на управление качеством
35. Повышение рыночной цены и качества
36. Совершенствование геологической информации с целью управления качеством
37. Контроль качества руды
38. Опробование в процессе добычи
39. Опробование в процессе обогащения
40. Создание и развитие новых технологий в свете управления качеством.

КОМПЛЕКТ ЗАДАНИЙ ПО ПРАКТИЧЕСКИМ РАБОТАМ

Практическая работа № 1: задание – «Определение комплексного уровня качества полиметаллической руды

Исходные данные по вариантам

№ варианта	Содержание в руде				Другие показатели	
	Меди, %	Цинка, %	Серы, %	Мышьяка, %	Крупность, мм	Влажность, %
1	2,5	0,5	20	1,5	300	Выше нормы
2	2,1	0,6	21	1,6	250	Норма
3	2,2	0,7	22	1,7	200	Выше нормы
4	2,3	0,8	23	1,8	150	Выше нормы
5	2,4	0,9	24	1,9	100	Норма
6	2,5	1,0	25	2,0	100	Выше нормы
7	2,6	1,1	26	2,1	150	Выше нормы
8	2,7	1,2	27	2,2	200	Норма
9	2,8	1,3	26	2,3	250	Норма
10	2,9	1,4	25	2,2	300	Норма
11	3,0	1,5	24	2,1	250	Выше нормы
12	3,1	1,4	23	2,0	200	Выше нормы
13	3,2	1,3	22	1,9	150	Выше нормы
14	3,3	1,2	21	1,8	100	Норма
15	3,4	1,1	20	1,5	100	Выше нормы
16	3,5	1,0	21	1,6	150	Выше нормы
17	3,6	0,9	22	1,7	200	Норма
18	3,7	0,8	23	1,4	250	Норма
19	3,8	0,7	24	1,3	300	Выше нормы
20	3,9	0,6	25	1,2	250	Выше нормы
21	4,0	0,5	26	1,1	200	Норма

Практическая работа № 2: задание – «Расчет фактических показателей извлечения из недр

Исходные данные по вариантам

№ варианта	$Q_б$	$\alpha_б$	$Q_{рм}$	$\alpha_{рм}$	$Q_п$	$\alpha_п$	$Q_з$	$\alpha_з$
1	100	3	100	2,5	10	3,5	15	0
2	110	3,1	118	2,6	15	3,6	10	1
3	115	3,2	119	2,7	18	3,7	12	2
4	118	1,5	125	1,1	12	3,6	15	1,1
5	120	1,6	128	1,2	13	3,2	14	1,2
6	125	1,7	129	1,3	14	3,0	15	1,3
7	128	1,8	135	1,4	15	2,9	16	1,4
8	132	1,9	138	1,5	16	2,8	17	1,5
9	135	2,0	140	1,6	17	2,7	20	2
10	140	2,1	145	1,7	18	2,6	25	1,9
11	145	2,2	150	1,8	19	2,5	26	1,8
12	150	2,3	155	1,9	20	2,4	27	1,7
13	160	2,4	165	20	21	2,3	28	0
14	155	2,5	160	2,1	22	2,2	29	0,5
15	165	2,6	170	2,2	23	2,1	30	0,7
16	170	2,7	175	2,3	24	2,0	31	1,1
17	175	2,8	180	2,4	25	1,9	32	0

Практическая работа № 3: задание – «Определение ущерба от потерь и разубоживания полезных ископаемых»

Исходные данные по вариантам

№ варианта	P, %	R, %	$Q_{б,}$ млн.т	α_{Cu},%	α_{Zn},%	έ, о.е.	$C_{дтп}$, дол\т
1	5	5	100	1	0,5	0,6	70
2	6	6	90	1,5	1	0,6	75
3	7	7	80	2	1,5	0,6	74
4	8	8	70	2,5	2	0,6	73
5	8,5	9	60	3	1,7	0,7	72
6	7,5	10	50	3,5	1,8	0,7	71
7	6,5	11	40	4	1,9	0,7	70
8	5,5	12	45	4,5	2,3	0,8	71
9	4,5	11,5	30	5	2,2	0,85	72

1	2	3	4	5	6	7	8
10	6	9,5	25	4,0	1,7	0,7	73
11	6,5	9	15	4,5	1,8	0,7	74
12	7,0	8	10	4,0	1,6	0,75	75
13	6,5	9	15	4,5	1,8	0,7	76
14	7,0	8	10	4,0	1,6	0,75	77
15	7,5	8,5	12	3,5	1,5	0,65	78
16	7,0	9	13	3,0	2,0	0,85	79
17	6,5	9,5	14	2,5	2,1	0,9	80
18	6,2	10	16	2,0	2,2	0,8	81
19	6	10,5	17	1,5	2,3	0,8	82
20	5,5	11	18	2,5	1,5	0,8	83
21	5	12	19	3,2	1,4	0,7	84

Практическая работа № 4: задание – «Исследование формирование стабильной по составу рудной массы с заданным средним содержанием»

Исходные данные по вариантам

№ варианта	1		2		3		4		5		6	
	Q_1	$\alpha_{1ср}$	Q_2	$\alpha_{2ср}$	Q_3	$\alpha_{3ср}$	Q_4	$\alpha_{4ср}$	Q_5	$\alpha_{5ср}$	Q_6	$\alpha_{6ср}$
1	20	5	30	2,5	40	1,5	50	2	60	3,0	70	2,5
2	30	4,9	40	2,6	45	1,6	55	2,1	65	3,1	75	2,7
3	35	4,8	45	2,7	60	1,7	50	2,2	30	3,2	40	2,9
4	45	4,7	60	2,8	70	1,8	50	2,3	55	3,3	20	3,1
5	50	4,6	65	2,9	65	1,9	60	2,4	60	3,4	25	3,3
6	60	4,5	70	3,0	60	2,0	65	2,5	20	3,5	70	3,5
7	70	4,4	75	3,1	55	2,1	70	2,6	30	3,6	45	3,7
8	65	4,3	60	3,2	50	2,2	65	2,7	35	3,7	60	3,9
9	55	4,2	50	3,3	45	2,3	60	2,8	45	3,8	70	4,1
10	45	4,1	55	3,4	40	2,4	70	2,9	55	3,9	50	4,3
11	50	4,0	45	3,5	35	2,5	45	3,0	60	4,0	30	4,5
12	40	3,9	40	3,6	40	2,6	40	3,1	65	4,1	20	4,7
13	30	3,8	35	3,7	45	2,7	30	3,2	70	4,2	45	4,9
14	35	3,7	30	3,8	60	2,8	20	3,5	40	4,3	65	5,1
15	40	3,6	25	3,9	65	2,9	50	3,4	45	4,4	70	5,3
16	45	3,5	20	4,0	70	3,0	20	3,5	30	4,5	75	5,5
17	50	3,4	30	4,1	75	3,1	60	3,6	35	4,6	60	5,7

Практическая работа № 5: задание – «Определение валовой и извлекаемой ценности руды»

Исходные данные по вариантам

№ варианта	α_{Ni}	α_{As}	Затраты на удаление Asy.e/т за 1%	Цена никеля, у.е/т
1	3,43	1,4	13 000	6300
2	3,42	1,5	13 900	6500
3	3,41	1,6	13 800	6400
4	3,42	1,7	13 700	6390
5	3,43	1,8	13 600	6380
6	3,44	1,9	13 500	6370
7	3,45	2,0	13 400	6360
8	2,0	1,9	13 300	6350
9	2,01	1,8	13 200	6340
10	2.03	1,7	13 100	6330
11	2,1	1,6	13 000	6320
12	2,2	1,5	12 900	6310
13	2,3	1,4	12 800	6315
14	2,4	1,3	12 700	6290
15	2,5	1,2	12 600	6280
16	2,6	1,1	12 500	6270
17	2,7	1,0	12 400	6260

Практическая работа № 6: задание – «Сравнение уровня ценностей многокомпонентной руды»

Исходные данные по вариантам

Содержание элементов в руде							Варианты заданий
№ типа руды	Cu,%	Ni,%	S,%	As,%	Au, г/т	Ag, г/т	
1	1,9	0,4	22	0,4	3,0	30,0	I = 1-5
2	0,8	0,8	82	1,2	6,0	40,0	II = 2-6
3	1,2	0,5	26	0,3	11,0	50,0	III = 3-7
4	2,9	1,2	13,4	0,9	4,0	60,0	IV = 4-8
5	3,2	1,6	16,5	1,4	2,0	70,0	V = 5-9
6	3,	1,6	5	0,1	0,5	80,0	VI = 6-10
7	3,3	1,7	6	0,2	0,6	90,0	VII = 7-11
8	3,4	1,8	7	0,3	0,7	95,0	VIII = 8-12
9	3,5	1,9	8	0,4	0,8	100,1	IX = 9-13
10	3,6	1,8	9	0,5	0,9	100,2	X = 10-14
11	3,7	1,7	10	0,6	1,0	102	XI = 11-12
12	3,8	1,6	11	0,7	1,5	103	XII = 12-16
13	3,9	1,5	12	0,8	1,8	110	XIII = 13-17
14	4,0	1,2	13	0,9	2	115	XIV = 14-18
15	4,1	1,1	14	1,0	3	116	XV = 15-19
16	4,2	1,0	15	1,1	4	170	XVI = 16-20
17	4,3	0,9	16	1,2	5	180	XVII = 17-20,1
18	4,4	0,8	17	1,3	6	190	XVIII=18,19,20,12
19	4,5	0,7	18	1,4	7	200	XIX = 19,20,12,3
20	4,6	0,4	19	1,5	8	205	XX = 1,2,3,4, 20

Практическая работа № 7: задание – «Распределение добычи руды по забоям»

Исходные данные по вариантам

Распределение по забоям											требуется		
№ варианта	Qсут,т	α_1, Fe %	α_2, Fe %	α_3, Fe %	S_1	S_2	S_3	$(SiO_2)_1$	$(SiO_2)_2$	$(SiO_2)_3$	Fe	S	SiO_2
1	2000	47	37	43	1,5	5	2,5	11	15	17	39	3	13,5
2	2200	30	35	40	1,0	4	3	12	16	18	35	2	14
3	2300	35	42	38	0,8	5	4	11	17	18	37	2	14
4	2400	32	36	38	2	3	4	12	13	14	33	2	13
5	2500	48	38	40	2,5	3,5	4	12,5	13,5	14,5	35	3	13
6	2550	49	39	40	3	4,5	4	13	11	14	38	3	13
7	2600	49	38	43	3	1	3	10	11,5	12	38	4	11
8	2650	31	32	45	1,5	1,5	2	11	14	13	32	2	11
9	2700	32	45	33	1	2	3	13	10,5	15	35	1,5	13
10	2750	33	46	30	2	2,5	2,5	10	11	15	35	2	13
11	2250	43	47	31	2,8	2,9	4	11	17	16	45	2	9
12	2350	43	47	40	2,9	30	5	16	9	8	35	3	8
13	2450	31	33	30	3	4	5	8	7,5	10	35	3	10
14	2800	38	39	49	4	4	6	7,5	10	10	38	4	10
15	2850	33	34	29	1	3	9	10	17,5	11	33	5	11
16	2900	41	42	43	1,5	2,6	1,7	8,5	11,5	15	35	4	11
17	2950	48	38	98	1,6	2,7	1,8	10,5	12	15,5	45	2	11
18	3000	49	39	45	1,8	1,9	3,0	11	10	9	39	2	11
19	3050	50	40	46	1,9	2	3,1	8	11	13	39	2	11
20	3100	46	46	30	3	2	4	7	9	14	39	2	11

Практическая работа № 8: задание – «Экономическое сравнение валовой и раздельной выемок руды»

Исходные данные по вариантам

Цена концентрата				
Вариант	Содержание в руде 1 сорта, % α_1	Извлечение руды 2-го сорта, доли, ε_1	Содержание в руде 1 сорта, % α_2	Извлечение руды 2-го сорта, доли, ε_2
1	20	60	40	93
2	21	61	39	92
3	22	62	38	91
4	23	63	37	90
5	24	64	36	89
6	25	65	35	88
7	26	66	34	87
8	27	67	33	86
9	28	68	32	85
10	29	69	31	84
11	30	70	30	83
12	31	71	29	82
13	32	72	28	81
14	33	73	27	80
15	34	74	26	79
16	35	75	25	78
17	36	80	24	77
18	37	85	23	76
19	38	90	22	75
20	40	95	20	74

Практическая работа № 9: задание – «Определение основных показателей схемы рудника

Пример. Обосновать рабочие параметры основных элементов технологической схемы рудника, представленной на рис. 5. Разрабатывается горизонтальная залежь трудновзрываемых руд. Производственная мощность рудника Q = 4,3 млн т/год. Система разработки — камерно-столбовая. Размер кондиционного куска $К_К$= 720 мм.

Решение. Рабочие параметры основных элементов технологической схемы принимаем следующие:

- диаметр бурения

$D * K \cdot C = 720*0,65 = 47$ мм;

- вместимость ковша ПДМ

$E \geq (К_К/0,45*10^3)^3 = (720/450)^3 = 4$ м^3;

- вместимость кузова автосамосвала

$V \geq 3\text{-}5E^3 = 4*4 = 16$ м^3, или при насыпной плотности рудной массы, равной 2,1 т/м^3,

$V \geq 33,6$ т

- диаметр рудоспуска

$A \geq 3 - 5К_К/10^3 = 4*720/1000 = 2,88$ м;

- вместимость рудоспуска, принимается из расчёта сменной производительности забоя (ПДМ), составляющей около 1500т/смену;

- размер приёмного отверстия дробилки

$B \geq К_К/0,75 = 720/0,75 = 960$ мм;

- вместимость рудничных вагонов, должна быть не меньше вместимости кузова автосамосвала, т.е.

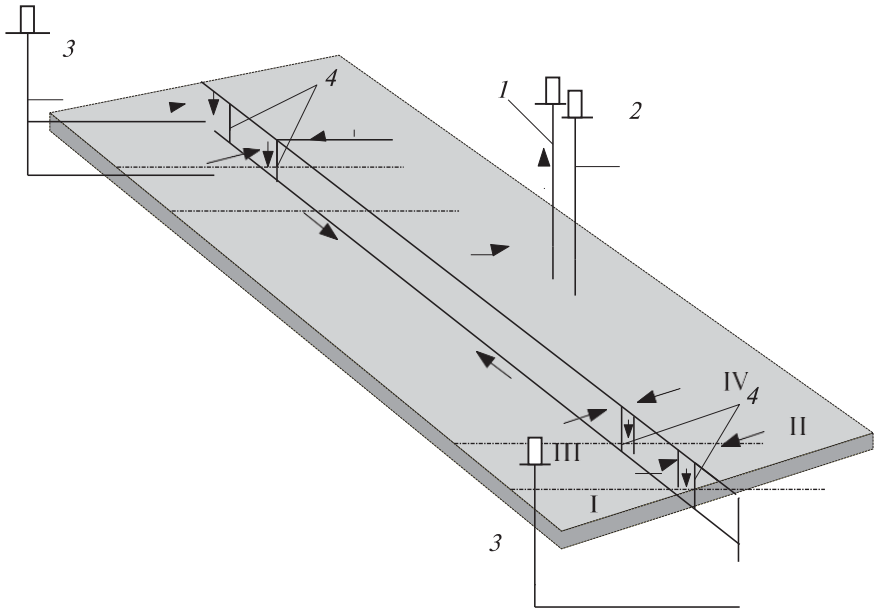
$V_{ваг} \geq 16$ м^3;

- вместимость приёмного бункера скипового ствола, принимается из расчёта сменной производительности рудника и составляет

$V_б \geq Q/\gamma n n_{см} = 4,3*10^6/2,6*305*2 = 2700$ м^3,

где Q — годовая мощность рудника, млн т; γ— насыпная плотность рудной массы, т/м^3;

n — число рабочих дней в году; $n_{см}$ — число рабочих смен в сутках.



К примеру, обоснования параметров технологической схемы:
1 — скиповой ствол; *2* — клетьевой ствол; *3* — вентиляционные стволы; *4* — панельные рудоспуски; *I, II, III, IV* — очистные панели; стрелки показывают направление рудопотоков

Методические указания по выполнению практических работ представлены в виде отдельного документа.

Критерии оценки:

Оценка «зачтено» выставляется обучающемуся, если работа оформлена аккуратно, в соответствии с требованиями; методика решения задач правильная и все действия обоснованы; все расчеты выполнены верно; ответ полный, имеется вывод по задаче, материал изложен профессиональным языком, логично (допускаются незначительные замечания).

Оценка «незачтено» выставляется обучающемуся, если работа оформлена не неаккуратно, со значительными отступлениями от требований; методика решения задач не правильная и (или) действия не обоснованы; ответ неполный, нет вывода по задаче, материал изложен без использования профессиональной терминологии, нелогично.

САМООРГАНИЗАЦИЯ РАБОТЫ С ЛИТЕРАТУРОЙ

Самостоятельное изучение тем курса осуществляется на основе списка рекомендуемой литературы к дисциплине. При работе с книгой необходимо научиться правильно ее читать, вести записи. Самостоятельная работа с учебными и научными изданиями профессиональной и общекультурной тематики – это важнейшее условие формирования научного способа познания.

Основные приемы работы с литературой можно свести к следующим:

• составить перечень книг, с которыми следует познакомиться;

• перечень должен быть систематизированным (что необходимо для семинаров, что для экзаменов, что пригодится для написания курсовых и выпускных квалификационных работ (ВКР), а что выходит за рамками официальной учебной деятельности, и расширяет общую культуру);

• обязательно выписывать все выходные данные по каждой книге (при написании курсовых и выпускных квалификационных работ это позволит экономить время);

• определить, какие книги (или какие главы книг) следует прочитать более внимательно, а какие – просто просмотреть;

• при составлении перечней литературы следует посоветоваться с преподавателями и руководителями ВКР, которые помогут сориентироваться, на что стоит обратить большее внимание, а на что вообще не стоит тратить время;

• все прочитанные монографии, учебники и научные статьи следует конспектировать, но это не означает, что надо конспектировать «все подряд»: можно выписывать кратко основные идеи автора и иногда приводить наиболее яркие и показательные цитаты (с указанием страниц);

• если книга – собственная, то допускается делать на полях книги краткие пометки или же в конце книги, на пустых страницах просто сделать свой «предметный указатель», где отмечаются наиболее интересные мысли и обязательно указываются страницы в тексте автора;

• следует выработать способность «воспринимать» сложные тексты; для этого лучший прием – научиться «читать медленно», когда понятно каждое прочитанное слово (а если слово незнакомое, то либо с помощью словаря, либо с помощью преподавателя обязательно его узнать). Таким образом, чтение текста является частью познавательной деятельности. Ее цель – извлечение из текста необходимой информации.

От того, насколько осознанна читающим собственная внутренняя установка при обращении к печатному слову (найти нужные сведения, усвоить информацию полностью или частично, критически проанализировать материал и т.п.) во многом зависит эффективность осуществляемого действия. Грамотная работа с книгой, особенно если речь идет о научной литературе, предполагает соблюдение ряда правил, для овладения которыми необходимо настойчиво учиться. Это серьёзный, кропотливый труд. Прежде всего, при такой работе невозможен формальный, поверхностный подход. Не механическое заучивание, не простое накопление цитат, выдержек, а

сознательное усвоение прочитанного, осмысление его, стремление дойти до сути – вот главное правило. Другое правило – соблюдение при работе над книгой определенной последовательности. Вначале следует ознакомиться с оглавлением, содержанием предисловия или введения. Это дает общую ориентировку, представление о структуре и вопросах, которые рассматриваются в книге.

Следующий этап – чтение. Первый раз целесообразно прочитать книгу с начала до конца, чтобы получить о ней цельное представление. При повторном чтении происходит постепенное глубокое осмысление каждой главы, критического материала и позитивного изложения; выделение основных идей, системы аргументов, наиболее ярких примеров и т.д. Непременным правилом чтения должно быть выяснение незнакомых слов, терминов, выражений, неизвестных имен, названий. Студентам с этой целью рекомендуется заводить специальные тетради или блокноты. Важная роль в связи с этим принадлежит библиографической подготовке студентов. Она включает в себя умение активно, быстро пользоваться научным аппаратом книги, справочными изданиями, каталогами, умение вести поиск необходимой информации, обрабатывать и систематизировать ее.

Выделяют четыре основные установки в чтении текста:

- информационно-поисковая (задача – найти, выделить искомую информацию);
- усваивающая (усилия читателя направлены на то, чтобы как можно полнее осознать и запомнить, как сами сведения, излагаемые автором, так и всю логику его рассуждений);
- аналитико-критическая (читатель стремится критически осмыслить материал, проанализировав его, определив свое отношение к нему);
- творческая (создает у читателя готовность в том или ином виде – как отправной пункт для своих рассуждений, как образ для действия по аналогии и т.п. – использовать суждения автора, ход его мыслей, результат наблюдения, разработанную методику, дополнить их, подвергнуть новой проверке).

С наличием различных установок обращения к тексту связано существование и нескольких видов чтения:

- библиографическое – просматривание карточек каталога, рекомендательных списков, сводных списков журналов и статей за год и т.п.;
- просмотровое – используется для поиска материалов, содержащих нужную информацию, обычно к нему прибегают сразу после работы со списками литературы и каталогами, в результате такого просмотра читатель устанавливает, какие из источников будут использованы в дальнейшей работе;
- ознакомительное – подразумевает сплошное, достаточно подробное прочтение отобранных статей, глав, отдельных страниц; цель – познакомиться с характером информации, узнать, какие вопросы вынесены автором на рассмотрение, провести сортировку материала;
- изучающее – предполагает доскональное освоение материала; в ходе такого чтения проявляется доверие читателя к автору, готовность принять

изложенную информацию, реализуется установка на предельно полное понимание материала;

- аналитико-критическое и творческое чтение – два вида чтения близкие между собой тем, что участвуют в решении исследовательских задач.

Первый из них предполагает направленный критический анализ, как самой информации, так и способов ее получения и подачи автором; второе – поиск тех суждений, фактов, по которым, или, в связи с которыми, читатель считает нужным высказать собственные мысли.

Из всех рассмотренных видов чтения основным для студентов является изучающее – именно оно позволяет в работе с учебной и научной литературой накапливать знания в различных областях. Вот почему именно этот вид чтения в рамках образовательной деятельности должен быть освоен в первую очередь. Кроме того, при овладении данным видом чтения формируются основные приемы, повышающие эффективность работы с текстом. Научная методика работы с литературой предусматривает также ведение записи прочитанного. Это позволяет привести в систему знания, полученные при чтении, сосредоточить внимание на главных положениях, зафиксировать, закрепить их в памяти, а при необходимости вновь обратиться к ним.

Основные виды систематизированной записи прочитанного:

Аннотирование – предельно краткое связное описание просмотренной или прочитанной книги (статьи), ее содержания, источников, характера и назначения.

Планирование – краткая логическая организация текста, раскрывающая содержание и структуру изучаемого материала.

Тезирование – лаконичное воспроизведение основных утверждений автора без привлечения фактического материала.

Цитирование – дословное выписывание из текста выдержек, извлечений, наиболее существенно отражающих ту или иную мысль автора.

Конспектирование – краткое и последовательное изложение содержания прочитанного. Конспект – сложный способ изложения содержания книги или статьи в логической последовательности. Конспект аккумулирует в себе предыдущие виды записи, позволяет всесторонне охватить содержание книги, статьи. Поэтому умение составлять план, тезисы, делать выписки и другие записи определяет и технологию составления конспекта.

Как правильно составлять конспект? Внимательно прочитайте текст. Уточните в справочной литературе непонятные слова. При записи не забудьте вынести справочные данные на поля конспекта. Выделите главное, составьте план, представляющий собой перечень заголовков, подзаголовков, вопросов, последовательно раскрываемых затем в конспекте. Это первый элемент конспекта. Вторым элементом конспекта являются тезисы. Тезис - это кратко сформулированное положение. Для лучшего усвоения и запоминания материала следует записывать тезисы своими словами. Тезисы, выдвигаемые в конспекте, нужно доказывать. Поэтому третий элемент конспекта - основные доводы, доказывающие истинность рассматриваемого тезиса. В конспекте

могут быть положения и примеры. Законспектируйте материал, четко следуя пунктам плана. При конспектировании старайтесь выразить мысль своими словами. Записи следует вести четко, ясно. Грамотно записывайте цитаты. Цитируя, учитывайте лаконичность, значимость мысли. При оформлении конспекта необходимо стремиться к емкости каждого предложения. Мысли автора книги следует излагать кратко, заботясь о стиле и выразительности написанного. Число дополнительных элементов конспекта должно быть логически обоснованным, записи должны распределяться в определенной последовательности, отвечающей логической структуре произведения. Для уточнения и дополнения необходимо оставлять поля.

Конспектирование - наиболее сложный этап работы. Овладение навыками конспектирования требует от студента целеустремленности, повседневной самостоятельной работы. Конспект ускоряет повторение материала, экономит время при повторном, после определенного перерыва, обращении к уже знакомой работе. Учитывая индивидуальные особенности каждого студента, можно дать лишь некоторые, наиболее оправдавшие себя общие правила, с которыми преподаватель и обязан познакомить студентов:

1. Главное в конспекте не объем, а содержание. В нем должны быть отражены основные принципиальные положения источника, то новое, что внес его автор, основные методологические положения работы. Умение излагать мысли автора сжато, кратко и собственными словами приходит с опытом и знаниями. Но их накоплению помогает соблюдение одного важного правила – не торопиться записывать при первом же чтении, вносить в конспект лишь то, что стало ясным.

2. Форма ведения конспекта может быть самой разнообразной, она может изменяться, совершенствоваться. Но начинаться конспект всегда должен с указания полного наименования работы, фамилии автора, года и места издания; цитаты берутся в кавычки с обязательной ссылкой на страницу книги.

3. Конспект не должен быть «слепым», безликим, состоящим из сплошного текста. Особо важные места, яркие примеры выделяются цветным подчеркиванием, взятием в рамочку, оттенением, пометками на полях специальными знаками, чтобы можно было быстро найти нужное положение. Дополнительные материалы из других источников можно давать на полях, где записываются свои суждения, мысли, появившиеся уже после составления конспекта.

ПОДГОТОВКА ДОКЛАДА С ПРЕЗЕНТАЦИЕЙ

Одной из форм текущего контроля является доклад с презентацией, который представляет собой продукт самостоятельной работы студента.

Доклад - это публичное выступление по представлению полученных результатов решения определенной учебно-практической, учебно-исследовательской или научной темы.

Как правило, в основу доклада ложится анализ литературы по проблеме. Он должен носить характер краткого, но в то же время глубоко аргументированного устного сообщения. В нем студент должен, по возможности, полно осветить различные точки зрения на проблему, выразить собственное мнение, сделать критический анализ теоретического и практического материала.

Подготовка доклада является обязательной для обучающихся, если доклад презентацией указан в перечне форм текущего контроля успеваемости в рабочей программе дисциплины.

Доклад должен быть рассчитан на 7-10 минут. Как правило, предполагает подготовку презентации.

Презентация (от англ. «presentation» - представление) - это набор цветных слайдов на определенную тему, который хранится в файле специального формата с расширением PP.

Целью презентации - донести до целевой аудитории полноценную информацию об объекте презентации, изложенной в докладе, в удобной форме.

Перечень примерных тем докладов с презентацией представлен в рабочей программе дисциплины, он выдается обучающимся заблаговременно вместе с методическими указаниями по подготовке. Темы могут распределяться студентами самостоятельно (по желанию), а также закрепляться преподавателем дисциплины.

При подготовке доклада с презентацией обучающийся должен продемонстрировать умение самостоятельного изучения отдельных вопросов, структурирования основных положений рассматриваемых проблем, публичного выступления, позиционирования себя перед коллективом, навыки работы с библиографическими источниками и оформления научных текстов.

В ходе подготовки к докладу с презентацией обучающемуся необходимо:

- выбрать тему и определить цель выступления.

Для этого, остановитесь на теме, которая вызывает у Вас больший интерес; определите цель выступления; подумайте, достаточно ли вы знаете по выбранной теме или проблеме и сможете ли найти необходимый материал;

- осуществить сбор материала к выступлению.

Начинайте подготовку к докладу заранее; обращайтесь к справочникам, энциклопедиям, научной литературе по данной проблеме; записывайте необходимую информацию на отдельных листах или тетради;

- организовать работу с литературой.

При подборе литературы по интересующей теме определить конкретную цель поиска: что известно по данной теме? что хотелось бы узнать? для чего нужна эта информация? как ее можно использовать в практической работе?

- во время изучения литературы следует: записывать вопросы, которые возникают по мере ознакомления с источником, а также ключевые слова, мысли, суждения; представлять наглядные примеры из практики;

- обработать материал.

Учитывайте подготовку и интересы слушателей; излагайте правдивую информацию; все мысли должны быть взаимосвязаны между собой.

При подготовке доклада с презентацией особо необходимо обратить внимание на следующее:

- подготовка доклада начинается с изучения источников, рекомендованных к соответствующему разделу дисциплины, а также специальной литературы для докладчика, список которой можно получить у преподавателя;

- важно также ознакомиться с имеющимися по данной теме монографиями, учебными пособиями, научными информационными статьями, опубликованными в периодической печати.

Относительно небольшой объем текста доклада, лимит времени, отведенного для публичного выступления, обусловливает потребность в тщательном отборе материала, умелом выделении главных положений в содержании доклада, использовании наиболее доказательных фактов и убедительных примеров, исключении повторений и многословия.

Решить эти задачи помогает составление развернутого плана.

План доклада должен содержать следующие главные компоненты: краткое вступление, вопросы и их основные тезисы, заключение, список литературы.

После составления плана можно приступить к написанию текста. Во вступлении важно показать актуальность проблемы, ее практическую значимость. При изложении вопросов темы раскрываются ее основные положения. Материал содержания вопросов полезно располагать в таком порядке: тезис; доказательство тезиса; вывод и т. д.

Тезис - это главное основополагающее утверждение. Он обосновывается путем привлечения необходимых цитат, цифрового материала, ссылок на статьи. При изложении содержания вопросов особое внимание должно быть обращено на раскрытие причинно-следственных связей, логическую последовательность тезисов, а также на формулирование окончательных выводов. Выводы должны быть краткими, точными, достаточно аргументированными всем содержанием доклада.

В процессе подготовки доклада студент может получить консультацию у преподавателя, а в случае необходимости уточнить отдельные положения.

Выступление

При подготовке к докладу перед аудиторией необходимо выбрать способ выступления:

- устное изложение с опорой на конспект (опорой могут также служить заранее подготовленные слайды);
- чтение подготовленного текста.

Чтение заранее написанного текста значительно уменьшает влияние выступления на аудиторию. Запоминание написанного текста заметно сковывает выступающего и привязывает к заранее составленному плану, не давая возможности откликаться на реакцию аудитории.

Короткие фразы легче воспринимаются на слух, чем длинные.

Необходимо избегать сложных предложений, причастных и деепричастных оборотов. Излагая сложный вопрос, нужно постараться передать информацию по частям.

Слова в речи надо произносить четко и понятно, не надо говорить слишком быстро или, наоборот, растягивать слова. Надо произнести четко особенно ударную гласную, что оказывает наибольшее влияние на разборчивость речи.

Пауза в устной речи выполняет ту же роль, что знаки препинания в письменной. После сложных выводов или длинных предложений необходимо сделать паузу, чтобы слушатели могли вдуматься в сказанное или правильно понять сделанные выводы. Если выступающий хочет, чтобы его понимали, то не следует говорить без паузы дольше, чем пять с половиной секунд.

Особое место в выступлении занимает обращение к аудитории. Известно, что обращение к собеседнику по имени создает более доверительный контекст деловой беседы. При публичном выступлении также можно использовать подобные приемы. Так, косвенными обращениями могут служить такие выражения, как «Как Вам известно», «Уверен, что Вас это не оставит равнодушными». Выступающий показывает, что слушатели интересны ему, а это самый простой путь достижения взаимопонимания.

Во время выступления важно постоянно контролировать реакцию слушателей. Внимательность и наблюдательность в сочетании с опытом позволяют оратору уловить настроение публики. Возможно, рассмотрение некоторых вопросов придется сократить или вовсе отказаться от них.

После выступления нужно быть готовым к ответам на возникшие у аудитории вопросы.

Стоит обратить внимание на вербальные и невербальные составляющие общения. Небрежность в жестах недопустима. Жесты могут быть приглашающими, отрицающими, вопросительными, они могут подчеркнуть нюансы выступления.

Презентация

Презентация наглядно сопровождает выступление.

Этапы работы над презентацией могут быть следующими:

- осмыслите тему, выделите вопросы, которые должны быть освещены в рамках данной темы;

• составьте тезисы собранного материала. Подумайте, какая часть информации может быть подкреплена или полностью заменена изображениями, какую информацию можно представить в виде схем;

• подберите иллюстративный материал к презентации: фотографии, рисунки, фрагменты художественных и документальных фильмов, материалы кинохроники, разработайте необходимые схемы;

• подготовленный материал систематизируйте и «упакуйте» в отдельные блоки, которые будут состоять из собственно текста (небольшого по объему), схем, графиков, таблиц и т.д.;

• создайте слайды презентации в соответствии с необходимыми требованиями;

• просмотрите презентацию, оцените ее наглядность, доступность, соответствие языковым нормам.

Требования к оформлению презентации

Компьютерную презентацию, сопровождающую выступление докладчика, удобнее всего подготовить в программе MS Power Point.

Презентация как документ представляет собой последовательность сменяющих друг друга слайдов. Чаще всего демонстрация презентации проецируется на большом экране, реже – раздается собравшимся как печатный материал.

Количество слайдов должно быть пропорционально содержанию и продолжительности выступления (например, для 5-минутного выступления рекомендуется использовать не более 10 слайдов).

На первом слайде обязательно представляется тема выступления и сведения об авторах.

Следующие слайды можно подготовить, используя две различные стратегии их подготовки:

1-я стратегия: на слайды выносится опорный конспект выступления и ключевые слова с тем, чтобы пользоваться ими как планом для выступления. В этом случае к слайдам предъявляются следующие требования:

- объем текста на слайде – не больше 7 строк;
- маркированный/нумерованный список содержит не более 7 элементов;
- отсутствуют знаки пунктуации в конце строк в маркированных и нумерованных списках;
- значимая информация выделяется с помощью цвета, кегля, эффектов анимации.

Особо внимательно необходимо проверить текст на отсутствие ошибок и опечаток. Основная ошибка при выборе данной стратегии состоит в том, что выступающие заменяют свою речь чтением текста со слайдов.

2-я стратегия: на слайды помещается фактический материал (таблицы, графики, фотографии и пр.), который является уместным и достаточным сред-

ством наглядности, помогает в раскрытии стержневой идеи выступления. В этом случае к слайдам предъявляются следующие требования:

- выбранные средства визуализации информации (таблицы, схемы, графики и т. д.) соответствуют содержанию;
- использованы иллюстрации хорошего качества (высокого разрешения), с четким изображением (как правило, никто из присутствующих не заинтересован вчитываться в текст на ваших слайдах и всматриваться в мелкие иллюстрации).

Максимальное количество графической информации на одном слайде – 2 рисунка (фотографии, схемы и т.д.) с текстовыми комментариями (не более 2 строк к каждому). Наиболее важная информация должна располагаться в центре экрана.

Обычный слайд, без эффектов анимации, должен демонстрироваться на экране не менее 10 - 15 секунд. За меньшее время аудитория не успеет осознать содержание слайда.

Слайд с анимацией в среднем должен находиться на экране не меньше 40 – 60секунд (без учета времени на случайно возникшее обсуждение). В связи с этим лучше настроить презентацию не на автоматический показ, а на смену слайдов самим докладчиком.

Особо тщательно необходимо отнестись к оформлению презентации. Для всех слайдов презентации по возможности необходимо использовать один и тот же шаблон оформления, кегль – для заголовков - не меньше 24 пунктов, для информации - не менее 18.

В презентациях не принято ставить переносы в словах.

Наилучшей цветовой гаммой для презентации являются контрастные цвета фона и текста (белый фон – черный текст; темно-синий фон – светло-желтый текст и т. д.).

Лучше не смешивать разные типы шрифтов в одной презентации.

Рекомендуется не злоупотреблять прописными буквами (они читаются хуже).

ПОДГОТОВКА К ДИСКУССИИ

Дискуссия - практическое занятие, в основе его заложены несколько различных точек зрения на один и тот же вопрос, в результате обсуждения которых участники приходят к приемлемым для каждого из них позициям и решениям. Современный образовательный метод по сути своей является «проблемно-ориентированным подходом к обучению и позволяет сфокусировать внимание студентов на анализе и разрешении какой-либо конкретной проблемной ситуации**.**

Цель дискуссии - раскрыть широкий спектр мнений по выбранной для обсуждения проблеме с разных точек зрения, обсудить неясные и спорные моменты, связанные с данной проблемой, и достичь консенсуса, то есть всестороннее глубокое рассмотрение актуальной проблемы путем ее свободного группового обсуждения.

Неотъемлемые составляющие дискуссии - это:

1. неразрешённый вопрос;

2. равноправное участие представителей всех заинтересованных сторон;

3. выработка приемлемых для всех участников решений по обсуждаемому вопросу.

При проведении дискуссии для достижения положительного результата и создания деловой атмосферы необходимо:

- предусмотреть оптимальное количество участников;
- обеспечить работу технических средств для аудио- и видеозаписи;
- установить регламент выступлений;
- обеспечить соответствующее оформление аудитории.

Методика организации и проведения дискуссии

Обычно выделяют три этапа в организации и проведении «круглого стола»: подготовительный, дискуссионный и завершающий. Для каждого этапа студент должен быть соответствующим образом подготовлен:

1. *Подготовительный этап*:

- выбор проблемы (проблема должна быть острой, актуальной, имеющей различные пути решения). Выбранная для обсуждения проблема может носить междисциплинарный характер, она должна представлять практический интерес для аудитории с точки зрения развития профессиональных компетенций. Тема заранее студенту известна. Тему задает преподаватель;

- подбор модератора (модератор руководит дискуссией, поэтому должен на высоком уровне владеть искусством создания доверительной атмосферы и поддержания дискуссии, а также методом наращивания информации). Студент может быть модератором при должной подготовке и помощи со стороны преподавателя;

- подбор дискутантов;

- подготовка сценария (проведение дискуссии по заранее спланированному сценарию позволяет избежать спонтанности и хаотичности в дискуссии). Сценарий также заранее студенту известен, так как его

выполнение на занятии предполагает дополнительную самостоятельную подготовку вне аудитории.

Сценарий предполагает:

- определение понятийного аппарата (тезауруса);

- краткую содержательную вступительную речь модератора, в которой объявляется тема и спектр затрагиваемых в ее рамках проблем, контекст желаемого обсуждения;

- перечень вопросов дискуссионного характера (до 15 формулировок);

- разработку «домашних заготовок» ответов, подчас противоречивых и неординарных с использованием репрезентативной выборки информации;

- заключительную речь модератора;

- оснащение помещения стандартным оборудованием (аудио - видеотехникой), а также мультимедийными средствами с целью поддержания деловой и творческой атмосферы;

- консультирование участников (позволяет выработать у большинства участников определенные убеждения, которые в дальнейшем будут ими отстаиваться);

- подготовка необходимых материалов (на бумажном или электронном носителях): это могут быть статистические данные, материалы экспресс-опроса, проведенного анализа имеющейся информации с целью обеспечения участников дискуссии.

2. Дискуссионный этап:

- выступление модератора, в котором дается определение проблем и понятийного аппарата (тезауруса), устанавливается регламент, правила общей технологии занятия в форме дискуссии и информирование об общих правилах коммуникации.

К общим правилам коммуникации относятся рекомендации:

- избегай общих фраз;

- ориентируйся на цель (задачу);

- умей слушать;

- будь активен в беседе;

- будь краток;

- осуществляй конструктивную критику;

- не допускай оскорбительных замечаний в адрес собеседника;

- проведение «информационной атаки»: участники высказываются в определенном порядке, оперируя убедительными фактами, иллюстрирующими современное состояние проблемы;

- выступление дискутантов и выявления существующих мнений на поставленные вопросы, акцентирования внимания на оригинальные идеи. С целью поддержания остроты дискуссии рекомендуется формулировать дополнительные вопросы;

- ответы на дискуссионные вопросы;

- подведение модератором мини-итогов по выступлениям и дискуссии: формулирование основных выводов о причинах и характере разногласий по

исследуемой проблеме, способах их преодоления, о системе мер решения данной проблемы.

3. Завершающий этап:

- подведение заключительных итогов ведущим;
- выработка рекомендаций или решений;
- установление общих результатов дискуссии.

ПОДГОТОВКА К ПРАКТИКО-ОРИЕНТИРОВАННЫМ ЗАДАНИЯМ

Практико-ориентированные задания выступают средством формирования у студентов системы интегрированных умений и навыков, необходимых для освоения профессиональных компетенций. Это могут быть ситуации, требующие применения умений и навыков, специфичных для соответствующего профиля обучения (знания содержания предмета), ситуации, требующие организации деятельности, выбора её оптимальной структуры личностно-ориентированных ситуаций (нахождение нестандартного способа решения).

Кроме этого, они выступают средством формирования у студентов умений определять, разрабатывать и применять оптимальные методы решения профессиональных задач. Они строятся на основе ситуаций, возникающих на различных уровнях осуществления практики и формулируются в виде производственных поручений (заданий).

Под практико-ориентированными задания понимают задачи из окружающей действительности, связанные с формированием практических навыков, необходимых в повседневной жизни, в том числе с использованием элементов производственных процессов.

Цель практико-ориентированных заданий – приобретение умений и навыков практической деятельности по изучаемой дисциплине.

Задачи практико-ориентированных заданий:

- закрепление, углубление, расширение и детализация знаний студентов при решении конкретных задач;
- развитие познавательных способностей, самостоятельности мышления, творческой активности;
- овладение новыми методами и методиками изучения конкретной учебной дисциплины;
- обучение приемам решения практических задач;
- выработка способности логического осмысления полученных знаний для выполнения заданий;
- обеспечение рационального сочетания коллективной и индивидуальной форм обучения.

Важными отличительными особенностями практико-ориентированных задания от стандартных задач (предметных, межпредметных, прикладных) являются:

- значимость (познавательная, профессиональная, общекультурная, социальная) получаемого результата, что обеспечивает познавательную мотивацию обучающегося;
- условие задания сформулировано как сюжет, ситуация или проблема, для разрешения которой необходимо использовать знания из разных разделов основного предмета, из другого предмета или из жизни, на которые нет явного указания в тексте задания;

- информация и данные в задании могут быть представлены в различной форме (рисунок, таблица, схема, диаграмма, график и т.д.), что потребует распознавания объектов;

- указание (явное или неявное) области применения результата, полученного при решении задания.

Кроме выделенных четырех характеристик, практико-ориентированные задания имеют следующие:

1. по структуре эти задания – нестандартные, т.е. в структуре задания не все его компоненты полностью определены;

2. наличие избыточных, недостающих или противоречивых данных в условии задания, что приводит к объемной формулировке условия;

3. наличие нескольких способов решения (различная степень рациональности), причем данные способы могут быть неизвестны учащимся, и их потребуется сконструировать.

При выполнении практико-ориентированных заданий следует руководствоваться следующими общими рекомендациями:

- для выполнения практико-ориентированного задания необходимо внимательно прочитать задание, повторить лекционный материал по соответствующей теме, изучить рекомендуемую литературу, в т.ч. дополнительную;

- выполнение практико-ориентированного задания включает постановку задачи, выбор способа решения задания, разработку алгоритма практических действий, программы, рекомендаций, сценария и т. п.;

- если практико-ориентированное задание выдается по вариантам, то получить номер варианта исходных данных у преподавателя; если нет вариантов, то нужно подобрать исходные данные самостоятельно, используя различные источники информации;

- для выполнения практико-ориентированного задания может использоваться метод малых групп. Работа в малых группах предполагает решение определенных образовательных задач в рамках небольших групп с последующим обсуждением полученных результатов. Этот метод развивает навыки сотрудничества, достижения компромиссного решения, аналитические способности.

ПОДГОТОВКА К ПРОМЕЖУТОЧНОЙ АТТЕСТАЦИИ

При подготовке к *экзамену (к зачету)* по дисциплине «*Управление качеством руд при добыче*» обучающемуся рекомендуется:

1. Повторить пройденный материал и ответить на вопросы, используя конспект и материалы лекций. Если по каким-либо вопросам у студента недостаточно информации в лекционных материалах, то необходимо получить информацию из раздаточных материалов и/или учебников (литературы), рекомендованных для изучения дисциплины «*Управление качеством руд при добыче*».

Целесообразно также дополнить конспект лекций наиболее существенными и важными тезисами для рассматриваемого вопроса;

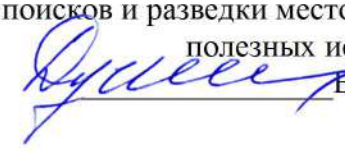
2. При изучении основных и дополнительных источников информации в рамках выполнения заданий на *экзамене (зачете)* особое внимание необходимо уделять схемам, рисункам, графикам и другим иллюстрациям, так как подобные графические материалы, как правило, в наглядной форме отражают главное содержание изучаемого вопроса;

3. При изучении основных и дополнительных источников информации в рамках выполнения заданий на *экзамене (на зачете)* (в случаях, когда отсутствует иллюстративный материал) особое внимание необходимо обращать на наличие в тексте словосочетаний вида «во-первых», «во-вторых» и т.д., а также дефисов и перечислений (цифровых или буквенных), так как эти признаки, как правило, позволяют структурировать ответ на предложенное задание.

Подобную текстовую структуризацию материала слушатель может трансформировать в рисунки, схемы и т. п. для более краткого, наглядного и удобного восприятия (иллюстрации целесообразно отразить в конспекте лекций – это позволит оперативно и быстро найти, в случае необходимости, соответствующую информацию);

4. следует также обращать внимание при изучении материала для подготовки к *экзамену (к зачету)* на словосочетания вида «таким образом», «подводя итог сказанному» и т.п., так как это признаки выражения главных мыслей и выводов по изучаемому вопросу (пункту, разделу). В отдельных случаях выводы по теме (разделу, главе) позволяют полностью построить (восстановить, воссоздать) ответ на поставленный вопрос (задание), так как содержат в себе основные мысли и тезисы для ответа.

МИНОБРНАУКИ РФ
ФГБОУ ВО «Уральский государственный горный университет»

УТВЕРЖДАЮ
Заведующий кафедрой геологии,
поисков и разведки месторождений
полезных ископаемых

В.А.Душин

МЕТОДИЧЕСКИЕ УКАЗАНИЯ К КОНТРОЛЬНОЙ РАБОТЕ СТУДЕНТОВ ПО ДИСЦИПЛИНЕ

Б1.В.ДВ.02.01 СТРУКТУРЫ РУДНЫХ ПОЛЕЙ

Специальность:
21.05.02 Прикладная геология

Специализация
Геологическая съемка, поиски и разведка месторождений твердых полезных ископаемых

форма обучения: очная, заочная

Автор: Никулина И. А.., доцент, к.г.-м.н.

Одобрены на заседании кафедры
Геологии, поисков и разведки МПИ
(название кафедры)
Протокол № 1 от 26.09.2023
(Дата)

Екатеринбург

КОМПЛЕКТ ЗАДАНИЙ ДЛЯ КОНТРОЛЬНОЙ РАБОТЫ

дисциплина **СТРУКТУРЫ РУДНЫХ ПОЛЕЙ**

Задания контрольной работы, направленные на оценку уровня умений и навыков, формирующих компетенции:

ПК-3 (*(знать:* требования к содержанию, оформлению и документации геологических наблюдений; *уметь: выделить*, исследовать и задокументировать структурные элементы рудных полей; *владеть:* методическими и инструктивными материалами по документации геологических наблюдений*)*

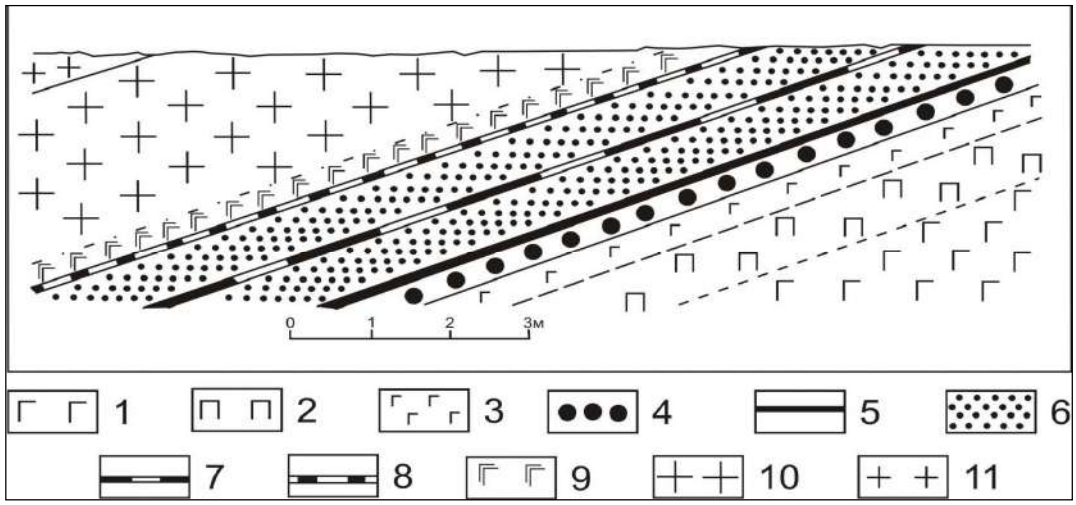
ПСК-1.1 (*знать*: геолого-структурные типы рудных тел и рудных полей; *уметь*: работать с разными видами графических геологических материалов; *владеть*: теоретическими основами и практическими навыками структурных исследований рудных полей)

Контрольная работа

Задание: на основании анализа геологического строения месторождения выделить и охарактеризовать структурные элементы рудного поля, геолого-структурные типы рудных тел, геолого-структурный тип рудного поля.

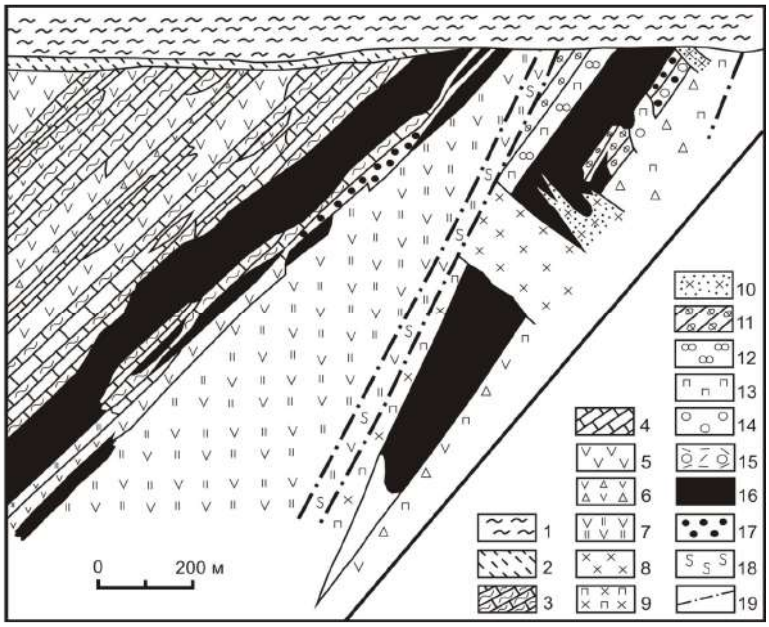
Работа выполняется на основании контрольных графических материалов. Один вариант соответствует одному месторождению. Количество вариантов практически не ограничено. Ниже приводится примерный комплект заданий.

Вариант 1. Месторождение платиноидов Риф Меренского



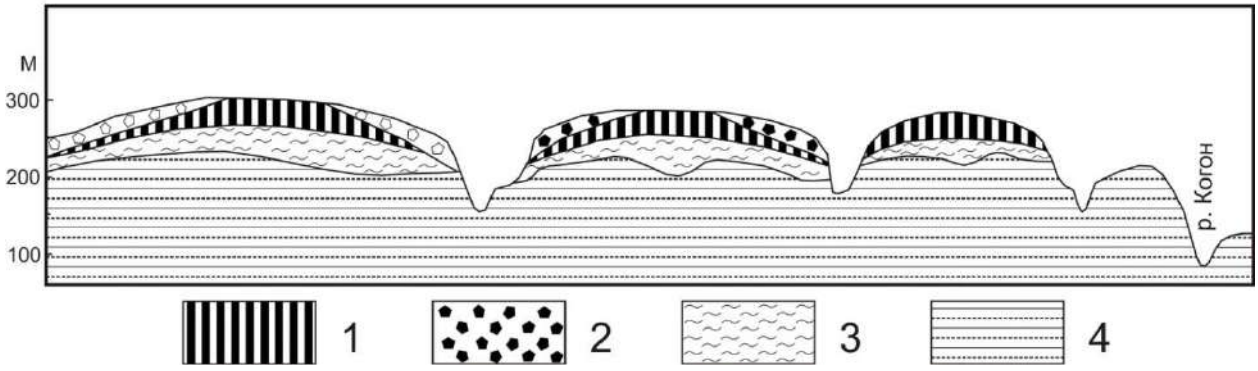
1 – пятнистый норит; 2 – пироксеновый норит; 3 – пятнистый анортозитовый норит; 4 – грубозернистый риф Меренского с платиной; 5 – нижний хромит с платиной; 6 – рудное тело; 7 – средний хромит с платиной; 8 – верхний хромит; 9 – норит висячего бока; 10 – пятнистый анортозит; 11 – анортозит

Вариант 2. Сарбайское месторождение железа



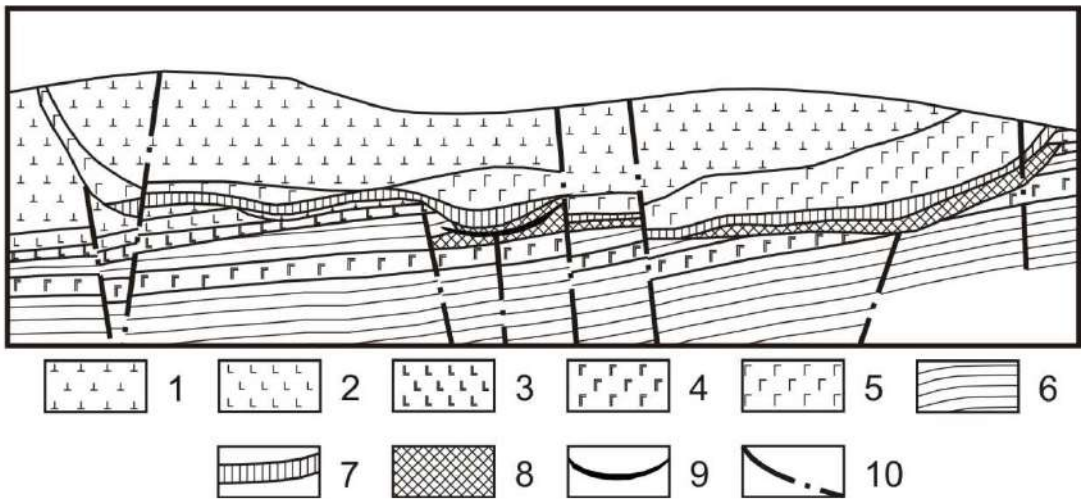
1 – мезо-кайнозойские отложения; 2 – глины древней коры выветривания палеозойских пород; 3 – туффиты алевролитовые, пелитовые; 4 – известняки битуминозные с прослоями туфогенного материала; 5 – туфы среднего состава с прослоями андезитов порфировой структуры; 6 – туфы и туфобрекчии среднего состава; 7 – туфобрекчии альбитизированные; 8 – диориты в том числе порфировой структуры; 9 – диориты жильные, дорудные; 10 – кварц-пироксеновые диориты, порфировой структуры, послерудные; 11 – ороговикованные туффиты; 12 – скаполитовые метасоматиты; 13 – пироксеновые скарны и скарнированные породы; 14 – гранатовые скарны и скарнированные породы; 15 – эпидот-актинолитовые породы; 16 – магнетитовые руды; 17 – вкрапленники магнетитовых руд; 18 – зоны милонитизации пород и руд; 19 – тектонические нарушения

Вариант 3. Месторождение бокситов Боке



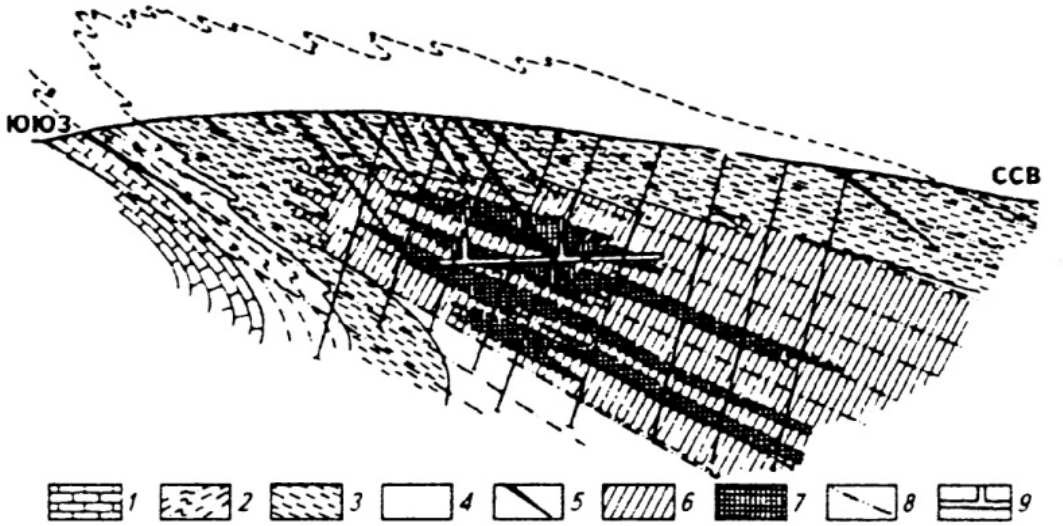
1 – преимущественно структурные бокситы; 2 – обломочные бокситы; 3 – аллиты, каолиновые глины; 4 – граптолитовые сланцы и другие терригенные породы

Вариант 4. Месторождение никеля Норильск-I



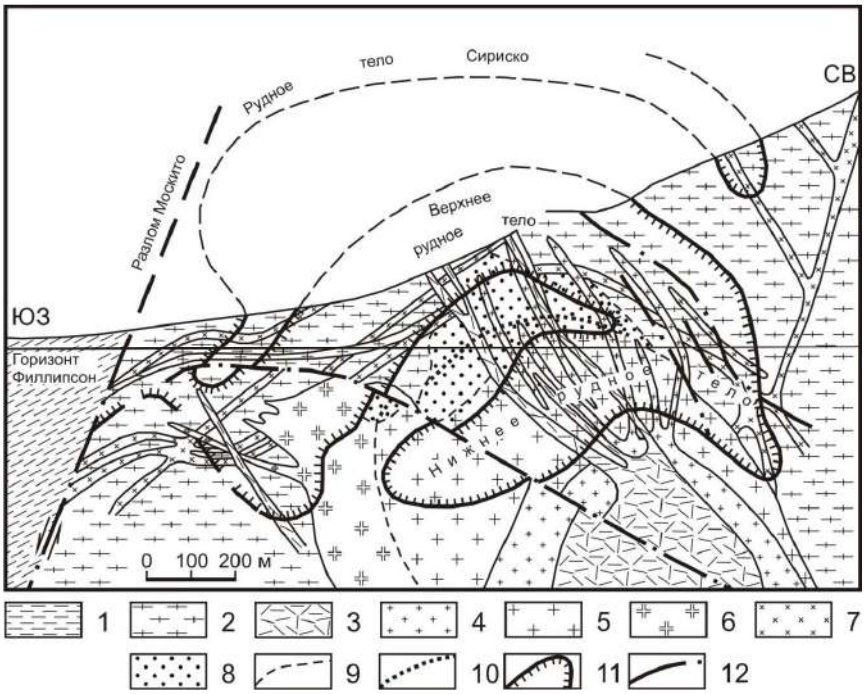
1 – эффузивы нерасчлененные; 2 – лабрадоровые базальты; 3 – титан-авгитовые базальты; 4 – силы титан-авгитовых долеритов; 5 – габбро-долеритовая интрузия Норильск I; 6 – осадочные породы тунгусской серии; 7 – вкрапленные руды в интрузии; 8 – вкрапленные руды в породах экзоконтакта; 9 – жильные руды; 10 – тектонические нарушения

Вариант 5. Месторождение золота Сухой Лог



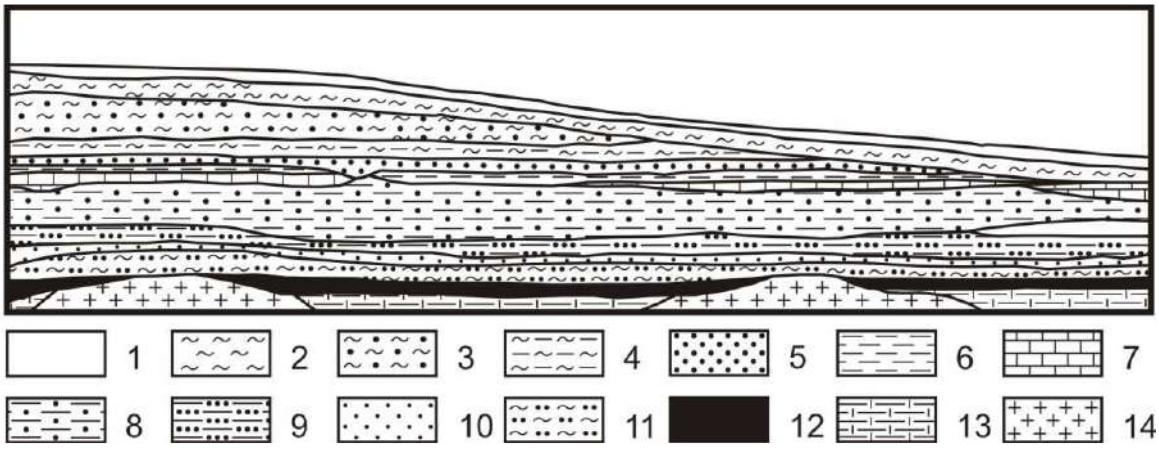
1 – известковистые алевролиты и алевросланцы; 2 – алевросланцы и алевролиты, преимущественно грубозернистые; 3 – «углистые» филлитовидные алевролиты; 4 – углистые кварцево-серицитовые алевросланцы; 5 – кварцевые жилы; 6-7 – ореол развития золото-сульфидной минерализации: 6 – умеренной; 7 – повышенной; 8 – кливаж; 9 – подземные горные выработки

Вариант 6. Молибденовое месторождение Клаймакс



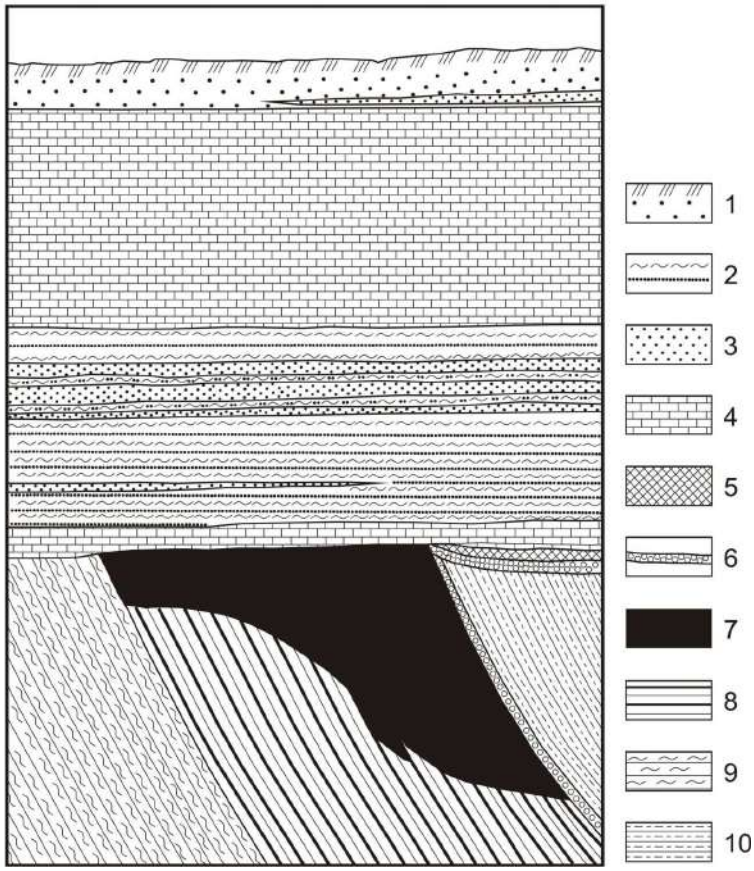
1 – осадочные породы палеозоя; 2 – докембрийские граниты и кристаллические сланцы; 3-7 – породы кайнозойского магматического комплекса порфировой структуры (этапа тектоно-магматической активизации): 3 – поздние дайки риолитов порфировой структуры; 4 – внутрирудные порфировые дайки; 5 – центральный массив порфировых пород штока Клаймакс; 6 – Юго-Западный массив штока Клаймакс; 7 – монцониты порфировой структуры; 8 – сильноокварцованные породы; 9 – граница сильноокварцованных пород; 10 – предполагаемое положение контакта пород в зоне окварцевания; 11 – контур молибденового оруденения с содержанием Mo 0,2 %; 12 – разрывные нарушения

Вариант 7. Никопольское месторождение марганца



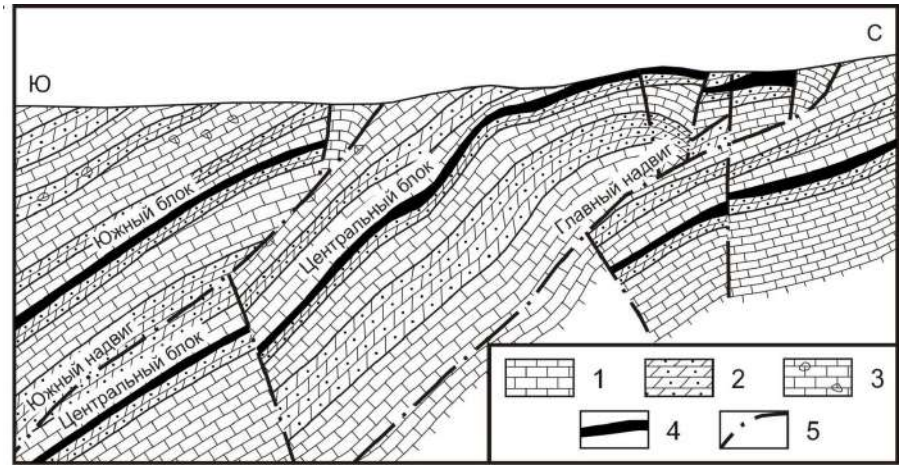
1 – ПРС; 2 – лёсс; 3 – глина красная; 4 – глина бурая; 5 – песок; плиоценовые отложения*:* 6 – глина серо-зеленая; 7 – известняки; миоценовые отложения: 8 – глина серо-белая; 9 – глина черная; 10 – песок зеленый; олигоценовые отложения: 11 – глина зеленая; 12 – марганцевая руда; 13 – каолин; 14 – докембрийские кристаллические породы

Вариант 8. Месторождение железа Яковлевское



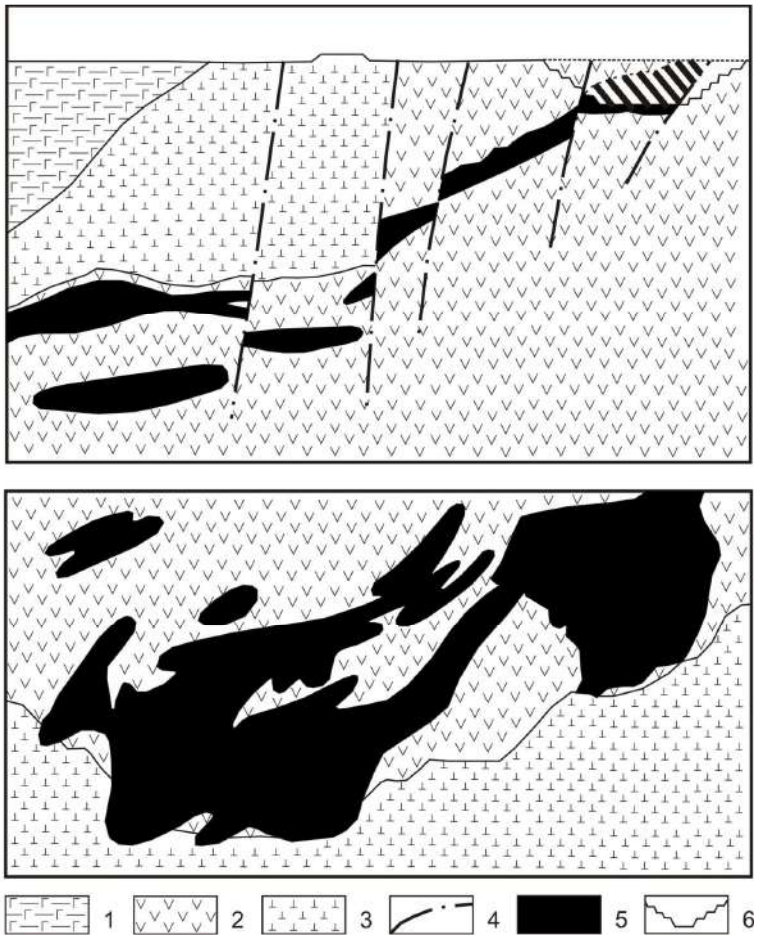
1 – ПРС и суглинки; 2 – пески и глины; 3 – песчаники; 4 – мел, мергели, известняки; 5 – руда переотложенная; 6 – бокситы; 7 – богатая руда; 8 – железистые кварциты; 9 – кварц-слюдистые микросланцы; 10 – кварц-графит-биотитовые микросланцы.

Вариант 9. Миргалимсайское месторождение полиметаллов



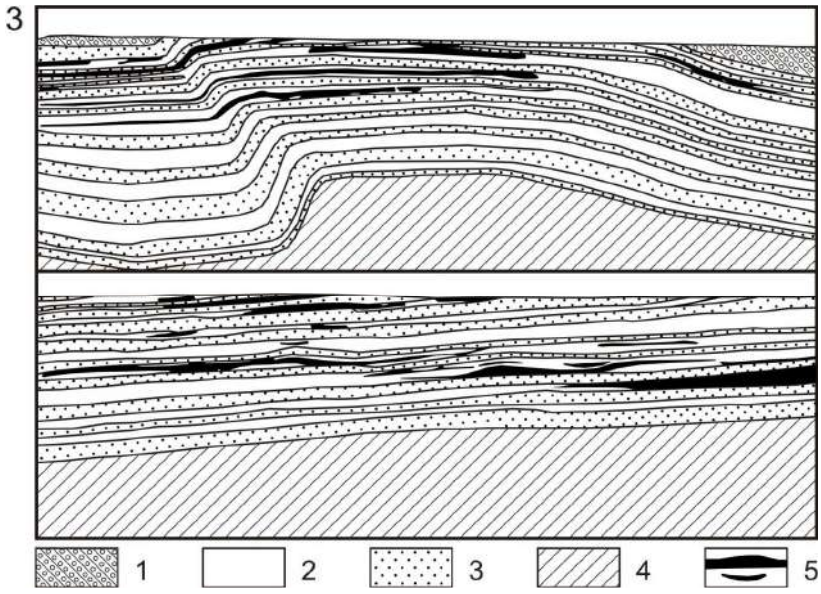
1-3 – породы верхнего девона: 1 – известняки; 2 –доломиты; 3 – брекчированные известняки; 4 – рудные тела; 5 – разрывные нарушения

Вариант 10. Месторождение хрома Алмаз-Жемчужина



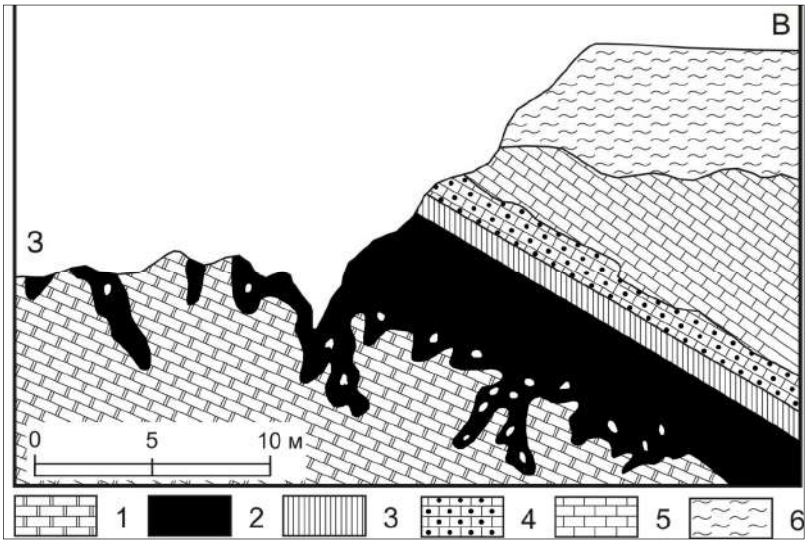
1 – габброамфиболиты; 2 – серпентиниты по дунитам; 3 – серпентиниты по перидотитам; 4 – разрывные нарушения; 5 – хромитовые тела; 6 – контур карьера.

Вариант 11. Джезказганское месторождение меди



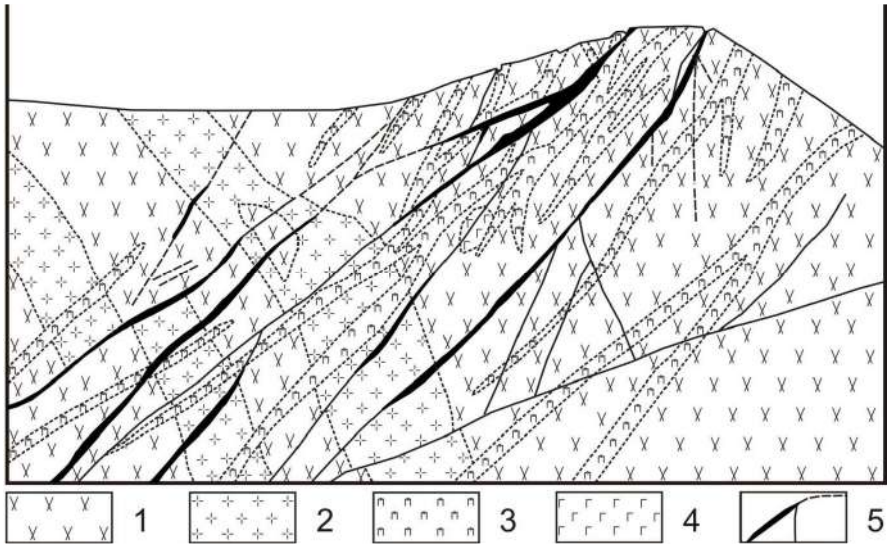
1 – нижнепермская красноцветная толща песчаников; 2 – рудоносные серые песчаники; 3 – безрудные красные песчаники и аргиллиты; 4 – нижнепермские песчаники и известняки; 5 – рудные тела.

Вариант 12. Месторождение бокситов Красная Шапочка



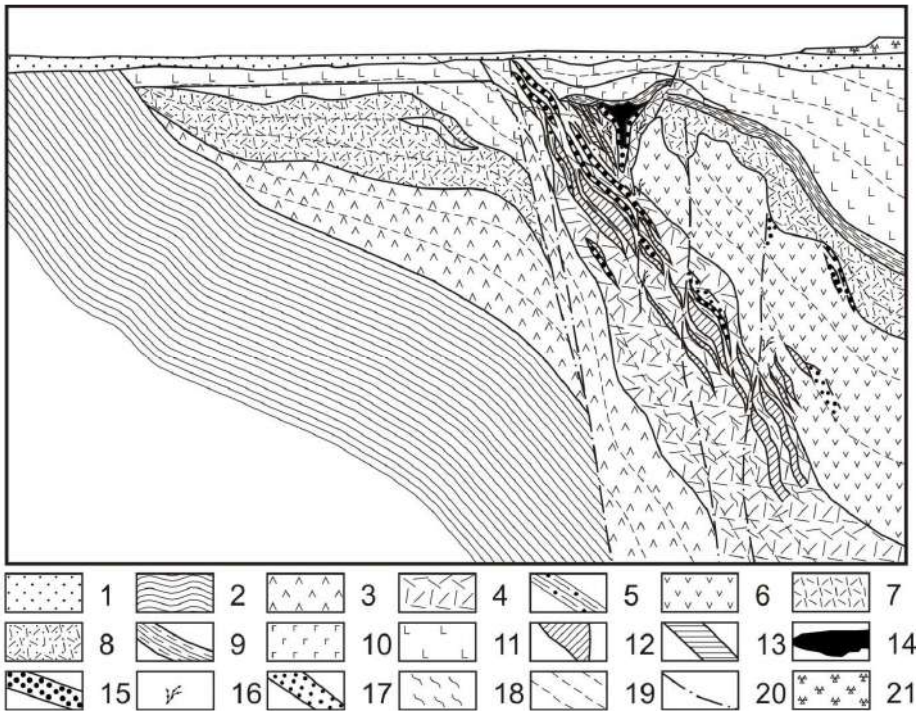
1 – вулканогенно-осадочные породы сосьвинской свиты (S_2); 2 – слоистые известняки (D_1-S_2); 3 – массивные известняки с прослоями сланцев петропавловской свиты (D_1-S_2); 4 – бокситы красные; 5 – бокситы зеленовато-серые; 6 – мергели; 7 – известняки надрудной толщи (D_2); 8 – кайнозойские глинистые отложения; 9 – надвиги; 10 – сбросы.

Вариант 13. Джидинское месторождение вольфрама



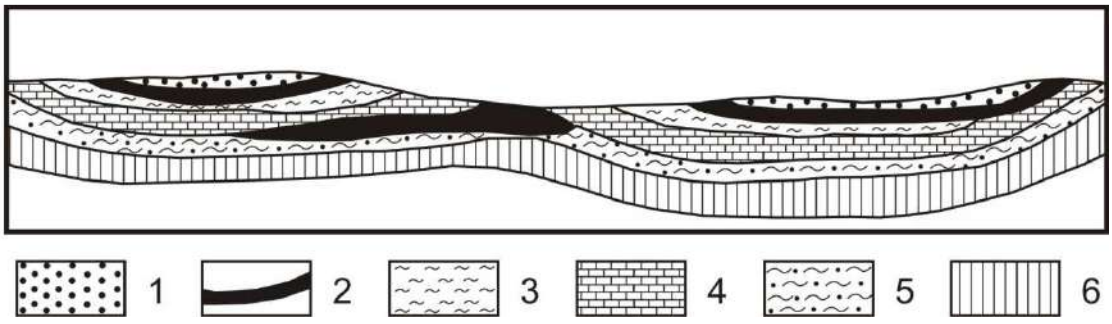
1 – кварцевые диориты; 2 – граниты порфировой структуры; 3 – лампрофиры; 4 – горнблендиты; 5 – кварцево-вольфрамовые жилы.

Вариант 14. Гайское месторождение меди



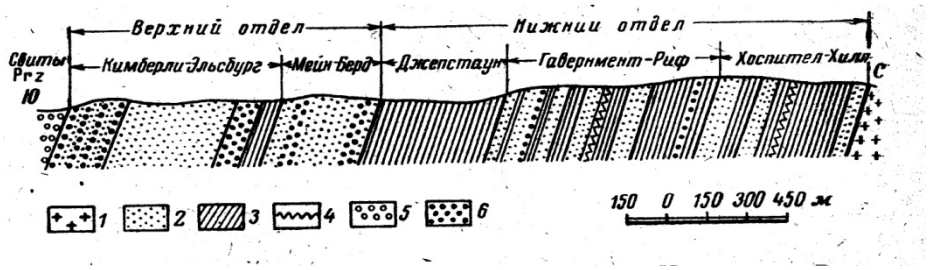
1 – мезо-кайнозойские песчано-глинистые отложения; 2 – породы основания Гайской палеовулканической структуры – переслаивание кремнистых и кремнисто-глинистых пелитовых туффитов, туфопесчаников, углистых алевролитов (D_1?); *вулканогенные и вулканогенно-осадочные породы Гайской палеовулканической структуры:* 3 – андезидацитовая толща; 4-5 – риолитовая толща: 4 – лавы, кластолавы, брекчиевые лавы, туфы; 5 – чередование кремнистых пелитовых туффитов и сплошных серно- и медноколчеданных руд; 6 – дацитовая толща; 7-8 – риодацитовая толща: 7 – окварцованные, серицитизированные и минерализованные пирокласты риолитового состава; 8 – туфы риодацитового состава с прослоями туффитов, кварцевые риолиты; 9 – переходный горизонт (переслаивание перемытых туфов с туфопесчаниками, туффитами, шлако-туфами базальтов, кремнями); 10-11 – базальтоидная толща: 10 – долериты, кварцевые долериты, габбродолериты; 11 – миндалекаменные и шлаковые лавы, лавобрекчии; туфы, туффиты пироксен-плагиопорфировых базальтов. *Сульфидная минерализация:* сплошные руды: 12 – серноколчеданные и бедные медноколчеданные; 13 – медноколчеданные и медно-цинковоколчеданные с повышенным содержанием меди и цинка; 14 – богатые медноколчеданные (включая борнитовые) и медно-цинковоколчеданные. *Прожилково-вкрапленная минерализация и продукты разрушения рудных тел:* 15 – медноколчеданная и медно-цинковоколчеданная кондиционная руда; 16 – прожилки и штокверки халькопирит-пиритового и халькопиритового состава, фиксирующие зоны переотложенного оруденения; 17 – горизонты и участки развития рудокластов сплошных серноколчеданных и бедных медноколчеданных руд. *Прочие обозначения:* 18 – сланцеватость; 19 – слоистость; 20 – синвулканические разрывные длительно развивающиеся нарушения; 21 – отвалы карьера

Вариант 15. Керченское месторождение железа



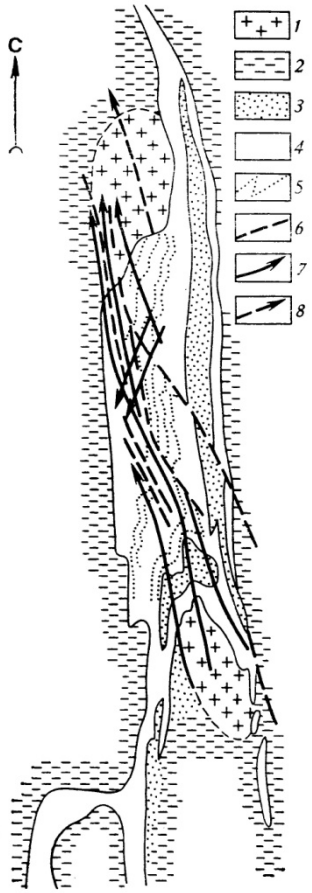
1 – глины и пески верхнекиммерийские; 2 – рудные слои; 3 – глины и известняки нижнекиммерийские; 4 – известняки, угли, пески понтические; 5 – глины, мергели, пески мэотиса; 6 – отложения сармата

Вариант 16. Золото-урановое месторождение Витваттерсранд



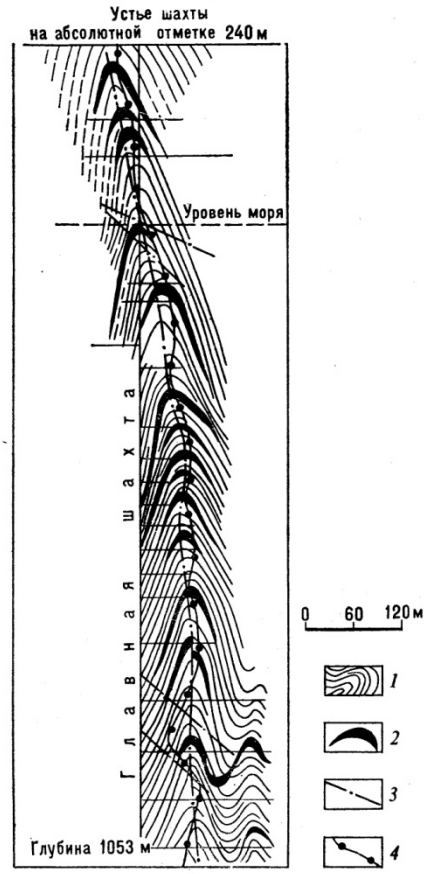
1 – древние граниты; 2 – кварциты; 3 – сланцы; 4 – смятые слои; 5 – мандельштейны; 6 – золотоносные конгломераты (рифы).

Вариант 17. Месторождение золота Колар



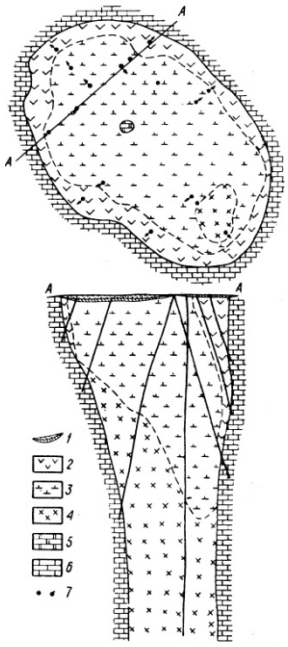
1 – граниты; 2 – гнейсы Пенинсула; 3 – гнейсы Чемпион; 4 – сланцевый пояс Колар; 5 – золотоносные залежи; 6 – разломы; 7 – оси кулисообразных наложенных

Вариант 18. Месторождение золота Бендиго



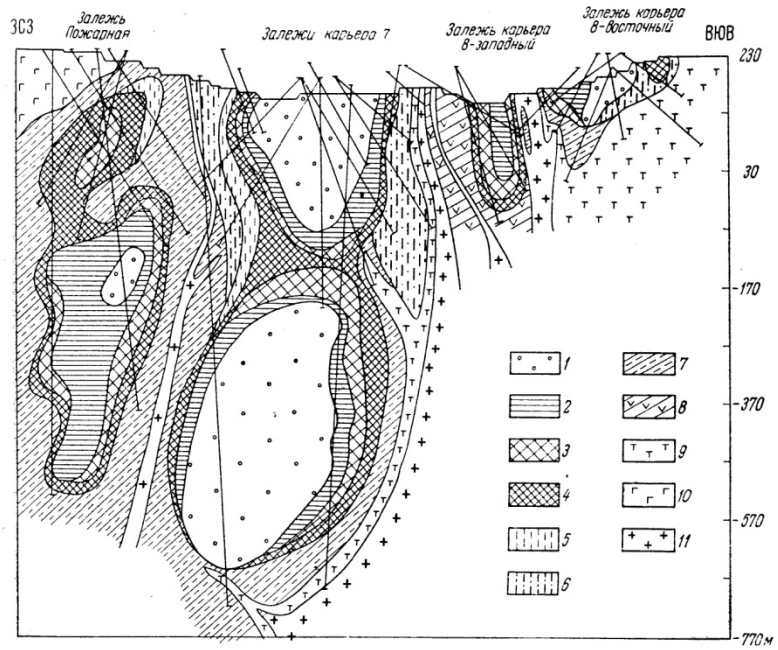
1 – сланцы и песчаники силурийского возраста; 2 – рудные тела; 3 – разрывные нарушения; 4 – дайки лампрофиров

Вариант 19. Месторождение алмазов Трубка Мир



1 – элювиально-делювиальный слой; 2 – измененный кимберлит желтого цвета; 3 – измененный кимберлит зеленого цвета; 4 – малоизмененный кимберлит зелено-черного цвета; 5 – крупный ксенолит («риф») карбонатных пород усть-кутской свиты; 6 – карбонатная порода усть-кутской свиты; 7 – буровые скважины.

Вариант 20. Баженовское месторождение асбеста



1 – перидотиты; 2 – перидотиты с отороченными жилами асбеста; 3 – перидотиты и серпентиниты с крупной сеткой жил асбеста; 4 – серпентиниты с мелкой сеткой жил асбеста; 5 – серпентиниты с мелкопрожилом; 6 – серпентиниты с просечками и единичными жилами асбеста; 7 – серпентиниты рассланцованные с асбестом; 8 – серпентиниты рассланцованные; 9 – оталькованные серпентиниты, тальковые, такльк-карбонатные, тальк-хлоритовые породы; 10 – габбро; 11 – дайки диоритов, диорит-аплитов, кварцевых порфиров, гранодиоритов.

Методические указания по выполнению контрольной работы прилагаются в виде отдельного документа.

Критерии оценивания: правильность определения структурных элементов 0-1 балл, геолого-структурных типов рудных тел – 0-2 балла, геолого-структурного типа рудного поля 0-5 баллов.

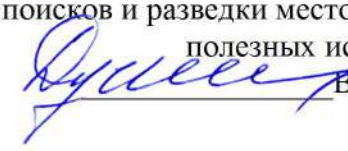
Критерии оценки:

оценка «зачтено» выставляется обучающемуся, если работа получает 3-5 баллов;

оценка «незачет» выставляется обучающемуся, если работа получает 0-2 балла.

Автор: _____ Никулина И. А., доцент, к.г.-м.н.

МИНОБРНАУКИ РФ
ФГБОУ ВО «Уральский государственный горный университет»

УТВЕРЖДАЮ
Заведующий кафедрой геологии,
поисков и разведки месторождений
полезных ископаемых

В.А.Душин

МЕТОДИЧЕСКИЕ УКАЗАНИЯ К САМОСТОЯТЕЛЬНОЙ РАБОТЕ СТУДЕНТОВ ПО ДИСЦИПЛИНЕ

Б1.В.ДВ.02.01 СТРУКТУРЫ РУДНЫХ ПОЛЕЙ

Специальность:
21.05.02 Прикладная геология

Специализация
Геологическая съемка, поиски и разведка месторождений твердых полезных ископаемых

форма обучения: очная, заочная

Автор: Никулина И. А.., доцент, к.г.-м.н.

Одобрены на заседании кафедры
Геологии, поисков и разведки МПИ
(название кафедры)
Протокол № 1 от 26.09.2023
(Дата)

Екатеринбург

СОДЕРЖАНИЕ

Тема	Название	Стр.
	Введение	3
1	Структурные элементы рудных полей	4
2	Геолого-структурные типы рудных тел	39
3	Геолого-структурные типы рудных полей	56
4	Методы структурных исследований рудных полей	89
	Заключение	100
	Библиографический список	101

Введение

Впервые курс «Структуры рудных полей и месторождений» начал читать в 1935 году на геологоразведочном факультете Ташкентского политехнического института А. В. Королев. В 1936 году конспект его лекций был отпечатан на стеклографе и стал первым учебным изданием по дисциплине. В конце 30-х годов курс преподавался А. В. Пэком на курсах повышения квалификации геологов. Отдельные разделы читались в МГРИ Е. Е. Захаровым на лекциях по полезным ископаемым и В. М. Крейтером в курсе методики поисков и разведки месторождений. С 40-х годов структуры рудных полей и месторождений преподавались Ф. И. Вольфсоном и П. Д. Яковлевым как часть учения о рудных месторождениях в Московском институте цветных металлов и золота. В МГУ, начиная с 50-х годов, курс вел Л. И. Лукин, затем Г. Ф. Яковлев, а позднее – В. И. Старостин. Сейчас «Структуры рудных полей» преподаются во всех геологических вузах.

Основные научные положения учения о структурах рудных полей начали формироваться задолго до его оформления в качестве самостоятельной геологической дисциплины, еще со времен М. В. Ломоносова. Первое теоретическое обобщение, как уже отмечалось, было сделано А. В. Королевым. В 1965 г. В. И. Смирновым и П. А. Шехтманом была развита и дополнена структурная классификация, разработанная А. В. Королевым. Значительный вклад в развитие дисциплины внесли также А. В. Пэк, А. Г. Бетехтин, В. М. Крейтер, Ф. И. Вольфсон, В. И. Смирнов, А. С. Великий, С. А. Вахромеев, В. А. Королев, Н. П. Лаверов, В. А. Невский и др.

В 1968-1979 гг. профессор П. А. Шехтман, ученик, соавтор и последователь А. В. Королева, возглавлял кафедру Геологии месторождений полезных ископаемых Свердловского горного института (с 2004 года – Уральский государственный горный университет). Он читал авторский курс «Структуры рудных полей», насыщенный примерами из своих исследований, в первую очередь, по среднеазиатским месторождениям. Позднее его сменила доцент З. И. Путилина, изучавшая структуры уральских месторождений. Материалы П. А. Шехтмана и З. И. Путилиной, дополненные данными собственных работ, легли в основу лекционных и лабораторных занятий по изучению структур рудных полей, которые автор ведет с небольшими перерывами с 1989 года.

Лекционный курс включает три следующих раздела:

1) структурные элементы рудных полей;
2) геолого-структурные типы рудных тел;
3) геолого-структурные типы рудных полей.

Лабораторный практикум предусматривает три расчетно-графические работы:

1) крупномасштабное количественное прогнозирование полезных ископаемых;
2) геометризация продуктивных структурных поверхностей;
3) анализ массовых замеров мелкой трещиноватости.

В теоретической части пособия приводятся контрольные вопросы по каждому разделу. В заключение представлен список учебной и научной литературы по тематике дисциплины. Методические указания по выполнению практических работ представлены отдельным файлом.

Тема 1. Структурные элементы рудных полей

Основные понятия и определения

Понятия «рудное поле» и «структура рудного поля» сформулированы П. А. Шехтманом следующим образом.

Рудное поле – это участок земной коры, заключающий рудные тела, созданные единым геологическим процессом и находящиеся в единой геотектонической позиции, определяющей комплекс вмещающих пород и тектоническую структуру рудного поля в пределах его естественных границ.

Из определения следует, что понятие «рудное поле» требует соблюдения четырех единств: 1) единство рудообразующего процесса, 2) единство геотектонической позиции, 3) единство комплекса вмещающих пород и 4) единство тектонической структуры. Если нарушено даже одно единство, мы получаем разные рудные поля и пытаемся установить общие закономерности размещения, что неизбежно приводит к ошибкам. Например, коренное месторождение и его зона окисления созданы разными процессами, и размещение первичных и окисленных руд контролируется разными факторами.

Важный момент определения – естественные границы рудного поля. При их отсутствии задача определения структуры значительно усложняется.

Структура рудного поля – это относительное расположение геологических тел и распределение тектонических полей.

Под геологическими телами понимаются стратифицированные толщи вмещающих пород, разломы, складки, вулканические структуры, геологические контакты, магматические образования и, естественно, тела полезных ископаемых, или ***рудные тела***. То есть под структурой рудного поля понимается не только тектоника, но и вся геологическая обстановка участка месторождения (месторождений). Все перечисленные виды геологических тел и являются ***элементами структуры рудного поля***.

Цель изучения структуры рудного поля – реконструкция геологической ситуации в момент рудоотложения. Практическая задача – составление геолого-прогнозных карт.

Рудоконтролирующие факторы

В основе анализа структуры рудного поля лежит выявление рудоконтролирующих факторов (РФ). По А. Шехтману***, рудоконтролирующие факторы – это геологические тела и явления, которые определяют возможность образования, закономерности размещения, а также форму, размеры и качество полезных ископаемых.***

Рудоконтролирующие факторы делятся по масштабу действия. Одни из них контролируют рудные тела, другие – рудные поля, третьи – рудные районы и т. д.

Рудоконтролирующие факторы различаются также по видам. Их можно объединить в три основные группы: 1) состав и свойства пород; 2) их тектонические деформации и 3) физико-химические условия процесса рудообразования. Все факторы тесно связаны между собой. Относительное значение их меняется для разных типов месторождений. Например, в осадочном рудообразовании главную роль играют состав и свойства пород, в гидротермальном – тектонические деформации, в магматическом – физико-химические условия.

Состав и свойства пород по отношению к процессу рудообразования рассматриваются в трех направлениях: 1) как среда, подвергающаяся тектоническим деформациям; 2) как источник рудного вещества; 3) как геологическая среда рудоотложения. В связи с этим выделяется пять естественных групп пород: 1) карбонатные; 2) сланцы; 3) песчаники и конгломераты; 4) вулканические и 5) плутонические. Породы разных групп резко различаются по отношению к деформациям, метаморфизму, рудообразованию.

Тектонические деформации определяют: 1) пути движения рудообразующих растворов и расплавов; 2) участки их разгрузки; 3) форму рудных тел. Тектонические нарушения формируют связные цепи проницаемых участков от источников растворов до земной поверхности. Именно связь с земной поверхностью создает разницу давлений, которая является главной движущей силой для перемещения восходящих растворов и расплавов. При пересечении и сопряжении разломов происходит взаимодействие разных потоков гидротермальных растворов, что нередко приводит к осаждению рудных минералов. Часто рудные тела локализуются непосредственно внутри разлома, и тогда их форма и распределение оруденения зависит от рельефа поверхности разлома.

Физико-химические факторы рудоотложения наименее изучены, особенно в той их части, которая протекает в недрах земли. Сюда относится изменение температуры, давления, состав и концентрация растворов и другие параметры.

Исходя из этих трех групп, построена систематика РФ. Выделяются литолого-петрографические, тектонические и физико-химические виды факторов, которые, в свою очередь, подразделяются на подвиды. Тектонические факторы включают разрывные, складчатые, вулкано-структурные; физико-химические объединяют магматические, метаморфические, метасоматические; литолого-петрографические содержат литологические, петрографические, стратиграфические. Кроме того, для осадочных месторождений учитываются палеогеографические и геоморфологические факторы.

Изучение рудоконтролирующих факторов и анализ структуры рудного поля служит основой для геологического прогнозирования. Современный уровень геологических знаний требует количественного подхода ко всем процедурам, то есть количественной оценки значимости РФ. Существуют разнообразные методы количественного прогнозирования, которые рассматриваются в специальных курсах.

Рудоконтролирующие факторы для разных генетических типов месторождений приводятся в таблицах 1.1-1.4.

Т а б л и ц а 1.1

Систематика рудоконтролирующих факторов магматических месторождений

Масштаб РФ	Виды РФ		
	Тектонические	Петрологические	Магматические
Рудные районы	Глубинные магмовыводящие структуры	Глубины становления интрузивов	Рудоматеринские комплексы главных фаз
Рудные поля	План интрарудных деформаций. Форма интрузива. Искривления и пересечения магмовыводящих разломов	Внутренние поверхности неоднородности интрузивных тел. Внутриинтрузивные обособления	Соотношения интрузивов с породами рамы
Рудные тела	Форма и элементы залегания рудоконтролирующей поверхности (выступы, выпуклости). Прототектоника	Экранирующие поверхности. Первично обогащенные горизонты. План-параллельные текстуры	Стратификация интрузивных тел

Т а б л и ц а 1.2

Систематика рудоконтролирующих факторов гидротермальных месторождений

Масштаб РФ	Виды РФ		
	Тектонические	Петрологические и петрографические	Магматические
Рудные районы	Глубинные долгоживущие разломы	Вулканические и вулкано-плутонические формации	Магматические тела разных формационных типов
Рудные поля	Структура рамы. Структура вулканических построек	Межформационная контрастность. Экраны разных типов	Дайковые серии

Рудные тела	Форма рудолокализующих поверхностей (интрузивных контактов, разломов)	Околорудные метасоматиты и ореолы гипогенного рассеяния рудообразующих компонентов. Экранирующие поверхности	

Таблица 1.3

Систематика рудоконтролирующих факторов амагматических месторождений

Масштаб РФ	Виды РФ			
	Складчатые	Разрывные	Петрологические	Магматические
Рудные районы	Поднятия	Разломы длительного развития	Рудоматеринские формации	Сквозные интрузивы. Шовные зоны
Рудные поля	Осевые части складок. Изгибы осей складок. Волнистость крыльев	Изгибы разломов. Сопряжения и оперения разломов. Блоковые структуры	Экранирующие свиты	Дайки
Рудные тела	Отслоения в контактах пород. Волнистость залегания пород	Трещиноватость. Массовое дробление. Форма поверхности разломов	Состав пород. Контрастные толщи	Контактные зоны. Форма поверхности контакта

Таблица 1.4

Систематика рудоконтролирующих факторов экзогенных месторождений

Масштаб РФ	Виды РФ		
	Тектонические	Литологические	Физико-химические
Рудные районы	Внутренние и краевые зоны прогибов. Платформы	Эпохи накопления продуктивных формаций. Палеогеографические особенности	Типы продуктивных накоплений. Метаморфизм
Рудные поля	Типы структур – складчатые, разрывные, платформенные	Распределение продуктивных свит. Фациальные комплексы	Геохимические барьеры и зоны разных типов
Рудные тела	Контрастность и типы движений	Типы продуктивных циклов. Текстуры пород	Зональность продуктивных накоплений

Свойства и деформации горных пород

Тектонические свойства

Физические и физико-механические свойства горных пород, определяющие их отношение к тектоническим деформациям, называются ***тектоническими свойствами***. Главными из них являются пластичность, хрупкость, прочность, анизотропность, пористость, проницаемость, компетентность.

Пластичность и хрупкость. Деформации горных пород, как и других твердых тел, могут быть упругими, пластичными и хрупкими (Рис. 1.1).

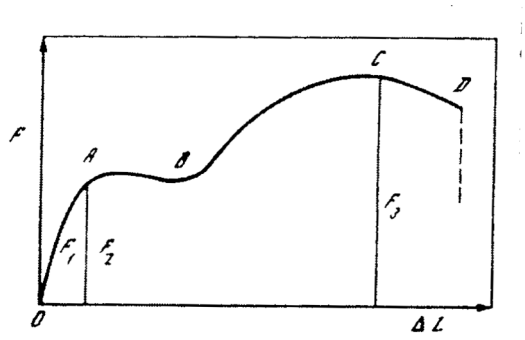


Рис. 1.1. Кривая деформаций [Старостин]: F – величина усилия; ΔL – приращение длины стержня; OA – упругая деформация (деформация прямо пропорциональна величине усилия); A – предел упругости (предел пропорциональности, отвечающий силе F_1); F_2 – усилие, отвечающее пределу упругости; AB – удлинение без изменения усилия («текучесть»); B – предел пластичности; C – предел прочности; F_3 – соответствующее ему усилие; D – разрыв образца

При *упругой деформации* внутренние связи в породе не нарушаются, после удаления напряжений она принимает первоначальную форму и объем. Если величина напряжения достигает предела упругости, происходит переход к пластической деформации. *Пластическая деформация* протекает с сохранением объема породы и без ее разрушения, за счет перестройки связей в кристаллической решетке минералов, взаимного скольжения минеральных
частиц. Она имеет необратимый характер, при снятии нагрузки сохраняется остаточная деформация. Геологическими проявлениями пластической деформации являются складчатость, кливаж, текстуры течения, будинаж. С нарастанием напряжения до величины предела пластичности наступает *хрупкая деформация*, сопровождающаяся нарушением сплошности горной породы за счет образования трещин. В результате хрупкой деформации образуются разрывы всех типов – сколы, отрывы, мелкая трещиноватость (Рис. 1.2).

Деформации горных пород отличаются от деформаций других твердых тел, так как они состоят обычно из разных минералов с разными свойствами. Поэтому, в целом, к пластичным относятся породы с широким интервалом между пределами упругости и пластичности, к хрупким – с узким интервалом. Пластичные породы способны испытывать длительную деформацию без разрушения, хрупкие – разрушаются почти сразу по достижении предела упругости или после незначительной пластической деформации.

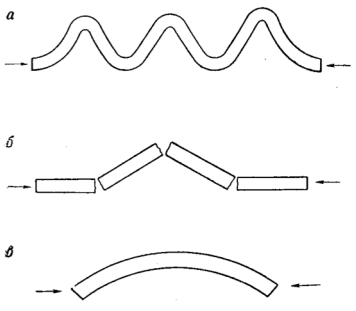


Рис. 1.2. Схемы деформации пластичного (*а*), хрупкого (*б*) и несущего (*в*) пластов, вызванной продольным изгибом. Разрезы [КШ]

Пластичность и хрупкость – противоположные, но и взаимосвязанные свойства, которые проявляются в полиминеральных породах одновременно. Для оценки пластичности-хрупкости используется полуколичественный показатель, который рассчитывается следующим образом. Главные породообразующие минералы можно расположить в ряд по понижению их хрупкости и повышению пластичности следующим образом: 1) кварц, 2) полевой шпат; 3) амфиболы, пироксены, оливин; 4) биотит, мусковит, серицит, карбонаты, 5) хлорит, тальк, каолинит.

Номера групп принимаются за показатель степени пластичности-хрупкости минералов. Содержание каждого минерала в породе умножается на этот номер; сумма произведений для породы в целом и является сравнительным показателем хрупкости-пластичности. Например, обычное габбро состоит из плагиоклаза и пироксена пример-

но в равных количествах. Следовательно, показатель пластичности-хрупкости (ПХ) габбро будет равен: ПХ=50·2+50·3=100+150=250.

Прочность горных пород – это их способность противостоять деформациям и передавать давление. Прочные породы отличаются высокими значениями пределов упругости и пластичности. Если соотношение упругости, пластичности и хрупкости выражаются формой кривой деформации, а прочность – ее высотой.

Физическая анизотропия. *Анизотропия* – различие свойств тела по разным направлениям. Физическая анизотропия горных пород выражается в том, что прочность пород в разных направлениях различна. В большинстве случаев анизотропия пород определяется слоистостью и сланцеватостью и особенно ярко проявляется в глинистых, серицитовых и хлоритовых сланцах. Проявлением анизотропии является ориентировка породообразующих минералов. Анизотропия усиливает пластичность и уменьшает хрупкость горных пород.

Пористость и проницаемость. *Проницаемостью* называется способность горных пород пропускать разные подвижные субстанции. Проницаемость горных пород определяется, в основном, эффективной *пористостью* и *трещиноватостью*. Пористость представляет собой отношение суммы объемов пор ко всему объему породы, выраженное в процентах. В гранитах, гнейсах пористость наименьшая и составляет сотые доли процента. Максимальная пористость отмечается в кавернозных известняках – десятки процентов. С уменьшением пористости увеличивается упругость и прочность пород.

Компетентность – специфическое свойство горных пород, отличающее их от всех других твердых тел и имеющее важное геологическое значение. Под компетентностью понимается способность горной породы испытывать хрупкую деформацию без разрушения за счет самозалечивания возникших трещин путем растворения и переотложения собственного минерального вещества. Наиболее ярко выраженной компетентностью обладают карбонатные породы. Компетентностью обусловлена способность карбонатных пород передавать одностороннее давление и выдерживать нагрузку, то есть их несущую способность.

Свойства породообразующих минералов

Свойства горных пород определяются, в первую очередь, их химическим и минеральным составом. От свойств породообразующих минералов и их взаимоотношений друг с другом, то есть структуры и текстуры, зависит поведение горных пород при деформациях и рудообразовании.

Кварц имеет высокую твердость и несовершенную спайность. Очень хрупкий, легко подвергается дроблению. В нем образуются извилистые трещины без закономерной ориентировки. В кислых растворах кварц нерастворим, а в щелочных сравнительно просто переходит в раствор. Поэтому в гидротермальных условиях кварц легко замещается пиритом и другими сульфидами. Химическая активность у кварца ниже, чем у полевых шпатов. Залечивание повреждений кварцевых зерен гидротермальными растворами происходит путем надстройки прежней решетки, и поэтому залеченные швы могут не выделяться на общем фоне кристалла.

Полевые шпаты имеют твердость ниже, чем у кварца, и хорошую спайность. Они достаточно хрупкие, легко подвергаются разрывам и сколам, но возникающие в них трещины чаще всего подчиняются направлениям спайности. Полевые шпаты могут разлагаться как в щелочных, так и в кислых растворах. Под воздействием эндогенных растворов плагиоклазы обычно подвергаются разложению раньше, чем калиевые полевые шпаты.

Пироксены хрупкие и обладают твердостью, меньшей, чем твердость полевых шпатов. Спайность совершенная. Возникающие при деформациях трещины сочетаются с плоскостями спайности. В условиях глубинных рудообразующих процессов и при

действии поверхностных вод пироксены разлагаются и замещаются раньше, чем полевые шпаты.

Амфиболы имеют твердость почти такую же, как и пироксены; спайность их также совершенная. Хрупкость меньше, чем у пироксенов. Химическая активность такая же, что и у пироксенов. Они подвергаются разложению и замещению раньше, чем полевые шпаты.

Слюды имеют низкую до средней твердость и весьма совершенную спайность. По спайности легко происходит скольжение, поэтому минерал обладает повышенной пластичностью, и в нем почти не встречаются трещины в направлении, перпендикулярном спайности. Химическая активность у слюд ниже, чем у полевых шпатов; у биотита она выше, чем у мусковита. В условиях действия глубинных растворов биотит легко замещается хлоритом или мусковитом, иногда пиритом или рутилом. Мусковит является относительно стойким минералом. В поверхностных условиях происходит главным образом гидратация слюд.

Карбонаты среди прочих минералов ведут себя своеобразно. Твердость их средняя, спайность весьма совершенная. Под давлением карбонаты могут вести себя и как хрупкие, и как пластичные кристаллы. Способность к химическим реакциям у карбонатов резко повышена по сравнению со всеми другими породообразующими минералами; они легко растворимы как в кислых, так и в щелочных растворах. Возникающие в них трещины быстро залечиваются собственным веществом, и кристаллы деформируются, не теряя своей сплошности. В глубинных условиях карбонаты особенно легко замещаются различными силикатами, кварцем и сульфидами.

Хлориты обладают низкой твердостью и весьма совершенной спайностью. По плоскостям спайности очень легко происходит скольжение, поэтому минерал обладает высокой пластичностью. Она еще более высока у ***талька***, сходного с хлоритом по физическим свойствам. Листочки у талька еще легче подвергаются изгибу, а твердость его еще ниже. При перекристаллизации под давлением кристаллические индивиды хлоритов, подобно слюдам, располагаются перпендикулярно давлению и обусловливают сланцеватость породы. В условиях действия гидротермальных растворов хлориты легко замещаются кварцем и сульфидами, особенно пиритом.

Серпентин в антигоритовой разновидности весьма сходен с хлоритом; хризотиловая разновидность имеет волокнистый характер; скольжение вдоль волокон придает хризотилу высокую пластичность и способность к изгибу. Вследствие этого серпентиниты, хрупкие на поверхности, в условиях глубин земной коры склонны к пластическим деформациям. В массе породы они слабо проницаемы для растворов. В отношении химических свойств и поведения при взаимодействии с растворами серпентин очень сходен с хлоритом, легко замещается тальком, особенно в зонах рассланцевания, и карбонатами.

Каолинит и другие минералы его группы отличаются очень низкой твердостью, весьма совершенной спайностью и часто дисперсностью. Для его агрегата характерна очень высокая пластичность и способность к набуханию, создающая водоупорность. Химическая активность слабая, в поверхностных условиях каолиниты весьма устойчивы к воздействию кислых растворов. В глубинных и поверхностных условиях каолинит замещает полевые шпаты, однако сам с большим трудом замещается другими минералами.

Структуры и ***текстуры*** горных пород также существенно влияют на их свойства. В общем случае, очень тонкозернистые, плотные, стекловатые породы при тектонических деформациях способны только к образованию трещин. В крупнозернистых породах часто развиваются межзерновые и внутризерновые деформации. Ориентированные текстуры – слоистая, сланцеватая, гнейсовая и др. всегда повышают пластичность и снижают хрупкость пород.

Группировка горных пород по тектоническим свойствам

Карбонатные породы – известняки, доломиты и их метаморфические производные образуют мощные толщи, рифы, пласты. Минеральный состав – кальцит, доломит. Текстуры массивные, слоистые. Пористость у известняков 15-20 %, у доломитов до 30 %. Прочность на разрыв в среднем 50 кг/см^2, на сжатие в среднем 1000 кг/см^2. При сжатии упрочняются; характерна текучесть, трансляция по спайности. Пластичность-хрупкость зависит от текстуры. Тонкослоистые известняки проявляют текучесть, характерна гофрировка; грубослоистые дают изгибание слоев с трещинами. Массивные мраморы – хрупкие. Анизотропия зависит от слоистости; обычно небольшая. Характерна высокая компетентность, прочное залечивание трещин. Типичны обособленные деформации отдельных пластов, складки с течением слоев. Разломы образуются сложной формы, маломощные, залеченные. Для известняков типична высокая растворимость, замещение, метасоматоз, осаждение рудных элементов. Типичные изменения – скарны, доломиты, мраморы. Характерны руды свинца, цинка, железа, вольфрама, ртути, сурьмы (особенно в контактовых частях).

Сланцы также слагают мощные толщи. Минеральный состав силикатный, текстура сланцеватая. Пористость сланцев низкая. Прочность на разрыв 160-300, на сжатие 600-1000 кг/см^2. Характерно значительное упрочнение, трансляция по спайности, текучесть. Сланцы высокопластичны, образуют изоклинальные складки, микрогофрировку. Анизотропия очень высокая; компетентность отсутствует. Типичные деформации – складки с гофрировкой нескольких порядков, изоклинали, кливаж. Разломы в сланцах быстро угасают; проявляются только те разломы, смещение по которым больше мощности сланцевой толщи. В химическом отношении сланцы инертны. Обладают водоупорными и экранирующими свойствами. При изменении образуются роговики. Иногда сланцы обогащены ураном, ванадием, оловом, медью, барием, стронцием, золотом и др.

Песчано-конгломератовые породы обычно образуют линзы разных размеров или мощные толщи. Имеют силикатный состав, слоистые текстуры, высокую пористость. Прочность зависит от цемента и составляет от 6 до 80 кг/см^2 на разрыв, от 300 до 2000, а в среднем 750 кг/см^2 - на сжатие. Пластичность и хрупкость зависят от цемента. Анизотропия обычно высокая. Компетентность также зависит от цемента, но трещины сохраняются. Для песчаников и конгломератов характерны простые складки с сопряженными разломами, крупные сложные разломы и трещины, зоны дробления. Химическая активность избирательная, зависит от состава. Из изменений чаще всего отмечаются роговики, сланцы, скарны. Из рудных элементов типичны медь, золото, олово.

Вулканические породы – лавы, туфы, туфолавы образуют стратифицированные потоки и покровы, языки, линзы, купола разных размеров. Состав их силикатный, от кислых до основных. Структуры обычно порфировые, стекловатые, текстуры – массивные, флюидальные. Пористость разная, от 0,4 до 2 %. Распространена мелкая трещиноватость. Прочность зависит от состава базиса и равна в среднем 60 кг/см^2 на разрыв и 1700-4500 кг/см^2 – на сжатие. Вулканиты отличаются повышенной жесткостью и хрупкостью. Анизотропия обычно существенная, компетентность низкая. Из складчатых структур возможны только широкие складки, складки облекания, горсты и грабены. Характерны многочисленные разрывные нарушения разного масштаба. Химическая активность вулканических пород растет в направлении от кислых к основным. Они благоприятны для замещения и отложения рудных минералов, особенно при повышенной щелочности. Из изменений распространены роговики, сланцы, из полезных ископаемых – разнообразные халькофилы.

Плутонические породы слагают массивы, штоки, дайки и др. тела. Состав также силикатный, от кислых до ультраосновных. Структуры зернистые, текстуры массивные, слабополосчатые. Пористость низкая, в среднем меньше 1 %. Характерна трещиноватость. Прочность на разрыв колеблется от 50 до 100 кг/см^2, на сжатие – от 1000 до

4000, в среднем 1500 кг/см^2. Плутониты, как правило, квазиизотропны, некомпетентны. Типичные деформации – разрывные; характерны также крупные, хорошо раскрытые разломы. Изменения разнообразны и зависят от состава исходных пород: для гранитов – альбититы, грейзены, березиты, для основных пород – амфиболиты, лиственитты, для ультраосновных – серпентиниты. Минерализация, связанная с плутонитами, также определяется их составом; чаще это литофилы.

Деформации горных пород

Деформации горных пород происходят под действием тектонических сил, направленных как по вертикали, так и по горизонтали. Тектонические силы порождают два типа напряжений: ***растяжение и сжатие***, которые проявляются одновременно в разных участках земной коры и последовательно сменяют друг друга в пределах одного участка. Деформация сжатия сопровождается, как правило, поднятием, а растяжения – опусканием.

Процессы деформаций в природных условиях крайне сложны и зависят от многих факторов. Поэтому при рассмотрении модели тектонических деформаций нужно принять ряд ограничений. Широко распространено использование в качестве модели так называемого эллипсоида деформации. Ниже рассматривается ***модель куба деформаций*** (Рис. 1.3 КШ 6), которая мало отличается по своей сути от эллипсоида, но более наглядна.

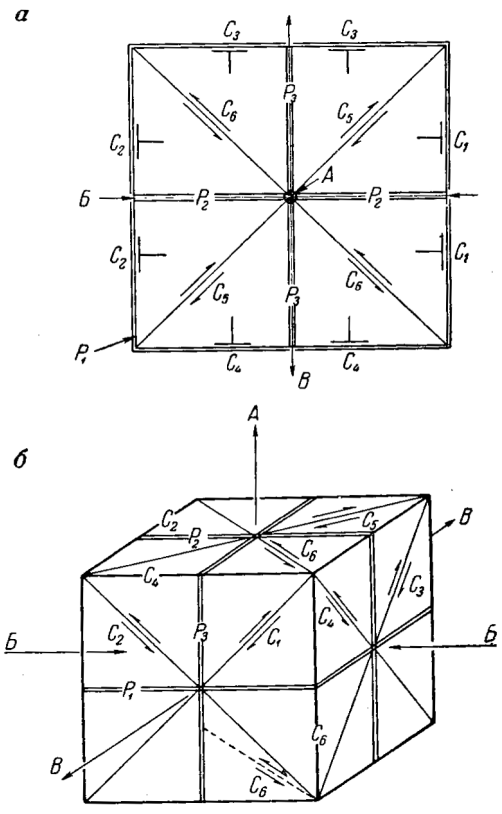


Рис. 1.3. Основные плоскости деформаций: *а* – в плане; *б* – в пространстве [КШ]. Плоскости: C_1 и C_2 – взброса; C_3 и C_4 – сброса и взброса; C_5 и C_6 – сдвига; P_1 – горизонтального отрыва; P_2 – отрыва; P_3 – сжатия

Рассмотрим элементарный объем горной породы в виде куба, расположенный в недрах земли, и проанализируем деформации, возникающие в нем. Примем следующие ограничения: 1) куб испытывает только одноосное горизонтальное сжатие (в то время как в природе, как правило, одновременно проявляются разнонаправленные движения – горизонтальные и вертикальные, с одной стороны, а также сжатие или растяжение по нескольким осям, с другой стороны); 2) будем говорить о деформациях, созданных данным тектоническим напряжением, не учитывая предыдущих; 3) предположим, что деформации носят хрупкий характер, хотя на глубине при высоком давлении даже хрупкие породы проявляют пластичность; 4) пренебрегая гравитационными силами, будем считать, что высвобождение горных пород будет направлено главным образом к по- верхности земли, то есть вверх. Таким образом, мы рассмотрим *фрагмент тектонической истории элементарного объема горной породы, ограниченный как во времени, так и в пространстве.*

Оси деформаций расположатся в кубе следующим образом: ось сжатия Б – горизонтально, ось растяжения В – перпендикулярно к ней и также горизонтально, ось высвобождения А – вертикально вверх, перпендикулярно осям Б и В.

Теоретическими и экспериментальными данными установлено, что в напряженном блоке пород имеется 9 поверхностей наиболее вероятного направления перемещения материала: горизонтальная P_1 и вертикальная P_2 плоскости отрывов, вертикальная плоскость сплющивания P_3, наклонные параллельные оси В плоскости взбросов C_1 и C_2, наклонные параллельные оси Б плоскости взбросов C_3 и C_4 , вертикальные диагональные плоскости сдвигов C_5 и C_6.

В реальных геологических условиях развивается несколько из рассмотренных направлений или даже одно из них. Проявление всех 9 направлений маловероятно. Возникающие деформации определяются, в первую очередь, особенностями среды. В случае изотропной (квазиизотропной) среды происходят преимущественно хрупкие деформации, использующие все 9 направлений. Анизотропная геологическая среда характеризуется развитием преимущественно пластических деформаций. При этом ось горизонтального сжатия Б будет перпендикулярна оси складки. Горизонтальная плоскость отрыва P_1 выявится в приоткрываниях отслоений в осевых частях складок. Вертикальные поперечные отрывы, обычно пересекающие складки, соответствуют плоскостям P_2. В связи с растяжением пород в осевой части складки вдоль оси возникают трещины отрыва P_3. Наклонные плоскости C_1 и C_2 отвечают положению крыльев складок и направлениям межпластовых скольжений, а также надвиговым перемещениям крыльев. Наклонные плоскости C_3 и C_4 реализуются в волнообразных изгибах оси складки в вертикальном направлении (ундуляции). Вертикальные косые сдвиги и раздвиги соответствуют плоскостям C_5 и C_6.

В региональном масштабе системы C_1 и C_2 будут отвечать преобладающему направлению геологических контактов, ориентировки магматических тел, осей складок, разломов. Этим же системам соответствует расположение плоскости рассланцевания.

Модель куба деформаций наглядно демонстрирует и пластические деформации. В нормальной складке (Рис. 1.4 а, б) горизонтальная ось растяжения В располагается вдоль оси складки, ось сжатия Б перпендикулярно ей и также горизонтально, а ось высвобождения А направлена вертикально вверх. Тогда система пологих отрывов P_1 соответствует отслоениям в сводах антиклиналей и синклиналей, вертикальные отрывы P_2 образуют поперечные относительно оси складчатости разломы, а P_3 – продольные. Системам сбросов и взбросов C_1 и C_2 отвечают крылья складок, C_3 и C_4 – ундуляция (волнистость) шарнира, а системы крутопадающих сдвигов C_5 и C_6 образуют диагональные относительно оси складки разрывные нарушения.

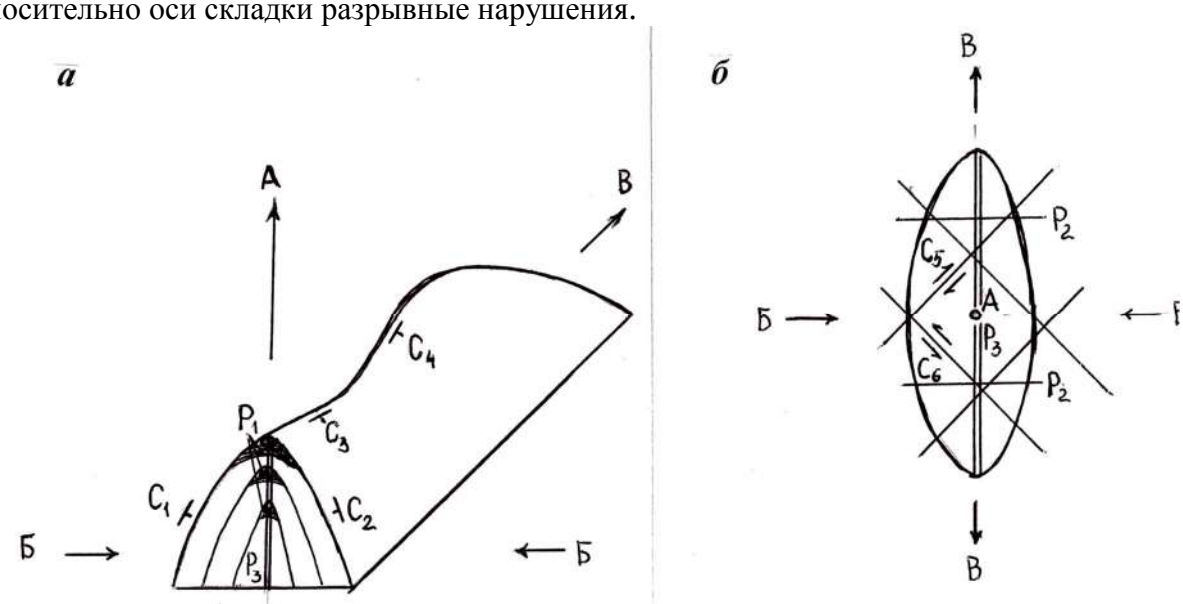


Рис. 1.4. Положение куба деформаций в складчатых структурах: *а* – в разрезе, *б* – в плане

Разломы и трещины

Генетические типы разломов

Разломы и трещины являются результатом хрупких деформаций пород, происходящих при сжатии, растяжении и сдвиге. Среди них различают два главных генетических типа – отрывы и сколы (Р и С в кубе деформаций). ***Отрывы*** образуются при нормальных (перпендикулярных) растягивающих напряжениях, ***сколы*** – при касательных сжимающих. Как правило, при скалывании образуются две системы сопряженных трещин (C_1 и C_2, C_3 и C_4, C_5 и C_6). Угол между ними зависит от физико-механических свойств пород. В идеально хрупких породах он равен 90° (Рис. 1.5 а), в идеально пластичных – хрупкие деформации проявляются в виде трещин сплющивания ($C_1+C_2=P_3$), то есть угол между системами C_1 и C_2 равен 0° (Рис. 1.5 б). В реальных условиях угол скалывания изменяется от 0 до 90°.

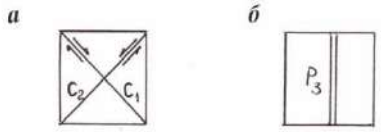


Рис. 1.5. Ориентировка сопряженных трещин в идеально хрупких (а) и в идеально пластичных (б) породах

При анализе мелкой трещиноватости, когда трещины доступны непосредственному наблюдению, можно увидеть раз-личия в характере трещин отрыва и скола.

Сколы обычно прямолинейные, их стенки ровные, гладкие, они пересекают породу независимо от особенностей строения. Например, в конгломерате скол пройдет напрямую через гальки и цемент без искривления (Рис. 1.6 ВЯ 6). По трещинам скола обычно происходят перемещения. Они имеют большую протяженность и часто сопровождаются оперяющими трещинами. В момент образования они закрыты, притерты, оруденение в них более позднее.

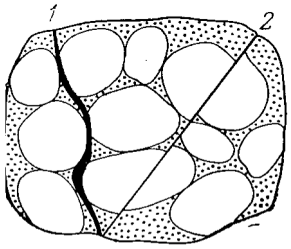


Рис. 1.6. Трещины отрыва (1) и скалывания (2) в конгломератах

Отрывы, как правило, извилистые, волнистые. Стенки их неровные, рваные. Их элементы залегания сильно зависят от строения пород. В конгломерате они пройдут по цементу, огибая гальки. При переходе из одной породы в другую они меняют простирание или совсем затухают. По простиранию и падению трещины отрыва быстро выклиниваются, вдоль них не наблюдается перемещений. В момент образования они открыты, поэтому к ним часто бывают приурочены дайки магматических пород и реже рудные тела. Количественно трещины скалывания превосходят трещины отрыва.

Кроме того, выделяется специфический тип разломов – ***кольцевые***. В плане они образуют кольца, полукольца, дуги и часто сопровождаются радиальными разрывами. В разрезе они могут быть цилиндрическими или коническими. Цилиндрические нарушения имеют вертикальное или близкое к нему падение. Конические разломы чаще всего падают к центру кольцевых структур – *центриклинальные* и редко – от центра – *периклинальные*. Образование кольцевых разрывов связано с процессами магматизма – с вулканическими жерлами, кальдерами, трубками взрыва, штокообразными интрузивами. По механизму образования они могут быть и отрывами, и сколами. С ними часто связаны разные вулканогенные месторождения, а с кимберлитовыми трубками – алмазы. Алмазоносными считаются также крупные кольцевые структуры спорного происхождения – *астроблемы*.

Масштаб разломов

Масштаб разломов выражается через их порядок. В общем случае разломы первого порядка разделяют разные структурные этажи, второго – структурные ярусы, третье-

го – формационные комплексы, четвертого – геологические формации, пятого – фации, шестого – горные породы, седьмого – более мелкие разломы и трещины. Эта группировка отражает амплитуду смещения по разломам. Разломы I-II порядка ограничивают рудные или металлогенические области, III – рудные районы, IV – рудные поля, V и VI – рудные тела, VII – природные типы руд, рудные гнезда.

Возраст разломов

Возраст разломов, как известно, определяют по наиболее молодым из пересекаемых комплексов пород (нижняя возрастная граница) и наиболее древним из перекрывающих пород (верхняя возрастная граница), а для магмовыводящих разломов по возрасту контролируемых магматических тел.

Наиболее крупные глубинные разломы обычно бывают долгоживущими и магмовыводящими. Они подновляются с возобновлением тектонической активности; новые тектонические деформации «наследуют» уже существующие направления и имеют длительную историю развития.

По отношению к оруденению разломы делятся на дорудные, внутрирудные и послерудные. Дорудные могут быть рудообразующими или рудораспределяющими структурами, внутрирудные – рудолокализующими. Послерудные разрывы пересекают рудные тела, усложняют их форму, разделяют их на отдельные блоки и смещают их относительно друг друга.

Физическое выражение разломов

В земной коре разломы проявляются как зоны интенсивно деформированных и раздробленных пород с повышенной параллельно ориентированной трещиноватостью, рассланцеванием, брекчированием, милонитами, тектонической глинкой и зеркалами скольжения, а также поясами параллельных даек.

Окончание разломов

Все разломы по характеру их окончания разделяются на неограниченные, полуограниченные и ограниченные (Рис. 1.7).

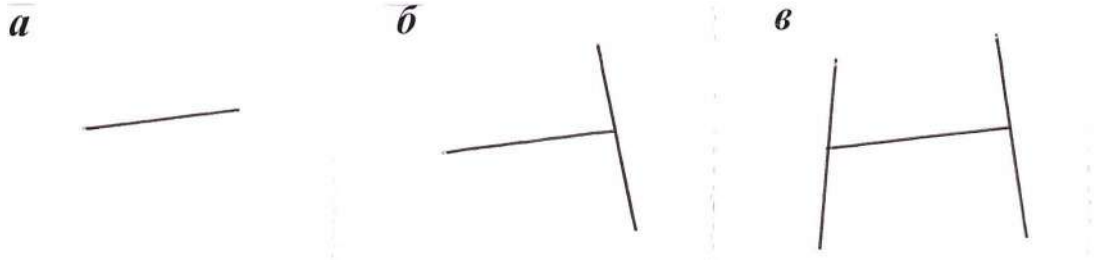


Рис. 1.7. Виды разломов по характеру окончания:
а – неограниченные, б – полуограниченные и в – ограниченные

Неограниченные разломы свободно затухают в результате постепенного уменьшения величины смещения под влиянием смены пород или ослабления усилий. *Ограниченные* разломы с обеих сторон упираются в другие разломы (или контакты), поэтому величина смещения по ним не затухает. *Полуограниченные* разломы затухают в одном направлении и блокированы в другом.

Распределение смещений вдоль разломов

Разрывные нарушения не бесконечны. Они затухают в относительно более пластичных породах или упираются в более крупные разрывы, массивы прочных пород и др. Во всех случаях в конце разрыва перемещения нет. Если по разрыву имеется перемещение, то его должны компенсировать внутренние деформации в блоках пород, разделенных разрывом. Пусть разрыв АБ (Рис. 1.8 а КШ 39), затухающий в пластах 1 и 5,

имеет наибольшее смещение в средней части; его горизонтальная составляющая видна

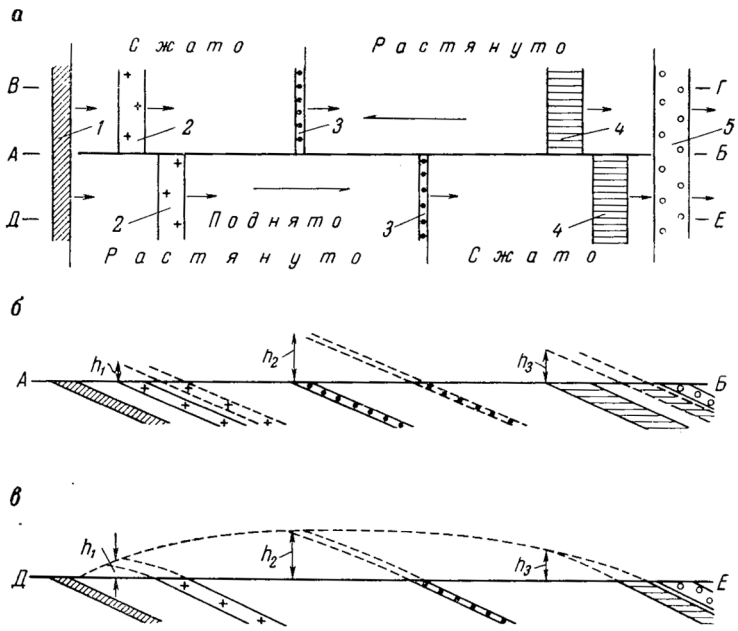


Рис. 1.8. Деформация разрыва со взбросо-сдвиговым перемещением [Кор., Ш.]:
а – план разрыва; пласты 1 и 5 не перемещены; *б* – совмещенный разрез по АБ; пунктиром указаны пласты поднятого блока ДЕ; *в* – деформация поднятого блока. Разрез

по смещению пласта 3, а вертикальная достигает величины h (Рис. 1.8 б, в КШ 39). Для образования этого смещения в блоках боковых пород должны возникнуть деформации сжатия и растяжения, как это показано на рисунке. Одновременно блок висячего бока должен дугообразно изогнуться вверх и растянуться, а другой блок – отклониться вниз и сжаться.

Направление смещений по разломам

Движение горных пород вдоль разрывных нарушений происходит как в горизонтальной плоскости, то есть в плане, так и в вертикальной, в разрезе.

Перемещение в горизонтальном направлении называется сдвигом. Различают правые и левые сдвиги. При *правом сдвиге* блоки смещаемых пород движутся по часовой стрелке (Рис. 1.9 а), при *левом сдвиге* – против (Рис. 1.9 б).

Смещения в вертикальной плоскости носят названия взбросов и сбросов, в зависимости от положения горных пород, слагающих висячий бок разлома или трещины. Если висячий бок опущен, нарушение является *сбросом* (Рис. 1.9 в), если поднят – *взбросом* (Рис. 1.9 г). Пологие взбросы с углами падения менее 30^o называются *надвигами* или шарьяжами.

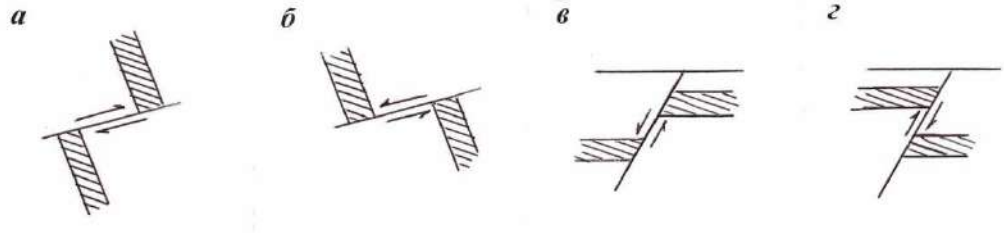


Рис. 1.9. Кинематические типы разломов: *а* – правый сдвиг; *б* – левый сдвиг; *в* – сброс; *г* – взброс

Как правило, смещения по разломам имеют косой характер, то есть включают и горизонтальную, и вертикальную составляющую. В соответствии с направлением сме-

щения в плане и разрезе выделяют правые или левые сдвиго-сбросы и сдвиго-взбросы. Применяется также определение сбросо-сдвиг и взбросо-сдвиг.

Оперяющие разломы и трещины

Оперяющие разломы и трещины сопровождают большинство сколовых нарушений. Они часто являются рудолокализующими и вмещают рудные столбы – наиболее богатые части рудных тел. Поэтому важно знать расположение оперяющих нарушений.

При сдвиге (Рис. 1.10 ВЯ 18) образуются две системы сколов – одна параллельная основному сдвигу, другая под тупым углом к направлению движения и одна система отрывов под острым углом к направлению смещения.

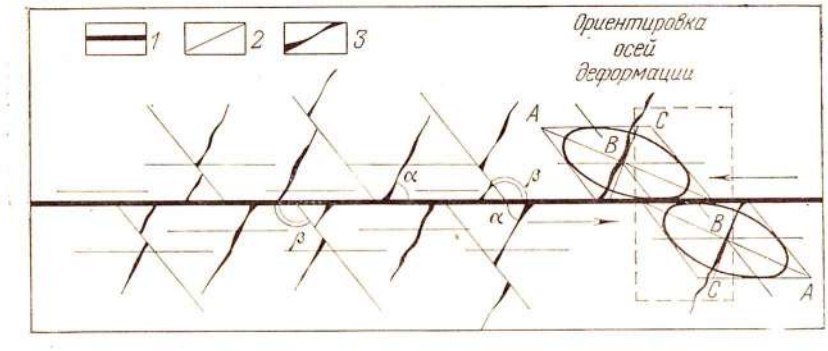


Рис. 1.10. Схема формирования боковых трещин, оперяющих сдвиг [ВЯ]:
1 – главное разрывное нарушение; оперяющие трещины: 2 – скалывания, 3 – отрыва. A, B, C – главные оси деформации; α – острый угол, образованный оперяющими трещинами отрыва со сместителем в двигавшемся блоке; β – тупой угол, образованный оперяющими трещинами скалывания со сместителем в двигавшемся блоке. Стрелками показано направление перемещения блоков пород, пунктирной линией – кубические блоки породы до деформации

При сбросе (Рис. 1.11 ВЯ 19) образуются две системы оперяющих трещин – отрывы и сколы, обе параллельные основному нарушению по простиранию, но отрывы более крутые, а сколы более пологие. При взбросе (Рис. 1.12 ВЯ 20), наоборот, отрывы будут пологие, а сколы крутые.

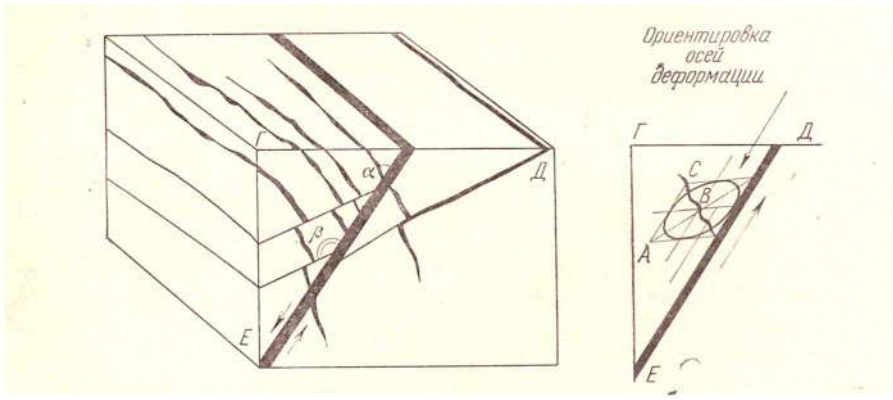


Рис. 1.11. Схема формирования боковых трещин, оперяющих сброс [ВЯ]
Обозначения см. на рис. 1.10

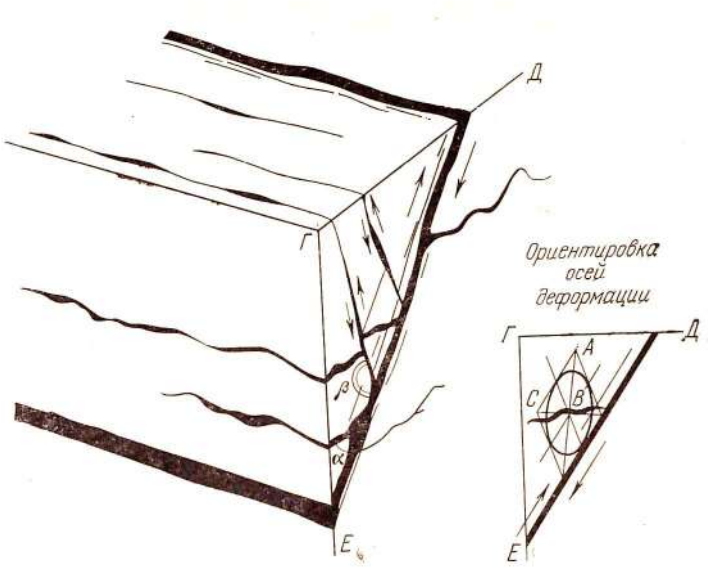


Рис. 1.12. Схема формирования боковых трещин, оперяющих взброс [ВЯ]
Обозначения см. на рис. 1.10

При косых смещениях – сбросо-сдвигах или взбросо-сдвигах оперяющие трещины имеют более сложную ориентировку (Рис. 1.13 ВЯ 21). В этих случаях в перемещавшемся висячем боку нарушения трещины отрыва образуют с главным сместителем как в плане, так и в разрезе острый угол, ориентированный вершиной в сторону движения. Сгущение оперяющих трещин обычно наблюдается в растянутых участках разломов, в зажатых их единицы.

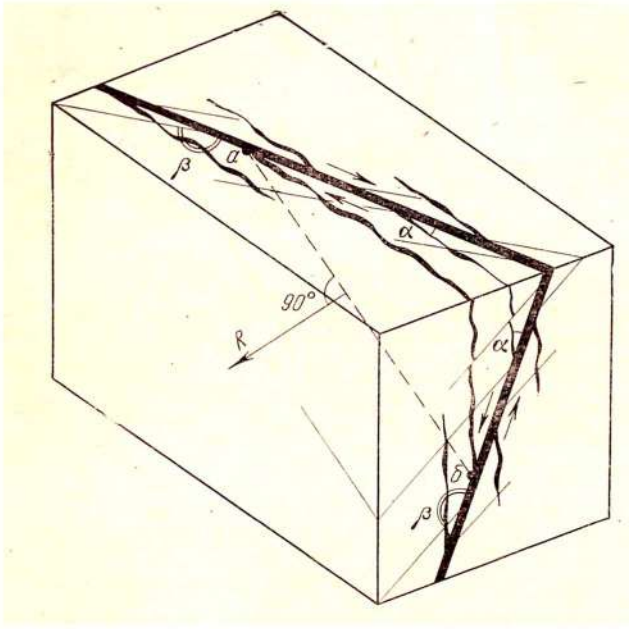


Рис. 1.13. Схема формирования боковых трещин, оперяющих сбросо-сдвиг [ВЯ]:
R – направление перемещения висячего бока сбросо-сдвига, перпендикулярное к линии сопряжения (*аб*) оперяющей трещины отрыва со сместителем. Остальные обозначения см. на рис. 1.10

Преломление разломов

При переходе из одних пород в другие, поверхности разломов преломляются, то есть изменяют свое залегание. Это объясняется различием физико-механических свойств пород, а именно разной величиной угла скалывания в породах и разными свойствами. В массивных изотропных породах разлом стремится пройти вкрест простирания, в пластичных анизотропных средах он будет отклоняться, приближаясь к простиранию пород (Рис. 1.14 *а* КШ 38).

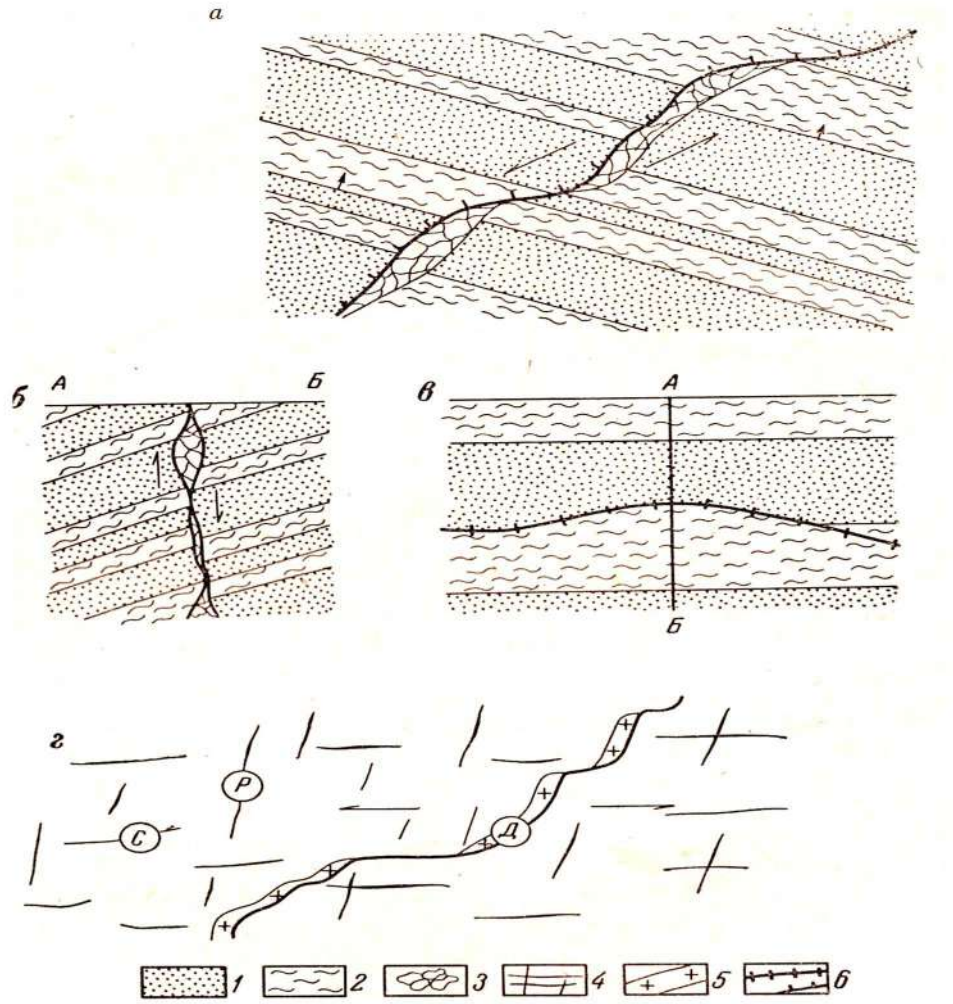


Рис. 1.14. Волнистость поверхностей разломов [КШ]:
а – крутопадающая волнистость в разломе среди анизотропных пород (план); *б* – волнистость продольного разлома в свите наклоннопадающих пластов (разрез); *в* – то же, в плане; *г* – волнистость разлома среди интрузивных пород; *1* – хрупкий пласт; *2* – пластичный пласт; *3* – брекчии; *4* – трещиноватость гранитоидов; *5* – дайка; *6* – трещины

Волнистость разломов

Поверхность разломов всегда волниста. Это доказано экспериментальными работами в лабораториях оптического моделирования В. В. Белоусова и М. В. Гзовского. Волнистость разломов заложена в самом механизме их образования и существует даже в самой изотропной среде. Волнистость возникает путем соединения кулисообразно расположенных коротких трещин. Одной из причин волнистости является также преломление разломов при пе реходе из одной породы в другую. Отмечаются следующие самые простые закономерности пересечения горных пород трещиной или разломом: 1) в породах прочных и хрупких трещины отклоняются в сторону нормали к наслоению; 2) в породах пластичных и слоистых трещины отклоняются в сторону напластования и слоистости; 3) в интрузивных породах трещины косого направления приспосабливаются к трещинам прототектоники (Рис. 1.14 *б, в, г* КШ 38).

Различают два морфологических типа рельефа разломов и трещин – гофрированные и коробленые поверхности. У гофрированных поверхностей имеется одна система волн с параллельными осями. В таких разломах при рудоотложении образуются рудные столбы, параллельные между собой и выдержанные на глубину. Коробленые поверхности образуются при наличии двух систем волн, оси которых пересекаются под прямым или острым углом. В этом случае распределение оруденения носит более сложный характер. Рудные тела приобретают форму рудных дисков и линз.

Гофрированные поверхности образуются только в весьма изотропной среде и встречаются значительно реже короблены х. Чем больше анизотропия пород, тем сложнее коробленая поверхность и распределение оруденения.

Изучение рельефа поверхности разломов усложняется еще и тем, что волнистость всегда имеет несколько порядков. Перегибы поверхности принято называть ребрами, а расположенные между ними относительно ровные участки – гранями. Смещение по разломам приводит к тому, что одни грани оказываются зажатыми, а другие – приоткрытыми и доступными для рудообразующих растворов или расплавов.

Приоткрывание граней разломов

Приоткрывание граней зависит от положения грани относительно направления смещения (Рис. 1.15 КШ 40). В зависимости от этого положения выделяется 5 групп граней:

1) сжатые – расположены нормально против направления смещения (движение невозможно, породы расплющиваются);

2) несущие – расположены косо навстречу направлению смещения (движение вдоль граней при сильном сжатии);

3) скользящие – движение скользящее (вдоль граней без сдавливания и приоткрывания);

4) приоткрытые – расположены косо по направлению движения (косо растянутые);

5) открытые – расположенные нормально по направлению смещения (полностью растянутые).

В целом, грани, находящиеся под давлением, характеризуются неровностями, бороздами скольжения, дроблением и истиранием выполнения, глинкой трения. Разгруженные грани отличаются повышенной трещиноватостью, развитием брекчий, тектонитами вдавленных пластических пород.

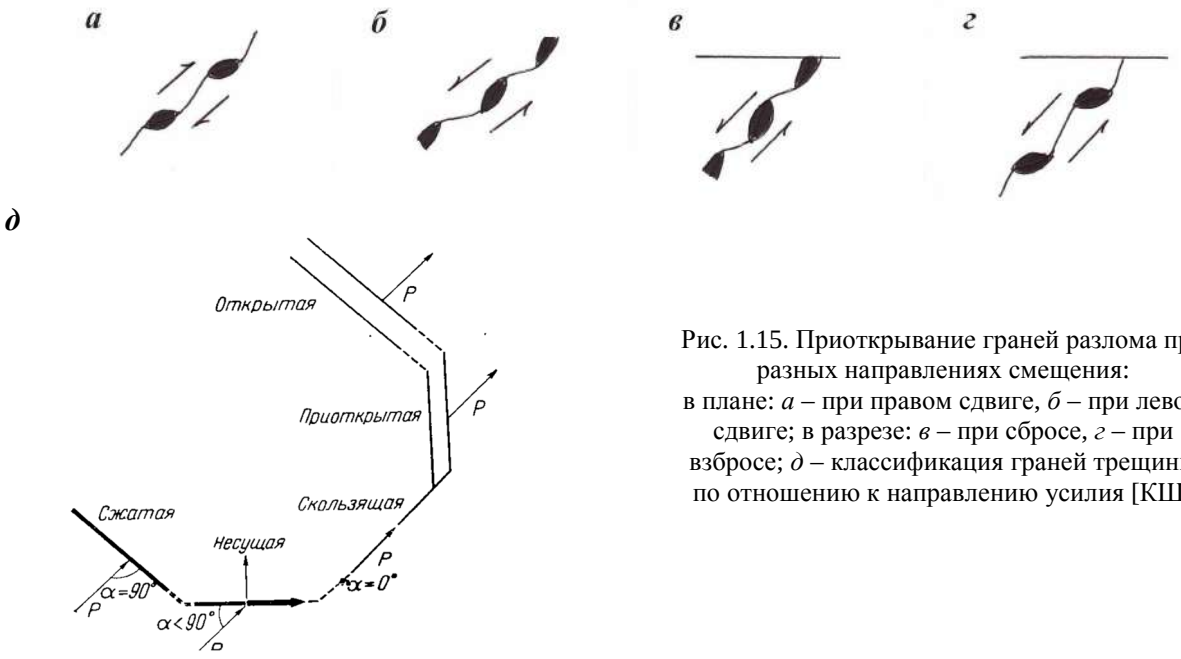


Рис. 1.15. Приоткрывание граней разлома при разных направлениях смещения: в плане: *а* – при правом сдвиге, *б* – при левом сдвиге; в разрезе: *в* – при сбросе, *г* – при взбросе; *д* – классификация граней трещины по отношению к направлению усилия [КШ]

Расположение приоткрытых граней в зависимости от кинематики разлома демонстрирует табл. 1.5.

Т а б л и ц а 1.5

Распределение приоткрываний в зависимости от направления смещения

Деформации	Правый сдвиг (по часовой стрелке)	Левый сдвиг (против часовой стрелки)
Взброс	На более пологих гранях, отклоняющихся к меридиану	На более пологих гранях, отклоняющихся к широте
Сброс	На более крутых гранях, отклоняющихся к широте	На более крутых гранях, отклоняющихся к меридиану

Таким образом, правило приоткрывания разломов можно сформулировать следующим образом: при взбросах приоткрываются более пологие участки, при сбросах – более крутые, при правых сдвигах – участки, отклоняющиеся вправо, при левых сдвигах – влево.

Рудоносные складчатые структуры

Генезис складок

Складки – результат пластических деформаций, протекающих в анизотропной среде в результате изгиба. Ярко выраженную анизотропию проявляют слоистые и сланцеватые осадочные и метаморфические породы.

В структурной геологии среди складок по генезису выделяются следующие разновидности: складки изгиба, складки скалывания, складки течения и диапировые складки. Основное значение для размещения оруденения имеют складки изгиба. Особый интерес представляют пустоты и трещины, возникающие в процессе складкообразования.

В складчатых деформациях, как уже говорилось, пластичные, хрупкие и несущие породы проявляют себя по-разному (см. рис. 1.2). Пластичные породы при изгибе испытывают течение без разрывов сплошности. Хрупкие подвергаются изгибу с нарушением сплошности трещинами. Несущие породы образуют своды без разрывов сплошности вследствие залечивания. Таким образом, складки в породах, обладающих разными свойствами, будут иметь свой характерный облик.

Складки в жестких породах

В хрупких и несущих породах при продольном изгибе в одной плоскости образуется концентрический тип складок, не сопровождающийся изменением мощности слоев (Рис. 1.16 КШ 23). Отдельные слои при этом скользят друг по другу. В верхней части каждого пласта появляется зона растяжения, в нижней – зона сжатия. Зоны разделяются нейтральным участком. В целом антиклинальная часть растянута, а синклинальная зажата. В результате в концентрических складках возникает 3 типа трещин: 1) трещины скольжения по наслоению, более всего развитые в крыльях складок – C_3 и C_4; 2) трещины растяжения при изгибе, располагающиеся на выпуклой стороне изгиба пласта вблизи осевых частей складок – P_3; 3) поперечные трещины отрыва, представляющие собой результат высвобождения напряжений по простиранию – P_2. При воздымании и погружении шарнира возникает растяжение и сжатие складок по простиранию, что приводит к формированию систем C_1, C_2 и C_5, C_6.

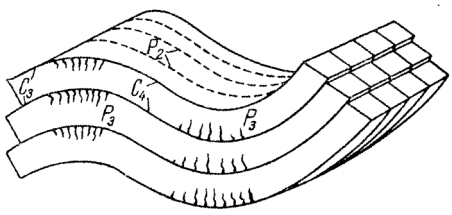


Рис. 1.16. Системы трещин, возникающие в концентрических складках жестких пластов [КШ]

При поперечном изгибе все слои находятся в растянутом состоянии. Зоны сжатия отсутствуют, для антиклиналей можно различать лишь более растянутые (верхние) и менее растянутые (нижние) зоны слоев. В этих условиях развиваются системы C_3 и C_4 со сбросовыми перемещениями по ним.

Складки в пластичных породах

При продольном изгибе возникают подобные складки (Рис. 1.17 КШ 24). В них происходит течение материала из сжатых крыльев в осевые части, разгруженные от бокового давления. Обычно в этих условиях развивается кливаж, ориентированный параллельно осевой плоскости складки. Благоприятных позиций для локализации оруденения здесь нет, однако пластичные породы могут быть экранами над более перспективными породами.

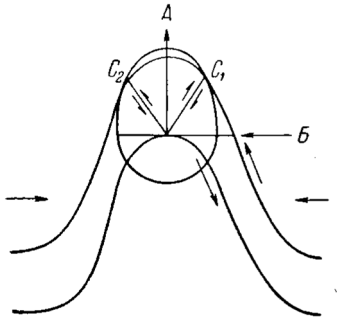


Рис. 1.17. «Подобные» складки, возникающие при продольном изгибе в пластичных породах. Разрез [КШ]

При поперечном изгибе (Рис. 1.18 КШ 26) образуются складки поднятия с уменьшением мощности пластов в сводах антиклиналей. Здесь тоже благоприятных условий для локализации оруденения нет.

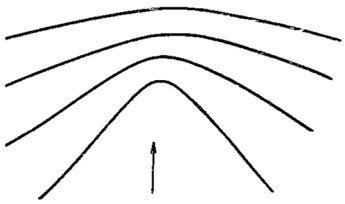


Рис. 1.18. Складка поднятия в пластичных породах с уменьшением мощности в осевой части. Разрез [КШ]

Складки в разнородных пластах

Складки в разнородных пластах имеют наибольшее значение для рудообразования. Хрупкость, пластичность и несущая способность пластов играют важнейшую роль в распределении деформаций, пустот и трещин в складках.

Разнородные пласты могут находиться в разных сочетаниях.

1. Несущий пласт залегает между двумя хрупкими (Рис. 1.19 КШ 27). Несущий пласт изгибается сильнее, он отслаивается от хрупких пластов с образованием седло-

видных пустот в антиклинали и корытовидных в синклинали. При этом в хрупком пласте в зоне отслоения развивается усиленное дробление. Синклинали для развития отслоений и дробления менее благоприятны.

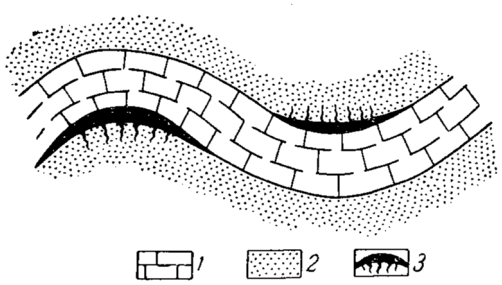


Рис. 1.19. Распределение пустот и трещин (3) при совместном изгибе несущего пласта (1), залегающего между двумя хрупкими (2). Разрез [КШ]

2. Сочетание несущего пласта с пластичными неблагоприятно для размещения оруденения, так как пластичные породы заполняют пустоты отслоений и в этих породах не происходит дробления. Отслоения в этом случае могут возникать лишь при малых радиусах складок (Бендиго, Австралия – седловидные жилы, Рис. 1.20 КШ 54 Ст. 5.26).

3. Хрупкий пласт, залегая между двумя пластичными (Рис. 1.21 КШ 28), подвергается массовому дроблению на растянутых частях изгибов (тела вкрапленных руд киновари в песчаниках Никитовки, Рис. 1.22 Ст. 5.24).

Практически пласт изгибается не изолированно, а совместно с вмещающими его породами. При таком совместном продольном изгибе двух пластов с разными свойствами возникают отслоения в виде седловидных пустот и трещин растяжения при изгибе, показанные на рис. 1.23 КШ 32.

Системы из пластичной и хрупкой пород (Рис. 1.23 а, б КШ 32) дают возможность развиваться трещинам растяжения на выпуклой стороне изгибов хрупкого пласта. В случае, когда пластичная порода представляет кровлю хрупкого пласта (Рис. 1.23 а КШ 32), происходит разрыв и дробление хрупкой породы с развитием трещин отрыва в своде антиклинали, без существенного отслоения пластов. Если же пластичный пласт подстилает хрупкую породу (Рис. 1.23 б КШ 32), происходит дробление хрупкой породы взамке синклинали, также почти без отслоения пластов. Однако возможности развития оруденения во втором случае менее благоприятны, чем в первом, вследствие затрудненности доступа в синклиналь восходящих растворов.

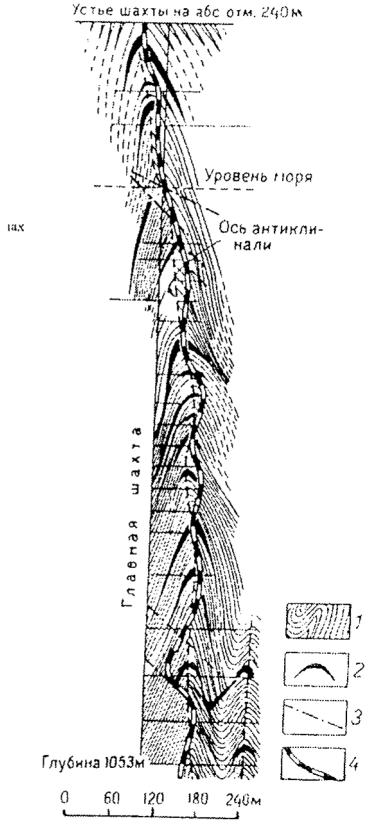


Рис. 1.20. Многоэтажные седловидные золото-кварцевые жилы на месторождении Бендиго, Австралия (по У. Стоуну)

При этом экранирующая роль пластичных пород имеет отрицательное значение. При достаточной крутизне складок и высокой хрупкости пород возможно проявление более сложного, главным образом трещинного, массового дробления в сводах антиклиналей, с рассеянным оруденением. Примером могут служить некоторые рудные тела Никитовского месторождения в Донбассе, размещенные в хрупких песчаниках и кварцитах (Рис. 1.23 Ст. 5.24). При сочетании пластичных и несущих пластов (Рис. 1.23 в, г КШ 32) трещины растяжения развиваются в несущем пласте.

Если пластичная порода служит кровлей несущего пласта (Рис. 1.23 в КШ 32), то при смятии она образует узкие крутые складки, а пласт с несущими свойствами – пологие широкие изгибы. Эти соотношения по-разному проявляются в антиклинали и синклинали. В антиклинали, в условиях растяжения верхней части несущего пласта, пластичные породы как бы обтягивают прочное ядро, вследствие чего отслоения невозможны.

В синклинали, в условиях сжатия приконтактовой части несущего пласта, возможно возникновение отслоений. Однако под воздействием нагрузки вышележащих пород это отслоение может оказаться закрытым. В антиклинальном изгибе несущего пласта возникают трещины растяжения и отрыва, которые легко залечиваются. Но при наличии движений во время рудообразования эти трещины могут обновляться и залечиваться рудным материалом.

В случае, когда несущие породы образуют кровлю пластичных пород (Рис. 1.23 г КШ 32) в антиклинали под сводом первых происходит разгрузка пластичных пород от напряжений с образованием седловидных отслоений, которые иногда заполняются рудами. В синклинали несущего пласта образуются трещины отрыва, однако возможности заполнения их рудным материалом при отрицательном экранировании ограничены.

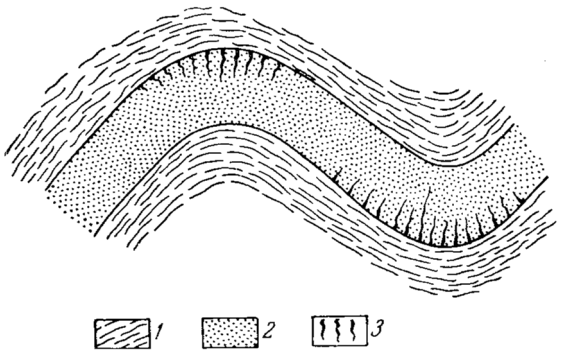


Рис. 1.21. Распределение трещин (3) при совместном изгибе хрупкого пласта (2), залегающего между пластичными (1). Разрез [КШ]

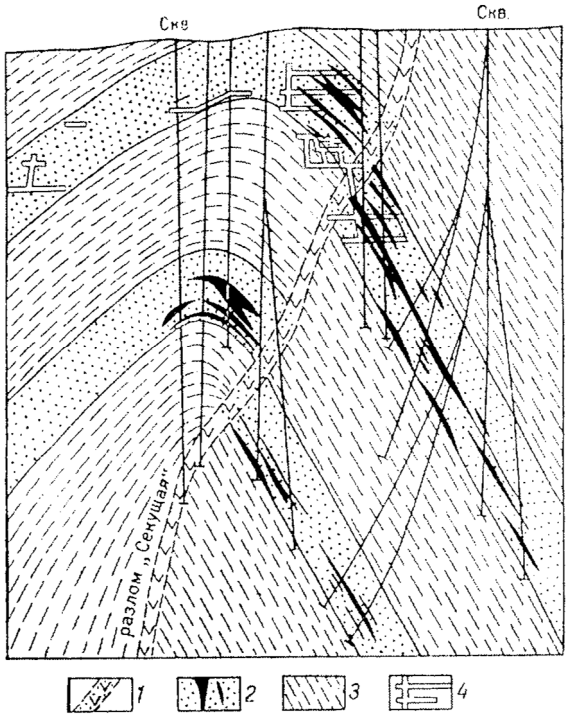


Рис. 1.22. Пластовые залежи киновари в горизонтах песчаников Никитовского месторождения в Донбассе (по А. Добрянскому): 1 – зона брекчирования разлома «Секущая»; 2 – оруденение в песчаниках; 3 – безрудные сланцы; 4 – подземные горные выработки

Последние два случая (Рис. 1.23 д, е КШ 32) представляют собой системы из хрупкого и несущего пластов, которые при прочих равных условиях более других благоприятны для размещения оруденения. Если хрупкий пласт подстилается несущим (Рис. 1.23 д КШ 32), то в антиклиналях подошва хрупкого пласта находится в сжатом состоянии, а кровля несущего – в растянутом. Это обусловливает возникновение в несущем пласте трещин отрыва, которые могут залечиваться рудным материалом. В синклиналях, вследствие растяжения подошвы хрупкого пласта, происходит его отслоение с возникновением седловидных полостей; одновременно образуются трещины отрыва в хрупком пласте. Это самый благоприятный случай для накопления продуктов оруденения в синклинальных участках.

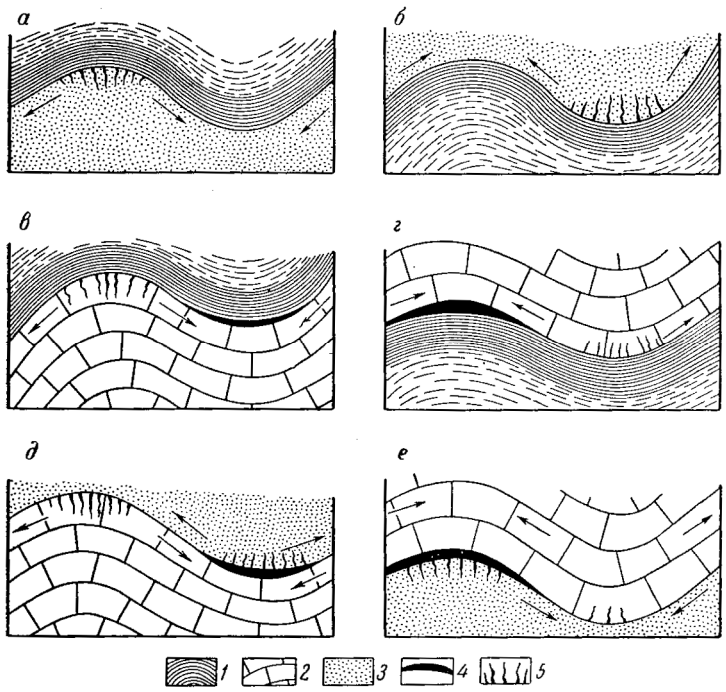


Рис. 1.23. Результаты изгибания разных (*а – е*) систем двух разнородных пластов [КШ]:

1 – пластичные; 2 – несущие; 3 – хрупкие; 4 – пустоты; 5 – трещины

Если же несущий пласт подстилается хрупким (Рис. 1.23 е КШ 32), в антиклиналях образуются седловидные отслоения между пластами и одновременно нарушается сплошность хрупкого пласта трещинами отрыва, а в синклиналях происходит некоторое нарушение трещинами отрыва несущего пласта. Возможности накопления руд здесь ограничены.

Таким образом, благоприятными для оруденения могут быть сводовые части не только антиклиналей, но и синклиналей.

В целом, для рудообразования наиболее благоприятны сочетания разнородных пластов, подвергающихся неоднородным деформациям. Однообразные толщи значительно менее восприимчивы к рудообразованию, даже если по составу они и благоприятны для оруденения.

Рудоносные плутонические тела

С интрузивными телами связаны многие месторождения разных генетических типов. Класс эндогенных месторождений иначе называют *магматогенным*, что говорит о генетическом единстве с магмой и ее производными. Экзогенные и метаморфогенные месторождения тоже нередко также приурочены к магматитам. В коре выветривания плутонитов разного состава образуются остаточные месторождения: каолин – по гранитоидам, бокситы – по основным породам, силикатный никель – по гипербазитам. Месторождения асбеста формируются при метаморфизме ультраосновных пород.

По роли в рудообразовании и размещении оруденения плутонические тела можно разделить на 3 большие группы: 1) ультраосновные, основные и щелочные массивы, к которым приурочены так называемые внутриинтрузивные рудные поля; 2) массивы гранитоидов с минерализованными приконтактовыми частями; 3) рудоносные малые интрузии и дайки разного состава.

Массивы ультраосновных и основных пород

Массивы первой группы, вмещающие ***внутримагматические*** рудные поля, в свою очередь, включают 3 типа.

1. *Гигантские расслоенные тела* платформенных щитов. С ними связаны месторождения хромита, титаномагнетита и ликвационные медно-никелевые руды (собственно магматическая группа – раннемагматический, позднемагматический и ликвационный классы). Сюда относятся такие известные тела, как Бушвельдский лополит в ЮАР (Рис. 1.24), массив Садбери в Канаде, Великая Дайка в Зимбабве. Руды в них полностью контролируются стратификацией и приурочены к определенным комплексам пород. Так, в Бушвельдском лополите многочисленные хромитовые тела связаны исключительно с пироксенитами. Таким образом, главным рудоконтролирующим фактором для этих месторождений является петрографический состав пород. Кроме того, важное значение в контроле оруденения имеют элементы прототектоники: а) для раннемагматических месторождений – ранние или кристаллизационные, представляющие собой прототектонику жидкой фазы (тонкая расслоенность, план-параллельные текстуры и др.); б) для позднемагматических месторождений характерны также поздние протоинтрузивные структуры – прототектоника твердой фазы (пологие псевдопластовые, крутые секущие и др. трещины); в) на медно-никелевых ликвационных месторождениях прототектонические структуры сочетаются с тектоническими нарушениями – трещинами, разломами, зонами дробления и др.

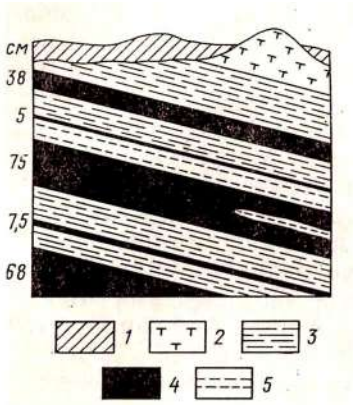


Рис. 1.24. Пластовые залежи хромитов в Бушвельдском комплексе в Южной Африке (по В. Купфербюргеру):
1 – четвертичные отложения; 2 – анортозиты; 3 – диаллаговые габбро; 4 – хромиты; 5 – бронзито-диаллаговые породы

2. *Пояса альпинотипных гипербазитов* складчатых областей, в том числе Урала. Эти тела участвуют в складчатых деформациях вмещающих пород, их форма обусловлена складчатостью. По современным представлениям, это тектонические пластины. Массивы имеют субмеридиональное простирание и образуют субмеридионально вытянутые пояса (уральское направление). Размеры их несопоставимы с платформенными гигантами, а масштаб оруденения прямо зависит от размеров тел. Здесь также наблюдается четкий петрографический контроль. Так, хромитоносные массивы сложены дунит-гарцбургитовой формацией; хромитовые тела приурочены к дунитовым полосам в гарцбургитах. В этих телах размещение рудных тел в большей степени контролируется конфигурацией контактов и разрывной тектоникой. Так, контуры рудных залежей Талнахского месторождения и его аналогов в общем совпадают с очертаниями интрузивных тел (Рис. 1.25 П 31). На Кемпирсайском массиве кровля осложнена сводовыми поднятиями и депрессиями между ними. Рудные залежи приурочены к сводам. При этом Главное рудное поле, наиболее богатое, находится в Юго-Восточном своде, где массив достигает максимального размера – 30-32 км в ширину. Геофизическими исследованиями здесь установлена мощная корневая часть массива, которая представляет собой магмоподводящий канал – глубинный разлом.

3. *Кольцевые магматические комплексы*. Как правило, кольцевые магматические тела сопряжены с кольцевыми разломами и сопровождаются концентрическими и радиальными дайками. Наибольший интерес из кольцевых магматических тел представляют массивы щелочных пород – нефелиновых сиенитов, которые встречаются обычно в жестких стабильных блоках древних пород: на древних щитах (Хибинский, Ловозерский массивы на Кольском п-ве), в срединных массивах (Ильменогорский, Вишневогорский массивы на Урале).

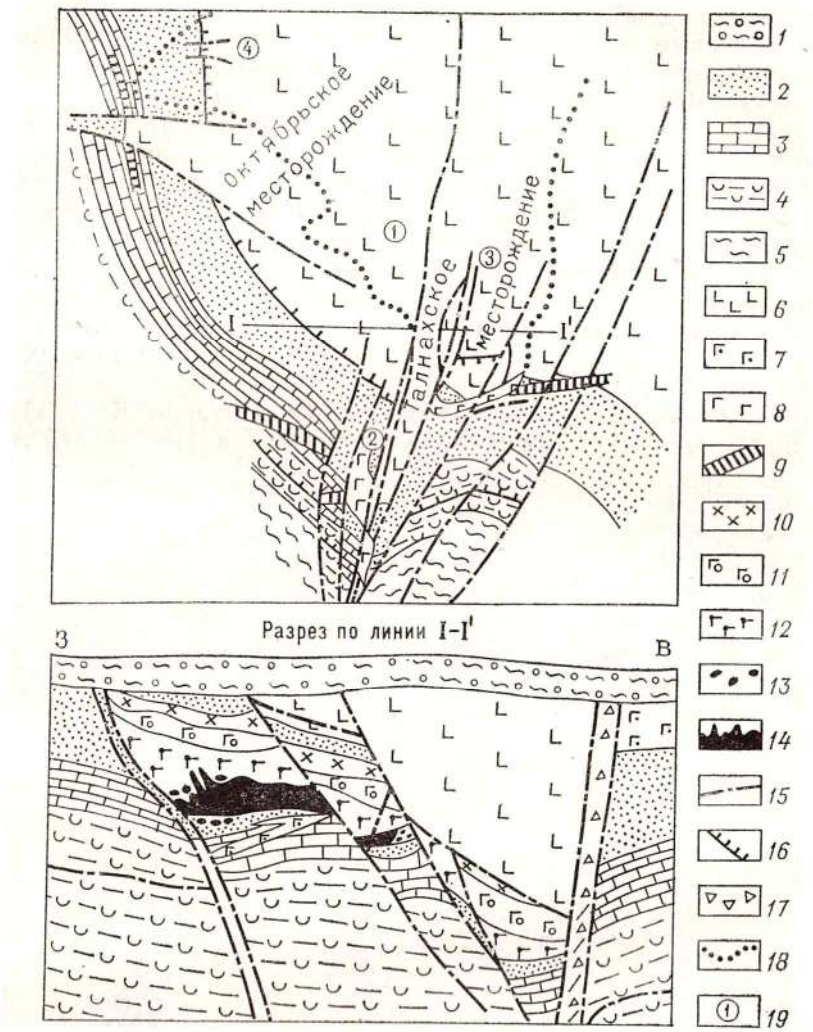


Рис. 1.25. Схематический план Талнахского рудного поля и разрез юго-западной части Талнахского месторождения (по В. Ф. Кравцову и А. В. Тарасову):
1 – четвертичные отложения; 2 – угленосные отложения P-C; 3 – карбонатная толща D_3; 4 – ангидрит-мергелистая толща D_2; 5 – карбонатно-глинистая толща D_1; 6 – туфолавовая толща P-T; 7 – долериты и микродолериты; 8 – выходы рудоносной талнахской интрузии под четвертичные отложения; 9 – пластообразные апофизы Талнахской интрузии; 10 – метадиориты, габбро; 11 – оливиновые габбро-долериты; 12 – рудоносные габбродолериты; 13 – вкрапленные богатые руды; 14 – массивные руды; 15 – разрывные нарушения;16 – пологие разрывные нарушения; 17 – тектонические брекчии; 18 – границы Талнахской интрузии; 19 – ветви Талнахской интрузии: 1 – северо-западная, 2 – юго-западная, 2– северо-восточная, 4 – Хараелахская

Практическое значение имеют сопряженные с нефелиновым сиенитами специфические горные породы – карбонатиты, несущие редкие и радиоактивные металлы, а также медь, железо и др. Карбонатитовых месторождений в мире немного – около 300, это достаточно экзотические объекты, крайне интересные в геологическом отношении. Так, Ловозерский массив (Рис. 1.26 Лаверов 81) сложен ультраосновными щелочными породами – уртитами, ийолитами, луявритами, малиньитами и т. п. и интенсивно стратифицирован. Карбонатиты залегают в центральной части массива в виде штокообразного тела. Рудные тела сложены минералом лопаритом ((Ca,U,Th,TR)(Ti,Ta,Nb)O_3) и залегают исключительно в малиньитах.

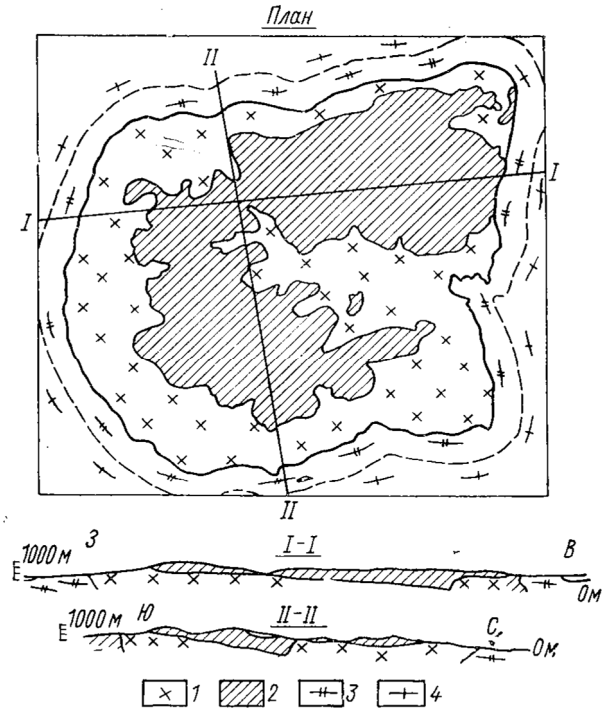


Рис. 1.26. Геологическое строение массива редкометальных нефелиновых сиенитов (по Власову К. А. и др.): 1 – дифференцированный комплекс нефелиновых сиенитов; 2 – эвдиалитовые лувритыв и эвдиалититы; 3 – фениты; 4 – гнейсы и гранитогнейсы

В Хибинском массиве рудные тела приурочены к более поздним полукольцевым разрывным нарушениям.

Рудоконтролирующую роль для карбонатитовых месторождений играет как стратификация интрузива, так и разрывные нарушения и трещинная тектоника.

Гранитоидные тела

В отличие от рассмотренных выше ультраосновных, основных и щелочных магматических тел, гранитоидные массивы никогда не образуют внутриинтрузивных рудных залежей. В этой группе выделяются две подгруппы рудоносных структур: 1) апикальные и надапикальные части; 2) контактовые зоны гранитных массивов.

К апикальным областям приурочены, в первую очередь, так называемые апогранитные месторождения, включающие рудоносные альбититы и грейзены. Альбититы образуются в результате натриевого метасоматоза и несут Th, TR, Ta, Li, и др. Грейзены – продукт калиевого метасоматоза, с ними сопряжены Sn, W, Mo, Be. Альбититы локализуются исключительно в апикальной части массивов и контролируются конфигурацией интрузивного контакта. Грейзены залегают как в эндо-, так и в экзоконтактах тела, образуя жилообразные тела в трещинных структурах. Структурно-морфологические типы грейзеновых месторождений показаны на рис. 1.27 (ВЯ 29).

Ведущий тип месторождений в контактовых зонах гранитоидов – скарновый, или контактово-метасоматический. Широко распространены скарновые залежи железных, медных, полиметаллических и вольфрам-молибденовых руд. Главный фактор контроля скарновых залежей – конфигурация контактов, волнистость которые аналогична волнистости разломов и определяет размещение рудных тел (Рис. 1.28 Р 3.24).

Малые интрузии и дайки

С комплексами малых интрузий и даек ассоциируют многочисленные гидротермальные месторождения цветных, редких и благородных металлов. Приурочены они к крупным глубинным разломам с весьма длительной и сложной историей формирования. Внедрение малых интрузивов и даек, как правило, многофазное. В узлах пересечения, сопряжения или разветвления разломов концентрация магматических образований максимальна. Здесь же локализуется и оруденение (жилы, прожилковые зоны, што-

кверки и другие формы рудных тел). Малые интрузии, дайки и гидротермальное оруденение связаны парагенетически.

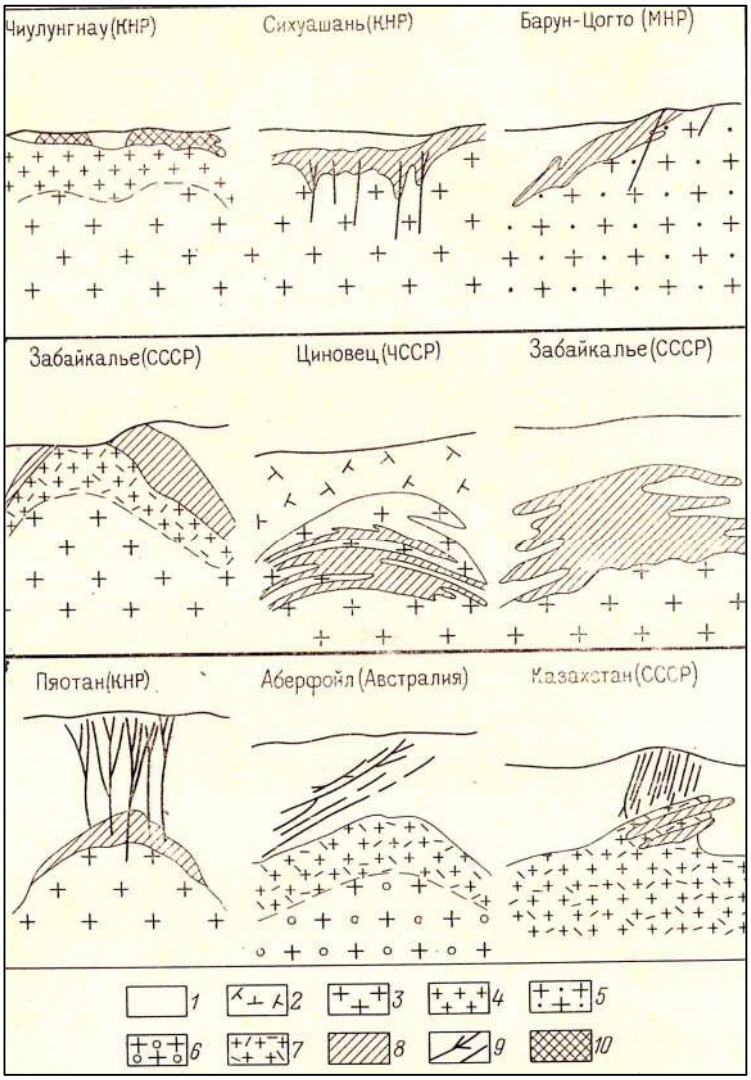


Рис. 1.27. Схемы взаимосвязи разных структурно-морфологических типов грейзеновых месторождений с формой кровли гранитных массивов (по Д. В. Рундквисту и др.):
верхний ряд – горизонтальная или очень пологая кровля; средний ряд – купольная с пологими апофизами; нижний ряд – купольная с наклонными и крутопадающими апофизами; 1 – осадочные породы кровли; 2 – порфировый кварцевый риолит; гранит: 3 – крупно-, среднезернистый и др.; 4 – аплитовидный; 5 – амазонитовый, 6 – порфировидный, 7 – грейзенизированный; 8 – рудоносный грейзен; 9 – рудные жилы; 10 – вольфрамово-рудное кварцевое тело

На размещение оруденения существенно влияет форма интрузивных тел и даек. Небольшие интрузивные массивы в рудных полях обычно представлены штоками с овальными и угловатыми очертаниями (в плане), плитообразными или иными неправильными телами. Падение контактов крутое. Эти тела сложены в основном мелко-, реже среднезернистыми порфировыми породами. Мелкая трещиноватость в них преимущественно тектоническая, наложенная. Контракционные трещины затушеваны и выявляются с трудом.

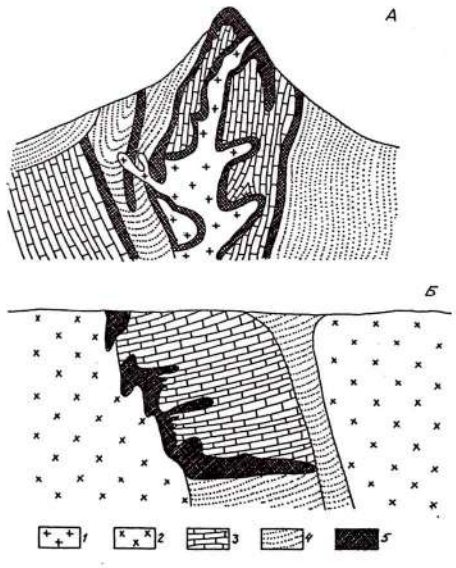


Рис. 1.28. Схематические геологические разрезы скарновых месторождений:
А – Тырныаузского вольфрам-молибденового (по А. В. Пэку); Б – Фроловского – медные Турьинские рудники (по Я. П. Баклаеву):
1 – граниты; 2 – диориты; 3 – известняки; 4 – вулканогенно-осадочные породы; 5 – скарны с рудной минерализацией

С малыми интрузиями кислого и реже среднего состава сопряжены медно-молибденовые месторождения, называемые также порфировыми или штокверковыми. Эти месторождения являются основой мировой сырьевой базы меди и молибдена (Рис. 1.29 Р 3.25).

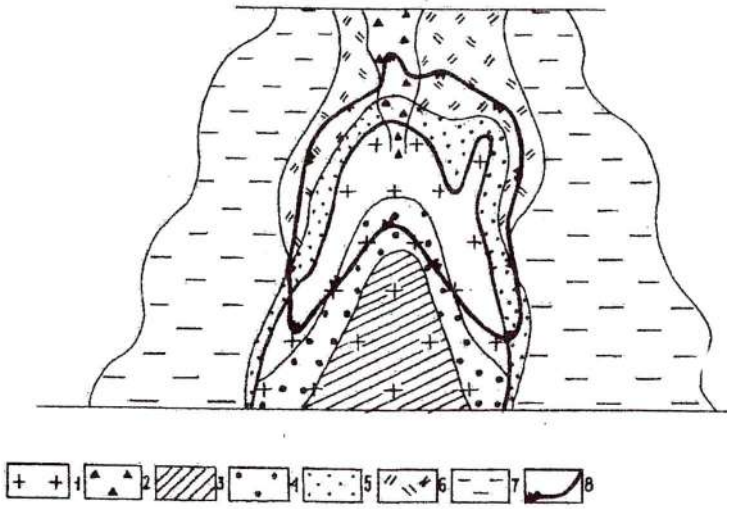


Рис. 1.29. Модель медно-порфирового месторождения (по А. И. Кривцову):
1 – рудоносный порфировый интрузив; 2 – брекчиевая атрубка; 3 – кварцевое «ядро»; 4 – зона калишпатизации и биотитизации; 5 – зона окварцевания и серицитизации; 6 – зона аргиллизации; 7 – пропидлитизированные породы интрузивной рамы; 8 – контуры промышленных руд

Рудная минерализация располагается в апикальной части интрузивных тел, становление которых происходит на небольших глубинах, в связи с чем для них характерны порфировидные структуры пород. В контроле порфировых месторождений большое значение имеет петрографический состав интрузий. А. И. Кривцов выделяет 4 модели порфировых месторождений: гранитную молибденовую, гранодиоритовую медно-молибденовую, монцонитовую молибденово-медную и диоритовую медную.

В пределах дайковых полей размещаются многие гидротермальные месторождения цветных металлов и золота. Рудные поля и месторождения находятся в узлах наиболее частого и многофазного развития даек. В таких участках дайки бывают приурочены к нескольким системам разрывных нарушений, хотя преобладающими являются дайки одного направления, совпадающего с простиранием пояса.

Форма даек обычно плитообразная, мощность и элементы залегания выдержаны, но нередко встречаются весьма сложные, ветвящиеся, с весьма непостоянными мощностью и элементами залегания тела, а также дайки с резкими ступенчатыми контактами и тупыми выклиниванием. Появление даек таких сложных форм объясняется тем, что они выполняют в основном крупные трещины отрыва, а магматические расплавы внед-

рялись в обстановке растяжения, обусловленной интрузивными силами. К моменту внедрения даек во вмещающих породах уже существовало несколько систем тектонических трещин.

Формирование даек обычно предшествует рудообразованию, то есть дайки являются дорудными (дайки прокладывают дорогу руде). Рудные жилы часто тяготеют к дайкам и прослеживаются вдоль их контактов. Однако нередко жилы приурочены к трещинам иного направления и пересекают дайки, при этом последние могут существенно влиять на локализацию оруденения.

На некоторых месторождениях известны внутриминерализационные и послерудные дайки. Первые пересекают рудные жилы, сложенные минералами ранних стадий минерализации, но в свою очередь на них наложены минеральные агрегаты более поздних стадий.

Типичным представителем месторождений в дайковых поясах является Березовское золоторудное месторождение золото-сульфидно-кварцевой формации на Среднем Урале. Многочисленные дайки гранитоидов имеют большей частью меридиональное простирание. Так называемые лестничные жилы выполняют поперечные трещины отрыва, широко развитые в дайках. Этим трещинам приписывается контракционное или тектоническое происхождение. Иногда встречаются также диагональные кварцевые жилы, приуроченные к тектоническим трещинам сколового типа (Рис. 1.30 Б 17; 1.31 КРМ 115).

Дайковые поля характерны для пегматитовых месторождений, с которыми связаны многочисленные полезные ископаемые – редкие металлы (Забайкалье, Казахстан, камнесамоцветное сырье (Самоцветная полоса Урала), слюда (Мамско-Чуйская провинция), керамическое сырье (Карелия, Украина, Урал, Сибирь) и др.

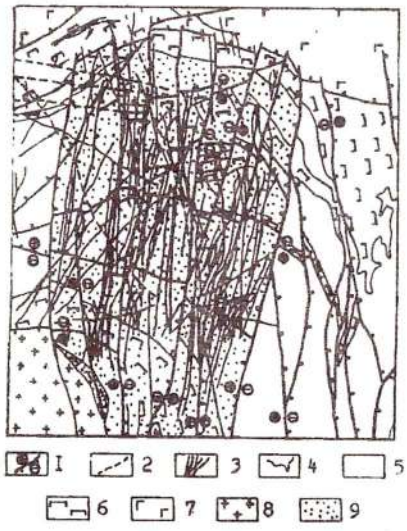


Рис. 1.30. Березовское рудное поле (Средний Урад) [Б]:
1 – додайковые разломы, штрихами показано направление падения разломов, знаками плюс и минус – приподнятый и опущенный блоки соответственно; 2 – последайковые разломы; 3 – дайки гранитоидов; 4 – межформационные контакты; формации: 5 – базальтовая, 6 – гипербазитовая, 7 – габбро-диорит-долеритовая; 8 – гранитовая; 9 – рудное поле

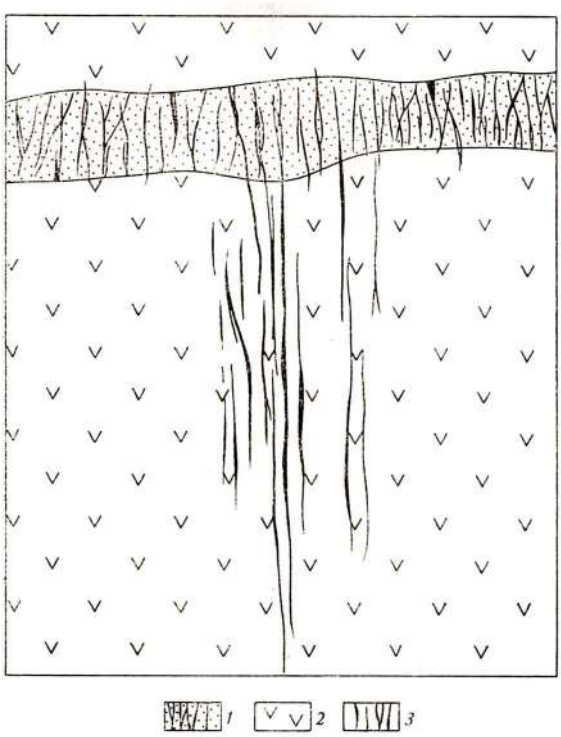


Рис. 1.31. Фрагмент Березовского рудного поля (по М. и Н. Бородаевским):
1 – березитизированная дайка гранит-порфира с лестничными жилами; 2 – змеевики; 3 – красичные жилы

Пегматиты характерны как для складчатых областей, так и для древних щитов. В фанерозойских складчатых областях положение пегматитов контролируется формой интрузива, с которым они связаны: пояса пегматитовых тел располагаются согласно с контактом массива. Пегматиты образуют неправильные тела, линзы, раздувы, в плане часто изогнутые, ветвящиеся, с апофизами. Для них характерна зональность. На щитах пегматиты не обнаруживают связи с интрузивными телами, рудоконтролирующими являются древние прогибы, троги, шовные зоны, крупные разрывные структуры в этих трогах и прогибах. Тела пегматитов имеют, как правило, линейные, плитообразные формы и обычно лишены зональности.

Одно из крупнейших в мире пегматитовых месторождений редких металлов – Берник-Лейк, находится в Канаде, на дне озера (Рис. 1.32. Як.Промтипы рис. 104). Главное рудное тело представлено здесь пологой плитообразной залежью мощностью 75 м с четко выраженной зональностью. От зальбандов к центральной части тела выделяются: зона блокового микроклин-пертита (мощностью до 15 м), сподуменовая зона (5-27 м), лепидолитовая зона (до 12 м), поллуцитовая зона (13,7 м) и центральная зона с промышленным содержанием танталита (0,218-0,27 % Ta_2O_5). Мощность ее 45 м, ширина 111,3 м, протяженность 32,7 км. Месторождение содержит около 90 % мировых запасов цезия (поллуцит Cs_2O) и является крупным по танталу и литию. Эксплуатируется с 1969 г. подземным способом.

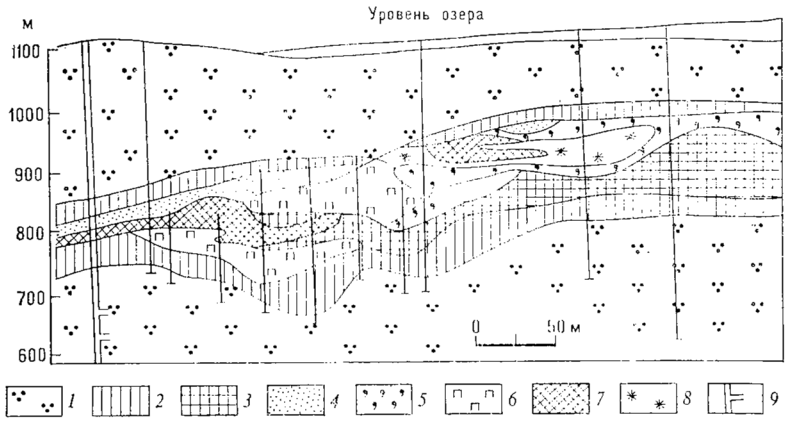


Рис. 1.32. Разрез главного пегматитового тела месторождения Берник-Лейк (по Р. А. Гроузу и П. Черны):
1 – амфиболиты; 2-8 – пегматиты: 2 – внешняя кварц-альбитовая зона с микроклин-пертитом и турмалином, 3 – нижняя промежуточная зона микроклин-пертит-кварц-альбитовая со сподуменом, 4 – линзы мелкозернистого альбита, 5 – верхняя промежуточная зона микроклин-сподуменовая с кварцем, 6 – внутренняя кварц-альбит-микроклин-пертитовая зона с бериллом, 7 – кварцевое ядро; 8 – поллуцитовая зона; 9 – шахта

Рудоносные вулканоструктуры

С рудоносными вулканическими постройками связаны многочисленные месторождения урана, золота, цветных и черных металлов.

П. Д. Яковлев выделяет пять основных структурных типов вулканических сооружений: 1) вулканические купола; 2) вулканические депрессии; 3) кальдеры; 4) линейные или трещинные вулканы; 5) поля развития субвулканических интрузивов и корневых частей вулканических аппаратов.

Г. Ф. Яковлев предлагает следующую классификацию вулканогенных структур рудных полей:

1) положительные вулканогенные структуры

А) вулканогенные поднятия;

Б) вулкано-купольные;

В) вулкано-биклинальные;

2) отрицательные вулканогенные структуры:

А) вулкано-тектонические депрессии;

Б) кальдеры;

В) межвулканические депрессии;

Г) скрыто-вулканические депрессии;

3) вулкано-корневые структуры.

Как правило, рудоносные вулканические постройки осложнены более поздними разрывными нарушениями и поясами даек регионального распространения. Оруденение локализовано как в благоприятных горизонтах вулканических покровов, в жерлах, субвулканических телах, а также в осложняющих постройку разломах и трещинах. Наиболее распространенными и значимыми из вулканогенных месторождений являются золото-серебряные, сурьмяно-ртутные, уран-сульфидные и медноколчеданные.

Золото-серебряное оруденение широко распространено на северо-востоке РФ, преимущественно в Магаданской области. К этой формации относится одно из крупнейших в России месторождение Кубака, такие крупные объекты как Карамкен, Многовершинное, Аметистовое, Агинское и другие, а также Блявинское на Южном Урале. Месторождения обычно приурочены к жерловым и околожерловым зонам локальных вулкано-тектонических структур центрального типа, вулкано-тектоническим грабенам и вулкано-купольным постройкам. Рудолокализующими являются фрагменты линейных и дуговых разломов, пучки сближенных разрывов, фрагменты региональных разломов и оперяющие их нарушения. Разрез месторождения Карамкен представлен на рис. 1.33 (Бен 3.4.5).

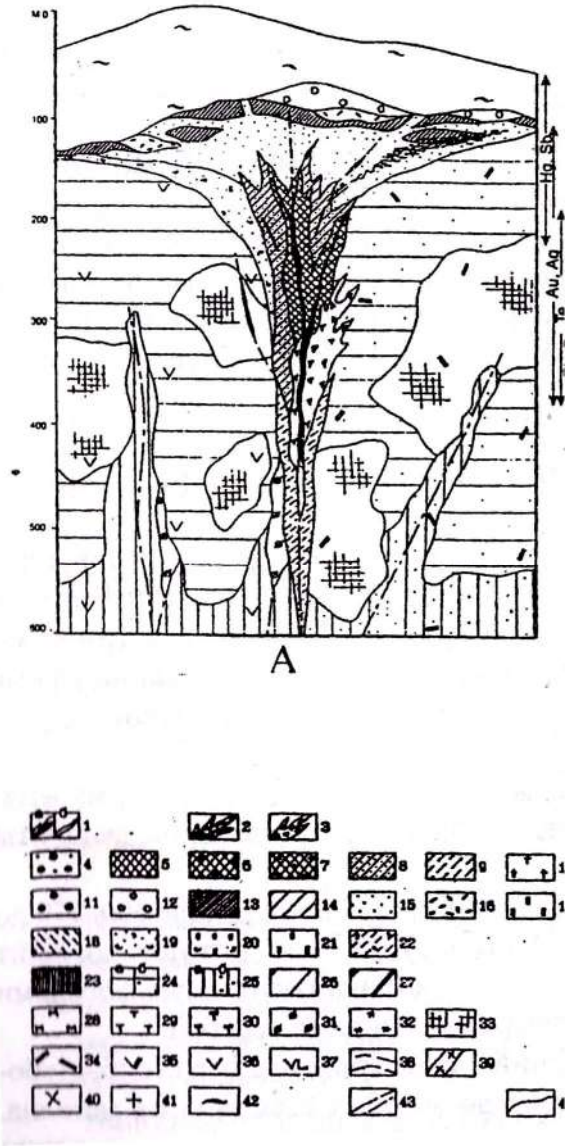


Рис. 1.33. Модель зональности золото-серебряного месторождения Карамкен (Магаданская обл.) [Бен]: 1 – жилы и прожилки: рудные (а), безрудные (б); 2-3 – предрудные изменения: 2 – зоны адуляр-кварц-сульфидного прожилкования, 3 – гидротермальные брекчии; 4-10 – околотрещинные метасоматиты: 4 – существенно кварцевые, 5 – адуляр-кварцевые, 6 – гидрослюдисто-адуляр-кварцевые, 7 – кварц-гидрослюдистые с адуляром, 8 – адуляр-кварц-гидрослюдистые со смектитом, 9 – существенно серицитовые или кварц-серицитовые с карбонатом, хлоритом, 10 – турмалин-кварц-мусковитовые; 11-22 – фации аргиллизитов – вторичных кварцитов: 11 – существенно кварцевая с сульфидами, 12 – монокварцевая, 13 – существенно каолинитовая, 14 – кварц-каолинит-диккитовая, 15 – существенно гидрослюдистая, 16 – алунит-кварцевая, 17 – диаспор-кварцевая, 18 – кварц-каолинит-пирофиллитовая; 19 – кварц-гидрослюдисто-смектитовая, 20 – кварц-смектит-хлоритовая, 21 – кварц-хлоритовая, 22 – гидрослюдисто-серицитовая со смектитами, кварцем, карбонатом, хлоритом; 23-27 – фации пропилитов: 23 – цеолит-хлоритовая, 24 (а) – карбонат-альбит-хлоритовая, 24 (б) – карбонат-альбит-серицитовая, 25 (а) – эпидот (пренит)-хлоритовая, 25 (б) – серицит-хлоритовая, 26 – эпидот-актинолит-альбитовая, 27 – роговообманково-биотит-эпидот-альбитовая; 28-33 – прочие изменения: 28 – муско – скарны, 32 – роговики, 33 – калишпатизация; 34-42 – исходные породы: 34 – игнимбриты, 35 – риолиты, риодациты, 36 – дациты, андезидациты, 37 – андезиты, 38 – андезибазальты, базальты, 39 – осадочные породы, 40 – дайки пестрого состава, 41 – габбродиориты, диориты, 42 – граниты, гранодиориты, 43 – разрывные нарушения, 44 – фациальные границы

Сурьмяно-ртутные вулканогенные месторождения известны на Чукотке в пределах Охотско-Чукотского вулканического пояса. Наиболее крупное месторождение Пламенное приурочено к вулканическому куполу, сложенному горизонтально залегающими вулканическими покровами преимущественно кислого состава и прорывающими их субвулканическими телами и дайками андезитов и диоритовых порфиритов. Оруденение связано с системой разрывных нарушений северо-западного простирания, наложенных на вулканическую постройку.

Из группы уран-сульфидных месторождений четкий контроль со стороны вулканических структур имеют уран-молибденовые и уран-флюоритовые.

Уран-молибденовое оруденение отличается широким размахом, как в разрезе, так и по латерали, и может быть локализовано в любых вулканических фациях – гипабиссальной, субвулканической, жерловой, экструзивной и покровной. Так, месторождение Джедели (Казахстан) приурочено к палеокуполу, на крыльях которого залегают стратифицированные слоистые вулканические толщи, и расположено на его крыле (Рис. 1.34 Котляр 10.25). Рудное тело имеет почти пластовую форму и локализуется в слое скрытокристаллических риолитов сферолитовой структуры. Риолиты, по сравнению с другими породами, отличаются повышенной хрупкостью, и при тектонических деформациях вокруг сферолитов в них развиваются тектонические трещины, которые делают проницаемым и благоприятным для рудоносных растворов весь пласт. В других уран-молибденовых месторождениях руды располагаются в некках, преимущественно в их

зальбандовых частях. Весьма благоприятны для локализации урановых руд участки пересечения некков разломами и трещинами, вплоть до сплошного трещинного контроля.

Уран-флюоритовый тип представляют месторождение Мерисвейл в США, Стрельцовский рудный район в Забайкалье (Рис. 1.35). Рудные объекты контролируются отрицательными вулканоструктурами – вулканическими прогибами, вулканотектоническими депрессиями, выполненными вулканитами разного состава с преобладанием кислых разновидностей. Депрессии могут быть как грабенообразными, так и кальдерообразными, диаметром до 20 км и более. Оруденение наблюдается, как правило, в породах верхнего структурного этажа – в молодых активизационных впадинах. Вулканические постройки осложнены разрывными нарушениями, большей частью крутопадающими. К узлам пересечения внутрикальдерных разломов приурочены отдельные месторождения. Кроме крутопадающих, развиты пологие межслоевые (межформационные) срывы. Рудные тела локализованы в разломах и представляют собой крутопадающие жилы и пологие субпластовые тела. Иногда возникают их сочетания, в результате которых формируются крестообразные структуры.

Вулканогенно-осадочные медноколчеданные месторождения также контролируются вулканическими сооружениями, в первую очередь, депрессионного типа. Для подводного вулканизма наиболее распространенными являются кальдерные, межвулканические, межкупольные и склоновые депрессии. Для субаэрального вулканизма типичными являются кальдерно-озерные и кратерно-озерные впадины. Рудоотложение происходит в межпароксизмальные периоды. Поэтому, во-первых, рудные тела приурочены в вулканогенных толщах к горизонтам осадочных пород, фиксирующих эти перерывы; во-вторых, в связи с многофазными проявлениями вулканизма характерным является наличие многоэтажных (многоярусных залежей). На рис. 1.36 представлен разрез уральского медноколчеданного месторождения Юбилейное, приуроченного к биклинальной вулканоструктуре (ГФЯ 69).

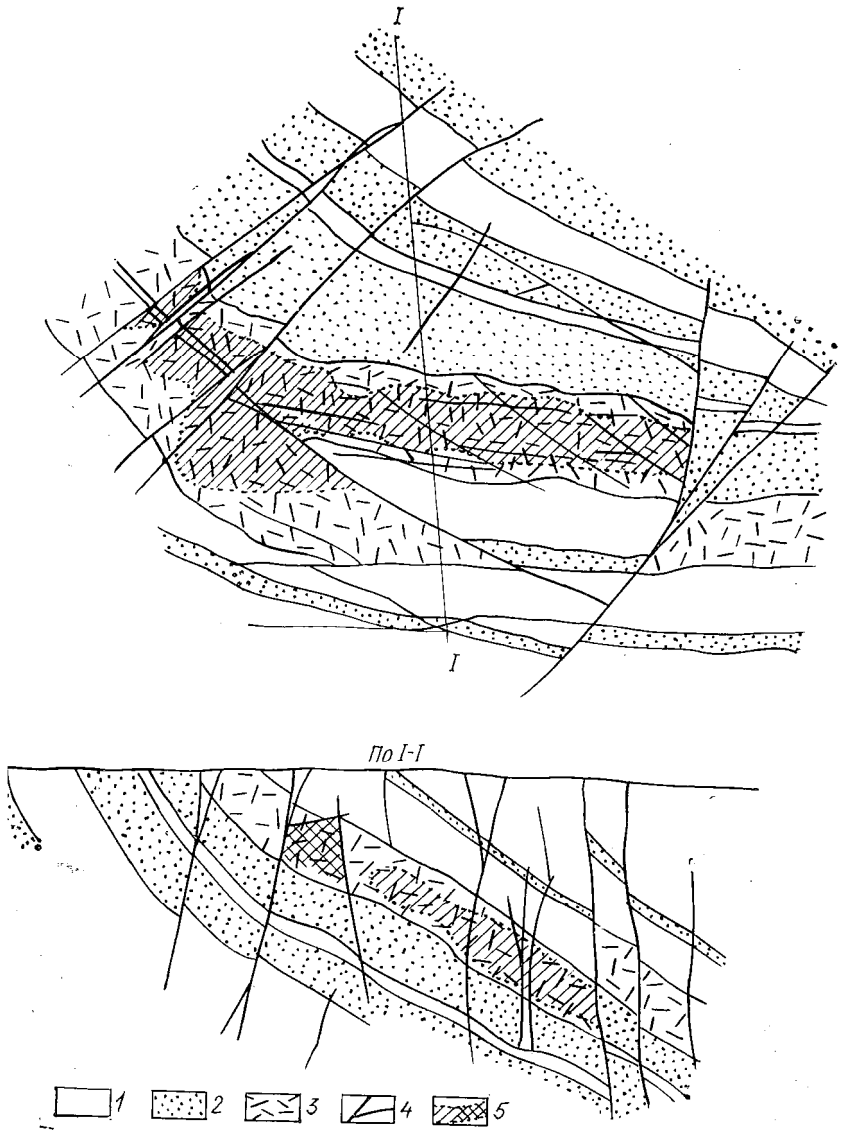


Рис. 1.34. Урановое оруденение в сферолитовых риолитах
(по Н. П. Лаверову):
1 – порфировые базальты и их туфы; 2 – песчаники; 3 – сферолитовые туфолавы фельзитовых риолитов; 4 – разрывы; 5 – рудные тела и обогащенные участки

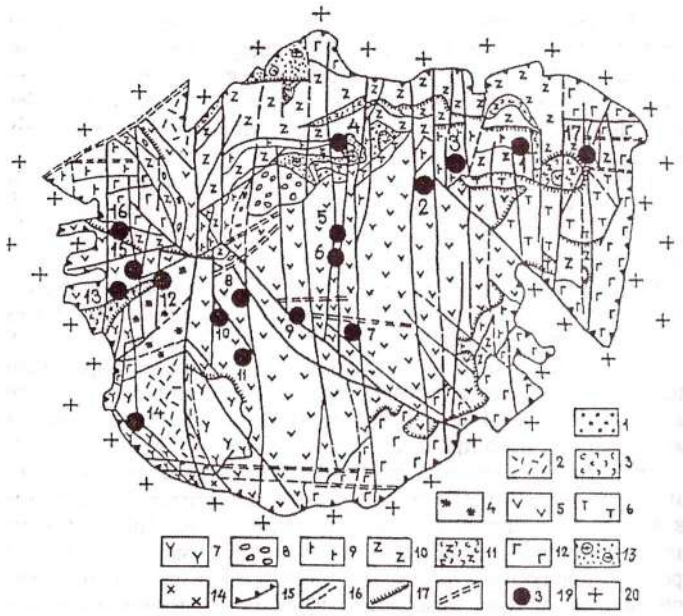


Рис. 1.35. Схема геологического строения Стрельцовского рудного поля (по Л. П. Ищуковой):
1 – песчаники, алевролиты, гравелиты; 2 – риолиты и их лавобрекчии покровной фации; 3 – туфы кислого состава; 4 – сферолитовые риолиты; 5 – фельзиты; 6 –трахибазальты, андезиты; 7 – риолиты; 8 – конгломераты; 9 – базальты и их лавовые брекчии – средний покров; 10 – трахидациты нижнего покрова; 11 – туфолавы; 12 – базальты нижнего покрова; 13 – базальные конгломераты; 14 – диориты; 15 – разломы, ограничивающие кальдеру; 16 – крутопадающие разломы; 17 – пологопадающие нарушения; 18 – предполагаемые разломы; 19 – урановые месторождения: 1 – Широндукуйское, 2 – Стрельцовское, 3 – Антей, 4 – Октябрьское, 5 – Лучистое, 6 – Мартовское, 7 – Мало-Тулукуевское, 8 – Тулукуевское, 9 – Юбилейное, 10 – Весеннее, 11 – Новогоднее, 12 – Пятилетнее, 13 – Красный Камень, 14 – Юго-Западное, 15 – Жерловое, 16 – Аргунское, 17 – Восточно-Широндукуйское; 20 – породы фундамента

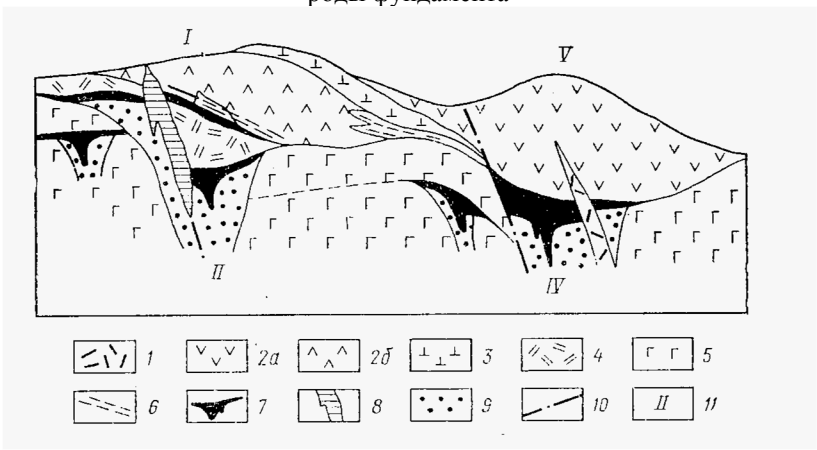


Рис. 1.36. Вулкано-биклинальная структура медноколчеданного месторождения Юбилейное (по О. В. Мининой). Палеовулканическая реконструкция (разрез):
1 – субвулканические порфировые риодациты; 2 – дацитовые толщи (*а* – верхняя, *б* – нижняя); 3 – верхняя базальтовая толща; 4 – андезидацитовая толща; 5 – нижняя базальтовая толща; 6 – пачка вулканомиктовых пород; 7, 8 – медноколчеданные залежи: 7 – преимущественно гидротермально-осадочные, 8 – гидротермально-метасоматические, 9 – серицитолиты с прожилково-вкрапленной пиритовой минерализацией; 10 – разломы; 11 – номера рудных залежей

Контрольные вопросы к разделу

1. Дайте определение понятий «рудное поле», «структура рудного поля»
2. Что такое рудоконтролирующие факторы?
3. Перечислите основные тектонические свойства горных пород
4. Охарактеризуйте свойства главных породообразующих минералов
5. Укажите основные группы горных пород по тектоническим свойствам

6. Охарактеризуйте модель куба деформаций горных пород
7. Назовите генетические типы разломов и трещин
8. Охарактеризуйте распределение напряжений вдоль разломов
9. Назовите главные кинематические типы разломов
10. Охарактеризуйте оперяющие разломы и трещины
11. В чем причины преломления и волнистости разломов?
12. Опишите механизм приоткрывания граней разломов
13. Назовите основные генетические типы складок
14. Как формируются складки в жестких породах?
15. Как формируются складки в пластичных породах?
16. Как формируются складки в разнородных пластах?
17. Охарактеризуйте рудоносные тела гипербазитов и базитов
18. Охарактеризуйте рудоносные плутонические тела среднего и кислого состава
19. Опишите рудоносные вулканоструктуры

Тема 2. Геолого-структурные типы рудных тел

Структурная классификация рудных тел основана на их взаимоотношениях с вмещающими породами и структурами. По этому признаку все рудные тела делятся на 4 типа: согласные, секущие, контактовые и сложные, или комбинированные. Внутри типов выделяются классы по характеру деформаций вмещающих пород и виды по условиям рудообразования.

Согласные рудные тела

Согласными называются рудные тела, границы которых параллельны границам вмещающих пород, то есть залегающие согласно с ними (Рис. 1.37). К этому типу, в первую очередь, относятся пластовые руды осадочных месторождений. Согласными являются также рудные тела остаточных месторождений в корах выветривания площадного типа, хотя они, как правило, не имеют естественных природных границ и оконтуриваются по данным опробования.

Согласные рудные тела характерны и для большинства метаморфизованных месторождений, образовавшихся при метаморфизме первично осадочных залежей.

Согласные залежи могут формироваться и в процессах эндогенного рудообразования. Так, собственно магматические месторождения, приуроченные к расслоенным интрузиям, имеют согласную пластообразную форму, обусловленную процессами псевдостратификации магмы.

Рудные тела гидротермальных месторождений наиболее разнообразны. Среди них также встречаются согласные залежи, которые относятся к четырем классам: 1) тела избирательного замещения; 2) тела экранирования; 3) тела в отслоениях деформированных пластов; 4) сложные тела.

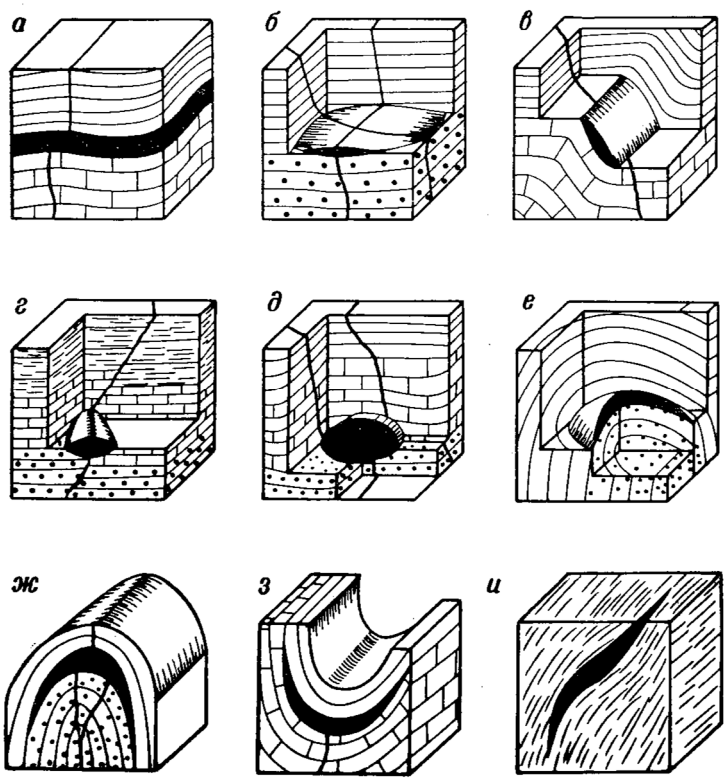


Рис. 1.37. Согласные рудные тела [КШ]:
а – рудный пласт; *б* – рудная залежь; *в* – рудная лента; *г* – брусковидное тело; *д* – рудное гнездо; *е* – куполовидная залежь; *ж* – седловидная залежь; *з* – корытовидная залежь, *и* – флексурная линза

Тела избирательного замещения

Рудные *тела избирательного замещения* образуются в проницаемых, слабо дислоцированных пластах, обладающих достаточной пористостью и химической активностью при взаимодействии с рудообразующими растворами. Химически инертные и слабо проницаемые сланцы, особенно глинистые, наименее благоприятны для замещения. Песчаники и конгломераты, хорошо проницаемые для растворов, более благоприятны к замещению рудами. Известняки легче других пород подвергаются метасоматозу под воздействием рудоносных растворов.

Избирательным замещением рядом исследователей объясняется образование стратиформных руд, в частности, медистых песчаников Джезказганского месторождения (Рис. 1.38). Джезказганская свита карбона состоит из чередующихся алевролитов и песчаников с карбонатным цементом. Отдельные горизонты известковистых песчаников замещались борнитом и халькопиритом, вытеснявшими карбонатный цемент с возникновением типичной цементационной структуры, в которой песчаники цементируются рудными минералами. Отметим, что распространена также точка зрения о первично осадочном происхождении медистых песчаников и других стратиформных месторождений.

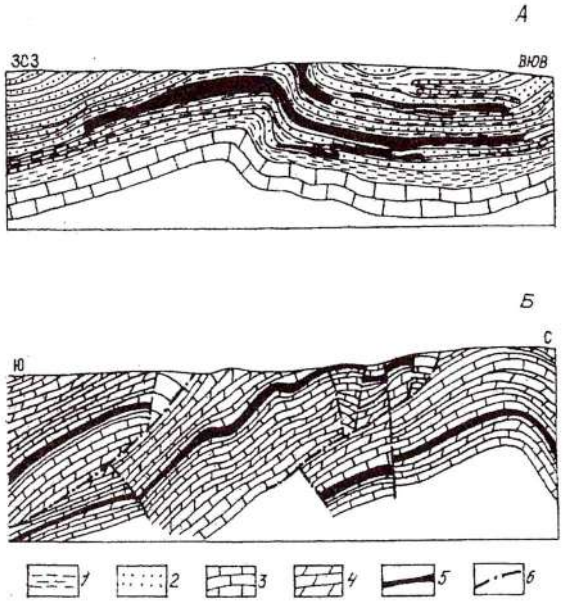


Рис. 1.38. Схематические геологические разрезы стратиформных месторождений: *А* – Джезказганского медистых песчаников (по материалам Джезказганской ГРЭ); *Б* – Миргалимсайского полиметаллического (по материалам Миргалимсайской ГРП): 1 – красноцветные песчаники, алевролиты; 2 – рудоносные сероцветные песчаники, алевролиты; 3 – известняки; 4 – доломиты; 5 – рудные тела; 6 – тектонические нарушения

Тела экранирования

Тела экранирования размещаются под экраном, который создается пластами трудно проницаемых пород, покрывающих более проницаемые.

Явление экранирования растворов свойственно любому комплексу слоистых осадочных и осадочно-метаморфогенных пород, так как поверхности наслоения всегда отклоняют по восстанию движение восходящих растворов. Однако, способность к экранированию у разных пород резко различна. Пористые и трещиноватые, легко проницаемые породы почти не экранируют растворы. У плотных глин, набухающих при пропитывании водой, способность к экранированию самая высокая. Роль активных экранов обычно играют толщи, пласты и прослои в той или иной степени метаморфизованных глинистых сланцев.

Экраны задерживают растворы и заставляют их двигаться вдоль поверхности экрана, замедляют их движение и способствуют прохождению химических реакций и, как следствие, отложение рудного вещества. Чем ближе положение экранирующей поверхности к горизонтальному, тем сильнее может проявиться действие экрана. Крутопадающие экраны меньше влияют на движение восходящих растворов. Классическим примером тел экранирования являются золото-сульфидные месторождения района

Блэк-Хиллс в США, штат Ю. Дакота (Рис. 1.39). В основании разреза здесь находятся древние сланцы, на которых залегают кварциты и доломиты, перекрываемые алевролитами, которые играют роль экрана. Рудоносные растворы растекаются под экраном в пласте доломитов и вступают с ними в реакцию, результатом которой являются тела золото-сульфидных руд.

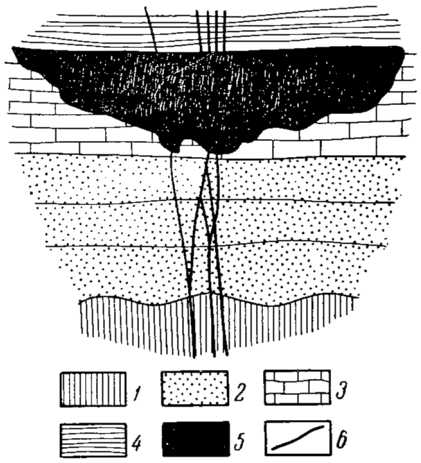


Рис. 1.39. Замещение доломитов рудой, растекающейся под экраном сланцев. Месторождение Блэк Хилс (по В. Линдгрену):
1 – древние сланцы; 2 – кварциты; 3 – доломиты; 4 – алевролиты; 5 – руда; 6 - трещины

Тела в отслоениях деформированных пластов

Тела в отслоениях деформированных пластов залегают, главным образом, в малых складчатых формах, развивающихся в свитах пластов неоднородного состава. Среди них выделяются 3 разновидности: 1) простые седловидные и линзовидные залежи, 2) тела, связанные с избирательным дроблением и оруденением отдельных пластов в складках, 3) внутрипластовые зоны дробления.

Простые седловидные и линзовидные залежи возникают в сланцах разного состава. При изгибах пластов с разными свойствами образуются седловидные полости. Рудоносные растворы проникают в полости по пересекающим пласты трещинам. Рудообразование происходит путем заполнения пустот, реже замещения, особенно в известняках. Наибольшей мощности седловидные залежи достигают в своде складки – до 5-7 м; на крыльях мощность быстро убывает. Ширина залежей составляет десятки метров, длина – до 1 км и более. Классический пример седловидных жил – рудные тела месторождения золота Бендиго в Австралии (см. рис. 1.20). Здесь в мощной толще нижнего силура, состоящей из чередующихся тонких (1-3 м) пластов глинистых сланцев и песчаников, смятых в узкие крутые складки, развиты оруденелые отслоения между слоями.

Тела избирательного дробления наиболее распространены среди тел отслоения. Оруденение чаще всего локализуется в известняках, доломитах, песчаниках и конгломератах. Обломочные породы высокопроницаемы и легко поддаются дроблению. В них чаще всего образуются типичные прожилковые руды, подчиненные многочисленным мелким трещинам. В результате замещения возникает вкрапленность в мелких блоках между трещинами, и руды приобретают прожилково-вкрапленный характер. Именно в этом типе тел известны наиболее мощные – до 10-20 м и более рудные залежи.

В химически активных карбонатных породах развиваются большей частью метасоматические рудные залежи, как вкрапленные, так и массивные.

В первую очередь, оруденение захватывает часть пласта, прилегающую к выпуклым участкам изгиба складки, испытывающим максимальное растяжение. При этом образуются линзообразные и гнездообразные тела. Далее оруденение распространяется на всю сводовую часть складки. Наконец, при наиболее интенсивном рудообразовании, оруденение охватывает весь объем пласта и формируются внутрипластовые зоны дробления.

В Никитовском рудном поле (Украина) оруденение располагается в куполообразных брахиантиклиналях и подчинено отдельным пластам хрупких крупнозернистых песчаников и кварцитов, залегающих между сланцами и подвергшихся массовому дроблению (см. рис. 1.22). Рудные минералы выполняют многочисленные мелкие трещины, пересекающиеся в разных направлениях.

На Бакальском железорудном месторождении в Челябинской области оруденение распространено в трех параллельных антиклиналях, сложенных переслаивающимися осадочными породами нижнего девона. Оно приурочено к пластам доломитов, залегающим между сланцами и кварцитами. Рудные тела вытянуты по простиранию складок и имеют метасоматический характер.

Четкий литологический контроль рудной минерализации дает основание многим исследователям относить рассмотренные месторождения, как и медистые песчаники, к первично осадочному типу.

Сложные тела

Наконец, сложные рудные тела возникают при сочетании избирательного замещения, экранирования и отслоения. Характерный пример сложных тел представляют собой полиметаллические месторождения Лениногорского района Рудного Алтая, в особенности Сокольное и Риддерское. Здесь известково-глинистые сланцы играют роль экрана, а в малых складках отслаиваются от нижележащих туфов. Хрупкие и пористые агломератовые туфы легко подвергались массовому дроблению. Под сланцевой покрышкой сосредоточены залежи массивных руд экранирования, в малых антиклинальных складках – тела отслоения, а в толще туфов – мощные прожилково-вкрапленные руды.

Секущие рудные тела

К секущим относятся рудные тела, границы которых пересекают границы вмещающих пород (Рис. 1.40). Как правило, секущие рудные тела подчинены разрывным нарушениям, пересекающим поверхности наслоения и другие структурные элементы слоистых массивных пород. Данный тип охватывает, главным образом, крутопадающие рудные жилы, возникающие путем заполнения пустот и замещения в процессе гидротермального рудогенеза.

Реже секущие тела формируются в магматических месторождениях. Так для ликвационных медно-никелевых руд Норильского района характерны секущие жилообразные тела, сформировавшиеся при отжиме еще не застывшего рудного расплава в образующиеся трещины (Рис. 1.41).

Секущие рудные тела имеют большое практическое значение. К этому типу принадлежат такие объекты, как крупнейшее в мире месторождение меди Чукикамата в Чили, жильные месторождения золота, полиметаллов, урана и др.

Выделяется 3 главных класса секущих рудных тел: 1) тела в простых трещинах, 2) тела в сложных разломах, 3) тела в вулканических каналах.

Первые два класса имеют много общих черт, в связи с чем целесообразно рассмотреть их совместно.

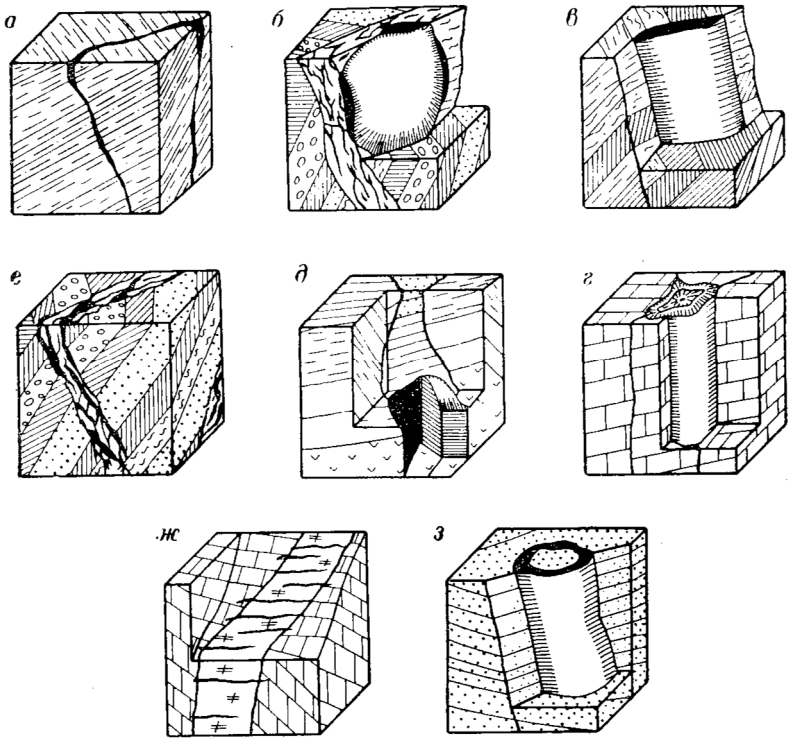


Рис.1.40. Секущие рудные тела [КШ]:
а – жила; *б* – рудный диск; *в* – рудный столб; *г* – трубчатая жила сплошная; *д* – шток; *е* – сложная жила; *ж* – лестничные жилы; *з* – трубчатая жила кольцевая

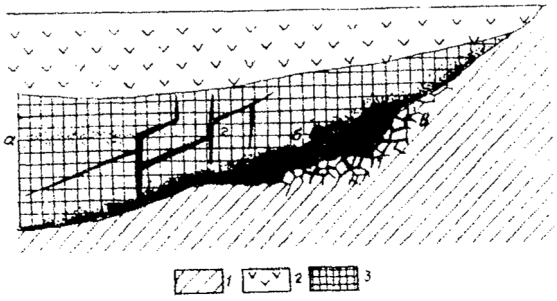


Рис. 1.41. Морфогенетические типы рудных тел ликвационных медно-никелевых месторождений (по В. И. Смирнову):
А – висячие вкрапленники; б – донные массивные залежи; в – приконтактовые брекчиевидно-цементные руды; г – жилы; породы: 1 – подстилающие; 2 – перекрывающие, 3 – вмещающие габброиды

Тела в трещинах отрыва

В зависимости от механизма рудоотложения ***тела в разломах и трещинах*** образуют четыре вида: а) тела в трещинах отрыва, б) тела в искривлениях трещин скалывания, в) тела в сопряжениях и разветвлениях трещин, г) тела в пересечениях трещин.

Рудные *тела в отрывах* возникают при нормальном приоткрывании разломов и трещин чаще всего в результате уменьшения объема интрузивных массивов в процессе их застывания. Характерными чертами всех трещин отрыва являются небольшая протяженность (десятки или первые сотни метров), крутое падение, волнистый характер поверхности, независимость мощности приоткрывания от элементов залегания. Следствием этих особенностей является относительно равномерное распределение оруденения. Величина приоткрывания по мощности в трещинах отрыва обычно незначительна и не превышает 1 м. Но за счет проработки пород в стенках и наличия систем параллельных трещин общая мощность метасоматического оруденения увеличивается до нескольких метров.

Таким образом, в трещинах отрыва образуются извилистые метасоматические жилы, образовавшиеся путем метасоматического замещения. Оруденение обычно име-

ет максимальную мощность в средних частях и уменьшается к краевым частям, постепенно выклиниваясь.

Более поздние перемещения осложняют распределение мощностей приоткрывания и усложняют форму рудных тел.

Тела в трещинах скалывания

Рудные *тела в трещинах скалывания* образуются при косом перемещении пород вдоль поверхности сместителя. Руды локализуются в приоткрываниях, возникающих в искривлениях поверхности скола и характеризуются резкими изменениями мощности оруденения.

Среди рудных тел в трещинах скалывания различают три морфологических группы: рудные диски, рудные столбы и промежуточная форма – удлиненные рудные диски или укороченные рудные столбы. Между рудными столбами или дисками на сжатых или несущих гранях располагаются безрудные части жилы.

По положению в пространстве земной коры рудные столбы могут быть горизонтальными, вертикальными или наклонными. Горизонтальные рудные столбы, или рудные ленты, возникают в результате вертикальных перемещений – сбросов или взбросов, не осложненных сдвиговой составляющей. Вертикальные рудные столбы являются следствием чисто сдвиговых деформаций. Наиболее распространены наклонные рудные столбы, образующиеся при косых смещениях типа сдвиго-сбросов или сдвиго-взбросов.

Размещение приоткрываний в зависимости от направления смещения вдоль разлома рассматривалось выше в разделе 1.4.

В заключение отметим, что смещения по разломам, как известно, могут происходить неоднократно. В таких случаях возможно также несколько этапов рудообразования. Наиболее распространено явление, которое обозначается в тектонофизике понятием релаксации. После снятия тектонических напряжений, вызвавших перемещение по разлому, под действием упругих сил вдоль сместителя часто наблюдаются движения противоположного направления. Тогда функции зажатых и приоткрытых граней меняются местами, и оруденение размещается уже иначе. Так как абсолютно упругих горных пород нет, то смещения второго этапа и связанная с ними минерализация проявляются в меньшей степени, чем на первом этапе.

Тела в сопряжениях и разветвлениях трещин

Тела в сопряжениях и разветвлениях трещин чаще всего связаны с дроблением пород и локализуются в острых углах между трещинами.

Под сопряжением понимается соединение двух трещин под острым углом. Оно часто связано с развитием трещин оперения. Сопряженные трещины широко представлены в сложных разломах, состоящих из серии сближенных или одиночных разрывов, осложненных оперяющими их более мелкими нарушениями.

Участки сопряжения трещин благоприятны для размещения оруденения. Но их нужно отличать от концевых частей разломов, где часто наблюдаются их разветвления на два и более мелких. В разветвлениях разломов оруденение встречается редко. Осложнение сколовых трещин оперяющими приводит к образованию клиновидных подвижных блоков. При косых смещениях вдоль поверхности обеих трещин эти блоки легко подвергаются массовому дроблению и оруденению. Рудные тела в клиновидных блоках располагаются на некотором расстоянии от сопряжения, в области растяжения пород. В гранитоидах мощность зоны дробления в основании клина достигает 4 м, а местами и 8-10 м. В массивных известняках мощность вкрапленных руд может быть до 10-12 м. Длина клиновидных рудных столбов по простиранию в лучшем случае составляет десятки метров.

Сопряжения трещин могут происходить как по простиранию главной трещины – при сдвиговых смещениях, так и по падению – при сбросах и взбросах. Чаще всего они развиваются косо по отношению к простиранию и падению. Положение рудного столба в геологическом пространстве устанавливается геометрически как след пересечения поверхностей сопряженных трещин.

Система оперения разлома нередко осложняется развитием многократно ответвляющихся трещин, в результате чего возникают узкие блоки, легко подвергающиеся дроблению. Такие блоки рассматриваются как сложные разломы.

Классический пример оруденелого сложного разлома – рудное поле Бьютт в США (штат Монтана), где главная рудная жила имеет структуру «конского хвоста», образованного сложной системой оперения меднорудных жил (Рис. 1.42).

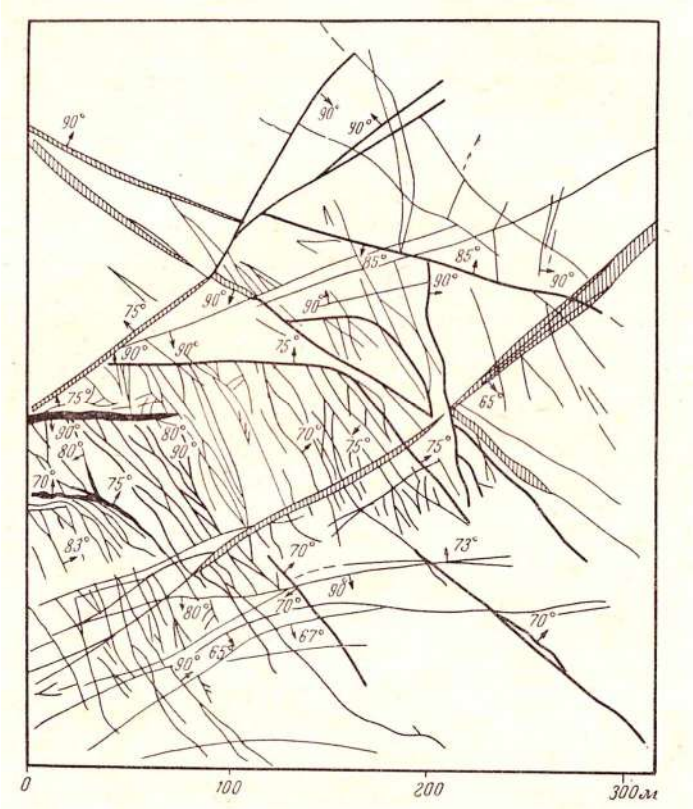


Рис. 1.42. Структура «конского хвоста». Жила Колюза-Леонард, месторождение Бьютт, штат Монтана (по А. М. Бэтману)

Особенности появления оперяющих трещин рассматривались, в общем виде, в разделе 1.4.8. Они определяются ориентировкой главной трещины и свойствами вмещающих пород. Если трещины вертикальные ил крутые, то оперяющие отрывы возникают как в висячем, так и в лежачем боку. Если угол падения трещины меньше 75^{o}, то оперяющие отрывы появляются преимущественно в висячем боку, напряжения в котором более сильные. Эта закономерность выражается тем ярче, чем меньше угол падения.

В хрупких однородных породах оперяющие трещины отрыва возникают на притертых несущих гранях. В плане они параллельны приоткрытым граням основной трещины.

В более пластичных породах появляются оперяющие трещины скалывания. Они развиваются от приоткрытых граней и параллельны несущим граням исходного разрыва.

В промежуточных случаях возможно совместное образование сколов и отрывов. В результате образуются узкие линзообразные блоки выкалывания. Эти блоки нередко подвергаются массовому дроблению, приобретают повышенную проницаемость и бла-

гоприятны дл локализации оруденения. Рудные минералы заполняют мелкие трещины или образуют вкрапленники.

Этот механизм характерен для месторождений порфирового типа. Уникальное месторождение медных руд Чукикамата в Чили представляет собой типичный сложный разлом. В массиве порфировидных гранитов проходит широкая зона разломов. Здесь развиты косые трещины отрыва, осложненные оперяющими отрывами и сколами до образования мощной зоны рассланцевания (Рис. 1.43).

Тела в пересечениях трещин

Тела в пересечениях трещин по механизму формирования сходны со схемой сопряженных.

Трещины могут пересекаться под разными углами, но чаще всего это углы от 60 до 90°. Дробление и оруденение пород происходит как непосредственно в зонах пересекающихся трещин, так и в клиновидных блоках между ними. Оруденение распространяется на несколько метров, иногда на несколько десятков метров от пересечения.

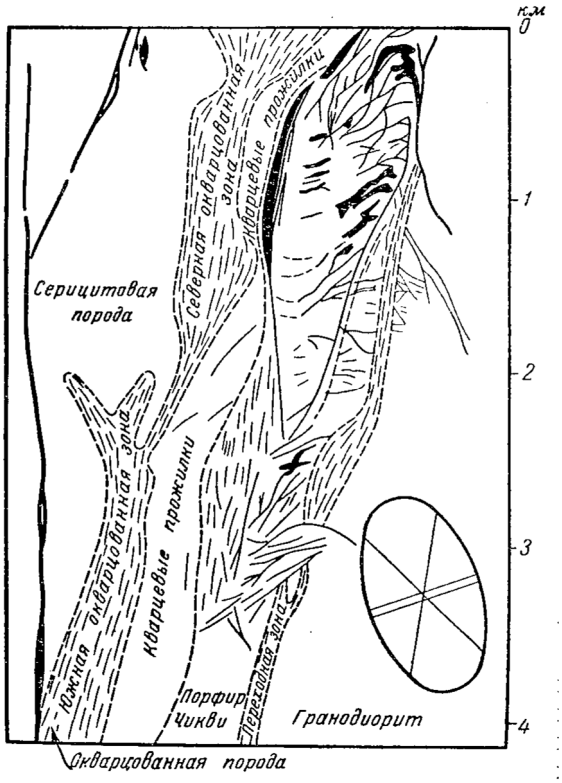


Рис. 1.43. Строение сложного разлома Чукикамата (по А. М. Бэтману):
рудные тела показаны черным цветом

Поперечные сечения рудных столбов, образующихся в пересечении разломов, своеобразны: изометричные, треугольные, крестообразные, Т-образные, Г-образные (Рис. 1.44). На глубину рудные столбы прослеживаются на расстояние, во много раз превышающее их размеры по простиранию.

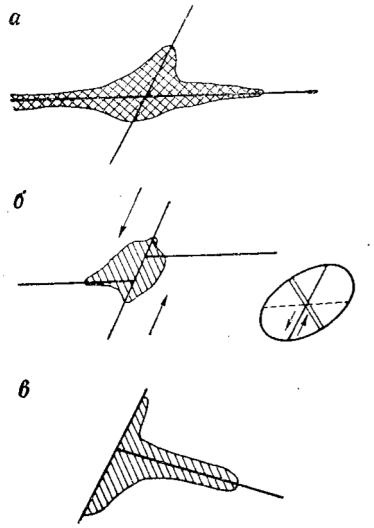


Рис. 1.44. Пересечения трещин [КШ]:
полное без смещения (*а*), полное со смещением (*б*), ограниченное (*в*):
штриховкой показаны возможные формы рудных столбов в поперечном сечении

Тела в вулканических каналах

Тела в вулканических каналах включают две группы: а) тела в вулканических жерлах и б) тела в трубках взрыва.

К вулканическим жерлам часто приурочены золото-серебряные и сурьмяно-ртутные месторождения, распространенные в пределах Охотско-Чукотского вулканического пояса, описанные выше. С трубками взрыва сопряжены раннемагматические месторождения алмазов кимберлит-лампроитовой формации, развитые в ЮАР, Австралии, России. Геологический план и разрез кимберлитовой трубки «Мир» представлены на рис. 1.45.

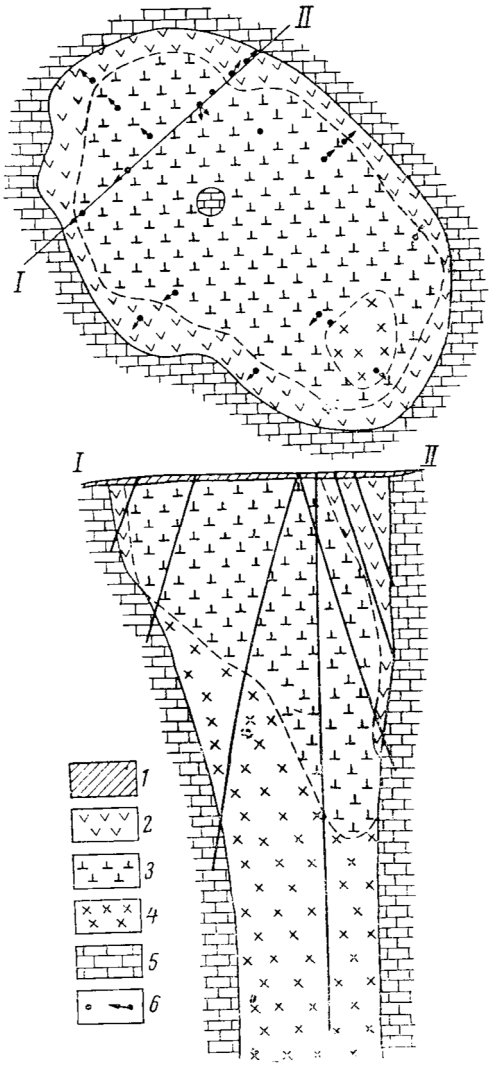


Рис. 1.45. Геологический план и разрез кимберлитовой трубки «Мир» (по А. Бобриевичу и др.):
1 – наносы; 2 – измененный куимберлит (желтый); 3 – измененный кимберлит (зеленый); 4 – малоизмененный кимберлит; 5 – карбонатные породы нижнего ордовика; 6 – скважины

Контактовые рудные тела

Роль интрузивных контактов в рудообразовании

В этот тип входят рудные тела, которые подчиняются поверхности интрузивного контакта изверженных пород с вмещающими их горными породами (Рис. 1.46). Оруденение может размещаться непосредственно в зоне контакта, в интрузивных породах (эндоконтактовые тела) и в породах кровли (экзоконтактовые тела).

Большая часть контактовых рудных тел имеет эндогенное происхождение. Из экзогенных месторождений к рассматриваемой группе относятся рудоносные коры выветривания контактового типа.

Частным случаем контактовых тел являются рудные залежи скарновых месторождений. Здесь ведущим рудоконтролирующим фактором является различие минерального и химического состава пород, соприкасающихся в контакте. Согласно теории Д. С. Коржинского, признаваемой большинством исследователей, скарновые тела представляют собой продукт биметасоматического обмена силикатных и карбонатных пород, протекающего под действием высокотемпературных растворов.

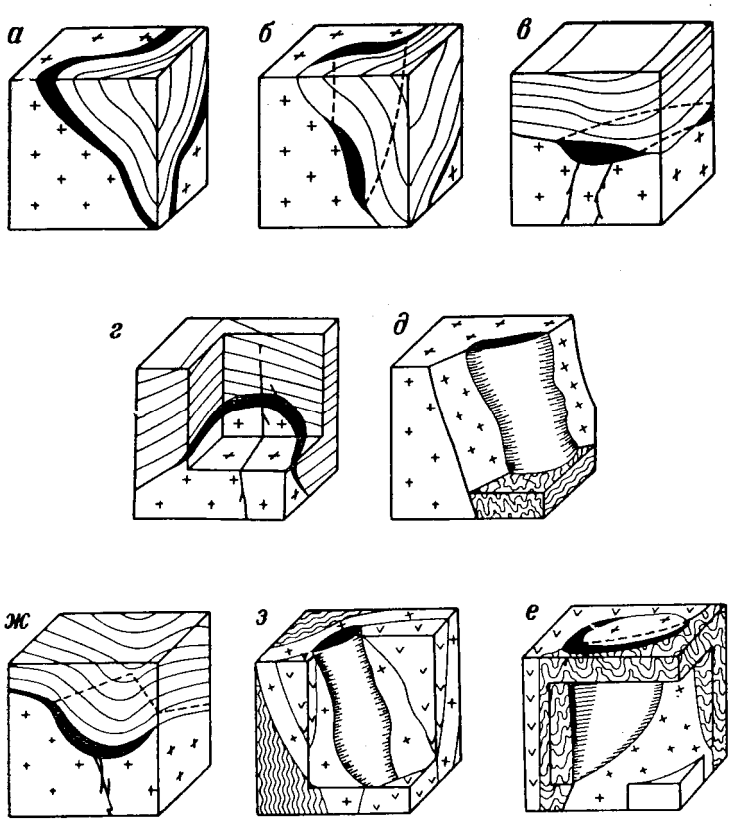


Рис. 1.46. Контактовые рудные тела [КШ]:
а – контактовая пластообразная рудная залежь; *б* – контактовая рудная залежь; *в* – контактовая рудная лента; *г* – контактовая куполовидная залежь; д – контактовый рудный столб; *е* – обертывающая контактовая жила; *ж* – контактовая корытовидная залежь; *з* – дайковый рудный столб

Контактовые рудные тела также нередко образуются в типичных гидротермальных условиях. Поверхность контакта представляет собой структурный шов – поверхность раздела двух сред с разными физическими и химическими свойствами. Контакт – это всегда ослабленная зона, вдоль которой тектонические деформации проходят в первую очередь. Поверхность контактов легче подвергается скалыванию или разрыву, чем сами контактирующие породы. Поэтому вдоль контактов происходит смещение, дробление и приоткрывание. Как и разломы, контакты служат путями движения рудоносных растворов и местом их разгрузки.

Локализация оруденения в контактовых зонах зависит, в первую очередь, от морфологии, или рельефа контактовой поверхности. По отношению к залеганию вмещающих пород выделяются согласные и секущие интрузивные контакты. В согласных контактах условия деформации пород и движения растворов аналогичны пластам осадочных и метаморфических пород, в секущих – аналогичны трещинам и разломам.

Особое значение имеет угол падения контактовой поверхности. Вертикальные и крутые контакты легко пропускают растворы и дают возможность им свободно перемещаться. Размещение руд в крутых контактах определяется условиями приоткрывания, как и для секущих трещин и разломов при косом смещении.

В горизонтальные или пологие контакты растворы проникают из секущих структур и движутся вдоль контактовой поверхности в направлении восстания до пересечения с другим секущим разломом. Породы кровли могут оказывать экранирующее воздействие на растворы, и тогда могут образоваться тела экранирования. Рудные тела также возникают в участках развития дробления пород контактовой зоны.

Волнистость контактов обычно сложнее, чем волнистость разломов, и зависит от разных причин: свойств вмещающих пород, их трещиноватости, условий залегания.

Одни породы легко замещаются или ассимилируются расплавом, другие, наоборот, задерживают продвижение магмы. В соответствии с этим в секущих контактах трудно ассимилируемые породы образуют уступы и крутые участки, а легко ассимилируемые – впадины и отлогие участки контактовой поверхности.

Трещиноватые породы всегда более проницаемы для расплава, чем монолитные. Каждая трещина, в особенности приоткрытая, проводит горячие газы, растворы и расплавы в массу породы, в результате чего ассимиляция и магматическое замещение вдоль трещин усиливаются.

В пологих контактах волнистость в значительной мере определяется формой складок во вмещающих породах. В антиклиналях горные породы разгружены от давления и нарушены, они легче ассимилируются и замещаются расплавом, чем в синклиналях. Так создаются подобные контакты, повторяющие своими очертаниями складчатость вмещающих пород.

Различают 5 характерных типов интрузивных контактов:

1) контакты с эндоконтактовыми явлениями: ассимиляция, перекристаллизация – уменьшение зерен породообразующих минералов, текстуры течения, ксенолиты и пр.;
2) контакты с инъекционными явлениями: послойным проникновением магматического материала во вмещающие породы, мигматитами;
3) контакты с экзоконтактовым ореолом термального метаморфизма: мраморы, роговики и другие метаморфические породы;
4) контакты без существенных изменений;
5) контакты с проявлениями метасоматоза: скарнирование, окварцевание, серицитизация и др.

Первые два типа характеризуются жесткостью и неподатливостью деформациям, три последних, наоборот, отличаются зонами повышенной хрупкости вдоль контактовой поверхности и благоприятны для рудоотложения.

Контактовые рудные тела образуют три класса: 1) тела в согласных контактах; 2) тела в секущих контактах и 3) тела в дайках и их контактах.

Рудные тела в согласных интрузивных контактах

Размещение оруденения в согласных контактах зависит от разных факторов. Большое значение имеет сокращение объема пород при остывании, в результате чего образуются контракционные трещины. Кроме того, залегая среди осадочно-метаморфогенных пород, интрузивы представляют собой более хрупкую среду, чем их окружение. Поэтому при деформациях в них развивается дробление и образуются локальные отслоения интрузива от покрывающих пород. Трещины, участки дробления и отслоения весьма благоприятны для рудоотложения.

К согласному интрузивному контакту приурочено месторождение шеелита Ингички в Узбекистане. Скарноворудные тела здесь представлены пологими корытовидными залежами, приуроченными к прогибам контактовой поверхности, в то время как выпуклые ее части остались безрудными (Рис. 1.47).

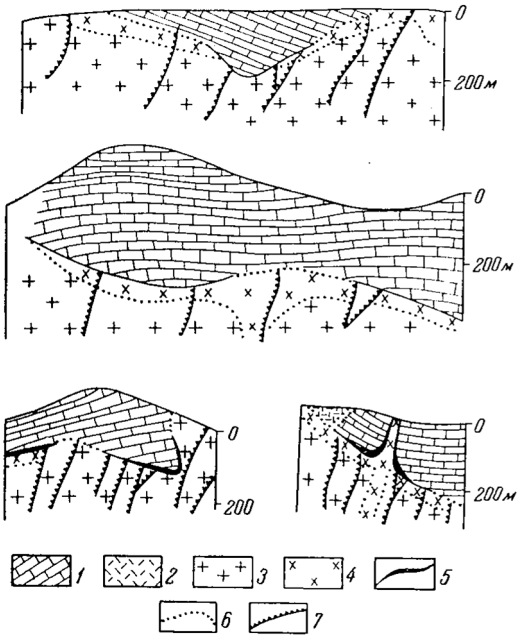


Рис. 1.47. Размещение скарновых тел месторождения Ингички (по Н. Д. Ушакову). Разрезы:
1 – мрамор; 2 – доломит; 3 – гранит биотитовый; 4 – гранит аляскитовый; 5 – скарновые тела; 6 – непродуктивные контакты; 7 – подводящие каналы

Рудные тела в секущих интрузивных контактах

Локализация рудных тел в секущих интрузивных контактах подчиняется тем же закономерностям, что описаны выше для разломов. Главную роль здесь играет чередование зажатых и приоткрытых граней. При этом, чем сильнее волнистость контакта, тем более благоприятны условия для приоткрывания и рудообразования. Плоские ровные участки контакта значительно реже вмещают рудную минерализацию, чем извилистые.

Так на медно-скарновых месторождениях Турьинских рудников на Урале рудные тела располагаются в участках контакта, вогнутых в сторону интрузива (Рис. 1.48).

Другая важнейшая особенность гидротермального рудообразования состоит в том, что массовое дробление с развитием прожилково-вкрапленных руд происходит в апикальных и периферийных частях, а также в узких куполовидных выступах интрузивов.

Например, на медно-молибденовом месторождении Алмалык в Узбекистане шток кварцевых порфировых риолитов почти не испытал дробления и не содержит рудных тел, в то время как вся рудная минерализация локализуется в раздробленной контактовой части массива.

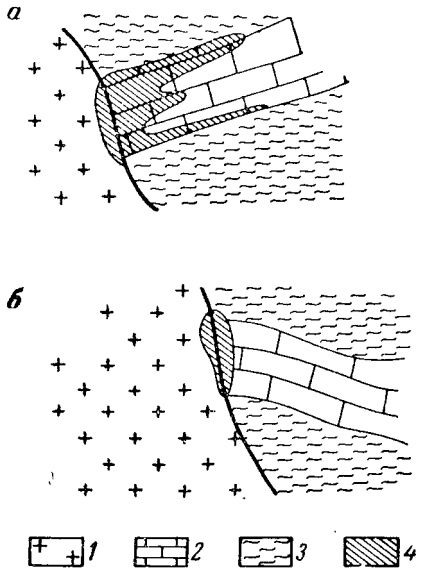


Рис. 1.48. Формы скарновых тел в секущих контактах гранодиоритов с известняками и сланцами в зависимости от условий залегания известняков. Разрезы [КШ]:

1 – гранодиориты; 2 – известняки; 3 – скарны

Рудные тела в дайках и их контактах

Дайки заполняющие приоткрытые участки трещин скалывания. Они представляют собой неоднородность геологической среды и поэтому благоприятны для развития деформаций. Как правило, породы, слагающие дайки, более хрупкие, чем вмещающие осадочно-метаморфогенные толщи, в связи с чем они легко подвергаются дроблению и последующему рудоотложению.

Самое известное месторождение, рудные тела которого представлены оруденелыми дайками – уже упоминавшееся Березовское золоторудное поле на Урале (см. рис. 1.30, 1.31). К северу от крупного Шарташского гранитного массива развито поле даек кислых пород преимущественно субмеридиональной ориентировки. В условиях широтного сжатия, существовавшего на Урале в палеозое, в дайках возникли поперечные трещины отрыва, в которых отложились кварцевые жилы с золото-сульфидной минерализацией. Жилы, ориентированные перпендикулярно простиранию даек, получили название «лестничных».

Сложные рудные тела

Если решающую роль в рудообразовании играет какой-либо один фактор, форма рудных тел обычно достаточно простая. Если отложение руд происходит под влиянием нескольких факторов, возникают сложные рудные тела. Наиболее распространены следующие классы сложных тел: 1) рудные тела в пересечении рудоносных трещин с благоприятными пластами; 2) рудные тела в пересечении интрузивного контакта рудоносной трещиной; 3) рудные тела в пересечении интрузивным контактом благоприятного пласта.

Рудные тела в пересечениях рудоносных трещин с благоприятными пластами

Приоткрытые части трещин могут совпадать или не совпадать с благоприятными для рудоотложения пластами.

Если приоткрывание трещины происходит среди неблагоприятных пластов, оруденение образуется только в самой трещине. Это обычные секущие рудные тела.

Если рудоносная трещина пересекает благоприятные пласты, но на этом участке закрыта, оруденение не образуется. Однако если рудообразующие растворы проникают в благоприятный пласт из соседних приоткрытых участков трещины, то в пласте образуется рудная залежь избирательного замещения, при отсутствии руды в самой трещине. Это согласные рудные залежи избирательного замещения (Рис. 1.49).

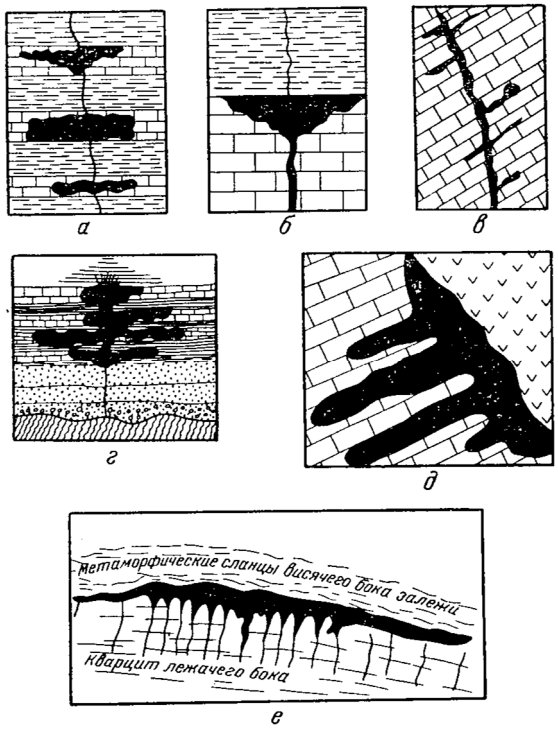


Рис. 1.49. Размещение оруденения в пересечениях трещин с благоприятными пластами (по А. М. Бэтману):
а – образование руды только в пластах известняков; *б* – тавровое рудное тело; *в* – Г-образные и крестообразные рудные тела; *г* – многоэтажная рудная залежь; *д* и *е* – гребневидные залежи

Наконец, если приоткрытая часть трещины и благоприятный пласт совпадают, то оруденение заполняет приоткрытую часть трещины и распространяется в благоприятном пласте. В этих условиях образуются рудные тела, имеющие в вертикальном сечении тавровую, Г-образную или крестообразную форму. Это типичные сложные тела.

Когда разлом пересекает несколько параллельных благоприятных пластов, образуются связанные между собой многоэтажные рудные залежи. Роль разлома может играть секущий интрузивный контакт.

В случаях наличия в благоприятном хрупком пласте поперечных трещин растяжения, могут сформироваться залежи, имеющие в сечении гребневидную форму.

Рудные тела в пересечении интрузивного контакта рудоносной трещиной

В этом классе выделяется три вида рудных тел.

Если рудоносная трещина или разлом пересекает интрузив, но не проникает во вмещающие породы, образуется рудное тело тавровой формы с относительно короткой «ножкой» (Рис. 1.50).

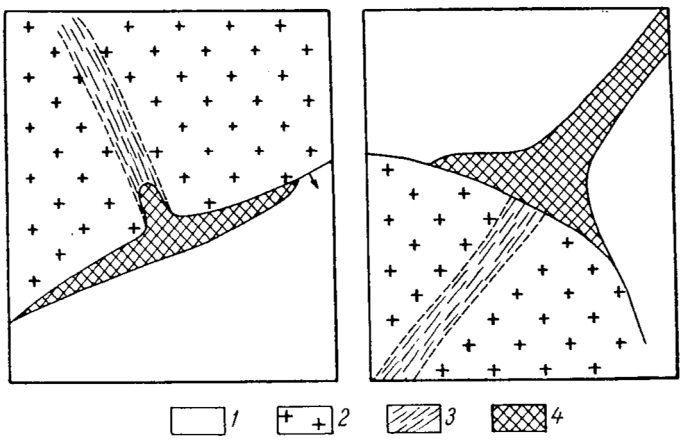


Рис. 1.50. Шеелитовое оруденение в пересечениях контакта гранитоидных массивов рудоносными разломами [КШ]. Участок Угат (слева) и месторождение Кумбель (справа):
1 – песчаники и сланцы с прослоями известняков; 2 – граниты; 3 – рудоносные разломы; 4 – шеелитоносные скарны

Если рудоносная трещина или разлом пересекает и интрузив, и вмещающие породы, формируется тавровое тело с длинной «ножкой».

Если контакт интрузива с вмещающими породами пересекается дайкой, оруденение может развиваться в основном контакте, а также распространяться вдоль дайки во вмещающие породы.

Если контакт пересекается дайками и осложняется разломами, рудные тела размещаются вдоль контактов и трещин, образуя сближенные рудные столбы неправильной формы (Рис.1.51).

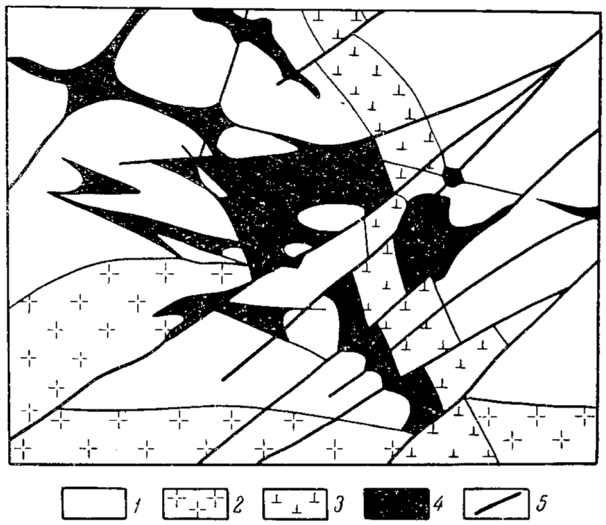


Рис. 1.51. Столбы полиметаллических руд (черное) [КШ]. Шевчуковское месторождение, Окуртау:
1 – известняки; 2 – гранодиорит-порфиры; 3 – кварцевые порфиры; 4 – руда; 5 – трещины

Рудные тела в пересечении интрузивным контактом благоприятного пласта

В этом виде оруденение подчинено поверхности интрузивного контакта, а также распространяется вдоль отдельных благоприятных пластов.

Контрольные вопросы к разделу

1. Перечислите структурные типы рудных тел
2. Охарактеризуйте согласные рудные тела

3. Опишите рудные тела экзогенных месторождений
4. Как образуются тела избирательного замещения?
5. Как образуются тела экранирования?
6. Как образуются тела в отслоениях деформированных пластов?
7. Охарактеризуйте секущие рудные тела
8. Как образуются рудные тела в трещинах отрыва?
9. Как образуются рудные тела в трещинах скалывания?
10. Как образуются рудные тела в сопряжении и пересечении разломов?
11. Охарактеризуйте рудные тела в вулканических каналах
12. Опишите контактовые рудные тела
13. Как происходит локализация оруденения в контактовых зонах?
14. Назовите главные типы интрузивных контактов
15. Опишите рудные тела в согласных интрузивных контактах
16. Опишите рудные тела в секущих интрузивных контактах
17. Приведите пример рудных тел в дайках и их контактах
18. Охарактеризуйте сложные рудные тела

Тема 3. Геолого-структурные типы рудных полей

Классификация структурных типов рудных полей

Рудные поля представляют собой сложные природные образования, возникшие в результате длительных, разновременных и гетерогенных процессов, в ходе которых возникают скопления полезных ископаемых, являющиеся объектом разведки и эксплуатации. Основная задача изучения структур рудных полей – анализ распределения полезного ископаемого и выявление всех факторов, определяющих его пространственное размещение. В зависимости от генезиса полезного ископаемого (осадочный, магматический, гидротермальный и др.) факторы, формирующие месторождения, различны. Неодинаковы и методы их изучения.

Геологическая структура в общем виде – это совокупность всех геологических элементов, определяющих строение того или иного участка земной коры. В процессе развития все указанные элементы в определенной мере взаимодействуют между собой, что находит отражение в морфологических, структурных, текстурных и иных особенностях возникающих геологических образований, а также в характере их размещения.

Рудные поля, как правило, имеют четко проявленную структурную обособленность, определяемую естественными границами, представленными разными геологическими поверхностями. Это могут быть достаточно крупные дизъюнктивные нарушения, контакты осадочных и интрузивных тел, поверхности стратификаций и несогласий, сложные тектонические зоны, разделяющие участки с разными знаками относительных перемещений. Такие поверхности нарушают однородность регионального тектоно-физического поля и одновременно создают локальные (частные) планы тектонических деформаций на ограниченных ими участках. Другими словами, естественные границы активно влияют на характер тектонических деформаций в оконтуриваемом участке геологического пространства, во многом предопределяя структурный тип возникающего здесь рудного поля и особенности размещения оруденения.

Как отмечалось в начале курса, под рудным полем понимается обособленный участок земной коры, заключающий совокупность рудных тел, созданных единым геолого-химическим процессом, находящихся в единой геологической позиции, определяющей состав комплекса вмещающих пород, и имеющий естественные геологические границы, влияющие на его структуру и тектонику. Рудные поля, являясь сложными природными объектами, наделены разными группами определяющих признаков. Это отражено в классификациях и систематиках рудных полей.

Предлагаемая систематика структурных типов рудных полей основана, во-первых, на генезисе рудообразующих процессов и включает три традиционных генетических типа: эндогенные, экзогенные и метаморфогенные. Внутри типов выделены классы и подклассы по признаку сочетания структурных элементов, определивших характер деформаций вмещающих пород и связанных с ними особенностей размещения оруденения.

1. ЭНДОГЕННЫЕ РУДНЫЕ ПОЛЯ

1.1. СКЛАДЧАТЫЕ (рудные поля с преобладающим влиянием складчатых форм на размещение оруденения)

1.1.1. Рудные поля в моноклиналях

1.1.2. Рудные поля в одиночных антиклиналях

1.1.3. Рудные поля в изгибах, ундуляциях, периклинальных замыканиях антиклиналей

1.1.4. Рудные поля в антиклиналях, осложненных разрывными нарушениями

1.1.5. Рудные поля в блокированных горст-антиклиналях и грабен-синклиналях

1.1.6. Рудные поля в синклиналях, осложненных разломами

1.2. РАЗРЫВНЫЕ (рудные поля с преобладающим влиянием разрывных нарушений на размещение оруденения)
1.2.1. Рудные поля в искривлениях поверхностей отдельных разрывных нарушений
1.2.2. Рудные поля в оперенных разломах
1.2.3. Рудные поля в сложных разломах
1.2.4. Рудные поля в тектонических пластинах
1.2.5. Рудные поля в пересечениях разломов
1.2.6. Рудные поля в сопряженных разломах
1.2.7. Рудные поля в блоках между субпараллельными разломами
1.2.8. Рудные поля в клиновидных структурах
1.3. КОНТАКТОВЫЕ (рудные поля с преобладающим влиянием контактовой поверхности интрузивных тел на размещение оруденения)
1.3.1. Рудные поля в согласных и подобных контактах интрузивов с вмещающими породами
1.3.2. Рудные поля в грабенах и прогибах пород кровли
1.3.3. Рудные поля в секущих контактах интрузивов с вмещающими породами
1.3.4. Рудные тела в пересечениях контактовых поверхностей разломами
1.3.5. Рудные поля, связанные с апофизами, дайками и штоками интрузивных пород в породах кровли
1.4. ВНУТРИИНТРУЗИВНЫЕ (рудные поля, в которых на размещение оруденения влияют элементы прототектоники и тектонические свойства магматических пород)
1.4.1. Рудные поля в системах прототектонических трещин
1.4.2. Штокверковые зоны в интрузивах среди осадочных и изверженных пород
1.5. ВУЛКАНОГЕННЫЕ (рудные поля с преобладающим влиянием вулканических структур на размещение оруденения)
1.5.1. Рудные поля, приуроченные к вулканическим куполам
1.5.2. Рудные поля, приуроченные к вулкано-тектоническим депрессиям
1.5.3. Рудные поля, приуроченные к кальдерам
1.5.4. Рудные поля, приуроченные к линейным вулканическим структурам
1.5.5. Рудные поля, приуроченные к корневым частям вулканоструктур
1.5.6. Рудные поля, приуроченные к трубкам взрыва

2. ЭКЗОГЕННЫЕ РУДНЫЕ ПОЛЯ

2.1. КОНТИНЕНТАЛЬНЫЕ (субаэральные)
2.1.1. Денудационные
2.1.2. Эрозионные
2.1.3. Карстовые
2.2. МОРСКИЕ (субмаринные)
2.2.1. Прибрежно-морские
2.2.2. Баровые
2.2.3. Рифовые
2.2.4. Оползневые
2.2.5. Поверхности несогласий
2.2.6. Структуры выклинивания
2.3. ТЕКТОНО-ЭКЗОГЕННЫЕ
2.3.1. Конседиментационные депрессии
2.3.2. Конседиментационные поднятия

3. МЕТАМОРФОГЕННЫЕ РУДНЫЕ ПОЛЯ

3.1. ГРАНИТОГНЕЙСОВЫЕ КУПОЛА И БЛОКИ
3.2. ЗЕЛЕНОСЛАНЦЕВЫЕ ЗОНЫ
3.3. ЗОНЫ СМЯТИЯ

Эндогенные рудные поля

Складчатые рудные поля

Рудные поля с преобладающим влиянием на размещение оруденения складчатых форм связаны преимущественно со складчатыми структурами в относительно пластичных сланцевых, карбонатных, карбонатно-терригенных и эффузивно-осадочных формациях пород. Общим для этой группы является преобладание согласных рудных тел.

Рудные поля в моноклиналях. Моноклинальная складчатость проявляется главным образом в платформенных условиях. В подвижных зонах моноклинали возникают локально на крыльях пологих антиклинальных структур в карбонатной, карбонатно-терригенной и реже в эффузивной формациях. В карбонатных толщах участки моноклинального залегания проявляются в связи с дополнительным усложнением крыльев флексурными складками более мелких порядков и разломами. В эффузивах условия моноклинального падения возникают в областях перекрывания стратифицированными вулканогенно-осадочными образованиями существовавшей ранее блоковой структуры. Если у разломов, ограничивающих тектонические блоки, разные углы падения, то блоки могут испытывать шарнирные движения, вследствие которых приобретают пологонаклонное моноклинальное залегание.

Необходимое условие локализации оруденения – наличие во вмещающих толщах горизонтов, пригодных к избирательному замещению или интенсивному дроблению, вследствие которых существенно повышается их проницаемость. В карбонатно-терригенных формациях – это пачки или горизонты кремнистых пород, в карбонатных – доломитов, в вулканогенно-осадочных – туфоконгломератов.

При формировании моноклиналей в пластичных слоистых толщах появляются зоны растяжения, а также трещины отрыва и крутопадающие взбросы; в толщах хрупких пород в такой зоне возникают главным образом скалывающие деформации с образованием сбросов.

Оруденение приурочивается к участкам рассланцевания, избирательного дробления благоприятных пластов в местах изгибов и распространяется по простиранию структур. Рудные тела пластообразные, линзообразные, гнездообразные. При этом оруденение локализуется преимущественно в лежачем боку разломов и наиболее интенсивно проявляется в блоках, где рудовмещающие горизонты наклонены в сторону падения разлома. Вследствие преобладания взбросового смещения по разломам вдоль поверхностей стратификации развиваются расслоения, соответствующие в данном случае трещинам отрыва.

Структурно-текстурные особенности пород влияют на элементы залегания пересекающих их трещин – развиваясь из массивных квазиизотропных пород (эффузивы) в слоистые анизотропные (сланцы, известняки), они отклоняются с тенденцией перехода в послойные.

Геологические границы рудных полей, связанных с моноклиналями, как правило, четко не оформлены и нередко располагаются в плоскости крутых сколовых нарушений. Их роль в этих случаях играют тектонические зоны, разделяющие области с различными знаками движения.

Масштабы рудных полей данного типа в подвижных зонах обычно невелики. Примером может служить полиметаллическое скарновое месторождение Тутлы в Средней Азии (Рис. 1.52). В платформенных условиях рудные поля в моноклиналях могут приобретать значительные размеры, как, например, стратиформные свинцово-цинковые месторождения района Миссисипи-Миссури в США. С ними связаны полиметаллические и ртутные месторождения.

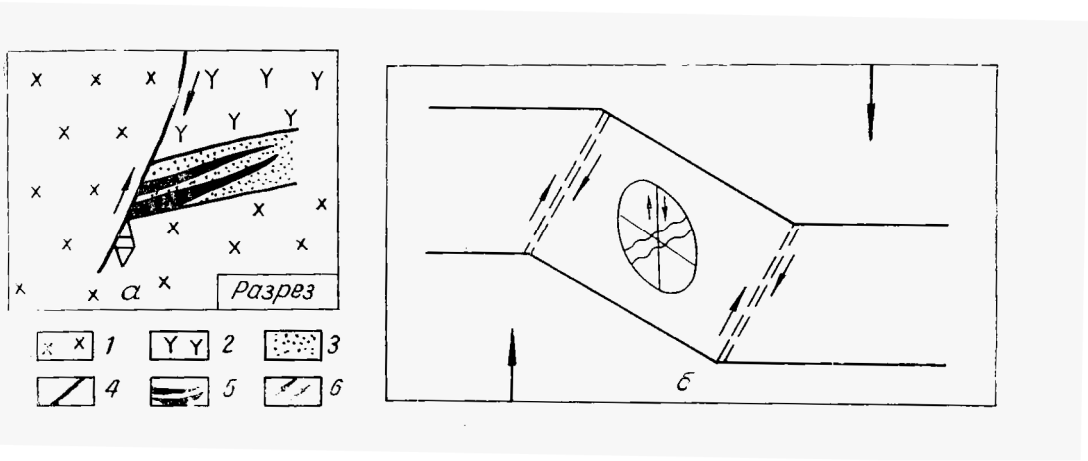


Рис. 1.52. Схема формирования рудных полей в моноклинальных структурах, в относительно хрупких (*а*) и относительно пластичных (*б*) толщах [Атлас]:

1 – порфировые дациты; 2 – порфировые андезиты; 3 – туфоконгломераты; 4 – разломы; 5 – рудные тела; 6 – направление относительных перемещений

Рудные поля в одиночных антиклиналях возникают в разнородных слоистых толщах при перекрывании карбонатных пород сланцами. Важным условием формирования одиночной антиклинали является наличие субпараллельных или слегка сходящихся дизъюнктивных нарушений, поверхности которых ограничивают и блокируют участок слоистой толщи. Блокирование осуществляется поверхностями разрывных нарушений, ограничивающих систему согласно залегающих пластов, способных передавать тангенциальные напряжения и подвергаться продольному изгибу. При этом лежащие выше более длинные пласты при изгибе несколько опережают более короткие подстилающие и создают тем самым расслоение в сводовой части. Иногда это сопровождается явлениями диапира.

Если блокированию подвергаются толщи, сложенные породами с различными тектоническими свойствами, то при перекрывании карбонатных пород сланцами существенных отслоений не происходит. Однако некоторое ослабление литостатической нагрузки приводит к повышению проницаемости поверхности налегания, что способствует развитию метасоматических процессов, сопровождающихся окремнением нижних частей сланцевой толщи. В результате последующего дробления окварцованных сланцев их проницаемость резко увеличивается (до 20% и более). Таким образом, разломы, блокирующие одиночную антиклиналь, являются естественными геологическими границами, активно влияющими на структуру рудного поля.

В структурах такого типа локализуются преимущественно сурьмяные руды сложного минерального состава, нередко сопровождающиеся золотом. В качестве примера можно привести месторождение Терексай в Средней Азии (Рис. 1.53). Характерно, что сурьмяная минерализация локализуется преимущественно в согласных структурах, а золоторудная – в секущих. Главным фактором локализации сурьмяного оруденения являются отслоения по поверхности налегания сланцев на известняки, сопровождающиеся интенсивным дроблением вдоль него и перекрывающих, и подстилающих пород. Формируются согласные межформационные рудные тела на крыльях и в осевых частях антиклинальных складок (седловидные тела). Размещение оруденения контролируется морфологическими особенностями поверхности подстилающих известняков. Мощности рудных тел возрастают в местах поперечных прогибов и в изгибах мелких антиклинальных усложнений в кровле. Рудные тела выклиниваются по мере увеличения углов падения крыльев. Интенсивность оруденения возрастает также вдоль секущих нарушений в подстилающих известняках и на участках массового дробления окварцованных сланцев.

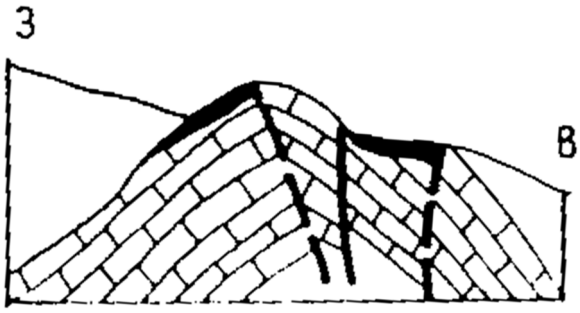


Рис. 1.53. Схематический геологический разрез сурьмяного месторождения Терексай [Атлас]:

рудные тела (черное) в своде антиклинали в известняках

Вертикальный размах оруденения определяется прежде всего условием залегания рудоконтролирующей поверхности и глубиной ее погружения в пределах рудоносной площади. Масштабы месторождений обычно средние.

Рудные поля в изгибах, ундуляциях, периклинальных замыканиях антиклиналей. Приуроченность рудных полей к изгибам складчатых структур подчеркивалась многими исследователями (Королев, 1936; Смирнов, 1954; Вольфсон, 1955; Крейтер, 1956; Великий, 1961).Это объясняется большей проницаемостью пород в таких позициях вследствие развития в местах изгиба интенсивных тектонических деформаций растяжения. В этих условиях возможно появление различных структурных типов рудных тел – от согласных седловидных до трубок взрыва.

Поля данного типа формируются главным образом в карбонатных толщах и размещаются как на крыльях, так и в периклинальных замыканиях антиклинальных структур вдоль продольных разломов глубокого заложения (Рис. 1.54). В местах изгибов складок развиваются мелкие секущие и поперечные разломы и трещины. В известняках местами происходят отслоения вдоль поверхностей напластования, особенно вдоль пластов с разнородными физико-механическими свойствами, что обусловливает формирование секущих зон дробления. В периклинальных замыканиях складок возникает трещиноватость разной ориентировки (радиальная). В этих условиях наряду с согласными локализуются также многочисленные секущие тела.

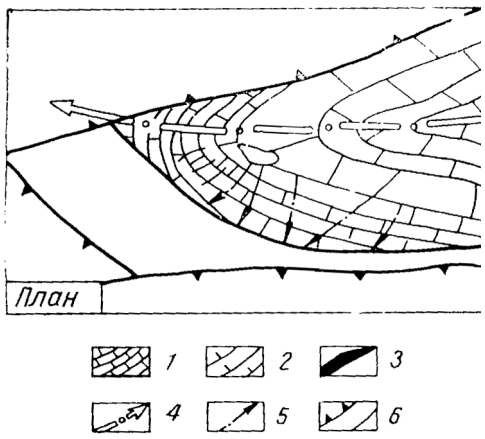


Рис. 1. 54. Принципиальная схема геологического строения рудного поля в периклинальных замыканиях антиклиналей [Атлас]:

1 – слоистые известняки; 2 – массивные известняки; 3 – рудные тела; 4, 5 – оси складок; 6 – разломы

Рудоподводящие каналы в карбонатных толщах характеризуются сложной морфологией и образуют сложные системы. Широко проявлена внутрипластовая горизонтальная или слабовосходящая циркуляция растворов.

Под влиянием морфологических элементов крупных продольных нарушений во внутренних частях ограничиваемых ими структур создаются тектонические напряжения разной интенсивности. От этого зависят характер деформаций и проницаемость отдельных частей структур. Другими словами, продольные разломы играют роль граничных поверхностей в рудных полях данного типа. Масштабы рудных полей в общем невелики. В них размещаются некоторые мелкие железорудные и свинцово-цинковые месторождения.

Рудные поля в антиклиналях, осложненных разрывными нарушениями. Формируются в сланцевых, карбонатных, карбонатно-терригенных толщах и в их сочетаниях, главным образом на крыльях антиклиналей и реже – в осевых частях. Контролируются секущими и поперечными нарушениями, связанными со складками более мелких порядков. Причиной мелкой складчатости могут быть сдвиговые смещения по дизъюнктивным нарушениям, ограничивающим более крупную складку или тектонический блок. В местах флексурообразных изгибов складчатых структур при сдвигах по ограничивающим разломам появляются эшелонированные мелкие складки и сколовые нарушения. При этом преобладают системы нарушений, параллельные осям складок или косо к ним ориентированные. Интенсивность оруденения возрастает как вдоль осей складок, так и в связи с отдельными кососекущими трещинами.

В толщах разнородного литологического состава при подстилании тонкослоистых терригенных и карбонатно-терригенных толщ массивными известняками мелкая складчатость возникает, как правило, вдоль поверхности налегания первых на вторые. Ориентировка складок обычно совпадает с направлениями разрывных нарушений, ограничивающих рудные поля и передающих наибольшую тектоническую нагрузку (надвиги, взбросы, взбросы-сдвиги). При этом вследствие большей пластичности перекрывающей толщи в ней возникают складки сундучного облика, сопровождающиеся сильным брекчированием пород в ядерной части.

В подстилающих массивных и грубослоистых известняках (кроме крутопадающих) могут развиваться также пологие кососекущие трещины скола с глинками трения. Такие трещины нередко оказывают экранирующее влияние на растворы.

В структурах данного типа локализуются преимущественно телетермальные руды ртути, сурьмы, свинца, флюорита, несколько реже – среднетемпературное оруденение золота, висмута, меди. Классическим примером рудных полей данного вида является Никитовское в Украине (см. рис. 1.22).

Важными факторами, контролирующими размещение оруденения, являются отслоения, избирательное дробление более хрупких пластов, сочетание секущих нарушений с благоприятными породами, экранирование. Большую роль играют дорудные изменения пород, особенно окварцевание, повышающее их хрупкость, проницаемость, а в отдельных случаях и химическую активность.

В рудных полях данного типа наряду с согласными телами широко развиты также секущие и сложные.

Рудные поля в блокированных горст-антиклиналях и грабен-синклиналях. Принципиальная схема (разрез) рудного поля в блокированной горст-антиклинали показана на рис. 1.55. Характерная особенность разреза, определяющая возможность формирования рудных полей данного типа – наличие двух или трех толщ (сланцевая, карбонатная, эффузивная) с различными тектоническими свойствами. В складчатой структуре эти рудные поля располагаются, как правило, на крыльях крупных антиклинориев и во всех известных случаях приурочиваются к местам их изгиба в плане. Рудные поля размещаются в блоках между сближенными субпараллельными, продольными или секущими разломами. Узкие горст-антиклинальные структуры возникают обычно в условиях сжатия, ориентированного нормально к простиранию разломов. Очевидно, большое значение играют подстилающие сланцы, способные в силу своей пластичности трансформировать тангенциальное сжатие в вертикальные движения и подобно пуансону выжимать лежащие выше блоки относительно более хрупких пород, ограниченные сближенными разломами.

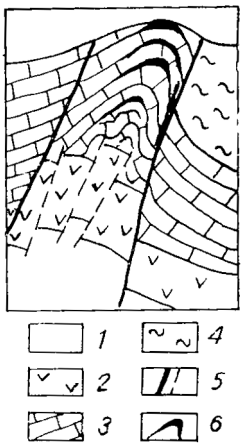


Рис. 1.55. Принципиальная схема рудного поля в блокированной горст-антиклинали. Разрез [Атлас]:

1 – сланцы; 2 – вулканиты; 3 – известняки; 4 - терригенные породы; 5 – разломы; 6 – рудные тела

При перекрывании эффузивами известняки, как правило, залегают полого и при блоковых перемещениях приобретают секущие тектонические контакты, создающие возможность блокирования. При этом в условиях горизонтального сжатия, направленного по слоистости, возникают многоярусные отслоения, сопровождающиеся дроблением, развитием секущих нарушений и иногда согласным внедрением интрузивных даек. Формируются рудные тела сложного типа с преобладанием согласных элементов. При наличии подстилающих эффузивов известняки могут приобретать иные залегания и образовывать крутые складки. Условия деформации при этом существенно изменяются. Горизонтальное сжатие может быть ориентировано нормально или косо к слоистости, в известняках же возникают многочисленные сколовые нарушения. Контролируемые ими рудные тела приурочиваются к изгибам или пересечениям трещин и представлены крутопадающими столбообразными сложноветвящимися телами.

При подстилании известняков эффузивами условия деформации первых существенно меняются. В случае блокирования продольными разломами известняки, не прикрытые сверху жесткими породами, легко сминаются в складки: формируются крутые, тесно сжатые антиклинали, сорванные с жесткого основания. На крыльях и в осевых частях складок возникают многочисленные отслоения, сопровождающиеся дроблением пород. Блокирующие разломы служат и подводящими каналами. Образуются рудные тела сложного типа, в которых в зависимости от позиции могут преобладать либо согласные, либо секущие элементы. Сходные структуры формируются при перекрывании грубослоистых известняков сланцами. Таким образом, на структурные особенности влияют не только тектонические свойства пород, но и в большей мере характер их проявления в зависимости от того или иного сочетания толщ.

В структурах данного типа локализуются преимущественно среднетемпературные полиметаллические комплексы руд, подчиненное значение имеют сурьмяно-ртутные и флюоритовые.

Рудные поля в синклиналях, осложненных разломами. Синклинальные прогибы залегают обычно между антиклинальными поднятиями, в ядрах которых размещаются интрузивные тела, образующие жесткие упоры. Разрывные нарушения, развивающиеся на крыльях, падают, как правило, под антиклинали и являются обычно надвигами, взбросами, взбросо-сдвигами.. Поэтому при горизонтальном тектоническом сжатии (характерно для этапа минералообразования) и блокировании продольными нарушениями синклинали могут продолжать развиваться как грабен-синклинали. Если взбросовые движения по ограничивающим разломам сопровождались сдвигами, слоистых толщах могли возникать системы мелких эшелонированных складок и сопряженные с ними системы сколовых трещин.

В слоистых толщах (терригенных и карбонатно-терригенных) при многократном переслаивании горизонтов с различными тектоническими свойствами более хрупкие породы дробятся интенсивнее.

Принципиальная схема рудного поля в синклинали, осложненной разломом, показана на рис. 1.56.

Известные из сопротивления материалов явления, наблюдающиеся при поперечном изгибе упругих тел, проявляются в определенной мере и при поперечном изгибе пластов. Экспериментальное моделирование, выполненное М. В. Гзовским, а затем и другими исследователями с использованием оптически активных материалов показало, что и при боковом (тангенциальном) сжатии, и при действии вертикальных сил картины распределения напряжений в модели пластов при поперечном изгибе идентичны: наибольшее растяжение испытывает сводовая, а наибольшее сжатие – вогнутая часть пластов. В изогнутой части возрастает контрастность в распределении касательных напряжений.

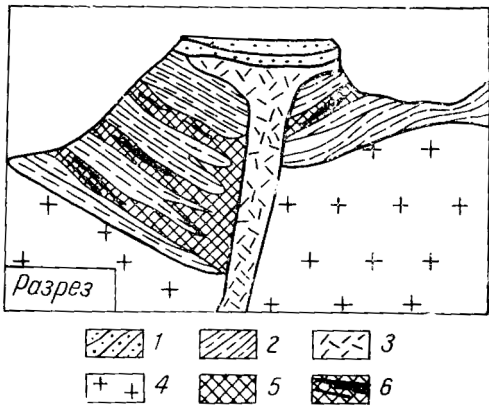


Рис. 1.56. Принципиальная схема рудных полей в синклиналях, осложненных разломами [Атлас]:

1 – мезозойские отложения; 2 – терригенные породы; 3 – вулканиты; 4 – гранодиориты; 5 – благоприятная среда для рудоотложения; 6 – оруденение

В результате при перекрывании известняков эффузивами трещины отрыва располагаются вдоль оси синклинального изгиба и развиваются снизу вверх. По ним могли происходить излияния эффузивов, а позже – их гидротермальные изменения.

При дальнейшем горизонтальном сжатии вдоль поверхности налегания эффузивов на известняки возникали отслоения, сопровождавшиеся дроблением базальных горизонтов, интенсивность которого, как правило, уменьшается в направлении крыльев. Одновременно снижается и интенсивность минерализации – рудные тела выклиниваются. Структуры синклинального типа благоприятствуют размещению оруденения в силу высокой проницаемости пород в их осевых частях, сохранности наиболее разнородных литологических разрезов и, следовательно, большей их мобильности и податливости тектоническим деформациям. Важным фактором рудоносности синклиналей являются также секущие разломы.Масштабы месторождений, локализованных в этих структурах, колеблются в широких пределах и могут достигать значительных размеров.

В синклинальных структурах наиболее распространены пологие пластообразные тела, связанные с литологически обособленными благоприятными горизонтами. Вблизи секущих рудовыводящих каналов важное значение приобретают сложные тела, образованные сочетанием согласных и секущих. В слоистых карбонатно-терригенных толщах возможно многоэтажное размещение рудных тел.

Рудные поля в разрывных структурах

Рудные поля с преобладающим влиянием разрывных нарушений на размещение оруденения (разрывные) связаны с элементами дизъюнктивной тектоники и развиты преимущественно в породах эффузивных и интрузивных формаций, меньше – в карбонатных. В остальных формациях встречаются как исключение. Выделяются девять типов.

Рудные поля в искривлениях поверхностей отдельных разрывных нарушений. Размещаются преимущественно в крупных интрузивах на крыльях складчатых структур и реже в их осевых частях. Нередко приурочиваются к дизъюнктивным нарушениям, оперяющим крупные глубинные разломы. Оруденение локализуется в искривленных участках разломов, которые при существовавшем во время минералообразования плане деформаций оказывались приоткрытыми, разгруженными от горизонтального тектонического сжатия.

В зависимости от морфологических особенностей рудовмещающих разломов характер приоткрывания искривленных участков может быть различным, однако непременным условием является относительное смещение смежных блоков пород в плоскости разлома. Решающие факторы длительного сохранения искривленных участков в приоткрытом состоянии – размеры граней, прочностные свойства пород и глубина формирования. Чем выше прочность пород и меньше глубина формирования месторождения, тем большие по размеру участки разломов способны к длительному сохранению приоткрытых полостей.

На рис. 1.57 приводятся разные варианты приоткрывания искривленных участков разломов.

Случай *а* – весьма распространенный пример приоткрывания небольшой по размеру грани разлома. Масштабы локализованного здесь оруденения обычно невелики. Чаще всего это отдельные рудные тела или небольшие месторождения. Иногда основная рудная залежь, размещенная непосредственно в разломе, сопровождается системой мелких эшелонированно расположенных жил, проектирующихся на приоткрытую грань. Присутствие таких жил указывает на наличие горизонтального растяжения, возникшего под влиянием приоткрытой грани разлома.

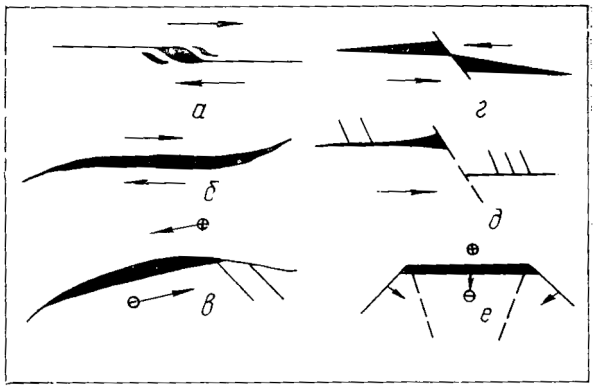


Рис. 1.57. Принципиальная схема приоткрывания искривленных участков разломов [Атлас]:
пояснения см. в тексте

В условиях высокой механической прочности пород, например, в эффузивах, создаются предпосылки для длительного сохранения в приоткрытом состоянии участка большей длины, чем смежные (случай *б*).

Случай *в*, широко распространенный среди рудных полей данного типа в интрузивных породах, иллюстрирует условия приоткрывания плавно искривленного участка разлома с изменяющимся радиусом кривизны. Приоткрывание возникает вследствие соприкосновения участков с различной кривизной изгиба в результате смещения в плоскости разлома.

Если приоткрытой (несущей) является короткая грань (*г*), то смежные с ней более протяженные участки максимально приоткрываются вблизи несущей грани, а по удалению от нее постепенно выклиниваются. Образуются системы кулисообразных жил. Вследствие развития оперяющих сколовых трещин одна из приоткрытых граней может закрыться (*д*). Тогда мощности рудной залежи распределяются асимметрично.

Иногда элементы залегания изменяются резко (*е*). При этом поверхность разлома становится как бы граненой. Условия приоткрывания отдельных граней зависят от со-

отношения элементов залегания смежных граней и положения ребер. В случае параллельного их склонения приоткрывания граней не произойдет. При расхождении их по падению при сбросовом смещении приоткроется центральная грань, при взбросе – смежные с ней.

Морфологические типы рудных тел зависят от вида смещения по разлому. При сдвигах возникают рудные столбы, контролируемые изменениями простирания разлома, при сбросах и взбросах – лентовидные линзы, при косых смещениях – наклонные столбы и линзы, размеры которых варьируют в широких пределах. По составу оруденения преобладают низкотемпературные флюоритовые и свинцовые месторождения, реже устанавливается золоторудная минерализация. Наиболее крупные масштабы имеют флюоритовые поля; свинцово-цинковые и золоторудные представлены средними и мелкими.

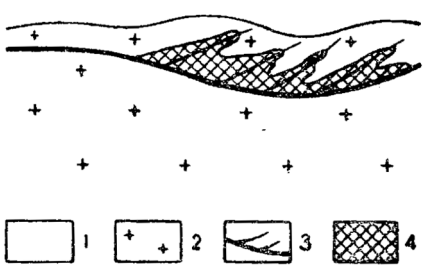
Вертикальный размах оруденения, как правило, ограничен 300-400 м. Выклинивание оруденения обусловливается либо изменением элементов залегания разлома, либо постепенным уменьшением мощности с глубиной, поскольку данный участок при существующей прочности вмещающих пород не может длительно сохраняться в приоткрытом состоянии. Таким образом, наличие пород с повышенной механической прочностью и большей устойчивостью является важным фактором локализации оруденения.

Наибольшее количество полей и месторождений данного типа встречается в породах интрузивной формации. Следовательно, разломы простого строения возникают преимущественно в однородных породах.

Рудные поля в оперенных разломах возникают преимущественно в породах карбонатных и интрузивных формаций и связаны обычно с крупными продольными, реже – поперечными разломами. (Имеется в виду ориентировка разломов относительно складок, определяющих структуру площади). Оруденение размещается как в самих разломах, так и в оперяющих их трещинах. Последние формируются под влиянием различных морфологических элементов разломов и тяготеют к их ребрам. Это обусловлено концентрацией сколовых тектонических напряжений вдоль ребер, разделяющих прикрытые и приоткрытые грани, и возможностью реализации этих напряжений в последних.

В карбонатных толщах системы оперяющих трещин обычно приобретают разную ориентировку, подчиняясь складчатым элементам структур. Многочисленные рудные тела при этом оказываются разобщенными, связанными между собой только безрудными или слабоминерализованными тектоническими швами. Преобладают рудные тела секущего типа, хотя в случаях развития деформаций вдоль напластования пород появляются согласные и сложные. В изгибах контролирующего разлома возможны столбообразные рудные тела. В интрузивных массивах системы оперяющих трещин распределяются более равномерно и оруденение образует компактные рудные залежи средних размеров.

Принципиальная схема геологического строения месторождения в оперенном разломе (план) приводится на рис. 1.58.



Трещины оперения развиваются преимущественно при сдвиговых смещениях (сдвиго-сбросы, сдвиго-взбросы). Нередки пологие системы минерализованных трещин. Эти факты свидетельствуют о горизонтальном тектоническом сжатии в момент минералообразования.

По составу оруденения среди рудных полей этого типа преобладают свинцово-цинковые. Подчиненное значение имеют

Рис. 1.58. Принципиальная схема месторождения Сардоб (план) [Карам]:
1 – сланцы; 2 – гранитоиды; 3 – рудоконтролирующий разлом с трещинами оперения; 4 – оруденение

мышьяковые и оловорудные. Обычно это мелкие и непромышленные месторождения.

Рудные поля в сложных разломах являются одним из наиболее распространенных типов данной группы. Преобладают в эффузивных и несколько меньше в интрузивных формациях; реже встречаются в карбонатных и сланцевых. Формируются на крыльях складчатых структур, в областях синклинальных прогибов и мульд проседания, заполненных эффузивами. Чаще всего образуются в крупных тектонических блоках, ограниченных протяженными разломами глубинного залегания в виде кососекущих зон. Очевидно, возможны в зонах глубинных разломов.

Сложный разлом – это тектоническая зона, в строении которой участвует серия ветвящихся, косо сопрягающихся мелких разломов и крупных трещин. Ее мощность может достигать первых сотен метров. Зона сложного разлома состоит из большого количества мелких тектонических блоков, среди которых преобладают удлиненные линзообразные, иногда клиновидные. В процессе тектонических деформаций каждый блок имел некоторую, хотя и ограниченную, возможность индивидуального перемещения относительно смежных блоков, и поэтому в каждом из них мог возникать свой частный план деформаций. Для формирующихся при этом зон оруденения характерна общая вытянутость вдоль разломов. В то же время отдельные рудные тела в указанных зонах могут приобретать различную ориентировку и образовывать участки штокверкового строения. Размещение отдельных рудных тел контролируется участками искривления трещин и разломов. Благодаря разнообразию направлений смещений смежных тектонических блоков контроль размещения оруденения также сложен. В смежных трещинных структурах могут осуществляться одновременно в одном случае сбросовая, а в другом – взбросовая схемы смещения (или иные их комбинации).

Схема размещения оруденения в сложном разломе (план) представлена на рис. 1.59.

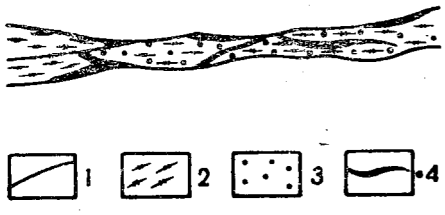


Рис. 1.59. Схема размещения оруденения в сложном разломе (план) [Карамазар]:
1 – линии разрывных нарушений; 2 – зона дробления пород; 3 – вкрапленное оруденение; 4 – рудные тела

Рудные тела представлены простыми и сложными крутопадающими жилами, столбообразными и линзообразными телами преимущественно небольших размеров. Нередко они образуют системы эшелонированных или кулисообразных трещин и даже штокверковые зоны. Преобладает свинцово-цинковая и золоторудная минерализация. Подчиненное значение имеет оловорудная, висмутовая и флюоритовая. Наиболее распространены средние и мелкие поля мезотермального типа.

Рудные поля в тектонических пластинах. Тектонические пластины формируются обычно в зонах сложных разломов, имеющих длительную историю развития и значительные амплитуды смещений. Чаще всего они возникают на крыльях антиклинальных структур, с максимальными амплитудами смещений по разломам. Описаны разные механизмы их формирования: поступательно-возвратные перемещения смежных блоков по нарушениям, гравитационного выскальзывания пластин в трещины отрыва из лежащих выше пород и др. Если пластина представлена известняками, то под действием по-

слемагматических растворов, она может подвергнуться скарнированию, что способствует локализации в них полиметаллического оруденения.

При анализе условий образования тектонических пластин отчетливо выявляются два этапа в истории развития структуры рудного поля: горизонтальное растяжение, предшествовавшее скарнированию, и сжатие, соответствовавшее стадиям оруденения. Принципиальная схема размещения оруденения в тектонических пластинах приводится на рис. 1.60.

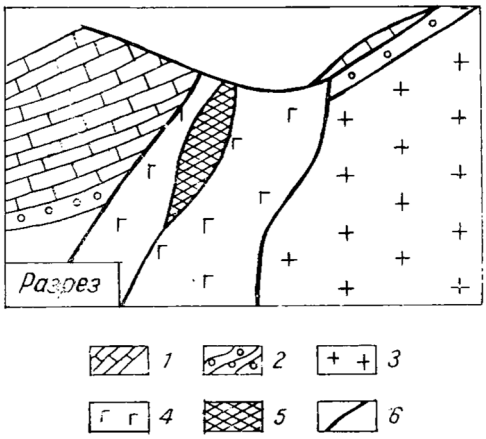


Рис. 1.60. Принципиальная схема размещения оруденения в тектонических пластинах [Атлас]:
1 – известняки; 2 – конгломераты; 3 – гранодиориты; 4 – гранодиорит-порфиры; 5 – скарнированные известняки с оруденением; 6 – разлом

Масштабы рудных полей, связанных с этим типом структур, незначительны.

Рудные поля в пересечениях разломов распространены ограниченно и проявляются главным образом в породах эффузивных формаций (Рис. 1.61). Располагаются в синклинальных прогибах и мульдах проседания, приурочиваясь е пересечениям (или сопряжениям) разломов, ограничивающих крупные тектонические блоки. Оруденение, как правило, размещается в одном из разломов, оказавшемся в момент минералообразования в положении оперяющей трещины отрыва. Рудные тела представлены чаще всего крутопадающими столбообразными линзами в участках искривления рудовмещающего нарушения, довольно быстро выклинивающимися по простиранию. Значение этого типа невелико.

Рудные поля в сопряженных разломах. Сопряженными разломами мы называем такие их сочетания, при которых относительные перемещения по ним, определяющие взаимное расположение прикрытых и приоткрытых участков, являются как бы зеркальными отражениями.

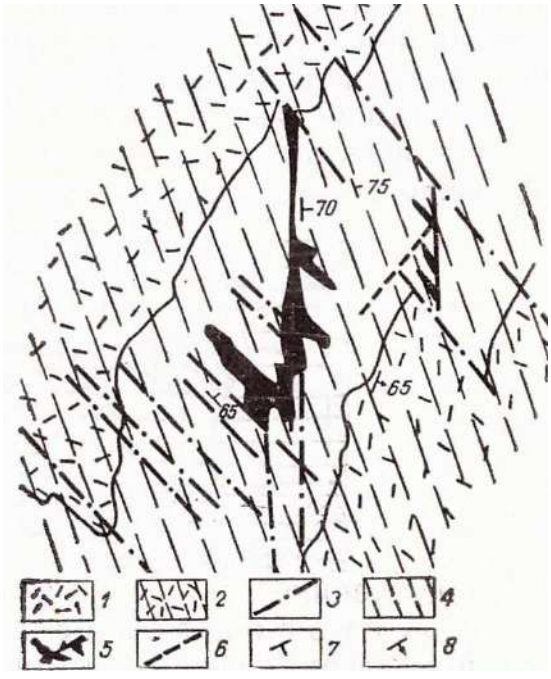


Рис. 1.61. Схематический геологический план месторождения Греховское (по Х. А. Акбарову):
1 – туфы кварц-альбитовых риолитов; 2 – горизонт часто переслаивающихся туфов и алевролитов; 3 – дорудные дизъюнктивные нарушения; 4 – сланцеватость; 5 – рудные тела; 6 – разломы; 7 – залегание слоистости

Рудные поля в сопряженных разломах

Подобные условия возникают обычно при наличии сходящихся разломов в породах, обладающих высокими прочностными свойствами, проявляющих преимущественно хрупкие деформации и в малой степени способных к складкообразованию. Заключенный между такими разломами тектонический блок способен к некоторому перемещению только внутри ограниченного им пространства. При этом если по одному из разломов происходит левое смещение, то по сопряженному – правое. Зеркальные соотношения устанавливаются также для распределения деформаций и размещения оруденения. Как и в других случаях преобладания сдвиговых смещений, в разломах локализуются преимущественно столбообразные и линзообразные тела. Рудные залежи в целом вытянуты по простиранию. Границами рудных тел по падению служат, как правило, пологие ребра, разделяющие грани с различными углами падения.

В размещении минерализации обычно устанавливается нормальная вертикальная зональность: на глубинке появляются более высокотемпературные комплексы. При этом частичное перекрывание ранних парагенетических ассоциаций последующими свидетельствует о сохранении плана деформаций1 в процессе минерализации.

Рудные поля в сопряженных разломах возникают обычно в областях блокового строения и характерны для площадей распространения магматических формаций. Важная особенность строения таких районов – наличие крупных разломов разных направлений, создающих систему замкнутых или ограниченных в плане тектонических контуров. В их пределах невозможны независимые перемещения отдельных блоков. Благодаря высокой жесткости пород и ограниченной способности к складкообразованию смещение по одному из ограничивающих разломов обязательно сопровождается смещениями по другим, сопряженным с ним. Это обстоятельство позволяет анализировать историю кинематики тектонических блоков и определять направления относительных перемещений по всем разломам внутри замкнутого тектонического контура.

В настоящее время примеры рудных полей в сопряженных разломах единичны.

Рудные поля в блоках между субпараллельными разломами. Субпараллельными разломами мы называем пространственно сближенные и подобно искривленные дизъюнктивные нарушения, возникшие в единых тектонических условиях. Такие разломы могут формироваться в различной обстановке.

Иногда они возникают под влиянием морфологических особенностей более крупных разломов (Рис. 1.62 *а, б*). Чаще всего это отмечается в квазиизотропных породах - интрузивных массивах и эффузивных толщах. В условиях сдвига (случай *а*) под влиянием концентрации напряжений вблизи ребер появляются сколовые трещины, развивающиеся параллельно. В случае *б* аналогичные условия усугубляются гравитационным проседанием блока, ограниченного субпараллельными трещинами.

Субпараллельные нарушения возникают при осложнении тектоническими движениями контактов даек, внедрившихся в трещинные структуры нормального приоткрывания (*в*). Если вдоль ранее существовавшего нарушения (*г*) породы в результате вторичных изменений (например, окварцевания) приобрели повышенную прочность, то при последующих тектонических импульсах трещины скола развиваются по границе зон изменений, образуя параллельные структуры (II).

Субпараллельные сколовые нарушения характерны для хрупких эффузивных толщ, перекрывающих сложные зоны разломов в подстилающих более пластичных сланцевых и карбонатных формациях пород (*д*).

Наконец, в мощных метаморфических толщах в зонах смятия обособляются системы субпараллельных тектонических поверхностей, разграничивающих блоки пород

с различной степенью рассланцованности или с неодинаковой интенсивностью метаморфизма (*е*).

Положение оруденения в полях этого типа зависит от особенностей распределения в породах деформаций, связанных с наличием в разломах подобно искривленных участков. Оптическое моделирование системы субпараллельных разломов выявляет весьма своеобразные особенности распределения в них тектонических напряжений.

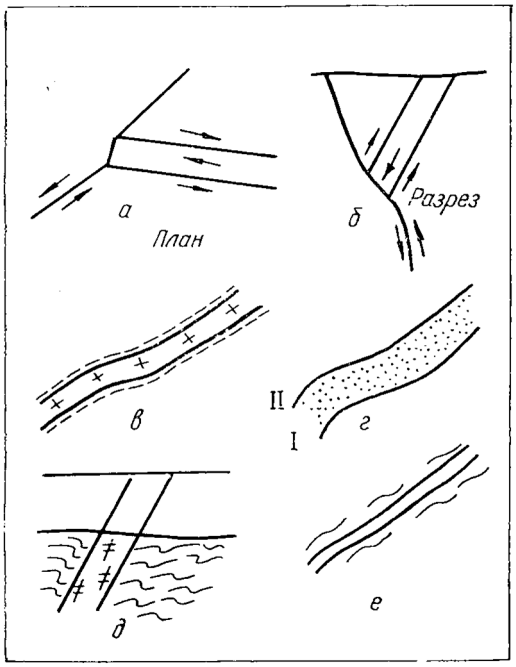


Рис. 1.62. Принципиальная схема формирования рудных полей в субпараллельных разломах [Атлас] (пояснения в тексте)

При этом рассматривалось два случая. Первый – сдвиг, искривленные участки которого прикрыты (разгружены). При этом максимальная концентрация касательных напряжений происходит вдоль разломов на всем их протяжении, несколько снижаясь вблизи ребер. В участках разломов, соответствующих разгруженным, напряжения концентрируются во внутреннем, а на искривлениях, соответствующих нагруженным, – во внешнем блоке. Одновременно во внутренней части блока на участке искривления напряжения несколько ослабляются. В естественных условиях это явление проявляется в ин-тенсивном дроблении пород вдоль разломов и в появлении редких трещин скола на флангах. Во внутренней части блока на участке искривления интенсивных деформаций не происходит.

Второй случай – искривленный участок находится в приоткрытом разгруженном состоянии. Распределение напряжений существенно отличается от предыдущего. В самих разломах напряжения концентрируются только на участке искривления. При этом во внутреннем блоке напряжения возрастают (за счет осевой нагрузки, создаваемой фланговыми участками), а в прилегающих снаружи – снижаются. Концентрация напряжений в искривленном участке, который находится в положении разгруженного (с внешней стороны напряжения слабые), обусловливает высокую интенсивность дробления пород.

Во внутреннем блоке искривленного участка возникают многочисленные трещины отрыва, выполненные минеральными жилами. Жилы локализуются также в приоткрытых участках субпараллельных разломов. Прилегающие же приоткрытые участки практически не минерализуются.

Таким образом, в рудных полях, контролируемых субпараллельными разломами, рудные тела локализуются как внутри блоков, так и в ограничивающих разломах. При этом размещение оруденения зачастую подчиняется контролю субпараллельными поверхностями. Масштабы рудных полей этого типа невелики.

Рудные поля в клиновидных структурах. Клиновидные структуры известны практически во всех формациях пород и во всех структурных этажах. Выделяются структуры трех видов (Рис. 1.63).

Формирование первого вида связано с антиклиналями в сланцевых и карбонатных толщах и обусловлено либо развитием кососекущих разломов (Рис. 1.63 а), оперяющих крупные продольные нарушения на их крыльях, либо с продольными разломами, сближенными вследствие ундуляции складок (Рис. 1.63 б).

Клиновидные структуры второго вида обусловлены поперечными изгибами складок и появлением при этом продольного осевого сжатия (Рис. 1.63 в). Под влиянием такого сочетания усилий развиваются системы секущих разломов и происходит выжимание возникших клинообразных блоков в сторону широкой части.

Структуры третьего вида формируются в хрупких породах (интрузивные, вулканогенные). При появлении крупных разломов и оперяющих их мелких нарушений возникают значительные по размерам тектонбические блоки, в свою очередь разбивающиеся сколовыми нарушениями на более мелкие клиновидные тела, в которых и размещается оруденение (Рис. 1.63 г).

При выжимании клиновидных структур по ограничивающим разломам осуществляется противоположные схемы смещения (по схеме сопряженных разломов). Однако в отличие от структур в сопряженных разломах оруденение в клиновидных блоках локализуется во внутренних частях. Это связано с тектоническими свойствами пород и особенностями распределения тектонических напряжений.

Хотя общее число рудных полей, относящихся к этому типу, еще ограничено, относительное значение их чрезвычайно велико. В подобных структурах размещены золоторудные, сурьмяные и полиметаллические рудные поля.

Рудные поля в интрузивных контактах

В эту группу относятся рудные поля, связанные главным образом со структурами контактов интрузивных тел. Различаются контактовые поверхности, непосредственно контролирующие размещение оруденения, и поверхности, вдоль которых в дорудные этапы сформировались рудовмещающие породы контактово-метасоматической формации. Практически во всех рудных полях оруденение располагается в скарнах различного состава. Первые чаще представлены контактами интрузивных тел (дайки, штоки, крупные интрузивные тела), в которых размещение оруденения контролируется в основном морфологическими особенностями контактовых поверхностей и в меньшей мере - петрографическим составом пород. Размещение оруденения в рудных полях, связанных с породами контактово-метаморфической формации, характеризуется высокой сложностью. Тектонические условия формирования пород данной формации (имеются в виду преимущественно скарны, существенно отличаются от условий, присущих рудоотложению. Скарны формируются почти исключительно на фоне горизонтального тектонического растяжения, тогда как отложение оруденения в них происходит, как правило, в условиях сжатия. Наиболее благоприятны для формирования скарнов контакты гранитоидных интрузивов с карбонатными породами, а также дизъюнктивные нарушения глубокого заложения. Нередко таким нарушением является сама контактовая поверхность. Эта группа включает пять типов рудных полей.

Рудные поля в согласных и подобных контактах интрузивов с вмещающими породами. Согласные и подобные контакты интрузивов с вмещающими породами формировались различными путями. Наиболее распространены случаи согласного залегания интрузивных тел. Они характерны для формаций карбонатных пород, проявляющих несущие свойства и способных к длительному сохранению магматической камеры, в которой происходило становление интрузива. В складчатых областях со сложными разрезами, в которых карбонатные породы подстилаются сланцевыми, подобные контактовые поверхности возникают в результате того, что интрузивные процессы, развивающиеся путем магматического замещения и ассимиляции сланцев, приостанавливаются, достигнув карбонатной кровли, из-за существенного различия в их теплопроводности.

Интрузивные тела батолитовой стадии формировались в антиклинальных структурах в условиях регионального горизонтального сжатия. Поэтому у них часто проявляется связь между элементами залегания: участки контактовых поверхностей, ориентированные нормально к направлению сжатия, имеют большие углы падения, а участки

периклинальных замыканий – меньшие. В интрузивных телах, сформировавшихся путем заполнения трещин отрыва, такая связь между азимутами и углами падения отсутствует. Наличие закономерной связи между азимутами и углами падения крупных интрузивных массивов позволяет прогнозировать морфологию контактовых поверхностей.

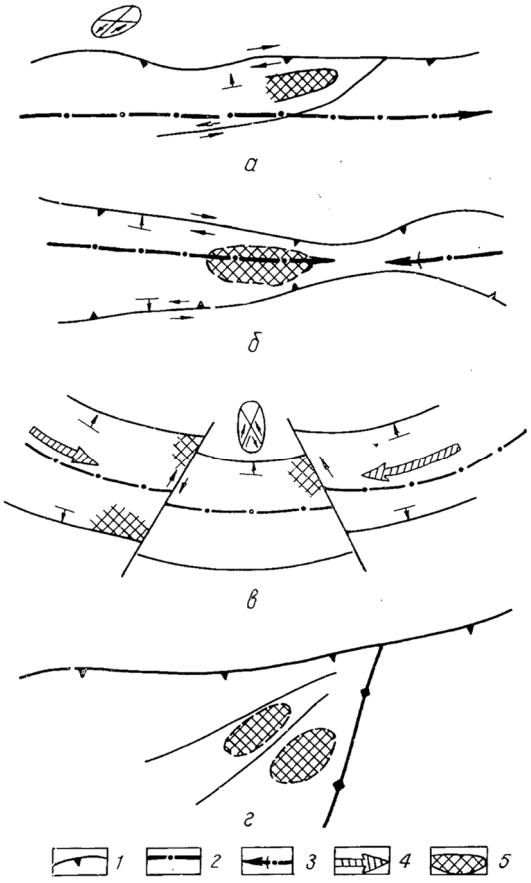


Рис. 1.63. Формирование рудных полей в клиновидных структурах [Атлас]:
1 – ограничивающие разломы; 2 – осевая линия структуры, испытывающей поперечный изгиб; 3 – оси антиклиналей; 4 – направление осевого сжатия; 5 – площади развития минерализации

Характерная особенность полей данного типа – плащеобразный контакт интрузивных пород с вмещающей толщей, пересекаемый системами рудоподводящих трещин. Контакты, как правило, пологие; скарны формировались на фоне гравитационного сползания пород кровли по поверхности интрузива. Приоткрывания участков контактовой поверхности могли происходить под влиянием разных причин (Рис. 1.64).

В условиях горизонтального тектонического растяжения происходит гравитационное сползание кровли по поверхности интрузива, при этом контактовая поверхность приоткрывается по схеме обычного сброса: пологие участки оказываются прикрытыми (нагруженными), а крутопадающие – приоткрытыми (разгруженными). Логообразные прогибы контакта сохраняются приоткрытыми более длительное время, чем антиклинальные выступы. Поэтому эти прогибы, особенно пересекаемые трещинами и разломами, а также участки, круто падающие в сторону сползания пород кровли, наиболее благоприятны для локализации скарнов. В этих условиях скарны занимают значительные по размерам (многие квадратные километры), но обособленные (пятнообразные) площади. Оруденение распространяется почти по всей массе скарнов, но размещается в них неравномерно. Интенсивность оруденения возрастает вблизи рудоподводящих каналов, трещин, даек. Богатые тела образуют линзы, гнезда, удлиненные залежи. Мощности рудных тел заметно увеличиваются в местах логообразных прогибов и пересечения их трещинами, вблизи упоров, образованных секущими дайками, так как при этом

известняки отслаиваются от поверхностей контактов. Скарны как породы весьма хрупкие, подвергаются интенсивному дроблению. Между мощностью скарнов и содержанием в них рудных компонентов, как правило, существует прямая зависимость. Под влиянием даек в породах кровли могут возникать разрывы, в которых локализуются секущие рудные тела.

По составу руд в данном типе преобладают вольфрамовые (шеелитовые); подчиненную роль играют железорудные и свинцово-цинковые. Промышленное значение данного типа достаточно высоко.

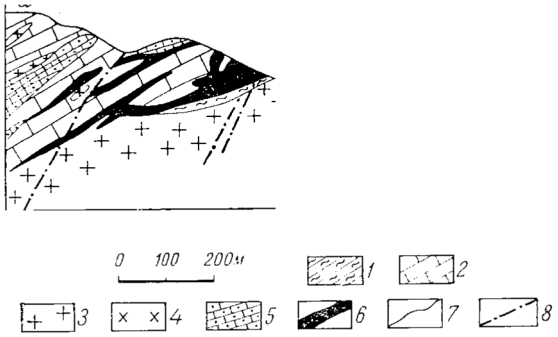


Рис. 1.64. Форма скарновых залежей Лянгарского месторождения [ВЯ]:
1 – сланцы; 2 – мраморизованные известняки; 3 – адамеллиты; 4 – тоналиты; 5 – известково-силикатные роговики; 6 – скарны; 7 – кварцевые жилы; 8 – разрывные нарушения

Рудные поля в грабенах и прогибах пород кровли размещаются на крыльях складчатых структур, в поперечных прогибах, в зонах крупных продольных разломов, насыщенных интрузивными телами щелочного и основного составов. Возникающие при этом породы контактово-метаморфической формации представлены преимущественно интенсивно серпентинизированными известняками и доломитами, являющимися в одних случаях останцами кровли интрузива, сохранившимися в местах ее прогибания, а в других –ксенолитами вмещающих пород среди магматических образований. При этом во вмещающие породы интрудировали многочисленные апофизы и дайки, создавшие резко неоднородную структуру.

Оруденение локализуется вдоль контактов интрузивов и даек. На размещение оруденения влияют как морфология контакта ксенолитов с вмещающими интрузивными породами, так и морфология осложняющих дизъюнктивных нарушений. Наиболее богатые рудные тела приурочены к тем участкам контактовых поверхностей и секущих нарушений, которые ко времени оруденения находились в приоткрытом, ослабленном состоянии. Вдоль даек, апофиз и штокообразных тел локализуются линзообразные, плащеобразные, обертывающие, сложные тела. При небольших размерах останцы и блоки карбонатных пород могут почти полностью быть метаморфизованными и замещенными оруденением. Рудные поля этого типа распространены ограниченно. По масштабам они в основном относятся к мелким и средним, однако не исключена возможность выявления и крупных. В качестве примера на рис. 1.65 приводится разрез полиметаллического месторождения Кургашинкай в Средней Азии.

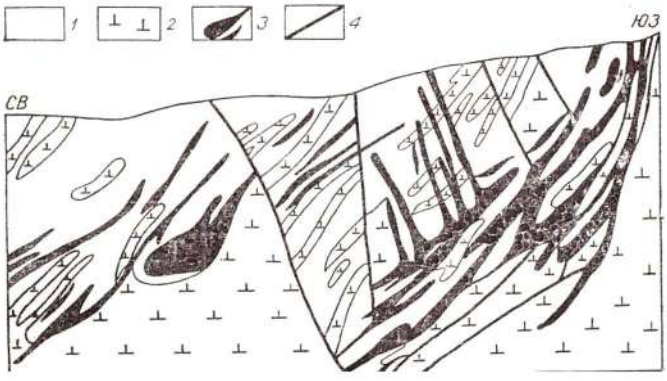


Рис. 1.65. Геологический разрез месторождения Кургашинкан (по Х. А. Акбарову):
1 – известняки; 2 – диориты; 3 – рудные тела; 4 - разломы

Рудные поля в секущих контактах интрузивов с вмещающими породами характеризуются наибольшим структурно-морфологическим разнообразием. Они размещаются на крыльях крупных антиклинальных структур в карбонатной и карбонатно-терригенной формациях в контактах интрузивных тел, осложненных крупными дизъюнктивными нарушениями. Различаются секущие контакты, по которым с интрузивным телом контактируют либо однородные, либо разнородные по литологическому составу и физико-механическим свойствам породы кровли. Сочетания пород с однородными свойствами возникает обычно в карбонатной или эффузивной формациях.

При прорывании ранних интрузивных тел поздними возникшие контактовые поверхности в случае последующего тектонического их обновления нередко оказываются рудоконтролирующими. Их формирование, как правило, сопровождается интенсивными изменениями контактирующих пород (серицитизация, хлоритизация, окварцевание).

Формы рудных тел и условия их залегания определяются морфологией контактовой поверхности и характером смещения вдоль нее. Чаще всего рудоконтролирующим смещением является взброс. Поэтому на размещение оруденения влияют преимущественно изменения углов падения. Рудные тела образуют в плоскости контакта пологосклоняющиеся лентовидные и столбообразные залежи, приуроченные к граням с меньшими углами падения. Это оказывается возможным благодаря сохранению приоткрытых полостей контактовой поверхности. Крутопадающие грани контакта находились в приоткрытом состоянии. Во вмещающих породах под их влиянием развивались системы пологопадающих (5-10^{o}) трещин отрыва, несущих жильную и вкрапленную рудную минерализацию.

Примером служит полиметаллическое рудное поле Верхнее на Дальнем Востоке (Рис. 1.66).

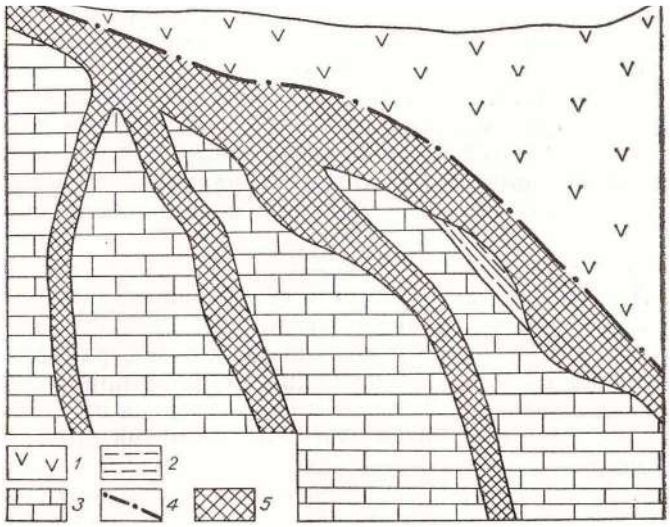


Рис. 1.66. Схема геологического строения месторождения Верхнее (по Х. А. Акбарову):
1 – кварцевые риолиты; 2 – кремнистые породы; 3 – известняки; 4 – разломы; 5 – рудные тела

Промышленное значение рудных полей, связанных с секущими интрузивными контактами, пока невелико. Однако благодаря особенностям структурного и литологического контроля в них преобладает лентообразное залегание рудных тел, которые не всегда вскрываются современным эрозионным срезом. Поэтому следует ожидать более широкого развития скрытого или очень слабо проявленного оруденения.

Соприкосновение интрузива с однородными по составу карбонатными толщами усиливает физическую и механическую анизотропию контактовой зоны. При тектонических воздействиях интрузивное тело как относительно жесткое в меньшей степени подвергается хрупким деформациям, чем окружающие его более мобильные вмещаю-

щие породы. Это обусловливает большую интенсивность хрупких деформаций в приконтактовых зонах. Вдоль контактов возникают пласто- и линзообразные тела скарнов значительного вертикального размаха. На размещение скарнов влияют морфологические особенности контактовых поверхностей, проявляющиеся, как правило, при сбросовых и сбросо-сдвиговых смещениях. Вертикальный размах скарнов лимитируется либо глубиной выполаживания контактовых поверхностей, либо переходом их в иные литологические разновидности пород. При неоднородном составе вмещающих толщ тела скарнов ограничиваются по падению мощностями благоприятных горизонтов и образуют лентообразные залежи значительной протяженности. Скарны и в этих случаях формировались, как правило, на фоне сбросовых движений, осложненных незначительными сдвигами. Поэтому мощности их возрастают на участках крутого падения контактовых поверхностей и снижаются при выполаживании. Оруденение накладывается на скарны и размещается в них неравномерно, локализуясь преимущественно в участках интенсивного дробления и гидротермального изменения. Положение зон дробления в скарнах также связано с морфологическими особенностями контактовых поверхностей лежачего и висячего боков зоны. Наиболее интенсивные тектонические деформации возникают под влиянием тех участков контакта, которые при существовавших движениях оказывались приоткрытыми, нагруженными. Поскольку оруденение формируется в условиях тектонического сжатия, таковыми являются обычно участки крутого падения (приоткрытые при скарнообразовании). Это часто маскирует различия в условиях формирования скарнов и оруденения.

Масштаб рудных полей данного вида чаще всего средний и мелкий. По составу преобладают вольфрамовые, олово-вольфрамовые, полиметаллические. Меньшее значение имеют золоторудные и золото-медные.

Рудные поля в пересечениях контактовых поверхностей разломами. Рудоподводящими каналами в них служат не столько сами контактовые поверхности, сколько зоны пересечения их секущими разломами. Рудные поля формируются преимущественно в карбонатных и карбонатно-терригенных формациях. В складчатых структурах они приурочены к поперечным воздыманиям или прогибам, осложненным поперечными же разломами. Последние представлены обычно сложными тектоническими зонами или дайковыми поясами, что свидетельствует о преобладании растяжения. В интрузивах зоны разломов сопровождаются грейзенизацией и редкометальной минерализацией. В экзоконтактовой части интрузива развиты ореолы метаморфизма, повышающие хрупкость вмещающих пород. Оруденение накладывается на скарны, распространение которых по простиранию контактовой поверхности ограничивается зоной влияния секущего разлома. Скарны локализуются преимущественно на крутых участках контактов и быстро выклиниваются при их выполаживании.

При внедрении интрузива в толщу неоднородного состава, содержащую сравнительно маломощные горизонты известняков, контакт при их пересечении сам приобретает более крутые углы падения.

Масштабы рудных полей данного типа невелики. По составу преобладают вольфрамовые и олово-вольфрамовые.

Рудные поля, связанные с апофизами, дайками и штоками интрузивных пород в породах кровли. Располагаются, как правило, на крыльях антиклинальных структур и приурочиваются либо к крутым продольным разломам, выполненным дайками интрузивных пород, либо к экзоконтактовым зонам крупных интрузивов, осложненных продольными и поперечными дизъюнктивными нарушениями. Оруденение может размещаться либо непосредственно в контакте, породах контактово-метаморфической формации вдоль даек и апофиз.

Условия формирования рудных полей данного типа весьма разнообразны.

Если оруденение локализуется в контактах даек, залегающих в разломах, ведущую роль в его размещении играют искривления контактовой поверхности, приводя-

щие при смещениях по ним к появлению приоткрываний, дробления и трещин оперения.

В карбонатно-терригенной формации оруденение контролируется главным образом литологическими и структурными факторами, приурочиваясь к горизонтам благоприятного состава, а в их пределах – морфологическими особенностями контактовых поверхностей и секущими разрывными нарушениями. Важное значение приобретает состав околожильных изменений. Рудные тела представлены простыми и сложными жилами, линзообразными залежами, рудными столбами, сложными телами.

В карбонатных породах контакты интрузивных тел обычно сопровождаются известковыми скарнами. В зависимости от морфологического типа интрузивного тела скарны образуют контактовые пластообразные и линзообразные залежи, столбообразные и чехлообразные тела (Рис. 1.67 Акб38). Мощности скарнов, как правило, невелики и не превышают первых метров. В связи с пологими апофизами скарны могут возникать под экраном указанных тел. Оруденение в скарнах распределяется неравномерно. Рудные тела локализуются в местах интенсивного дробления и изменения скарнов. На размещение оруденения в первую очередь влияют морфологические особенности контактовых поверхностей и характер тектонических смещений по ним. Рудные тела образуют в скарнах линзы, гнезда, столбы, штокверковые зоны и характеризуются значительной протяженностью (1000-1500 м) и мощностями (первые десятки метров). Вертикальный размах оруденения составляет многие сотни метров, а иногда превышает 1000 м. Выклинивание оруденения обусловливается либо сменой литологического состава пород, либо выполаживанием контактовой поверхности, либо тем и другим вместе. По вещественному составу преобладают полиметаллические рудные поля, меньшее значение имеют вольфрамовые и железорудные.

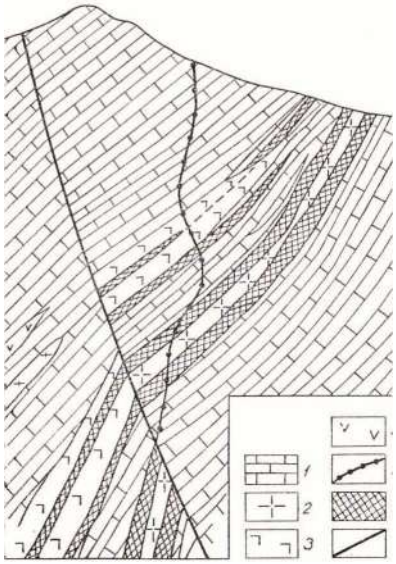


Рис. 1.67. Геологический разрез месторождения Чалата (по Х. А. Акбарову):
1 – известняки; 2 – гранодиорит-порфиры; 3 – гранит-порфиры; 4 – порфировые кварцевые риолиты; 5 – порфировые метадолериты; 6 – скарноворудные тела; 7 – разломы

Масштабы рудных полей варьируют в широких пределах, относительное значение их велико.

В целом рудные поля контактового типа имеют большое промышленное значение. Они содержат разнообразные по составу и различные по условиям залегания руды. Главную роль играют высокотемпературные вольфрамово-молибденовые, вольфрамово-оловянные, железорудные с висмутом, среднетемпературные полиметаллические, висмутовые, медные руды. Низкотемпературные минеральные комплексы присутствуют постоянно, но не имеют промышленного значения.

На масштабы рудных полей значительно влияет характер сочетания различных рудоконтролирующих факторов. Наиболее благоприятны совмещение глубокого рудовыводящего канала с контактовой поверхностью и выдержанность литологического состава пород. В этих случаях размеры рудных тел достигают многих сотен и тысяч метров по падению и простиранию.

При секущем положении рудоподводящих каналов относительно рудоконтролирующего контакта рудные тела в однородных карбонатных толщах при большом вертикальном размахе имеют небольшие размеры по простиранию. В карбонатно-терригенных толщах при небольших мощностях известняковых горизонтов, благоприятных для формирования скарнов, рудные тела имеют по падению ограниченные размеры. Вертикальный размах оруденения определяется мощностями вмещающих пород и условиями контактовой поверхности. Варьируя в широких пределах, он достигает в отдельных случаях 2 км.

Внутриинтрузивные рудные поля

Расслоенные интрузивные массивы основного и ультраосновного состава играют огромную роль в мировой минерально-сырьевой базе. С ними связаны крупнейшие месторождения платиноидов, хромитов и титаномагнетитовых руд Бушвельдского лополита в ЮАР (см. рис.1.24), а также сульфидные медно-никелевые залежи в Норильском и Мончегорском районах РФ.

В расслоенных интрузивных массивах щелочного состава известны редкометальные месторождения. Наиболее значительным из них является Ловозерское месторождение на Кольском полуострове. Редкометальное оруденение содержится в слое луявритов-малиньитов, принадлежащих к третьей фазе массива.

Интрузивные массивы кольцевого строения нередко вмещают месторождения карбонатитового типа. Карбонатиты приурочены к жестким блокам земной коры и связаны с нефелиновыми сиенитами. Наиболее распространены редкометальные карбонатиты, хотя известны также железо- и меднорудные массивы.

Рудные поля в системах прототектонических трещин формируются среди интрузивных массивов гранитоидного состава, в осевых частях антиклиналей. Кварцево-сульфидные жилы размещаются в пологих системах прототектонических трещин (Рис. 1.68 Кар 26). Приоткрывание таких трещин возможно только в условиях интенсивного горизонтального сжатия, о чем свидетельствует наличие на прилегающих площадях крутых поперечных трещин отрыва с аналогичной по составу одновозрастной минерализацией. Приоткрывание пологих трещин свидетельствует также о небольшой глубине формирования жил.

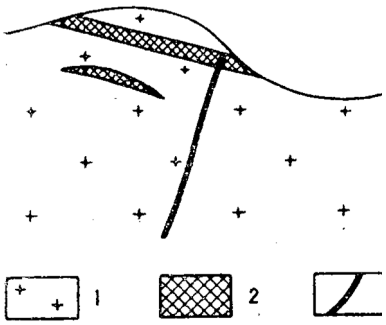


Рис. 1.68. Схематический разрез месторождения в системе прототектонических трещин [Карамазар]:
1 – гранодиориты; 2 – рудные тела; 3 – разрывные нарушения

Масштабы рудных полей невелики, а их промышленное значение ограничено.

Штокверковые зоны в интрузивах среди осадочных и изверженных пород. Располагаются на крыльях антиклинальных структур и приурочены к зонам крупных разломов (Рис. 1.69 Кар. 28).

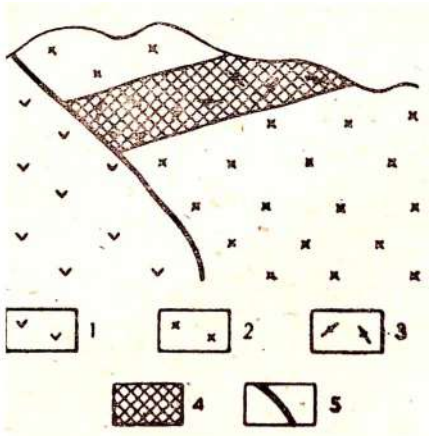


Рис. 1.69. Схематический разрез меднопорфирового месторождения в эффузивах покровного залегания [Карамазар]:

1 – порфировые дациты; 2 – порфировые андезидациты; 3 – рудовмепщающие порфировые кварцевые риолиты; 4 – рудные тела; 5 – разрывные нарушения

Существенная особенность позиции данных рудных полей – пересечение скрытого глубинного разлома разломами иного направления в верхних структурных этажах. Глубинный разлом может быть проявлен штоками гранодиорит- и сиенит-порфиров. Ведущим фактором рудоотложения является массовое дробление сиенито-диоритовых штоков при сдвиговых смещениях по разломам в верхних этажах. Основной фактор размещения оруденения – массовое дробление магматогенных пород при складкообразовании и тектонических движениях по разломам. Формируется вкрапленное и прожилково-вкрапленное оруденение штокверкового типа.

Вулканогенные рудные поля

С площадями развития вулканогенных формаций связаны многочисленные месторождения цветных, редких и благородных металлов, а также урана, железа и других полезных ископаемых. Многие из месторождений являются крупными и уникальными.

Среди рудоносных вулканоструктур П. Д. Яковлев выделяет купола, депрессии, кальдеры, линейные вулканы и поля развития субвулканических тел и корневых частей вулканических аппаратов (Рис. 1.70 ВЯ78).

К *вулкано-купольным постройкам* приурочены многие медноколчеданные, полиметаллические, золото-серебряные ртутные, бериллиевые и урановые месторождения. Пластообразные, жильные и штокверковые рудные залежи располагаются в вулканических покровах. Жильные штокверковые тела находятся внутри и около вулканических жерл конической формы, линейных и трубообразных.

К вулкано-тектонической брахиантиклинали, осложненной крутопадающими продольными и поперечными разрывами, приурочено Сибайское рудное поле. Молодежное медноколчеданное месторождение также размещается в пределах вулканического купола, осложненного многочисленными разрывными нарушениями. Юбилейное месторождение расположено на склоне вулканогенного поднятия, сложенного базальтами, и локализовано в теле кислых вулканитов верхней части разреза базальт-риолитовой формации.

С депрессиями связаны урановые, ртутные, золото-серебряные, полиметаллические и другие месторождения. Вулкано-тектонические депрессии обычно образуются в результате тектоно-магматической активизации и представляют собой образования верхнего структурного этажа. Фундамент депрессий слоен обычно метаморфическими породами докембрия или интрузивными и вулканогенно-осадочными сильно дислоцированными толщами палеозоя. Форма депрессий в плане округлая или неправильная. Падение вулканогенно-осадочных пород обычно пологое, направленное внутрь структуры. Мощность отложений небольшая (до 1,5 км). Под депрессиями, как правило, скрыты древние глубинные разломы фундамента, которые вновь активизировались при формировании депрессии и проникли в толщу вулканогенно-осадочных пород. Кроме того, внутри депрессий и особенно в их основании возникали пологие межпластовые разрывные нарушения. К крутопадающим разрывным нарушениям обычно приурочены

субвулканические тела и дайки различного состава, а также тела эруптивных брекчий. Рудные тела имеют пластообразную, реже жильную и неправильную штокверковую форму. Оруденение контролируется крутопадающими, а также пологими межпластовыми разрывными нарушениями и локализуется главным образом в отложениях депрессии. Реже рудные тела возникают в породах фундамента.

Кальдеры – это вулкано-тектонические депрессии концентрической или неправильной формы, в которых опущен центральный блок. Поперечные размеры кальдер колеблются от 2 до 30 км. Эти структуры характерны для комплексов ультраосновных щелочных пород и карбонатитов, формирующихся на платформах и щитах. Положение их определяется узлами сопряжения и пересечения крупных глубинных разломов. Для кальдер типичны радиальные, кольцевые и конические разрывные нарушения.

Часто кальдеры встречаются в районах развития риолит-андезитовой, риолитовой и риолит-гранитной формаций, типичных для складчатых областей и тектоно-магматической активизации. Магматические комплексы в таких областях слагает верхние структурные этажи. Более древнее складчатое основание разбито на отдельные блоки глубинными долгоживущими разломами. Кальдеры здесь часто имеют вытянутую форму и располагаются в узлах сопряжений глубинных разломов, а во многих случаях бывают приурочены к вулкано-купольным структурам, которые на поздних стадиях развития преобразуются в кальдеры.

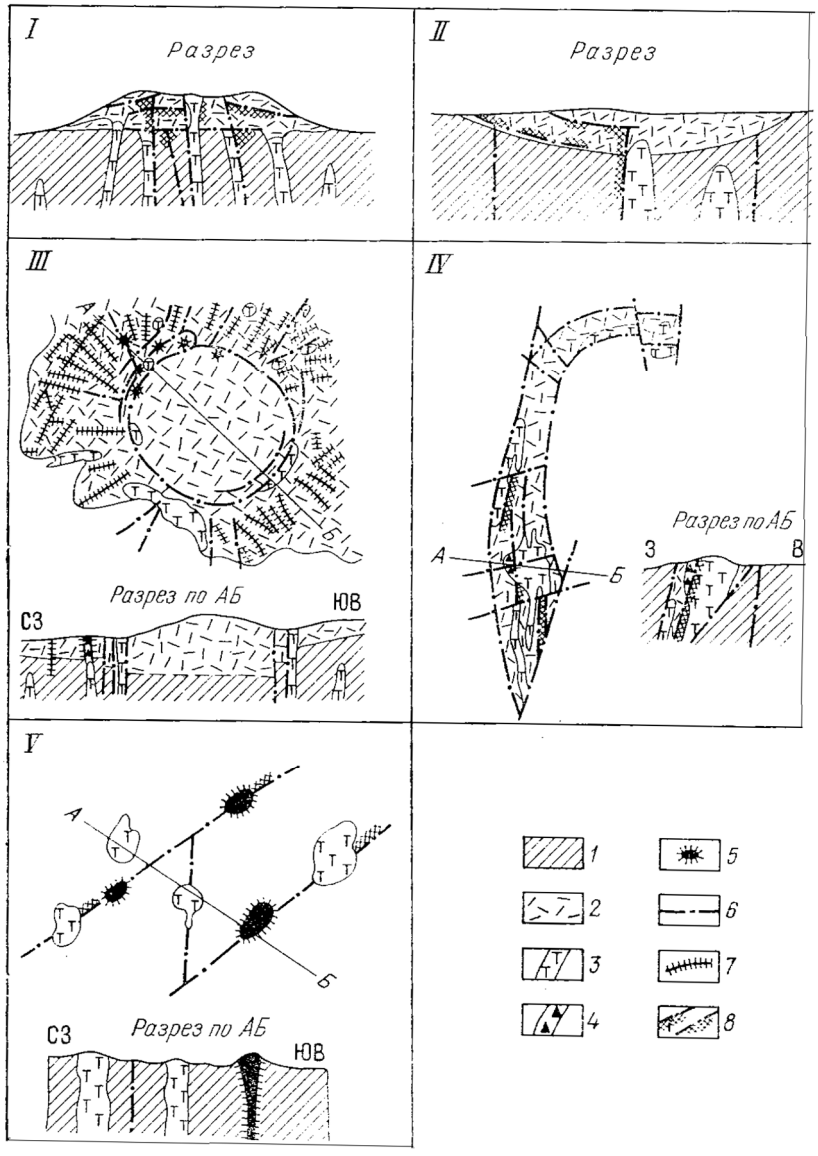


Рис. 1.70. Принципиальные геологические схемы (I-V) рудоносных палеовулканических сооружений (по П. Д. Яковлеву):
1 – складчатые основания нижних структурных ярусов или этажа (вулканогенно-осадочные, метаморфические и интрузивные породы, на планах не заштрихованы); 2 - покровы эффузивов с подчиненными горизонтами осадочных пород; 3 – экструзивные и субвулканические тела; 4 – лавобрекчии жерловой фации; 5 – вулканические жерла; 6 – разрывные нарушения; 7 – дайки и жилы преимущественно в радиальных разрывных нарушениях; 8 – рудные тела и минерализованные разрывные нарушения

Крупные кальдеры относятся к вулкано-тектоническим структурам первого порядка. Геологическое строение их сложное: широко распространены многофазные вулкано-плутонические комплексы пород, разрывные нарушения и гидротермально измененные вмещающие породы.

В зависимости от особенностей геологического строения и способов формирования выделяется четыре структурных подтипа кальдер: 1) эксплозивные без кольцевых и радиальных нарушений; 2) с опущенным центральным цилиндрическим блоком; 3) комбинированного происхождения – эксплозии и опущенный центральный блок; 4) скрытовулканические сооружения.

Линейные вулканические сооружения характерны для образований риолитовой и риолит-гранитной формаций. К ним относятся массивы рудоносных вторичных кварцитов и золото-серебряные месторождения Северо-Востока России и др.

В размещении образований риолитовой и риолит-гранитной формаций главное значение имеют глубинные долгоживущие разломы, заложенные в нижних структурных этажах и ярусов. Протяженность их измеряется многими десятками километров. Однако вулканогенно-интрузивные комплексы локализуются на отдельных участках этих разломов в местах их изгибов, разветвлений, а также сопряжений и пересечений с поперечными разрывными нарушениями. Геологическое строение рудоносных участков сложное. Узкие тектонические зоны выполнены вулканогенно-осадочными толщами, породами жерловой фации и субвулканическими образованиями.

Среди линейных вулканических сооружений различают постройки без грабенов, а также грабены, в которых узкие вытянутые блоки вулканических пород, зажатые среди древних метаморфических толщ, опущены на значительную глубину. Встречаются изогнутые линейные сооружения. Иногда грабены оканчиваются дуговидными изгибами.

Вулканические жерла и субвулканические тела в линейных сооружениях являются преимущественно трещинными, вытянутыми по направлению сооружения.

К вулканическим жерлам, обычно бескальдерным (линейным, коническим, трубообразным и сложной формы), приурочены внутри- и околожерловые и комбинированные месторождения с жильной, штокверковой и столбообразной формой рудных тел, а также межпластовые залежи около жерл. Вертикальный размах оруденения бывает значительным и достигает 1,5 км.

Субвулканические массивы и корневые части вулканических аппаратов и связанное с ними оруденение обнажаются на современной поверхности при значительном эрозионном срезе древних вулканических сооружений среди пород фундамента. Вулканические покровы отсутствуют. Форма и закономерности пространственного размещения субвулканических тел и вулканических жерл определяются в первую очередь тектоническим строением фундамента и прежде всего зонами глубинных разломов, узлами их сопряжения и пересечения. Корни вулканических жерл чаще всего располагаются непосредственно в зонах разломов, узлах их пересечения, сопряжения и разветвления Субвулканические массивы занимают обычно более значительные площади вокруг вулканических центров и приурочены как к главным разломам, так и к сопряженным с ними более мелким разрывным нарушениям.

Наконец, в трубках взрыва локализуются крупные меднопорфировые месторождения, а также молибденовые, золоторудные, урановые объекты. Парагенетически они связаны с малыми гипабиссальными интрузивами и формировались, как и интрузивы, в

условиях небольших глубин. Положение полей трубок взрыва. Связанных с малыми интрузивами, контролируется главным образом региональными зонами разрывных нарушений: узлами их сопряжения и пересечения. При этом, важное значение имеют контактовые зоны интрузивных массивов и скрытые куполовидные поднятия.

Выделяются две основные разновидности трубок взрыва. Одни трубки (Эль-Сальватор в Чили, Токепала в Перу) приурочены к куполовидным выступам интрузивных массивов, апикальным частям неправильных штоко- и трубообразных гипабиссальных тел, а также к кольцевым малым интрузивам, другие (карбонатитовые месторождения) – к разрывным нарушениям в различных породах.

Отдельные трубки размещаются в участках изгиба, пересечения, сопряжения и разветвления разрывных нарушений, в местах сопряжения оперяющих трещин с главными разломами, пересечения контактов пород и даек разрывами, на контактах разных пород.

В полях развития трубок, возникших в результате прорыва газов, системы трещин или отдельные разрывы, так же как единичные трубки, являются структурами второго и более высокого порядков. Здесь выделяются линейные, кольцевые и полукольцевые, радиальные и оперяющие трещины, контролируемые крупными разрывными нарушениями и зонами повышенной трещиноватости. Брекчии, выполняющие рассматриваемые трубки, формируются чаще всего в несколько этапов, что обусловлено неоднократными мгновенными прорывами газов.

Гидротермальная минерализация, связанная с трубками взрыва, локализуется как внутри них, так и во вмещающих породах.

Таким образом, приведенная характеристика структурно-геологических типов эндогенных рудных полей достаточно отчетливо определяет влияние свойств пород, структурно-тектонических позиций и типов деформаций на особенности размещения оруденения.

Складчатые рудные поля преобладают в слоистых толщах. Они связаны преимущественно с изгибами, виргациями, ундуляциями складчатых структур, сложенных сравнительно однородными пластичными толщами. Разрывная тектоника приобретает наибольшее значение в конце процесса складкообразования. Из этой группы наиболее распространены рудные поля в антиклиналях, осложненных разломами и дайковыми поясами.

Разрывные рудные поля располагаются преимущественно в формациях, сложенных эффузивными и интрузивными породами, в меньшей степени – карбонатными, и практически отсутствуют в сланцевых. Главную роль в размещении оруденения играют относительные перемещения вдоль разрывных структур, часто связанные с искривлениями в плане складчатых сооружений. Складчатые деформации в значительной мере развиваются под влиянием разломов под влиянием разломов.

В контактовых рудных полях главное значение приобретают морфология интрузивных тел и характер совместных деформаций их с вмещающими породами. В зависимости от элементов залегания контактов рудные поля имеют большие площади простирания (несколько десятков квадратных километров) при пологих падениях или большой вертикальный размах (до 1-2 км) при крутых.

Для внутриинтрузивных рудных полей характерны частичная ассимиляция пород кровли, а также тектонические деформации, приводящие к дроблению пород в эндоконтактовой части и обновлению прототектонических элементов внутренней структуры.

Вулканогенные рудные поля приурочены к вулканическим постройкам, а внутри них преимущественно к участкам пересечения вулканоструктур разрывными нарушениями.

Экзогенные рудные поля

Для экзогенных рудных полей главными рудоконтролирующими факторами являются геоморфологический, климатический и тектонический.

Геоморфологические факторы представлены формами рельефа земной поверхности. В их образовании главную роль играют разные рельефообразующие процессы - денудация, эрозия, аккумуляция, карстообразование и т.д. Климатические факторы определяют физико-химические процессы рудообразования. Роль тектонического фактора выражается в формировании конседиментационных поднятий и депрессий, в образовании которых часто участвуют конседиментационные разломы.

Г. Ф. Яковлев предлагает следующую классификацию структур экзогенных рудных полей.

1. Субаэральные (континентальные):
1) денудационные;
2) эрозионные;
а) долинные,
б) котловинные;
3) карстовые.
2. Субмаринные (морские):
1) прибрежно-морские
2) баровые;
3) рифовые;
4) оползневые;
5) поверхности несогласия;
6) структуры выклинивания.
3. Тектоно-экзогенные:
1) конседиментационные депрессии;
2) конседиментационные поднятия.

Субаэральные (континентальные) рудные поля

Денудационные структуры связаны с региональными корами выветривания площадного типа. Они образуются на поверхностях выравнивания, называемых также пенепленами или денудационными равнинами (1.71 Я82).

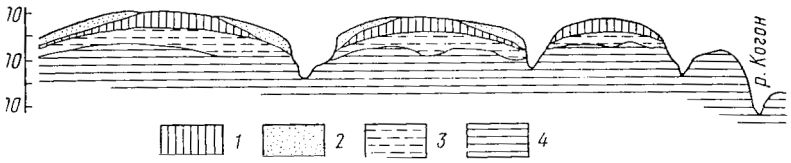


Рис. 1.71. Денудационная структура – поверхность выравнивания; схематический геологический разрез месторождения Боке в Гвинее (по М. В. Дубовской и Б. М. Одокия):
1-3 – образования коры выветривания: 1 – преимущественно структурные бокситы; 2 – обломочные бокситы; 3 – аллиты, каолиновые глины; 4 – сланцы ордовика

Рудные поля денудационного типа представляют собой крупные пластообразные (платообразные) тела, которые формируются в конце крупных геоморфологических циклов.

В эту группу относятся месторождения каолина, латеритные бокситы (Боке и другие), бурые железняки, силикатные никелевые руды и т. д.

Эрозионные структуры – это поверхности, выработанные проточной водой. К ним относятся речные долины, эрозионные террасы, уступы, озерные котловины (Рис. 1.72 Я 83).

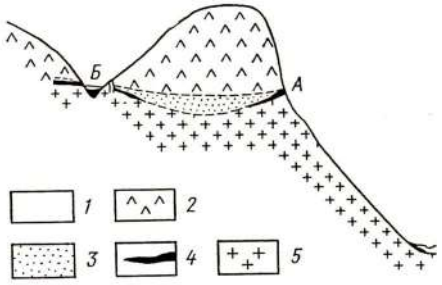


Рис. 1.72. Эрозионные структуры – долины; геологический разрез через погребенные неогеновые и современные золотые россыпи на Дальнем Востоке (по Н. С. Ильиной):
1 – современные аллювиальные отложения; 2 – неогеновые базальты; 3 – неогеновые осадочные отложения; 4 – россыпи; А – неогеновые, Б – современные; 5 – граниты и гранитогнейсы

Рудные залежи эрозионного типа образуются в результате аккумуляции, а их размещение и форма определяются элементами строения эрозионных структур – долин и котловин.

Речные долины заключают главным образом аллювиальные россыпи ценных минералов – золота, платины, алмазов и пр. С ними связаны также месторождения строительных материалов – гравия, песка, глины. Кроме того, с погребенными речными долинами юрского возраста связаны гидрогенные месторождения урана инфильтрационного типа (Далматовское и Хохловское).

Россыпи разделяются на несколько подклассов, в зависимости от геоморфологических элементов долин, с которыми они связаны – русловые, косовые, террасовые, дельтовые и др. различают россыпи современные и погребенные. Уникальное месторождение золото-урановых конгломератов Витваттерсранд в ЮАР, по одной из точек зрения, представляет собой погребенную дельтовую россыпь.

Озерные котловины развиты преимущественно на платформах. Они заключают осадочные месторождения железа, марганца, бокситов и др.

Карстовые структуры формируются в результате карстовых процессов, которые принято разделять на три группы: 1) экзогенные – связанные с подземными водами, 2) эндогенные – вызванные деятельностью гидротермальных вод и 3) полигенные и полихронные – сочетающие подземные воды и гидротермальные растворы.

Общей чертой для всех генетических типов карста является наличие благоприятных для растворения пород, часто карбонатных. Такие месторождения часто встречаются на Урале – бокситы СУБРа (Рис. 1.73 Я85), силикатные никелевые руды Уфалейского и других районов, инфильтрационные месторождения железа алапаевского типа, в том числе Кашинское и Свято-Чудовское в окрестностях г. Сухой Лог.

Субмаринные (морские) рудные поля

Важнейший промышленный тип для редкометальных месторождений представляют собой прибрежно-морские россыпи (ПМР), связанные с зонами пляжа и подводного склона. Современные ПМР распространены в приэкваториальных странах – Австралии, Индии, Бразилии. Форма рудных тел этих месторождений лентообразная. Россыпи являются регенерирующимися, то есть восстанавливающимися за счет продолжающегося привноса морем редкометальных минералов. Известны также погребенные ископаемые ПМР.

Бары – крупные аккумулятивные формы, протягивающиеся вдоль берега моря. Они частично или полностью отделяют от моря крупные морские заливы – лагуны. В лагунах создаются особые условия седиментации. Лагуны превращаются в соляные бухты, где происходит отложение минеральных солей. Примером баровых структур

является месторождение мирабилита в Карабугазском заливе, а также месторождения медистых сланцев и свинцово-цинковых руд.

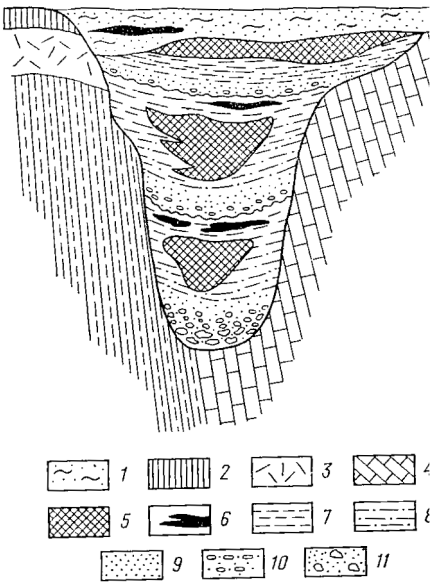


Рис. 1.73. Схема полициклического карстового бокситового месторождения (по Д. Г. Сапожникову): 1 – четвертичные и неогеновые песчано-глинистые отложения; 2 – каолинитовая зона коры выветривания; 3 – зона дезинтеграции коры выветривания; и4 – известняки; 5 – бокситы; 6 – лигниты; 7 - глина; 8 – алевриты; 9 – пески; 10 – гравийный материал; 11 – грубообломочный материал

Рифовые структуры отличает карбонатный состав и кластическое строение. С ними связано стратиформное оруденение.

Оползневые структуры образуются в результате гравитационного оползания слоев на склонах подводных поднятий. Формируются оползневые складки, сложенные подводно-коллювиальными брекчиями. Такие процессы, вызванные ростом кислых экструзивных куполов, развиты на многих медноколчеданных месторождениях.

Важным структурным типом рудных полей являются поверхности несогласия, с которыми сопряжены крупнейшие месторождения урана Канады и Австралии. Аналогичная поверхность контролирует бокситовые месторождения СУБРа (Рис. 1.74 Я 88).

Структуры выклинивания представляют собой участки резких фациальных изменений рудовмещающих толщ, выклинивание тех или иных пород, к которым приурочены рудные концентрации. Оруденение вмещается зонами брекчирования и трещиноватости на фациально-геохимическом барьере.

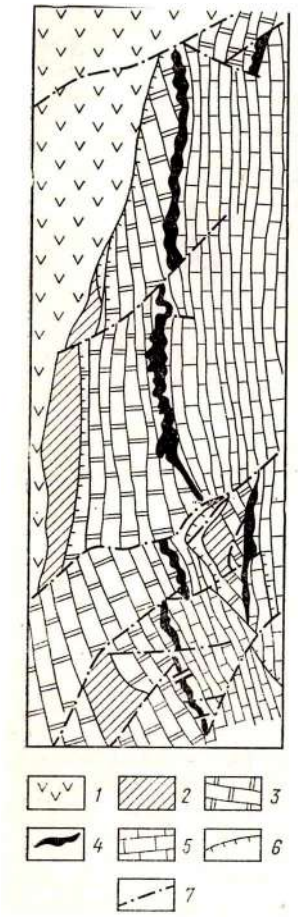


Рис. 1.74. Поверхности несогласий. Геологическая схема месторождения Красная Шапочка на Северном Урале (по А. В. Пейве): 1 – вулканические породы сосьвинской свиты; 2 – слоистые известняки сарайной свиты; 3 – массивные известняки петропавловской свиты; 4 - бокситы; 5 – известняки варганской свиты; 6 – надвиги; 7 - сбросы

Тектоно-экзогенные рудные поля

С конседиментационными депрессиями – мульдами связаны в первую очередь осадочные месторождения железа, например, Керченское в Крыму (Рис. 1.75 Я 90). С конседиментационным поднятиям приурочены уникальные стратиформные свинцово-цинковые месторождения междуречья Миссисипи-Миссури, гидротермальные залежи флюорита и др.

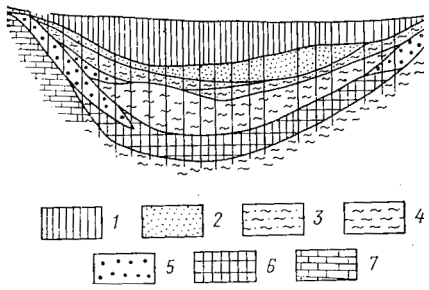


Рис. 1.75. Конседиментационная депрессия (мульда) на Керченском месторождении, геологический разрез (по Ю. Ю. Юрку и др.):
1 – лессовидные суглинки; 2 – пески и алевриты; 3 – глины песчаные; 4 – глины; 5 – икряные, обломочные и обломочно-оолитовые руды; 6 – табачные оолитовые руды; 7 – известняки

Метаморфогенные рудные поля

Среди метаморфогенных рудных полей Г. Ф. Яковлев выделяет 3 структурных типа:

1) гранито-гнейсовые купола и блоки;
2) зеленосланцевые зоны;
3) зоны смятия.

Рудные поля в гранитогнейсовых куполах

Гранито-гнейсовые купола развиты, главным образом, на древних докембрийских щитах, реже в фанерозойских складчатых областях, в частности, на Урале. Это крупные структуры, размер которых в поперечнике составляет километры – десятки километров. Купола сложены гранитизированными породами – мигматитами и гранито-гнейсами, которые на глубине сменяют граниты магматического облика. Внутреннее строение куполов сложное. В центральных частях обычно обнаруживаются реликты складчатой структуры. Кристаллы в породах ориентированы параллельно поверхности купола.

С гранито-гнейсовыми куполами связаны месторождения полиметаллов, железа и золота, слюд – мусковита, флогопита, а также талька, графита, антофиллита и других полезных ископаемых. Для России наиболее значительны месторождения слюд (Рис. 1.77 Я 75).

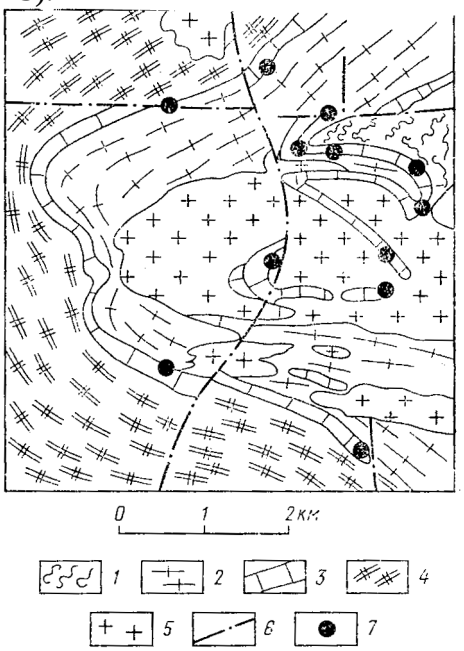


Рис. 1.77. Куранахское флогопитовое поле в Южной Якутии, приуроченное к гранитогнейсовому куполу (по Б. П. Фоменкову): 1 – верхний гнейсовый горизонт; 2 - продуктивные горизонты (мраморы, ткальцитифиры); 3 – средний гнейсовый горизонт; 4 – нижний гнейсовый горизонт; 5 - граниты; 6 – разрывные нарушения; 7 - флогопитовые месторождения

Мамская кристаллическая полоса вмещает одноименную слюдяную провинцию, объединяющую ортомагматические месторождения мусковита. Гранито-гнейсовые купола, сложенные породами мамской серии, интенсивно деформированы и перекристаллизованы. Месторождения располагаются в участках пересечения зон вторичного рассланцевания (регрессивного метаморфизма) или к отдельным зонам и приурочены к телам мусковитовых пегматитов. Встречаются также керамические пегматиты.

Флогопитовые месторождения известны на Южном Алдане. Рудные поля размещаются на крыльях гранито-гнейсового купола и приурочены к линейным синклинальным зонам, окаймляющим ядро купола. Одно из них – Куранахское флогопитовое поле. Наиболее перспективными являются опрокинутые в сторону купола узкие клинообразные синклинали, крылья которых осложнены складками волочения, разрывными нарушениями, трещиноватостью.

Рудные поля в зеленосланцевых зонах

Зеленосланцевые синклинальные зоны встречаются чаще всего в двух позициях: 1) окаймляют гранито-гнейсовые блоки и купола; 2) выполняют вулканогенные троги, приуроченные к глубинным разломам.

Внутреннее строение зон также сложное. Для них характерны складки течения, будинаж. Складчатость осложнена продольными и диагональными разломами, зонами рассланцевания и трещиноватости. В этих структурных элементах залегают рудные тела.

Наиболее яркие примеры месторождений в зеленосланцевых зонах – Криворожский железорудный бассейн (Рис. 1.77 Я 76), золоторудное поле Колар в Индии. К зе-

леносланцевым зонам приурочены также разнообразные руды черных, цветных, благородных и редких металлов.

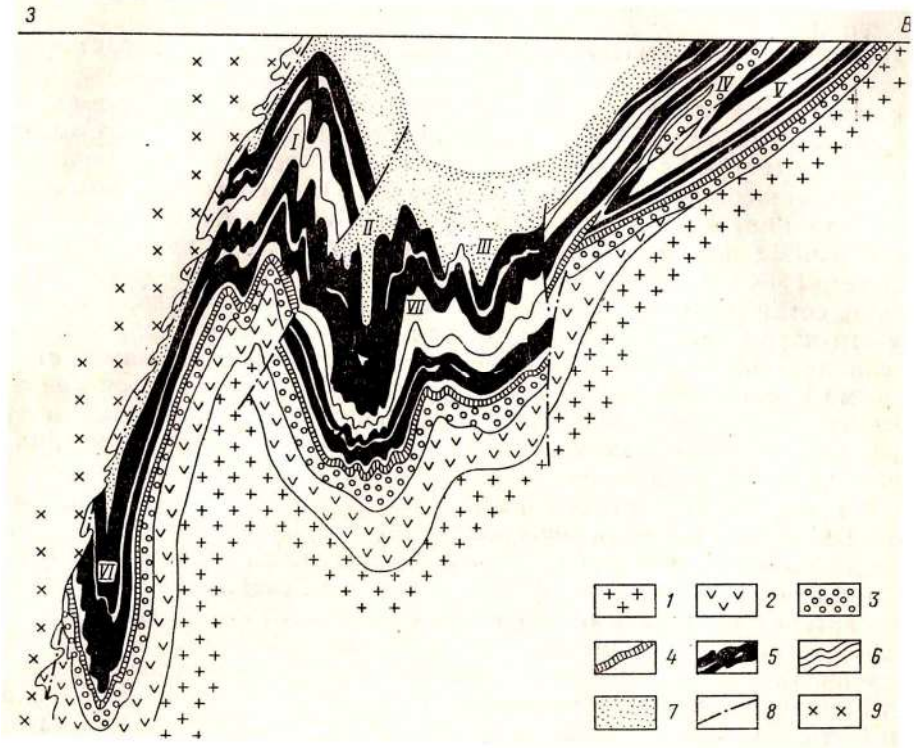


Рис. 1.77. Геологический разрез зеленосланцевой синклинальной зоны Криворожского железорудного бассейна (по Я. Н. Белевцеву):
1 – саксаганские плагиограниты; 2 – амфиболиты; 3 – нижняя свита криворожской серии; 4 – тальк-карбонатный горизонт; 5 – железорудные горизонты средней свиты; 6 – сланцевые горизонты средней свиты; 7 – верхняя свита; 8 – тектонические перемещения; 9 – кировоградские микроклин-плагиоклазовые граниты. *I* – Тарапако-Лихмановская антиклиналь; *II* – Западно-Ингулецкая мульда; *III* – Восточно-Ингулецкая мульда; *IV* – Саксаганская антиклиналь; *V* – Саксаганская синклиналь; *VI* – Лихмановская синклиналь; *VII* – Советская антиклиналь

Криворожский железорудный бассейн слагают зеленокаменные породы криворожской серии протерозойского возраста мощностью около 4000 м. Метаморфические сланцы слагают сложную синклинальную зону меридионального простирания, выполняя вулканогенный трог между гранито-гнейсовыми комплексами архея. Породы смяты в складки, метаморфизованы и прорваны разными изверженными породами. В целом Криворожский синклинорий представлен серией крупных складок, осложненных складчатостью более высокого порядка и многочисленными разрывами. Рудные поля приурочены к складчато-разрывным структурам. Различают бедные рудные тела – серии согласных пластов железистых кварцитов протяженностью десятки километров и мощностью десятки метров, и богатые рудные тела, залегающие среди железистых кварцитов и приуроченные к тектоническим структурам – флексурам, шарнирам складок течения, складкам скалывания, зонам рассланцевания и трещиноватости, структурам будинажа и разрывным нарушениям. Форма богатых рудных тел пластовая, линзообразная, лентовидная и столбообразная. Богатые руды образовались вследствие дополнительного привноса железа и выноса нерудных компонентов – кремния и др.

Криворожские железистые кварциты наряду с гематитом и магнетитом содержат урановые минералы – настуран, уранинит, урановые черни и разрабатываются как урановые руды. Примером таких объектов является ныне отработанное месторождение Желтые воды.

Отметим, что месторождения типа железистых кварцитов содержат около 80% мировых запасов железа, но представляют собой бедные руды, в настоящее время не конкурентоспособные.

Рудные поля в региональных зонах смятия

Региональные зоны смятия, по сути, являются физическим выражением глубинные разломов. Их мощность составляет километры и десятки километров, протяженность по простиранию – сотни километров, по падению – километры. Строение зон смятия также сложное. Региональные зоны смятия состоят из локальных зон, чередующихся с блоками менее метаморфизованных и рассланцованных пород. Локальные зоны, в свою очередь, состоят из кулисно расположенных зон рассланцевания и трещиноватости. Они сложены динамо-метаморфизованными породами – различными тектонитами.

В пределах зон смятия развиты сжатые до изоклинальных, параллельно ориентированные линейные складки продольного изгиба, а также складки течения и скалывания. Тектониты характеризуются сланцеватостью, линейностью, будинажем, трещиноватостью, разрывами и др.

Зоны смятия более характерны для древних щитов, но известны и в складчатых областях.

Зоны смятия – это подвижные и проницаемые структуры, к ним приурочены пегматитовые, грейзеновые, альбититовые, собственно гидротермальные и метаморфогенные месторождения руд черных, цветных, благородных и редких металлов, а также неметаллического сырья – керамического, пьезооптического, слюд и др.

Как правило, региональные зоны смятия вмещают рудные районы, локальные зоны смятия – рудные поля, а зоны рассланцевания и трещиноватости и другие структурные элементы в их пределах вмещают рудные тела.

В Северо-Западном Прибайкалье находится Даванская зона смятия (Рис. 1.78 Я77). Она приурочена к системе глубинных разломов краевого шва юга Сибирской платформы и прослеживается в виде полосы шириной от 5 до 50 км в субмеридиональном направлении. Полоса сложена метаморфизованными осадочно-вулканогенными и плутоническими породами среднего протерозоя. В ее строении наблюдается следующая зональность: 1) осевая часть зоны, отвечающая амфиболитовой фации метаморфизма, сложена гнейсами и палингенезными гранитами и вмещает редкоземельное оруденение; 2) промежуточная зона относится к эпидот-амфиболитовой фация и несет редкометальную минерализацию; 3) периферическая зона принадлежит к зеленосланцевой фации и содержит сульфидные руды. Рудные тела приурочены к участкам наиболее интенсивного дислокационного метаморфизма, тесно связанным с разломами.

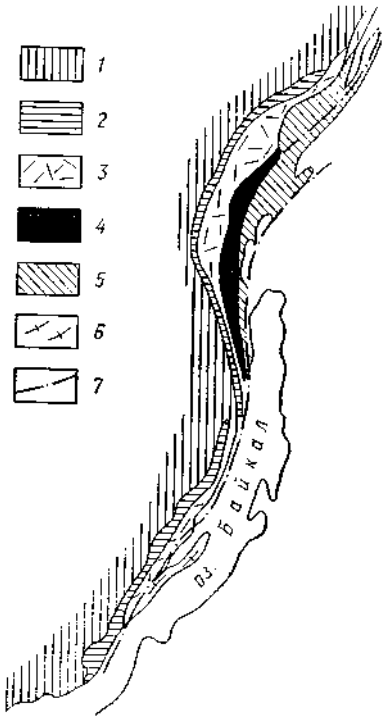


Рис. 1.78. Схема Даванской зоны смятия в Прибайкалье (по М. П. Лобанову):
1 – терригенные отложения нижнего палеозоя; 2 – терригенно-карбонатные отложения верхнего протерозоя; 3 – Прибайкальский вулкано-плутонический пояс среднего протерозоя; 4 – метаморфические (вплоть до палингенных гранитов) и метасоматические образования (в том числе редкометальные метасоматиты) Даванской зоны смятия; 5 – осадочно-метаморфические образования архея Байкальской глыбы; 7 – главнейшие разломы

Контрольные вопросы

1. Назовите структурные типы рудных полей
2. Перечислите структурные группы эндогенных рудных полей
3. Назовите разновидности рудных полей складчатого типа?
4. Приведите примеры рудных полей складчатого типа
5. Назовите разновидности рудных полей разрывного типа
6. Приведите примеры рудных полей, связанных с разломами
7. Назовите разновидности рудных полей контактового типа
8. Приведите пример рудных полей в интрузивных контактах
9. Охарактеризуйте внутриинтрузивные рудные поля
10. Назовите разновидности вулканогенных рудных полей
11. Приведите примеры рудных полей в вулканических структурах
12. Перечислите основные типы экзогенных рудных полей
13. Приведите примеры континентальных рудных полей
14. Приведите примеры рудных полей морского генезиса
15. Приведите пример тектоно-экзогенных рудных полей
16. Перечислите основные типы метаморфогенных рудных полей
17. Приведите примеры метаморфогенных рудных полей

Тема 4. Методы структурных исследований рудных полей

Общая характеристика методов структурного анализа рудных полей

Картировочные методы

Картировочные методы направлены на построение специальных структурных карт. Их разнообразие связано с различием генетических типов месторождений. На магматических месторождениях применяется структурно-петрологический метод, на гидротермальных – морфогенетический (палеотектонический), на вулканических, соответственно, палеовулканический. Для месторождений выветривания эффективен, в первую очередь, палеоклиматический метод, для осадочных – палеофациальный, палеогеографический и палеогеоморфологический. Анализ метаморфогенных месторождений включает изучение рудоносных структур метаморфических комплексов (палеометаморфический метод).

Перечисленные картировочные методы аналогичны по своей сути.

Структурно-петрологические (палеоплутонические) исследования состоят в последовательном выполнении следующих работ: а) выделение фаций плутонитов – главных и дополнительных фаз, жильных серий, фаций сателлитов; б) анализ их размещения в пределах рассматриваемой площади; в) реставрация истории становления плутонических тел; г) определение места оруденения в этой истории; д) выявление рудоносных фаз и оконтуривание перспективных участков.

Палеовулканический метод включает: а) выделение вулканических фаций; б) анализ их размещения; в) палеовулканические реконструкции; г) определение места оруденения в вулканическом процессе; д) выявление рудоносных и оконтуривание рудоносных участков.

Палеофациальные работы объединяют: а) выделение фаций осадочных пород; б) анализ их распространения; в) реставрация палеофациальных условий; г) определение места оруденения в палеофациальной обстановке; д) выявление рудоносных структур и прогноз.

*Изучение рудоносных структур метаморфических комплексов (*палеометаморфический метод), в свою очередь, это: а) выделение метаморфических фаций и минеральных ассоциаций; б) анализ их размещения; в) реставрация истории формирования комплекса; г) определение места оруденения в нем; д) выявление рудоносных фаций и прогноз.

Некоторой спецификой отличаются морфогенетический (палеотектонический или палеогидротермальный) и морфоструктурный (палеогеоморфологический) методы.

Морфогенетический метод применяется для глубоко вскрытых гидротермальных месторождений и заключается в реставрации направления движения потока рудообразующих растворов, оценке вертикальной протяженности и степени эродированности месторождений.

Морфоструктурный метод применяется для экзогенных и полигенных месторождений. Он основан на сопоставлении рельефа поверхности с ее геологической структурой; исследовании морфоструктуры, возникшей при взаимодействии экзогенных и эндогенных факторов.

Наконец, два из названных выше картировочных методов являются универсальными, то есть они применимы к месторождениям любого генезиса. Это структурная съемка и морфометрический анализ.

Структурная съемка – это построение специальных структурных карт, на которых показывают разрывные и складчатые нарушения и их характеристики.

Морфометрический анализ состоит в изучении связи оруденения с рельефом продуктивных структурных поверхностей. Изучение рельефа осуществляется методом его

геометризации. В результате устанавливаются рудообразующие деформации и реконструируется механизм формирования месторождения.

Аналитические методы

Аналитические методы картирования предполагают проведение специфических структурных исследований.

Наибольшим распространением пользуется *анализ мелкой трещиноватости*. Он включает массовые замеры трещин, статистическую обработку замеров и собственно анализ. Метод имеет широкие возможности, он позволяет определять: 1) региональный план тектонических деформаций (осей тектонических напряжений); 2) локальные вариации плана деформаций; 3) тип, генезис и этапы рудообразующих деформаций; 4) возрастные взаимоотношения оруденения с различными геологическими телами; 5) механизм рудообразования в целом (в совокупности с другими методами). Применение метода не требует каких-либо особых приспособлений или навыков, он общедоступен и дает разнообразные и достаточно определенные данные.

Тектонофизический анализ базируется на основных положениях тектонофизики, основоположником которой является М. В. Гзовский. Тектонофизический анализ также заключается в реставрации плана тектонических напряжений, то есть ориентировки осей тектонических деформаций. Основой анализа тоже является изучение мелкой трещиноватости. Положение осей устанавливается по ориентировке сопряженных систем трещин, осей складчатости, плойчатости и другим признакам. Определенная неоднозначность состоит в правильном выделении сопряженных систем, для чего разработан целый ряд признаков. Оси деформации определяются как линии пересечения сопряженных систем в результате графических построений на специальной сетке.

Микроструктурный анализ основан на определении ориентировки минералов в горных породах и рудах, возникшей в результате тектонических (метаморфических, метасоматических и др.) процессов. Метод позволяет сделать выводы о структурных условиях формирования рудовмещающих пород и руд. Микроструктурный анализ заключается в отборе ориентированных образцов, изготовлении из них ориентированных шлифов и последующем изучении их на столике Федорова с замером ориентировки оптических осей. Метод отличается трудоемкостью, он требует большой точности и аккуратности, высокой квалификации исполнителя. При этом он должен сочетаться с другими методами, и результаты его не всегда интерпретируются однозначно. Кроме того, в классических вариантах микроструктурного анализа используются только одноосные минералы – кварц, кальцит, слюды, хотя позднее разработаны модификации и для других минералов – барита, оливинов, пироксенов, рудных минералов.

Структурно-петрофизический анализ основан на изучении физико-механических свойств горных пород (петрофизических свойств). С помощью специальных структурно-петрофизических диаграмм выделяются деформированные и недеформированные породы, реставрируются палеотектонические поля напряжений, этапы развития рудоносных структур. Метод использует математическое моделирование физико-механических свойств горных пород, руд, полей напряжений для разных механизмов деформаций.

Геометризация рудоконтролирующих поверхностей

Цели и задачи метода

Анализ условий размещения месторождений полезных ископаемых разных типов показывает, что все они приурочены к той или иной геологической поверхности, которая входит в число ведущих рудоконтролирующих факторов. Так, расположение магматических месторождений всегда определяется конфигурацией интрузивного контакта. Альбититовые, грейзеновые и порфировые рудные поля связаны с апикальными ча-

стями массивов гранитоидов. Скарновые залежи образуются в контактовой зоне силикатных и карбонатных пород. Рудные жилы – это тела выполнения разломов, которые также характеризуются обычно сложной поверхностью. Осадочные месторождения четко контролируются рельефом дна палеобассейна, границами слоя рудоносных пород и т.д. Подавляющее большинство нефтяных и газовых залежей находится в сводовых частях антиклинальных складок, вследствие чего для поисков используется составленная по данным сейсмических исследований структурная карта поверхности нефтеносной толщи.

Таким образом, разные геологические поверхности контролируют размещение оруденения. Рельеф продуктивной геологической поверхности определяет закономерности размещения в ее пределах минерализации. Изучение рельефа продуктивной структурной поверхности является одной из важнейших задач при исследовании месторождений.

Ведущим методом изучения геологических поверхностей является их геометризация. Геометризация рудоконтролирующих поверхностей – неотъемлемая часть методики анализа закономерностей размещения оруденения. Цель геометризации рудных полей, месторождений и рудных тел – изображение на картах и планах, разрезах и проекциях их геологических форм и свойств вещества, заполняющего эти формы.

Основной прием геометризации – построения в изолиниях. Способ построения в изолиниях достаточно прост. Изолинии доступны для всех арифметических и алгебраических действий. Легко осуществляется переход от изолиний к разрезам и наоборот. Изолиниями можно пользоваться для геометризации любых свойств и качеств геологических тел – мощностей, содержаний, запасов и т.д.

При геометризации необходимо учитывать особенности геологических поверхностей, их отличия от поверхностей топографических.

Особенности геологических поверхностей

Топографические поверхности, как это установлено еще П. К. Соболевским, должны удовлетворять четырем условиям: 1) конечности, 2) однозначности, 3) непрерывности и 4) плавности.

Условие конечности состоит в том, что в каждой конкретной точке, определяемой линейными координатами, высотная отметка имеет конечное значение. Поверхности геологических тел конечны только в пределах их внутреннего контура. За их пределами линейные координаты не будут характеризоваться какими-либо значениями, так как сама поверхность отсутствует.

Условие однозначности: в каждой точке топографической поверхности, определяемой линейными координатами, высотная отметка имеет только одно значение. Исключением являются только нависающие обрывы, которые, впрочем, недолговечны. Геологические тела и их поверхности располагаются в пространстве твердой земной коры, где они имеют опору в смежных породах. Кроме того, у геологических тел могут быть выделены поверхности верхние и нижние: кровля и подошва, висячий и лежачий бок. Отсюда вытекают важные следствия. Геологические поверхности могут, как угодно сложно, изгибаться в пространстве земной коры. Опрокинутые складки, разрывы, дайки, лакколиты могут иметь любые нависающие формы. И поскольку геологические тела всегда имеют верх и низ, то даже у самых простых из них геологическая поверхность будет двузначна. В случае сложных дислокаций они являются многозначными. Следовательно, условие однозначности применительно к геологическим поверхностям имеет ограничение: поверхности геологических тел однозначны в пределах одной геологической позиции.

Условие непрерывности предполагает, что бесконечно малому приращению линейных координат отвечает бесконечно малое приращение отметки. Поверхности геологических тел непрерывны между разрывными нарушениями, которые могут привести

или к отрицанию условия однозначности в случае нарушений с притиранием или к отрицанию условия конечности в случае нарушений с зиянием.

Понятие плавности для геологических поверхностей не является определенным. Топографические поверхности в общем доступны наблюдениям любой детальности, что обеспечивает плавность изолиний. Геологические поверхности недоступны для визуального изучения, информацию об их свойствах дают точечные или линейные пересечения. Плавность изолиний при построении геологических поверхностей дает только иллюзию достоверность, кажущуюся точность. Поэтому для их изображения нередко применяют ломаные изолинии.

Таким образом, геологические поверхности принципиально отличаются от топографических и, в частности, от топографической поверхности Земли. Соответственно, формы геологических поверхностей обычно достаточно далеки от дихотомически ветвящихся волн, типичных для рельефа Земли.

Морфологические типы геологических поверхностей

Среди морфологических типов геологических поверхностей выделяются сложногофрированные, куполообразно-волнистые, зазубренно-волнистые, сундучно-волнистые и коробленые (Рис. 2.1 КШ 124).

Сложногофрированные поверхности присущи многим складчатым структурам. Они ближе всего стоят к топографическим поверхностям, особенно складчатого рельефа, но имеют от них характерное отличие. Оно заключается в том, что дополнительные усложнения складчатых структур могут развиваться параллельно основной оси, вдоль крыльев складок. В складках рельефа поверхности подобные структуры крайне редки.

Куполообразно-волнистые поверхности часто образуются в пологих и наклонных интрузивных контактах. Обычно поверхность интрузива бывает волниста в двух перекрещивающихся направлениях: одно из них примерно параллельно длинной оси интрузива, другое – перпендикулярно ей. В результате пересечения и интерференции этих волн образуются системы куполов и впадин, усложняющих общий склон интрузива. При этом отмечается прямая зависимость между характером и степенью дислоцированности вмещающих интрузив пород и волнистостью его кровли.

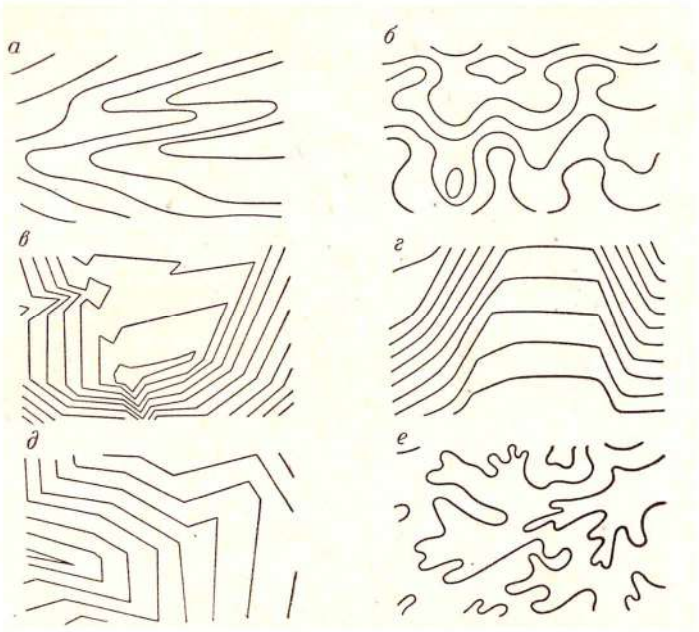


Рис. 2.1. Некоторые виды геологических поверхностей
(по А. В. Королеву и П. А. Шехтману):
а – сложно гофрированная (изогипсы); *б* – куполообразно-волнистая (изогипсы); *в* – зазубренно-волнистая (изолонги); *г* – сундучо-волнистая (изогипсы); *д* – коробленая (изолонги); *е* – топографическая (горизонтали)

Зазубренно-волнистые поверхности возникают в секущих, особенно крутых интрузивных контактах и в некоторых структурах отрыва («рваные» поверхности). Неоднородность вмещающих пород и избирательная активность магмы создают неправильно волнистую поверхность контакта, часто с большим количеством разноориентированных апофиз, расположенных во вмещающих породах в виде пластовых или секущих тел. В результате контактовая поверхность приобретает необычайно сложную форму, напоминающую соты с ячейками разной формы и глубины. Такие поверхности более наглядно изображаются не плавными, а ломаными изолиниями.

Сундучно-волнистые поверхности образуются в сундучных антиклиналях и синклиналях; иногда на такую поверхность, напоминающую поставленные на ребро плоские чаши, имеют разломы.

Коробленые поверхности часто образуются в трещинных жилах. Отдельные участки трещин, на фоне их генерального положения в пространстве, могут обладать существенно различными элементами залегания, формой и размерами. Чаще всего они имеют трехгранную или четырехгранную форму. Крутопадающие трещины с короблеными поверхностями не находят себе даже отделенных подобий в формах, топографической поверхности Земли; они скорее напоминают стены, обильно оснащенные скульптурными и архитектурными деталями.

Методика построения в изолиниях

Геометризация рудоконтролирующих структур предполагает последовательное выполнение следующих операций.

А. Подготовка исходных разрезов и планов. Основой построений в изолиниях служат геологические разрезы и планы. К исходным материалам предъявляются следующие требования:

1)на них особенно тщательно должны быть отстроены те геологические поверхности, которые намечены к геометризации;

2)все достоверное должно быть четко отделено от предполагаемого;

3)разрезы и планы должны быть увязаны между собой.

Для увязки и корректировки первичных материалов рекомендуется способ построения сводных геологических разрезов и планов. Сводный геологический разрез получается при проектировании следа интересующей нас поверхности со всех разведочных линий на один профиль. Для получения сводного плана рассматриваемая поверхность проектируется со всех погоризонтных планов на один гипсометрический уровень. Сводные разрезы и планы позволяют откорректировать наименее надежные из исходных материалов, с малым числом разведочных подсечений, по наиболее надежным, с наибольшим количеством пересечений. Кроме того, эти построения дают возможность выявить и увязать между собой крупные перегибы поверхности по вертикали (горизонтальные ребра) и в плане (вертикальные ребра).

Б. Выбор геометризуемой поверхности. Геометризуемая поверхность должна быть теснее всех других связана с минерализацией, контролировать ее размещение. Для геометризации могут быть выбраны:

а) лежачий бок рудного тела;

б) его висячий бок;

в) условная поверхность, проходящая по середине мощности;

г) какой-либо выдержанный прослой внутри рудного тела;

д) поверхность рудоконтролирующей структуры (разлома, контакта).

В. Выбор плоскости проекции. Плоскостью проекции может быть любая из координатных плоскостей – горизонтальная или вертикальная широтная либо меридиональная. Горизонтальная плоскость применяется, если угол падения проектируемой поверхности менее 50^{o}. Выбор вертикальной плоскости определяется средним азимутом простирания: если простирание ближе к меридиану – выбирается меридиональная

плоскость, если ближе к широте – широтная. Наклонные или произвольно ориентированные плоскости неудобны для применения на практике. Плоскость, параллельная проектируемой поверхности, например, позволяет получить наименьшее площадное искажение объекта. Однако, при этом теряется связь изолиний с элементами залегания в результате чего любые геологические построения на такой проекции значительно усложняются.

Г. Выбор сечения изолиний. Сечение изолиний определяет детальность и точность изображения геометризуемой поверхности. Оно зависит от углов падения поверхности и масштаба проекции. Для расчета величины сечения используется следующая формула:

$$d = tg\ \beta \times M/100, \text{ где}$$

d – сечение изолиний, м;

β – средний угол падения поверхности, град.;

М – знаменатель масштаба проекции.

Д. Перенос на основу структурного плана всех точек проектируемой поверхности. Выносятся все точки, лежащие как на разрезах и планах, так и вне их. Возле каждой точки указывается расстояние до плоскости проекции, выраженное в метрах.

Е. Проведение опорных изолиний. Опорными являются наиболее надежные изолинии, проведенные по данным буровых и горных работ.

Ж. Вынос крупных перегибов поверхности. Фиксация на проекции крупных перегибов и разрывов, отраженных на исходных геологических материалах и установленных на сводных планах и разрезах.

З. Проведение всех изолиний, опирающихся на интерполированные данные. Лучше проводить изолинии не плавными линиями, а ломаными. В этом случае изображение структуры получается более отчетливым, а способ изображения будет вполне соответствовать его точности.

Построение изолиний позволяет выделить в пределах исследуемой поверхности грани – плоские участки с одинаковыми элементами залегания и разделяющие их ребра – перегибы. В пределах одной грани изолинии параллельны между собой, и расстояние между ними одинаковое. Изменение угла наклона или расстояния между изолиниями говорит о наличии перегиба – ребра. Грани и ребра являются составными элементами рельефа.

Размеры граней и ребер определяют их порядок. Обычно выделяется три порядка структурных элементов поверхности. К первому порядку относят наиболее крупные части рудоконтролирующей поверхности, отличающиеся по своей ориентировке. Второй порядок присваивается более мелким граням и ребрам, отраженным на исходных геологических материалах. Наконец, самые мелкие участки поверхности, выделившиеся при построении изолиний, принадлежат к третьему порядку.

В изолиниях можно изображать какие угодно свойства полезных ископаемых и горных пород. Для некоторых свойств изолинии получили специальные наименования: изопахиты – линии равных мощностей, изоволи – линии равных содержаний и др.

Изображение структуры в изогипсах

Если угол падения проектируемой поверхности не более 50^o, выбирается горизонтальная плоскость проекции. В этом случае рельеф поверхности изображается в изогипсах.

Изогипсы – линии равного удаления от горизонтальной плоскости проекции. При построении структурного плана в изогипсах на координатную основу прежде всего наносятся все известные точки проектируемой поверхности. Выделяется четыре вида таких точек: а) определенные разведочными пересечениями; б) взятые с планов вдоль линий выходов; в) интерполированные точки с геологических разрезов; г) рассчитан-

ные от опорных горизонтов геологической карты. Особенно важны точки, установленные на осях складок или у тектонических разрывов.

Приступая к построению изогипс, прежде всего нужно провести те отрезки изолиний, которые опираются на достоверные точки. Затем намечают на плане положение тектонических линий – осей складок и разрывов. Крупные тектонические линии обычно выявляются геологическими разрезами и планами. Их наиболее вероятное положение на структурном плане и наклон относительно геометризуемой поверхности находится в пределах точности интерполяции. Положение более мелких нарушений намечается на основании достоверных отрезков изолиний и элементов залегания.

Затем на тектонических линиях намечаются точки с отметками изогипс и строятся все изогипсы методом интерполяции отметок удаления. Лучше проводить их не плавными, а ломаными.

Изображение структуры в изолонгах

Изолонги – это линии равного удаления проектируемой поверхности от вертикальной плоскости проекции. Структурные планы в изолонгах строят в том случае, если угол падения геометризуемой поверхности превышает 50^{o}.

При проектировании на вертикальную плоскость проекции необходимо учитывать следующие условия.

1. Вертикальная плоскость проекции, подобно горизонтальной, должна быть ориентирована определенным образом: либо по широте, либо по меридиану. Из этих двух положений плоскости проекции выбирается о, при котором она составляет наименьший угол с объектом проектирования. Это обеспечивает наименьшее искажение поверхности на проекции.

Выбор плоскости проекции, параллельной геометризуемой поверхности, только на первый взгляд позволяет избежать искажений, так как геологические поверхности отличаются изменчивостью элементов залегания и волнистостью рельефа. В то же время при использовании произвольно ориентированной плоскости проекции чтение структурного плана значительно затрудняется, так как нарушается связь между элементами залегания и изолиниями.

2. Координатная сетка на вертикальной плоскости проекции разбивается так же, как и в других ортогональных проекциях. Вертикально на чертеже располагается ось высот, горизонтально в зависимости от ориентировки плоскости проекции – геодезическая ось широт или ось долгот. Третья координата точки обозначается числовой отметкой.

На долготной проекции юг располагается слева, север – справа, восток – впереди и запад – позади изображения. На широтной плоскости проекции запад будет слева, восток – справа, юг – впереди и север – позади изображения. Высотные отметки возрастают снизу вверх.

3. Точки данной проектируемой поверхности с одинаковыми числовыми отметками могут быть соединены изолиниями. Это и будут изолонги, представляющие собой проекции сечений изображаемого тела системой вертикальных плоскостей, расположенных параллельно плоскости проекции и удаленных одна от другой на одно и то же расстояние, равное заложению изолиний.

4. Изображение поверхности в изолонгах аналогично изображению в изогипсах или горизонталях и пригодно для проведения всех геометрических построений.

Чтение структурных планов

Изображение в изолонгах при небольшом навыке позволяет представить рельеф также наглядно, как и при изображении в изогипсах или горизонталях. При этом следует руководствоваться определенными правилами.

Наклон изолонг и расстояние между ними зависят от азимута и угла падения проектируемой поверхности.

Если исследуемая поверхность и плоскость проекции параллельны, то изолонги превращаются в горизонтали, а расстояние между изолонгами будет максимальным. Если поверхность и плоскость проекции перпендикулярны, то все изолонги сольются в одну линию, то есть расстояние между ними будет равно нулю. При всех промежуточных положениях поверхности наклон изолонг будет изменяться от 0 до 90^o и будет направлен в сторону острого угла между проектируемой поверхностью и плоскостью проекции. Расстояние между изолонгами также будет характеризоваться промежуточными значениями.

Отсюда вытекают следующие правила чтения проекций в изолонгах.

1. Чем гуще расположение изолонг, тем больше угол между геометризуемой поверхностью и плоскостью проекции.

2. Изменение угла наклона изолонг при относительно постоянном расстоянии между ними указывает на преимущественное изменение азимута падения поверхности. Изменение расстояния между изолонгами при относительно постоянном угле наклона происходит в узких пределах и обычно не улавливается.

3. Одновременное изменение угла наклона изолонг и расстояния между ними указывает главным образом на изменение угла падения исследуемой поверхности.

Определение элементов залегания граней

Анализ рельефа продуктивной структурной поверхности начинается с определения элементов залегания граней проекции. Для этого используются простые геометрические зависимости. При этом предлагается следующий порядок действий.

1. Определение угла наклона изолонг к горизонту (δ). Угол наклона измеряется на проекции при помощи транспортира. Наклон изолонг на север условно принимается за положительный.

2. Определение расстояния между изолонгами по горизонтали (a) или по вертикали (h). За единицу расстояния принимается величина сечения изолонг. Если значения изолонг растут с юга на север, расстояние отмечается знаком «+», а с севера на юг – знаком «-».

3. Между расстоянием, выраженным в сечениях изолонг, и элементами залегания граней существуют следующие зависимости:

$$a = \operatorname{ctg} \varphi, \quad h = \operatorname{tg} \beta,$$

где φ – угол между простиранием грани и плоскостью проекции (отклонение простирания грани от меридионального направления); β – угол падения граней; φ и β определяются по тригонометрическим таблицам с точностью до 1^o.

4. В большинстве случаев положение изолонг на плане позволяет применить только одну из величин φ или β. Другая величина определяется, исходя из соотношения:

$$\delta = \operatorname{arctg} (\operatorname{tg} \beta \cdot \sin \varphi).$$

5. Указанная зависимость вычислена в виде таблиц, которые приводятся в методических указаниях по практическим занятиям.

Определение связи элементов рельефа со свойствами оруденения

Для выявления связи свойств оруденения с рельефом анализируемой поверхности на проекцию выносятся количественные характеристики минерализации, установленные по опорным точкам. В качестве количественных характеристик используются, как правило, содержание полезных компонентов и мощность рудных тел. По всем опорным точкам (разведочным пересечениям, выходам рудного тела на поверхность) определяются средние значения содержания и мощности, на основании которых, в свою очередь, рассчитываются средние параметры оруденения для каждой грани.

Зависимость между элементами залегания и характеристиками оруденения можно установить простым графическим способом с помощью трехмерных диаграмм. Такая диаграмма представляет собой таблицу, столбцами которой являются интервалы азимутов падения (отдельно для восточного и западного направлений падения), а строкам – интервалы углов падения. Каждой клетке таблицы соответствует группа граней с близкими значениями азимутов и углов падения, попадающими в один интервал. В клетки заносятся средние значения исследуемого параметра, рассчитанные для входящих в них граней. Далее для каждой клетки вычисляется среднее по данному параметру уже для группы граней, элементы залегания которых попадают в соответствующие интервалы. По этим значениям методом интерполяции проводятся изолинии и определяются полюса, соответствующие наиболее богатым (с максимальными содержаниями) и наиболее приоткрытым (с максимальной мощностью) граням. Для каждого полюса определяются азимут и угол падения, сравнение которых со средними элементами залегания продуктивной поверхности позволяет определить кинематический тип рудообразующих деформаций. Как отмечалось выше, приоткрывание граней, отклоняющихся от среднего простирания вправо, происходит при перемещениях типа правого сдвига, а граней, отклоняющихся влево – при левом сдвиге. В разрезе более пологие участки приоткрываются при взбросах, более крутые – при сбросах.

Сопоставляя количество и элементы залегания полюсов, выделившихся по содержанию и по мощности, можно сделать выводы об этапах рудообразования, природных типах руд и механизме формирования рудоконтролирующей структуры. Проанализировав распределение наиболее богатых и наиболее мощных руд в пределах плоскости проекции, легко определить структурные типы рудных тел, установить закономерности их размещения и сделать прогноз на фланги и глубокие горизонты геометризованной поверхности.

Анализ мелкой трещиноватости

Цели и задачи метода

Мелкой трещиноватостью горных пород называется совокупность имеющихся в них мелких трещин. Эти трещины являются важными свидетелями условий развития деформаций, как на локальных участках, так и в региональном масштабе. Изучение мелкой трещиноватости является высокоинформативным методом, который широко используется в практике геолого-съемочных, поисково-разведочных, а также гидро- и инженерно-геологических работ.

Условия и причины возникновения мелких трещин в горных породах разнообразны. Трещины образуются в результате деформаций при диагенетических процессах в осадочных породах, при остывании и контракции минералов изверженных пород и их гидротермальных изменениях, при тектонических деформациях, при метаморфизме и выветривании. Нередко эти процессы охватывают значительные объемы горных пород, а иногда развиваются локально. В мелкой трещиноватости фиксируется суммарный результат этих процессов.

Изучение мелкой трещиноватости позволяет решить целый ряд самых разнообразных задач, например:

1) установить ориентировку силового поля, вызвавшего трещинные деформации в породе;
2) определить кинематические типы трещинообразующих деформаций;
3) выяснить условия размещения в породе разных минеральных комплексов;
4) изучить строение трещиноватых пород;
5) охарактеризовать физико-механические свойства пород;
6) оценить проницаемость пород для рудообразующих растворов;
7) проанализировать возрастные взаимоотношения разных пород.

Методика изучения мелкой трещиноватости приводится по А. В. Королеву и П. А. Шехтману [КШ], разработавшим ее наиболее обстоятельно.

Наблюдения над трещинами в поле

Полевое изучение мелкой трещиноватости проводится по единой программе. Схема записи наблюдений над трещинами должна включать следующие пункты.

I. Местоположение точки наблюдения, масштаб карты.

II. Порода, содержащая трещины, ее геологическая позиция в точке наблюдения, элементы залегания породы.

III. Замеры элементов залегания трещин.

IV. Характеристика отдельных систем трещин.

Результаты замеров заносятся в специальный журнал, в котором рекомендуется выделить семь граф:

1 – номер по порядку;

2 – азимут падения;

3 – угол падения;

4 – форма;

5 – мощность;

6 – длина;

7 – минеральное заполнение.

При характеристике отдельных систем указываются элементы залегания (средние и пределы колебания), удельная трещиноватость, частота трещин и удельное растяжение, размеры и форма, генетический тип трещин и соотношение с другими системами.

Фотографии и зарисовки трещин, позволяющие боле ярко охарактеризовать их особенности, должны сопровождать все массовые замеры трещин.

Рассмотрим основные пункты программы исследования трещиноватости.

Геологической позицией точки наблюдений называется ее пространственное положение относительно горных пород и их структурных форм. Все замеры на одной точке должны выполняться не только в одной и той же горной породе, но и в одном структурном положении: в одном крыле или в осевой части складки, в одном борту разлома, контакта или дайки.

Замеры элементов залегания проводятся обычными приемами с помощью компаса. При этом следует соблюдать следующие два правила:

1) не замерять одну трещину два или более раз. Нарушение этого правила приводит к искажению соотношения трещин;

2) не округлять отсчеты по компасу и эклиметру. Округление отсчетов вызывает потерю точности и затрудняет последующую обработку замеров.

По форме выделяются 4 группы трещин: а) прямые, 2) изогнутые, 3) волнистые, 4) ломаные.

Мощность трещин удобно упрощенно оценивать степенью их раскрытия: а) закрытые трещины с мощностью менее 1 мм, б) трещины мощностью 1-5 мм, в) трещины мощностью 5-10 мм, г) трещины с разверзанием более 10 мм.

Учет по длине можно также проводить с помощью их группировки: а) короткие, меньше 0,5 м; б) 0,5-2 м; в) 2-5 м; г) свыше 5 м.

По составу минерального заполнения трещины также обычно разделяются на три группы: а) не заполненные минералами полые трещины; б) трещины, заполненные продуктами разрушения вмещающих пород (брекчия, дресва, тектоническая глинка и т. п.); в) трещины, заполненные продуктами отложения из растворов. Для трещин третьей группы указывается минеральный состав заполнения.

После окончания замеров характеризуются главные системы трещин. Система трещин – это их пространственная совокупность, обладающая близкими или одинаковыми элементами залегания. Обширный опыт статистического изучения мелкой тре-

щиноватости методом массовых замеров показывает, что элементы залегания трещин подчиняются нормальному закону распределения. Это означает, что наибольшее количество трещин данной системы имеет близкие элементы залегания, определяя полюс системы. Постоянно уменьшающиеся количества трещин имеют все более отклоняющиеся от своего полюса элементы залегания и образуют вокруг него ореол рассеяния. Обычно ореолы рассеяния тектонических трещин не превышают размаха в 20-25^{o} как по азимутам, так и по углам падения. Это свойство мелкой трещиноватости позволяет четко выделить полюса трещин при нанесении их на стереографическую сетку.

Под удельной трещиноватостью породы понимается общее количество трещин, приходящееся на 1 линейный метр, независимо от их систематики.

Применяется также другое понятие – частота трещин. Частота характеризует количество трещин данной системы, приходящееся на 1 м в направлении вкрест простирания и перпендикулярно падению системы. В некоторых случаях частота совпадает с удельной трещиноватостью.

Величина удельной трещиноватости – важный показатель свойств горных пород. В литературе описаны, например, прямо пропорциональная зависимость удельной трещиноватости гранитоидов от степени их раскристаллизации; обратно пропорциональная зависимость удельной трещиноватости от мощности пластов песчаника и др.

По удельной трещиноватости можно оценивать степень деформации горной породы. Так для изверженных пород характерно повышение удельной трещиноватости в краевых частях. Удельная трещиноватость может увязываться с оруденением. На скарново-шеелитовом месторождении Чорух-Дайрон в Средней Азии удельная трещиноватость богатых руд свыше 20, рядовых руд – свыше 10.

Удельное растяжение является объективным показателем степени разгрузки породы от давления в тот или иной период. Удельное растяжение измеряется суммарной мощностью трещин на линейном метре.

Показатель удельного растяжения может быть использован для характеристики оруденения, если трещины заполнены рудным материалом, для оценки водопроницаемости породы и ее устойчивости при проходке выработок, для сравнения пород между собой и для изучения процессов дислокации.

Соотношения с другими системами имеют значение для выяснения условий трещинных деформаций, характера и направления создавших трещины напряжений и соотношения процессов трещино- и минералообразования.

Заключение

Из изложенного можно сделать следующие выводы.

Структура рудного поля – результат длительного и разнообразного геологического развития того или иного участка земной коры. К моменту минералообразования большая часть элементов структуры в основном сформирована.

Структурные особенности рудных полей зависят от следующих факторов:

- свойств пород и характера их сочетания. Свойства пород на протяжении развития структуры изменяются;

- особенностей тектонического режима. В процессе формирования структуры неоднократно меняются условия тектонического сжатия и растяжения. Наибольшие структурные преобразования происходили при сжатии;

- кинематики геологических тел, определявшей направления относительных перемещений по различным геологическим поверхностям и создававшей неоднородность в распределении тектонических напряжений. Последнее находит отражение в частных планах деформаций.

Аналогичные структурные элементы, сформировавшиеся к моменту минерализации, не всегда одинаково благоприятны для размещения оруденения, поскольку характер тектонических деформаций пород в них зависит от частных планов, синхронных с минералообразованием.

На формирование позиций, наиболее благоприятных для локализации оруденения, решающее значение оказывали морфология структурных элементов и кинематика, во многом определяемая характером геологических границ рудных полей.

Контрольные вопросы

1. Что понимается под геометризацией геологических поверхностей?
2. Назовите особенности геологических поверхностей.
3. Назовите морфологические типы геологических поверхностей.
4. Как выбирается геометризуемая поверхность?
5. Как выбирается плоскость проекции?
6. Как определяется сечение изолиний?
7. Что такое изолонги?
8. Что такое изогипсы?
9. Какие задачи решаются методом изучения мелкой трещиноватости?
10. Какие характеристики трещин необходимо задокументировать в поле?
11. Какие способы применяются для обработки массовых замеров трещин?

Библиографический список

Основная литература

1. Старостин В. И., Дергачев А. Л., Семинский Ж. В. Структуры рудных полей и месторождений: Учебник. М.: Изд-во МГУ, 2002. – 352 с.

2. Кривцов А. И., Яковлев П. Д. Структуры рудных полей и месторождений, металлогения и прогноз рудоносности. М.: Недра, 1991. – 382 с.

Дополнительная литература

3. Вольфсон Ф. И., Яковлев П. Д. Структуры рудных полей и месторождений. Учебное пособие для вузов. – М.: Недра, 1985. – 309 с.

4. Яковлев Г.Ф. Геологические структуры рудных полей и месторождений. Учебное пособие для вузов. – М.: Изд-во МГУ, 1982. – 267 с.

5. Детальные структурно-прогнозные карты гидротермальных месторождений./П. А. Шехтман, В. А. Королев, Н. А. Никифоров и др. М.: Недра, 1979. – 280 с.

6. Бабенко В. В., Коцуба А. П. Прогнозирование условий размещения полезных ископаемых: Научное издание. – Екатеринбург: Изд-во УГГГА, 2001. – 385 с.

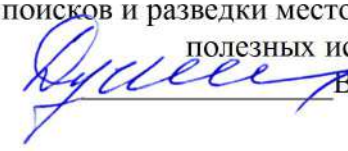
7. Яковлев Г. Ф. Вулканогенные структуры месторождений полезных ископаемых. – М.: Недра, 1984. – 208 с.

8. Невский В. А., Фролов А. А. Структуры рудных месторождений кольцевого типа. – М.: Недра, 1985. – 247 с.

9. Королев А. В., Шехтман П. А. Структурные условия размещения послемагматических руд. М.: Недра, 1965. – 507 с.

10. Коробейников А. Ф. Геологическое картирование рудных полей и месторождений. Учебное пособие. – Томск: ТПУ, 1997. – 165 с.

МИНОБРНАУКИ РФ
ФГБОУ ВО «Уральский государственный горный университет»

УТВЕРЖДАЮ
Заведующий кафедрой геологии,
поисков и разведки месторождений
полезных ископаемых

В.А.Душин

МЕТОДИЧЕСКИЕ УКАЗАНИЯ К ПРАКТИЧЕСКИМ ЗАНЯТИЯМ ПО ДИСЦИПЛИНЕ

Б1.В.ДВ.02.01 СТРУКТУРЫ РУДНЫХ ПОЛЕЙ

Специальность:
21.05.02 Прикладная геология

Специализация
Геологическая съемка, поиски и разведка месторождений твердых полезных ископаемых

форма обучения: очная, заочная

Автор: Никулина И. А.., доцент, к.г.-м.н.

Одобрены на заседании кафедры
Геологии, поисков и разведки МПИ
(название кафедры)
Протокол № 1 от 26.09.2023
(Дата)

Екатеринбург

СОДЕРЖАНИЕ

№№ работ	Название	Стр.
1	Детальное геологическое прогнозирование	
2	Геометризация рудоконтролирующих поверхностей	
3	Анализ массовых замеров мелкой трещиноватости	

Введение

Прикладной частью учения о структурах рудных полей являются детальные и локальные прогнозно-поисковые работы с целью обнаружения новых рудных тел или их частей. Прогнозно-поисковые работы в пределах рудных полей, в отличие от региональных исследований, имеют следующие особенности: 1) локальный масштаб объектов прогнозирования и поисков, 2) значительно большая плотность сети наблюдений, 3) специфические методы прогнозных построений.

На первом этапе ГРР при региональном геологическом изучении недр и прогнозировании полезных ископаемых объектами прогноза являются рудные районы, узлы, зоны, на втором этапе, при поисках и оценке – рудные поля и рудные тела. На третьем этапе, при разведке и освоении месторождений, объекты прогноза и поисков еще более крупные. Разведка проводится в пределах отдельных частей рудных тел, предназначенных для первоочередной разработки. При эксплуатационной разведке прогнозируется распределение в пространстве *качественно разнородных участков рудных тел* – наиболее богатых (рудных столбов, лент и пр.) и, наоборот, обедненных.

Плотность наблюдений отличается *максимальной частотой* по сравнению с ранними стадиями. Так эксплуатационной разведке, как правило, соответствует расстояние между разведочными выработками первые десятки метров.

Методика локального прогнозирования достаточно специфична и ориентируется на генетический тип изучаемой минерализации. Однако информационной базой для прогноза во всех случаях является *локальное геологическое картирование* во всех его видах – структурное, минералогическое, геохимическое, метасоматическое, технологическое и др. Соответственно, разработано большое количество как универсальных, так и достаточно специфических методов.

Теоретические вопросы геологического картирования в пределах рудных полей детально рассмотрены в монографии А. Ф. Коробейникова [4].

Основой прогнозно-поисковых работ в пределах рудных полей служит детальное геологическое картирование исследуемой территории в масштабах 1:25000 – 1:1000. Целью детального геологического картирования является, в первую очередь, определение и уточнение рудоконтролирующих факторов: стратиграфо-литологических, магматических, структурных, геоморфологических, метаморфических и др. При картировании обязательно учитываются результаты предшествующих геологосъемочных, геофизических, геохимических, а также геологоразведочных работ. Методика картирования должна полностью соответствовать действующим инструктивным материалам МПР РФ и методическим указаниям ведущих НИИ – ВСЕГЕИ, ЦНИГРИ, ВИМС.

При изучении рудных полей необходимо принимать во внимание генетические и промышленные типы оруденения. Так, при картировании осадочных месторождений главную роль должны играть литолого-стратиграфические исследования. Для рудных полей магматического генезиса первостепенное значение имеют структурно-петрологические наблюдения. Исследования метаморфических и гидротермальных объектов состоят в изучении литолого-петрологических особенностей в сочетании с элементами складчатой и разрывной тектоники. Картирование полей с россыпными

объектами выполняется на основе геоморфологической и четвертичной специализированной съемки.

Кроме того, при прогнозировании и поисках в пределах рудных полей применяются специализированные виды геологического картирования: структурное, метасоматическое, минералогическое, геохимическое, геолого-технологическое.

Структурное картирование рудных полей заключается в уточнении разрезов рудовмещающих пород, анализе их форм, условий залегания и петрографического состава, детальном изучении тектоники рудного поля и в особенности рудоконтролирующих структур, включая мелкую трещиноватость и микротектонику. В зависимости от генезиса рудного поля применяются разные методы структурного картирования, основные из которых будут рассмотрены в следующем разделе.

Метасоматическое картирование является необходимой частью исследования гидротермальных месторождений, рудные тела которых сопряжены с ореолами околорудных изменений. Метод состоит в изучении минералого-геохимической зональности ореолов, составлении метасоматических колонок и выделении стадий метасоматоза (ранней щелочной, кислотного выщелачивания, поздней щелочной, нейтрализации растворов – по Д.С. Коржинскому), моделировании рудно-метасоматического процесса и определении места оруденения в этом процессе. Более подробное знакомство с методикой изучения околорудных метасоматитов предусмотрено действующим учебным планом в курсе «Методы изучения МПИ».

Минералогическое картирование, или топоминералогия, представляет собой, в первую очередь, метод научных исследований. Суть его состоит в изучении распределения в пространстве отдельных минералов и их типоморфных характеристик, либо парагенетических ассоциаций минералов. При этом анализируются как содержание минералов, так и их количественные соотношения. Наиболее распространенными являются, кварцеметрическая и пиритометрическая съемка.

Геохимическое картирование в пределах рудных полей осуществляется в соответствии с действующими инструктивными и методическими материалами. Важнейшие приемы геохимических исследований рассматриваются в дисциплине «Геохимические методы поисков». В качестве некоторой особенности можно отметить, что в масштабе рудного поля целесообразно использовать только литохимический метод – по коренным и рыхлым отложениям.

Наконец, геолого-технологическое картирование предназначено для выделения технологических типов и сортов руд с целью управления качеством продукции и разработки рациональной схемы отработки месторождения. Эти работы являются одной из важнейших задач эксплуатационной разведки на действующих горнодобывающих предприятиях. Вопросы геолого-технологического картирования рассматриваются в курсе «Горнопромышленной геологии».

Методы структурного картирования рудных полей

При геологической съемке структурное картирование является дополнением к геологическому картированию и служит для уточнения и детализации тектонического строения территории. Но при изучении структуры рудного поля структурное картирование – основной метод исследований.

Методы структурного картирования чрезвычайно разнообразны. Их можно объединить в 2 группы: картировочные и аналитические. К картировочным относятся структурная съемка, морфометрический, морфогенетический, морфоструктурный, палеофациальный, палеовулканический, структурно-петрологический и другие методы. Аналитические методы включают: анализ мелкой трещиноватости, микроструктурный, тектонофизический и т.п. [4].

Картировочные методы направлены на построение специальных структурных карт. Их разнообразие связано с различием генетических типов месторождений. На магматических месторождениях применяется структурно-петрологический метод, на гидротермальных – морфогенетический (палеотектонический), на вулканических, соответственно, палеовулканический. Для месторождений выветривания эффективен, в первую очередь, палеоклиматический метод, для осадочных – палеофациальный, палеогеографический и палеогеоморфологический. Анализ метаморфогенных месторождений включает изучение рудоносных структур метаморфических комплексов (палеометаморфический метод).

Перечисленные картировочные методы аналогичны по своей сути.

Структурно-петрологические (палеоплутонические) исследования состоят в последовательном выполнении следующих работ: а) выделение фаций плутонитов – главных и дополнительных фаз, жильных серий, фаций сателлитов; б)анализ их размещения в пределах рассматриваемой площади; в)реставрация истории становления плутонических тел; г)определение места оруденения в этой истории; д)выявление рудоносных фаз и оконтуривание перспективных участков.

Палеовулканический метод включает: а) выделение вулканических фаций; б)анализ их размещения; в) палеовулканические реконструкции; г) определение места оруденения в вулканическом процессе; д) выявление рудоносных и оконтуривание рудоносных участков.

Палеофациальные работы объединяют: а)выделение фаций осадочных пород; б)анализ их распространения; в)реставрация палеофациальных условий; г)определение места оруденения в палеофациальной обстановке; д)выявление рудоносных структур и прогноз.

Изучение рудоносных структур метаморфических комплексов (палеометаморфический метод), в свою очередь, это: а)выделение метаморфических фаций и минеральных ассоциаций; б)анализ их размещения; в)реставрация истории формирования комплекса; г)определение места оруденения в нем; д)выявление рудоносных фаций и прогноз.

Некоторой спецификой отличаются морфогенетический (палеотектонический или палеогидротермальный) и морфоструктурный (палеогеоморфологический) методы.

Морфогенетический метод применяется для глубоко вскрытых гидротермальных месторождений и заключается в реставрации направления движения потока рудообразующих растворов, оценке вертикальной протяженности и степени эродированности месторождений.

Морфоструктурный метод применяется для экзогенных и полигенных месторождений. Он основан на сопоставлении рельефа поверхности с ее геологической

структурой; исследовании морфоструктуры, возникшей при взаимодействии экзогенных и эндогенных факторов.

Наконец, два из названных выше картировочных методов являются универсальными, то есть они применимы к месторождениям любого генезиса. Это структурная съемка и морфометрический анализ.

Структурная съемка – это построение специальных структурных карт, на которых показывают разрывные и складчатые нарушения и их характеристики.

Морфометрический анализ состоит в изучении связи оруденения с рельефом продуктивных структурных поверхностей. Изучение рельефа осуществляется методом его геометризации. В результате устанавливаются рудообразующие деформации и реконструируется механизм формирования месторождения.

Аналитические методы картирования предполагают проведение специфических структурных исследований. Из них наибольшим распространением пользуется *анализ мелкой трещиноватости*. Он включает массовые замеры трещин, статистическую обработку замеров и собственно анализ. Метод имеет широкие возможности, он позволяет определять: 1)региональный план тектонических деформаций (осей тектонических напряжений); 2)локальные вариации плана деформаций; 3)тип, генезис и этапы рудообразующих деформаций; 4)возрастные взаимоотношения оруденения с различными геологическими телами; 5)механизм рудообразования в целом (в совокупности с другими методами). Применение метода не требует каких-либо особых приспособлений или навыков, он общедоступен и дает разнообразные и достаточно определенные данные.

Тектонофизический анализ базируется на основных положениях тектонофизики, основоположником которой является М.В. Гзовский. Тектонофизический анализ также заключается в реставрации плана тектонических напряжений, то есть ориентировки осей тектонических деформаций. Основой анализа является также изучение мелкой трещиноватости. Положение осей устанавливается по ориентировке сопряженных систем трещин, осей складчатости, плойчатости и другим признакам. Определенная неоднозначность состоит в правильном выделении сопряженных систем, для чего разработан целый ряд признаков. Оси деформации определяются как линии пересечения сопряженных систем в результате графических построений на специальной сетке.

Микроструктурный анализ основан на определении ориентировки минералов в горных породах и рудах, возникшей в результате тектонических (метаморфических, метасоматических и др.) процессов. Метод позволяет сделать выводы о структурных услових формирования рудовмещающих пород и руд. Микроструктурный анализ заключается в отборе ориентированных образцов, изготовлении из них ориентированных шлифов и последующем изучении их на столике Федорова с замером ориентировки оптических осей. Метод отличается трудоемкостью, он требует большой точности и аккуратности, высокой квалификации исполнителя. При этом он должен сочетаться с другими методами, и результаты его не всегда интерпретируются однозначно.. Кроме того, в классических вариантах микроструктурного анализа используются только одноосные минералы – кварц, кальцит, слюды, хотя позднее разработаны модификации и для других минералов – барита, оливинов, пироксенов, рудных минералов.

Структурно-петрофизический анализ основан на изучении физико-механических свойств горных пород (петрофизических свойств). С помощью специальных структурно-петрофизических диаграмм выделяются деформированные и недеформированные породы, реставрируются палеотектонические поля напряжений, этапы развития рудоносных структур. Метод использует математическое моделирование физико-механических свойств горных пород, руд, полей напряжений для разных механизмов деформаций.

В рамках практических занятий при изучении дисциплины «Структуры рудных полей» предусматривается освоение трех наиболее распространенных методов: двух картировочных и одного аналитического. Первая работа состоит в прогнозировании новых рудных тел в пределах медноколчеданного рудного поля на палеовулканической основе, вторая работа заключается в исследовании рудоконтролирующей поверхности с помощью геометризации морфометрическим методом, и третья – анализ массовых замеров мелкой трещиноватости. Теоретические основы методов рассматриваются в лекционной части курса, а также в методических указаниях по самостоятельной работе. В данном пособии приводится описание практической части работ.

РАСЧЕТНО-ГРАФИЧЕСКАЯ РАБОТА № 1

Детальное геологическое прогнозирование

Цель учебной работы по детальному прогнозированию состоит в том, чтобы получить представление о задачах, решаемых при количественном прогнозировании и познакомиться с методами, которые применяются при решении этих задач.

Задание разработано на примере Бурибайского медноколчеданного месторождения, расположенного на Южном Урале. Медноколчеданное оруденение – ведущий для Урала промышленный тип медных руд. Заблаговременное выявление прогнозных ресурсов разных категорий является залогом обеспечения сырьем меднорудных предприятий региона. В качестве прогнозной основы использована схематическая геологическая геолого-структурная карта Бурибайского рудного поля масштаба 1:25000, составленная в 1984 г. В. Ф. Рудницким и Н. Б. Папуловым; данные по рудным объектам взяты из отчета о научно-исследовательской работе "Условия размещения медноколчеданных месторождений и оценка перспектив на Бурибайском и Маканском рудных полях" 1986 г., авторами которого являются В. Ф. Рудницкий, В. В. Масленников, Н. Б. Папулов и др. В целях оптимизации обучающих функций задания допущены некоторые отступления от карты и параметров рудных проявлений.

Задание базируется на методике количественного геологического прогнозирования, применяемой в нашем институте с начала 70-х годов. основоположником ее был заведовавший кафедрой геологии месторождений полезных ископаемых в 1968-1977 гг. проф. П. А. Шехтман. Позднее это направление возглавлял проф. В. В. Бабенко.

Задание состоит из двух частей. Первая часть заключается в выявлении рудоконтролирующих факторов и оценке их относительной значимости, а вторая – в выделении перспективных площадей. Для выполнения первой части задания используется эталонный участок карты, в пределах которого сосредоточены практически все известные в Бурибайском рудном поле проявления медноколчеданных руд. Они представлены Бурибайским месторождением, ныне отработанным, Ново-Бурибайской рудной залежью, рудопроявлениями Подсобное хозяйство, Шанхай, Красный Маяк, а также рядом рудных подсечений. Вторая часть задания – собственно прогнозирование, выполняется на смежном с эталонным участке, в пределах которого проявлений минерализации в настоящее время не установлено. Поскольку задание носит учебный характер, процесс прогнозирования в нем предельно упрощен. Прогнозная оценка базируется в рассматриваемой методике на геолого-статистических методах и включает довольно большой объем вычислений. Для их реализации составлена программа под названием "Учебная работа по количественному прогнозированию", рассчитанная на компьютерный класс кафедры.

ГЕОЛОГИЧЕСКОЕ СТРОЕНИЕ ОЦЕНИВАЕМОЙ ТЕРРИТОРИИ

Геология рудного района

Рассматриваемый рудный район расположен в пределах вулканического пояса, представленного здесь двумя структурными зонами – Восточной и Западной. Восточная зона сложена андезито-базальтовой формацией и представляет собой островную дугу. В Западной зоне развита формация натриевых базальтов-риолитов, которая рассматривается как основание островодужного комплекса, либо как отложения междугового бассейна.

В геологическом строении района участвуют (Рис. 1) две свиты – нижняя и верхняя. Нижняя свита развита в пределах Западной зоны и включает две толщи – метадолеритовую и базальтовую. Первая, метадолеритовая (диабазовая), толща представлена афировыми и порфировыми метаморфизованными долеритами, образующими пакеты крутопадающих даек и силлоподобные залежи при подчиненном присутствии лав. Вторая, базальтовая, толща сложена подушечными и трубчатыми лавами подводных базальтов (спилитов), среди которых встречаются дайки метадолеритов и изредка прослои переотложенных гиалокластитов. Верхняя свита слагает, главным образом, Восточную структурную зону. Она включает лавы и пирокластические разности пироксен-плагиоклазовых порфировых дацито-андезитов, андезибазальтов и базальтов, которые сменяются вверх по разрезу вулканогенно-терригенными породами: туфоалевролитами, туфопесчаниками, туфоконгломератами. Интрузивные образования района представлены габбро и габбродиоритами, залегающими в виде крутопадающих дайкообразных и штокообразных тел.

В структурном отношении район представляет собой тектонический блок, длинной осью ориентированный в север-северо-западном направлении. С запада и востока блок ограничен разломами субмеридионального (355^{o}) простирания, с севера и юга – субширотными (60^{o}). Субмеридиональные разломы вмещают интрузивные тела диоритов, габбродиоритов и габбродолеритов, субширотные трассируются пакетами даек метадолеритов. Долериты и подводные базальты образуют в пределах блока вытянутые в субмеридиональном направлении вулканические поднятия. В ядрах поднятий выходят долериты, на крыльях залегают потоки базальтов. Поднятия с длинных сторон окаймляются депрессионными структурами (кальдерными рвами) шириной около 500 м при размерах поднятий от 3х7 до 8х20 км. Поднятия разделены субширотными разломами.

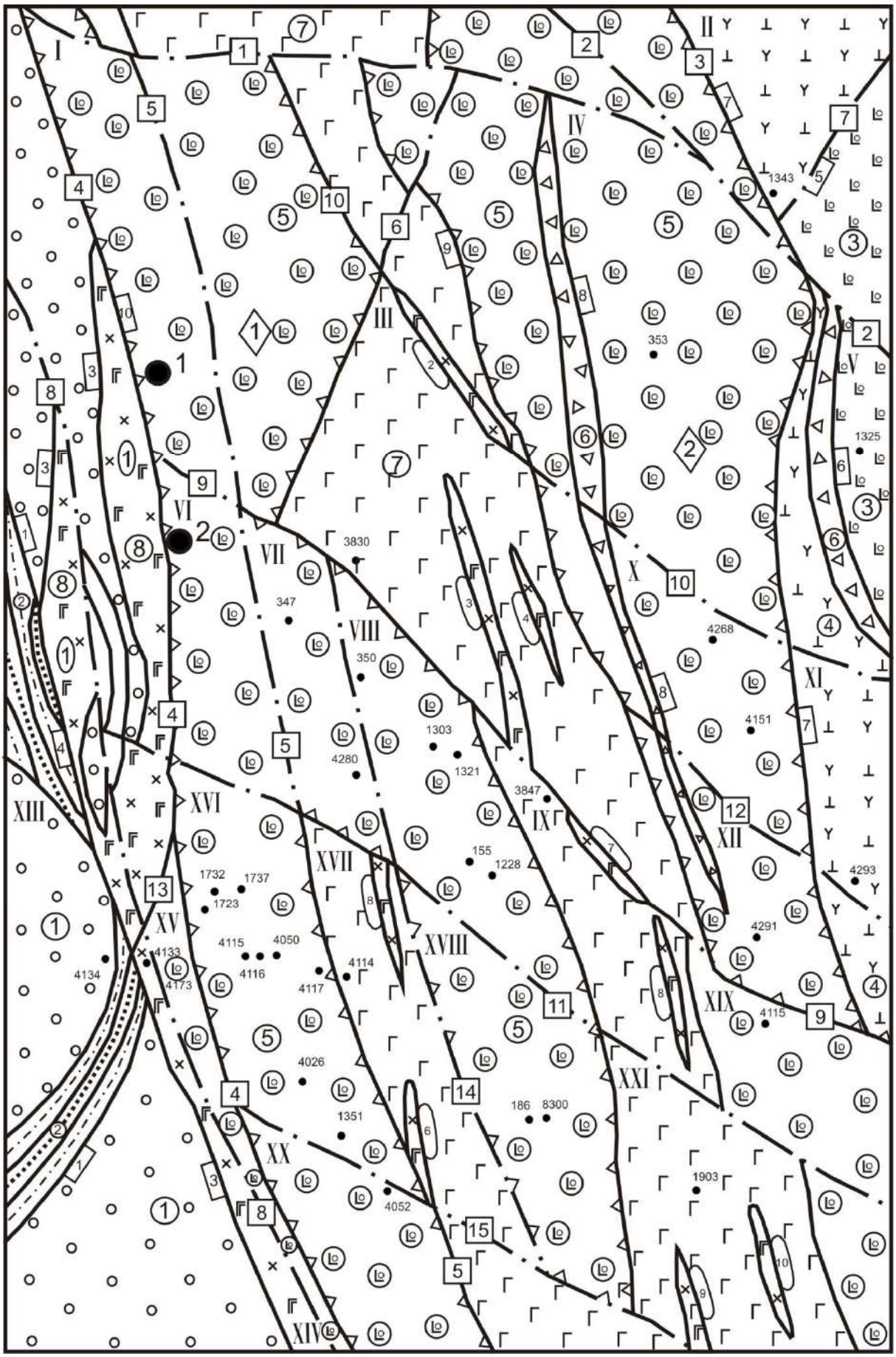
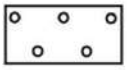


Рис. 1. Геологическая карта эталонного участка. Масштаб 1:25000

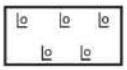
Условные обозначения к рисункам 1 и 2

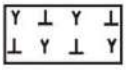
Литология

Верхняя свита

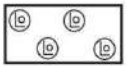
 Туфоконгломераты

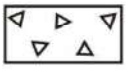
 Туфопесчаники и туфоалевролиты

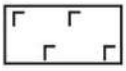
 Базальты и андезибазальты

 Дациты и андезидациты

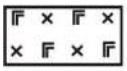
Нижняя свита

 Подушечные лавы подводных базальтов

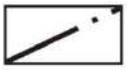
 Переотложенные гиалокластиты

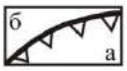
 Долериты и базальты долеритовой толщи

Интрузивные породы

 Габбродиориты

Структурные элементы

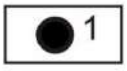
 Разломы



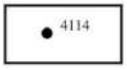
Контуры палеодепрессий (а) и разделяющих их поднятий (б)

 Геологические контакты

Рудные объекты

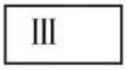


Месторождения

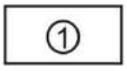


Рудные скважины

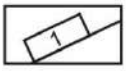
Нумерация структур



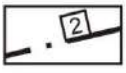
Номера ГОБ



Номера литологических толщ



Номера геологических контактов



Номера разломов



Номера вулканоструктур



Номера магматических тел

Эталонное рудное поле

Эталонное рудное поле приурочено к крылу одного из вулканических поднятий. Оно представляет собой вытянутую в субмеридиональном направлении горст-антиклиналь размером 4х18 км, сложенную породами нижней свиты. С запада горст-антиклиналь ограничена глубинным разломом с амплитудой свыше 600 м, с востока перекрывается более поздними вулканогенными образованиями верхней свиты. Северная и южная границы поля проводятся по субширотным нарушениям.

Пакеты даек и компактные микропорфировые базальты образуют в центральной части рудного поля вулканическую гряду (вал) шириной 0,5-2,5 км, вытянутую в субмеридиональном направлении на расстояние 16 км. В центральной части гряды к западу отходит небольшой пальцевидный отрог размером в плане 0,25-1,5 км (Рис. 1). Склоны гряды имеют пологое (до 30, реже до 45^{o}) падение и покрыты подушечными лавами подводных базальтов толщи. На склонах выделяются узкие депрессионные структуры, которые характеризуются присутствием в них, наряду с шаровыми лавами, прослоев вулканогенно-осадочных отложений.

В рудном поле установлены две палеодепрессии. Одна из них находится на восточном склоне вулканической гряды, имеет овальную форму и размеры 1х6 км. Вторая откартирована на западном склоне гряды. Размеры ее значительно больше, а конфигурация осложнена отрогом вулканической гряды, разделяющим юго-восточную часть палеодепрессии на две полосы. Западная часть палеодепрессии срезана глубинным разломом. Поствулканические разломы северо-западного простирания разделяют рудное поле на ряд блоков более высокого порядка.

Характеристика рудных объектов

Минерализация эталонного рудного поля представлена двумя месторождениями – одним средним и одним мелким, четырьмя проявлениями и рядом рудных подсечений (Рис. 1).

Месторождение 1 расположено в нижней базальтовой толще, в северном замыкании западной палеодепрессии. Образовано оно тремя линзами. Основной по запасам является Южная линза. Ее мощность достигает 65 м, длина по простиранию 350 м. Линза протягивается по азимуту 345^{o} с падением на запад под углом 45-50^{o}. В поперечном сечении линза имеет ступенчатую форму, которая определяется сочетанием крутопадающих зон дробления с пологими межпластовыми зонами рассланцевания. По простиранию рудное тело резко выклинивается на юге без сокращения мощности, а на севере расщепляется на две апофизы с образованием раздува в месте расщепления. Руды месторождения представлены, в основном, массивным и, в меньшей степени, вкрапленным типами и состоят из пирита, халькопирита и сфалерита. Среднее содержание меди 3,5 %, цинка – 1 %. Руды сопровождаются метасоматитами кварц-хлоритового, хлорит-кварцевого, карбонат-хлорит-кварцевого, кварц-хлорит-серицитового состава.

Месторождение 2 находится в 500 м к югу от месторождения 1 в сходной геолого-структурной обстановке на более глубоком уровне. Представлено оно двумя параллельными линзами западного падения (угол 35-40^{o}). По простиранию длина залежи составляет около 100 м, по падению – 200 м. Суммарная мощность линз достигает 25 м, среднее содержание меди 2,3 %.

Проявления 3, 4, 5 приурочены к центральной части западной палеодепрессии. Они образуют две зоны. Первая включает проявление 3 и располагается в западном борту Западной палеодепрессии. Здесь вскрыты медные, медно-цинковые и серные массивные и прожилково-вкрапленные руды, сопряженные с серицит-хлорит-кварцевыми метасоматитами. Вторая зона контролируется депрессионной структурой более высокого порядка, осложняющей восточный борт той же палеодепрессии. Зона включает вкрапленную медную и цинковую минерализацию проявлений 4 и 5. Проявление 6 размещается в Восточной палеодепрессии. Оно представлено вкрапленными цинковыми рудами и сульфидной минерализацией в хлорит-кварцевых и серицит-хлорит-кварцевых породах. Проявления изучены недостаточно и четко не оконтурены, поэтому на карте эталонного рудного поля (Рис. 1) они представлены в виде отдельных рудных подсечений (скважин).

Сводная характеристика рудных объектов дана в таблице 1.

МЕТОДИКА ВЫПОЛНЕНИЯ РАБОТЫ

Выявление рудоконтролирующих факторов

Составление кадастра минерализованных блоков

Первая часть работы – выявление рудоконтролирующих факторов, базируется на анализе карты эталонного участка, расположенной на бланке задания слева (Рис. 1). Геологические контакты, разрывные нарушения и границы палеовулканических структур делят площадь эталонного рудного поля на отдельные участки, в пределах которых геологическая ситуация одинакова. Эти участки называются геологически однородными блоками (ГОБ). 21 из них являются минерализованными, то есть содержат рудные объекты – месторождения, проявления или рудные подсечения. Они и используются для выявления и оценки рудоконтролирующих факторов. Масштаб минерализации, заключенной в каждом таком блоке, определяется вариантом задания в виде содержания полезного компонента (меди), мощности рудной зоны или произведения этих параметров – метропроцента (табл. 1).

Таблица 1

Характеристика рудных объектов

Номера ГОБ	Номера объектов	Варианты														
		Мощность рудного тела, м						Содержание меди, %				Метропроценты, м%				
		1	2	3	4	5	6	7	8	9	10	11	12	13	14	15
1	2	3	4	5	6	7	8	9	10	11	12	13	14	15	16	17
1	I	65,00	32,50	130,00	88,00	43,30	3,50	1,75	7,00	5,30	2,30	227,50	56,88	910,00	466,40	99,59
2	8303	1,40	0,70	2,80	2,10	0,90	0,20	0,10	0,40	0,30	0,13	0,28	0,07	1,12	0,63	0,12
3	3850	10,00	5,00	20,00	15,00	6,70	1,00	0,50	2,00	1,50	0,67	10,00	2,50	40,00	22,50	4,49
4	353	0,50	0,25	1,00	0,75	0,30	0,16	0,08	0,32	0,75	0,11	0,08	0,02	0,32	0,18	0,03
5	1325	0,98	0,49	2,00	1,46	0,65	0,05	0,04	0,10	0,07	0,03	0,49	0,01	0,20	0,10	0,02
6	II	25,00	12,50	50,00	38,00	17,70	2,30	1,15	4,60	3,50	1,50	57,50	14,38	230,00	133,00	26,55
7	347	9,30	4,60	18,60	14,00	6,20	0,13	0,07	0,26	0,19	0,09	1,21	0,32	4,84	2,66	0,56
	4280	9,70	4,90	19,40	14,20	6,40	0,34	0,17	0,68	0,51	0,23	3,30	0,83	13,19	7,24	1,47
8	350	2,90	1,45	5,80	3,30	2,00	0,07	0,04	0,14	0,11	0,05	0,20	0,06	0,81	0,36	0,10
	1303	2,00	1,00	4,00	3,00	1,40	0,06	0,03	0,12	0,09	0,04	0,12	0,03	0,48	0,27	0,06
	1321	1,20	0,60	2,40	1,80	0,80	0,64	0,32	1,28	0,96	0,43	0,77	0,12	3,07	1,73	0,34
	155	13,60	6,80	27,20	20,40	9,00	0,20	0,10	0,40	0,30	0,14	2,72	0,68	10,88	6,12	1,26
	4288	21,70	10,75	43,40	32,00	14,70	0,84	0,42	1,68	1,26	0,56	18,33	4,52	72,91	40,32	8,23
9	3847	5,00	2,50	10,00	7,50	3,30	0,06	0,03	0,10	0,08	0,03	0,25	0,08	1,00	0,60	0,10
10	4286	0,50	0,25	1,00	0,75	0,33	0,16	0,08	0,32	0,24	0,09	0,08	0,02	0,32	0,18	0,30
	4151	3,10	1,55	6,20	4,70	2,00	0,25	0,13	0,50	0,38	0,18	0,78	0,20	3,10	1,79	0,36
11	4293	1,04	0,52	2,08	1,56	0,72	0,07	0,04	0,14	0,11	0,05	0,73	0,02	0,29	0,17	0,01
12	4291	1,00	0,50	2,00	1,50	0,67	0,04	0,02	0,08	0,06	0,03	0,01	0,01	0,16	0,09	0,02
13	4134	16,00	8,00	32,00	24,00	10,70	0,21	0,11	0,42	0,32	0,14	3,36	0,88	13,44	7,68	1,50
14	4135	3,00	1,50	6,00	4,50	2,00	0,25	0,13	0,50	0,38	0,18	0,75	0,20	3,00	1,71	0,36
15	4173	4,10	2,05	8,20	6,30	2,70	0,50	0,25	1,00	0,75	0,33	2,05	0,51	8,20	4,73	0,89

Продолжение таблицы 1

1	2	3	4	5	6	7	8	9	10	11	12	13	14	15	16	17
16	1732	3,60	1,80	7,20	5,40	2,40	0,01	0,01	0,02	0,02	0,01	0,04	0,02	0,14	0,11	0,02
	1737	1,40	0,70	2,80	2,10	0,90	0,02	0,01	0,04	0,03	0,01	0,03	0,01	0,11	0,06	0,01
	1723	0,30	0,15	0,60	0,45	0,20	0,84	0,42	1,68	1,26	0,63	0,25	0,06	1,01	0,57	0,13
	4115	28,20	14,10	56,40	32,30	19,99	1,62	0,81	3,24	2,41	1,12	45,68	11,42	182,74	77,84	21,28
	4116	3,80	1,90	7,60	5,70	2,50	0,55	0,23	1,10	0,80	0,37	2,09	0,44	8,36	4,56	0,93
	4117	5,90	2,85	11,80	8,70	4,00	0,20	0,10	0,40	0,30	0,14	1,18	0,29	4,72	2,61	0,56
	4050	14,00	7,00	28,00	21,00	9,20	0,50	0,25	1,00	0,75	0,33	7,00	1,75	28,00	15,75	3,04
	4026	3,80	1,90	7,60	5,70	2,50	1,05	0,53	2,10	1,58	0,70	3,99	1,01	15,96	9,01	1,75
	1351	4,50	2,25	9,00	6,80	3,00	0,13	0,07	0,26	0,20	0,09	0,59	0,16	2,34	1,36	0,27
	3840	6,50	3,25	13,00	9,80	4,30	0,20	0,10	0,40	0,30	0,13	1,30	0,33	5,20	2,94	0,56
17	4114	4,70	2,35	9,40	7,00	3,10	0,05	0,03	0,10	0,08	0,03	0,24	0,07	0,94	0,56	0,09
18	186	12,00	6,00	24,00	18,00	8,00	0,88	0,44	1,76	1,32	0,60	10,56	2,64	42,24	23,76	4,80
	8300	16,95	8,49	33,00	25,40	11,00	0,95	0,48	2,00	1,43	0,67	16,10	4,08	66,00	36,32	7,37
19	4118	1,20	0,60	2,40	1,80	0,80	0,30	0,15	0,60	0,45	0,20	0,36	0,09	1,44	0,81	0,16
20	4062	1,10	0,55	2,20	1,60	0,70	2,50	1,25	5,00	3,75	1,80	2,75	0,69	11,00	6,00	1,26
21	1903	1,10	0,55	2,20	1,60	0,70	0,05	0,03	0,10	0,08	0,03	0,05	0,02	0,22	0,13	0,02

Работа по выявлению рудоконтролирующих факторов начинается с описания признакового множества минерализации – с составления кадастра минерализованных ГОБ. Кадастр представляет собой таблицу, столбцы которой соответствуют описываемым ГОБ, а строки – признакам, фиксируемым в каждом из них. Формуляр кадастра с образцом заполнения приводится в таблице 2. При заполнении кадастра для сокращения записей данные целесообразно кодировать, то есть использовать цифровые и буквенные обозначения, которые оформляются в виде словаря кодов (дескрипторов). Дескрипторный словарь для выполнения данного задания представлен в таблице 3.

Геологические тела, участвующие в строении территории (разломы, вулканоструктуры, толщи горных пород, магматические тела и геологические контакты), нумеруются. Нумерация необходима для последующей статистической обработки информации. При заполнении кадастра номер описываемого тела обязательно фиксируется и вся снимаемая с карты информация заносится строго в соответствующую ему строку.

Составление расчетных таблиц

Когда кадастр минерализованных ГОБ полностью заполнен, собранную в нем информацию нужно подготовить к машинной обработке, Удобнее всего представить ее в табличной форме. Фрагмент такой таблицы для одного из оцениваемых признаков – ориентировки разломов, приводится ниже в таблице 4.

Строки таблицы отвечают номерам описываемых геологических тел (в нашем примере разломов), а столбцы – градациям оцениваемого признака (направлению простирания). В клетки таблицы заносятся значения масштаба минерализации, соответствующие номеру ГОБ, определяемые вариантом задания. Так, если разлом с номером 1 имеет субширотное простирание, а масштаб минерализации описываемого блока составляет 88,0, то число 88,0 следует занести в клетку, находящуюся на пересечении первой строки и второго столбца (не считая крайнего левого с номерами разломов). Если же разлом с номером 3 северо-западный, а масштаб минерализации блока, который он образует, 2,10, то число 2,10 следует занести в клетку на пересечении третьей строки и четвертого столбца (табл. 4). Поскольку с каждым разломом, как правило, связано несколько рудных объектов, то в каждую клетку попадает не одно, а несколько значений масштаба минерализации. Их следует разделять знаком ";" или писать столбиком мелким шрифтом. Например, разлом № 15 имеет северо-западную ориентировку, и с ним связаны 4 объекта с масштабом минерализации 14,40, 9,40, 28,50 и 2,20. Эти значения и записываются в клетку на пересечении четвертой строки и первого столбца (табл. 4).

Всего рекомендуется составить 9 таблиц для оценки влияния на размещение минерализации всех признаков, описанных в кадастре ГОБ и их градационных значениях:

Таблица 2

Кадастр минерализованных ГОБ

Номера ГОБ	1	2	…	21
Масштаб минерализации	1,75	0,10	…	0,03
Оцениваемые признаки				
Разломы				
номер	1	3		11
	4	7		15
	5			
	9			
ориентировка	2	4		4
	1	3		4
	1			
	4			
Вулканоструктуры				
номер	1	5		4
тип	1	2		2
Вмещающие породы				
номер	5	4		7
свита	2	1		2
фация	1	1		2
петрохимический состав	2	3		2
Магматические тела				
номер	1	-		9
				10
ориентировка	1	-		1
				1
Геологические контакты				
номер	2	5		9
	9	7		
	10			
тип	1	2		2
	2	1		
	1			
ориентировка	1	3		1, 4
	1	4		
	1			
сочетание пород в контакте	1/5	3/4		5/7
	5/7	4/5		
	5/8			

Таблица 3

Дескрипторный словарь

Признаки	Характеристики признаков	Цифровой код	Буквенный код
Разломы			
Ориентировка*	субмеридиональная	1	м
	субширотная	2	ш
	северо-восточная	3	в
	северо-западная	4	з
Вулканоструктуры			
тип	депрессии	1	д
	поднятия	2	п
Вмещающие породы			
толщи	туфоконгломераты	1	
	туфопесчаники, туфоалевролиты	2	
	базальты и андезибазальты	3	
	дацито-андезиты	4	
	подушечные лавы подводных базальтов	5	
	переотложенные гиалокластиты базальтовой толщи	6	
	метадолериты и базальты долеритовой толщи	7	
	габбродиориты	8	
свиты	верхняя	1	в
	нижняя	2	н
фации	эффузивная	1	э
	субвулканическая	2	св
	вулканогенно-осадочная	3	во
петрохимический состав	основной-средний (базальты и андезибазальты, габбродиориты)	1	ос
	основной (базальты, долериты)	2	о
	средний-кислый (дацито-андезиты)	3	кс
Геологические контакты			
тип	межформационный (между разными свитами)	1	фор
	межфациальный (между разными толщами одной свиты)	2	фац
сочетание пород в контакте	туфоконгломераты – туфопесчаники и туфогравелиты	1 (1/2)	
	туфоконгломераты – подводные базальты	2 (1/5)	
	туфоконгломераты - габбродиориты	3 (1/8)	
	туфопесчаники и туфоалевролиты – габбродиориты	4 (2/8)	
	базальты и андезибазальты – дацито-андезиты	5 (3/4)	
	базальты и андезибазальты – гиалокластиты	6 (3/6)	
	дацито-андезиты – подводные базальты	7 (4/5)	
	подводные базальты – гиалокластиты	8 (5/6)	
	подводные базальты – метадолериты	9 (5/7)	
	подводные базальты – габбродиориты	10 (5/8)	
	метадолериты – габбродиориты	11 (7/8)	

* Аналогичным образом кодируется ориентировка магматических тел и геологических контактов

Таблица 4

Ориентировка разломов

Градации / Номера	Субмеридиональ-ные	субширотные	северо-восточные	северо-западные
1		88,0 0,75		
2				0,75 1,46
3				2,10
…	…	…	…	…
15				14,40 9,40 28,50 2,20

Оценки

1) ориентировка разломов,

2) тип вулканоструктур,

3) свиты вмещающих пород,

4) фации вмещающих пород,

5) петрохимический состав вмещающих пород,

6) ориентировка магматических тел,

7) тип геологических контактов,

8) ориентировка геологических контактов,

9) сочетание пород в контакте.

Обработка информации

Обработка информации выполняется с применением ПЭВМ по специально составленной программе. Программа состоит из трех частей.

Первая часть предназначена для расчета натуральных оценок значимости признаков. Оценки рассчитываются по следующей схеме:

1) ввод исходных данных,

2) печать исходных данных и проверка ввода,

3) определение суммарных оценок отдельных геологических тел в каждой градации (в каждой клетке исходной таблицы),

4) определение суммарных оценок градаций (в каждом столбце исходной таблицы),

5) определение средних суммарных оценок отдельных геологических тел каждой градации (столбца),

6) расчет величины, обратной коэффициенту вариации, по каждой градации (столбцу),

7) определение коэффициента рудоносности – отношения суммарной оценки каждой градации к сумме оценок всех градаций данного признака,

8) расчет натуральных оценок значимости каждой градации как произведение трех величин:

- средней суммарной оценки данной градации,
- величины, обратной коэффициенту вариации,
- коэффициента рудоносности,

9) вывод результатов.

После того, как все таблицы просчитаны, распечатанные результаты просматриваются и анализируются. Для дальнейшей обработки выбираются оценки, отличные от нуля. Эти оценки нумеруются и обрабатываются с помощью второй части программы, предназначенной для приведения рассчитанных описанным способом оценок к единой десятибалльной шкале, упорядочения их и расчета средней оценки. Эти операции выполняются в следующей последовательности:

1) ввод исходных данных (номеров отобранных для дальнейшей обработки градаций признаков и их оценок),

2) печать исходных данных и проверка ввода,

3) нахождение максимальной оценки и упорядочение оценок по убыванию,

4) приведение оценок к единой десятибалльной шкале путем деления на максимальное значение и умножения на 10,

5) расчет средней приведенной оценки,

6) вывод результатов.

Третья часть программы используется позже для выделения перспективных площадей и будет рассмотрена ниже.

Программа написана в диалоговом режиме, что позволяет студентам вести обработку информации практически самостоятельно.

Систематика РФ

Получив упорядоченный массив градаций признаков и их оценок, можно приступать к отбору и систематизации РФ. В данной учебной работе рекомендуется в качестве РФ рассматривать те признаки, оценки которых выше, чем средняя. Эти признаки, то есть рудоконтролирующие факторы, следует систематизировать по видам и значимости в контроле оруденения и сформулировать на основе этой систематики геолого-структурную позицию прогнозируемого оруденения.

Обычно систематику РФ представляют в виде таблицы, строки которой отвечают рудоконтролирующим факторам разного масштаба, а столбцы – факторам разного вида. В нашей небольшой учебной работе анализируются РФ только одного масштаба – контролирующие рудные тела и месторождения. Среди них можно выделить четыре вида: разрывные, вулканоструктурные, литологические и магматические. Например, в одном из вариантов может быть получен следующий набор факторов (в скобках даны оценки значимости):

1) вулканические депрессии (10,0),

2) субмеридиональные разломы (8,5),

3) базальты подводной толщи (8,4),

4) контакт базальтовой и долеритовой толщи (6,3),

5) субширотные разломы (4,5),

6) дайки габбродиоритов субмеридиональной ориентировки (4,2).

В табличном виде их систематика будет выглядеть следующим образом (табл. 5).

Таблица 5

Систематика рудоконтролирующих факторов

Разрывные	Вулканоструктурные	Литологические	Магматические
Субмеридиональные разломы (8,5) Субширотные разломы (4,5)	Вулканотектонические депрессии (10,0)	Базальты подводной толщи (8,4) Контакт подводных базальтов и долеритов (6,3)	Субмеридиональные дайки габбродиоритов (4,2)

Проанализировав таблицу, можно сформулировать геолого-структурную позицию рудных тел: это геологические блоки, приуроченные к вулканотектоническим депрессиям, сложенные базальтами подводной толщи, прорванными дайками габбродиоритов субмеридиональной ориентировки, и ограниченные субмеридиональными и субширотными разломами и контактами базальтовой и долеритовой толщ.

Таким образом, мы сформировали модель благоприятной геолого-структурной позиции оруденения. Поиск таких позиций на оцениваемой территории и есть собственно прогнозирование – вторая часть прогнозной оценки, выполнение которой рассматривается ниже.

Прогнозная оценка территории

Прогнозная оценка выполняется в пределах второго участка карты, приведенного на бланке задания справа (Рис. 2). Здесь также в результате пересечения разных геологических тел образуются геологически однородные блоки, которые нужно пронумеровать. Вторая часть работы выполняется в следующей последовательности.

Составление кадастра оцениваемых ГОБ

Практически поиски благоприятных для размещения оруденения геолого-структурных позиций реализуется в анализе геологической ситуации в каждом оцениваемом ГОБ. При этом фиксируется проявление или отсутствие РФ из установленного набора. Оценки значимости действующих РФ в каждом блоке суммируются. Эта сумма и является оценкой перспективности блока.

Информация для машинной обработки оценок и выделения перспективных ГОБ также должна быть организована в виде таблицы, называемой кадастром перспективных ГОБ. Строки этой таблицы соответствуют оцениваемым ГОБ (с номерами в нашем задании с 22 по 56), а столбцы – выявленным выше рудоконтролирующим факторам. В клетки таблицы заносятся приведенные оценки значимости этих факторов. Если фактор в блоке не действует, то вместо оценки в соответствующую клетку ставится 0. Если фактор представлен в блоке несколько раз (например, блок образован двумя субмеридиональными разломами или содержит три дайки габбродиоритов), то его оценка увеличивается во столько же раз (удваивается, утраивается и т. д.). Если взять в качестве примера рассмотренный выше набор РФ (п. 4.1.4), то фрагмент кадастра оцениваемых ГОБ может выглядеть следующим образом (табл. 6).

Выделение перспективных ГОБ

Для решения этой задачи используется третья часть той же программы для ПЭВМ. Она включает следующие операции:

1) ввод исходного массива номеров оцениваемых ГОБ и приведенных оценок относительной значимости дей2ствующих в них РФ,

2) печать массива и проверка ввода,

3) определение суммарной оценки РФ для каждого оцениваемого блока (оценки перспективности ГОБ),

4) печать суммарных оценок,

5) сортировка оценок перспективности ГОБ по убыванию,

6) нахождение средней оценки перспективности (1-й средней оценки),

7) печать номеров и оценок перспективных ГОБ, имеющих оценки выше 1-й средней,

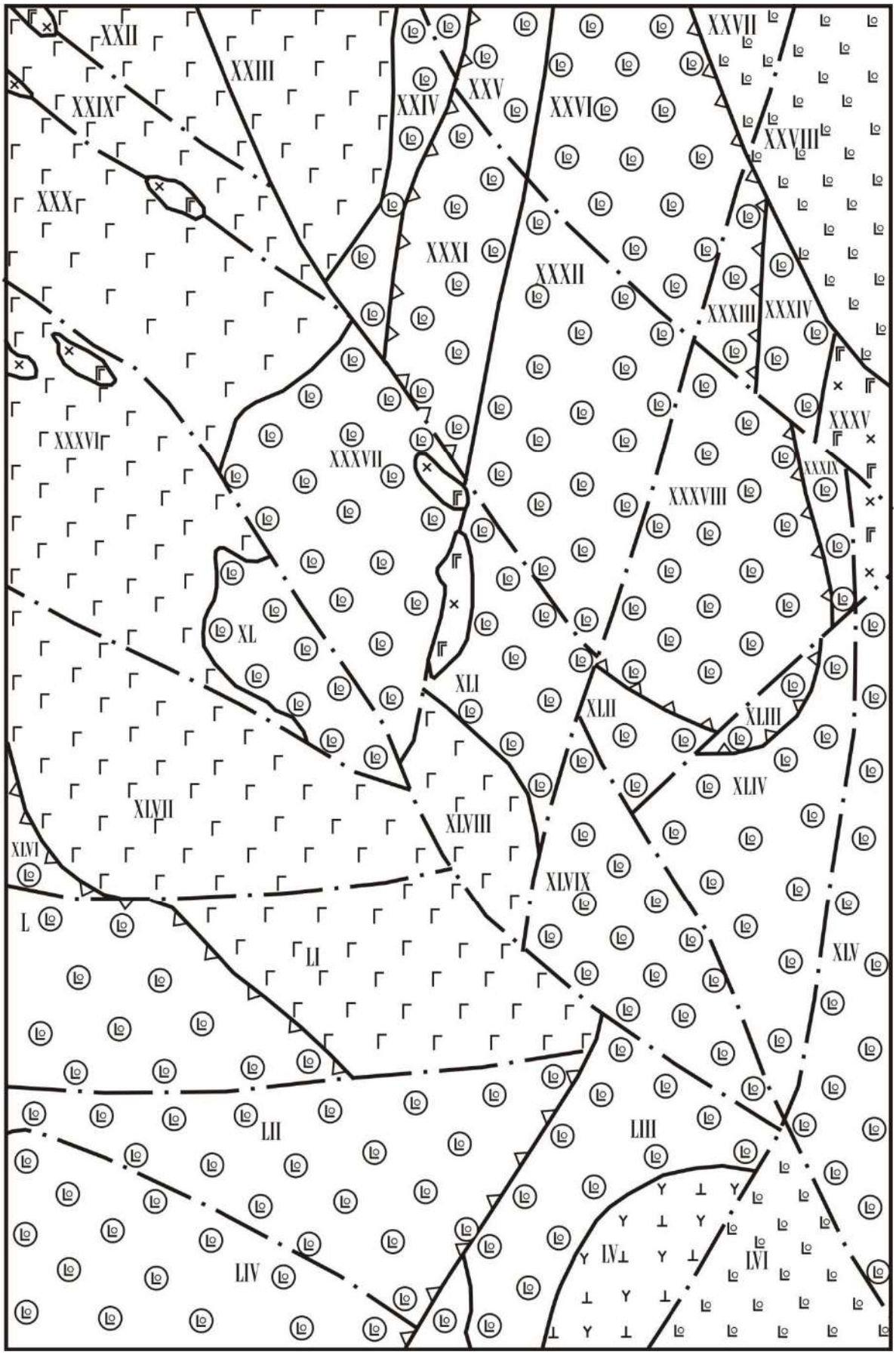


Рис. 2. Геологическая карта оцениваемого участка. Масштаб 1:25000

Таблица 6

Кадастр оцениваемых ГОБ

Оценки РФ / Номера ГОБ	Вулканические депрессии	Субмеридиональные разломы	Базальты подводной толщи	Контакт базальтов и долеритов	Субширотные разломы	Дайки габбродиоритов субмеридионального простирания
	10,0	8,5	8,4	6,3	4,5	4,2
22	0	0	0	0	0	0
…						
31	10,0	8,5	8,4	0	0	
…						
49	0	8,5	8,4	6,3	4,5	0
…						
56	0	0	0	0	0	0
Оценки перспективности						

8) нахождение средней оценки для перспективных ГОБ (2-й средней оценки),

9) печать номеров и оценок перспективных ГОБ 1-й очереди, имеющих оценки выше 2-й средней.

Таким образом, вначале определяются оценки перспективности каждого блока, рассчитываемые как суммы действующих в нем РФ. Затем они упорядочиваются по убыванию и вычисляется среднее значение. Блоки, оценки которых выше средней, считаются перспективными площадями 2-й очереди. После этого определяется средняя оценка только для них, и ГОБ с оценками выше второго среднего значения выделяются как перспективные площади 1-й очереди.

Оконтуривание перспективных ГОБ

Перспективные блоки 1-й и 2-й очередей показываются на карте оцениваемого участка разной штриховкой. Компактные группы таких блоков оконтуриваются геологическими границами в качестве прогнозных участков. Геологическими границами служат разломы, оси складок (на нашей карте их нет), контуры вулканоструктур, границы магматических тел, стратиграфические и литологические контакты. Для этих участков могут быть подсчитаны прогнозные ресурсы разных категорий (в зависимости от масштаба). В настоящей работе подсчет прогнозных ресурсов не рассматривается, это тема отдельного задания.

Проверка надежности прогноза

Для проверки надежности прогнозных построений нужно подсчитать оценки перспективности минерализованных ГОБ эталонного участка и сравнить полученные результаты с известным данными о масштабе минерализации в эталонном рудном поле. Если они близки, значит, прогноз выполнен достаточно реально, если нет – возможно, где-то допущена ошибка.

Описание перспективных площадей

Выделенным перспективным площадям для удобства дальнейшей работы следует дать названия. Лучше всего использовать для этой цели географимческие и

топографические привязки (названия рек, ручьев, озер, горных вершин, населенных пунктов и т. п.). Можно также отразить в названиях перспективных участков их положение на карте (Северный, Южный, Центральный и др.). В крайнем случае, подойдет и простая нумерация. После этого перспективные площади должны быть описаны по следующей схеме:

а) название (или номер);

б) местоположение на карте;

в) геологические границы;

г) слагающие их ГОБ и их оценки;

д) степень перспективности;

е) наличие в их пределах известных рудных объектов, их масштаб;

ж) категории прогнозных ресурсов;

з) примечания (подмеченные особенности, соображения по дальнейшему изучению и пр.).

Описание перспективных площадей является заключительной частью прогнозной оценки. Выполнив его, можно приступать к оформлению работы.

Оформление работы

Законченная работа должна включать в себя следующие материалы:

1) кадастр минерализованных ГОБ;

2) расчетные таблицы;

3) натуральные оценки значимости признаков в их градационных значениях;

4) приведенные оценки признаков;

5) систематику РФ с оценками их относительной значимости;

6) кадастр оцениваемых ГОБ;

7) оценки перспективности оцениваемых ГОБ;

8) прогнозную карту;

9) пояснительную записку.

В записке характеризуется геолого-структурная позиция известной минерализации (на основе систематики РФ и их оценок), дается описание выделенных перспективных площадей, приводятся результаты проверки надежности прогнозирования, делаются заключительные выводы.

РАСЧЕТНО-ГРАФИЧЕСКАЯ РАБОТА № 2

Геометризация рудоконтролирующих поверхностей

Методика построений в изолиниях

Геометризация рудоконтролирующих структур предполагает последовательное выполнение следующих операций.

Подготовка исходных разрезов и планов.

Основой построений в изолиниях служат геологические разрезы и планы. К исходным материалам предъявляются следующие требования:

1)на них особенно тщательно должны быть отстроены те геологические поверхности, которые намечены к геометризации;

2)все достоверное должно быть четко отделено от предполагаемого;

3)разрезы и планы должны быть увязаны между собой.

Для увязки и корректировки первичных материалов рекомендуется способ построения сводных геологических разрезов и планов. Сводный геологический разрез получается при проектировании следа интересующей нас поверхности со всех разведочных линий на один профиль. Для получения сводного плана рассматриваемая поверхность проектируется со всех погоризонтных планов на один гипсометрический уровень. Сводные разрезы и планы позволяют откорректировать наименее надежные из исходных материалов, с малым числом разведочных подсечений, по наиболее надежным, с наибольшим количеством пересечений. Кроме того, эти построения дают возможность выявить и увязать между собой крупные перегибы поверхности по вертикали (горизонтальные ребра) и в плане (вертикальные ребра).

Выбор геометризуемой поверхности

Геометризуемая поверхность должна быть теснее всех других связана с минерализацией, контролировать ее размещение. Для геометризации могут быть выбраны:

а) лежачий бок рудного тела;

б) его висячий бок;

в) условная поверхность, проходящая по середине мощности;

г) какой-либо выдержанный прослой внутри рудного тела;

д) поверхность рудоконтролирующей структуры (разлома, контакта).

Выбор плоскости проекции

Плоскостью проекции может быть любая из координатных плоскостей – горизонтальная или вертикальная широтная либо меридиональная. Горизонтальная плоскость применяется, если угол падения проектируемой поверхности менее 50^{o}. Выбор вертикальной плоскости определяется средним азимутом простирания: если простирание ближе к меридиану – выбирается меридиональная плоскость, если ближе к широте – широтная. Наклонные или произвольно ориентированные плоскости неудобны для применения на практике. Плоскость, параллельная проектируемой поверхности, например, позволяет получить наименьшее площадное искажение объекта. Однако при этом теряется связь изолиний с элементами залегания, в результате чего любые геологические построения на такой проекции значительно усложняются.

Выбор сечения изолиний

Сечение изолиний определяет детальность и точность изображения геометризуемой поверхности. Оно зависит от углов падения поверхности и масштаба проекции. Для расчета величины сечения используется следующая формула:

$$d = tg\ \beta \times M/100, \text{ где}$$

d – сечение изолиний, м;

β – средний угол падения поверхности, град.;

M – знаменатель масштаба проекции.

Перенос на основу структурного плана всех точек проектируемой поверхности

Выносятся все точки, лежащие как на разрезах и планах, так и вне их. Возле каждой точки указывается расстояние до плоскости проекции, выраженное в метрах.

Проведение опорных изолиний

Опорными являются наиболее надежные изолинии, проведенные по данным буровых и горных работ.

Вынос крупных перегибов поверхности

Фиксация на проекции крупных перегибов и разрывов, отраженных на исходных геологических материалах и установленных на сводных планах и разрезах.

Проведение всех изолиний, опирающихся на интерполированные данные

Лучше проводить изолинии не плавными линиями, а ломаными. В этом случае изображение структуры получается более отчетливым, а способ изображения будет вполне соответствовать его точности.

Построение изолиний позволяет выделить в пределах исследуемой поверхности грани – плоские участки с одинаковыми элементами залегания и разделяющие их ребра – перегибы. В пределах одной грани изолинии параллельны между собой, и расстояние между ними одинаковое. Изменение угла наклона или расстояния между изолиниями говорит о наличии перегиба – ребра. Грани и ребра являются составными элементами рельефа.

Размеры граней и ребер определяют их порядок. Обычно выделяется три порядка структурных элементов поверхности. К первому порядку относят наиболее крупные части рудоконтролирующей поверхности, визуально отличающиеся по своей ориентировке. Второй порядок присваивается более мелким граням и ребрам, отраженным на исходных геологических материалах. Наконец, самые мелкие участки поверхности, выделившиеся при построении изолиний, принадлежат к третьему порядку.

В изолиниях можно изображать какие угодно свойства полезных ископаемых и горных пород. Для некоторых свойств изолинии получили специальные наименования: изопахиты – линии равных мощностей, изоволи – линии равных содержаний и др.

Изображение структуры в изогипсах

Если угол падения проектируемой поверхности не более 50^{o}, выбирается горизонтальная плоскость проекции. В этом случае рельеф поверхности изображается в изогипсах.

Изогипсы – линии равного удаления от горизонтальной плоскости проекции. При построении структурного плана в изогипсах на координатную основу, прежде всего,

наносятся все известные точки проектируемой поверхности. Выделяется четыре вида таких точек: а) определенные разведочными пересечениями; б) взятые с планов вдоль линий выходов; в) интерполированные точки с геологических разрезов; г) рассчитанные от опорных горизонтов геологической карты. Особенно важны точки, установленные на осях складок или у тектонических разрывов.

Приступая к построению изогипс, прежде всего, нужно провести те отрезки изолиний, которые опираются на достоверные точки. Затем намечают на плане положение тектонических линий – осей складок и разрывов. Крупные тектонические линии обычно выявляются геологическими разрезами и планами. Их наиболее вероятное положение на структурном плане и наклон относительно геометризуемой поверхности находится в пределах точности интерполяции. Положение более мелких нарушений намечается на основании достоверных отрезков изолиний и элементов залегания.

Затем на тектонических линиях намечаются точки с отметками изогипс и строятся все изогипсы методом интерполяции отметок удаления. Лучше проводить их не плавными, а ломаными.

Изображение структуры в изолонгах

Изолонги – это линии равного удаления проектируемой поверхности от вертикальной плоскости проекции. Структурные планы в изолонгах строят в том случае, если угол падения геометризуемой поверхности превышает 50^{o}.

При проектировании на вертикальную плоскость проекции необходимо учитывать следующие условия.

1. Вертикальная плоскость проекции, подобно горизонтальной, должна быть ориентирована определенным образом: либо по широте, либо по меридиану. Из этих двух положений плоскости проекции выбирается о, при котором она составляет наименьший угол с объектом проектирования. Это обеспечивает наименьшее искажение поверхности на проекции.

Выбор плоскости проекции, параллельной геометризуемой поверхности, только на первый взгляд позволяет избежать искажений, так как геологические поверхности отличаются изменчивостью элементов залегания и волнистостью рельефа. В то же время при использовании произвольно ориентированной плоскости проекции чтение структурного плана значительно затрудняется, так как нарушается связь между элементами залегания и изолиниями.

2. Координатная сетка на вертикальной плоскости проекции разбивается так же, как и в других ортогональных проекциях. Вертикально на чертеже располагается ось высот, горизонтально в зависимости от ориентировки плоскости проекции – геодезическая ось широт или ось долгот. Третья координата точки обозначается числовой отметкой.

На долготной проекции юг располагается слева, север – справа, восток – впереди и запад – позади изображения. На широтной плоскости проекции запад будет слева, восток – справа, юг – впереди и север – позади изображения. Высотные отметки возрастают снизу вверх.

3. Точки данной проектируемой поверхности с одинаковыми числовыми отметками могут быть соединены изолиниями. Это и будут изолонги, представляющие собой проекции сечений изображаемого тела системой вертикальных плоскостей, расположенных параллельно плоскости проекции и удаленных одна от другой на одно и то же расстояние, равное заложению изолиний.

4. Изображение поверхности в изолонгах аналогично изображению в изогипсах или горизонталях и пригодно для проведения всех геометрических построений.

Чтение структурных планов

Изображение в изолонгах при небольшом навыке позволяет представить рельеф также наглядно, как и при изображении в изогипсах или горизонталях. При этом следует руководствоваться определенными правилами.

Наклон изолонг и расстояние между ними зависят от азимута и угла падения проектируемой поверхности.

Если исследуемая поверхность и плоскость проекции параллельны, то изолонги превращаются в горизонтали, а расстояние между изолонгами будет максимальным. Если поверхность и плоскость проекции перпендикулярны, то все изолонги сольются в одну линию, то есть расстояние между ними будет равно нулю. При всех промежуточных положениях поверхности наклон изолонг будет изменяться от 0 до 90^{o} и будет направлен в сторону острого угла между проектируемой поверхностью и плоскостью проекции. Расстояние между изолонгами также будет характеризоваться промежуточными значениями.

Отсюда вытекают следующие правила чтения проекций в изолонгах.

1. Чем гуще расположение изолонг, тем больше угол между геометризуемой поверхностью и плоскостью проекции.

2. Изменение угла наклона изолонг при относительно постоянном расстоянии между ними указывает на преимущественное изменение азимута падения поверхности. Изменение расстояния между изолонгами при относительно постоянном угле наклона происходит в узких пределах и обычно не улавливается.

3. Одновременное изменение угла наклона изолонг и расстояния между ними указывает главным образом на изменение угла падения исследуемой поверхности.

Определение элементов залегания граней

Анализ рельефа продуктивной структурной поверхности начинается с определения элементов залегания граней проекции. Для этого используются простые геометрические зависимости. При этом предлагается следующий порядок действий.

Определение угла наклона изолонг к горизонту (δ). Угол наклона измеряется на проекции при помощи транспортира. Наклон изолонг на север условно принимается за положительный.

Определение расстояния между изолонгами по горизонтали (a) или по вертикали (h). За единицу расстояния принимается величина сечения изолонг. Если значения изолонг растут с юга на север, расстояние отмечается знаком «+», а с севера на юг – знаком «-».

Между расстоянием, выраженным в сечениях изолонг, и элементами залегания граней существуют следующие зависимости:

$$a = \operatorname{ctg} \varphi, \quad h = \operatorname{tg} \beta,$$

где φ – угол между простиранием грани и плоскостью проекции (отклонение простирания грани от меридионального направления); β – угол падения граней; φ и β определяются по тригонометрическим таблицам с точностью до 1^{o}.

В большинстве случаев положение изолонг на плане позволяет применить только одну из величин φ или β. Другая величина определяется, исходя из соотношения:

$$\delta = \operatorname{arctg} (\operatorname{tg} \beta \cdot \sin \varphi).$$

Указанная зависимость вычислена в виде таблицы 2.1. Более точные значения для крутых углов падения приведены в таблице 2.2.

Определение связи элементов рельефа со свойствами оруденения

Для выявления связи свойств оруденения с рельефом анализируемой поверхности на проекцию выносятся количественные характеристики минерализации, установленные по опорным точкам. В качестве количественных характеристик используются, как правило, содержание полезных компонентов и мощность рудных тел. По всем опорным точкам (разведочным пересечениям, выходам рудного тела на поверхность) определяются средние значения содержания и мощности, на основании которых, в свою очередь, рассчитываются средние параметры оруденения для каждой грани.

Зависимость между элементами залегания и характеристиками оруденения можно установить простым графическим способом с помощью трехмерных диаграмм. Такая диаграмма представляет собой таблицу, столбцами которой являются интервалы азимутов падения (отдельно для восточного и западного направлений падения), а строкам – интервалы углов падения. Каждой клетке таблицы соответствует группа граней с близкими значениями азимутов и углов падения, попадающими в один интервал. В клетки заносятся средние значения исследуемого параметра, рассчитанные для входящих в них граней. Далее для каждой клетки вычисляется среднее по данному параметру уже для группы граней, элементы залегания которых попадают в соответствующие интервалы. По этим значениям методом интерполяции проводятся изолинии и определяются полюса, соответствующие наиболее богатым (с максимальными содержаниями) и наиболее приоткрытым (с максимальной мощностью) граням. Для каждого полюса определяются азимут и угол падения, сравнение которых со средними элементами залегания продуктивной поверхности позволяет определить кинематический тип рудообразующих деформаций. Как отмечалось выше, приоткрывание граней, отклоняющихся от среднего простирания вправо, происходит при перемещениях типа правого сдвига, а граней, отклоняющихся влево – при левом сдвиге. В разрезе более пологие участки приоткрываются при взбросах, более крутые – при сбросах.

Сопоставляя количество и элементы залегания полюсов, выделившихся по содержанию и по мощности, можно сделать выводы об этапах рудообразования, природных типах руд и механизме формирования рудоконтролирующей структуры. Проанализировав распределение наиболее богатых и наиболее мощных руд в пределах плоскости проекции, легко определить структурные типы рудных тел, установить закономерности их размещения и сделать прогноз на фланги и глубокие горизонты геометризованной поверхности.

Порядок выполнения лабораторной работы по геометризации продуктивных структурных поверхностей

Исходные данные

Учебное задание выполняется на примере медноколчеданного месторождения (Рис. 2.2 Вып3 17).

Поверхность рудного тела разбурена системой картировочных вертикальных скважин по сети 50х20 м с целью оконтуривания его под наносами. Для изучения состава окисленных и первичных руд, определения границы между ними, а также для отбора технологических проб, пройден ряд шурфов с рассечками. Первичные руды вскрыты колонковыми скважинами по сети 200х100 м. В центральной части (профиль IV) пробурена глубокая скважина № 9, встретившая рудное тело видимой мощностью 35 м на отм. 0 м.

Установлено, что рудное тело имеет форму линзы, выклинивающейся на флангах и на глубину. Размеры линзы вблизи земной поверхности 550 м по простиранию при максимальной мощности 80 м. Близ поверхности до глубины 18-25 м развита зона окисления, представленная «железной шляпой». Протяженность рудного тела по падению составляет 400-450 м. Состав руд пирит-халькопирит-сфалеритовый.

Месторождение оценено как имеющее промышленное значение. Проектируются разведочные работы, предусматривающие сгущение сети буровых скважин и горных выработок в центральной части до 100х50 м, что соответствует категории В.

Одной из важнейших задач разведки является выяснение структуры рудного поля, особенностей внутреннего строения рудных тел, выделение промышленных типов и технологических сортов руд и условий их размещения. Линза залегает на контакте кварцевых риолитов (лежачий бок) и базальтов (висячий бок). Этот контакт, по всей видимости, представляет собой продуктивную структурную поверхность, контролирующую оруденение. Изучение рельефа продуктивной структурной поверхности является весьма эффективным методом решения перечисленных выше разведочных задач.

Таблица 2.1

Углы наклона изолонг к плоскости вертикальной проекции

($\delta = \operatorname{arctg}(\operatorname{tg}\beta \cdot \sin\varphi)$, где δ – угол наклона изолонг, β – угол падения проектируемой поверхности, φ – угол между простиранием проектируемой поверхности и плоскостью проекции)

φ / β	5	10	15	20	25	30	35	40	45	50	55	60	65	70	75	80	85	90	φ / β
89	79	84	86	87	88	88	88	88	89	89	89	89	89	89	89	89	89	89	89
85	45	63	71	76	78	80	81	82	83	83	84	84	84	85	85	85	85	85	85
80	27	44	56	63	67	71	73	75	76	77	78	78	79	79	80	80	80	80	80
75	18	33	44	52	58	62	65	67	69	71	72	73	74	74	75	75	75	75	75
70	14	25	35	43	49	54	58	60	63	65	66	67	68	69	69	70	70	70	70
65	11	20	29	36	42	47	51	54	57	59	60	62	63	64	64	65	65	65	65
60	9	17	24	31	36	41	45	48	51	53	55	56	57	58	59	60	60	60	60
55	7	14	20	26	31	36	39	43	45	48	49	51	52	53	54	55	55	55	55
50	6	12	17	22	27	31	34	37	40	42	44	46	47	48	49	50	50	50	50
45	5	10	15	19	23	27	30	33	35	37	39	41	42	43	44	45	45	45	45
40	4	8	12	16	20	22	26	28	30	33	34	36	37	38	39	40	40	40	40
35	4	7	10	13	17	19	22	24	26	28	30	31	32	33	34	35	35	35	35
30	3	6	8	11	14	16	18	20	22	24	25	27	28	28	29	30	30	30	30
25	2	5	7	9	11	13	15	17	18	20	21	22	23	24	24	25	25	25	25
20	2	4	5	7	9	10	12	13	14	16	17	17	18	19	19	20	20	20	20
15	1	3	4	5	6	8	9	10	11	12	12	13	14	14	15	15	15	15	15
10	1	2	3	3	4	5	6	6	7	8	8	9	9	9	10	10	10	10	10
5	0	1	1	2	2	3	3	3	4	4	4	4	5	5	5	5	5	5	5
β / φ	5	10	15	20	25	30	35	40	45	50	55	60	65	70	75	80	85	90	β / φ

Таблица 2.2

Детализация части таблицы с β от 65 до 89° и φ от 1 до 20°

φ / β	1	2	3	4	5	6	7	8	9	10	12	14	16	18	20	φ / β
89	45	63	72	76	79	81	81	83	84	84	85	86	86	87	87	89
88	27	45	56	63	68	72	74	76	77	78	80	82	83	84	84	88
87	19	34	45	53	59	63	67	69	71	73	76	78	79	80	81	87
86	14	27	37	45	51	56	60	63	66	68	71	74	76	77	78	86
85	11	22	31	39	45	50	54	58	61	63	67	70	72	74	76	85
84	9	18	26	34	40	45	49	53	55	59	63	67	69	71	73	84
83	8	16	23	30	36	41	45	49	52	55	59	63	66	68	70	83
82	7	14	20	26	32	37	41	45	48	51	55	60	63	66	68	82
81	6	12	18	24	29	34	38	41	45	48	53	57	60	63	65	81
80	6	11	17	22	27	31	35	38	41	44	50	54	57	60	63	80
78	5	9	14	18	22	26	30	33	36	39	44	49	52	55	58	78
76	4	8	12	16	19	23	26	29	32	35	40	44	47	51	54	76
74	3	7	10	14	17	20	23	26	29	31	36	40	44	47	50	74
72	3	6	9	12	15	18	21	23	26	28	33	37	40	44	46	72
70	3	5	8	11	14	16	19	21	23	25	30	34	37	40	43	70
68	2	5	7	10	12	15	17	19	21	23	27	31	34	37	40	68
66	2	4	7	9	11	13	15	17	19	21	25	29	32	35	38	66
β / φ	1	2	3	4	5	6	7	8	9	10	12	14	16	18	20	β / φ

Таблица 2.3

Определение азимутов падения граней

δ	+	-	-	+
a	+	-	+	-
α	270 + φ	270 – φ	90 + φ	90 – φ

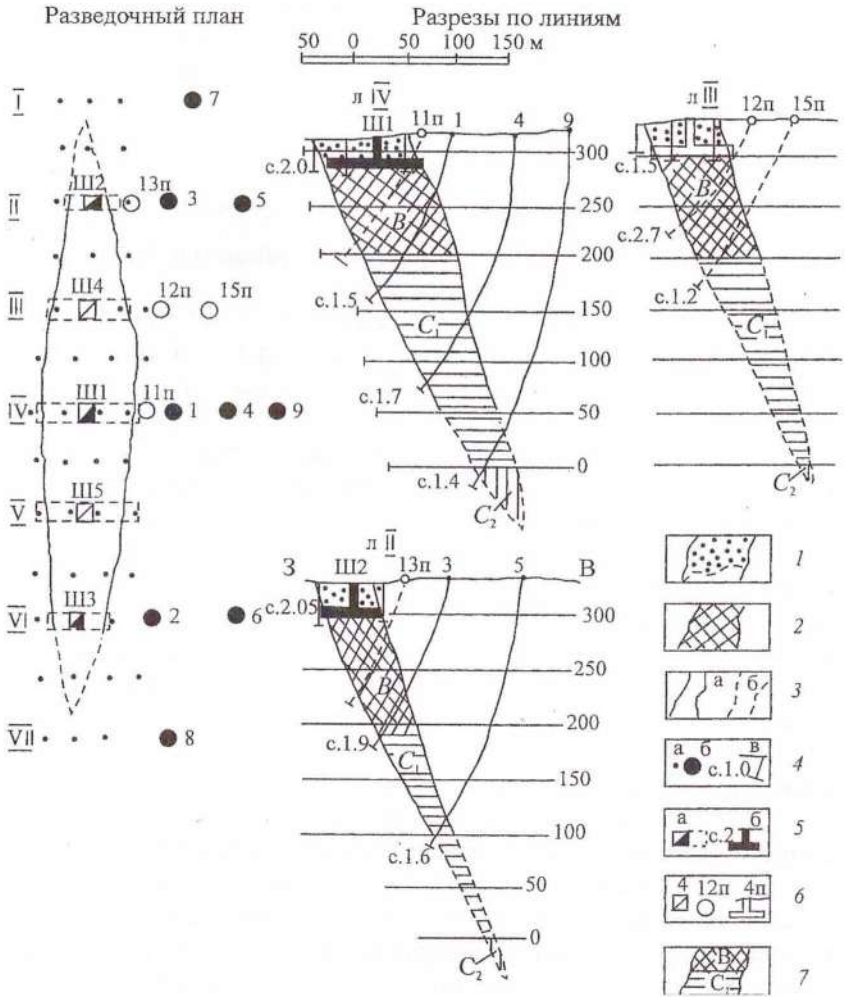


Рис. 2.2. Проект разведки медноколчеданного месторождения [Вопросы]:
1 – окисленные руды; 2 – первичные руды; 3 – контуры рудных тел: *а* – установленные, *б* – предполагаемые; 4 – скважины: *а* – картировочные, *б* – разведочные, *в* – среднее содержание по выработке; 5 – шурфы с рассечками: *а* – на плане, *б* – на разрезе; 6 – проектные выработки, их номера; 7 – контуры блоков разных категорий

Методические указания по выполнению работы

1. Каждый студент выполняет индивидуальную работу, так как на стандартный бланк задания, выданный преподавателем, самостоятельно наносит условную плоскость проекции и дорисовывает разрезы, пользуясь морфологическим приемом, что не позволяет получить одинаковые исходные данные.

2. В качестве геометризуемой поверхности следует принять лежачий бок рудной линзы, отвечающий контакту базальтов и риолитов, как наиболее тесно связанный с минерализацией.

3. Плоскость проекции, исходя из особенностей залегания рудного тела, должна быть вертикальной меридиональной. Располагается плоскость так, чтобы проектируемая поверхность находилась по одну сторону от нее. Удобнее всего поместить плоскость проекции к западу от рудного тела. Плоскость следует начертить на плане и показать на всех разрезах с учетом расстояния от рудного тела.

4. Масштаб проекции и сечение изолиний выбирается из соображений наглядности чертежа, учитывая размеры линзы. В нашем случае наиболее удобен масштаб 1:2000 и величина сечения 10 м.

5. Построение проекции начинается с нанесения на чертеж опорной сетки, образованной вертикальными линиями разрезов и горизонтальными линиями абсолютных отметок.

6. Следующим этапом является вынесение на проекцию опорных точек проектируемой поверхности, которые являются наиболее надежными. В первую очередь, это линия рельефа, построенная по разрезам, включая северную и южную границы линзы. Затем на основу переносятся точки пересечения лежачего бока оценочными буровыми скважинами – картировочными и колонковыми (№№ 2-9) и горными выработками – рассечки с шурфами по линиям II, IV и VI. В последнюю очередь отстраиваются проектные пересечения лежачего бока будущими разведочными скважинами (№№ 10-18) и рассечки с шурфами по линиям III и V, которые предварительно намечаются на плане и разрезах. Надежность (достоверность) проектных точек ниже, чем у реальных оценочных пересечений, тем не менее, они получены в соответствии с установленными правилами оконтуривания запасов и могут быть использованы для детализации рельефа поверхности. С этой же целью целесообразно учитывать и точки выклинивания линзы, построенные на разрезах также по правилам оконтуривания.

7. Для каждой из опорных точек определяется удаление от плоскости проекции, выраженное в метрах с учетом масштаба проекции.

8. Построение изолонг выполняется методом интерполяции между опорными точками. Изолонги проводятся ломаными линиями.

9. Изображение поверхности в изолонгах позволяет выделить в ее пределах грани – плоские участки с одинаковыми элементами залегания, и ребра – разделяющие их перегибы. В пределах одной грани изолонги параллельны и располагаются на одинаковом расстоянии друг от друга. Изменение угла наклона изолиний или расстояния между ними говорит о наличии перегиба. В этом случае следует провести дополнительное ребро. Перегибы рекомендуется проводить через опорные точки проекции. В качестве примера приводится проекция, построенная по Саурейскому барит-свинцовому месторождению на Полярном Урале ((Рис. 2.3 АР 2б).

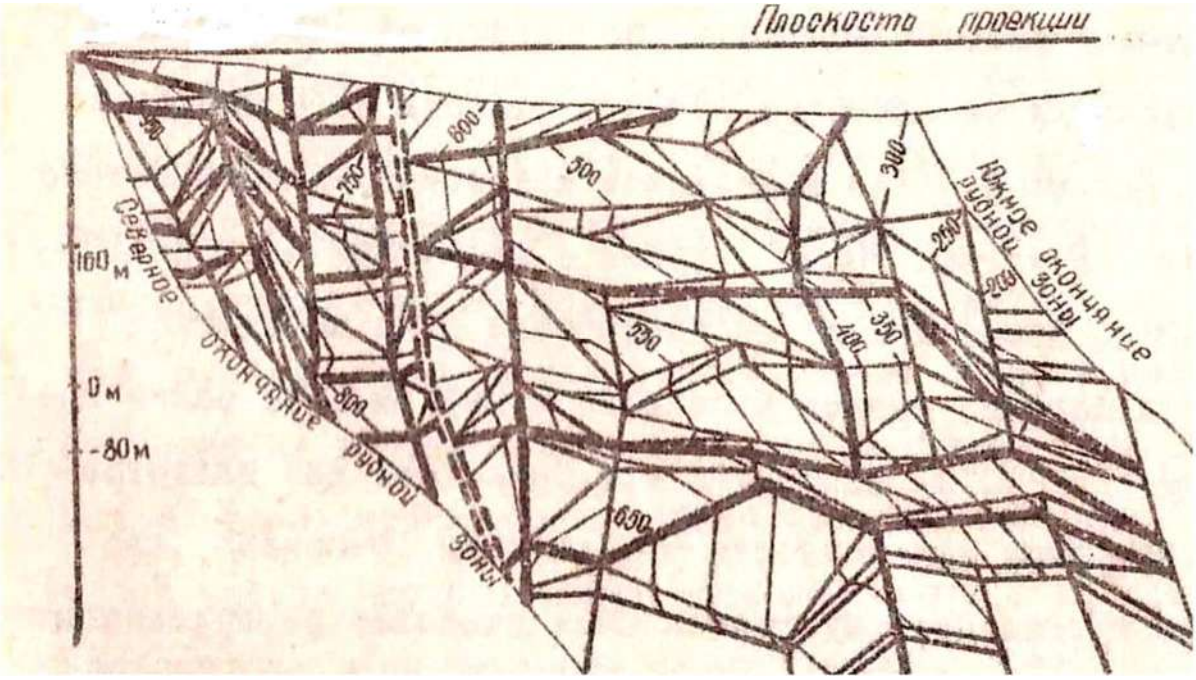


Рис. Продольная вертикальная проекция лежачего бока Главной рудной зоны Саурейского барит-свинцового месторождения (Полярный Урал)

10. Грани, выделенные при построении изолонг, нумеруются. Для каждой из них определяются элементы залегания (см. п. 2.8).

11. Для выявлении связи элементов рельефа продуктивной поверхности с оруденением у опорных точек проекции выписываются содержание меди и мощность рудного тела и для каждой грани рассчитывается среднее значение этих параметров.

12. Следующим этапом работы является построение трехмерных диаграмм, позволяющих определить элементы залегания граней с наиболее богатыми и мощными рудами. Примеры диаграмм для Саурейского месторождения представлены ниже (Рис. 2.4).

Диаграммы строятся в виде таблиц, столбцы которых отвечают азимутам падения, а строки – углам падения. Азимуты и углы предварительно разбиваются на интервалы. Шаг интервалов определяется обычными приемами, принятыми в матстатистике (например, по формуле Стерджесса).

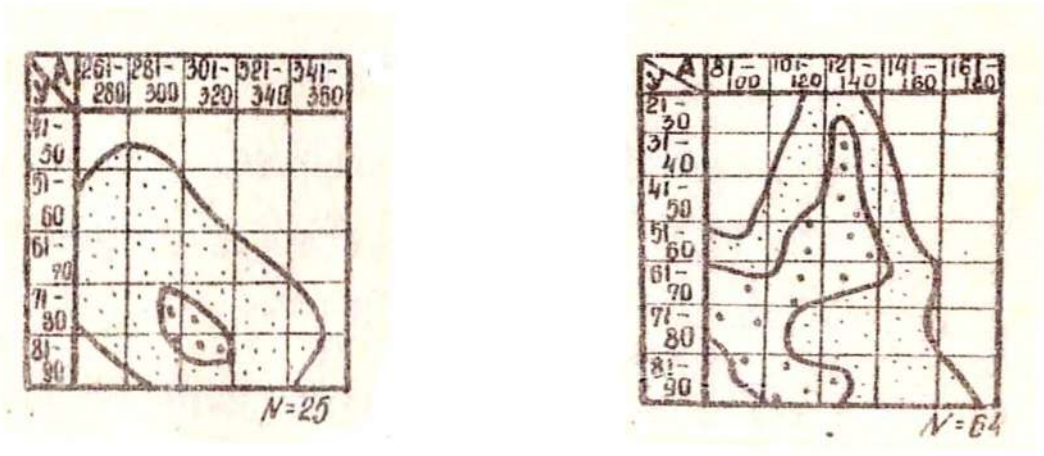


Рис. 2.4. Диаграммы зависимости содержания полезного компонента (слева) и мощности рудной зоны (справа) от элементов залегания рудоконтролирующей поверхности

На первой диаграмме в клетки таблицы проставляется среднее содержание меди во всех гранях, элементы залегания которых относятся к соответствующим интервалам азимута и угла падения. На вторую диаграмму таким же образом выносятся значения средней мощности рудного тела. Далее рассчитывается среднее содержание и мощность уже для каждой клетки диаграммы, после чего проводятся изолинии содержания и мощности. Изолинии позволяют выделить «полюса», соответствующие граням с наиболее высоким содержанием и меди и с наибольшей мощностью руд.

13. Грани с богатыми и мощными рудами отмечают на проекции штриховкой разного вида или закрашивают разными цветами. Их расположение покажет закономерности размещения богатых и мощных руд в пределах продуктивной структурной поверхности. Эти закономерности позволяют прогнозировать новые рудные тела в зоне контакта базальтов и риолитов, вмещающего изучаемое рудное тело. Для примера на рис. 2.5 приводится распределение разных типов руд для Саурейского месторождения.

14. Зная элементы залегания наиболее богатых и наиболее мощных участков оруденения, можно представить механизм рудообразующих деформаций. Для этого используются теоретические представления о закономерностях приоткрывания граней волнистых структурных поверхностей (см. п. 1.4.10, 1.4.11).

Направление горизонтальных смещений определяется по характеру волнистости поверхности в плане. Если азимут простирания богатых граней отклоняется от среднего по рудному телу вправо, то их приоткрывание возможно при правом сдвиге, если влево – при левом.

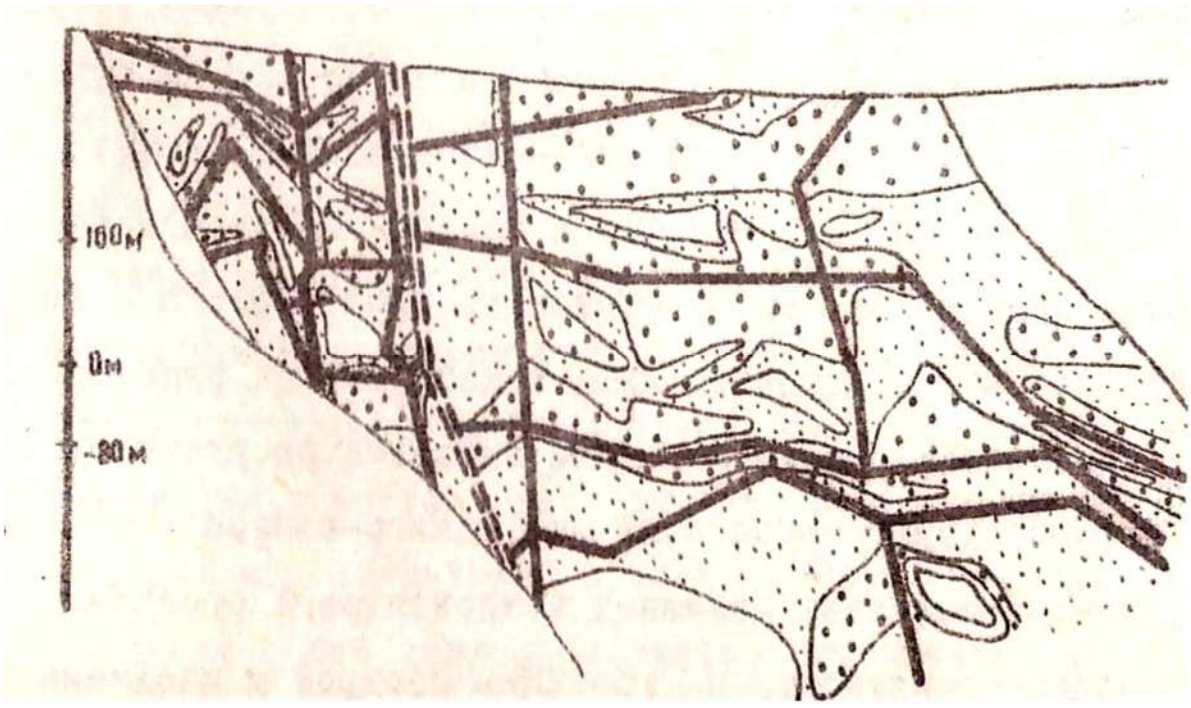


Рис. 2.5. Распределение разных типов рад в пределах рудоконтролирующей поверхности. Крупными точками показаны богатые руды, мелкими точками – средние, белыми оставлены участки с низким содержанием

Вертикальные смещения анализируются в разрезе. Если богатые грани располагаются на более пологих, по сравнению с общим углом падения рудной зоны,

участках, то они приоткрываются при взбросе. И наоборот, приоткрывание более крутых участков поверхности происходит при сбросе. Отметим, что рудообразование нередко происходит в несколько стадий. Тогда на трехмерных диаграммах выделится несколько полюсов, соответствующих разным стадиям.

15. После завершения работа должна быть оформлена в виде небольшого отчета. Отчет включает проекцию, таблицы расчета элементов залегания граней и параметров оруденения (средних значений содержания меди и мощности руды), трехмерные диаграммы и пояснительную записку с описанием полученных результатов и выводами.

РАСЧЕТНО-ГРАФИЧЕСКАЯ РАБОТА № 3

Анализ мелкой трещиноватости

Обработка результатов массовых замеров трещин

Массовые замеры трещин обрабатываются разными графическими способами с помощью диаграмм. Из всех способов наибольшую наглядность дают круговые диаграммы в изолиниях (Рис. 2.6 КШ94).

Основой круговой диаграммы в изолиниях служит полярная сетка. Она представляет собой круг диаметром 18 см, в котором проведены радиусы через 5^oи концентрические окружности через 5 мм. Эти окружности соответствуют углам падения через интервал 5^o от 90^o на внешней окружности до 0^o в центре круга. Вдоль окружности по часовой стрелке надписываются азимуты от 0 до 360^o.

Такая сетка удобна для нанесения 200-300 точек и обеспечивает точность нанесения около 2^o, что соответствует точности замера компасом. Можно пользоваться полярными сетками любого размера и с другой густотой разграфки.

Для составления круговой диаграммы на полярную сетку накладывается калька с обозначенной окружностью и меридианом. Вначале на кальку точками наносится положение каждой трещины по ее элементам залегания. Затем определяется плотность трещиноватости. Для этого используется метод скользящего статистического окна. В качестве элемента статистического окна удобно взять площадки, образованные пересечением радиусов и окружностей сетки. Размер статистического окна зависит от количества замеров: чем больше точек, тем меньше может быть взято окно и тем точнее будут дальнейшие построения. При количестве точек 200-300 следует принять размер окна в 10^o, при меньшем – в 15^o.

Далее подсчитывается количество точек на площадке статистического окна, и это число подписывается в центре окна. Это удобно сделать на второй кальке, накладываемой поверх первой. При размерах окна в 10^o в него входят четыре площадки, а центр придется на пересечение линий трафарета диаграммы. Около этого центра подписывается число точек, расположенных во всех четырех площадках. При следующем подсчете граница окна смещается только на один ряд площадок, то есть на 5^o по дуге или по радиусу. Таким образом, центры окон последовательно окажутся на каждом пересечении линий диаграммы, а точки каждой площадки будут участвовать в четырех смежных числах плотности трещиноватости. Этим достигается усреднение показателей. Для внешней полосы площадок, лежащих между углами падения 85 и 90^o, в подсчет плотности включаются противолежащие по диаметру площадки и полученные числа записываются на обоих концах диаметра.

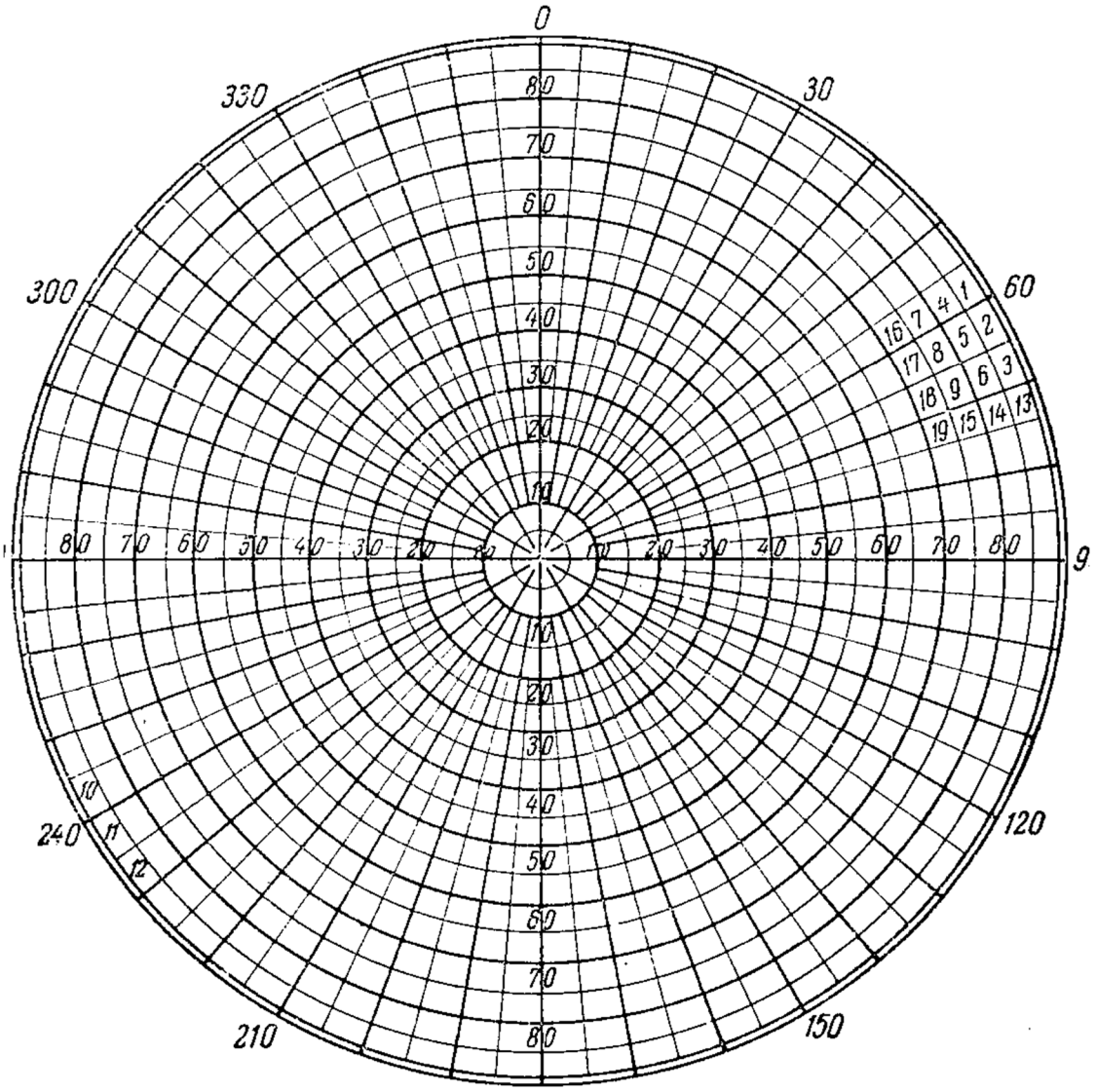


Рис. 2.6. Полярная сетка для круговой диаграммы

Третьим этапом обработки массовых замеров будет изображение плотности трещин в изолиниях. Изолинии удобно строить на той же второй восковке. Приемы их проведения обычны, с применением простой интерполяции. Значения изолиний лучше выбирать с неравными интервалами, что позволяет лучше изобразить нужные детали распределения трещин. Обычно интервал увеличивают по мере увеличения значения изолиний, например, 1 – 2 – 3 – 5 – 7 – 10 – 15 – 25 – 35 - 50. С помощью изолиний отчетливо выявляются участки сгущения трещин с расположенными на них точками наибольшего сгущения – полюсами, каждый из которых отвечает определенной системе трещин. Полюса нумеруются, для них определяются элементы залегания, которые и будут отвечать средним элементам залегания систем трещин.

Пример диаграммы показан на рис. 2.7 (КШ 95).

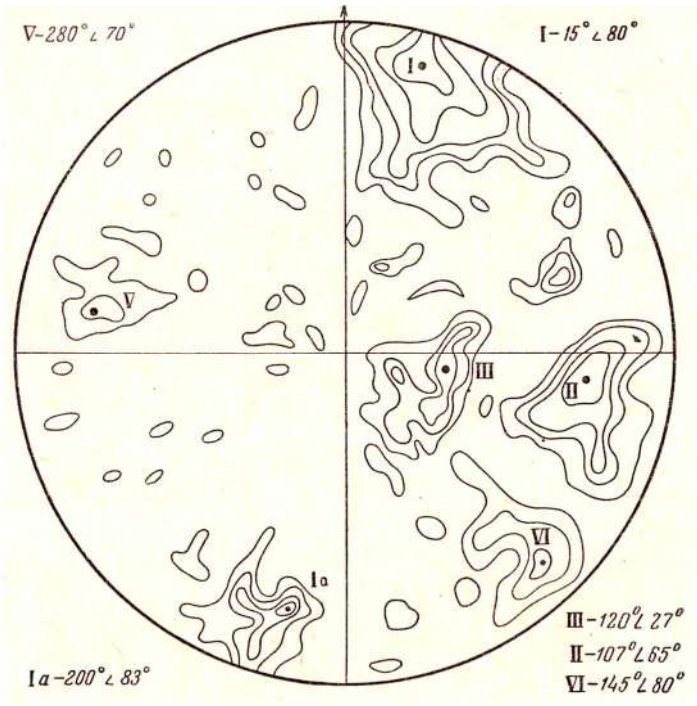


Рис. 2.7. Изолинии плотности трещин. 300 замеров. Изолинии 1 – 2 – 3 – 5 – 7 [КШ]

Недостатком градусной сетки является очень мелкий размер площадок в области малых углов падения. Поэтому если среди трещин преобладают пологие, применяется прием обращения углов падения. При обращении в центре сетки располагается угол 90^o, а по внешнему кругу – 0^o.

Анализ полученной круговой диаграммы в изолиниях позволяет решать разнообразные геологические задачи.

Определение плана тектонических деформаций

Для того чтобы определить план тектонических деформаций, вызвавших образование трещин, нужно установить ориентировку главных осей, которые рассматривались выше:

- ось А – вертикальная ось подъема. Вдоль нее происходит выжимание пород снизу вверх, их подъем и высвобождение;

- ось Б – горизонтальная ось сжатия. Вдоль нее развиваются наибольшие сжимающие напряжения;

- ось В – горизонтальная ось растяжения. Вдоль нее происходит боковое высвобождение пород, сопровождаемое относительным растяжением.

Разработаны достаточно точные аналитические методы определения ориентировки осей тектонических напряжений. Приближенно положение осей можно определить графически по диаграмме, установив сопряженные системы трещин и идентифицировав их в соответствии с моделью куба деформации (см. лекции).

Как правило, наиболее распространенными являются системы взбросов и надвигов C_1 и C_2, отвечающие трещинам рассланцевания и ориентированные перпендикулярно оси сжатия Б. Их можно выявить по максимальной плотности трещиноватости, а также следующим основным признакам: а) простирание отвечает простиранию общей тектонической структуры, б) падение переменное – от пологого до крутого, в) форма рельефа трещин – волнистая, г) смещение взбросовое, иногда очень значительное по амплитуде, д) наблюдается притирание стенок трещин и дробление прилегающих пород,

е) приоткрывание трещин происходит на более пологих участках, причем проявляется яркая зависимость величины приоткрывания от формы рельефа поверхности трещин.

Установив на круговой диаграмме системы C_1 и C_2, через точки, обозначающие их полюса, можно провести прямую, вдоль которой и проходит ось сжатия Б. Тогда перпендикулярно ей в плоскости диаграммы пройдет ось растяжения В. Она должна совпадать с прямой, соединяющей полюса систем C_3 и C_4, если они нашли отражение на диаграмме. Параллельно оси Б будут располагаться крутопадающие трещины системы отрывов P_2, а параллельно оси В могут выделиться трещины сплющивания P_3. Диагонально ориентированные по отношению к осям Б и В крутопадающие сопряженные трещины представляют системы сдвигов C_5 и C_6. Пологие отрывы системы P_1 образуют полю вблизи центра диаграммы.

В реальных условиях обычно из девяти возможных направлений перемещения проявляется в среднем 5-6 систем трещин.

Пример идентификации направлений смещения представлен на рис. 2.8 (КШ 99).

Следует отметить также, что в условиях одностороннего сжатия будет формироваться только одна из пары сопряженных систем трещин.

Определение кинематического типа трещинообразующих деформаций

Чтобы определить кинематический тип деформаций, вызвавших возникновение трещин, нужно установить связь величины приоткрывания трещин с их элементами залегания. Для этого снова используется круговая диаграмма. Около каждой точки замера на диаграмме выставляется мощность трещины в миллиметрах или баллах. При обработке статистическим окном, в центре окна пишется не количество трещин, как при определении плотности трещиноватости, а суммарная мощность трещин, попадающих в пределы окна. По этим данным обычным порядком проводятся изолинии и выделяются полюса. Затем элементы залегания полюсов мощности трещиноватости сравниваются с элементами залегания полюсов плотности. При приоткрывании трещины в результате смещения стенок ее ориентировка несколько меняется. Так как смещение по трещинам, как правило, незначительное по величине, то и изменение элементов залегания измеряется первыми градусами. При этом, при горизонтальных смещениях меняется азимут падения, при вертикальных – угол. Если азимут падения полюса мощности сместился по сравнению с полюсом плотности вправо, смещение соответствует правому сдвигу, если влево – левому. Если угол падения полюса мощности более пологий, чем у полюса плотности, то смещение представлено взбросом, если более крутой – сбросом.

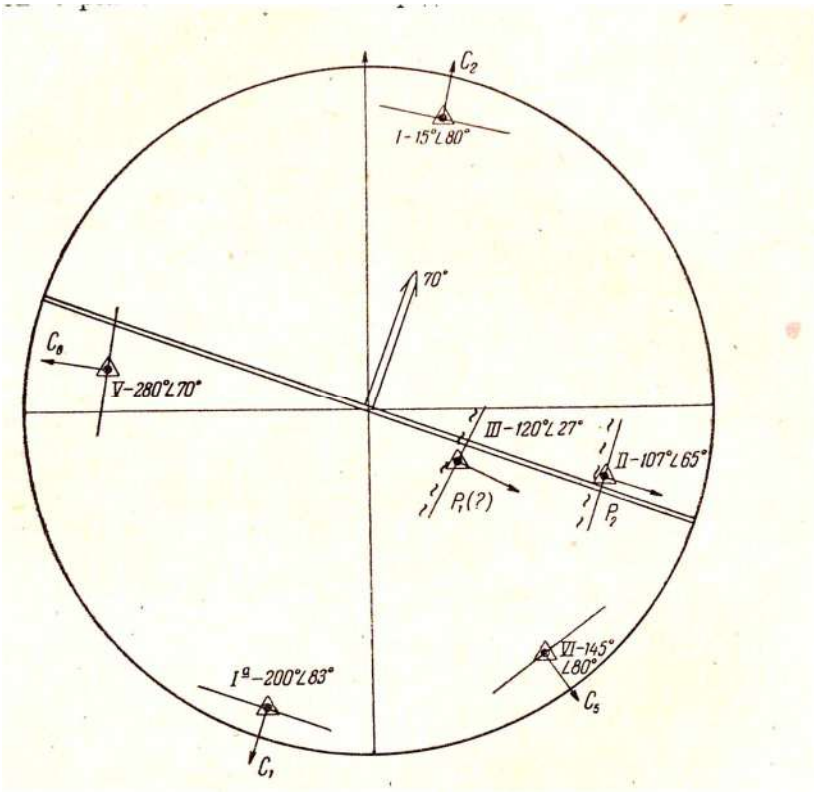


Рис. 2.8. Полюса плотности трещиноватости в кварцитовидных песчаниках [КШ]

Проанализировав подобным образом все системы трещин, выбираем преобладающий тип смещения, который и отвечает кинематическому типу трещинообразующих деформаций.

Определение условий размещения гидротермальной минерализации

При отложении в трещинах гидротермальных минералов, как и при приоткрывании, их ориентировка несколько изменяется. Первоначально трещины имеют залегание, выраженное основным полюсом – полюсом плотности трещиноватости. Затем в процессе приоткрывания и заполнения минеральными прожилками трещины приобретают иное залегание.

Если минерализованных трещин достаточно много, как это бывает при анализе мелкой трещиноватости в пределах рудных тел, трещины выносятся на круговую диаграмму разными знаками, отражающими минеральный состав их заполнения. Затем трещины также обрабатываются статистическим окном, выделяются полюса минерализованных трещин, которые сравниваются с полюсами изолиний плотности трещиноватости, как это описано выше при анализе приоткрываний. Различие в элементах залегания указывает на характер движений в период минералообразования.

Если минерализация проявлена слабо, то можно просто отметить трещины, в которых отмечены жильные минералы, разными знаками, также отражающими состав заполнения. Установив системы трещин, с которыми связана гидротермальная минерализация, можно на основе анализа приоткрываний определить кинематику минералообразующих деформаций.

Пример решения рассмотренной задачи показан на рис. 2.9 (КШ 100).

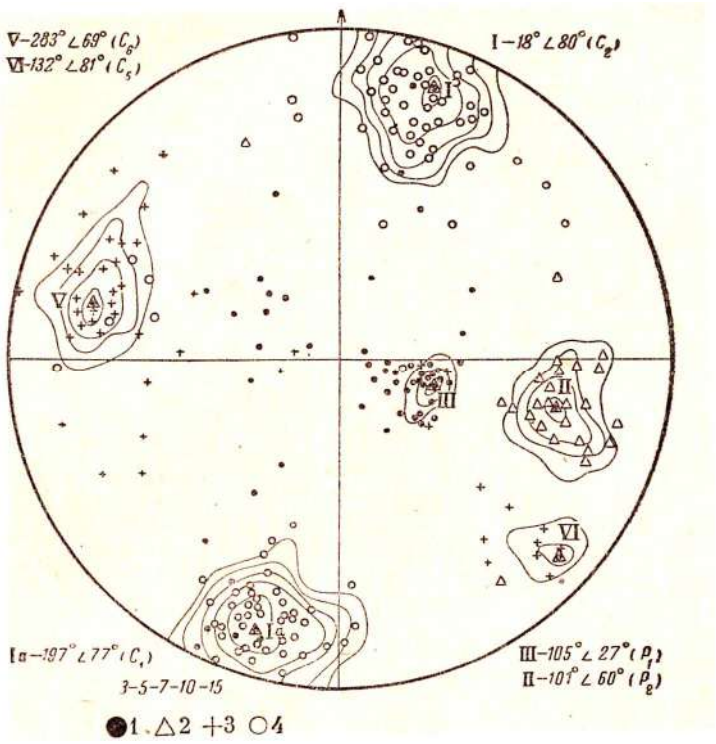


Рис. 2.9. Определение полюсов минерализованных трещин [КШ]:
1 – кальцит, 2 – кальцит с пиритом, 3 – кварц, 4 – руда

Порядок выполнения лабораторной работы по обработке массовых **замеров мелкой трещиноватости**

Исходные данные

Каждый студент получает свой вариант задания в виде журнала замеров мелкой трещиноватости на одной из станций. Замеры сопровождаются описанием геологии станции, характеристикой пород с указанием элементов залегания. Варианты заданий приводятся в текстовом приложении.

Для выполнения задания используется также круговая диаграмма и прозрачная бумага – калька или восковка.

Методические указания по выполнению работы

1. Калька накладывается на круговую диаграмму и закрепляется скрепками. На кальке проводится внешний круг диаграммы и меридиональный диаметр (0-180^o). Каждая трещина выносится на кальку по азимуту и углу падения в виде точки, расположенной в ячейке, соответствующей ее элементам залегания.

2. Определяется плотность трещиноватости. Для этого точки, обозначающие трещины, обрабатываются методом скользящего статистического окна, объединяющего 4 ячейки сетки (10^o по азимуту и 20^o по углу падения).

Практически эта процедура выполняется следующим образом. Поверх листа с точками накладывается еще один лист прозрачной бумаги, на который также наносится внешний круг и меридиональный диаметр диаграммы. Каждое пересечение окружностей и радиусов сетки рассматривается как центр статистического окна из четырех ячеек. Эти пересечения удобно отмечать небольшим крестиком. Подсчитывается число точек-трещин на площадке статистического окна, включая его границы. Это число записывается в центре окна. Затем окно смещается на одну ячейку по окружности или по радиусу

диаграммы. В результате у каждого крестика-пересечения окажется число, показывающее плотность трещиноватости в данном окне. Важно, что точки каждой ячейки будут участвовать в четырех смежных числах плотности трещиноватости, что дает усреднение показателей.

На диаграмме плотности трещин с помощью приемов интерполяции строятся изолинии. Начинать удобно с самых больших значений. Интервалы между изолиниями, как отмечалось выше, лучше брать неравными. Изолинии выявляют места максимального сгущения трещин – полюса плотности трещиноватости. Эти полюса нумеруются, для них по диаграмме определяются элементы залегания.

3. По расположению полюсов плотности трещиноватости можно реставрировать план тектонических деформаций, то есть определить положение осей сжатия и растяжения.

Для этого с помощью модели куба деформаций и с учетом элементов залегания пород, в которых измерялись трещины, нужно идентифицировать выделенные системы трещин с направлениями смещения в кубе деформаций.

Как правило, параллельно простиранию пород или плоскости их рассланцевания располагаются количественно самые распространенные системы сопряженных взбросов C_1 и C_2. Перпендикулярно им проходит ось сжатия Б. Определив ориентировку оси сжатия, несложно восстановить положение других осей и систем трещин.

4. Следующий этап работы состоит в определении кинематического типа тектонических нарушений, вызвавших развитие трещиноватости.

Для этого снова используется калька с точками, обозначающими трещины. Возле каждой точки теперь выносится число, характеризующее мощность трещины. Если применять группировку трещин, предложенную в п. 2.3.2, то это будут числа от 1 до 5. Затем эти числа также обрабатываются методом скользящего статистического окна, проводятся изолинии и выделяются полюса мощности трещиноватости.

5. От полюсов плотности трещиноватости полюса мощности будут смещены на некоторое расстояние, обычно не более $5\text{-}10^o$ как по углу, так и по азимуту падения. Направление этих смещений позволяет определить кинематику трещинообразующего напряжения. Если полюс мощности смещен относительно полюса плотности по азимуту вправо, то горизонтальная составляющая тектонического движения отвечает правому сдвигу, если влево – то левому сдвигу. Соответственно, по углу падения, если полюс мощности залегает круче, чем полюс плотности, смещение отвечает сбросу, если положе – взбросу.

6. Третья задача работы – выделение систем приоткрытых трещин, благоприятных для локализации оруденения. На диаграмме плотности трещиноватости отмечаются трещины, которых заполнены продуктами гидротермального генезиса – кварцем, кальцитом и т. п. Определяются системы, к которым принадлежат минерализованные трещины. Эти системы и будут, скорее всего, наиболее благоприятны для рудной минерализации.

7. Законченная работа оформляется в виде небольшого отчета, который включает все диаграммы, пояснительную записку и выводы.

Приложение
Варианты заданий к РГР № 3

Станция 1

Проявление Евьюганское

Находится в 250 м от слияния р. М. Ханмей и р. Евьеган, вниз по правому берегу р. М. Ханмей. В крутопадающем склоне правого берега проходит распадок шириной около 50м с почти отвесными бортами и широким плоским дном по которому сбегает небольшой ручей, впадающий в р. М. Ханмей.

У слияния рек Евьеган и М. Ханмей на прилегающей к долине плоской части берега, в 50-80 м от берегового обрыва, сохранились старые буровые скважины с остатками труб.

Оруденение прослежено в юго-восточном борту, впадающем в р. М. Ханмей. Рудная зона залегает согласно направлению рассланцевания (гнейсоватости) и падает на ЮВ С Аз 110' под углом 70'.

Вмещающие породы – гнейсы, амфиболиты и кристаллические сланцы ханмехойской свиты PR_1.

Зона выделяется среди них интенсивным ожелезнением и прослеживается от вершины берегового обрыва до уреза воды. Рудные минералы - пирит, возможно халькопирит. Вкрапленность тонкая, располагается также согласно с рассланцеванием.

Породы и рудная зона разбиты многочисленными, разноориентированными системами трещин, среди которых резко преобладают север-северо-восточные с восток-юго-восточным падением. Поперечные и диагональные системы проявлены значительно меньше.

Согласно с рассланцеванием наблюдаются кварцевые жилы невыдержанной мощности, нередко разбудинированные. Кварц характерен также для рудной зоны, где развиваются березитоподобные метасоматиты.

№№	Азимут падения	Угол падения	Форма	Длина	Мощность	Минеральные заполнения
1	347	59	1	2	5	
2	243	88	1	1	5	
3	111	64	1	2	5	
4	328	29	1	1	1	
5	158	49	1	1	1	
6	2	46	1	1	5	
7	354	61	1	1	5	
8	236	67	1	2	5	
9	248	69	1	1	5	
10	137	46	1	1	2	Обломочный материал
11	23	79	2	1	1	Обломки
12	117	63	1	1	5	Кварц
13	353	86	1	1	1	Обломки
14	124	51	1	2	5	Обломки
15	264	45	1	1	5	
16	127	59	1	1	2	Кварц
17	129	59	1	2	3	Обломки
18	192	24	1	1	5	
19	13	62	2	1	5	

20	232	68	2	1	1	
21	128	57	1	2	3	Обломки
22	144	44	1	1	2	Обломки
23	344	48	1	2	5	
24	107	74	1	2	5	
25	114	63	1	1	1	
26	298	37	1	1	5	
27	27	88	2	2	2	Обломки
27	356	24	1	1	5	
27	316	22	1	1	5	
27	322	51	1	1	5	
27	159	44	1	1	2	Обломки
27	4	48	1	1	5	г/о Fe
27	112	69	1	1	5	г/о Fe
27	127	68	2	3	2	
27	303	44	1	1	5	
27	321	38	1	1	5	
27	226	76	2	1	1	
27	112	70	1	1	3	
27	124	68	1	1	3	Кварц
27	272	42	1	1	5	
27	344	56	1	1	5	
27	124	56	1	1	3	Кварц
27	177	83	2	1	5	
27	164	87	2	1	3	
27	339	66	1	1	5	
27	126	74	1	1	1	
27	178	42	1	1	1	г/о Fe
27	97	71	2	1	1	г/о Fe
27	111	52	1	2	2	г/о Fe, кварц, сульфиды
27	117	58	1	1	1	г/о Fe, кварц, сульфиды
27	127	48	1	1	1	г/о Fe, кварц, сульфиды
27	108	51	1	1	1	г/о Fe, кварц, сульфиды
27	298	54	1	1	5	г/о Fe
27	126	78	1	1	2	
27	144	69	1	1	2	г/о Fe
27	152	69	2	1	2	Кварц
27	26	86	2	1	2	Обломки
27	86	34	1	1	1	
27	314	81	1	2	2	Обломки
27	318	82	1	1	2	Обломки
27	293	73	2	2	2	Обломки
27	334	69	1	1	5	г/о Fe
27	142	51	1	1	4	г/о Fe, кварц, сульфиды
27	79	51	1	2	3	г/о Fe, рудные охры
27	118	81	1	2	3	г/о Fe, рудные охры
27	142	64	1	1	2	г/о Fe
27	68	67	2	1	1	г/о Fe
27	127	64	1	2	2	Обломки
27	322	42	1	1	5	г/о Fe
27	326	58	1	2	5	
27	291	44	1	1	5	г/о Fe
27	94	72	2	1	1	Обломки

27	326	29	1	1	5	г/о Fe
27	119	62	1	1	1	
27	108	68	1	2	1	
27	107	66	2	1	1	Обломки
27	115	59	2	1	2	Кварц
27	301	69	1	1	3	Обломки
27	110	69	1	2	3	
27	328	39	1	1	1	
27	331	21	1	2	3	
27	333	38	1	1	1	
83	117	67	1	3	4	Обломки
84	327	49	1	1	5	
85	92	80	2	1	3	Кварц ,г/оFe
86	135	49	2	1	2	Обломки
87	125	84	1	1	4	Кварц
88	128	50	1	1	4	Обломки
89	252	2	1	1	5	
90	108	73	1	1	2	Кварц
91	83	79	2	1	3	г/о Fe
92	217	27	1	1	2	
93	114	79	1	1	2	Обломки, г/оFe
94	111	68	1	1	3	г/о Fe
95	32	36	1	1	1	
96	104	72	2	1	1	
97	235	40	1	1	5	
98	243	74	1	1	3	
99	2	82	2	2	3	Обломки
100	113	76	1	1	1	г/о Fe
101	193	39	2	1	2	Обломки
102	115	74	1	1	4	Кварц
103	296	64	1	1	5	
104	118	81	1	1	2	Кварц
105	206	86	2	2	3	г/о Fe
106	10	65	1	2	5	
107	290	48	1	1	5	
108	106	56	2	2	4	Обломки
109	101	61	1	1	1	
110	337	60	1	1	5	
111	292	75	1	1	5	
112	54	43	1	1	5	
113	57	43	1	1	4	Обломки
114	213	54	2	2	2	Обломки
115	54	28	1	1	2	Обломки
116	52	36	1	1	5	
117	72	253	1	1	2	Обломки
118	136	69	1	1	4	г/о Fe, рудные охры, кварц
119	302	73	1	1	5	
120	2	3	1	1	4	
121	138	57	1	1	5	
122	130	67	1	1	5	
123	180	89	1	1	5	
124	23	88	1	1	3	
125	240	52	1	1	5	
126	225	71	1	1	5	
127	108	53	1	1	3	Кварц
128	128	60	1	1	4	Обломки

129	5	82	1	2	4	Обломки
130	325	83	1	1	1	
131	135	64	1	1	5	
132	122	76	1	1	3	Кварц
133	95	89	1	1	5	
134	65	76	1	1	5	
135	197	53	1	1	4	Обломки
136	337	81	1	1	5	
137	342	76	1	1	5	Кварц
138	121	56	1	1	4	Обломки
139	66	48	1	1	1	
140	244	78	2	2	4	Обломки
141	301	81	2	1	5	
142	219	18	1	1	4	
143	98	87	2	2	5	
144	236	70	1	1	2	Обломки
145	142	53	2	2	1	
146	217	52	2	2	1	
147	10	67	2	1	2	Обломки
148	27	51	2	1	2	Обломки
149	162	60	1	1	1	
150	124	68	1	1	1	
151	2	59	2	1	2	Обломки
152	88	78	1	1	2	Обломки
153	10	58	1	1	5	
154	11	53	2	1	1	
155	156	46	2	2	2	Обломки
156	144	57	2	1	2	Обломки
157	353	84	1	2	5	
158	18	44	1	2	5	
159	149	49	2	1	1	
160	6	61	2	1	1	
161	231	70	2	1	5	
162	8	57	2	1	5	Обломки
163	216	74	1	1	3	
164	65	49	1	1	4	Кварц
165	161	67	2	1	3	Халцедон
166	143	74	1	2	4	Обломки
167	134	69	1	2	4	Кварц
168	351	74	1	1	5	
169	139	79	1	1	2	Обломки
170	356	59	1	1	5	
171	247	74	1	1	5	
172	216	25	1	1	1	
173	144	56	1	1	1	Обломки
174	147	51	2	3	3	Обломки
175	152	64	2	1	1	
176	162	52	2	1	1	
177	126	72	1	1	3	Кварц
178	147	62	1	1	1	
179	153	64	1	2	2	Обломки
180	232	74	1	1	2	Обломки
181	238	63	1	1	3	Обломки
182	235	63	1	1	1	
183	228	61	1	1	2	Обломки
184	336	44	1	1	5	
185	344	42	1	1	5	

186	210	56	1	1	4	Кварц
187	192	49	1	1	2	Обломки
188	289	61	1	1	5	
189	220	56	1	1	1	
190	244	61	1	1	4	
191	133	31	1	2	2	Обломки
192	139	41	1	1	2	г/о Fe
193	116	36	1	1	3	г/о Fe
194	8	66	1	1	5	Кварц, сульфиды
195	103	34	1	2	5	г/о Fe
196	333	48	1	1	5	г/о Fe, кварц, сульфиды
197	73	37	1	1	5	
198	109	56	1	1	5	
199	139	26	1	1	2	
200	118	62	1	1	4	Обломки
201	153	53	1	1	4	Обломки
202	154	46	1	1	4	Обломки
203	315	43	1	1	5	
204	179	34	1	1	2	
205	160	50	1	1	4	Обломки
206	139	51	1	1	3	Обломки
207	132	59	1	2	3	Обломки
208	317	27	1	1	5	
209	200	30	1	1	2	Обломки
210	163	41	1	1	3	Обломки
211	168	44	1	1	4	Обломки
212	132	60	1	1	4	Обломки
213	159	44	1	1	2	Обломки
214	134	48	1	1	2	
215	338	41	1	1	5	
216	191	43	1	1	5	
217	139	55	2	1	5	
218	151	53	1	1	4	
219	331	31	1	2	5	
220	144	51	1	1	3	
221	220	13	1	1	5	
222	323	34	1	1	5	
223	149	49	1	1	4	
224	155	43	1	1	4	
225	25	35	1	1	5	
226	320	57	1	1	5	
227	329	46	1	1	5	
228	299	57	1	2	5	
229	309	47	1	1	5	
230	295	61	1	1	2	
231	267	74	1	1	3	
232	255	72	2	1	3	
233	0	79	1	2	5	
234	138	71	1	1	2	Обломки
235	257	14	1	2	2	
236	116	66	1	1	5	
237	315	56	1	2	5	
238	288	75	1	2	5	
239	258	24	1	2	5	
240	310	41	1	1	5	
241	4	67	1	1	5	

242	324	48	1	1	3	
243	254	74	1	1	5	
244	124	56	1	1	2	
245	321	48	1	1	5	
246	62	39	1	1	5	
247	144	44	1	2	4	
248	158	31	1	2	4	Кварц
249	228	11	1	2	5	
250	317	53	1	2	4	
251	214	16	1	1	2	
252	125	45	1	1	1	Кварц
253	143	39	1	1	1	
254	163	59	1	1	1	
255	130	56	1	1	1	
256	137	53	1	1	1	Кварц
257	66	76	1	1	1	
258	128	67	1	1	4	
259	146	33	1	1	5	
260	111	40	1	1	2	
261	83	12	1	1	1	
262	342	41	2	1	1	Обломки
263	15	52	2	1	1	
264	22	53	2	1	1	
265	173	36	1	1	1	
266	104	53	2	1	1	Кварц
267	192	49	2	1	5	
268	145	62	2	1	1	
269	265	89	2	1	1	
270	182	26	1	1	2	
271	120	65	1	1	4	Обломки
272	315	23	1	1	4	Обломки
273	298	42	2	1	3	
274	139	48	2	1	4	
275	95	51	1	1	1	
276	251	34	1	1	1	
277	269	35	1	1	1	
278	350	83	1	1	1	Обломки
279	3	55	1	1	1	Обломки
280	95	89	1	1	1	
281	73	40	1	1	1	Обломки
282	58	36	1	1	1	
283	156	42	1	1	5	
284	56	51	1	1	4	
285	285	75	2	1	4	
286	30	52	2	1	1	
287	104	15	1	1	4	
288	55	69	2	1	5	
289	129	42	1	2	4	
290	116	48	2	1	5	
291	9	66	2	1	6	
292	200	28	2	1	5	
293	301	57	2	2	2	
294	332	51	1	1	5	
295	324	47	2	1	2	
296	155	49	2	1	3	Обломки
297	251	62	1	1	5	
298	240	76	2	1	5	

299	9	79	1	1	1	Обломки
300	96	75	2	1	5	

Станция 2

Расположена перед резким поворотом реки Малый Ханмей на запад перед слиянием с рекой Евъеган, в 500 метрах от него на левом берегу реки Малый Ханмей. Среди кристаллических сланцев проходит зона сульфидной минерализации с большим количеством как свежих сульфидов ,так и характерных светло-желтых танов. Кроме пирита визуально наблюдаются блеклые руды, дающие охры, типичные для сурьмы и мышьяка.

Зона выделяется в виде полосы ожелезнённых пород видимой мощностью-5 метров, протягивается через все обнажения и уходят в склон, протяжённость зоны в обнажении не менее 100 метров.

Минерализация, как и на Евъюганском объекте, залегает согласно с вмещающими метаморфизмами ,представленными здесь кристаллическими сланцами мусковит -полевошпатового состава с отдельными зёрнами гранатов. Ориентировка сланцеватости близка к Евъеганскому- Азимут падения 130,угол 65.

На геологической карте П.С Примоносова рудная зона т.н 08-814 располагается в одном разломе северо-западного направления с Евъеганским объектом и ,возможно, является фрагментом единого крупного проявления.

№ пп	Азимут падения	Угол падения	Форма	Длина	Ширина	Минеральное заполнение	
1	125	58	1	1	1	Обломки	
2	127	68	1	1	2	Обломки	
3	124	85	1	1	1	Кварц	
4	122	69	1	1	1	Кварц	
5	181	46	1	1	1		
6	202	72	2	1	1		
7	124	63	1	1	1	г/о Fe	
8	147	80	1	1	1	Кварц	
9	227	73	2	1	5	г/о Fe	
10	113	60	2	1	5		
11	178	62	1	1	5		
12	92	86	1	1	5		
13	285	62	2	1	1		
14	324	36	1	1	4	Кварц	
15	302	44	1	1	1		
16	142	49	2	1	5		
17	36	29	1	1	5		
18	103	48	1	1	5		
19	122	56	2	1	5		
20	18	59	2	1	5		
21	348	18	2	1	1	Кварц	
22	319	79	2	1	4		
23	243	78	2	1	4		
24	222	88	2	1	5		
25	224	89	2	1	1		
26	236	86	1	1	5		
27	128	40	1	1	1		
28	117	8	1	1	1		
29	308	2	1	1	1	г/о Fe	
30	134	28	1	1	1	Обломки	
31	48	21	1	1	1	г/о Fe	
32	49	23	1	1	1	Обломки	
33	248	89	2	1	1		
34	237	87	2	1	5		
35	225	54	2	1	5		

36	221	76	2	1	5	г/о Fe	
37	263	56	2	1	1		
38	193	42	2	2	5		
39	142	51	2	1	1	г/о Fe	
40	27	42	1	1	1		
41	355	40	1	1	1		
42	162	57	1	1	2	Обломки	
43	190	61	1	1	1		
44	72	74	1	1	1	Обломки	
45	95	66	1	1	1	Рудная охра	
46	140	52	2	1	5		
47	356	48	2	1	1	Обломки	
48	144	27	2	1	1		
49	143	64	2	1	1		
50	99	74	2	1	1		
51	142	6	2	1	1		
52	165	42	1	1	4		
53	212	71	1	1	4		
54	164	51	1	1	4		
55	330	42	1	1	1	Рудная охра	
56	234	56	1	1	1	Обломки	
57	148	36	1	1	1		
58	164	64	1	1	1	Кварц	
59	170	52	2	1	1		
60	160	15	2	1	4	г/о Fe	
61	147	44	2	1	5	г/о Fe	
62	213	72	1	1	3		
63	79	75	2	1	5		
64	138	66	2	1	5		
65	110	5	2	1	5		
66	165	68	1	1	1	Обломки	
67	86	33	2	1	1		
68	161	35	2	1	5		
69	126	66	2	1	1		
70	130	43	2	1	5		
71	126	89	2	1	5		
72	105	17	2	1	1		
73	95	82	2	1	5		
74	182	48	2	1	3	Обломки	
75	247	66	2	1	3		
76	198	74	2	1	5		
77	156	76	2	1	1		
78	144	58	2	1	1		
79	219	73	1	1	1		
80	111	64	1	1	1		
81	164	63	2	1	1		
82	132	60	2	2	4	г/о Fe	
83	179	48	2	1	1	г/о Fe	
84	155	65	2	1	5		
85	62	63	2	1	1	г/о Fe	
86	74	87	1	2	2		
87	143	64	2	1	1	г/о Fe	
88	129	71	1	1	5	г/о Fe	
89	139	57	1	1	1		
90	137	64	2	1	1	Обломки	
91	245	65	2	1	1	Обломки	
92	136	57	2	1	1	Обломки	

93	45	69	1	1	2		
94	178	46	2	2	1		
95	122	62	2	1	2		
96	185	74	1	1	2		
97	164	4	1	1	1		
98	242	63	1	1	1		
99	38	28	2	1	2		
100	160	42	2	1	1	г/о Fe,обломки	
101	78	56	1	1	1		
102	113	49	1	1	1		
103	137	61	1	1	1	г/о Fe	
104	132	74	1	1	4		
105	62	45	1	1	1	г/о Fe	
106	225	22	2	1	2		
107	201	58	1	1	1	Рудная охра	
108	48	74	2	1	1		
109	265	70	1	1	1		
110	25	72	2	1	1		
111	338	47	2	1	2		
112	85	71	1	1	4	г/о Fe	
113	164	29	2	1	4		
114	257	54	2	1	1		
115	243	57	2	1	5		
116	355	78	2	1	1		
117	133	54	1	1	2		
118	177	67	1	1	5		
119	191	86	1	1	5		
120	137	89	2	1	5		
121	92	71	2	1	5		
122	157	68	2	1	1		
123	111	75	2	1	1		
124	166	55	1	1	5	Обломки	
125	214	74	1	1	5	Кварц	
126	79	74	2	1	3		
127	122	56	2	1	2		
128	295	76	1	1	1		
129	326	55	1	1	1		
130	335	66	1	1	1		
131	136	62	1	1	1		
132	115	51	1	1	1		
133	154	62	1	1	5		
134	355	60	1	1	1	Обломки	
135	310	15	1	1	1		
136	22	37	2	1	1		
137	120	36	1	1	2	Обломки	
138	123	42	1	1	5		
139	126	44	1	1	5		
140	98	35	1	1	1		
141	140	50	2	1	2	г/о Fe	
142	146	39	1	1	1	Рудная охра	
143	162	71	2	1	2	г/о Fe	
144	147	26	2	1	4	Кварц	
145	153	27	1	2	3	г/о Fe,рудная охра	
146	58	26	2	1	4	г/о Fe	
147	323	35	2	1	5	г/о Fe	
148	82	53	2	1	5	г/о Fe	
149	15	40	1	1	2		

150	112	60	2	1	5		
151	109	39	2	1	1		
152	126	62	1	1	5		
153	106	39	1	1	5	Кварц	
154	17	61	1	2	5	г/о Fe	
155	252	69	2	1	5		
156	139	56	2	2	4	Обломки	
157	116	42	1	1	2	Обломки	
158	38	43	1	2	5	г/о Fe	
159	34	9	1	1	5	г/о Fe	
160	124	76	1	1	2	Обломки	
161	346	29	2	1	5		
162	31	58	2	1	5	г/о Fe	
163	218	26	1	1	5	г/о Fe	
164	318	42	1	1	5	г/о Fe	
165	17	38	1	1	5	г/о Fe	
166	117	62	1	1	3	Обломки	
167	344	14	2	2	5		
168	122	66	1	2	2	г/о Fe,рудная охра	
169	351	53	1	1	5	г/о Fe	
170	36	49	1	1	5	Кварц	
171	124	47	2	2	5	г/о Fe	
172	122	49	1	1	1		
173	2	44	1	1	5	г/о Fe	
174	24	74	2	1	2	г/о Fe	
175	224	16	1	1	4	г/о Fe	
176	138	49	1	1	3	Обломки	
177	125	51	1	1	2	Обломки	
178	28	73	2	1	2	г/о Fe	
179	126	49	1	1	2	г/о Fe	
180	111	54	1	2	2	г/о Fe	
181	359	37	2	1	1	г/о Fe	
182	199	71	2	2	5	г/о Fe	
183	115	52	1	1	3	Кварц,рудная охра,г/оFe	
184	135	42	1	1	2	Кварц	
185	135	47	1	1	5	Кварц,г/оFe	
186	116	50	1	1	5	г/о Fe,кварц	
187	255	14	1	1	5		
188	293	47	2	1	5		
189	122	50	2	1	2	г/о Fe	
190	127	55	2	1	1	г/о Fe	
191	310	22	1	1	5		
192	218	75	1	1	5	г/о Fe.кварц	
193	143	51	2	1	1	г/о Fe	
194	134	61	2	1	2	г/о Fe.кварц	
195	176	2	1	1	5	г/о Fe	
196	225	76	1	1	5	г/о Fe	
197	122	50	2	1	2	г/о Fe	
198	231	58	2	1	5	г/о Fe	
199	57	52	1	1	5	г/о Fe	
200	283	46	1	1	2	Обломки	
201	56	48	1	1	5	г/о Fe	
202	62	82	1	1	4	г/о Fe	
203	316	57	1	1	4	г/о Fe	
204	219	78	1	1	5	г/о Fe	
205	140	56	2	2	2	г/о Fe	

206	142	53	2	1	1	г/о Fe	
207	136	51	2	1	1	г/о Fe	
208	42	49	1	1	5	г/о Fe	
209	125	54	1	1	2	г/о Fe,кварц	
210	117	53	2	1	2	г/о Fe	
211	126	51	1	1	3	г/о Fe	
212	141	59	2	1	2	г/о Fe	
213	330	29	2	1	2	Обломки	
214	204	61	1	1	5	г/о Fe	
215	253	81	1	1	3	г/о Fe	
216	130	61	1	1	2	г/о Fe	
217	120	62	2	1	1	г/о Fe	
218	116	64	2	1	2	г/о Fe	
219	5	36	1	2	3	г/о Fe	
220	128	57	1	2	2	г/о Fe	
221	133	55	1	2	2		
222	130	56	2	1	1	г/о Fe,	
223	124	54	1	2	3	г/о Fe	
224	115	57	1	2	2	г/о Fe	
225	333	39	1	2	5	г/о Fe	
226	337	32	1	1	5	г/о Fe	
227	31	86	2	1	1	Рудная охра	
228	314	39	1	1	5	г/о Fe	
229	324	38	1	1	5	г/о Fe,кварц	
230	134	54	1	1	1	г/о Fe	
231	251	44	1	1	5	г/о Fe	
232	119	77	1	1	4	Кварц	
233	173	73	1	1	4	Кварц	
234	128	66	1	2	4	Кварц	
235	2	27	2	2	5	г/о Fe	
236	163	55	1	2	1	г/о Fe	
237	345	31	2	2	5	г/о Fe	
238	128	51	1	1	1	Рудная охра	
239	127	50	1	1	1	г/о Fe	
240	124	49	1	2	1	г/о Fe	
241	128	55	1	1	2	г/о Fe,кварц	
242	136	53	1	1	1	г/о Fe,рудная охра	
243	6	35	1	1	5		
244	9	57	1	1	5	г/о Fe	
245	329	36	2	2	1	г/о Fe	
246	323	35	1	1	1	г/о Fe	
247	150	34	2	1	5	г/о Fe	
248	148	36	2	1	4	г/о Fe,кварц	
249	1	42	2	1	5	г/о Fe	
250	279	62	2	1	1		
251	108	52	1	1	4	Кварц	
252	346	39	2	1	5	г/о Fe	
253	124	56	1	2	4	Кварц,рудная охра	
254	125	63	1	2	2		
255	139	64	1	1	2	г/о Fe	
256	119	64	1	1	4	г/о Fe,кварц	
257	159	68	1	1	4	г/о Fe,кварц	
258	21	84	1	1	5	г/о Fe	
259	225	61	1	1	2	г/о Fe	
260	317	25	1	1	5		
261	15	51	1	1	5	г/о Fe,кварц	
262	129	57	2	2	2	г/о Fe	

263	146	49	2	1	3		
264	32	74	2	1	2	г/о Fe	
265	131	49	2	1	1	г/о Fe	
266	156	54	1	1	5	г/о Fe,кварц	
267	43	86	2	1	1	г/о Fe	
268	133	50	2	1	2	г/о Fe	
269	320	52	1	1	1	г/о Fe,кварц	
270	324	46	2	1	5	г/о Fe	
271	257	61	1	1	5	г/о Fe	
272	134	49	1	1	1	г/о Fe,рудная охра	
273	266	61	1	1	5	г/о Fe,рудная охра	
274	291	78	2	1	5	г/о Fe	
275	241	75	1	2	4	г/о Fe	
276	357	33	1	2	5		
277	151	48	2	1	2	г/о Fe	
278	143	47	2	1	3		
279	141	47	2	1	2	г/о Fe	
280	30	50	1	1	5		
281	343	33	1	1	5		
282	126	67	1	2	2	г/о Fe	
283	330	41	1	2	5		
284	131	52	2	2	4		
285	156	50	1	2	4	г/о Fe	
286	118	44	1	2	3	г/о Fe	
287	112	60	1	1	2	г/о Fe	
288	285	64	1	1	5	г/о Fe	
289	326	40	1	1	5		
290	129	49	2	1	1	г/о Fe	
291	46	85	2	1	3	г/о Fe	
292	310	32	1	1	5	г/о Fe	
293	50	78	1	1	5	г/о Fe	
294	5	43	1	1	5	г/о Fe	
295	343	37	1	2	5		
296	24	58	1	1	5		
297	77	85	1	1	5		
298	118	54	1	1	3	г/о Fe	
299	282	41	2	1	5		
300	138	46	2	2	2	г/о Fe,рудная охра	

Станция 3

Крупный коренной скальный выход, начинающийся у уреза воды и протягивающийся вверх по склону крутого берегового обрыва до его верхней границы.

Обнажение сложено очковыми амфиболитами с характерным идиоморфным плагиоклазом. В породах присутствует вкрапленность зерен граната, красного цвета, разного размера и густоты. Гранаты располагаются неравномерно, обогащая отдельные слои.

В породе присутствует также вкрапленность метаморфического пирита как свежего, так и выщелоченного , размер зерен 1-2 мм, форма кубическая деформированная до прямоугольно параллелепипедной.

Амфиболиты интенсивно рассланцованы, трещины рассланцевания значительно преобладают над другими количественно ,как и в соседних обнажениях Ханмейхойской свиты, они имеют юго-восточное падение Аз пад.160,угол пад.55.

Обнажение расположено а приконтинентальной зоне палео - океанического комплекса , в 400м от выхода протрузии серпентинитов, фиксирующих одну из ветвей надвига, ограничивающего палео континент. Ниже по берегу они сменяются тектоническими хлоритовыми сланцами, за которыми уже обнажены серпентиниты сложного строения в комплексе с габбро.

№№ ПП	Азимут падения	Угол падения	Форма	Длина	Мощность	Минеральное заполнение
1	245	39	1	1	5	
2	210	37	1	1	5	
3	247	5	2	2	5	
4	279	64	1	1	5	
5	230	55	1	1	5	
6	255	10	1	2	5	
7	249	40	1	1	1	
8	262	89	1	1	4	Обломки
9	180	43	2	1	5	Обломки
10	173	48	1	1	1	Обломки
11	152	46	1	1	1	
12	243	52	2	1	5	
13	272	89	2	1	1	
14	130	60	2	1	1	
15	270	0	2	1	1	
16	220	25	2	1	1	
17	270	26	2	1	1	
18	246	87	2	1	5	
19	140	15	1	1	1	
20	250	6	1	1	1	
21	290	40	1	2	5	
22	258	75	1	2	5	
23	320	46	2	1	1	
24	264	72	1	1	1	
25	292	32	1	1	1	
26	273	40	1	1	1	
27	145	64	1	1	1	
28	149	43	1	2	5	
29	162	70	1	1	5	
30	149	57	2	1	5	
31	275	30	1	2	5	
32	130	35	1	2	5	Обломки
33	226	82	1	2	5	Обломки
34	252	19	1	1	1	
35	164	72	1	1	3	Обломки
36	301	50	1	1	1	
37	324	35	1	1	1	Обломки,кварц.
38	304	46	2	1	1	
39	276	39	1	1	1	Обломки
40	247	63	1	1	1	
41	200	30	2	2	5	Обломки
42	195	12	1	1	1	
43	152	37	2	1	5	Обломки
44	145	0	1	1	1	
45	146	89	2	1	1	
46	151	74	2	1	1	
47	161	52	2	1	5	
48	145	48	1	1	1	
49	173	15	1	1	1	
50	185	89	1	1	1	
51	273	81	1	2	5	
52	172	64	1	1	1	
53	156	54	1	2	1	
54	192	54	2	1	5	
55	282	40	1	1	1	Обломки

56	322	25	2	1	5	Обломки
57	210	73	2	1	5	Обломки
58	220	76	1	1	5	Обломки
59	296	75	1	1	5	Обломки
60	182	53	1	1	5	
61	164	10	1	1	5	
62	276	3	2	1	1	
63	236	52	1	1	1	
64	260	15	1	1	1	
65	240	75	1	1	5	
66	345	5	1	1	1	
67	250	12	2	1	1	
68	255	87	2	1	2	
69	276	55	2	1	2	
70	248	56	2	1	2	
71	270	69	1	1	1	
72	254	16	1	1	1	
73	240	52	1	1	5	
74	223	48	1	1	1	
75	335	76	1	1	5	
76	327	12	1	1	1	
77	215	70	1	1	1	
78	176	87	1	1	1	
79	146	86	1	1	5	
80	141	87	1	1	5	
81	189	32	1	1	5	
82	132	76	1	1	1	
83	129	11	1	1	1	
84	271	77	1	1	5	
85	212	49	2	1	1	
86	172	47	1	2	5	
87	166	35	2	1	1	
88	145	54	2	1	5	
89	160	36	2	1	5	
90	167	28	2	1	1	
91	280	62	1	2	5	
92	319	54	1	1	5	
93	324	47	2	2	5	
94	321	56	1	2	5	
95	230	60	1	1	1	
96	301	57	2	1	1	
97	315	46	2	1	1	
98	287	59	1	2	5	
99	215	56	2	1	1	
100	126	46	2	1	5	
101	90	12	1	1	1	
102	92	10	1	1	1	
103	132	87	1	1	5	
104	122	43	1	1	5	
105	120	87	1	1	5	
106	164	37	1	1	5	
107	190	30	1	1	1	
108	184	89	2	1	1	
109	332	44	2	1	5	
110	289	42	2	1	1	
111	252	83	2	1	1	
112	273	71	2	1	1	

113	246	73	1	1	1	
114	182	64	1	1	1	
115	154	36	1	1	1	
116	152	60	1	2	5	Кварц
117	170	46	1	1	5	Кварц
118	163	76	1	1	5	
119	260	82	1	2	5	Обломки
120	248	76	2	1	5	
121	242	89	2	1	5	
122	237	67	1	1	5	Кварц
123	5	56	2	2	5	Обломки
124	173	29	2	1	1	
125	22	39	1	1	1	
126	0	55	1	2	2	
127	6	55	2	2	5	
128	30	50	1	2	5	
129	10	46	2	2	5	
130	16	57	2	1	5	
131	29	51	2	1	5	
132	173	60	2	1	5	Обломки
133	30	70	2	1	5	
134	27	50	2	2	5	Кварц
135	15	53	1	1	5	
136	20	35	2	1	5	Обломки
137	230	66	1	1	5	
138	26	47	1	1	5	
139	155	54	2	1	1	
140	29	49	2	1	5	
141	152	55	2	1	1	
142	67	30	2	1	5	
143	56	15	2	1	5	
144	191	5	2	1	5	Обломки
145	150	52	1	1	1	
146	43	59	2	1	5	
147	148	87	1	1	1	
148	320	76	2	1	1	
149	250	55	1	1	1	
150	135	45	1	1	5	
151	95	74	1	1	5	
152	192	6	1	2	5	
153	270	77	1	2	5	г/оFe
154	102	57	1	1	5	
155	151	44	1	1	4	Обломки
156	301	46	1	1	5	
157	130	59	1	1	2	Обломки
158	180	41	2	1	5	
159	77	87	1	1	5	
160	76	69	1	2	5	
161	181	52	1	1	2	Обломки
162	341	45	2	1	1	Обломки
163	143	59	1	1	5	
164	77	71	1	2	2	Обломки
165	139	54	1	1	5	
166	336	39	2	2	2	
167	235	72	1	1	5	
168	56	88	1	1	5	
169	151	53	2	1	1	Обломки

170	64	75	1	1	5	
171	164	44	1	2	2	Обломки
172	77	86	1	1	5	
173	156	48	1	2	1	
174	164	43	1	2	4	Обломки
175	343	61	1	1	1	
176	156	47	1	2	4	Обломки,кварц.
177	155	46	2	2	4	Кварц
178	337	49	1	1	2	г/оFe
179	40	79	1	1	5	г/оFe
180	335	32	1	1	3	
181	1	65	2	1	2	Обломки
182	146	46	2	1	1	
183	347	56	2	2	2	г/оFe
184	136	53	2	1	1	
185	340	53	1	1	5	
186	351	47	2	1	1	Обломки
187	253	69	1	1	2	
188	6	41	1	1	1	
189	144	54	1	1	1	
190	266	53	1	1	1	
191	338	59	2	1	3	Обломки
192	152	51	2	2	3	Обломки
193	341	52	2	1	3	г/оFe
194	166	52	1	1	1	
195	335	49	1	1	1	
196	0	73	2	1	1	г/оFe
197	22	84	2	1	1	
198	155	51	2	1	1	Эпидот
199	68	80	1	1	5	
200	338	39	2	1	2	Эпидот
201	157	51	2	1	1	Эпидот
202	80	79	1	1	5	
203	151	55	2	1	2	Кварц,обломки
204	66	87	1	1	5	
205	347	64	2	1	1	Эпидот
206	144	49	1	1	1	
207	236	88	1	1	5	
208	103	7	1	1	1	
209	86	61	1	1	5	
210	101	59	1	1	4	
211	68	30	1	1	5	Эпидот
212	71	80	1	1	5	Эпидот
213	9	82	1	2	2	
214	153	47	1	1	1	
215	342	39	2	2	2	Эпидот
216	154	60	1	1	1	
217	237	80	1	1	5	
218	341	37	2	2	2	г/оFe,обломки
219	156	45	2	1	5	
220	81	76	1	2	4	Обломки
221	2	77	1	2	2	
222	235	78	1	2	3	
223	151	48	1	1	1	
224	248	88	1	1	5	
225	146	49	2	2	2	
226	6	78	2	1	2	

227	145	51	1	2	4	Кварц
228	56	90	2	1	5	г/оFe
229	148	53	2	2	4	Обломки
230	244	83	1	1	5	
231	152	43	2	1	3	Обломки
232	12	58	2	1	1	
233	286	46	1	1	5	
234	58	66	2	1	1	Обломки
235	148	44	2	1	1	
236	144	48	2	1	2	
237	145	46	2	1	1	Обломки
238	156	77	2	1	3	Обломки
239	82	49	1	1	5	
240	16	39	1	1	5	
241	23	69	1	1	1	
242	8	86	1	2	5	
243	146	37	1	2	2	
244	4	86	1	1	3	
245	142	52	1	1	1	Обломки
246	170	46	1	1	5	
247	4	51	1	1	5	
248	0	83	2	1	5	
249	278	39	2	1	1	
250	253	57	1	2	2	Обломки
251	146	48	2	1	1	Обломки
252	237	80	1	1	5	
253	351	85	1	2	2	
254	74	81	1	1	5	
255	24	80	1	2	3	Обломки
256	327	90	1	1	2	
257	119	71	1	1	5	
258	5	62	2	2	5	Обломки
259	150	49	1	1	5	
260	305	80	1	1	4	
261	8	75	1	1	5	
262	10	66	1	1	1	
263	134	34	2	1	2	Обломки
264	0	60	1	1	5	
265	130	43	1	2	1	Обломки
266	250	76	1	1	5	
267	176	65	1	1	1	
268	130	39	1	1	2	Обломки
269	134	57	1	1	5	
270	127	78	1	1	1	
271	118	64	1	1	3	
272	27	31	1	1	5	
273	110	56	1	2	4	
274	124	52	1	2	4	
275	42	84	1	1	5	
276	130	61	1	2	4	Обломки
277	135	41	1	2	4	Обломки,кварц.
278	146	58	1	2	2	Обломки,кварц.
279	350	70	1	1	1	г/оFe
280	70	81	1	1	5	
281	221	76	1	1	5	
282	251	76	1	1	5	
283	167	43	1	1	2	Обломки

284	188	82	1	1	1	
285	252	59	1	1	1	
286	137	46	1	1	5	
287	176	37	1	2	3	Обломки
288	353	79	1	1	5	
289	84	86	1	1	5	
290	128	38	2	1	1	Обломки
291	343	35	1	1	2	
292	338	34	1	1	5	
293	225	64	1	1	5	
294	326	36	1	2	5	
295	144	36	1	2	1	
296	145	35	1	2	2	Обломки
297	345	74	1	1	5	
298	126	49	1	1	2	Обломки
299	10	47	2	1	5	
300	19	38	1	1	5	

Станция 4

300 м от т. н. 08-808 вниз по правому берегу р. М. Ханмей. Габбро крупнозернистое, слабо полосчатое, эпидотизированное.

Крупное обнажение, протягивающееся от уреза воды до верха крутого обрывистого берега.

В геологическом отношении габбро залегает в палеоокеаническом секторе и относится к конгорскому комплексу. Оно обнажается после гипербазитовой протрузии, фиксирующей контакт палеоконтинентального и палеоокеанического блоков. Непосредственно в контакте габбро картируется в составе протрузии, образуя прослои мощностью от нескольких метров до первых сантиметров (комплекс параллельных даек).

Станция расположена в 300 м от северного континента протрузии, где серпентинитов уже не отмечается.

В обнажении широко проявлена эпидотизация, развиваясь по трещинам и придавая породам характерный зеленый оттенок.

Породы интенсивно трещиноваты. Трещины большей частью короткие, с неровной поверхностью, четкого рассланцевания не прослеживается.

№№ пп	Аз. падения	Угол пад.	Форма	Длина	Мощность	Минерал. заполнение
1	217	16	1	1	5	
2	20	32	1	1	5	
3	197	27	1	1	5	
4	185	28	2	1	1	
5	197	34	2	1	5	
6	192	27	1	1	5	
7	120	82	2	1	5	
8	173	0	1	1	1	
9	130	84	2	1	1	
10	169	33	1	1	5	Обломки
11	300	25	1	1	5	Обломки
12	216	29	1	1	5	
13	216	42	1	1	5	
14	231	76	2	1	5	
15	227	26	1	1	1	
16	229	50	2	1	1	Обломки
17	102	84	1	1	1	Обломки

18	256	72	2	1	1	
19	243	84	2	1	5	
20	198	77	1	1	1	Обломки
21	227	74	1	1	1	
22	202	70	1	1	5	Обломки
23	186	64	1	1	1	
24	250	79	2	1	5	Обломки
25	212	66	1	1	5	Обломки
26	255	85	2	1	5	
27	214	86	2	1	1	
28	255	87	1	1	1	Обломки
29	259	74	2	1	5	Обломки
30	235	76	1	1	1	
31	223	62	2	1	1	
32	203	61	2	1	1	
33	194	64	2	1	5	
34	249	8	1	1	1	Обломки
35	194	87	2	1	1	
36	255	3	2	1	1	
37	250	2	1	1	1	
38	243	70	1	1	1	
39	303	14	1	1	2	Обломки
40	61	80	1	1	3	Обломки,г/оFe
41	55	71	1	1	5	
42	133	45	1	1	4	Обломки
43	51	64	1	1	5	
44	121	60	1	1	2	
45	210	78	1	1	5	Обломки
46	181	77	1	1	5	
47	295	35	2	2	1	Обломки,эпидот
48	52	40	1	1	5	
49	15	29	1	1	1	
50	208	84	1	1	2	Обломки
51	10	20	1	1	5	
52	200	82	1	1	1	Обломки
53	212	69	1	1	5	
54	341	82	1	1	2	Обломки
55	120	65	1	1	5	
56	341	72	1	1	5	Обломки
57	33	66	1	1	5	
58	130	63	2	2	2	Обломки
59	201	83	1	1	5	
60	148	73	1	1	1	
61	333	51	1	2	2	Обломки,г/оFe
62	172	84	1	1	5	
63	70	77	1	2	2	Обломки
64	137	32	1	1	5	
65	48	87	1	1	3	Обломки
66	61	21	1	1	1	

67	177	74	1	1	5	
68	335	63	2	1	5	
69	38	11	2	1	5	
70	145	58	2	2	1	Эпидот
71	84	27	2	1	1	Обломки
72	90	60	1	1	5	
73	181	50	1	1	5	Обломки
74	211	69	2	1	1	Обломки
75	220	85	2	1	2	
76	192	71	1	1	5	
77	250	65	1	1	1	
78	243	10	1	1	1	
79	143	69	1	1	1	
80	330	60	1	2	5	Обломки
81	258	57	1	1	5	Обломки
82	240	85	1	1	1	
83	230	78	2	1	1	
84	194	77	1	1	1	Обломки
85	239	74	1	1	5	
86	246	32	1	1	1	Обломки
87	194	72	2	1	1	
88	263	71	1	1	1	
89	233	88	1	1	5	
90	224	35	1	1	1	Обломки
91	231	24	1	1	1	
92	312	54	1	2	5	Обломки
93	232	23	1	1	1	Обломки
94	222	77	1	1	5	
95	248	4	2	1	1	
96	242	59	1	1	1	
97	184	86	1	1	1	
98	186	75	1	1	1	
99	230	4	2	1	1	
100	194	42	1	1	1	
101	225	87	1	1	5	Обломки
102	223	10	1	1	1	Обломки
103	194	72	2	1	5	
104	318	76	2	1	5	Обломки
105	252	74	2	1	1	
106	244	13	1	1	1	
107	226	78	1	1	5	
108	187	65	1	1	1	
109	196	10	1	1	3	Обломки
110	272	15	1	1	5	Обломки
111	220	16	1	1	1	
112	310	51	1	1	5	Обломки
113	280	62	2	1	5	
114	255	4	1	1	1	Обломки
115	176	78	2	1	1	

116	94	70	1	2	1	Обломки,г/оFe
117	27	66	1	1	5	г/оFe
118	89	70	1	1	3	Обломки,г/оFe
119	120	65	1	1	5	
120	28	55	1	1	5	
121	231	66	1	2	2	Обломки,г/оFe
122	151	58	1	1	5	
123	169	82	1	1	5	
124	261	78	1	1	1	
125	90	67	1	2	5	
126	318	43	1	1	1	Обломки
127	37	71	1	1	1	Обломки
128	105	62	1	2	3	
129	98	61	1	2	1	Обломки
130	18	29	2	1	5	
131	87	67	1	1	2	Обломки,г/оFe
132	25	36	1	2	5	
133	216	70	1	2	2	Обломки,г/оFe
134	81	62	1	2	2	Обломки,г/оFe
135	211	82	2	1	1	
136	44	74	2	1	1	
137	339	29	2	1	2	Обломки
138	175	77	1	1	5	
139	266	82	1	2	1	Обломки
140	222	72	1	1	1	
141	45	14	1	1	2	Обломки,г/оFe
142	81	55	1	1	5	
143	159	74	2	1	1	Обломки
144	66	64	1	1	5	
145	20	30	1	1	5	
146	80	78	1	1	3	Обломки
147	333	35	2	1	2	Обломки
148	58	83	1	1	2	г/оFe
149	356	84	1	1	1	Обломки,г/оFe
150	226	84	1	1	3	Обломки
151	170	65	1	1	1	Обломки
152	17	21	1	1	1	Обломки
153	29	72	1	1	4	г/оFe
154	18	73	1	1	1	
155	134	65	1	1	5	
156	35	81	1	1	3	г/оFe
157	63	13	1	1	5	г/оFe
158	264	84	2	1	1	
159	202	80	1	1	1	г/оFe
160	93	18	1	1	1	
161	42	85	1	1	1	
162	87	69	1	1	5	г/оFe
163	148	68	1	1	2	Обломки
164	111	71	1	1	1	г/оFe

165	24	84	1	1	2	г/оFe
166	32	59	1	1	5	Эпидот
167	38	54	1	1	1	
168	145	72	1	1	2	
169	33	61	1	1	1	
170	12	52	1	1	1	
171	156	82	1	1	2	Обломки
172	352	33	1	1	1	
173	52	73	1	1	2	Обломки
174	19	49	1	1	5	
175	16	56	1	1	1	Эпидот
176	18	56	1	1	1	Эпидот
177	14	57	1	1	5	Эпидот
178	15	70	1	2	1	Эпидот
179	23	4	1	1	5	
180	357	82	1	1	3	Обломки
181	255	69	1	1	1	г/оFe
182	116	69	1	1	1	г/оFe
183	128	6	1	1	1	г/оFe
184	141	4	1	1	1	г/оFe
185	99	66	1	1	1	г/оFe
186	20	52	1	1	1	г/оFe
187	95	69	1	1	2	г/оFe
188	116	52	1	1	1	г/оFe
189	205	52	1	1	2	Эпидот
190	184	56	1	1	1	Эпидот
191	14	53	1	1	5	Эпидот
192	110	48	1	1	2	г/оFe
193	168	75	1	1	2	Эпидот
194	6	64	2	1	1	Эпидот
195	19	71	2	1	1	г/оFe
196	12	67	1	1	5	г/оFe
197	118	54	1	2	1	г/оFe
198	59	57	1	1	1	
199	21	86	1	1	2	г/оFe
200	111	48	1	1	2	г/оFe
201	14	51	1	1	2	г/оFe
202	165	34	1	1	2	г/оFe
203	154	52	1	1	2	г/оFe
204	136	68	1	1	1	Эпидот
205	114	54	2	1	5	Эпидот
206	101	56	1	1	3	г/оFe
207	3	63	2	1	1	
208	13	64	2	1	1	
209	209	76	1	1	1	
210	49	4	1	1	1	
211	209	52	1	1	2	
212	215	80	1	1	2	Эпидот
213	211	66	1	1	1	Эпидот

214	345	83	1	1	1	Эпидот
215	226	81	1	1	2	Обломки
216	161	88	1	1	1	г/оFe
217	214	62	1	1	1	
218	54	47	1	1	1	
219	67	34	1	1	1	г/оFe
220	123	59	1	1	2	Обломки
221	37	42	2	1	2	Обломки
222	28	66	1	1	4	г/оFe
223	221	44	1	1	1	г/оFe
224	228	39	1	1	3	Обломки
225	47	72	1	1	5	Эпидот
226	9	66	1	1	4	Обломки
227	216	85	2	1	4	Эпидот
228	292	61	1	1	1	Обломки
229	104	23	1	1	3	г/оFe
230	131	59	2	1	1	
231	220	51	1	1	1	г/оFe
232	31	61	1	1	1	г/оFe
233	158	59	1	1	3	Обломки
234	104	83	1	1	5	г/оFe
235	0	39	1	1	1	г/оFe,эпидот
236	353	38	1	1	3	г/оFe,эпидот
237	56	72	1	1	1	г/оFe
238	348	8	1	1	1	г/оFe
239	10	52	2	1	1	г/оFe
240	18	43	2	1	1	
241	19	47	2	1	1	г/оFe
242	21	18	1	1	1	г/оFe
243	4	53	1	1	1	г/оFe
244	30	62	1	1	1	г/оFe
245	18	84	2	1	2	Обломки
246	309	45	1	1	5	г/оFe
247	234	38	1	1	2	Обломки
248	126	52	2	1	4	Обломки
249	86	19	2	1	5	г/оFe
250	183	65	1	2	1	
251	14	52	2	1	1	Эпидот
252	204	64	2	1	5	
253	37	68	1	1	1	г/оFe
254	188	60	1	1	1	
255	140	62	1	1	1	Обломки
256	26	57	1	1	2	Обломки
257	95	50	1	1	1	
258	108	59	1	1	1	
259	56	77	1	1	1	
260	59	87	2	1	2	Обломки
261	127	48	1	1	1	
262	48	87	2	1	1	

263	355	39	2	1	1	
264	7	74	1	1	3	Обломки
265	52	61	1	1	1	
266	359	84	2	1	1	
267	127	65	2	1	1	
268	121	64	2	1	2	Обломки
269	118	61	2	1	1	
270	109	54	1	1	1	Эпидот
271	14	66	2	1	1	
272	264	85	1	1	1	Эпидот
273	21	64	1	1	2	Обломки
274	29	53	1	1	5	Эпидот
275	174	74	1	1	1	Эпидот
276	9	41	2	1	1	
277	61	86	1	1	2	г/оFe
278	121	71	1	1	1	
279	107	62	1	1	1	
280	62	78	2	1	1	
281	54	49	1	1	5	г/оFe
282	104	62	1	1	2	г/оFe
283	127	38	1	1	1	г/оFe
284	122	58	1	2	2	г/оFe
285	238	67	1	2	2	Обломки
286	112	50	1	1	5	г/оFe
287	113	69	1	1	2	Обломки
288	116	69	1	1	2	Обломки
289	59	77	1	1	2	г/оFe
290	123	62	1	1	3	Обломки
291	122	64	1	1	1	Эпидот
292	66	76	1	1	2	Обломки
293	245	76	1	1	2	
294	117	61	1	1	2	Обломки
295	127	64	1	1	1	
296	337	23	1	1	1	г/оFe
297	56	86	2	1	1	
298	98	5	1	1	2	г/оFe
299	122	71	1	1	1	
300	26	39	2	1	1	Эпидот

Станция 5

Зона контакта палеоокеанического и палеоконтинентального секторов. Метаморфиты ханмейшорской свиты, представленные в приконтактовой зоне очковыми амфиболитами с характерными идиоморфными зернами плагиоклаза.с вкрапленностью гранатов и пирита. В зоне контакта породы превращены в тектонические хлоритовые сланцы, за которыми обнажается протрузия серпентинитов сложного строения, включающая тела габбро разной мощности – от первых сантиметров до нескольких метров.

В рельефе правого берега р. М. Ханмей обнажение образует глубоко врезанный в берег выступ.

Замеры тращиноватости сделаны в средней части левого борта выступа.

Среди серпентинитов и габбро развиты зоны сульфидной минерализации, представленной пиритом. Местами она приобретает вид массивных скрытокристаллических и тонкозернистых руд колчеданного облика.

№№пп	Азимут падения	Угол падения	Форма	Длина	Мощность	Минеральное заполнение
1	298	73	1	1	1	Обломки
2	338	73	2	1	5	
3	286	56	2	1	1	
4	135	60	2	1	1	
5	174	49	1	1	5	
6	354	57	2	1	5	
7	9	59	2	1	1	Обломки
8	153	42	1	1	1	
9	295	16	1	1	1	Обломки
10	332	38	1	1	1	Обломки
11	354	26	1	1	1	Обломки
12	27	328	1	1	1	Обломки
13	3	42	1	1	1	
14	303	82	1	1	1	
15	345	56	1	1	2	Обломки
16	314	62	1	1	1	
17	4	67	2	1	1	
18	303	79	1	1	1	
19	308	86	1	1	2	
20	328	86	1	1	2	
21	10	58	1	1	2	г/оFe
22	114	85	1	1	5	г/оFe
23	155	40	1	1	5	г/оFe
24	19	80	1	1	2	г/оFe
25	156	68	1	1	2	г/оFe
26	148	23	1	1	1	г/оFe
27	213	88	1	2	2	г/оFe
28	151	32	1	1	5	
29	121	84	1	1	5	Обломки
30	48	52	1	1	2	
31	121	52	2	2	3	г/оFe,обломки
32	17	74	2	1	2	г/оFe
33	145	47	1	1	5	г/оFe
34	161	38	1	1	5	г/оFe
35	118	86	1	1	5	г/оFe
36	194	71	1	1	5	г/оFe
37	59	70	1	1	1	г/оFe
38	181	78	1	1	1	г/оFe
39	194	37	1	1	5	
40	191	84	1	1	2	
41	344	63	1	1	4	
42	168	40	2	1	1	
43	191	67	1	1	1	
44	195	74	1	1	1	
45	171	36	1	1	5	
46	100	69	1	1	1	
47	15	26	1	2	5	
48	23	27	1	1	2	
49	344	58	2	1	5	
50	256	51	1	1	5	
51	298	39	1	1	1	

52	344	47	1	1	1	Обломки
53	29	57	2	1	1	Обломки
54	20	74	2	1	1	Обломки,г/оFe
55	24	53	1	1	1	Обломки
56	273	77	1	1	1	
57	271	72	2	1	1	Обломки
58	0	69	2	1	1	
59	274	68	2	1	1	
60	350	75	2	1	5	Обломки
61	8	76	1	1	1	
62	44	54	1	1	5	Обломки
63	6	74	1	1	1	
64	340	79	2	1	1	
65	30	49	2	1	5	Обломки
66	287	83	1	1	1	
67	68	42	1	1	1	
68	3	85	2	1	5	Обломки
69	307	82	2	1	5	
70	328	89	1	1	1	
71	340	52	1	1	1	
72	279	77	1	1	1	Обломки
73	319	45	1	1	5	Обломки
74	12	43	1	1	5	Обломки
75	8	47	1	1	1	
76	10	52	1	1	5	
77	301	66	1	2	2	
78	41	86	1	1	2	г/оFe
79	180	81	1	1	5	г/оFe
80	244	14	1	1	5	г/оFe
81	4	66	2	1	5	г/оFe
82	214	59	1	1	1	г/оFe
83	176	75	1	1	5	
84	218	22	2	1	2	
85	119	50	1	1	5	
86	205	71	1	1	1	
87	128	36	1	1	5	
88	105	56	1	1	1	
89	118	90	2	1	5	
90	90	42	1	1	2	
91	136	22	1	1	1	
92	32	77	1	2	2	
93	300	60	2	1	5	
94	312	67	2	1	1	
95	249	54	1	1	1	
96	165	50	1	1	1	
97	299	56	1	1	1	
98	270	76	1	1	1	
99	237	75	1	1	1	г/оFe
100	326	87	1	1	1	Обломки
101	279	54	1	1	1	г/оFe
102	245	69	1	1	1	г/оFe
103	253	67	1	1	1	г/оFe
104	256	45	1	1	1	Обломки
105	256	67	2	1	1	Обломки,г/оFe
106	305	55	1	1	1	г/оFe,обломки
107	260	45	1	1	1	Обломки
108	264	70	1	1	1	

109	286	82	1	2	1	г/оFe,обломки
110	307	66	1	1	5	Обломки
111	296	80	1	1	5	Обломки
112	347	72	2	1	5	Обломки
113	5	67	1	2	5	г/оFe,обломки
114	297	75	2	2	5	Обломки
115	155	56	1	2	5	г/оFe
116	33	84	1	2	5	г/оFe
117	20	78	1	1	2	
118	164	42	1	2	5	г/оFe
119	263	62	2	1	5	
120	128	57	2	1	2	
121	30	70	1	2	1	
122	106	59	1	2	5	
123	34	80	1	2	1	
124	173	58	1	1	5	
125	126	34	1	1	5	
126	20	76	1	1	1	Обломки
127	223	50	1	1	1	
128	189	62	1	2	2	
129	165	63	1	1	1	г/оFe
130	304	79	1	1	5	
131	191	57	2	1	5	
132	181	58	1	1	1	
133	145	74	1	1	5	г/оFe
134	137	60	2	1	5	г/оFe
135	151	42	2	1	5	
136	53	69	2	1	2	Обломки
137	92	63	1	1	2	
138	79	85	2	1	1	г/оFe
139	55	71	2	1	5	Обломки
140	322	61	2	1	5	Обломки
141	303	57	1	1	1	
142	279	60	2	1	1	Обломки
143	249	53	1	1	5	Обломки
144	268	61	2	1	5	Обломки
145	327	49	1	1	1	Обломки
146	235	57	1	2	1	
147	336	74	1	1	1	г/оFe
148	106	77	2	1	1	г/оFe,обломки
149	270	53	1	1	1	Обломки
150	253	80	1	1	5	г/оFe,обломки
151	333	82	2	1	1	
152	297	89	2	1	1	г/оFe
153	71	69	1	1	5	
154	174	60	1	1	5	
155	86	88	2	2	1	
156	222	28	1	1	1	
157	160	31	1	1	5	
158	358	78	1	1	2	Обломки
159	322	72	1	1	3	Обломки
160	224	88	1	1	2	Обломки
161	178	59	1	1	2	Обломки
162	175	70	1	1	2	Обломки
163	289	31	1	1	2	Обломки
164	242	64	2	1	2	Обломки
165	172	84	1	1	2	Обломки

166	182	79	1	1	4	Обломки
167	111	59	1	1	1	г/оFe
168	273	57	1	1	1	
169	3	79	1	1	2	Обломки
170	339	70	1	1	2	
171	285	82	1	1	3	Обломки
172	177	64	1	1	3	Обломки
173	354	69	1	1	2	
174	17	63	1	1	2	Обломки
175	208	51	1	1	3	Обломки
176	145	25	1	1	2	г/оFe
177	281	81	1	2	2	Обломки
178	136	24	1	1	3	Обломки
179	350	82	1	1	2	Обломки
180	354	84	1	1	2	Обломки
181	138	36	1	1	2	Обломки
182	146	77	1	1	2	Обломки
183	68	89	1	1	3	г/оFe,эпидот
184	337	73	1	1	1	
185	146	60	1	1	2	Обломки
186	319	47	1	1	2	Обломки
187	166	37	1	1	1	
188	267	75	1	1	1	
189	283	74	1	1	1	
190	305	76	1	1	1	
191	283	74	1	1	1	
192	285	64	1	1	1	
193	264	85	2	1	1	
194	45	60	1	1	5	
195	280	81	1	1	1	г/оFe
196	346	70	1	1	1	г/оFe
197	139	43	1	1	1	г/оFe
198	260	77	1	1	1	г/оFe
199	290	80	1	1	1	г/оFe
200	15	59	2	1	2	г/оFe
201	299	54	1	2	3	г/оFe,обломки
202	291	73	1	1	1	г/оFe,роговая обманка
203	295	63	1	1	1	г/оFe
204	210	48	1	1	2	г/оFe
205	348	59	1	1	2	г/оFe
206	296	62	1	1	1	г/оFe,роговая обманка
207	190	75	2	1	2	г/оFe,обломки
208	284	51	1	1	1	г/оFe,Роговая обманка
209	110	40	1	1	5	г/оFe,роговая обманка
210	319	50	1	1	1	г/оFe,роговая обманка
211	327	71	1	1	1	
212	340	70	2	1	2	
213	335	75	1	2	3	Обломки
214	338	71	2	1	3	Обломки
215	343	70	1	1	2	
216	197	64	1	1	2	Обломки,г/оFe,Роговая обманка
217	178	66	1	1	2	г/оFe,роговая обманка
218	152	88	1	1	1	г/оFe,роговая обманка
219	128	46	1	1	1	г/оFe
220	231	61	2	1	2	г/оFe
221	261	62	1	1	2	г/оFe,обломки

222	357	81	1	1	2	г/оFe
223	82	67	1	1	1	г/оFe,обломки
224	166	51	1	1	1	г/оFe
225	168	36	1	1	2	г/оFe
226	148	66	1	1	1	г/оFe,обломки
227	173	73	1	1	1	г/оFe,роговая обманка
228	74	53	1	1	2	г/оFe,
229	127	53	1	1	5	Эпидот
230	284	36	1	1	2	Обломки
231	29	44	1	1	2	г/оFe,Роговая обманка
232	231	77	1	2	2	г/оFe,роговая обманка
233	300	78	1	1	1	г/оFe
234	279	74	1	1	1	
235	174	38	1	1	1	г/оFe
236	182	53	1	1	1	г/оFe,роговая обманка
237	244	74	1	1	2	г/оFe
238	92	31	1	1	1	г/оFe,роговая обманка
239	246	73	1	1	2	
240	168	72	1	1	2	г/оFe,роговая обманка
241	174	47	1	1	2	Роговая обманка
242	269	69	1	1	2	Роговая обманка
243	174	69	1	1	3	г/оFe,роговая обманка
244	251	58	1	1	2	Обломки
245	81	60	1	1	5	
246	182	42	1	1	1	
247	243	75	1	1	1	
248	290	84	1	2	1	
249	129	81	1	2	2	
250	350	52	1	1	1	г/оFe
251	278	65	1	1	1	Роговая обманка
252	109	55	1	1	1	г/оFe
253	297	76	1	1	2	Роговая обманка
254	295	68	1	1	1	г/оFe
255	106	85	2	1	5	г/оFe
256	158	37	1	1	2	г/оFe
257	39	79	2	1	2	Роговая обманка
258	54	74	1	1	2	Роговая обманка
259	309	70	1	1	3	Роговая обманка
260	151	42	1	1	2	г/оFe
261	258	44	1	1	2	Роговая обманка
262	45	69	1	1	1	г/оFe
263	276	59	1	1	1	г/оFe
264	67	81	1	1	1	Роговая обманка
265	76	71	1	1	1	г/оFe
266	80	69	1	1	1	Роговая обманка
267	79	80	1	1	1	г/оFe
268	284	68	1	1	1	
269	256	79	1	1	2	г/оFe
270	239	71	2	1	1	Роговая обманка
271	100	74	1	1	1	
272	295	76	1	1	2	г/оFe
273	129	76	1	1	1	г/оFe
274	41	67	1	1	1	
275	180	39	1	1	5	г/оFe
276	200	46	1	1	1	г/оFe
277	260	50	1	1	1	г/оFe
278	251	49	2	1	1	г/оFe

279	319	52	2	1	2	г/оFe
280	327	46	1	1	1	Обломки
281	336	17	1	1	1	г/оFe
282	328	89	2	1	1	г/оFe,обломки
283	48	70	1	1	1	г/оFe
284	346	47	1	1	1	г/оFe
285	269	80	1	1	1	Обломки
286	297	86	1	1	1	г/оFe
287	301	42	2	1	5	Обломки
288	247	41	1	1	1	Обломки
289	12	63	2	1	5	Обломки
290	284	23	2	1	1	Обломки
291	280	47	2	1	5	Обломки
292	276	62	2	1	5	
293	303	51	1	1	5	Обломки
294	276	80	1	1	5	Обломки
295	313	55	1	1	5	Обломки
296	240	74	2	1	1	г/оFe
297	229	87	2	1	1	
298	310	85	2	1	5	Обломки
299	311	84	2	1	5	
300	345	40	1	1	1	

Станция 6

В приконтактовой зоне палеоокеанического сектора субмеридиональный разлом, по которому протекает р. М. Ханмей, разделяет габбро конгорского комплекса с амфиболитами ханмейхойской свиты.

Породы интенсивно рассланцованы, элементы залегания сланцеватости аз. падения 100, угол 67.

Амфиболиты залегают в переслаивании с кварцитогнейсами, мощность которых от первых сантиметров до десятков сантиметров.

Согласно рассланцеванию располагается кварцевые и кварц-полевошпатовые жилы мощностью до 10-15 см, как правило, невыдержанной мощности, разбудинированные.

№№пп	Азимут падения	Угол падения	Форма	Длина	Мощность	Минеральные заполнения
1	104	66	1	1	4	Обломки
2	86	37	1	1	5	г/оFe
3	107	67	2	2	3	г/оFe
4	181	29	1	1	5	
5	125	41	1	1	2	
6	176	31	1	1	5	г/оFe
7	100	59	1	2	4	г/оFe,кварц
8	66	14	1	1	5	г/оFe
9	162	34	1	1	5	г/оFe
10	94	62	1	1	1	г/оFe
11	193	1	1	1	5	г/оFe
12	0	41	2	1	1	г/оFe
13	5	47	2	1	5	
14	114	67	2	1	2	Обломки,г/оFe
15	354	41	1	1	5	г/оFe
16	350	49	2	1	5	

17	349	24	2	1	5	
18	4	51	2	1	2	Обломки
19	114	69	2	1	5	г/оFe
20	125	42	2	1	1	Обломки,г/оFe
21	273	24	1	1	1	г/оFe
22	110	69	2	1	5	
23	49	14	1	2	5	г/оFe
24	200	16	1	1	1	г/оFe
25	3	46	2	2	3	Обломки,г/оFe
26	141	69	1	2	2	Обломки
27	113	69	2	2	5	Обломки,г/оFe
28	5	24	2	1	2	г/оFe
29	125	41	1	1	2	Обломки,г/оFe
30	0	54	2	1	5	г/оFe
31	105	71	2	2	1	Обломки,г/оFe
32	136	47	1	1	2	Обломки
33	176	47	1	2	4	Обломки
34	213	60	1	1	4	Обломки
35	354	26	2	2	5	
36	106	70	2	2	4	Обломки
37	285	28	1	1	5	Обломки,г/оFe
38	98	56	1	2	3	Обломки
39	104	64	1	2	1	г/оFe
40	285	84	1	2	1	г/оFe
41	282	89	1	1	4	Обломки,г/оFe
42	106	69	1	2	4	Обломки,г/оFe
43	226	64	1	1	5	г/оFe
44	93	77	1	1	1	г/оFe
45	109	68	1	2	1	г/оFe
46	4	32	1	1	5	г/оFe
47	319	3	1	1	5	г/оFe
48	96	63	1	1	3	Кварц,г/оFe
49	24	84	1	1	2	Обломки
50	109	62	1	1	4	Обломки
51	117	62	1	1	1	
52	113	67	2	2	2	Обломки
53	356	49	1	1	1	
54	358	24	1	2	1	г/оFe,кварц
55	299	66	1	1	1	
56	12	24	1	1	1	
57	0	23	2	1	1	
58	34	74	1	1	5	
59	101	73	1	2	4	Кварц
60	18	78	1	1	5	г/оFe
61	200	22	1	1	3	Обломки,г/оFe
62	337	38	1	1	5	г/оFe
63	216	66	1	1	1	г/оFe
64	185	36	1	1	1	
65	96	74	1	1	5	
66	112	62	1	1	2	г/оFe
67	141	64	1	1	4	Обломки
68	108	66	1	1	1	г/оFe
69	114	64	2	1	3	Кварц,г/оFe
70	4	37	2	2	2	Обломки
71	271	84	1	1	2	Кварц,г/оFe
72	107	66	1	1	1	Кварц,г/оFe
73	116	64	2	1	3	г/оFe

74	121	65	1	1	4	Кварц,г/оFe
75	1	14	1	2	5	г/оFe
76	126	55	1	2	4	г/оFe,Обломки
77	359	54	2	1	1	Обломки
78	352	64	1	1	2	Обломки
79	257	53	1	1	5	
80	336	66	1	1	5	Обломки
81	349	68	1	1	5	г/оFe
82	258	67	1	1	5	г/оFe,
83	241	34	1	1	5	
84	111	67	1	2	2	г/оFe,Обломки
85	5	66	2	1	2	г/оFe,Обломки
86	241	62	1	1	5	
87	113	66	2	1	1	
88	356	50	1	1	5	г/оFe
89	3	35	1	1	5	
90	143	68	1	1	1	
91	204	70	2	1	5	г/оFe
92	107	68	2	1	1	г/оFe
93	352	36	1	1	1	г/оFe
94	100	69	1	2	1	
95	329	43	2	1	1	г/оFe,Обломки
96	0	67	1	1	5	г/оFe
97	1	31	1	1	5	
98	237	35	2	1	1	
99	113	66	1	2	2	Обломки
100	296	54	1	1	3	г/оFe
101	1	74	1	1	5	г/оFe
102	281	18	1	1	5	г/оFe
103	117	75	1	1	2	г/оFe,Обломки
104	345	62	1	1	5	г/оFe
105	357	24	1	1	5	
106	191	70	1	1	1	Обломки
107	333	69	1	1	5	г/оFe
108	106	69	1	2	1	г/оFe
109	105	65	1	1	5	г/оFe
110	356	69	2	1	2	Обломки
111	113	61	1	2	2	г/оFe
112	105	74	1	2	2	Обломки
113	102	73	1	1	1	Обломки
114	14	85	1	2	3	г/оFe
115	15	86	1	1	2	Обломки,г/оFe
116	195	81	1	2	4	Обломки
117	201	32	1	1	5	
118	113	68	1	2	3	Кварц
119	109	66	1	1	2	
120	125	27	1	1	5	
121	182	71	1	1	5	г/оFe
122	216	46	1	1	2	г/оFe
123	119	68	1	1	2	г/оFe
124	261	41	1	1	2	Обломки
125	117	59	2	2	2	Обломки
126	114	58	1	1	3	Обломки
127	108	71	1	1	4	Кварц
128	23	64	1	1	5	
129	2	59	1	1	2	Обломки
130	108	66	1	2	2	Обломки,г/оFe

131	110	67	1	1	1	г/оFe
132	117	63	2	2	3	Обломки
133	103	75	2	1	2	Обломки
134	213	67	2	1	1	
135	207	86	2	1	2	г/оFe
136	169	72	1	1	3	г/оFe
137	356	35	1	1	5	г/оFe
138	164	61	1	1	1	г/оFe
139	45	77	1	1	2	Обломки
140	2	26	1	1	2	
141	19	68	1	1	2	Обломки,г/оFe
142	118	53	1	2	2	Кварц
143	110	64	1	2	3	Обломки
144	112	57	1	1	1	
145	207	58	1	1	1	г/оFe
146	137	51	1	1	2	г/оFe
147	103	52	1	2	2	Обломки
148	96	48	1	2	4	г/оFe,кварц
149	111	62	1	1	5	г/оFe
150	5	18	1	1	5	г/оFe
151	319	74	1	1	1	г/оFe
152	3	64	1	1	5	
153	231	65	1	1	1	г/оFe
154	282	76	1	1	1	г/оFe
155	3	59	1	1	1	Обломки
156	268	19	1	1	1	г/оFe
157	3	63	2	1	1	
158	121	22	1	1	5	
159	220	64	1	1	5	г/оFe
160	126	53	1	2	3	
161	121	63	1	2	1	г/оFe,Обломки
162	8	66	1	1	1	г/оFe,Обломки
163	41	41	1	1	5	г/оFe
164	116	60	1	2	1	г/оFe,Обломки
165	6	67	1	1	2	г/оFe,Обломки
166	214	74	1	1	2	Обломки
167	118	60	2	2	1	Обломки
168	297	52	1	1	5	г/оFe
169	45	83	1	1	5	
170	116	59	2	1	2	г/оFe,Обломки
171	171	28	1	1	5	г/оFe
172	281	11	1	1	5	г/оFe
173	114	80	1	1	1	г/оFe
174	0	72	1	1	5	
175	245	23	1	1	1	г/оFe
176	41	80	1	2	3	г/оFe,Обломки
177	114	47	1	2	4	Обломки,кварц
178	5	49	1	2	5	
179	110	66	1	2	2	г/оFe
180	348	87	1	2	2	Обломки
181	110	61	1	1	1	
182	344	79	2	1	1	г/оFe
183	8	61	1	1	5	г/оFe
184	347	74	2	1	5	г/оFe
185	112	60	1	2	1	г/оFe
186	151	58	1	1	2	Обломки
187	112	59	1	2	3	г/оFe,кварц

188	104	71	1	2	2	Обломки
189	171	56	1	1	2	г/оFe
190	117	74	1	1	2	Обломки,г/оFe
191	144	62	1	1	2	Обломки
192	8	81	1	1	2	Обломки
193	184	65	1	1	1	г/оFe
194	102	72	1	1	2	Обломки
195	238	25	1	1	1	г/оFe
196	119	64	1	2	2	Обломки
197	122	61	1	2	4	
198	210	26	1	1	1	
199	202	69	1	1	2	Обломки
200	10	66	1	1	3	Обломки
201	4	72	1	1	1	Обломки
202	104	67	1	2	2	Обломки
203	121	48	1	1	4	Кварц,г/оFe,кпш
204	12	46	2	1	1	
205	203	81	2	1	1	г/оFe
206	197	42	1	1	2	Обломки
207	204	83	2	1	2	
208	199	82	1	1	2	Обломки
209	14	76	1	1	2	Обломки
210	291	48	1	1	1	г/оFe
211	294	59	1	1	2	Обломки
212	9	53	1	1	2	Обломки
213	201	84	1	1	2	Обломки,г/оFe
214	116	69	1	1	1	Обломки
215	153	74	1	1	2	Обломки
216	164	41	1	2	2	Обломки
217	203	74	1	1	5	г/оFe
218	124	75	1	1	4	Кварц,кпш
219	143	33	1	1	2	Обломки
220	189	81	1	1	3	Обломки
221	147	16	1	2	3	Обломки
222	14	84	2	1	2	Обломки
223	15	24	1	2	2	г/оFe
224	199	63	1	1	2	г/оFe
225	110	59	2	1	2	Обломки
226	359	81	1	1	1	г/оFe,Обломки
227	110	59	1	1	2	Обломки
228	155	18	1	1	5	г/оFe
229	115	43	1	1	1	
230	22	76	1	1	5	г/оFe
231	197	6	1	1	2	
232	112	64	1	2	3	г/оFe,Обломки
233	19	11	1	1	5	г/оFe
234	326	29	1	1	5	г/оFe
235	8	23	1	1	5	
236	111	66	1	1	1	
237	17	86	1	1	3	г/оFe
238	12	18	1	1	5	
239	115	59	2	1	1	г/оFe,Обломки
240	11	81	1	1	1	г/оFe
241	201	72	1	1	1	
242	206	62	1	1	1	г/оFe
243	128	64	2	1	1	г/оFe
244	122	58	1	1	1	г/оFe

245	18	77	2	1	2	г/оFe
246	198	20	1	1	1	
247	176	12	1	1	5	г/оFe
248	113	61	1	1	2	г/оFe,Обломки
249	215	72	1	1	1	г/оFe
250	21	65	1	1	5	
251	225	38	1	1	2	Обломки
252	212	41	1	1	1	
253	109	65	2	1	1	г/оFe,Обломки
254	202	82	1	1	1	г/оFe,Обломки
255	24	67	1	2	1	Обломки
256	127	55	1	1	2	г/оFe,Обломки
257	216	82	1	1	5	
258	3	28	1	1	1	Обломки
259	23	75	2	1	1	г/оFe
260	289	80	1	2	4	Кварц
261	110	79	1	2	4	г/оFe,кварц
262	117	48	1	2	4	г/оFe,кварц
263	116	47	2	1	1	Кварц,кпш
264	206	60	1	1	2	
265	142	60	1	1	2	Обломки
266	201	69	1	1	2	Обломки
267	78	79	2	1	1	Обломки
268	215	68	1	2	5	
269	118	69	1	1	1	г/оFe
270	212	77	1	1	5	Обломки
271	73	22	1	1	1	г/оFe
272	224	51	1	1	5	
273	115	5	1	2	4	г/оFe
274	105	64	1	2	4	Кварц
275	96	71	1	1	3	Кварц
276	113	76	1	1	4	Кварц
277	38	79	1	1	2	
278	189	61	1	1	1	
279	116	57	1	2	4	Кварц
280	193	32	1	2	1	
281	349	20	2	2	4	Обломки
282	116	68	1	1	2	Обломки
283	348	41	2	2	2	Обломки
284	94	40	1	1	2	Обломки
285	106	46	1	2	4	Кварц
286	334	34	2	2	2	Обломки
287	16	84	1	1	1	
288	32	72	1	1	1	
289	113	71	2	2	2	Обломки
290	167	82	1	1	2	Обломки
291	14	79	1	1	2	Обломки
292	341	36	2	2	3	Обломки
293	202	44	1	1	2	Обломки
294	111	69	1	1	2	Обломки
295	322	34	2	2	1	Обломки
296	212	61	1	1	2	Обломки

Станция 7

Левобережье р. М. Ханмей, вершина с отметкой 334,0 м.

На вершине обнажается ряд разрозненных коренных выходов серпентинизированных гарцбургитов. Отдельные выходы имеют размеры до первых метров как в длину, так и в ширину и высоту, и располагаются в непосредственной близости друг от друга.

Породы интенсивно рассланцованы. Элементы залегания сланцеватости: азимут падения 140-150, угол падения 75-85.

Перидотиты слагают г. Няровеча и прилегающие к ней площади и относятся к конгорскому комплексу.

№№пп	Азимут падения	Угол падения	Форма	Длина	Мощность	Минеральные заполнения
1	173	12	1	1	3	
2	8	59	1	2	1	Обломки
3	231	73	1	1	3	
4	261	33	1	1	1	
5	286	76	1	2	1	Обломки
6	253	61	1	1	1	
7	238	8	1	1	2	
8	257	34	1	1	1	
9	47	71	1	1	1	
10	27	87	1	2	2	
11	128	49	1	1	2	
12	156	69	1	1	4	Обломки
13	6	78	1	1	1	
14	129	42	1	1	1	
15	293	79	1	2	4	Обломки
16	301	59	1	1	1	
17	104	58	1	1	1	
18	37	26	1	1	5	г/оFe
19	33	41	1	1	2	г/оFe
20	5	34	1	1	1	г/оFe
21	346	39	1	1	4	Обломки
22	332	51	1	1	1	г/оFe
23	313	61	1	1	5	
24	4	18	1	1	1	
25	317	34	1	1	1	
26	29	24	1	1	5	
27	18	26	1	1	2	Обломки
28	24	26	1	1	2	Обломки
29	312	59	1	1	2	Обломки
30	306	63	1	1	3	Обломки
31	20	14	1	1	5	Обломки
32	311	52	1	1	1	
33	31	13	1	2	1	
34	162	84	1	1	5	
35	33	23	1	2	2	
36	97	38	1	1	1	
37	114	9	1	1	1	
38	137	39	1	1	1	

39	54	17	1	2	1	
40	3	66	1	2	4	Обломки
41	39	86	1	1	1	Обломки
42	74	62	1	1	2	Обломки
43	111	48	1	1	1	
44	119	52	1	1	1	
45	157	59	1	2	3	Обломки
46	144	43	1	1	1	
47	99	61	1	1	1	
48	162	66	1	1	2	
49	158	53	1	2	2	Обломки
50	127	65	1	1	1	
51	123	42	1	1	2	
52	163	26	1	1	2	
53	203	19	1	2	4	Обломки
54	213	29	1	2	3	
55	187	53	1	1	1	
56	273	58	1	1	1	
57	103	48	1	1	1	
58	202	14	1	1	2	
59	243	72	1	1	3	Обломки
60	346	41	1	2	1	
61	276	29	1	1	1	
62	139	27	1	1	2	
63	126	41	1	1	1	
64	312	49	1	1	1	
65	347	66	1	1	2	
66	316	43	1	1	1	Обломки
67	182	64	1	1	1	
68	244	21	1	1	1	
69	315	63	1	1	1	
70	187	83	1	1	2	
71	301	49	1	1	1	
72	322	36	1	1	1	
73	293	32	1	1	1	
74	326	37	1	1	2	
75	301	54	1	1	2	Обломки
76	345	63	1	1	2	
77	73	53	1	1	5	
78	34	21	1	1	1	
79	240	34	1	1	2	Обломки
80	346	53	1	1	5	
81	4	41	1	1	3	Обломки
82	293	61	1	1	1	
83	342	52	1	1	5	
84	79	24	1	1	1	
85	319	64	1	1	1	
86	337	57	1	1	1	
87	144	85	1	1	4	Обломки
88	127	34	1	1	2	Обломки
89	152	74	1	1	1	
90	130	27	1	1	2	
91	128	59	1	1	1	
92	140	51	1	1	1	
93	343	49	1	1	4	Обломки
94	134	69	1	1	3	Обломки
95	343	58	1	1	1	

96	82	88	1	1	1	
97	209	75	1	1	5	
98	63	77	1	1	5	
99	7	73	1	1	1	
100	149	48	1	1	2	
101	140	57	1	1	1	
102	44	64	1	1	5	
103	147	36	1	1	1	
104	22	24	1	1	1	г/оFe
105	159	25	1	1	1	Обломки
106	153	63	1	1	2	
107	228	33	1	1	5	
108	138	43	1	1	2	г/оFe
109	145	46	1	1	5	
110	173	48	1	1	2	Обломки
111	160	74	1	1	1	
112	136	49	1	1	1	
113	88	73	1	1	1	
114	95	31	1	1	1	
115	123	56	1	1	1	Обломки
116	156	42	1	1	1	Обломки
117	163	67	1	1	1	Обломки
118	171	40	1	1	1	Обломки
119	175	52	1	1	1	
120	129	54	1	1	1	Обломки
121	161	51	1	1	1	
122	189	44	1	1	1	Обломки
123	176	33	1	1	1	Обломки
124	166	54	1	1	2	Обломки
125	166	71	1	1	1	
126	292	49	1	1	2	
127	223	77	1	1	2	
128	133	64	1	1	1	
129	149	47	1	1	1	
130	201	75	1	1	1	Обломки
131	112	54	1	1	1	Обломки
132	203	37	1	1	1	
133	292	69	1	1	1	
134	164	87	1	1	1	
135	334	74	1	1	1	
136	162	44	1	1	1	
137	325	27	1	1	2	Обломки
138	203	43	1	1	1	
139	149	47	1	1	1	
140	167	29	1	1	2	
141	115	10	1	1	1	
142	172	17	1	1	1	г/оFe
143	157	19	1	1	2	Обломки
144	164	45	1	1	5	
145	183	27	1	1	2	
146	29	43	1	1	2	
147	79	26	1	1	1	г/оFe
148	112	33	1	1	1	г/оFe
149	147	21	1	1	1	Обломки
150	99	36	1	1	1	
151	73	32	1	1	1	
152	49	22	1	1	1	

153	231	71	2	1	1	
154	225	64	1	1	1	
155	218	66	1	1	1	
156	254	78	1	1	1	
157	216	76	1	1	1	Обломки
158	218	71	1	1	1	
159	279	64	1	1	1	
160	260	64	1	1	5	
161	255	62	1	1	1	
162	296	44	1	1	5	
163	337	69	2	1	2	Обломки
164	216	74	1	2	1	
165	12	81	1	1	1	Обломки
166	19	79	1	1	1	
167	340	64	1	1	2	Обломки
168	299	48	1	1	2	
169	93	66	1	1	1	
170	214	53	1	1	5	
171	298	48	1	1	5	
172	93	58	1	1	1	
173	344	82	1	1	1	
174	326	72	1	1	1	
175	309	61	1	1	1	
176	315	65	1	1	1	
177	319	73	1	1	1	
178	2	40	1	1	1	Обломки
179	236	61	1	1	1	
180	274	74	1	1	2	Обломки
181	255	67	1	1	1	Обломки
182	345	81	1	1	1	
183	329	86	1	1	1	
184	246	51	1	1	1	
185	334	74	1	1	1	
186	323	52	1	1	2	Обломки
187	333	76	1	1	1	
188	48	26	1	2	4	
189	276	56	1	1	3	Обломки
190	116	56	1	1	3	Обломки
191	195	33	1	1	2	Обломки
192	89	51	1	1	1	
193	87	54	1	1	1	
194	161	22	1	1	1	Обломки
195	113	36	1	1	1	
196	128	53	1	1	1	
197	126	24	1	1	1	
198	176	64	1	1	1	
199	243	11	1	1	2	
200	146	84	1	1	5	
201	149	58	1	1	1	Обломки
202	164	48	1	1	1	
203	177	38	1	1	5	
204	156	35	1	1	1	
205	173	38	1	1	2	г/оFe
206	184	48	1	1	5	
207	192	43	1	1	2	
208	171	17	1	1	5	
209	93	54	1	1	1	

210	167	56	1	1	1	
211	196	49	1	1	5	
212	129	56	1	1	5	
213	182	47	1	1	1	
214	69	26	1	1	1	
215	73	36	1	1	1	
216	97	56	1	1	5	
217	113	7	1	1	5	
218	127	58	1	1	5	
219	146	38	1	1	1	
220	76	14	1	1	1	
221	147	54	1	1	5	
222	315	78	1	1	5	
223	164	13	1	1	1	
224	276	3	1	1	1	
225	218	432	1	1	5	
226	233	26	1	1	5	
227	296	3	1	1	3	г/оFe
228	192	12	1	1	1	
229	8	34	1	1	1	
230	39	31	1	1	1	
231	307	49	1	2	2	
232	267	36	1	1	5	
233	349	74	1	2	5	г/оFe
234	356	51	1	1	2	Обломки
235	267	66	1	1	1	
236	255	52	1	1	1	Обломки
237	51	38	1	2	3	Обломки
238	53	31	1	2	4	
239	47	34	1	1	1	
240	119	87	1	1	1	
241	131	59	1	1	1	
242	319	51	1	1	1	
243	14	33	1	1	1	г/оFe
244	24	37	1	2	1	Обломки
245	21	32	1	1	2	Обломки
246	353	51	1	1	1	
247	142	34	1	1	5	
248	100	3	1	1	1	
249	129	31	1	1	5	
250	355	56	1	2	4	Обломки
251	359	68	1	2	1	
252	342	86	1	2	3	Обломки
253	338	88	1	1	3	Обломки
254	109	3	1	1	1	
255	312	12	1	1	1	
256	5	16	1	1	1	г/оFe
257	354	70	1	2	2	Обломки
258	216	76	1	1	1	
259	74	14	1	1	1	
260	298	38	1	1	2	Обломки
261	2	44	1	1	1	г/оFe
262	23	25	1	1	4	Обломки
263	216	27	1	1	1	
264	318	46	1	2	1	
265	114	21	1	1	3	г/оFe
266	215	46	1	1	2	Обломки

267	276	52	1	1	5	
268	310	61	1	1	5	
269	79	27	1	1	1	
270	74	56	1	1	2	
271	112	67	1	1	5	
272	215	61	1	1	1	
273	194	82	1	1	1	
274	211	60	1	1	5	
275	262	67	1	1	5	
276	211	58	1	1	5	
277	303	44	1	1	1	
278	148	67	1	1	1	
279	262	72	1	1	1	
280	206	21	1	1	1	
281	224	12	1	1	1	
282	146	58	1	1	1	
283	103	62	1	1	1	
284	192	43	1	1	5	
285	189	10	1	1	1	
286	163	67	1	1	2	
287	142	42	1	1	1	г/оFe
288	121	36	1	1	1	
289	136	49	1	1	5	
290	141	51	1	1	1	
291	234	41	1	1	1	
292	311	32	1	1	2	
293	203	75	1	1	1	
294	136	43	1	1	1	
295	134	45	1	1	1	г/оFe
296	172	15	1	1	1	
297	172	8	1	1	1	
298	138	24	1	1	2	
299	96	13	1	1	2	
300	73	26	1	1	1	г/оFe

СТАНЦИЯ 8

160 м от слияния реки Малый Ханмей и ручья Евъюган вниз по левому берегу реки Малый Ханмей ,напротив Евъюганского проявления, расположенного нп противоположном берегу.

Крупный коренной скальный выход амфиболитов, в коренных выделяется несколько зон интенсивно ожелезненнйх пород мощности до 20 см, однако видимой рудной минерализации не установлено.

Элементы залегания сланцеватости: Азимут падения 153,угол падения 61.

№№ПП	Азимут падения	Угол падения	Форма	Длина	Мощность	Минеральные заполнения

1	126	41	1	1	5	
2	133	44	1	1	2	
3	69	57	1	1	1	
4	106	8	1	1	1	
5	128	71	1	1	5	г/оFe
6	172	28	1	1	1	г/оFe
7	123	84	1	1	1	г/оFe
8	106	49	1	1	2	
9	117	44	1	1	1	г/оFe
10	76	5	1	1	2	Обломки
11	113	63	1	1	1	
12	145	54	1	1	5	
13	94	22	1	1	2	Обломки
14	315	36	1	1	5	
15	213	17	1	1	1	
16	72	36	1	1	1	Обломки
17	129	74	1	1	1	Обломки
18	24	38	1	1	5	г/оFe
19	96	64	1	1	1	
20	82	31	1	1	2	Обломки
21	63	44	1	1	2	г/оFe
22	58	39	1	1	3	г/оFe
23	96	66	1	1	1	
24	91	57	1	1	1	
25	57	41	1	1	3	г/оFe
26	112	67	1	1	2	
27	73	4	1	1	2	
28	69	8	1	1	1	г/оFe
29	132	77	1	1	5	
30	78	53	1	1	1	г/оFe
31	87	44	1	1	5	
32	73	47	1	1	1	г/оFe
33	76	72	1	1	2	г/оFe
34	59	47	1	1	2	
35	64	58	1	1	3	г/оFe
36	52	47	1	1	1	
37	112	3	1	1	3	г/оFe
38	224	69	1	1	2	Обломки
39	108	45	1	1	2	Обломки
40	114	54	2	2	2	Обломки
41	120	34	2	2	2	Обломки
42	144	58	2	2	1	
43	335	81	1	1	2	г/оFe
44	121	66	1	1	2	г/оFe
45	18	66	1	1	2	Обломки
46	254	69	1	1	1	
47	247	69	2	1	1	
48	4	76	1	1	2	
49	134	37	1	1	2	Обломки

50	348	74	2	1	2	Обломки
51	155	76	1	1	2	Обломки
52	75	34	1	1	4	Обломки,Кварц
53	87	47	1	1	4	Обломки,Кварц
54	323	69	1	1	2	Обломки,Кварц
55	338	74	1	1	2	Обломки
56	279	26	1	1	1	
57	198	69	2	1	3	Обломки
58	297	37	1	1	1	
59	154	59	2	2	2	Обломки
60	323	58	1	1	3	г/оFe,Обломки
61	28	34	2	1	1	
62	126	61	1	1	1	
63	173	54	1	1	3	Обломки
64	154	49	1	1	1	
65	282	66	1	1	2	
66	69	26	1	1	2	Обломки
67	313	28	1	1	2	Обломки
68	233	66	1	1	2	Обломки
69	152	39	1	1	1	Обломки
70	306	61	1	1	3	Обломки
71	182	64	1	1	2	г/оFe
72	317	68	1	1	4	кварц
73	29	56	1	1	2	Обломки
74	132	56	1	1	2	Обломки
75	172	31	1	1	5	
76	136	19	1	2	2	г/оFe
77	131	57	1	1	1	
78	104	51	1	2	1	
79	128	43	1	1	3	Обломки
80	68	82	1	1	2	г/оFe
81	72	84	1	1	2	
82	215	56	1	1	5	
83	242	23	1	1	2	
84	115	24	1	1	2	г/оFe
85	74	58	1	2	2	
86	119	16	1	1	5	
87	83	69	1	1	3	г/оFe
88	116	56	1	1	5	г/оFe
89	187	62	1	1	2	г/оFe
90	118	33	1	2	5	
91	108	14	1	1	1	
92	129	28	1	1	1	
93	86	72	1	1	5	г/оFe
94	74	86	1	1	5	
95	133	74	1	1	5	
96	137	6	1	2	1	г/оFe
97	146	74	1	2	5	г/оFe
98	137	42	1	1	2	г/оFe

99	62	54	1	2	5	г/оFe
100	98	6	1	1	3	г/оFe
101	79	86	1	1	3	г/оFe
102	206	87	1	2	1	г/оFe
103	105	13	1	1	2	г/оFe
104	137	42	1	1	2	Обломки
105	143	9	1	1	1	г/оFe
106	223	12	1	1	2	г/оFe
107	82	43	1	1	2	г/оFe
108	46	81	1	2	5	
109	146	19	1	1	2	Обломки
110	206	4	1	1	3	
111	193	64	1	1	5	г/оFe
112	219	67	1	1	2	Обломки
113	236	74	1	1	2	Обломки
114	113	57	1	1	1	
115	38	33	1	1	1	
116	47	64	1	1	2	Обломки
117	105	56	1	1	1	
118	103	46	1	1	1	
119	49	44	1	1	1	г/оFe
120	113	74	1	1	2	Обломки
121	235	48	1	1	1	
122	127	48	1	1	1	
123	261	65	1	1	2	Обломки
124	112	76	1	1	1	
125	91	64	1	1	1	
126	114	72	1	1	2	Обломки
127	241	63	1	1	1	
128	117	51	1	1	2	Обломки
129	23	40	1	1	2	г/оFe,Обломки
130	157	50	1	1	2	Обломки
131	108	61	1	1	1	Обломки
132	87	61	1	1	2	Обломки
133	74	22	1	1	2	Обломки
134	48	46	1	1	2	Обломки
135	187	44	1	1	1	
136	22	8	1	1	2	Обломки
137	219	78	1	1	1	
138	282	46	1	1	2	Обломки
139	58	79	1	1	1	
140	224	81	1	1	1	
141	330	70	1	2	2	Обломки
142	86	76	1	1	2	Обломки
143	242	43	1	1	2	Обломки
144	214	59	1	1	2	Обломки
145	194	71	1	2	4	Обломки
146	161	53	1	2	2	Обломки
147	25	29	1	2	4	Обломки

148	44	50	1	1	3	Обломки
149	56	73	1	2	1	кварц
150	183	46	1	1	5	кварц
151	148	33	1	1	1	
152	214	31	1	1	5	г/оFe,Кварц
153	257	10	1	1	2	
154	178	68	1	1	1	
155	98	52	1	1	5	
156	244	83	1	1	1	
157	237	4	1	1	1	кварц
158	159	68	1	1	1	
159	249	43	1	2	5	кварц
160	184	49	1	1	1	
161	274	47	1	2	1	
162	208	83	1	2	1	
163	232	15	1	1	2	
164	237	38	1	2	1	
165	183	46	1	1	2	
166	173	59	1	2	2	кварц
167	283	4	1	1	2	Обломки
168	259	16	1	1	3	
169	246	23	1	1	5	
170	192	73	1	2	2	г/оFe,Кварц
171	183	51	1	1	2	
172	125	47	1	1	5	
173	213	84	1	2	5	
174	153	37	1	1	1	г/оFe
175	122	5	1	1	1	
176	202	32	1	1	5	
177	188	62	1	1	2	Обломки
178	113	71	1	1	2	г/оFe,Обломки
179	196	14	1	1	5	
180	204	76	1	1	1	
181	216	78	1	1	1	г/оFe,Кварц
182	214	4	1	1	2	кварц
183	223	26	1	1	2	
184	148	64	1	1	2	кварц
185	243	76	1	1	2	Обломки,Кварц
186	210	81	1	2	3	Обломки
187	128	57	1	1	1	
188	312	38	1	2	1	
189	32	41	1	1	1	
190	304	38	1	2	3	Обломки
191	298	46	1	1	1	
192	299	51	1	1	1	
193	45	61	1	1	4	Обломки
194	300	49	1	1	1	
195	219	72	1	2	1	
196	52	8	1	1	1	

197	193	33	1	1	1	
198	218	81	1	2	4	Обломки,кпш
199	204	72	1	1	2	Обломки,кпш,г/oFe
200	28	47	1	1	3	Обломки
201	62	77	1	1	1	
202	155	56	1	1	3	Обломки
203	308	28	1	1	3	кпш,Кварц
204	33	7	1	1	2	Обломки
205	228	76	1	1	2	Обломки
206	217	74	1	1	2	Обломки
207	63	77	1	1	1	
208	216	43	1	1	2	Обломки
209	196	42	1	1	2	Обломки
210	246	51	1	1	1	
211	232	67	1	1	2	Обломки
212	234	54	1	1	2	Обломки
213	139	17	1	1	4	Обломки
214	230	72	1	1	4	Обломки
215	231	82	1	1	2	Обломки
216	222	59	1	1	4	Обломки
217	221	47	1	1	3	Обломки
218	211	48	1	1	1	
219	264	72	1	1	1	
220	272	67	1	1	2	Обломки
221	251	29	1	1	1	
222	242	68	1	1	2	Обломки
223	216	41	1	1	1	
224	191	54	1	1	2	Обломки
225	79	12	1	2	5	
226	143	56	1	1	2	Обломки
227	76	82	1	1	1	
228	138	17	1	1	3	Обломки
229	118	81	1	1	2	г/oFe,Обломки
230	86	35	1	1	3	г/oFe,Обломки
231	132	44	1	1	1	
232	154	83	1	1	1	
233	132	66	1	1	2	Обломки
234	203	62	1	1	1	
235	152	31	1	1	2	Обломки
236	87	86	1	2	2	кварц
237	156	11	1	1	1	
238	214	63	1	1	2	Обломки
239	87	66	1	1	3	Обломки
240	94	78	1	1	1	
241	98	77	1	1	1	
242	152	22	1	1	1	
243	107	82	1	1	5	
244	87	66	1	1	2	г/oFe,Обломки
245	179	76	1	1	2	Обломки

246	134	87	1	1	1	
247	106	54	1	1	2	Обломки
248	78	57	1	1	1	
249	142	39	1	1	2	Обломки
250	186	76	1	1	1	
251	187	49	1	1	2	г/оFe,Обломки
252	69	32	1	1	1	
253	72	26	1	1	2	Обломки
254	86	33	1	1	1	
255	52	14	1	1	1	
256	97	9	1	1	2	Обломки
257	73	26	1	1	1	
258	56	7	1	1	1	
259	32	3	1	1	2	Обломки
260	24	29	1	1	5	
261	297	62	1	1	1	г/оFe
262	292	59	1	1	1	г/оFe
263	351	76	2	1	2	г/оFe
264	304	79	1	1	1	
265	279	84	1	1	2	Обломки
266	353	31	1	1	1	г/оFe
267	10	20	1	1	1	
268	323	7	1	1	1	
269	244	67	1	1	2	Обломки
270	243	60	1	1	2	Обломки
271	64	27	1	1	1	
272	163	84	1	1	2	Обломки
273	225	30	1	1	5	
274	123	53	1	1	2	Обломки
275	141	46	1	1	3	Обломки
276	139	46	1	1	3	Обломки
277	3	28	1	1	5	кварц
278	294	76	1	1	1	
279	4	29	1	1	1	г/оFe
280	288	61	1	1	2	Обломки
281	12	86	1	1	2	Обломки
282	355	84	1	1	1	
283	284	60	1	1	2	Обломки
284	357	32	1	1	1	
285	334	83	1	1	1	
286	301	48	1	1	1	
287	217	62	1	1	2	Обломки
288	176	27	1	1	1	
289	290	44	1	1	1	
290	308	49	1	2	1	г/оFe,Кварц
291	297	45	1	1	1	г/оFe
292	5	37	1	1	2	г/оFe,Обломки
293	198	54	1	1	2	г/оFe
294	242	57	1	1	2	Обломки

295	207	59	1	1	2	Обломки
296	302	61	1	1	1	

Станция 9

Согласно геологической карте, породы относятся к габбро конгорского комплекса. Однако от габбро, залегающих ближе к контакту с палеоконтинентальными образованиями ханмейхойской свиты, они отличаются визуально более светлой окраской и единичными крупными (до 2-3 мм) зернами кварца.

Станция находится на левом берегу р. М. Ханмей в начале крупного изгиба ее русла на расстоянии 2,2 км от слияния с р. Евъюган вниз по р. М. Ханмей.

Данные породы сменяют серпентиниты и габбро в направлении от контакта с ханмейхойской свитой и обнажаются в 600 м от протрузии серпентинитов в обоих берегах р. М. Ханмей.

№№ пп	Азимут падения	Угол падения	Форма	Длина	Мощность	Минеральное заполнение
1	64	56	1	1	5	
2	49	41	1	1	1	
3	135	59	1	1	5	
4	327	84	1	1	2	Обломки
5	44	63	1	2	1	
6	351	72	1	2	1	
7	17	84	1	1	1	
8	27	88	1	1	2	Обломки
9	49	74	1	2	3	Обломки
10	42	89	1	2	2	Обломки
11	47	36	1	1	5	
12	54	34	1	1	1	
13	356	66	1	2	2	Обломки
14	86	57	1	1	1	
15	24	64	1	1	1	
16	326	47	1	2	3	Обломки
17	205	48	1	1	5	
18	177	71	1	2	5	
19	262	68	1	1	5	
20	29	26	1	2	2	Обломки
21	337	84	1	2	1	
22	34	86	1	2	3	Обломки
23	49	53	1	1	5	
24	67	56	1	1	3	Обломки
25	117	34	1	1	5	
26	112	73	1	1	1	
27	8	82	1	1	5	
28	43	28	1	1	2	Обломки
29	62	87	1	1	1	
30	54	3	1	2	2	Обломки
31	3	84	1	1	1	
32	36	71	1	1	1	Обломки
33	64	39	1	1	3	
34	43	84	1	1	5	
35	12	54	1	1	1	
36	117	61	1	1	1	

37	78	81	1	1	1	
38	97	34	1	1	1	
39	124	24	1	1	2	Обломки
40	178	73	1	1	2	Обломки
41	173	19	1	1	2	Обломки
42	126	26	2	1	2	Обломки
43	263	61	1	1	1	
44	272	47	1	1	2	Обломки
45	159	62	1	1	2	Обломки
46	346	84	1	1	4	Обломки
47	45	24	1	1	1	Обломки
48	68	14	1	1	2	Обломки
49	257	18	1	1	2	Обломки
50	121	48	1	1	1	
51	185	76	1	1	1	
52	110	38	1	1	2	Обломки
53	136	50	1	1	1	
54	1	63	1	1	2	Обломки
55	236	51	1	1	1	
56	152	72	1	2	3	
57	74	85	1	2	5	
58	118	48	1	1	1	
59	129	34	1	2	3	Обломки
60	356	72	1	1	1	
61	238	76	1	1	1	
62	98	28	2	2	2	Обломки,Эпидот
63	151	81	1	1	2	Обломки
64	254	28	1	1	3	Обломки
65	278	17	1	1	1	
66	138	44	1	1	2	Обломки
67	122	4	1	1	2	Обломки
68	164	49	1	1	2	Обломки
69	261	76	1	1	1	
70	316	73	1	1	2	
71	327	74	1	2	1	
72	152	81	1	1	1	
73	184	74	1	2	4	
74	46	57	1	2	2	Обломки
75	124	29	1	1	2	Обломки
76	244	86	1	1	1	
77	92	64	1	1	1	
78	133	67	1	1	5	
79	142	29	1	1	5	
80	116	74	1	1	5	
81	59	45	1	1	2	Обломки
82	23	47	1	1	1	
83	52	83	1	1	1	
84	187	83	1	1	2	Обломки
85	93	71	1	1	5	
86	23	47	1	1	3	Обломки
87	86	29	1	1	2	Обломки
88	113	73	1	1	2	Обломки
89	138	64	1	1	2	Обломки
90	156	24	1	1	3	Обломки
91	87	33	1	2	2	Обломки
92	64	67	1	2	1	
93	73	58	1	1	2	

94	136	31	1	2	3	
95	122	76	1	1	2	
96	104	22	1	1	1	
97	118	62	1	1	5	
98	103	12	1	2	2	Обломки
99	78	37	1	1	2	Обломки
100	93	27	1	2	3	Обломки
101	134	46	1	1	1	
102	116	42	1	1	1	
103	102	43	1	1	2	Обломки
104	136	17	1	1	2	Обломки
105	97	27	1	1	2	Обломки
106	22	76	2	1	5	
107	15	42	1	1	1	
108	153	82	1	1	5	
109	316	67	1	1	2	Обломки
110	22	64	1	1	2	Обломки
111	127	71	1	1	1	
112	107	28	2	1	1	
113	86	24	1	2	1	
114	123	31	1	1	2	
115	157	52	1	1	2	
116	279	54	1	1	1	
117	28	64	1	1	1	
118	49	67	1	1	4	
119	111	39	1	1	2	
120	44	53	1	1	1	
121	41	59	1	1	2	
122	138	32	1	1	5	
123	140	39	1	1	1	
124	47	83	1	1	1	
125	351	47	1	1	2	Обломки
126	285	49	1	1	1	
127	301	43	2	1	1	
128	153	31	2	1	2	
129	24	51	2	1	1	
130	296	45	1	1	1	
131	46	37	1	2	3	Обломки
132	33	37	1	1	1	
133	54	64	1	1	2	Обломки
134	316	23	1	1	2	
135	118	38	1	1	2	
136	128	32	1	1	2	Обломки
137	152	81	1	2	2	Обломки
138	58	71	1	2	4	Обломки
139	134	29	2	1	2	Обломки
140	127	61	2	1	2	Обломки
141	287	31	1	1	5	
142	178	69	1	2	1	
143	66	67	2	1	2	Обломки
144	58	57	2	1	1	
145	124	74	1	1	1	
146	51	55	2	1	2	Обломки
147	243	69	2	1	5	
148	238	61	2	1	1	
149	231	64	2	1	1	
150	129	46	2	1	1	

151	289	34	2	1	1	
152	156	27	1	1	1	
153	122	21	1	1	2	Обломки
154	133	46	1	1	1	
155	97	53	1	1	2	Обломки
156	16	4	1	1	2	Обломки
157	73	28	1	1	1	
158	207	52	1	2	1	
159	237	38	1	2	5	
160	178	9	1	1	1	
161	63	14	1	1	2	Обломки
162	182	46	1	1	1	
163	27	48	2	1	5	
164	146	43	1	2	2	Обломки
165	138	46	1	2	1	
166	97	12	1	1	2	Обломки
167	62	56	1	2	2	Обломки
168	34	68	1	1	1	
169	47	64	1	1	2	Обломки
170	78	63	1	1	1	
171	47	61	1	2	1	
172	57	29	1	2	2	Обломки
173	23	46	1	2	2	Обломки
174	73	42	1	1	1	
175	123	49	1	2	5	
176	103	51	1	1	2	Обломки
177	97	23	1	1	1	
178	137	49	1	1	2	
179	101	7	1	1	1	
180	72	50	1	1	2	Обломки,Эпидот
181	43	27	1	1	3	Обломки
182	178	1	1	1	1	
183	183	34	1	1	1	
184	94	71	1	2	2	Обломки
185	105	68	1	1	2	Обломки
186	64	81	1	1	1	
187	147	68	1	1	2	
188	92	47	2	1	1	
189	89	6	2	2	1	
190	82	41	1	1	5	
191	71	31	1	2	3	Обломки
192	168	72	1	1	1	
193	152	74	1	1	1	
194	225	53	1	1	1	
195	253	44	1	1	5	
196	234	56	2	1	5	
197	232	64	2	1	1	
198	235	59	2	1	1	
199	236	62	2	1	1	
200	292	36	1	1	1	Эпидот
201	117	37	2	1	1	
202	212	64	2	1	1	
203	300	47	2	1	2	кпш
204	326	84	1	1	2	Обломки
205	47	48	1	1	2	Обломки
206	81	32	1	1	2	Обломки
207	91	23	2	1	2	Обломки

208	156	74	2	1	2	Обломки
209	166	76	2	1	1	
210	37	65	1	1	2	Обломки
211	67	74	1	2	3	
212	159	76	1	2	2	Обломки
213	44	65	1	1	4	Обломки
214	154	81	2	1	1	
215	159	71	2	2	2	Обломки
216	221	80	2	1	1	
217	129	73	1	2	2	Обломки
218	124	76	2	1	2	Обломки
219	156	59	1	1	1	
220	68	40	1	2	1	
221	148	62	1	1	2	Обломки
222	168	58	1	1	3	Обломки
223	136	34	1	1	2	Обломки
224	163	57	1	1	1	
225	319	56	1	1	2	Обломки
226	91	3	1	1	2	Обломки
227	310	56	2	1	1	
228	238	66	1	1	1	
229	176	43	2	1	5	
230	143	62	1	1	2	Обломки
231	103	72	1	1	2	Обломки
232	94	7	1	1	1	
233	87	86	2	1	2	Обломки
234	116	61	1	1	2	Обломки
235	107	64	1	1	1	
236	157	16	1	1	3	Обломки
237	79	64	1	2	5	
238	157	66	1	1	1	
239	101	84	1	1	2	Обломки
240	182	69	1	1	2	Обломки
241	76	54	1	1	3	Обломки
242	82	34	1	1	1	
243	83	56	1	1	1	
244	179	26	1	1	1	
245	182	74	1	1	5	
246	113	36	1	1	2	Обломки
247	94	88	1	1	5	
248	67	53	2	1	5	
249	126	48	1	1	2	Обломки
250	113	62	1	1	5	
251	156	3	1	1	2	Обломки
252	96	87	1	1	1	
253	133	8	1	1	1	
254	97	71	1	1	1	
255	74	53	1	1	2	Обломки
256	156	53	1	1	1	
257	133	7	1	1	1	
258	126	31	1	1	2	Обломки
259	147	81	1	1	2	Обломки
260	86	68	1	1	1	
261	196	2	1	1	2	Обломки
262	93	11	1	1	1	
263	133	27	1	1	5	
264	83	82	1	1	1	

265	157	49	1	1	2	Обломки
266	63	78	1	1	5	
267	192	74	1	1	2	Обломки
268	176	46	1	1	1	
269	183	54	2	1	2	Обломки
270	72	36	1	1	1	
271	329	49	1	1	1	
272	49	54	2	1	1	
273	24	39	2	1	2	Обломки
274	23	53	1	1	1	
275	141	42	1	1	1	
276	99	63	1	1	2	Обломки
277	314	60	2	1	1	
278	241	69	2	1	2	Эпидот
279	233	78	2	1	2	Эпидот
280	66	63	1	1	1	
281	310	69	2	1	2	
282	313	66	2	1	1	
283	324	64	2	1	2	
284	311	58	1	1	1	
285	69	48	1	1	3	Обломки
286	302	71	1	1	1	
287	66	24	1	1	2	Обломки,Эпидот
288	64	61	1	1	2	Обломки
289	227	80	1	1	2	Кварц
290	49	44	1	1	2	Обломки
291	57	32	1	1	2	
292	157	46	1	1	1	
293	216	61	1	1	2	Обломки
294	33	24	1	1	1	Эпидот
295	246	46	1	1	2	Обломки
296	28	26	1	1	2	Кварц
297	358	79	2	1	2	Кварц
298	198	65	1	1	2	Кварц
299	200	50	1	2	2	Обломки
300	166	44	1	2	3	Обломки

Станция 10

В правобережье руч. Ханмейшор между вершинами с отметкой 204,4 и 237,4 м, находится вершина с рядом коренных скальных выходов, показанных на карте как габбро конгорского комплекса.

Породы светло-зеленого цвета, сложены плагиоклазом и хлоритом, среднезернистые, рассланцованные и смятые в складки.

Среди них находятся дайки базальтов порфировой структуры, миндалекаменной текстуры. Порфировые вкрапленники представлены плагиоклазом и пироксеном, в миндалинах предположительно плагиоклаз. Контакты базальтов горячие, форма тел, по-видимому, дайковая.

Замеры трещин выполнены в светло-зеленых «габбро», возможно, метасоматитах, в западном крыле относительно крупной антиклинальной складки.

№№пп	Аз. падения	Угол пад.	Форма	Длина	Мощность	Минер. заполнение
1	79	81	1	2	3	Обломки
2	98	77	1	2	3	Обломки
3	68	74	1	2	3	Обломки
4	332	52	1	1	4	Обломки
5	343	84	1	1	2	Обломки
6	358	79	2	1	2	Обломки
7	338	72	1	1	2	Обломки
8	153	66	1	2	2	Обломки
9	73	63	1	1	2	Обломки
10	354	64	1	2	2	Обломки
11	97	76	1	2	4	Обломки
12	342	88	1	1	2	Обломки
13	192	84	1	1	2	Обломки
14	166	57	1	1	2	Обломки
15	66	74	1	1	2	Обломки
16	71	76	1	1	1	
17	324	84	1	1	2	Обломки
18	74	83	1	1	2	Обломки
19	56	80	1	1	2	Обломки
20	294	46	1	1	2	Обломки
21	222	54	1	1	2	Обломки
22	188	56	1	1	2	Обломки
23	136	55	1	1	2	Обломки
24	86	73	1	2	2	Обломки
25	91	76	1	1	1	
26	86	73	1	2	3	Обломки
27	106	38	1	1	2	Обломки
28	117	84	2	1	1	
29	170	12	1	1	2	Обломки
30	86	77	1	1	1	
31	210	74	1	2	2	Обломки
32	43	84	1	1	2	Обломки
33	71	62	1	1	2	Обломки
34	348	52	2	1	5	
35	342	69	1	2	2	Обломки
36	149	17	1	1	2	Обломки
37	162	24	1	1	2	Обломки
38	68	70	1	1	2	Обломки
39	284	15	1	1	2	Обломки
40	292	54	1	1	5	
41	168	59	1	1	5	
42	198	62	1	1	2	Обломки
43	124	51	1	1	2	Обломки

44	112	61	1	1	12	
45	59	66	1	1	2	Обломки
46	117	64	1	2	3	Обломки
47	212	47	1	1	2	Обломки
48	202	21	1	1	5	
49	119	62	1	1	1	
50	124	2	1	1	2	Обломки
51	231	49	1	2	1	
52	105	69	1	1	1	
53	137	62	1	1	5	
54	152	57	1	1	1	
55	137	32	1	1	2	
56	174	73	1	1	2	Обломки
57	126	12	1	1	1	Обломки
58	97	17	1	1	2	Обломки
59	162	68	1	1	2	Обломки
60	64	1	1	1	2	Обломки
61	128	60	1	1	2	Обломки
62	138	63	1	1	2	Обломки
63	184	19	1	1	5	
64	138	76	1	1	5	
65	122	71	1	1	5	
66	65	63	1	1	5	
67	96	82	1	1	2	Обломки
68	108	84	1	1	2	Обломки
69	173	24	1	1	2	Обломки
70	138	73	1	1	2	Обломки
71	142	26	1	1	3	Обломки
72	149	34	1	1	2	Обломки
73	142	67	1	1	1	
74	64	27	1	1	2	Обломки
75	72	36	1	1	1	
76	87	46	1	1	2	Обломки
77	88	56	1	1	2	Обломки
78	92	74	1	1	2	Обломки
79	113	77	1	1	3	Обломки
80	137	66	1	1	2	Обломки
81	292	59	1	1	2	Обломки
82	121	74	1	1	2	Обломки
83	112	72	1	1	2	Обломки
84	117	62	1	2	2	Обломки
85	118	61	1	1	2	Обломки
86	113	38	1	1	2	Обломки
87	115	72	1	1	1	Обломки
88	131	61	1	1	2	Обломки
89	118	54	1	2	2	Обломки

90	15	64	1	1	1	
91	114	71	1	1	2	Обломки
92	116	64	1	1	2	Обломки
93	121	69	1	1	2	Обломки
94	103	78	2	1	2	Обломки
95	115	62	2	1	2	Обломки
96	128	57	2	1	2	Обломки
97	52	31	1	1	1	
98	121	63	1	1	4	Обломки
99	102	87	1	1	4	Обломки
100	332	72	2	1	2	Обломки
101	335	81	1	1	2	Обломки
102	96	51	1	1	2	Обломки
103	143	49	1	1	2	Обломки
104	157	60	2	1	5	
105	107	61	1	2	2	Обломки
106	194	25	1	1	2	Обломки
107	99	79	1	1	2	Обломки
108	159	77	2	1	2	Обломки
109	10	62	1	1	1	
110	105	54	1	1	2	Обломки
111	152	76	2	1	2	Обломки
112	157	61	2	1	1	
113	143	58	2	1	1	
114	161	72	2	1	1	
115	110	70	1	1	5	
116	110	80	1	1	5	
117	110	76	1	1	1	
118	170	66	1	1	5	
119	338	72	1	1	2	
120	212	64	1	1	2	Обломки
121	248	72	1	1	2	Обломки
122	202	16	1	1	3	
123	214	21	1	2	5	
124	232	76	1	1	2	Обломки
125	196	52	1	1	2	Обломки
126	156	58	1	1	2	Обломки
127	178	36	1	1	2	Обломки
128	207	55	1	1	5	
129	224	46	1	1	5	
130	342	79	1	1	5	
131	222	43	1	2	2	Обломки
132	197	48	1	1	1	
133	203	42	1	1	2	
134	273	62	1	1	1	
135	282	63	1	1	1	

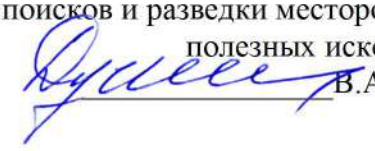
136	216	33	1	1	5	
137	273	71	1	1	2	Обломки
138	246	58	1	1	1	
139	212	57	1	1	5	
140	187	28	1	1	5	
141	262	78	1	1	5	
142	203	76	1	1	5	Обломки
143	134	82	1	1	2	Обломки
144	197	67	1	1	2	
145	139	68	1	1	5	
146	172	37	1	2	5	
147	146	55	1	1	5	
148	122	37	1	1	1	
149	82	66	1	1	1	
150	177	63	1	2	5	
151	136	64	1	1	2	Обломки
152	227	61	1	1	5	
153	86	2	1	1	2	Обломки
154	47	52	1	1	1	
155	117	64	1	1	2	Обломки
156	138	62	1	1	2	Обломки
157	173	42	1	1	5	
158	183	76	1	1	1	
159	164	19	1	1	2	Обломки
160	162	65	1	1	5	
161	156	72	1	1	2	Обломки
162	138	57	1	1	5	
163	322	84	1	1	5	
164	108	62	1	1	2	Обломки
165	137	59	1	1	2	Обломки
166	135	12	1	1	2	Обломки
167	174	58	1	1	5	
168	192	53	2	1	2	
169	252	47	2	1	1	
170	152	27	1	1	1	
171	178	63	1	1	2	Обломки
172	125	73	1	1	1	
173	273	87	1	1	2	Обломки
174	172	86	2	1	5	
175	100	82	2	1	5	
176	104	15	1	1	1	
177	10	29	1	1	5	
178	338	34	1	1	5	
179	158	12	1	1	2	Обломки
180	142	63	1	1	5	
181	92	33	2	1	2	Обломки

182	76	52	2	1	2	Обломки
183	153	72	1	1	1	
184	29	46	1	1	2	Обломки
185	148	47	1	1	2	Обломки
186	44	62	1	1	2	Обломки
187	53	54	2	1	1	Обломки
188	103	82	1	1	5	
189	356	58	1	1	2	Обломки
190	64	52	1	1	1	
191	189	80	1	1	1	
192	96	5	1	1	1	
193	335	32	1	1	2	Обломки
194	62	8	1	1	3	Обломки
195	56	68	1	1	1	
196	169	56	2	1	5	
197	139	48	2	1	5	
198	76	78	1	1	2	Обломки
199	286	29	1	1	1	
200	283	72	1	1	1	
201	267	50	1	1	5	
202	122	14	1	1	2	Обломки
203	17	73	1	1	5	
204	132	6	1	1	2	Обломки
205	64	23	1	1	2	Обломки
206	97	82	1	1	1	
207	146	11	1	1	1	
208	93	61	1	1	3	Обломки
209	103	16	1	1	5	
210	126	64	1	1	2	Обломки
211	33	13	1	1	2	Обломки
212	27	8	1	1	2	Обломки
213	78	29	1	1	1	
214	86	17	2	1	1	Обломки
215	77	13	2	1	1	
216	92	67	1	1	2	Обломки
217	56	23	1	2	2	Обломки
218	186	18	1	2	2	Обломки
219	97	18	1	1	5	Обломки
220	97	3	1	1	2	Обломки
221	73	12	1	1	2	Обломки
222	92	26	1	1	2	Обломки
223	58	51	1	1	5	
224	48	22	1	1	1	
225	272	48	2	1	5	
226	261	25	2	1	5	
227	112	36	1	1	2	Обломки

228	118	6	1	1	2	Обломки
229	108	73	1	2	2	Обломки
230	294	64	1	1	1	
231	146	24	1	1	2	Обломки
232	20	58	1	1	2	Обломки
233	147	83	1	2	2	Обломки
234	358	67	1	1	2	Обломки
235	256	68	1	1	2	Обломки
236	68	77	2	2	4	Обломки
237	192	87	2	1	3	Обломки
238	67	79	1	1	2	Обломки
239	28	52	1	2	4	Обломки
240	148	31	1	1	1	
241	8	48	1	1	2	Обломки
242	358	73	1	1	1	
243	228	43	2	1	2	Обломки
244	67	76	1	2	4	Обломки
245	164	46	1	1	2	
246	212	24	2	1	1	
247	351	77	1	1	1	
248	308	14	1	1	1	
249	177	83	1	1	2	
250	156	49	2	1	2	
251	181	61	2	1	1	
252	98	86	1	2	4	Обломки
253	292	30	1	1	1	
254	10	9	1	1	1	
255	1	68	1	2	2	Обломки
256	144	61	2	1	2	Обломки
257	236	47	2	1	1	
258	8	66	2	1	2	Обломки
259	89	68	1	1	2	Обломки
260	162	86	1	1	2	Обломки
261	171	87	1	1	2	Обломки
262	167	64	1	1	2	Обломки
263	171	79	1	1	3	Обломки
264	170	79	1	1	4	
265	180	39	1	1	3	Обломки
266	138	74	1	2	2	Обломки
267	163	21	2	1	1	
268	298	20	2	1	1	
269	185	61	2	1	1	
270	50	52	1	1	1	
271	186	58	2	1	1	
272	138	73	2	1	2	Обломки
273	94	33	1	1	2	Обломки

274	75	84	1	1	3	Обломки
275	258	84	1	1	3	Обломки
276	3	13	1	1	1	
277	88	81	1	1	1	
278	246	47	1	1	2	Обломки
279	274	75	2	2	3	Обломки
280	355	48	1	1	1	
281	10	45	1	1	2	Обломки
282	267	38	2	1	2	Обломки
283	217	40	2	1	2	Обломки
284	92	83	2	1	2	Обломки
285	118	42	2	1	1	
286	273	71	1	2	2	Обломки
287	87	72	1	1	1	
288	86	79	1	1	1	
289	90	76	1	2	3	Обломки
290	46	62	2	1	2	Обломки
291	106	51	1	1	2	Обломки
292	105	81	2	1	2	КПШ
293	132	83	1	1	2	
294	348	81	1	1	3	Обломки,КПШ
295	346	78	2	1	1	
296	240	69	2	1	1	КПШ
297	101	72	1	2	2	Обломки
298	358	63	1	1	3	Обломки
299	110	68	1	1	2	Обломки
300	118	72	1	2	2	Обломки

МИНОБРНАУКИ РФ
ФГБОУ ВО «Уральский государственный горный университет»

УТВЕРЖДАЮ
Заведующий кафедрой геологии,
поисков и разведки месторождений
полезных ископаемых

В.А.Душин

МЕТОДИЧЕСКИЕ УКАЗАНИЯ К САМОСТОЯТЕЛЬНОЙ РАБОТЕ СТУДЕНТОВ ПО ДИСЦИПЛИНЕ

Б1.В.ДВ.02.02 ПРОГНОЗ И ПОИСКИ В ПРЕДЕЛАХ РУДНЫХ ПОЛЕЙ

Специальность:
21.05.02 Прикладная геология

Специализация
Геологическая съемка, поиски и разведка месторождений твердых полезных ископаемых

форма обучения: очная, заочная

Автор: Никулина И. А.., доцент, к.г.-м.н.

Одобрены на заседании кафедры
Геологии, поисков и разведки МПИ
(название кафедры)
Протокол № 1 от 26.09.2023
(Дата)

Екатеринбург

СОДЕРЖАНИЕ

Тема	Название
	Введение
1	Обоснование и геолого-экономическая оценка прогнозных ресурсов
2	Геологическое картирование в пределах рудных полей как основа прогноза и поисков
3	Структурные элементы рудных полей и месторождений
4	Методы прогнозно-поисковых исследований рудных полей
	Заключение
	Библиографический список

Введение

Прогнозно-поисковые работы в пределах рудных полей, в отличие от региональных исследований, имеют следующие особенности: 1) локальный масштаб объектов прогнозирования и поисков, 2) значительно большая плотность сети наблюдений, 3) специфические методы прогнозных построений.

На первой стадии ГРР при региональном геологическом изучении недр и прогнозировании полезных ископаемых объектами прогноза являются рудные районы, узлы, зоны, на второй стадии при поисках – рудные поля и рудные тела. Разведка проводится в пределах отдельных частей рудных тел, предназначенных для первоочередной разработки. При эксплуатационной разведке прогнозируется распределение в пространстве *качественно разнородных участков рудных тел* – наиболее богатых (рудных столбов, лент и пр.) и, наоборот, обедненных.

Плотность наблюдений отличается *максимальной частотой* по сравнению с другими стадиями. Так эксплуатационной разведке, как правило, соответствует расстояние между разведочными выработками первые десятки метров.

Методика локального прогнозирования достаточно специфична и ориентируется на генетический тип изучаемой минерализации. Однако информационной базой для прогноза во всех случаях является *локальное геологическое картирование* во всех его видах – структурное, минералогическое, геохимическое, метасоматическое, технологическое и др. Соответственно, разработано большое количество как универсальных, так и достаточно специфических методов.

Прогнозно-поисковые работы приобретают особое значение при проведении эксплуатационной разведки месторождений. Задачи, решаемые геологической службой предприятия в процессе эксплуатационной разведки можно объединить в две основные группы: 1 – выявление и оценка новых запасов полезных ископаемых в пределах горного отвода, 2 – уточнение данных о разведанных запасах по мере их вскрытия, подготовки и эксплуатации. В основе решения перечисленных задач лежат детальные и локальные прогнозные построения.

Первая группа включает поиски и разведку новых рудных тел в пределах горного отвода, а также на флангах и глубоких горизонтах эксплуатируемых участков. До 1998 г. эти работы позиционировались как самостоятельная стадия ГРР – доразведка. В числе основных направлений собственно эксплуатационной разведки выделяется прогноз и планирование количества и качества полезного ископаемого. Эти работы служат основой для решения важнейшей задачи рудничной геологической службы – управления качеством продукции.

В теоретическом аспекте детальные прогнозно-поисковые исследования базируются на положениях учения о структурах рудных полей и месторождений. Учение о структурах рудных полей выделилось в самостоятельную научную дисциплину в 1935 году, когда его начал читать на геологоразведочном факультете Ташкентского университета А. В. Королев. До введения нового образовательного стандарта в 2013 году этот курс преподавался во всех геологических вузах страны. В нашем вузе его основоположником является П. А. Шехтман, ученик, последователь и соавтор А. В. Королева, заведовавший кафедрой Геологии МПИ в 1968-1977 гг. Содержание данного раздела основано на материалах П. А. Шехтмана [3, 5].

Тема 1. Обоснование и геолого-экономическая оценка прогнозных ресурсов

КАТЕГОРИИ ПРОГНОЗНЫХ РЕСУРСОВ И МЕТОДЫ ИХ ОЦЕНКИ

Прогнозные ресурсы по степени обоснованности подразделяются на три категории: P_3, P_2 и P_1.

Ресурсы категории P_3 оцениваются по результатам региональных работ масштаба 1:200000, 1:500000 и 1:1000000. При более крупном масштабе исследований, и в частности при прогнозных и поисковых работах в пределах рудных полей, рассматриваются прогнозные ресурсы категорий P_2 и P_1.

Обоснование ресурсов категории P_2

Прогнозные ресурсы категории P_2 учитывают возможность обнаружения новых месторождений в пределах рудного поля или рудного узла как результата положительной оценки известных проявлений полезного ископаемого, а также геофизических и геохимических аномалий. Обязательным условием при этом является наличие единичных рудных подсечений буровыми скважинами или горными выработками.

Выделение ресурсов категории P_2 предполагает формирование геолого-структурной модели прогнозируемого объекта, включающей рудоконтролирующие структуры, вмещающие продуктивные толщи, представления о форме, размерах, условиях залегания, сложности геологического строения и качественных показателях оруденения. Оконтуривание ресурсов производится по естественным геологическим границам, установленным геологическим картированием, по данным опробования коренных обнажений, горных выработок и буровых скважин, контурам геофизических и геохимических аномалий с применением методов экстраполяции.

Для количественной оценки прогнозных ресурсов категории P_2 инструктивными материалами МПР РФ [8] предусматривается следующая последовательность действий:

- обосновать геолого-промышленный тип возможного месторождения;
- оконтурить по результатам геологических, геофизических, геохимических и других исследований перспективную площадь, которая отвечает потенциальному рудному полю;
- вскрыть в двух-трех профилях горными работами (канавы, траншеи, шурфы, расчистки) и (или) скважинами наиболее перспективные участки (аномалии) в их эпицентрах;
- заверить участки, перекрытые чехлом рыхлых отложений повышенной мощности, бурением в одном профиле в их эпицентре;
- определить количество полезного ископаемого по результатам опробования в естественных обнажениях, горных выработках, скважинах и лабораторных исследований;
- обосновать предполагаемые размеры, форму, мощность, условия и глубину залегания тел полезного ископаемого, приуроченность к определенным геологическим структурам.

Величина прогнозных ресурсов, как правило, подсчитывается прямыми методами с учетом способа и допустимой глубины его отработки. При этом широко применяется коэффициент рудоносности по мощности, протяженности и объему.

Допускается оценка прогнозных ресурсов категории P_2 на основании величины ресурсов категории P_3, выявленных для данного рудного узла или района – через долю в нем площади оцениваемого рудного поля с уменьшением ее в 2 раза. Оценка прогнозных ресурсов может быть проведена также по аналогии с объектами-эталонами путем расчета продуктивности (с использованием коэффициента подобия). Кроме того, ресурсы категории P_2 могут оцениваться по отдельным проявлениям и наиболее перспективным участкам.

Обоснование ресурсов категории P_1

Прогнозные ресурсы категории P_1 подвешиваются к запасам категории C_2 на флангах и на глубину, а также соответствуют потенциальным новым рудным телам рудопроявлений и месторождений.

Прогнозные построения выполняются на основе прогнозно-поисковых и морфометрических моделей рудных тел по результатам геологических, геофизических и геохимических исследований, имеющихся буровых скважин и горных выработок, а в пределах месторождений также путем экстраполяции данных, установленных на более изученной части объекта.

На новых объектах прогнозные ресурсы категории P_1 оцениваются согласно расчетным ожидаемым технико-экономическим параметрам или по утвержденным разведочным кондициям месторождения-аналога. При необходимости допускается корректировка кондиционных показателей с учетом географо-экономического положения и индивидуальных геологических особенностей проявления, динамики цен на минеральное сырье и производственных издержек.

Прогнозные ресурсы оцениваются укрупненными блоками по геометризованным телам полезного ископаемого последовательным определением их подсчетных параметров. При невозможности геометризации тел оценка выполняется статистически в обобщенном контуре с применением коэффициента рудоносности. В основу оценки принимаются данные, полученные в результате всех видов проведенных исследований.

Для оценки прогнозных ресурсов категории P_1 на новых объектах необходимо обосновать:

- геолого-промышленный тип ожидаемого месторождения;
- ориентировочные контуры тел полезного ископаемого с пространственной привязкой на картах (планах, разрезах);
- распространение полезного ископаемого на доступную для отработки глубину и предполагаемые горнотехнические и технологические условия освоения;
- предполагаемую группу по сложности геологического строения возможного месторождения (участка недр) в соответствии с Классификацией запасов и прогнозных ресурсов;
- необходимые подсчетные показатели, содержание основных и попутных полезных компонентов, среднее значение мощности, объемной массы и др.;
- достоверность исходной информации, включающей: инструментальную привязку точек наблюдения и опробования полезного ископаемого, инклинометрию буровых скважин, определение качества полезного ископаемого, проведение контроля качества аналитических работ;

- геолого-экономические параметры укрупненными расчетами, по аналогии с разведочными кондициями месторождения-аналога или другими существующими способами.

Границы прогнозных ресурсов категории P_1 геометризуются с помощью геологической экстраполяции данных всех выполненных работ, а также по результатам геолого-структурных, литолого-петрографических, минералого-геохимических, геоморфологических и других построений. Определение глубины оценки возможно по аналогии с более детально изученными телами на прогнозируемом объекте или с месторождениями того же геолого-промышленного типа в других районах. В качестве контура блока оценки прогнозных ресурсов принимается естественная граница тела полезного ископаемого или условная линия, внутри которой полезное ископаемое соответствует требованиям принятых оценочных параметров. При необходимости учитываются также предполагаемые технологические и морфологические различия, особенности распределения качества и целесообразность раздельного выделения прогнозных ресурсов для открытого и подземного способов разработки.

Основной способ геометризации прогнозных ресурсов категории P_1 – геологическими блоками, в качестве которых выступают отдельные рудные тела, их сближенные группы или крупные участки тел, методами горизонтальных или вертикальных сечений.

Параметры прогнозных ресурсов категории P_1 в геометризованном объеме устанавливаются по результатам геологической документации с использованием методов и приемов, применяемых при подсчете запасов категории C_2. Применение каких-либо повышающих или понижающих коэффициентов (за исключением коэффициента рудоносности) не рекомендуется.

Подсчет прогнозных ресурсов категории P_1 на новых объектах рекомендуется проводить в такой последовательности:

- на картах, разрезах и планах отражается геологическое строение рудного поля с выделением элементов, контролирующих размещение оруденения и тел полезного ископаемого;

- обосновываются оценочные параметры и метод определения количества прогнозных ресурсов;

- на графических приложениях – вертикальных, горизонтальных, продольных разрезах, проекциях выделенных рудных тел, согласно выбранному методу подсчета, оценочным параметрам, всем имеющимся данным, обоснованной глубине подсчета и методу экстраполяции отстраиваются контуры, определяются формы и размеры тел;

- по данным опробования горных выработок и скважин вычисляется среднее содержание полезного компонента (компонентов), мощность тела полезного ископаемого, объемная масса и другие параметры;

- определяется количество прогнозных ресурсов по каждому телу и суммарное по объекту.

На **разведанных и разведуемых** месторождениях прогнозные ресурсы категории P_1 выделяются согласно кондициям, утвержденным в установленном порядке. Рекомендуется предусматривать целесообразность раздельного выделения

ресурсов в зависимости от способа отработки и технологических типов полезного ископаемого.

Параметры прогнозных ресурсов устанавливаются на основании геологической экстраполяции результатов, полученных на том же месторождении при подсчете запасов, с учетом всех имеющихся данных о морфологии тел, минеральных, технологических типах и сортах полезного ископаемого, тенденций в изменении параметров на фланги и на глубину.

Подсчет прогнозных ресурсов на флангах и глубоких горизонтах месторождений рекомендуется проводить в такой последовательности:

- в пределах контура подсчитанных запасов анализируются данные по параметрам разведанных тел полезного ископаемого и геологическим факторам, обусловливающим особенности их изменения по латерали и вертикали; определяется минералого-геохимическая, метасоматическая, морфоструктурная (россыпи) и другие типы зональности, глубина эрозионного среза месторождения;

- анализируется геологическая структура, выделяются зоны, в разной степени благоприятные для локализации тел полезного ископаемого, производится дифференциация зон по минеральным и технологическим типам руд, морфологии тел полезного ископаемого;

- определяется возможная суммарная протяженность предполагаемых тел полезного ископаемого;

- рассчитываются средние показатели (содержание полезного компонента, мощность, объемная масса и т. д.) тел полезного ископаемого разной морфологии и качества;

- корректируются полученные средние показатели (уменьшаются или увеличиваются) с учетом подобия геологической обстановки нахождения и наличия фактических пересечений полезного ископаемого на флангах и глубоких горизонтах месторождения;

- экстраполируются средние показатели на возможную суммарную длину предполагаемых тел полезного ископаемого, подсчитывается общее количество полезного ископаемого на 1 м глубины с учетом технологических типов и морфологии тел полезного ископаемого;

- определяется возможная глубина распространения полезного ископаемого;

- подсчитываются прогнозные ресурсы на флангах и глубоких горизонтах месторождения;

- при установленном оруденении на продолжении блоков с подсчитанными запасами категории C_2 производится экстраполяция прогнозных ресурсов либо в виде подвески к блокам, либо геометризацией оруденения по имеющимся фактическим данным.

Укрупненная геолого-экономическая оценка объектов с прогнозными ресурсами

Количественная и качественная оценка прогнозных ресурсов проводится до глубин, доступных для эксплуатации при современном и возможном в ближайшей перспективе уровне техники и технологии разработки месторождений на основе ориентировочных технико-экономических расчетов [8].

Геолого-экономическую оценку прогнозируемых месторождений рекомендуется выполнять в нескольких вариантах с целью выбора оптимального с позиций экономической целесообразности, а также полноты использования сырьевой базы. Для оценки применяются, в основном, два метода – аналогии и прямого расчета в разных сочетаниях. Прямые расчеты базируются на нормативных или фактических стоимостных и эксплуатационных показателях и в чистом виде применяются на заключительном этапе изучения объекта, при подготовке ТЭО разведочных кондиций, тогда как метод аналогии применим практически на всех стадиях геологоразведочных работ.

Применение метода аналогии для геолого-экономической оценки прогнозных ресурсов проводится двумя возможными приемами:

- подбором конкретного объекта-аналога;
- путем построения геолого-экономической модели-аналога.

Выбор месторождения-аналога, как правило, сложен из-за недостаточного количества подходящих апробированных объектов. Поэтому инструктивными материалами [8] рекомендуется использование геолого-экономических моделей на основе группировки месторождений по горно-геологическим и технологическим факторам с учетом географо-экономических условий территории. Расчет показателей модели-аналога осуществляется аналитическим или графоаналитическим способом с помощью формул или графиков. Такая схематическая оценка в целом соответствует степени изученности прогнозируемых объектов на уровне прогнозных ресурсов.

Рекомендуемые таблицы и формулы приводятся в материалах для практических занятий.

Методика геолого-экономического моделирования разработана в ЦНИГРИ и вошла в соответствующие методические руководства МПР РФ [8]. В ее основе лежит моделирование объектов оценки по геологическим, горнотехническим, технологическим и географо-экономическим факторам. Модель определяет основные характеристики прогнозируемого горно-обогатительного предприятия и необходимую для его функционирования инфраструктуру.

Исходными данными или главными факторами моделирования являются прогнозные ресурсы руды и полезных компонентов, морфология и условия залегания рудных тел и вещественный состав руд. Эти факторы определяют производственную мощность будущего предприятия, способ разработки и схему вскрытия потенциального месторождения.

Зависимость между величиной прогнозных ресурсов и экономически целесообразным сроком существования горного предприятия выражает известная формула Тэйлора, из которой выводится формула для определения производительность потенциального предприятия. Для объектов, входящих в сферу деятельности существующих горно-обогатительных предприятий, годовая производительность подбирается с учетом обеспеченности сырьем обогатительного комплекса.

Морфология и условия залегания рудных тел оказывают определяющее влияние на выбор способа разработки и схемы вскрытия месторождения. Группировка месторождений по этим параметрам также осуществляется по таблицам.

Определение ожидаемого коэффициента вскрыши при открытой разработке возможно либо графическим путем при достаточной изученности объекта, либо с привлечением корректного аналога. Экономически целесообразная глубина открытой разработки рассчитывается по специальной формуле.

Вещественный состав и технологические типы руд влияют на величину себестоимости обогащения руды при прочих равных условиях. Типизация объектов по этим параметрам также может быть осуществлена по специальным таблицам.

Совокупность горнотехнических и технологических факторов определяют состав предприятия. Самостоятельное горно-обогатительное предприятие (вариант А) включает, как правило, две промплощадки: рудника (карьера) и обогатительной фабрики с объектами вспомогательного и обслуживающего назначения. При этом, при отсутствии необходимых материалов (геологических и топографических планов объектов), делается допущение, что промплощадка ОФ находится в непосредственной близости от промплощадки рудника. Строительство вахтовых поселков предполагается, как правило, в слабоосвоенных районах.

В случае освоения группы месторождений с использованием районной обогатительной фабрики (вариант Б), количество промплощадок увеличивается в соответствие с количеством рудников.

При применении геотехнологий, например, кучного выщелачивания, в составе предприятия учитываются: промплощадка рудника с комплексом вспомогательных и обслуживающих объектов и площадка кучного выщелачивания с отделением дробления и приготовления реагентов.

Существенное различие в физико-географических условиях и уровне хозяйственной освоенности отдельных районов является причиной того, что параметры геолого-экономической оценки одной и той же модели имеют разные количественные значения в зависимости от местоположения оцениваемого объекта. При этом учитываются такие показатели, как наличие транспортных и энергетических коммуникаций, населенных пунктов, отраслевых предприятий, расстояние до входных баз и другие элементы общехозяйственной и промышленной инфраструктуры. Например, необходимость строительства вахтового поселка увеличивает объем капиталовложений в освоение объекта, в зависимости от мощности на 8-10%, строительство автодороги, в зависимости от протяженности, - до 60%.

К сложным географо-экономическим условиям относятся, прежде всего, локализация объектов исследования в труднодоступной местности и удаленность от транспортных и энергетических коммуникаций. При оценке прогнозных ресурсов черных, цветных и легирующих металлов необходимо учитывать наличие и доступность металлургических производств, как основных потребителей продуктов обогащения.

Существенное влияние на затратную часть проектов горно-обогатительных предприятий в сторону увеличения оказывают экологические и социально-демографические факторы. К их числу можно отнести наличие биосферных заповедников и иных охраняемых зон, сельхозугодья, а также факторы политико-административного характера. Необходимость учета этих факторов определяется по каждому конкретному объекту.

Для внедрения поправки на географо-экономические условия рекомендуется градация территорий по степени освоенности [1].

Параметры кондиций, используемые для подсчета запасов, представляют собой предельные значения натуральных показателей качества и технологических свойств полезного ископаемого, а также горно-технических условий его добычи, обеспечивающие экономически эффективную эксплуатацию.

В практике геолого-экономической оценки полный перечень параметров кондиций используется не всегда и изменяется в зависимости от степени изученности объекта. При оценке прогнозных ресурсов регламентированные параметры кондиций, утвержденные в установленном порядке ГКЗ (ТКЗ) Роснедра, применяются исключительно к ресурсам категорий P_1 и P_2 на флангах и глубоких горизонтах разведанных и эксплуатируемых месторождений.

На ранних стадиях ГРР большинство эксплуатационных показателей определяется на уровне типовых модельных значений. Что касается лимитирующих показателей, то в этом случае целесообразно ограничиться минимальным набором параметров, определение которых с достаточной степенью точности можно было бы осуществить на основе информации, получаемой по результатам этих работ. При этом в равной степени следует уделить внимание как общей оценке объектов, на основании которой делается вывод о целесообразности продолжения геологического изучения месторождений (рудопроявления), так и сравнительной – для выбора первоочередных объектов исследования.

В качестве параметра общей оценки для месторождений твердых полезных ископаемых целесообразно использовать минимальное промышленное содержание (минимальное среднее) полезного (условного основного) компонента по месторождению в целом, определяемое исходя из принципа равенства затрат в цикле «производство-реализация».

В качестве основных параметров сравнительной оценки рекомендуются ориентировочный уровень инвестиций и ожидаемая эффективность освоения (в среднем, на расчетный год). Эти параметры применимы ко всем видам твердых полезных ископаемых. Кроме перечисленных, для комплексных месторождений необходимо также учитывать коэффициенты для перевода содержания попутных компонентов в содержание условного основного компонента, в случае, если извлекаемая ценность каждого из них превышает 10% от суммарной.

При проведении геолого-экономической оценки, в первую очередь, необходимо определиться с номенклатурой профильной товарной продукции проектируемого горно-обогатительного предприятия и ценами на нее. Учитывая разнообразие товарной продукции для разных видов полезных ископаемых, при отсутствии аналогов следует ориентироваться на продукцию, соответствующую государственному стандарту Российской Федерации, отрасли, региона, а в случае их отсутствия – стандарту организации (предприятия) [1].

Согласно существующей практике геолого-экономической оценке месторождений ТПИ, отраженной в Методических рекомендациях ГКЗ Роснедра (2007 г.), цены на товарную продукцию рассчитываются без учета НДС, исходя из среднего

значения цены внутреннего или мирового рынка на конечную продукцию за год или несколько ближайших лет, предшествующих моменту оценки.

Минимальное среднее (промышленное) содержание основного компонента по месторождению в целом при оценке прогнозных ресурсов ТПИ рассчитывается по специальной формуле.

Величина издержек производства и инвестиционных затрат при отсутствии корректного аналога оценивается аналитическим (графоаналитическим) путем с использованием проектных и фактических данных по предприятиям с поправкой на прогнозируемый масштаб производства по руде и полезным компонентам, географо-экономические условия территории и на изменения экономической ситуации со времени составления проекта.

Расчет уравнения регрессии для ориентировочной оценки инвестиций в промстроительство (I) в зависимости от годовой мощности ГОКа при подземном способе разработки выполняется по специальной формуле.

Эффективность освоения рассматривается как показатель, отражающий размер чистой прибыли на единицу инвестиционных затрат. Величина прибыли, эффективность освоения объекта, а также переводные коэффициенты для попутных компонентов также определяются по формулам, предложенным ЦНИГРИ.

Основные параметры геолого-экономической оценки прогнозных ресурсов категорий P_1+P_2 по конкретным объектам представляются в табличной форме.

Контрольные вопросы

1. Особенности прогнозно-поисковых работ в пределах рудных полей
2. Категоризация прогнозных ресурсов
3. Обоснование прогнозных ресурсов категории P_2
4. Обоснование прогнозных ресурсов категории P_1
5. Метод аналогии при оценке прогнозных ресурсов
6. Методы прямого расчеты при оценке прогнозных ресурсов
7. Построение геолого-экономической модели-аналога
8. Показатели геолого-экономической оценки прогнозных ресурсов

Тема 2. Геологическое картирование в пределах рудных полей как основа прогноза и поисков

Виды и методы детального геологического картирования

Теоретические вопросы геологического картирования в пределах рудных полей детально рассмотрены в монографии А. Ф. Коробейникова [4].

Основой прогнозно-поисковых работ в пределах рудных полей служит детальное геологическое картирование исследуемой территории в масштабах 1:25000 – 1:1000. Целью детального геологического картирования является, в первую очередь, определение и уточнение рудоконтролирующих факторов: стратиграфо-литологических, магматических, структурных, геоморфологических, метаморфических и др. При картировании обязательно учитываются результаты предшествующих геологосъемочных, геофизических, геохимических, а также геологоразведочных работ.

Методика картирования должна полностью соответствовать действующим инструктивным материалам МПР РФ и методическим указаниям ведущих НИИ – ВСЕГЕИ, ЦНИГРИ, ВИМС.

При изучении рудных полей необходимо принимать во внимание генетические и промышленные типы оруденения. Так, при картировании осадочных месторождений главную роль должны играть литолого-стратиграфические исследования. Для рудных полей магматического генезиса первостепенное значение имеют структурно-петрологические наблюдения. Исследования метаморфических и гидротермальных объектов состоят в изучении литолого-петрологических особенностей в сочетании с элементами складчатой и разрывной тектоники. Картирование полей с россыпными объектами выполняется на основе геоморфологической и четвертичной специализированной съемки.

Кроме того, при прогнозировании и поисках в пределах рудных полей применяются специализированные виды геологического картирования: структурное, метасоматическое, минералогическое, геохимическое, геолого-технологическое.

Структурное картирование рудных полей заключается в уточнении разрезов рудовмещающих пород, анализе их форм, условий залегания и петрографического состава, детальном изучении тектоники рудного поля и в особенности рудоконтролирующих структур, включая мелкую трещиноватость и микротектонику. В зависимости от генезиса рудного поля применяются разные методы структурного картирования, основные из которых будут рассмотрены в следующем разделе.

Метасоматическое картирование является необходимой частью исследования гидротермальных месторождений, рудные тела которых сопряжены с ореолами околорудных изменений. Метод состоит в изучении минералого-геохимической зональности ореолов, составлении метасоматических колонок и выделении стадий метасоматоза (ранней щелочной, кислотного выщелачивания, поздней щелочной, нейтрализации растворов – по Д.С. Коржинскому), моделировании рудно-метасоматического процесса и определении места оруденения в этом процессе. Более подробное знакомство с методикой изучения околорудных метасоматитов предусмотрено действующим учебным планом в курсе «Методы изучения МПИ».

Минералогическое картирование, или топоминералогия, представляет собой, в первую очередь, метод научных исследований. Суть его состоит в изучении распределения в пространстве отдельных минералов и их типоморфных характеристик, либо парагенетических ассоциаций минералов. При этом анализируются как содержание минералов, так и их количественные соотношения. Наиболее распространенными являются, кварцеметрическая и пиритометрическая съемка.

Геохимическое картирование в пределах рудных полей осуществляется в соответствии с действующими инструктивными и методическими материалами. Важнейшие приемы геохимических исследований рассматриваются в дисциплине «Геохимические методы поисков». В качестве некоторой особенности можно отметить, что в масштабе рудного поля целесообразно использовать только литохимический метод – по коренным и рыхлым отложениям.

Наконец, геолого-технологическое картирование предназначено для выделения технологических типов и сортов руд с целью управления качеством продукции и

разработки рациональной схемы отработки месторождения. Эти работы являются одной из важнейших задач эксплуатационной разведки на действующих горнодобывающих предприятиях. Вопросы геолого-технологического картирования рассматриваются в курсе «Горнопромышленной геологии».

Структурное геологическое картирование

При геологической съемке структурное картирование является дополнением к геологическому картированию и служит для уточнения и детализации тектонического строения территории. Но при изучении структуры рудного поля структурное картирование – основной метод исследований.

Методы структурного картирования чрезвычайно разнообразны. Их можно объединить в 2 группы: картировочные и аналитические. К картировочным относятся структурная съемка, морфометрический, морфогенетический, морфоструктурный, палеофациальный, палеовулканический, структурно-петрологический и другие методы. Аналитические методы включают: анализ мелкой трещиноватости, микроструктурный, тектонофизический и т.п. [4].

Картировочные методы направлены на построение специальных структурных карт. Их разнообразие связано с различием генетических типов месторождений. На магматических месторождениях применяется структурно-петрологический метод, на гидротермальных – морфогенетический (палеотектонический), на вулканических, соответственно, палеовулканический. Для месторождений выветривания эффективен, в первую очередь, палеоклиматический метод, для осадочных – палеофациальный, палеогеографический и палеогеоморфологический. Анализ метаморфогенных месторождений включает изучение рудоносных структур метаморфических комплексов (палеометаморфический метод).

Перечисленные картировочные методы аналогичны по своей сути.

Структурно-петрологические (палеоплутонические) исследования состоят в последовательном выполнении следующих работ: а)выделение фаций плутонитов – главных и дополнительных фаз, жильных серий, фаций сателлитов; б)анализ их размещения в пределах рассматриваемой площади; в)реставрация истории становления плутонических тел; г)определение места оруденения в этой истории; д)выявление рудоносных фаз и оконтуривание перспективных участков.

Палеовулканический метод включает: а)выделение вулканических фаций; б)анализ их размещения; в)палеовулканические реконструкции; г)определение места оруденения в вулканическом процессе; д)выявление рудоносных и оконтуривание рудоносных участков.

Палеофациальные работы объединяют: а)выделение фаций осадочных пород; б)анализ их распространения; в)реставрация палеофациальных условий; г)определение места оруденения в палеофациальной обстановке; д)выявление рудоносных структур и прогноз.

Изучение рудоносных структур метаморфических комплексов (палеометаморфический метод), в свою очередь, это: а)выделение метаморфических фаций и минеральных ассоциаций; б)анализ их размещения; в)реставрация истории

формирования комплекса; г)определение места оруденения в нем; д)выявление рудоносных фаций и прогноз.

Некоторой спецификой отличаются морфогенетический (палеотектонический или палеогидротермальный) и морфоструктурный (палеогеоморфологический) методы.

Морфогенетический метод применяется для глубоко вскрытых гидротермальных месторождений и заключается в реставрации направления движения потока рудообразующих растворов, оценке вертикальной протяженности и степени эродированности месторождений.

Морфоструктурный метод применяется для экзогенных и полигенных месторождений. Он основан на сопоставлении рельефа поверхности с ее геологической структурой; исследовании морфоструктуры, возникшей при взаимодействии экзогенных и эндогенных факторов.

Наконец, два из названных выше картировочных методов являются универсальными, то есть они применимы к месторождениям любого генезиса. Это структурная съемка и морфометрический анализ.

Структурная съемка – это построение специальных структурных карт, на которых показывают разрывные и складчатые нарушения и их характеристики.

Морфометрический анализ состоит в изучении связи оруденения с рельефом продуктивных структурных поверхностей. Изучение рельефа осуществляется методом его геометризации. В результате устанавливаются рудообразующие деформации и реконструируется механизм формирования месторождения.

Аналитические методы картирования предполагают проведение специфических структурных исследований. Из них наибольшим распространением пользуется *анализ мелкой трещиноватости*. Он включает массовые замеры трещин, статистическую обработку замеров и собственно анализ. Метод имеет широкие возможности, он позволяет определять: 1)региональный план тектонических деформаций (осей тектонических напряжений); 2)локальные вариации плана деформаций; 3)тип, генезис и этапы рудообразующих деформаций; 4)возрастные взаимоотношения оруденения с различными геологическими телами; 5)механизм рудообразования в целом (в совокупности с другими методами). Применение метода не требует каких-либо особых приспособлений или навыков, он общедоступен и дает разнообразные и достаточно определенные данные.

Тектонофизический анализ базируется на основных положениях тектонофизики, основоположником которой является М.В. Гзовский. Тектонофизический анализ также заключается в реставрации плана тектонических напряжений, то есть ориентировки осей тектонических деформаций. Основой анализа является также изучение мелкой трещиноватости. Положение осей устанавливается по ориентировке сопряженных систем трещин, осей складчатости, плойчатости и другим признакам. Определенная неоднозначность состоит в правильном выделении сопряженных систем, для чего разработан целый ряд признаков. Оси деформации определяются как линии пересечения сопряженных систем в результате графических построений на специальной сетке.

Микроструктурный анализ основан на определении ориентировки минералов в горных породах и рудах, возникшей в результате тектонических (метаморфических,

метасоматических и др.) процессов. Метод позволяет сделать выводы о структурных условий формирования рудовмещающих пород и руд. Микроструктурный анализ заключается в отборе ориентированных образцов, изготовлении из них ориентированных шлифов и последующем изучении их на столике Федорова с замером ориентировки оптических осей. Метод отличается трудоемкостью, он требует большой точности и аккуратности, высокой квалификации исполнителя. При этом он должен сочетаться с другими методами, и результаты его не всегда интерпретируются однозначно. Кроме того, в классических вариантах микроструктурного анализа используются только одноосные минералы – кварц, кальцит, слюды, хотя позднее разработаны модификации и для других минералов – барита, оливинов, пироксенов, рудных минералов.

Структурно-петрофизический анализ основан на изучении физико-механических свойств горных пород (петрофизических свойств). С помощью специальных структурно-петрофизических диаграмм выделяются деформированные и недеформированные породы, реставрируются палеотектонические поля напряжений, этапы развития рудоносных структур. Метод использует математическое моделирование физико-механических свойств горных пород, руд, полей напряжений для разных механизмов деформаций.

Контрольные вопросы

1. Виды детального геологического картирования
2. Структурное картирование
3. Минералогическое картирование
4. Геохимическое картирование
5. Картирование околорудных метасоматитов
6. Технологическое картирование

Тема 3. Структурные элементы рудных полей и месторождений

ОСНОВЫ УЧЕНИЯ О СТРУКТУРАХ РУДНЫХ ПОЛЕЙ КАК ТЕОРЕТИЧЕСКАЯ БАЗА ДЕТАЛЬНОГО ПРОГНОЗА

Учение о структурах рудных полей рассматривает три главных раздела [2, 5]:

1 – структурные элементы рудных полей;

2 – структурные типы рудных тел;

3 – структурные типы рудных полей.

Структурными элементами рудных полей являются геологические тела, участвующие в их строении. К ним относятся вмещающие породы, магматические тела, вулканические структуры, разломы, складки, геологические контакты, а также собственно рудные тела – продуктивные части месторождений.

Геолого-структурная классификация рудных тел основана на их взаимоотношениях с вмещающими породами и структурами. По этому признаку все рудные тела делятся на 4 типа: согласные, секущие, контактовые и сложные, или комбинированные. Внутри типов выделяются классы по характеру деформаций вмещающих пород и виды по условиям рудообразования.

Систематика структурных типов рудных полей базируется, во-первых, на генезисе рудообразующих процессов и включает три традиционных генетических типа: эндогенные, экзогенные и метаморфогенные. Внутри типов выделены классы и подклассы по признаку сочетания структурных элементов, определяющих характер деформаций вмещающих пород и связанных с ними особенностей размещения оруденения.

Структурные элементы рудных полей

Рудовмещающие породы

Состав и свойства вмещающих пород являются важнейшим элементом строения рудного поля. По отношению к процессу рудообразования они рассматриваются в трех направлениях: 1) как среда, подвергающаяся тектоническим деформациям; 2) как источник рудного вещества; 3) как геологическая среда рудоотложения. В связи с этим выделяется пять естественных групп пород: 1) карбонатные; 2) сланцы; 3) песчаники и конгломераты; 4) вулканические и 5) плутонические. Породы разных групп резко различаются по отношению к деформациям, метаморфизму и рудообразованию.

Физические и физико-механические свойства горных пород, определяющие их отношение к тектоническим деформациям, называются тектоническими свойствами. Главными из них являются пластичность, хрупкость, прочность, анизотропность, пористость, проницаемость, компетентность.

Деформации горных пород, как и других твердых тел, могут быть упругими, пластичными и хрупкими (Рис. 1).

При упругой деформации внутренние связи в породе не нарушаются, после удаления напряжений она принимает первоначальную форму и объем. Если величина напряжения достигает предела упругости, происходит переход к пластической деформации. Пластическая деформация протекает с сохранением объема породы и без ее разрушения, за счет перестройки связей в кристаллической решетке минералов, взаимного скольжения минеральных частиц. Она имеет необратимый характер, при снятии нагрузки сохраняется остаточная деформация. Геологическими проявлениями пластической деформации являются складчатость, кливаж, текстуры течения, будинаж. С нарастанием напряжения до величины предела пластичности наступает хрупкая деформация, сопровождающаяся нарушением сплошности горной породы за счет образования трещин. В результате хрупкой деформации образуются разрывы всех типов – сколы, отрывы, мелкая трещиноватость (Рис. 2).

Деформации горных пород отличаются от деформаций других твердых тел, так как они состоят обычно из разных минералов с разными свойствами. Поэтому, в целом, к пластичным относятся породы с широким интервалом между пределами упругости и пластичности, к хрупким – с узким интервалом. Пластичные породы способны испытывать длительную деформацию без разрушения, хрупкие – разрушаются почти сразу по достижении предела упругости или после незначительной пластической деформации.

Пластичность и хрупкость – противоположные, но и взаимосвязанные свойства, которые проявляются в полиминеральных породах одновременно. Для оценки пластичности-хрупкости используется полуколичественный показатель, который рассчитывается следующим образом. Главные породообразующие минералы можно

расположить в ряд по понижению их хрупкости и повышению пластичности следующим образом: 1) кварц, 2) полевой шпат; 3) амфиболы, пироксены, оливин; 4) биотит, мусковит, серицит, карбонаты, 5) хлорит, тальк, каолинит. Номера групп принимаются за показатель степени пластичности-хрупкости минералов. Содержание каждого минерала в породе умножается на этот номер; сумма произведений для породы в целом и является сравнительным показателем хрупкости-пластичности. Например, обычное габбро состоит из плагиоклаза и пироксена примерно в равных количествах. Следовательно, показатель пластичности-хрупкости (ПХ) габбро будет равен: ПХ=50·2+50·3=100+150=250.

Прочность горных пород – это их способность противостоять деформациям и передавать давление. Прочные породы отличаются высокими значениями пределов упругости и пластичности. Если соотношение упругости, пластичности и хрупкости выражаются формой кривой деформации, а прочность – ее высотой.

Анизотропия – различие свойств тела по разным направлениям. Физическая анизотропия горных пород выражается в том, что прочность пород в разных направлениях различна. В большинстве случаев анизотропия пород определяется слоистостью и сланцеватостью и особенно ярко проявляется в глинистых, серицитовых и хлоритовых сланцах. Проявлением анизотропии является ориентировка породообразующих минералов. Анизотропия усиливает пластичность и уменьшает хрупкость горных пород.

Проницаемостью называется способность горных пород пропускать разные подвижные субстанции. Проницаемость горных пород определяется, в основном, эффективной пористостью и трещиноватостью. Пористость представляет собой отношение суммы объемов пор ко всему объему породы, выраженное в процентах. В гранитах, гнейсах пористость наименьшая и составляет сотые доли процента. Максимальная пористость отмечается в кавернозных известняках – десятки процентов. С уменьшением пористости увеличивается упругость и прочность пород.

Компетентность – специфическое свойство горных пород, отличающее их от всех других твердых тел и имеющее важное геологическое значение. Под компетентностью понимается способность горной породы испытывать хрупкую деформацию без разрушения за счет самозалечивания возникших трещин путем растворения и переотложения собственного минерального вещества. Наиболее ярко выраженной компетентностью обладают карбонатные породы. Компетентностью обусловлена способность карбонатных пород передавать одностороннее давление и выдерживать нагрузку, то есть их несущую способность.

По совокупности свойств наиболее благоприятны для рудообразования химически активные и достаточно хрупкие карбонатные породы, для которых характерны руды свинца, цинка, железа, вольфрама, ртути, сурьмы. С хрупкими и пористыми песчано-конгломератовыми породами, обычно, связаны медь, золото, олово, уран. Для вулканитов типичными являются халькофилы, для плутонитов, наоборот, литофилы. Сланцы, обладающие водоупорными и экранирующими свойствами, в целом не благоприятны для рудоотложения. Иногда они обогащены золотом, ураном, медью и др.

Деформации горных пород

Деформации горных пород происходят под действием тектонических сил, направленных как по вертикали, так и по горизонтали. Тектонические силы порождают два типа напряжений: ***растяжение и сжатие***, которые проявляются одновременно в разных участках земной коры и последовательно сменяют друг друга в пределах одного участка. Деформация сжатия сопровождается, как правило, поднятием, а растяжения – опусканием.

Процессы деформаций в природных условиях крайне сложны и зависят от многих факторов. Поэтому при рассмотрении модели тектонических деформаций нужно принять ряд ограничений. Широко распространено использование в качестве модели так называемого эллипсоида деформации. Ниже рассматривается ***модель куба деформаций*** (Рис. 3), которая мало отличается по своей сути от эллипсоида, но более наглядна.

Рассмотрим элементарный объем горной породы в виде куба, расположенный в недрах земли, и проанализируем деформации, возникающие в нем. Примем следующие ограничения: 1) куб испытывает только одноосное горизонтальное сжатие (в то время как в природе, как правило, одновременно проявляются разнонаправленные движения – горизонтальные и вертикальные, с одной стороны, а также сжатие или растяжение по нескольким осям, с другой стороны); 2) будем говорить о деформациях, созданных данным тектоническим напряжением, не учитывая предыдущих; 3) предположим, что деформации носят хрупкий характер, хотя на глубине при высоком давлении даже хрупкие породы проявляют пластичность; 4) пренебрегая гравитационными силами, будем считать, что высвобождение горных пород будет направлено главным образом к поверхности земли, то есть вверх. Таким образом, мы рассмотрим *фрагмент тектонической истории элементарного объема горной породы, ограниченный как во времени, так и в пространстве.* Оси деформаций расположатся в кубе следующим образом: ось сжатия Б – горизонтально, ось растяжения В – перпендикулярно к ней и также горизонтально, ось высвобождения А – вертикально вверх, перпендикулярно осям Б и В.

Теоретическими и экспериментальными данными установлено, что в напряженном блоке пород имеется 9 поверхностей наиболее вероятного направления перемещения материала: горизонтальная P_1 и вертикальная P_2 плоскости отрывов, вертикальная плоскость сплющивания P_3, наклонные параллельные оси В плоскости взбросов C_1 и C_2, наклонные параллельные оси Б плоскости взбросов C_3 и C_4 , вертикальные диагональные плоскости сдвигов C_5 и C_6.

В реальных геологических условиях развивается несколько из рассмотренных направлений или даже одно из них. Проявление всех 9 направлений маловероятно. Возникающие деформации определяются, в первую очередь, особенностями среды. В случае изотропной (квазиизотропной) среды происходят преимущественно хрупкие деформации, использующие все 9 направлений. Анизотропная геологическая среда характеризуется развитием преимущественно пластических деформаций. При этом ось горизонтального сжатия Б будет перпендикулярна оси складки. Горизонтальная плоскость отрыва P_1 выявится в приоткрываниях отслоений в осевых частях складок. Вертикальные поперечные отрывы, обычно пересекающие складки, соответствуют плоскостям P_2. В связи с растяжением пород в осевой части складки вдоль оси

возникают трещины отрыва P_3. Наклонные плоскости C_1 и C_2 отвечают положению крыльев складок и направлениям межпластовых скольжений, а также надвиговым перемещениям крыльев. Наклонные плоскости C_3 и C_4 реализуются в волнообразных изгибах оси складки в вертикальном направлении (ундуляции). Вертикальные косые сдвиги и раздвиги соответствуют плоскостям C_5 и C_6.

В региональном масштабе системы C_1 и C_2 будут отвечать преобладающему направлению геологических контактов, ориентировки магматических тел, осей складок, разломов. Этим же системам соответствует расположение плоскости рассланцевания.

Модель куба деформаций наглядно демонстрирует и пластические деформации. В нормальной складке (Рис. 4 а, б) горизонтальная ось растяжения В располагается вдоль оси складки, ось сжатия Б перпендикулярно ей и также горизонтально, а ось высвобождения А направлена вертикально вверх. Тогда система пологих отрывов P_1 соответствует отслоениям в сводах антиклиналей и синклиналей, вертикальные отрывы P_2 образуют поперечные относительно оси складчатости разломы, а P_3 – продольные. Системам сбросов и взбросов C_1 и C_2 отвечают крылья складок, C_3 и C_4 – ундуляция (волнистость) шарнира, а системы крутопадающих сдвигов C_5 и C_6 образуют диагональные относительно оси складки разрывные нарушения.

Рудоносные разломы и трещины

Генетические типы разломов. Разломы и трещины являются результатом хрупких деформаций пород, происходящих при сжатии, растяжении и сдвиге. Среди них различают два главных генетических типа – отрывы и сколы (Р и С в кубе деформаций). ***Отрывы*** образуются при нормальных (перпендикулярных) растягивающих напряжениях, ***сколы*** – при касательных сжимающих. Как правило, при скалывании образуются две системы сопряженных трещин (C_1 и C_2, C_3 и C_4, C_5 и C_6). Угол между ними зависит от физико-механических свойств пород. В идеально хрупких породах он равен 90^o (Рис. 5а), в идеально пластичных – хрупкие деформации проявляются в виде трещин сплющивания ($C_1+C_2=P_3$), то есть угол между системами C_1 и C_2 равен 0^o (Рис. 5б). В реальных условиях угол скалывания изменяется от 0 до 90^o.

При анализе мелкой трещиноватости, когда трещины доступны непосредственному наблюдению, можно увидеть различия в характере трещин отрыва и скола. Сколы обычно прямолинейные, их стенки ровные, гладкие, они пересекают породу независимо от особенностей строения. Например, в конгломерате скол пройдет напрямую через гальки и цемент без искривления (Рис. 6). По трещинам скола обычно происходят перемещения. Они имеют большую протяженность и часто сопровождаются оперяющими трещинами. В момент образования они закрыты, притерты, оруденение в них более позднее.

Отрывы, как правило, извилистые, волнистые. Стенки их неровные, рваные. Их элементы залегания сильно зависят от строения пород. В конгломерате они пройдут по цементу, огибая гальки. При переходе из одной породы в другую они меняют простирание или совсем затухают. По простиранию и падению трещины отрыва быстро выклиниваются, вдоль них не наблюдается перемещений. В момент образования они открыты, поэтому к ним часто бывают приурочены дайки и реже рудные тела. Количественно трещины скалывания превосходят трещины отрыва.

Кроме того, выделяется специфический тип разломов – ***кольцевые***. В плане они образуют кольца, полукольца, дуги и часто сопровождаются радиальными разрывами. В разрезе они могут быть цилиндрическими или коническими. Цилиндрические нарушения имеют вертикальное или близкое к нему падение. Конические разломы чаще всего падают к центру кольцевых структур – *центриклинальные* и редко – от центра – *периклинальные*. Образование кольцевых разрывов связано с процессами магматизма – с вулканическими жерлами, кальдерами, трубками взрыва, штокообразными интрузивами. По механизму образования они могут быть и отрывами, и сколами. С ними часто связаны разные вулканогенные месторождения, а с кимберлитовыми трубками – алмазы. Алмазоносными считаются также крупные кольцевые структуры спорного происхождения – *астроблемы*.

Масштаб разломов. Масштаб разломов выражается через их порядок. В общем случае разломы первого порядка разделяют разные структурные этажи, второго – структурные ярусы, третьего – формационные комплексы, четвертого – геологические формации, пятого – фации, шестого – горные породы, седьмого – более мелкие разломы и трещины. Эта группировка отражает амплитуду смещения по разломам. Условно можно сказать, что разломы I порядка ограничивают металлогенические провинции, II порядка – металлогенические или рудные области, III – рудные районы, IV – рудные узлы, V – рудные поля, VI – рудные тела, VII – природные типы руд, рудные гнезда.

Возраст разломов. Возраст разломов, как известно, определяют по наиболее молодым из пересекаемых комплексов пород (нижняя возрастная граница) и наиболее древним из перекрывающих пород (верхняя возрастная граница), а для магмовыводящих разломов по возрасту контролируемых магматических тел.

Наиболее крупные глубинные разломы обычно бывают долгоживущими и магмовыводящими. Они подновляются с возобновлением тектонической активности; новые тектонические деформации «наследуют» уже существующие направления и имеют длительную историю развития.

По отношению к оруденению разломы делятся на дорудные, внутрирудные и послерудные. Дорудные могут быть рудообразующими или рудораспределяющими структурами, внутрирудные – рудолокализующими. Послерудные разрывы пересекают рудные тела, усложняют их форму, разделяют их на отдельные блоки и смещают их относительно друг друга.

Физическое выражение разломов. В земной коре разломы проявляются как зоны интенсивно деформированных и раздробленных пород с повышенной параллельно ориентированной трещиноватостью, рассланцеванием, брекчированием, милонитами, тектонической глинкой и зеркалами скольжения, а также поясами параллельных даек.

Окончание разломов. Все разломы по характеру их окончания разделяются на неограниченные, полуограниченные и ограниченные (Рис. 7). Неограниченные разломы свободно затухают в результате постепенного уменьшения величины смещения под влиянием смены пород или ослабления усилий. Ограниченные разломы с обеих сторон упираются в другие разломы (или контакты), поэтому величина смещения по ним не затухает. Полуограниченные разломы затухают в одном направлении и блокированы в другом.

Распределение смещений вдоль разломов. Разрывные нарушения не бесконечны. Они затухают в относительно более пластичных породах или упираются в более крупные разрывы, массивы прочных пород и др. Во всех случаях в конце разрыва перемещения нет. Если по разрыву имеется перемещение, то его должны компенсировать внутренние деформации в блоках пород, разделенных разрывом. Пусть разрыв АБ (Рис. 8а), затухающий в пластах 1 и 5, имеет наибольшее смещение в средней части; его горизонтальная составляющая видна по смещению пласта 3, а вертикальная достигает величины h (Рис. 8б, в). Для образования этого смещения в блоках боковых пород должны возникнуть деформации сжатия и растяжения, как это показано на рисунке. Одновременно блок висячего бока должен дугообразно изогнуться вверх и растянуться, а другой блок – отклониться вниз и сжаться.

Направление смещений по разломам. Движение горных пород вдоль разрывных нарушений происходит как в горизонтальной плоскости, то есть в плане, так и в вертикальной, в разрезе.

Перемещение в горизонтальном направлении называется сдвигом. Различают правые и левые сдвиги. При *правом сдвиге* блоки смещаемых пород движутся по часовой стрелке (Рис. 9 а), при *левом сдвиге* – против (Рис. 9 б).

Смещения в вертикальной плоскости носят названия взбросов и сбросов, в зависимости от положения горных пород, слагающих висячий бок разлома или трещины. Если висячий бок опущен, нарушение является *сбросом* (Рис. 9 в), если поднят – *взбросом* (Рис. 9 г). Пологие взбросы с углами падения менее 30^{o} называются *надвигами* или шарьяжами.

Как правило, смещения по разломам имеют косой характер, то есть включают и горизонтальную, и вертикальную составляющую. В соответствии с направлением смещения в плане и разрезе выделяют правые или левые сдвиго-сбросы и сдвиго-взбросы. Применяется также определение сбросо-сдвиг и взбросо-сдвиг.

Оперяющие разломы и трещины. Оперяющие разломы и трещины сопровождают большинство сколовых нарушений. Они часто являются рудолокализующими и вмещают рудные столбы – наиболее богатые части рудных тел. Поэтому важно знать расположение оперяющих нарушений.

При сдвиге (Рис. 10) образуются две системы сколов – одна параллельная основному сдвигу, другая под тупым углом к направлению движения и одна система отрывов под острым углом к направлению смещения.

При сбросе (Рис.11) образуются две системы оперяющих трещин – отрывы и сколы, обе параллельные основному нарушению по простиранию, но отрывы более крутые, а сколы более пологие. При взбросе (Рис. 12), наоборот, отрывы будут пологие, а сколы крутые.

При косых смещениях – сбросо-сдвигах или взбросо-сдвигах оперяющие трещины имеют более сложную ориентировку (Рис. 13). В этих случаях в перемещавшемся висячем боку нарушения трещины отрыва образуют с главным сместителем как в плане, так и в разрезе острый угол, ориентированный вершиной в сторону движения. Сгущение оперяющих трещин обычно наблюдается в растянутых участках разломов, в зажатых их единицы.

Преломление разломов. При переходе из одних пород в другие, поверхности разломов преломляются, то есть изменяют свое залегание. Это объясняется различием физико-механических свойств пород, а именно разной величиной угла скалывания в породах и разными свойствами. В массивных изотропных породах разлом стремится пройти вкрест простирания, в пластичных анизотропных средах он будет отклоняться, приближаясь к простиранию пород (Рис. 14 *а*).

Волнистость разломов. Поверхность разломов всегда волниста. Это доказано экспериментальными работами в лабораториях оптического моделирования В. В. Белоусова и М. В. Гзовского. Волнистость разломов заложена в самом механизме их образования и существует даже в самой изотропной среде. Волнистость возникает путем соединения кулисообразно расположенных коротких трещин. Одной из причин волнистости является также преломление разломов при переходе из одной породы в другую.

Отмечаются следующие самые простые закономерности пересечения горных пород трещиной или разломом: 1) в породах прочных и хрупких трещины отклоняются в сторону нормали к наслоению; 2) в породах пластичных и слоистых трещины отклоняются в сторону напластования и слоистости; 3) в интрузивных породах трещины косого направления приспосабливаются к трещинам прототектоники (Рис. 14 *б*, *в*, *г*).

Различают два морфологических типа рельефа разломов и трещин – гофрированные и коробленые поверхности. У гофрированных поверхностей имеется одна система волн с параллельными осями. В таких разломах при рудоотложении образуются рудные столбы, параллельные между собой и выдержанные на глубину. Коробленые поверхности образуются при наличии двух систем волн, оси которых пересекаются под прямым или острым углом. В этом случае распределение оруденения носит более сложный характер. Рудные тела приобретают форму рудных дисков и линз.

Гофрированные поверхности образуются только в весьма изотропной среде и встречаются значительно реже коробленых. Чем больше анизотропия пород, тем сложнее коробленая поверхность и распределение оруденения.

Изучение рельефа поверхности разломов усложняется еще и тем, что волнистость всегда имеет несколько порядков. Перегибы поверхности принято называть ребрами, а расположенные между ними относительно ровные участки – гранями. Смещение по разломам приводит к тому, что одни грани оказываются зажатыми, а другие – приоткрытыми и доступными для рудообразующих растворов или расплавов.

Приоткрывание граней разломов**.** Приоткрывание граней зависит от положения грани относительно направления смещения (Рис. 15). В зависимости от этого положения выделяется 5 групп граней:

1) сжатые – расположены нормально против направления смещения (движение невозможно, породы расплющиваются);

2) несущие – расположены косо навстречу направлению смещения (движение вдоль граней при сильном сжатии);

3) скользящие – движение скользящее (вдоль граней без сдавливания и приоткрывания);

4) приоткрытые – расположены косо по направлению движения (косо растянутые);

5) открытые – расположенные нормально по направлению смещения (полностью растянутые).

В целом, грани, находящиеся под давлением, характеризуются неровностями, бороздами скольжения, дроблением и истиранием выполнения, глинкой трения. Разгруженные грани отличаются повышенной трещиноватостью, развитием брекчий, тектонитами вдавленных пластических пород.

Расположение приоткрытых граней в зависимости от кинематики разлома демонстрирует табл. 1.

Таблица 1

Распределение приоткрываний в зависимости от направления смещения [5]

Деформации	Правый сдвиг (по часовой стрелке)	Левый сдвиг (против часовой стрелки)
Взброс	На более пологих гранях, отклоняющихся к меридиану	На более пологих гранях, отклоняющихся к широте
Сброс	На более крутых гранях, отклоняющихся к широте	На более крутых гранях, отклоняющихся к меридиану

Таким образом, правило приоткрывания разломов можно сформулировать следующим образом: при взбросах приоткрываются более пологие участки, при сбросах – более крутые, при правых сдвигах – участки, отклоняющиеся вправо, при левых сдвигах – влево.

Рудоносные складчатые структуры

Генезис складок. Складки – результат пластических деформаций, протекающих в анизотропной среде в результате изгиба. Ярко выраженную анизотропию проявляют слоистые и сланцеватые осадочные и метаморфические породы.

В структурной геологии среди складок по генезису выделяются следующие разновидности: складки изгиба, складки скалывания, складки течения и диапировые складки. Основное значение для размещения оруденения имеют складки изгиба. Особый интерес представляют пустоты и трещины, возникающие в процессе складкообразования.

В складчатых деформациях, как уже говорилось, пластичные, хрупкие и несущие породы проявляют себя по-разному (см. рис. 2). Пластичные породы при изгибе испытывают течение без разрывов сплошности. Хрупкие подвергаются изгибу с нарушением сплошности трещинами. Несущие породы образуют своды без разрывов сплошности вследствие залечивания. Таким образом, складки в породах, обладающих разными свойствами, будут иметь свой характерный облик.

Складки в жестких породах. В хрупких и несущих породах при продольном изгибе в одной плоскости образуется концентрический тип складок, не сопровождающийся изменением мощности слоев (Рис. 16). Отдельные слои при этом скользят друг по другу. В верхней части каждого пласта появляется зона растяжения, в нижней – зона сжатия. Зоны разделяются нейтральным участком. В целом

антиклинальная часть растянута, а синклинальная зажата. В результате в концентрических складках возникает 3 типа трещин: 1) трещины скольжения по наслоению, более всего развитые в крыльях складок – C_3 и C_4; 2) трещины растяжения при изгибе, располагающиеся на выпуклой стороне изгиба пласта вблизи осевых частей складок – P_3; 3) поперечные трещины отрыва, представляющие собой результат высвобождения напряжений по простиранию – P_2. При воздымании и погружении шарнира возникает растяжение и сжатие складок по простиранию, что приводит к формированию систем C_1, C_2 и C_5, C_6.

При поперечном изгибе все слои находятся в растянутом состоянии. Зоны сжатия отсутствуют, для антиклиналей можно различать лишь более растянутые (верхние) и менее растянутые (нижние) зоны слоев. В этих условиях развиваются системы C_3 и C_4 со сбросовыми перемещениями по ним.

Складки в пластичных породах. При продольном изгибе возникают подобные складки (Рис. 17). В них происходит течение материала из сжатых крыльев в осевые части, разгруженные от бокового давления. Обычно в этих условиях развивается кливаж, ориентированный параллельно осевой плоскости складки. Благоприятных позиций для локализации оруденения здесь нет, однако пластичные породы могут быть экранами над более перспективными породами.

При поперечном изгибе (Рис. 18) образуются складки поднятия с уменьшением мощности пластов в сводах антиклиналей. Здесь тоже благоприятных условий для локализации оруденения нет.

Складки в разнородных пластах. Складки в разнородных пластах имеют наибольшее значение для рудообразования. Хрупкость, пластичность и несущая способность пластов играют важнейшую роль в распределении деформаций, пустот и трещин в складках.

Разнородные пласты могут находиться в разных сочетаниях.

1. Несущий пласт залегает между двумя хрупкими (Рис. 19). Несущий пласт изгибается сильнее, он отслаивается от хрупких пластов с образованием седловидных пустот в антиклинали и корытовидных в синклинали. При этом в хрупком пласте в зоне отслоения развивается усиленное дробление. Синклинали для развития отслоений и дробления менее благоприятны.

2. Сочетание несущего пласта с пластичными неблагоприятно для размещения оруденения, так как пластичные породы заполняют пустоты отслоений и в этих породах не происходит дщробления. Отслоения в этом случае могут возникать лишоь при малых радиусах складок (Бендиго, Австралия – седловидные жилы, Рис. 20).

3. Хрупкий пласт, залегая между двумя пластичными (Рис. 21), подвергается массовому дроблению на растянутых частях изгибов (тела вкрапленных руд киновари в песчаниках Никитовки, Рис. 22).

Практически пласт изгибается не изолированно, а совместно с вмещающими его породами. При таком совместном продольном изгибе двух пластов с разными свойствами возникают отслоения в виде седловидных пустот и трещин растяжения при изгибе, показанные на рис. 23.

Системы из пластичной и хрупкой пород (Рис. 23 а, б) дают возможность развиваться трещинам растяжения на выпуклой стороне изгибов хрупкого пласта. В

случае, когда пластичная порода представляет кровлю хрупкого пласта (Рис. 23 а), происходит разрыв и дробление хрупкой породы с развитием трещин отрыва в своде антиклинали, без существенного отслоения пластов. Если же пластичный пласт подстилает хрупкую породу (Рис. 23 б), происходит дробление хрупкой породы в замке синклинали, также почти без отслоения пластов. Однако возможности развития оруденения во втором случае менее благоприятны, чем в первом, вследствие затрудненности доступа в синклиналь восходящих растворов.

При этом экранирующая роль пластичных пород имеет отрицательное значение. При достаточной крутизне складок и высокой хрупкости пород возможно проявление более сложного, главным образом трещинного, массового дробления в сводах антиклиналей, с рассеянным оруденением. Примером могут служить некоторые рудные тела Никитовского месторождения в Донбассе, размещенные в хрупких песчаниках и кварцитах (Рис. 22).

При сочетании пластичных и несущих пластов (Рис. 23 в, г) трещины растяжения развиваются в несущем пласте.

Если пластичная порода служит кровлей несущего пласта (Рис. 23 в), то при смятии она образует узкие крутые складки, а пласт с несущими свойствами – пологие широкие изгибы. Эти соотношения по-разному проявляются в антиклинали и синклинали. В антиклинали, в условиях растяжения верхней части несущего пласта, пластичные породы как бы обтягивают прочное ядро, вследствие чего отслоения невозможны. В синклинали, в условиях сжатия приконтактовой части несущего пласта, возможно возникновение отслоений. Однако под воздействием нагрузки вышележащих пород это отслоение может оказаться закрытым. В антиклинальном изгибе несущего пласта возникают трещины растяжения и отрыва, которые легко залечиваются. Но при наличии движений во время рудообразования эти трещины могут обновляться и залечиваться рудным материалом.

В случае, когда несущие породы образуют кровлю пластичных пород (Рис. 23 г) в антиклинали под сводом первых происходит разгрузка пластичных пород от напряжений с образованием седловидных отслоений, которые иногда заполняются рудами. В синклинали несущего пласта образуются трещины отрыва, однако возможности заполнения их рудным материалом при отрицательном экранировании ограничены.

Последние два случая (Рис. 23 д, е) представляют собой системы из хрупкого и несущего пластов, которые при прочих равных условиях более других благоприятны для размещения оруденения. Если хрупкий пласт подстилается несущим (Рис. 23 д), то в антиклиналях подошва хрупкого пласта находится в сжатом состоянии, а кровля несущего – в растянутом. Это обусловливает возникновение в несущем пласте трещин отрыва, которые могут залечиваться рудным материалом. В синклиналях, вследствие растяжения подошвы хрупкого пласта, происходит его отслоение с возникновением седловидных полостей; одновременно образуются трещины отрыва в хрупком пласте. Это самый благоприятный случай для накопления продуктов оруденения в синклинальных участках.

Если же несущий пласт подстилается хрупким (Рис. 23 е), в антиклиналях образуются седловидные отслоения между пластами и одновременно нарушается

сплошность хрупкого пласта трещинами отрыва, а в синклиналях происходит некоторое нарушение трещинами отрыва несущего пласта. Возможности накопления руд здесь ограничены.

Таким образом, благоприятными для оруденения могут быть сводовые части не только антиклиналей, но и синклиналей.

В целом, для рудообразования наиболее благоприятны сочетания разнородных пластов, подвергающихся неоднородным деформациям. Однообразные толщи значительно менее восприимчивы к рудообразованию, даже если по составу они и благоприятны для оруденения.

Рудоносные плутонические тела

С интрузивными телами связаны многие месторождения разных генетических типов. Класс эндогенных месторождений иначе называют магматогенным, что говорит о генетическом единстве с магмой и ее производными. Экзогенные и метаморфогенные месторождения тоже нередко также приурочены к магматитам. В коре выветривания плутонитов разного состава образуются остаточные месторождения: каолин – по гранитоидам, бокситы – по основным породам, силикатный никель – по гипербазитам. Месторождения асбеста формируются при метаморфизме ультраосновных пород.

По роли в рудообразовании и размещении оруденения плутонические тела можно разделить на 3 большие группы: 1) ультраосновные, основные и щелочные массивы, к которым приурочены так называемые внутриинтрузивные рудные поля; 2) массивы гранитоидов с минерализованными приконтактовыми частями; 3) рудоносные малые интрузии и дайки разного состава.

Массивы ультраосновных и основных пород. Массивы первой группы, вмещающие внутримагматические рудные поля, в свою очередь, включают 3 типа.

1. Гигантские расслоенные тела платформенных щитов. С ними связаны месторождения хромита, титаномагнетита и ликвационные медно-никелевые руды (собственно магматическая группа – раннемагматический, позднемагматический и ликвационный классы). Сюда относятся такие известные тела, как Бушвельдский лополит в ЮАР (Рис. 24), массив Садбери в Канаде, Великая Дайка в Зимбабве. Руды в них полностью контролируются стратификацией и приурочены к определенным комплексам пород. Так, в Бушвельдском лополите многочисленные хромитовые тела связаны исключительно с пироксенитами. Таким образом, главным рудоконтролирующим фактором для этих месторождений является петрографический состав пород. Кроме того, важное значение в контроле оруденения имеют элементы прототектоники: а) для раннемагматических месторождений – ранние или кристаллизационные, представляющие собой прототектонику жидкой фазы (тонкая расслоенность, план-параллельные текстуры и др.); б) для позднемагматических месторождений характерны поздние протоинтрузивные структуры – прототектоника твердой фазы (пологие псевдопластовые, крутые секущие и др. трещины); в) на медно-никелевых ликвационных месторождениях прототектонические структуры сочетаются с тектоническими нарушениями – трещинами, разломами, зонами дробления и др.

2. Пояса альпинотипных гипербазитов складчатых областей, в том числе Урала. Эти тела участвуют в складчатых деформациях вмещающих пород, их форма обусловлена складчатостью. По современным представлениям, это тектонические

пластины. Массивы имеют субмеридиональное простирание и образуют субмеридионально вытянутые пояса (уральское направление). Размеры их несопоставимы с платформенными гигантами, а масштаб оруденения прямо зависит от размеров тел. Здесь также наблюдается четкий петрографический контроль. Так, хромитоносные массивы сложены дунит-гарцбургитовой формацией; хромитовые тела приурочены к дунитовым полосам в гарцбургитах. В этих телах размещение рудных тел в большей степени контролируется конфигурацией контактов и разрывной тектоникой. Так, контуры рудных залежей Талнахского месторождения и его аналогов в общем совпадают с очертаниями интрузивных тел (Рис. 25). На Кемпирсайском массиве кровля осложнена сводовыми поднятиями и депрессиями между ними. Рудные залежи приурочены к сводам. Главное рудное поле, наиболее богатое, находится в Юго-Восточном своде, где массив достигает максимального размера – 30-32 км в ширину. Геофизическими исследованиями здесь установлена мощная корневая часть массива, которая представляет собой магмоподводящий канал – глубинный разлом.

3. Кольцевые магматические комплексы. Как правило, кольцевые магматические тела сопряжены с кольцевыми разломами и сопровождаются концентрическими и радиальными дайками. Наибольший интерес из кольцевых магматических тел представляют массивы щелочных пород – нефелиновых сиенитов, которые встречаются обычно в жестких стабильных блоках древних пород: на древних щитах (Хибинский, Ловозерский массивы на Кольском п-ве), в срединных массивах (Ильменогорский, Вишневогорский массивы на Урале).

Практическое значение имеют сопряженные с нефелиновыми сиенитами специфические горные породы – карбонатиты, несущие редкие и радиоактивные металлы, а также медь, железо и др. К примеру, Ловозерский массив (Рис. 26) сложен ультраосновными щелочными породами – уртитами, ийолитами, луявритами, малиньитами и т. п. и интенсивно стратифицирован. Карбонатиты залегают в центральной части массива в виде штокообразного тела. Рудные тела сложены минералом лопаритом ($(Ca,U,Th,TR)(Ti,Ta,Nb)O_3$) и залегают исключительно в малиньитах. В Хибинском массиве рудные тела приурочены к более поздним полукольцевым разрывным нарушениям. Рудоконтролирующую роль для карбонатитовых месторождений играет как стратификация интрузива, так и разрывные нарушения и трещинная тектоника.

Гранитоидные тела**.** В отличие от рассмотренных выше ультраосновных, основных и щелочных магматических тел, гранитоидные массивы никогда не образуют внутриинтрузивных рудных залежей. В этой группе выделяются две подгруппы рудоносных структур: 1) апикальные и надапикальные части; 2) контактовые зоны гранитных массивов.

К апикальным областям приурочены, в первую очередь, так называемые апогранитные месторождения, включающие рудоносные альбититы и грейзены. Альбититы образуются в результате натриевого метасоматоза и несут Th, TR, Ta, Li, и др. Грейзены – продукт калиевого метасоматоза, с ними сопряжены Sn, W, Mo, Be. Альбититы локализуются исключительно в апикальной части массивов и контролируются конфигурацией интрузивного контакта. Грейзены залегают как в эндо-

, так и в экзоконтактах тела, образуя жилообразные тела в трещинных структурах. Структурно-морфологические типы грейзеновых месторождений показаны на рис. 27.

Ведущий тип месторождений в контактовых зонах гранитоидов – скарновый, или контактово-метасоматический. Широко распространены скарновые залежи железных, медных, полиметаллических и вольфрам-молибденовых руд. Главный фактор контроля скарновых залежей – конфигурация контактов, волнистость которые аналогична волнистости разломов и определяет размещение рудных тел (Рис. 28).

Малые интрузии и дайки. С комплексами малых интрузий и даек ассоциируют многочисленные гидротермальные месторождения цветных, редких и благородных металлов. Приурочены они к крупным глубинным разломам с весьма длительной и сложной историей формирования. Внедрение малых интрузивов и даек, как правило, многофазное. В узлах пересечения, сопряжения или разветвления разломов концентрация магматических образований максимальна. Здесь же локализуется и оруденение (жилы, прожилковые зоны, штокверки и другие формы рудных тел). Малые интрузии, дайки и гидротермальное оруденение связаны парагенетически.

На размещение оруденения существенно влияет форма интрузивных тел и даек. Небольшие интрузивные массивы в рудных полях обычно представлены штоками с овальными и угловатыми очертаниями (в плане), плитообразными или иными неправильными телами. Падение контактов крутое. Эти тела сложены в основном мелко-, реже среднезернистыми порфировыми породами.

С малыми интрузиями кислого и реже среднего состава сопряжены медно-молибденовые месторождения, называемые также порфировыми или штокверковыми. Эти месторождения являются основой мировой сырьевой базы меди и молибдена (Рис. 29). Рудная минерализация располагается в апикальной части интрузивных тел. В контроле порфировых месторождений большое значение имеет петрографический состав интрузий. А. И. Кривцов выделяет 4 модели порфировых месторождений: гранитную молибденовую, гранодиоритовую медно-молибденовую, монцонитовую молибденово-медную и диоритовую медную.

В пределах дайковых полей размещаются многие гидротермальные месторождения цветных металлов и золота. Рудные поля и месторождения находятся в узлах наиболее частого и многофазного развития даек. В таких участках дайки бывают приурочены к нескольким системам разрывных нарушений, хотя преобладающими являются дайки одного направления, совпадающего с простиранием пояса. Форма даек обычно плитообразная, мощность и элементы залегания выдержаны, но нередко встречаются весьма сложные, ветвящиеся, а также с резкими ступенчатыми контактами и тупыми выклиниванием. Формирование даек обычно предшествует рудообразованию, то есть являются дорудными (дайки прокладывают дорогу руде). Рудные жилы часто тяготеют к дайкам и прослеживаются вдоль их контактов. Однако нередко жилы приурочены к трещинам иного направления и пересекают дайки, при этом последние могут существенно влиять на локализацию оруденения. На некоторых месторождениях известны внутриминерализационные и послерудные дайки. Первые пересекают рудные жилы, сложенные минералами ранних стадий минерализации, но в свою очередь на них наложены минеральные агрегаты более поздних стадий.

Типичным представителем месторождений в дайковых поясах является Березовское золоторудное месторождение золото-сульфидно-кварцевой формации на Среднем Урале. Многочисленные дайки гранитоидов имеют большей частью меридиональное простирание. Так называемые лестничные жилы выполняют поперечные трещины отрыва, широко развитые в дайках. Иногда встречаются также диагональные кварцевые жилы, приуроченные к тектоническим трещинам сколового типа (Рис. 30, 31).

Дайковые поля характерны для пегматитовых месторождений, с которыми связаны многочисленные полезные ископаемые – редкие металлы (Забайкалье, Казахстан), камнесамоцветное сырье (Самоцветная полоса Урала), слюда (Мамско-Чуйская провинция), керамическое сырье (Карелия, Украина, Урал, Сибирь) и др.

Пегматиты характерны как для складчатых областей, так и для древних щитов. В фанерозойских складчатых областях положение пегматитов контролируется формой интрузива, с которым они связаны: пояса пегматитовых тел располагаются согласно с контактом массива. Пегматиты образуют неправильные тела, линзы, раздувы, в плане часто изогнутые, ветвящиеся, с апофизами. Для них характерна зональность. На щитах пегматиты не обнаруживают связи с интрузивными телами, рудоконтролирующими являются древние прогибы, троги, шовные зоны, крупные разрывные структуры в этих трогах и прогибах. Тела пегматитов имеют, как правило, линейные, плитообразные формы и обычно лишены зональности.

Одно из крупнейших в мире пегматитовых месторождений редких металлов – Берник-Лейк, находится в Канаде, на дне озера (Рис. 32). Главное рудное тело представлено здесь пологой плитообразной залежью мощностью 75 м с четко выраженной зональностью. Месторождение содержит около 90 % мировых запасов цезия (поллуцит Cs_2O) и является крупным по танталу и литию. Эксплуатируется с 1969 г. подземным способом.

Рудоносные вулканоструктуры

С рудоносными вулканическими постройками связаны многочисленные месторождения урана, золота, цветных и черных металлов.

П. Д. Яковлев [2] выделяет пять основных структурных типов вулканических сооружений: 1) вулканические купола; 2) вулканические депрессии; 3) кальдеры; 4) линейные или трещинные вулканы; 5) поля развития субвулканических интрузивов и корневых частей вулканических аппаратов.

Г. Ф. Яковлев [10. 11] предлагает следующую классификацию вулканогенных рудных полей:

1) положительные вулканогенные структуры

А) вулканогенные поднятия;

Б) вулкано-купольные;

В) вулкано-биклинальные;

2) отрицательные вулканогенные структуры:

А) вулкано-тектонические депрессии;

Б) кальдеры;

В) межвулканические депрессии;

Г) скрыто-вулканические депрессии;

3) вулкано-корневые структуры.

Наиболее распространенными и значимыми из вулканогенных месторождений являются золото-серебряные, сурьмяно-ртутные, уран-сульфидные и медноколчеданные.

Золото-серебряное оруденение широко распространено на северо-востоке РФ, преимущественно в Магаданской области. К этой формации относятся крупнейшие в России месторождения Наталка и Кубака, такие крупные объекты как Карамкен, Многовершинное, Аметистовое, Агинское и другие, а также Блявинское на Южном Урале. Месторождения обычно приурочены к жерловым и околожерловым зонам локальных вулкано-тектонических структур центрального типа, вулкано-тектоническим грабенам и вулкано-купольным постройкам. Рудолокализующими являются фрагменты линейных и дуговых разломов, пучки сближенных разрывов, фрагменты региональных разломов и оперяющие их нарушения. Разрез месторождения Карамкен представлен на рис. 33.

Небольшие сурьмяно-ртутные вулканогенные месторождения известны на Чукотке в пределах Охотско-Чукотского вулканического пояса. Наиболее крупное месторождение Пламенное приурочено к вулканическому куполу, сложенному горизонтально залегающими вулканическими покровами преимущественно кислого состава и прорывающими их субвулканическими телами и дайками андезитов и диоритовых порфиритов. Оруденение связано с системой разрывных нарушений северо-западного простирания, наложенных на вулканическую постройку.

Из группы уран-сульфидных месторождений четкий контроль со стороны вулканических структур имеют уран-молибденовые и уран-флюоритовые.

Уран-молибденовое оруденение отличается широким размахом, как в разрезе, так и по латерали, и может быть локализовано в любых вулканических фациях. Так, месторождение Джедели (Казахстан) приурочено к палеокуполу, на крыльях которого залегают стратифицированные слоистые вулканические толщи, и расположено на его крыле (Рис. 34). Рудное тело имеет почти пластовую форму и локализуется в слое скрытокристаллических риолитов сферолитовой структуры. Риолиты, по сравнению с другими породами, отличаются повышенной хрупкостью, и при тектонических деформациях вокруг сферолитов в них развиваются тектонические трещины, которые делают проницаемым и благоприятным для рудоносных растворов весь пласт.

Уран-флюоритовый тип представляет Стрельцовский рудный район в Забайкалье (Рис. 35). Рудные объекты контролируются отрицательными вулканоструктурами –прогибами или депрессиями, выполненными вулканитами разного состава с преобладанием кислых разновидностей. Оруденение наблюдается, как правило, в породах верхнего структурного этажа – в молодых активизационных впадинах. Вулканические постройки осложнены разрывными нарушениями, большей частью крутопадающими. К узлам пересечения внутрикальдерных разломов приурочены отдельные месторождения. Кроме крутопадающих, развиты пологие межслоевые (межформационные) срывы. Рудные тела локализованы в разломах и представляют собой крутопадающие жилы и пологие субпластовые тела. Иногда возникают их сочетания, в результате которых формируются крестообразные структуры.

Вулканогенно-осадочные медноколчеданные месторождения также контролируются вулканическими сооружениями, в первую очередь, депрессионного типа. Для подводного вулканизма наиболее распространенными являются кальдерные, межвулканические, межкупольные и склоновые депрессии. Рудоотложение происходит в межпароксизмальные периоды. Поэтому, во-первых, рудные тела приурочены в вулканогенных толщах к горизонтам осадочных пород, фиксирующих эти перерывы; во-вторых, в связи с многофазными проявлениями вулканизма характерным является наличие многоэтажных (многоярусных залежей). На рис. 36 представлен разрез уральского медноколчеданного месторождения Юбилейное, приуроченного к биклинальной вулканоструктуре.

Геолого-структурные типы рудных тел

Структурная классификация рудных тел основана на их взаимоотношениях с вмещающими породами и структурами. По этому признаку все рудные тела делятся на 4 типа: согласные, секущие, контактовые и сложные, или комбинированные. Внутри типов выделяются классы по характеру деформаций вмещающих пород и виды по условиям рудообразования.

Согласные рудные тела

Согласными называются рудные тела, границы которых параллельны границам вмещающих пород, то есть залегающие согласно с ними (Рис. 37). К этому типу, в первую очередь, относятся пластовые руды осадочных месторождений. Согласными являются также рудные тела остаточных месторождений в корах выветривания площадного типа, хотя они, как правило, не имеют естественных природных границ и оконтуриваются по данным опробования.

Согласные рудные тела характерны и для большинства метаморфизованных месторождений, образовавшихся при метаморфизме первично осадочных залежей.

Согласные залежи могут формироваться и в процессах эндогенного рудообразования. Так, собственно магматические месторождения, приуроченные к расслоенным интрузиям, имеют согласную пластообразную форму, обусловленную процессами псевдостратификации магмы.

Рудные тела гидротермальных месторождений наиболее разнообразны. Среди них также встречаются согласные залежи, которые относятся к четырем классам: 1) тела избирательного замещения; 2) тела экранирования; 3) тела в отслоениях деформированных пластов; 4) сложные тела.

Тела избирательного замещения**.** Образуются в проницаемых, слабо дислоцированных пластах, обладающих достаточной пористостью и химической активностью при взаимодействии с рудообразующими растворами. Наиболее благоприятны для замещения рудами песчаники и конгломераты, в особенности с карбонатным цементом. Они хорошо проницаемые для растворов и химически активны. Избирательным замещением рядом исследователей объясняется образование стратиформных руд, в частности, медистых песчаников Джезказганского месторождения (Рис. 38). Джезказганская свита карбона состоит из чередующихся алевролитов и песчаников с карбонатным цементом. Отдельные горизонты известковистых песчаников замещались борнитом и халькопиритом.

Тела экранирования**.** *Р*азмещаются под экраном, который создается пластами трудно проницаемых пород, покрывающих более проницаемые. Пористые и трещиноватые, легко проницаемые породы почти не экранируют растворы. У плотных глин способность к экранированию самая высокая. Экраны задерживают растворы и заставляют их двигаться вдоль поверхности экрана, замедляют их движение и способствуют прохождению химических реакций и, как следствие, отложение рудного вещества. Чем ближе положение экранирующей поверхности к горизонтальному, тем сильнее может проявиться действие экрана. Классическим примером тел экранирования являются золото-сульфидные месторождения района Блэк-Хиллс в США, штат Ю. Дакота (Рис. 39). В основании разреза здесь находятся древние сланцы, на которых залегают кварциты и доломиты, перекрываемые алевролитами, которые играют роль экрана. Рудоносные растворы растекаются под экраном в пласте доломитов и вступают с ними в реакцию, результатом которой являются тела золото-сульфидных руд.

Тела в отслоениях деформированных пластов**.** *З*алегают, главным образом, в малых складчатых формах, развивающихся в свитах пластов неоднородного состава. Среди них выделяются 3 разновидности: 1) простые седловидные и линзовидные залежи, 2) тела, связанные с избирательным дроблением и оруденением отдельных пластов в складках, 3) внутрипластовые зоны дробления.

Простые седловидные и линзовидные залежи возникают в сланцах разного состава. При изгибах пластов с разными свойствами образуются седловидные полости. Рудоносные растворы проникают в полости по пересекающим пласты трещинам. Рудообразование происходит путем заполнения пустот, реже замещения, особенно в известняках. Классический пример седловидных жил – рудные тела месторождения золота Бендиго в Австралии (см. рис. 20). Здесь в мощной толще нижнего силура, состоящей из чередующихся тонких (1-3 м) пластов глинистых сланцев и песчаников, смятых в узкие крутые складки, развиты оруденелые отслоения между слоями.

Тела избирательного дробления наиболее распространены среди тел отслоения. Оруденение чаще всего локализуется в известняках, доломитах, песчаниках и конгломератах. В обломочных породах чаще всего образуются типичные прожилковые руды, подчиненные многочисленным мелким трещинам. В карбонатных породах развиваются большей частью метасоматические рудные залежи, как вкрапленные, так и массивные. В первую очередь, оруденение захватывает часть пласта, прилегающую к выпуклым участкам изгиба складки, испытывающим максимальное растяжение. Далее оруденение распространяется на всю сводовую часть складки и при наиболее интенсивном рудообразовании охватывает весь объем пласта, формируя внутрипластовые зоны дробления.

В Никитовском рудном поле (Украина) оруденение располагается в куполообразных брахиантиклиналях и подчинено отдельным пластам хрупких крупнозернистых песчаников и кварцитов, залегающих между сланцами и подвергшихся массовому дроблению (см. рис. 22). Рудные минералы выполняют многочисленные мелкие трещины, пересекающиеся в разных направлениях.

Сложные тела. Наконец, сложные рудные тела возникают при сочетании избирательного замещения, экранирования и отслоения. Характерный пример сложных

тел представляют собой полиметаллические месторождения Лениногорского района Рудного Алтая, в особенности Сокольное и Риддерское. Здесь известково-глинистые сланцы играют роль экрана, а в малых складках отслаиваются от нижележащих туфов. Хрупкие и пористые агломератовые туфы легко подвергались массовому дроблению. Под сланцевой покрышкой сосредоточены залежи массивных руд экранирования, в малых антиклинальных складках – тела отслоения, а в толще туфов – мощные прожилково-вкрапленные руды.

Секущие рудные тела

К секущим относятся рудные тела, границы которых пересекают границы вмещающих пород (Рис. 40). Как правило, секущие рудные тела подчинены разрывным нарушениям, пересекающим поверхности наслоения и другие структурные элементы слоистых массивных пород. Данный тип охватывает, главным образом, крутопадающие рудные жилы, возникающие путем заполнения пустот и замещения. Реже секущие тела формируются в магматических месторождениях. Так для ликвационных медно-никелевых руд Норильского района характерны секущие жилообразные тела, сформировавшиеся при отжиме еще не застывшего рудного расплава в образующиеся трещины (Рис. 41).

К этому типу принадлежат такие объекты, как крупнейшее в мире месторождение меди Чукикамата в Чили, жильные месторождения золота, полиметаллов, урана и др.

Выделяется 3 главных класса секущих рудных тел: 1) тела в простых трещинах, 2) тела в сложных разломах, 3) тела в вулканических каналах. Первые два класса имеют много общих черт, в связи с чем целесообразно рассмотреть их совместно.

Тела в трещинах отрыва. В зависимости от механизма рудоотложения ***тела в разломах и трещинах*** образуются в: а) в трещинах отрыва, б) в искривлениях трещин скалывания, в) в сопряжениях и разветвлениях трещин, г) в пересечениях трещин.

Рудные тела в отрывах возникают при нормальном приоткрывании разломов и трещин чаще всего в результате уменьшения объема интрузивных массивов в процессе их застывания. Величина приоткрывания по мощности обычно незначительна, но за счет проработки пород мощность оруденения увеличивается до нескольких метров.

Тела в трещинах скалывания. Образуются при косом перемещении пород вдоль поверхности сместителя. Руды локализуются в приоткрываниях, возникающих в искривлениях поверхности скола и характеризуются резкими изменениями мощности оруденения.

Среди рудных тел в трещинах скалывания различают три морфологических группы: рудные диски, рудные столбы и промежуточная форма – удлиненные рудные диски или укороченные рудные столбы. По положению в пространстве земной коры рудные столбы могут быть горизонтальными, вертикальными или наклонными. Горизонтальные рудные столбы, или рудные ленты, возникают в результате вертикальных перемещений – сбросов или взбросов. Вертикальные рудные столбы являются следствием чисто сдвиговых деформаций. Наиболее распространены наклонные рудные столбы, образующиеся при косых смещениях типа сдвиго-сбросов или сдвиго-взбросов.

Тела в сопряжениях и разветвлениях трещин. Чаще всего связаны с дроблением пород и локализуются в острых углах между трещинами. Под сопряжением понимается соединение двух трещин под острым углом. Оно часто связано с развитием трещин оперения. Осложнение сколовых трещин оперяющими приводит к образованию клиновидных подвижных блоков. При смещениях эти блоки легко подвергаются массовому дроблению и оруденению. Рудные тела в клиновидных блоках располагаются на некотором расстоянии от сопряжения, в области растяжения пород. Система оперения разлома нередко осложняется развитием многократно ответвляющихся трещин, в результате чего возникают узкие блоки, легко подвергающиеся дроблению. Такие блоки рассматриваются как сложные разломы. Классический пример оруденелого сложного разлома – рудное поле Бьютт в США (штат Монтана), где главная рудная жила имеет структуру «конского хвоста», образованного сложной системой оперения меднорудных жил (Рис. 42). Другой пример – уникальное месторождение медных руд Чукикамата в Чили. В массиве порфировидных гранитов проходит широкая зона разломов. Здесь развиты косые трещины отрыва, осложненные оперяющими отрывами и сколами до образования мощной зоны рассланцевания (Рис. 43).

Тела в пересечениях трещин. По механизму формирования сходны со схемой сопряженных разломов. Дробление и оруденение пород происходит как непосредственно в зонах пересекающихся трещин, так и в клиновидных блоках между ними. Поперечные сечения рудных столбов, образующихся в пересечении разломов, своеобразны: изометричные, треугольные, крестообразные, Т-образные, Г-образные (Рис. 44). На глубину рудные столбы прослеживаются на расстояние, во много раз превышающее их размеры по простиранию.

Тела в вулканических каналах включают две группы: а) тела в вулканических жерлах и б) тела в трубках взрыва. К вулканическим жерлам часто приурочены золото-серебряные и сурьмяно-ртутные месторождения, распространенные в пределах Охотско-Чукотского вулканического пояса. С трубками взрыва сопряжены раннемагматические месторождения алмазов кимберлит-лампроитовой формации, развитые в ЮАР, Австралии, России. Геологический план и разрез кимберлитовой трубки «Мир» представлены на рис. 45.

Контактовые рудные тела

В этот тип входят рудные тела, которые подчиняются поверхности интрузивного контакта изверженных пород с вмещающими их горными породами (Рис. 46). Оруденение может размещаться непосредственно в зоне контакта, в интрузивных породах (эндоконтактовые тела) и в породах кровли (экзоконтактовые тела).

Большая часть контактовых рудных тел имеет эндогенное происхождение. Из экзогенных месторождений к рассматриваемой группе относятся рудоносные коры выветривания контактового типа. Частным случаем контактовых тел являются рудные залежи скарновых месторождений.

Локализация оруденения в контактовых зонах зависит, в первую очередь, от морфологии, или рельефа контактовой поверхности. По отношению к залеганию вмещающих пород выделяются согласные и секущие интрузивные контакты. В согласных контактах условия деформации пород и движения растворов аналогичны

пластам осадочных и метаморфических пород, в секущих – аналогичны трещинам и разломам.

Различают 5 характерных типов интрузивных контактов: 1) контакты с эндоконтактовыми явлениями: ассимиляция, перекристаллизация – уменьшение зерен породообразующих минералов, текстуры течения, ксенолиты и пр.; 2) контакты с инъекционными явлениями: послойным проникновением магматического материала во вмещающие породы, мигматитами; 3) контакты с экзоконтактовым ореолом термального метаморфизма: мраморы, роговики и другие метаморфические породы; 4) контакты без существенных изменений; 5) контакты с проявлениями метасоматоза: скарнирование, окварцевание, серицитизация и др. Первые два типа характеризуются жесткостью и неподатливостью деформациям, три последних, наоборот, отличаются зонами повышенной хрупкости вдоль контактовой поверхности и благоприятны для рудоотложения.

Контактовые рудные тела образуют три класса: 1) тела в согласных контактах; 2) тела в секущих контактах и 3) тела в дайках и их контактах.

Рудные тела в согласных интрузивных контактах. Большое значение имеет сокращение объема пород при остывании, в результате чего образуются контракционные трещины. Кроме того, залегая среди осадочно-метаморфогенных пород, интрузивы представляют собой более хрупкую среду, чем их окружение. Поэтому при деформациях в них развивается дробление и образуются локальные отслоения интрузива от покрывающих пород,весьма благоприятные для рудоотложения. К согласному интрузивному контакту приурочено месторождение шеелита Ингички в Узбекистане. Скарноворудные тела здесь представлены пологими корытовидными залежами, приуроченными к прогибам контактовой поверхности (Рис. 47).

Рудные тела в секущих интрузивных контактах. Локализация рудных тел в секущих интрузивных контактах подчиняется тем же закономерностям, что описаны выше для разломов. Главную роль здесь играет чередование зажатых и приоткрытых граней. Так на медно-скарновых месторождениях Турьинских рудников на Урале рудные тела располагаются в участках контакта, вогнутых в сторону интрузива (Рис. 48). Массовое дробление с развитием прожилково-вкрапленных руд происходит в апикальных и периферийных частях, а также в узких куполовидных выступах интрузивов. На медно-молибденовом месторождении Алмалык в Узбекистане внутренняя часть штока кварцевых порфировых риолитов не содержит рудных тел, а вся рудная минерализация локализуется в раздробленной контактовой части массива.

Рудные тела в дайках и их контактах. Дайки заполняют приоткрытые участки трещин скалывания. Они представляют собой неоднородность геологической среды и поэтому благоприятны для развития деформаций. Самое известное месторождение, рудные тела которого представлены оруденелыми дайками – уже упоминавшееся Березовское золоторудное поле на Урале (см. рис. 30, 31).

Сложные рудные тела

Если отложение руд происходит под влиянием нескольких факторов, возникают сложные рудные тела. Наиболее распространены следующие классы сложных тел:

1) рудные тела в пересечении рудоносных трещин с благоприятными пластами; 2) рудные тела в пересечении интрузивного контакта рудоносной трещиной; 3) рудные тела в пересечении интрузивным контактом благоприятного пласта.

Рудные тела в пересечениях рудоносных трещин с благоприятными пластами**.** Если приоткрывание трещины происходит среди неблагоприятных пластов, оруденение образуется только в самой трещине. Если рудоносная трещина пересекает благоприятные пласты, но на этом участке закрыта, оруденение не образуется. Однако если рудообразующие растворы проникают в благоприятный пласт из соседних приоткрытых участков трещины, то в пласте образуется рудная залежь избирательного замещения, при отсутствии руды в самой трещине. Это согласные рудные залежи избирательного замещения (Рис. 49). Наконец, если приоткрытая часть трещины и благоприятный пласт совпадают, то оруденение заполняет приоткрытую часть трещины и распространяется в благоприятном пласте. В этих условиях образуются рудные тела, имеющие в вертикальном сечении тавровую, Г-образную или крестообразную форму. Это типичные сложные тела.

Когда разлом пересекает несколько параллельных благоприятных пластов, образуются связанные между собой многоэтажные рудные залежи. Роль разлома может играть секущий интрузивный контакт.

Рудные тела в пересечении интрузивного контакта рудоносной трещиной. В этом классе выделяется три вида рудных тел. Если рудоносная трещина или разлом пересекает интрузив, но не проникает во вмещающие породы, образуется рудное тело тавровой формы с относительно короткой «ножкой» (Рис. 50). Если рудоносная трещина или разлом пересекает и интрузив, и вмещающие породы, формируется тавровое тело с длинной «ножкой». Если контакт интрузива с вмещающими породами пересекается дайкой, оруденение может развиваться в основном контакте, а также распространяться вдоль дайки во вмещающие породы. Если контакт пересекается дайками и осложняется разломами, рудные тела размещаются вдоль контактов и трещин, образуя сближенные рудные столбы неправильной формы (Рис.51).

Рудные тела в пересечении интрузивным контактом благоприятного пласта**.** В этом виде оруденение подчинено поверхности интрузивного контакта, а также распространяется вдоль отдельных благоприятных пластов.

Геолого-структурные типы рудных полей

Классификация структурных типов рудных полей

Предлагаемая систематика структурных типов рудных полей [2, 5, 6, 10] основана, во-первых, на генезисе рудообразующих процессов и включает три традиционных генетических типа: эндогенные, экзогенные и метаморфогенные. Внутри типов выделены классы и подклассы по признаку сочетания структурных элементов, определивших характер деформаций вмещающих пород и связанных с ними особенностей размещения оруденения.

1. ЭНДОГЕННЫЕ РУДНЫЕ ПОЛЯ

1.1. СКЛАДЧАТЫЕ (рудные поля с преобладающим влиянием складчатых форм на размещение оруденения)

1.1.1. Рудные поля в моноклиналях

1.1.2. Рудные поля в одиночных антиклиналях

1.1.3. Рудные поля в изгибах, ундуляциях, периклинальных замыканиях антиклиналей

1.1.4. Рудные поля в антиклиналях, осложненных разрывными нарушениями

1.1.5. Рудные поля в блокированных горст-антиклиналях и грабен-синклиналях

1.1.6. Рудные поля в синклиналях, осложненных разломами

1.2. РАЗРЫВНЫЕ (рудные поля с преобладающим влиянием разрывных нарушений на размещение оруденения)

1.2.1. Рудные поля в искривлениях поверхностей отдельных разрывных нарушений

1.2.2. Рудные поля в оперенных разломах

1.2.3. Рудные поля в сложных разломах

1.2.4. Рудные поля в тектонических пластинах

1.2.5. Рудные поля в пересечениях разломов

1.2.6. Рудные поля в сопряженных разломах

1.2.7. Рудные поля в блоках между субпараллельными разломами

1.2.8. Рудные поля в клиновидных структурах

1.3. КОНТАКТОВЫЕ (рудные поля с преобладающим влиянием контактовой поверхности интрузивных тел на размещение оруденения)

1.3.1. Рудные поля в согласных и подобных контактах интрузивов с вмещающими породами

1.3.2. Рудные поля в грабенах и прогибах пород кровли

1.3.3. Рудные поля в секущих контактах интрузивов с вмещающими породами

1.3.4. Рудные тела в пересечениях контактовых поверхностей разломами

1.3.5. Рудные поля, связанные с апофизами, дайками и штоками интрузивных пород в породах кровли

1.4. ВНУТРИИНТРУЗИВНЫЕ (рудные поля, в которых на размещение оруденения влияют элементы прототектоники и тектонические свойства магматических пород)

1.4.1. Рудные поля в системах прототектонических трещин

1.4.2. Штокверковые зоны в интрузивах среди осадочных и изверженных пород

1.5. ВУЛКАНОГЕННЫЕ (рудные поля с преобладающим влиянием вулканических структур на размещение оруденения)

1.5.1. Рудные поля, приуроченные к вулканическим куполам

1.5.2. Рудные поля, приуроченные к вулкано-тектоническим депрессиям

1.5.3. Рудные поля, приуроченные к кальдерам

1.5.4. Рудные поля, приуроченные к линейным вулканическим структурам

1.5.5. Рудные поля, приуроченные к корневым частям вулканоструктур

1.5.6. Рудные поля, приуроченные к трубкам взрыва

2. ЭКЗОГЕННЫЕ РУДНЫЕ ПОЛЯ

2.1. КОНТИНЕНТАЛЬНЫЕ (субаэральные)

2.1.1. Денудационные

2.1.2. Эрозионные

2.1.3. Карстовые

2.2. МОРСКИЕ (субмаринные)
2.2.1. Прибрежно-морские
2.2.2. Баровые
2.2.3. Рифовые
2.2.4. Оползневые
2.2.5. Поверхности несогласий
2.2.6. Структуры выклинивания
2.3. ТЕКТОНО-ЭКЗОГЕННЫЕ
2.3.1. Конседиментационные депрессии
2.3.2. Конседиментационные поднятия
3. МЕТАМОРФОГЕННЫЕ РУДНЫЕ ПОЛЯ
3.1. ГРАНИТОГНЕЙСОВЫЕ КУПОЛА И БЛОКИ
3.2. ЗЕЛЕНОСЛАНЦЕВЫЕ ЗОНЫ
3.3. ЗОНЫ СМЯТИЯ

Эндогенные рудные поля

Складчатые рудные поля

Рудные поля с преобладающим влиянием на размещение оруденения складчатых форм располагаются преимущественно в относительно пластичных сланцевых, карбонатных, карбонатно-терригенных и эффузивно-осадочных формациях пород. Общим для этой группы является преобладание согласных рудных тел. Наибольшее значение имеют рудные поля в моноклиналях, в одиночных антиклиналях и в антиклиналях, осложненных разломами.

Рудные поля в моноклиналях (Рис. 52). Оруденение приурочивается к участкам рассланцевания, избирательного дробления благоприятных пластов в местах изгибов и распространяется по простиранию структур. Рудные тела пластообразные, линзообразные, гнездообразные. Масштабы рудных полей данного типа в подвижных зонах обычно невелики. В платформенных условиях они могут приобретать значительные размеры, как, например, стратиформные свинцово-цинковые месторождения района Миссисипи-Миссури в США. С ними связаны полиметаллические и ртутные месторождения.

Рудные поля в одиночных антиклиналях возникают в разнородных слоистых толщах при перекрывании карбонатных пород сланцами. Важным условием формирования одиночной антиклинали является наличие субпараллельных или слегка сходящихся дизъюнктивных нарушений. В структурах такого типа локализуются преимущественно сурьмяные руды сложного минерального состава, нередко сопровождающиеся золотом. В качестве примера можно привести золото-сурьмяное месторождение Терексай в Средней Азии (Рис. 53). Характерно, что сурьмяная минерализация локализуется преимущественно в согласных структурах, а золоторудная – в секущих. Формируются согласные межформационные рудные тела на крыльях и в осевых частях антиклинальных складок (седловидные тела). Масштабы месторождений обычно средние.

Рудные поля в антиклиналях, осложненных разрывными нарушениями. Формируются в сланцевых, карбонатных, карбонатно-терригенных толщах и в их

сочетаниях, главным образом на крыльях антиклиналей и реже – в осевых частях. Контролируются секущими и поперечными нарушениями, связанными со складками более мелких порядков. Наряду с согласными телами широко развиты секущие и сложные. Классическим примером рудных полей данного вида является Никитовское в Украине (см. рис. 22).

Рудные поля в разрывных структурах

Рудные поля с преобладающим влиянием разрывных нарушений на размещение оруденения (разрывные) встречаются преимущественно в породах эффузивных и интрузивных формаций, меньше – в карбонатных. Наиболее важны рудные поля в искривленных и сложных разломах, а также в клиновидных структурах.

Рудные поля в искривлениях разломов. Размещаются преимущественно в крупных интрузивах на крыльях складчатых структур и реже в их осевых частях. Нередко приурочиваются к оперяющим трещинам. Оруденение локализуется в искривленных участках разломов, которые при существовавшем во время минералообразования плане деформаций оказывались приоткрытыми. На рис. 54 приводятся разные варианты приоткрывания искривленных участков разломов. Морфологические типы рудных тел зависят от вида смещения по разлому. При сдвигах возникают рудные столбы, контролируемые изменениями простирания разлома, при сбросах и взбросах – лентовидные линзы, при косых смещениях – наклонные столбы и линзы, размеры которых варьируют в широких пределах. Принципиальная схема геологического строения месторождения в оперенном разломе (план) приводится на рис. 55. Наиболее крупные масштабы имеют флюоритовые поля.

Рудные поля в сложных разломах являются одним из наиболее распространенных типов данной группы. Преобладают в эффузивных и несколько меньше в интрузивных формациях; реже встречаются в карбонатных и сланцевых. Формируются на крыльях складчатых структур, в областях синклинальных прогибов и мульд проседания, заполненных эффузивами. Чаще всего образуются в крупных тектонических блоках, ограниченных протяженными разломами глубинного залегания в виде кососекущих зон. Схема размещения оруденения в сложном разломе (план) представлена на рис. 56. Значение имеет оловорудная, висмутовая и флюоритовая минерализация. Наиболее распространены средние и мелкие поля мезотермального типа.

Рудные поля в клиновидных структурах. Клиновидные структуры известны практически во всех формациях пород и во всех структурных этажах. Чаще всего связаны с кососекущими разломами, узлами пересечения разломов и с изгибами складок (Рис. 57). Общее число рудных полей, относящихся к этому типу, ограничено, но относительное значение их чрезвычайно велико. В подобных структурах размещены золоторудные, сурьмяные и полиметаллические рудные поля.

Рудные поля в интрузивных контактах

Наиболее важными в промышленном отношении являются рудные поля в согласных контактах и связанные с апофизами, дайками и штоками.

Рудные поля в согласных и подобных контактах интрузивов с вмещающими породами. Характерная особенность полей данного типа – плащеобразный контакт интрузивных пород с вмещающей толщей, пересекаемый системами рудоподводящих

трещин (Рис. 58). Наиболее благоприятны для локализации оруденения прогибы, особенно пересекаемые трещинами и разломами, а также участки, круто падающие в сторону сползания пород кровли. По составу руд преобладают вольфрамовые (шеелитовые); подчиненную роль играют железорудные и свинцово-цинковые. Промышленное значение данного типа достаточно высоко.

Рудные поля, связанные с апофизами, дайками и штоками интрузивных пород в породах кровли. Располагаются, как правило, на крыльях антиклинальных структур и приурочиваются либо к крутым продольным разломам, выполненным дайками интрузивных пород, либо к экзоконтактовым зонам крупных интрузивов, осложненных продольными и поперечными дизъюнктивными нарушениями. Оруденение может размещаться либо непосредственно в контакте, породах контактово-метаморфической формации вдоль даек и апофиз. По вещественному составу преобладают полиметаллические рудные поля, меньшее значение имеют вольфрамовые и железорудные. Масштабы рудных полей варьируют в широких пределах, относительное значение их велико.

Внутриинтрузивные рудные поля

В этой группе следует выделить два типа, с которыми нередко связаны уникальные и крупные месторождения: расслоенные интрузии и штокверковые зоны.

Расслоенные интрузивные массивы основного и ультраосновного состава играют огромную роль в мировой минерально-сырьевой базе. С ними связаны крупнейшие месторождения платиноидов, хромитов и титаномагнетитовых руд Бушвельдского лополита в ЮАР (см. рис. 24), а также сульфидные медно-никелевые залежи в Норильском и Мончегорском районах РФ. В расслоенных интрузивных массивах щелочного состава известны редкометальные месторождения. Наиболее значительным из них является Ловозерское месторождение на Кольском полуострове. Редкометальное оруденение содержится в слое луявритов-малиньитов, принадлежащих к третьей фазе массива.

Штокверковые зоны в интрузивах среди осадочных и изверженных пород. Располагаются на крыльях антиклинальных структур и приурочены к зонам крупных разломов (Рис. 59). Основной фактор размещения оруденения – массовое дробление магматогенных пород при складкообразовании и тектонических движениях по разломам. Формируется вкрапленное и прожилково-вкрапленное оруденение штокверкового типа.

Вулканогенные рудные поля

Среди рудоносных вулканоструктур П. Д. Яковлев выделяет купола, депрессии, кальдеры, линейные вулканы и поля развития субвулканических тел и корневых частей вулканических аппаратов (Рис. 60).

К вулкано-купольным постройкам приурочены многие медноколчеданные, полиметаллические, золото-серебряные ртутные, бериллиевые и урановые месторождения. Пластообразные, жильные и штокверковые рудные залежи располагаются в вулканических покровах. Жильные штокверковые тела находятся внутри и около вулканических жерл конической формы, линейных и трубообразных. К вулкано-тектонической брахиантиклинали, осложненной крутопадающими продольными и поперечными разрывами, приурочено Сибайское рудное поле.

Молодежное медноколчеданное месторождение также размещается в пределах вулканического купола, осложненного многочисленными разрывными нарушениями. Юбилейное месторождение расположено на склоне вулканогенного поднятия, сложенного базальтами, и локализовано в теле кислых вулканитов верхней части разреза базальт-риолитовой формации.

Кальдеры часто характерны для комплексов ультраосновных щелочных пород и карбонатитов, формирующихся на платформах и щитах. Положение их определяется узлами сопряжения и пересечения крупных глубинных разломов. Кальдеры складчатых областей часто имеют вытянутую форму и располагаются в узлах сопряжений глубинных разломов, а во многих случаях бывают приурочены к вулкано-купольным структурам, которые на поздних стадиях развития преобразуются в кальдеры. Пример – уран-флюоритовые месторождения Стрельцовского района. Масштаб крупный.

Линейные вулканические сооружения характерны для риолит-гранитовых комплексов, локализующихся на отдельных участках глубинных разломов, в местах их изгибов, разветвлений, а также сопряжений и пересечений с поперечными разрывными нарушениями. Рудоносные участки представляют собой узкие тектонические зоны, выполненные вулканогенно-осадочными толщами, породами жерловой фации и субвулканическими образованиями. К ним относятся массивы рудоносных вторичных кварцитов и золото-серебряные месторождения Северо-Востока России и др.

В трубках взрыва локализуются крупные меднопорфировые месторождения, а также молибденовые, золоторудные, урановые объекты. Парагенетически они связаны с малыми гипабиссальными интрузивами и формировались, как и интрузивы, в условиях небольших глубин. Положение полей трубок взрыва контролируется главным образом региональными зонами разрывных нарушений: узлами их сопряжения и пересечения.

Экзогенные рудные поля

Для экзогенных рудных полей главными рудоконтролирующими факторами являются геоморфологический, климатический и тектонический.

Геоморфологические факторы представлены формами рельефа земной поверхности. В их образовании главную роль играют разные рельефообразующие процессы – денудация, эрозия, аккумуляция, карстообразование и т. д. Климатические факторы определяют физико-химические процессы рудообразования. Роль тектонического фактора выражается в формировании конседиментационных поднятий и депрессий, в образовании которых часто участвуют конседиментационные разломы.

Г. Ф. Яковлев [10] предлагает следующую классификацию структур экзогенных рудных полей.

1. Субаэральные (континентальные):

1) денудационные;

2) эрозионные;

а) долинные,

б) котловинные;

3) карстовые.

2. Субмаринные (морские):

1) прибрежно-морские

2) баровые;

3) рифовые;

4) оползневые;

5) поверхности несогласия;

6) структуры выклинивания.

3. Тектоно-экзогенные:

1) конседиментационные депрессии;

2) конседиментационные поднятия.

Субаэральные (континентальные) рудные поля

Денудационные структуры связаны с региональными корами выветривания площадного типа. Они образуются на поверхностях выравнивания, называемых также пенепленами или денудационными равнинами (61). Рудные поля денудационного типа представляют собой крупные пластообразные (платообразные) тела, которые формируются в конце крупных геоморфологических циклов. В эту группу относятся месторождения каолина, латеритные бокситы (Боке и другие), бурые железняки, силикатные никелевые руды и т. д.

Эрозионные структуры – это поверхности, выработанные проточной водой. К ним относятся речные долины, эрозионные террасы, уступы, озерные котловины (Рис. 62). Рудные залежи эрозионного типа образуются в результате аккумуляции, а их размещение и форма определяются элементами строения эрозионных структур – долин и котловин.

Речные долины заключают главным образом аллювиальные россыпи ценных минералов – золота, платины, алмазов и пр. С ними связаны также месторождения строительных материалов – гравия, песка, глины. Кроме того, с погребенными речными долинами юрского возраста связаны гидрогенные месторождения урана инфильтрационного типа (Далматовское и Хохловское).

Россыпи разделяются на несколько подклассов, в зависимости от геоморфологических элементов долин, с которыми они связаны – русловые, косовые, террасовые, дельтовые и др. различают россыпи современные и погребенные. Уникальное месторождение золото-урановых конгломератов Витваттерсранд в ЮАР, по одной из точек зрения, представляет собой погребенную дельтовую россыпь.

Озерные котловины развиты преимущественно на платформах. Они заключают осадочные месторождения железа, марганца, бокситов и др.

Карстовые структуры формируются в результате карстовых процессов, которые принято разделять на три группы: 1) экзогенные – связанные с подземными водами, 2) эндогенные – вызванные деятельностью гидротермальных вод и 3) полигенные и полихронные – сочетающие подземные воды и гидротермальные растворы. Общей чертой для всех генетических типов карста является наличие благоприятных для растворения пород, часто карбонатных. Такие месторождения часто встречаются на Урале – бокситы СУБРа (Рис. 63), силикатные никелевые руды Уфалейского и других районов, инфильтрационные месторождения железа алапаевского типа, в том числе Кашинское и Свято-Чудовское в окрестностях г. Сухой Лог.

Субмаринные (морские) рудные поля

Важнейший промышленный тип для редкометальных месторождений представляют собой прибрежно-морские россыпи (ПМР), связанные с зонами пляжа и подводного склона. Современные ПМР распространены в приэкваториальных странах – Австралии, Индии, Бразилии. Форма рудных тел этих месторождений лентообразная. Россыпи являются регенерирующимися, то есть восстанавливающимися за счет продолжающегося привноса морем редкометальных минералов. Известны также погребенные ископаемые ПМР.

Бары – крупные аккумулятивные формы, протягивающиеся вдоль берега моря. Они частично или полностью отделяют от моря крупные морские заливы – лагуны. В лагунах создаются особые условия седиментации. Лагуны превращаются в соляные бухты, где происходит отложение минеральных солей. Примером баровых структур является месторождение мирабилита в Карабугазском заливе, а также месторождения медистых сланцев и свинцово-цинковых руд.

Рифовые структуры отличает карбонатный состав и кластическое строение. С ними связано стратиформное оруденение.

Оползневые структуры образуются в результате гравитационного оползания слоев на склонах подводных поднятий. Формируются оползневые складки, сложенные подводно-коллювиальными брекчиями. Такие процессы, вызванные ростом кислых экструзивных куполов, развиты на многих медноколчеданных месторождениях.

Важным структурным типом рудных полей являются поверхности несогласия, с которыми сопряжены крупнейшие месторождения урана Канады и Австралии. Аналогичная поверхность контролирует бокситовые месторождения СУБРа (Рис. 64).

Структуры выклинивания представляют собой участки резких фациальных изменений рудовмещающих толщ, выклинивание тех или иных пород, к которым приурочены рудные концентрации. Оруденение вмещается зонами брекчирования и трещиноватости на фациально-геохимическом барьере.

Тектоно-экзогенные рудные поля

С конседиментационными депрессиями – мульдами связаны в первую очередь осадочные месторождения железа, например, Керченское в Крыму (Рис. 65). С конседиментационным поднятиям приурочены уникальные стратиформные свинцово-цинковые месторождения междуречья Миссисипи-Миссури, гидротермальные залежи флюорита и др.

Метаморфогенные рудные поля

Г. Ф. Яковлев [10] выделяет 3 структурных типа метаморфогенных рудных полей:

1) гранито-гнейсовые купола и блоки;
2) зеленосланцевые зоны;
3) зоны смятия.

Рудные поля в гранитогнейсовых куполах

Гранито-гнейсовые купола развиты, главным образом, на древних докембрийских щитах, реже в фанерозойских складчатых областях, в частности, на Урале. Это крупные структуры, размер которых в поперечнике составляет километры – десятки километров. Купола сложены гранитизированными породами – мигматитами и

гранито-гнейсами, которые на глубине сменяют граниты магматического облика. Внутреннее строение куполов сложное. В центральных частях обычно обнаруживаются реликты складчатой структуры. Кристаллы в породах ориентированы параллельно поверхности купола.

С гранито-гнейсовыми куполами связаны месторождения полиметаллов, железа и золота, слюд – мусковита, флогопита, а также талька, графита, антофиллита и других полезных ископаемых. Для России наиболее значительны месторождения слюд (Рис. 66) Мамской провинции (мусковит) и Алдана (флогопит) в Якутии.

Рудные поля в зеленосланцевых зонах

Зеленосланцевые синклинальные зоны встречаются чаще всего в двух позициях: 1) окаймляют гранито-гнейсовые блоки и купола; 2) выполняют вулканогенные троги, приуроченные к глубинным разломам. Внутреннее строение зон также сложное. Для них характерны складки течения, будинаж. Складчатость осложнена продольными и диагональными разломами, зонами рассланцевания и трещиноватости. В этих структурных элементах залегают рудные тела.

Наиболее яркие примеры месторождений в зеленосланцевых зонах – Криворожский железорудный бассейн (Рис. 67), золоторудное поле Колар в Индии. К зеленосланцевым зонам приурочены также разнообразные руды черных, цветных, благородных и редких металлов.

Рудные поля в региональных зонах смятия

Региональные зоны смятия, по сути, являются физическим выражением глубинных разломов. Их мощность составляет километры и десятки километров, протяженность по простиранию – сотни километров, по падению – километры. Строение зон смятия также сложное. Региональные зоны смятия состоят из локальных зон, чередующихся с блоками менее метаморфизованных и рассланцованных пород. Локальные зоны, в свою очередь, состоят из кулисно расположенных зон рассланцевания и трещиноватости. Они сложены динамо-метаморфизованными породами – различными тектонитами.

В пределах зон смятия развиты сжатые до изоклинальных, параллельно ориентированные линейные складки продольного изгиба, а также складки течения и скалывания. Тектониты характеризуются сланцеватостью, линейностью, будинажем, трещиноватостью, разрывами и др.

Зоны смятия более характерны для древних щитов, но известны и в складчатых областях. Это подвижные и проницаемые структуры, к ним приурочены пегматитовые, грейзеновые, альбититовые, собственно гидротермальные и метаморфогенные месторождения руд черных, цветных, благородных и редких металлов, а также неметаллического сырья – керамического, пьезооптического, слюд и др. Наиболее ярким примером служит Даванская зона смятия в Северо-Западном Прибайкалье (Рис. 68).

Контрольные вопросы

1. Что такое рудоконтролирующие факторы?
2. Охарактеризуйте модель куба деформаций горных пород
3. Как связано оруденение с разрывными нарушениями?

4. Как связано оруденине со складчатыми нарушениями?
5. Охарактеризуйте рудоносные магматические тела
6. Опишите рудоносные вулканоструктуры
7. Охарактеризуйте согласные рудные тела
8. Охарактеризуйте секущие рудные тела
9. Как образуются рудные тела в трещинах отрыва?
10. Опишите контактовые рудные тела
11. Охарактеризуйте сложные рудные тела
12. Перечислите структурные группы эндогенных рудных полей
13. Перечислите основные типы экзогенных рудных полей
14. Перечислите основные типы метаморфогенных рудных полей

Тема 4. Методы прогнозно-поисковых исследований рудных полей

Теоретические основы ведущих прогнозно-поисковых методов

Количественное прогнозирование полезных ископаемых

Прогнозирование размещения полезных ископаемых составляет неотъемлемую часть геологических исследований и выполняется во всех масштабах. Каждая стадия геологоразведочных работ должна начинаться и заканчиваться прогнозированием. Предшествующее прогнозирование служит основой для составления проекта работ данной стадии, итоговое прогнозирование является конечной целью этих работ.

В развитии геологического прогнозирования в нашей стране последовательно использовались разные методические подходы [3]. Дедуктивный подход применяла школа Ю. А. Билибина во ВСЕГЕИ. Он основан на представлениях о закономерном развитии геосинклиналей и платформ и связях металлогении с этапами этого развития. Школа К. И. Сатпаева в ИГ Каз АН исходила, наоборот, из необходимости конкретного изучения индивидуальных особенностей развития каждого региона и разнообразия металлогенических соотношений. Это индуктивный подход. В обоих случаях масштаб исследований региональный, прогноз дается только качественный, в результате его выделяются площади разной степени перспективности.

Школы Е. Т. Шаталова, Д. В. Рундквиста, Н. Б. Вассоевича, Д. П., Сапожникова, А. Д. Щеглова опираются в своих исследованиях на формационный принцип, из которого следуют критерии и факторы прогнозирования. При этом под формацией понимаются естественные ассоциации геологических тел (в том числе и рудных залежей), связанных общностью генезиса и территории. Здесь дается уже количественный прогноз, выделяются площади с посчитанными прогнозными ресурсами. Масштаб более крупный, прогнозирование выполняется в пределах рудных районов.

Широко распространен также параметрический подход, основанный на представлениях о наличии функциональных связей между минерализацией и сопряженными с ней полями: геохимическими, геофизическими, петрологическим, тектонофизическими. Масштаб в этом случае также районный, а прогноз количественный, причем прогнозные ресурсы рассчитываются как функции параметров.

Разработанная в нашем университете П. А. Шехтманом и В. В. Бабенко [1], методика количественного прогнозирования базируется на системном подходе.

Системный подход, в данном случае, это способ научного мышления, направленный на создание модели объекта прогнозирования. Он предусматривает изучение условий размещения известной минерализации и моделирование благоприятных геологических позиций, а затем анализ их размещения в геологическом пространстве, то есть собственно прогнозирование.

По определению П. А. Шехтмана, геологическое прогнозирование – это обоснование ожидаемого поведения и размещения геологических тел за пределами изученного пространства (про-гноз – это пред-знание). Количественное прогнозирование предусматривает: 1) количественное изучение геологических тел и явлений, 2) геометризацию структур и явлений, 3) установление количественных зависимостей между геологическими телами и явлениями, с одной стороны, и минерализацией, с другой, 4) получение на этой основе характеристики полезного ископаемого: формы, размеров, количества, качества.

Процесс прогнозирования в целом включает последовательное решение следующих задач: 1) изучение условий размещения минерализации (месторождений, рудопроявлений, отдельных рудных тел, околорудных метасоматитов); 2) составление объемной структурной модели исследуемой территории, являющейся основой для прогнозных построений; 3) выявление рудоконтролирующих факторов и оценка их относительной значимости; 4) размещение рудоконтролирующих факторов в объемной модели района и оконтуривание перспективных площадей; 5) категоризация и подсчет прогнозных ресурсов; 6) оценка надежности прогнозирования.

Решение перечисленных задач составляет суть рассматриваемой методик количественного прогнозирования, методы же решения их могут быть различны. Они определяются степенью изученности территории и масштабом исследований, то есть уровнем объектов прогнозирования в иерархии геологических тел. Объектами прогнозирования являются металлогенические тела разных уровней, разного масштаба – рудные провинции, районы, поля, рудные тела. Предмет изучения при количественном прогнозировании – это признаковое множество, которое образуют в земной коре геологические тела, явления и процессы вместе с минерализацией. Это множество неоднородно и разделяется, согласно П. А. Шехтману, на 4 подмножества: адресные, атрибутивные, факторные и критериальные признаки. Адресные признаки характеризуют положение объекта в геологическом пространстве, времени или процессе. К ним относятся возраст оруденения, его геотектоническая позиция. Атрибутивные признаки включают внутренние качества и свойства объекта – размеры месторождений, содержание полезных компонентов и вредных примесей, мощности рудных тел, запасы. Факторные признаки составляют подмножество тех геологических явлений, которые определяют возможность образования, геологическую позицию месторождений, размещение, форму и качество рудных тел. Это рудовмещающие и рудоносные горные породы, геологические контакты, разломы, складки, вулканоструктуры. К критериальным признакам относятся разные характеристики факторных, например: ориентировка, размеры, кинематический тип разлома. Ведущая роль в прогнозировании принадлежит факторным признакам, или рудоконтролирующим факторам, используются адресные и критериальные. Атрибутивные признаки составляют субъект и объект прогнозной оценкии.

Рудоконтролирующие факторы (РФ) – это вещественное выражение причин и условий формирования полезного ископаемого. Факторы различаются по масштабу действия: одни из них контролируют рудные районы, другие – рудные поля, третьи – рудные тела и т. д. В рудообразовании участвуют разные геологические процессы: разрывные, складчатые, вулканические, литологические (стратиграфические), магматические и др. В связи с этим выделяются соответствующие виды рудоконтролирующих факторов. Наборы их существенно различаются для разных генетических типов полезных ископаемых и для разных рудных формаций. Разные виды факторов также различаются по относительной значимости в контроле оруденения. Так, для гидротермальных месторождений ведущими являются тектонические факторы, для осадочных – литологические.

Рассмотрим теперь методы решения перечисленных выше основных задач количественного прогнозирования.

Первая задача – изучение условий размещения известных рудных объектов – заключается в определении признакового множества минерализации. В полевых условиях ведется документация, картирование и опробование оруденения, затем, в камеральный период, лабораторные и другие исследования, составление карт, планов, разрезов, проекций. В результате изученные рудные объекты систематизируются, составляется кадастр рудных объектов, в которых сводятся данные об их свойствах и условиях размещения.

Вторая задача – построение объемной структурной модели территории, так называемой карты рудогенеза. Геологическая ситуация, изображенная на ней, должна быть максимально приближена к условиям, существовавшим во время рудообразования. При построении модель используются все имеющиеся графические геологические материалы – геологические, формационные, фациальные, структурные, тектонические карты, карты метаморфизма и метасоматоза, серии продольных и поперечных разрезов и другие. На ней отражается вся информация о геологических телах и явлениях, участвующих в строении района, которая может быть показана в выбранном масштабе исследований. Второе требование к прогнозной основе – она должна быть геометризована. Геометризация дает нам графическую модель объекта прогнозирования, без которой конкретная прогнозная оценка, особенно количественная, невозможна. Для геометризации выбирается поверхность, наиболее тесно связанная с оруденением. Это может быть интрузивный контакт, разлом, контур ореола околорудных метасоматитов, маркирующий горизонт, подошва или кровля рудовмещающей толщи, структурного яруса или этажа – в зависимости от масштаба прогнозирования, особенностей прогнозируемой рудной формации, имеющихся данных. Методы геометризации общеизвестны, особенно эффективны отстройки в изолиниях: изогипсах при горизонтальной или пологой плоскости проекции и изолонгах при вертикальной (изолонги – это линии равного удаления от вертикальной плоскости проекции), а для рудных тел – в линиях равных содержаний, мощностей, метропроцентов.

Третья задача заключается в выделении рудоконтролирующих факторов оруденения. Решение этой задачи в нашей методике основано на выявлении связи разных геологических тел с известными рудными объектами и на оценке этой связи

методами математической статистики. Набор оцениваемых признаков определяется конкретными условиями прогнозирования, в первую очередь, заданным масштабом и степенью изученности территории, то есть имеющимися данными. Так в 1976-1980 годах Северная экспедиция нашего университета (СНИГЭ) проводила прогнозно-металлогенические работы на Полярном Урале. В масштабе 1:200000 выполнен количественный прогноз на 9 рудных формаций (цветные, редкие и благородные металлы). При этом оценивались порядок, возраст, эндогенный режим и величина зон влияния для всех геологических тел, а также следующие признаки: для геологических формаций – генетический тип и состав; для контактов – тип, характер, ориентировка, волнистость, бок и сочетание формаций в контакте; для разломов – простирание, направление и угол падения, волнистость, бок, кинематика, длина; для складок – форма, простирание, волнистость оси и степень сжатия складки; для магматических тел – форма, размеры, ориентировка. Следует также оценивать сочетание факторов разных видов: пересечение и сопряжение разломов, нарушение разломами складок, контактов, вулканоструктур, магматических тел, пересечение складок друг с другом и т. д. Каждый из этих признаков представлен несколькими значениями – градациями, для которых рассчитываются оценки значимости. Градации признаков могут быть качественными и количественнымии. Так, признак "форма магматических тел" будет иметь качественные градации, соответствующие проявившимся в районе исследований магматическим формам: шток, дайка, силл, батолит и др. Градации признака "простирание структур" (разломов, складок, контактов, даек и др.) будут количественными, а именно: интервалы значений азимута простирания, ширина которых определяется по правилам математической статистики. При недостатке данных возможно и более грубое градуирование с выделением, например, четырех градаций: субмеридиональное, субширотное, северо-восточное и северо-западное простирание.

В качестве результативного показателя при оценке, в зависимости от имеющейся информации, берутся какие-либо атрибутивные признаки минерализации. Лучше всего использовать в этом качестве запасы полезных компонентов. Если это невозможно, то следует брать метропроценты (метрограммы), содержание или мощность рудных тел. При недостатке информации может быть использована оценка в баллах, например: крупное месторождение – 1000, среднее – 100, мелкое – 10, рудопроявление – 1, точка минерализации – 0,1. Способы расчета тоже оценок могут быть разными. В статистических методах в качестве оценок могут выступать значения дисперсии, коэффициентов вариации или корреляции, а также мультипликативные показатели, учитывающие несколько статистических характеристик.

Логико-информационные методы, разработанные Р. М. Константиновым с соавторами (ЦНИГРИ), основаны на некоторых понятиях кибернетики, комбинаторики, теории графов и метода тупиковых тестов. Количественная оценка роли признаков в контроле оруденения базируется в них на определении информационных весов. Если исследуемая территория мало изучена или в ее пределах минерализация интересующего нас типа не известна, при прогнозировании могут быть взяты рудоконтролирующие факторы, установленные для другой территории, где есть эталонные объекты, то есть может быть использован метод аналогии. Распространен

также метод экспертных оценок, когда рудоконтролирующие факторы и их оценки устанавливаются экспертами – ведущими специалистами учеными и производственникам. Наконец, набор рудоконтролирующих факторов может быть определен по литературным источникам. В этом случае для расчета их оценок целесообразно использовать методы теории информации, а именно: показатель относительной энтропии, характеризующий степень однородности сведений о рудоконтролирующей роли того или иного признака.

Рассчитав тем или иным способом оценки относительной значимости признаков, нужно выделить из них рудоконтролирующие факторы. Это можно сделать по конфигурации вариационной кривой оценок, где рудоконтролирующим факторам соответствует область максимальных значений, или опять же с использованием статистических приемов. Выделенные рудоконтролирующие факторы систематизируются, то есть делятся по масштабу и по видам. Систематика их представляет собой модель благоприятной геологической позиции рудных районов, полей и тел. Сформировав эти позиции, можно переходить к решению следующей, четвертой задачи – анализу их размещения в геологическом пространстве. Рудоконтролирующие факторы выносятся на отдельную карту, где в результате их пересечения образуются геологически однородные блоки (ГОБ) – участки земной коры, в пределах которых геологическая ситуация в заданном масштабе одинакова. Одни из них содержат рудную минерализацию, в других она не известна. Для каждого такого блока рассчитывается суммарная оценка действующих в нем факторов. Компактные группы перспективных ГОБ оконтуриваются в качестве перспективных рудных районов, полей и тел. Границами их являются РФ соответствующего масштаба.

Для выделенных перспективных площадей подсчитываются прогнозные ресурсы и определяются их категории – решается пятая задача прогнозирования. Способы подсчета прогнозных ресурсов разных категорий были рассмотрены ранее.

Наконец, последняя, шестая задача – оценка надежности прогнозирования, тоже может быть выполнена несколькими методами. Во-первых, решением обратной задачи, когда по установленным РФ и их оценкам рассчитываются прогнозные ресурсы площадей с эталонными объектами, и эти ресурсы сравниваются с разведанными запасами. Во-вторых, методом параллельного прогнозирования, когда на одной и той же территории выполняются прогнозные исследования двумя независимыми методиками. В-третьих, может быть использован так называемый метод аналогии статистических распределений оценок перспективных блоков с известной минерализацией и блоков, в которых минерализация не обнаружена, разработанный В. В. Бабенко. Но самым надежным, хотя и самым дорогим методом проверки прогнозных построений, является практика - постановка геологоразведочных работ следующей стадии.

Геометризация рудоконтролирующих поверхностей

Цели и задачи геометризации

Анализ условий размещения месторождений полезных ископаемых разных типов показывает, что все они приурочены к той или иной геологической поверхности, которая входит в число ведущих рудоконтролирующих факторов. Так, расположение магматических месторождений всегда определяется конфигурацией интрузивного

контакта. Альбититовые, грейзеновые и порфировые рудные поля связаны с апикальными частями массивов гранитоидов. Скарновые залежи образуются в контактовой зоне силикатных и карбонатных пород. Рудные жилы – это тела выполнения разломов, которые также характеризуются обычно сложной поверхностью. Осадочные месторождения четко контролируются рельефом дна палеобассейна, границами слоя рудоносных пород и т. д. Подавляющее большинство нефтяных и газовых залежей находится в сводовых частях антиклинальных складок, вследствие чего для поисков используется составленная по данным сейсмических исследований структурная карта поверхности нефтеносной толщи.

Таким образом, разные геологические поверхности контролируют размещение оруденения. Рельеф продуктивной геологической поверхности определяет закономерности размещения в ее пределах минерализации. Изучение рельефа продуктивной структурной поверхности является одной из важнейших задач при исследовании месторождений.

Ведущим методом изучения геологических поверхностей является их геометризация. Геометризация рудоконтролирующих поверхностей – неотъемлемая часть методики анализа закономерностей размещения оруденения. Цель геометризации рудных полей, месторождений и рудных тел – изображение на картах и планах, разрезах и проекциях их геологических форм и свойств вещества, заполняющего эти формы.

Основной прием геометризации – построения в изолиниях. Способ построения в изолиниях достаточно прост. Изолинии доступны для всех арифметических и алгебраических действий. Легко осуществляется переход от изолиний к разрезам и наоборот. Изолиниями можно пользоваться для геометризации любых свойств и качеств геологических тел – мощностей, содержаний, запасов и т. д.

Методические приемы геометризации будет рассмотрены на практических занятиях, в этом разделе разберем некоторые теоретические вопросы.

При геометризации необходимо учитывать особенности геологических поверхностей, их отличия от поверхностей топографических.

Особенности геологических поверхностей

Топографические поверхности, как это установлено еще П. К. Соболевским, должны удовлетворять четырем условиям [5]: 1) конечности, 2) однозначности, 3) непрерывности и 4) плавности.

Условие конечности состоит в том, что в каждой конкретной точке, определяемой линейными координатами, высотная отметка имеет конечное значение. Поверхности геологических тел конечны только в пределах их внутреннего контура. За их пределами линейные координаты не будут характеризоваться какими-либо значениями, так как сама поверхность отсутствует.

Условие однозначности: в каждой точке топографической поверхности, определяемой линейными координатами, высотная отметка имеет только одно значение. Исключением являются только нависающие обрывы, которые, впрочем, недолговечны. Геологические тела и их поверхности располагаются в пространстве твердой земной коры, где они имеют опору в смежных породах. Кроме того, у геологических тел могут быть выделены поверхности верхние и нижние: кровля и

подошва, висячий и лежачий бок. Отсюда вытекают важные следствия. Геологические поверхности могут как угодно сложно изгибаться в пространстве земной коры. Опрокинутые складки, разрывы, дайки, лакколиты могут иметь любые нависающие формы. И поскольку геологические тела всегда имеют верх и низ, то даже у самых простых из них геологическая поверхность будет двузначна. В случае сложных дислокаций они являются многозначными. Следовательно, условие однозначности применительно к геологическим поверхностям имеет ограничение: поверхности геологических тел однозначны в пределах одной геологической позиции.

Условие непрерывности предполагает, что бесконечно малому приращению линейных координат отвечает бесконечно малое приращение отметки. Поверхности геологических тел непрерывны между разрывными нарушениями, которые могут привести или к отрицанию условия однозначности в случае нарушений с притиранием или к отрицанию условии конечности в случае нарушения с зиянием.

Понятие плавности для геологических поверхностей не является определенным. Топографические поверхности в общем доступны наблюдениям любой детальности, что обеспечивает плавность изолиний. Геологические поверхности недоступны для визуального изучения, информацию об их свойствах дают точечные или линейные пересечения. Плавность изолиний при построении геологических поверхностей дает только иллюзию достоверности, кажущуюся точность. Поэтому для их изображения нередко применяют ломаные линии.

Таким образом, геологические поверхности принципиально отличаются от топографических и, в частности, от топографической поверхности Земли. Соответственно, формы геологических поверхностей обычно достаточно далеки от дихотомически ветвящихся волн, типичных для рельефа Земли.

Морфологические типы геологических поверхностей

Среди морфологических типов геологических поверхностей выделяются [5] сложногофрированные, куполообразно-волнистые, зазубренно-волнистые, сундучно-волнистые и коробленые (Рис. 69).

Сложногофрированные поверхности присущи многим складчатым структурам. Они ближе всего стоят к топографическим поверхностям, особенно складчатого рельефа, но имеют от них характерное отличие. Оно заключается в том, что дополнительные усложнения складчатых структур могут развиваться параллельно основной оси, вдоль крыльев складок. В складках рельефа поверхности подобные структуры крайне редки.

Куполообразно-волнистые поверхности часто образуются в пологих и наклонных интрузивных контактах. Обычно поверхность интрузива волниста в двух перекрещивающихся направлениях: одно из них примерно параллельно длинной оси интрузива, другое – перпендикулярно ей. В результате пересечения и интерференции этих волн образуются системы куполов и впадин, усложняющих общий склон интрузива. При этом отмечается прямая зависимость между характером и степенью дислоцированности вмещающих интрузив пород и волнистостью его кровли.

Зазубренно-волнистые поверхности возникают в секущих, особенно крутых интрузивных контактах и в некоторых структурах отрыва («рваные» поверхности). Неоднородность вмещающих пород и избирательная активность магмы создают

неправильно волнистую поверхность контакта, часто с большим количеством разноориентированных апофиз, расположенных во вмещающих породах в виде пластовых или секущих тел. В результате контактовая поверхность приобретает необычайно сложную форму, напоминающую соты с ячейками разной формы и глубины. Такие поверхности более наглядно изображаются не плавными, а ломаными изолиниями.

Сундучно-волнистые поверхности образуются в сундучных антиклиналях и синклиналях; иногда на такую поверхность, напоминающую поставленные на ребро плоские чаши, имеют разломы.

Коробленые поверхности часто образуются в трещинных жилах. Отдельные участки трещин, на фоне их генерального положения в пространстве, могут обладать существенно различными элементами залегания, формой и размерами. Чаще всего они имеют трехгранную или четырехгранную форму. Крутопадающие трещины с короблеными поверхностями не находят себе даже отделенных подобий в формах, топографической поверхности Земли; они скорее напоминают стены, обильно оснащенные скульптурными и архитектурными деталями.

Анализ мелкой трещиноватости

Мелкой трещиноватостью горных пород называется совокупность имеющихся в них мелких трещин. Эти трещины недоступны для индивидуального картирования даже в самых детальных масштабах и не всегда могут быть изображены на зарисовках. Вместе с тем они являются важными свидетелями условий развития деформации пораженной ими горной породы, а также в существенной доле определяют физические свойства породы.

Условия и причины возникновения мелких трещин в горных породах разнообразны. Эти трещины образуются в результате диагенетических превращений осадочных пород, при остывании и контракции минералов изверженных пород и их гидротермальных изменениях, при тектонических деформациях, минерализационных оседаниях и обрушениях пород и по иным причинам. Нередко эти процессы охватывают значительные объемы горных пород, а иногда развиваются локально. В мелкой трещиноватости фиксируется суммарный результат этих процессов.

Изучение мелкой трещиноватости позволяет разрешить ряд задач, например [5]:

1) выяснить общую характеристику строения трещиноватых пород;

2) определить проницаемость пород для рудообразующих растворов;

3) установить влияние внутренней морфологии и свойств пород на развитие в них деформаций;

4) определить морфогенезис изверженных пород;

5) рассмотреть условия распределения в породе разных минеральных комплексов;

6) охарактеризовать механические свойства пород;

7) выяснить природу силового поля, вызвавшего трещинные деформации в породе.

При полевой документации мелкой трещиноватости необходимо соблюдать условие единства геологической позиции, фиксировать форму, размеры трещин,

характер поверхности, минеральное заполнение, визуально выделять системы и их взаимоотношения друг с другом. Кроме того, целесообразно определить удельную трещиноватость, частоту трещин, удельное растяжение.

Станция замера трещин полностью должна находиться в единой геологической позиции. Геологической позицией точки наблюдений называется ее пространственное положение в горной породе определенного типа и в определенных отношениях к форме и условиям залегания породы. Таким образом, все трещины должны располагаться в одной и той же горной породе. Кроме того, трещины, расположенные вблизи северного или южного контактов интрузивного массива или в центральной его части, находятся в разных позициях. Изменение элементов залегания контакта также будет обусловливать различие геологических позиций. Трещины вблизи пересекающих интрузив разломов или даек также будут иметь свою особую позицию. В осадочных породах разные геологические позиции будут располагаться в осевых частях или на крыльях складок, вблизи разломов и т. д.

Форма, размеры трещин и рельеф стенок определяются свойствами вмещающей среды и силовым полем, вызвавшим ее деформацию. Как известно, трещины отрыва и скола различаются по форме и рельефу стенок. Различают трещины прямолинейные, слабоизогнутые, волнистые и ломаные. Волнистость и ломаные формы обычны для трещин отрыва, имеющих очень неровную поверхность от шероховатой до зубчатой. Трещины сколов и сдвигов, наоборот, характеризуются притертой, иногда с зеркалами и бороздками, в общем ровной поверхностью. Размеры и форма трещин зависят не только от механизма образования, но и от состава и структуры породы.

По составу минерального заполнения трещины могут быть разделены на три группы: 1 – не заполненные минералами полые трещины, 2 – трещины, заполненные продуктами разрушения вмещающих пород (брекчия, дресва, тектоническая глинка и т. п.), 3 – трещины, заполненные продуктами отложения из растворов. Для характеристики свойств пород трещины первых двух групп могут быть более дробно подразделены по степени разверзания, по характеру заполнения, длине и др. Трещины последней группы обычно делятся по минеральному составу заполнения.

Характеристика систем трещин. Система трещин – это пространственная их совокупность, обладающая одинаковыми или близкими элементами залегания. Как правило, элементы залегания трещин подчиняются нормальному закону распределения. Это означает, что наибольшее количество трещин данной системы имеет близкие элементы залегания, определяя полюс системы. Постоянно уменьшающееся количество трещин имеют все более отклоняющиеся друг от друга элементы залегания и образуют ореол рассеяния вокруг своего полюса. Обычно ореолы рассеяния тектонических трещин не превышают размаха в 20-25^{o} как по азимутам, так и по углам падения.

Удельная трещиноватость является объективным показателем интенсивности массовых деформаций данной породы, обладающей определенными свойствами. На практике удельная трещиноватость определяется как количество макроскопически видимых трещин, приходящихся на линейный метр обнаженной поверхности горной породы. При этом учитываются все трещины, независимо от их систематики.

Кроме удельной трещиноватости, следует различать частоту трещин. Частоту характеризует количество трещин данной системы, приходящееся на 1 м в направлении

вкрест простирания и перпендикулярно падению системы. В некоторых случаях частота будет совпадать с удельной трещиноватостью.

Удельное растяжение является объективным показателем степени разгрузки породы от давления в тот или иной период. Под удельным растяжением понимается процентное отношение объема приоткрываний в трещинах ко всему объему породы, содержащей эти трещины. Обычно приоткрывания заполнены минералами или частицами породы. Для полноты характеристики удельного растяжения породы нужно делать замеры в трех направлениях.

Соотношение с другими трещинами имеет значение для выяснения условий трещинных деформаций, характера и направления создавших трещины усилий и соотношения процессов трещино- и минералообразования.

Массовые замеры трещин нуждаются в обработке, которая выполняется разными графическими способами, с помощью диаграмм.

Камеральная обработка массовых замеров выполняется, как правило, статистическими методами. Методические и технические приемы обработки будут рассмотрены на практических занятиях.

Контрольные вопросы

1. Назовите ведущие методы исследования рудных полей
2. Какие методы относятся к картировочным
3. Какие методы относятся к ведущим
4. Какие задачи решаются при детальном прогнозировании
5. В чем состоит метод количественного прогнозирования геолого-статистическими методами
6. В чем состоит метод геометризации рудоконтролирующих поверхностей
7. В чем состоит метод изучения мелкой трещиноватости?

Литература

1. Бабенко В. В., Коцуба А. П. Прогнозирование условий размещения полезных ископаемых: Научное издание. – Екатеринбург: Изд-во УГГГА, 2001. – 385 с.

2. Вольфсон Ф. И., Яковлев П. Д. Структуры рудных полей и месторождений. Учебное пособие для вузов. – М.: Недра, 1985. – 309 с.

3. Детальные структурно-прогнозные карты гидротермальных месторождений./П. А. Шехтман, В. А. Королев, Н. А. Никифоров и др. М.: Недра, 1979. – 280 с.

4. Коробейников А. Ф. Геологическое картирование рудных полей и месторождений. Учебное пособие. – Томск: ТПУ, 1997. – 165 с.

5. Королев А. В., Шехтман П. А. Структурные условия размещения послемагматических руд. М.: Недра, 1965. – 507 с.

6. Кривцов А. И., Яковлев П. Д. Структуры рудных полей и месторождений, металлогения и прогноз рудоносности. М.: Недра, 1991. – 382 с.

7. Невский В. А., Фролов А. А. Структуры рудных месторождений кольцевого типа. – М.: Недра, 1985. – 247 с.

8. Принципы, методы и порядок оценки прогнозных ресурсов твердых полезных ископаемых. Рекомендации межинститутской рабочей группы Госнедра / Под редакцией А.И. Кривцова; составители: Беневольский Б.И. (руководитель), Аксенов Е.М., Блинова Е.В. и др. – М.: ЦНИГРИ, 2010. – 95 с.

9. Старостин В. И., Дергачев А. Л., Семинский Ж. В. Структуры рудных полей и месторождений: Учебник. М.: Изд-во МГУ, 2002. – 352 с.

10. Яковлев Г.Ф. Геологические структуры рудных полей и месторождений. Учебное пособие для вузов. – М.: Изд-во МГУ, 1982. – 267 с.

11. Яковлев Г. Ф. Вулканогенные структуры месторождений полезных ископаемых. – М.: Недра, 1984. – 208 с.

АЛЬБОМ
РИСУНКОВ К КУРСУ ЛЕКЦИЙ И САМОСТОЯТЕЛЬНОЙ РАБОТЕ ПО ДИСЦИПЛИНЕ «ПРОГНОЗ И ПОИСКИ В ПРЕДЕЛАХ РУДНЫХ ПОЛЕЙ»

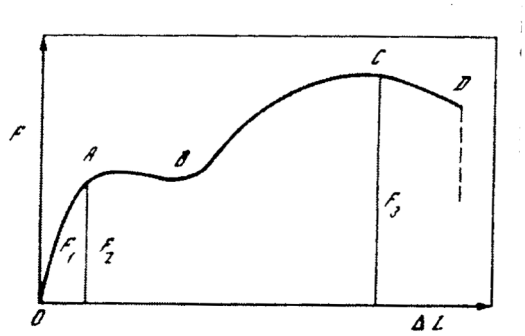


Рис. 1. Кривая деформаций:
F – величина усилия; ΔL – приращение длины стержня; OA – упругая деформация (деформация прямо пропорциональна величине усилия); A – предел упругости (предел пропорциональности, отвечающий силе F_1); F_2 – усилие, отвечающее пределу упругости; AB – удлинение без изменения усилия («текучесть»); B – предел пластичности; C – предел прочности; F_3 – соответствующее ему усилие; D – разрыв образца

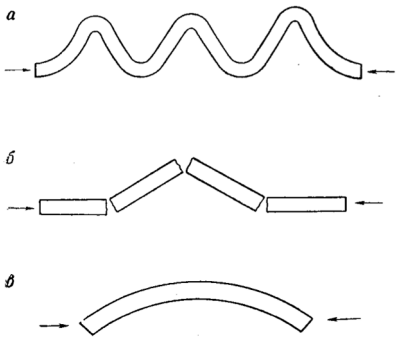


Рис. 2. Схемы деформации пластичного (*а*), хрупкого (*б*) и несущего (*в*) пластов, вызванной продольным изгибом. Разрезы

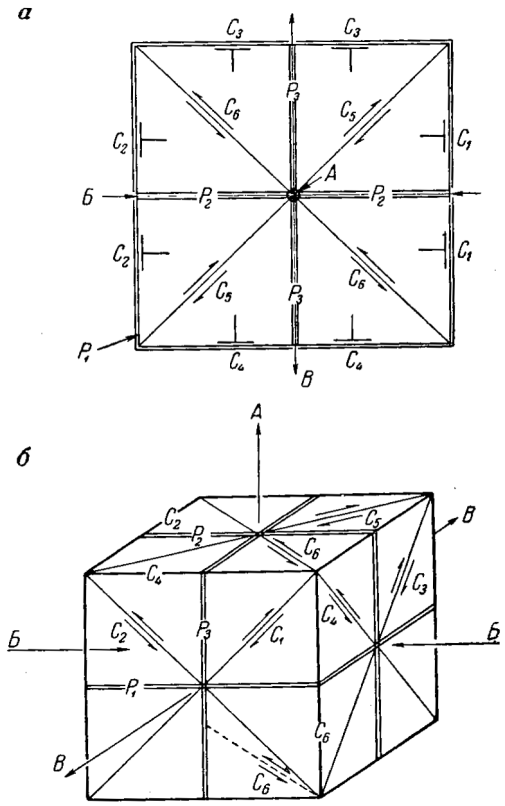


Рис. 3. Основные плоскости деформаций:
а – в плане; *б* – в пространстве. Плоскости: C_1 и C_2 – взброса; C_3 и C_4 – сброса и взброса; C_5 и C_6 – сдвига; P_1 – горизонтального отрыва; P_2 – отрыва; P_3 – сжатия

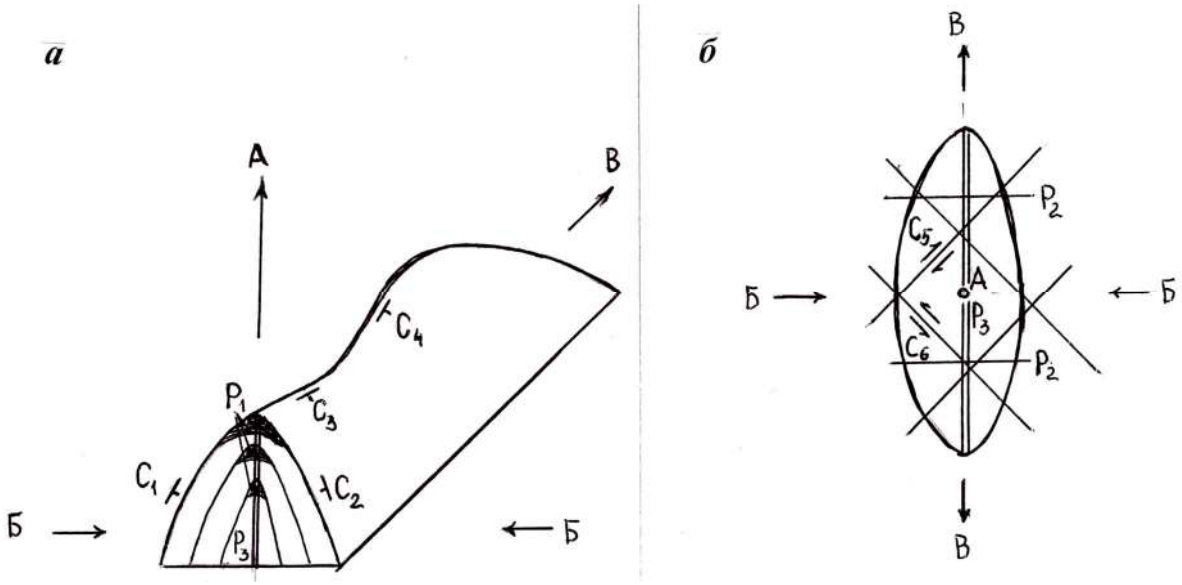


Рис. 4. Положение куба деформаций в складчатых структурах: *а* – в разрезе, *б* – в плане

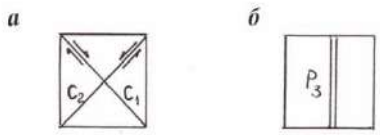


Рис. 5. Ориентировка сопряженных трещин в идеально хрупких (а) и в идеально пластичных (б) породах

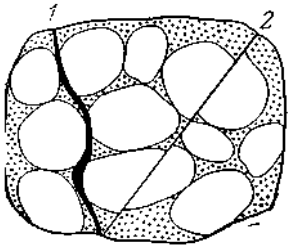


Рис. 6. Трещины отрыва (1) и скалывания (2) в конгломератах

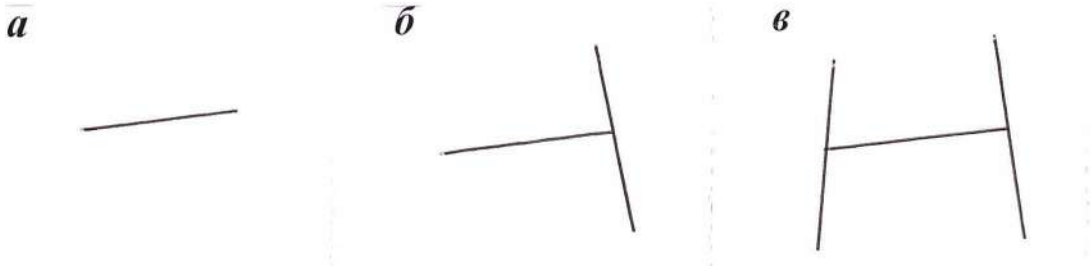


Рис. 7. Виды разломов по характеру окончания:
а – неограниченные, б – полуограниченные и в – ограниченные

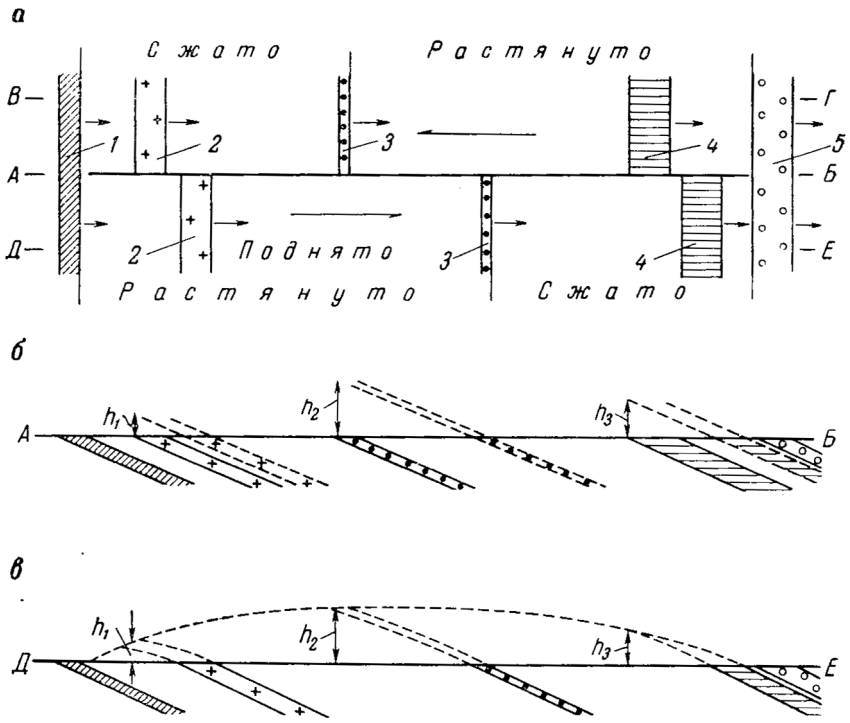


Рис. 8. Деформация разрыва со взбросо-сдвиговым перемещением:
а – план разрыва; пласты 1 и 5 не перемещены; *б* – совмещенный разрез по АБ; пунктиром указаны пласты поднятого блока ДЕ; *в* – деформация поднятого блока. Разрез

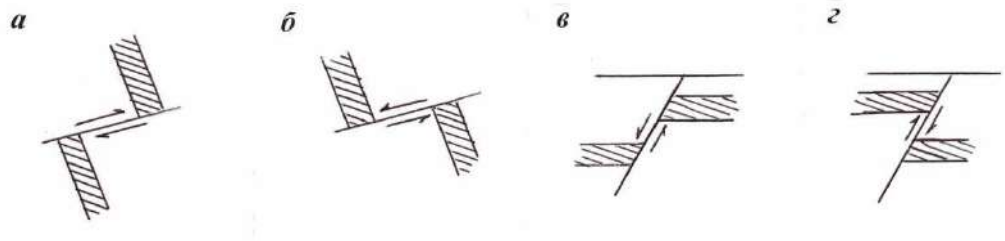


Рис. 9. Кинематические типы разломов: *а* – правый сдвиг; *б* – левый сдвиг; *в* – сброс; *г* – взброс

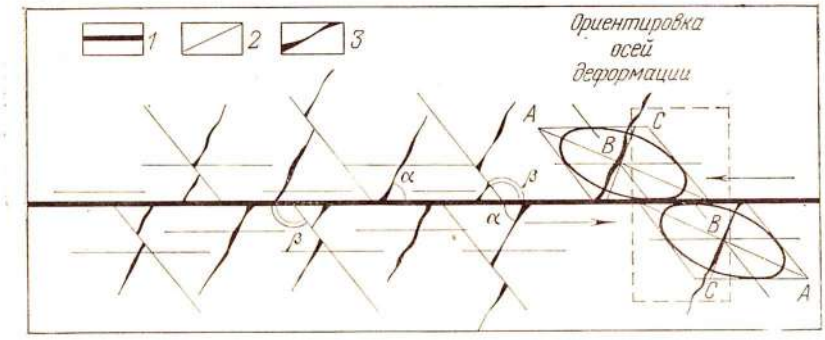


Рис. 10. Схема формирования боковых трещин, оперяющих сдвиг:
1 – главное разрывное нарушение; оперяющие трещины: 2 – скалывания, 3 – отрыва. A, B, C – главные оси деформации; α – острый угол, образованный оперяющими трещинами отрыва со сместителем в двигавшемся блоке; β – тупой угол, образованный оперяющими трещинами скалывания со сместителем в двигавшемся блоке. Стрелками показано направление перемещения блоков пород, пунктирной линией – кубические блоки породы до деформации

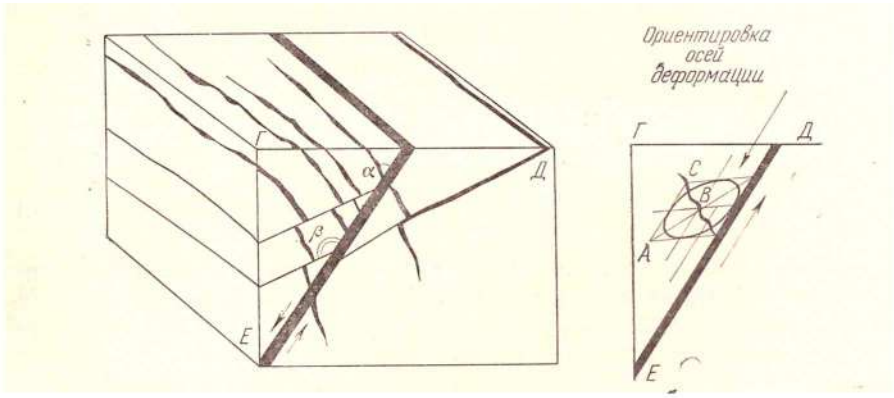


Рис. 11. Схема формирования боковых трещин, оперяющих сброс

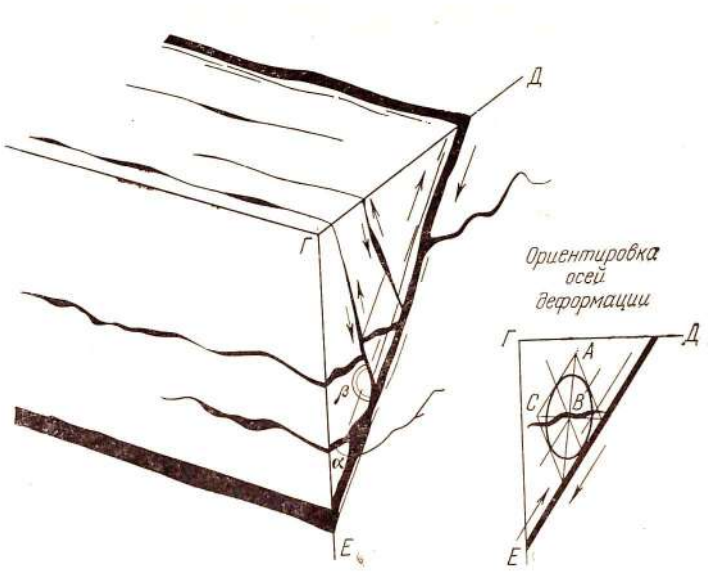


Рис. 12. Схема формирования боковых трещин, оперяющих взброс

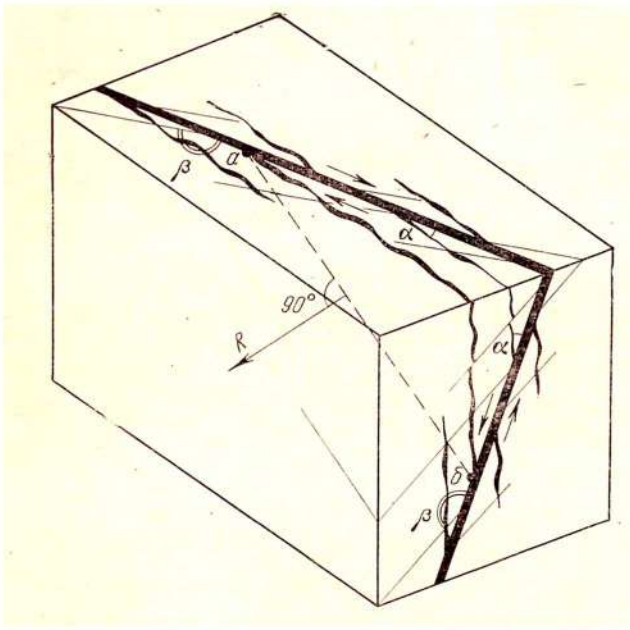


Рис. 13. Схема формирования боковых трещин, оперяющих сбросо-сдвиг:
R – направление перемещения висячего бока сбросо-сдвига, перпендикулярное к линии сопряжения (*аб*) оперяющей трещины отрыва со сместителем

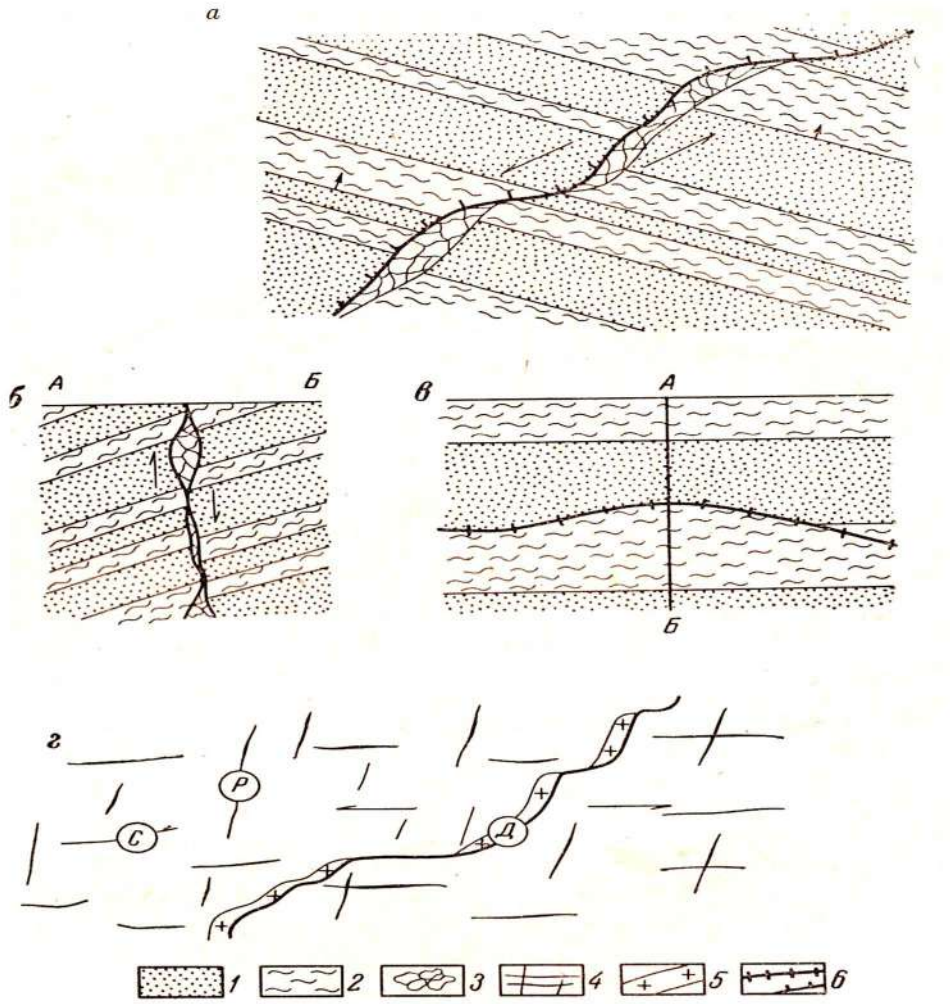
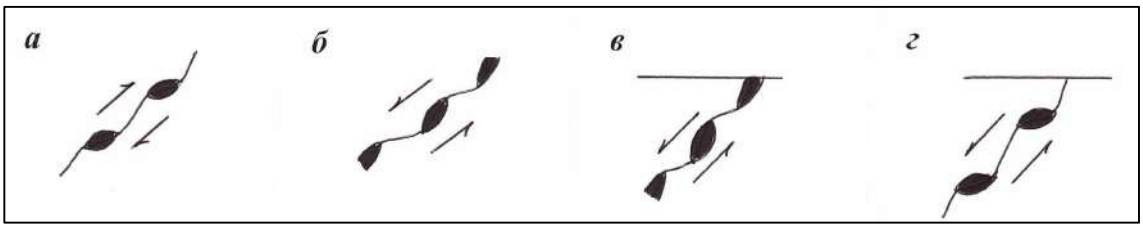


Рис. 14. Волнистость поверхностей разломов:
а – крутопадающая волнистость в разломе среди анизотропных пород (план); *б* – волнистость продольного разлома в свите наклоннопадающих пластов (разрез); *в* – то же, в плане; *г* – волнистость разлома среди интрузивных пород; *1* – хрупкий пласт; *2* – пластичный пласт; *3* – брекчии; *4* – трещиноватость гранитоидов; *5* – дайка; *6* – трещины



д

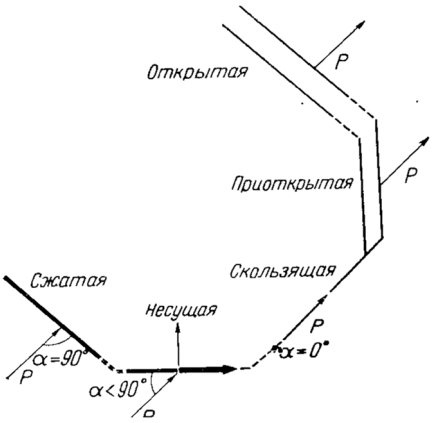


Рис. 15. Приоткрывание граней разлома при разных направлениях смещения: в плане: *а* – при правом сдвиге, *б* – при левом сдвиге; в разрезе: *в* – при сбросе, *г* – при взбросе; *д* – классификация граней трещины по отношению к направлению усилия

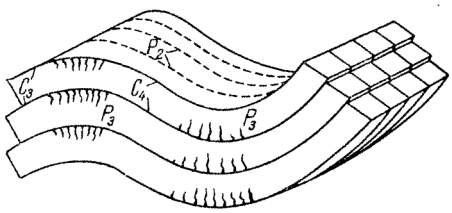


Рис. 16. Системы трещин, возникающие в концентрических складках жестких пластов

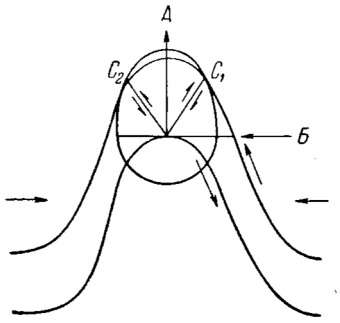


Рис. 17. «Подобные» складки, возникающие при продольном изгибе в пластичных породах. Разрез

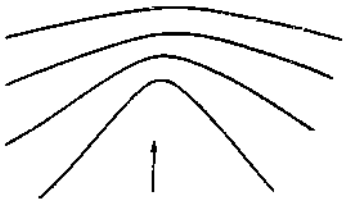


Рис. 18. Складка поднятия в пластичных породах с уменьшением мощности в осевой части. Разрез

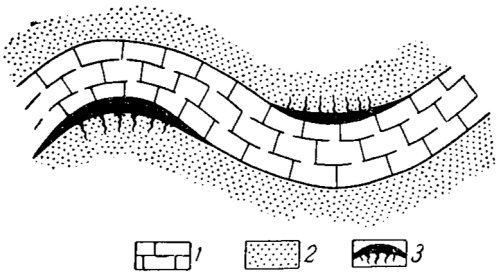


Рис. 19. Распределение пустот и трещин (3) при совместном изгибе несущего пласта (1), залегающего между двумя хрупкими (2). Разрез

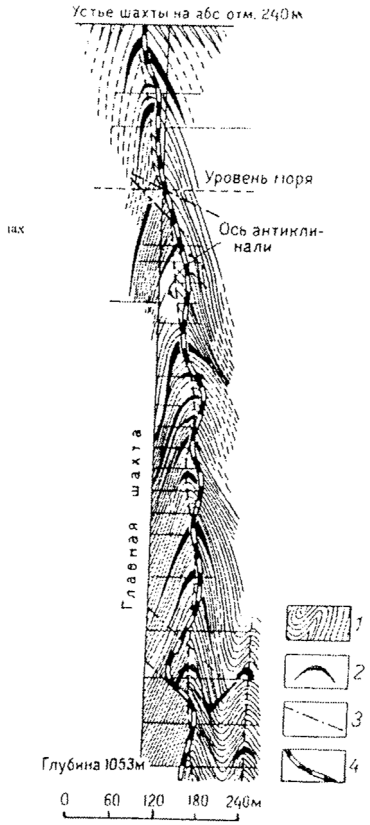


Рис. 20. Многоэтажные седловидные золото-кварцевые жилы на месторождении Бендиго, Австралия (по У. Стоуну)

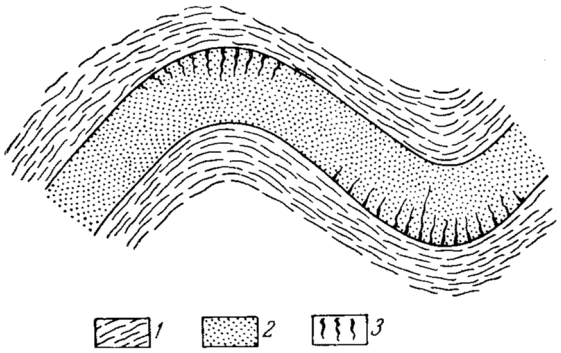


Рис. 21. Распределение трещин (3) при совместном изгибе хрупкого пласта (2), залегающего между пластичными (1). Разрез

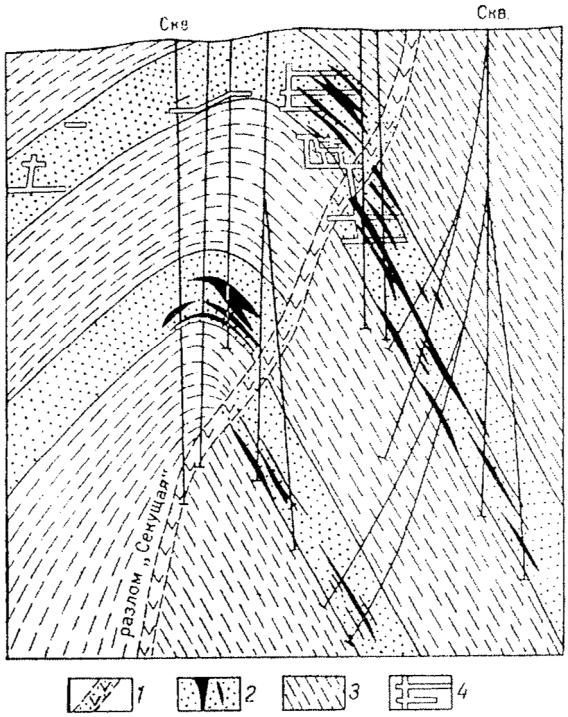


Рис. 22. Пластовые залежи киновари в горизонтах песчаников Никитовского месторождения в Донбассе (по А. Добрянскому):
1 – зона брекчирования разлома «Секущая»; 2 – оруденение в песчаниках; 3 – безрудные сланцы; 4 – подземные горные выработки

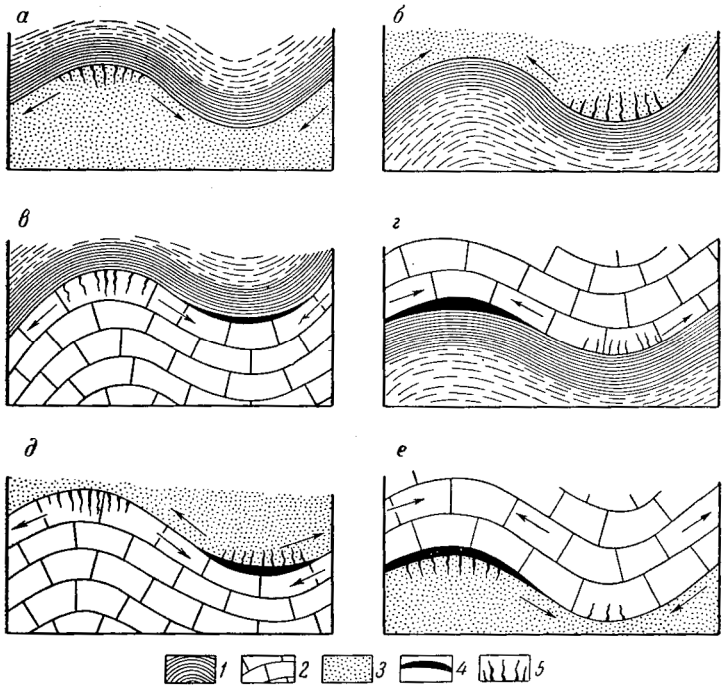


Рис. 23. Результаты изгибания разных (*а – е*) систем двух разнородных пластов:
1 – пластичные; 2 – несущие; 3 – хрупкие; 4 – пустоты; 5 – трещины

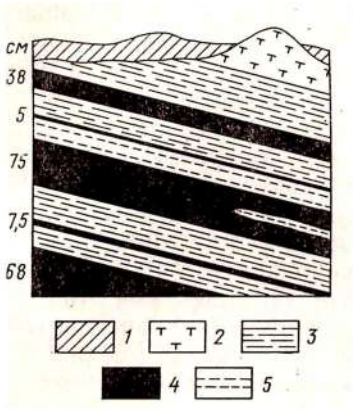


Рис. 24. Пластовые залежи хромитов в Бушвельдском комплексе в Южной Африке (по В. Купферберюргеру):
1 – четвертичные отложения; 2 – анортозиты; 3 – диаллаговые габбро; 4 – хромиты; 5 – бронзито-диаллаговые породы

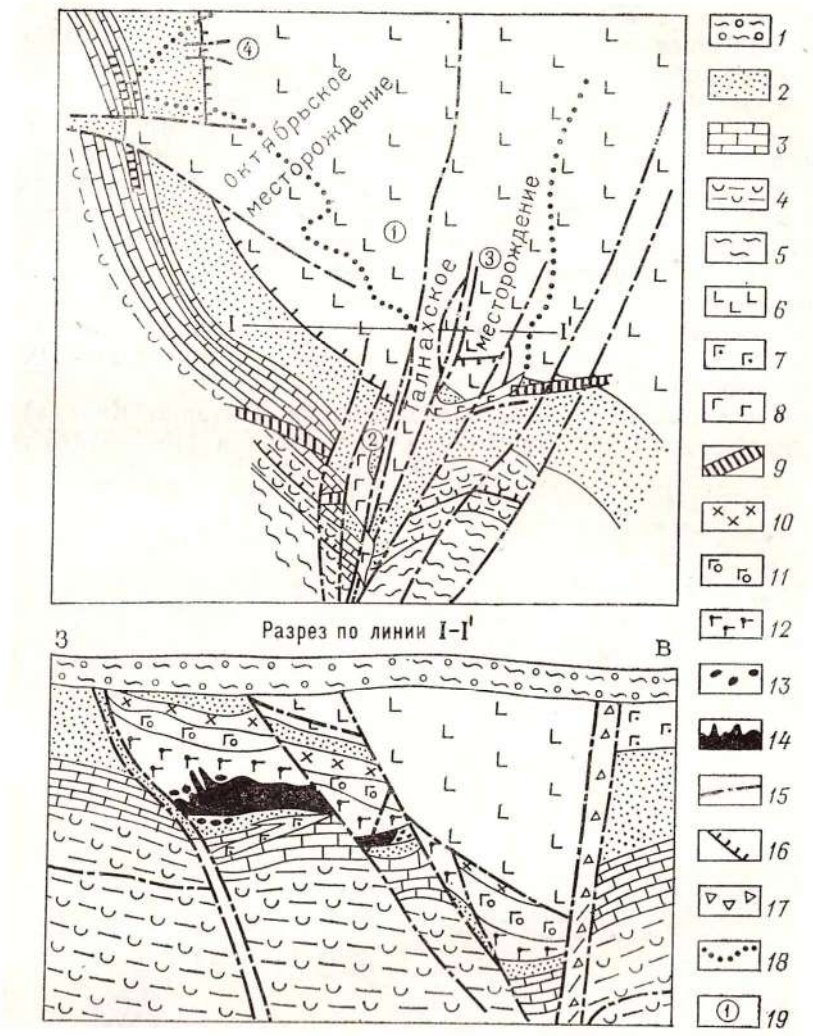


Рис. 25. Схематический план Талнахского рудного поля и разрез юго-западной части Талнахского месторождения (по В. Ф. Кравцову и А. В. Тарасову):
1 – четвертичные отложения; 2 – угленосные отложения P-C; 3 – карбонатная толща D_3; 4 – ангидрит-мергелистая толща D_2; 5 – карбонатно-глинистая толща D_1; 6 – туфолавовая толща P-T; 7 – долериты и микродолериты; 8 – выходы рудоносной талнахской интрузии под четвертичные отложения; 9 – пластообразные апофизы Талнахской интрузии; 10 – метадиориты, габбро; 11 – оливиновые габбродолериты; 12 – рудоносные габбродолериты; 13 – вкрапленные богатые руды; 14 – массивные руды; 15 – разрывные нарушения;16 – пологие разрывные нарушения; 17 – тектонические брекчии; 18 – границы Талнахской интрузии; 19 – ветви Талнахской интрузии: 1 – северо-западная, 2 – юго-западная, 2– северо-восточная, 4 – Хараелахская

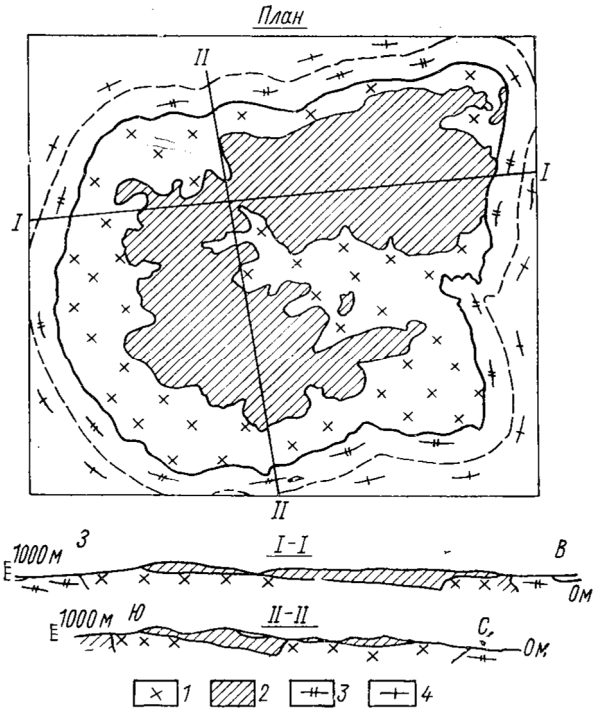


Рис. 26. Геологическое строение массива редкометальных нефелиновых сиенитов (по Власову К. А. и др.):
1 – дифференцированный комплекс нефелиновых сиенитов; 2 – эвдиалитовые луявриты и эвдиалититы; 3 – фениты; 4 – гнейсы и гранитогнейсы

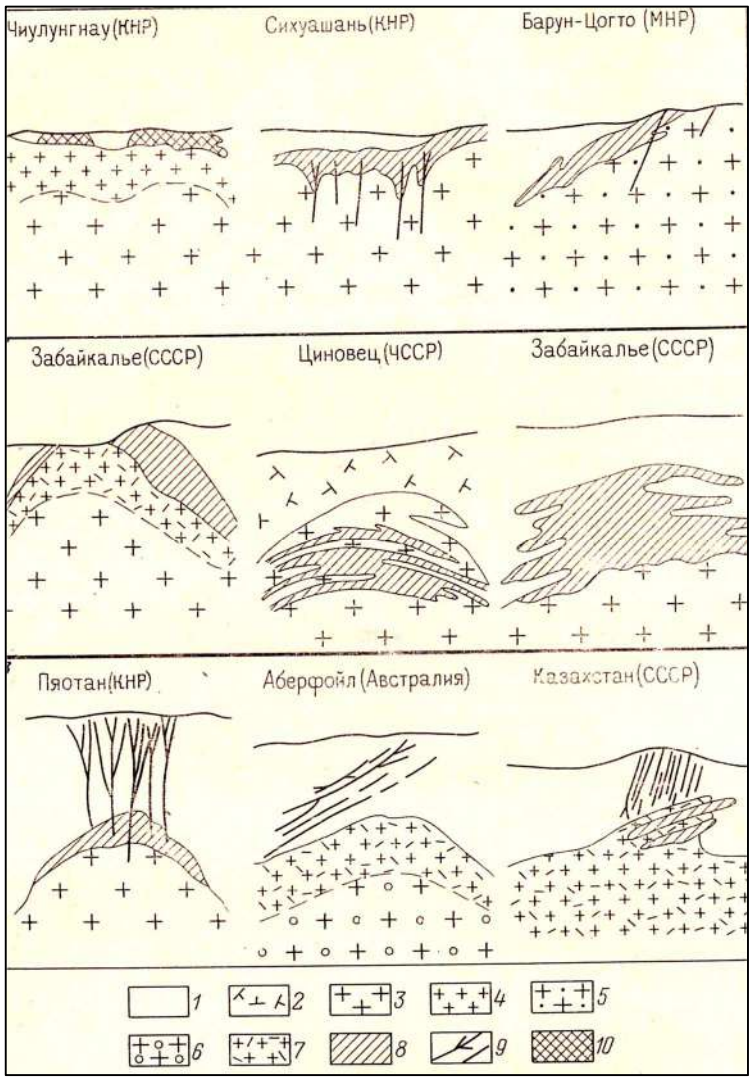


Рис. 27. Схемы взаимосвязи разных структурно-морфологических типов грейзеновых месторождений с формой кровли гранитных массивов (по Д. В. Рундквисту и др.):
верхний ряд – горизонтальная или очень пологая кровля; средний ряд – купольная с пологими апофизами; нижний ряд – купольная с наклонными и крутопадающими апофизами; 1 – осадочные породы кровли; 2 – порфировый кварцевый риолит; гранит: 3 – крупно-, среднезернистый и др.; 4 – аплитовидный; 5 – амазонитовый, 6 – порфировидный, 7 – грейзенизированный; 8 – рудоносный грейзен; 9 – рудные жилы; 10 – вольфрамово-рудное кварцевое тело

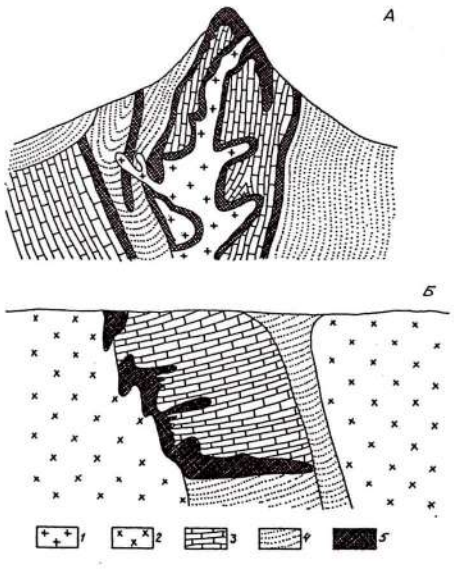


Рис. 28. Схематические геологические разрезы скарновых месторождений: А – Тырныаузского вольфрам-молибденового (по А. В. Пэку); Б – Фроловского – медные Турьинские рудники (по Я. П. Баклаеву): 1 – граниты; 2 – диориты; 3 – известняки; 4 – вулканогенно-осадочные породы; 5 – скарны с рудной минерализацией

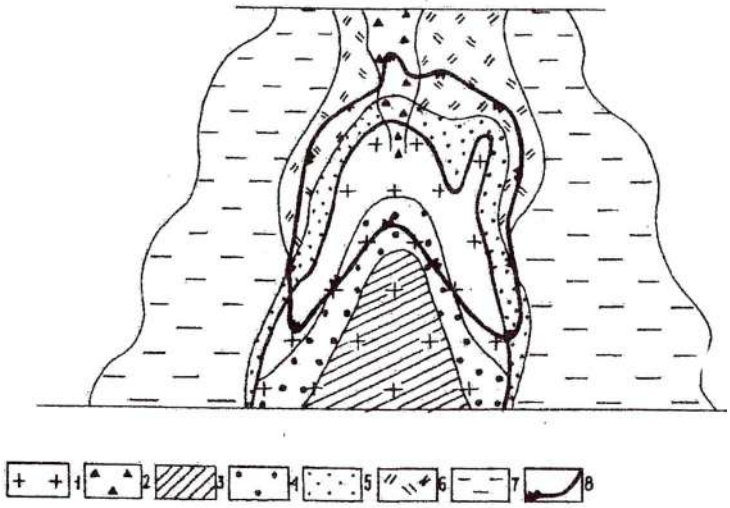


Рис. 29. Модель медно-порфирового месторождения (по А. И. Кривцову): 1 – рудоносный порфировый интрузив; 2 – брекчиевая трубка; 3 – кварцевое «ядро»; 4 – зона калишпатизации и биотитизации; 5 – зона окварцевания и серицитизации; 6 – зона аргиллизации; 7 – пропидлитизированные породы интрузивной рамы; 8 – контуры промышленных руд

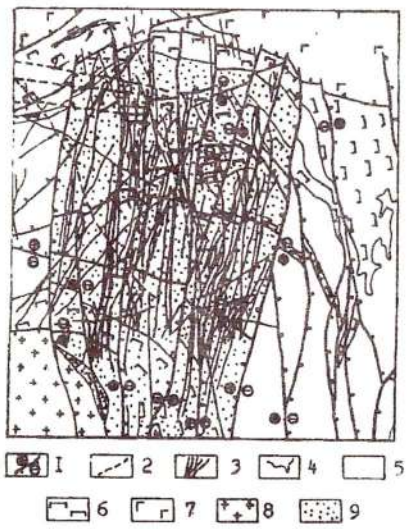


Рис. 30. Березовское рудное поле (Средний Урал):
1 – додайковые разломы, штрихами показано направление падения разломов, знаками плюс и минус – приподнятый и опущенный блоки соответственно; 2 – последайковые разломы; 3 – дайки гранитоидов; 4 – межформационные контакты; формации: 5 – базальтовая, 6 – гипербазитовая, 7 – габбро-диорит-долеритовая; 8 – гранитовая; 9 – рудное поле

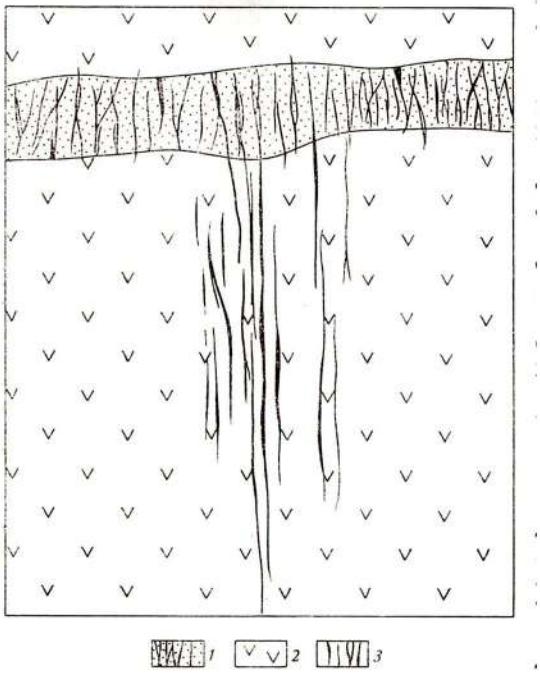


Рис. 31. Фрагмент Березовского рудного поля (по М. и Н. Бородаевским):
1 – березитизированная дайка гранит-порфира с лестничными жилами; 2 – змеевики; 3 – красичные жилы

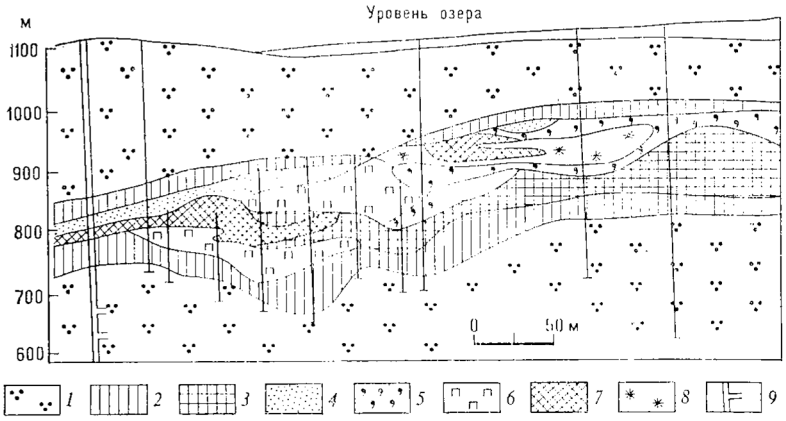


Рис. 32. Разрез главного пегматитового тела месторождения Берник-Лейк (по Р. А. Гроузу и П. Черны):
1 – амфиболиты; 2-8 – пегматиты: 2 – внешняя кварц-альбитовая зона с микроклин-пертитом и турмалином, 3 – нижняя промежуточная зона микроклин-пертит-кварц-альбитовая со сподуменом, 4 – линзы мелкозернистого альбита, 5 – верхняя промежуточная зона микроклин-сподуменовая с кварцем, 6 – внутренняя кварц-альбит-микроклин-пертитовая зона с бериллом, 7 – кварцевое ядро; 8 – поллуцитовая зона; 9 – шахта

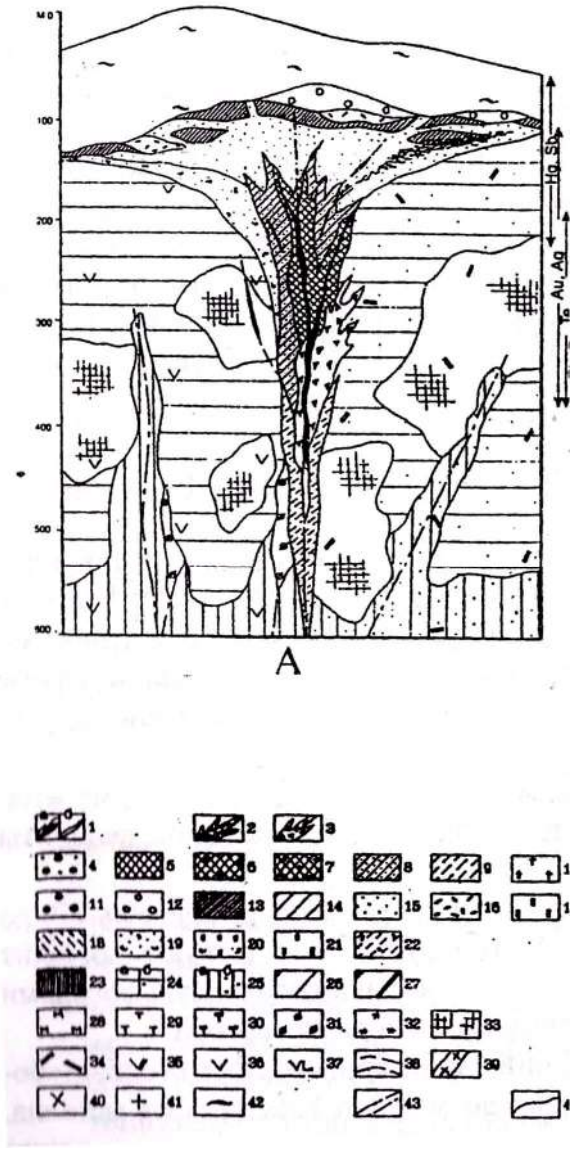


Рис. 33. Модель зональности золото-серебряного месторождения Карамкен (Магаданская обл.):
1 – жилы и прожилки: рудные (а), безрудные (б); 2-3 – предрудные изменения: 2 – зоны адуляр-кварц-сульфидного прожилкования, 3 – гидротермальные брекчии; 4-10 – околотрещинные метасоматиты: 4 – существенно кварцевые, 5 – адуляр-кварцевые, 6 – гидрослюдисто-адуляр-кварцевые, 7 – кварц-гидрослюдистые с адуляром, 8 – адуляр-кварц-гидрослюдистые со смектитом, 9 – существенно серицитовые или кварц-серицитовые с карбонатом, хлоритом, 10 – турмалин-кварц-мусковитовые; 11-22 – фации аргиллизитов – вторичных кварцитов: 11 – существенно кварцевая с сульфидами, 12 – монокварцевая, 13 – существенно каолинитовая, 14 – кварц-каолинит-диккитовая, 15 – существенно гидрослюдистая, 16 – алунит-кварцевая, 17 – диаспор-кварцевая, 18 – кварц-каолинит-пирофиллитовая; 19 – кварц-гидрослюдисто-смектитовая, 20 – кварц-смектит-хлоритовая, 21 – кварц-хлоритовая, 22 – гидрослюдисто-серицитовая со смектитами, кварцем, карбонатом, хлоритом; 23-27 – фации пропилитов: 23 – цеолит-хлоритовая, 24 (а) – карбонат-альбит-хлоритовая, 24 (б) – карбонат-альбит-серицитовая, 25 (а) – эпидот (пренит)-хлоритовая, 25 (б) – серицит-хлоритовая, 26 – эпидот-актинолит-альбитовая, 27 – роговообманково-биотит-эпидот-альбитовая; 28-33 – прочие изменения: 28 – муско – скарны, 32 – роговики, 33 – калишпатизация; 34-42 – исходные породы: 34 – игнимбриты, 35 – риолиты, риодациты, 36 – дациты, андезидациты, 37 – андезиты, 38 – андезибазальты, базальты, 39 – осадочные породы, 40 – дайки пестрого состава, 41 – габбродиориты, диориты, 42 – граниты, гранодиориты, 43 – разрывные нарушения, 44 – фациальные границы

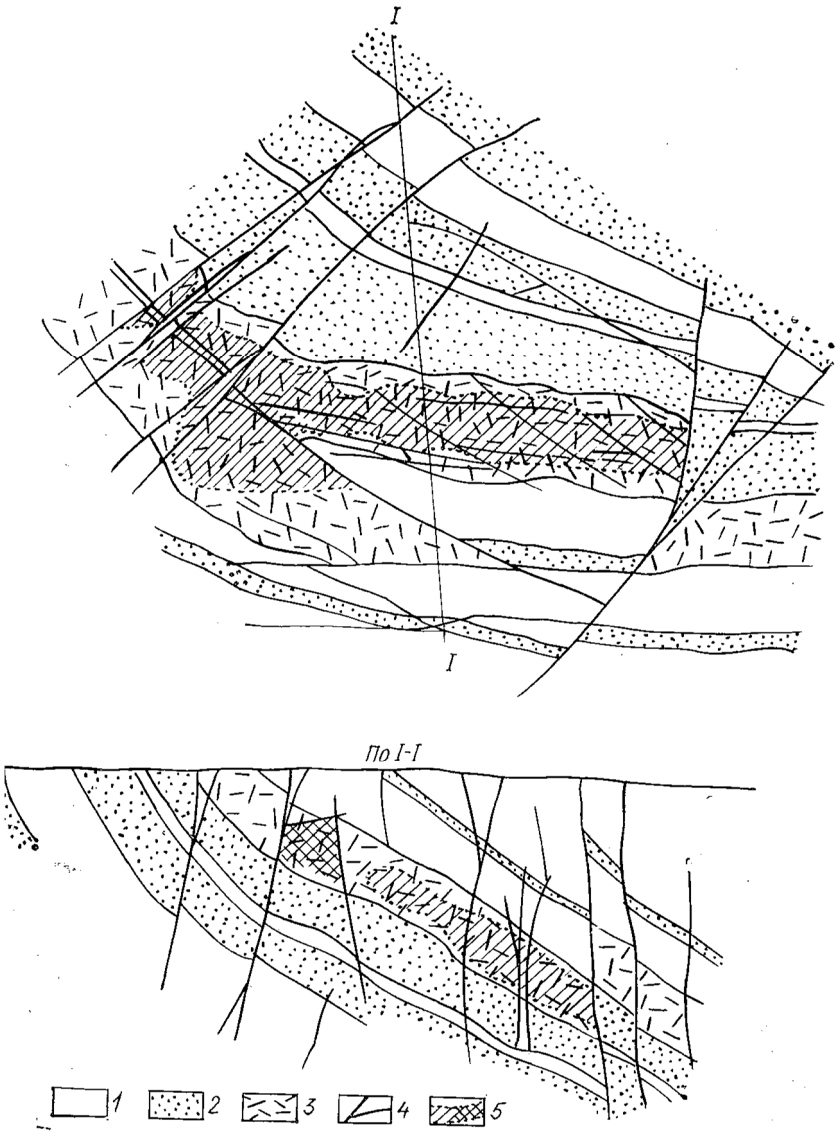


Рис. 34. Урановое оруденение в сферолитовых риолитах
(по Н. П. Лаверову):
1 – порфировые базальты и их туфы; 2 – песчаники; 3 – сферолитовые туфолавы фельзитовых риолитов; 4 – разрывы; 5 – рудные тела и обогащенные участки

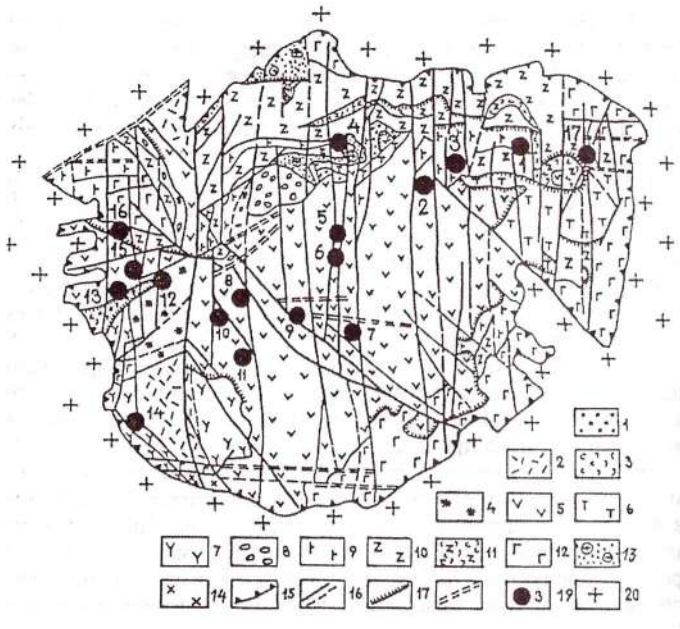


Рис. 35. Схема геологического строения Стрельцовского рудного поля (по Л. П. Ищуковой):

1 – песчаники, алевролиты, гравелиты; 2 – риолиты и их лавобрекчии покровной фации; 3 – туфы кислого состава; 4 – сферолитовые риолиты; 5 – фельзиты; 6 –трахибазальты, андезиты; 7 – риолиты; 8 – конгломераты; 9 – базальты и их лавовые брекчии – средний покров; 10 – трахидациты нижнего покрова; 11 – туфолавы; 12 – базальты нижнего покрова; 13 – базальные конгломераты; 14 – диориты; 15 – разломы, ограничивающие кальдеру; 16 – крутопадающие разломы; 17 – пологопадающие нарушения; 18 – предполагаемые разломы; 19 – урановые месторождения: 1 – Широндукуйское, 2 – Стрельцовское, 3 – Антей, 4 – Октябрьское, 5 – Лучистое, 6 – Мартовское, 7 – Мало-Тулукуевское, 8 – Тулукуевское, 9 – Юбилейное, 10 – Весеннее, 11 – Новогоднее, 12 – Пятилетнее, 13 – Красный Камень, 14 – Юго-Западное, 15 – Жерловое, 16 – Аргунское, 17 – Восточно-Широндукуйское; 20 – породы фундамента

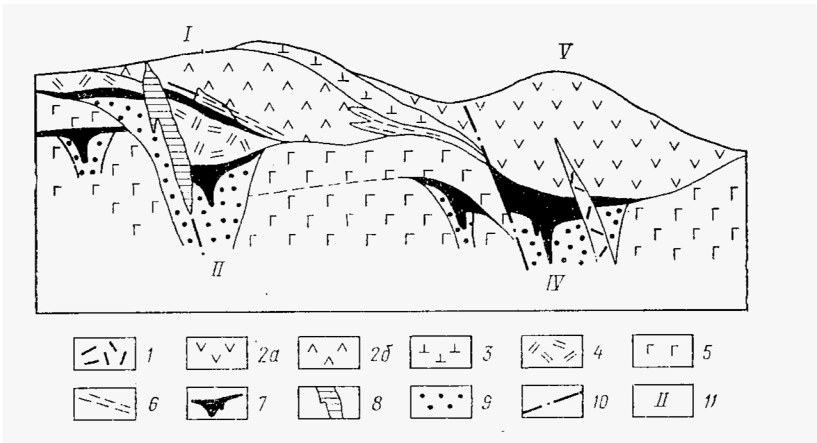


Рис. 36. Вулкано-биклинальная структура медноколчеданного месторождения Юбилейное (по О. В. Мининой). Палеовулканическая реконструкция (разрез):

1 – субвулканические порфировые риодациты; 2 – дацитовые толщи (*а* – верхняя, *б* – нижняя); 3 – верхняя базальтовая толща; 4 – андезидацитовая толща; 5 – нижняя базальтовая толща; 6 – пачка вулканомиктовых пород; 7, 8 – медноколчеданные залежи: 7 – преимущественно гидротермально-осадочные, 8 – гидротермально-метасоматические, 9 – серицитолиты с прожилково-вкрапленной пиритовой минерализацией; 10 – разломы; 11 – номера рудных залежей

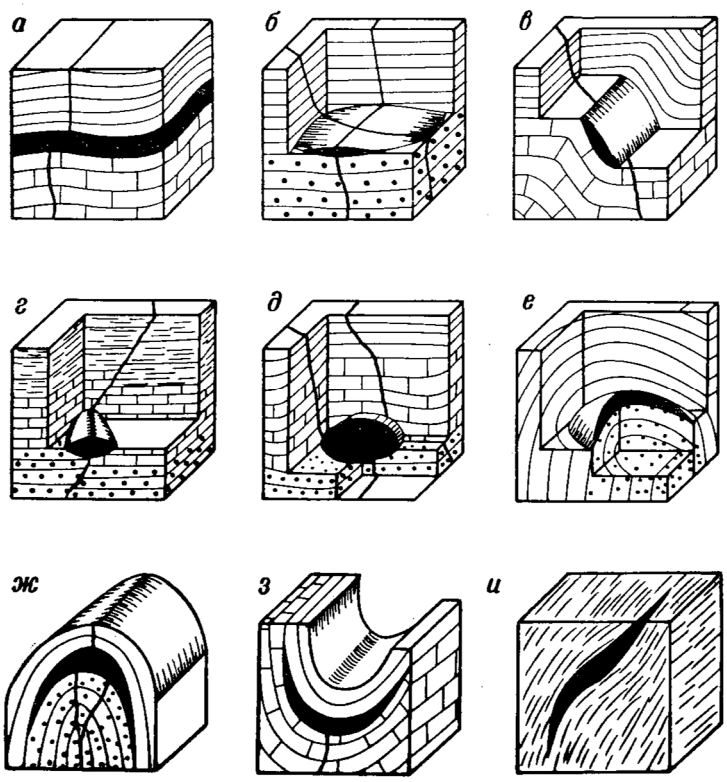


Рис. 37. Согласные рудные тела:
а – рудный пласт; *б* – рудная залежь; *в* – рудная лента; *г* – брусковидное тело; *д* – рудное гнездо; *е* – куполовидная залежь; *ж* – седловидная залежь; *з* – корытовидная залежь, *и* – флексурная линза

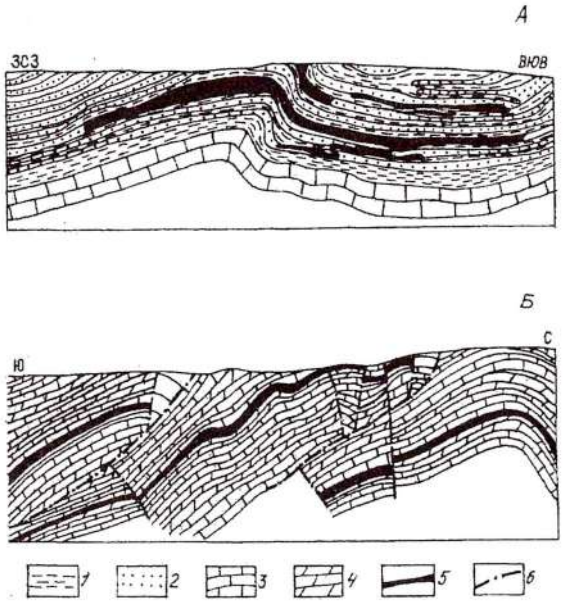


Рис. 38. Схематические геологические разрезы стратиформных месторождений: *А* – Джезказганского медистых песчаников (по материалам Джезказганской ГРЭ); *Б* – Миргалимсайского полиметаллического (по материалам Миргалимсайской ГРП): 1 – красноцветные песчаники, алевролиты; 2 – рудоносные сероцветные песчаники, алевролиты; 3 – известняки; 4 – доломиты; 5 – рудные тела; 6 – тектонические нарушения

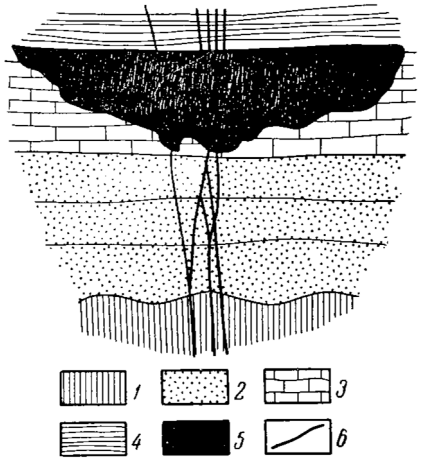


Рис. 39. Замещение доломитов рудой, растекающейся под экраном сланцев. Месторождение Блэк Хилс (по В. Линдгрену):
1 – древние сланцы; 2 – кварциты; 3 – доломиты; 4 – алевролиты; 5 – руда; 6 – трещины

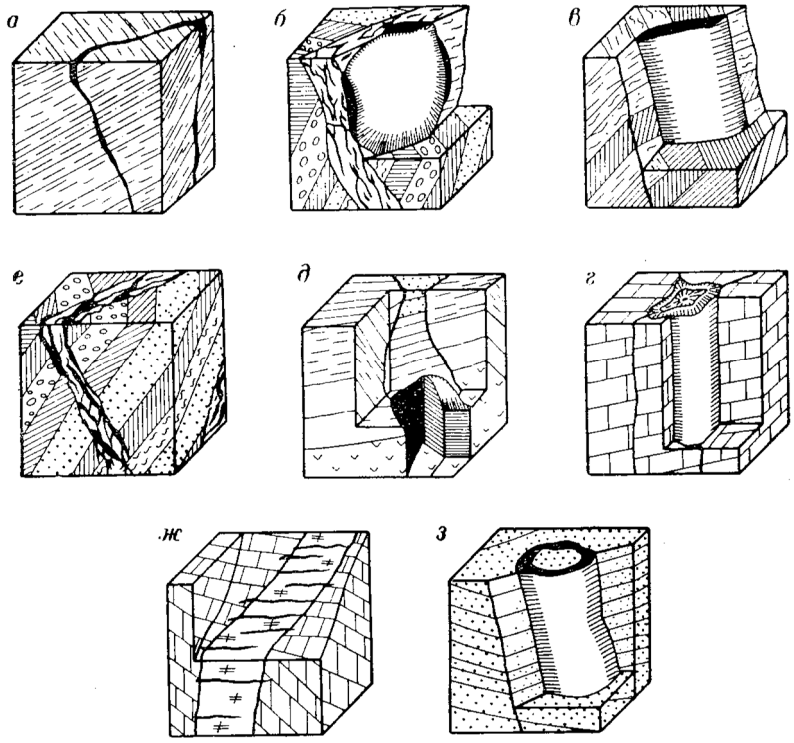


Рис.40. Секущие рудные тела:
а – жила; *б* – рудный диск; *в* – рудный столб; *г* – трубчатая жила сплошная; *д* – шток; *е* – сложная жила; *ж* – лестничные жилы; *з* – трубчатая жила кольцевая

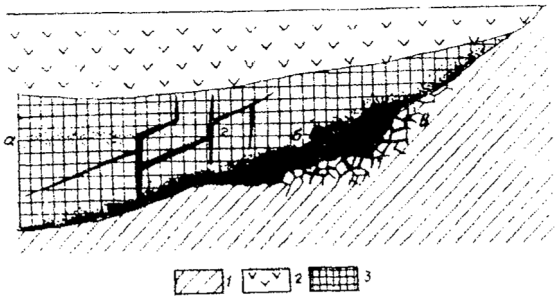


Рис.41. Морфогенетические типы рудных тел ликвационных медно-никелевых месторождений (по В. И. Смирнову):
А – висячие вкрапленники; б – донные массивные залежи; в – приконтактовые брекчиевидно-цементные руды; г – жилы; породы: 1 – подстилающие; 2 – перекрывающие, 3 – вмещающие габброиды

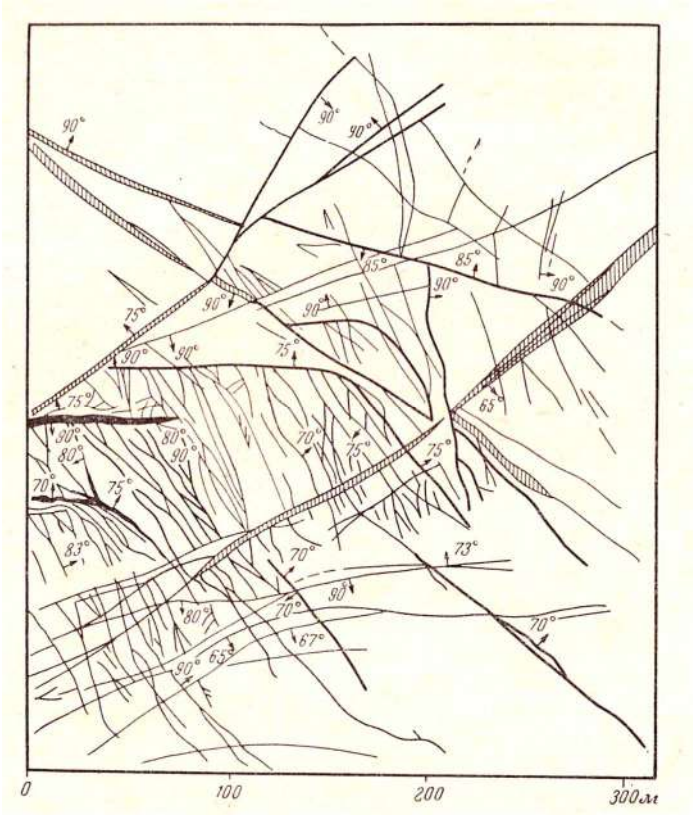


Рис. 42. Структура «конского хвоста». Жила Колюза-Леонард, месторождение Бьютт, штат Монтана (по А. М. Бэтману)

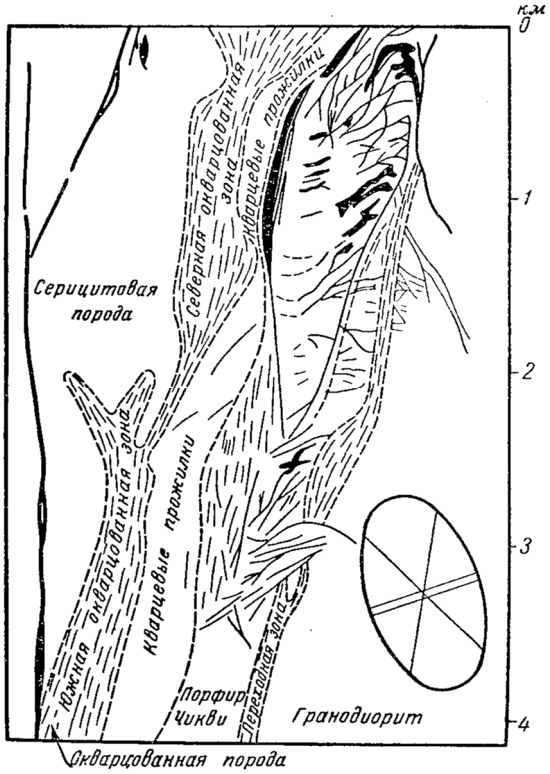


Рис. 43. Строение сложного разлома Чукикамата (по А. М. Бэтману): рудные тела показаны черным цветом

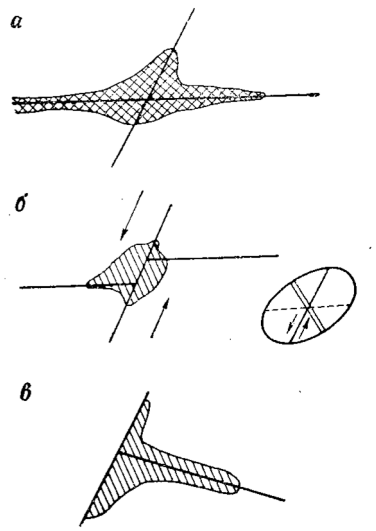


Рис. 44. Пересечения трещин:
полное без смещения (*а*), полное со смещением (*б*), ограниченное (*в*): штриховкой показаны возможные формы рудных столбов в поперечном сечении

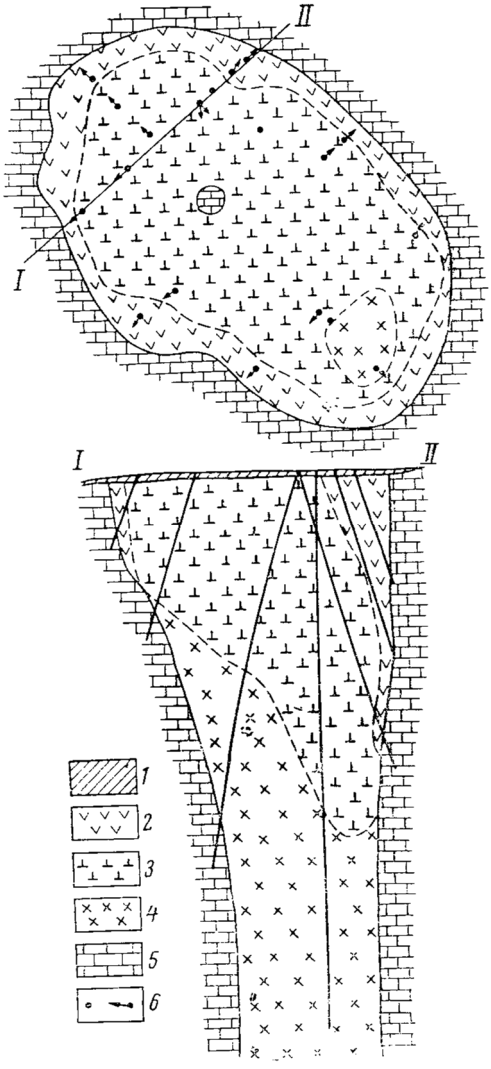


Рис. 45. Геологический план и разрез кимберлитовой трубки «Мир» (по А. Бобриевичу и др.):
1 – наносы; 2 – измененный куимберлит (желтый); 3 – измененный кимберлит (зеленый); 4 – малоизмененный кимберлит; 5 – карбонатные породы нижнего ордовика; 6 – скважины

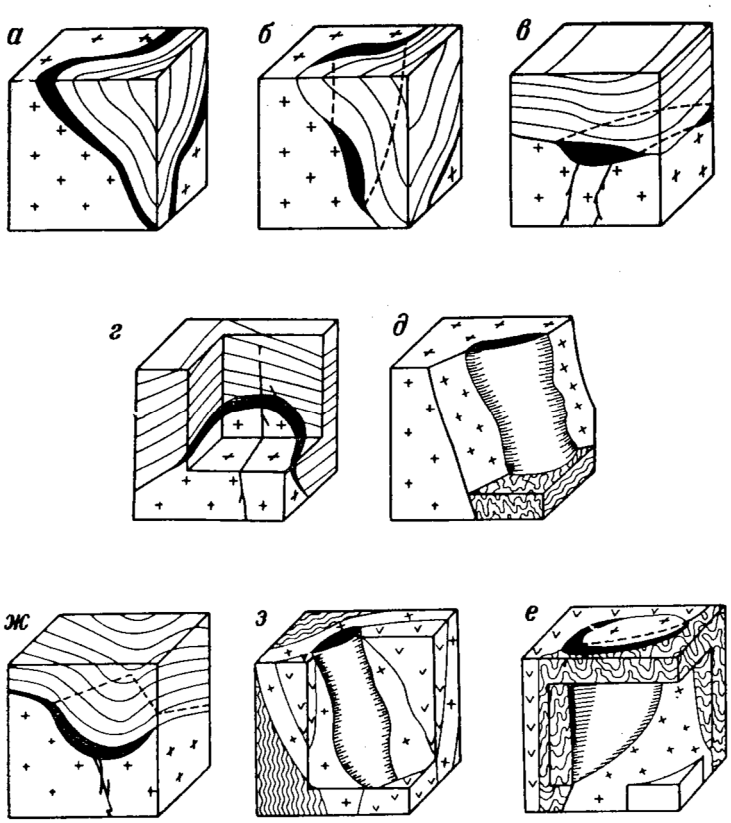


Рис. 46. Контактовые рудные тела:
а – контактовая пластообразная рудная залежь; *б* – контактовая рудная залежь; *в* – контактовая рудная лента; *г* – контактовая куполовидная залежь; д – контактовый рудный столб; *е* – обертывающая контактовая жила; *ж* – контактовая корытовидная залежь; *з* – дайковый рудный столб

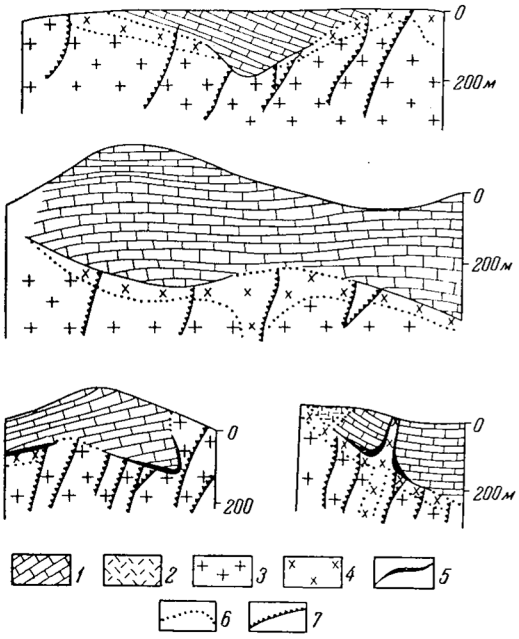


Рис. 47. Размещение скарновых тел месторождения Ингички (по Н. Д. Ушакову). Разрезы:
1 – мрамор; 2 – доломит; 3 – гранит биотитовый; 4 – гранит аляскитовый; 5 – скарновые тела; 6 – непродуктивные контакты; 7 – подводящие каналы

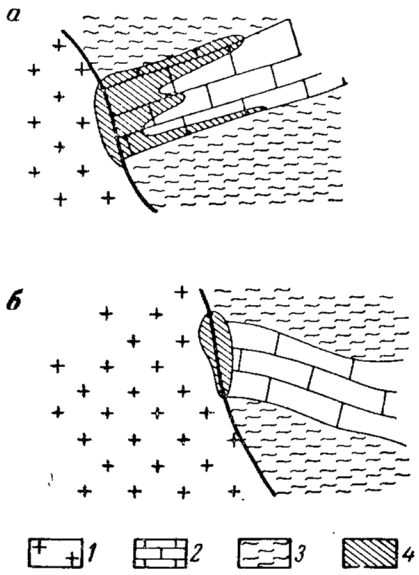


Рис. 48. Формы скарновых тел в секущих контактах гранодиоритов с известняками и сланцами в зависимости от условий залегания известняков. Разрезы:
1 – гранодиориты; 2 – известняки; 3 – скарны

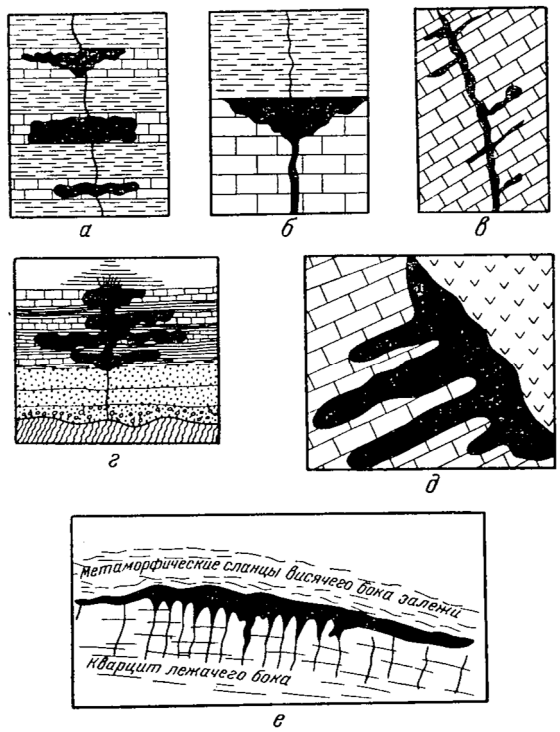


Рис. 49. Размещение оруденения в пересечениях трещин с благоприятными пластами (по А. М. Бэтману):
а – образование руды только в пластах известняков; *б* – тавровое рудное тело; *в* – Г-образные и крестообразные рудные тела; *г* – многоэтажная рудная залежь; *д* и *е* – гребневидные залежи

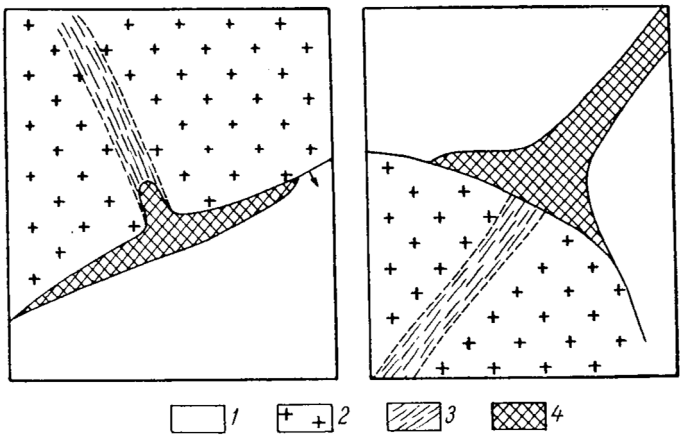


Рис. 50. Шеелитовое оруденение в пересечениях контакта гранитоидных массивов рудоносными разломами. Участок Угат (слева) и месторождение Кумбель (справа):
1 – песчаники и сланцы с прослоями известняков; 2 – граниты; 3 – рудоносные разломы; 4 – шеелитоносные скарны

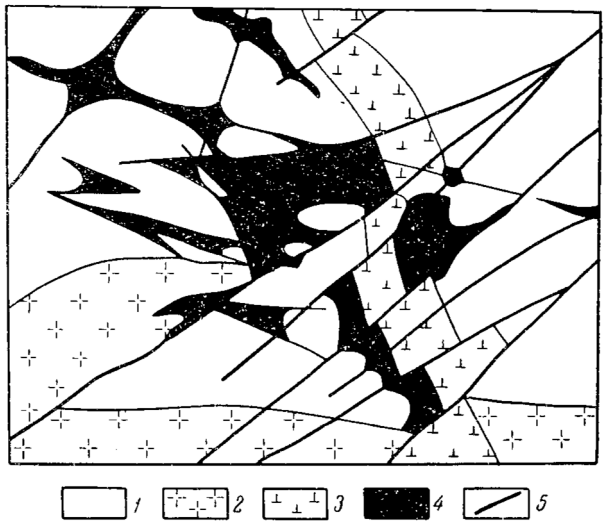


Рис. 51. Столбы полиметаллических руд (черное). Шевчуковское месторождение, Окуртау:
1 – известняки; 2 – гранодиорит-порфиры; 3 – кварцевые порфиры; 4 – руда; 5 – трещины

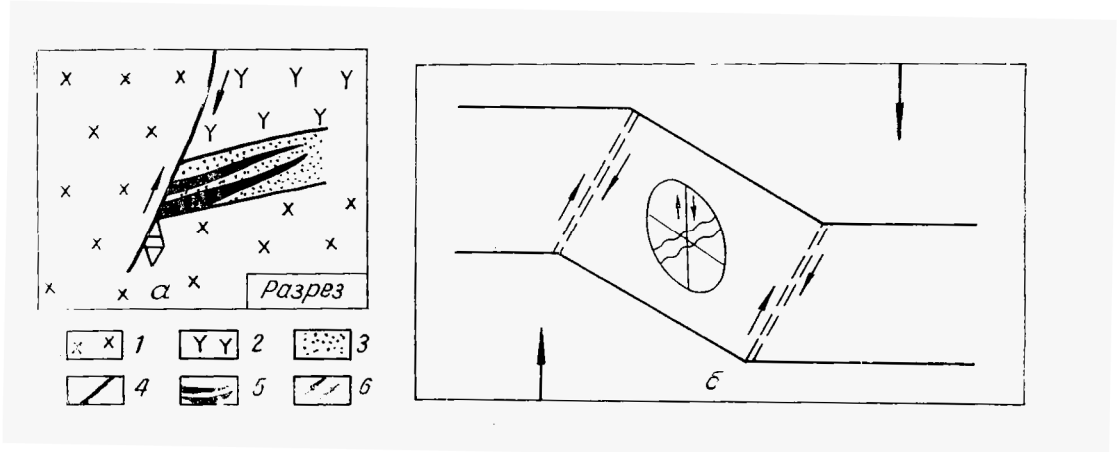


Рис. 52. Схема формирования рудных полей в моноклинальных структурах, в относительно хрупких (*а*) и относительно пластичных (*б*) толщах:
1 – порфировые дациты; 2 – порфировые андезиты; 3 – туфоконгломераты; 4 – разломы; 5 – рудные тела; 6 – направление относительных перемещений

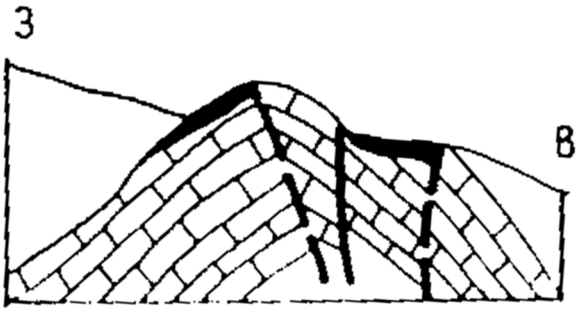


Рис. 53. Схематический геологический разрез сурьмяного месторождения Терексай:
рудные тела (черное) в своде антиклинали в известняках

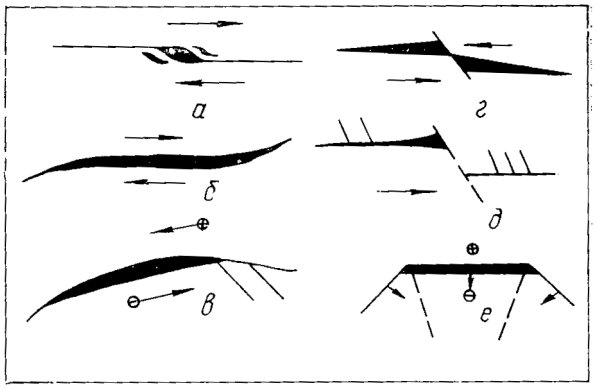


Рис. 54. Принципиальная схема приоткрывания искривленных участков разломов:

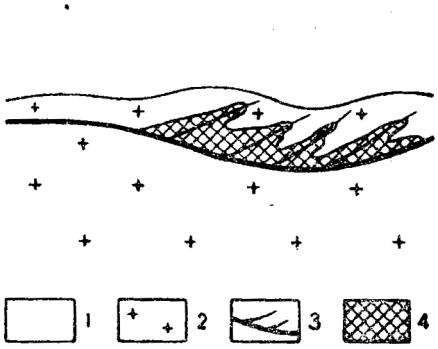


Рис. 55. Принципиальная схема геологического строения месторождения Сардоб (план):
1 – сланцы; 2 – гранитоиды; 3 – рудоконтролирующий разлом с трещинами оперения; 4 – оруденение

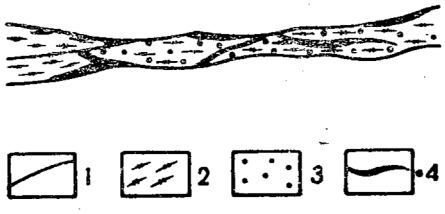


Рис. 56. Схема размещения оруденения в сложном разломе (план):
1 – линии разрывных нарушений; 2 – зона дробления пород; 3 – вкрапленное оруденение; 4 – рудные тела

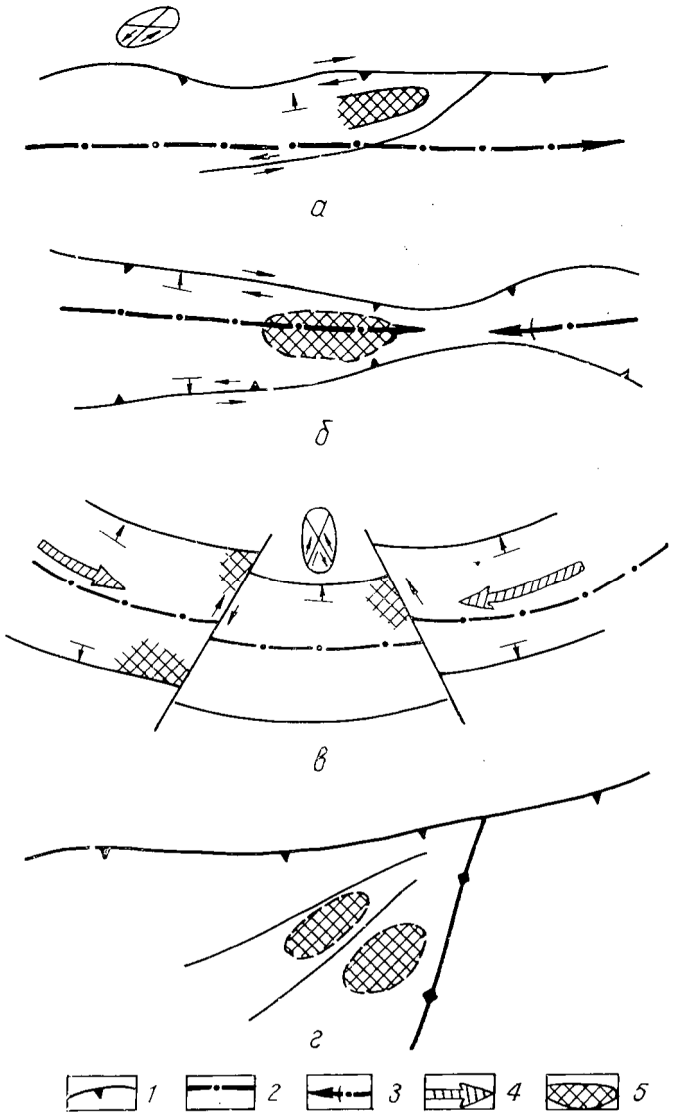


Рис. 57. Формирование рудных полей в клиновидных структурах:
1 – ограничивающие разломы; 2 – осевая линия структуры, испытывающей поперечный изгиб; 3 – оси антиклиналей; 4 – направление осевого сжатия; 5 – площади развития минерализации

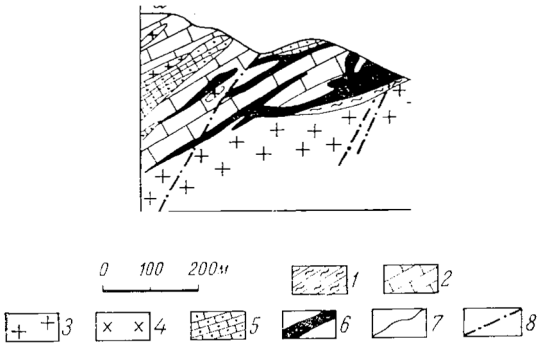


Рис. 58. Форма скарновых залежей Лянгарского месторождения:
1 – сланцы; 2 – мраморизованные известняки; 3 – адамеллиты; 4 – тоналиты; 5 – известково-силикатные роговики; 6 – скарны; 7 – кварцевые жилы; 8 – разрывные нарушения

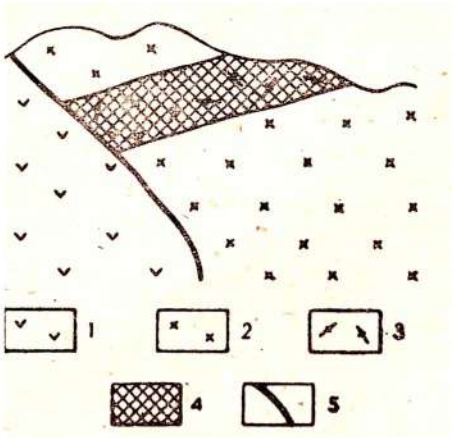


Рис. 59. Схематический разрез меднопорфирового месторождения в эффузивах покровного залегания: 1 – порфировые дациты; 2 – порфировые андезидациты; 3 – рудовмещающие порфировые кварцевые риолиты; 4 – рудные тела; 5 – разрывные нарушения

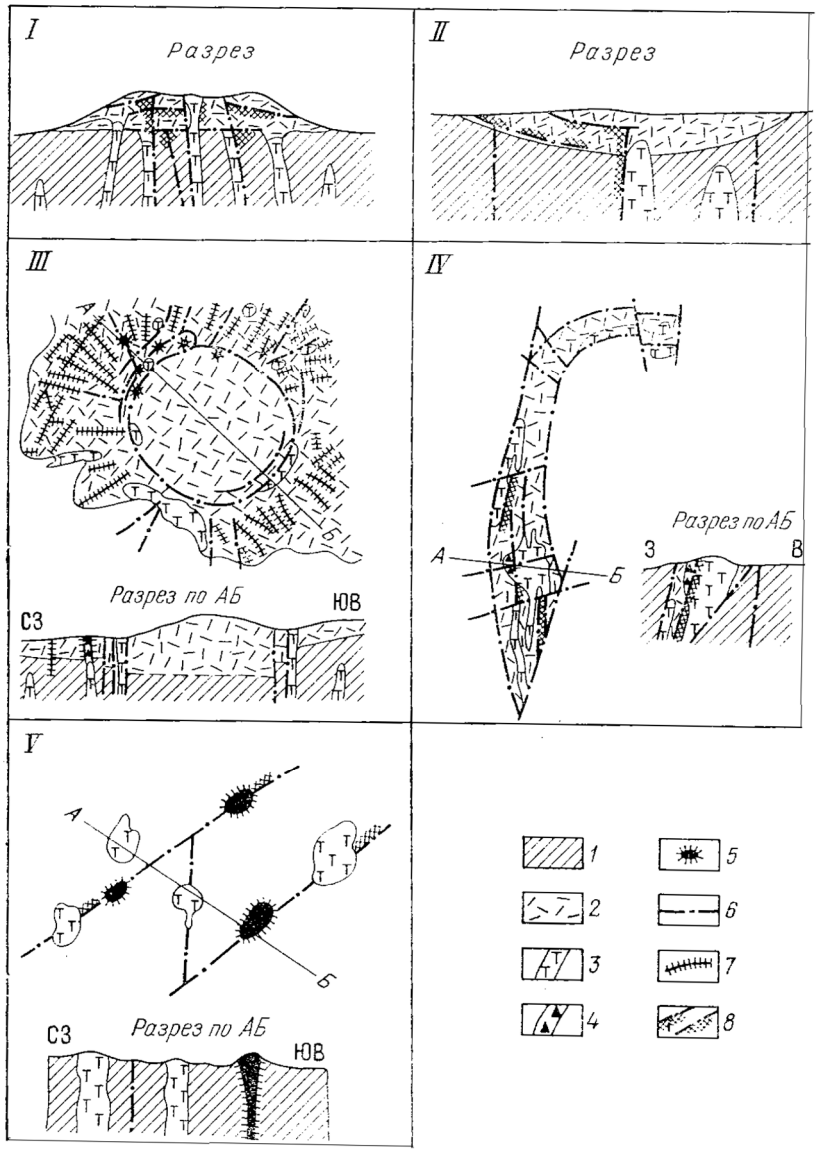


Рис. 60. Принципиальные геологические схемы (I-V) рудоносных палеовулканических сооружений (по П. Д. Яковлеву):
1 – складчатые основания нижних структурных ярусов или этажа (на планах не заштрихованы); 2 - покровы эффузивов с подчиненными горизонтами осадочных пород; 3 – экструзивные и субвулканические тела; 4 – лавобрекчии жерловой фации; 5 – вулканические жерла; 6 – разрывные нарушения; 7 – дайки и жилы преимущественно в радиальных разрывных нарушениях; 8 – рудные тела и минерализованные разрывные нарушения

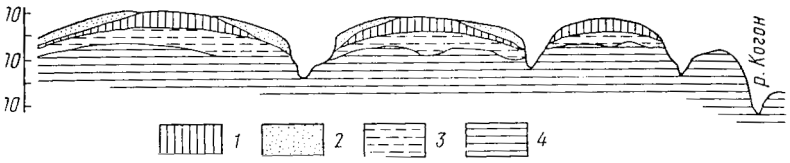


Рис. 61. Денудационная структура – поверхность выравнивания; схематический геологический разрез месторождения Боке в Гвинее (по М. В. Дубовской и Б. М. Одокия): 1-3 – образования коры выветривания: 1 – преимущественно структурные бокситы; 2 – обломочные бокситы; 3 – аллиты, каолиновые глины; 4 – сланцы ордовика

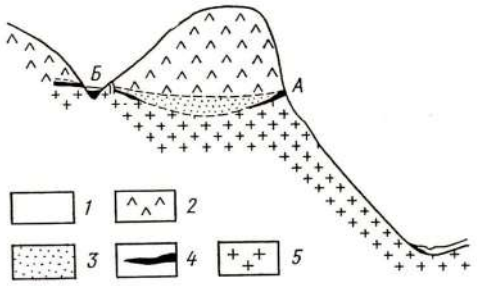


Рис. 62. Эрозионные структуры – долины; геологический разрез через погребенные неогеновые и современные золотые россыпи на Дальнем Востоке (по Н. С. Ильиной): 1 – современные аллювиальные отложения; 2 – неогеновые базальты; 3 – неогеновые осадочные отложения; 4 – россыпи; А – неогеновые, Б – современные; 5 – граниты и гранитогнейсы

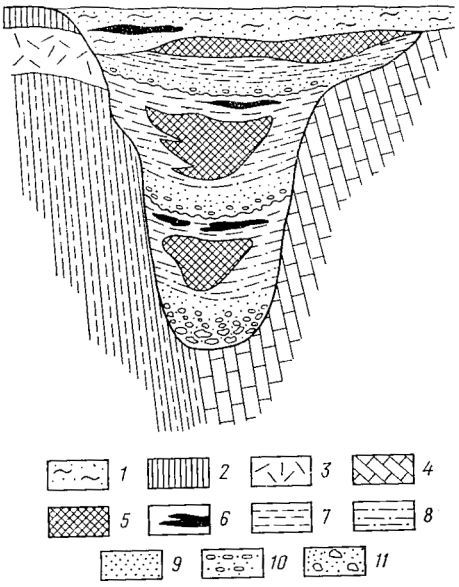


Рис. 63. Схема полициклического карстового бокситового месторождения (по Д. Г. Сапожникову): 1 – четвертичные и неогеновые песчано-глинистые отложения; 2 – каолинитовая зона коры выветривания; 3 – зона дезинтеграции коры выветривания; и4 – известняки; 5 – бокситы; 6 – лигниты; 7 - глина; 8 – алевриты; 9 – пески; 10 – гравийный материал; 11 – грубообломочный материал

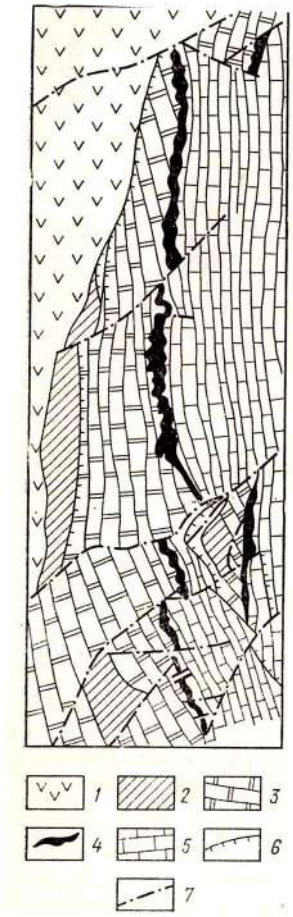


Рис. 64. Поверхности несогласий. Геологическая схема месторождения Красная Шапочка на Северном Урале (по А. В. Пейве):
1 – вулканические породы сосьвинской свиты; 2 – слоистые известняки сарайной свиты; 3 – массивные известняки петропавловской свиты; 4 - бокситы; 5 – известняки варганской свиты; 6 – надвиги; 7 - сбросы

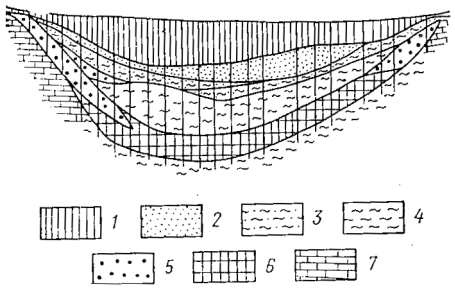


Рис. 65. Конседиментационная депрессия (мульда) на Керченском месторождении, геологический разрез (по Ю. Ю. Юрку и др.):
1 – лессовидные суглинки; 2 – пески и алевриты; 3 – глины песчаные; 4 – глины; 5 – икряные, обломочные и обломочно-оолитовые руды; 6 – табачные оолитовые руды; 7 – известняки

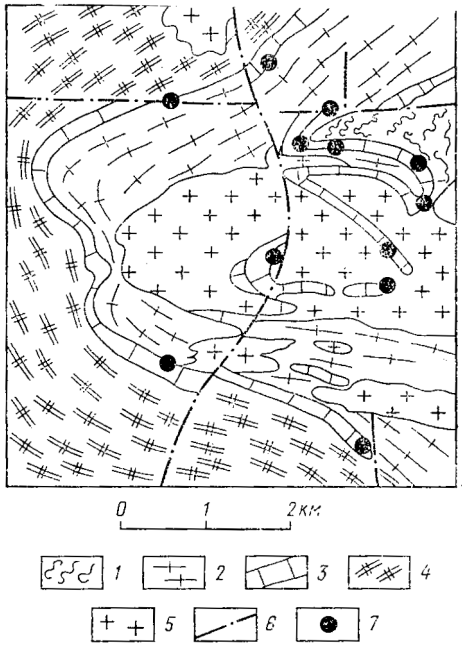


Рис. 66. Куранахское флогопитовое поле в Южной Якутии, приуроченное к гранитогнейсовому куполу (по Б. П. Фоменкову):
1 – верхний гнейсовый горизонт; 2 - продуктивные горизонты (мраморы, ткальцитифиры); 3 – средний гнейсовый горизонт; 4 – нижний гнейсовый горизонт; 5 - граниты; 6 – разрывные нарушения; 7 - флогопитовые месторождения

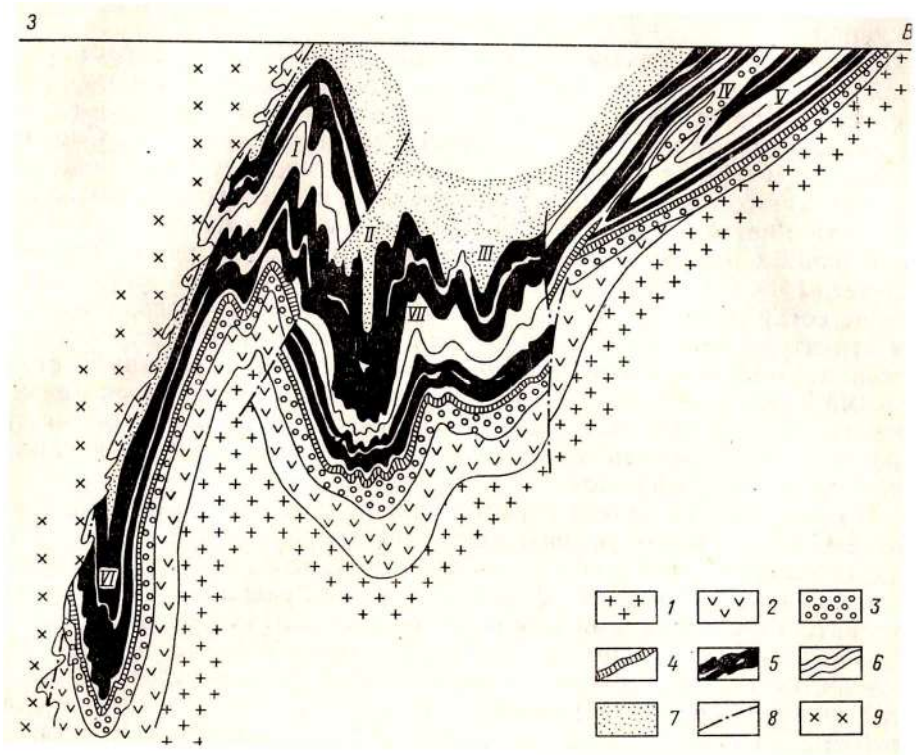


Рис. 67. Геологический разрез зеленосланцевой синклинальной зоны Криворожского железорудного бассейна (по Я. Н. Белевцеву):
1 – саксаганские плагиограниты; 2 – амфиболиты; 3 – нижняя свита криворожской серии; 4 – тальк-карбонатный горизонт; 5 – железорудные горизонты средней свиты; 6 – сланцевые горизонты средней свиты; 7 – верхняя свита; 8 – тектонические перемещения; 9 – кировоградские микроклин-плагиоклазовые граниты. *I* – Тарапако-Лихмановская антиклиналь; *II* – Западно-Ингулецкая мульда; *III* – Восточно-Ингулецкая мульда; *IV* – Саксаганская антиклиналь; *V* – Саксаганская синклиналь; *VI* – Лихмановская синклиналь; *VII* – Советская антиклиналь

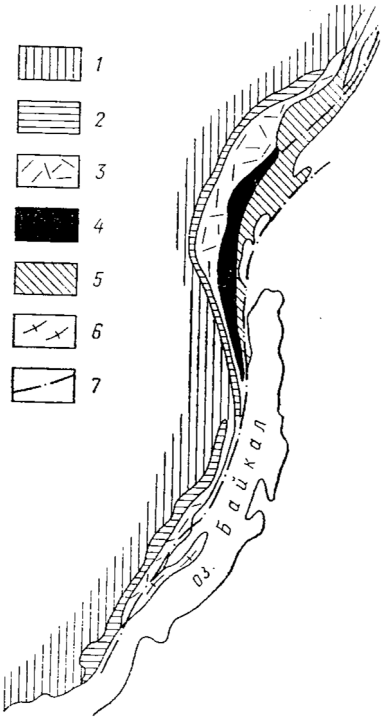


Рис. 68. Схема Даванской зоны смятия в Прибайкалье (по М. П. Лобанову):
1 – терригенные отложения нижнего палеозоя; 2 – терригенно-карбонатные отложения верхнего протерозоя; 3 – Прибайкальский вулкано-плутонический пояс среднего протерозоя; 4 – метаморфические (вплоть до палингенных гранитов) и метасоматические образования (в том числе редкометальные метасоматиты) Даванской зоны смятия; 5 – осадочно-метаморфические образования архея Байкальской глыбы; 7 – главнейшие разломы

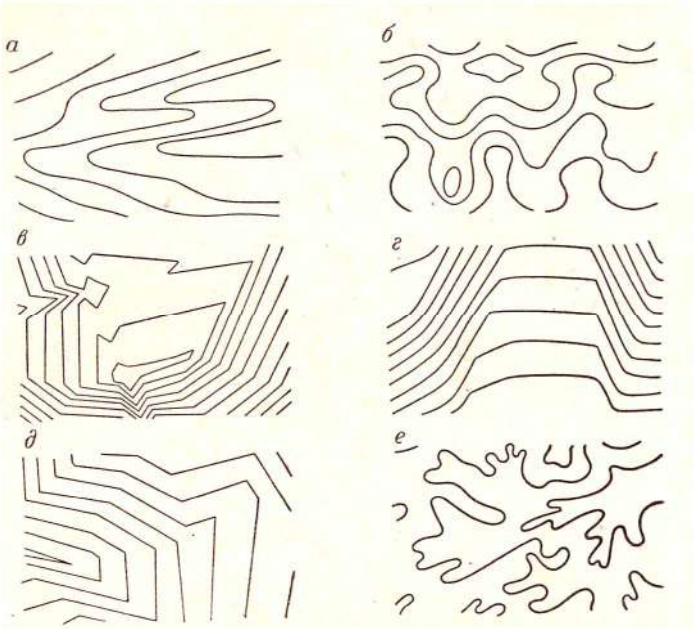


Рис. 69. Некоторые виды геологических поверхностей (по А. В. Королеву и П. А. Шехтману):
а – сложно гофрированная (изогипсы); *б* – куполообразно-волнистая (изогипсы); *в* – зазубренно-волнистая (изолонги); *г* – сундучо-волнистая (изогипсы); *д* – коробленая (изолонги); *е* – топографическая (горизонтали)

МИНОБРНАУКИ РФ

ФГБОУ ВО «Уральский государственный горный университет»

УТВЕРЖДАЮ
Заведующий кафедрой геологии,
поисков и разведки месторождений
полезных ископаемых
_____В.А.Душин

МЕТОДИЧЕСКИЕ УКАЗАНИЯ К КОНТРОЛЬНОЙ РАБОТЕ СТУДЕНТОВ ПО ДИСЦИПЛИНЕ

Б1.В.ДВ.02.02 ПРОГНОЗ И ПОИСКИ В ПРЕДЕЛАХ РУДНЫХ ПОЛЕЙ

Специальность:
21.05.02 Прикладная геология

Специализация
Геологическая съемка, поиски и разведка месторождений твердых полезных ископаемых

форма обучения: очная, заочная

Автор: Никулина И. А.., доцент, к.г.-м.н.

Одобрены на заседании кафедры
Геологии, поисков и разведки МПИ
(название кафедры)
Протокол № 1 от 26.09.2023
(Дата)

Екатеринбург

КОМПЛЕКТ ЗАДАНИЙ ДЛЯ КОНТРОЛЬНОЙ РАБОТЫ

дисциплина **ПРОГНОЗ И ПОИСКИ В ПРЕДЕЛАХ РУДНЫХ ПОЛЕЙ**

Задания контрольной работы, направленные на оценку уровня умений и навыков, формирующих компетенции:

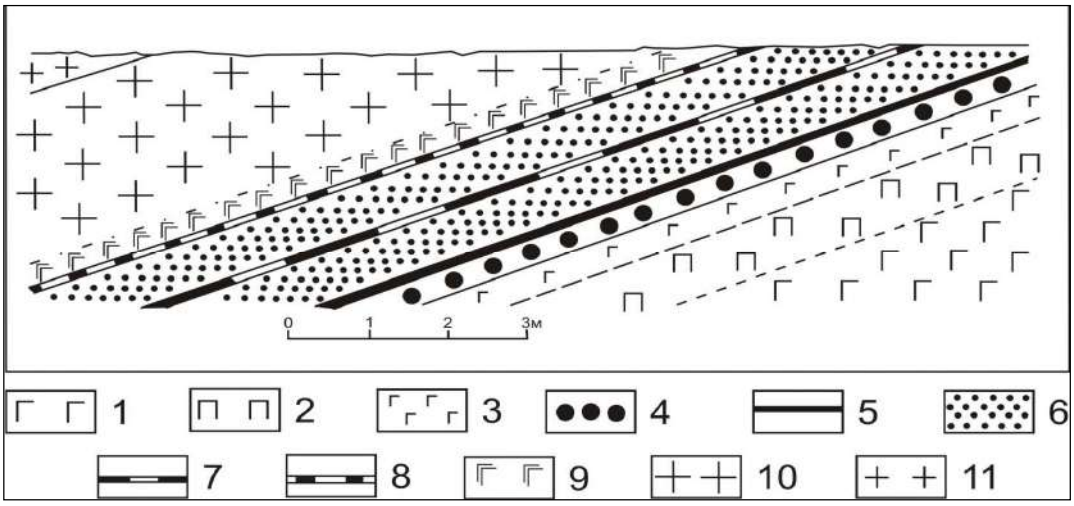
ПК-3 *(знать:* требования к содержанию, оформлению и документации геологических наблюдений; *уметь:* выделить, исследовать и задокументировать структурные элементы рудных полей; *владеть*: методическими и инструктивными материалами по документации геологических наблюдений*)*

ПСК-1.1 *(знать: теоретические* основы крупномасштабных и детальных прогнозно-поисковых исследований; *уметь:* составлять и анализировать основные виды геолого-структурной документации; *владеть:* методологией и практическими навыками прогнозно-поисковых исследований в пределах рудных полей)

Задание: на основании анализа геологического строения месторождения выделить и охарактеризовать структурные элементы рудного поля, геолого-структурные типы рудных тел, геолого-структурный тип рудного поля.

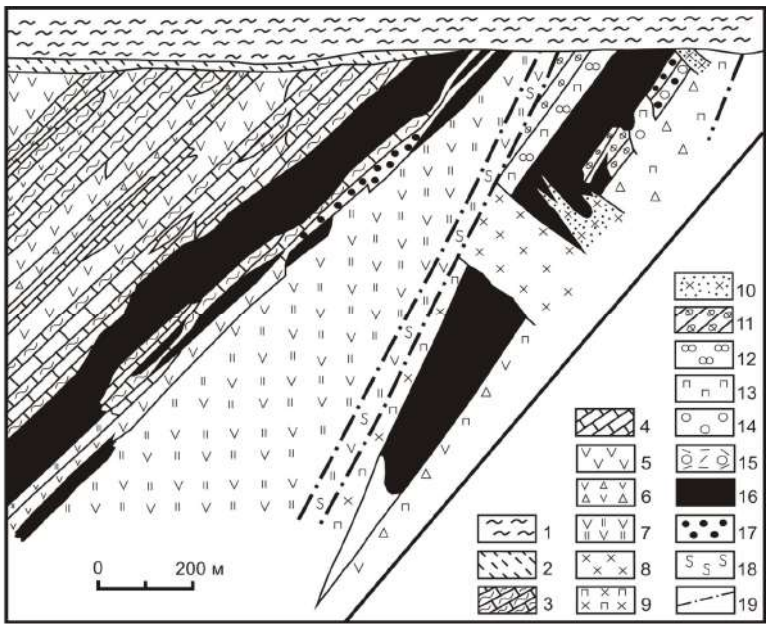
Работа выполняется на основании контрольных графических материалов. Один вариант соответствует одному месторождению. Количество вариантов практически не ограничено. Примеры вариантов задания приводится ниже.

Вариант 1. Месторождение платиноидов Риф Меренского



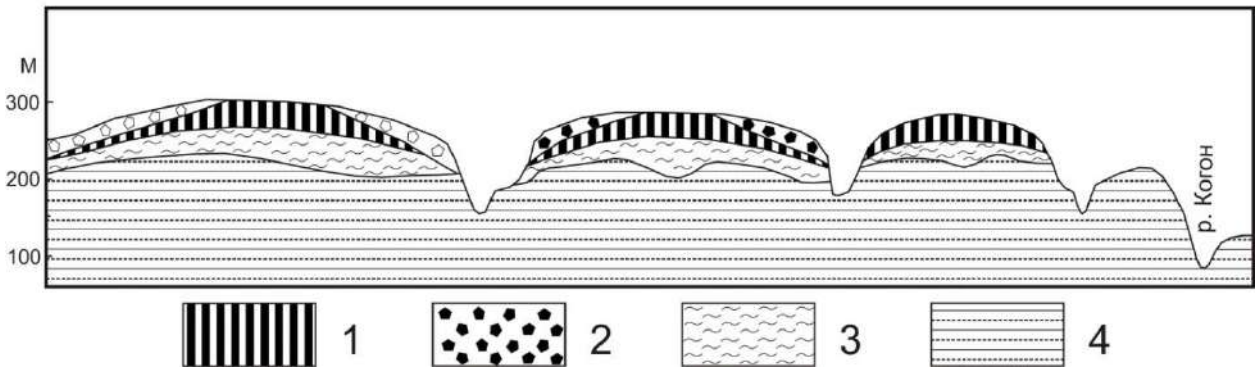
1 – пятнистый норит; 2 – пироксеновый норит; 3 – пятнистый анортозитовый норит; 4 – Риф Меренского: крупнозернистый норит с платиной; 5 – нижний хромит с платиной; 6 – рудное тело; 7 – средний хромит с платиной; 8 – верхний хромит; 9 – норит висячего бока; 10 – пятнистый анортозит; 11 – анортозит

Вариант 2. Сарбайское месторождение железа



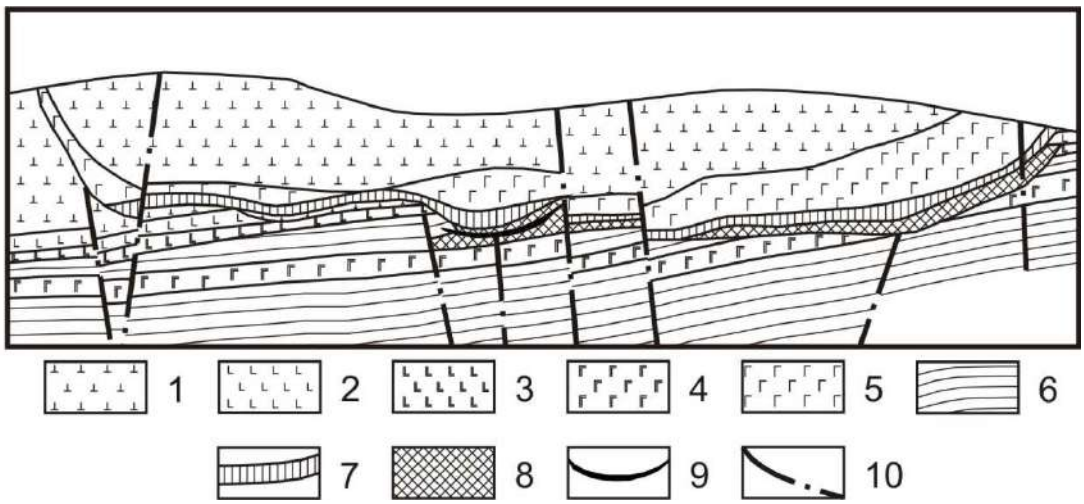
1 – мезо-кайнозойские отложения; 2 – глины древней коры выветривания палеозойских пород; 3 – туффиты алевролитовые, пелитовые; 4 – известняки битуминозные с прослоями туфогенного материала; 5 – туфы среднего состава с прослоями андезитов порфировой структуры; 6 – туфы и туфобрекчии среднего состава; 7 – туфобрекчии альбитизированные; 8 – диориты в том числе порфировой структуры; 9 – диориты жильные, дорудные; 10 – кварц-пироксеновые диориты, порфировой структуры, послерудные; 11 – ороговикованные туффиты; 12 – скаполитовые метасоматиты; 13 – пироксеновые скарны и скарнированные породы; 14 – гранатовые скарны и скарнированные породы; 15 – эпидот-актинолитовые породы; 16 – магнетитовые руды; 17 – вкрапленники магнетитовых руд; 18 – зоны милонитизации пород и руд; 19 – тектонические нарушения

Вариант 3. Месторождение бокситов Боке



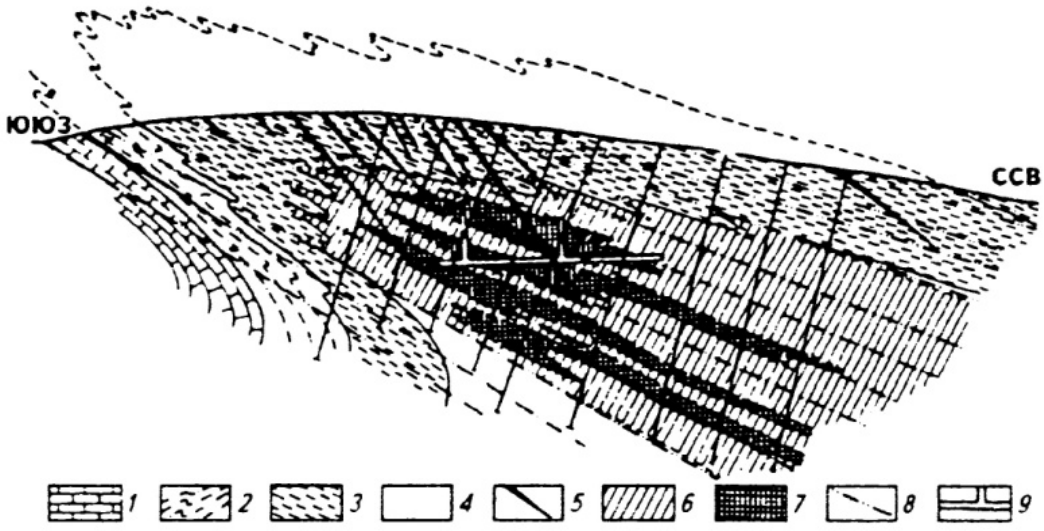
1 – преимущественно структурные бокситы; 2 – обломочные бокситы; 3 – аллиты, каолиновые глины; 4 – граптолитовые сланцы и другие терригенные породы

Вариант 4. Месторождение никеля Норильск-I



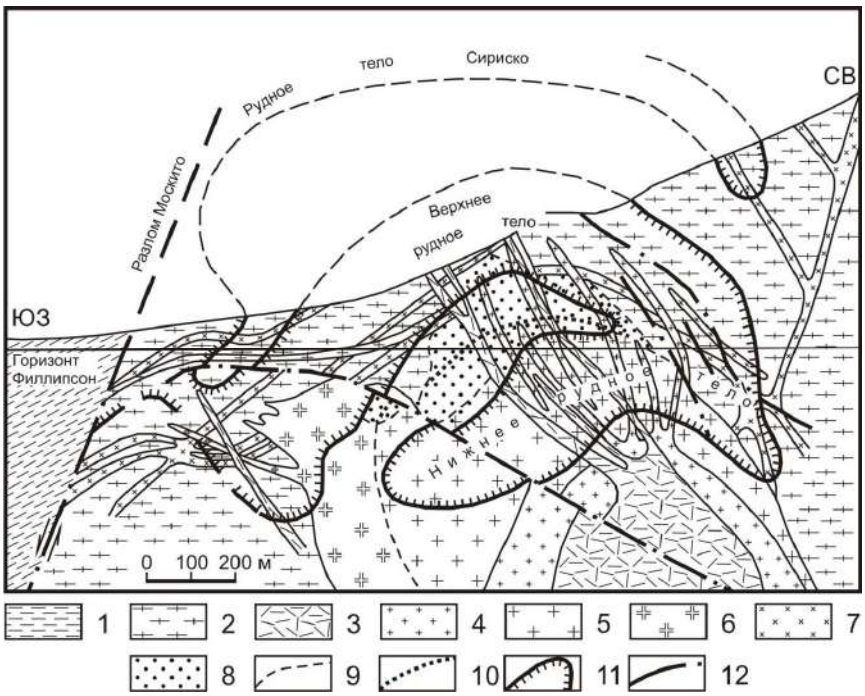
1 – эффузивы нерасчлененные; 2 – лабрадоровые базальты; 3 – титан-авгитовые базальты; 4 – силы титан-авгитовых долеритов; 5 – габбро-долеритовая интрузия Норильск I; 6 – осадочные породы тунгусской серии; 7 – вкрапленные руды в интрузии; 8 – вкрапленные руды в породах экзоконтакта; 9 – жильные руды; 10 – тектонические нарушения

Вариант 5. Месторождение золота Сухой Лог



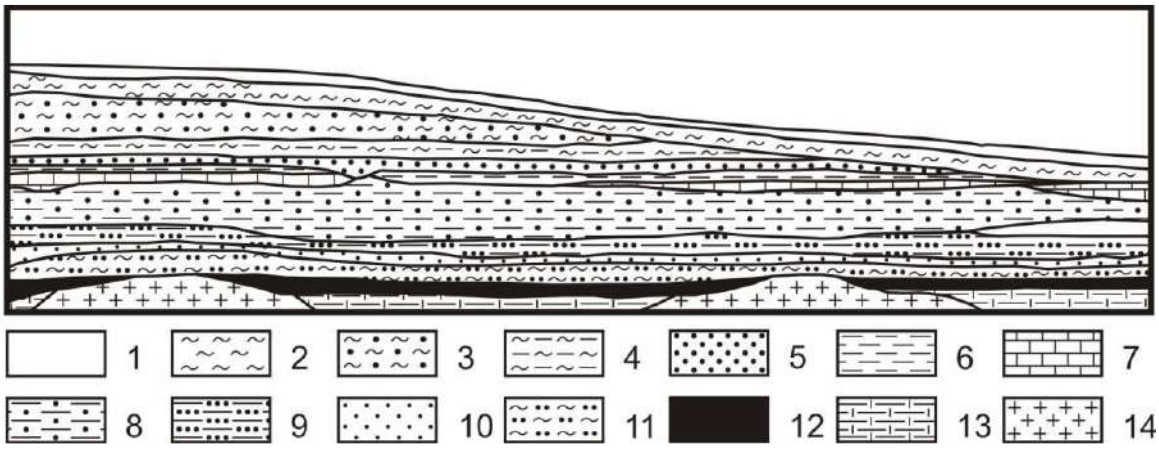
1 – известковистые алевролиты и алевросланцы; 2 – алевросланцы и алевролиты, преимущественно грубозернистые; 3 – «углистые» филлитовидные алевролиты; 4 – углистые кварцево-серицитовые алевросланцы; 5 – кварцевые жилы; 6-7 – ореол развития золото-сульфидной минерализации: 6 – умеренной; 7 – повышенной; 8 – кливаж; 9 – подземные горные выработки

Вариант 6. Молибденовое месторождение Клаймакс



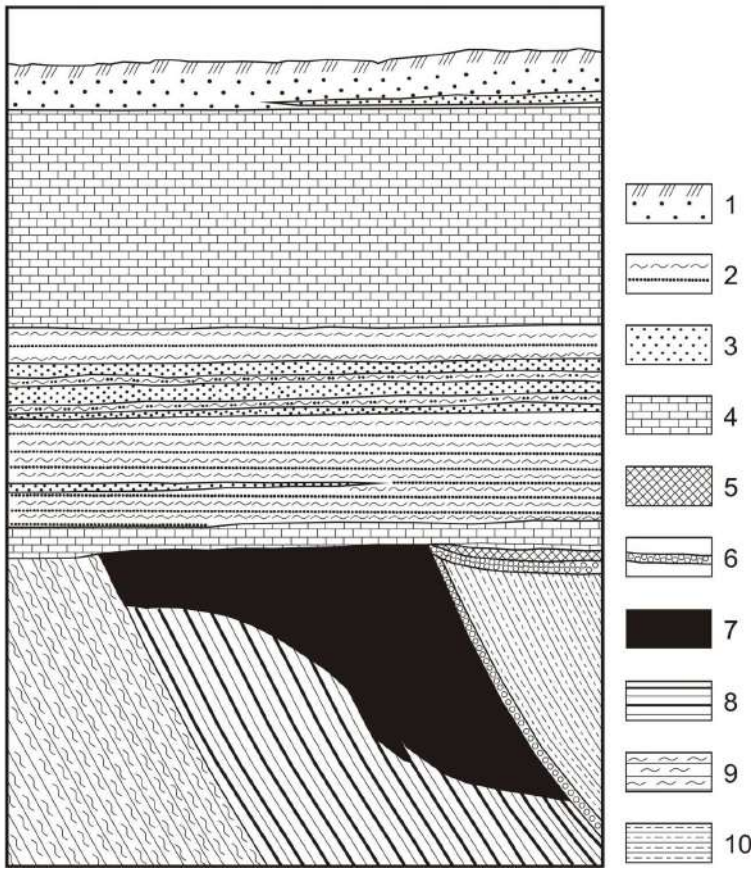
1 – осадочные породы палеозоя; 2 – докембрийские граниты и кристаллические сланцы; 3-7 – породы кайнозойского магматического комплекса порфировой структуры (этапа тектоно-магматической активизации): 3 – поздние дайки риолитов порфировой структуры; 4 – внутрирудные порфировые дайки; 5 – центральный массив порфировых пород штока Клаймакс; 6 – Юго-Западный массив штока Клаймакс; 7 – монцониты порфировой структуры; 8 – сильноокварцованные породы; 9 – граница сильноокварцованных пород; 10 – предполагаемое положение контакта пород в зоне окварцевания; 11 – контур молибденового оруденения с содержанием Mo 0,2 %; 12 – разрывные нарушения

Вариант 7. Никопольское месторождение марганца



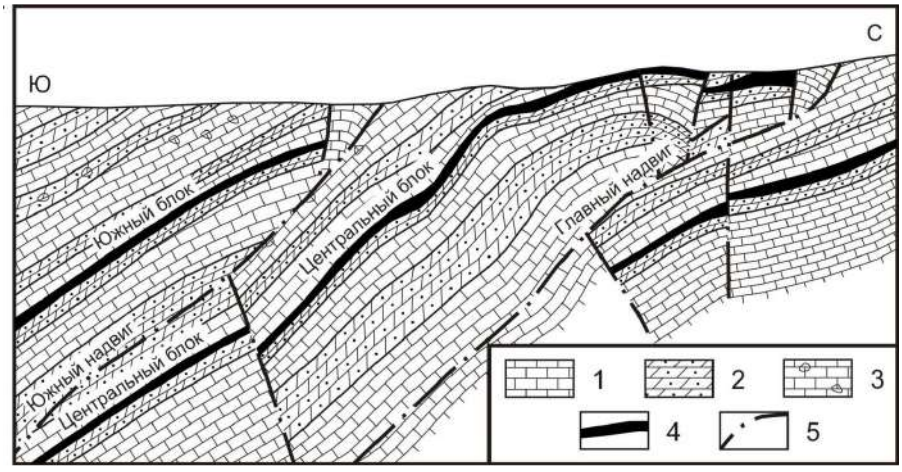
1 – ПРС; 2 – лёсс; 3 – глина красная; 4 – глина бурая; 5 – песок; плиоценовые отложения*:* 6 – глина серо-зеленая; 7 – известняки; миоценовые отложения: 8 – глина серо-белая; 9 – глина черная; 10 – песок зеленый; олигоценовые отложения: 11 – глина зеленая; 12 – марганцевая руда; 13 – каолин; 14 – докембрийские кристаллические породы

Вариант8. Месторождение железа Яковлевское



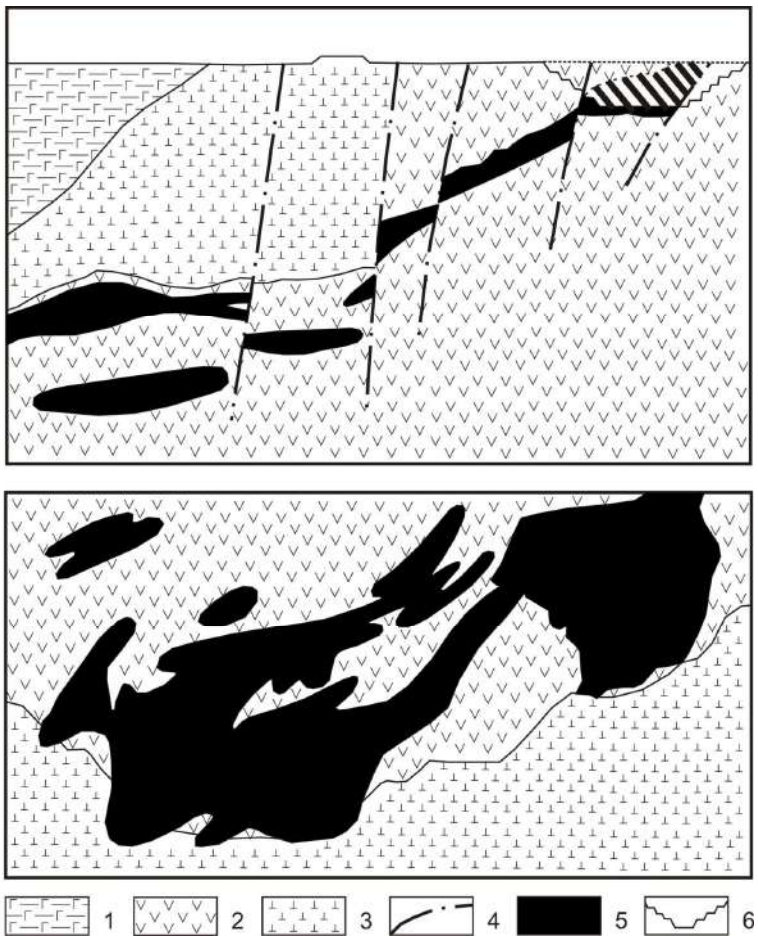
1 – ПРС и суглинки; 2 – пески и глины; 3 – песчаники; 4 – мел, мергели, известняки; 5 – руда переотложенная; 6 – бокситы; 7 – богатая руда; 8 – железистые кварциты; 9 – кварц-слюдистые микросланцы; 10 – кварц-графит-биотитовые микросланцы.

Вариант 9. Миргалимсайское месторождение полиметаллов



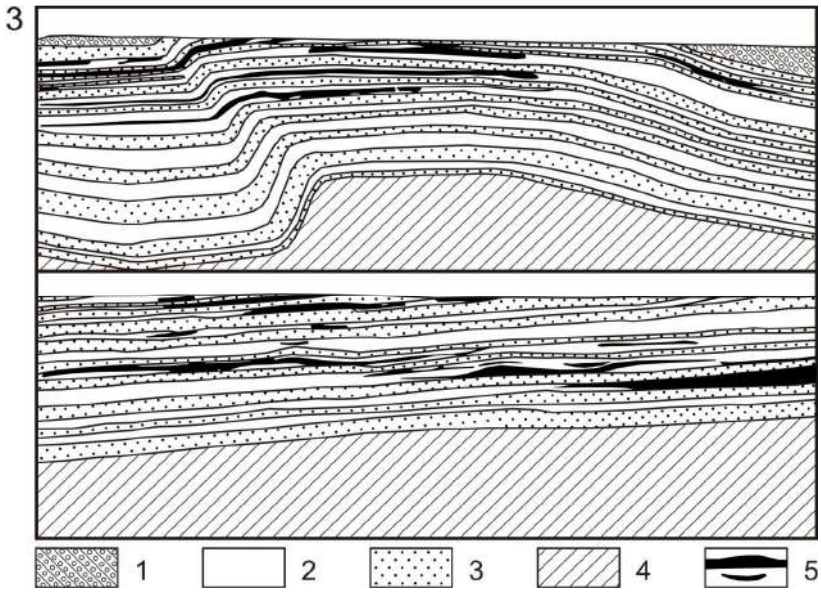
1-3 – породы верхнего девона: 1 – известняки; 2 –доломиты; 3 – брекчированные известняки; 4 – рудные тела; 5 – разрывные нарушения

Вариант 10. Месторождение хрома Алмаз-Жемчужина



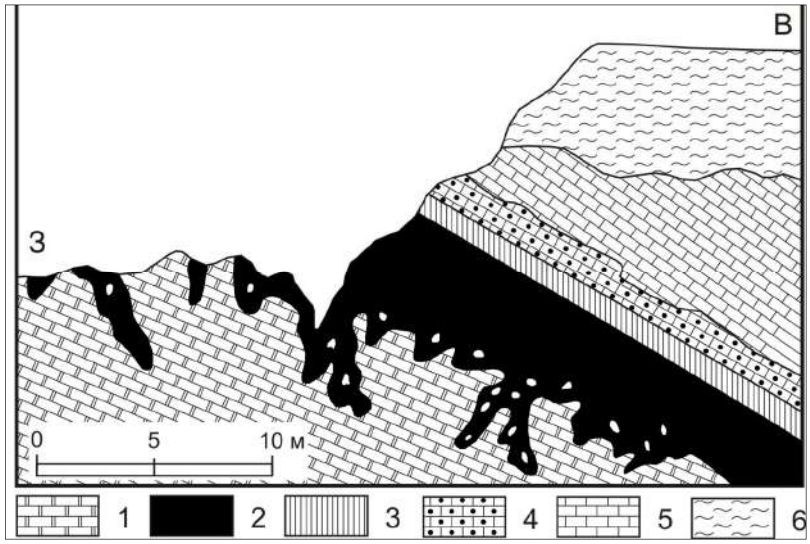
1 – габброамфиболиты; 2 – серпентиниты по дунитам; 3 – серпентиниты по перидотитам; 4 – разрывные нарушения; 5 – хромитовые тела; 6 – контур карьера.

Вариант 11. Джезказганское месторождение меди



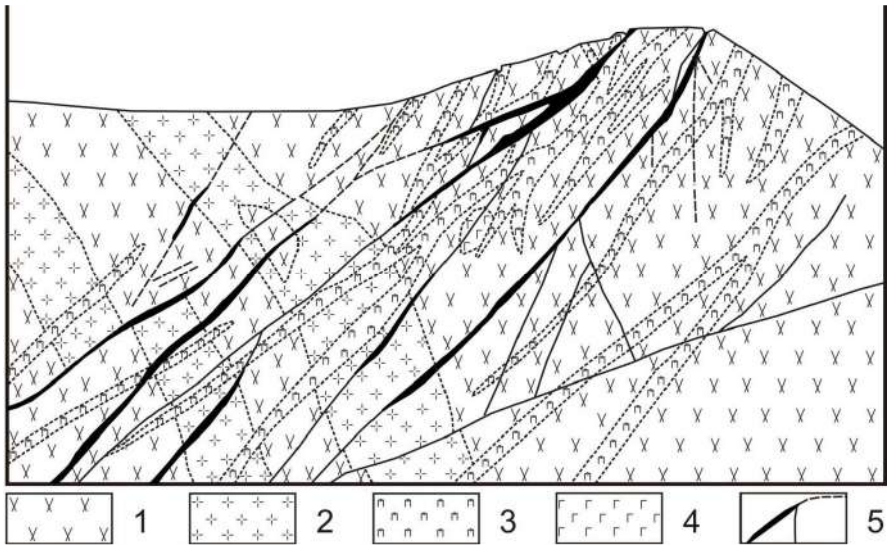
1 – нижнепермская красноцветная толща песчаников; 2 – рудоносные серые песчаники; 3 – безрудные красные песчаники и аргиллиты; 4 – нижнепермские песчаники и известняки; 5 – рудные тела.

Вариант 12. Месторождение бокситов Красная Шапочка



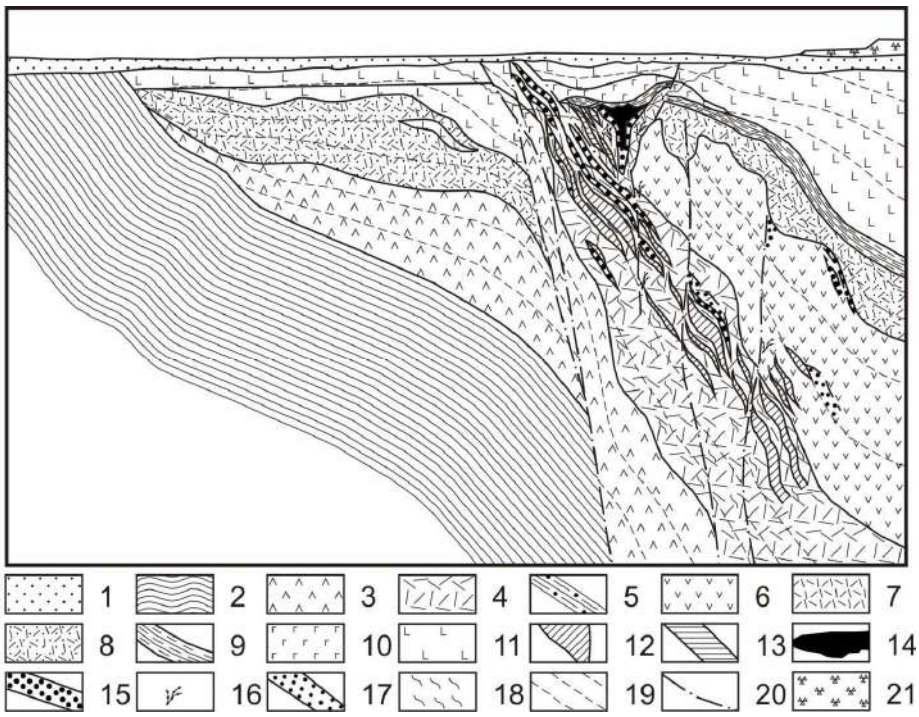
1 – вулканогенно-осадочные породы сосьвинской свиты (S_2); 2 – слоистые известняки (D_1-S_2); 3 – массивные известняки с прослоями сланцев петропавловской свиты (D_1-S_2); 4 – бокситы красные; 5 – бокситы зеленовато-серые; 6 – мергели; 7 – известняки надрудной толщи (D_2); 8 – кайнозойские глинистые отложения; 9 – надвиги; 10 – сбросы.

Вариант 13. Джидинское месторождение вольфрама



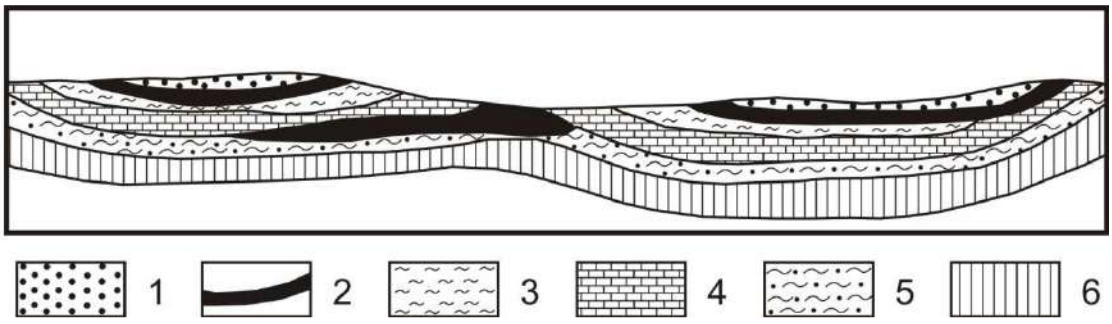
1 – кварцевые диориты; 2 – граниты порфировой структуры; 3 – лампрофиры; 4 – горнблендиты; 5 – кварцево-вольфрамовые жилы.

Вариант 14. Гайское месторождение меди



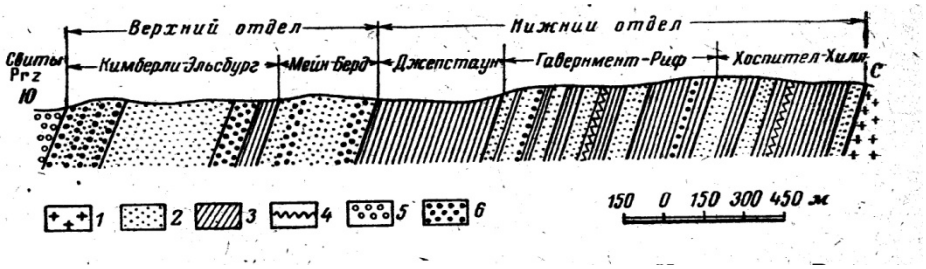
1 – мезо-кайнозойские песчано-глинистые отложения; 2 – породы основания Гайской палеовулканической структуры – переслаивание кремнистых и кремнисто-глинистых пелитовых туффитов, туфопесчаников, углистых алевролитов (D_1?); *вулканогенные и вулканогенно-осадочные породы Гайской палеовулканической структуры:* 3 – андезидацитовая толща; 4-5 – риолитовая толща: 4 – лавы, кластолавы, брекчиевые лавы, туфы; 5 – чередование кремнистых пелитовых туффитов и сплошных серно- и медноколчеданных руд; 6 – дацитовая толща; 7-8 – риодацитовая толща: 7 – окварцованные, серицитизированные и минерализованные пирокласты риолитового состава; 8 – туфы риодацитового состава с прослоями туффитов, кварцевые риолиты; 9 – переходный горизонт (переслаивание перемытых туфов с туфопесчаниками, туффитами, шлако-туфами базальтов, кремнями); 10-11 – базальтоидная толща: 10 – долериты, кварцевые долериты, габбродолериты; 11 – миндалекаменные и шлаковые лавы, лавобрекчии; туфы, туффиты пироксен-плагиопорфировых базальтов. *Сульфидная минерализация:* сплошные руды: 12 – серноколчеданные и бедные медноколчеданные; 13 – медноколчеданные и медно-цинковоколчеданные с повышенным содержанием меди и цинка; 14 – богатые медноколчеданные (включая борнитовые) и медно-цинковоколчеданные. *Прожилково-вкрапленная минерализация и продукты разрушения рудных тел:* 15 – медноколчеданная и медно-цинковоколчеданная кондиционная руда; 16 – прожилки и штокверки халькопирит-пиритового и халькопиритового состава, фиксирующие зоны переотложенного оруденения; 17 – горизонты и участки развития рудокластов сплошных серноколчеданных и бедных медноколчеданных руд. *Прочие обозначения:* 18 – сланцеватость; 19 – слоистость; 20 – синвулканические разрывные длительно развивающиеся нарушения; 21 – отвалы карьера

Вариант 15. Керченское месторождение железа



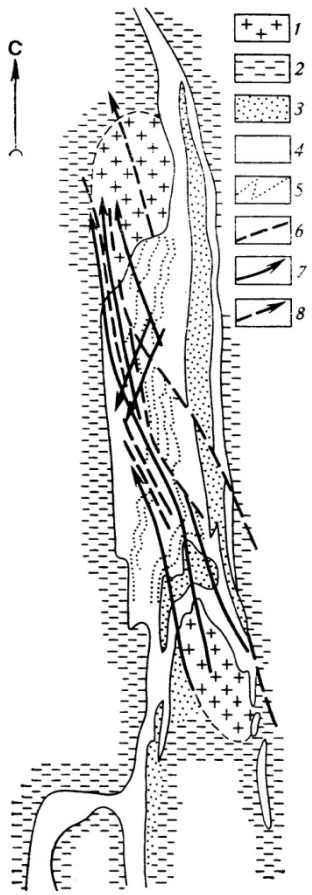
1 – глины и пески верхнекиммерийские; 2 – рудные слои; 3 – глины и известняки нижнекиммерийские; 4 – известняки, угли, пески понтические; 5 – глины, мергели, пески мэотиса; 6 – отложения сармата

Вариант 16. Золото-урановое месторождение Витваттерсранд



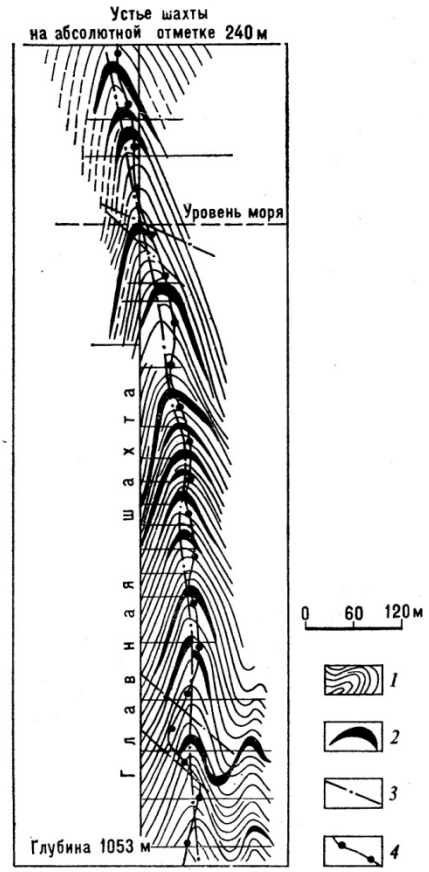
1 – древние граниты; 2 – кварциты; 3 – сланцы; 4 – смятые слои; 5 – мандельштейны; 6 – золотоносные конгломераты (рифы).

Вариант 17. Месторождение золота Колар



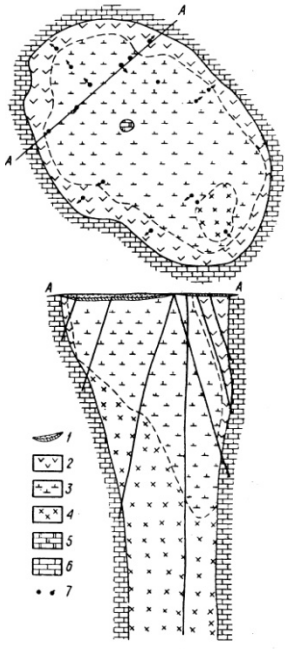
1 – граниты; 2 – гнейсы Пенинсула; 3 – гнейсы Чемпион; 4 – сланцевый пояс Колар; 5 – золотоносные залежи; 6 – разломы; 7 – оси кулисообразных наложенных

Вариант 18. Месторождение золота Бендиго



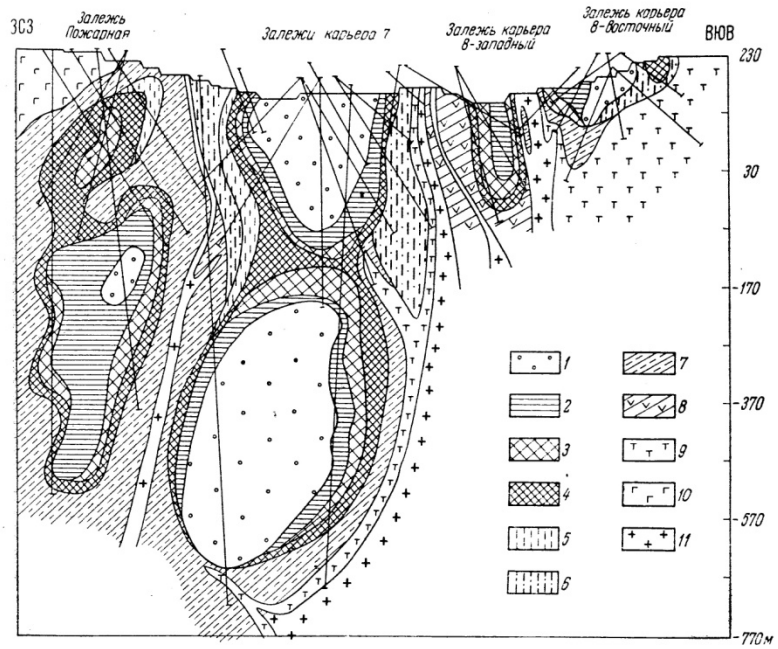
1 – сланцы и песчаники силурийского возраста; 2 – рудные тела; 3 – разрывные нарушения; 4 – дайки лампрофиров

Вариант 19. Месторождение алмазов Трубка Мир



1 – элювиально-делювиальный слой; 2 – измененный кимберлит желтого цвета; 3 – измененный кимберлит зеленого цвета; 4 – малоизмененный кимберлит зелено-черного цвета; 5 – крупный ксенолит («риф») карбонатных пород усть-кутской свиты; 6 – карбонатная порода усть-кутской свиты; 7 – буровые скважины.

Вариант 20. Баженовское месторождение асбеста



1 – перидотиты; 2 – перидотиты с отороченными жилами асбеста; 3 – перидотиты и серпентиниты с крупной сеткой жил асбеста; 4 – серпентиниты с мелкой сеткой жил асбеста; 5 – серпентиниты с мелкопрожилом; 6 – серпентиниты с просечками и единичными жилами асбеста; 7 – серпентиниты рассланцованные с асбестом; 8 – серпентиниты рассланцованные; 9 – оталькованные серпентиниты, тальковые, такльк-карбонатные, тальк-хлоритовые породы; 10 – габбро; 11 – дайки диоритов, диорит-аплитов, кварцевых порфиров, гранодиоритов.

Методические указания по выполнению контрольной работы прилагаются в виде отдельного документа.

Критерии оценивания: правильность определения структурных элементов 0-1 балл, геолого-структурных типов рудных тел – 0-2 балла, геолого-структурного типа рудного поля 0-5 баллов.

Критерии оценки:

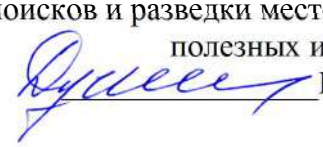
оценка «зачтено» выставляется обучающемуся, если работа получает 3-5 баллов;

оценка «незачет» выставляется обучающемуся, если работа получает 0-2 балла.

Автор: _____ Никулина И. А., доцент, к.г.-м.н.

МИНОБРНАУКИ РФ

ФГБОУ ВО «Уральский государственный горный университет»

УТВЕРЖДАЮ
Заведующий кафедрой геологии,
поисков и разведки месторождений
полезных ископаемых

В.А.Душин

МЕТОДИЧЕСКИЕ УКАЗАНИЯ К ПРАКТИЧЕСКИМ ЗАНЯТИЯМ ПО ДИСЦИПЛИНЕ

Б1.В.ДВ.02.02 ПРОГНОЗ И ПОИСКИ В ПРЕДЕЛАХ РУДНЫХ ПОЛЕЙ

Специальность:
21.05.02 Прикладная геология

Специализация
Геологическая съемка, поиски и разведка месторождений твердых полезных ископаемых

форма обучения: очная, заочная

Автор: Никулина И. А.., доцент, к.г.-м.н.

Одобрены на заседании кафедры
Геологии, поисков и разведки МПИ
(название кафедры)
Протокол № 1 от 26.09.2023
(Дата)

Екатеринбург

СОДЕРЖАНИЕ

№№ работ	Название
	Введение
1	Детальное геологическое прогнозирование
2	Геометризация рудоконтролирующих поверхностей
3	Анализ массовых замеров мелкой трещиноватости

Введение

Прикладную часть дисциплины «Прогноз и поиски в пределах рудых полей» составляют вопросы методики детальных и локальных прогнозно-поисковые работы с целью обнаружения новых рудных тел или их частей. Прогнозно-поисковые работы в пределах рудных полей, в отличие от региональных исследований, имеют следующие особенности: 1) локальный масштаб объектов прогнозирования и поисков, 2) значительно большая плотность сети наблюдений, 3) специфические методы прогнозных построений.

На первом этапе ГРР при региональном геологическом изучении недр и прогнозировании полезных ископаемых объектами прогноза являются рудные районы, узлы, зоны, на втором этапе, при поисках и оценке – рудные поля и рудные тела. На третьем этапе, при разведке и освоении месторождений, объекты прогноза и поисков еще более крупные. Разведка проводится в пределах отдельных частей рудных тел, предназначенных для первоочередной разработки. При эксплуатационной разведке прогнозируется распределение в пространстве *качественно разнородных участков рудных тел* – наиболее богатых (рудных столбов, лент и пр.) и, наоборот, обедненных.

Плотность наблюдений отличается *максимальной частотой* по сравнению с ранними стадиями. Так эксплуатационной разведке, как правило, соответствует расстояние между разведочными выработками первые десятки метров.

Методика локального прогнозирования достаточно специфична и ориентируется на генетический тип изучаемой минерализации. Однако информационной базой для прогноза во всех случаях является *локальное геологическое картирование* во всех его видах – структурное, минералогическое, геохимическое, метасоматическое, технологическое и др. Соответственно, разработано большое количество как универсальных, так и достаточно специфических методов.

Теоретические вопросы геологического картирования в пределах рудных полей детально рассмотрены в монографии А. Ф. Коробейникова [4].

Основой прогнозно-поисковых работ в пределах рудных полей служит детальное геологическое картирование исследуемой территории в масштабах 1:25000 – 1:1000. Целью детального геологического картирования является, в первую очередь, определение и уточнение рудоконтролирующих факторов: стратиграфо-литологических, магматических, структурных, геоморфологических, метаморфических и др. При картировании обязательно учитываются результаты предшествующих геологосъемочных, геофизических, геохимических, а также геологоразведочных работ. Методика картирования должна полностью соответствовать действующим инструктивным материалам МПР РФ и методическим указаниям ведущих НИИ – ВСЕГЕИ, ЦНИГРИ, ВИМС.

При изучении рудных полей необходимо принимать во внимание генетические и промышленные типы оруденения. Так, при картировании осадочных месторождений главную роль должны играть литолого-стратиграфические исследования. Для рудных полей магматического генезиса первостепенное значение имеют структурно-петрологические наблюдения. Исследования метаморфических и гидротермальных объектов состоят в изучении литолого-петрологических особенностей в сочетании с элементами складчатой и разрывной тектоники. Картирование полей с россыпными

объектами выполняется на основе геоморфологической и четвертичной специализированной съемки.

Кроме того, при прогнозировании и поисках в пределах рудных полей применяются специализированные виды геологического картирования: структурное, метасоматическое, минералогическое, геохимическое, геолого-технологическое.

Структурное картирование рудных полей заключается в уточнении разрезов рудовмещающих пород, анализе их форм, условий залегания и петрографического состава, детальном изучении тектоники рудного поля и в особенности рудоконтролирующих структур, включая мелкую трещиноватость и микротектонику. В зависимости от генезиса рудного поля применяются разные методы структурного картирования, основные из которых будут рассмотрены в следующем разделе.

Метасоматическое картирование является необходимой частью исследования гидротермальных месторождений, рудные тела которых сопряжены с ореолами околорудных изменений. Метод состоит в изучении минералого-геохимической зональности ореолов, составлении метасоматических колонок и выделении стадий метасоматоза (ранней щелочной, кислотного выщелачивания, поздней щелочной, нейтрализации растворов – по Д.С. Коржинскому), моделировании рудно-метасоматического процесса и определении места оруденения в этом процессе. Более подробное знакомство с методикой изучения околорудных метасоматитов предусмотрено действующим учебным планом в курсе «Методы изучения МПИ».

Минералогическое картирование, или топоминералогия, представляет собой, в первую очередь, метод научных исследований. Суть его состоит в изучении распределения в пространстве отдельных минералов и их типоморфных характеристик, либо парагенетических ассоциаций минералов. При этом анализируются как содержание минералов, так и их количественные соотношения. Наиболее распространенными являются, кварцеметрическая и пиритометрическая съемка.

Геохимическое картирование в пределах рудных полей осуществляется в соответствии с действующими инструктивными и методическими материалами. Важнейшие приемы геохимических исследований рассматриваются в дисциплине «Геохимические методы поисков». В качестве некоторой особенности можно отметить, что в масштабе рудного поля целесообразно использовать только литохимический метод – по коренным и рыхлым отложениям.

Наконец, геолого-технологическое картирование предназначено для выделения технологических типов и сортов руд с целью управления качеством продукции и разработки рациональной схемы отработки месторождения. Эти работы являются одной из важнейших задач эксплуатационной разведки на действующих горнодобывающих предприятиях. Вопросы геолого-технологического картирования рассматриваются в курсе «Горнопромышленной геологии».

Методы структурного картирования рудных полей

При геологической съемке структурное картирование является дополнением к геологическому картированию и служит для уточнения и детализации тектонического строения территории. Но при изучении структуры рудного поля структурное картирование – основной метод исследований.

Методы структурного картирования чрезвычайно разнообразны. Их можно объединить в 2 группы: картировочные и аналитические. К картировочным относятся структурная съемка, морфометрический, морфогенетический, морфоструктурный, палеофациальный, палеовулканический, структурно-петрологический и другие методы. Аналитические методы включают: анализ мелкой трещиноватости, микроструктурный, тектонофизический и т.п. [4].

Картировочные методы направлены на построение специальных структурных карт. Их разнообразие связано с различием генетических типов месторождений. На магматических месторождениях применяется структурно-петрологический метод, на гидротермальных – морфогенетический (палеотектонический), на вулканических, соответственно, палеовулканический. Для месторождений выветривания эффективен, в первую очередь, палеоклиматический метод, для осадочных – палеофациальный, палеогеографический и палеогеоморфологический. Анализ метаморфогенных месторождений включает изучение рудоносных структур метаморфических комплексов (палеометаморфический метод).

Перечисленные картировочные методы аналогичны по своей сути.

Структурно-петрологические (палеоплутонические) исследования состоят в последовательном выполнении следующих работ: а) выделение фаций плутонитов – главных и дополнительных фаз, жильных серий, фаций сателлитов; б)анализ их размещения в пределах рассматриваемой площади; в)реставрация истории становления плутонических тел; г)определение места оруденения в этой истории; д)выявление рудоносных фаз и оконтуривание перспективных участков.

Палеовулканический метод включает: а) выделение вулканических фаций; б)анализ их размещения; в) палеовулканические реконструкции; г) определение места оруденения в вулканическом процессе; д) выявление рудоносных и оконтуривание рудоносных участков.

Палеофациальные работы объединяют: а)выделение фаций осадочных пород; б)анализ их распространения; в)реставрация палеофациальных условий; г)определение места оруденения в палеофациальной обстановке; д)выявление рудоносных структур и прогноз.

Изучение рудоносных структур метаморфических комплексов (палеометаморфический метод), в свою очередь, это: а)выделение метаморфических фаций и минеральных ассоциаций; б)анализ их размещения; в)реставрация истории формирования комплекса; г)определение места оруденения в нем; д)выявление рудоносных фаций и прогноз.

Некоторой спецификой отличаются морфогенетический (палеотектонический или палеогидротермальный) и морфоструктурный (палеогеоморфологический) методы.

Морфогенетический метод применяется для глубоко вскрытых гидротермальных месторождений и заключается в реставрации направления движения потока рудообразующих растворов, оценке вертикальной протяженности и степени эродированности месторождений.

Морфоструктурный метод применяется для экзогенных и полигенных месторождений. Он основан на сопоставлении рельефа поверхности с ее геологической

структурой; исследовании морфоструктуры, возникшей при взаимодействии экзогенных и эндогенных факторов.

Наконец, два из названных выше картировочных методов являются универсальными, то есть они применимы к месторождениям любого генезиса. Это структурная съемка и морфометрический анализ.

Структурная съемка – это построение специальных структурных карт, на которых показывают разрывные и складчатые нарушения и их характеристики.

Морфометрический анализ состоит в изучении связи оруденения с рельефом продуктивных структурных поверхностей. Изучение рельефа осуществляется методом его геометризации. В результате устанавливаются рудообразующие деформации и реконструируется механизм формирования месторождения.

Аналитические методы картирования предполагают проведение специфических структурных исследований. Из них наибольшим распространением пользуется *анализ мелкой трещиноватости*. Он включает массовые замеры трещин, статистическую обработку замеров и собственно анализ. Метод имеет широкие возможности, он позволяет определять: 1)региональный план тектонических деформаций (осей тектонических напряжений); 2)локальные вариации плана деформаций; 3)тип, генезис и этапы рудообразующих деформаций; 4)возрастные взаимоотношения оруденения с различными геологическими телами; 5)механизм рудообразования в целом (в совокупности с другими методами). Применение метода не требует каких-либо особых приспособлений или навыков, он общедоступен и дает разнообразные и достаточно определенные данные.

Тектонофизический анализ базируется на основных положениях тектонофизики, основоположником которой является М.В. Гзовский. Тектонофизический анализ также заключается в реставрации плана тектонических напряжений, то есть ориентировки осей тектонических деформаций. Основой анализа является также изучение мелкой трещиноватости. Положение осей устанавливается по ориентировке сопряженных систем трещин, осей складчатости, плойчатости и другим признакам. Определенная неоднозначность состоит в правильном выделении сопряженных систем, для чего разработан целый ряд признаков. Оси деформации определяются как линии пересечения сопряженных систем в результате графических построений на специальной сетке.

Микроструктурный анализ основан на определении ориентировки минералов в горных породах и рудах, возникшей в результате тектонических (метаморфических, метасоматических и др.) процессов. Метод позволяет сделать выводы о структурных услових формирования рудовмещающих пород и руд. Микроструктурный анализ заключается в отборе ориентированных образцов, изготовлении из них ориентированных шлифов и последующем изучении их на столике Федорова с замером ориентировки оптических осей. Метод отличается трудоемкостью, он требует большой точности и аккуратности, высокой квалификации исполнителя. При этом он должен сочетаться с другими методами, и результаты его не всегда интерпретируются однозначно.. Кроме того, в классических вариантах микроструктурного анализа используются только одноосные минералы – кварц, кальцит, слюды, хотя позднее разработаны модификации и для других минералов – барита, оливинов, пироксенов, рудных минералов.

Структурно-петрофизический анализ основан на изучении физико-механических свойств горных пород (петрофизических свойств). С помощью специальных структурно-петрофизических диаграмм выделяются деформированные и недеформированные породы, реставрируются палеотектонические поля напряжений, этапы развития рудоносных структур. Метод использует математическое моделирование физико-механических свойств горных пород, руд, полей напряжений для разных механизмов деформаций.

В рамках практических занятий при изучении дисциплины «Структуры рудных полей» предусматривается освоение трех наиболее распространенных методов: двух картировочных и одного аналитического. Первая работа состоит в прогнозировании новых рудных тел в пределах медноколчеданного рудного поля на палеовулканической основе, вторая работа заключается в исследовании рудоконтролирующей поверхности с помощью геометризации морфометрическим методом, и третья – анализ массовых замеров мелкой трещиноватости. Теоретические основы методов рассматриваются в лекционной части курса, а также в методических указаниях по самостоятельной работе. В данном пособии приводится описание практической части работ.

РАСЧЕТНО-ГРАФИЧЕСКАЯ РАБОТА № 1

Детальное геологическое прогнозирование

Цель учебной работы по детальному прогнозированию состоит в том, чтобы получить представление о задачах, решаемых при количественном прогнозировании и познакомиться с методами, которые применяются при решении этих задач.

Задание разработано на примере Бурибайского медноколчеданного месторождения, расположенного на Южном Урале. Медноколчеданное оруденение – ведущий для Урала промышленный тип медных руд. Заблаговременное выявление прогнозных ресурсов разных категорий является залогом обеспечения сырьем меднорудных предприятий региона. В качестве прогнозной основы использована схематическая геологическая геолого-структурная карта Бурибайского рудного поля масштаба 1:25000, составленная в 1984 г. В. Ф. Рудницким и Н. Б. Папуловым; данные по рудным объектам взяты из отчета о научно-исследовательской работе "Условия размещения медноколчеданных месторождений и оценка перспектив на Бурибайском и Маканском рудных полях" 1986 г., авторами которого являются В. Ф. Рудницкий, В. В. Масленников, Н. Б. Папулов и др. В целях оптимизации обучающих функций задания допущены некоторые отступления от карты и параметров рудных проявлений.

Задание базируется на методике количественного геологического прогнозирования, применяемой в нашем институте с начала 70-х годов. основоположником ее был заведовавший кафедрой геологии месторождений полезных ископаемых в 1968-1977 гг. проф. П. А. Шехтман. Позднее это направление возглавлял проф. В. В. Бабенко.

Задание состоит из двух частей. Первая часть заключается в выявлении рудоконтролирующих факторов и оценке их относительной значимости, а вторая – в выделении перспективных площадей. Для выполнения первой части задания используется эталонный участок карты, в пределах которого сосредоточены практически все известные в Бурибайском рудном поле проявления медноколчеданных руд. Они представлены Бурибайским месторождением, ныне отработанным, Ново-Бурибайской рудной залежью, рудопроявлениями Подсобное хозяйство, Шанхай, Красный Маяк, а также рядом рудных подсечений. Вторая часть задания – собственно прогнозирование, выполняется на смежном с эталонным участке, в пределах которого проявлений минерализации в настоящее время не установлено. Поскольку задание носит учебный характер, процесс прогнозирования в нем предельно упрощен. Прогнозная оценка базируется в рассматриваемой методике на геолого-статистических методах и включает довольно большой объем вычислений. Для их реализации составлена программа под названием "Учебная работа по количественному прогнозированию", рассчитанная на компьютерный класс кафедры.

ГЕОЛОГИЧЕСКОЕ СТРОЕНИЕ ОЦЕНИВАЕМОЙ ТЕРРИТОРИИ

Геология рудного района

Рассматриваемый рудный район расположен в пределах вулканического пояса, представленного здесь двумя структурными зонами – Восточной и Западной. Восточная зона сложена андезито-базальтовой формацией и представляет собой островную дугу. В Западной зоне развита формация натриевых базальтов-риолитов, которая рассматривается как основание островодужного комплекса, либо как отложения междугового бассейна.

В геологическом строении района участвуют (Рис. 1) две свиты – нижняя и верхняя. Нижняя свита развита в пределах Западной зоны и включает две толщи – метадолеритовую и базальтовую. Первая, метадолеритовая (диабазовая), толща представлена афировыми и порфировыми метаморфизованными долеритами, образующими пакеты крутопадающих даек и силлоподобные залежи при подчиненном присутствии лав. Вторая, базальтовая, толща сложена подушечными и трубчатыми лавами подводных базальтов (спилитов), среди которых встречаются дайки метадолеритов и изредка прослои переотложенных гиалокластитов. Верхняя свита слагает, главным образом, Восточную структурную зону. Она включает лавы и пирокластические разности пироксен-плагиоклазовых порфировых дацито-андезитов, андезибазальтов и базальтов, которые сменяются вверх по разрезу вулканогенно-терригенными породами: туфоалевролитами, туфопесчаниками, туфоконгломератами. Интрузивные образования района представлены габбро и габбродиоритами, залегающими в виде крутопадающих дайкообразных и штокообразных тел.

В структурном отношении район представляет собой тектонический блок, длинной осью ориентированный в север-северо-западном направлении. С запада и востока блок ограничен разломами субмеридионального (355^{o}) простирания, с севера и юга – субширотными (60^{o}). Субмеридиональные разломы вмещают интрузивные тела диоритов, габбродиоритов и габбродолеритов, субширотные трассируются пакетами даек метадолеритов. Долериты и подводные базальты образуют в пределах блока вытянутые в субмеридиональном направлении вулканические поднятия. В ядрах поднятий выходят долериты, на крыльях залегают потоки базальтов. Поднятия с длинных сторон окаймляются депрессионными структурами (кальдерными рвами) шириной около 500 м при размерах поднятий от 3х7 до 8х20 км. Поднятия разделены субширотными разломами.

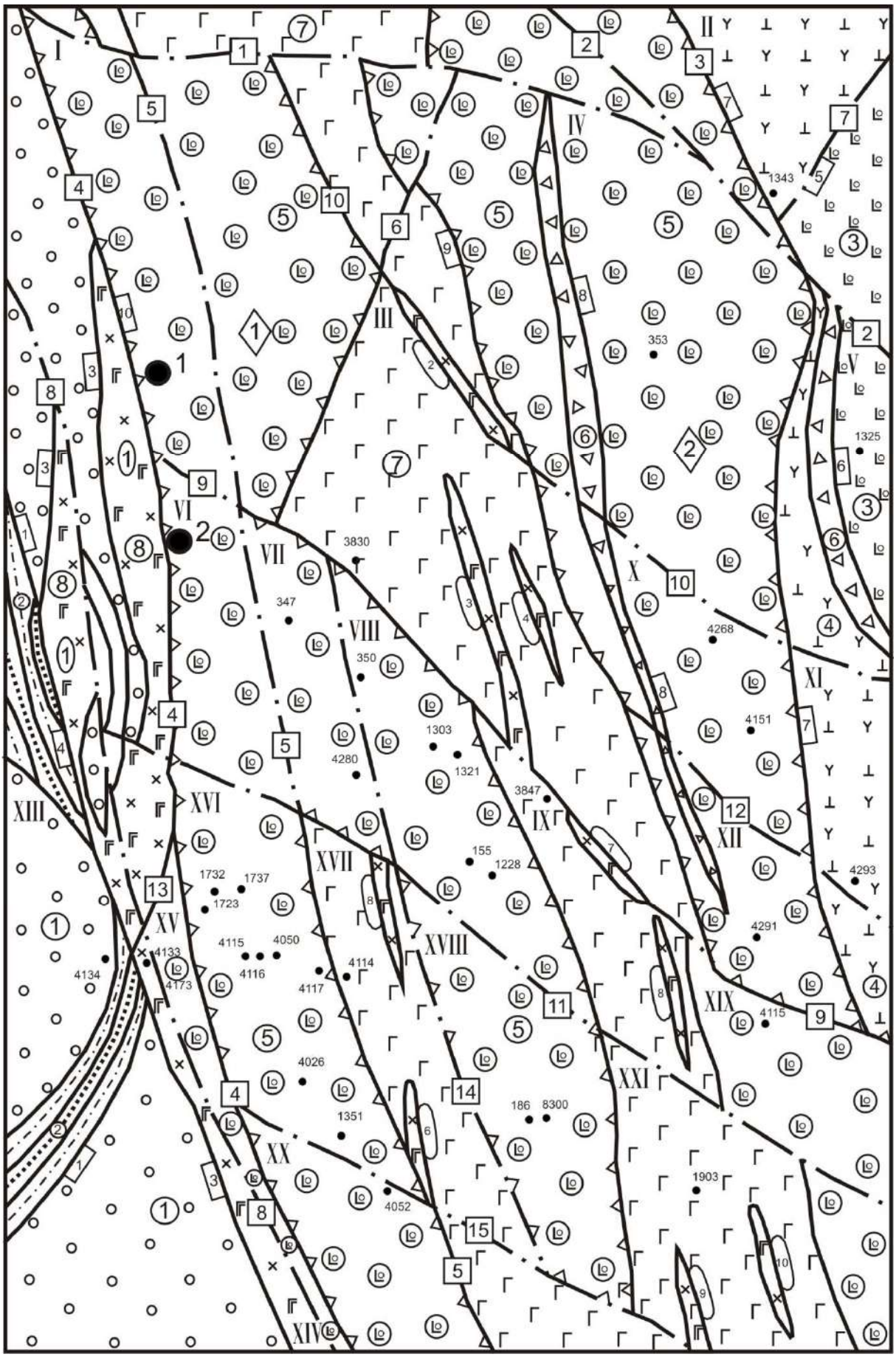
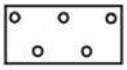


Рис. 1. Геологическая карта эталонного участка. Масштаб 1:25000

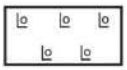
Условные обозначения к рисункам 1 и 2

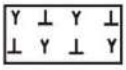
Литология

Верхняя свита

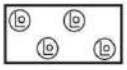
 Туфоконгломераты

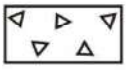
 Туфопесчаники и туфоалевролиты

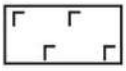
 Базальты и андезибазальты

 Дациты и андезидациты

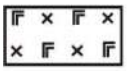
Нижняя свита

 Подушечные лавы подводных базальтов

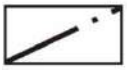
 Переотложенные гиалокластиты

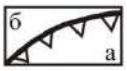
 Долериты и базальты долеритовой толщи

Интрузивные породы

 Габбродиориты

Структурные элементы

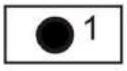
 Разломы



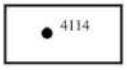
Контуры палеодепрессий (а) и разделяющих их поднятий (б)

 Геологические контакты

Рудные объекты

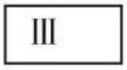


Месторождения

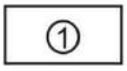


Рудные скважины

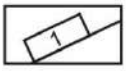
Нумерация структур



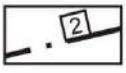
Номера ГОБ



Номера литологических толщ



Номера геологических контактов



Номера разломов



Номера вулканоструктур



Номера магматических тел

Эталонное рудное поле

Эталонное рудное поле приурочено к крылу одного из вулканических поднятий. Оно представляет собой вытянутую в субмеридиональном направлении горст-антиклиналь размером 4х18 км, сложенную породами нижней свиты. С запада горст-антиклиналь ограничена глубинным разломом с амплитудой свыше 600 м, с востока перекрывается более поздними вулканогенными образованиями верхней свиты. Северная и южная границы поля проводятся по субширотным нарушениям.

Пакеты даек и компактные микропорфировые базальты образуют в центральной части рудного поля вулканическую гряду (вал) шириной 0,5-2,5 км, вытянутую в субмеридиональном направлении на расстояние 16 км. В центральной части гряды к западу отходит небольшой пальцевидный отрог размером в плане 0,25-1,5 км (Рис. 1). Склоны гряды имеют пологое (до 30, реже до 45^{o}) падение и покрыты подушечными лавами подводных базальтов толщи. На склонах выделяются узкие депрессионные структуры, которые характеризуются присутствием в них, наряду с шаровыми лавами, прослоев вулканогенно-осадочных отложений.

В рудном поле установлены две палеодепрессии. Одна из них находится на восточном склоне вулканической гряды, имеет овальную форму и размеры 1х6 км. Вторая откартирована на западном склоне гряды. Размеры ее значительно больше, а конфигурация осложнена отрогом вулканической гряды, разделяющим юго-восточную часть палеодепрессии на две полосы. Западная часть палеодепрессии срезана глубинным разломом. Поствулканические разломы северо-западного простирания разделяют рудное поле на ряд блоков более высокого порядка.

Характеристика рудных объектов

Минерализация эталонного рудного поля представлена двумя месторождениями – одним средним и одним мелким, четырьмя проявлениями и рядом рудных подсечений (Рис. 1).

Месторождение 1 расположено в нижней базальтовой толще, в северном замыкании западной палеодепрессии. Образовано оно тремя линзами. Основной по запасам является Южная линза. Ее мощность достигает 65 м, длина по простиранию 350 м. Линза протягивается по азимуту 345^{o} с падением на запад под углом 45-50^{o}. В поперечном сечении линза имеет ступенчатую форму, которая определяется сочетанием крутопадающих зон дробления с пологими межпластовыми зонами рассланцевания. По простиранию рудное тело резко выклинивается на юге без сокращения мощности, а на севере расщепляется на две апофизы с образованием раздува в месте расщепления. Руды месторождения представлены, в основном, массивным и, в меньшей степени, вкрапленным типами и состоят из пирита, халькопирита и сфалерита. Среднее содержание меди 3,5 %, цинка – 1 %. Руды сопровождаются метасоматитами кварц-хлоритового, хлорит-кварцевого, карбонат-хлорит-кварцевого, кварц-хлорит-серицитового состава.

Месторождение 2 находится в 500 м к югу от месторождения 1 в сходной геолого-структурной обстановке на более глубоком уровне. Представлено оно двумя параллельными линзами западного падения (угол 35-40^{o}). По простиранию длина залежи составляет около 100 м, по падению – 200 м. Суммарная мощность линз достигает 25 м, среднее содержание меди 2,3 %.

Проявления 3, 4, 5 приурочены к центральной части западной палеодепрессии. Они образуют две зоны. Первая включает проявление 3 и располагается в западном борту Западной палеодепрессии. Здесь вскрыты медные, медно-цинковые и серные массивные и прожилково-вкрапленные руды, сопряженные с серицит-хлорит-кварцевыми метасоматитами. Вторая зона контролируется депрессионной структурой более высокого порядка, осложняющей восточный борт той же палеодепрессии. Зона включает вкрапленную медную и цинковую минерализацию проявлений 4 и 5. Проявление 6 размещается в Восточной палеодепрессии. Оно представлено вкрапленными цинковыми рудами и сульфидной минерализацией в хлорит-кварцевых и серицит-хлорит-кварцевых породах. Проявления изучены недостаточно и четко не оконтурены, поэтому на карте эталонного рудного поля (Рис. 1) они представлены в виде отдельных рудных подсечений (скважин).

Сводная характеристика рудных объектов дана в таблице 1.

МЕТОДИКА ВЫПОЛНЕНИЯ РАБОТЫ

Выявление рудоконтролирующих факторов

Составление кадастра минерализованных блоков

Первая часть работы – выявление рудоконтролирующих факторов, базируется на анализе карты эталонного участка, расположенной на бланке задания слева (Рис. 1). Геологические контакты, разрывные нарушения и границы палеовулканических структур делят площадь эталонного рудного поля на отдельные участки, в пределах которых геологическая ситуация одинакова. Эти участки называются геологически однородными блоками (ГОБ). 21 из них являются минерализованными, то есть содержат рудные объекты – месторождения, проявления или рудные подсечения. Они и используются для выявления и оценки рудоконтролирующих факторов. Масштаб минерализации, заключенной в каждом таком блоке, определяется вариантом задания в виде содержания полезного компонента (меди), мощности рудной зоны или произведения этих параметров – метропроцента (табл. 1).

Таблица 1

Характеристика рудных объектов

Номера ГОБ	Номера объектов	Варианты														
		Мощность рудного тела, м						Содержание меди, %				Метропроценты, м%				
		1	2	3	4	5	6	7	8	9	10	11	12	13	14	15
1	2	3	4	5	6	7	8	9	10	11	12	13	14	15	16	17
1	I	65,00	32,50	130,00	88,00	43,30	3,50	1,75	7,00	5,30	2,30	227,50	56,88	910,00	466,40	99,59
2	8303	1,40	0,70	2,80	2,10	0,90	0,20	0,10	0,40	0,30	0,13	0,28	0,07	1,12	0,63	0,12
3	3850	10,00	5,00	20,00	15,00	6,70	1,00	0,50	2,00	1,50	0,67	10,00	2,50	40,00	22,50	4,49
4	353	0,50	0,25	1,00	0,75	0,30	0,16	0,08	0,32	0,75	0,11	0,08	0,02	0,32	0,18	0,03
5	1325	0,98	0,49	2,00	1,46	0,65	0,05	0,04	0,10	0,07	0,03	0,49	0,01	0,20	0,10	0,02
6	II	25,00	12,50	50,00	38,00	17,70	2,30	1,15	4,60	3,50	1,50	57,50	14,38	230,00	133,00	26,55
7	347	9,30	4,60	18,60	14,00	6,20	0,13	0,07	0,26	0,19	0,09	1,21	0,32	4,84	2,66	0,56
	4280	9,70	4,90	19,40	14,20	6,40	0,34	0,17	0,68	0,51	0,23	3,30	0,83	13,19	7,24	1,47
8	350	2,90	1,45	5,80	3,30	2,00	0,07	0,04	0,14	0,11	0,05	0,20	0,06	0,81	0,36	0,10
	1303	2,00	1,00	4,00	3,00	1,40	0,06	0,03	0,12	0,09	0,04	0,12	0,03	0,48	0,27	0,06
	1321	1,20	0,60	2,40	1,80	0,80	0,64	0,32	1,28	0,96	0,43	0,77	0,12	3,07	1,73	0,34
	155	13,60	6,80	27,20	20,40	9,00	0,20	0,10	0,40	0,30	0,14	2,72	0,68	10,88	6,12	1,26
	4288	21,70	10,75	43,40	32,00	14,70	0,84	0,42	1,68	1,26	0,56	18,33	4,52	72,91	40,32	8,23
9	3847	5,00	2,50	10,00	7,50	3,30	0,06	0,03	0,10	0,08	0,03	0,25	0,08	1,00	0,60	0,10
10	4286	0,50	0,25	1,00	0,75	0,33	0,16	0,08	0,32	0,24	0,09	0,08	0,02	0,32	0,18	0,30
	4151	3,10	1,55	6,20	4,70	2,00	0,25	0,13	0,50	0,38	0,18	0,78	0,20	3,10	1,79	0,36
11	4293	1,04	0,52	2,08	1,56	0,72	0,07	0,04	0,14	0,11	0,05	0,73	0,02	0,29	0,17	0,01
12	4291	1,00	0,50	2,00	1,50	0,67	0,04	0,02	0,08	0,06	0,03	0,01	0,01	0,16	0,09	0,02
13	4134	16,00	8,00	32,00	24,00	10,70	0,21	0,11	0,42	0,32	0,14	3,36	0,88	13,44	7,68	1,50
14	4135	3,00	1,50	6,00	4,50	2,00	0,25	0,13	0,50	0,38	0,18	0,75	0,20	3,00	1,71	0,36
15	4173	4,10	2,05	8,20	6,30	2,70	0,50	0,25	1,00	0,75	0,33	2,05	0,51	8,20	4,73	0,89

Продолжение таблицы 1

1	2	3	4	5	6	7	8	9	10	11	12	13	14	15	16	17
16	1732	3,60	1,80	7,20	5,40	2,40	0,01	0,01	0,02	0,02	0,01	0,04	0,02	0,14	0,11	0,02
	1737	1,40	0,70	2,80	2,10	0,90	0,02	0,01	0,04	0,03	0,01	0,03	0,01	0,11	0,06	0,01
	1723	0,30	0,15	0,60	0,45	0,20	0,84	0,42	1,68	1,26	0,63	0,25	0,06	1,01	0,57	0,13
	4115	28,20	14,10	56,40	32,30	19,99	1,62	0,81	3,24	2,41	1,12	45,68	11,42	182,74	77,84	21,28
	4116	3,80	1,90	7,60	5,70	2,50	0,55	0,23	1,10	0,80	0,37	2,09	0,44	8,36	4,56	0,93
	4117	5,90	2,85	11,80	8,70	4,00	0,20	0,10	0,40	0,30	0,14	1,18	0,29	4,72	2,61	0,56
	4050	14,00	7,00	28,00	21,00	9,20	0,50	0,25	1,00	0,75	0,33	7,00	1,75	28,00	15,75	3,04
	4026	3,80	1,90	7,60	5,70	2,50	1,05	0,53	2,10	1,58	0,70	3,99	1,01	15,96	9,01	1,75
	1351	4,50	2,25	9,00	6,80	3,00	0,13	0,07	0,26	0,20	0,09	0,59	0,16	2,34	1,36	0,27
	3840	6,50	3,25	13,00	9,80	4,30	0,20	0,10	0,40	0,30	0,13	1,30	0,33	5,20	2,94	0,56
17	4114	4,70	2,35	9,40	7,00	3,10	0,05	0,03	0,10	0,08	0,03	0,24	0,07	0,94	0,56	0,09
18	186	12,00	6,00	24,00	18,00	8,00	0,88	0,44	1,76	1,32	0,60	10,56	2,64	42,24	23,76	4,80
	8300	16,95	8,49	33,00	25,40	11,00	0,95	0,48	2,00	1,43	0,67	16,10	4,08	66,00	36,32	7,37
19	4118	1,20	0,60	2,40	1,80	0,80	0,30	0,15	0,60	0,45	0,20	0,36	0,09	1,44	0,81	0,16
20	4062	1,10	0,55	2,20	1,60	0,70	2,50	1,25	5,00	3,75	1,80	2,75	0,69	11,00	6,00	1,26
21	1903	1,10	0,55	2,20	1,60	0,70	0,05	0,03	0,10	0,08	0,03	0,05	0,02	0,22	0,13	0,02

Работа по выявлению рудоконтролирующих факторов начинается с описания признакового множества минерализации – с составления кадастра минерализованных ГОБ. Кадастр представляет собой таблицу, столбцы которой соответствуют описываемым ГОБ, а строки – признакам, фиксируемым в каждом из них. Формуляр кадастра с образцом заполнения приводится в таблице 2. При заполнении кадастра для сокращения записей данные целесообразно кодировать, то есть использовать цифровые и буквенные обозначения, которые оформляются в виде словаря кодов (дескрипторов). Дескрипторный словарь для выполнения данного задания представлен в таблице 3.

Геологические тела, участвующие в строении территории (разломы, вулканоструктуры, толщи горных пород, магматические тела и геологические контакты), нумеруются. Нумерация необходима для последующей статистической обработки информации. При заполнении кадастра номер описываемого тела обязательно фиксируется и вся снимаемая с карты информация заносится строго в соответствующую ему строку.

Составление расчетных таблиц

Когда кадастр минерализованных ГОБ полностью заполнен, собранную в нем информацию нужно подготовить к машинной обработке, Удобнее всего представить ее в табличной форме. Фрагмент такой таблицы для одного из оцениваемых признаков – ориентировки разломов, приводится ниже в таблице 4.

Строки таблицы отвечают номерам описываемых геологических тел (в нашем примере разломов), а столбцы – градациям оцениваемого признака (направлению простирания). В клетки таблицы заносятся значения масштаба минерализации, соответствующие номеру ГОБ, определяемые вариантом задания. Так, если разлом с номером 1 имеет субширотное простирание, а масштаб минерализации описываемого блока составляет 88,0, то число 88,0 следует занести в клетку, находящуюся на пересечении первой строки и второго столбца (не считая крайнего левого с номерами разломов). Если же разлом с номером 3 северо-западный, а масштаб минерализации блока, который он образует, 2,10, то число 2,10 следует занести в клетку на пересечении третьей строки и четвертого столбца (табл. 4). Поскольку с каждым разломом, как правило, связано несколько рудных объектов, то в каждую клетку попадает не одно, а несколько значений масштаба минерализации. Их следует разделять знаком ";" или писать столбиком мелким шрифтом. Например, разлом № 15 имеет северо-западную ориентировку, и с ним связаны 4 объекта с масштабом минерализации 14,40, 9,40, 28,50 и 2,20. Эти значения и записываются в клетку на пересечении четвертой строки и первого столбца (табл. 4).

Всего рекомендуется составить 9 таблиц для оценки влияния на размещение минерализации всех признаков, описанных в кадастре ГОБ и их градационных значениях:

Таблица 2

Кадастр минерализованных ГОБ

Номера ГОБ	1	2	…	21
Масштаб минерализации	1,75	0,10	…	0,03
Оцениваемые признаки				
Разломы				
номер	1	3		11
	4	7		15
	5			
	9			
ориентировка	2	4		4
	1	3		4
	1			
	4			
Вулканоструктуры				
номер	1	5		4
тип	1	2		2
Вмещающие породы				
номер	5	4		7
свита	2	1		2
фация	1	1		2
петрохимический состав	2	3		2
Магматические тела				
номер	1	-		9
				10
ориентировка	1	-		1
				1
Геологические контакты				
номер	2	5		9
	9	7		
	10			
тип	1	2		2
	2	1		
	1			
ориентировка	1	3		1, 4
	1	4		
	1			
сочетание пород в контакте	1/5	3/4		5/7
	5/7	4/5		
	5/8			

Таблица 3

Дескрипторный словарь

Признаки	Характеристики признаков	Цифровой код	Буквенный код
Разломы			
Ориентировка*	субмеридиональная	1	м
	субширотная	2	ш
	северо-восточная	3	в
	северо-западная	4	з
Вулканоструктуры			
тип	депрессии	1	д
	поднятия	2	п
Вмещающие породы			
толщи	туфоконгломераты	1	
	туфопесчаники, туфоалевролиты	2	
	базальты и андезибазальты	3	
	дацито-андезиты	4	
	подушечные лавы подводных базальтов	5	
	переотложенные гиалокластиты базальтовой толщи	6	
	метадолериты и базальты долеритовой толщи	7	
	габбродиориты	8	
свиты	верхняя	1	в
	нижняя	2	н
фации	эффузивная	1	э
	субвулканическая	2	св
	вулканогенно-осадочная	3	во
петрохимический состав	основной-средний (базальты и андезибазальты, габбродиориты)	1	ос
	основной (базальты, долериты)	2	о
	средний-кислый (дацито-андезиты)	3	кс
Геологические контакты			
тип	межформационный (между разными свитами)	1	фор
	межфациальный (между разными толщами одной свиты)	2	фац
сочетание пород в контакте	туфоконгломераты – туфопесчаники и туфогравелиты	1 (1/2)	
	туфоконгломераты – подводные базальты	2 (1/5)	
	туфоконгломераты - габбродиориты	3 (1/8)	
	туфопесчаники и туфоалевролиты – габбродиориты	4 (2/8)	
	базальты и андезибазальты – дацито-андезиты	5 (3/4)	
	базальты и андезибазальты – гиалокластиты	6 (3/6)	
	дацито-андезиты – подводные базальты	7 (4/5)	
	подводные базальты – гиалокластиты	8 (5/6)	
	подводные базальты – метадолериты	9 (5/7)	
	подводные базальты – габбродиориты	10 (5/8)	
	метадолериты – габбродиориты	11 (7/8)	

* Аналогичным образом кодируется ориентировка магматических тел и геологических контактов

Таблица 4

Ориентировка разломов

Градации / Номера	Субмеридиональ-ные	субширотные	северо-восточные	северо-западные
1		88,0 0,75		
2				0,75 1,46
3				2,10
…	…	…	…	…
15				14,40 9,40 28,50 2,20

Оценки

1) ориентировка разломов,

2) тип вулканоструктур,

3) свиты вмещающих пород,

4) фации вмещающих пород,

5) петрохимический состав вмещающих пород,

6) ориентировка магматических тел,

7) тип геологических контактов,

8) ориентировка геологических контактов,

9) сочетание пород в контакте.

Обработка информации

Обработка информации выполняется с применением ПЭВМ по специально составленной программе. Программа состоит из трех частей.

Первая часть предназначена для расчета натуральных оценок значимости признаков. Оценки рассчитываются по следующей схеме:

1) ввод исходных данных,

2) печать исходных данных и проверка ввода,

3) определение суммарных оценок отдельных геологических тел в каждой градации (в каждой клетке исходной таблицы),

4) определение суммарных оценок градаций (в каждом столбце исходной таблицы),

5) определение средних суммарных оценок отдельных геологических тел каждой градации (столбца),

6) расчет величины, обратной коэффициенту вариации, по каждой градации (столбцу),

7) определение коэффициента рудоносности – отношения суммарной оценки каждой градации к сумме оценок всех градаций данного признака,

8) расчет натуральных оценок значимости каждой градации как произведение трех величин:

- средней суммарной оценки данной градации,
- величины, обратной коэффициенту вариации,
- коэффициента рудоносности,

9) вывод результатов.

После того, как все таблицы просчитаны, распечатанные результаты просматриваются и анализируются. Для дальнейшей обработки выбираются оценки, отличные от нуля. Эти оценки нумеруются и обрабатываются с помощью второй части программы, предназначенной для приведения рассчитанных описанным способом оценок к единой десятибалльной шкале, упорядочения их и расчета средней оценки. Эти операции выполняются в следующей последовательности:

1) ввод исходных данных (номеров отобранных для дальнейшей обработки градаций признаков и их оценок),

2) печать исходных данных и проверка ввода,

3) нахождение максимальной оценки и упорядочение оценок по убыванию,

4) приведение оценок к единой десятибалльной шкале путем деления на максимальное значение и умножения на 10,

5) расчет средней приведенной оценки,

6) вывод результатов.

Третья часть программы используется позже для выделения перспективных площадей и будет рассмотрена ниже.

Программа написана в диалоговом режиме, что позволяет студентам вести обработку информации практически самостоятельно.

Систематика РФ

Получив упорядоченный массив градаций признаков и их оценок, можно приступать к отбору и систематизации РФ. В данной учебной работе рекомендуется в качестве РФ рассматривать те признаки, оценки которых выше, чем средняя. Эти признаки, то есть рудоконтролирующие факторы, следует систематизировать по видам и значимости в контроле оруденения и сформулировать на основе этой систематики геолого-структурную позицию прогнозируемого оруденения.

Обычно систематику РФ представляют в виде таблицы, строки которой отвечают рудоконтролирующим факторам разного масштаба, а столбцы – факторам разного вида. В нашей небольшой учебной работе анализируются РФ только одного масштаба – контролирующие рудные тела и месторождения. Среди них можно выделить четыре вида: разрывные, вулканоструктурные, литологические и магматические. Например, в одном из вариантов может быть получен следующий набор факторов (в скобках даны оценки значимости):

1) вулканические депрессии (10,0),

2) субмеридиональные разломы (8,5),

3) базальты подводной толщи (8,4),

4) контакт базальтовой и долеритовой толщи (6,3),

5) субширотные разломы (4,5),

6) дайки габбродиоритов субмеридиональной ориентировки (4,2).

В табличном виде их систематика будет выглядеть следующим образом (табл. 5).

Таблица 5

Систематика рудоконтролирующих факторов

Разрывные	Вулканоструктурные	Литологические	Магматические
Субмеридиональные разломы (8,5) Субширотные разломы (4,5)	Вулканотектонические депрессии (10,0)	Базальты подводной толщи (8,4) Контакт подводных базальтов и долеритов (6,3)	Субмеридиональные дайки габбродиоритов (4,2)

Проанализировав таблицу, можно сформулировать геолого-структурную позицию рудных тел: это геологические блоки, приуроченные к вулканотектоническим депрессиям, сложенные базальтами подводной толщи, прорванными дайками габбродиоритов субмеридиональной ориентировки, и ограниченные субмеридиональными и субширотными разломами и контактами базальтовой и долеритовой толщ.

Таким образом, мы сформировали модель благоприятной геолого-структурной позиции оруденения. Поиск таких позиций на оцениваемой территории и есть собственно прогнозирование – вторая часть прогнозной оценки, выполнение которой рассматривается ниже.

Прогнозная оценка территории

Прогнозная оценка выполняется в пределах второго участка карты, приведенного на бланке задания справа (Рис. 2). Здесь также в результате пересечения разных геологических тел образуются геологически однородные блоки, которые нужно пронумеровать. Вторая часть работы выполняется в следующей последовательности.

Составление кадастра оцениваемых ГОБ

Практически поиски благоприятных для размещения оруденения геолого-структурных позиций реализуется в анализе геологической ситуации в каждом оцениваемом ГОБ. При этом фиксируется проявление или отсутствие РФ из установленного набора. Оценки значимости действующих РФ в каждом блоке суммируются. Эта сумма и является оценкой перспективности блока.

Информация для машинной обработки оценок и выделения перспективных ГОБ также должна быть организована в виде таблицы, называемой кадастром перспективных ГОБ. Строки этой таблицы соответствуют оцениваемым ГОБ (с номерами в нашем задании с 22 по 56), а столбцы – выявленным выше рудоконтролирующим факторам. В клетки таблицы заносятся приведенные оценки значимости этих факторов. Если фактор в блоке не действует, то вместо оценки в соответствующую клетку ставится 0. Если фактор представлен в блоке несколько раз (например, блок образован двумя субмеридиональными разломами или содержит три дайки габбродиоритов), то его оценка увеличивается во столько же раз (удваивается, утраивается и т. д.). Если взять в качестве примера рассмотренный выше набор РФ (п. 4.1.4), то фрагмент кадастра оцениваемых ГОБ может выглядеть следующим образом (табл. 6).

Выделение перспективных ГОБ

Для решения этой задачи используется третья часть той же программы для ПЭВМ. Она включает следующие операции:

1) ввод исходного массива номеров оцениваемых ГОБ и приведенных оценок относительной значимости дей2ствующих в них РФ,

2) печать массива и проверка ввода,

3) определение суммарной оценки РФ для каждого оцениваемого блока (оценки перспективности ГОБ),

4) печать суммарных оценок,

5) сортировка оценок перспективности ГОБ по убыванию,

6) нахождение средней оценки перспективности (1-й средней оценки),

7) печать номеров и оценок перспективных ГОБ, имеющих оценки выше 1-й средней,

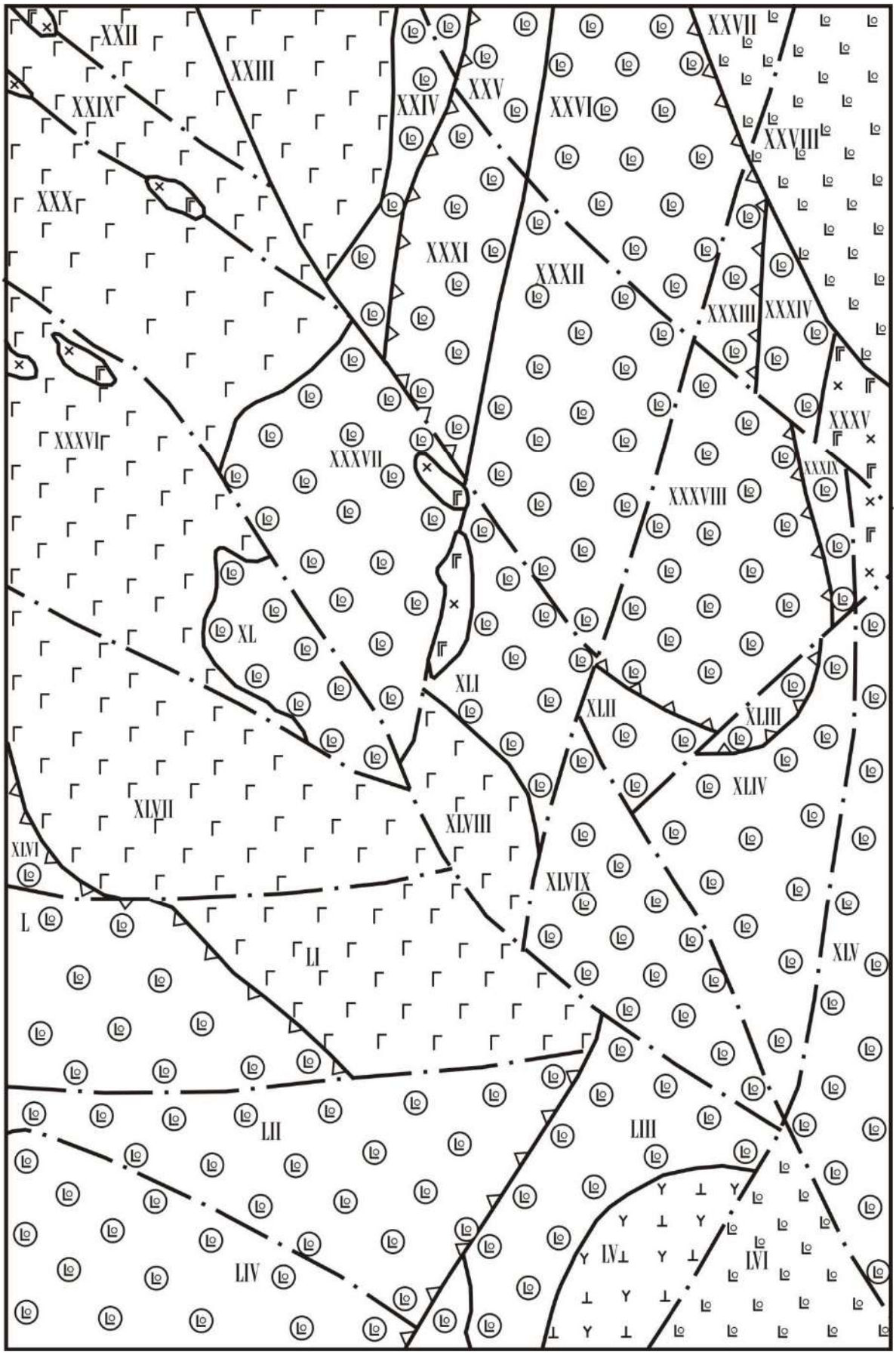


Рис. 2. Геологическая карта оцениваемого участка. Масштаб 1:25000

Таблица 6

Кадастр оцениваемых ГОБ

Оценки РФ / Номера ГОБ	Вулканические депрессии	Субмеридиональные разломы	Базальты подводной толщи	Контакт базальтов и долеритов	Субширотные разломы	Дайки габбродиоритов субмеридионального простирания
	10,0	8,5	8,4	6,3	4,5	4,2
22	0	0	0	0	0	0
…						
31	10,0	8,5	8,4	0	0	
…						
49	0	8,5	8,4	6,3	4,5	0
…						
56	0	0	0	0	0	0
Оценки перспективности						

8) нахождение средней оценки для перспективных ГОБ (2-й средней оценки),

9) печать номеров и оценок перспективных ГОБ 1-й очереди, имеющих оценки выше 2-й средней.

Таким образом, вначале определяются оценки перспективности каждого блока, рассчитываемые как суммы действующих в нем РФ. Затем они упорядочиваются по убыванию и вычисляется среднее значение. Блоки, оценки которых выше средней, считаются перспективными площадями 2-й очереди. После этого определяется средняя оценка только для них, и ГОБ с оценками выше второго среднего значения выделяются как перспективные площади 1-й очереди.

Оконтуривание перспективных ГОБ

Перспективные блоки 1-й и 2-й очередей показываются на карте оцениваемого участка разной штриховкой. Компактные группы таких блоков оконтуриваются геологическими границами в качестве прогнозных участков. Геологическими границами служат разломы, оси складок (на нашей карте их нет), контуры вулканоструктур, границы магматических тел, стратиграфические и литологические контакты. Для этих участков могут быть подсчитаны прогнозные ресурсы разных категорий (в зависимости от масштаба). В настоящей работе подсчет прогнозных ресурсов не рассматривается, это тема отдельного задания.

Проверка надежности прогноза

Для проверки надежности прогнозных построений нужно подсчитать оценки перспективности минерализованных ГОБ эталонного участка и сравнить полученные результаты с известным данными о масштабе минерализации в эталонном рудном поле. Если они близки, значит, прогноз выполнен достаточно реально, если нет – возможно, где-то допущена ошибка.

Описание перспективных площадей

Выделенным перспективным площадям для удобства дальнейшей работы следует дать названия. Лучше всего использовать для этой цели географимческие и

топографические привязки (названия рек, ручьев, озер, горных вершин, населенных пунктов и т. п.). Можно также отразить в названиях перспективных участков их положение на карте (Северный, Южный, Центральный и др.). В крайнем случае, подойдет и простая нумерация. После этого перспективные площади должны быть описаны по следующей схеме:

а) название (или номер);

б) местоположение на карте;

в) геологические границы;

г) слагающие их ГОБ и их оценки;

д) степень перспективности;

е) наличие в их пределах известных рудных объектов, их масштаб;

ж) категории прогнозных ресурсов;

з) примечания (подмеченные особенности, соображения по дальнейшему изучению и пр.).

Описание перспективных площадей является заключительной частью прогнозной оценки. Выполнив его, можно приступать к оформлению работы.

Оформление работы

Законченная работа должна включать в себя следующие материалы:

1) кадастр минерализованных ГОБ;

2) расчетные таблицы;

3) натуральные оценки значимости признаков в их градационных значениях;

4) приведенные оценки признаков;

5) систематику РФ с оценками их относительной значимости;

6) кадастр оцениваемых ГОБ;

7) оценки перспективности оцениваемых ГОБ;

8) прогнозную карту;

9) пояснительную записку.

В записке характеризуется геолого-структурная позиция известной минерализации (на основе систематики РФ и их оценок), дается описание выделенных перспективных площадей, приводятся результаты проверки надежности прогнозирования, делаются заключительные выводы.

РАСЧЕТНО-ГРАФИЧЕСКАЯ РАБОТА № 2

Геометризация рудоконтролирующих поверхностей

Методика построений в изолиниях

Геометризация рудоконтролирующих структур предполагает последовательное выполнение следующих операций.

Подготовка исходных разрезов и планов.

Основой построений в изолиниях служат геологические разрезы и планы. К исходным материалам предъявляются следующие требования:

1)на них особенно тщательно должны быть отстроены те геологические поверхности, которые намечены к геометризации;

2)все достоверное должно быть четко отделено от предполагаемого;

3)разрезы и планы должны быть увязаны между собой.

Для увязки и корректировки первичных материалов рекомендуется способ построения сводных геологических разрезов и планов. Сводный геологический разрез получается при проектировании следа интересующей нас поверхности со всех разведочных линий на один профиль. Для получения сводного плана рассматриваемая поверхность проектируется со всех погоризонтных планов на один гипсометрический уровень. Сводные разрезы и планы позволяют откорректировать наименее надежные из исходных материалов, с малым числом разведочных подсечений, по наиболее надежным, с наибольшим количеством пересечений. Кроме того, эти построения дают возможность выявить и увязать между собой крупные перегибы поверхности по вертикали (горизонтальные ребра) и в плане (вертикальные ребра).

Выбор геометризуемой поверхности

Геометризуемая поверхность должна быть теснее всех других связана с минерализацией, контролировать ее размещение. Для геометризации могут быть выбраны:

а) лежачий бок рудного тела;

б) его висячий бок;

в) условная поверхность, проходящая по середине мощности;

г) какой-либо выдержанный прослой внутри рудного тела;

д) поверхность рудоконтролирующей структуры (разлома, контакта).

Выбор плоскости проекции

Плоскостью проекции может быть любая из координатных плоскостей – горизонтальная или вертикальная широтная либо меридиональная. Горизонтальная плоскость применяется, если угол падения проектируемой поверхности менее 50^{o}. Выбор вертикальной плоскости определяется средним азимутом простирания: если простирание ближе к меридиану – выбирается меридиональная плоскость, если ближе к широте – широтная. Наклонные или произвольно ориентированные плоскости неудобны для применения на практике. Плоскость, параллельная проектируемой поверхности, например, позволяет получить наименьшее площадное искажение объекта. Однако при этом теряется связь изолиний с элементами залегания, в результате чего любые геологические построения на такой проекции значительно усложняются.

Выбор сечения изолиний

Сечение изолиний определяет детальность и точность изображения геометризуемой поверхности. Оно зависит от углов падения поверхности и масштаба проекции. Для расчета величины сечения используется следующая формула:

$$d = tg\ \beta \times M/100, \text{ где}$$

d – сечение изолиний, м;

β – средний угол падения поверхности, град.;

M – знаменатель масштаба проекции.

Перенос на основу структурного плана всех точек проектируемой поверхности

Выносятся все точки, лежащие как на разрезах и планах, так и вне их. Возле каждой точки указывается расстояние до плоскости проекции, выраженное в метрах.

Проведение опорных изолиний

Опорными являются наиболее надежные изолинии, проведенные по данным буровых и горных работ.

Вынос крупных перегибов поверхности

Фиксация на проекции крупных перегибов и разрывов, отраженных на исходных геологических материалах и установленных на сводных планах и разрезах.

Проведение всех изолиний, опирающихся на интерполированные данные

Лучше проводить изолинии не плавными линиями, а ломаными. В этом случае изображение структуры получается более отчетливым, а способ изображения будет вполне соответствовать его точности.

Построение изолиний позволяет выделить в пределах исследуемой поверхности грани – плоские участки с одинаковыми элементами залегания и разделяющие их ребра – перегибы. В пределах одной грани изолинии параллельны между собой, и расстояние между ними одинаковое. Изменение угла наклона или расстояния между изолиниями говорит о наличии перегиба – ребра. Грани и ребра являются составными элементами рельефа.

Размеры граней и ребер определяют их порядок. Обычно выделяется три порядка структурных элементов поверхности. К первому порядку относят наиболее крупные части рудоконтролирующей поверхности, визуально отличающиеся по своей ориентировке. Второй порядок присваивается более мелким граням и ребрам, отраженным на исходных геологических материалах. Наконец, самые мелкие участки поверхности, выделившиеся при построении изолиний, принадлежат к третьему порядку.

В изолиниях можно изображать какие угодно свойства полезных ископаемых и горных пород. Для некоторых свойств изолинии получили специальные наименования: изопахиты – линии равных мощностей, изоволи – линии равных содержаний и др.

Изображение структуры в изогипсах

Если угол падения проектируемой поверхности не более 50^{o}, выбирается горизонтальная плоскость проекции. В этом случае рельеф поверхности изображается в изогипсах.

Изогипсы – линии равного удаления от горизонтальной плоскости проекции. При построении структурного плана в изогипсах на координатную основу, прежде всего,

наносятся все известные точки проектируемой поверхности. Выделяется четыре вида таких точек: а) определенные разведочными пересечениями; б) взятые с планов вдоль линий выходов; в) интерполированные точки с геологических разрезов; г) рассчитанные от опорных горизонтов геологической карты. Особенно важны точки, установленные на осях складок или у тектонических разрывов.

Приступая к построению изогипс, прежде всего, нужно провести те отрезки изолиний, которые опираются на достоверные точки. Затем намечают на плане положение тектонических линий – осей складок и разрывов. Крупные тектонические линии обычно выявляются геологическими разрезами и планами. Их наиболее вероятное положение на структурном плане и наклон относительно геометризуемой поверхности находится в пределах точности интерполяции. Положение более мелких нарушений намечается на основании достоверных отрезков изолиний и элементов залегания.

Затем на тектонических линиях намечаются точки с отметками изогипс и строятся все изогипсы методом интерполяции отметок удаления. Лучше проводить их не плавными, а ломаными.

Изображение структуры в изолонгах

Изолонги – это линии равного удаления проектируемой поверхности от вертикальной плоскости проекции. Структурные планы в изолонгах строят в том случае, если угол падения геометризуемой поверхности превышает 50^{o}.

При проектировании на вертикальную плоскость проекции необходимо учитывать следующие условия.

1. Вертикальная плоскость проекции, подобно горизонтальной, должна быть ориентирована определенным образом: либо по широте, либо по меридиану. Из этих двух положений плоскости проекции выбирается о, при котором она составляет наименьший угол с объектом проектирования. Это обеспечивает наименьшее искажение поверхности на проекции.

Выбор плоскости проекции, параллельной геометризуемой поверхности, только на первый взгляд позволяет избежать искажений, так как геологические поверхности отличаются изменчивостью элементов залегания и волнистостью рельефа. В то же время при использовании произвольно ориентированной плоскости проекции чтение структурного плана значительно затрудняется, так как нарушается связь между элементами залегания и изолиниями.

2. Координатная сетка на вертикальной плоскости проекции разбивается так же, как и в других ортогональных проекциях. Вертикально на чертеже располагается ось высот, горизонтально в зависимости от ориентировки плоскости проекции – геодезическая ось широт или ось долгот. Третья координата точки обозначается числовой отметкой.

На долготной проекции юг располагается слева, север – справа, восток – впереди и запад – позади изображения. На широтной плоскости проекции запад будет слева, восток – справа, юг – впереди и север – позади изображения. Высотные отметки возрастают снизу вверх.

3. Точки данной проектируемой поверхности с одинаковыми числовыми отметками могут быть соединены изолиниями. Это и будут изолонги, представляющие собой проекции сечений изображаемого тела системой вертикальных плоскостей, расположенных параллельно плоскости проекции и удаленных одна от другой на одно и то же расстояние, равное заложению изолиний.

4. Изображение поверхности в изолонгах аналогично изображению в изогипсах или горизонталях и пригодно для проведения всех геометрических построений.

Чтение структурных планов

Изображение в изолонгах при небольшом навыке позволяет представить рельеф также наглядно, как и при изображении в изогипсах или горизонталях. При этом следует руководствоваться определенными правилами.

Наклон изолонг и расстояние между ними зависят от азимута и угла падения проектируемой поверхности.

Если исследуемая поверхность и плоскость проекции параллельны, то изолонги превращаются в горизонтали, а расстояние между изолонгами будет максимальным. Если поверхность и плоскость проекции перпендикулярны, то все изолонги сольются в одну линию, то есть расстояние между ними будет равно нулю. При всех промежуточных положениях поверхности наклон изолонг будет изменяться от 0 до 90^{o} и будет направлен в сторону острого угла между проектируемой поверхностью и плоскостью проекции. Расстояние между изолонгами также будет характеризоваться промежуточными значениями.

Отсюда вытекают следующие правила чтения проекций в изолонгах.

1. Чем гуще расположение изолонг, тем больше угол между геометризуемой поверхностью и плоскостью проекции.

2. Изменение угла наклона изолонг при относительно постоянном расстоянии между ними указывает на преимущественное изменение азимута падения поверхности. Изменение расстояния между изолонгами при относительно постоянном угле наклона происходит в узких пределах и обычно не улавливается.

3. Одновременное изменение угла наклона изолонг и расстояния между ними указывает главным образом на изменение угла падения исследуемой поверхности.

Определение элементов залегания граней

Анализ рельефа продуктивной структурной поверхности начинается с определения элементов залегания граней проекции. Для этого используются простые геометрические зависимости. При этом предлагается следующий порядок действий.

Определение угла наклона изолонг к горизонту (δ). Угол наклона измеряется на проекции при помощи транспортира. Наклон изолонг на север условно принимается за положительный.

Определение расстояния между изолонгами по горизонтали (a) или по вертикали (h). За единицу расстояния принимается величина сечения изолонг. Если значения изолонг растут с юга на север, расстояние отмечается знаком «+», а с севера на юг – знаком «-».

Между расстоянием, выраженным в сечениях изолонг, и элементами залегания граней существуют следующие зависимости:

$$a = \operatorname{ctg} \varphi, \quad h = \operatorname{tg} \beta,$$

где φ – угол между простиранием грани и плоскостью проекции (отклонение простирания грани от меридионального направления); β – угол падения граней; φ и β определяются по тригонометрическим таблицам с точностью до 1^{o}.

В большинстве случаев положение изолонг на плане позволяет применить только одну из величин φ или β. Другая величина определяется, исходя из соотношения:

$$\delta = \operatorname{arctg} (\operatorname{tg} \beta \cdot \sin \varphi).$$

Указанная зависимость вычислена в виде таблицы 2.1. Более точные значения для крутых углов падения приведены в таблице 2.2.

Определение связи элементов рельефа со свойствами оруденения

Для выявления связи свойств оруденения с рельефом анализируемой поверхности на проекцию выносятся количественные характеристики минерализации, установленные по опорным точкам. В качестве количественных характеристик используются, как правило, содержание полезных компонентов и мощность рудных тел. По всем опорным точкам (разведочным пересечениям, выходам рудного тела на поверхность) определяются средние значения содержания и мощности, на основании которых, в свою очередь, рассчитываются средние параметры оруденения для каждой грани.

Зависимость между элементами залегания и характеристиками оруденения можно установить простым графическим способом с помощью трехмерных диаграмм. Такая диаграмма представляет собой таблицу, столбцами которой являются интервалы азимутов падения (отдельно для восточного и западного направлений падения), а строкам – интервалы углов падения. Каждой клетке таблицы соответствует группа граней с близкими значениями азимутов и углов падения, попадающими в один интервал. В клетки заносятся средние значения исследуемого параметра, рассчитанные для входящих в них граней. Далее для каждой клетки вычисляется среднее по данному параметру уже для группы граней, элементы залегания которых попадают в соответствующие интервалы. По этим значениям методом интерполяции проводятся изолинии и определяются полюса, соответствующие наиболее богатым (с максимальными содержаниями) и наиболее приоткрытым (с максимальной мощностью) граням. Для каждого полюса определяются азимут и угол падения, сравнение которых со средними элементами залегания продуктивной поверхности позволяет определить кинематический тип рудообразующих деформаций. Как отмечалось выше, приоткрывание граней, отклоняющихся от среднего простирания вправо, происходит при перемещениях типа правого сдвига, а граней, отклоняющихся влево – при левом сдвиге. В разрезе более пологие участки приоткрываются при взбросах, более крутые – при сбросах.

Сопоставляя количество и элементы залегания полюсов, выделившихся по содержанию и по мощности, можно сделать выводы об этапах рудообразования, природных типах руд и механизме формирования рудоконтролирующей структуры. Проанализировав распределение наиболее богатых и наиболее мощных руд в пределах плоскости проекции, легко определить структурные типы рудных тел, установить закономерности их размещения и сделать прогноз на фланги и глубокие горизонты геометризованной поверхности.

Порядок выполнения лабораторной работы по геометризации продуктивных структурных поверхностей

Исходные данные

Учебное задание выполняется на примере медноколчеданного месторождения (Рис. 2.2 Вып3 17).

Поверхность рудного тела разбурена системой картировочных вертикальных скважин по сети 50х20 м с целью оконтуривания его под наносами. Для изучения состава окисленных и первичных руд, определения границы между ними, а также для отбора технологических проб, пройден ряд шурфов с рассечками. Первичные руды вскрыты колонковыми скважинами по сети 200х100 м. В центральной части (профиль IV) пробурена глубокая скважина № 9, встретившая рудное тело видимой мощностью 35 м на отм. 0 м.

Установлено, что рудное тело имеет форму линзы, выклинивающейся на флангах и на глубину. Размеры линзы вблизи земной поверхности 550 м по простиранию при максимальной мощности 80 м. Близ поверхности до глубины 18-25 м развита зона окисления, представленная «железной шляпой». Протяженность рудного тела по падению составляет 400-450 м. Состав руд пирит-халькопирит-сфалеритовый.

Месторождение оценено как имеющее промышленное значение. Проектируются разведочные работы, предусматривающие сгущение сети буровых скважин и горных выработок в центральной части до 100х50 м, что соответствует категории В.

Одной из важнейших задач разведки является выяснение структуры рудного поля, особенностей внутреннего строения рудных тел, выделение промышленных типов и технологических сортов руд и условий их размещения. Линза залегает на контакте кварцевых риолитов (лежачий бок) и базальтов (висячий бок). Этот контакт, по всей видимости, представляет собой продуктивную структурную поверхность, контролирующую оруденение. Изучение рельефа продуктивной структурной поверхности является весьма эффективным методом решения перечисленных выше разведочных задач.

Таблица 2.1

Углы наклона изолонг к плоскости вертикальной проекции

($\delta = \operatorname{arctg}(\operatorname{tg}\beta \cdot \sin\varphi)$, где δ – угол наклона изолонг, β – угол падения проектируемой поверхности, φ – угол между простиранием проектируемой поверхности и плоскостью проекции)

φ / β	5	10	15	20	25	30	35	40	45	50	55	60	65	70	75	80	85	90	φ / β
89	79	84	86	87	88	88	88	88	89	89	89	89	89	89	89	89	89	89	89
85	45	63	71	76	78	80	81	82	83	83	84	84	84	85	85	85	85	85	85
80	27	44	56	63	67	71	73	75	76	77	78	78	79	79	80	80	80	80	80
75	18	33	44	52	58	62	65	67	69	71	72	73	74	74	75	75	75	75	75
70	14	25	35	43	49	54	58	60	63	65	66	67	68	69	69	70	70	70	70
65	11	20	29	36	42	47	51	54	57	59	60	62	63	64	64	65	65	65	65
60	9	17	24	31	36	41	45	48	51	53	55	56	57	58	59	60	60	60	60
55	7	14	20	26	31	36	39	43	45	48	49	51	52	53	54	55	55	55	55
50	6	12	17	22	27	31	34	37	40	42	44	46	47	48	49	50	50	50	50
45	5	10	15	19	23	27	30	33	35	37	39	41	42	43	44	45	45	45	45
40	4	8	12	16	20	22	26	28	30	33	34	36	37	38	39	40	40	40	40
35	4	7	10	13	17	19	22	24	26	28	30	31	32	33	34	35	35	35	35
30	3	6	8	11	14	16	18	20	22	24	25	27	28	28	29	30	30	30	30
25	2	5	7	9	11	13	15	17	18	20	21	22	23	24	24	25	25	25	25
20	2	4	5	7	9	10	12	13	14	16	17	17	18	19	19	20	20	20	20
15	1	3	4	5	6	8	9	10	11	12	12	13	14	14	15	15	15	15	15
10	1	2	3	3	4	5	6	6	7	8	8	9	9	9	10	10	10	10	10
5	0	1	1	2	2	3	3	3	4	4	4	4	5	5	5	5	5	5	5
β / φ	5	10	15	20	25	30	35	40	45	50	55	60	65	70	75	80	85	90	β / φ

Таблица 2.2

Детализация части таблицы с β от 65 до 89° и φ от 1 до 20°

φ / β	1	2	3	4	5	6	7	8	9	10	12	14	16	18	20	φ / β
89	45	63	72	76	79	81	81	83	84	84	85	86	86	87	87	89
88	27	45	56	63	68	72	74	76	77	78	80	82	83	84	84	88
87	19	34	45	53	59	63	67	69	71	73	76	78	79	80	81	87
86	14	27	37	45	51	56	60	63	66	68	71	74	76	77	78	86
85	11	22	31	39	45	50	54	58	61	63	67	70	72	74	76	85
84	9	18	26	34	40	45	49	53	55	59	63	67	69	71	73	84
83	8	16	23	30	36	41	45	49	52	55	59	63	66	68	70	83
82	7	14	20	26	32	37	41	45	48	51	55	60	63	66	68	82
81	6	12	18	24	29	34	38	41	45	48	53	57	60	63	65	81
80	6	11	17	22	27	31	35	38	41	44	50	54	57	60	63	80
78	5	9	14	18	22	26	30	33	36	39	44	49	52	55	58	78
76	4	8	12	16	19	23	26	29	32	35	40	44	47	51	54	76
74	3	7	10	14	17	20	23	26	29	31	36	40	44	47	50	74
72	3	6	9	12	15	18	21	23	26	28	33	37	40	44	46	72
70	3	5	8	11	14	16	19	21	23	25	30	34	37	40	43	70
68	2	5	7	10	12	15	17	19	21	23	27	31	34	37	40	68
66	2	4	7	9	11	13	15	17	19	21	25	29	32	35	38	66
β / φ	1	2	3	4	5	6	7	8	9	10	12	14	16	18	20	β / φ

Таблица 2.3

Определение азимутов падения граней

δ	+	-	-	+
a	+	-	+	-
α	270 + φ	270 – φ	90 + φ	90 – φ

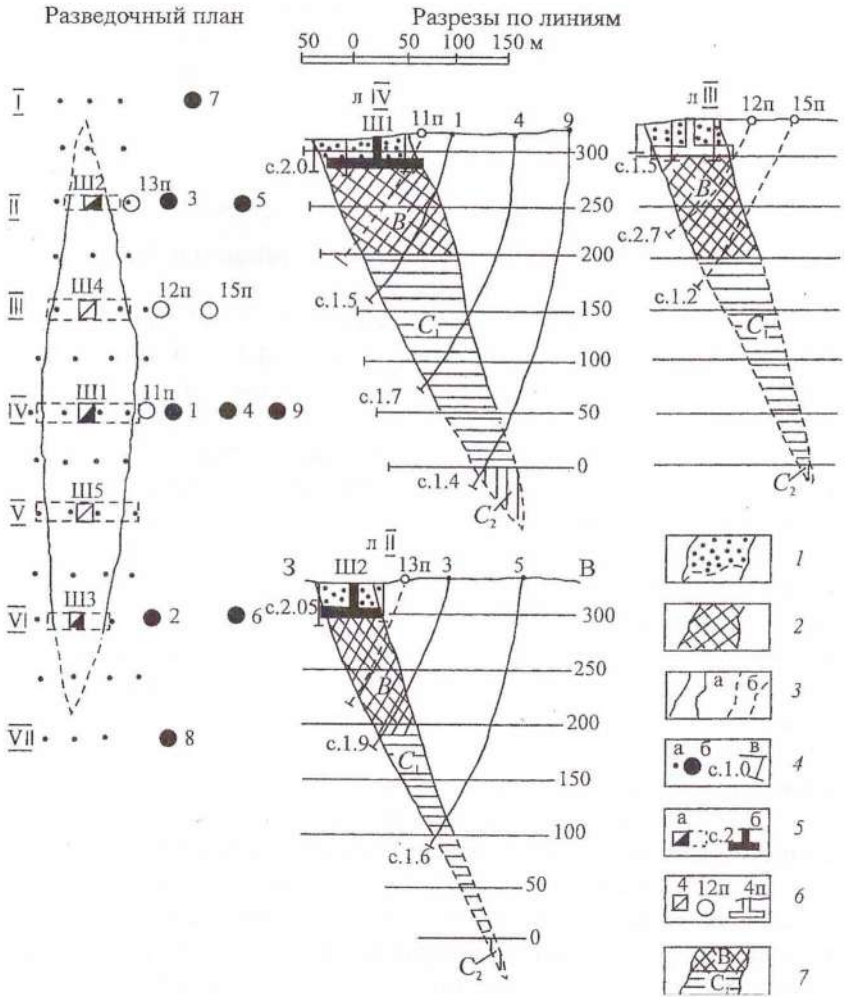


Рис. 2.2. Проект разведки медноколчеданного месторождения [Вопросы]:
1 – окисленные руды; 2 – первичные руды; 3 – контуры рудных тел: *а* – установленные, *б* – предполагаемые; 4 – скважины: *а* – картировочные, *б* – разведочные, *в* – среднее содержание по выработке; 5 – шурфы с рассечками: *а* – на плане, *б* – на разрезе; 6 – проектные выработки, их номера; 7 – контуры блоков разных категорий

Методические указания по выполнению работы

1. Каждый студент выполняет индивидуальную работу, так как на стандартный бланк задания, выданный преподавателем, самостоятельно наносит условную плоскость проекции и дорисовывает разрезы, пользуясь морфологическим приемом, что не позволяет получить одинаковые исходные данные.

2. В качестве геометризуемой поверхности следует принять лежачий бок рудной линзы, отвечающий контакту базальтов и риолитов, как наиболее тесно связанный с минерализацией.

3. Плоскость проекции, исходя из особенностей залегания рудного тела, должна быть вертикальной меридиональной. Располагается плоскость так, чтобы проектируемая поверхность находилась по одну сторону от нее. Удобнее всего поместить плоскость проекции к западу от рудного тела. Плоскость следует начертить на плане и показать на всех разрезах с учетом расстояния от рудного тела.

4. Масштаб проекции и сечение изолиний выбирается из соображений наглядности чертежа, учитывая размеры линзы. В нашем случае наиболее удобен масштаб 1:2000 и величина сечения 10 м.

5. Построение проекции начинается с нанесения на чертеж опорной сетки, образованной вертикальными линиями разрезов и горизонтальными линиями абсолютных отметок.

6. Следующим этапом является вынесение на проекцию опорных точек проектируемой поверхности, которые являются наиболее надежными. В первую очередь, это линия рельефа, построенная по разрезам, включая северную и южную границы линзы. Затем на основу переносятся точки пересечения лежачего бока оценочными буровыми скважинами – картировочными и колонковыми (№№ 2-9) и горными выработками – рассечки с шурфами по линиям II, IV и VI. В последнюю очередь отстраиваются проектные пересечения лежачего бока будущими разведочными скважинами (№№ 10-18) и рассечки с шурфами по линиям III и V, которые предварительно намечаются на плане и разрезах. Надежность (достоверность) проектных точек ниже, чем у реальных оценочных пересечений, тем не менее, они получены в соответствии с установленными правилами оконтуривания запасов и могут быть использованы для детализации рельефа поверхности. С этой же целью целесообразно учитывать и точки выклинивания линзы, построенные на разрезах также по правилам оконтуривания.

7. Для каждой из опорных точек определяется удаление от плоскости проекции, выраженное в метрах с учетом масштаба проекции.

8. Построение изолонг выполняется методом интерполяции между опорными точками. Изолонги проводятся ломаными линиями.

9. Изображение поверхности в изолонгах позволяет выделить в ее пределах грани – плоские участки с одинаковыми элементами залегания, и ребра – разделяющие их перегибы. В пределах одной грани изолонги параллельны и располагаются на одинаковом расстоянии друг от друга. Изменение угла наклона изолиний или расстояния между ними говорит о наличии перегиба. В этом случае следует провести дополнительное ребро. Перегибы рекомендуется проводить через опорные точки проекции. В качестве примера приводится проекция, построенная по Саурейскому барит-свинцовому месторождению на Полярном Урале ((Рис. 2.3 АР 2б).

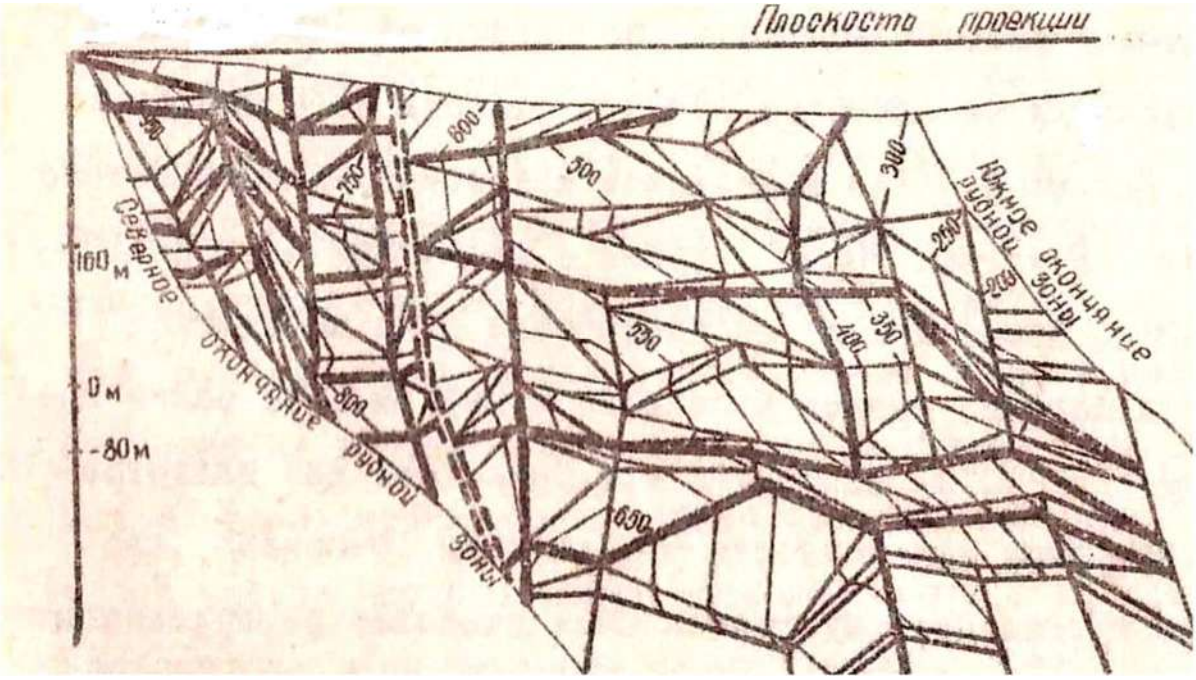


Рис. Продольная вертикальная проекция лежачего бока Главной рудной зоны Саурейского барит-свинцового месторождения (Полярный Урал)

10. Грани, выделенные при построении изолонг, нумеруются. Для каждой из них определяются элементы залегания (см. п. 2.8).

11. Для выявлении связи элементов рельефа продуктивной поверхности с оруденением у опорных точек проекции выписываются содержание меди и мощность рудного тела и для каждой грани рассчитывается среднее значение этих параметров.

12. Следующим этапом работы является построение трехмерных диаграмм, позволяющих определить элементы залегания граней с наиболее богатыми и мощными рудами. Примеры диаграмм для Саурейского месторождения представлены ниже (Рис. 2.4).

Диаграммы строятся в виде таблиц, столбцы которых отвечают азимутам падения, а строки – углам падения. Азимуты и углы предварительно разбиваются на интервалы. Шаг интервалов определяется обычными приемами, принятыми в матстатистике (например, по формуле Стерджесса).

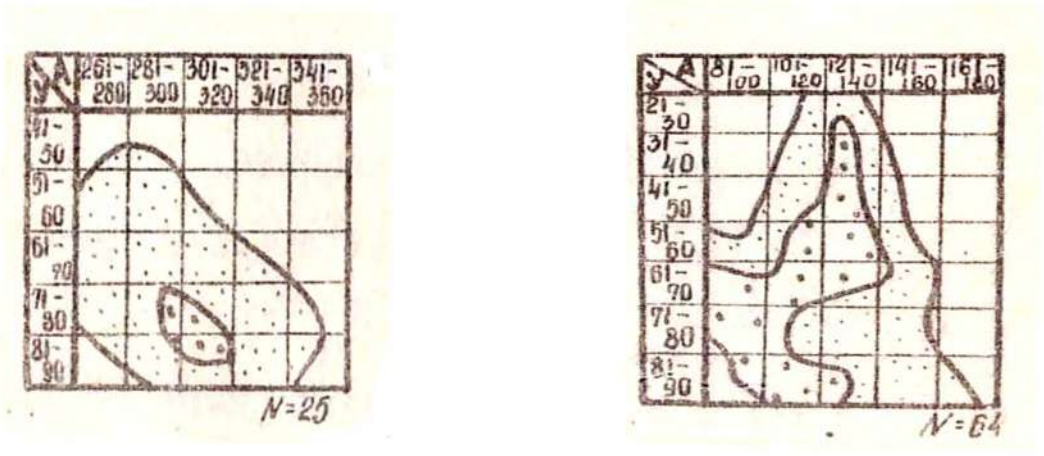


Рис. 2.4. Диаграммы зависимости содержания полезного компонента (слева) и мощности рудной зоны (справа) от элементов залегания рудоконтролирующей поверхности

На первой диаграмме в клетки таблицы проставляется среднее содержание меди во всех гранях, элементы залегания которых относятся к соответствующим интервалам азимута и угла падения. На вторую диаграмму таким же образом выносятся значения средней мощности рудного тела. Далее рассчитывается среднее содержание и мощность уже для каждой клетки диаграммы, после чего проводятся изолинии содержания и мощности. Изолинии позволяют выделить «полюса», соответствующие граням с наиболее высоким содержанием и меди и с наибольшей мощностью руд.

13. Грани с богатыми и мощными рудами отмечают на проекции штриховкой разного вида или закрашивают разными цветами. Их расположение покажет закономерности размещения богатых и мощных руд в пределах продуктивной структурной поверхности. Эти закономерности позволяют прогнозировать новые рудные тела в зоне контакта базальтов и риолитов, вмещающего изучаемое рудное тело. Для примера на рис. 2.5 приводится распределение разных типов руд для Саурейского месторождения.

14. Зная элементы залегания наиболее богатых и наиболее мощных участков оруденения, можно представить механизм рудообразующих деформаций. Для этого используются теоретические представления о закономерностях приоткрывания граней волнистых структурных поверхностей (см. п. 1.4.10, 1.4.11).

Направление горизонтальных смещений определяется по характеру волнистости поверхности в плане. Если азимут простирания богатых граней отклоняется от среднего по рудному телу вправо, то их приоткрывание возможно при правом сдвиге, если влево – при левом.

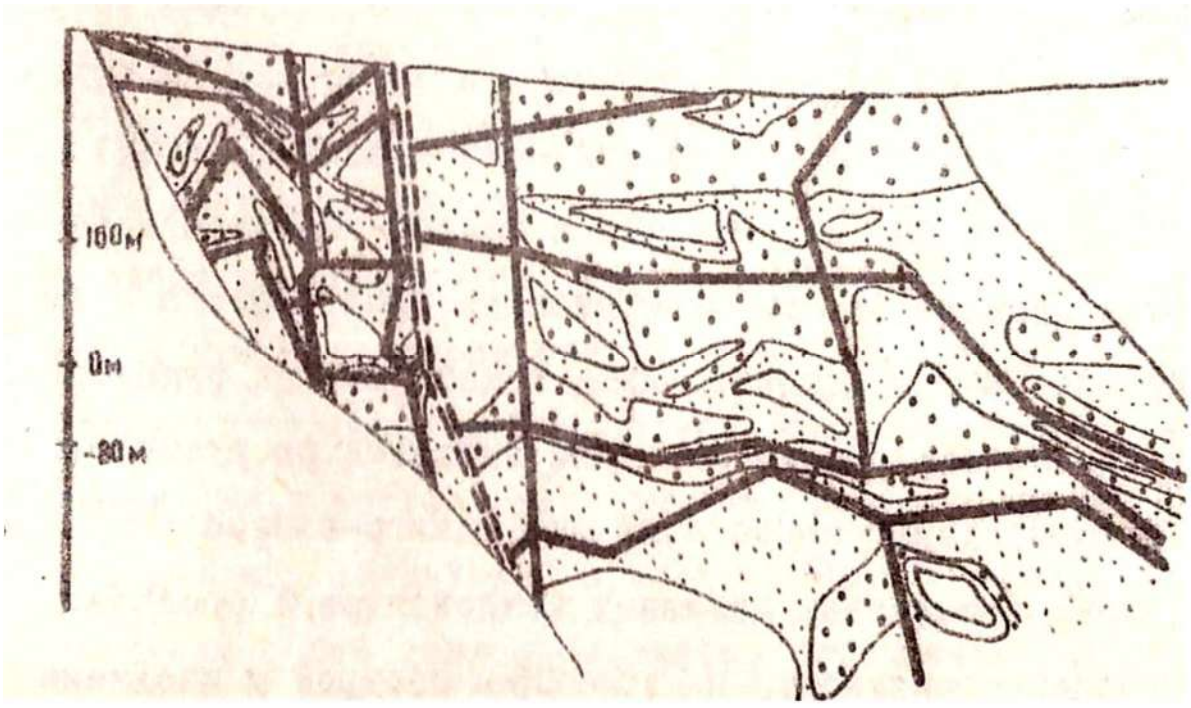


Рис. 2.5. Распределение разных типов рад в пределах рудоконтролирующей поверхности. Крупными точками показаны богатые руды, мелкими точками – средние, белыми оставлены участки с низким содержанием

Вертикальные смещения анализируются в разрезе. Если богатые грани располагаются на более пологих, по сравнению с общим углом падения рудной зоны,

участках, то они приоткрываются при взбросе. И наоборот, приоткрывание более крутых участков поверхности происходит при сбросе. Отметим, что рудообразование нередко происходит в несколько стадий. Тогда на трехмерных диаграммах выделится несколько полюсов, соответствующих разным стадиям.

15. После завершения работа должна быть оформлена в виде небольшого отчета. Отчет включает проекцию, таблицы расчета элементов залегания граней и параметров оруденения (средних значений содержания меди и мощности руды), трехмерные диаграммы и пояснительную записку с описанием полученных результатов и выводами.

РАСЧЕТНО-ГРАФИЧЕСКАЯ РАБОТА № 3

Анализ мелкой трещиноватости

Обработка результатов массовых замеров трещин

Массовые замеры трещин обрабатываются разными графическими способами с помощью диаграмм. Из всех способов наибольшую наглядность дают круговые диаграммы в изолиниях (Рис. 2.6 КШ94).

Основой круговой диаграммы в изолиниях служит полярная сетка. Она представляет собой круг диаметром 18 см, в котором проведены радиусы через 5^oи концентрические окружности через 5 мм. Эти окружности соответствуют углам падения через интервал 5^o от 90^o на внешней окружности до 0^o в центре круга. Вдоль окружности по часовой стрелке надписываются азимуты от 0 до 360^o.

Такая сетка удобна для нанесения 200-300 точек и обеспечивает точность нанесения около 2^o, что соответствует точности замера компасом. Можно пользоваться полярными сетками любого размера и с другой густотой разграфки.

Для составления круговой диаграммы на полярную сетку накладывается калька с обозначенной окружностью и меридианом. Вначале на кальку точками наносится положение каждой трещины по ее элементам залегания. Затем определяется плотность трещиноватости. Для этого используется метод скользящего статистического окна. В качестве элемента статистического окна удобно взять площадки, образованные пересечением радиусов и окружностей сетки. Размер статистического окна зависит от количества замеров: чем больше точек, тем меньше может быть взято окно и тем точнее будут дальнейшие построения. При количестве точек 200-300 следует принять размер окна в 10^o, при меньшем – в 15^o.

Далее подсчитывается количество точек на площадке статистического окна, и это число подписывается в центре окна. Это удобно сделать на второй кальке, накладываемой поверх первой. При размерах окна в 10^o в него входят четыре площадки, а центр придется на пересечение линий трафарета диаграммы. Около этого центра подписывается число точек, расположенных во всех четырех площадках. При следующем подсчете граница окна смещается только на один ряд площадок, то есть на 5^o по дуге или по радиусу. Таким образом, центры окон последовательно окажутся на каждом пересечении линий диаграммы, а точки каждой площадки будут участвовать в четырех смежных числах плотности трещиноватости. Этим достигается усреднение показателей. Для внешней полосы площадок, лежащих между углами падения 85 и 90^o, в подсчет плотности включаются противолежащие по диаметру площадки и полученные числа записываются на обоих концах диаметра.

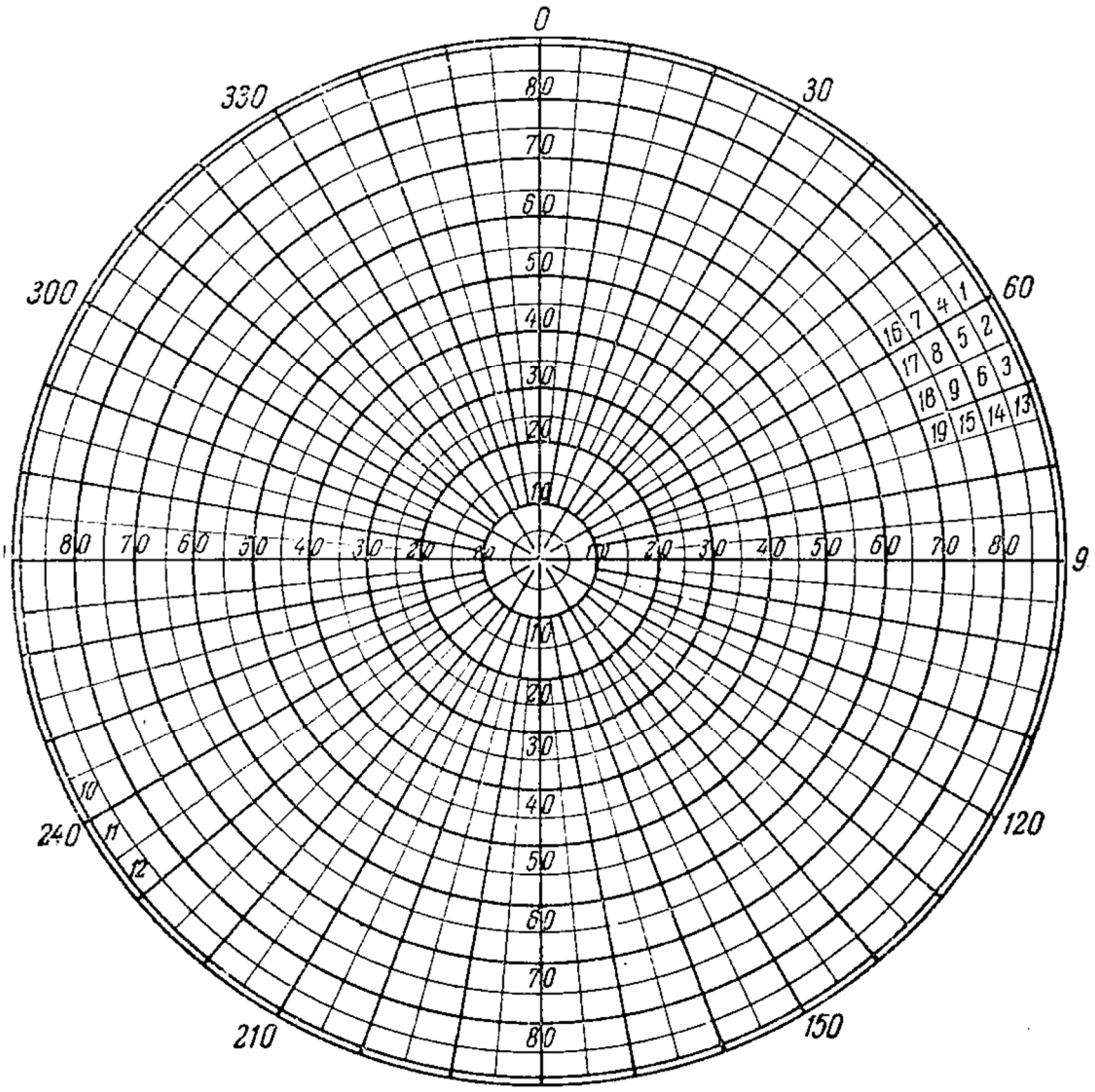


Рис. 2.6. Полярная сетка для круговой диаграммы

Третьим этапом обработки массовых замеров будет изображение плотности трещин в изолиниях. Изолинии удобно строить на той же второй восковке. Приемы их проведения обычны, с применением простой интерполяции. Значения изолиний лучше выбирать с неравными интервалами, что позволяет лучше изобразить нужные детали распределения трещин. Обычно интервал увеличивают по мере увеличения значения изолиний, например, 1 – 2 – 3 – 5 – 7 – 10 – 15 – 25 – 35 - 50. С помощью изолиний отчетливо выявляются участки сгущения трещин с расположенными на них точками наибольшего сгущения – полюсами, каждый из которых отвечает определенной системе трещин. Полюса нумеруются, для них определяются элементы залегания, которые и будут отвечать средним элементам залегания систем трещин.

Пример диаграммы показан на рис. 2.7 (КШ 95).

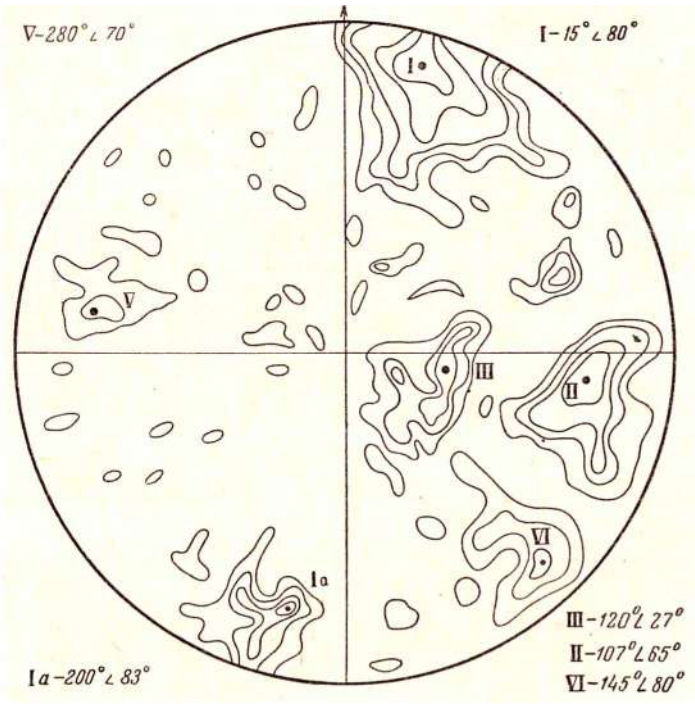


Рис. 2.7. Изолинии плотности трещин. 300 замеров. Изолинии 1 – 2 – 3 – 5 – 7 [КШ]

Недостатком градусной сетки является очень мелкий размер площадок в области малых углов падения. Поэтому если среди трещин преобладают пологие, применяется прием обращения углов падения. При обращении в центре сетки располагается угол 90°, а по внешнему кругу – 0°.

Анализ полученной круговой диаграммы в изолиниях позволяет решать разнообразные геологические задачи.

Определение плана тектонических деформаций

Для того чтобы определить план тектонических деформаций, вызвавших образование трещин, нужно установить ориентировку главных осей, которые рассматривались выше:

- ось А – вертикальная ось подъема. Вдоль нее происходит выжимание пород снизу вверх, их подъем и высвобождение;

- ось Б – горизонтальная ось сжатия. Вдоль нее развиваются наибольшие сжимающие напряжения;

- ось В – горизонтальная ось растяжения. Вдоль нее происходит боковое высвобождение пород, сопровождаемое относительным растяжением.

Разработаны достаточно точные аналитические методы определения ориентировки осей тектонических напряжений. Приближенно положение осей можно определить графически по диаграмме, установив сопряженные системы трещин и идентифицировав их в соответствии с моделью куба деформации (см. лекции).

Как правило, наиболее распространенными являются системы взбросов и надвигов C_1 и C_2, отвечающие трещинам рассланцевания и ориентированные перпендикулярно оси сжатия Б. Их можно выявить по максимальной плотности трещиноватости, а также следующим основным признакам: а) простирание отвечает простиранию общей тектонической структуры, б) падение переменное – от пологого до крутого, в) форма рельефа трещин – волнистая, г) смещение взбросовое, иногда очень значительное по амплитуде, д) наблюдается притирание стенок трещин и дробление прилегающих пород, е) приоткрывание трещин происходит на более пологих участках, причем проявляется яркая зависимость величины приоткрывания от формы рельефа поверхности трещин.

Установив на круговой диаграмме системы C_1 и C_2, через точки, обозначающие их полюса, можно провести прямую, вдоль которой и проходит ось сжатия Б. Тогда перпендикулярно ей в плоскости диаграммы пройдет ось растяжения В. Она должна совпадать с прямой, соединяющей полюса систем C_3 и C_4, если они нашли отражение на диаграмме. Параллельно оси Б будут располагаться крутопадающие трещины системы отрывов P_2, а параллельно оси В могут выделиться трещины сплющивания P_3. Диагонально ориентированные по отношению к осям Б и В крутопадающие сопряженные трещины представляют системы сдвигов C_5 и C_6. Пологие отрывы системы P_1 образуют полю вблизи центра диаграммы.

В реальных условиях обычно из девяти возможных направлений перемещения проявляется в среднем 5-6 систем трещин.

Пример идентификации направлений смещения представлен на рис. 2.8 (КШ 99).

Следует отметить также, что в условиях одностороннего сжатия будет формироваться только одна из пары сопряженных систем трещин.

Определение кинематического типа трещинообразующих деформаций

Чтобы определить кинематический тип деформаций, вызвавших возникновение трещин, нужно установить связь величины приоткрывания трещин с их элементами залегания. Для этого снова используется круговая диаграмма. Около каждой точки замера на диаграмме выставляется мощность трещины в миллиметрах или баллах. При обработке статистическим окном, в центре окна пишется не количество трещин, как при определении плотности трещиноватости, а суммарная мощность трещин, попадающих в пределы окна. По этим данным обычным порядком проводятся изолинии и выделяются полюса. Затем элементы залегания полюсов мощности трещиноватости сравниваются с элементами залегания полюсов плотности. При приоткрывании трещины в результате смещения стенок ее ориентировка несколько меняется. Так как смещение по трещинам, как правило, незначительное по величине, то и изменение элементов залегания измеряется первыми градусами. При этом, при горизонтальных смещениях меняется азимут падения, при вертикальных – угол. Если азимут падения полюса мощности сместился по сравнению с полюсом плотности вправо, смещение соответствует правому сдвигу, если влево – левому. Если угол падения полюса мощности более пологий, чем у полюса плотности, то смещение представлено взбросом, если более крутой – сбросом.

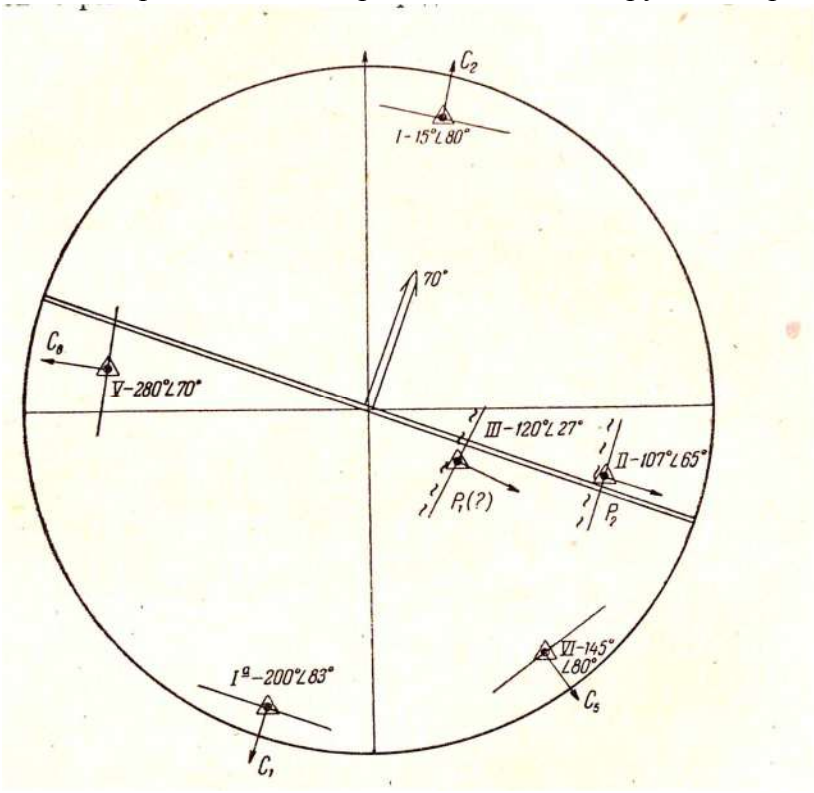


Рис. 2.8. Полюса плотности трещиноватости в кварцитовидных песчаниках [КШ]

Проанализировав подобным образом все системы трещин, выбираем преобладающий тип смещения, который и отвечает кинематическому типу трещинообразующих деформаций.

Определение условий размещения гидротермальной минерализации

При отложении в трещинах гидротермальных минералов, как и при приоткрывании, их ориентировка несколько изменяется. Первоначально трещины имеют залегание, выраженное основным полюсом – полюсом плотности трещиноватости. Затем в процессе приоткрывания и заполнения минеральными прожилками трещины приобретают иное залегание.

Если минерализованных трещин достаточно много, как это бывает при анализе мелкой трещиноватости в пределах рудных тел, трещины выносятся на круговую диаграмму разными знаками, отражающими минеральный состав их заполнения. Затем трещины также обрабатываются статистическим окном, выделяются полюса минерализованных трещин, которые сравниваются с полюсами изолиний плотности трещиноватости, как это описано выше при анализе приоткрываний. Различие в элементах залегания указывает на характер движений в период минералообразования.

Если минерализация проявлена слабо, то можно просто отметить трещины, в которых отмечены жильные минералы, разными знаками, также отражающими состав заполнения. Установив системы трещин, с которыми связана гидротермальная минерализация, можно на основе анализа приоткрываний определить кинематику минералообразующих деформаций.

Пример решения рассмотренной задачи показан на рис. 2.9 (КШ 100).

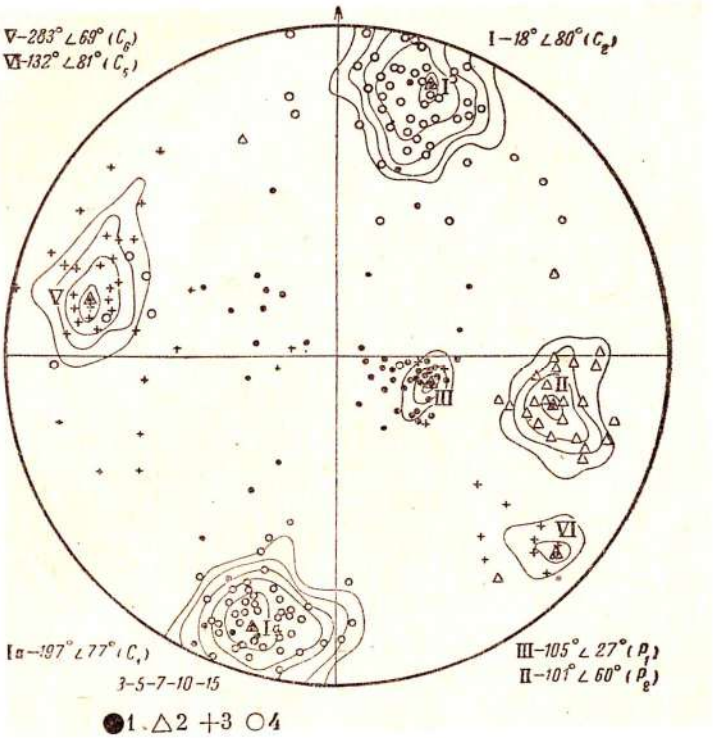


Рис. 2.9. Определение полюсов минерализованных трещин [КШ]:
1 – кальцит, 2 – кальцит с пиритом, 3 – кварц, 4 – руда

Порядок выполнения лабораторной работы по обработке массовых **замеров мелкой трещиноватости**

Исходные данные

Каждый студент получает свой вариант задания в виде журнала замеров мелкой трещиноватости на одной из станций. Замеры сопровождаются описанием геологии станции, характеристикой пород с указанием элементов залегания. Варианты заданий приводятся в текстовом приложении.

Для выполнения задания используется также круговая диаграмма и прозрачная бумага – калька или восковка.

Методические указания по выполнению работы

1. Калька накладывается на круговую диаграмму и закрепляется скрепками. На кальке проводится внешний круг диаграммы и меридиональный диаметр (0-180^o). Каждая трещина выносится на кальку по азимуту и углу падения в виде точки, расположенной в ячейке, соответствующей ее элементам залегания.

2. Определяется плотность трещиноватости. Для этого точки, обозначающие трещины, обрабатываются методом скользящего статистического окна, объединяющего 4 ячейки сетки (10^o по азимуту и 20^o по углу падения).

Практически эта процедура выполняется следующим образом. Поверх листа с точками накладывается еще один лист прозрачной бумаги, на который также наносится внешний круг и меридиональный диаметр диаграммы. Каждое пересечение окружностей и радиусов сетки рассматривается как центр статистического окна из четырех ячеек. Эти пересечения удобно отмечать небольшим крестиком. Подсчитывается число точек-трещин на площадке статистического окна, включая его границы. Это число записывается в центре окна. Затем окно смещается на одну ячейку по окружности или по радиусу диаграммы. В результате у каждого крестика-пересечения окажется число, показывающее плотность трещиноватости в данном окне. Важно, что точки каждой ячейки будут участвовать в четырех смежных числах плотности трещиноватости, что дает усреднение показателей.

На диаграмме плотности трещин с помощью приемов интерполяции строятся изолинии. Начинать удобно с самых больших значений. Интервалы между изолиниями, как отмечалось выше, лучше брать неравными. Изолинии выявляют места максимального сгущения трещин – полюса плотности трещиноватости. Эти полюса нумеруются, для них по диаграмме определяются элементы залегания.

3. По расположению полюсов плотности трещиноватости можно реставрировать план тектонических деформаций, то есть определить положение осей сжатия и растяжения.

Для этого с помощью модели куба деформаций и с учетом элементов залегания пород, в которых измерялись трещины, нужно идентифицировать выделенные системы трещин с направлениями смещения в кубе деформаций.

Как правило, параллельно простиранию пород или плоскости их рассланцевания располагаются количественно самые распространенные системы сопряженных взбросов C_1 и C_2. Перпендикулярно им проходит ось сжатия Б. Определив ориентировку оси сжатия, несложно восстановить положение других осей и систем трещин.

4. Следующий этап работы состоит в определении кинематического типа тектонических нарушений, вызвавших развитие трещиноватости.

Для этого снова используется калька с точками, обозначающими трещины. Возле каждой точки теперь выносится число, характеризующее мощность трещины. Если применять группировку трещин, предложенную в п. 2.3.2, то это будут числа от 1 до 5. Затем эти числа также обрабатываются методом скользящего статистического окна, проводятся изолинии и выделяются полюса мощности трещиноватости.

5. От полюсов плотности трещиноватости полюса мощности будут смещены на некоторое расстояние, обычно не более 5-10^{o} как по углу, так и по азимуту падения. Направление этих смещений позволяет определить кинематику трещинообразующего напряжения. Если полюс мощности смещен относительно полюса плотности по азимуту вправо, то горизонтальная составляющая тектонического движения отвечает правому сдвигу, если влево – то левому сдвигу. Соответственно, по углу падения, если полюс мощности залегает круче, чем полюс плотности, смещение отвечает сбросу, если положе – взбросу.

6. Третья задача работы – выделение систем приоткрытых трещин, благоприятных для локализации оруденения. На диаграмме плотности трещиноватости отмечаются трещины, которых заполнены продуктами гидротермального генезиса – кварцем, кальцитом и т. п. Определяются системы, к которым принадлежат минерализованные трещины. Эти системы и будут, скорее всего, наиболее благоприятны для рудной минерализации.

7. Законченная работа оформляется в виде небольшого отчета, который включает все диаграммы, пояснительную записку и выводы.

Приложение
Варианты заданий к РГР № 3

Станция 1

Проявление Евьюганское

Находится в 250 м от слияния р. М. Ханмей и р. Евьеган, вниз по правому берегу р. М. Ханмей. В крутопадающем склоне правого берега проходит распадок шириной около 50м с почти отвесными бортами и широким плоским дном по которому сбегает небольшой ручей, впадающий в р. М. Ханмей.

У слияния рек Евьеган и М. Ханмей на прилегающей к долине плоской части берега, в 50-80 м от берегового обрыва, сохранились старые буровые скважины с остатками труб.

Оруденение прослежено в юго-восточном борту, впадающем в р. М. Ханмей. Рудная зона залегает согласно направлению рассланцевания (гнейсоватости) и падает на ЮВ С Аз 110' под углом 70'.

Вмещающие породы – гнейсы, амфиболиты и кристаллические сланцы ханмехойской свиты PR_1.

Зона выделяется среди них интенсивным ожелезнением и прослеживается от вершины берегового обрыва до уреза воды. Рудные минералы - пирит, возможно халькопирит. Вкрапленность тонкая, располагается также согласно с рассланцеванием.

Породы и рудная зона разбиты многочисленными, разноориентированными системами трещин, среди которых резко преобладают север-северо-восточные с восток-юго-восточным падением. Поперечные и диагональные системы проявлены значительно меньше.

Согласно с рассланцеванием наблюдаются кварцевые жилы невыдержанной мощности, нередко разбудинированные. Кварц характерен также для рудной зоны, где развиваются березитоподобные метасоматиты.

№№	Азимут падения	Угол падения	Форма	Длина	Мощность	Минеральные заполнения
1	347	59	1	2	5	
2	243	88	1	1	5	
3	111	64	1	2	5	
4	328	29	1	1	1	
5	158	49	1	1	1	
6	2	46	1	1	5	
7	354	61	1	1	5	
8	236	67	1	2	5	
9	248	69	1	1	5	
10	137	46	1	1	2	Обломочный материал
11	23	79	2	1	1	Обломки
12	117	63	1	1	5	Кварц
13	353	86	1	1	1	Обломки
14	124	51	1	2	5	Обломки
15	264	45	1	1	5	
16	127	59	1	1	2	Кварц
17	129	59	1	2	3	Обломки
18	192	24	1	1	5	
19	13	62	2	1	5	
20	232	68	2	1	1	
21	128	57	1	2	3	Обломки

22	144	44	1	1	2	Обломки
23	344	48	1	2	5	
24	107	74	1	2	5	
25	114	63	1	1	1	
26	298	37	1	1	5	
27	27	88	2	2	2	Обломки
27	356	24	1	1	5	
27	316	22	1	1	5	
27	322	51	1	1	5	
27	159	44	1	1	2	Обломки
27	4	48	1	1	5	г/о Fe
27	112	69	1	1	5	г/о Fe
27	127	68	2	3	2	
27	303	44	1	1	5	
27	321	38	1	1	5	
27	226	76	2	1	1	
27	112	70	1	1	3	
27	124	68	1	1	3	Кварц
27	272	42	1	1	5	
27	344	56	1	1	5	
27	124	56	1	1	3	Кварц
27	177	83	2	1	5	
27	164	87	2	1	3	
27	339	66	1	1	5	
27	126	74	1	1	1	
27	178	42	1	1	1	г/о Fe
27	97	71	2	1	1	г/о Fe
27	111	52	1	2	2	г/о Fe, кварц, сульфиды
27	117	58	1	1	1	г/о Fe, кварц, сульфиды
27	127	48	1	1	1	г/о Fe, кварц, сульфиды
27	108	51	1	1	1	г/о Fe, кварц, сульфиды
27	298	54	1	1	5	г/о Fe
27	126	78	1	1	2	
27	144	69	1	1	2	г/о Fe
27	152	69	2	1	2	Кварц
27	26	86	2	1	2	Обломки
27	86	34	1	1	1	
27	314	81	1	2	2	Обломки
27	318	82	1	1	2	Обломки
27	293	73	2	2	2	Обломки
27	334	69	1	1	5	г/о Fe
27	142	51	1	1	4	г/о Fe, кварц, сульфиды
27	79	51	1	2	3	г/о Fe, рудные охры
27	118	81	1	2	3	г/о Fe, рудные охры
27	142	64	1	1	2	г/о Fe
27	68	67	2	1	1	г/о Fe
27	127	64	1	2	2	Обломки
27	322	42	1	1	5	г/о Fe
27	326	58	1	2	5	
27	291	44	1	1	5	г/о Fe
27	94	72	2	1	1	Обломки
27	326	29	1	1	5	г/о Fe
27	119	62	1	1	1	

27	108	68	1	2	1	
27	107	66	2	1	1	Обломки
27	115	59	2	1	2	Кварц
27	301	69	1	1	3	Обломки
27	110	69	1	2	3	
27	328	39	1	1	1	
27	331	21	1	2	3	
27	333	38	1	1	1	
83	117	67	1	3	4	Обломки
84	327	49	1	1	5	
85	92	80	2	1	3	Кварц ,г/оFe
86	135	49	2	1	2	Обломки
87	125	84	1	1	4	Кварц
88	128	50	1	1	4	Обломки
89	252	2	1	1	5	
90	108	73	1	1	2	Кварц
91	83	79	2	1	3	г/о Fe
92	217	27	1	1	2	
93	114	79	1	1	2	Обломки, г/оFe
94	111	68	1	1	3	г/о Fe
95	32	36	1	1	1	
96	104	72	2	1	1	
97	235	40	1	1	5	
98	243	74	1	1	3	
99	2	82	2	2	3	Обломки
100	113	76	1	1	1	г/о Fe
101	193	39	2	1	2	Обломки
102	115	74	1	1	4	Кварц
103	296	64	1	1	5	
104	118	81	1	1	2	Кварц
105	206	86	2	2	3	г/о Fe
106	10	65	1	2	5	
107	290	48	1	1	5	
108	106	56	2	2	4	Обломки
109	101	61	1	1	1	
110	337	60	1	1	5	
111	292	75	1	1	5	
112	54	43	1	1	5	
113	57	43	1	1	4	Обломки
114	213	54	2	2	2	Обломки
115	54	28	1	1	2	Обломки
116	52	36	1	1	5	
117	72	253	1	1	2	Обломки
118	136	69	1	1	4	г/о Fe, рудные охры, кварц
119	302	73	1	1	5	
120	2	3	1	1	4	
121	138	57	1	1	5	
122	130	67	1	1	5	
123	180	89	1	1	5	
124	23	88	1	1	3	
125	240	52	1	1	5	
126	225	71	1	1	5	
127	108	53	1	1	3	Кварц
128	128	60	1	1	4	Обломки
129	5	82	1	2	4	Обломки
130	325	83	1	1	1	

131	135	64	1	1	5	
132	122	76	1	1	3	Кварц
133	95	89	1	1	5	
134	65	76	1	1	5	
135	197	53	1	1	4	Обломки
136	337	81	1	1	5	
137	342	76	1	1	5	Кварц
138	121	56	1	1	4	Обломки
139	66	48	1	1	1	
140	244	78	2	2	4	Обломки
141	301	81	2	1	5	
142	219	18	1	1	4	
143	98	87	2	2	5	
144	236	70	1	1	2	Обломки
145	142	53	2	2	1	
146	217	52	2	2	1	
147	10	67	2	1	2	Обломки
148	27	51	2	1	2	Обломки
149	162	60	1	1	1	
150	124	68	1	1	1	
151	2	59	2	1	2	Обломки
152	88	78	1	1	2	Обломки
153	10	58	1	1	5	
154	11	53	2	1	1	
155	156	46	2	2	2	Обломки
156	144	57	2	1	2	Обломки
157	353	84	1	2	5	
158	18	44	1	2	5	
159	149	49	2	1	1	
160	6	61	2	1	1	
161	231	70	2	1	5	
162	8	57	2	1	5	Обломки
163	216	74	1	1	3	
164	65	49	1	1	4	Кварц
165	161	67	2	1	3	Халцедон
166	143	74	1	2	4	Обломки
167	134	69	1	2	4	Кварц
168	351	74	1	1	5	
169	139	79	1	1	2	Обломки
170	356	59	1	1	5	
171	247	74	1	1	5	
172	216	25	1	1	1	
173	144	56	1	1	1	Обломки
174	147	51	2	3	3	Обломки
175	152	64	2	1	1	
176	162	52	2	1	1	
177	126	72	1	1	3	Кварц
178	147	62	1	1	1	
179	153	64	1	2	2	Обломки
180	232	74	1	1	2	Обломки
181	238	63	1	1	3	Обломки
182	235	63	1	1	1	
183	228	61	1	1	2	Обломки
184	336	44	1	1	5	
185	344	42	1	1	5	
186	210	56	1	1	4	Кварц
187	192	49	1	1	2	Обломки

188	289	61	1	1	5	
189	220	56	1	1	1	
190	244	61	1	1	4	
191	133	31	1	2	2	Обломки
192	139	41	1	1	2	г/о Fe
193	116	36	1	1	3	г/о Fe
194	8	66	1	1	5	Кварц, сульфиды
195	103	34	1	2	5	г/о Fe
196	333	48	1	1	5	г/о Fe, кварц, сульфиды
197	73	37	1	1	5	
198	109	56	1	1	5	
199	139	26	1	1	2	
200	118	62	1	1	4	Обломки
201	153	53	1	1	4	Обломки
202	154	46	1	1	4	Обломки
203	315	43	1	1	5	
204	179	34	1	1	2	
205	160	50	1	1	4	Обломки
206	139	51	1	1	3	Обломки
207	132	59	1	2	3	Обломки
208	317	27	1	1	5	
209	200	30	1	1	2	Обломки
210	163	41	1	1	3	Обломки
211	168	44	1	1	4	Обломки
212	132	60	1	1	4	Обломки
213	159	44	1	1	2	Обломки
214	134	48	1	1	2	
215	338	41	1	1	5	
216	191	43	1	1	5	
217	139	55	2	1	5	
218	151	53	1	1	4	
219	331	31	1	2	5	
220	144	51	1	1	3	
221	220	13	1	1	5	
222	323	34	1	1	5	
223	149	49	1	1	4	
224	155	43	1	1	4	
225	25	35	1	1	5	
226	320	57	1	1	5	
227	329	46	1	1	5	
228	299	57	1	2	5	
229	309	47	1	1	5	
230	295	61	1	1	2	
231	267	74	1	1	3	
232	255	72	2	1	3	
233	0	79	1	2	5	
234	138	71	1	1	2	Обломки
235	257	14	1	2	2	
236	116	66	1	1	5	
237	315	56	1	2	5	
238	288	75	1	2	5	
239	258	24	1	2	5	
240	310	41	1	1	5	
241	4	67	1	1	5	
242	324	48	1	1	3	
243	254	74	1	1	5	

244	124	56	1	1	2	
245	321	48	1	1	5	
246	62	39	1	1	5	
247	144	44	1	2	4	
248	158	31	1	2	4	Кварц
249	228	11	1	2	5	
250	317	53	1	2	4	
251	214	16	1	1	2	
252	125	45	1	1	1	Кварц
253	143	39	1	1	1	
254	163	59	1	1	1	
255	130	56	1	1	1	
256	137	53	1	1	1	Кварц
257	66	76	1	1	1	
258	128	67	1	1	4	
259	146	33	1	1	5	
260	111	40	1	1	2	
261	83	12	1	1	1	
262	342	41	2	1	1	Обломки
263	15	52	2	1	1	
264	22	53	2	1	1	
265	173	36	1	1	1	
266	104	53	2	1	1	Кварц
267	192	49	2	1	5	
268	145	62	2	1	1	
269	265	89	2	1	1	
270	182	26	1	1	2	
271	120	65	1	1	4	Обломки
272	315	23	1	1	4	Обломки
273	298	42	2	1	3	
274	139	48	2	1	4	
275	95	51	1	1	1	
276	251	34	1	1	1	
277	269	35	1	1	1	
278	350	83	1	1	1	Обломки
279	3	55	1	1	1	Обломки
280	95	89	1	1	1	
281	73	40	1	1	1	Обломки
282	58	36	1	1	1	
283	156	42	1	1	5	
284	56	51	1	1	4	
285	285	75	2	1	4	
286	30	52	2	1	1	
287	104	15	1	1	4	
288	55	69	2	1	5	
289	129	42	1	2	4	
290	116	48	2	1	5	
291	9	66	2	1	6	
292	200	28	2	1	5	
293	301	57	2	2	2	
294	332	51	1	1	5	
295	324	47	2	1	2	
296	155	49	2	1	3	Обломки
297	251	62	1	1	5	
298	240	76	2	1	5	
299	9	79	1	1	1	Обломки
300	96	75	2	1	5	

Станция 2

Расположена перед резким поворотом реки Малый Ханмей на запад перед слиянием с рекой Евъеган, в 500 метрах от него на левом берегу реки Малый Ханмей. Среди кристаллических сланцев проходит зона сульфидной минерализации с большим количеством как свежих сульфидов ,так и характерных светло-желтых танов. Кроме пирита визуально наблюдаются блеклые руды, дающие охры, типичные для сурьмы и мышьяка.

Зона выделяется в виде полосы ожелезнённых пород видимой мощностью-5 метров, протягивается через все обнажения и уходят в склон, протяжённость зоны в обнажении не менее 100 метров.

Минерализация, как и на Евъюганском объекте, залегает согласно с вмещающими метаморфизмами ,представленными здесь кристаллическими сланцами мусковит -полевошпатового состава с отдельными зёрнами гранатов. Ориентировка сланцеватости близка к Евъеганскому- Азимут падения 130,угол 65.

На геологической карте П.С Примоносова рудная зона т.н 08-814 располагается в одном разломе северо-западного направления с Евъеганским объектом и ,возможно, является фрагментом единого крупного проявления.

№ пп	Азимут падения	Угол падения	Форма	Длина	Ширина	Минеральное заполнение	
1	125	58	1	1	1	Обломки	
2	127	68	1	1	2	Обломки	
3	124	85	1	1	1	Кварц	
4	122	69	1	1	1	Кварц	
5	181	46	1	1	1		
6	202	72	2	1	1		
7	124	63	1	1	1	г/о Fe	
8	147	80	1	1	1	Кварц	
9	227	73	2	1	5	г/о Fe	
10	113	60	2	1	5		
11	178	62	1	1	5		
12	92	86	1	1	5		
13	285	62	2	1	1		
14	324	36	1	1	4	Кварц	
15	302	44	1	1	1		
16	142	49	2	1	5		
17	36	29	1	1	5		
18	103	48	1	1	5		
19	122	56	2	1	5		
20	18	59	2	1	5		
21	348	18	2	1	1	Кварц	
22	319	79	2	1	4		
23	243	78	2	1	4		
24	222	88	2	1	5		
25	224	89	2	1	1		
26	236	86	1	1	5		
27	128	40	1	1	1		
28	117	8	1	1	1		
29	308	2	1	1	1	г/о Fe	
30	134	28	1	1	1	Обломки	
31	48	21	1	1	1	г/о Fe	
32	49	23	1	1	1	Обломки	
33	248	89	2	1	1		
34	237	87	2	1	5		
35	225	54	2	1	5		
36	221	76	2	1	5	г/о Fe	
37	263	56	2	1	1		

38	193	42	2	2	5		
39	142	51	2	1	1	г/о Fe	
40	27	42	1	1	1		
41	355	40	1	1	1		
42	162	57	1	1	2	Обломки	
43	190	61	1	1	1		
44	72	74	1	1	1	Обломки	
45	95	66	1	1	1	Рудная охра	
46	140	52	2	1	5		
47	356	48	2	1	1	Обломки	
48	144	27	2	1	1		
49	143	64	2	1	1		
50	99	74	2	1	1		
51	142	6	2	1	1		
52	165	42	1	1	4		
53	212	71	1	1	4		
54	164	51	1	1	4		
55	330	42	1	1	1	Рудная охра	
56	234	56	1	1	1	Обломки	
57	148	36	1	1	1		
58	164	64	1	1	1	Кварц	
59	170	52	2	1	1		
60	160	15	2	1	4	г/о Fe	
61	147	44	2	1	5	г/о Fe	
62	213	72	1	1	3		
63	79	75	2	1	5		
64	138	66	2	1	5		
65	110	5	2	1	5		
66	165	68	1	1	1	Обломки	
67	86	33	2	1	1		
68	161	35	2	1	5		
69	126	66	2	1	1		
70	130	43	2	1	5		
71	126	89	2	1	5		
72	105	17	2	1	1		
73	95	82	2	1	5		
74	182	48	2	1	3	Обломки	
75	247	66	2	1	3		
76	198	74	2	1	5		
77	156	76	2	1	1		
78	144	58	2	1	1		
79	219	73	1	1	1		
80	111	64	1	1	1		
81	164	63	2	1	1		
82	132	60	2	2	4	г/о Fe	
83	179	48	2	1	1	г/о Fe	
84	155	65	2	1	5		
85	62	63	2	1	1	г/о Fe	
86	74	87	1	2	2		
87	143	64	2	1	1	г/о Fe	
88	129	71	1	1	5	г/о Fe	
89	139	57	1	1	1		
90	137	64	2	1	1	Обломки	
91	245	65	2	1	1	Обломки	
92	136	57	2	1	1	Обломки	
93	45	69	1	1	2		
94	178	46	2	2	1		

95	122	62	2	1	2		
96	185	74	1	1	2		
97	164	4	1	1	1		
98	242	63	1	1	1		
99	38	28	2	1	2		
100	160	42	2	1	1	г/о Fe,обломки	
101	78	56	1	1	1		
102	113	49	1	1	1		
103	137	61	1	1	1	г/о Fe	
104	132	74	1	1	4		
105	62	45	1	1	1	г/о Fe	
106	225	22	2	1	2		
107	201	58	1	1	1	Рудная охра	
108	48	74	2	1	1		
109	265	70	1	1	1		
110	25	72	2	1	1		
111	338	47	2	1	2		
112	85	71	1	1	4	г/о Fe	
113	164	29	2	1	4		
114	257	54	2	1	1		
115	243	57	2	1	5		
116	355	78	2	1	1		
117	133	54	1	1	2		
118	177	67	1	1	5		
119	191	86	1	1	5		
120	137	89	2	1	5		
121	92	71	2	1	5		
122	157	68	2	1	1		
123	111	75	2	1	1		
124	166	55	1	1	5	Обломки	
125	214	74	1	1	5	Кварц	
126	79	74	2	1	3		
127	122	56	2	1	2		
128	295	76	1	1	1		
129	326	55	1	1	1		
130	335	66	1	1	1		
131	136	62	1	1	1		
132	115	51	1	1	1		
133	154	62	1	1	5		
134	355	60	1	1	1	Обломки	
135	310	15	1	1	1		
136	22	37	2	1	1		
137	120	36	1	1	2	Обломки	
138	123	42	1	1	5		
139	126	44	1	1	5		
140	98	35	1	1	1		
141	140	50	2	1	2	г/о Fe	
142	146	39	1	1	1	Рудная охра	
143	162	71	2	1	2	г/о Fe	
144	147	26	2	1	4	Кварц	
145	153	27	1	2	3	г/о Fe,рудная охра	
146	58	26	2	1	4	г/о Fe	
147	323	35	2	1	5	г/о Fe	
148	82	53	2	1	5	г/о Fe	
149	15	40	1	1	2		
150	112	60	2	1	5		
151	109	39	2	1	1		

152	126	62	1	1	5		
153	106	39	1	1	5	Кварц	
154	17	61	1	2	5	г/о Fe	
155	252	69	2	1	5		
156	139	56	2	2	4	Обломки	
157	116	42	1	1	2	Обломки	
158	38	43	1	2	5	г/о Fe	
159	34	9	1	1	5	г/о Fe	
160	124	76	1	1	2	Обломки	
161	346	29	2	1	5		
162	31	58	2	1	5	г/о Fe	
163	218	26	1	1	5	г/о Fe	
164	318	42	1	1	5	г/о Fe	
165	17	38	1	1	5	г/о Fe	
166	117	62	1	1	3	Обломки	
167	344	14	2	2	5		
168	122	66	1	2	2	г/о Fe,рудная охра	
169	351	53	1	1	5	г/о Fe	
170	36	49	1	1	5	Кварц	
171	124	47	2	2	5	г/о Fe	
172	122	49	1	1	1		
173	2	44	1	1	5	г/о Fe	
174	24	74	2	1	2	г/о Fe	
175	224	16	1	1	4	г/о Fe	
176	138	49	1	1	3	Обломки	
177	125	51	1	1	2	Обломки	
178	28	73	2	1	2	г/о Fe	
179	126	49	1	1	2	г/о Fe	
180	111	54	1	2	2	г/о Fe	
181	359	37	2	1	1	г/о Fe	
182	199	71	2	2	5	г/о Fe	
183	115	52	1	1	3	Кварц,рудная охра,г/оFe	
184	135	42	1	1	2	Кварц	
185	135	47	1	1	5	Кварц,г/оFe	
186	116	50	1	1	5	г/о Fe,кварц	
187	255	14	1	1	5		
188	293	47	2	1	5		
189	122	50	2	1	2	г/о Fe	
190	127	55	2	1	1	г/о Fe	
191	310	22	1	1	5		
192	218	75	1	1	5	г/о Fe.кварц	
193	143	51	2	1	1	г/о Fe	
194	134	61	2	1	2	г/о Fe.кварц	
195	176	2	1	1	5	г/о Fe	
196	225	76	1	1	5	г/о Fe	
197	122	50	2	1	2	г/о Fe	
198	231	58	2	1	5	г/о Fe	
199	57	52	1	1	5	г/о Fe	
200	283	46	1	1	2	Обломки	
201	56	48	1	1	5	г/о Fe	
202	62	82	1	1	4	г/о Fe	
203	316	57	1	1	4	г/о Fe	
204	219	78	1	1	5	г/о Fe	
205	140	56	2	2	2	г/о Fe	
206	142	53	2	1	1	г/о Fe	
207	136	51	2	1	1	г/о Fe	

208	42	49	1	1	5	г/о Fe	
209	125	54	1	1	2	г/о Fe,кварц	
210	117	53	2	1	2	г/о Fe	
211	126	51	1	1	3	г/о Fe	
212	141	59	2	1	2	г/о Fe	
213	330	29	2	1	2	Обломки	
214	204	61	1	1	5	г/о Fe	
215	253	81	1	1	3	г/о Fe	
216	130	61	1	1	2	г/о Fe	
217	120	62	2	1	1	г/о Fe	
218	116	64	2	1	2	г/о Fe	
219	5	36	1	2	3	г/о Fe	
220	128	57	1	2	2	г/о Fe	
221	133	55	1	2	2		
222	130	56	2	1	1	г/о Fe,	
223	124	54	1	2	3	г/о Fe	
224	115	57	1	2	2	г/о Fe	
225	333	39	1	2	5	г/о Fe	
226	337	32	1	1	5	г/о Fe	
227	31	86	2	1	1	Рудная охра	
228	314	39	1	1	5	г/о Fe	
229	324	38	1	1	5	г/о Fe,кварц	
230	134	54	1	1	1	г/о Fe	
231	251	44	1	1	5	г/о Fe	
232	119	77	1	1	4	Кварц	
233	173	73	1	1	4	Кварц	
234	128	66	1	2	4	Кварц	
235	2	27	2	2	5	г/о Fe	
236	163	55	1	2	1	г/о Fe	
237	345	31	2	2	5	г/о Fe	
238	128	51	1	1	1	Рудная охра	
239	127	50	1	1	1	г/о Fe	
240	124	49	1	2	1	г/о Fe	
241	128	55	1	1	2	г/о Fe,кварц	
242	136	53	1	1	1	г/о Fe,рудная охра	
243	6	35	1	1	5		
244	9	57	1	1	5	г/о Fe	
245	329	36	2	2	1	г/о Fe	
246	323	35	1	1	1	г/о Fe	
247	150	34	2	1	5	г/о Fe	
248	148	36	2	1	4	г/о Fe,кварц	
249	1	42	2	1	5	г/о Fe	
250	279	62	2	1	1		
251	108	52	1	1	4	Кварц	
252	346	39	2	1	5	г/о Fe	
253	124	56	1	2	4	Кварц,рудная охра	
254	125	63	1	2	2		
255	139	64	1	1	2	г/о Fe	
256	119	64	1	1	4	г/о Fe,кварц	
257	159	68	1	1	4	г/о Fe,кварц	
258	21	84	1	1	5	г/о Fe	
259	225	61	1	1	2	г/о Fe	
260	317	25	1	1	5		
261	15	51	1	1	5	г/о Fe,кварц	
262	129	57	2	2	2	г/о Fe	
263	146	49	2	1	3		
264	32	74	2	1	2	г/о Fe	

265	131	49	2	1	1	г/о Fe	
266	156	54	1	1	5	г/о Fe,кварц	
267	43	86	2	1	1	г/о Fe	
268	133	50	2	1	2	г/о Fe	
269	320	52	1	1	1	г/о Fe,кварц	
270	324	46	2	1	5	г/о Fe	
271	257	61	1	1	5	г/о Fe	
272	134	49	1	1	1	г/о Fe,рудная охра	
273	266	61	1	1	5	г/о Fe,рудная охра	
274	291	78	2	1	5	г/о Fe	
275	241	75	1	2	4	г/о Fe	
276	357	33	1	2	5		
277	151	48	2	1	2	г/о Fe	
278	143	47	2	1	3		
279	141	47	2	1	2	г/о Fe	
280	30	50	1	1	5		
281	343	33	1	1	5		
282	126	67	1	2	2	г/о Fe	
283	330	41	1	2	5		
284	131	52	2	2	4		
285	156	50	1	2	4	г/о Fe	
286	118	44	1	2	3	г/о Fe	
287	112	60	1	1	2	г/о Fe	
288	285	64	1	1	5	г/о Fe	
289	326	40	1	1	5		
290	129	49	2	1	1	г/о Fe	
291	46	85	2	1	3	г/о Fe	
292	310	32	1	1	5	г/о Fe	
293	50	78	1	1	5	г/о Fe	
294	5	43	1	1	5	г/о Fe	
295	343	37	1	2	5		
296	24	58	1	1	5		
297	77	85	1	1	5		
298	118	54	1	1	3	г/о Fe	
299	282	41	2	1	5		
300	138	46	2	2	2	г/о Fe,рудная охра	

Станция 3

Крупный коренной скальный выход, начинающийся у уреза воды и протягивающийся вверх по склону крутого берегового обрыва до его верхней границы.

Обнажение сложено очковыми амфиболитами с характерным идиоморфным плагиоклазом. В породах присутствует вкрапленность зерен граната, красного цвета, разного размера и густоты. Гранаты располагаются неравномерно, обогащая отдельные слои.

В породе присутствует также вкрапленность метаморфического пирита как свежего, так и выщелоченного , размер зерен 1-2 мм, форма кубическая деформированная до прямоугольно параллелепипедной.

Амфиболиты интенсивно рассланцованы, трещины рассланцевания значительно преобладают над другими количественно ,как и в соседних обнажениях Ханмейхойской свиты, они имеют юго-восточное падение Аз пад.160,угол пад.55.

Обнажение расположено а приконтинентальной зоне палео - океанического комплекса , в 400м от выхода протрузии серпентинитов, фиксирующих одну из ветвей надвига, ограничивающего палео континент. Ниже по берегу они сменяются тектоническими хлоритовыми сланцами, за которыми уже обнажены серпентиниты сложного строения в комплексе с габбро.

№№ ПП	Азимут падения	Угол падения	Форма	Длина	Мощность	Минеральное заполнение
1	245	39	1	1	5	
2	210	37	1	1	5	
3	247	5	2	2	5	
4	279	64	1	1	5	
5	230	55	1	1	5	
6	255	10	1	2	5	
7	249	40	1	1	1	
8	262	89	1	1	4	Обломки
9	180	43	2	1	5	Обломки
10	173	48	1	1	1	Обломки
11	152	46	1	1	1	
12	243	52	2	1	5	
13	272	89	2	1	1	
14	130	60	2	1	1	
15	270	0	2	1	1	
16	220	25	2	1	1	
17	270	26	2	1	1	
18	246	87	2	1	5	
19	140	15	1	1	1	
20	250	6	1	1	1	
21	290	40	1	2	5	
22	258	75	1	2	5	
23	320	46	2	1	1	
24	264	72	1	1	1	
25	292	32	1	1	1	
26	273	40	1	1	1	
27	145	64	1	1	1	
28	149	43	1	2	5	
29	162	70	1	1	5	
30	149	57	2	1	5	
31	275	30	1	2	5	
32	130	35	1	2	5	Обломки
33	226	82	1	2	5	Обломки
34	252	19	1	1	1	
35	164	72	1	1	3	Обломки
36	301	50	1	1	1	
37	324	35	1	1	1	Обломки,кварц.
38	304	46	2	1	1	
39	276	39	1	1	1	Обломки
40	247	63	1	1	1	
41	200	30	2	2	5	Обломки
42	195	12	1	1	1	
43	152	37	2	1	5	Обломки
44	145	0	1	1	1	
45	146	89	2	1	1	
46	151	74	2	1	1	
47	161	52	2	1	5	
48	145	48	1	1	1	
49	173	15	1	1	1	
50	185	89	1	1	1	
51	273	81	1	2	5	
52	172	64	1	1	1	
53	156	54	1	2	1	
54	192	54	2	1	5	
55	282	40	1	1	1	Обломки

56	322	25	2	1	5	Обломки
57	210	73	2	1	5	Обломки
58	220	76	1	1	5	Обломки
59	296	75	1	1	5	Обломки
60	182	53	1	1	5	
61	164	10	1	1	5	
62	276	3	2	1	1	
63	236	52	1	1	1	
64	260	15	1	1	1	
65	240	75	1	1	5	
66	345	5	1	1	1	
67	250	12	2	1	1	
68	255	87	2	1	2	
69	276	55	2	1	2	
70	248	56	2	1	2	
71	270	69	1	1	1	
72	254	16	1	1	1	
73	240	52	1	1	5	
74	223	48	1	1	1	
75	335	76	1	1	5	
76	327	12	1	1	1	
77	215	70	1	1	1	
78	176	87	1	1	1	
79	146	86	1	1	5	
80	141	87	1	1	5	
81	189	32	1	1	5	
82	132	76	1	1	1	
83	129	11	1	1	1	
84	271	77	1	1	5	
85	212	49	2	1	1	
86	172	47	1	2	5	
87	166	35	2	1	1	
88	145	54	2	1	5	
89	160	36	2	1	5	
90	167	28	2	1	1	
91	280	62	1	2	5	
92	319	54	1	1	5	
93	324	47	2	2	5	
94	321	56	1	2	5	
95	230	60	1	1	1	
96	301	57	2	1	1	
97	315	46	2	1	1	
98	287	59	1	2	5	
99	215	56	2	1	1	
100	126	46	2	1	5	
101	90	12	1	1	1	
102	92	10	1	1	1	
103	132	87	1	1	5	
104	122	43	1	1	5	
105	120	87	1	1	5	
106	164	37	1	1	5	
107	190	30	1	1	1	
108	184	89	2	1	1	
109	332	44	2	1	5	
110	289	42	2	1	1	
111	252	83	2	1	1	
112	273	71	2	1	1	

113	246	73	1	1	1	
114	182	64	1	1	1	
115	154	36	1	1	1	
116	152	60	1	2	5	Кварц
117	170	46	1	1	5	Кварц
118	163	76	1	1	5	
119	260	82	1	2	5	Обломки
120	248	76	2	1	5	
121	242	89	2	1	5	
122	237	67	1	1	5	Кварц
123	5	56	2	2	5	Обломки
124	173	29	2	1	1	
125	22	39	1	1	1	
126	0	55	1	2	2	
127	6	55	2	2	5	
128	30	50	1	2	5	
129	10	46	2	2	5	
130	16	57	2	1	5	
131	29	51	2	1	5	
132	173	60	2	1	5	Обломки
133	30	70	2	1	5	
134	27	50	2	2	5	Кварц
135	15	53	1	1	5	
136	20	35	2	1	5	Обломки
137	230	66	1	1	5	
138	26	47	1	1	5	
139	155	54	2	1	1	
140	29	49	2	1	5	
141	152	55	2	1	1	
142	67	30	2	1	5	
143	56	15	2	1	5	
144	191	5	2	1	5	Обломки
145	150	52	1	1	1	
146	43	59	2	1	5	
147	148	87	1	1	1	
148	320	76	2	1	1	
149	250	55	1	1	1	
150	135	45	1	1	5	
151	95	74	1	1	5	
152	192	6	1	2	5	
153	270	77	1	2	5	г/оFe
154	102	57	1	1	5	
155	151	44	1	1	4	Обломки
156	301	46	1	1	5	
157	130	59	1	1	2	Обломки
158	180	41	2	1	5	
159	77	87	1	1	5	
160	76	69	1	2	5	
161	181	52	1	1	2	Обломки
162	341	45	2	1	1	Обломки
163	143	59	1	1	5	
164	77	71	1	2	2	Обломки
165	139	54	1	1	5	
166	336	39	2	2	2	
167	235	72	1	1	5	
168	56	88	1	1	5	
169	151	53	2	1	1	Обломки

170	64	75	1	1	5	
171	164	44	1	2	2	Обломки
172	77	86	1	1	5	
173	156	48	1	2	1	
174	164	43	1	2	4	Обломки
175	343	61	1	1	1	
176	156	47	1	2	4	Обломки,кварц.
177	155	46	2	2	4	Кварц
178	337	49	1	1	2	г/оFe
179	40	79	1	1	5	г/оFe
180	335	32	1	1	3	
181	1	65	2	1	2	Обломки
182	146	46	2	1	1	
183	347	56	2	2	2	г/оFe
184	136	53	2	1	1	
185	340	53	1	1	5	
186	351	47	2	1	1	Обломки
187	253	69	1	1	2	
188	6	41	1	1	1	
189	144	54	1	1	1	
190	266	53	1	1	1	
191	338	59	2	1	3	Обломки
192	152	51	2	2	3	Обломки
193	341	52	2	1	3	г/оFe
194	166	52	1	1	1	
195	335	49	1	1	1	
196	0	73	2	1	1	г/оFe
197	22	84	2	1	1	
198	155	51	2	1	1	Эпидот
199	68	80	1	1	5	
200	338	39	2	1	2	Эпидот
201	157	51	2	1	1	Эпидот
202	80	79	1	1	5	
203	151	55	2	1	2	Кварц,обломки
204	66	87	1	1	5	
205	347	64	2	1	1	Эпидот
206	144	49	1	1	1	
207	236	88	1	1	5	
208	103	7	1	1	1	
209	86	61	1	1	5	
210	101	59	1	1	4	
211	68	30	1	1	5	Эпидот
212	71	80	1	1	5	Эпидот
213	9	82	1	2	2	
214	153	47	1	1	1	
215	342	39	2	2	2	Эпидот
216	154	60	1	1	1	
217	237	80	1	1	5	
218	341	37	2	2	2	г/оFe,обломки
219	156	45	2	1	5	
220	81	76	1	2	4	Обломки
221	2	77	1	2	2	
222	235	78	1	2	3	
223	151	48	1	1	1	
224	248	88	1	1	5	
225	146	49	2	2	2	
226	6	78	2	1	2	

227	145	51	1	2	4	Кварц
228	56	90	2	1	5	г/оFe
229	148	53	2	2	4	Обломки
230	244	83	1	1	5	
231	152	43	2	1	3	Обломки
232	12	58	2	1	1	
233	286	46	1	1	5	
234	58	66	2	1	1	Обломки
235	148	44	2	1	1	
236	144	48	2	1	2	
237	145	46	2	1	1	Обломки
238	156	77	2	1	3	Обломки
239	82	49	1	1	5	
240	16	39	1	1	5	
241	23	69	1	1	1	
242	8	86	1	2	5	
243	146	37	1	2	2	
244	4	86	1	1	3	
245	142	52	1	1	1	Обломки
246	170	46	1	1	5	
247	4	51	1	1	5	
248	0	83	2	1	5	
249	278	39	2	1	1	
250	253	57	1	2	2	Обломки
251	146	48	2	1	1	Обломки
252	237	80	1	1	5	
253	351	85	1	2	2	
254	74	81	1	1	5	
255	24	80	1	2	3	Обломки
256	327	90	1	1	2	
257	119	71	1	1	5	
258	5	62	2	2	5	Обломки
259	150	49	1	1	5	
260	305	80	1	1	4	
261	8	75	1	1	5	
262	10	66	1	1	1	
263	134	34	2	1	2	Обломки
264	0	60	1	1	5	
265	130	43	1	2	1	Обломки
266	250	76	1	1	5	
267	176	65	1	1	1	
268	130	39	1	1	2	Обломки
269	134	57	1	1	5	
270	127	78	1	1	1	
271	118	64	1	1	3	
272	27	31	1	1	5	
273	110	56	1	2	4	
274	124	52	1	2	4	
275	42	84	1	1	5	
276	130	61	1	2	4	Обломки
277	135	41	1	2	4	Обломки,кварц.
278	146	58	1	2	2	Обломки,кварц.
279	350	70	1	1	1	г/оFe
280	70	81	1	1	5	
281	221	76	1	1	5	
282	251	76	1	1	5	
283	167	43	1	1	2	Обломки

284	188	82	1	1	1	
285	252	59	1	1	1	
286	137	46	1	1	5	
287	176	37	1	2	3	Обломки
288	353	79	1	1	5	
289	84	86	1	1	5	
290	128	38	2	1	1	Обломки
291	343	35	1	1	2	
292	338	34	1	1	5	
293	225	64	1	1	5	
294	326	36	1	2	5	
295	144	36	1	2	1	
296	145	35	1	2	2	Обломки
297	345	74	1	1	5	
298	126	49	1	1	2	Обломки
299	10	47	2	1	5	
300	19	38	1	1	5	

Станция 4

300 м от т. н. 08-808 вниз по правому берегу р. М. Ханмей. Габбро крупнозернистое, слабо полосчатое, эпидотизированное.

Крупное обнажение, протягивающееся от уреза воды до верха крутого обрывистого берега.

В геологическом отношении габбро залегает в палеоокеаническом секторе и относится к конгорскому комплексу. Оно обнажается после гипербазитовой протрузии, фиксирующей контакт палеоконтинентального и палеоокеанического блоков. Непосредственно в контакте габбро картируется в составе протрузии, образуя прослои мощностью от нескольких метров до первых сантиметров (комплекс параллельных даек).

Станция расположена в 300 м от северного континента протрузии, где серпентинитов уже не отмечается.

В обнажении широко проявлена эпидотизация, развиваясь по трещинам и придавая породам характерный зеленый оттенок.

Породы интенсивно трещиноваты. Трещины большей частью короткие, с неровной поверхностью, четкого рассланцевания не прослеживается.

№№ пп	Аз. падения	Угол пад.	Форма	Длина	Мощность	Минерал. заполнение
1	217	16	1	1	5	
2	20	32	1	1	5	
3	197	27	1	1	5	
4	185	28	2	1	1	
5	197	34	2	1	5	
6	192	27	1	1	5	
7	120	82	2	1	5	
8	173	0	1	1	1	
9	130	84	2	1	1	
10	169	33	1	1	5	Обломки
11	300	25	1	1	5	Обломки
12	216	29	1	1	5	
13	216	42	1	1	5	
14	231	76	2	1	5	
15	227	26	1	1	1	
16	229	50	2	1	1	Обломки
17	102	84	1	1	1	Обломки

18	256	72	2	1	1	
19	243	84	2	1	5	
20	198	77	1	1	1	Обломки
21	227	74	1	1	1	
22	202	70	1	1	5	Обломки
23	186	64	1	1	1	
24	250	79	2	1	5	Обломки
25	212	66	1	1	5	Обломки
26	255	85	2	1	5	
27	214	86	2	1	1	
28	255	87	1	1	1	Обломки
29	259	74	2	1	5	Обломки
30	235	76	1	1	1	
31	223	62	2	1	1	
32	203	61	2	1	1	
33	194	64	2	1	5	
34	249	8	1	1	1	Обломки
35	194	87	2	1	1	
36	255	3	2	1	1	
37	250	2	1	1	1	
38	243	70	1	1	1	
39	303	14	1	1	2	Обломки
40	61	80	1	1	3	Обломки,г/оFe
41	55	71	1	1	5	
42	133	45	1	1	4	Обломки
43	51	64	1	1	5	
44	121	60	1	1	2	
45	210	78	1	1	5	Обломки
46	181	77	1	1	5	
47	295	35	2	2	1	Обломки,эпидот
48	52	40	1	1	5	
49	15	29	1	1	1	
50	208	84	1	1	2	Обломки
51	10	20	1	1	5	
52	200	82	1	1	1	Обломки
53	212	69	1	1	5	
54	341	82	1	1	2	Обломки
55	120	65	1	1	5	
56	341	72	1	1	5	Обломки
57	33	66	1	1	5	
58	130	63	2	2	2	Обломки
59	201	83	1	1	5	
60	148	73	1	1	1	
61	333	51	1	2	2	Обломки,г/оFe
62	172	84	1	1	5	
63	70	77	1	2	2	Обломки
64	137	32	1	1	5	
65	48	87	1	1	3	Обломки
66	61	21	1	1	1	

67	177	74	1	1	5	
68	335	63	2	1	5	
69	38	11	2	1	5	
70	145	58	2	2	1	Эпидот
71	84	27	2	1	1	Обломки
72	90	60	1	1	5	
73	181	50	1	1	5	Обломки
74	211	69	2	1	1	Обломки
75	220	85	2	1	2	
76	192	71	1	1	5	
77	250	65	1	1	1	
78	243	10	1	1	1	
79	143	69	1	1	1	
80	330	60	1	2	5	Обломки
81	258	57	1	1	5	Обломки
82	240	85	1	1	1	
83	230	78	2	1	1	
84	194	77	1	1	1	Обломки
85	239	74	1	1	5	
86	246	32	1	1	1	Обломки
87	194	72	2	1	1	
88	263	71	1	1	1	
89	233	88	1	1	5	
90	224	35	1	1	1	Обломки
91	231	24	1	1	1	
92	312	54	1	2	5	Обломки
93	232	23	1	1	1	Обломки
94	222	77	1	1	5	
95	248	4	2	1	1	
96	242	59	1	1	1	
97	184	86	1	1	1	
98	186	75	1	1	1	
99	230	4	2	1	1	
100	194	42	1	1	1	
101	225	87	1	1	5	Обломки
102	223	10	1	1	1	Обломки
103	194	72	2	1	5	
104	318	76	2	1	5	Обломки
105	252	74	2	1	1	
106	244	13	1	1	1	
107	226	78	1	1	5	
108	187	65	1	1	1	
109	196	10	1	1	3	Обломки
110	272	15	1	1	5	Обломки
111	220	16	1	1	1	
112	310	51	1	1	5	Обломки
113	280	62	2	1	5	
114	255	4	1	1	1	Обломки
115	176	78	2	1	1	

116	94	70	1	2	1	Обломки,г/оFe
117	27	66	1	1	5	г/оFe
118	89	70	1	1	3	Обломки,г/оFe
119	120	65	1	1	5	
120	28	55	1	1	5	
121	231	66	1	2	2	Обломки,г/оFe
122	151	58	1	1	5	
123	169	82	1	1	5	
124	261	78	1	1	1	
125	90	67	1	2	5	
126	318	43	1	1	1	Обломки
127	37	71	1	1	1	Обломки
128	105	62	1	2	3	
129	98	61	1	2	1	Обломки
130	18	29	2	1	5	
131	87	67	1	1	2	Обломки,г/оFe
132	25	36	1	2	5	
133	216	70	1	2	2	Обломки,г/оFe
134	81	62	1	2	2	Обломки,г/оFe
135	211	82	2	1	1	
136	44	74	2	1	1	
137	339	29	2	1	2	Обломки
138	175	77	1	1	5	
139	266	82	1	2	1	Обломки
140	222	72	1	1	1	
141	45	14	1	1	2	Обломки,г/оFe
142	81	55	1	1	5	
143	159	74	2	1	1	Обломки
144	66	64	1	1	5	
145	20	30	1	1	5	
146	80	78	1	1	3	Обломки
147	333	35	2	1	2	Обломки
148	58	83	1	1	2	г/оFe
149	356	84	1	1	1	Обломки,г/оFe
150	226	84	1	1	3	Обломки
151	170	65	1	1	1	Обломки
152	17	21	1	1	1	Обломки
153	29	72	1	1	4	г/оFe
154	18	73	1	1	1	
155	134	65	1	1	5	
156	35	81	1	1	3	г/оFe
157	63	13	1	1	5	г/оFe
158	264	84	2	1	1	
159	202	80	1	1	1	г/оFe
160	93	18	1	1	1	
161	42	85	1	1	1	
162	87	69	1	1	5	г/оFe
163	148	68	1	1	2	Обломки
164	111	71	1	1	1	г/оFe

165	24	84	1	1	2	г/оFe
166	32	59	1	1	5	Эпидот
167	38	54	1	1	1	
168	145	72	1	1	2	
169	33	61	1	1	1	
170	12	52	1	1	1	
171	156	82	1	1	2	Обломки
172	352	33	1	1	1	
173	52	73	1	1	2	Обломки
174	19	49	1	1	5	
175	16	56	1	1	1	Эпидот
176	18	56	1	1	1	Эпидот
177	14	57	1	1	5	Эпидот
178	15	70	1	2	1	Эпидот
179	23	4	1	1	5	
180	357	82	1	1	3	Обломки
181	255	69	1	1	1	г/оFe
182	116	69	1	1	1	г/оFe
183	128	6	1	1	1	г/оFe
184	141	4	1	1	1	г/оFe
185	99	66	1	1	1	г/оFe
186	20	52	1	1	1	г/оFe
187	95	69	1	1	2	г/оFe
188	116	52	1	1	1	г/оFe
189	205	52	1	1	2	Эпидот
190	184	56	1	1	1	Эпидот
191	14	53	1	1	5	Эпидот
192	110	48	1	1	2	г/оFe
193	168	75	1	1	2	Эпидот
194	6	64	2	1	1	Эпидот
195	19	71	2	1	1	г/оFe
196	12	67	1	1	5	г/оFe
197	118	54	1	2	1	г/оFe
198	59	57	1	1	1	
199	21	86	1	1	2	г/оFe
200	111	48	1	1	2	г/оFe
201	14	51	1	1	2	г/оFe
202	165	34	1	1	2	г/оFe
203	154	52	1	1	2	г/оFe
204	136	68	1	1	1	Эпидот
205	114	54	2	1	5	Эпидот
206	101	56	1	1	3	г/оFe
207	3	63	2	1	1	
208	13	64	2	1	1	
209	209	76	1	1	1	
210	49	4	1	1	1	
211	209	52	1	1	2	
212	215	80	1	1	2	Эпидот
213	211	66	1	1	1	Эпидот

214	345	83	1	1	1	Эпидот
215	226	81	1	1	2	Обломки
216	161	88	1	1	1	г/оFe
217	214	62	1	1	1	
218	54	47	1	1	1	
219	67	34	1	1	1	г/оFe
220	123	59	1	1	2	Обломки
221	37	42	2	1	2	Обломки
222	28	66	1	1	4	г/оFe
223	221	44	1	1	1	г/оFe
224	228	39	1	1	3	Обломки
225	47	72	1	1	5	Эпидот
226	9	66	1	1	4	Обломки
227	216	85	2	1	4	Эпидот
228	292	61	1	1	1	Обломки
229	104	23	1	1	3	г/оFe
230	131	59	2	1	1	
231	220	51	1	1	1	г/оFe
232	31	61	1	1	1	г/оFe
233	158	59	1	1	3	Обломки
234	104	83	1	1	5	г/оFe
235	0	39	1	1	1	г/оFe,эпидот
236	353	38	1	1	3	г/оFe,эпидот
237	56	72	1	1	1	г/оFe
238	348	8	1	1	1	г/оFe
239	10	52	2	1	1	г/оFe
240	18	43	2	1	1	
241	19	47	2	1	1	г/оFe
242	21	18	1	1	1	г/оFe
243	4	53	1	1	1	г/оFe
244	30	62	1	1	1	г/оFe
245	18	84	2	1	2	Обломки
246	309	45	1	1	5	г/оFe
247	234	38	1	1	2	Обломки
248	126	52	2	1	4	Обломки
249	86	19	2	1	5	г/оFe
250	183	65	1	2	1	
251	14	52	2	1	1	Эпидот
252	204	64	2	1	5	
253	37	68	1	1	1	г/оFe
254	188	60	1	1	1	
255	140	62	1	1	1	Обломки
256	26	57	1	1	2	Обломки
257	95	50	1	1	1	
258	108	59	1	1	1	
259	56	77	1	1	1	
260	59	87	2	1	2	Обломки
261	127	48	1	1	1	
262	48	87	2	1	1	

263	355	39	2	1	1	
264	7	74	1	1	3	Обломки
265	52	61	1	1	1	
266	359	84	2	1	1	
267	127	65	2	1	1	
268	121	64	2	1	2	Обломки
269	118	61	2	1	1	
270	109	54	1	1	1	Эпидот
271	14	66	2	1	1	
272	264	85	1	1	1	Эпидот
273	21	64	1	1	2	Обломки
274	29	53	1	1	5	Эпидот
275	174	74	1	1	1	Эпидот
276	9	41	2	1	1	
277	61	86	1	1	2	г/оFe
278	121	71	1	1	1	
279	107	62	1	1	1	
280	62	78	2	1	1	
281	54	49	1	1	5	г/оFe
282	104	62	1	1	2	г/оFe
283	127	38	1	1	1	г/оFe
284	122	58	1	2	2	г/оFe
285	238	67	1	2	2	Обломки
286	112	50	1	1	5	г/оFe
287	113	69	1	1	2	Обломки
288	116	69	1	1	2	Обломки
289	59	77	1	1	2	г/оFe
290	123	62	1	1	3	Обломки
291	122	64	1	1	1	Эпидот
292	66	76	1	1	2	Обломки
293	245	76	1	1	2	
294	117	61	1	1	2	Обломки
295	127	64	1	1	1	
296	337	23	1	1	1	г/оFe
297	56	86	2	1	1	
298	98	5	1	1	2	г/оFe
299	122	71	1	1	1	
300	26	39	2	1	1	Эпидот

Станция 5

Зона контакта палеоокеанического и палеоконтинентального секторов. Метаморфиты ханмейшорской свиты, представленные в приконтактовой зоне очковыми амфиболитами с характерными идиоморфными зернами плагиоклаза.с вкрапленностью гранатов и пирита. В зоне контакта породы превращены в тектонические хлоритовые сланцы, за которыми обнажается протрузия серпентинитов сложного строения, включающая тела габбро разной мощности – от первых сантиметров до нескольких метров.

В рельефе правого берега р. М. Ханмей обнажение образует глубоко врезанный в берег выступ.

Замеры тращиноватости сделаны в средней части левого борта выступа.

Среди серпентинитов и габбро развиты зоны сульфидной минерализации, представленной пиритом. Местами она приобретает вид массивных скрытокристаллических и тонкозернистых руд колчеданного облика.

№№пп	Азимут падения	Угол падения	Форма	Длина	Мощность	Минеральное заполнение
1	298	73	1	1	1	Обломки
2	338	73	2	1	5	
3	286	56	2	1	1	
4	135	60	2	1	1	
5	174	49	1	1	5	
6	354	57	2	1	5	
7	9	59	2	1	1	Обломки
8	153	42	1	1	1	
9	295	16	1	1	1	Обломки
10	332	38	1	1	1	Обломки
11	354	26	1	1	1	Обломки
12	27	328	1	1	1	Обломки
13	3	42	1	1	1	
14	303	82	1	1	1	
15	345	56	1	1	2	Обломки
16	314	62	1	1	1	
17	4	67	2	1	1	
18	303	79	1	1	1	
19	308	86	1	1	2	
20	328	86	1	1	2	
21	10	58	1	1	2	г/оFe
22	114	85	1	1	5	г/оFe
23	155	40	1	1	5	г/оFe
24	19	80	1	1	2	г/оFe
25	156	68	1	1	2	г/оFe
26	148	23	1	1	1	г/оFe
27	213	88	1	2	2	г/оFe
28	151	32	1	1	5	
29	121	84	1	1	5	Обломки
30	48	52	1	1	2	
31	121	52	2	2	3	г/оFe,обломки
32	17	74	2	1	2	г/оFe
33	145	47	1	1	5	г/оFe
34	161	38	1	1	5	г/оFe
35	118	86	1	1	5	г/оFe
36	194	71	1	1	5	г/оFe
37	59	70	1	1	1	г/оFe
38	181	78	1	1	1	г/оFe
39	194	37	1	1	5	
40	191	84	1	1	2	
41	344	63	1	1	4	
42	168	40	2	1	1	
43	191	67	1	1	1	
44	195	74	1	1	1	
45	171	36	1	1	5	
46	100	69	1	1	1	
47	15	26	1	2	5	
48	23	27	1	1	2	
49	344	58	2	1	5	
50	256	51	1	1	5	
51	298	39	1	1	1	

52	344	47	1	1	1	Обломки
53	29	57	2	1	1	Обломки
54	20	74	2	1	1	Обломки,г/оFe
55	24	53	1	1	1	Обломки
56	273	77	1	1	1	
57	271	72	2	1	1	Обломки
58	0	69	2	1	1	
59	274	68	2	1	1	
60	350	75	2	1	5	Обломки
61	8	76	1	1	1	
62	44	54	1	1	5	Обломки
63	6	74	1	1	1	
64	340	79	2	1	1	
65	30	49	2	1	5	Обломки
66	287	83	1	1	1	
67	68	42	1	1	1	
68	3	85	2	1	5	Обломки
69	307	82	2	1	5	
70	328	89	1	1	1	
71	340	52	1	1	1	
72	279	77	1	1	1	Обломки
73	319	45	1	1	5	Обломки
74	12	43	1	1	5	Обломки
75	8	47	1	1	1	
76	10	52	1	1	5	
77	301	66	1	2	2	
78	41	86	1	1	2	г/оFe
79	180	81	1	1	5	г/оFe
80	244	14	1	1	5	г/оFe
81	4	66	2	1	5	г/оFe
82	214	59	1	1	1	г/оFe
83	176	75	1	1	5	
84	218	22	2	1	2	
85	119	50	1	1	5	
86	205	71	1	1	1	
87	128	36	1	1	5	
88	105	56	1	1	1	
89	118	90	2	1	5	
90	90	42	1	1	2	
91	136	22	1	1	1	
92	32	77	1	2	2	
93	300	60	2	1	5	
94	312	67	2	1	1	
95	249	54	1	1	1	
96	165	50	1	1	1	
97	299	56	1	1	1	
98	270	76	1	1	1	
99	237	75	1	1	1	г/оFe
100	326	87	1	1	1	Обломки
101	279	54	1	1	1	г/оFe
102	245	69	1	1	1	г/оFe
103	253	67	1	1	1	г/оFe
104	256	45	1	1	1	Обломки
105	256	67	2	1	1	Обломки,г/оFe
106	305	55	1	1	1	г/оFe,обломки
107	260	45	1	1	1	Обломки
108	264	70	1	1	1	

109	286	82	1	2	1	г/оFe,обломки
110	307	66	1	1	5	Обломки
111	296	80	1	1	5	Обломки
112	347	72	2	1	5	Обломки
113	5	67	1	2	5	г/оFe,обломки
114	297	75	2	2	5	Обломки
115	155	56	1	2	5	г/оFe
116	33	84	1	2	5	г/оFe
117	20	78	1	1	2	
118	164	42	1	2	5	г/оFe
119	263	62	2	1	5	
120	128	57	2	1	2	
121	30	70	1	2	1	
122	106	59	1	2	5	
123	34	80	1	2	1	
124	173	58	1	1	5	
125	126	34	1	1	5	
126	20	76	1	1	1	Обломки
127	223	50	1	1	1	
128	189	62	1	2	2	
129	165	63	1	1	1	г/оFe
130	304	79	1	1	5	
131	191	57	2	1	5	
132	181	58	1	1	1	
133	145	74	1	1	5	г/оFe
134	137	60	2	1	5	г/оFe
135	151	42	2	1	5	
136	53	69	2	1	2	Обломки
137	92	63	1	1	2	
138	79	85	2	1	1	г/оFe
139	55	71	2	1	5	Обломки
140	322	61	2	1	5	Обломки
141	303	57	1	1	1	
142	279	60	2	1	1	Обломки
143	249	53	1	1	5	Обломки
144	268	61	2	1	5	Обломки
145	327	49	1	1	1	Обломки
146	235	57	1	2	1	
147	336	74	1	1	1	г/оFe
148	106	77	2	1	1	г/оFe,обломки
149	270	53	1	1	1	Обломки
150	253	80	1	1	5	г/оFe,обломки
151	333	82	2	1	1	
152	297	89	2	1	1	г/оFe
153	71	69	1	1	5	
154	174	60	1	1	5	
155	86	88	2	2	1	
156	222	28	1	1	1	
157	160	31	1	1	5	
158	358	78	1	1	2	Обломки
159	322	72	1	1	3	Обломки
160	224	88	1	1	2	Обломки
161	178	59	1	1	2	Обломки
162	175	70	1	1	2	Обломки
163	289	31	1	1	2	Обломки
164	242	64	2	1	2	Обломки
165	172	84	1	1	2	Обломки

166	182	79	1	1	4	Обломки
167	111	59	1	1	1	г/оFe
168	273	57	1	1	1	
169	3	79	1	1	2	Обломки
170	339	70	1	1	2	
171	285	82	1	1	3	Обломки
172	177	64	1	1	3	Обломки
173	354	69	1	1	2	
174	17	63	1	1	2	Обломки
175	208	51	1	1	3	Обломки
176	145	25	1	1	2	г/оFe
177	281	81	1	2	2	Обломки
178	136	24	1	1	3	Обломки
179	350	82	1	1	2	Обломки
180	354	84	1	1	2	Обломки
181	138	36	1	1	2	Обломки
182	146	77	1	1	2	Обломки
183	68	89	1	1	3	г/оFe,эпидот
184	337	73	1	1	1	
185	146	60	1	1	2	Обломки
186	319	47	1	1	2	Обломки
187	166	37	1	1	1	
188	267	75	1	1	1	
189	283	74	1	1	1	
190	305	76	1	1	1	
191	283	74	1	1	1	
192	285	64	1	1	1	
193	264	85	2	1	1	
194	45	60	1	1	5	
195	280	81	1	1	1	г/оFe
196	346	70	1	1	1	г/оFe
197	139	43	1	1	1	г/оFe
198	260	77	1	1	1	г/оFe
199	290	80	1	1	1	г/оFe
200	15	59	2	1	2	г/оFe
201	299	54	1	2	3	г/оFe,обломки
202	291	73	1	1	1	г/оFe,роговая обманка
203	295	63	1	1	1	г/оFe
204	210	48	1	1	2	г/оFe
205	348	59	1	1	2	г/оFe
206	296	62	1	1	1	г/оFe,роговая обманка
207	190	75	2	1	2	г/оFe,обломки
208	284	51	1	1	1	г/оFe,Роговая обманка
209	110	40	1	1	5	г/оFe,роговая обманка
210	319	50	1	1	1	г/оFe,роговая обманка
211	327	71	1	1	1	
212	340	70	2	1	2	
213	335	75	1	2	3	Обломки
214	338	71	2	1	3	Обломки
215	343	70	1	1	2	
216	197	64	1	1	2	Обломки,г/оFe,Роговая обманка
217	178	66	1	1	2	г/оFe,роговая обманка
218	152	88	1	1	1	г/оFe,роговая обманка
219	128	46	1	1	1	г/оFe
220	231	61	2	1	2	г/оFe
221	261	62	1	1	2	г/оFe,обломки

222	357	81	1	1	2	г/оFe
223	82	67	1	1	1	г/оFe,обломки
224	166	51	1	1	1	г/оFe
225	168	36	1	1	2	г/оFe
226	148	66	1	1	1	г/оFe,обломки
227	173	73	1	1	1	г/оFe,роговая обманка
228	74	53	1	1	2	г/оFe,
229	127	53	1	1	5	Эпидот
230	284	36	1	1	2	Обломки
231	29	44	1	1	2	г/оFe,Роговая обманка
232	231	77	1	2	2	г/оFe,роговая обманка
233	300	78	1	1	1	г/оFe
234	279	74	1	1	1	
235	174	38	1	1	1	г/оFe
236	182	53	1	1	1	г/оFe,роговая обманка
237	244	74	1	1	2	г/оFe
238	92	31	1	1	1	г/оFe,роговая обманка
239	246	73	1	1	2	
240	168	72	1	1	2	г/оFe,роговая обманка
241	174	47	1	1	2	Роговая обманка
242	269	69	1	1	2	Роговая обманка
243	174	69	1	1	3	г/оFe,роговая обманка
244	251	58	1	1	2	Обломки
245	81	60	1	1	5	
246	182	42	1	1	1	
247	243	75	1	1	1	
248	290	84	1	2	1	
249	129	81	1	2	2	
250	350	52	1	1	1	г/оFe
251	278	65	1	1	1	Роговая обманка
252	109	55	1	1	1	г/оFe
253	297	76	1	1	2	Роговая обманка
254	295	68	1	1	1	г/оFe
255	106	85	2	1	5	г/оFe
256	158	37	1	1	2	г/оFe
257	39	79	2	1	2	Роговая обманка
258	54	74	1	1	2	Роговая обманка
259	309	70	1	1	3	Роговая обманка
260	151	42	1	1	2	г/оFe
261	258	44	1	1	2	Роговая обманка
262	45	69	1	1	1	г/оFe
263	276	59	1	1	1	г/оFe
264	67	81	1	1	1	Роговая обманка
265	76	71	1	1	1	г/оFe
266	80	69	1	1	1	Роговая обманка
267	79	80	1	1	1	г/оFe
268	284	68	1	1	1	
269	256	79	1	1	2	г/оFe
270	239	71	2	1	1	Роговая обманка
271	100	74	1	1	1	
272	295	76	1	1	2	г/оFe
273	129	76	1	1	1	г/оFe
274	41	67	1	1	1	
275	180	39	1	1	5	г/оFe
276	200	46	1	1	1	г/оFe
277	260	50	1	1	1	г/оFe
278	251	49	2	1	1	г/оFe

279	319	52	2	1	2	г/оFe
280	327	46	1	1	1	Обломки
281	336	17	1	1	1	г/оFe
282	328	89	2	1	1	г/оFe,обломки
283	48	70	1	1	1	г/оFe
284	346	47	1	1	1	г/оFe
285	269	80	1	1	1	Обломки
286	297	86	1	1	1	г/оFe
287	301	42	2	1	5	Обломки
288	247	41	1	1	1	Обломки
289	12	63	2	1	5	Обломки
290	284	23	2	1	1	Обломки
291	280	47	2	1	5	Обломки
292	276	62	2	1	5	
293	303	51	1	1	5	Обломки
294	276	80	1	1	5	Обломки
295	313	55	1	1	5	Обломки
296	240	74	2	1	1	г/оFe
297	229	87	2	1	1	
298	310	85	2	1	5	Обломки
299	311	84	2	1	5	
300	345	40	1	1	1	

Станция 6

В приконтактовой зоне палеоокеанического сектора субмеридиональный разлом, по которому протекает р. М. Ханмей, разделяет габбро конгорского комплекса с амфиболитами ханмейхойской свиты.

Породы интенсивно рассланцованы, элементы залегания сланцеватости аз. падения 100, угол 67.

Амфиболиты залегают в переслаивании с кварцитогнейсами, мощность которых от первых сантиметров до десятков сантиметров.

Согласно рассланцеванию располагается кварцевые и кварц-полевошпатовые жилы мощностью до 10-15 см, как правило, невыдержанной мощности, разбудинированные.

№№пп	Азимут падения	Угол падения	Форма	Длина	Мощность	Минеральные заполнения
1	104	66	1	1	4	Обломки
2	86	37	1	1	5	г/оFe
3	107	67	2	2	3	г/оFe
4	181	29	1	1	5	
5	125	41	1	1	2	
6	176	31	1	1	5	г/оFe
7	100	59	1	2	4	г/оFe,кварц
8	66	14	1	1	5	г/оFe
9	162	34	1	1	5	г/оFe
10	94	62	1	1	1	г/оFe
11	193	1	1	1	5	г/оFe
12	0	41	2	1	1	г/оFe
13	5	47	2	1	5	
14	114	67	2	1	2	Обломки,г/оFe
15	354	41	1	1	5	г/оFe
16	350	49	2	1	5	

17	349	24	2	1	5	
18	4	51	2	1	2	Обломки
19	114	69	2	1	5	г/оFe
20	125	42	2	1	1	Обломки,г/оFe
21	273	24	1	1	1	г/оFe
22	110	69	2	1	5	
23	49	14	1	2	5	г/оFe
24	200	16	1	1	1	г/оFe
25	3	46	2	2	3	Обломки,г/оFe
26	141	69	1	2	2	Обломки
27	113	69	2	2	5	Обломки,г/оFe
28	5	24	2	1	2	г/оFe
29	125	41	1	1	2	Обломки,г/оFe
30	0	54	2	1	5	г/оFe
31	105	71	2	2	1	Обломки,г/оFe
32	136	47	1	1	2	Обломки
33	176	47	1	2	4	Обломки
34	213	60	1	1	4	Обломки
35	354	26	2	2	5	
36	106	70	2	2	4	Обломки
37	285	28	1	1	5	Обломки,г/оFe
38	98	56	1	2	3	Обломки
39	104	64	1	2	1	г/оFe
40	285	84	1	2	1	г/оFe
41	282	89	1	1	4	Обломки,г/оFe
42	106	69	1	2	4	Обломки,г/оFe
43	226	64	1	1	5	г/оFe
44	93	77	1	1	1	г/оFe
45	109	68	1	2	1	г/оFe
46	4	32	1	1	5	г/оFe
47	319	3	1	1	5	г/оFe
48	96	63	1	1	3	Кварц,г/оFe
49	24	84	1	1	2	Обломки
50	109	62	1	1	4	Обломки
51	117	62	1	1	1	
52	113	67	2	2	2	Обломки
53	356	49	1	1	1	
54	358	24	1	2	1	г/оFe,кварц
55	299	66	1	1	1	
56	12	24	1	1	1	
57	0	23	2	1	1	
58	34	74	1	1	5	
59	101	73	1	2	4	Кварц
60	18	78	1	1	5	г/оFe
61	200	22	1	1	3	Обломки,г/оFe
62	337	38	1	1	5	г/оFe
63	216	66	1	1	1	г/оFe
64	185	36	1	1	1	
65	96	74	1	1	5	
66	112	62	1	1	2	г/оFe
67	141	64	1	1	4	Обломки
68	108	66	1	1	1	г/оFe
69	114	64	2	1	3	Кварц,г/оFe
70	4	37	2	2	2	Обломки
71	271	84	1	1	2	Кварц,г/оFe
72	107	66	1	1	1	Кварц,г/оFe
73	116	64	2	1	3	г/оFe

74	121	65	1	1	4	Кварц,г/оFe
75	1	14	1	2	5	г/оFe
76	126	55	1	2	4	г/оFe,Обломки
77	359	54	2	1	1	Обломки
78	352	64	1	1	2	Обломки
79	257	53	1	1	5	
80	336	66	1	1	5	Обломки
81	349	68	1	1	5	г/оFe
82	258	67	1	1	5	г/оFe,
83	241	34	1	1	5	
84	111	67	1	2	2	г/оFe,Обломки
85	5	66	2	1	2	г/оFe,Обломки
86	241	62	1	1	5	
87	113	66	2	1	1	
88	356	50	1	1	5	г/оFe
89	3	35	1	1	5	
90	143	68	1	1	1	
91	204	70	2	1	5	г/оFe
92	107	68	2	1	1	г/оFe
93	352	36	1	1	1	г/оFe
94	100	69	1	2	1	
95	329	43	2	1	1	г/оFe,Обломки
96	0	67	1	1	5	г/оFe
97	1	31	1	1	5	
98	237	35	2	1	1	
99	113	66	1	2	2	Обломки
100	296	54	1	1	3	г/оFe
101	1	74	1	1	5	г/оFe
102	281	18	1	1	5	г/оFe
103	117	75	1	1	2	г/оFe,Обломки
104	345	62	1	1	5	г/оFe
105	357	24	1	1	5	
106	191	70	1	1	1	Обломки
107	333	69	1	1	5	г/оFe
108	106	69	1	2	1	г/оFe
109	105	65	1	1	5	г/оFe
110	356	69	2	1	2	Обломки
111	113	61	1	2	2	г/оFe
112	105	74	1	2	2	Обломки
113	102	73	1	1	1	Обломки
114	14	85	1	2	3	г/оFe
115	15	86	1	1	2	Обломки,г/оFe
116	195	81	1	2	4	Обломки
117	201	32	1	1	5	
118	113	68	1	2	3	Кварц
119	109	66	1	1	2	
120	125	27	1	1	5	
121	182	71	1	1	5	г/оFe
122	216	46	1	1	2	г/оFe
123	119	68	1	1	2	г/оFe
124	261	41	1	1	2	Обломки
125	117	59	2	2	2	Обломки
126	114	58	1	1	3	Обломки
127	108	71	1	1	4	Кварц
128	23	64	1	1	5	
129	2	59	1	1	2	Обломки
130	108	66	1	2	2	Обломки,г/оFe

131	110	67	1	1	1	г/оFe
132	117	63	2	2	3	Обломки
133	103	75	2	1	2	Обломки
134	213	67	2	1	1	
135	207	86	2	1	2	г/оFe
136	169	72	1	1	3	г/оFe
137	356	35	1	1	5	г/оFe
138	164	61	1	1	1	г/оFe
139	45	77	1	1	2	Обломки
140	2	26	1	1	2	
141	19	68	1	1	2	Обломки,г/оFe
142	118	53	1	2	2	Кварц
143	110	64	1	2	3	Обломки
144	112	57	1	1	1	
145	207	58	1	1	1	г/оFe
146	137	51	1	1	2	г/оFe
147	103	52	1	2	2	Обломки
148	96	48	1	2	4	г/оFe,кварц
149	111	62	1	1	5	г/оFe
150	5	18	1	1	5	г/оFe
151	319	74	1	1	1	г/оFe
152	3	64	1	1	5	
153	231	65	1	1	1	г/оFe
154	282	76	1	1	1	г/оFe
155	3	59	1	1	1	Обломки
156	268	19	1	1	1	г/оFe
157	3	63	2	1	1	
158	121	22	1	1	5	
159	220	64	1	1	5	г/оFe
160	126	53	1	2	3	
161	121	63	1	2	1	г/оFe,Обломки
162	8	66	1	1	1	г/оFe,Обломки
163	41	41	1	1	5	г/оFe
164	116	60	1	2	1	г/оFe,Обломки
165	6	67	1	1	2	г/оFe,Обломки
166	214	74	1	1	2	Обломки
167	118	60	2	2	1	Обломки
168	297	52	1	1	5	г/оFe
169	45	83	1	1	5	
170	116	59	2	1	2	г/оFe,Обломки
171	171	28	1	1	5	г/оFe
172	281	11	1	1	5	г/оFe
173	114	80	1	1	1	г/оFe
174	0	72	1	1	5	
175	245	23	1	1	1	г/оFe
176	41	80	1	2	3	г/оFe,Обломки
177	114	47	1	2	4	Обломки,кварц
178	5	49	1	2	5	
179	110	66	1	2	2	г/оFe
180	348	87	1	2	2	Обломки
181	110	61	1	1	1	
182	344	79	2	1	1	г/оFe
183	8	61	1	1	5	г/оFe
184	347	74	2	1	5	г/оFe
185	112	60	1	2	1	г/оFe
186	151	58	1	1	2	Обломки
187	112	59	1	2	3	г/оFe,кварц

188	104	71	1	2	2	Обломки
189	171	56	1	1	2	г/оFe
190	117	74	1	1	2	Обломки,г/оFe
191	144	62	1	1	2	Обломки
192	8	81	1	1	2	Обломки
193	184	65	1	1	1	г/оFe
194	102	72	1	1	2	Обломки
195	238	25	1	1	1	г/оFe
196	119	64	1	2	2	Обломки
197	122	61	1	2	4	
198	210	26	1	1	1	
199	202	69	1	1	2	Обломки
200	10	66	1	1	3	Обломки
201	4	72	1	1	1	Обломки
202	104	67	1	2	2	Обломки
203	121	48	1	1	4	Кварц,г/оFe,кпш
204	12	46	2	1	1	
205	203	81	2	1	1	г/оFe
206	197	42	1	1	2	Обломки
207	204	83	2	1	2	
208	199	82	1	1	2	Обломки
209	14	76	1	1	2	Обломки
210	291	48	1	1	1	г/оFe
211	294	59	1	1	2	Обломки
212	9	53	1	1	2	Обломки
213	201	84	1	1	2	Обломки,г/оFe
214	116	69	1	1	1	Обломки
215	153	74	1	1	2	Обломки
216	164	41	1	2	2	Обломки
217	203	74	1	1	5	г/оFe
218	124	75	1	1	4	Кварц,кпш
219	143	33	1	1	2	Обломки
220	189	81	1	1	3	Обломки
221	147	16	1	2	3	Обломки
222	14	84	2	1	2	Обломки
223	15	24	1	2	2	г/оFe
224	199	63	1	1	2	г/оFe
225	110	59	2	1	2	Обломки
226	359	81	1	1	1	г/оFe,Обломки
227	110	59	1	1	2	Обломки
228	155	18	1	1	5	г/оFe
229	115	43	1	1	1	
230	22	76	1	1	5	г/оFe
231	197	6	1	1	2	
232	112	64	1	2	3	г/оFe,Обломки
233	19	11	1	1	5	г/оFe
234	326	29	1	1	5	г/оFe
235	8	23	1	1	5	
236	111	66	1	1	1	
237	17	86	1	1	3	г/оFe
238	12	18	1	1	5	
239	115	59	2	1	1	г/оFe,Обломки
240	11	81	1	1	1	г/оFe
241	201	72	1	1	1	
242	206	62	1	1	1	г/оFe
243	128	64	2	1	1	г/оFe
244	122	58	1	1	1	г/оFe

245	18	77	2	1	2	г/оFe
246	198	20	1	1	1	
247	176	12	1	1	5	г/оFe
248	113	61	1	1	2	г/оFe,Обломки
249	215	72	1	1	1	г/оFe
250	21	65	1	1	5	
251	225	38	1	1	2	Обломки
252	212	41	1	1	1	
253	109	65	2	1	1	г/оFe,Обломки
254	202	82	1	1	1	г/оFe,Обломки
255	24	67	1	2	1	Обломки
256	127	55	1	1	2	г/оFe,Обломки
257	216	82	1	1	5	
258	3	28	1	1	1	Обломки
259	23	75	2	1	1	г/оFe
260	289	80	1	2	4	Кварц
261	110	79	1	2	4	г/оFe,кварц
262	117	48	1	2	4	г/оFe,кварц
263	116	47	2	1	1	Кварц,кпш
264	206	60	1	1	2	
265	142	60	1	1	2	Обломки
266	201	69	1	1	2	Обломки
267	78	79	2	1	1	Обломки
268	215	68	1	2	5	
269	118	69	1	1	1	г/оFe
270	212	77	1	1	5	Обломки
271	73	22	1	1	1	г/оFe
272	224	51	1	1	5	
273	115	5	1	2	4	г/оFe
274	105	64	1	2	4	Кварц
275	96	71	1	1	3	Кварц
276	113	76	1	1	4	Кварц
277	38	79	1	1	2	
278	189	61	1	1	1	
279	116	57	1	2	4	Кварц
280	193	32	1	2	1	
281	349	20	2	2	4	Обломки
282	116	68	1	1	2	Обломки
283	348	41	2	2	2	Обломки
284	94	40	1	1	2	Обломки
285	106	46	1	2	4	Кварц
286	334	34	2	2	2	Обломки
287	16	84	1	1	1	
288	32	72	1	1	1	
289	113	71	2	2	2	Обломки
290	167	82	1	1	2	Обломки
291	14	79	1	1	2	Обломки
292	341	36	2	2	3	Обломки
293	202	44	1	1	2	Обломки
294	111	69	1	1	2	Обломки
295	322	34	2	2	1	Обломки
296	212	61	1	1	2	Обломки

Станция 7

Левобережье р. М. Ханмей, вершина с отметкой 334,0 м.

На вершине обнажается ряд разрозненных коренных выходов серпентинизированных гарцбургитов. Отдельные выходы имеют размеры до первых метров как в длину, так и в ширину и высоту, и располагаются в непосредственной близости друг от друга.

Породы интенсивно рассланцованы. Элементы залегания сланцеватости: азимут падения 140-150, угол падения 75-85.

Перидотиты слагают г. Няровеча и прилегающие к ней площади и относятся к конгорскому комплексу.

№№пп	Азимут падения	Угол падения	Форма	Длина	Мощность	Минеральные заполнения
1	173	12	1	1	3	
2	8	59	1	2	1	Обломки
3	231	73	1	1	3	
4	261	33	1	1	1	
5	286	76	1	2	1	Обломки
6	253	61	1	1	1	
7	238	8	1	1	2	
8	257	34	1	1	1	
9	47	71	1	1	1	
10	27	87	1	2	2	
11	128	49	1	1	2	
12	156	69	1	1	4	Обломки
13	6	78	1	1	1	
14	129	42	1	1	1	
15	293	79	1	2	4	Обломки
16	301	59	1	1	1	
17	104	58	1	1	1	
18	37	26	1	1	5	г/оFe
19	33	41	1	1	2	г/оFe
20	5	34	1	1	1	г/оFe
21	346	39	1	1	4	Обломки
22	332	51	1	1	1	г/оFe
23	313	61	1	1	5	
24	4	18	1	1	1	
25	317	34	1	1	1	
26	29	24	1	1	5	
27	18	26	1	1	2	Обломки
28	24	26	1	1	2	Обломки
29	312	59	1	1	2	Обломки
30	306	63	1	1	3	Обломки
31	20	14	1	1	5	Обломки
32	311	52	1	1	1	
33	31	13	1	2	1	
34	162	84	1	1	5	
35	33	23	1	2	2	
36	97	38	1	1	1	
37	114	9	1	1	1	
38	137	39	1	1	1	
39	54	17	1	2	1	
40	3	66	1	2	4	Обломки

41	39	86	1	1	1	Обломки
42	74	62	1	1	2	Обломки
43	111	48	1	1	1	
44	119	52	1	1	1	
45	157	59	1	2	3	Обломки
46	144	43	1	1	1	
47	99	61	1	1	1	
48	162	66	1	1	2	
49	158	53	1	2	2	Обломки
50	127	65	1	1	1	
51	123	42	1	1	2	
52	163	26	1	1	2	
53	203	19	1	2	4	Обломки
54	213	29	1	2	3	
55	187	53	1	1	1	
56	273	58	1	1	1	
57	103	48	1	1	1	
58	202	14	1	1	2	
59	243	72	1	1	3	Обломки
60	346	41	1	2	1	
61	276	29	1	1	1	
62	139	27	1	1	2	
63	126	41	1	1	1	
64	312	49	1	1	1	
65	347	66	1	1	2	
66	316	43	1	1	1	Обломки
67	182	64	1	1	1	
68	244	21	1	1	1	
69	315	63	1	1	1	
70	187	83	1	1	2	
71	301	49	1	1	1	
72	322	36	1	1	1	
73	293	32	1	1	1	
74	326	37	1	1	2	
75	301	54	1	1	2	Обломки
76	345	63	1	1	2	
77	73	53	1	1	5	
78	34	21	1	1	1	
79	240	34	1	1	2	Обломки
80	346	53	1	1	5	
81	4	41	1	1	3	Обломки
82	293	61	1	1	1	
83	342	52	1	1	5	
84	79	24	1	1	1	
85	319	64	1	1	1	
86	337	57	1	1	1	
87	144	85	1	1	4	Обломки
88	127	34	1	1	2	Обломки
89	152	74	1	1	1	
90	130	27	1	1	2	
91	128	59	1	1	1	
92	140	51	1	1	1	
93	343	49	1	1	4	Обломки
94	134	69	1	1	3	Обломки
95	343	58	1	1	1	
96	82	88	1	1	1	
97	209	75	1	1	5	

98	63	77	1	1	5	
99	7	73	1	1	1	
100	149	48	1	1	2	
101	140	57	1	1	1	
102	44	64	1	1	5	
103	147	36	1	1	1	
104	22	24	1	1	1	г/оFe
105	159	25	1	1	1	Обломки
106	153	63	1	1	2	
107	228	33	1	1	5	
108	138	43	1	1	2	г/оFe
109	145	46	1	1	5	
110	173	48	1	1	2	Обломки
111	160	74	1	1	1	
112	136	49	1	1	1	
113	88	73	1	1	1	
114	95	31	1	1	1	
115	123	56	1	1	1	Обломки
116	156	42	1	1	1	Обломки
117	163	67	1	1	1	Обломки
118	171	40	1	1	1	Обломки
119	175	52	1	1	1	
120	129	54	1	1	1	Обломки
121	161	51	1	1	1	
122	189	44	1	1	1	Обломки
123	176	33	1	1	1	Обломки
124	166	54	1	1	2	Обломки
125	166	71	1	1	1	
126	292	49	1	1	2	
127	223	77	1	1	2	
128	133	64	1	1	1	
129	149	47	1	1	1	
130	201	75	1	1	1	Обломки
131	112	54	1	1	1	Обломки
132	203	37	1	1	1	
133	292	69	1	1	1	
134	164	87	1	1	1	
135	334	74	1	1	1	
136	162	44	1	1	1	
137	325	27	1	1	2	Обломки
138	203	43	1	1	1	
139	149	47	1	1	1	
140	167	29	1	1	2	
141	115	10	1	1	1	
142	172	17	1	1	1	г/оFe
143	157	19	1	1	2	Обломки
144	164	45	1	1	5	
145	183	27	1	1	2	
146	29	43	1	1	2	
147	79	26	1	1	1	г/оFe
148	112	33	1	1	1	г/оFe
149	147	21	1	1	1	Обломки
150	99	36	1	1	1	
151	73	32	1	1	1	
152	49	22	1	1	1	
153	231	71	2	1	1	
154	225	64	1	1	1	

155	218	66	1	1	1	
156	254	78	1	1	1	
157	216	76	1	1	1	Обломки
158	218	71	1	1	1	
159	279	64	1	1	1	
160	260	64	1	1	5	
161	255	62	1	1	1	
162	296	44	1	1	5	
163	337	69	2	1	2	Обломки
164	216	74	1	2	1	
165	12	81	1	1	1	Обломки
166	19	79	1	1	1	
167	340	64	1	1	2	Обломки
168	299	48	1	1	2	
169	93	66	1	1	1	
170	214	53	1	1	5	
171	298	48	1	1	5	
172	93	58	1	1	1	
173	344	82	1	1	1	
174	326	72	1	1	1	
175	309	61	1	1	1	
176	315	65	1	1	1	
177	319	73	1	1	1	
178	2	40	1	1	1	Обломки
179	236	61	1	1	1	
180	274	74	1	1	2	Обломки
181	255	67	1	1	1	Обломки
182	345	81	1	1	1	
183	329	86	1	1	1	
184	246	51	1	1	1	
185	334	74	1	1	1	
186	323	52	1	1	2	Обломки
187	333	76	1	1	1	
188	48	26	1	2	4	
189	276	56	1	1	3	Обломки
190	116	56	1	1	3	Обломки
191	195	33	1	1	2	Обломки
192	89	51	1	1	1	
193	87	54	1	1	1	
194	161	22	1	1	1	Обломки
195	113	36	1	1	1	
196	128	53	1	1	1	
197	126	24	1	1	1	
198	176	64	1	1	1	
199	243	11	1	1	2	
200	146	84	1	1	5	
201	149	58	1	1	1	Обломки
202	164	48	1	1	1	
203	177	38	1	1	5	
204	156	35	1	1	1	
205	173	38	1	1	2	г/оFe
206	184	48	1	1	5	
207	192	43	1	1	2	
208	171	17	1	1	5	
209	93	54	1	1	1	
210	167	56	1	1	1	
211	196	49	1	1	5	

212	129	56	1	1	5	
213	182	47	1	1	1	
214	69	26	1	1	1	
215	73	36	1	1	1	
216	97	56	1	1	5	
217	113	7	1	1	5	
218	127	58	1	1	5	
219	146	38	1	1	1	
220	76	14	1	1	1	
221	147	54	1	1	5	
222	315	78	1	1	5	
223	164	13	1	1	1	
224	276	3	1	1	1	
225	218	432	1	1	5	
226	233	26	1	1	5	
227	296	3	1	1	3	г/оFe
228	192	12	1	1	1	
229	8	34	1	1	1	
230	39	31	1	1	1	
231	307	49	1	2	2	
232	267	36	1	1	5	
233	349	74	1	2	5	г/оFe
234	356	51	1	1	2	Обломки
235	267	66	1	1	1	
236	255	52	1	1	1	Обломки
237	51	38	1	2	3	Обломки
238	53	31	1	2	4	
239	47	34	1	1	1	
240	119	87	1	1	1	
241	131	59	1	1	1	
242	319	51	1	1	1	
243	14	33	1	1	1	г/оFe
244	24	37	1	2	1	Обломки
245	21	32	1	1	2	Обломки
246	353	51	1	1	1	
247	142	34	1	1	5	
248	100	3	1	1	1	
249	129	31	1	1	5	
250	355	56	1	2	4	Обломки
251	359	68	1	2	1	
252	342	86	1	2	3	Обломки
253	338	88	1	1	3	Обломки
254	109	3	1	1	1	
255	312	12	1	1	1	
256	5	16	1	1	1	г/оFe
257	354	70	1	2	2	Обломки
258	216	76	1	1	1	
259	74	14	1	1	1	
260	298	38	1	1	2	Обломки
261	2	44	1	1	1	г/оFe
262	23	25	1	1	4	Обломки
263	216	27	1	1	1	
264	318	46	1	2	1	
265	114	21	1	1	3	г/оFe
266	215	46	1	1	2	Обломки
267	276	52	1	1	5	
268	310	61	1	1	5	

269	79	27	1	1	1	
270	74	56	1	1	2	
271	112	67	1	1	5	
272	215	61	1	1	1	
273	194	82	1	1	1	
274	211	60	1	1	5	
275	262	67	1	1	5	
276	211	58	1	1	5	
277	303	44	1	1	1	
278	148	67	1	1	1	
279	262	72	1	1	1	
280	206	21	1	1	1	
281	224	12	1	1	1	
282	146	58	1	1	1	
283	103	62	1	1	1	
284	192	43	1	1	5	
285	189	10	1	1	1	
286	163	67	1	1	2	
287	142	42	1	1	1	г/оFe
288	121	36	1	1	1	
289	136	49	1	1	5	
290	141	51	1	1	1	
291	234	41	1	1	1	
292	311	32	1	1	2	
293	203	75	1	1	1	
294	136	43	1	1	1	
295	134	45	1	1	1	г/оFe
296	172	15	1	1	1	
297	172	8	1	1	1	
298	138	24	1	1	2	
299	96	13	1	1	2	
300	73	26	1	1	1	г/оFe

Станция 8

160 м от слияния реки Малый Ханмей и ручья Евъюган вниз по левому берегу реки Малый Ханмей ,напротив Евъюганского проявления, расположенного нп противоположном берегу.

Крупный коренной скальный выход амфиболитов, в коренных выделяется несколько зон интенсивно ожелезненнйх пород мощности до 20 см, однако видимой рудной минерализации не установлено.

Элементы залегания сланцеватости: Азимут падения 153,угол падения 61.

№№ПП	Азимут падения	Угол падения	Форма	Длина	Мощность	Минеральные заполнения
1	126	41	1	1	5	
2	133	44	1	1	2	
3	69	57	1	1	1	
4	106	8	1	1	1	
5	128	71	1	1	5	г/оFe
6	172	28	1	1	1	г/оFe
7	123	84	1	1	1	г/оFe
8	106	49	1	1	2	
9	117	44	1	1	1	г/оFe

10	76	5	1	1	2	Обломки
11	113	63	1	1	1	
12	145	54	1	1	5	
13	94	22	1	1	2	Обломки
14	315	36	1	1	5	
15	213	17	1	1	1	
16	72	36	1	1	1	Обломки
17	129	74	1	1	1	Обломки
18	24	38	1	1	5	г/оFe
19	96	64	1	1	1	
20	82	31	1	1	2	Обломки
21	63	44	1	1	2	г/оFe
22	58	39	1	1	3	г/оFe
23	96	66	1	1	1	
24	91	57	1	1	1	
25	57	41	1	1	3	г/оFe
26	112	67	1	1	2	
27	73	4	1	1	2	
28	69	8	1	1	1	г/оFe
29	132	77	1	1	5	
30	78	53	1	1	1	г/оFe
31	87	44	1	1	5	
32	73	47	1	1	1	г/оFe
33	76	72	1	1	2	г/оFe
34	59	47	1	1	2	
35	64	58	1	1	3	г/оFe
36	52	47	1	1	1	
37	112	3	1	1	3	г/оFe
38	224	69	1	1	2	Обломки
39	108	45	1	1	2	Обломки
40	114	54	2	2	2	Обломки
41	120	34	2	2	2	Обломки
42	144	58	2	2	1	
43	335	81	1	1	2	г/оFe
44	121	66	1	1	2	г/оFe
45	18	66	1	1	2	Обломки
46	254	69	1	1	1	
47	247	69	2	1	1	
48	4	76	1	1	2	
49	134	37	1	1	2	Обломки
50	348	74	2	1	2	Обломки
51	155	76	1	1	2	Обломки
52	75	34	1	1	4	Обломки,Кварц
53	87	47	1	1	4	Обломки,Кварц
54	323	69	1	1	2	Обломки,Кварц
55	338	74	1	1	2	Обломки
56	279	26	1	1	1	
57	198	69	2	1	3	Обломки
58	297	37	1	1	1	

59	154	59	2	2	2	Обломки
60	323	58	1	1	3	г/оFe,Обломки
61	28	34	2	1	1	
62	126	61	1	1	1	
63	173	54	1	1	3	Обломки
64	154	49	1	1	1	
65	282	66	1	1	2	
66	69	26	1	1	2	Обломки
67	313	28	1	1	2	Обломки
68	233	66	1	1	2	Обломки
69	152	39	1	1	1	Обломки
70	306	61	1	1	3	Обломки
71	182	64	1	1	2	г/оFe
72	317	68	1	1	4	кварц
73	29	56	1	1	2	Обломки
74	132	56	1	1	2	Обломки
75	172	31	1	1	5	
76	136	19	1	2	2	г/оFe
77	131	57	1	1	1	
78	104	51	1	2	1	
79	128	43	1	1	3	Обломки
80	68	82	1	1	2	г/оFe
81	72	84	1	1	2	
82	215	56	1	1	5	
83	242	23	1	1	2	
84	115	24	1	1	2	г/оFe
85	74	58	1	2	2	
86	119	16	1	1	5	
87	83	69	1	1	3	г/оFe
88	116	56	1	1	5	г/оFe
89	187	62	1	1	2	г/оFe
90	118	33	1	2	5	
91	108	14	1	1	1	
92	129	28	1	1	1	
93	86	72	1	1	5	г/оFe
94	74	86	1	1	5	
95	133	74	1	1	5	
96	137	6	1	2	1	г/оFe
97	146	74	1	2	5	г/оFe
98	137	42	1	1	2	г/оFe
99	62	54	1	2	5	г/оFe
100	98	6	1	1	3	г/оFe
101	79	86	1	1	3	г/оFe
102	206	87	1	2	1	г/оFe
103	105	13	1	1	2	г/оFe
104	137	42	1	1	2	Обломки
105	143	9	1	1	1	г/оFe
106	223	12	1	1	2	г/оFe
107	82	43	1	1	2	г/оFe

108	46	81	1	2	5	
109	146	19	1	1	2	Обломки
110	206	4	1	1	3	
111	193	64	1	1	5	г/оFe
112	219	67	1	1	2	Обломки
113	236	74	1	1	2	Обломки
114	113	57	1	1	1	
115	38	33	1	1	1	
116	47	64	1	1	2	Обломки
117	105	56	1	1	1	
118	103	46	1	1	1	
119	49	44	1	1	1	г/оFe
120	113	74	1	1	2	Обломки
121	235	48	1	1	1	
122	127	48	1	1	1	
123	261	65	1	1	2	Обломки
124	112	76	1	1	1	
125	91	64	1	1	1	
126	114	72	1	1	2	Обломки
127	241	63	1	1	1	
128	117	51	1	1	2	Обломки
129	23	40	1	1	2	г/оFe,Обломки
130	157	50	1	1	2	Обломки
131	108	61	1	1	1	Обломки
132	87	61	1	1	2	Обломки
133	74	22	1	1	2	Обломки
134	48	46	1	1	2	Обломки
135	187	44	1	1	1	
136	22	8	1	1	2	Обломки
137	219	78	1	1	1	
138	282	46	1	1	2	Обломки
139	58	79	1	1	1	
140	224	81	1	1	1	
141	330	70	1	2	2	Обломки
142	86	76	1	1	2	Обломки
143	242	43	1	1	2	Обломки
144	214	59	1	1	2	Обломки
145	194	71	1	2	4	Обломки
146	161	53	1	2	2	Обломки
147	25	29	1	2	4	Обломки
148	44	50	1	1	3	Обломки
149	56	73	1	2	1	кварц
150	183	46	1	1	5	кварц
151	148	33	1	1	1	
152	214	31	1	1	5	г/оFe,Кварц
153	257	10	1	1	2	
154	178	68	1	1	1	
155	98	52	1	1	5	
156	244	83	1	1	1	

157	237	4	1	1	1	кварц
158	159	68	1	1	1	
159	249	43	1	2	5	кварц
160	184	49	1	1	1	
161	274	47	1	2	1	
162	208	83	1	2	1	
163	232	15	1	1	2	
164	237	38	1	2	1	
165	183	46	1	1	2	
166	173	59	1	2	2	кварц
167	283	4	1	1	2	Обломки
168	259	16	1	1	3	
169	246	23	1	1	5	
170	192	73	1	2	2	г/оFe,Кварц
171	183	51	1	1	2	
172	125	47	1	1	5	
173	213	84	1	2	5	
174	153	37	1	1	1	г/оFe
175	122	5	1	1	1	
176	202	32	1	1	5	
177	188	62	1	1	2	Обломки
178	113	71	1	1	2	г/оFe,Обломки
179	196	14	1	1	5	
180	204	76	1	1	1	
181	216	78	1	1	1	г/оFe,Кварц
182	214	4	1	1	2	кварц
183	223	26	1	1	2	
184	148	64	1	1	2	кварц
185	243	76	1	1	2	Обломки,Кварц
186	210	81	1	2	3	Обломки
187	128	57	1	1	1	
188	312	38	1	2	1	
189	32	41	1	1	1	
190	304	38	1	2	3	Обломки
191	298	46	1	1	1	
192	299	51	1	1	1	
193	45	61	1	1	4	Обломки
194	300	49	1	1	1	
195	219	72	1	2	1	
196	52	8	1	1	1	
197	193	33	1	1	1	
198	218	81	1	2	4	Обломки,кпш
199	204	72	1	1	2	Обломки,кпш,г/оFe
200	28	47	1	1	3	Обломки
201	62	77	1	1	1	
202	155	56	1	1	3	Обломки
203	308	28	1	1	3	кпш,Кварц
204	33	7	1	1	2	Обломки
205	228	76	1	1	2	Обломки

206	217	74	1	1	2	Обломки
207	63	77	1	1	1	
208	216	43	1	1	2	Обломки
209	196	42	1	1	2	Обломки
210	246	51	1	1	1	
211	232	67	1	1	2	Обломки
212	234	54	1	1	2	Обломки
213	139	17	1	1	4	Обломки
214	230	72	1	1	4	Обломки
215	231	82	1	1	2	Обломки
216	222	59	1	1	4	Обломки
217	221	47	1	1	3	Обломки
218	211	48	1	1	1	
219	264	72	1	1	1	
220	272	67	1	1	2	Обломки
221	251	29	1	1	1	
222	242	68	1	1	2	Обломки
223	216	41	1	1	1	
224	191	54	1	1	2	Обломки
225	79	12	1	2	5	
226	143	56	1	1	2	Обломки
227	76	82	1	1	1	
228	138	17	1	1	3	Обломки
229	118	81	1	1	2	г/оFe,Обломки
230	86	35	1	1	3	г/оFe,Обломки
231	132	44	1	1	1	
232	154	83	1	1	1	
233	132	66	1	1	2	Обломки
234	203	62	1	1	1	
235	152	31	1	1	2	Обломки
236	87	86	1	2	2	кварц
237	156	11	1	1	1	
238	214	63	1	1	2	Обломки
239	87	66	1	1	3	Обломки
240	94	78	1	1	1	
241	98	77	1	1	1	
242	152	22	1	1	1	
243	107	82	1	1	5	
244	87	66	1	1	2	г/оFe,Обломки
245	179	76	1	1	2	Обломки
246	134	87	1	1	1	
247	106	54	1	1	2	Обломки
248	78	57	1	1	1	
249	142	39	1	1	2	Обломки
250	186	76	1	1	1	
251	187	49	1	1	2	г/оFe,Обломки
252	69	32	1	1	1	
253	72	26	1	1	2	Обломки
254	86	33	1	1	1	

255	52	14	1	1	1	
256	97	9	1	1	2	Обломки
257	73	26	1	1	1	
258	56	7	1	1	1	
259	32	3	1	1	2	Обломки
260	24	29	1	1	5	
261	297	62	1	1	1	г/оFe
262	292	59	1	1	1	г/оFe
263	351	76	2	1	2	г/оFe
264	304	79	1	1	1	
265	279	84	1	1	2	Обломки
266	353	31	1	1	1	г/оFe
267	10	20	1	1	1	
268	323	7	1	1	1	
269	244	67	1	1	2	Обломки
270	243	60	1	1	2	Обломки
271	64	27	1	1	1	
272	163	84	1	1	2	Обломки
273	225	30	1	1	5	
274	123	53	1	1	2	Обломки
275	141	46	1	1	3	Обломки
276	139	46	1	1	3	Обломки
277	3	28	1	1	5	кварц
278	294	76	1	1	1	
279	4	29	1	1	1	г/оFe
280	288	61	1	1	2	Обломки
281	12	86	1	1	2	Обломки
282	355	84	1	1	1	
283	284	60	1	1	2	Обломки
284	357	32	1	1	1	
285	334	83	1	1	1	
286	301	48	1	1	1	
287	217	62	1	1	2	Обломки
288	176	27	1	1	1	
289	290	44	1	1	1	
290	308	49	1	2	1	г/оFe,Кварц
291	297	45	1	1	1	г/оFe
292	5	37	1	1	2	г/оFe,Обломки
293	198	54	1	1	2	г/оFe
294	242	57	1	1	2	Обломки
295	207	59	1	1	2	Обломки
296	302	61	1	1	1	

Станция 9

Согласно геологической карте, породы относятся к габбро конгорского комплекса. Однако от габбро, залегающих ближе к контакту с палеоконтинентальными образованиями ханмейхойской свиты, они отличаются визуально более светлой окраской и единичными крупными (до 2-3 мм) зернами кварца.

Станция находится на левом берегу р. М. Ханмей в начале крупного изгиба ее русла на расстоянии 2,2 км от слияния с р. Евъюган вниз по р. М. Ханмей.

Данные породы сменяют серпентиниты и габбро в направлении от контакта с ханмейхойской свитой и обнажаются в 600 м от протрузии серпентинитов в обоих берегах р. М. Ханмей.

№№ пп	Азимут падения	Угол падения	Форма	Длина	Мощность	Минеральное заполнение
1	64	56	1	1	5	
2	49	41	1	1	1	
3	135	59	1	1	5	
4	327	84	1	1	2	Обломки
5	44	63	1	2	1	
6	351	72	1	2	1	
7	17	84	1	1	1	
8	27	88	1	1	2	Обломки
9	49	74	1	2	3	Обломки
10	42	89	1	2	2	Обломки
11	47	36	1	1	5	
12	54	34	1	1	1	
13	356	66	1	2	2	Обломки
14	86	57	1	1	1	
15	24	64	1	1	1	
16	326	47	1	2	3	Обломки
17	205	48	1	1	5	
18	177	71	1	2	5	
19	262	68	1	1	5	
20	29	26	1	2	2	Обломки
21	337	84	1	2	1	
22	34	86	1	2	3	Обломки
23	49	53	1	1	5	
24	67	56	1	1	3	Обломки
25	117	34	1	1	5	
26	112	73	1	1	1	
27	8	82	1	1	5	
28	43	28	1	1	2	Обломки
29	62	87	1	1	1	
30	54	3	1	2	2	Обломки
31	3	84	1	1	1	
32	36	71	1	1	1	Обломки
33	64	39	1	1	3	
34	43	84	1	1	5	
35	12	54	1	1	1	
36	117	61	1	1	1	
37	78	81	1	1	1	
38	97	34	1	1	1	
39	124	24	1	1	2	Обломки
40	178	73	1	1	2	Обломки
41	173	19	1	1	2	Обломки
42	126	26	2	1	2	Обломки
43	263	61	1	1	1	
44	272	47	1	1	2	Обломки
45	159	62	1	1	2	Обломки
46	346	84	1	1	4	Обломки
47	45	24	1	1	1	Обломки

48	68	14	1	1	2	Обломки
49	257	18	1	1	2	Обломки
50	121	48	1	1	1	
51	185	76	1	1	1	
52	110	38	1	1	2	Обломки
53	136	50	1	1	1	
54	1	63	1	1	2	Обломки
55	236	51	1	1	1	
56	152	72	1	2	3	
57	74	85	1	2	5	
58	118	48	1	1	1	
59	129	34	1	2	3	Обломки
60	356	72	1	1	1	
61	238	76	1	1	1	
62	98	28	2	2	2	Обломки,Эпидот
63	151	81	1	1	2	Обломки
64	254	28	1	1	3	Обломки
65	278	17	1	1	1	
66	138	44	1	1	2	Обломки
67	122	4	1	1	2	Обломки
68	164	49	1	1	2	Обломки
69	261	76	1	1	1	
70	316	73	1	1	2	
71	327	74	1	2	1	
72	152	81	1	1	1	
73	184	74	1	2	4	
74	46	57	1	2	2	Обломки
75	124	29	1	1	2	Обломки
76	244	86	1	1	1	
77	92	64	1	1	1	
78	133	67	1	1	5	
79	142	29	1	1	5	
80	116	74	1	1	5	
81	59	45	1	1	2	Обломки
82	23	47	1	1	1	
83	52	83	1	1	1	
84	187	83	1	1	2	Обломки
85	93	71	1	1	5	
86	23	47	1	1	3	Обломки
87	86	29	1	1	2	Обломки
88	113	73	1	1	2	Обломки
89	138	64	1	1	2	Обломки
90	156	24	1	1	3	Обломки
91	87	33	1	2	2	Обломки
92	64	67	1	2	1	
93	73	58	1	1	2	
94	136	31	1	2	3	
95	122	76	1	1	2	
96	104	22	1	1	1	
97	118	62	1	1	5	
98	103	12	1	2	2	Обломки
99	78	37	1	1	2	Обломки
100	93	27	1	2	3	Обломки
101	134	46	1	1	1	
102	116	42	1	1	1	
103	102	43	1	1	2	Обломки
104	136	17	1	1	2	Обломки

105	97	27	1	1	2	Обломки
106	22	76	2	1	5	
107	15	42	1	1	1	
108	153	82	1	1	5	
109	316	67	1	1	2	Обломки
110	22	64	1	1	2	Обломки
111	127	71	1	1	1	
112	107	28	2	1	1	
113	86	24	1	2	1	
114	123	31	1	1	2	
115	157	52	1	1	2	
116	279	54	1	1	1	
117	28	64	1	1	1	
118	49	67	1	1	4	
119	111	39	1	1	2	
120	44	53	1	1	1	
121	41	59	1	1	2	
122	138	32	1	1	5	
123	140	39	1	1	1	
124	47	83	1	1	1	
125	351	47	1	1	2	Обломки
126	285	49	1	1	1	
127	301	43	2	1	1	
128	153	31	2	1	2	
129	24	51	2	1	1	
130	296	45	1	1	1	
131	46	37	1	2	3	Обломки
132	33	37	1	1	1	
133	54	64	1	1	2	Обломки
134	316	23	1	1	2	
135	118	38	1	1	2	
136	128	32	1	1	2	Обломки
137	152	81	1	2	2	Обломки
138	58	71	1	2	4	Обломки
139	134	29	2	1	2	Обломки
140	127	61	2	1	2	Обломки
141	287	31	1	1	5	
142	178	69	1	2	1	
143	66	67	2	1	2	Обломки
144	58	57	2	1	1	
145	124	74	1	1	1	
146	51	55	2	1	2	Обломки
147	243	69	2	1	5	
148	238	61	2	1	1	
149	231	64	2	1	1	
150	129	46	2	1	1	
151	289	34	2	1	1	
152	156	27	1	1	1	
153	122	21	1	1	2	Обломки
154	133	46	1	1	1	
155	97	53	1	1	2	Обломки
156	16	4	1	1	2	Обломки
157	73	28	1	1	1	
158	207	52	1	2	1	
159	237	38	1	2	5	
160	178	9	1	1	1	
161	63	14	1	1	2	Обломки

162	182	46	1	1	1	
163	27	48	2	1	5	
164	146	43	1	2	2	Обломки
165	138	46	1	2	1	
166	97	12	1	1	2	Обломки
167	62	56	1	2	2	Обломки
168	34	68	1	1	1	
169	47	64	1	1	2	Обломки
170	78	63	1	1	1	
171	47	61	1	2	1	
172	57	29	1	2	2	Обломки
173	23	46	1	2	2	Обломки
174	73	42	1	1	1	
175	123	49	1	2	5	
176	103	51	1	1	2	Обломки
177	97	23	1	1	1	
178	137	49	1	1	2	
179	101	7	1	1	1	
180	72	50	1	1	2	Обломки,Эпидот
181	43	27	1	1	3	Обломки
182	178	1	1	1	1	
183	183	34	1	1	1	
184	94	71	1	2	2	Обломки
185	105	68	1	1	2	Обломки
186	64	81	1	1	1	
187	147	68	1	1	2	
188	92	47	2	1	1	
189	89	6	2	2	1	
190	82	41	1	1	5	
191	71	31	1	2	3	Обломки
192	168	72	1	1	1	
193	152	74	1	1	1	
194	225	53	1	1	1	
195	253	44	1	1	5	
196	234	56	2	1	5	
197	232	64	2	1	1	
198	235	59	2	1	1	
199	236	62	2	1	1	
200	292	36	1	1	1	Эпидот
201	117	37	2	1	1	
202	212	64	2	1	1	
203	300	47	2	1	2	кпш
204	326	84	1	1	2	Обломки
205	47	48	1	1	2	Обломки
206	81	32	1	1	2	Обломки
207	91	23	2	1	2	Обломки
208	156	74	2	1	2	Обломки
209	166	76	2	1	1	
210	37	65	1	1	2	Обломки
211	67	74	1	2	3	
212	159	76	1	2	2	Обломки
213	44	65	1	1	4	Обломки
214	154	81	2	1	1	
215	159	71	2	2	2	Обломки
216	221	80	2	1	1	
217	129	73	1	2	2	Обломки
218	124	76	2	1	2	Обломки

219	156	59	1	1	1	
220	68	40	1	2	1	
221	148	62	1	1	2	Обломки
222	168	58	1	1	3	Обломки
223	136	34	1	1	2	Обломки
224	163	57	1	1	1	
225	319	56	1	1	2	Обломки
226	91	3	1	1	2	Обломки
227	310	56	2	1	1	
228	238	66	1	1	1	
229	176	43	2	1	5	
230	143	62	1	1	2	Обломки
231	103	72	1	1	2	Обломки
232	94	7	1	1	1	
233	87	86	2	1	2	Обломки
234	116	61	1	1	2	Обломки
235	107	64	1	1	1	
236	157	16	1	1	3	Обломки
237	79	64	1	2	5	
238	157	66	1	1	1	
239	101	84	1	1	2	Обломки
240	182	69	1	1	2	Обломки
241	76	54	1	1	3	Обломки
242	82	34	1	1	1	
243	83	56	1	1	1	
244	179	26	1	1	1	
245	182	74	1	1	5	
246	113	36	1	1	2	Обломки
247	94	88	1	1	5	
248	67	53	2	1	5	
249	126	48	1	1	2	Обломки
250	113	62	1	1	5	
251	156	3	1	1	2	Обломки
252	96	87	1	1	1	
253	133	8	1	1	1	
254	97	71	1	1	1	
255	74	53	1	1	2	Обломки
256	156	53	1	1	1	
257	133	7	1	1	1	
258	126	31	1	1	2	Обломки
259	147	81	1	1	2	Обломки
260	86	68	1	1	1	
261	196	2	1	1	2	Обломки
262	93	11	1	1	1	
263	133	27	1	1	5	
264	83	82	1	1	1	
265	157	49	1	1	2	Обломки
266	63	78	1	1	5	
267	192	74	1	1	2	Обломки
268	176	46	1	1	1	
269	183	54	2	1	2	Обломки
270	72	36	1	1	1	
271	329	49	1	1	1	
272	49	54	2	1	1	
273	24	39	2	1	2	Обломки
274	23	53	1	1	1	
275	141	42	1	1	1	

276	99	63	1	1	2	Обломки
277	314	60	2	1	1	
278	241	69	2	1	2	Эпидот
279	233	78	2	1	2	Эпидот
280	66	63	1	1	1	
281	310	69	2	1	2	
282	313	66	2	1	1	
283	324	64	2	1	2	
284	311	58	1	1	1	
285	69	48	1	1	3	Обломки
286	302	71	1	1	1	
287	66	24	1	1	2	Обломки,Эпидот
288	64	61	1	1	2	Обломки
289	227	80	1	1	2	Кварц
290	49	44	1	1	2	Обломки
291	57	32	1	1	2	
292	157	46	1	1	1	
293	216	61	1	1	2	Обломки
294	33	24	1	1	1	Эпидот
295	246	46	1	1	2	Обломки
296	28	26	1	1	2	Кварц
297	358	79	2	1	2	Кварц
298	198	65	1	1	2	Кварц
299	200	50	1	2	2	Обломки
300	166	44	1	2	3	Обломки

Станция 10

В правобережье руч. Ханмейшор между вершинами с отметкой 204,4 и 237,4 м, находится вершина с рядом коренных скальных выходов, показанных на карте как габбро конгорского комплекса.

Породы светло-зеленого цвета, сложены плагиоклазом и хлоритом, среднезернистые, рассланцованные и смятые в складки.

Среди них находятся дайки базальтов порфировой структуры, миндалекаменной текстуры. Порфировые вкрапленники представлены плагиоклазом и пироксеном, в миндалинах предположительно плагиоклаз. Контакты базальтов горячие, форма тел, по-видимому, дайковая.

Замеры трещин выполнены в светло-зеленых «габбро», возможно, метасоматитах, в западном крыле относительно крупной антиклинальной складки.

№№пп	Аз. падения	Угол пад.	Форма	Длина	Мощность	Минер. заполнение
1	79	81	1	2	3	Обломки
2	98	77	1	2	3	Обломки
3	68	74	1	2	3	Обломки
4	332	52	1	1	4	Обломки
5	343	84	1	1	2	Обломки
6	358	79	2	1	2	Обломки
7	338	72	1	1	2	Обломки
8	153	66	1	2	2	Обломки
9	73	63	1	1	2	Обломки
10	354	64	1	2	2	Обломки
11	97	76	1	2	4	Обломки
12	342	88	1	1	2	Обломки
13	192	84	1	1	2	Обломки
14	166	57	1	1	2	Обломки
15	66	74	1	1	2	Обломки
16	71	76	1	1	1	
17	324	84	1	1	2	Обломки
18	74	83	1	1	2	Обломки
19	56	80	1	1	2	Обломки
20	294	46	1	1	2	Обломки
21	222	54	1	1	2	Обломки
22	188	56	1	1	2	Обломки
23	136	55	1	1	2	Обломки
24	86	73	1	2	2	Обломки
25	91	76	1	1	1	
26	86	73	1	2	3	Обломки
27	106	38	1	1	2	Обломки
28	117	84	2	1	1	
29	170	12	1	1	2	Обломки
30	86	77	1	1	1	
31	210	74	1	2	2	Обломки
32	43	84	1	1	2	Обломки
33	71	62	1	1	2	Обломки
34	348	52	2	1	5	
35	342	69	1	2	2	Обломки
36	149	17	1	1	2	Обломки
37	162	24	1	1	2	Обломки
38	68	70	1	1	2	Обломки
39	284	15	1	1	2	Обломки
40	292	54	1	1	5	
41	168	59	1	1	5	
42	198	62	1	1	2	Обломки
43	124	51	1	1	2	Обломки

44	112	61	1	1	12	
45	59	66	1	1	2	Обломки
46	117	64	1	2	3	Обломки
47	212	47	1	1	2	Обломки
48	202	21	1	1	5	
49	119	62	1	1	1	
50	124	2	1	1	2	Обломки
51	231	49	1	2	1	
52	105	69	1	1	1	
53	137	62	1	1	5	
54	152	57	1	1	1	
55	137	32	1	1	2	
56	174	73	1	1	2	Обломки
57	126	12	1	1	1	Обломки
58	97	17	1	1	2	Обломки
59	162	68	1	1	2	Обломки
60	64	1	1	1	2	Обломки
61	128	60	1	1	2	Обломки
62	138	63	1	1	2	Обломки
63	184	19	1	1	5	
64	138	76	1	1	5	
65	122	71	1	1	5	
66	65	63	1	1	5	
67	96	82	1	1	2	Обломки
68	108	84	1	1	2	Обломки
69	173	24	1	1	2	Обломки
70	138	73	1	1	2	Обломки
71	142	26	1	1	3	Обломки
72	149	34	1	1	2	Обломки
73	142	67	1	1	1	
74	64	27	1	1	2	Обломки
75	72	36	1	1	1	
76	87	46	1	1	2	Обломки
77	88	56	1	1	2	Обломки
78	92	74	1	1	2	Обломки
79	113	77	1	1	3	Обломки
80	137	66	1	1	2	Обломки
81	292	59	1	1	2	Обломки
82	121	74	1	1	2	Обломки
83	112	72	1	1	2	Обломки
84	117	62	1	2	2	Обломки
85	118	61	1	1	2	Обломки
86	113	38	1	1	2	Обломки
87	115	72	1	1	1	Обломки
88	131	61	1	1	2	Обломки
89	118	54	1	2	2	Обломки

90	15	64	1	1	1	
91	114	71	1	1	2	Обломки
92	116	64	1	1	2	Обломки
93	121	69	1	1	2	Обломки
94	103	78	2	1	2	Обломки
95	115	62	2	1	2	Обломки
96	128	57	2	1	2	Обломки
97	52	31	1	1	1	
98	121	63	1	1	4	Обломки
99	102	87	1	1	4	Обломки
100	332	72	2	1	2	Обломки
101	335	81	1	1	2	Обломки
102	96	51	1	1	2	Обломки
103	143	49	1	1	2	Обломки
104	157	60	2	1	5	
105	107	61	1	2	2	Обломки
106	194	25	1	1	2	Обломки
107	99	79	1	1	2	Обломки
108	159	77	2	1	2	Обломки
109	10	62	1	1	1	
110	105	54	1	1	2	Обломки
111	152	76	2	1	2	Обломки
112	157	61	2	1	1	
113	143	58	2	1	1	
114	161	72	2	1	1	
115	110	70	1	1	5	
116	110	80	1	1	5	
117	110	76	1	1	1	
118	170	66	1	1	5	
119	338	72	1	1	2	
120	212	64	1	1	2	Обломки
121	248	72	1	1	2	Обломки
122	202	16	1	1	3	
123	214	21	1	2	5	
124	232	76	1	1	2	Обломки
125	196	52	1	1	2	Обломки
126	156	58	1	1	2	Обломки
127	178	36	1	1	2	Обломки
128	207	55	1	1	5	
129	224	46	1	1	5	
130	342	79	1	1	5	
131	222	43	1	2	2	Обломки
132	197	48	1	1	1	
133	203	42	1	1	2	
134	273	62	1	1	1	
135	282	63	1	1	1	

136	216	33	1	1	5	
137	273	71	1	1	2	Обломки
138	246	58	1	1	1	
139	212	57	1	1	5	
140	187	28	1	1	5	
141	262	78	1	1	5	
142	203	76	1	1	5	Обломки
143	134	82	1	1	2	Обломки
144	197	67	1	1	2	
145	139	68	1	1	5	
146	172	37	1	2	5	
147	146	55	1	1	5	
148	122	37	1	1	1	
149	82	66	1	1	1	
150	177	63	1	2	5	
151	136	64	1	1	2	Обломки
152	227	61	1	1	5	
153	86	2	1	1	2	Обломки
154	47	52	1	1	1	
155	117	64	1	1	2	Обломки
156	138	62	1	1	2	Обломки
157	173	42	1	1	5	
158	183	76	1	1	1	
159	164	19	1	1	2	Обломки
160	162	65	1	1	5	
161	156	72	1	1	2	Обломки
162	138	57	1	1	5	
163	322	84	1	1	5	
164	108	62	1	1	2	Обломки
165	137	59	1	1	2	Обломки
166	135	12	1	1	2	Обломки
167	174	58	1	1	5	
168	192	53	2	1	2	
169	252	47	2	1	1	
170	152	27	1	1	1	
171	178	63	1	1	2	Обломки
172	125	73	1	1	1	
173	273	87	1	1	2	Обломки
174	172	86	2	1	5	
175	100	82	2	1	5	
176	104	15	1	1	1	
177	10	29	1	1	5	
178	338	34	1	1	5	
179	158	12	1	1	2	Обломки
180	142	63	1	1	5	
181	92	33	2	1	2	Обломки

182	76	52	2	1	2	Обломки
183	153	72	1	1	1	
184	29	46	1	1	2	Обломки
185	148	47	1	1	2	Обломки
186	44	62	1	1	2	Обломки
187	53	54	2	1	1	Обломки
188	103	82	1	1	5	
189	356	58	1	1	2	Обломки
190	64	52	1	1	1	
191	189	80	1	1	1	
192	96	5	1	1	1	
193	335	32	1	1	2	Обломки
194	62	8	1	1	3	Обломки
195	56	68	1	1	1	
196	169	56	2	1	5	
197	139	48	2	1	5	
198	76	78	1	1	2	Обломки
199	286	29	1	1	1	
200	283	72	1	1	1	
201	267	50	1	1	5	
202	122	14	1	1	2	Обломки
203	17	73	1	1	5	
204	132	6	1	1	2	Обломки
205	64	23	1	1	2	Обломки
206	97	82	1	1	1	
207	146	11	1	1	1	
208	93	61	1	1	3	Обломки
209	103	16	1	1	5	
210	126	64	1	1	2	Обломки
211	33	13	1	1	2	Обломки
212	27	8	1	1	2	Обломки
213	78	29	1	1	1	
214	86	17	2	1	1	Обломки
215	77	13	2	1	1	
216	92	67	1	1	2	Обломки
217	56	23	1	2	2	Обломки
218	186	18	1	2	2	Обломки
219	97	18	1	1	5	Обломки
220	97	3	1	1	2	Обломки
221	73	12	1	1	2	Обломки
222	92	26	1	1	2	Обломки
223	58	51	1	1	5	
224	48	22	1	1	1	
225	272	48	2	1	5	
226	261	25	2	1	5	
227	112	36	1	1	2	Обломки

228	118	6	1	1	2	Обломки
229	108	73	1	2	2	Обломки
230	294	64	1	1	1	
231	146	24	1	1	2	Обломки
232	20	58	1	1	2	Обломки
233	147	83	1	2	2	Обломки
234	358	67	1	1	2	Обломки
235	256	68	1	1	2	Обломки
236	68	77	2	2	4	Обломки
237	192	87	2	1	3	Обломки
238	67	79	1	1	2	Обломки
239	28	52	1	2	4	Обломки
240	148	31	1	1	1	
241	8	48	1	1	2	Обломки
242	358	73	1	1	1	
243	228	43	2	1	2	Обломки
244	67	76	1	2	4	Обломки
245	164	46	1	1	2	
246	212	24	2	1	1	
247	351	77	1	1	1	
248	308	14	1	1	1	
249	177	83	1	1	2	
250	156	49	2	1	2	
251	181	61	2	1	1	
252	98	86	1	2	4	Обломки
253	292	30	1	1	1	
254	10	9	1	1	1	
255	1	68	1	2	2	Обломки
256	144	61	2	1	2	Обломки
257	236	47	2	1	1	
258	8	66	2	1	2	Обломки
259	89	68	1	1	2	Обломки
260	162	86	1	1	2	Обломки
261	171	87	1	1	2	Обломки
262	167	64	1	1	2	Обломки
263	171	79	1	1	3	Обломки
264	170	79	1	1	4	
265	180	39	1	1	3	Обломки
266	138	74	1	2	2	Обломки
267	163	21	2	1	1	
268	298	20	2	1	1	
269	185	61	2	1	1	
270	50	52	1	1	1	
271	186	58	2	1	1	
272	138	73	2	1	2	Обломки
273	94	33	1	1	2	Обломки

274	75	84	1	1	3	Обломки
275	258	84	1	1	3	Обломки
276	3	13	1	1	1	
277	88	81	1	1	1	
278	246	47	1	1	2	Обломки
279	274	75	2	2	3	Обломки
280	355	48	1	1	1	
281	10	45	1	1	2	Обломки
282	267	38	2	1	2	Обломки
283	217	40	2	1	2	Обломки
284	92	83	2	1	2	Обломки
285	118	42	2	1	1	
286	273	71	1	2	2	Обломки
287	87	72	1	1	1	
288	86	79	1	1	1	
289	90	76	1	2	3	Обломки
290	46	62	2	1	2	Обломки
291	106	51	1	1	2	Обломки
292	105	81	2	1	2	КПШ
293	132	83	1	1	2	
294	348	81	1	1	3	Обломки,КПШ
295	346	78	2	1	1	
296	240	69	2	1	1	КПШ
297	101	72	1	2	2	Обломки
298	358	63	1	1	3	Обломки
299	110	68	1	1	2	Обломки
300	118	72	1	2	2	Обломки

МИНОБРНАУКИ РОССИИ

ФГБОУ ВО «Уральский государственный горный университет»

УТВЕРЖДАЮ
Проректор по учебно-методическому комплексу _____ С.А.Упоров

МЕТОДИЧЕСКИЕ УКАЗАНИЯ ПО САМОСТОЯТЕЛЬНОЙ РАБОТЕ СТУДЕНТОВ

Б1.О.01 ФИЛОСОФИЯ

Специальность

21.05.02 Прикладная геология

Специализация № 1

Геологическая съемка, поиски и разведка твердых полезных ископаемых

форма обучения: **очная, заочная**

Автор: Гладкова И. В., доцент, канд. филос. н.

Одобрена на заседании кафедры	Рассмотрена методической комиссией
Философии и культурологии	Факультета геологии и геофизики
(название кафедры)	*(название факультета)*
Зав. кафедрой _____	Председатель _____
(подпись)	*(подпись)*
Беляев В.П.	Бондарев В.И.
(Фамилия И.О.)	*(Фамилия И.О.)*
Протокол №1 от 01.09.2021	Протокол № 2 от 07.10.2021
(Дата)	*(Дата)*

Екатеринбург

СОДЕРЖАНИЕ

	Введение	3
1	Методические рекомендации по работе с текстом лекций	5
2	Методические рекомендации по подготовке к опросу	8
3	Методические рекомендации по подготовке доклада (презентации)	9
4	Методические рекомендации по написанию эссе	11
5	Методические рекомендации по подготовке к семинарским занятиям	14
6	Методические рекомендации по подготовке к дискуссии	15
7	Методические рекомендации по подготовке к сдаче экзаменов и зачетов	17
	Заключение	20
	Список использованных источников	21

ВВЕДЕНИЕ

Инициативная самостоятельная работа студента есть неотъемлемая составная часть учебы в вузе. В современном формате высшего образования значительно возрастает роль самостоятельной работы студента. Правильно спланированная и организованная самостоятельная работа обеспечивает достижение высоких результатов в учебе.

Самостоятельная работа студента (СРС) - это планируемая учебная, учебно-исследовательская, научно-исследовательская работа студентов, выполняемая во внеаудиторное (аудиторное) время по заданию и при методическом руководстве преподавателя, но без его непосредственного участия, при сохранении ведущей роли студентов.

Целью СРС является овладение фундаментальными знаниями, профессиональными умениями и навыками по профилю будущей специальности, опытом творческой, исследовательской деятельности, развитие самостоятельности. Ответственности и организованности, творческого подхода к решению проблем учебного и профессионального уровней. Самостоятельная работа студента – важнейшая составная часть учебного процесса, обязательная для каждого студента, объем которой определяется учебным планом. Методологическую основу СРС составляет деятельностный подход, при котором цели обучения ориентированы на формирование умений решать типовые и нетиповые задачи, т. е. на реальные ситуации, в которых студентам надо проявить знание конкретной дисциплины. Предметно и содержательно СРС определяется государственным образовательным стандартом, действующими учебными планами и образовательными программами различных форм обучения, рабочими программами учебных дисциплин, средствами обеспечения СРС: учебниками, учебными пособиями и методическими руководствами, учебно-программными комплексами и т.д.

Самостоятельная работа студентов может рассматриваться как организационная форма обучения - система педагогических условий, обеспечивающих управление учебной деятельностью студентов по освоению знаний и умений в области учебной и научной деятельности без посторонней помощи.

Самостоятельная работа студентов проводится с целью:

- систематизации и закрепления полученных теоретических знаний и практических умений студентов;
- углубления и расширения теоретических знаний;
- формирования умений использовать нормативную, правовую, справочную документацию и специальную литературу;
- развития познавательных способностей и активности студентов: творческой инициативы, самостоятельности, ответственности и организованности;
- формирования самостоятельности мышления, способностей к саморазвитию, самосовершенствованию и самореализации;
- формирования практических (общеучебных и профессиональных) умений и навыков;
- развития исследовательских умений;
- получения навыков эффективной самостоятельной профессиональной (практической и научно-теоретической) деятельности.

Самостоятельная работа студента - это особым образом организованная деятельность, включающая в свою структуру такие компоненты, как:

- уяснение цели и поставленной учебной задачи;
- четкое и системное планирование самостоятельной работы;
- поиск необходимой учебной и научной информации;
- освоение информации и ее логическая переработка;

- использование методов исследовательской, научно-исследовательской работы для решения поставленных задач;
- выработка собственной позиции по поводу полученной задачи;
- представление, обоснование и защита полученного решения;
- проведение самоанализа и самоконтроля.

В учебном процессе выделяют два вида самостоятельной работы: аудиторная и внеаудиторная.

Аудиторная самостоятельная работа по дисциплине выполняется на учебных занятиях под непосредственным руководством преподавателя и по его заданию: текущие консультации, коллоквиум, прием и разбор домашних заданий и другие.

Внеаудиторная самостоятельная работа - планируемая учебная, учебно-исследовательская, научно-исследовательская работа студентов, выполняемая во внеаудиторное время по заданию и при методическом руководстве преподавателя, но без его непосредственного участия: подготовка презентаций, составление глоссария, подготовка к практическим занятиям, подготовка рецензий, аннотаций на статью, подготовка к дискуссиям, круглым столам.

СРС может включать следующие формы работ:

- изучение лекционного материала;
- работа с источниками литературы: поиск, подбор и обзор литературы и электронных источников информации по заданной проблеме курса;
- выполнение домашних заданий, выдаваемых на практических занятиях: тестов, докладов, контрольных работ и других форм текущего контроля;
- изучение материала, вынесенного на самостоятельное изучение; подготовка к практическим занятиям;
- подготовка к контрольной работе или коллоквиуму;
- подготовка к зачету, экзамену, другим аттестациям;
- написание реферата, эссе по заданной проблем;
- выполнение расчетно-графической работы;
- выполнение выполнение курсовой работы или проекта;
- анализ научной публикации по определенной преподавателем теме, ее реферирование;
- исследовательская работа и участие в научных студенческих конференциях, семинарах и олимпиадах.

Особенностью организации самостоятельной работы студентов является необходимость не только подготовиться к сдаче зачета /экзамена, но и собрать, обобщить, систематизировать, проанализировать информацию по темам дисциплины.

Технология организации самостоятельной работы студентов включает использование информационных и материально-технических ресурсов образовательного учреждения. Для более эффективного выполнения самостоятельной работы по дисциплине преподаватель рекомендует студентам источники и учебно-методические пособия для работы, характеризует наиболее рациональную методику самостоятельной работы.

Самостоятельная работа может осуществляться индивидуально или группами студентов online и на занятиях в зависимости от цели, объема, конкретной тематики самостоятельной работы, уровня сложности, уровня умений студентов.

Подготовка к самостоятельная работа, не предусмотренная образовательной программой, учебным планом и учебно-методическими материалами, раскрывающими и конкретизирующими их содержание, осуществляется студентами инициативно, с целью реализации собственных учебных и научных интересов.

В качестве форм и методов контроля внеаудиторной самостоятельной работы студентов могут быть использованы обмен информационными файлами, семинарские занятия, тестирование, опрос, доклад, реферат, самоотчеты, контрольные работы, защита творческих работ и электронных презентаций и др.

.

1. Методические рекомендации по работе с текстом лекций

На лекционных занятиях необходимо конспектировать учебный материал. Обращать внимание на формулировки, определения, раскрывающие содержание тех или иных понятий, научные выводы и практические рекомендации, положительный опыт в ораторском мастерстве. Внимательное слушание и конспектирование лекций предполагает интенсивную умственную деятельность студента, и помогает усвоить учебный материал.

Желательно оставлять в рабочих конспектах поля, на которых делать пометки, дополняющие материал прослушанной лекции, а также подчеркивающие особую важность тех или иных теоретических положений, фиксировать вопросы, вызывающие личный интерес, варианты ответов на них, сомнения, проблемы, спорные положения. Рекомендуется вести записи на одной стороне листа, оставляя вторую сторону для размышлений, разборов, вопросов, ответов на них, для фиксирования деталей темы или связанных с ней фактов, которые припоминаются самим студентом в ходе слушания.

Слушание лекций - сложный вид интеллектуальной деятельности, успех которой обусловлен *умением слушать*, и стремлением воспринимать материал, нужное записывая в тетрадь. Запись лекции помогает сосредоточить внимание на главном, в ходе самой лекции продумать и осмыслить услышанное, осознать план и логику изложения материала преподавателем.

Такая работа нередко вызывает трудности у студентов: некоторые стремятся записывать все дословно, другие пишут отрывочно, хаотично. Чтобы избежать этих ошибок, целесообразно придерживаться ряда правил.

1. После записи ориентирующих и направляющих внимание данных (тема, цель, план лекции, рекомендованная литература) важно попытаться проследить, как они раскрываются в содержании, подкрепляются формулировками, доказательствами, а затем и выводами.

2. Записывать следует основные положения и доказывающие их аргументы, наиболее яркие примеры и факты, поставленные преподавателем вопросы для самостоятельной проработки.

3. Стремиться к четкости записи, ее последовательности, выделяя темы, подтемы, вопросы и подвопросы, используя цифровую и буквенную нумерацию (римские и арабские цифры, большие и малые буквы), красные строки, выделение абзацев, подчеркивание главного и т.д.

Форма записи материала может быть различной - в зависимости от специфики изучаемого предмета. Это может быть стиль учебной программы (назывные предложения), уместны и свои краткие пояснения к записям.

Студентам не следует подробно записывать на лекции «все подряд», но обязательно фиксировать то, что преподаватели диктуют – это базовый конспект, содержащий основные положения лекции: определения, выводы, параметры, критерии, аксиомы, постулаты, парадигмы, концепции, ситуации, а также мысли-маяки (ими часто являются афоризмы, цитаты, остроумные изречения). Запись лекции лучше вести в сжатой форме, короткими и четкими фразами. Каждому студенту полезно выработать свою систему сокращений, в которой он мог бы разобраться легко и безошибочно.

Даже отлично записанная лекция предполагает дальнейшую самостоятельную работу над ней (осмысление ее содержания, логической структуры, выводов). С целью доработки конспекта лекции необходимо в первую очередь прочитать записи, восстановить текст в памяти, а также исправить описки, расшифровать не принятые ранее сокращения, заполнить пропущенные места, понять текст, вникнуть в его смысл. Далее прочитать материал по рекомендуемой литературе, разрешая в ходе чтения возникшие ранее затруднения, вопросы, а также дополняя и исправляя свои записи. В ходе доработки конспекта углубляются, расширяются и закрепляются знания, а также дополняется, исправляется и совершенствуется конспект. Доработанный конспект и

рекомендуемая литература используется при подготовке к практическому занятию. Знание лекционного материала при подготовке к практическому занятию обязательно.

Особенно важно в процессе самостоятельной работы над лекцией выделить новый понятийный аппарат, уяснить суть новых понятий, при необходимости обратиться к словарям и другим источникам, заодно устранив неточности в записях. Главное - вести конспект аккуратно и регулярно, только в этом случае он сможет стать подспорьем в изучении дисциплины.

Работа над лекцией стимулирует самостоятельный поиск ответов на самые различные вопросы: над какими понятиями следует поработать, какие обобщения сделать, какой дополнительный материал привлечь.

Важным средством, направляющим самообразование, является выполнение различных заданий по тексту лекции, например, составление ее развернутого плана или тезисов; ответы на вопросы проблемного характера, (скажем, об основных тенденциях развития той или иной проблемы); составление проверочных тесты по проблеме, написание по ней реферата, составление графических схем.

По своим задачам лекции могут быть разных жанров: *установочная лекция* вводит в изучение курса, предмета, проблем (что и как изучать), а *обобщающая лекция* позволяет подвести итог (зачем изучать), выделить главное, усвоить законы развития знания, преемственности, новаторства, чтобы применить обобщенный позитивный опыт к решению современных практических задач. Обобщающая лекция ориентирует в истории и современном состоянии научной проблемы.

В процессе освоения материалов обобщающих лекций студенты могут выполнять задания разного уровня. Например: задания *репродуктивного* уровня (составить развернутый план обобщающей лекции, составить тезисы по материалам лекции); задания *продуктивного* уровня (ответить на вопросы проблемного характера, составить опорный конспект по схеме, выявить основные тенденции развития проблемы); задания *творческого* уровня (составить проверочные тесты по теме, защитить реферат и графические темы по данной проблеме). Обращение к ранее изученному материалу не только помогает восстановить в памяти известные положения, выводы, но и приводит разрозненные знания в систему, углубляет и расширяет их. Каждый возврат к старому материалу позволяет найти в нем что-то новое, переосмыслить его с иных позиций, определить для него наиболее подходящее место в уже имеющейся системе знаний.

.

2. Методические указания по подготовке к опросу

Самостоятельная работа обучающихся включает подготовку к устному или письменному опросу на семинарских занятиях. Для этого обучающийся изучает лекции, основную и дополнительную литературу, публикации, информацию из Интернет-ресурсов. Темы и вопросы к семинарским занятиям, вопросы для самоконтроля приведены в методических указаниях по разделам и доводятся до обучающихся заранее.

Письменный опрос

Письменный опрос является одной из форм текущего контроля успеваемости студента. При изучении материала студент должен убедиться, что хорошо понимает основную терминологию темы, умеет ее использовать в нужном контексте. Желательно составить краткий конспект ответа на предполагаемые вопросы письменной работы, чтобы убедиться в том, что студент владеет материалом и может аргументировано, логично и грамотно письменно изложить ответ на вопрос. Следует обратить особое внимание на написание профессиональных терминов, чтобы избегать грамматических ошибок в работе. При изучении новой для студента терминологии рекомендуется изготовить карточки, которые содержат новый термин и его расшифровку, что значительно облегчит работу над материалом.

Устный опрос

Целью устного собеседования являются обобщение и закрепление изученного курса. Студентам предлагаются для освещения сквозные концептуальные проблемы. При подготовке следует использовать лекционный материал и учебную литературу. Для более глубокого постижения курса и более основательной подготовки рекомендуется познакомиться с указанной дополнительной литературой. Готовясь к семинару, студент должен, прежде всего, ознакомиться с общим планом семинарского занятия. Следует внимательно прочесть свой конспект лекции по изучаемой теме и рекомендуемую к теме семинара литературу. С незнакомыми терминами и понятиями следует ознакомиться в предлагаемом глоссарии, словаре или энциклопедии [1].

Критерии качества устного ответа.

1. Правильность ответа по содержанию.
2. Полнота и глубина ответа.
3. Сознательность ответа (учитывается понимание излагаемого материала).
4. Логика изложения материала (учитывается умение строить целостный, последовательный рассказ, грамотно пользоваться профессиональной терминологией).
5. Рациональность использованных приемов и способов решения поставленной учебной задачи (учитывается умение использовать наиболее прогрессивные и эффективные способы достижения цели).
6. Своевременность и эффективность использования наглядных пособий и технических средств при ответе (учитывается грамотно и с пользой применять наглядность и демонстрационный опыт при устном ответе).
7. Использование дополнительного материала (приветствуется, но не обязательно для всех студентов).
8. Рациональность использования времени, отведенного на задание (не одобряется затянутость выполнения задания, устного ответа во времени, с учетом индивидуальных особенностей студентов)[2].

---

[1] Методические рекомендации для студентов [Электронный ресурс]: Режим доступа: http://lesgaft.spb.ru/sites/default/files/u57/metod.rekomendacii_dlya_studentov_21.pdf

[2] Методические рекомендации для студентов [Электронный ресурс]: http://priab.ru/images/metod_agro/Metod_Inostran_yazyk_35.03.04_Agro_15.01.2016.pdf

Ответ на каждый вопрос из плана семинарского занятия должен быть содержательным и аргументированным. Для этого следует использовать документы, монографическую, учебную и справочную литературу.

Для успешной подготовки к устному опросу, студент должен законспектировать рекомендуемую литературу, внимательно осмыслить лекционный материал и сделать выводы. Объем временина на подготовку к устному опросу зависимости от сложности темы и особенностей организации обучающимся своей самостоятельной работы.

3.Методические рекомендации по подготовке доклада (презентации)

Доклад – публичное сообщение по заданной теме, представляющее собой развернутое изложение на определенную тему, вид самостоятельной работы, который используется в учебных и внеаудиторных занятиях и способствует формированию навыков исследовательской работы, освоению методов научного познания, приобретению навыков публичного выступления, расширяет познавательные интересы, приучает критически мыслить.

При подготовке доклада используется дополнительная литература, систематизируется материал. Работа над докладом не только позволяет учащемуся приобрести новые знания, но и способствует формированию важных научно-исследовательских навыков самостоятельной работы с научной литературой, что повышает познавательный интерес к научному познанию.

Приветствуется использование мультимедийных технологий, подготовка докладов-презентаций.

Доклад должен соответствовать следующим требованиям:

- тема доклада должна быть согласованна с преподавателем и соответствовать теме занятия;

- иллюстрации (слайды в презентации) должны быть достаточными, но не чрезмерными;

- материалы, которыми пользуется студент при подготовке доклада-презентации, должны тсоответствовать научно-методическим требованиям ВУЗа и быть указаны в докладе;

- необходимо соблюдать регламент: 7-10 минут выступления.

Преподаватель может дать тему сразу нескольким студентам одной группы, по принципу: докладчик и оппонент. Студенты могут подготовить два выступления с противоположными точками зрения и устроить дискуссию по проблемной теме. Докладчики и содокладчики во многом определяют содержание, стиль, активность данного занятия, для этого необходимо:

- использовать технические средства;
- знать и хорошо ориентироваться в теме всей презентации (семинара);
- уметь дискутировать и быстро отвечать на вопросы;
- четко выполнять установленный регламент: докладчик - 7-10 мин.; содокладчик - 5 мин.; дискуссия - 10 мин;
- иметь представление о композиционной структуре доклада.

После выступления докладчик и содокладчик, должны ответить на вопросы слушателей.

В подготовке доклада выделяют следующие этапы:

1. Определение цели доклада: информировать, объяснить, обсудить что-то (проблему, решение, ситуацию и т. п.)

2. Подбор литературы, иллюстративных примеров.

3. Составление плана доклада, систематизация материала, композиционное оформление доклада в виде печатного /рукописного текста и электронной презентации.

Общая структура доклада

Построение доклада включает три части: вступление, основную часть и заключение.

Вступление.

Вступление должно содержать:

- название презентации (доклада);
- сообщение основной идеи;
- обоснование актуальности обсуждаемого вопроса;

- современную оценку предмета изложения;
- краткое перечисление рассматриваемых вопросов;
- живую интересную форму изложения;
- акцентирование оригинальности подхода.

Основная часть.

Основная часть состоит из нескольких разделов, постепенно раскрывающих тему. Возможно использование иллюстрации (графики, диаграммы, фотографии, карты, рисунки) Если необходимо, для обоснования темы используется ссылка на источники с доказательствами, взятыми из литературы (цитирование авторов, указание цифр, фактов, определений). Изложение материала должно быть связным, последовательным, доказательным.

Задача основной части - представить достаточно данных для того, чтобы слушатели и заинтересовались темой и захотели ознакомиться с материалами. При этом логическая структура теоретического блока не должны даваться без наглядных пособий, аудио-визуальных и визуальных материалов.

Заключение.

Заключение - это ясное четкое обобщение, в котором подводятся итоги, формулируются главные выводы, подчеркивается значение рассмотренной проблемы, предлагаются самые важные практические рекомендации. Требования к оформлению доклада. Объем машинописного текста доклада должен быть рассчитан на произнесение доклада в течение 7 -10 минут (3-5 машинописных листа текста с докладом).

Доклад оценивается по следующим критериям:

Критерии оценки доклада, сообщения	*Количество баллов*
Содержательность, информационная насыщенность доклада	1
Наличие аргументов	1
Наличие выводов	1
Наличие презентации доклада	1
Владение профессиональной лексикой	1
Итого:	5

Электронные презентации выполняются в программе MS PowerPoint в виде слайдов в следующем порядке: • титульный лист с заголовком темы и автором исполнения презентации; • план презентации (5-6 пунктов - это максимум); • основная часть (не более 10 слайдов); • заключение (вывод). Общие требования к стилевому оформлению презентации: • дизайн должен быть простым и лаконичным; • основная цель - читаемость, а не субъективная красота; цветовая гамма должна состоять не более чем из двух-трех цветов; • всегда должно быть два типа слайдов: для титульных и для основного текста; • размер шрифта должен быть: 24–54 пункта (заголовок), 18–36 пунктов (обычный текст); • текст должен быть свернут до ключевых слов и фраз. Полные развернутые предложения на слайдах таких презентаций используются только при цитировании; каждый слайд должен иметь заголовок; • все слайды должны быть выдержаны в одном стиле; • на каждом слайде должно быть не более трех иллюстраций; • слайды должны быть пронумерованы с указанием общего количества слайдов

4. Методические рекомендации по написанию эссе

Эссе - это самостоятельная письменная работа на тему, предложенную преподавателем. Цель эссе состоит в развитии навыков самостоятельного творческого мышления и письменного изложения собственных мыслей. Писать эссе чрезвычайно полезно, поскольку это позволяет автору научиться четко и грамотно формулировать мысли, структурировать информацию, использовать основные категории анализа, выделять причинно-следственные связи, иллюстрировать понятия соответствующими примерами, аргументировать свои выводы; овладеть научным стилем речи.

Эссе должно содержать: четкое изложение сути поставленной проблемы, включать самостоятельно проведенный анализ этой проблемы с использованием концепций и аналитического инструментария, рассматриваемого в рамках дисциплины, выводы, обобщающие авторскую позицию по поставленной проблеме. В зависимости от специфики дисциплины формы эссе могут значительно дифференцироваться. В некоторых случаях это может быть анализ имеющихся статистических данных по изучаемой проблеме, анализ материалов из средств массовой информации и использованием изучаемых моделей, подробный разбор предложенной задачи с развернутыми мнениями, подбор и детальный анализ примеров, иллюстрирующих проблему и т.д.

Построение эссе - это ответ на вопрос или раскрытие темы, которое основано на классической системе доказательств.

Структура эссе

1. *Титульный лист* (заполняется по единой форме);

2. *Введение* - суть и обоснование выбора данной темы, состоит из ряда компонентов, связанных логически и стилистически.

На этом этапе очень важно правильно *сформулировать вопрос, на который вы собираетесь найти ответ в ходе своего исследования.*

3. *Основная часть* - теоретические основы выбранной проблемы и изложение основного вопроса.

Данная часть предполагает развитие аргументации и анализа, а также обоснование их, исходя из имеющихся данных, других аргументов и позиций по этому вопросу. В этом заключается основное содержание эссе и это представляет собой главную трудность. Поэтому важное значение имеют подзаголовки, на основе которых осуществляется структурирование аргументации; именно здесь необходимо обосновать (логически, используя данные или строгие рассуждения) предлагаемую аргументацию/анализ. Там, где это необходимо, в качестве аналитического инструмента можно использовать графики, диаграммы и таблицы.

В зависимости от поставленного вопроса анализ проводится на основе следующих категорий:

Причина - следствие, общее - особенное, форма - содержание, часть - целое, постоянство - изменчивость.

В процессе построения эссе необходимо помнить, что один параграф должен содержать только одно утверждение и соответствующее доказательство, подкрепленное графическим и иллюстративным материалом. Следовательно, наполняя содержанием разделы аргументацией (соответствующей подзаголовкам), необходимо в пределах параграфа ограничить себя рассмотрением одной главной мысли.

Хорошо проверенный (и для большинства — совершено необходимый) способ построения любого эссе - использование подзаголовков для обозначения ключевых моментов аргументированного изложения: это помогает посмотреть на то, что предполагается сделать (и ответить на вопрос, хорош ли замысел). Такой подход поможет следовать точно определенной цели в данном исследовании. Эффективное использование подзаголовков - не только обозначение основных пунктов, которые необходимо осветить.

Их последовательность может также свидетельствовать о наличии или отсутствии логичности в освещении темы.

4. *Заключение* - обобщения и аргументированные выводы по теме с указанием области ее применения и т.д. Подытоживает эссе или еще раз вносит пояснения, подкрепляет смысл и значение изложенного в основной части. Методы, рекомендуемые для составления заключения: повторение, иллюстрация, цитата, впечатляющее утверждение. Заключение может содержать такой очень важный, дополняющий эссе элемент, как указание на применение (импликацию) исследования, не исключая взаимосвязи с другими проблемами.

Структура аппарата доказательств, необходимых для написания эссе

Доказательство - это совокупность логических приемов обоснования истинности какого-либо суждения с помощью других истинных и связанных с ним суждений. Оно связано с убеждением, но не тождественно ему: аргументация или доказательство должны основываться на данных науки и общественно-исторической практики, убеждения же могут быть основаны на предрассудках, неосведомленности людей в вопросах экономики и политики, видимости доказательности. Другими словами, доказательство или аргументация - это рассуждение, использующее факты, истинные суждения, научные данные и убеждающее нас в истинности того, о чем идет речь.

Структура любого доказательства включает в себя три составляющие: тезис, аргументы и выводы или оценочные суждения.

Тезис - это положение (суждение), которое требуется доказать. *Аргументы* - это категории, которыми пользуются при доказательстве истинности тезиса. *Вывод* - это мнение, основанное на анализе фактов. *Оценочные суждения* - это мнения, основанные на наших убеждениях, верованиях или взглядах. *Аргументы* обычно делятся на следующие группы:

1. *Удостоверенные факты* — фактический материал (или статистические данные).
2. *Определения* в процессе аргументации используются как описание понятий, связанных с тезисом.
3. *Законы* науки и ранее доказанные теоремы тоже могут использоваться как аргументы доказательства.

Требования к фактическим данным и другим источникам

При написании эссе чрезвычайно важно то, как используются эмпирические данные и другие источники (особенно качество чтения). Все (фактические) данные соотносятся с конкретным временем и местом, поэтому прежде, чем их использовать, необходимо убедится в том, что они соответствуют необходимому для исследований времени и месту. Соответствующая спецификация данных по времени и месту — один из способов, который может предотвратить чрезмерное обобщение, результатом которого может, например, стать предположение о том, что все страны по некоторым важным аспектам одинаковы (если вы так полагаете, тогда это должно быть доказано, а не быть голословным утверждением).

Всегда можно избежать чрезмерного обобщения, если помнить, что в рамках эссе используемые данные являются иллюстративным материалом, а не заключительным актом, т.е. они подтверждают аргументы и рассуждения и свидетельствуют о том, что автор умеет использовать данные должным образом. Нельзя забывать также, что данные, касающиеся спорных вопросов, всегда подвергаются сомнению. От автора не ждут определенного или окончательного ответа. Необходимо понять сущность фактического материала, связанного с этим вопросом (соответствующие индикаторы? насколько надежны данные для построения таких индикаторов? к какому заключению можно прийти на основании имеющихся данных и индикаторов относительно причин и следствий? и т.д.), и продемонстрировать это в эссе. Нельзя ссылаться на работы, которые автор эссе не читал сам.

Как подготовить и написать эссе?

Качество любого эссе зависит от трех взаимосвязанных составляющих, таких как:

1. Исходный материал, который будет использован (конспекты прочитанной литературы, лекций, записи результатов дискуссий, собственные соображения и накопленный опыт по данной проблеме).

2. Качество обработки имеющегося исходного материала (его организация, аргументация и доводы).

3. Аргументация (насколько точно она соотносится с поднятыми в эссе проблемами).

Процесс написания эссе можно разбить на несколько стадий: обдумывание - планирование - написание - проверка - правка.

Планирование - определение цели, основных идей, источников информации, сроков окончания и представления работы.

Цель должна определять действия.

Идеи, как и цели, могут быть конкретными и общими, более абстрактными. Мысли, чувства, взгляды и представления могут быть выражены в форме аналогий, ассоциации, предположений, рассуждений, суждений, аргументов, доводов и т.д.

Аналогии - выявление идеи и создание представлений, связь элементов значений.

Ассоциации - отражение взаимосвязей предметов и явлений действительности в форме закономерной связи между нервно - психическими явлениями (в ответ на тот или иной словесный стимул выдать «первую пришедшую в голову» реакцию).

Предположения - утверждение, не подтвержденное никакими доказательствами.

Рассуждения - формулировка и доказательство мнений.

Аргументация - ряд связанных между собой суждений, которые высказываются для того, чтобы убедить читателя (слушателя) в верности (истинности) тезиса, точки зрения, позиции.

Суждение - фраза или предложение, для которого имеет смысл вопрос: истинно или ложно?

Доводы - обоснование того, что заключение верно абсолютно или с какой-либо долей вероятности. В качестве доводов используются факты, ссылки на авторитеты, заведомо истинные суждения (законы, аксиомы и т.п.), доказательства (прямые, косвенные, «от противного», «методом исключения») и т.д.

Перечень, который получится в результате перечисления идей, поможет определить, какие из них нуждаются в особенной аргументации.

*Источники***.** Тема эссе подскажет, где искать нужный материал. Обычно пользуются библиотекой, Интернет-ресурсами, словарями, справочниками. Пересмотр означает редактирование текста с ориентацией на качество и эффективность.

Качество текста складывается из четырех основных компонентов: ясности мысли, внятности, грамотности и корректности.

Мысль - это содержание написанного. Необходимо четко и ясно формулировать идеи, которые хотите выразить, в противном случае вам не удастся донести эти идеи и сведения до окружающих.

Внятность - это доступность текста для понимания. Легче всего ее можно достичь, пользуясь логично и последовательно тщательно выбранными словами, фразами и взаимосвязанными абзацами, раскрывающими тему.

Грамотность отражает соблюдение норм грамматики и правописания. Если в чем-то сомневаетесь, загляните в учебник, справьтесь в словаре или руководстве по стилистике или дайте прочитать написанное человеку, чья манера писать вам нравится.

Корректность — это стиль написанного. Стиль определятся жанром, структурой работы, целями, которые ставит перед собой пишущий, читателями, к которым он обращается.

5. Методические рекомендации по подготовке семинарским занятиям

Семинар представляет собой комплексную форму и завершающее звено в изучении определенных тем, предусмотренных программой учебной дисциплины. Комплексность данной формы занятий определяется тем, что в ходе её проведения сочетаются выступления обучающихся и преподавателя: рассмотрение обсуждаемой проблемы и анализ различных, часто дискуссионных позиций; обсуждение мнений обучающихся и разъяснение (консультация) преподавателя; углубленное изучение теории и приобретение навыков умения ее использовать в практической работе.

По своему назначению семинар, в процессе которого обсуждается та или иная научная проблема, способствует:

- углубленному изучению определенного раздела учебной дисциплины, закреплению знаний;
- отработке методологии и методических приемов познания;
- выработке аналитических способностей, умения обобщения и формулирования выводов;
- приобретению навыков использования научных знаний в практической деятельности;
- выработке умения кратко, аргументированно и ясно излагать обсуждаемые вопросы;
- осуществлению контроля преподавателя за ходом обучения.

Семинары представляет собой *дискуссию* в пределах обсуждаемой темы (проблемы). Дискуссия помогает участникам семинара приобрести более совершенные знания, проникнуть в суть изучаемых проблем. Выработать методологию, овладеть методами анализа социально-экономических процессов. Обсуждение должно носить творческий характер с четкой и убедительной аргументацией.

По своей структуре семинар начинается со вступительного слова преподавателя, в котором кратко излагаются место и значение обсуждаемой темы (проблемы) в данной дисциплине, напоминаются порядок и направления ее обсуждения. Конкретизируется ранее известный обучающимся план проведения занятия. После этого начинается процесс обсуждения вопросов обучающимися. Завершается занятие подведением итогоа обсуждения, заключительным словом преподавателя.

Проведение семинарских занятий в рамках учебной группы (20 - 25 человек) позволяет обеспечить активное участие в обсуждении проблемы всех присутствующих.

По ходу обсуждения темы помните, что изучение теории должно быть связано с определением (выработкой) средств, путей применения теоретических положений в практической деятельности, например, при выполнении функций государственного служащего. В то же время важно не свести обсуждение научной проблемы только к пересказу случаев из практики работы, к критике имеющих место недостатков. Дискуссии имеют важное значение: учат дисциплине ума, умению выступать по существу, мыслить логически, выделяя главное, критически оценивать выступления участников семинара.

В процессе проведения семинара обучающиеся могут использовать разнообразные по своей форме и характеру пособия, демонстрируя фактический, в том числе статистический материал, убедительно подтверждающий теоретические выводы и положения. В завершение обсудите результаты работы семинара и сделайте выводы, что хорошо усвоено, а над чем следует дополнительно поработать.

В целях эффективности семинарских занятий необходима обстоятельная подготовка к их проведению. В начале семестра (учебного года) возьмите в библиотеке необходимые методические материалы для своевременной подготовки к семинарам. Готовясь к конкретной теме занятия следует ознакомиться с новыми официальными документами, статьями в периодических журналах, вновь вышедшими монографиями.

6. Методические рекомендации по подготовке к дискуссии

Современная практика предлагает широкий круг типов семинарских занятий. Среди них особое место занимает *семинар-дискуссия,* где в диалоге хорошо усваивается новая информация, видны убеждения студента, обсуждаются противоречия (явные и скрытые) и недостатки. Для обсуждения берутся конкретные актуальные вопросы, с которыми студенты предварительно ознакомлены. Дискуссия является одной из наиболее эффективных технологий группового взаимодействия, обладающей особыми возможностями в обучении, развитии и воспитании будущего специалиста.

Дискуссия (от лат. discussio - рассмотрение, исследование) - способ организации совместной деятельности с целью интенсификации процесса принятия решений в группе посредством обсуждения какого-либо вопроса или проблемы.

Дискуссия обеспечивает активное включение студентов в поиск истины; создает условия для открытого выражения ими своих мыслей, позиций, отношений к обсуждаемой теме и обладает особой возможностью воздействия на установки ее участников в процессе группового взаимодействия. Дискуссию можно рассматривать как *метод интерактивного обучения* и как особую технологию, включающую в себя другие методы и приемы обучения: «мозговой штурм», «анализ ситуаций» и т.д.

Обучающий эффект дискуссии определяется предоставляемой участнику возможностью получить разнообразную информацию от собеседников, продемонстрировать и повысить свою компетентность, проверить и уточнить свои представления и взгляды на обсуждаемую проблему, применить имеющиеся знания в процессе совместного решения учебных и профессиональных задач.

Развивающая функция дискуссии связана со стимулированием творчества обучающихся, развитием их способности к анализу информации и аргументированному, логически выстроенному доказательству своих идей и взглядов, с повышением коммуникативной активности студентов, их эмоциональной включенности в учебный процесс.

Влияние дискуссии на личностное становление студента обусловливается ее целостно - ориентирующей направленностью, созданием благоприятных условий для проявления индивидуальности, самоопределения в существующих точках зрения на определенную проблему, выбора своей позиции; для формирования умения взаимодействовать с другими, слушать и слышать окружающих, уважать чужие убеждения, принимать оппонента, находить точки соприкосновения, соотносить и согласовывать свою позицию с позициями других участников обсуждения.

Безусловно, наличие оппонентов, противоположных точек зрения всегда обостряет дискуссию, повышает ее продуктивность, позволяет создавать с их помощью конструктивный конфликт для более эффективного решения обсуждаемых проблем.

Существует несколько видов дискуссий, использование того или иного типа дискуссии зависит от характера обсуждаемой проблемы и целей дискуссии.

Дискуссия- диалог чаще всего применяется для совместного обсуждения учебных и производственных проблем, решение которых может быть достигнуто путем взаимодополнения, группового взаимодействия по принципу «индивидуальных вкладов» или на основе согласования различных точек зрения, достижения консенсуса.

Дискуссия - спор используется для всестороннего рассмотрения сложных проблем, не имеющих однозначного решения даже в науке, социальной, политической жизни, производственной практике и т.д. Она построена на принципе «позиционного противостояния» и ее цель - не столько решить проблему, сколько побудить участников дискуссии задуматься над проблемой, уточнить и определить свою позицию; научить аргументировано отстаивать свою точку зрения и в то же время осознать право других иметь свой взгляд на эту проблему, быть индивидуальностью.

Условия эффективного проведения дискуссии:

- информированность и подготовленность студентов к дискуссии,

- свободное владение материалом, привлечение различных источников для аргументации отстаиваемых положений;

- правильное употребление понятий, используемых в дискуссии, их единообразное понимание;

- корректность поведения, недопустимость высказываний, задевающих личность оппонента; установление регламента выступления участников;

- полная включенность группы в дискуссию, участие каждого студента в ней.

Подготовка студентов к дискуссии: если тема объявлена заранее, то следует ознакомиться с указанной литературой, необходимыми справочными материалами, продумать свою позицию, четко сформулировать аргументацию, выписать цитаты, мнения специалистов.

В проведении дискуссии выделяется несколько этапов.

Этап 1-й, введение в дискуссию: формулирование проблемы и целей дискуссии;

определение значимости проблемы, совместная выработка правил дискуссии; выяснение однозначности понимания темы дискуссии, используемых в ней терминов, понятий.

Этап 2-й, обсуждение проблемы: обмен участниками мнениями по каждому вопросу. Цель этапа - собрать максимум мнений, идей, предложений, соотнося их друг с другом.

Этап 3-й, подведение итогов обсуждения: выработка студентами согласованного мнения и принятие группового решения.

Далее подводятся итоги дискуссии, заслушиваются и защищаются проектные задания. После этого проводится "мозговой штурм" по нерешенным проблемам дискуссии, а также выявляются прикладные аспекты, которые можно рекомендовать для включения в курсовые и дипломные работы или в апробацию на практике.

Семинары-дискуссии проводятся с целью выявления мнения студентов по актуальным и проблемным вопросам.

7. Методические рекомендации по подготовке к сдаче экзаменов и зачетов

Экзамен - одна из важнейших частей учебного процесса, имеющая огромное значение.

Во-первых, готовясь к экзамену, студент приводит в систему знания, полученные на лекциях, семинарах, практических и лабораторных занятиях, разбирается в том, что осталось непонятным, и тогда изучаемая им дисциплина может быть воспринята в полном объеме с присущей ей строгостью и логичностью, ее практической направленностью. А это чрезвычайно важно для будущего специалиста.

Во-вторых, каждый хочет быть волевым и сообразительным., выдержанным и целеустремленным, иметь хорошую память, научиться быстро находить наиболее рациональное решение в трудных ситуациях. Очевидно, что все эти качества не только украшают человека, но и делают его наиболее действенным членом коллектива. Подготовка и сдача экзамена помогают студенту глубже усвоить изучаемые дисциплины, приобрести навыки и качества, необходимые хорошему специалисту.

Конечно, успех на экзамене во многом обусловлен тем, насколько систематически и глубоко работал студент в течение семестра. Совершенно очевидно, что серьезно продумать и усвоить содержание изучаемых дисциплин за несколько дней подготовки к экзамену просто невозможно даже для очень способного студента. И, кроме того, хорошо известно, что быстро выученные на память разделы учебной дисциплины так же быстро забываются после сдачи экзамена.

При подготовке к экзамену студенты не только повторяют и дорабатывают материал дисциплины, которую они изучали в течение семестра, они обобщают полученные знания, осмысливают методологию предмета, его систему, выделяют в нем основное и главное, воспроизводят общую картину с тем, чтобы яснее понять связь между отдельными элементами дисциплины. Вся эта обобщающая работа проходит в условиях напряжения воли и сознания, при значительном отвлечении от повседневной жизни, т. е. в условиях, благоприятствующих пониманию и запоминанию.

Подготовка к экзаменам состоит в приведении в порядок своих знаний. Даже самые способные студенты не в состоянии в короткий период зачетно-экзаменационной сессии усвоить материал целого семестра, если они над ним не работали в свое время. Для тех, кто мало занимался в семестре, экзамены принесут мало пользы: что быстро пройдено, то быстро и забудется. И хотя в некоторых случаях студент может «проскочить» через экзаменационный барьер, в его подготовке останется серьезный пробел, трудно восполняемый впоследствии.

Определив назначение и роль экзаменов в процессе обучения, попытаемся на этой основе пояснить, как лучше готовиться к ним.

Экзаменам, как правило, предшествует защита курсовых работ (проектов) и сдача зачетов. К экзаменам допускаются только студенты, защитившие все курсовые работы проекты) и сдавшие все зачеты. В вузе сдача зачетов организована так, что при систематической работе в течение семестра, своевременной и успешной сдаче всех текущих работ, предусмотренных графиком учебного процесса, большая часть зачетов не вызывает повышенной трудности у студента. Студенты, работавшие в семестре по плану, подходят к экзаменационной сессии без напряжения, без излишней затраты сил в последнюю, «зачетную» неделю.

Подготовку к экзамену следует начинать с первого дня изучения дисциплины. Как правило, на лекциях подчеркиваются наиболее важные и трудные вопросы или разделы дисциплины, требующие внимательного изучения и обдумывания. Нужно эти вопросы выделить и обязательно постараться разобраться в них, не дожидаясь экзамена, проработать их, готовясь к семинарам, практическим или лабораторным занятиям, попробовать самостоятельно решить несколько типовых задач. И если, несмотря на это, часть материала осталась неусвоенной, ни в коем случае нельзя успокаиваться, надеясь

на то, что это не попадется на экзамене. Факты говорят об обратном; если те или другие вопросы учебной дисциплины не вошли в экзаменационный билет, преподаватель может их задать (и часто задает) в виде дополнительных вопросов.

Точно такое же отношение должно быть выработано к вопросам и задачам, перечисленным в программе учебной дисциплины, выдаваемой студентам в начале семестра. Обычно эти же вопросы и аналогичные задачи содержатся в экзаменационных билетах. Не следует оставлять без внимания ни одного раздела дисциплины: если не удалось в чем-то разобраться самому, нужно обратиться к товарищам; если и это не помогло выяснить какой-либо вопрос до конца, нужно обязательно задать этот вопрос преподавателю на предэкзаменационной консультации. Чрезвычайно важно приучить себя к умению самостоятельно мыслить, учиться думать, понимать суть дела. Очень полезно после проработки каждого раздела восстановить в памяти содержание изученного материала. кратко записав это на листе бумаги. создать карту памяти (умственную карту), изобразить необходимые схемы и чертежи (логико-графические схемы), например, отобразить последовательность вывода теоремы или формулы. Если этого не сделать, то большая часть материала останется не понятой, а лишь формально заученной, и при первом же вопросе экзаменатора студент убедится в том, насколько поверхностно он усвоил материал.

В период экзаменационной сессии происходит резкое изменение режима работы, отсутствует посещение занятий по расписанию. При всяком изменении режима работы очень важно скорее приспособиться к новым условиям. Поэтому нужно сразу выбрать такой режим работы, который сохранился бы в течение всей сессии, т. е. почти на месяц. Необходимо составить для себя новый распорядок дня, чередуя занятия с отдыхом. Для того чтобы сократить потерю времени на включение в работу, рабочие периоды целесообразно делать длительными, разделив день примерно на три части: с утра до обеда, с обеда до ужина и от ужина до сна.

Каждый рабочий период дня надо заканчивать отдыхом. Наилучший отдых в период экзаменационной сессии - прогулка, кратковременная пробежка или какой-либо неутомительный физический труд.

При подготовке к экзаменам основное направление дают программа учебной дисциплины и студенческий конспект, которые указывают, что наиболее важно знать и уметь делать. Основной материал должен прорабатываться по учебнику (если такой имеется) и учебным пособиям, так как конспекта далеко недостаточно для изучения дисциплины. Учебник должен быть изучен в течение семестра, а перед экзаменом сосредоточьте внимание на основных, наиболее сложных разделах. Подготовку по каждому разделу следует заканчивать восстановлением по памяти его краткого содержания в логической последовательности.

За один - два дня до экзамена назначается консультация. Если ее правильно использовать, она принесет большую пользу. Во время консультации студент имеет полную возможность получить ответ на нее ни ясные ему вопросы. А для этого он должен проработать до консультации все темы дисциплины. Кроме того, преподаватель будет отвечать на вопросы других студентов, что будет для вас повторением и закреплением знаний. И еще очень важное обстоятельство: преподаватель на консультации, как правило, обращает внимание на те вопросы, по которым на предыдущих экзаменах ответы были неудовлетворительными, а также фиксирует внимание на наиболее трудных темах дисциплины. Некоторые студенты не приходят на консультации либо потому, что считают, что у них нет вопросов к преподавателю, либо полагают, что у них и так мало времени и лучше самому прочитать материал в конспекте или и учебнике. Это глубокое заблуждение. Никакая другая работа не сможет принести столь значительного эффекта накануне экзамена, как консультация преподавателя.

Но консультация не может возместить отсутствия длительной работы в течение семестра и помочь за несколько часов освоить материал, требующийся к экзамену. На

консультации студент получает ответы на трудные или оставшиеся неясными вопросы и, следовательно, дорабатывается материал. Консультации рекомендуется посещать, подготовив к ним все вопросы, вызывающие сомнения. Если студент придет на консультацию, не проработав всего материала, польза от такой консультации будет невелика.

Итак, *основные советы* для подготовки к сдаче зачетов и экзаменов состоят в следующем:

- лучшая подготовка к зачетам и экзаменам - равномерная работа в течение всего семестра;
- используйте программы учебных дисциплин - это организует вашу подготовку к зачетам и экзаменам;
- учитывайте, что для полноценного изучения учебной дисциплины необходимо время;
- составляйте планы работы во времени;
- работайте равномерно и ритмично;
- курсовые работы (проекты) желательно защищать за одну - две недели до начала зачетно-экзаменационной сессии;
- все зачеты необходимо сдавать до начала экзаменационной сессии;
- помните, что конспект не заменяет учебник и учебные пособия, а помогает выбрать из него основные вопросы и ответы;
- при подготовке наибольшее внимание и время уделяйте трудным и непонятным вопросам учебной дисциплины;
- грамотно используйте консультации;
- соблюдайте правильный режим труда и отдыха во время сессии, это сохранит работоспособность и даст хорошие результаты;
- учитесь владеть собой на зачете и экзамене;
- учитесь точно и кратко передавать свои мысли, поясняя их, если нужно, логико-графическими схемами.

Очень важным условием для правильного режима работы в период экзаменационной сессии является нормальный сон, иначе в день экзамена не будет чувства бодрости и уверенности.

ЗАКЛЮЧЕНИЕ

Методические указания по выполнению самостоятельной работы обучающихся являются неотъемлемой частью процесса обучения в вузе. Правильная организация самостоятельной работы позволяет обучающимся развивать умения и навыки в усвоении и систематизации приобретаемых знаний, обеспечивает высокий уровень успеваемости в период обучения, способствует формированию навыков совершенствования профессионального мастерства. Также внеаудиторное время включает в себя подготовку к аудиторным занятиям и изучение отдельных тем, расширяющих и углубляющих представления обучающихся по разделам изучаемой дисциплины.

Таким образом, обучающийся используя методические указания может в достаточном объеме усвоить и успешно реализовать конкретные знания, умения, навыки и получить опыт при выполнении следующих условий:

1) систематическая самостоятельная работа по закреплению полученных знаний и навыков;

2) добросовестное выполнение заданий;

3) выяснение и уточнение отдельных предпосылок, умозаключений и выводов, содержащихся в учебном курсе;

4) сопоставление точек зрения различных авторов по затрагиваемым в учебном курсе проблемам; выявление неточностей и некорректного изложения материала в периодической и специальной литературе;

5) периодическое ознакомление с последними теоретическими и практическими достижениями в области управления персоналом;

6) проведение собственных научных и практических исследований по одной или нескольким актуальным проблемам для *HR*;

7) подготовка научных статей для опубликования в периодической печати, выступление на научно-практических конференциях, участие в работе студенческих научных обществ, круглых столах и диспутах по проблемам управления персоналом.

Контроль результатов внеаудиторной самостоятельной работы студентов осуществляется в пределах времени, отведенного на обязательные учебные занятия по дисциплине

СПИСОК ИСПОЛЬЗОВАННЫХ ИСТОЧНИКОВ

1. Долгоруков А. Метод case-study как современная технология профессионально - ориентированного обучения [Электронный ресурс]. Режим доступа: //http://evolkov.net/case/case.study.html/

2. Методические рекомендации по написанию реферата. [Электронный ресурс]. Режим доступа: http://www.hse.spb.ru/edu/recommendations/method-referat-2005.phtml

3. Фролова Н. А. Реферирование и аннотирование текстов по специальности (на материале немецкого языка): Учеб. пособие / ВолгГТУ, Волгоград, 2006. - С.5.